

# Les occupations pré et protohistoriques du Clos de Roque, à Saint-Maximin-la Sainte-Baume

Provence-Alpes-Côtes-d'Azur, Var (83)

Opération d'archéologie préventive du 02 mai au 13 juillet 2011

Code INSEE de la commune : 83116

Code opération Patriarche : OA9785

Arrêté de prescription : AF/N° 2040/23-03-2011



## Rapport Final d'Opération

Volume 3 / 3 : inventaires et annexes

Responsable d'opération : Maxime Remicourt

**Auteurs :** Valérie Andrieu-Ponel, Cédric Audibert, Audrey Baradat, Janet Battentier, Dahvya Belkacem, Emilie Blaise, Sandrine Bonnardin, Jean-Baptiste Caverne, Marion Dousse, Paul Fernandes, Magali Gerbe, Benjamin Girard, Thibault Lachenal, Cédric Lepère, Christine Locatelli, Lucie Martin, Benoît Paravel, Nina Parisot, Philippe Ponel, Didier Pousset, Maxime Remicourt, Mathieu Rué, Aurore Schmitt, Ingrid Sénépart, Pascal Tallet, Eric Thirault



Villard de Lans, octobre 2012





REMICOURT M. AVEC LA COLLABORATION DE ANDRIEU-PONEL V., AUDIBERT C., BARADAT A., BATTENTIER J., BELKACEM D., BLAISE E., BONNARDIN S., DOUSSE M., CAVERNE J.-B., FERNANDES P., GERBE M., GIRARD B., LACHENAL T., LEPÈRE C., LOCATELLI C., MARTIN L., PARAVEL B., PARISOT N., PONEL P., POUSSET D., RUÉ M., SCHMITT A., SÉNÉPART I., TALLET P., THIRAUT E. (2012) - *Les occupations pré et protohistoriques du Clos de Roque, à Saint-Maximin-la-Sainte-Baume (Var)*, Rapport final d'opération, Paléotime, Aix-en-Provence, Service Régional de l'Archéologie Provence-Alpes-Côte-d'Azur, 3 vol., 1084 p., 433 fig., 22 tbl.

Crédits couverture © Paléotime :  
Cliché : Lucie Martin ; Dessin : Maxime Remicourt  
Mise en page du Rapport final d'opération : Maxime Remicourt

# Les occupations pré et protohistoriques du Clos de Roque, à Saint-Maximin-la Sainte-Baume

Provence-Alpes-Côtes-d'Azur, Var (83)

Opération d'archéologie préventive du 02 mai au 13 juillet 2011

Code INSEE de la commune : 83116

Code opération Patriarche : OA9785

Arrêté de prescription : AF/N° 2040/23-03-2011

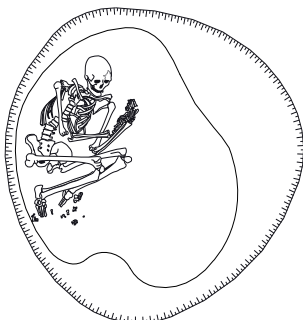


## Rapport Final d'Opération

Volume 3 / 3 : inventaires et annexes

Responsable d'opération : Maxime Remicourt

**Auteurs :** Valérie Andrieu-Ponel, Cédric Audibert, Audrey Baradat, Janet Battentier, Dahvya Belkacem, Emilie Blaise, Sandrine Bonnardin, Jean-Baptiste Caverne, Marion Dousse, Paul Fernandes, Magali Gerbe, Benjamin Girard, Thibault Lachenal, Cédric Lepère, Christine Locatelli, Lucie Martin, Benoît Paravel, Nina Parisot, Philippe Ponel, Didier Pousset, Maxime Remicourt, Mathieu Rué, Aurore Schmitt, Ingrid Sénépart, Pascal Tallet, Eric Thirault



Villard de Lans, octobre 2012



### *Avertissement*

Les rapports de fouille constituent des documents administratifs communicables au public dès leur remise au Service régional de l'archéologie, suivant les prescriptions de la loi n° 78-753 du 17 juillet 1978 modifiée, relative à l'amélioration des relations entre l'administration et le public. Aux termes de la circulaire du 26 mars 1993, ils pourront être consultés ; les agents des Services régionaux de l'archéologie rappelleront à tout demandeur les droits de propriété littéraire et artistique possédés par les auteurs et les contraintes qui en résultent pour tout consultant. Les prises de notes et les photocopies sont utilisées pour un usage exclusivement privé et non destiné à une utilisation collective (article L122-5 du code de la propriété intellectuelle). Toute reproduction du texte accompagnée ou non de photographies, cartes ou schémas, n'est possible que dans le cadre du droit de courte utilisation, avec les références exactes et complètes de l'auteur et de l'ouvrage. Par ailleurs, l'exercice du droit à la communication exclut, pour ses bénéficiaires ou pour les tiers, la possibilité de reproduire, de diffuser ou d'utiliser à des fins commerciales les documents communiqués (Loi n° 78-753 du 17 juillet 1978, art. 10).

Le non respect de ces règles constitue un délit de contrefaçon puni par l'article 425 du code pénal.





**Section 3 :**  
***Inventaires techniques  
et annexes***



## ***Liste des inventaires et annexes contenues dans ce volume***

<b><i>Annexe 1</i></b> : Inventaire des Unités Pédosédimentaires	p. 778
<b><i>Annexe 2</i></b> : Inventaire des mesures de susceptibilité magnétique volumique	p. 779
<b><i>Annexe 3</i></b> : Inventaire des structures identifiées au décapage	p. 780
<b><i>Annexe 4</i></b> : Inventaire des points topographiques	p. 885
<b><i>Annexe 5</i></b> : Inventaire du mobilier topographié	p. 1001
<b><i>Annexe 6</i></b> : Inventaire des prélèvements	p. 1012
<b><i>Annexe 7</i></b> : Inventaire des minutes de terrain	p. 1019
<b><i>Annexe 8</i></b> : Inventaire des photographies numériques	p. 1035
<b><i>Annexe 9</i></b> : Inventaire du mobilier céramique préhistorique	p. 1076
<b><i>Annexe 10</i></b> : Inventaire du mobilier céramique protohistorique	p. 1079
<b><i>Annexe 11</i></b> : Inventaire de l'industrie lithique taillée	p. 1080
<b><i>Annexe 12</i></b> : Inventaire du mobilier lithique pondéreux	p. 1098
<b><i>Annexe 13</i></b> : Inventaire de la terre crue et de la terre cuite	p. 1103
<b><i>Annexe 14</i></b> : Inventaire de la parure	p. 1104
<b><i>Annexe 15</i></b> : Inventaire du mobilier métallique	p. 1105
<b><i>Annexe 16</i></b> : Inventaire de l'industrie osseuse	p. 1106
<b><i>Annexe 17</i></b> : Inventaire de la faune vertébrée	p. 1107
<b><i>Annexe 18</i></b> : Inventaire des restes humains	p. 1108
<b><i>Annexe 19</i></b> : Inventaire des charbons de bois et des bois imbibés	p. 1109
<b><i>Annexe 20</i></b> : Inventaire des carporestes	p. 1110
<b><i>Annexe 21</i></b> : Inventaire des restes palynologiques de la ST2096	p. 1111
<b><i>Annexe 22</i></b> : Inventaire des restes entomologiques de la ST2096	p. 1112
<b><i>Annexe 23</i></b> : Inventaire de la malacofaune	p. 1113
<b><i>Annexe 24</i></b> : Rapport sur les datations radiocarbone	p. 1114
<b><i>Annexe 25</i></b> : Inventaire de la documentation écrite	p. 1129
<b><i>Annexe 26</i></b> : Inventaire des photographies dans le rapport	p. 1130

## INVENTAIRE DES UNITES PEDOSEDIMENTAIRES

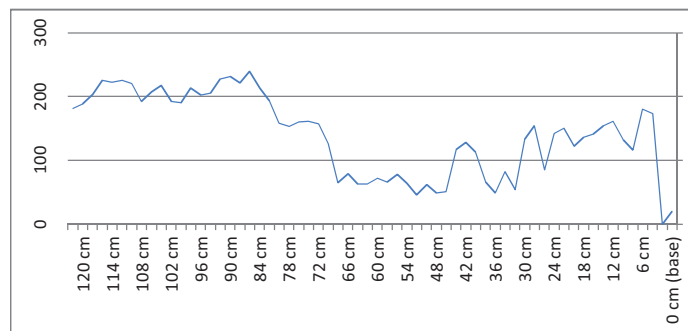
STM11 - Saint-Maximin-la-Sainte-Baume « Déviation RD560/RN28 » (Var), 9785 n°2011-4 – OP019 - Paléotime 2011

N° UPS	DESCRIPTION GENERALE	CODE COULEUR MUNSELL <small>sur matériau frais</small>	CARACTERISTIQUES PEDOLOGIQUES	TEST HCl dilué	LIMITE INFERIEURE	EPAISSEUR MOYENNE (cm)	VARIATIONS LATERALES	RELATIONS STRATI
1	Limon brun à graviers (cailloux calcaires principalement) et débris modernes.	10YR4/4 brun jaune sombre	structure polyédrique à grumeleuse, horizon cultivé actuel	+	plus ou moins rectiligne	25-30	sur cp 4 : épaisseur moindre en direction du Nord (UPS 2 surtout)	<p>haut</p> <p>pédo-séquence type</p> <p>bas</p>
2	Limon brun à graviers et petits cailloux, inclusions de matériel limoneux clair type UPS 3, sous forme de petites plages ou involutions depuis UPS 3. Mobilier varié, très fragmenté, historique fréquent.	10YR4/4 brun jaune sombre	structure polyédrique nette à prismatique, compacte	+	nette, rectiligne, présence de sillons non perturbés	25-30		
3	Limon jaune brun à concrétions calcaires (principalement localisées le long d'anciens conduits racinaires verticaux). Loess non décarbonaté, bioturbé. Pas d'éléments grossiers détritiques.	2.5Y6/6 jaune olive	structure massive, légèrement bioturbée	+	diffuse, rectiligne à ondulée	50-60	zone 2, nord : concrétions plus nombreuses	
4	Limon jaune brun à quelques concrétions calcaires, loess non décarbonaté, manifestement en place. Pas de figures ou structures de gel profond, sauf peut être au niveau des accumulations de concrétions en V.	10YR5/8 brun jaune	structure massive, peu bioturbée	+	?	?		

UPS 5 à 9 : voir description du puits (ST2096)

SAINT-MAXIMIN (83) Le Clos de Roque : mesures in situ de la susceptibilité magnétique volumique  
 Appareil Bartington, capteur MS2K  
 20/06/2011  
 Opérateurs : M. Rué et G. Gazagnol (Paléotime)  
 Valeurs en unités CGS x 10<sup>6</sup>. Témoin calibré à 345 CGS x 10<sup>6</sup>.

	Susceptibilité magnétique	Unité stratigraphique	m NGF
Coupe stratigraphique	Cp ouest-est ST1008		
Points topo de l'axe horiz.	PT3644-3645		
Localisation horizontale	218 cm à l'ouest du PT3645		
Localisation verticale	axe PT3645-3646 à z=122 cm		
Valeur du témoin début/fin	345		
0 cm (base)	20	UPS 3	284,65
2 cm			284,67
4 cm	173	US 2	284,69
6 cm	180	US 2	284,71
8 cm	116	US 2	284,73
10 cm	132	US 2	284,75
12 cm	161	US 2	284,77
14 cm	154	US 2	284,79
16 cm	141	US 2	284,81
18 cm	136	US 2	284,83
20 cm	122	US 2	284,85
22 cm	150	US 2	284,87
24 cm	142	US 2	284,89
26 cm	85	US 4	284,91
28 cm	154	US 4	284,93
30 cm	133	US 4	284,95
32 cm	54	US 4	284,97
34 cm	82	US 4	284,99
36 cm	49	US 4	285,01
38 cm	66	US 4	285,03
40 cm	113	US 4	285,05
42 cm	128	US 4	285,07
44 cm	117	US 4	285,09
46 cm	51	US 3	285,11
48 cm	49	US 3	285,13
50 cm	62	US 3	285,15
52 cm	46	US 3	285,17
54 cm	64	US 3	285,19
56 cm	78	US 3	285,21
58 cm	66	US 3	285,23
60 cm	72	US 3	285,25
62 cm	63	US 3	285,27
64 cm	63	US 3	285,29
66 cm	79	US 3	285,31
68 cm	65	US 3	285,33
70 cm	126	US 1 à inclusions	285,35
72 cm	157	US 1 à inclusions	285,37
74 cm	161	US 1 à inclusions	285,39
76 cm	160	US 1 à inclusions	285,41
78 cm	153	US 1 à inclusions	285,43
80 cm	158	US 1 à inclusions	285,45
82 cm	193	US 1 à inclusions	285,47
84 cm	213	US 1	285,49
86 cm	239	US 1	285,51
88 cm	221	US 1	285,53
90 cm	231	US 1	285,55
92 cm	227	US 1	285,57
94 cm	205	US 1	285,59
96 cm	202	US 1	285,61
98 cm	213	US 1	285,63
100 cm	190	US 1	285,65
102 cm	192	US 1	285,67
104 cm	217	US 1	285,69
106 cm	207	US 1	285,71
108 cm	192	US 1	285,73
110 cm	220	US 1	285,75
112 cm	225	US 1	285,77
114 cm	222	US 1	285,79
116 cm	225	US 1	285,81
118 cm	203	US 1	285,83
120 cm	188	US 1	285,85
122 cm (sommets)	181	US 1	285,87
mesures sur coupes zone 2	environ 40 à 50	UPS 3	
mesures sur coupes zone 3	environ 150	UPS 1-2	



**Annexe 2** - Le Clos de Roque, Saint-Maximin-la-Sainte-Baume (83). Mesure de la susceptibilité magnétique volumique des UPS et des US des structures (DAO : M. Rué).

<p>Négatif <input type="checkbox"/></p> <p style="text-align: center;">OA9785 - Clos de Roque - Saint-Maximin-la-Sainte-Baume - Var - 2011</p> <p>Numéro de structure <input type="text" value="ST1001"/> Secteur <input type="text" value="J15"/> Type de structure <input type="text" value="Fosse"/></p> <p>Date de fouille <input type="text" value="15/06/2011"/> Minutes <input type="text" value="301 - 302 - 303"/></p> <p>Photos <input type="text" value="619 - 650 - 659"/></p> <p>Points topographiques <input type="text" value="PT0424 - PT3515 à PT3518 - PT3753 à PT3761 - PT5640 - PT5641"/></p> <p>X (Lambert III) <input type="text" value="885615.80"/> * (m) Y (Lambert III) <input type="text" value="134886.87"/></p> <p>Altitude supérieure <input type="text" value="285.96"/> Altitude inférieure <input type="text" value="285.76"/></p> <p>forme en coupe <input type="text" value="B2"/> forme en plan <input type="text" value="Circulaire"/></p> <p>UPS de scellement <input type="text" value="UPS2"/> UPS encaissants <input type="text" value="UPS3"/></p> <p>diamètre à l'ouverture* <input type="text" value="1.7"/> x <input type="text" value=""/> diamètre maximal* <input type="text" value="1.7"/></p> <p>profondeur observée* <input type="text" value="0.2"/> Volume estimé (m3) <input type="text" value="0.454"/></p> <p>coupe ST <input type="text" value=""/> coupée par ST <input type="text" value=""/></p> <p>Protocole de fouille <input type="text" value="Moitié Sud : fouille par passes à la pelle mécanique&lt;br/&gt;Moitié Nord : fouille par passes manuelles"/></p> <p>Notes sur la structure <input type="text" value="Présence de terre rubéfiée au sommet dans une zone circonscrite (rejet).&lt;br/&gt;Céramique à fond plat."/></p> <p>Comblement <input type="text" value="N-naturel"/> Datation <input type="text" value="Bronze ancien phase 3"/></p> <p>Légendes de la coupe <input type="text" value="US1 : sédiment argilo-limoneux de couleur brun, compact et homogène, quelques cailloux calcaires brûlés de 5 à 10 cm, présence de rares granules blancs millimétriques"/></p> <p>Prélèvements <input type="text" value=""/></p> <p>Mobilier <input checked="" type="checkbox"/> Tamisage</p> <table style="width:100%; border: none;"> <tr> <td style="border: none;">Faune <input type="text" value="28"/></td> <td style="border: none;">Lithique <input type="text" value="78"/></td> <td style="border: none;">Céramique <input type="text" value="4"/></td> <td style="border: none;">Terre crue-cuite <input type="text" value="Présence"/></td> <td style="border: none;">Métal <input type="text" value=""/></td> <td style="border: none;">Restes humains <input type="text" value=""/></td> </tr> <tr> <td style="border: none;">Industrie osseuse <input type="text" value=""/></td> <td style="border: none;">Macrolithique <input type="text" value=""/></td> <td style="border: none;">Pierres (en g) <input type="text" value="Présence"/></td> <td style="border: none;">Parure <input type="text" value=""/></td> <td colspan="2" style="border: none;">Autres <input type="text" value=""/></td> </tr> <tr> <td style="border: none;">Malacofaune <input type="text" value="Présence"/></td> <td style="border: none;">Microfaune <input type="text" value="Présence"/></td> <td style="border: none;">Carporestes <input type="text" value=""/></td> <td style="border: none;">Anthracorestes <input type="text" value=""/></td> <td colspan="2" style="border: none;"><input type="text" value="Frgt hache polie en roche verte"/></td> </tr> </table>	Faune <input type="text" value="28"/>	Lithique <input type="text" value="78"/>	Céramique <input type="text" value="4"/>	Terre crue-cuite <input type="text" value="Présence"/>	Métal <input type="text" value=""/>	Restes humains <input type="text" value=""/>	Industrie osseuse <input type="text" value=""/>	Macrolithique <input type="text" value=""/>	Pierres (en g) <input type="text" value="Présence"/>	Parure <input type="text" value=""/>	Autres <input type="text" value=""/>		Malacofaune <input type="text" value="Présence"/>	Microfaune <input type="text" value="Présence"/>	Carporestes <input type="text" value=""/>	Anthracorestes <input type="text" value=""/>	<input type="text" value="Frgt hache polie en roche verte"/>		<p>Négatif <input type="checkbox"/></p> <p style="text-align: center;">OA9785 - Clos de Roque - Saint-Maximin-la-Sainte-Baume - Var - 2011</p> <p>Numéro de structure <input type="text" value="ST1002"/> Secteur <input type="text" value="J15"/> Type de structure <input type="text" value="Trou de poteau"/></p> <p>Date de fouille <input type="text" value="16/06/2011"/> Minutes <input type="text" value="304 - 305 - 306"/></p> <p>Photos <input type="text" value="617 - 666 - 667"/></p> <p>Points topographiques <input type="text" value="PT0425 - PT3485 à PT3498 - PT6808 à PT6812"/></p> <p>X (Lambert III) <input type="text" value="885611.13"/> * (m) Y (Lambert III) <input type="text" value="134871.78"/></p> <p>Altitude supérieure <input type="text" value="286.01"/> Altitude inférieure <input type="text" value="285.86"/></p> <p>forme en coupe <input type="text" value="B2"/> forme en plan <input type="text" value="Circulaire"/></p> <p>UPS de scellement <input type="text" value="UPS2"/> UPS encaissants <input type="text" value="UPS3"/></p> <p>diamètre à l'ouverture* <input type="text" value="0.38"/> x <input type="text" value=""/> diamètre maximal* <input type="text" value="0.38"/></p> <p>profondeur observée* <input type="text" value="0.18"/> Volume estimé (m3) <input type="text" value="0.018"/></p> <p>coupe ST <input type="text" value=""/> coupée par ST <input type="text" value=""/></p> <p>Protocole de fouille <input type="text" value="Moitié Sud : fouille par passes à la pelle mécanique&lt;br/&gt;Moitié Nord : fouille par passes manuelles"/></p> <p>Notes sur la structure <input type="text" value="Présence de pierre chauffée (grès)."/></p> <p>Comblement <input type="text" value="N-naturel"/> Datation <input type="text" value="Néo/Proto"/></p> <p>Légendes de la coupe <input type="text" value="US1 : sédiment argilo-limoneux de couleur brun, compact et homogène, un caillou brûlé de 8 cm, granules blancs millimétriques abondants, présence de quelques radicelles.&lt;br/&gt;US2 : mélange de sédiment de l'US1 et de l'UPS3 (effondrement paroi)"/></p> <p>Prélèvements <input type="text" value=""/></p> <p>Mobilier <input type="checkbox"/> Tamisage</p> <table style="width:100%; border: none;"> <tr> <td style="border: none;">Faune <input type="text" value=""/></td> <td style="border: none;">Lithique <input type="text" value=""/></td> <td style="border: none;">Céramique <input type="text" value=""/></td> <td style="border: none;">Terre crue-cuite <input type="text" value=""/></td> <td style="border: none;">Métal <input type="text" value=""/></td> <td style="border: none;">Restes humains <input type="text" value=""/></td> </tr> <tr> <td style="border: none;">Industrie osseuse <input type="text" value=""/></td> <td style="border: none;">Macrolithique <input type="text" value=""/></td> <td style="border: none;">Pierres (en g) <input type="text" value=""/></td> <td style="border: none;">Parure <input type="text" value=""/></td> <td colspan="2" style="border: none;">Autres <input type="text" value=""/></td> </tr> <tr> <td style="border: none;">Malacofaune <input type="text" value=""/></td> <td style="border: none;">Microfaune <input type="text" value=""/></td> <td style="border: none;">Carporestes <input type="text" value=""/></td> <td style="border: none;">Anthracorestes <input type="text" value=""/></td> <td colspan="2" style="border: none;"><input type="text" value="Frgt meule ?"/></td> </tr> </table>	Faune <input type="text" value=""/>	Lithique <input type="text" value=""/>	Céramique <input type="text" value=""/>	Terre crue-cuite <input type="text" value=""/>	Métal <input type="text" value=""/>	Restes humains <input type="text" value=""/>	Industrie osseuse <input type="text" value=""/>	Macrolithique <input type="text" value=""/>	Pierres (en g) <input type="text" value=""/>	Parure <input type="text" value=""/>	Autres <input type="text" value=""/>		Malacofaune <input type="text" value=""/>	Microfaune <input type="text" value=""/>	Carporestes <input type="text" value=""/>	Anthracorestes <input type="text" value=""/>	<input type="text" value="Frgt meule ?"/>	
Faune <input type="text" value="28"/>	Lithique <input type="text" value="78"/>	Céramique <input type="text" value="4"/>	Terre crue-cuite <input type="text" value="Présence"/>	Métal <input type="text" value=""/>	Restes humains <input type="text" value=""/>																																
Industrie osseuse <input type="text" value=""/>	Macrolithique <input type="text" value=""/>	Pierres (en g) <input type="text" value="Présence"/>	Parure <input type="text" value=""/>	Autres <input type="text" value=""/>																																	
Malacofaune <input type="text" value="Présence"/>	Microfaune <input type="text" value="Présence"/>	Carporestes <input type="text" value=""/>	Anthracorestes <input type="text" value=""/>	<input type="text" value="Frgt hache polie en roche verte"/>																																	
Faune <input type="text" value=""/>	Lithique <input type="text" value=""/>	Céramique <input type="text" value=""/>	Terre crue-cuite <input type="text" value=""/>	Métal <input type="text" value=""/>	Restes humains <input type="text" value=""/>																																
Industrie osseuse <input type="text" value=""/>	Macrolithique <input type="text" value=""/>	Pierres (en g) <input type="text" value=""/>	Parure <input type="text" value=""/>	Autres <input type="text" value=""/>																																	
Malacofaune <input type="text" value=""/>	Microfaune <input type="text" value=""/>	Carporestes <input type="text" value=""/>	Anthracorestes <input type="text" value=""/>	<input type="text" value="Frgt meule ?"/>																																	
<p>Négatif <input type="checkbox"/></p> <p style="text-align: center;">OA9785 - Clos de Roque - Saint-Maximin-la-Sainte-Baume - Var - 2011</p> <p>Numéro de structure <input type="text" value="ST1003"/> Secteur <input type="text" value="J15"/> Type de structure <input type="text" value="Fosse"/></p> <p>Date de fouille <input type="text" value="16/06/2011"/> Minutes <input type="text" value="353 - 354 - 355 - 356"/></p> <p>Photos <input type="text" value="618 - 685 - 686 - 705 - 783 - 784"/></p> <p>Points topographiques <input type="text" value="PT0426 - PT3499 à PT3502 - PT4189 à PT4204 - PT3789 - PT3790 - PT3982"/></p> <p>X (Lambert III) <input type="text" value="885614.93"/> * (m) Y (Lambert III) <input type="text" value="134870.46"/></p> <p>Altitude supérieure <input type="text" value="286.13"/> Altitude inférieure <input type="text" value="285.32"/></p> <p>forme en coupe <input type="text" value="A3"/> forme en plan <input type="text" value="Circulaire"/></p> <p>UPS de scellement <input type="text" value="UPS2"/> UPS encaissants <input type="text" value="UPS3"/></p> <p>diamètre à l'ouverture* <input type="text" value="1.6"/> x <input type="text" value=""/> diamètre maximal* <input type="text" value="1.6"/></p> <p>profondeur observée* <input type="text" value="0.8"/> Volume estimé (m3) <input type="text" value="1.6085"/></p> <p>coupe ST <input type="text" value=""/> coupée par ST <input type="text" value=""/></p> <p>Protocole de fouille <input type="text" value="Moitié Sud : fouille par passes à la pelle mécanique&lt;br/&gt;Moitié Nord : fouille par passes manuelles"/></p> <p>Notes sur la structure <input type="text" value="Fosse sub-cylindrique dont la paroi ouest s'est légèrement effondré dans sa partie sommitale.&lt;br/&gt;Présence d'une lentille charbonneuse dans le remplissage.&lt;br/&gt;Présence de calcaires brûlés"/></p> <p>Comblement <input type="text" value="AN-anthropique et"/> Datation <input type="text" value="Néo/Proto"/></p> <p>Légendes de la coupe <input type="text" value="US1 : sédiment argilo-limoneux de couleur brun, compact et homogène, quelques cailloux calcaires brûlés de 5 à 10 cm, granules blancs millimétriques abondants, présence de quelques radicelles. Lentille charbonneuse dans le remplissage et présence de quelques charbons millimétriques dans le fond de la structure.&lt;br/&gt;US2 : Lentilles d'UPS3 dans le comblement (effondrement paroi)."/></p> <p>Prélèvements <input type="text" value="PR63 (PT3982) Carpologie"/></p> <p>Mobilier <input checked="" type="checkbox"/> Tamisage</p> <table style="width:100%; border: none;"> <tr> <td style="border: none;">Faune <input type="text" value="141"/></td> <td style="border: none;">Lithique <input type="text" value="7"/></td> <td style="border: none;">Céramique <input type="text" value="10"/></td> <td style="border: none;">Terre crue-cuite <input type="text" value=""/></td> <td style="border: none;">Métal <input type="text" value=""/></td> <td style="border: none;">Restes humains <input type="text" value=""/></td> </tr> <tr> <td style="border: none;">Industrie osseuse <input type="text" value=""/></td> <td style="border: none;">Macrolithique <input type="text" value=""/></td> <td style="border: none;">Pierres (en g) <input type="text" value="438"/></td> <td style="border: none;">Parure <input type="text" value=""/></td> <td colspan="2" style="border: none;">Autres <input type="text" value=""/></td> </tr> <tr> <td style="border: none;">Malacofaune <input type="text" value="Présence"/></td> <td style="border: none;">Microfaune <input type="text" value=""/></td> <td style="border: none;">Carporestes <input type="text" value=""/></td> <td style="border: none;">Anthracorestes <input type="text" value=""/></td> <td colspan="2" style="border: none;"><input type="text" value="Frgt meule ?"/></td> </tr> </table>	Faune <input type="text" value="141"/>	Lithique <input type="text" value="7"/>	Céramique <input type="text" value="10"/>	Terre crue-cuite <input type="text" value=""/>	Métal <input type="text" value=""/>	Restes humains <input type="text" value=""/>	Industrie osseuse <input type="text" value=""/>	Macrolithique <input type="text" value=""/>	Pierres (en g) <input type="text" value="438"/>	Parure <input type="text" value=""/>	Autres <input type="text" value=""/>		Malacofaune <input type="text" value="Présence"/>	Microfaune <input type="text" value=""/>	Carporestes <input type="text" value=""/>	Anthracorestes <input type="text" value=""/>	<input type="text" value="Frgt meule ?"/>		<p>Négatif <input type="checkbox"/></p> <p style="text-align: center;">OA9785 - Clos de Roque - Saint-Maximin-la-Sainte-Baume - Var - 2011</p> <p>Numéro de structure <input type="text" value="ST1004"/> Secteur <input type="text" value="K15"/> Type de structure <input type="text" value="Trou de poteau"/></p> <p>Date de fouille <input type="text" value="16/06/2011"/> Minutes <input type="text" value="326 - 327 - 328"/></p> <p>Photos <input type="text" value="616 - 668 - 706"/></p> <p>Points topographiques <input type="text" value="PT0427 - PT3817 - PT3818 - PT3830 à PT3832 - PT3491 à PT3494"/></p> <p>X (Lambert III) <input type="text" value="885613.47"/> * (m) Y (Lambert III) <input type="text" value="134867.69"/></p> <p>Altitude supérieure <input type="text" value="286.08"/> Altitude inférieure <input type="text" value="285.93"/></p> <p>forme en coupe <input type="text" value="C"/> forme en plan <input type="text" value="Circulaire"/></p> <p>UPS de scellement <input type="text" value="UPS2"/> UPS encaissants <input type="text" value="UPS3"/></p> <p>diamètre à l'ouverture* <input type="text" value="0.37"/> x <input type="text" value=""/> diamètre maximal* <input type="text" value="0.37"/></p> <p>profondeur observée* <input type="text" value="0.15"/> Volume estimé (m3) <input type="text" value="0.0161"/></p> <p>coupe ST <input type="text" value=""/> coupée par ST <input type="text" value=""/></p> <p>Protocole de fouille <input type="text" value="Moitié Sud : fouille par passes à la pelle mécanique&lt;br/&gt;Moitié Nord : fouille par passes manuelles"/></p> <p>Notes sur la structure <input type="text" value=""/></p> <p>Comblement <input type="text" value="N-naturel"/> Datation <input type="text" value="Néo/Proto"/></p> <p>Légendes de la coupe <input type="text" value="US1 : sédiment argilo-limoneux de couleur brun, compact et homogène, quelques cailloux de 1 à 5 cm, granules blancs millimétriques abondants, présence de quelques radicelles.&lt;br/&gt;US2 : mélange de sédiment de l'US1 et de l'UPS3 (effondrement paroi)"/></p> <p>Prélèvements <input type="text" value=""/></p> <p>Mobilier <input type="checkbox"/> Tamisage</p> <table style="width:100%; border: none;"> <tr> <td style="border: none;">Faune <input type="text" value=""/></td> <td style="border: none;">Lithique <input type="text" value=""/></td> <td style="border: none;">Céramique <input type="text" value=""/></td> <td style="border: none;">Terre crue-cuite <input type="text" value=""/></td> <td style="border: none;">Métal <input type="text" value=""/></td> <td style="border: none;">Restes humains <input type="text" value=""/></td> </tr> <tr> <td style="border: none;">Industrie osseuse <input type="text" value=""/></td> <td style="border: none;">Macrolithique <input type="text" value=""/></td> <td style="border: none;">Pierres (en g) <input type="text" value=""/></td> <td style="border: none;">Parure <input type="text" value=""/></td> <td colspan="2" style="border: none;">Autres <input type="text" value=""/></td> </tr> <tr> <td style="border: none;">Malacofaune <input type="text" value=""/></td> <td style="border: none;">Microfaune <input type="text" value=""/></td> <td style="border: none;">Carporestes <input type="text" value=""/></td> <td style="border: none;">Anthracorestes <input type="text" value=""/></td> <td colspan="2" style="border: none;"><input type="text" value=""/></td> </tr> </table>	Faune <input type="text" value=""/>	Lithique <input type="text" value=""/>	Céramique <input type="text" value=""/>	Terre crue-cuite <input type="text" value=""/>	Métal <input type="text" value=""/>	Restes humains <input type="text" value=""/>	Industrie osseuse <input type="text" value=""/>	Macrolithique <input type="text" value=""/>	Pierres (en g) <input type="text" value=""/>	Parure <input type="text" value=""/>	Autres <input type="text" value=""/>		Malacofaune <input type="text" value=""/>	Microfaune <input type="text" value=""/>	Carporestes <input type="text" value=""/>	Anthracorestes <input type="text" value=""/>	<input type="text" value=""/>	
Faune <input type="text" value="141"/>	Lithique <input type="text" value="7"/>	Céramique <input type="text" value="10"/>	Terre crue-cuite <input type="text" value=""/>	Métal <input type="text" value=""/>	Restes humains <input type="text" value=""/>																																
Industrie osseuse <input type="text" value=""/>	Macrolithique <input type="text" value=""/>	Pierres (en g) <input type="text" value="438"/>	Parure <input type="text" value=""/>	Autres <input type="text" value=""/>																																	
Malacofaune <input type="text" value="Présence"/>	Microfaune <input type="text" value=""/>	Carporestes <input type="text" value=""/>	Anthracorestes <input type="text" value=""/>	<input type="text" value="Frgt meule ?"/>																																	
Faune <input type="text" value=""/>	Lithique <input type="text" value=""/>	Céramique <input type="text" value=""/>	Terre crue-cuite <input type="text" value=""/>	Métal <input type="text" value=""/>	Restes humains <input type="text" value=""/>																																
Industrie osseuse <input type="text" value=""/>	Macrolithique <input type="text" value=""/>	Pierres (en g) <input type="text" value=""/>	Parure <input type="text" value=""/>	Autres <input type="text" value=""/>																																	
Malacofaune <input type="text" value=""/>	Microfaune <input type="text" value=""/>	Carporestes <input type="text" value=""/>	Anthracorestes <input type="text" value=""/>	<input type="text" value=""/>																																	

Annexe 3 - Le Clos de Roque, Saint-Maximin-la-Sainte-Baume (83). Inventaire des structures identifiées au décapage par fiches comprenant les indications des points topographiques, des minutes, des prélèvements et des photographies numériques de références.

Négatif

OA9785 - Clos de Roque - Saint-Maximin-la-Sainte-Baume - Var - 2011

Numéro de structure  Secteur  Type de structure

Date de fouille  Minutes

Photos

Points topographiques

X (Lambert III)  \* (m) Y (Lambert III)

Altitude supérieure  Altitude inférieure

forme en coupe

forme en plan

UPS de scellement  UPS encaissants

diamètre à l'ouverture\*  x  diamètre maximal\*

profondeur observée\*  Volume estimé (m3)

coupe ST  coupée par ST

Protocole de fouille  
Moitié Sud : fouille par passes manuelles  
Moitié Nord : fouille par passes manuelles

Notes sur la structure  
Sillon de labour profond moderne

Comblement  Datation

Légendes de la coupe  
US1 : sédiment limoneux de couleur brun, meuble et homogène, quelques galets de 1 à 3 cm, racielles abondantes.

Prélèvements

Mobilier  Tamisage

Faune	Lithique	Céramique	Terre crue-cuite	Métal	Restes humains
<input type="text"/>	<input type="text"/>	<input type="text"/>	<input type="text"/>	<input type="text"/>	<input type="text"/>
Industrie osseuse	Macrolithique	Pierres (en g)	Parure	Autres	
<input type="text"/>	<input type="text"/>	<input type="text"/>	<input type="text"/>	<input type="text"/>	
Malacofaune	Microfaune	Carporestes	Anthracorestes	<input type="text"/>	
<input type="text"/>	<input type="text"/>	<input type="text"/>	<input type="text"/>	<input type="text"/>	

Négatif

OA9785 - Clos de Roque - Saint-Maximin-la-Sainte-Baume - Var - 2011

Numéro de structure  Secteur  Type de structure

Date de fouille  Minutes

Photos

Points topographiques

X (Lambert III)  \* (m) Y (Lambert III)

Altitude supérieure  Altitude inférieure

forme en coupe

forme en plan

UPS de scellement  UPS encaissants

diamètre à l'ouverture\*  x  diamètre maximal\*

profondeur observée\*  Volume estimé (m3)

coupe ST  coupée par ST

Protocole de fouille  
Moitié Sud : fouille par passes manuelles  
Moitié Nord : fouille par passes manuelles

Notes sur la structure  
Sillon de labour profond moderne

Comblement  Datation

Légendes de la coupe  
US1 : sédiment limoneux de couleur brun, meuble et homogène, quelques galets de 1 à 3 cm, racielles abondantes.

Prélèvements

Mobilier  Tamisage

Faune	Lithique	Céramique	Terre crue-cuite	Métal	Restes humains
<input type="text"/>	<input type="text"/>	<input type="text"/>	<input type="text"/>	<input type="text"/>	<input type="text"/>
Industrie osseuse	Macrolithique	Pierres (en g)	Parure	Autres	
<input type="text"/>	<input type="text"/>	<input type="text"/>	<input type="text"/>	<input type="text"/>	
Malacofaune	Microfaune	Carporestes	Anthracorestes	<input type="text"/>	
<input type="text"/>	<input type="text"/>	<input type="text"/>	<input type="text"/>	<input type="text"/>	

Négatif

OA9785 - Clos de Roque - Saint-Maximin-la-Sainte-Baume - Var - 2011

Numéro de structure  Secteur  Type de structure

Date de fouille  Minutes

Photos

Points topographiques

X (Lambert III)  \* (m) Y (Lambert III)

Altitude supérieure  Altitude inférieure

forme en coupe

forme en plan

UPS de scellement  UPS encaissants

diamètre à l'ouverture\*  x  diamètre maximal\*

profondeur observée\*  Volume estimé (m3)

coupe ST  coupée par ST

Protocole de fouille  
Moitié Sud : fouille par passes manuelles  
Moitié Nord : fouille par passes manuelles

Notes sur la structure  
Sillon de labour profond moderne

Comblement  Datation

Légendes de la coupe  
US1 : sédiment limoneux de couleur brun, meuble et homogène, quelques galets de 1 à 3 cm, racielles abondantes.

Prélèvements

Mobilier  Tamisage

Faune	Lithique	Céramique	Terre crue-cuite	Métal	Restes humains
<input type="text"/>	<input type="text"/>	<input type="text"/>	<input type="text"/>	<input type="text"/>	<input type="text"/>
Industrie osseuse	Macrolithique	Pierres (en g)	Parure	Autres	
<input type="text"/>	<input type="text"/>	<input type="text"/>	<input type="text"/>	<input type="text"/>	
Malacofaune	Microfaune	Carporestes	Anthracorestes	<input type="text"/>	
<input type="text"/>	<input type="text"/>	<input type="text"/>	<input type="text"/>	<input type="text"/>	

Négatif

OA9785 - Clos de Roque - Saint-Maximin-la-Sainte-Baume - Var - 2011

Numéro de structure  Secteur  Type de structure

Date de fouille  Minutes

Photos

Points topographiques

X (Lambert III)  \* (m) Y (Lambert III)

Altitude supérieure  Altitude inférieure

forme en coupe  forme en plan

UPS de scellement  UPS encaissants

diamètre à l'ouverture\*  x  diamètre maximal\*

profondeur observée\*  Volume estimé (m3)

coupe ST  coupée par ST

Protocole de fouille  
Moitié Sud : fouille par passes manuelles et à la pelle mécanique  
Moitié Nord : fouille par passes à la pelle mécanique

Notes sur la structure  
Fosse ovale (2.6 x 1.7 m) présentant un surcreusement à l'ouest.  
Présence de calcaires brûlés et de calcites

Comblement  Datation

Légendes de la coupe  
US1 : sédiment argilo-limoneux de couleur brun, compact et homogène, quelques cailloux de 1 à 5 cm, granules blancs millimétriques abondants, présence de quelques racielles (dernière phase de remplissage).  
US2 : mélange de sédiment de l'US1 et de l'UPS3 (première phase de comblement).  
US3 : mélange de sédiment de l'UPS3 et de l'US1 (troisième phase de comblement).  
US4 : sédiment argilo-limoneux de couleur brun, compact et homogène, avec inclusion de terre rubéfiée (deuxième phase de comblement)

Prélèvements

Mobilier  Tamisage

Faune	Lithique	Céramique	Terre crue-cuite	Métal	Restes humains
<input type="text" value="6"/>	<input type="text" value="2"/>	<input type="text" value="53"/>	<input type="text"/>	<input type="text"/>	<input type="text"/>
Industrie osseuse	Macrolithique	Pierres (en g)	Parure	Autres	
<input type="text"/>	<input type="text"/>	<input type="text" value="130"/>	<input type="text"/>	<input type="text"/>	
Malacofaune	Microfaune	Carporestes	Anthracorestes	<input type="text"/>	
<input type="text" value="Présence"/>	<input type="text"/>	<input type="text"/>	<input type="text" value="Présence"/>	<input type="text"/>	

Annexe 3 - Le Clos de Roque, Saint-Maximin-la-Sainte-Baume (83). Inventaire des structures identifiées au décapage par fiches comprenant les indications des points topographiques, des minutes, des prélèvements et des photographies numériques de références.

<p>Négatif <input checked="" type="checkbox"/></p> <p style="text-align: center;">OA9785 - Clos de Roque - Saint-Maximin-la-Sainte-Baume - Var - 2011</p> <p>Numéro de structure <input type="text" value="ST1009"/> Secteur <input type="text" value="U16"/> Type de structure <input type="text" value="Dépression"/></p> <p>Date de fouille <input type="text" value="15/06/2011"/> Minutes <input type="text"/></p> <p>Photos <input type="text"/></p> <p>Points topographiques <input type="text" value="PT0432"/></p> <p>X (Lambert III) <input type="text" value="885621.54"/> * (m) Y (Lambert III) <input type="text" value="134875.88"/></p> <p>Altitude supérieure <input type="text" value="286.11"/> Altitude inférieure <input type="text"/></p> <p>forme en coupe <input type="text"/></p> <p>UPS de scellement <input type="text" value="UPS2"/> UPS encaissants <input type="text" value="UPS3"/></p> <p>diamètre à l'ouverture* <input type="text"/> x <input type="text"/> diamètre maximal* <input type="text"/></p> <p>profondeur observée* <input type="text"/> Volume estimé (m3) <input type="text"/></p> <p>coupe ST <input type="text"/></p> <p>Protocole de fouille <input type="text"/></p> <p>Notes sur la structure <input type="text" value="Restes d'une zone plus profonde de la tranchée de diag"/></p> <p>Comblement <input type="text" value="N-naturel"/> Datation <input type="text" value="Néant"/></p> <p>Légendes de la coupe <input type="text"/></p> <p>Prélèvements <input type="text"/></p> <p>Mobilier <input type="checkbox"/> Tamisage</p> <p>Faune <input type="text"/> Lithique <input type="text"/> Céramique <input type="text"/> Terre crue-cuite <input type="text"/> Métal <input type="text"/> Restes humains <input type="text"/></p> <p>Industrie osseuse <input type="text"/> Macroolithique <input type="text"/> Pierres (en g) <input type="text"/> Parure <input type="text"/> Autres <input type="text"/></p> <p>Malacofaune <input type="text"/> Microfaune <input type="text"/> Carporesses <input type="text"/> Anthracorestes <input type="text"/></p>	<p>Négatif <input type="checkbox"/></p> <p style="text-align: center;">OA9785 - Clos de Roque - Saint-Maximin-la-Sainte-Baume - Var - 2011</p> <p>Numéro de structure <input type="text" value="ST1010"/> Secteur <input type="text" value="U16"/> Type de structure <input type="text" value="Fosse"/></p> <p>Date de fouille <input type="text" value="16/06/2011"/> Minutes <input type="text" value="307 - 308 - 309"/></p> <p>Photos <input type="text" value="622 - 664 - 691"/></p> <p>Points topographiques <input type="text" value="PT0433 - PT3503 à PT3506 - PT3681 - PT3682 - PT3797 à PT3801 - PT3802 à PT3805"/></p> <p>X (Lambert III) <input type="text" value="885622.74"/> * (m) Y (Lambert III) <input type="text" value="134872.77"/></p> <p>Altitude supérieure <input type="text" value="286.12"/> Altitude inférieure <input type="text" value="285.72"/></p> <p>forme en coupe <input type="text" value="F1"/> forme en plan <input type="text" value="Circulaire"/></p> <p>UPS de scellement <input type="text" value="UPS2"/> UPS encaissants <input type="text" value="UPS3"/></p> <p>diamètre à l'ouverture* <input type="text" value="0.8"/> x <input type="text"/> diamètre maximal* <input type="text" value="0.8"/></p> <p>profondeur observée* <input type="text" value="0.4"/> Volume estimé (m3) <input type="text" value="0.2011"/></p> <p>coupe ST <input type="text"/></p> <p>Protocole de fouille <input type="text" value="Moitié Sud : fouille par passes à la pelle mécanique&lt;br/&gt;Moitié Nord : fouille par passes manuelles"/></p> <p>Notes sur la structure <input type="text" value="fosse circulaire tronconique à rapprocher de ST1011"/></p> <p>Comblement <input type="text" value="N-naturel"/> Datation <input type="text" value="Néolithique final ind"/></p> <p>Légendes de la coupe <input type="text" value="US1 : sédiment argilo-limoneux de couleur brun, compact et homogène, quelques cailloux de 1 à 5 cm, granules blancs millimétriques abondants, présence de quelques radicales.&lt;br/&gt;US2 : mélange de sédiment de l'US1 et de l'UPS3 (effondrement paroi)"/></p> <p>Prélèvements <input type="text"/></p> <p>Mobilier <input type="checkbox"/> Tamisage</p> <p>Faune <input type="text"/> Lithique <input type="text"/> Céramique <input type="text" value="10"/> Terre crue-cuite <input type="text"/> Métal <input type="text"/> Restes humains <input type="text"/></p> <p>Industrie osseuse <input type="text"/> Macroolithique <input type="text"/> Pierres (en g) <input type="text"/> Parure <input type="text"/> Autres <input type="text"/></p> <p>Malacofaune <input type="text"/> Microfaune <input type="text"/> Carporesses <input type="text"/> Anthracorestes <input type="text"/></p>
<p>Négatif <input type="checkbox"/></p> <p style="text-align: center;">OA9785 - Clos de Roque - Saint-Maximin-la-Sainte-Baume - Var - 2011</p> <p>Numéro de structure <input type="text" value="ST1011"/> Secteur <input type="text" value="U16"/> Type de structure <input type="text" value="Fosse"/></p> <p>Date de fouille <input type="text" value="16/06/2011"/> Minutes <input type="text" value="308 - 311 - 312"/></p> <p>Photos <input type="text" value="623 - 665 - 700"/></p> <p>Points topographiques <input type="text" value="PT0434 - PT3507 à PT3510 - PT3683 - PT3684 - PT3821 à PT3825 - PT3826 à PT3829"/></p> <p>X (Lambert III) <input type="text" value="885624.33"/> * (m) Y (Lambert III) <input type="text" value="134872.69"/></p> <p>Altitude supérieure <input type="text" value="286.13"/> Altitude inférieure <input type="text" value="285.86"/></p> <p>forme en coupe <input type="text" value="B2"/> forme en plan <input type="text" value="Circulaire"/></p> <p>UPS de scellement <input type="text" value="UPS2"/> UPS encaissants <input type="text" value="UPS3"/></p> <p>diamètre à l'ouverture* <input type="text" value="0.65"/> x <input type="text"/> diamètre maximal* <input type="text" value="0.65"/></p> <p>profondeur observée* <input type="text" value="0.25"/> Volume estimé (m3) <input type="text" value="0.083"/></p> <p>coupe ST <input type="text"/></p> <p>Protocole de fouille <input type="text" value="Moitié Sud : fouille par passes à la pelle mécanique&lt;br/&gt;Moitié Nord : fouille par passes manuelles"/></p> <p>Notes sur la structure <input type="text" value="fosse circulaire tronconique à rapprocher de ST1010"/></p> <p>Comblement <input type="text" value="N-naturel"/> Datation <input type="text" value="Néolithique final ind"/></p> <p>Légendes de la coupe <input type="text" value="US1 : sédiment argilo-limoneux de couleur brun, compact et homogène, quelques cailloux de 1 à 5 cm, granules blancs millimétriques abondants, présence de quelques radicales.&lt;br/&gt;US2 : mélange de sédiment de l'US1 et de l'UPS3 (effondrement paroi)"/></p> <p>Prélèvements <input type="text"/></p> <p>Mobilier <input type="checkbox"/> Tamisage</p> <p>Faune <input type="text"/> Lithique <input type="text"/> Céramique <input type="text"/> Terre crue-cuite <input type="text"/> Métal <input type="text"/> Restes humains <input type="text"/></p> <p>Industrie osseuse <input type="text"/> Macroolithique <input type="text"/> Pierres (en g) <input type="text"/> Parure <input type="text"/> Autres <input type="text"/></p> <p>Malacofaune <input type="text"/> Microfaune <input type="text"/> Carporesses <input type="text"/> Anthracorestes <input type="text"/></p>	<p>Négatif <input type="checkbox"/></p> <p style="text-align: center;">OA9785 - Clos de Roque - Saint-Maximin-la-Sainte-Baume - Var - 2011</p> <p>Numéro de structure <input type="text" value="ST1012"/> Secteur <input type="text" value="U16"/> Type de structure <input type="text" value="Fosse"/></p> <p>Date de fouille <input type="text" value="06/07/2011"/> Minutes <input type="text" value="753 - 754"/></p> <p>Photos <input type="text" value="1541 - 1576 - 1577 - 1611"/></p> <p>Points topographiques <input type="text" value="PT0435 - PT7268 à PT7271 - PT7427 - PT7428 - PT7509 à PT7523"/></p> <p>X (Lambert III) <input type="text" value="885623.67"/> * (m) Y (Lambert III) <input type="text" value="134876.71"/></p> <p>Altitude supérieure <input type="text" value="286.14"/> Altitude inférieure <input type="text" value="285.86"/></p> <p>forme en coupe <input type="text" value="F1"/> forme en plan <input type="text" value="Ovale"/></p> <p>UPS de scellement <input type="text" value="UPS2"/> UPS encaissants <input type="text" value="UPS3"/></p> <p>diamètre à l'ouverture* <input type="text" value="1.36"/> x <input type="text" value="1.20"/> diamètre maximal* <input type="text" value="1.36"/></p> <p>profondeur observée* <input type="text" value="0.47"/> Volume estimé (m3) <input type="text" value="0.6432"/></p> <p>coupe ST <input type="text"/></p> <p>Protocole de fouille <input type="text" value="Moitié Sud : fouille par passes manuelles&lt;br/&gt;Moitié Nord : fouille par passes manuelles"/></p> <p>Notes sur la structure <input type="text" value="Présence de fragments de meules brûlés en grès dans le fond de la fosse.&lt;br/&gt;US2 correspondant à un niveau de rejet de cailloux brûlés en calcaire et d'ossements brûlés de faune. Présence de calcaires brûlés et de calcites&lt;br/&gt;US3 et US4, niveaux de comblement naturel.&lt;br/&gt;fosse ovale 1.36x1.20 m"/></p> <p>Comblement <input type="text" value="AN-anthropique et"/> Datation <input type="text" value="Néolithique final ind"/></p> <p>Légendes de la coupe <input type="text" value="US1 : sédiment argilo-limoneux de couleur noirâtre, compact et homogène.&lt;br/&gt;US2 : sédiment argilo-limoneux de couleur brun, compact et homogène, cailloux brûlés et éclatés de 5 à 20 cm abondants, ossements brûlés abondants.&lt;br/&gt;US3 : sédiment argilo-limoneux de couleur brun, compact et homogène, quelques cailloux de 1 à 5 cm, granules blancs millimétriques abondants, présence de nombreux charbons millimétriques et de nodules de terre cuite.&lt;br/&gt;US4 : mélange de l'US3 et de l'UPS3 (effondrement paroi)."/></p> <p>Prélèvements <input type="text"/></p> <p>Mobilier <input type="checkbox"/> Tamisage</p> <p>Faune <input type="text" value="230"/> Lithique <input type="text" value="26"/> Céramique <input type="text" value="28"/> Terre crue-cuite <input type="text"/> Métal <input type="text"/> Restes humains <input type="text"/></p> <p>Industrie osseuse <input type="text"/> Macroolithique <input type="text"/> Pierres (en g) <input type="text"/> Parure <input type="text"/> Autres <input type="text" value="Bloc brut en silex"/></p> <p>Malacofaune <input type="text"/> Microfaune <input type="text" value="3351"/> Carporesses <input type="text"/> Anthracorestes <input type="text"/></p> <p>Présence <input type="text"/> Microfaune <input type="text"/> Carporesses <input type="text"/> Anthracorestes <input type="text"/></p>

Annexe 3 - Le Clos de Roque, Saint-Maximin-la-Sainte-Baume (83). Inventaire des structures identifiées au décapage par fiches comprenant les indications des points topographiques, des minutes, des prélèvements et des photographies numériques de références.



Négatif

OA9785 - Clos de Roque - Saint-Maximin-la-Sainte-Baume - Var - 2011

Numéro de structure  Secteur  Type de structure

Date de fouille  Minutes

Photos

Points topographiques

X (Lambert III)  \* (m) Y (Lambert III)

Altitude supérieure  Altitude inférieure

forme en coupe  forme en plan

UPS de scellement  UPS encaissants

diamètre à l'ouverture\*  x  diamètre maximal\*

profondeur observée\*  Volume estimé (m3)

coupe ST

Protocole de fouille

Notes sur la structure

Comblement  Datation

Légendes de la coupe

Prélèvements

Mobilier  Tamisage

Faune	Lithique	Céramique	Terre crue-cuite	Métal	Restes humains
<input type="text"/>	<input type="text"/>	<input type="text"/>	<input type="text"/>	<input type="text"/>	<input type="text"/>
Industrie osseuse	Macrolithique	Pierres (en g)	Parure	Autres	
<input type="text"/>	<input type="text"/>	<input type="text"/>	<input type="text"/>	<input type="text"/>	
Malacofaune	Microfaune	Carporesses	Anthracorestes	<input type="text"/>	
<input type="text"/>	<input type="text"/>	<input type="text"/>	<input type="text"/>	<input type="text"/>	

Négatif

OA9785 - Clos de Roque - Saint-Maximin-la-Sainte-Baume - Var - 2011

Numéro de structure  Secteur  Type de structure

Date de fouille  Minutes

Photos

Points topographiques

X (Lambert III)  \* (m) Y (Lambert III)

Altitude supérieure  Altitude inférieure

forme en coupe  forme en plan

UPS de scellement  UPS encaissants

diamètre à l'ouverture\*  x  diamètre maximal\*

profondeur observée\*  Volume estimé (m3)

coupe ST

Protocole de fouille

Notes sur la structure

Comblement  Datation

Légendes de la coupe

Prélèvements

Mobilier  Tamisage

Faune	Lithique	Céramique	Terre crue-cuite	Métal	Restes humains
<input type="text" value="174"/>	<input type="text" value="10"/>	<input type="text" value="11"/>	<input type="text" value="Présence"/>	<input type="text"/>	<input type="text"/>
Industrie osseuse	Macrolithique	Pierres (en g)	Parure	Autres	
<input type="text"/>	<input type="text"/>	<input type="text" value="3354"/>	<input type="text"/>	<input type="text" value="grès et calcite"/>	
Malacofaune	Microfaune	Carporesses	Anthracorestes	<input type="text"/>	
<input type="text" value="Présence"/>	<input type="text"/>	<input type="text"/>	<input type="text" value="Présence"/>	<input type="text"/>	

Négatif

OA9785 - Clos de Roque - Saint-Maximin-la-Sainte-Baume - Var - 2011

Numéro de structure  Secteur  Type de structure

Date de fouille  Minutes

Photos

Points topographiques

X (Lambert III)  \* (m) Y (Lambert III)

Altitude supérieure  Altitude inférieure

forme en coupe

UPS de scellement  UPS encaissants

diamètre à l'ouverture\*  x  diamètre maximal\*

profondeur observée\*  Volume estimé (m3)

coupe ST

Protocole de fouille

Notes sur la structure

Comblement  Datation

Légendes de la coupe

Prélèvements

Mobilier  Tamisage

Faune	Lithique	Céramique	Terre crue-cuite	Métal	Restes humains
<input type="text"/>	<input type="text"/>	<input type="text"/>	<input type="text"/>	<input type="text"/>	<input type="text"/>
Industrie osseuse	Macrolithique	Pierres (en g)	Parure	Autres	
<input type="text"/>	<input type="text"/>	<input type="text"/>	<input type="text"/>	<input type="text"/>	
Malacofaune	Microfaune	Carporesses	Anthracorestes	<input type="text"/>	
<input type="text"/>	<input type="text"/>	<input type="text"/>	<input type="text"/>	<input type="text"/>	

Négatif

OA9785 - Clos de Roque - Saint-Maximin-la-Sainte-Baume - Var - 2011

Numéro de structure  Secteur  Type de structure

Date de fouille  Minutes

Photos

Points topographiques

X (Lambert III)  \* (m) Y (Lambert III)

Altitude supérieure  Altitude inférieure

forme en coupe

UPS de scellement  UPS encaissants

diamètre à l'ouverture\*  x  diamètre maximal\*

profondeur observée\*  Volume estimé (m3)

coupe ST

Protocole de fouille

Notes sur la structure

Comblement  Datation

Légendes de la coupe

Prélèvements

Mobilier  Tamisage

Faune	Lithique	Céramique	Terre crue-cuite	Métal	Restes humains
<input type="text"/>	<input type="text"/>	<input type="text"/>	<input type="text"/>	<input type="text"/>	<input type="text"/>
Industrie osseuse	Macrolithique	Pierres (en g)	Parure	Autres	
<input type="text"/>	<input type="text"/>	<input type="text"/>	<input type="text"/>	<input type="text"/>	
Malacofaune	Microfaune	Carporesses	Anthracorestes	<input type="text"/>	
<input type="text"/>	<input type="text"/>	<input type="text"/>	<input type="text"/>	<input type="text"/>	

Annexe 3 - Le Clos de Roque, Saint-Maximin-la-Sainte-Baume (83). Inventaire des structures identifiées au décapage par fiches comprenant les indications des points topographiques, des minutes, des prélèvements et des photographies numériques de références.

Négatif <input checked="" type="checkbox"/> OA9785 - Clos de Roque - Saint-Maximin-la-Sainte-Baume - Var - 2011		Négatif <input checked="" type="checkbox"/> OA9785 - Clos de Roque - Saint-Maximin-la-Sainte-Baume - Var - 2011	
Numéro de structure <input type="text" value="ST1017"/> Secteur <input type="text" value="K15"/> Type de structure <input type="text" value="Dépression"/>	Numéro de structure <input type="text" value="ST1018"/> Secteur <input type="text" value="K16"/> Type de structure <input type="text" value="Dépression"/>	Numéro de structure <input type="text" value="ST1019"/> Secteur <input type="text" value="K16"/> Type de structure <input type="text" value="Dépression"/>	Numéro de structure <input type="text" value="ST1020"/> Secteur <input type="text" value="J17"/> Type de structure <input type="text" value="Terrier"/>
Date de fouille <input type="text" value="15/06/2011"/> Minutes <input type="text"/>	Date de fouille <input type="text" value="15/06/2011"/> Minutes <input type="text"/>	Date de fouille <input type="text" value="15/06/2011"/> Minutes <input type="text"/>	Date de fouille <input type="text" value="06/07/2011"/> Minutes <input type="text"/>
Photos <input type="text"/>	Photos <input type="text"/>	Photos <input type="text" value="724"/>	Photos <input type="text"/>
Points topographiques <input type="text" value="PT0440"/>	Points topographiques <input type="text" value="PT0441"/>	Points topographiques <input type="text" value="PT0442 ; PT3037 à PT3040"/>	Points topographiques <input type="text" value="PT0443"/>
X (Lambert III) <input type="text" value="885619.09"/> * (m) Y (Lambert III) <input type="text" value="134866.47"/>	X (Lambert III) <input type="text" value="885623.4"/> * (m) Y (Lambert III) <input type="text" value="134868.13"/>	X (Lambert III) <input type="text" value="885628.31"/> * (m) Y (Lambert III) <input type="text" value="134860.34"/>	X (Lambert III) <input type="text" value="885635.24"/> * (m) Y (Lambert III) <input type="text" value="134878.34"/>
Altitude supérieure <input type="text" value="286.12"/> Altitude inférieure <input type="text" value="286.10"/>	Altitude supérieure <input type="text" value="286.11"/> Altitude inférieure <input type="text" value="286.10"/>	Altitude supérieure <input type="text" value="286.13"/> Altitude inférieure <input type="text" value="286.10"/>	Altitude supérieure <input type="text" value="285.93"/> Altitude inférieure <input type="text" value="285.85"/>
forme en coupe <input type="text"/> forme en plan <input type="text"/>	forme en coupe <input type="text"/> forme en plan <input type="text"/>	forme en coupe <input type="text"/> forme en plan <input type="text"/>	forme en coupe <input type="text"/> forme en plan <input type="text"/>
UPS de scellement <input type="text" value="UPS2"/> UPS encaissants <input type="text" value="UPS3"/>	UPS de scellement <input type="text" value="UPS2"/> UPS encaissants <input type="text" value="UPS3"/>	UPS de scellement <input type="text" value="UPS2"/> UPS encaissants <input type="text" value="UPS3"/>	UPS de scellement <input type="text" value="UPS2"/> UPS encaissants <input type="text" value="UPS3"/>
diamètre à l'ouverture* <input type="text"/> x <input type="text"/> diamètre maximal* <input type="text"/>	diamètre à l'ouverture* <input type="text"/> x <input type="text"/> diamètre maximal* <input type="text"/>	diamètre à l'ouverture* <input type="text" value="0.15"/> x <input type="text"/> diamètre maximal* <input type="text" value="0.15"/>	diamètre à l'ouverture* <input type="text" value="0.15"/> x <input type="text"/> diamètre maximal* <input type="text" value="0.15"/>
profondeur observée* <input type="text"/> Volume estimé (m3) <input type="text"/>	profondeur observée* <input type="text"/> Volume estimé (m3) <input type="text"/>	profondeur observée* <input type="text" value="0.03"/> Volume estimé (m3) <input type="text"/>	profondeur observée* <input type="text" value="0.08"/> Volume estimé (m3) <input type="text"/>
coupe ST <input type="text"/> coupée par ST <input type="text"/>	coupe ST <input type="text"/> coupée par ST <input type="text"/>	coupe ST <input type="text"/> coupée par ST <input type="text"/>	coupe ST <input type="text"/> coupée par ST <input type="text"/>
Protocole de fouille <input type="text" value="Moitié Sud : fouille par passes manuelles"/>	Protocole de fouille <input type="text" value="Moitié Sud : fouille par passes manuelles"/>	Protocole de fouille <input type="text" value="Moitié Nord : fouille par passes manuelles"/>	Protocole de fouille <input type="text" value="Moitié Sud : fouille par passes manuelles"/>
Notes sur la structure <input type="text" value="Tâche"/>	Notes sur la structure <input type="text" value="Tâche"/>	Notes sur la structure <input type="text" value="Tâche"/>	Notes sur la structure <input type="text" value="Terrier moderne"/>
Comblement <input type="text" value="N-naturel"/> Datation <input type="text" value="Néant"/>	Comblement <input type="text" value="N-naturel"/> Datation <input type="text" value="Néant"/>	Comblement <input type="text" value="N-naturel"/> Datation <input type="text" value="Néant"/>	Comblement <input type="text" value="N-naturel"/> Datation <input type="text" value="Néant"/>
Légendes de la coupe <input type="text"/>	Légendes de la coupe <input type="text"/>	Légendes de la coupe <input type="text" value="Sédiment limono-argileux brun, meuble, quelques galets de 1 à 2 cm."/>	Légendes de la coupe <input type="text" value="Sédiment limono-argileux brun, meuble, quelques galets de 1 à 2 cm."/>
Prélèvements <input type="text"/>	Prélèvements <input type="text"/>	Prélèvements <input type="text"/>	Prélèvements <input type="text"/>
Mobilier <input type="checkbox"/> Tamisage <input type="checkbox"/> Restes humains <input type="checkbox"/>	Mobilier <input type="checkbox"/> Tamisage <input type="checkbox"/> Restes humains <input type="checkbox"/>	Mobilier <input type="checkbox"/> Tamisage <input type="checkbox"/> Restes humains <input type="checkbox"/>	Mobilier <input type="checkbox"/> Tamisage <input type="checkbox"/> Restes humains <input type="checkbox"/>
Faune <input type="text"/> Lithique <input type="text"/> Céramique <input type="text"/> Terre crue-cuite <input type="text"/> Métal <input type="text"/>	Faune <input type="text"/> Lithique <input type="text"/> Céramique <input type="text"/> Terre crue-cuite <input type="text"/> Métal <input type="text"/>	Faune <input type="text"/> Lithique <input type="text"/> Céramique <input type="text"/> Terre crue-cuite <input type="text"/> Métal <input type="text"/>	Faune <input type="text"/> Lithique <input type="text"/> Céramique <input type="text"/> Terre crue-cuite <input type="text"/> Métal <input type="text"/>
Industrie osseuse <input type="text"/> Macrolithique <input type="text"/> Pierres (en g) <input type="text"/> Parure <input type="text"/> Autres <input type="text"/>	Industrie osseuse <input type="text"/> Macrolithique <input type="text"/> Pierres (en g) <input type="text"/> Parure <input type="text"/> Autres <input type="text"/>	Industrie osseuse <input type="text"/> Macrolithique <input type="text"/> Pierres (en g) <input type="text"/> Parure <input type="text"/> Autres <input type="text"/>	Industrie osseuse <input type="text"/> Macrolithique <input type="text"/> Pierres (en g) <input type="text"/> Parure <input type="text"/> Autres <input type="text"/>
Malacofaune <input type="text"/> Microfaune <input type="text"/> Carpocestes <input type="text"/> Anthracocrestes <input type="text"/>	Malacofaune <input type="text"/> Microfaune <input type="text"/> Carpocestes <input type="text"/> Anthracocrestes <input type="text"/>	Malacofaune <input type="text"/> Microfaune <input type="text"/> Carpocestes <input type="text"/> Anthracocrestes <input type="text"/>	Malacofaune <input type="text"/> Microfaune <input type="text"/> Carpocestes <input type="text"/> Anthracocrestes <input type="text"/>

Annexe 3 - Le Clos de Roque, Saint-Maximin-la-Sainte-Baume (83). Inventaire des structures identifiées au décapage par fiches comprenant les indications des points topographiques, des minutes, des prélèvements et des photographies numériques de références.

Négatif

OA9785 - Clos de Roque - Saint-Maximin-la-Sainte-Baume - Var - 2011

Numéro de structure  Secteur  Type de structure    
 Date de fouille  Minutes

Photos

Points topographiques

X (Lambert III)  \* (m) Y (Lambert III)   
 Altitude supérieure  Altitude inférieure   
 forme en coupe  forme en plan

UPS de scellement  UPS encaissants   
 diamètre à l'ouverture\*  x  diamètre maximal\*   
 profondeur observée\*  Volume estimé (m3)

coupe ST

Protocole de fouille

Notes sur la structure

Comblement  Datation

Légendes de la coupe

Prélèvements

Mobilier  Tamisage Restes humains

Faune	Lithique	Céramique	Terre crue-cuite	Métal	Restes humains
<input type="text"/>	<input type="text"/>	<input type="text"/>	<input type="text"/>	<input type="text"/>	<input type="text"/>
Industrie osseuse	Macrolithique	Pierres (en g)	Parure	Autres	
<input type="text"/>	<input type="text"/>	<input type="text"/>	<input type="text"/>	<input type="text"/>	
Malacofaune	Microfaune	Carporesses	Anthracorestes	<input type="text"/>	
<input type="text"/>	<input type="text"/>	<input type="text"/>	<input type="text"/>	<input type="text"/>	

Négatif

OA9785 - Clos de Roque - Saint-Maximin-la-Sainte-Baume - Var - 2011

Numéro de structure  Secteur  Type de structure    
 Date de fouille  Minutes

Photos

Points topographiques

X (Lambert III)  \* (m) Y (Lambert III)   
 Altitude supérieure  Altitude inférieure   
 forme en coupe  forme en plan

UPS de scellement  UPS encaissants   
 diamètre à l'ouverture\*  x  diamètre maximal\*   
 profondeur observée\*  Volume estimé (m3)

coupe ST

Protocole de fouille

Notes sur la structure

Comblement  Datation

Légendes de la coupe

Prélèvements

Mobilier  Tamisage Restes humains

Faune	Lithique	Céramique	Terre crue-cuite	Métal	Restes humains
<input type="text"/>	<input type="text"/>	<input type="text"/>	<input type="text"/>	<input type="text"/>	<input type="text"/>
Industrie osseuse	Macrolithique	Pierres (en g)	Parure	Autres	
<input type="text"/>	<input type="text"/>	<input type="text"/>	<input type="text"/>	<input type="text"/>	
Malacofaune	Microfaune	Carporesses	Anthracorestes	<input type="text"/>	
<input type="text"/>	<input type="text"/>	<input type="text"/>	<input type="text"/>	<input type="text"/>	

Négatif

OA9785 - Clos de Roque - Saint-Maximin-la-Sainte-Baume - Var - 2011

Numéro de structure  Secteur  Type de structure    
 Date de fouille  Minutes

Photos

Points topographiques

X (Lambert III)  \* (m) Y (Lambert III)   
 Altitude supérieure  Altitude inférieure   
 forme en coupe  forme en plan

UPS de scellement  UPS encaissants   
 diamètre à l'ouverture\*  x  diamètre maximal\*   
 profondeur observée\*  Volume estimé (m3)

coupe ST

Protocole de fouille

Notes sur la structure

US3 : vidange de foyer.  
 fosse ovale (2x1.5 m)

Comblement  Datation

Légendes de la coupe

Prélèvements

Mobilier  Tamisage Restes humains

Faune	Lithique	Céramique	Terre crue-cuite	Métal	Restes humains
<input type="text" value="7"/>	<input type="text" value="1"/>	<input type="text" value="9"/>	<input type="text" value="Présence"/>	<input type="text"/>	<input type="text"/>
Industrie osseuse	Macrolithique	Pierres (en g)	Parure	Autres	
<input type="text"/>	<input type="text" value="Frgt de meule"/>	<input type="text"/>	<input type="text"/>	<input type="text"/>	
Malacofaune	Microfaune	Carporesses	Anthracorestes	<input type="text"/>	
<input type="text"/>	<input type="text"/>	<input type="text"/>	<input type="text"/>	<input type="text"/>	

Négatif

OA9785 - Clos de Roque - Saint-Maximin-la-Sainte-Baume - Var - 2011

Numéro de structure  Secteur  Type de structure    
 Date de fouille  Minutes

Photos

Points topographiques

X (Lambert III)  \* (m) Y (Lambert III)   
 Altitude supérieure  Altitude inférieure   
 forme en coupe  forme en plan

UPS de scellement  UPS encaissants   
 diamètre à l'ouverture\*  x  diamètre maximal\*   
 profondeur observée\*  Volume estimé (m3)

coupe ST

Protocole de fouille

Notes sur la structure

Comblement  Datation

Légendes de la coupe

Prélèvements

Mobilier  Tamisage Restes humains

Faune	Lithique	Céramique	Terre crue-cuite	Métal	Restes humains
<input type="text"/>	<input type="text"/>	<input type="text"/>	<input type="text"/>	<input type="text"/>	<input type="text"/>
Industrie osseuse	Macrolithique	Pierres (en g)	Parure	Autres	
<input type="text"/>	<input type="text"/>	<input type="text"/>	<input type="text"/>	<input type="text"/>	
Malacofaune	Microfaune	Carporesses	Anthracorestes	<input type="text"/>	
<input type="text"/>	<input type="text"/>	<input type="text"/>	<input type="text"/>	<input type="text"/>	

Annexe 3 - Le Clos de Roque, Saint-Maximin-la-Sainte-Baume (83). Inventaire des structures identifiées au décapage par fiches comprenant les indications des points topographiques, des minutes, des prélèvements et des photographies numériques de références.

<p>Négatif <input checked="" type="checkbox"/></p> <p style="text-align: center;">OA9785 - Clos de Roque - Saint-Maximin-la-Sainte-Baume - Var - 2011</p> <p>Numéro de structure <input type="text" value="ST1025"/> Secteur <input type="text" value="K18"/> Type de structure <input type="text" value="Dépression"/></p> <p>Date de fouille <input type="text" value="17/06/2011"/> Minutes <input type="text" value=""/></p> <p>Photos <input type="text" value=""/></p> <p>Points topographiques <input type="text" value="PT0448"/></p> <p>X (Lambert III) <input type="text" value="885645.46"/> * (m) Y (Lambert III) <input type="text" value="134870.15"/></p> <p>Altitude supérieure <input type="text" value="286.06"/> Altitude inférieure <input type="text" value="286.03"/></p> <p>forme en coupe <input type="text" value=""/> forme en plan <input type="text" value=""/></p> <p>UPS de scellement <input type="text" value="UPS2"/> UPS encaissants <input type="text" value="UPS3"/></p> <p>diamètre à l'ouverture* <input type="text" value=""/> x <input type="text" value=""/> diamètre maximal* <input type="text" value=""/></p> <p>profondeur observée* <input type="text" value=""/> Volume estimé (m3) <input type="text" value=""/></p> <p>coupe ST <input type="text" value=""/> coupée par ST <input type="text" value=""/></p> <p>Protocole de fouille <input type="text" value="Moitié Sud : fouille par passes manuelles&lt;br/&gt;Moitié Nord : fouille par passes manuelles"/></p> <p>Notes sur la structure <input type="text" value="Tâche"/></p> <p>Comblement <input type="text" value="N-naturel"/> Datation <input type="text" value="Néant"/></p> <p>Légendes de la coupe <input type="text" value="Sédiment limono-argileux brun, meuble, quelques galets de 1 à 2 cm."/></p> <p>Prélèvements <input type="text" value=""/></p> <p>Mobilier <input type="checkbox"/> Tamisage</p> <p>Faune <input type="text" value=""/> Lithique <input type="text" value=""/> Céramique <input type="text" value=""/> Terre crue-cuite <input type="text" value=""/> Métal <input type="text" value=""/> Restes humains <input type="text" value=""/></p> <p>Industrie osseuse <input type="text" value=""/> Macrolithique <input type="text" value=""/> Pierres (en g) <input type="text" value=""/> Parure <input type="text" value=""/> Autres <input type="text" value=""/></p> <p>Malacofaune <input type="text" value=""/> Microfaune <input type="text" value=""/> Carpocestes <input type="text" value=""/> Anthracocrestes <input type="text" value=""/></p>	<p>Négatif <input type="checkbox"/></p> <p style="text-align: center;">OA9785 - Clos de Roque - Saint-Maximin-la-Sainte-Baume - Var - 2011</p> <p>Numéro de structure <input type="text" value="ST1026"/> Secteur <input type="text" value="K18"/> Type de structure <input type="text" value="Fosse de plantation"/></p> <p>Date de fouille <input type="text" value="17/06/2011"/> Minutes <input type="text" value="415"/></p> <p>Photos <input type="text" value="728"/></p> <p>Points topographiques <input type="text" value="PT0429"/></p> <p>X (Lambert III) <input type="text" value="885616.42"/> * (m) Y (Lambert III) <input type="text" value="134874.56"/></p> <p>Altitude supérieure <input type="text" value="286.1"/> Altitude inférieure <input type="text" value="285.96"/></p> <p>forme en coupe <input type="text" value="C"/> forme en plan <input type="text" value="Circulaire"/></p> <p>UPS de scellement <input type="text" value="UPS2"/> UPS encaissants <input type="text" value="UPS3"/></p> <p>diamètre à l'ouverture* <input type="text" value="0.6"/> x <input type="text" value=""/> diamètre maximal* <input type="text" value="0.6"/></p> <p>profondeur observée* <input type="text" value="0.05"/> Volume estimé (m3) <input type="text" value="0.0141"/></p> <p>coupe ST <input type="text" value=""/> coupée par ST <input type="text" value=""/></p> <p>Protocole de fouille <input type="text" value="Moitié Sud : fouille par passes manuelles&lt;br/&gt;Moitié Nord : fouille par passes manuelles"/></p> <p>Notes sur la structure <input type="text" value="Fosse de plantation moderne"/></p> <p>Comblement <input type="text" value="N-naturel"/> Datation <input type="text" value="Historique"/></p> <p>Légendes de la coupe <input type="text" value="Sédiment limono-argileux brun, meuble, quelques galets de 1 à 2 cm."/></p> <p>Prélèvements <input type="text" value=""/></p> <p>Mobilier <input type="checkbox"/> Tamisage</p> <p>Faune <input type="text" value=""/> Lithique <input type="text" value=""/> Céramique <input type="text" value=""/> Terre crue-cuite <input type="text" value=""/> Métal <input type="text" value=""/> Restes humains <input type="text" value=""/></p> <p>Industrie osseuse <input type="text" value=""/> Macrolithique <input type="text" value=""/> Pierres (en g) <input type="text" value=""/> Parure <input type="text" value=""/> Autres <input type="text" value=""/></p> <p>Malacofaune <input type="text" value=""/> Microfaune <input type="text" value=""/> Carpocestes <input type="text" value=""/> Anthracocrestes <input type="text" value=""/></p>
<p>Négatif <input type="checkbox"/></p> <p style="text-align: center;">OA9785 - Clos de Roque - Saint-Maximin-la-Sainte-Baume - Var - 2011</p> <p>Numéro de structure <input type="text" value="ST1027"/> Secteur <input type="text" value="K18"/> Type de structure <input type="text" value="Fosse"/></p> <p>Date de fouille <input type="text" value="17/06/2011"/> Minutes <input type="text" value="363 - 364 - 365"/></p> <p>Photos <input type="text" value="727 - 787 - 796"/></p> <p>Points topographiques <input type="text" value="PT0450 - PT3954 à PT3957 - PT4031 - PT4032 - PT4213 à PT4223"/></p> <p>X (Lambert III) <input type="text" value="885644.16"/> * (m) Y (Lambert III) <input type="text" value="134864.55"/></p> <p>Altitude supérieure <input type="text" value="286.1"/> Altitude inférieure <input type="text" value="285.81"/></p> <p>forme en coupe <input type="text" value="B2"/> forme en plan <input type="text" value="Ovale"/></p> <p>UPS de scellement <input type="text" value="UPS2"/> UPS encaissants <input type="text" value="UPS3"/></p> <p>diamètre à l'ouverture* <input type="text" value="0.57"/> x <input type="text" value="0.45"/> diamètre maximal* <input type="text" value="0.57"/></p> <p>profondeur observée* <input type="text" value="0.28"/> Volume estimé (m3) <input type="text" value="0.0572"/></p> <p>coupe ST <input type="text" value=""/> coupée par ST <input type="text" value=""/></p> <p>Protocole de fouille <input type="text" value="Moitié Nord : fouille par passes à la pelle mécanique&lt;br/&gt;Moitié Sud : fouille par passes manuelles"/></p> <p>Notes sur la structure <input type="text" value="Pas de mobilier"/></p> <p>Comblement <input type="text" value="N-naturel"/> Datation <input type="text" value="Néo/Proto"/></p> <p>Légendes de la coupe <input type="text" value="US1 : sédiment argilo-limoneux de couleur brun, compact et homogène, quelques cailloux de 1 à 5 cm, granules blancs millimétriques abondants, présence de quelques radicales.&lt;br/&gt;US2 : mélange de sédiment de l'US1 et de l'UPS3 (effondrement paroi)"/></p> <p>Prélèvements <input type="text" value=""/></p> <p>Mobilier <input type="checkbox"/> Tamisage</p> <p>Faune <input type="text" value=""/> Lithique <input type="text" value=""/> Céramique <input type="text" value=""/> Terre crue-cuite <input type="text" value=""/> Métal <input type="text" value=""/> Restes humains <input type="text" value=""/></p> <p>Industrie osseuse <input type="text" value=""/> Macrolithique <input type="text" value=""/> Pierres (en g) <input type="text" value=""/> Parure <input type="text" value=""/> Autres <input type="text" value=""/></p> <p>Malacofaune <input type="text" value=""/> Microfaune <input type="text" value=""/> Carpocestes <input type="text" value=""/> Anthracocrestes <input type="text" value=""/></p>	<p>Négatif <input type="checkbox"/></p> <p style="text-align: center;">OA9785 - Clos de Roque - Saint-Maximin-la-Sainte-Baume - Var - 2011</p> <p>Numéro de structure <input type="text" value="ST1028"/> Secteur <input type="text" value="K18"/> Type de structure <input type="text" value="Fosse"/></p> <p>Date de fouille <input type="text" value="17/06/2011"/> Minutes <input type="text" value="366 - 367 - 368"/></p> <p>Photos <input type="text" value="729 - 788 - 797"/></p> <p>Points topographiques <input type="text" value="PT0450 - PT3958 à PT3961 - PT4025 - PT4026 - PT4205 à PT4212"/></p> <p>X (Lambert III) <input type="text" value="885645.37"/> * (m) Y (Lambert III) <input type="text" value="134860.17"/></p> <p>Altitude supérieure <input type="text" value="286.13"/> Altitude inférieure <input type="text" value="285.96"/></p> <p>forme en coupe <input type="text" value="B2"/> forme en plan <input type="text" value="Ovale"/></p> <p>UPS de scellement <input type="text" value="UPS2"/> UPS encaissants <input type="text" value="UPS3"/></p> <p>diamètre à l'ouverture* <input type="text" value="0.55"/> x <input type="text" value=""/> diamètre maximal* <input type="text" value="0.55"/></p> <p>profondeur observée* <input type="text" value="0.15"/> Volume estimé (m3) <input type="text" value="0.0356"/></p> <p>coupe ST <input type="text" value=""/> coupée par ST <input type="text" value=""/></p> <p>Protocole de fouille <input type="text" value="Moitié Nord : fouille par passes à la pelle mécanique&lt;br/&gt;Moitié Sud : fouille par passes manuelles"/></p> <p>Notes sur la structure <input type="text" value="Pas de mobilier"/></p> <p>Comblement <input type="text" value="N-naturel"/> Datation <input type="text" value="Néo/Proto"/></p> <p>Légendes de la coupe <input type="text" value="US1 : sédiment argilo-limoneux de couleur brun, compact et homogène, quelques cailloux de 1 à 5 cm, granules blancs millimétriques abondants, présence de quelques radicales.&lt;br/&gt;US2 : mélange de sédiment de l'US1 et de l'UPS3 (effondrement paroi)"/></p> <p>Prélèvements <input type="text" value=""/></p> <p>Mobilier <input type="checkbox"/> Tamisage</p> <p>Faune <input type="text" value=""/> Lithique <input type="text" value=""/> Céramique <input type="text" value=""/> Terre crue-cuite <input type="text" value=""/> Métal <input type="text" value=""/> Restes humains <input type="text" value=""/></p> <p>Industrie osseuse <input type="text" value=""/> Macrolithique <input type="text" value=""/> Pierres (en g) <input type="text" value=""/> Parure <input type="text" value=""/> Autres <input type="text" value=""/></p> <p>Malacofaune <input type="text" value=""/> Microfaune <input type="text" value=""/> Carpocestes <input type="text" value=""/> Anthracocrestes <input type="text" value=""/></p>

Annexe 3 - Le Clos de Roque, Saint-Maximin-la-Sainte-Baume (83). Inventaire des structures identifiées au décapage par fiches comprenant les indications des points topographiques, des minutes, des prélèvements et des photographies numériques de références.

Négatif <input type="checkbox"/>		OA9785 - Clos de Roque - Saint-Maximin-la-Sainte-Baume - Var - 2011	
Numéro de structure ST1029	Secteur K18	Type de structure Fosse de plantation*	
Date de fouille 17/06/2011	Minutes H16	Photos 733	
Points topographiques PT0452			
X (Lambert III) 885649.23	Y (Lambert III) 134869.21	Altitude supérieure 286.1	
Altitude inférieure 285.95		forme en coupe C	
forme en plan Circulaire		UPS de scellement UPS2	
UPS encaissants UPS3		diamètre à l'ouverture* 0.6	
diamètre maximal* 0.6		profondeur observée* 0.06	
Volume estimé (m3) 0.0145		coupe ST coupée par ST	
Protocole de fouille Moitié Nord : fouille par passes à la pelle mécanique Moitié Sud : fouille par passes manuelles			
Notes sur la structure Fosse circulaire de plantation moderne			
Comblement N-naturel			
Datation Historique			
Légendes de la coupe Sédiment limono-argileux brun, meuble, quelques galets de 1 à 2 cm.			
Prélèvements			
Mobilier			
<input type="checkbox"/> Tamisage			
Faune			
Lithique			
Céramique			
Terre crue-cuite			
Métal			
Restes humains			
Industrie osseuse			
Macroolithique			
Pierres (en g)			
Parure			
Autres			
Malacofaune			
Microfaune			
Carporesses			
Anthracorestes			

Négatif <input checked="" type="checkbox"/>		OA9785 - Clos de Roque - Saint-Maximin-la-Sainte-Baume - Var - 2011	
Numéro de structure ST1030	Secteur K19	Type de structure Dépression	
Date de fouille 17/06/2011	Minutes	Photos	
Points topographiques PT0453			
X (Lambert III) 885655.04	Y (Lambert III) 134866	Altitude supérieure 286.08	
Altitude inférieure 286.05		forme en coupe	
forme en plan		UPS de scellement UPS2	
UPS encaissants UPS3		diamètre à l'ouverture*	
diamètre maximal*		profondeur observée*	
Volume estimé (m3)		coupe ST	
Protocole de fouille Moitié Nord : fouille par passes manuelles Moitié Sud : fouille par passes manuelles			
Notes sur la structure Tâche			
Comblement N-naturel			
Datation Néant			
Légendes de la coupe Sédiment limono-argileux brun, meuble, quelques galets de 1 à 2 cm.			
Prélèvements			
Mobilier			
<input type="checkbox"/> Tamisage			
Faune			
Lithique			
Céramique			
Terre crue-cuite			
Métal			
Restes humains			
Industrie osseuse			
Macroolithique			
Pierres (en g)			
Parure			
Autres			
Malacofaune			
Microfaune			
Carporesses			
Anthracorestes			

Négatif <input checked="" type="checkbox"/>		OA9785 - Clos de Roque - Saint-Maximin-la-Sainte-Baume - Var - 2011	
Numéro de structure ST1031	Secteur K19	Type de structure Dépression	
Date de fouille 17/06/2011	Minutes	Photos	
Points topographiques PT0454			
X (Lambert III) 885654.97	Y (Lambert III) 134865.33	Altitude supérieure 286.07	
Altitude inférieure 286.05		forme en coupe	
forme en plan		UPS de scellement UPS2	
UPS encaissants UPS3		diamètre à l'ouverture*	
diamètre maximal*		profondeur observée*	
Volume estimé (m3)		coupe ST	
Protocole de fouille Moitié Nord : fouille par passes manuelles Moitié Sud : fouille par passes manuelles			
Notes sur la structure Tâche			
Comblement N-naturel			
Datation Néant			
Légendes de la coupe Sédiment limono-argileux brun, meuble, quelques galets de 1 à 2 cm.			
Prélèvements			
Mobilier			
<input type="checkbox"/> Tamisage			
Faune			
Lithique			
Céramique			
Terre crue-cuite			
Métal			
Restes humains			
Industrie osseuse			
Macroolithique			
Pierres (en g)			
Parure			
Autres			
Malacofaune			
Microfaune			
Carporesses			
Anthracorestes			

Négatif <input checked="" type="checkbox"/>		OA9785 - Clos de Roque - Saint-Maximin-la-Sainte-Baume - Var - 2011	
Numéro de structure ST1032	Secteur K19	Type de structure Dépression	
Date de fouille 17/06/2011	Minutes	Photos	
Points topographiques PT0455			
X (Lambert III) 885654.72	Y (Lambert III) 134864.54	Altitude supérieure 286.07	
Altitude inférieure 286.05		forme en coupe	
forme en plan		UPS de scellement UPS2	
UPS encaissants UPS3		diamètre à l'ouverture*	
diamètre maximal*		profondeur observée*	
Volume estimé (m3)		coupe ST	
Protocole de fouille Moitié Nord : fouille par passes à la pelle mécanique Moitié Sud : fouille par passes manuelles			
Notes sur la structure Tâche			
Comblement N-naturel			
Datation Néant			
Légendes de la coupe Sédiment limono-argileux brun, meuble, quelques galets de 1 à 2 cm.			
Prélèvements			
Mobilier			
<input type="checkbox"/> Tamisage			
Faune			
Lithique			
Céramique			
Terre crue-cuite			
Métal			
Restes humains			
Industrie osseuse			
Macroolithique			
Pierres (en g)			
Parure			
Autres			
Malacofaune			
Microfaune			
Carporesses			
Anthracorestes			

Annexe 3 - Le Clos de Roque, Saint-Maximin-la-Sainte-Baume (83). Inventaire des structures identifiées au décapage par fiches comprenant les indications des points topographiques, des minutes, des prélèvements et des photographies numériques de références.

<p>Négatif <input type="checkbox"/></p> <p style="text-align: center;">OA9785 - Clos de Roque - Saint-Maximin-la-Sainte-Baume - Var - 2011</p> <p>Numéro de structure <input type="text" value="ST1033"/> Secteur <input type="text" value="L18"/> Type de structure <input type="text" value="Fosse"/></p> <p>Date de fouille <input type="text" value="17/06/2011"/> Minutes <input type="text" value="709"/></p> <p>Photos <input type="text"/></p> <p>Points topographiques <input type="text" value="PT0456 - PT3970 à PT3973 - PT6847 à PT6858"/></p> <p>X (Lambert III) <input type="text" value="885648.13"/> * (m) Y (Lambert III) <input type="text" value="134850.52"/></p> <p>Altitude supérieure <input type="text" value="286.12"/> Altitude inférieure <input type="text" value="285.26"/></p> <p>forme en coupe <input type="text" value="F1"/> forme en plan <input type="text" value="Ovalaire"/></p> <p>UPS de scellement <input type="text" value="UPS2"/> UPS encaissants <input type="text" value="UPS3"/></p> <p>diamètre à l'ouverture* <input type="text" value="1.6"/> x <input type="text" value="1.4"/> diamètre maximal* <input type="text"/></p> <p>profondeur observée* <input type="text" value="0.9"/> Volume estimé (m3) <input type="text" value="1.5904"/></p> <p>coupe ST <input type="text"/></p> <p>Protocole de fouille <input type="text" value="Moitié Nord : fouille par passes à la pelle mécanique&lt;br/&gt;Moitié Sud : fouille par passes à la pelle mécanique"/></p> <p>Notes sur la structure <input type="text" value="Fosse moderne contenant le squelette d'un cheval. Légère odeur à l'ouverture, sans doute décomposition remontant à quelques dizaines d'années maximums."/></p> <p>Comblement <input type="text" value="A-anthropique"/> Datation <input type="text" value="Historique"/></p> <p>Légendes de la coupe <input type="text" value="Sédiment limono-argileux brun, meuble, avec quelques galets de 1 à 2 cm peu abondants. Sédiment présent par lentilles dans l'UPS3 qui constitue l'essentiel du comblement. Sédiment de couleur verdâtre autour du squelette, nombreux vides présents autour des ossements."/></p> <p>Prélèvements <input type="text"/></p> <p>Mobilier <input type="checkbox"/> Tamisage</p> <p>Faune <input type="text"/> Lithique <input type="text"/> Céramique <input type="text"/> Terre crue-cuite <input type="text"/> Métal <input type="text"/> Restes humains <input type="text"/></p> <p>Industrie osseuse <input type="text"/> Macroolithique <input type="text"/> Pierres (en g) <input type="text"/> Parure <input type="text"/> Autres <input type="text"/></p> <p>Malacofaune <input type="text"/> Microfaune <input type="text"/> Carporesses <input type="text"/> Anthracorestes <input type="text"/></p>	<p>Négatif <input type="checkbox"/></p> <p style="text-align: center;">OA9785 - Clos de Roque - Saint-Maximin-la-Sainte-Baume - Var - 2011</p> <p>Numéro de structure <input type="text" value="ST1034"/> Secteur <input type="text" value="L18"/> Type de structure <input type="text" value="Fosse"/></p> <p>Date de fouille <input type="text" value="17/06/2011"/> Minutes <input type="text" value="369 - 370 - 371"/></p> <p>Photos <input type="text"/></p> <p>Points topographiques <input type="text" value="PT0457 - PT3966 à PT3969 - PT4224 à PT4232 - PT4027 - PT4028"/></p> <p>X (Lambert III) <input type="text" value="885659.2"/> * (m) Y (Lambert III) <input type="text" value="134851.71"/></p> <p>Altitude supérieure <input type="text" value="286.12"/> Altitude inférieure <input type="text" value="285.91"/></p> <p>forme en coupe <input type="text" value="B2"/> forme en plan <input type="text" value="Circulaire"/></p> <p>UPS de scellement <input type="text" value="UPS2"/> UPS encaissants <input type="text" value="UPS3"/></p> <p>diamètre à l'ouverture* <input type="text" value="0.87"/> x <input type="text"/> diamètre maximal* <input type="text" value="0.87"/></p> <p>profondeur observée* <input type="text" value="0.28"/> Volume estimé (m3) <input type="text" value="0.1665"/></p> <p>coupe ST <input type="text"/></p> <p>Protocole de fouille <input type="text" value="Moitié Est : fouille par passes à la pelle mécanique&lt;br/&gt;Moitié Ouest : fouille par passes manuelles"/></p> <p>Notes sur la structure <input type="text" value="Tessons millimétriques de céramiques non tournées, non ramassés."/></p> <p>Comblement <input type="text" value="N-naturel"/> Datation <input type="text" value="Néo/Proto"/></p> <p>Légendes de la coupe <input type="text" value="US1 : sédiment argilo-limoneux de couleur brun, compact et homogène, quelques cailloux de 1 à 5 cm, granules blancs millimétriques abondants, présence de quelques racines.&lt;br/&gt;US2 : mélange de sédiment de l'US1 et de l'UPS3 (effondrement paroi)"/></p> <p>Prélèvements <input type="text"/></p> <p>Mobilier <input type="checkbox"/> Tamisage</p> <p>Faune <input type="text"/> Lithique <input type="text"/> Céramique <input type="text"/> Terre crue-cuite <input type="text"/> Métal <input type="text"/> Restes humains <input type="text"/></p> <p>Industrie osseuse <input type="text"/> Macroolithique <input type="text"/> Pierres (en g) <input type="text"/> Parure <input type="text"/> Autres <input type="text"/></p> <p>Malacofaune <input type="text"/> Microfaune <input type="text"/> Carporesses <input type="text"/> Anthracorestes <input type="text"/></p>
<p>Négatif <input checked="" type="checkbox"/></p> <p style="text-align: center;">OA9785 - Clos de Roque - Saint-Maximin-la-Sainte-Baume - Var - 2011</p> <p>Numéro de structure <input type="text" value="ST1036"/> Secteur <input type="text" value="L19"/> Type de structure <input type="text" value="Dépression"/></p> <p>Date de fouille <input type="text" value="17/06/2011"/> Minutes <input type="text"/></p> <p>Photos <input type="text"/></p> <p>Points topographiques <input type="text" value="PT0459"/></p> <p>X (Lambert III) <input type="text" value="885660.13"/> * (m) Y (Lambert III) <input type="text" value="134857.8"/></p> <p>Altitude supérieure <input type="text" value="286.04"/> Altitude inférieure <input type="text" value="286.02"/></p> <p>forme en coupe <input type="text"/> forme en plan <input type="text" value="Circulaire"/></p> <p>UPS de scellement <input type="text" value="UPS2"/> UPS encaissants <input type="text" value="UPS3"/></p> <p>diamètre à l'ouverture* <input type="text"/> x <input type="text"/> diamètre maximal* <input type="text"/></p> <p>profondeur observée* <input type="text"/> Volume estimé (m3) <input type="text"/></p> <p>coupe ST <input type="text"/></p> <p>Protocole de fouille <input type="text" value="Moitié Nord : fouille par passes manuelles&lt;br/&gt;Moitié Sud : fouille par passes manuelles"/></p> <p>Notes sur la structure <input type="text" value="Tâche"/></p> <p>Comblement <input type="text" value="N-naturel"/> Datation <input type="text" value="Néant"/></p> <p>Légendes de la coupe <input type="text" value="Sédiment limono-argileux brun, meuble, quelques galets de 1 à 2 cm."/></p> <p>Prélèvements <input type="text"/></p> <p>Mobilier <input type="checkbox"/> Tamisage</p> <p>Faune <input type="text"/> Lithique <input type="text"/> Céramique <input type="text"/> Terre crue-cuite <input type="text"/> Métal <input type="text"/> Restes humains <input type="text"/></p> <p>Industrie osseuse <input type="text"/> Macroolithique <input type="text"/> Pierres (en g) <input type="text"/> Parure <input type="text"/> Autres <input type="text"/></p> <p>Malacofaune <input type="text"/> Microfaune <input type="text"/> Carporesses <input type="text"/> Anthracorestes <input type="text"/></p>	<p>Négatif <input checked="" type="checkbox"/></p> <p style="text-align: center;">OA9785 - Clos de Roque - Saint-Maximin-la-Sainte-Baume - Var - 2011</p> <p>Numéro de structure <input type="text" value="ST1035"/> Secteur <input type="text" value="L20"/> Type de structure <input type="text" value="Dépression"/></p> <p>Date de fouille <input type="text" value="17/06/2011"/> Minutes <input type="text"/></p> <p>Photos <input type="text"/></p> <p>Points topographiques <input type="text" value="PT0458"/></p> <p>X (Lambert III) <input type="text" value="885659.37"/> * (m) Y (Lambert III) <input type="text" value="134855.66"/></p> <p>Altitude supérieure <input type="text" value="286.07"/> Altitude inférieure <input type="text" value="286.06"/></p> <p>forme en coupe <input type="text"/> forme en plan <input type="text" value="Circulaire"/></p> <p>UPS de scellement <input type="text" value="UPS2"/> UPS encaissants <input type="text" value="UPS3"/></p> <p>diamètre à l'ouverture* <input type="text"/> x <input type="text"/> diamètre maximal* <input type="text"/></p> <p>profondeur observée* <input type="text"/> Volume estimé (m3) <input type="text"/></p> <p>coupe ST <input type="text"/></p> <p>Protocole de fouille <input type="text" value="Moitié Nord : fouille par passes manuelles&lt;br/&gt;Moitié Sud : fouille par passes manuelles"/></p> <p>Notes sur la structure <input type="text" value="Tâche"/></p> <p>Comblement <input type="text" value="N-naturel"/> Datation <input type="text" value="Néant"/></p> <p>Légendes de la coupe <input type="text" value="Sédiment limono-argileux brun, meuble, quelques galets de 1 à 2 cm."/></p> <p>Prélèvements <input type="text"/></p> <p>Mobilier <input type="checkbox"/> Tamisage</p> <p>Faune <input type="text"/> Lithique <input type="text"/> Céramique <input type="text"/> Terre crue-cuite <input type="text"/> Métal <input type="text"/> Restes humains <input type="text"/></p> <p>Industrie osseuse <input type="text"/> Macroolithique <input type="text"/> Pierres (en g) <input type="text"/> Parure <input type="text"/> Autres <input type="text"/></p> <p>Malacofaune <input type="text"/> Microfaune <input type="text"/> Carporesses <input type="text"/> Anthracorestes <input type="text"/></p>

Annexe 3 - Le Clos de Roque, Saint-Maximin-la-Sainte-Baume (83). Inventaire des structures identifiées au décapage par fiches comprenant les indications des points topographiques, des minutes, des prélèvements et des photographies numériques de références.

Négatif

OA9785 - Clos de Roque - Saint-Maximin-la-Sainte-Baume - Var - 2011

Numéro de structure  Secteur  Type de structure

Date de fouille  Minutes

Photos

Points topographiques

X (Lambert III)  \* (m) Y (Lambert III)

Altitude supérieure  Altitude inférieure

forme en coupe

forme en plan

UPS de scellement  UPS encaissants

diamètre à l'ouverture\*  x  diamètre maximal\*

profondeur observée\*  Volume estimé (m3)

coupe ST  coupée par ST

Protocole de fouille   
Moitié Sud : fouille par passes manuelles

Notes sur la structure

Comblement  Datation

Légendes de la coupe

Prélèvements

Mobilier  Tamisage

Faune  Lithique  Céramique  Terre crue-cuite  Métal  Restes humains

Industrie osseuse  Macroolithique  Pierres (en g)  Parure  Autres

Malacofaune  Microfaune  Carporesses  Anthracorestes

Négatif

OA9785 - Clos de Roque - Saint-Maximin-la-Sainte-Baume - Var - 2011

Numéro de structure  Secteur  Type de structure

Date de fouille  Minutes

Photos

Points topographiques

X (Lambert III)  \* (m) Y (Lambert III)

Altitude supérieure  Altitude inférieure

forme en coupe

forme en plan

UPS de scellement  UPS encaissants

diamètre à l'ouverture\*  x  diamètre maximal\*

profondeur observée\*  Volume estimé (m3)

coupe ST  coupée par ST

Protocole de fouille   
Moitié Sud : fouille par passes manuelles

Notes sur la structure

Comblement  Datation

Légendes de la coupe

Prélèvements

Mobilier  Tamisage

Faune  Lithique  Céramique  Terre crue-cuite  Métal  Restes humains

Industrie osseuse  Macroolithique  Pierres (en g)  Parure  Autres

Malacofaune  Microfaune  Carporesses  Anthracorestes

Négatif

OA9785 - Clos de Roque - Saint-Maximin-la-Sainte-Baume - Var - 2011

Numéro de structure  Secteur  Type de structure

Date de fouille  Minutes

Photos

Points topographiques

X (Lambert III)  \* (m) Y (Lambert III)

Altitude supérieure  Altitude inférieure

forme en coupe  forme en plan

UPS de scellement  UPS encaissants

diamètre à l'ouverture\*  x  diamètre maximal\*

profondeur observée\*  Volume estimé (m3)

coupe ST  coupée par ST

Protocole de fouille   
Moitié Sud : fouille par passes à la pelle mécanique

Notes sur la structure

Comblement  Datation

Légendes de la coupe

Prélèvements

Mobilier  Tamisage

Faune  Lithique  Céramique  Terre crue-cuite  Métal  Restes humains

Industrie osseuse  Macroolithique  Pierres (en g)  Parure  Autres

Malacofaune  Microfaune  Carporesses  Anthracorestes

Présence  Présence

Négatif

OA9785 - Clos de Roque - Saint-Maximin-la-Sainte-Baume - Var - 2011

Numéro de structure  Secteur  Type de structure

Date de fouille  Minutes

Photos

Points topographiques

X (Lambert III)  \* (m) Y (Lambert III)

Altitude supérieure  Altitude inférieure

forme en coupe

forme en plan

UPS de scellement  UPS encaissants

diamètre à l'ouverture\*  x  diamètre maximal\*

profondeur observée\*  Volume estimé (m3)

coupe ST  coupée par ST

Protocole de fouille   
Moitié Sud : fouille par passes manuelles

Notes sur la structure

Comblement  Datation

Légendes de la coupe

Prélèvements

Mobilier  Tamisage

Faune  Lithique  Céramique  Terre crue-cuite  Métal  Restes humains

Industrie osseuse  Macroolithique  Pierres (en g)  Parure  Autres

Malacofaune  Microfaune  Carporesses  Anthracorestes

Annexe 3 - Le Clos de Roque, Saint-Maximin-la-Sainte-Baume (83). Inventaire des structures identifiées au décapage par fiches comprenant les indications des points topographiques, des minutes, des prélèvements et des photographies numériques de références.

Négatif <input type="checkbox"/> OA9785 - Clos de Roque - Saint-Maximin-la-Sainte-Baume - Var - 2011		Négatif <input type="checkbox"/> OA9785 - Clos de Roque - Saint-Maximin-la-Sainte-Baume - Var - 2011	
Numéro de structure <input type="text" value="ST1041"/> Secteur <input type="text" value="K15"/> Type de structure <input type="text" value="Fosse"/>	Numéro de structure <input type="text" value="ST1042"/> Secteur <input type="text" value="L14"/> Type de structure <input type="text" value="Fosse"/>	Numéro de structure <input type="text" value="ST1043"/> Secteur <input type="text" value="L15"/> Type de structure <input type="text" value="Fosse de plantation"/>	Numéro de structure <input type="text" value="ST1044"/> Secteur <input type="text" value="L15"/> Type de structure <input type="text" value="Fosse"/>
Date de fouille <input type="text" value="16/06/2011"/> Minutes <input type="text" value="329 - 330 - 331"/>	Date de fouille <input type="text" value="15/06/2011"/> Minutes <input type="text" value="332 - 333"/>	Date de fouille <input type="text" value="16/06/2011"/> Minutes <input type="text" value="316"/>	Date de fouille <input type="text" value="16/06/2011"/> Minutes <input type="text" value="334 - 335 - 336"/>
Photos <input type="text" value="615 - 694 - 714"/>	Photos <input type="text" value="639 - 670 - 697"/>	Photos <input type="text" value="638"/>	Photos <input type="text" value="637 - 702 - 718"/>
Points topographiques <input type="text" value="PT0499 - PT3487 à PT3490 - PT3819 à PT3820 - PT3886 à PT3889"/>	Points topographiques <input type="text" value="PT0500 - PT3607 à PT3610 - PT3806 à PT3807"/>	Points topographiques <input type="text" value="PT0501 - PT3583 à PT3586"/>	Points topographiques <input type="text" value="PT0502 - PT3571 à PT3574 - PT3834 - PT3835 - PT3916 à PT3922"/>
X (Lambert III) <input type="text" value="885613.23"/> * (m) Y (Lambert III) <input type="text" value="134864.6"/>	X (Lambert III) <input type="text" value="885608.89"/> * (m) Y (Lambert III) <input type="text" value="134858.08"/>	X (Lambert III) <input type="text" value="885613.63"/> * (m) Y (Lambert III) <input type="text" value="134856.78"/>	X (Lambert III) <input type="text" value="885615.57"/> * (m) Y (Lambert III) <input type="text" value="134857.80"/>
Altitude supérieure <input type="text" value="286.14"/> Altitude inférieure <input type="text" value="285.87"/>	Altitude supérieure <input type="text" value="286.18"/> Altitude inférieure <input type="text" value="285.55"/>	Altitude supérieure <input type="text" value="286.2"/> Altitude inférieure <input type="text" value="286.05"/>	Altitude supérieure <input type="text" value="286.18"/> Altitude inférieure <input type="text" value="285.9"/>
forme en coupe <input type="text" value="B2"/> forme en plan <input type="text" value="Circulaire"/>	forme en coupe <input type="text" value="F1"/> forme en plan <input type="text" value="Circulaire"/>	forme en coupe <input type="text" value="C"/> forme en plan <input type="text" value="Circulaire"/>	forme en coupe <input type="text" value="B2"/> forme en plan <input type="text" value="Circulaire"/>
UPS de scellement <input type="text" value="UPS2"/> UPS encaissants <input type="text" value="UPS3"/>	UPS de scellement <input type="text" value="UPS2"/> UPS encaissants <input type="text" value="UPS3"/>	UPS de scellement <input type="text" value="UPS2"/> UPS encaissants <input type="text" value="UPS3"/>	UPS de scellement <input type="text" value="UPS2"/> UPS encaissants <input type="text" value="UPS3"/>
diamètre à l'ouverture* <input type="text" value="0.60"/> x <input type="text" value=""/> diamètre maximal* <input type="text" value="0.60"/>	diamètre à l'ouverture* <input type="text" value="1.7"/> x <input type="text" value=""/> diamètre maximal* <input type="text" value="1.7"/>	diamètre à l'ouverture* <input type="text" value="0.53"/> x <input type="text" value=""/> diamètre maximal* <input type="text" value="0.53"/>	diamètre à l'ouverture* <input type="text" value="0.7"/> x <input type="text" value=""/> diamètre maximal* <input type="text" value="0.7"/>
profondeur observée* <input type="text" value="0.28"/> Volume estimé (m3) <input type="text" value="0.0792"/>	profondeur observée* <input type="text" value="0.63"/> Volume estimé (m3) <input type="text" value="1.43"/>	profondeur observée* <input type="text" value="0.15"/> Volume estimé (m3) <input type="text" value="0.01159"/>	profondeur observée* <input type="text" value="0.30"/> Volume estimé (m3) <input type="text" value="0.1155"/>
coupe ST <input type="text" value=""/> coupée par ST <input type="text" value=""/>	coupe ST <input type="text" value=""/> coupée par ST <input type="text" value=""/>	coupe ST <input type="text" value=""/> coupée par ST <input type="text" value=""/>	coupe ST <input type="text" value=""/> coupée par ST <input type="text" value=""/>
Protocole de fouille <input type="text" value="Moitié Nord : fouille par passes manuelles&lt;br/&gt;Moitié Sud : fouille par passes à la pelle mécanique"/>	Protocole de fouille <input type="text" value="Moitié Nord : fouille par passes à la pelle mécanique&lt;br/&gt;Moitié Sud : fouille par passes à la pelle mécanique"/>	Protocole de fouille <input type="text" value="Moitié Nord : non fouillée&lt;br/&gt;Moitié Sud : fouille par passes à la pelle mécanique"/>	Protocole de fouille <input type="text" value="Moitié Nord : fouille par passes manuelles&lt;br/&gt;Moitié Sud : fouille par passes à la pelle mécanique"/>
Notes sur la structure <input type="text"/>	Notes sur la structure <input type="text" value="FOSSE TRONCONIQUE CIRCULAIRE"/>	Notes sur la structure <input type="text" value="Fosse de plantation moderne"/>	Notes sur la structure <input type="text"/>
Comblement <input type="text" value="N-naturel"/> Datation <input type="text" value="Néo/Proto"/>	Comblement <input type="text" value="AN-anthropique et"/> Datation <input type="text" value="Néolithique final ind"/>	Comblement <input type="text" value="N-naturel"/> Datation <input type="text" value="Historique"/>	Comblement <input type="text" value="N-naturel"/> Datation <input type="text" value="Néo/Proto"/>
Légendes de la coupe <input type="text" value="US1 : sédiment argilo-limoneux de couleur brun foncé, compact et homogène, quelques cailloux de 1 à 5 cm, granules blancs millimétriques peu abondants, présence de quelques radicelles.&lt;br/&gt;US2 : mélange de sédiment de l'US1 et de l'UPS3 (effondrement paroi)"/>	Légendes de la coupe <input type="text" value="US1 : sédiment argilo-limoneux de couleur brun foncé, compact et homogène, quelques cailloux de 1 à 5 cm, granules blancs millimétriques peu abondants, présence de quelques radicelles.&lt;br/&gt;US2 : mélange de sédiment de l'US1 et de l'UPS3 (effondrement paroi)&lt;br/&gt;US3 : sédiment argilo-limoneux de couleur brun foncé, compact et homogène, quelques cailloux de 1 à 5 cm, granules blancs millimétriques abondants."/>	Légendes de la coupe <input type="text" value="Sédiment limono-argileux brun, meuble, quelques galets de 1 à 2 cm."/>	Légendes de la coupe <input type="text" value="US1 : sédiment argilo-limoneux de couleur brun foncé, compact et homogène, quelques cailloux de 1 à 5 cm, quelques charbons millimétriques, granules blancs millimétriques abondants, présence de quelques radicelles.&lt;br/&gt;US2 : mélange de sédiment de l'US1 et de l'UPS3 (effondrement paroi)"/>
Prélèvements <input type="text"/>	Prélèvements <input type="text"/>	Prélèvements <input type="text"/>	Prélèvements <input type="text"/>
Mobilier <input type="checkbox"/> Tamisage <input type="checkbox"/>	Mobilier <input type="checkbox"/> Tamisage <input checked="" type="checkbox"/>	Mobilier <input type="checkbox"/> Tamisage <input type="checkbox"/>	Mobilier <input type="checkbox"/> Tamisage <input checked="" type="checkbox"/>
Faune <input type="text"/> Lithique <input type="text"/> Céramique <input type="text"/> Terre crue-cuite <input type="text"/> Métal <input type="text"/> Restes humains <input type="text"/>	Faune <input type="text" value="58"/> Lithique <input type="text"/> Céramique <input type="text" value="3"/> Terre crue-cuite <input type="text"/> Métal <input type="text"/> Restes humains <input type="text"/>	Faune <input type="text"/> Lithique <input type="text"/> Céramique <input type="text"/> Terre crue-cuite <input type="text"/> Métal <input type="text"/> Restes humains <input type="text"/>	Faune <input type="text" value="3"/> Lithique <input type="text"/> Céramique <input type="text" value="1"/> Terre crue-cuite <input type="text"/> Métal <input type="text"/> Restes humains <input type="text"/>
Industrie osseuse <input type="text"/> Macrolithique <input type="text"/> Pierres (en g) <input type="text"/> Parure <input type="text"/> Autres <input type="text"/>	Industrie osseuse <input type="text"/> Macrolithique <input type="text"/> Pierres (en g) <input type="text"/> Parure <input type="text"/> Autres <input type="text" value="1 bloc de silex brut"/>	Industrie osseuse <input type="text"/> Macrolithique <input type="text"/> Pierres (en g) <input type="text"/> Parure <input type="text"/> Autres <input type="text"/>	Industrie osseuse <input type="text"/> Macrolithique <input type="text"/> Pierres (en g) <input type="text"/> Parure <input type="text"/> Autres <input type="text"/>
Malacofaune <input type="text"/> Microfaune <input type="text"/> Carporesses <input type="text"/> Anthracorestes <input type="text"/>	Malacofaune <input type="text"/> Microfaune <input type="text"/> Carporesses <input type="text"/> Anthracorestes <input type="text"/>	Malacofaune <input type="text"/> Microfaune <input type="text"/> Carporesses <input type="text"/> Anthracorestes <input type="text"/>	Malacofaune <input type="text" value="Présence"/> Microfaune <input type="text"/> Carporesses <input type="text"/> Anthracorestes <input type="text" value="Présence"/>

Annexe 3 - Le Clos de Roque, Saint-Maximin-la-Sainte-Baume (83). Inventaire des structures identifiées au décapage par fiches comprenant les indications des points topographiques, des minutes, des prélèvements et des photographies numériques de références.



Négatif

OA9785 - Clos de Roque - Saint-Maximin-la-Sainte-Baume - Var - 2011

Numéro de structure  Secteur  Type de structure    
 Date de fouille  Minutes    
 Photos

Points topographiques

X (Lambert III)  \* (m) Y (Lambert III)    
 Altitude supérieure  Altitude inférieure    
 forme en coupe  forme en plan

UPS de scellement  UPS encaissants    
 diamètre à l'ouverture\*  x  diamètre maximal\*    
 profondeur observée\*  Volume estimé (m3)    
 coupe ST

Protocole de fouille

Notes sur la structure

Comblement  Datation

Légendes de la coupe

Prélèvements

Mobilier  Tamisage  Restes humains

Faune	Lithique	Céramique	Terre crue-cuite	Métal	Restes humains
<input type="text"/>	<input type="text"/>	<input type="text"/>	<input type="text"/>	<input type="text"/>	<input type="text"/>
Industrie osseuse	Macrolithique	Pierres (en g)	Parure	Autres	
<input type="text"/>	<input type="text"/>	<input type="text"/>	<input type="text"/>	<input type="text"/>	
Malacofaune	Microfaune	Carporestes	Anthracorestes	<input type="text"/>	
<input type="text"/>	<input type="text"/>	<input type="text"/>	<input type="text"/>	<input type="text"/>	

Négatif

OA9785 - Clos de Roque - Saint-Maximin-la-Sainte-Baume - Var - 2011

Numéro de structure  Secteur  Type de structure    
 Date de fouille  Minutes    
 Photos

Points topographiques

X (Lambert III)  \* (m) Y (Lambert III)    
 Altitude supérieure  Altitude inférieure    
 forme en coupe  forme en plan

UPS de scellement  UPS encaissants    
 diamètre à l'ouverture\*  x  diamètre maximal\*    
 profondeur observée\*  Volume estimé (m3)    
 coupe ST

Protocole de fouille

Notes sur la structure

Comblement  Datation

Légendes de la coupe

Prélèvements

Mobilier  Tamisage  Restes humains

Faune	Lithique	Céramique	Terre crue-cuite	Métal	Restes humains
<input type="text"/>	<input type="text"/>	<input type="text"/>	<input type="text"/>	<input type="text"/>	<input type="text"/>
Industrie osseuse	Macrolithique	Pierres (en g)	Parure	Autres	
<input type="text"/>	<input type="text"/>	<input type="text"/>	<input type="text"/>	<input type="text"/>	
Malacofaune	Microfaune	Carporestes	Anthracorestes	<input type="text"/>	
<input type="text"/>	<input type="text"/>	<input type="text"/>	<input type="text"/>	<input type="text"/>	

Négatif

OA9785 - Clos de Roque - Saint-Maximin-la-Sainte-Baume - Var - 2011

Numéro de structure  Secteur  Type de structure    
 Date de fouille  Minutes    
 Photos

Points topographiques

X (Lambert III)  \* (m) Y (Lambert III)    
 Altitude supérieure  Altitude inférieure    
 forme en coupe  forme en plan

UPS de scellement  UPS encaissants    
 diamètre à l'ouverture\*  x  diamètre maximal\*    
 profondeur observée\*  Volume estimé (m3)    
 coupe ST

Protocole de fouille

Notes sur la structure

Comblement  Datation

Légendes de la coupe

Prélèvements

Mobilier  Tamisage  Restes humains

Faune	Lithique	Céramique	Terre crue-cuite	Métal	Restes humains
<input type="text"/>	<input type="text"/>	<input type="text"/>	<input type="text"/>	<input type="text"/>	<input type="text"/>
Industrie osseuse	Macrolithique	Pierres (en g)	Parure	Autres	
<input type="text"/>	<input type="text"/>	<input type="text"/>	<input type="text"/>	<input type="text"/>	
Malacofaune	Microfaune	Carporestes	Anthracorestes	<input type="text"/>	
<input type="text"/>	<input type="text"/>	<input type="text"/>	<input type="text"/>	<input type="text"/>	

Négatif

OA9785 - Clos de Roque - Saint-Maximin-la-Sainte-Baume - Var - 2011

Numéro de structure  Secteur  Type de structure    
 Date de fouille  Minutes    
 Photos

Points topographiques

X (Lambert III)  \* (m) Y (Lambert III)    
 Altitude supérieure  Altitude inférieure    
 forme en coupe  forme en plan

UPS de scellement  UPS encaissants    
 diamètre à l'ouverture\*  x  diamètre maximal\*    
 profondeur observée\*  Volume estimé (m3)    
 coupe ST

Protocole de fouille

Notes sur la structure

Comblement  Datation

Légendes de la coupe

Prélèvements

Mobilier  Tamisage  Restes humains

Faune	Lithique	Céramique	Terre crue-cuite	Métal	Restes humains
<input type="text" value="24"/>	<input type="text"/>	<input type="text"/>	<input type="text"/>	<input type="text"/>	<input type="text"/>
Industrie osseuse	Macrolithique	Pierres (en g)	Parure	Autres	
<input type="text"/>	<input type="text"/>	<input type="text"/>	<input type="text"/>	<input type="text"/>	
Malacofaune	Microfaune	Carporestes	Anthracorestes	<input type="text"/>	
<input type="text"/>	<input type="text"/>	<input type="text"/>	<input type="text"/>	<input type="text"/>	

Annexe 3 - Le Clos de Roque, Saint-Maximin-la-Sainte-Baume (83). Inventaire des structures identifiées au décapage par fiches comprenant les indications des points topographiques, des minutes, des prélèvements et des photographies numériques de références.

Négatif

OA9785 - Clos de Roque - Saint-Maximin-la-Sainte-Baume - Var - 2011

Numéro de structure  Secteur  Type de structure

Date de fouille  Minutes

Photos

Points topographiques

X (Lambert III)  \* (m) Y (Lambert III)

Altitude supérieure  Altitude inférieure

forme en coupe  forme en plan

UPS de scellement  UPS encaissants

diamètre à l'ouverture\*  x  diamètre maximal\*

profondeur observée\*  Volume estimé (m3)

coupe ST  coupée par ST

Protocole de fouille

Notes sur la structure

Comblement  Datation

Légendes de la coupe

Prélèvements

Mobilier  Tamisage

Faune	Lithique	Céramique	Terre crue-cuite	Métal	Restes humains
<input type="text" value="21"/>	<input type="text" value=""/>	<input type="text" value="20"/>	<input type="text" value="Présence"/>	<input type="text" value=""/>	<input type="text" value=""/>
Industrie osseuse	Macrolithique	Pierres (en g)	Parure	Autres	
<input type="text" value=""/>	<input type="text" value="775"/>	<input type="text" value=""/>	<input type="text" value=""/>	<input type="text" value=""/>	
Malacofaune	Microfaune	Carporesses	Anthracorestes	<input type="text" value=""/>	
<input type="text" value=""/>	<input type="text" value=""/>	<input type="text" value=""/>	<input type="text" value=""/>	<input type="text" value=""/>	

Négatif

OA9785 - Clos de Roque - Saint-Maximin-la-Sainte-Baume - Var - 2011

Numéro de structure  Secteur  Type de structure

Date de fouille  Minutes

Photos

Points topographiques

X (Lambert III)  \* (m) Y (Lambert III)

Altitude supérieure  Altitude inférieure

forme en coupe  forme en plan

UPS de scellement  UPS encaissants

diamètre à l'ouverture\*  x  diamètre maximal\*

profondeur observée\*  Volume estimé (m3)

coupe ST  coupée par ST

Protocole de fouille

Notes sur la structure

Comblement  Datation

Légendes de la coupe

Prélèvements

Mobilier  Tamisage

Faune	Lithique	Céramique	Terre crue-cuite	Métal	Restes humains
<input type="text" value="99"/>	<input type="text" value="4"/>	<input type="text" value="96"/>	<input type="text" value=""/>	<input type="text" value=""/>	<input type="text" value=""/>
Industrie osseuse	Macrolithique	Pierres (en g)	Parure	Autres	
<input type="text" value=""/>	<input type="text" value=""/>	<input type="text" value="160"/>	<input type="text" value=""/>	<input type="text" value="quartz, un fragment de moule"/>	
Malacofaune	Microfaune	Carporesses	Anthracorestes	<input type="text" value=""/>	
<input type="text" value="Présence"/>	<input type="text" value=""/>	<input type="text" value=""/>	<input type="text" value=""/>	<input type="text" value=""/>	

Négatif

OA9785 - Clos de Roque - Saint-Maximin-la-Sainte-Baume - Var - 2011

Numéro de structure  Secteur  Type de structure

Date de fouille  Minutes

Photos

Points topographiques

X (Lambert III)  \* (m) Y (Lambert III)

Altitude supérieure  Altitude inférieure

forme en coupe  forme en plan

UPS de scellement  UPS encaissants

diamètre à l'ouverture\*  x  diamètre maximal\*

profondeur observée\*  Volume estimé (m3)

coupe ST  coupée par ST

Protocole de fouille

Notes sur la structure

Comblement  Datation

Légendes de la coupe

Prélèvements

Mobilier  Tamisage

Faune	Lithique	Céramique	Terre crue-cuite	Métal	Restes humains
<input type="text" value=""/>	<input type="text" value=""/>	<input type="text" value=""/>	<input type="text" value=""/>	<input type="text" value=""/>	<input type="text" value=""/>
Industrie osseuse	Macrolithique	Pierres (en g)	Parure	Autres	
<input type="text" value=""/>	<input type="text" value=""/>	<input type="text" value=""/>	<input type="text" value=""/>	<input type="text" value=""/>	
Malacofaune	Microfaune	Carporesses	Anthracorestes	<input type="text" value=""/>	
<input type="text" value=""/>	<input type="text" value=""/>	<input type="text" value=""/>	<input type="text" value=""/>	<input type="text" value=""/>	

Négatif

OA9785 - Clos de Roque - Saint-Maximin-la-Sainte-Baume - Var - 2011

Numéro de structure  Secteur  Type de structure

Date de fouille  Minutes

Photos

Points topographiques

X (Lambert III)  \* (m) Y (Lambert III)

Altitude supérieure  Altitude inférieure

forme en coupe  forme en plan

UPS de scellement  UPS encaissants

diamètre à l'ouverture\*  x  diamètre maximal\*

profondeur observée\*  Volume estimé (m3)

coupe ST  coupée par ST

Protocole de fouille

Notes sur la structure

Comblement  Datation

Légendes de la coupe

Prélèvements

Mobilier  Tamisage

Faune	Lithique	Céramique	Terre crue-cuite	Métal	Restes humains
<input type="text" value=""/>	<input type="text" value=""/>	<input type="text" value=""/>	<input type="text" value=""/>	<input type="text" value=""/>	<input type="text" value=""/>
Industrie osseuse	Macrolithique	Pierres (en g)	Parure	Autres	
<input type="text" value=""/>	<input type="text" value=""/>	<input type="text" value=""/>	<input type="text" value=""/>	<input type="text" value=""/>	
Malacofaune	Microfaune	Carporesses	Anthracorestes	<input type="text" value=""/>	
<input type="text" value=""/>	<input type="text" value=""/>	<input type="text" value=""/>	<input type="text" value=""/>	<input type="text" value=""/>	

Annexe 3 - Le Clos de Roque, Saint-Maximin-la-Sainte-Baume (83). Inventaire des structures identifiées au décapage par fiches comprenant les indications des points topographiques, des minutes, des prélèvements et des photographies numériques de références.

Négatif

OA9785 - Clos de Roque - Saint-Maximin-la-Sainte-Baume - Var - 2011

Numéro de structure  Secteur  Type de structure

Date de fouille  Minutes

Photos

Points topographiques

X (Lambert III)  \* (m) Y (Lambert III)

Altitude supérieure  Altitude inférieure

forme en coupe  forme en plan

UPS de scellement  UPS encaissants

diamètre à l'ouverture\*  x  diamètre maximal\*

profondeur observée\*  Volume estimé (m3)

coupe ST

Protocole de fouille

Notes sur la structure

Comblement  Datation

Légendes de la coupe

Prélèvements

Mobilier  Tamisage

Faune	Lithique	Céramique	Terre crue-cuite	Métal	Restes humains
Industrie osseuse	Macrolithique	Pierres (en g)	Parure	Autres	
Malacofaune	Microfaune	Carporesses	Anthracorestes		

Négatif

OA9785 - Clos de Roque - Saint-Maximin-la-Sainte-Baume - Var - 2011

Numéro de structure  Secteur  Type de structure

Date de fouille  Minutes

Photos

Points topographiques

X (Lambert III)  \* (m) Y (Lambert III)

Altitude supérieure  Altitude inférieure

forme en coupe  forme en plan

UPS de scellement  UPS encaissants

diamètre à l'ouverture\*  x  diamètre maximal\*

profondeur observée\*  Volume estimé (m3)

coupe ST

Protocole de fouille

Notes sur la structure

Comblement  Datation

Légendes de la coupe

Prélèvements

Mobilier  Tamisage

Faune	Lithique	Céramique	Terre crue-cuite	Métal	Restes humains
Industrie osseuse	Macrolithique	Pierres (en g)	Parure	Autres	
Malacofaune	Microfaune	Carporesses	Anthracorestes		

Négatif

OA9785 - Clos de Roque - Saint-Maximin-la-Sainte-Baume - Var - 2011

Numéro de structure  Secteur  Type de structure

Date de fouille  Minutes

Photos

Points topographiques

X (Lambert III)  \* (m) Y (Lambert III)

Altitude supérieure  Altitude inférieure

forme en coupe  forme en plan

UPS de scellement  UPS encaissants

diamètre à l'ouverture\*  x  diamètre maximal\*

profondeur observée\*  Volume estimé (m3)

coupe ST

Protocole de fouille

Notes sur la structure

Comblement  Datation

Légendes de la coupe

Prélèvements

Mobilier  Tamisage

Faune	Lithique	Céramique	Terre crue-cuite	Métal	Restes humains
<input type="text" value="202"/>	<input type="text" value="22"/>	<input type="text" value="56"/>			
Industrie osseuse	Macrolithique	Pierres (en g)	Parure	Autres	
		<input type="text" value="2880"/>		<input type="text" value="calcite"/>	
Malacofaune	Microfaune	Carporesses	Anthracorestes		
<input type="text" value="Présence"/>					

Négatif

OA9785 - Clos de Roque - Saint-Maximin-la-Sainte-Baume - Var - 2011

Numéro de structure  Secteur  Type de structure

Date de fouille  Minutes

Photos

Points topographiques

X (Lambert III)  \* (m) Y (Lambert III)

Altitude supérieure  Altitude inférieure

forme en coupe  forme en plan

UPS de scellement  UPS encaissants

diamètre à l'ouverture\*  x  diamètre maximal\*

profondeur observée\*  Volume estimé (m3)

coupe ST

Protocole de fouille

Notes sur la structure

Comblement  Datation

Légendes de la coupe

Prélèvements

Mobilier  Tamisage

Faune	Lithique	Céramique	Terre crue-cuite	Métal	Restes humains
		<input type="text" value="1"/>			
Industrie osseuse	Macrolithique	Pierres (en g)	Parure	Autres	
Malacofaune	Microfaune	Carporesses	Anthracorestes		

Annexe 3 - Le Clos de Roque, Saint-Maximin-la-Sainte-Baume (83). Inventaire des structures identifiées au décapage par fiches comprenant les indications des points topographiques, des minutes, des prélèvements et des photographies numériques de références.

Négatif

OA9785 - Clos de Roque - Saint-Maximin-la-Sainte-Baume - Var - 2011

Numéro de structure  Secteur  Type de structure    
 Date de fouille  Minutes    
 Photos

Points topographiques

X (Lambert III)  \* (m) Y (Lambert III)    
 Altitude supérieure  Altitude inférieure    
 forme en coupe  forme en plan    
 UPS de scellement  UPS encaissants    
 diamètre à l'ouverture\*  x  diamètre maximal\*    
 profondeur observée\*  Volume estimé (m3)    
 coupe ST

Protocole de fouille

Notes sur la structure

Comblement  Datation

Légendes de la coupe

Prélèvements

Mobilier  Tamisage   
 Faune   Lithique   Céramique   Terre crue-cuite   Métal   Restes humains    
 Industrie osseuse   Macroolithique   Pierres (en g)   Parure   Autres    
 Malacofaune   Microfaune   Carporesses   Anthracorestes    
 Présence

Négatif

OA9785 - Clos de Roque - Saint-Maximin-la-Sainte-Baume - Var - 2011

Numéro de structure  Secteur  Type de structure    
 Date de fouille  Minutes    
 Photos

Points topographiques

X (Lambert III)  \* (m) Y (Lambert III)    
 Altitude supérieure  Altitude inférieure    
 forme en coupe  forme en plan    
 UPS de scellement  UPS encaissants    
 diamètre à l'ouverture\*  x  diamètre maximal\*    
 profondeur observée\*  Volume estimé (m3)    
 coupe ST

Protocole de fouille

Notes sur la structure

Comblement  Datation

Légendes de la coupe

Prélèvements

Mobilier  Tamisage   
 Faune   Lithique   Céramique   Terre crue-cuite   Métal   Restes humains    
 Industrie osseuse   Macroolithique   Pierres (en g)   Parure   Autres    
 Malacofaune   Microfaune   Carporesses   Anthracorestes

Négatif

OA9785 - Clos de Roque - Saint-Maximin-la-Sainte-Baume - Var - 2011

Numéro de structure  Secteur  Type de structure    
 Date de fouille  Minutes    
 Photos

Points topographiques

X (Lambert III)  \* (m) Y (Lambert III)    
 Altitude supérieure  Altitude inférieure    
 forme en coupe  forme en plan    
 UPS de scellement  UPS encaissants    
 diamètre à l'ouverture\*  x  diamètre maximal\*    
 profondeur observée\*  Volume estimé (m3)    
 coupe ST

Protocole de fouille

Notes sur la structure

Comblement  Datation

Légendes de la coupe

Prélèvements

Mobilier  Tamisage   
 Faune   Lithique   Céramique   Terre crue-cuite   Métal   Restes humains    
 Industrie osseuse   Macroolithique   Pierres (en g)   Parure   Autres    
 Malacofaune   Microfaune   Carporesses   Anthracorestes

Négatif

OA9785 - Clos de Roque - Saint-Maximin-la-Sainte-Baume - Var - 2011

Numéro de structure  Secteur  Type de structure    
 Date de fouille  Minutes    
 Photos

Points topographiques

X (Lambert III)  \* (m) Y (Lambert III)    
 Altitude supérieure  Altitude inférieure    
 forme en coupe  forme en plan    
 UPS de scellement  UPS encaissants    
 diamètre à l'ouverture\*  x  diamètre maximal\*    
 profondeur observée\*  Volume estimé (m3)    
 coupe ST

Protocole de fouille

Notes sur la structure

Comblement  Datation

Légendes de la coupe

Prélèvements

Mobilier  Tamisage   
 Faune   Lithique   Céramique   Terre crue-cuite   Métal   Restes humains    
 Industrie osseuse   Macroolithique   Pierres (en g)   Parure   Autres    
 Malacofaune   Microfaune   Carporesses   Anthracorestes

Annexe 3 - Le Clos de Roque, Saint-Maximin-la-Sainte-Baume (83). Inventaire des structures identifiées au décapage par fiches comprenant les indications des points topographiques, des minutes, des prélèvements et des photographies numériques de références.

Négatif

OA9785 - Clos de Roque - Saint-Maximin-la-Sainte-Baume - Var - 2011

Numéro de structure  Secteur  Type de structure

Date de fouille  Minutes

Photos

Points topographiques

X (Lambert III)  \* (m) Y (Lambert III)

Altitude supérieure  Altitude inférieure

forme en coupe  forme en plan

UPS de scellement  UPS encaissants

diamètre à l'ouverture\*  x  diamètre maximal\*

profondeur observée\*  Volume estimé (m3)

coupe ST

Protocole de fouille

Notes sur la structure

Comblement  Datation

Légendes de la coupe

Prélèvements

Mobilier  Tamisage

Faune	Lithique	Céramique	Terre crue-cuite	Métal	Restes humains
Industrie osseuse	Macrolithique	Pierres (en g)	Parure	Autres	
Malacofaune	Microfaune	Carporestes	Anthracorestes	Présence	

Négatif

OA9785 - Clos de Roque - Saint-Maximin-la-Sainte-Baume - Var - 2011

Numéro de structure  Secteur  Type de structure

Date de fouille  Minutes

Photos

Points topographiques

X (Lambert III)  \* (m) Y (Lambert III)

Altitude supérieure  Altitude inférieure

forme en coupe  forme en plan

UPS de scellement  UPS encaissants

diamètre à l'ouverture\*  x  diamètre maximal\*

profondeur observée\*  Volume estimé (m3)

coupe ST

Protocole de fouille

Notes sur la structure

Comblement  Datation

Légendes de la coupe

Prélèvements

Mobilier  Tamisage

Faune	Lithique	Céramique	Terre crue-cuite	Métal	Restes humains
<input type="text" value="617"/>	<input type="text" value="50"/>	<input type="text" value="38"/>			
Industrie osseuse	Macrolithique	Pierres (en g)	Parure	Autres	
Malacofaune	Microfaune	Carporestes	Anthracorestes	calcite, granit, grès	

Négatif

OA9785 - Clos de Roque - Saint-Maximin-la-Sainte-Baume - Var - 2011

Numéro de structure  Secteur  Type de structure

Date de fouille  Minutes

Photos

Points topographiques

X (Lambert III)  \* (m) Y (Lambert III)

Altitude supérieure  Altitude inférieure

forme en coupe  forme en plan

UPS de scellement  UPS encaissants

diamètre à l'ouverture\*  x  diamètre maximal\*

profondeur observée\*  Volume estimé (m3)

coupe ST

Protocole de fouille

Notes sur la structure

Comblement  Datation

Légendes de la coupe

Prélèvements

Mobilier  Tamisage

Faune	Lithique	Céramique	Terre crue-cuite	Métal	Restes humains
<input type="text" value="81"/>	<input type="text" value="1"/>	<input type="text" value="10"/>			
Industrie osseuse	Macrolithique	Pierres (en g)	Parure	Autres	
Malacofaune	Microfaune	Carporestes	Anthracorestes	Présence	

Négatif

OA9785 - Clos de Roque - Saint-Maximin-la-Sainte-Baume - Var - 2011

Numéro de structure  Secteur  Type de structure

Date de fouille  Minutes

Photos

Points topographiques

X (Lambert III)  \* (m) Y (Lambert III)

Altitude supérieure  Altitude inférieure

forme en coupe  forme en plan

UPS de scellement  UPS encaissants

diamètre à l'ouverture\*  x  diamètre maximal\*

profondeur observée\*  Volume estimé (m3)

coupe ST

Protocole de fouille

Notes sur la structure

Comblement  Datation

Légendes de la coupe

Prélèvements

Mobilier  Tamisage

Faune	Lithique	Céramique	Terre crue-cuite	Métal	Restes humains
Industrie osseuse	Macrolithique	Pierres (en g)	Parure	Autres	
Malacofaune	Microfaune	Carporestes	Anthracorestes		

Annexe 3 - Le Clos de Roque, Saint-Maximin-la-Sainte-Baume (83). Inventaire des structures identifiées au décapage par fiches comprenant les indications des points topographiques, des minutes, des prélèvements et des photographies numériques de références.

<p>Négatif <input type="checkbox"/></p> <p style="text-align: center;">OA9785 - Clos de Roque - Saint-Maximin-la-Sainte-Baume - Var - 2011</p> <p>Numéro de structure <input type="text" value="ST1065"/> Secteur <input type="text" value="N20"/> Type de structure <input type="text" value="Fosse de plantation"/></p> <p>Date de fouille <input type="text" value="16/06/2011"/> Minutes <input type="text"/></p> <p>Photos <input type="text" value="645"/></p> <p>Points topographiques <input type="text" value="PT0544"/></p> <p>X (Lambert III) <input type="text" value="885662.4"/> * (m) Y (Lambert III) <input type="text" value="134830.66"/></p> <p>Altitude supérieure <input type="text" value="286.17"/> Altitude inférieure <input type="text" value="286.07"/></p> <p>forme en coupe <input type="text" value="C"/> forme en plan <input type="text" value="Circulaire"/></p> <p>UPS de scellement <input type="text" value="UPS2"/> UPS encaissants <input type="text" value="UPS3"/></p> <p>diamètre à l'ouverture* <input type="text" value="0.65"/> x <input type="text"/> diamètre maximal* <input type="text" value="0.65"/></p> <p>profondeur observée* <input type="text" value="0.1"/> Volume estimé (m3) <input type="text" value="0.0332"/></p> <p>coupe ST <input type="text"/> coupée par ST <input type="text"/></p> <p>Protocole de fouille <input type="text" value="Moitié Nord : fouille par passes à la pelle mécanique&lt;br/&gt;Moitié Sud : fouille par passes manuelles"/></p> <p>Notes sur la structure <input type="text" value="Fosse de plantation moderne"/></p> <p>Comblement <input type="text" value="N-naturel"/> Datation <input type="text" value="Historique"/></p> <p>Légendes de la coupe <input type="text" value="Sédiment limono-argileux brun, meuble, quelques galets de 1 à 2 cm."/></p> <p>Prélèvements <input type="text"/></p> <p>Mobilier <input type="checkbox"/> Tamisage</p> <table border="1" style="width:100%; border-collapse: collapse;"> <tr> <td>Faune</td><td>Lithique</td><td>Céramique</td><td>Terre crue-cuite</td><td>Métal</td><td>Restes humains</td> </tr> <tr> <td><input type="text"/></td><td><input type="text"/></td><td><input type="text"/></td><td><input type="text"/></td><td><input type="text"/></td><td><input type="text"/></td> </tr> <tr> <td>Industrie osseuse</td><td>Macrolithique</td><td>Pierres (en g)</td><td>Parure</td><td colspan="2">Autres</td> </tr> <tr> <td><input type="text"/></td><td><input type="text"/></td><td><input type="text"/></td><td><input type="text"/></td><td colspan="2"><input type="text"/></td> </tr> <tr> <td>Malacofaune</td><td>Microfaune</td><td>Carporesses</td><td>Anthracorestes</td><td colspan="2"></td> </tr> <tr> <td><input type="text"/></td><td><input type="text"/></td><td><input type="text"/></td><td><input type="text"/></td><td colspan="2"></td> </tr> </table>	Faune	Lithique	Céramique	Terre crue-cuite	Métal	Restes humains	<input type="text"/>	<input type="text"/>	<input type="text"/>	<input type="text"/>	<input type="text"/>	<input type="text"/>	Industrie osseuse	Macrolithique	Pierres (en g)	Parure	Autres		<input type="text"/>	<input type="text"/>	<input type="text"/>	<input type="text"/>	<input type="text"/>		Malacofaune	Microfaune	Carporesses	Anthracorestes			<input type="text"/>	<input type="text"/>	<input type="text"/>	<input type="text"/>			<p>Négatif <input type="checkbox"/></p> <p style="text-align: center;">OA9785 - Clos de Roque - Saint-Maximin-la-Sainte-Baume - Var - 2011</p> <p>Numéro de structure <input type="text" value="ST1066"/> Secteur <input type="text" value="N14"/> Type de structure <input type="text" value="Tranchée de plantation"/></p> <p>Date de fouille <input type="text" value="16/06/2011"/> Minutes <input type="text"/></p> <p>Photos <input type="text" value="736"/></p> <p>Points topographiques <input type="text" value="PT0545 - PT6794 à PT6798"/></p> <p>X (Lambert III) <input type="text" value="885609.19"/> * (m) Y (Lambert III) <input type="text" value="134836.94"/></p> <p>Altitude supérieure <input type="text" value="286.45"/> Altitude inférieure <input type="text" value="286.40"/></p> <p>forme en coupe <input type="text" value="C"/> forme en plan <input type="text" value="Rectangulaire"/></p> <p>UPS de scellement <input type="text" value="UPS2"/> UPS encaissants <input type="text" value="UPS3"/></p> <p>diamètre à l'ouverture* <input type="text" value="1.4"/> x <input type="text" value="0.45"/> diamètre maximal* <input type="text" value="1.4"/></p> <p>profondeur observée* <input type="text" value="0.05"/> Volume estimé (m3) <input type="text" value="0.0315"/></p> <p>coupe ST <input type="text"/> coupée par ST <input type="text"/></p> <p>Protocole de fouille <input type="text" value="Moitié Nord : fouille par passes à la pelle mécanique&lt;br/&gt;Moitié Sud : fouille par passes manuelles"/></p> <p>Notes sur la structure <input type="text" value="Fosse de plantation moderne coupée par la berme méridionale"/></p> <p>Comblement <input type="text" value="N-naturel"/> Datation <input type="text" value="Historique"/></p> <p>Légendes de la coupe <input type="text" value="Sédiment limono-argileux brun, meuble, quelques galets de 1 à 2 cm."/></p> <p>Prélèvements <input type="text"/></p> <p>Mobilier <input type="checkbox"/> Tamisage</p> <table border="1" style="width:100%; border-collapse: collapse;"> <tr> <td>Faune</td><td>Lithique</td><td>Céramique</td><td>Terre crue-cuite</td><td>Métal</td><td>Restes humains</td> </tr> <tr> <td><input type="text"/></td><td><input type="text"/></td><td><input type="text"/></td><td><input type="text"/></td><td><input type="text"/></td><td><input type="text"/></td> </tr> <tr> <td>Industrie osseuse</td><td>Macrolithique</td><td>Pierres (en g)</td><td>Parure</td><td colspan="2">Autres</td> </tr> <tr> <td><input type="text"/></td><td><input type="text"/></td><td><input type="text"/></td><td><input type="text"/></td><td colspan="2"><input type="text"/></td> </tr> <tr> <td>Malacofaune</td><td>Microfaune</td><td>Carporesses</td><td>Anthracorestes</td><td colspan="2"></td> </tr> <tr> <td><input type="text"/></td><td><input type="text"/></td><td><input type="text"/></td><td><input type="text"/></td><td colspan="2"></td> </tr> </table>	Faune	Lithique	Céramique	Terre crue-cuite	Métal	Restes humains	<input type="text"/>	<input type="text"/>	<input type="text"/>	<input type="text"/>	<input type="text"/>	<input type="text"/>	Industrie osseuse	Macrolithique	Pierres (en g)	Parure	Autres		<input type="text"/>	<input type="text"/>	<input type="text"/>	<input type="text"/>	<input type="text"/>		Malacofaune	Microfaune	Carporesses	Anthracorestes			<input type="text"/>	<input type="text"/>	<input type="text"/>	<input type="text"/>		
Faune	Lithique	Céramique	Terre crue-cuite	Métal	Restes humains																																																																				
<input type="text"/>	<input type="text"/>	<input type="text"/>	<input type="text"/>	<input type="text"/>	<input type="text"/>																																																																				
Industrie osseuse	Macrolithique	Pierres (en g)	Parure	Autres																																																																					
<input type="text"/>	<input type="text"/>	<input type="text"/>	<input type="text"/>	<input type="text"/>																																																																					
Malacofaune	Microfaune	Carporesses	Anthracorestes																																																																						
<input type="text"/>	<input type="text"/>	<input type="text"/>	<input type="text"/>																																																																						
Faune	Lithique	Céramique	Terre crue-cuite	Métal	Restes humains																																																																				
<input type="text"/>	<input type="text"/>	<input type="text"/>	<input type="text"/>	<input type="text"/>	<input type="text"/>																																																																				
Industrie osseuse	Macrolithique	Pierres (en g)	Parure	Autres																																																																					
<input type="text"/>	<input type="text"/>	<input type="text"/>	<input type="text"/>	<input type="text"/>																																																																					
Malacofaune	Microfaune	Carporesses	Anthracorestes																																																																						
<input type="text"/>	<input type="text"/>	<input type="text"/>	<input type="text"/>																																																																						
<p>Négatif <input checked="" type="checkbox"/></p> <p style="text-align: center;">OA9785 - Clos de Roque - Saint-Maximin-la-Sainte-Baume - Var - 2011</p> <p>Numéro de structure <input type="text" value="ST1067"/> Secteur <input type="text" value="L17"/> Type de structure <input type="text" value="Néant"/></p> <p>Date de fouille <input type="text" value="07/07/2011"/> Minutes <input type="text"/></p> <p>Photos <input type="text"/></p> <p>Points topographiques <input type="text" value="PT0462 à PT0467"/></p> <p>X (Lambert III) <input type="text"/> * (m) Y (Lambert III) <input type="text"/></p> <p>Altitude supérieure <input type="text"/> Altitude inférieure <input type="text"/></p> <p>forme en coupe <input type="text"/> forme en plan <input type="text"/></p> <p>UPS de scellement <input type="text"/> UPS encaissants <input type="text"/></p> <p>diamètre à l'ouverture* <input type="text"/> x <input type="text"/> diamètre maximal* <input type="text"/></p> <p>profondeur observée* <input type="text"/> Volume estimé (m3) <input type="text"/></p> <p>coupe ST <input type="text"/> coupée par ST <input type="text"/></p> <p>Protocole de fouille <input type="text"/></p> <p>Notes sur la structure <input type="text" value="Annulée, renommée ST1071."/></p> <p>Comblement <input type="text" value="N-naturel"/> Datation <input type="text" value="Historique"/></p> <p>Légendes de la coupe <input type="text"/></p> <p>Prélèvements <input type="text"/></p> <p>Mobilier <input type="checkbox"/> Tamisage</p> <table border="1" style="width:100%; border-collapse: collapse;"> <tr> <td>Faune</td><td>Lithique</td><td>Céramique</td><td>Terre crue-cuite</td><td>Métal</td><td>Restes humains</td> </tr> <tr> <td><input type="text"/></td><td><input type="text"/></td><td><input type="text"/></td><td><input type="text"/></td><td><input type="text"/></td><td><input type="text"/></td> </tr> <tr> <td>Industrie osseuse</td><td>Macrolithique</td><td>Pierres (en g)</td><td>Parure</td><td colspan="2">Autres</td> </tr> <tr> <td><input type="text"/></td><td><input type="text"/></td><td><input type="text"/></td><td><input type="text"/></td><td colspan="2"><input type="text"/></td> </tr> <tr> <td>Malacofaune</td><td>Microfaune</td><td>Carporesses</td><td>Anthracorestes</td><td colspan="2"></td> </tr> <tr> <td><input type="text"/></td><td><input type="text"/></td><td><input type="text"/></td><td><input type="text"/></td><td colspan="2"></td> </tr> </table>	Faune	Lithique	Céramique	Terre crue-cuite	Métal	Restes humains	<input type="text"/>	<input type="text"/>	<input type="text"/>	<input type="text"/>	<input type="text"/>	<input type="text"/>	Industrie osseuse	Macrolithique	Pierres (en g)	Parure	Autres		<input type="text"/>	<input type="text"/>	<input type="text"/>	<input type="text"/>	<input type="text"/>		Malacofaune	Microfaune	Carporesses	Anthracorestes			<input type="text"/>	<input type="text"/>	<input type="text"/>	<input type="text"/>			<p>Négatif <input type="checkbox"/></p> <p style="text-align: center;">OA9785 - Clos de Roque - Saint-Maximin-la-Sainte-Baume - Var - 2011</p> <p>Numéro de structure <input type="text" value="ST1068"/> Secteur <input type="text" value="L16"/> Type de structure <input type="text" value="Fossé"/></p> <p>Date de fouille <input type="text" value="17/06/2011"/> Minutes <input type="text"/></p> <p>Photos <input type="text" value="645"/></p> <p>Points topographiques <input type="text" value="PT0630 à PT0647"/></p> <p>X (Lambert III) <input type="text" value="885634.32"/> * (m) Y (Lambert III) <input type="text" value="134875.85"/></p> <p>Altitude supérieure <input type="text" value="286.05"/> Altitude inférieure <input type="text" value="286.04"/></p> <p>forme en coupe <input type="text" value="C"/> forme en plan <input type="text" value="Longiligne"/></p> <p>UPS de scellement <input type="text" value="UPS2"/> UPS encaissants <input type="text" value="UPS3"/></p> <p>diamètre à l'ouverture* <input type="text" value="35"/> x <input type="text" value="1"/> diamètre maximal* <input type="text" value="35"/></p> <p>profondeur observée* <input type="text" value="0.1"/> Volume estimé (m3) <input type="text" value="3.5"/></p> <p>coupe ST <input type="text"/> coupée par ST <input type="text"/></p> <p>Protocole de fouille <input type="text" value="Moitié Nord : fouille par passes à la pelle mécanique&lt;br/&gt;Moitié Sud : fouille par passes manuelles"/></p> <p>Notes sur la structure <input type="text" value="Fossé parcellaire moderne, conservé sur 35 m de long et 1 m de large. Sans doute parcellaire Napoléonien. Parallèle à ST1048, qui est peut-être le tracé initial du parcellaire"/></p> <p>Comblement <input type="text" value="N-naturel"/> Datation <input type="text" value="Historique"/></p> <p>Légendes de la coupe <input type="text" value="Sédiment limono-argileux brun, meuble, quelques galets de 1 à 2 cm, cailloux de 1 à 5 cm abondants et de tuiles canal dans le remplissage."/></p> <p>Prélèvements <input type="text"/></p> <p>Mobilier <input type="checkbox"/> Tamisage</p> <table border="1" style="width:100%; border-collapse: collapse;"> <tr> <td>Faune</td><td>Lithique</td><td>Céramique</td><td>Terre crue-cuite</td><td>Métal</td><td>Restes humains</td> </tr> <tr> <td><input type="text"/></td><td><input type="text"/></td><td><input type="text"/></td><td><input type="text"/></td><td><input type="text"/></td><td><input type="text"/></td> </tr> <tr> <td>Industrie osseuse</td><td>Macrolithique</td><td>Pierres (en g)</td><td>Parure</td><td colspan="2">Autres</td> </tr> <tr> <td><input type="text"/></td><td><input type="text"/></td><td><input type="text"/></td><td><input type="text"/></td><td colspan="2"><input type="text"/></td> </tr> <tr> <td>Malacofaune</td><td>Microfaune</td><td>Carporesses</td><td>Anthracorestes</td><td colspan="2"></td> </tr> <tr> <td><input type="text"/></td><td><input type="text"/></td><td><input type="text"/></td><td><input type="text"/></td><td colspan="2"></td> </tr> </table>	Faune	Lithique	Céramique	Terre crue-cuite	Métal	Restes humains	<input type="text"/>	<input type="text"/>	<input type="text"/>	<input type="text"/>	<input type="text"/>	<input type="text"/>	Industrie osseuse	Macrolithique	Pierres (en g)	Parure	Autres		<input type="text"/>	<input type="text"/>	<input type="text"/>	<input type="text"/>	<input type="text"/>		Malacofaune	Microfaune	Carporesses	Anthracorestes			<input type="text"/>	<input type="text"/>	<input type="text"/>	<input type="text"/>		
Faune	Lithique	Céramique	Terre crue-cuite	Métal	Restes humains																																																																				
<input type="text"/>	<input type="text"/>	<input type="text"/>	<input type="text"/>	<input type="text"/>	<input type="text"/>																																																																				
Industrie osseuse	Macrolithique	Pierres (en g)	Parure	Autres																																																																					
<input type="text"/>	<input type="text"/>	<input type="text"/>	<input type="text"/>	<input type="text"/>																																																																					
Malacofaune	Microfaune	Carporesses	Anthracorestes																																																																						
<input type="text"/>	<input type="text"/>	<input type="text"/>	<input type="text"/>																																																																						
Faune	Lithique	Céramique	Terre crue-cuite	Métal	Restes humains																																																																				
<input type="text"/>	<input type="text"/>	<input type="text"/>	<input type="text"/>	<input type="text"/>	<input type="text"/>																																																																				
Industrie osseuse	Macrolithique	Pierres (en g)	Parure	Autres																																																																					
<input type="text"/>	<input type="text"/>	<input type="text"/>	<input type="text"/>	<input type="text"/>																																																																					
Malacofaune	Microfaune	Carporesses	Anthracorestes																																																																						
<input type="text"/>	<input type="text"/>	<input type="text"/>	<input type="text"/>																																																																						

Annexe 3 - Le Clos de Roque, Saint-Maximin-la-Sainte-Baume (83). Inventaire des structures identifiées au décapage par fiches comprenant les indications des points topographiques, des minutes, des prélèvements et des photographies numériques de références.

Négatif

OA9785 - Clos de Roque - Saint-Maximin-la-Sainte-Baume - Var - 2011

Numéro de structure  Secteur  Type de structure

Date de fouille  Minutes

Photos

Points topographiques

X (Lambert III)  \* (m) Y (Lambert III)

Altitude supérieure  Altitude inférieure

forme en coupe  forme en plan

UPS de scellement  UPS encaissants

diamètre à l'ouverture\*  x  diamètre maximal\*

profondeur observée\*  Volume estimé (m3)

coupe ST  coupée par ST

Protocole de fouille

Notes sur la structure

Comblement  Datation

Légendes de la coupe

Prélèvements

Mobilier  Tamisage

Faune	Lithique	Céramique	Terre crue-cuite	Métal	Restes humains
Industrie osseuse	Macroolithique	Pierres (en g)	Parure	Autres	
Malacofaune	Microfaune	Carporestes	Anthracorestes		

Négatif

OA9785 - Clos de Roque - Saint-Maximin-la-Sainte-Baume - Var - 2011

Numéro de structure  Secteur  Type de structure

Date de fouille  Minutes

Photos

Points topographiques

X (Lambert III)  \* (m) Y (Lambert III)

Altitude supérieure  Altitude inférieure

forme en coupe  forme en plan

UPS de scellement  UPS encaissants

diamètre à l'ouverture\*  x  diamètre maximal\*

profondeur observée\*  Volume estimé (m3)

coupe ST  coupée par ST

Protocole de fouille

Notes sur la structure

Comblement  Datation

Légendes de la coupe

Prélèvements

Mobilier  Tamisage

Faune	Lithique	Céramique	Terre crue-cuite	Métal	Restes humains
1	1	21			
Industrie osseuse	Macroolithique	Pierres (en g)	Parure	Autres	
				clou	
Malacofaune	Microfaune	Carporestes	Anthracorestes	Présence	

Négatif

OA9785 - Clos de Roque - Saint-Maximin-la-Sainte-Baume - Var - 2011

Numéro de structure  Secteur  Type de structure

Date de fouille  Minutes

Photos

Points topographiques

X (Lambert III)  \* (m) Y (Lambert III)

Altitude supérieure  Altitude inférieure

forme en coupe  forme en plan

UPS de scellement  UPS encaissants

diamètre à l'ouverture\*  x  diamètre maximal\*

profondeur observée\*  Volume estimé (m3)

coupe ST  coupée par ST

Protocole de fouille

Notes sur la structure

Comblement  Datation

Légendes de la coupe

Prélèvements

Mobilier  Tamisage

Faune	Lithique	Céramique	Terre crue-cuite	Métal	Restes humains
123	34	263	Présence		
Industrie osseuse	Macroolithique	Pierres (en g)	Parure	Autres	
	Frgt meule	2719		calcite	
Malacofaune	Microfaune	Carporestes	Anthracorestes	Présence	

Négatif

OA9785 - Clos de Roque - Saint-Maximin-la-Sainte-Baume - Var - 2011

Numéro de structure  Secteur  Type de structure

Date de fouille  Minutes

Photos

Points topographiques

X (Lambert III)  \* (m) Y (Lambert III)

Altitude supérieure  Altitude inférieure

forme en coupe  forme en plan

UPS de scellement  UPS encaissants

diamètre à l'ouverture\*  x  diamètre maximal\*

profondeur observée\*  Volume estimé (m3)

coupe ST  coupée par ST

Protocole de fouille

Notes sur la structure

Comblement  Datation

Légendes de la coupe

Prélèvements

Mobilier  Tamisage

Faune	Lithique	Céramique	Terre crue-cuite	Métal	Restes humains
1	1	5			
Industrie osseuse	Macroolithique	Pierres (en g)	Parure	Autres	
	Frgt meule	Présence			
Malacofaune	Microfaune	Carporestes	Anthracorestes	Présence	

Annexe 3 - Le Clos de Roque, Saint-Maximin-la-Sainte-Baume (83). Inventaire des structures identifiées au décapage par fiches comprenant les indications des points topographiques, des minutes, des prélèvements et des photographies numériques de références.

<p>Négatif <input type="checkbox"/></p> <p style="text-align: center;">OA9785 - Clos de Roque - Saint-Maximin-la-Sainte-Baume - Var - 2011</p> <p>Numéro de structure <input type="text" value="ST2002"/> Secteur <input type="text" value="B04"/> Type de structure <input type="text" value="Fosse"/></p> <p>Date de fouille <input type="text" value="29/06/2011"/> Minutes <input type="text" value="686 - 687 - 688"/></p> <p>Photos <input type="text" value="1162 - 1318"/></p> <p>Points topographiques <input type="text" value="PT0492 - PT5613 à PT5616 - PT6583 - PT6582 - PT5617 à PT5620 - PT6571 à PT5679"/></p> <p>X (Lambert III) <input type="text" value="885503.81"/> * (m) Y (Lambert III) <input type="text" value="134949.08"/></p> <p>Altitude supérieure <input type="text" value="285.7"/> Altitude inférieure <input type="text" value="285.27"/></p> <p>forme en coupe <input type="text" value="F1"/> forme en plan <input type="text" value="Circulaire"/></p> <p>UPS de scellement <input type="text" value="UPS2"/> UPS encaissants <input type="text" value="UPS3"/></p> <p>diamètre à l'ouverture* <input type="text" value="1.17"/> x <input type="text" value=""/> diamètre maximal* <input type="text" value="1.17"/></p> <p>profondeur observée* <input type="text" value="0.46"/> Volume estimé (m3) <input type="text" value="0.4946"/></p> <p>coupe ST <input type="text" value="coupée par ST"/></p> <p>Protocole de fouille <input type="text" value="Moitié Nord : fouille par passes à la pelle mécanique&lt;br/&gt;Moitié Sud : fouille par passes manuelles"/></p> <p>Notes sur la structure <input type="text" value="Présence d'ossements de faune au fond de la fosse contre la paroi (sus ? ; fémur, scapula, mandibule)"/></p> <p>Comblement <input type="text" value="N-naturel"/> Datation <input type="text" value="Néolithique final ind"/></p> <p>Légendes de la coupe <input type="text" value="US1 : sédiment argilo-limoneux de couleur brun foncé, compact et homogène, quelques cailloux de 1 à 5 cm, quelques inclusions de loess (UPS3)."/></p> <p>Prélèvements <input type="text" value="PR160 (PT6581) : carpollologie ; Prélèvement des escargots de la moitié Sud issus du tamisage (1 mm)"/></p> <p>Mobilier <input checked="" type="checkbox"/> Tamisage</p> <table border="1" style="width:100%; border-collapse: collapse;"> <tr> <td>Faune <input type="text" value="85"/></td> <td>Lithique <input type="text" value="3"/></td> <td>Céramique <input type="text" value="10"/></td> <td>Terre crue-cuite <input type="text"/></td> <td>Métal <input type="text"/></td> <td>Restes humains <input type="text"/></td> </tr> <tr> <td>Industrie osseuse <input type="text"/></td> <td>Macrolithique <input type="text"/></td> <td>Pierres (en g) <input type="text"/></td> <td>Parure <input type="text"/></td> <td colspan="2">Autres <input type="text"/></td> </tr> <tr> <td>Malacofaune <input type="text"/></td> <td>Microfaune <input type="text"/></td> <td>Carporesses <input type="text"/></td> <td>Anthracorestes <input type="text"/></td> <td colspan="2"></td> </tr> <tr> <td>Présence <input type="text"/></td> <td></td> <td></td> <td></td> <td colspan="2"></td> </tr> </table>	Faune <input type="text" value="85"/>	Lithique <input type="text" value="3"/>	Céramique <input type="text" value="10"/>	Terre crue-cuite <input type="text"/>	Métal <input type="text"/>	Restes humains <input type="text"/>	Industrie osseuse <input type="text"/>	Macrolithique <input type="text"/>	Pierres (en g) <input type="text"/>	Parure <input type="text"/>	Autres <input type="text"/>		Malacofaune <input type="text"/>	Microfaune <input type="text"/>	Carporesses <input type="text"/>	Anthracorestes <input type="text"/>			Présence <input type="text"/>						<p>Négatif <input type="checkbox"/></p> <p style="text-align: center;">OA9785 - Clos de Roque - Saint-Maximin-la-Sainte-Baume - Var - 2011</p> <p>Numéro de structure <input type="text" value="ST2003"/> Secteur <input type="text" value="B03"/> Type de structure <input type="text" value="Fosse de plantation"/></p> <p>Date de fouille <input type="text" value="27/06/2011"/> Minutes <input type="text"/></p> <p>Photos <input type="text" value="1159"/></p> <p>Points topographiques <input type="text" value="PT0493 - PT5621 à PT5628"/></p> <p>X (Lambert III) <input type="text" value="885493.39"/> * (m) Y (Lambert III) <input type="text" value="134951.14"/></p> <p>Altitude supérieure <input type="text" value="285.73"/> Altitude inférieure <input type="text" value="285.68"/></p> <p>forme en coupe <input type="text" value="C"/> forme en plan <input type="text" value="Circulaire"/></p> <p>UPS de scellement <input type="text" value="UPS2"/> UPS encaissants <input type="text" value="UPS3"/></p> <p>diamètre à l'ouverture* <input type="text" value="0.6"/> x <input type="text" value=""/> diamètre maximal* <input type="text" value="0.6"/></p> <p>profondeur observée* <input type="text" value="0.05"/> Volume estimé (m3) <input type="text" value="0.0141"/></p> <p>coupe ST <input type="text" value="coupée par ST"/></p> <p>Protocole de fouille <input type="text" value="Moitié Nord : fouille par passes à la pelle mécanique&lt;br/&gt;Moitié Sud : fouille par passes manuelles"/></p> <p>Notes sur la structure <input type="text" value="Fosse de plantation moderne"/></p> <p>Comblement <input type="text" value="N-naturel"/> Datation <input type="text" value="Historique"/></p> <p>Légendes de la coupe <input type="text" value="Sédiment limono-argileux brun, meuble, quelques galets de 1 à 2 cm."/></p> <p>Prélèvements <input type="text"/></p> <p>Mobilier <input type="checkbox"/> Tamisage</p> <table border="1" style="width:100%; border-collapse: collapse;"> <tr> <td>Faune <input type="text"/></td> <td>Lithique <input type="text"/></td> <td>Céramique <input type="text"/></td> <td>Terre crue-cuite <input type="text"/></td> <td>Métal <input type="text"/></td> <td>Restes humains <input type="text"/></td> </tr> <tr> <td>Industrie osseuse <input type="text"/></td> <td>Macrolithique <input type="text"/></td> <td>Pierres (en g) <input type="text"/></td> <td>Parure <input type="text"/></td> <td colspan="2">Autres <input type="text"/></td> </tr> <tr> <td>Malacofaune <input type="text"/></td> <td>Microfaune <input type="text"/></td> <td>Carporesses <input type="text"/></td> <td>Anthracorestes <input type="text"/></td> <td colspan="2"></td> </tr> <tr> <td></td> <td></td> <td></td> <td></td> <td colspan="2"></td> </tr> </table>	Faune <input type="text"/>	Lithique <input type="text"/>	Céramique <input type="text"/>	Terre crue-cuite <input type="text"/>	Métal <input type="text"/>	Restes humains <input type="text"/>	Industrie osseuse <input type="text"/>	Macrolithique <input type="text"/>	Pierres (en g) <input type="text"/>	Parure <input type="text"/>	Autres <input type="text"/>		Malacofaune <input type="text"/>	Microfaune <input type="text"/>	Carporesses <input type="text"/>	Anthracorestes <input type="text"/>								
Faune <input type="text" value="85"/>	Lithique <input type="text" value="3"/>	Céramique <input type="text" value="10"/>	Terre crue-cuite <input type="text"/>	Métal <input type="text"/>	Restes humains <input type="text"/>																																												
Industrie osseuse <input type="text"/>	Macrolithique <input type="text"/>	Pierres (en g) <input type="text"/>	Parure <input type="text"/>	Autres <input type="text"/>																																													
Malacofaune <input type="text"/>	Microfaune <input type="text"/>	Carporesses <input type="text"/>	Anthracorestes <input type="text"/>																																														
Présence <input type="text"/>																																																	
Faune <input type="text"/>	Lithique <input type="text"/>	Céramique <input type="text"/>	Terre crue-cuite <input type="text"/>	Métal <input type="text"/>	Restes humains <input type="text"/>																																												
Industrie osseuse <input type="text"/>	Macrolithique <input type="text"/>	Pierres (en g) <input type="text"/>	Parure <input type="text"/>	Autres <input type="text"/>																																													
Malacofaune <input type="text"/>	Microfaune <input type="text"/>	Carporesses <input type="text"/>	Anthracorestes <input type="text"/>																																														
<p>Négatif <input checked="" type="checkbox"/></p> <p style="text-align: center;">OA9785 - Clos de Roque - Saint-Maximin-la-Sainte-Baume - Var - 2011</p> <p>Numéro de structure <input type="text" value="ST2004"/> Secteur <input type="text" value="B02"/> Type de structure <input type="text" value="Dépression"/></p> <p>Date de fouille <input type="text" value="15/06/2011"/> Minutes <input type="text"/></p> <p>Photos <input type="text" value="1160"/></p> <p>Points topographiques <input type="text" value="PT0494 - PT5601 à PT5608"/></p> <p>X (Lambert III) <input type="text" value="885488.03"/> * (m) Y (Lambert III) <input type="text" value="134958.14"/></p> <p>Altitude supérieure <input type="text" value="285.7"/> Altitude inférieure <input type="text" value="285.66"/></p> <p>forme en coupe <input type="text"/></p> <p>UPS de scellement <input type="text" value="UPS2"/> UPS encaissants <input type="text" value="UPS3"/></p> <p>diamètre à l'ouverture* <input type="text"/> x <input type="text"/> diamètre maximal* <input type="text"/></p> <p>profondeur observée* <input type="text"/> Volume estimé (m3) <input type="text"/></p> <p>coupe ST <input type="text" value="coupée par ST"/></p> <p>Protocole de fouille <input type="text" value="Moitié Nord : fouille par passes à la pelle mécanique&lt;br/&gt;Moitié Sud : fouille par passes manuelles"/></p> <p>Notes sur la structure <input type="text" value="Sillon de labour profond moderne"/></p> <p>Comblement <input type="text" value="N-naturel"/> Datation <input type="text" value="Néant"/></p> <p>Légendes de la coupe <input type="text" value="US1 : sédiment limoneux de couleur brun, meuble et homogène, quelques galets de 1 à 3 cm, radicelles abondantes."/></p> <p>Prélèvements <input type="text"/></p> <p>Mobilier <input type="checkbox"/> Tamisage</p> <table border="1" style="width:100%; border-collapse: collapse;"> <tr> <td>Faune <input type="text"/></td> <td>Lithique <input type="text"/></td> <td>Céramique <input type="text"/></td> <td>Terre crue-cuite <input type="text"/></td> <td>Métal <input type="text"/></td> <td>Restes humains <input type="text"/></td> </tr> <tr> <td>Industrie osseuse <input type="text"/></td> <td>Macrolithique <input type="text"/></td> <td>Pierres (en g) <input type="text"/></td> <td>Parure <input type="text"/></td> <td colspan="2">Autres <input type="text"/></td> </tr> <tr> <td>Malacofaune <input type="text"/></td> <td>Microfaune <input type="text"/></td> <td>Carporesses <input type="text"/></td> <td>Anthracorestes <input type="text"/></td> <td colspan="2"></td> </tr> <tr> <td></td> <td></td> <td></td> <td></td> <td colspan="2"></td> </tr> </table>	Faune <input type="text"/>	Lithique <input type="text"/>	Céramique <input type="text"/>	Terre crue-cuite <input type="text"/>	Métal <input type="text"/>	Restes humains <input type="text"/>	Industrie osseuse <input type="text"/>	Macrolithique <input type="text"/>	Pierres (en g) <input type="text"/>	Parure <input type="text"/>	Autres <input type="text"/>		Malacofaune <input type="text"/>	Microfaune <input type="text"/>	Carporesses <input type="text"/>	Anthracorestes <input type="text"/>									<p>Négatif <input type="checkbox"/></p> <p style="text-align: center;">OA9785 - Clos de Roque - Saint-Maximin-la-Sainte-Baume - Var - 2011</p> <p>Numéro de structure <input type="text" value="ST2005"/> Secteur <input type="text" value="I02"/> Type de structure <input type="text" value="Trou de poteau"/></p> <p>Date de fouille <input type="text" value="29/06/2011"/> Minutes <input type="text" value="596 - 597 - 598"/></p> <p>Photos <input type="text" value="1239 - 1243 - 1247"/></p> <p>Points topographiques <input type="text" value="PT0495 - PT6019 à PT6031"/></p> <p>X (Lambert III) <input type="text" value="885486.87"/> * (m) Y (Lambert III) <input type="text" value="134886.47"/></p> <p>Altitude supérieure <input type="text" value="285.92"/> Altitude inférieure <input type="text" value="285.83"/></p> <p>forme en coupe <input type="text" value="B2"/> forme en plan <input type="text" value="Ovalaire"/></p> <p>UPS de scellement <input type="text" value="UPS2"/> UPS encaissants <input type="text" value="UPS3"/></p> <p>diamètre à l'ouverture* <input type="text" value="0.36"/> x <input type="text" value="0.26"/> diamètre maximal* <input type="text" value="0.36"/></p> <p>profondeur observée* <input type="text" value="0.09"/> Volume estimé (m3) <input type="text" value="0.0272"/></p> <p>coupe ST <input type="text" value="coupée par ST"/></p> <p>Protocole de fouille <input type="text" value="Moitié Nord : fouille par passes manuelles&lt;br/&gt;Moitié Sud : fouille par passes manuelles"/></p> <p>Notes sur la structure <input type="text"/></p> <p>Comblement <input type="text" value="N-naturel"/> Datation <input type="text" value="Néo/Proto"/></p> <p>Légendes de la coupe <input type="text" value="US1 : sédiment argilo-limoneux de couleur brun foncé, compact et homogène.&lt;br/&gt;US2 : mélange de sédiment de l'US1 et de l'UPS3 (effondrement paroi)"/></p> <p>Prélèvements <input type="text"/></p> <p>Mobilier <input type="checkbox"/> Tamisage</p> <table border="1" style="width:100%; border-collapse: collapse;"> <tr> <td>Faune <input type="text"/></td> <td>Lithique <input type="text"/></td> <td>Céramique <input type="text"/></td> <td>Terre crue-cuite <input type="text"/></td> <td>Métal <input type="text"/></td> <td>Restes humains <input type="text"/></td> </tr> <tr> <td>Industrie osseuse <input type="text"/></td> <td>Macrolithique <input type="text"/></td> <td>Pierres (en g) <input type="text"/></td> <td>Parure <input type="text"/></td> <td colspan="2">Autres <input type="text"/></td> </tr> <tr> <td>Malacofaune <input type="text"/></td> <td>Microfaune <input type="text"/></td> <td>Carporesses <input type="text"/></td> <td>Anthracorestes <input type="text"/></td> <td colspan="2"></td> </tr> <tr> <td></td> <td></td> <td></td> <td></td> <td colspan="2"></td> </tr> </table>	Faune <input type="text"/>	Lithique <input type="text"/>	Céramique <input type="text"/>	Terre crue-cuite <input type="text"/>	Métal <input type="text"/>	Restes humains <input type="text"/>	Industrie osseuse <input type="text"/>	Macrolithique <input type="text"/>	Pierres (en g) <input type="text"/>	Parure <input type="text"/>	Autres <input type="text"/>		Malacofaune <input type="text"/>	Microfaune <input type="text"/>	Carporesses <input type="text"/>	Anthracorestes <input type="text"/>								
Faune <input type="text"/>	Lithique <input type="text"/>	Céramique <input type="text"/>	Terre crue-cuite <input type="text"/>	Métal <input type="text"/>	Restes humains <input type="text"/>																																												
Industrie osseuse <input type="text"/>	Macrolithique <input type="text"/>	Pierres (en g) <input type="text"/>	Parure <input type="text"/>	Autres <input type="text"/>																																													
Malacofaune <input type="text"/>	Microfaune <input type="text"/>	Carporesses <input type="text"/>	Anthracorestes <input type="text"/>																																														
Faune <input type="text"/>	Lithique <input type="text"/>	Céramique <input type="text"/>	Terre crue-cuite <input type="text"/>	Métal <input type="text"/>	Restes humains <input type="text"/>																																												
Industrie osseuse <input type="text"/>	Macrolithique <input type="text"/>	Pierres (en g) <input type="text"/>	Parure <input type="text"/>	Autres <input type="text"/>																																													
Malacofaune <input type="text"/>	Microfaune <input type="text"/>	Carporesses <input type="text"/>	Anthracorestes <input type="text"/>																																														

Annexe 3 - Le Clos de Roque, Saint-Maximin-la-Sainte-Baume (83). Inventaire des structures identifiées au décapage par fiches comprenant les indications des points topographiques, des minutes, des prélèvements et des photographies numériques de références.



Négatif

OA9785 - Clos de Roque - Saint-Maximin-la-Sainte-Baume - Var - 2011

Numéro de structure  Secteur  Type de structure

Date de fouille  Minutes

Photos

Points topographiques

X (Lambert III)  \* (m) Y (Lambert III)

Altitude supérieure  Altitude inférieure

forme en coupe  forme en plan

UPS de scellement  UPS encaissants

diamètre à l'ouverture\*  x  diamètre maximal\*

profondeur observée\*  Volume estimé (m3)

coupe ST  coupée par ST

Protocole de fouille   
Moitié Sud : fouille par passes manuelles

Notes sur la structure

Comblement  Datation

Légendes de la coupe

Prélèvements

Mobilier  Tamisage

Faune	Lithique	Céramique	Terre crue-cuite	Métal	Restes humains
<input type="text" value="21"/>	<input type="text" value=""/>	<input type="text" value="30"/>	<input type="text" value=""/>	<input type="text" value=""/>	<input type="text" value=""/>
Industrie osseuse	Macrolithique	Pierres (en g)	Parure	Autres	
<input type="text" value=""/>	<input type="text" value="Présence"/>	<input type="text" value=""/>	<input type="text" value=""/>	<input type="text" value="grès chauffé"/>	
Malacofaune	Microfaune	Carporesses	Anthracorestes		
<input type="text" value="Présence"/>	<input type="text" value=""/>	<input type="text" value=""/>	<input type="text" value=""/>		

Négatif

OA9785 - Clos de Roque - Saint-Maximin-la-Sainte-Baume - Var - 2011

Numéro de structure  Secteur  Type de structure

Date de fouille  Minutes

Photos

Points topographiques

X (Lambert III)  \* (m) Y (Lambert III)

Altitude supérieure  Altitude inférieure

forme en coupe  forme en plan

UPS de scellement  UPS encaissants

diamètre à l'ouverture\*  x  diamètre maximal\*

profondeur observée\*  Volume estimé (m3)

coupe ST  coupée par ST

Protocole de fouille   
Moitié Sud : fouille par passes manuelles

Notes sur la structure

Comblement  Datation

Légendes de la coupe

Prélèvements

Mobilier  Tamisage

Faune	Lithique	Céramique	Terre crue-cuite	Métal	Restes humains
<input type="text" value=""/>	<input type="text" value=""/>	<input type="text" value="1"/>	<input type="text" value=""/>	<input type="text" value=""/>	<input type="text" value=""/>
Industrie osseuse	Macrolithique	Pierres (en g)	Parure	Autres	
<input type="text" value=""/>	<input type="text" value="Présence"/>	<input type="text" value=""/>	<input type="text" value=""/>		
Malacofaune	Microfaune	Carporesses	Anthracorestes		
<input type="text" value=""/>	<input type="text" value=""/>	<input type="text" value=""/>	<input type="text" value=""/>		

Négatif

OA9785 - Clos de Roque - Saint-Maximin-la-Sainte-Baume - Var - 2011

Numéro de structure  Secteur  Type de structure

Date de fouille  Minutes

Photos

Points topographiques

X (Lambert III)  \* (m) Y (Lambert III)

Altitude supérieure  Altitude inférieure

forme en coupe  forme en plan

UPS de scellement  UPS encaissants

diamètre à l'ouverture\*  x  diamètre maximal\*

profondeur observée\*  Volume estimé (m3)

coupe ST  coupée par ST

Protocole de fouille   
Moitié Sud : fouille par passes manuelles

Notes sur la structure

Comblement  Datation

Légendes de la coupe

Prélèvements

Mobilier  Tamisage

Faune	Lithique	Céramique	Terre crue-cuite	Métal	Restes humains
<input type="text" value=""/>	<input type="text" value=""/>	<input type="text" value=""/>	<input type="text" value=""/>	<input type="text" value=""/>	<input type="text" value=""/>
Industrie osseuse	Macrolithique	Pierres (en g)	Parure	Autres	
<input type="text" value=""/>	<input type="text" value="Présence"/>	<input type="text" value=""/>	<input type="text" value=""/>		
Malacofaune	Microfaune	Carporesses	Anthracorestes		
<input type="text" value=""/>	<input type="text" value=""/>	<input type="text" value=""/>	<input type="text" value=""/>		

Négatif

OA9785 - Clos de Roque - Saint-Maximin-la-Sainte-Baume - Var - 2011

Numéro de structure  Secteur  Type de structure

Date de fouille  Minutes

Photos

Points topographiques

X (Lambert III)  \* (m) Y (Lambert III)

Altitude supérieure  Altitude inférieure

forme en coupe  forme en plan

UPS de scellement  UPS encaissants

diamètre à l'ouverture\*  x  diamètre maximal\*

profondeur observée\*  Volume estimé (m3)

coupe ST  coupée par ST

Protocole de fouille   
Moitié Nord : fouille par passes manuelles

Notes sur la structure

Comblement  Datation

Légendes de la coupe

Prélèvements

Mobilier  Tamisage

Faune	Lithique	Céramique	Terre crue-cuite	Métal	Restes humains
<input type="text" value="1"/>	<input type="text" value="2"/>	<input type="text" value="13"/>	<input type="text" value=""/>	<input type="text" value=""/>	<input type="text" value=""/>
Industrie osseuse	Macrolithique	Pierres (en g)	Parure	Autres	
<input type="text" value=""/>	<input type="text" value="Présence"/>	<input type="text" value=""/>	<input type="text" value=""/>		
Malacofaune	Microfaune	Carporesses	Anthracorestes		
<input type="text" value="Présence"/>	<input type="text" value=""/>	<input type="text" value=""/>	<input type="text" value=""/>		

Annexe 3 - Le Clos de Roque, Saint-Maximin-la-Sainte-Baume (83). Inventaire des structures identifiées au décapage par fiches comprenant les indications des points topographiques, des minutes, des prélèvements et des photographies numériques de références.

Négatif

OA9785 - Clos de Roque - Saint-Maximin-la-Sainte-Baume - Var - 2011

Numéro de structure  Secteur  Type de structure

Date de fouille  Minutes

Photos

Points topographiques

X (Lambert III)  \* (m) Y (Lambert III)

Altitude supérieure  Altitude inférieure

forme en coupe  forme en plan

UPS de scellement  UPS encaissants

diamètre à l'ouverture\*  x  diamètre maximal\*

profondeur observée\*  Volume estimé (m3)

coupe ST  coupée par ST

Protocole de fouille

Notes sur la structure

Comblement  Datation

Légendes de la coupe

Prélèvements

Mobilier  Tamisage

Faune  Lithique  Céramique  Terre crue-cuite  Métal  Restes humains

Industrie osseuse  Macroolithique  Pierres (en g)  Parure  Autres

Malacofaune  Microfaune  Carporesses  Anthracorestes

Négatif

OA9785 - Clos de Roque - Saint-Maximin-la-Sainte-Baume - Var - 2011

Numéro de structure  Secteur  Type de structure

Date de fouille  Minutes

Photos

Points topographiques

X (Lambert III)  \* (m) Y (Lambert III)

Altitude supérieure  Altitude inférieure

forme en coupe  forme en plan

UPS de scellement  UPS encaissants

diamètre à l'ouverture\*  x  diamètre maximal\*

profondeur observée\*  Volume estimé (m3)

coupe ST  coupée par ST

Protocole de fouille

Notes sur la structure

Comblement  Datation

Légendes de la coupe

Prélèvements

Mobilier  Tamisage

Faune  Lithique  Céramique  Terre crue-cuite  Métal  Restes humains

Industrie osseuse  Macroolithique  Pierres (en g)  Parure  Autres

Malacofaune  Microfaune  Carporesses  Anthracorestes

Présence

Négatif

OA9785 - Clos de Roque - Saint-Maximin-la-Sainte-Baume - Var - 2011

Numéro de structure  Secteur  Type de structure

Date de fouille  Minutes

Photos

Points topographiques

X (Lambert III)  \* (m) Y (Lambert III)

Altitude supérieure  Altitude inférieure

forme en coupe  forme en plan

UPS de scellement  UPS encaissants

diamètre à l'ouverture\*  x  diamètre maximal\*

profondeur observée\*  Volume estimé (m3)

coupe ST  coupée par ST

Protocole de fouille

Notes sur la structure

Comblement  Datation

Légendes de la coupe

Prélèvements

Mobilier  Tamisage

Faune  Lithique  Céramique  Terre crue-cuite  Métal  Restes humains

Industrie osseuse  Macroolithique  Pierres (en g)  Parure  Autres

Malacofaune  Microfaune  Carporesses  Anthracorestes

Présence

Négatif

OA9785 - Clos de Roque - Saint-Maximin-la-Sainte-Baume - Var - 2011

Numéro de structure  Secteur  Type de structure

Date de fouille  Minutes

Photos

Points topographiques

X (Lambert III)  \* (m) Y (Lambert III)

Altitude supérieure  Altitude inférieure

forme en coupe  forme en plan

UPS de scellement  UPS encaissants

diamètre à l'ouverture\*  x  diamètre maximal\*

profondeur observée\*  Volume estimé (m3)

coupe ST  coupée par ST

Protocole de fouille

Notes sur la structure

Comblement  Datation

Légendes de la coupe

Prélèvements

Mobilier  Tamisage

Faune  Lithique  Céramique  Terre crue-cuite  Métal  Restes humains

Industrie osseuse  Macroolithique  Pierres (en g)  Parure  Autres

Malacofaune  Microfaune  Carporesses  Anthracorestes

Présence

Annexe 3 - Le Clos de Roque, Saint-Maximin-la-Sainte-Baume (83). Inventaire des structures identifiées au décapage par fiches comprenant les indications des points topographiques, des minutes, des prélèvements et des photographies numériques de références.

Négatif <input type="checkbox"/>		OA9785 - Clos de Roque - Saint-Maximin-la-Sainte-Baume - Var - 2011	
Numéro de structure Date de fouille Photos	ST2014 29/06/2011 1130 - 1137 - 1143	Secteur Minutes	G03 602 - 603 - 604
Type de structure	Fosse		
Points topographiques	PT0568 - PT5807 à PT5808 - PT5941 à PT5969 - PT5842 à PT5845		
X (Lambert III) Altitude supérieure forme en coupe	885494.75 285.89 B3	Y (Lambert III) Altitude inférieure forme en plan	134903.63 285.64 Ovalaire
UPS de scellement diamètre à l'ouverture* profondeur observée*	UPS2 1.3 x 1.7 0.24	UPS encaissants diamètre maximal* Volume estimé (m3)	UPS3 1.7 0.4241
coupe ST	coupée par ST		
Protocole de fouille	Mottié Nord : fouille par passes manuelles Mottié Sud : fouille par passes manuelles		
Notes sur la structure	Fosse à surcreusement central, profil en palier calcaires et calcites brûlées		
Comblement	N-naturel Datation Néolithique final ind		
Légendes de la coupe	US1 : sédiment argilo-limoneux de couleur brun, compact et homogène, quelques cailloux de 1 à 5 cm, granules blancs millimétriques abondants, quelques éléments de terre cuite. Au centre concentration de nodules de terre cuite. US2 : mélange de sédiment de l'US1 et de l'UPS3 (US1a et c).		
Prélèvements	[ ]		
Mobilier	<input checked="" type="checkbox"/> Tamisage		
Faune Industrie osseuse Malacofaune	Lithique Macrolithique Microfaune	Céramique Pierres (en g) Carpocestes	Terre crue-cuite Parure Anthracocestes
Présence	25 Frgt meule Présence	33 375 [ ]	[ ] calcite [ ]

Négatif <input type="checkbox"/>		OA9785 - Clos de Roque - Saint-Maximin-la-Sainte-Baume - Var - 2011	
Numéro de structure Date de fouille Photos	ST2015 27/06/2011 1091 - 1127 - 1150 - 1169	Secteur Minutes	G04 560 - 561 - 562
Type de structure	Fosse		
Points topographiques	PT0569 - PT5515 à PT5520 - PT5664 à PT5670		
X (Lambert III) Altitude supérieure forme en coupe	885500.56 285.8 B2	Y (Lambert III) Altitude inférieure forme en plan	134906.58 285.72 Ovalaire
UPS de scellement diamètre à l'ouverture* profondeur observée*	UPS2 1.5 x 1 0.08	UPS encaissants diamètre maximal* Volume estimé (m3)	UPS3 1.5 0.0982
coupe ST	coupée par ST		
Protocole de fouille	Mottié Nord : fouille par passes manuelles Mottié Sud : fouille par passes manuelles		
Notes sur la structure	Foyer en fosse moderne, présence de fragment de tuiles canal		
Comblement	N-naturel Datation Historique		
Légendes de la coupe	US1a : sédiment limono-argileux de couleur brun, meuble et homogène, radicelles abondantes. US1b : sédiment limono-argileux de couleur brun, meuble et homogène. Présence de charbons millimétriques et de nodules de terre cuite. US2 : sédiment limono-argileux de couleur brun à noirâtre, présence de zones rubéfiées avec de nombreux charbons centimétriques (> 5 cm) et quelques poches cendreuses.		
Prélèvements	PR131 (PT5576) : anthracologie		
Mobilier	<input type="checkbox"/> Tamisage		
Faune Industrie osseuse Malacofaune	Lithique Macrolithique Microfaune	Céramique Pierres (en g) Carpocestes	Terre crue-cuite Parure Anthracocestes
Présence	[ ] [ ] [ ]	1 Présence [ ]	[ ] [ ] [ ]

Négatif <input checked="" type="checkbox"/>		OA9785 - Clos de Roque - Saint-Maximin-la-Sainte-Baume - Var - 2011	
Numéro de structure Date de fouille Photos	ST2016 15/06/2011	Secteur Minutes	H02 [ ]
Type de structure	Dépression		
Points topographiques	PT0570		
X (Lambert III) Altitude supérieure forme en coupe	885489.02 285.97 [ ]	Y (Lambert III) Altitude inférieure forme en plan	134891.01 285.93 [ ]
UPS de scellement diamètre à l'ouverture* profondeur observée*	UPS2 [ ] x [ ] [ ]	UPS encaissants diamètre maximal* Volume estimé (m3)	UPS3 [ ] [ ]
coupe ST	coupée par ST		
Protocole de fouille	Mottié Nord : fouille par passes manuelles Mottié Sud : fouille par passes manuelles		
Notes sur la structure	Silon de labour profond moderne		
Comblement	N-naturel Datation Néant		
Légendes de la coupe	US1 : sédiment limoneux de couleur brun, meuble et homogène, quelques galets de 1 à 3 cm, radicelles abondantes.		
Prélèvements	[ ]		
Mobilier	<input type="checkbox"/> Tamisage		
Faune Industrie osseuse Malacofaune	Lithique Macrolithique Microfaune	Céramique Pierres (en g) Carpocestes	Terre crue-cuite Parure Anthracocestes
Présence	[ ] [ ] [ ]	[ ] [ ] [ ]	[ ] [ ] [ ]

Négatif <input type="checkbox"/>		OA9785 - Clos de Roque - Saint-Maximin-la-Sainte-Baume - Var - 2011	
Numéro de structure Date de fouille Photos	ST2017 29/06/2011 1002 - 1223 - 1298	Secteur Minutes	G04 635 - 636 - 637
Type de structure	Fosse		
Points topographiques	PT0571 - PT5352 à PT5359 - PT5863 à PT5864 - PT6259 à PT6262		
X (Lambert III) Altitude supérieure forme en coupe	885494.95 286.07 B2	Y (Lambert III) Altitude inférieure forme en plan	134883.8 285.96 Ovalaire
UPS de scellement diamètre à l'ouverture* profondeur observée*	UPS2 0.95 x 0.80 0.10	UPS encaissants diamètre maximal* Volume estimé (m3)	UPS3 0.95 0.0594
coupe ST	coupée par ST		
Protocole de fouille	Mottié Sud : fouille par passes à la pelle mécanique Mottié Nord : fouille par passes manuelles		
Notes sur la structure	fosse moderne		
Comblement	N-naturel Datation Historique		
Légendes de la coupe	US1 : sédiment limoneux de couleur brun, meuble et homogène, quelques cailloux de 1 à 5 cm, racines et radicelles.		
Prélèvements	[ ]		
Mobilier	<input type="checkbox"/> Tamisage		
Faune Industrie osseuse Malacofaune	Lithique Macrolithique Microfaune	Céramique Pierres (en g) Carpocestes	Terre crue-cuite Parure Anthracocestes
Présence	[ ] [ ] [ ]	[ ] [ ] [ ]	[ ] [ ] [ ]

Annexe 3 - Le Clos de Roque, Saint-Maximin-la-Sainte-Baume (83). Inventaire des structures identifiées au décapage par fiches comprenant les indications des points topographiques, des minutes, des prélèvements et des photographies numériques de références.

<p>Négatif <input type="checkbox"/></p> <p style="text-align: center;">OA9785 - Clos de Roque - Saint-Maximin-la-Sainte-Baume - Var - 2011</p> <p>Numéro de structure <input type="text" value="ST2018"/> Secteur <input type="text" value="I04"/> Type de structure <input type="text" value="Trou de poteau"/></p> <p>Date de fouille <input type="text" value="28/06/2011"/> Minutes <input type="text" value="629 - 630 - 631"/></p> <p>Photos <input type="text" value="1100 - 1220 - 1234"/></p> <p>Points topographiques <input type="text" value="PT0572 - PT5362 à PT5369 - PT5861 à PT5862 - PT6216 à PT6225"/></p> <p>X (Lambert III) <input type="text" value="885503.97"/> * (m) Y (Lambert III) <input type="text" value="134889"/></p> <p>Altitude supérieure <input type="text" value="286.01"/> Altitude inférieure <input type="text" value="285.78"/></p> <p>forme en coupe <input type="text" value="B2"/> forme en plan <input type="text" value="Ovalaire"/></p> <p>UPS de scellement <input type="text" value="UPS2"/> UPS encaissants <input type="text" value="UPS3"/></p> <p>diamètre à l'ouverture* <input type="text" value="0.51"/> x <input type="text" value="0.42"/> diamètre maximal* <input type="text" value="0.51"/></p> <p>profondeur observée* <input type="text" value="0.27"/> Volume estimé (m3) <input type="text" value="0.0478"/></p> <p>coupe ST <input type="text"/></p> <p>Protocole de fouille <input type="text" value="Moitié Sud : fouille par passes à la pelle mécanique&lt;br/&gt;Moitié Nord : fouille par passes manuelles"/></p> <p>Notes sur la structure <input type="text" value="Trou de poteau qui appartient à un ensemble organisé en ligne de trous de poteaux sur 11 m de long (Ensemble E), orienté nord-ouest sud-est, à l'est de l'Ensemble D."/></p> <p>Comblement <input type="text" value="N-naturel"/> Datation <input type="text" value="Bronze ancien prob"/></p> <p>Légendes de la coupe <input type="text" value="US1 : sédiment argilo-limoneux de couleur brun foncé, compact et homogène, quelques cailloux de 1 à 5 cm, granules blancs millimétriques abondants, charbons millimétriques, racines et radicelles.&lt;br/&gt;US2 : mélange de sédiment de l'US1 et de l'UPS3."/></p> <p>Prélèvements <input type="text"/></p> <p>Mobilier <input checked="" type="checkbox"/> Tamisage</p> <p>Faune <input type="text"/> Lithique <input type="text"/> Céramique <input type="text"/> Terre crue-cuite <input type="text"/> Métal <input type="text"/> Restes humains <input type="text"/></p> <p>Industrie osseuse <input type="text"/> Macroolithique <input type="text"/> Pierres (en g) <input type="text"/> Parure <input type="text"/> Autres <input type="text"/></p> <p>Malacofaune <input type="text"/> Microfaune <input type="text"/> Carporesses <input type="text"/> Anthracorestes <input type="text"/></p> <p>Présence <input type="text"/></p>	<p>Négatif <input type="checkbox"/></p> <p style="text-align: center;">OA9785 - Clos de Roque - Saint-Maximin-la-Sainte-Baume - Var - 2011</p> <p>Numéro de structure <input type="text" value="ST2019"/> Secteur <input type="text" value="I04"/> Type de structure <input type="text" value="Tranchée de plantation"/></p> <p>Date de fouille <input type="text" value="17/06/2011"/> Minutes <input type="text"/></p> <p>Photos <input type="text" value="1080"/></p> <p>Points topographiques <input type="text" value="PT0573 - PT5147 à PT5150"/></p> <p>X (Lambert III) <input type="text" value="885503.83"/> * (m) Y (Lambert III) <input type="text" value="134880.35"/></p> <p>Altitude supérieure <input type="text" value="286.15"/> Altitude inférieure <input type="text" value="286.1"/></p> <p>forme en coupe <input type="text" value="C"/> forme en plan <input type="text" value="Rectangulaire"/></p> <p>UPS de scellement <input type="text" value="UPS2"/> UPS encaissants <input type="text" value="UPS3"/></p> <p>diamètre à l'ouverture* <input type="text" value="1"/> x <input type="text" value="0.45"/> diamètre maximal* <input type="text" value="1"/></p> <p>profondeur observée* <input type="text" value="0.05"/> Volume estimé (m3) <input type="text" value="0.0225"/></p> <p>coupe ST <input type="text"/></p> <p>Protocole de fouille <input type="text" value="Moitié Sud : fouille par passes à la pelle mécanique&lt;br/&gt;Moitié Nord : fouille par passes manuelles"/></p> <p>Notes sur la structure <input type="text" value="Fosse de plantation moderne rectangulaire."/></p> <p>Comblement <input type="text" value="N-naturel"/> Datation <input type="text" value="Historique"/></p> <p>Légendes de la coupe <input type="text" value="Sédiment limono-argileux brun, meuble, quelques galets de 1 à 2 cm, racines et radicelles."/></p> <p>Prélèvements <input type="text"/></p> <p>Mobilier <input type="checkbox"/> Tamisage</p> <p>Faune <input type="text"/> Lithique <input type="text"/> Céramique <input type="text"/> Terre crue-cuite <input type="text"/> Métal <input type="text"/> Restes humains <input type="text"/></p> <p>Industrie osseuse <input type="text"/> Macroolithique <input type="text"/> Pierres (en g) <input type="text"/> Parure <input type="text"/> Autres <input type="text"/></p> <p>Malacofaune <input type="text"/> Microfaune <input type="text"/> Carporesses <input type="text"/> Anthracorestes <input type="text"/></p> <p>Présence <input type="text"/></p>
<p>Négatif <input type="checkbox"/></p> <p style="text-align: center;">OA9785 - Clos de Roque - Saint-Maximin-la-Sainte-Baume - Var - 2011</p> <p>Numéro de structure <input type="text" value="ST2020"/> Secteur <input type="text" value="H11"/> Type de structure <input type="text" value="Fosse"/></p> <p>Date de fouille <input type="text" value="28/06/2011"/> Minutes <input type="text" value="611 - 612 - 613"/></p> <p>Photos <input type="text" value="1182 - 1211 - 1270"/></p> <p>Points topographiques <input type="text" value="PT0603 - PT5687 à PT5694 - PT6183 à PT6186 - PT5781 à PT5782"/></p> <p>X (Lambert III) <input type="text" value="885572.74"/> * (m) Y (Lambert III) <input type="text" value="134890.7"/></p> <p>Altitude supérieure <input type="text" value="285.69"/> Altitude inférieure <input type="text" value="285.59"/></p> <p>forme en coupe <input type="text" value="B2"/> forme en plan <input type="text" value="Circulaire"/></p> <p>UPS de scellement <input type="text" value="UPS2"/> UPS encaissants <input type="text" value="UPS3"/></p> <p>diamètre à l'ouverture* <input type="text" value="0.95"/> x <input type="text" value="0.95"/> diamètre maximal* <input type="text" value="0.95"/></p> <p>profondeur observée* <input type="text" value="0.10"/> Volume estimé (m3) <input type="text" value="0.0709"/></p> <p>coupe ST <input type="text"/></p> <p>Protocole de fouille <input type="text" value="Moitié Nord : fouille par passes à la pelle mécanique&lt;br/&gt;Moitié Sud : fouille par passes manuelles"/></p> <p>Notes sur la structure <input type="text" value="Présence de peu d'éléments de malacologie, sans doute comblement rapide anthropique."/></p> <p>Comblement <input type="text" value="A-anthropique"/> Datation <input type="text" value="NéoProto"/></p> <p>Légendes de la coupe <input type="text" value="US1 : sédiment argilo-limoneux de couleur brun foncé, compact et homogène, quelques cailloux de 1 à 5 cm, granules blancs millimétriques abondants, racines et radicelles."/></p> <p>Prélèvements <input type="text"/></p> <p>Mobilier <input checked="" type="checkbox"/> Tamisage</p> <p>Faune <input type="text" value="13"/> Lithique <input type="text"/> Céramique <input type="text"/> Terre crue-cuite <input type="text"/> Métal <input type="text"/> Restes humains <input type="text"/></p> <p>Industrie osseuse <input type="text"/> Macroolithique <input type="text"/> Pierres (en g) <input type="text"/> Parure <input type="text"/> Autres <input type="text"/></p> <p>Malacofaune <input type="text"/> Microfaune <input type="text"/> Carporesses <input type="text"/> Anthracorestes <input type="text"/></p> <p>Présence <input type="text"/></p>	<p>Négatif <input type="checkbox"/></p> <p style="text-align: center;">OA9785 - Clos de Roque - Saint-Maximin-la-Sainte-Baume - Var - 2011</p> <p>Numéro de structure <input type="text" value="ST2021"/> Secteur <input type="text" value="H11"/> Type de structure <input type="text" value="Fosse"/></p> <p>Date de fouille <input type="text" value="28/06/2011"/> Minutes <input type="text" value="617 - 618 - 619"/></p> <p>Photos <input type="text" value="1181 - 1201 - 1277 - 1278"/></p> <p>Points topographiques <input type="text" value="PT0604 - PT5678 à PT5685 - PT5773 à PT5774 - PT5781 à PT5782 - PT6159 à PT6164"/></p> <p>X (Lambert III) <input type="text" value="885570.08"/> * (m) Y (Lambert III) <input type="text" value="134883.57"/></p> <p>Altitude supérieure <input type="text" value="285.85"/> Altitude inférieure <input type="text" value="285.17"/></p> <p>forme en coupe <input type="text" value="A3"/> forme en plan <input type="text" value="Ovalaire"/></p> <p>UPS de scellement <input type="text" value="UPS2"/> UPS encaissants <input type="text" value="UPS3"/></p> <p>diamètre à l'ouverture* <input type="text" value="1.10"/> x <input type="text" value="0.98"/> diamètre maximal* <input type="text" value="1.10"/></p> <p>profondeur observée* <input type="text" value="0.68"/> Volume estimé (m3) <input type="text" value="0.5777"/></p> <p>coupe ST <input type="text"/></p> <p>Protocole de fouille <input type="text" value="Moitié Sud : fouille par passes à la pelle mécanique&lt;br/&gt;Moitié Nord : fouille par passes manuelles"/></p> <p>Notes sur la structure <input type="text" value="Fosse à comblement rapide, avec apports de vidanges de foyer (cendres, charbons, fragments de sole en terre cuite).&lt;br/&gt;Présence de calcaires brûlés et de calcites"/></p> <p>Comblement <input type="text" value="AN-anthropique et"/> Datation <input type="text" value="Néolithique final phase 2"/></p> <p>Légendes de la coupe <input type="text" value="US1 : sédiment argilo-limoneux de couleur brun foncé à noirâtre, compact et homogène, quelques cailloux de 1 à 5 cm, charbons millimétriques abondants, racines et radicelles.&lt;br/&gt;US2 : lentilles d'UPS3&lt;br/&gt;US3 : sédiment argilo-limoneux de couleur rougeâtre, compact et homogène, charbons millimétriques abondants (niveau de terre cuite). Matériel céramique abondant.&lt;br/&gt;US4 : sédiment argilo-limoneux gris, avec des inclusions de nodules de terres cuites, charbons millimétriques abondants (niveaux de cendres)."/></p> <p>Prélèvements <input type="text" value="PR146, 147, 149 et 150 (PT5856 - PT5857 - PT5868 - PT5877) : Anthracologie&lt;br/&gt;sustraction des escargots de PR147 pour l'étude malacologique"/></p> <p>Mobilier <input checked="" type="checkbox"/> Tamisage</p> <p>Faune <input type="text" value="481"/> Lithique <input type="text" value="39"/> Céramique <input type="text" value="416"/> Terre crue-cuite <input type="text" value="Présence"/> Métal <input type="text"/> Restes humains <input type="text"/></p> <p>Industrie osseuse <input type="text"/> Macroolithique <input type="text"/> Pierres (en g) <input type="text"/> Parure <input type="text"/> Autres <input type="text" value="fragment de moule, poudingue, grès"/></p> <p>Malacofaune <input type="text" value="1"/> Frgt meules (5) <input type="text" value="4045"/> Carporesses <input type="text"/> Anthracorestes <input type="text"/></p> <p>Présence <input type="text"/></p>

Annexe 3 - Le Clos de Roque, Saint-Maximin-la-Sainte-Baume (83). Inventaire des structures identifiées au décapage par fiches comprenant les indications des points topographiques, des minutes, des prélèvements et des photographies numériques de références.

Négatif

OA9785 - Clos de Roque - Saint-Maximin-la-Sainte-Baume - Var - 2011

Numéro de structure ST2022 Secteur I10 Type de structure Terrier

Date de fouille 21/06/2011 Minutes 384 - 385 - 386

Photos 0792 - 0806 - 0807 - 0850 - 0852 à 0855

Points topographiques PT0605 - PT4075 à PT4078 - PT4237 à PT4238 - PT4332 à PT4343

X (Lambert III) 885568.84 \* (m) Y (Lambert III) 134889.11

Altitude supérieure 285.77 Altitude inférieure 285.63

forme en coupe B2 forme en plan Longiligne

UPS de scellement UPS2 UPS encaissants UPS3

diamètre à l'ouverture\* 0.4 x diamètre maximal\* 0.4

profondeur observée\* 0.18 Volume estimé (m3)

coupe ST coupée par ST

Protocole de fouille Moitié Sud : fouille par passes manuelles  
Moitié Nord : fouille par passes manuelles

Notes sur la structure Galerie de terrier, sans doute pré ou protohistorique. Comblement qui se rapproche de celui des fosses attribuables à cette période.

Comblement N-naturel Datation Néant

Légendes de la coupe US1 : sédiment argilo-limoneux de couleur brun foncé, compact et homogène, quelques cailloux de 1 à 5 cm, granules blancs millimétriques abondants, racines et radicelles.  
US2 : mélange de sédiment de l'US1 et de l'UPS3.

Prélèvements

Mobilier  Tamisage Restes humains

Faune Lithique Céramique Terre crue-cuite Métal

Industrie osseuse Macrolithique Pierres (en g) Parure Autres

Malacofaune Microfaune Carporesses Anthracorestes

Présence

Négatif

OA9785 - Clos de Roque - Saint-Maximin-la-Sainte-Baume - Var - 2011

Numéro de structure ST2023 Secteur H10 Type de structure Terrier

Date de fouille 21/06/2011 Minutes 387 - 388 - 389

Photos 0791 - 0800 - 0851 - 0852 à 0855

Points topographiques PT0606 - PT4071 à PT4074 - PT4235 à PT4236 - PT4344 à PT4363

X (Lambert III) 885566.67 \* (m) Y (Lambert III) 134890.62

Altitude supérieure 285.79 Altitude inférieure 285.69

forme en coupe B2 forme en plan Longiligne

UPS de scellement UPS2 UPS encaissants UPS3

diamètre à l'ouverture\* 0.35 x diamètre maximal\* 0.4

profondeur observée\* 0.2 Volume estimé (m3)

coupe ST coupée par ST

Protocole de fouille Moitié Sud : fouille par passes manuelles  
Moitié Nord : fouille par passes manuelles

Notes sur la structure Galerie de terrier, sans doute pré ou protohistorique. Comblement qui se rapproche de celui des fosses attribuables à cette période.

Comblement N-naturel Datation Néant

Légendes de la coupe US1 : sédiment argilo-limoneux de couleur brun foncé, compact et homogène, quelques cailloux de 1 à 5 cm, granules blancs millimétriques abondants, racines et radicelles.  
US2 : mélange de sédiment de l'US1 et de l'UPS3.

Prélèvements

Mobilier  Tamisage Restes humains

Faune Lithique Céramique Terre crue-cuite Métal

Industrie osseuse Macrolithique Pierres (en g) Parure Autres

Malacofaune Microfaune Carporesses Anthracorestes

Présence

Négatif

OA9785 - Clos de Roque - Saint-Maximin-la-Sainte-Baume - Var - 2011

Numéro de structure ST2024 Secteur I10 Type de structure Fosse

Date de fouille 27/06/2011 Minutes 678 - 679 - 680

Photos 1187 - 1252 - 1253 - 1293

Points topographiques PT0607 - PT5703 à PT5710 - PT6289 à PT6294 - PT5790 - PT5791 - PT6182

X (Lambert III) 885562.89 \* (m) Y (Lambert III) 134888.17

Altitude supérieure 285.88 Altitude inférieure 285.60

forme en coupe F1 forme en plan Ovale

UPS de scellement UPS2 UPS encaissants UPS3

diamètre à l'ouverture\* 1.3 x diamètre maximal\* 1.3

profondeur observée\* 0.32 Volume estimé (m3) 0.3619

coupe ST coupée par ST

Protocole de fouille Moitié Nord : fouille par passes à la pelle mécanique  
Moitié Sud : fouille par passes manuelles

Notes sur la structure Fosse avec un remplissage différent, peut-être deux fosses qui se recoupent. L'une avec des charbons et de la terre cuite dans le remplissage, l'autre non.

Comblement N-naturel Datation Néo/Proto

Légendes de la coupe US1a (fosse 1) : sédiment argilo-limoneux de couleur brun foncé, compact et homogène, quelques cailloux de 1 à 5 cm, granules blancs millimétriques abondants, nodules de terre cuite et charbons millimétriques peu abondants, racines et radicelles dans la partie supérieure.  
US1b (fosse 2) : sédiment argilo-limoneux de couleur brun foncé, compact et homogène, quelques cailloux de 1 à 5 cm, granules blancs millimétriques abondants, racines et radicelles dans la partie supérieure.  
US2 : mélange de sédiment de l'US1 et de l'UPS3.

Prélèvements PR152 (PT6182) : carpologie ; PR153 : malacologie

Mobilier  Tamisage Restes humains

Faune Lithique Céramique Terre crue-cuite Métal

Industrie osseuse Macrolithique Pierres (en g) Parure Autres

Malacofaune Microfaune Carporesses Anthracorestes

Présence

Négatif

OA9785 - Clos de Roque - Saint-Maximin-la-Sainte-Baume - Var - 2011

Numéro de structure ST2025 Secteur I10 Type de structure Trou de poteau

Date de fouille 27/06/2011 Minutes 590 - 591 - 592

Photos 1188 - 1210 - 1212

Points topographiques PT0608 - PT5695 à PT5702 - PT5776 à PT5779 - PT5771 - PT5772

X (Lambert III) 885563.72 \* (m) Y (Lambert III) 134890.09

Altitude supérieure 285.84 Altitude inférieure 285.70

forme en coupe B2 forme en plan Ovale

UPS de scellement UPS2 UPS encaissants UPS3

diamètre à l'ouverture\* 0.46 x diamètre maximal\* 0.46

profondeur observée\* 0.12 Volume estimé (m3) 0.0166

coupe ST coupée par ST

Protocole de fouille Moitié Sud : fouille par passes manuelles  
Moitié Nord : fouille par passes manuelles

Notes sur la structure Bioturbations latérales qui déforment les bords.

Comblement N-naturel Datation Néo/Proto

Légendes de la coupe US1 : sédiment argilo-limoneux de couleur brun foncé, compact et homogène, quelques cailloux de 1 à 5 cm, granules blancs millimétriques abondants, racines et radicelles dans la partie supérieure, inclusions d'UPS3 peu abondants, racines et radicelles dans la partie supérieure.  
US2 : mélange de sédiment de l'US1 et de l'UPS3.

Prélèvements

Mobilier  Tamisage Restes humains

Faune Lithique Céramique Terre crue-cuite Métal

Industrie osseuse Macrolithique Pierres (en g) Parure Autres

Malacofaune Microfaune Carporesses Anthracorestes

Présence

Annexe 3 - Le Clos de Roque, Saint-Maximin-la-Sainte-Baume (83). Inventaire des structures identifiées au décapage par fiches comprenant les indications des points topographiques, des minutes, des prélèvements et des photographies numériques de références.

<p>Négatif <input checked="" type="checkbox"/></p> <p style="text-align: center;">OA9785 - Clos de Roque - Saint-Maximin-la-Sainte-Baume - Var - 2011</p> <p>Numéro de structure <input type="text" value="ST2026"/> Secteur <input type="text" value="H10"/> Type de structure <input type="text" value="Dépression"/></p> <p>Date de fouille <input type="text" value="28/06/2011"/> Minutes <input type="text"/></p> <p>Photos <input type="text"/></p> <p>Points topographiques <input type="text" value="PT0609"/></p> <p>X (Lambert III) <input type="text" value="885560.59"/> * (m) Y (Lambert III) <input type="text" value="134889.34"/></p> <p>Altitude supérieure <input type="text" value="285.88"/> Altitude inférieure <input type="text" value="285.85"/></p> <p>forme en coupe <input type="text"/> forme en plan <input type="text"/></p> <p>UPS de scellement <input type="text" value="UPS2"/> UPS encaissants <input type="text" value="UPS3"/></p> <p>diamètre à l'ouverture* <input type="text"/> x <input type="text"/> diamètre maximal* <input type="text"/></p> <p>profondeur observée* <input type="text"/> Volume estimé (m3) <input type="text"/></p> <p>coupe ST <input type="text"/> coupée par ST <input type="text"/></p> <p>Protocole de fouille <input type="text" value="Moitié Sud : fouille par passes à la pelle mécanique&lt;br/&gt;Moitié Nord : fouille par passes manuelles"/></p> <p>Notes sur la structure <input type="text" value="Sillon de labour profond moderne"/></p> <p>Comblement <input type="text" value="N-naturel"/> Datation <input type="text" value="Néant"/></p> <p>Légendes de la coupe <input type="text" value="US1 : sédiment limoneux de couleur brun, meuble et homogène, quelques galets de 1 à 3 cm, radicelles abondantes."/></p> <p>Prélèvements <input type="text"/></p> <p>Mobilier <input type="checkbox"/> Tamisage</p> <p>Faune <input type="text"/> Lithique <input type="text"/> Céramique <input type="text"/> Terre crue-cuite <input type="text"/> Métal <input type="text"/> Restes humains <input type="text"/></p> <p>Industrie osseuse <input type="text"/> Macrolithique <input type="text"/> Pierres (en g) <input type="text"/> Parure <input type="text"/> Autres <input type="text"/></p> <p>Malacofaune <input type="text"/> Microfaune <input type="text"/> Carporesses <input type="text"/> Anthracorestes <input type="text"/></p>	<p>Négatif <input type="checkbox"/></p> <p style="text-align: center;">OA9785 - Clos de Roque - Saint-Maximin-la-Sainte-Baume - Var - 2011</p> <p>Numéro de structure <input type="text" value="ST2027"/> Secteur <input type="text" value="H09"/> Type de structure <input type="text" value="Tranchée de plantation"/></p> <p>Date de fouille <input type="text" value="27/06/2011"/> Minutes <input type="text" value="689"/></p> <p>Photos <input type="text" value="1183"/></p> <p>Points topographiques <input type="text" value="PT0610 - PT5711 à PT5718"/></p> <p>X (Lambert III) <input type="text" value="885556.61"/> * (m) Y (Lambert III) <input type="text" value="134893.3"/></p> <p>Altitude supérieure <input type="text" value="285.95"/> Altitude inférieure <input type="text" value="285.9"/></p> <p>forme en coupe <input type="text" value="C"/> forme en plan <input type="text" value="Rectangulaire"/></p> <p>UPS de scellement <input type="text" value="UPS2"/> UPS encaissants <input type="text" value="UPS3"/></p> <p>diamètre à l'ouverture* <input type="text" value="1"/> x <input type="text" value="0.4"/> diamètre maximal* <input type="text"/></p> <p>profondeur observée* <input type="text" value="0.05"/> Volume estimé (m3) <input type="text" value="0.02"/></p> <p>coupe ST <input type="text"/> coupée par ST <input type="text"/></p> <p>Protocole de fouille <input type="text" value="Moitié Sud : fouille par passes à la pelle mécanique&lt;br/&gt;Moitié Nord : fouille par passes manuelles"/></p> <p>Notes sur la structure <input type="text" value="Fosse de plantation moderne"/></p> <p>Comblement <input type="text" value="N-naturel"/> Datation <input type="text" value="Historique"/></p> <p>Légendes de la coupe <input type="text" value="Sédiment limono-argileux brun, meuble, quelques galets de 1 à 2 cm."/></p> <p>Prélèvements <input type="text"/></p> <p>Mobilier <input type="checkbox"/> Tamisage</p> <p>Faune <input type="text"/> Lithique <input type="text"/> Céramique <input type="text"/> Terre crue-cuite <input type="text"/> Métal <input type="text"/> Restes humains <input type="text"/></p> <p>Industrie osseuse <input type="text"/> Macrolithique <input type="text"/> Pierres (en g) <input type="text"/> Parure <input type="text"/> Autres <input type="text"/></p> <p>Malacofaune <input type="text"/> Microfaune <input type="text"/> Carporesses <input type="text"/> Anthracorestes <input type="text"/></p>
<p>Négatif <input checked="" type="checkbox"/></p> <p style="text-align: center;">OA9785 - Clos de Roque - Saint-Maximin-la-Sainte-Baume - Var - 2011</p> <p>Numéro de structure <input type="text" value="ST2028"/> Secteur <input type="text" value="H09"/> Type de structure <input type="text" value="Dépression"/></p> <p>Date de fouille <input type="text" value="17/06/2011"/> Minutes <input type="text"/></p> <p>Photos <input type="text" value="0748"/></p> <p>Points topographiques <input type="text" value="PT0611"/></p> <p>X (Lambert III) <input type="text" value="885554.86"/> * (m) Y (Lambert III) <input type="text" value="134891.58"/></p> <p>Altitude supérieure <input type="text" value="285.97"/> Altitude inférieure <input type="text" value="285.95"/></p> <p>forme en coupe <input type="text"/> forme en plan <input type="text"/></p> <p>UPS de scellement <input type="text" value="UPS2"/> UPS encaissants <input type="text" value="UPS3"/></p> <p>diamètre à l'ouverture* <input type="text"/> x <input type="text"/> diamètre maximal* <input type="text"/></p> <p>profondeur observée* <input type="text"/> Volume estimé (m3) <input type="text"/></p> <p>coupe ST <input type="text"/> coupée par ST <input type="text"/></p> <p>Protocole de fouille <input type="text" value="Moitié Sud : fouille par passes à la pelle mécanique&lt;br/&gt;Moitié Nord : fouille par passes manuelles"/></p> <p>Notes sur la structure <input type="text" value="Sillon de labour profond moderne"/></p> <p>Comblement <input type="text" value="N-naturel"/> Datation <input type="text" value="Néant"/></p> <p>Légendes de la coupe <input type="text" value="US1 : sédiment limoneux de couleur brun, meuble et homogène, quelques galets de 1 à 3 cm, radicelles abondantes."/></p> <p>Prélèvements <input type="text"/></p> <p>Mobilier <input type="checkbox"/> Tamisage</p> <p>Faune <input type="text"/> Lithique <input type="text"/> Céramique <input type="text"/> Terre crue-cuite <input type="text"/> Métal <input type="text"/> Restes humains <input type="text"/></p> <p>Industrie osseuse <input type="text"/> Macrolithique <input type="text"/> Pierres (en g) <input type="text"/> Parure <input type="text"/> Autres <input type="text"/></p> <p>Malacofaune <input type="text"/> Microfaune <input type="text"/> Carporesses <input type="text"/> Anthracorestes <input type="text"/></p>	<p>Négatif <input checked="" type="checkbox"/></p> <p style="text-align: center;">OA9785 - Clos de Roque - Saint-Maximin-la-Sainte-Baume - Var - 2011</p> <p>Numéro de structure <input type="text" value="ST2029"/> Secteur <input type="text" value="H09"/> Type de structure <input type="text" value="Terrier"/></p> <p>Date de fouille <input type="text" value="27/06/2011"/> Minutes <input type="text" value="593"/></p> <p>Photos <input type="text" value="1184"/></p> <p>Points topographiques <input type="text" value="PT0612 - PT5719 à PT5728"/></p> <p>X (Lambert III) <input type="text" value="885555.96"/> * (m) Y (Lambert III) <input type="text" value="134895.98"/></p> <p>Altitude supérieure <input type="text" value="285.92"/> Altitude inférieure <input type="text" value="285.82"/></p> <p>forme en coupe <input type="text"/> forme en plan <input type="text"/></p> <p>UPS de scellement <input type="text" value="UPS2"/> UPS encaissants <input type="text" value="UPS3"/></p> <p>diamètre à l'ouverture* <input type="text"/> x <input type="text"/> diamètre maximal* <input type="text"/></p> <p>profondeur observée* <input type="text"/> Volume estimé (m3) <input type="text"/></p> <p>coupe ST <input type="text"/> coupée par ST <input type="text"/></p> <p>Protocole de fouille <input type="text" value="Moitié Sud : fouille par passes à la pelle mécanique&lt;br/&gt;Moitié Nord : fouille par passes manuelles"/></p> <p>Notes sur la structure <input type="text" value="Terrier"/></p> <p>Comblement <input type="text" value="N-naturel"/> Datation <input type="text" value="Néant"/></p> <p>Légendes de la coupe <input type="text" value="US1 : sédiment limoneux de couleur brun, meuble et homogène, quelques galets de 1 à 3 cm, radicelles abondantes."/></p> <p>Prélèvements <input type="text"/></p> <p>Mobilier <input type="checkbox"/> Tamisage</p> <p>Faune <input type="text"/> Lithique <input type="text"/> Céramique <input type="text"/> Terre crue-cuite <input type="text"/> Métal <input type="text"/> Restes humains <input type="text"/></p> <p>Industrie osseuse <input type="text"/> Macrolithique <input type="text"/> Pierres (en g) <input type="text"/> Parure <input type="text"/> Autres <input type="text"/></p> <p>Malacofaune <input type="text"/> Microfaune <input type="text"/> Carporesses <input type="text"/> Anthracorestes <input type="text"/></p>

Annexe 3 - Le Clos de Roque, Saint-Maximin-la-Sainte-Baume (83). Inventaire des structures identifiées au décapage par fiches comprenant les indications des points topographiques, des minutes, des prélèvements et des photographies numériques de références.

Négatif

OA9785 - Clos de Roque - Saint-Maximin-la-Sainte-Baume - Var - 2011

Numéro de structure  Secteur  Type de structure

Date de fouille  Minutes

Photos

Points topographiques

X (Lambert III)  \* (m) Y (Lambert III)

Altitude supérieure  Altitude inférieure

forme en coupe  forme en plan

UPS de scellement  UPS encaissants

diamètre à l'ouverture\*  x  diamètre maximal\*

profondeur observée\*  Volume estimé (m3)

coupe ST  coupée par ST

Protocole de fouille

Notes sur la structure

Comblement  Datation

Légendes de la coupe

Prélèvements

Mobilier

Faune	Lithique	Céramique	Terre crue-cuite	Métal	<input checked="" type="checkbox"/> Tamisage	Restes humains
<input type="text"/>	<input type="text"/>	<input type="text" value="12"/>	<input type="text"/>	<input type="text"/>	<input type="text"/>	<input type="text"/>
Industrie osseuse	Macrolithique	Pierres (en g)	Parure	Autres		
<input type="text"/>	<input type="text"/>	<input type="text"/>	<input type="text"/>	<input type="text" value="grès"/>		
Malacofaune	Microfaune	Carporestes	Anthracorestes	<input type="text"/>		
<input type="text"/>	<input type="text"/>	<input type="text"/>	<input type="text" value="Présence"/>	<input type="text"/>		

Négatif

OA9785 - Clos de Roque - Saint-Maximin-la-Sainte-Baume - Var - 2011

Numéro de structure  Secteur  Type de structure

Date de fouille  Minutes

Photos

Points topographiques

X (Lambert III)  \* (m) Y (Lambert III)

Altitude supérieure  Altitude inférieure

forme en coupe  forme en plan

UPS de scellement  UPS encaissants

diamètre à l'ouverture\*  x  diamètre maximal\*

profondeur observée\*  Volume estimé (m3)

coupe ST  coupée par ST

Protocole de fouille

Notes sur la structure

Comblement  Datation

Légendes de la coupe

Prélèvements

Mobilier

Faune	Lithique	Céramique	Terre crue-cuite	Métal	<input checked="" type="checkbox"/> Tamisage	Restes humains
<input type="text" value="6"/>	<input type="text" value="5"/>	<input type="text" value="19"/>	<input type="text"/>	<input type="text"/>	<input type="text"/>	<input type="text"/>
Industrie osseuse	Macrolithique	Pierres (en g)	Parure	Autres		
<input type="text"/>	<input type="text"/>	<input type="text" value="Présence"/>	<input type="text"/>	<input type="text"/>		
Malacofaune	Microfaune	Carporestes	Anthracorestes	<input type="text"/>		
<input type="text" value="Présence"/>	<input type="text"/>	<input type="text"/>	<input type="text"/>	<input type="text"/>		

Négatif

OA9785 - Clos de Roque - Saint-Maximin-la-Sainte-Baume - Var - 2011

Numéro de structure  Secteur  Type de structure

Date de fouille  Minutes

Photos

Points topographiques

X (Lambert III)  \* (m) Y (Lambert III)

Altitude supérieure  Altitude inférieure

forme en coupe  forme en plan

UPS de scellement  UPS encaissants

diamètre à l'ouverture\*  x  diamètre maximal\*

profondeur observée\*  Volume estimé (m3)

coupe ST  coupée par ST

Protocole de fouille

Notes sur la structure

Comblement  Datation

Légendes de la coupe

Prélèvements

Mobilier

Faune	Lithique	Céramique	Terre crue-cuite	Métal	<input checked="" type="checkbox"/> Tamisage	Restes humains
<input type="text" value="124"/>	<input type="text" value="22"/>	<input type="text" value="170"/>	<input type="text" value="Présence"/>	<input type="text"/>	<input type="text"/>	<input type="text"/>
Industrie osseuse	Macrolithique	Pierres (en g)	Parure	Autres		
<input type="text"/>	<input type="text" value="Frgt meules (2)"/>	<input type="text" value="10774"/>	<input type="text"/>	<input type="text" value="calcite, calcaires chaulés"/>		
Malacofaune	Microfaune	Carporestes	Anthracorestes	<input type="text"/>		
<input type="text" value="Présence"/>	<input type="text"/>	<input type="text"/>	<input type="text" value="Présence"/>	<input type="text"/>		

Négatif

OA9785 - Clos de Roque - Saint-Maximin-la-Sainte-Baume - Var - 2011

Numéro de structure  Secteur  Type de structure

Date de fouille  Minutes

Photos

Points topographiques

X (Lambert III)  \* (m) Y (Lambert III)

Altitude supérieure  Altitude inférieure

forme en coupe  forme en plan

UPS de scellement  UPS encaissants

diamètre à l'ouverture\*  x  diamètre maximal\*

profondeur observée\*  Volume estimé (m3)

coupe ST  coupée par ST

Protocole de fouille

Notes sur la structure

Comblement  Datation

Légendes de la coupe

Prélèvements

Mobilier

Faune	Lithique	Céramique	Terre crue-cuite	Métal	<input checked="" type="checkbox"/> Tamisage	Restes humains
<input type="text" value="3"/>	<input type="text" value="2"/>	<input type="text" value="5"/>	<input type="text"/>	<input type="text" value="1"/>	<input type="text"/>	<input type="text"/>
Industrie osseuse	Macrolithique	Pierres (en g)	Parure	Autres		
<input type="text"/>	<input type="text"/>	<input type="text" value="Présence"/>	<input type="text"/>	<input type="text" value="calcaires brûlés"/>		
Malacofaune	Microfaune	Carporestes	Anthracorestes	<input type="text"/>		
<input type="text" value="Présence"/>	<input type="text"/>	<input type="text"/>	<input type="text"/>	<input type="text"/>		

Annexe 3 - Le Clos de Roque, Saint-Maximin-la-Sainte-Baume (83). Inventaire des structures identifiées au décapage par fiches comprenant les indications des points topographiques, des minutes, des prélèvements et des photographies numériques de références.

<p>Négatif <input type="checkbox"/></p> <p style="text-align: center;">OA9785 - Clos de Roque - Saint-Maximin-la-Sainte-Baume - Var - 2011</p> <p>Numéro de structure <input type="text" value="ST2034"/> Secteur <input type="text" value="G07"/> Type de structure <input type="text" value="Fosse"/></p> <p>Date de fouille <input type="text" value="17/06/2011"/> Minutes <input type="text" value="409 - 410 - 411"/></p> <p>Photos <input type="text" value="0833 - 0882"/></p> <p>Points topographiques <input type="text" value="PT0617 - PT4319 à PT4322 - PT4391 à PT4401 - PT4466 à PT4467"/></p> <p>X (Lambert III) <input type="text" value="885535.21"/> * (m) Y (Lambert III) <input type="text" value="134902.56"/></p> <p>Altitude supérieure <input type="text" value="285.89"/> Altitude inférieure <input type="text" value="285.78"/></p> <p>forme en coupe <input type="text" value="B2"/> forme en plan <input type="text" value="Ovale"/></p> <p>UPS de scellement <input type="text" value="UPS2"/> UPS encaissants <input type="text" value="UPS3"/></p> <p>diamètre à l'ouverture* <input type="text" value="0.64"/> x <input type="text" value="0.53"/> diamètre maximal* <input type="text" value="0.64"/></p> <p>profondeur observée* <input type="text" value="0.1"/> Volume estimé (m3) <input type="text" value="0.0264"/></p> <p>coupe ST <input type="text" value="coupée par ST"/></p> <p>Protocole de fouille <input type="text" value="Moitié Sud : fouille par passes manuelles&lt;br/&gt;Moitié Nord : fouille par passes manuelles"/></p> <p>Notes sur la structure <input type="text" value="Terrier qui recoupe la fosse dans le quart Nord-Est."/></p> <p>Comblement <input type="text" value="N-naturel"/> Datation <input type="text" value="NéoProto"/></p> <p>Légendes de la coupe <input type="text" value="US1 : sédiment argilo-limoneux de couleur brun foncé, compact et homogène, quelques cailloux de 1 à 5 cm, granules blanches millimétriques abondants, charbons millimétriques abondants, racines et radicelles dans la partie supérieure.&lt;br/&gt;US2 : mélange de sédiment de l'US1 et de l'UPS3."/></p> <p>Prélèvements <input type="text"/></p> <p>Mobilier <input checked="" type="checkbox"/> Tamisage</p> <table border="1" style="width:100%; border-collapse: collapse;"> <tr> <td>Faune</td><td>Lithique</td><td>Céramique</td><td>Terre crue-cuite</td><td>Métal</td><td>Restes humains</td> </tr> <tr> <td><input type="text" value="6"/></td><td><input type="text" value="2"/></td><td><input type="text" value="1"/></td><td><input type="text"/></td><td><input type="text"/></td><td><input type="text"/></td> </tr> <tr> <td>Industrie osseuse</td><td>Macrolithique</td><td>Pierres (en g)</td><td>Parure</td><td colspan="2">Autres</td> </tr> <tr> <td><input type="text"/></td><td><input type="text"/></td><td><input type="text"/></td><td><input type="text"/></td><td colspan="2"><input type="text"/></td> </tr> <tr> <td>Malacofaune</td><td>Microfaune</td><td>Carporesses</td><td>Anthracorestes</td><td colspan="2"></td> </tr> <tr> <td><input type="text" value="Présence"/></td><td><input type="text"/></td><td><input type="text"/></td><td><input type="text" value="Présence"/></td><td colspan="2"></td> </tr> </table>	Faune	Lithique	Céramique	Terre crue-cuite	Métal	Restes humains	<input type="text" value="6"/>	<input type="text" value="2"/>	<input type="text" value="1"/>	<input type="text"/>	<input type="text"/>	<input type="text"/>	Industrie osseuse	Macrolithique	Pierres (en g)	Parure	Autres		<input type="text"/>	<input type="text"/>	<input type="text"/>	<input type="text"/>	<input type="text"/>		Malacofaune	Microfaune	Carporesses	Anthracorestes			<input type="text" value="Présence"/>	<input type="text"/>	<input type="text"/>	<input type="text" value="Présence"/>			<p>Négatif <input type="checkbox"/></p> <p style="text-align: center;">OA9785 - Clos de Roque - Saint-Maximin-la-Sainte-Baume - Var - 2011</p> <p>Numéro de structure <input type="text" value="ST2035"/> Secteur <input type="text" value="G07"/> Type de structure <input type="text" value="Fosse de plantation"/></p> <p>Date de fouille <input type="text" value="22/06/2011"/> Minutes <input type="text" value="447"/></p> <p>Photos <input type="text" value="0918 - 0987"/></p> <p>Points topographiques <input type="text" value="PT0618 - PT4723 à PT4728 - PT4777 à PT4781"/></p> <p>X (Lambert III) <input type="text" value="885533.4"/> * (m) Y (Lambert III) <input type="text" value="134906.23"/></p> <p>Altitude supérieure <input type="text" value="285.86"/> Altitude inférieure <input type="text" value="285.78"/></p> <p>forme en coupe <input type="text" value="C"/> forme en plan <input type="text" value="Circulaire"/></p> <p>UPS de scellement <input type="text" value="UPS2"/> UPS encaissants <input type="text" value="UPS3"/></p> <p>diamètre à l'ouverture* <input type="text" value="0.7"/> x <input type="text" value="0.64"/> diamètre maximal* <input type="text" value="0.7"/></p> <p>profondeur observée* <input type="text" value="0.08"/> Volume estimé (m3) <input type="text" value="0.0308"/></p> <p>coupe ST <input type="text" value="coupée par ST"/></p> <p>Protocole de fouille <input type="text" value="Moitié Sud : fouille par passes manuelles&lt;br/&gt;Moitié Nord : fouille par passes manuelles"/></p> <p>Notes sur la structure <input type="text" value="Fosse de plantation moderne"/></p> <p>Comblement <input type="text" value="N-naturel"/> Datation <input type="text" value="Historique"/></p> <p>Légendes de la coupe <input type="text" value="Sédiment limono-argileux brun, meuble, quelques galets de 1 à 2 cm, radicelles."/></p> <p>Prélèvements <input type="text"/></p> <p>Mobilier <input type="checkbox"/> Tamisage</p> <table border="1" style="width:100%; border-collapse: collapse;"> <tr> <td>Faune</td><td>Lithique</td><td>Céramique</td><td>Terre crue-cuite</td><td>Métal</td><td>Restes humains</td> </tr> <tr> <td><input type="text"/></td><td><input type="text"/></td><td><input type="text"/></td><td><input type="text"/></td><td><input type="text"/></td><td><input type="text"/></td> </tr> <tr> <td>Industrie osseuse</td><td>Macrolithique</td><td>Pierres (en g)</td><td>Parure</td><td colspan="2">Autres</td> </tr> <tr> <td><input type="text"/></td><td><input type="text"/></td><td><input type="text"/></td><td><input type="text"/></td><td colspan="2"><input type="text"/></td> </tr> <tr> <td>Malacofaune</td><td>Microfaune</td><td>Carporesses</td><td>Anthracorestes</td><td colspan="2"></td> </tr> <tr> <td><input type="text"/></td><td><input type="text"/></td><td><input type="text"/></td><td><input type="text"/></td><td colspan="2"></td> </tr> </table>	Faune	Lithique	Céramique	Terre crue-cuite	Métal	Restes humains	<input type="text"/>	<input type="text"/>	<input type="text"/>	<input type="text"/>	<input type="text"/>	<input type="text"/>	Industrie osseuse	Macrolithique	Pierres (en g)	Parure	Autres		<input type="text"/>	<input type="text"/>	<input type="text"/>	<input type="text"/>	<input type="text"/>		Malacofaune	Microfaune	Carporesses	Anthracorestes			<input type="text"/>	<input type="text"/>	<input type="text"/>	<input type="text"/>		
Faune	Lithique	Céramique	Terre crue-cuite	Métal	Restes humains																																																																				
<input type="text" value="6"/>	<input type="text" value="2"/>	<input type="text" value="1"/>	<input type="text"/>	<input type="text"/>	<input type="text"/>																																																																				
Industrie osseuse	Macrolithique	Pierres (en g)	Parure	Autres																																																																					
<input type="text"/>	<input type="text"/>	<input type="text"/>	<input type="text"/>	<input type="text"/>																																																																					
Malacofaune	Microfaune	Carporesses	Anthracorestes																																																																						
<input type="text" value="Présence"/>	<input type="text"/>	<input type="text"/>	<input type="text" value="Présence"/>																																																																						
Faune	Lithique	Céramique	Terre crue-cuite	Métal	Restes humains																																																																				
<input type="text"/>	<input type="text"/>	<input type="text"/>	<input type="text"/>	<input type="text"/>	<input type="text"/>																																																																				
Industrie osseuse	Macrolithique	Pierres (en g)	Parure	Autres																																																																					
<input type="text"/>	<input type="text"/>	<input type="text"/>	<input type="text"/>	<input type="text"/>																																																																					
Malacofaune	Microfaune	Carporesses	Anthracorestes																																																																						
<input type="text"/>	<input type="text"/>	<input type="text"/>	<input type="text"/>																																																																						
<p>Négatif <input type="checkbox"/></p> <p style="text-align: center;">OA9785 - Clos de Roque - Saint-Maximin-la-Sainte-Baume - Var - 2011</p> <p>Numéro de structure <input type="text" value="ST2036"/> Secteur <input type="text" value="G07"/> Type de structure <input type="text" value="Trou de poteau"/></p> <p>Date de fouille <input type="text" value="17/06/2011"/> Minutes <input type="text" value="470 - 471 - 472"/></p> <p>Photos <input type="text" value="0877 - 0917 - 0986"/></p> <p>Points topographiques <input type="text" value="PT0619 - PT4474 à PT4477 - PT4721 à PT4722 - PT4939 à PT4948"/></p> <p>X (Lambert III) <input type="text" value="885532.53"/> * (m) Y (Lambert III) <input type="text" value="134903.6"/></p> <p>Altitude supérieure <input type="text" value="285.87"/> Altitude inférieure <input type="text" value="285.78"/></p> <p>forme en coupe <input type="text" value="B2"/> forme en plan <input type="text" value="Circulaire"/></p> <p>UPS de scellement <input type="text" value="UPS2"/> UPS encaissants <input type="text" value="UPS3"/></p> <p>diamètre à l'ouverture* <input type="text" value="0.46"/> x <input type="text" value="0.46"/> diamètre maximal* <input type="text" value="0.46"/></p> <p>profondeur observée* <input type="text" value="0.12"/> Volume estimé (m3) <input type="text" value="0.0199"/></p> <p>coupe ST <input type="text" value="coupée par ST"/></p> <p>Protocole de fouille <input type="text" value="Moitié Sud : fouille par passes manuelles&lt;br/&gt;Moitié Nord : fouille par passes manuelles"/></p> <p>Notes sur la structure <input type="text"/></p> <p>Comblement <input type="text" value="N-naturel"/> Datation <input type="text" value="NéoProto"/></p> <p>Légendes de la coupe <input type="text" value="US1 : sédiment argilo-limoneux de couleur brun foncé, compact et homogène, racines et radicelles dans la partie supérieure.&lt;br/&gt;US2 : mélange de sédiment de l'US1 et de l'UPS3."/></p> <p>Prélèvements <input type="text"/></p> <p>Mobilier <input checked="" type="checkbox"/> Tamisage</p> <table border="1" style="width:100%; border-collapse: collapse;"> <tr> <td>Faune</td><td>Lithique</td><td>Céramique</td><td>Terre crue-cuite</td><td>Métal</td><td>Restes humains</td> </tr> <tr> <td><input type="text"/></td><td><input type="text"/></td><td><input type="text"/></td><td><input type="text"/></td><td><input type="text"/></td><td><input type="text"/></td> </tr> <tr> <td>Industrie osseuse</td><td>Macrolithique</td><td>Pierres (en g)</td><td>Parure</td><td colspan="2">Autres</td> </tr> <tr> <td><input type="text"/></td><td><input type="text"/></td><td><input type="text"/></td><td><input type="text"/></td><td colspan="2"><input type="text"/></td> </tr> <tr> <td>Malacofaune</td><td>Microfaune</td><td>Carporesses</td><td>Anthracorestes</td><td colspan="2"></td> </tr> <tr> <td><input type="text"/></td><td><input type="text"/></td><td><input type="text"/></td><td><input type="text"/></td><td colspan="2"></td> </tr> </table>	Faune	Lithique	Céramique	Terre crue-cuite	Métal	Restes humains	<input type="text"/>	<input type="text"/>	<input type="text"/>	<input type="text"/>	<input type="text"/>	<input type="text"/>	Industrie osseuse	Macrolithique	Pierres (en g)	Parure	Autres		<input type="text"/>	<input type="text"/>	<input type="text"/>	<input type="text"/>	<input type="text"/>		Malacofaune	Microfaune	Carporesses	Anthracorestes			<input type="text"/>	<input type="text"/>	<input type="text"/>	<input type="text"/>			<p>Négatif <input type="checkbox"/></p> <p style="text-align: center;">OA9785 - Clos de Roque - Saint-Maximin-la-Sainte-Baume - Var - 2011</p> <p>Numéro de structure <input type="text" value="ST2037"/> Secteur <input type="text" value="F06"/> Type de structure <input type="text" value="Tranchée de plantation"/></p> <p>Date de fouille <input type="text" value="23/06/2011"/> Minutes <input type="text"/></p> <p>Photos <input type="text" value="1016"/></p> <p>Points topographiques <input type="text" value="PT0620 - PT4949 à PT4952"/></p> <p>X (Lambert III) <input type="text" value="885528.9"/> * (m) Y (Lambert III) <input type="text" value="134910.54"/></p> <p>Altitude supérieure <input type="text" value="285.88"/> Altitude inférieure <input type="text" value="285.83"/></p> <p>forme en coupe <input type="text" value="C"/> forme en plan <input type="text" value="Rectangulaire"/></p> <p>UPS de scellement <input type="text" value="UPS2"/> UPS encaissants <input type="text" value="UPS3"/></p> <p>diamètre à l'ouverture* <input type="text" value="0.96"/> x <input type="text" value="0.35"/> diamètre maximal* <input type="text" value="0.96"/></p> <p>profondeur observée* <input type="text" value="0.05"/> Volume estimé (m3) <input type="text" value="0.0168"/></p> <p>coupe ST <input type="text" value="coupée par ST"/></p> <p>Protocole de fouille <input type="text" value="Moitié Sud : fouille par passes à la pelle mécanique&lt;br/&gt;Moitié Nord : fouille par passes manuelles"/></p> <p>Notes sur la structure <input type="text" value="Fosse de plantation moderne (0.96 x 0.35 m)"/></p> <p>Comblement <input type="text" value="N-naturel"/> Datation <input type="text" value="Historique"/></p> <p>Légendes de la coupe <input type="text" value="Sédiment limono-argileux brun, meuble, quelques galets de 1 à 2 cm, radicelles."/></p> <p>Prélèvements <input type="text"/></p> <p>Mobilier <input type="checkbox"/> Tamisage</p> <table border="1" style="width:100%; border-collapse: collapse;"> <tr> <td>Faune</td><td>Lithique</td><td>Céramique</td><td>Terre crue-cuite</td><td>Métal</td><td>Restes humains</td> </tr> <tr> <td><input type="text"/></td><td><input type="text"/></td><td><input type="text"/></td><td><input type="text"/></td><td><input type="text"/></td><td><input type="text"/></td> </tr> <tr> <td>Industrie osseuse</td><td>Macrolithique</td><td>Pierres (en g)</td><td>Parure</td><td colspan="2">Autres</td> </tr> <tr> <td><input type="text"/></td><td><input type="text"/></td><td><input type="text"/></td><td><input type="text"/></td><td colspan="2"><input type="text"/></td> </tr> <tr> <td>Malacofaune</td><td>Microfaune</td><td>Carporesses</td><td>Anthracorestes</td><td colspan="2"></td> </tr> <tr> <td><input type="text"/></td><td><input type="text"/></td><td><input type="text"/></td><td><input type="text"/></td><td colspan="2"></td> </tr> </table>	Faune	Lithique	Céramique	Terre crue-cuite	Métal	Restes humains	<input type="text"/>	<input type="text"/>	<input type="text"/>	<input type="text"/>	<input type="text"/>	<input type="text"/>	Industrie osseuse	Macrolithique	Pierres (en g)	Parure	Autres		<input type="text"/>	<input type="text"/>	<input type="text"/>	<input type="text"/>	<input type="text"/>		Malacofaune	Microfaune	Carporesses	Anthracorestes			<input type="text"/>	<input type="text"/>	<input type="text"/>	<input type="text"/>		
Faune	Lithique	Céramique	Terre crue-cuite	Métal	Restes humains																																																																				
<input type="text"/>	<input type="text"/>	<input type="text"/>	<input type="text"/>	<input type="text"/>	<input type="text"/>																																																																				
Industrie osseuse	Macrolithique	Pierres (en g)	Parure	Autres																																																																					
<input type="text"/>	<input type="text"/>	<input type="text"/>	<input type="text"/>	<input type="text"/>																																																																					
Malacofaune	Microfaune	Carporesses	Anthracorestes																																																																						
<input type="text"/>	<input type="text"/>	<input type="text"/>	<input type="text"/>																																																																						
Faune	Lithique	Céramique	Terre crue-cuite	Métal	Restes humains																																																																				
<input type="text"/>	<input type="text"/>	<input type="text"/>	<input type="text"/>	<input type="text"/>	<input type="text"/>																																																																				
Industrie osseuse	Macrolithique	Pierres (en g)	Parure	Autres																																																																					
<input type="text"/>	<input type="text"/>	<input type="text"/>	<input type="text"/>	<input type="text"/>																																																																					
Malacofaune	Microfaune	Carporesses	Anthracorestes																																																																						
<input type="text"/>	<input type="text"/>	<input type="text"/>	<input type="text"/>																																																																						

Annexe 3 - Le Clos de Roque, Saint-Maximin-la-Sainte-Baume (83). Inventaire des structures identifiées au décapage par fiches comprenant les indications des points topographiques, des minutes, des prélèvements et des photographies numériques de références.



Négatif

OA9785 - Clos de Roque - Saint-Maximin-la-Sainte-Baume - Var - 2011

Numéro de structure  Secteur  Type de structure    
 Date de fouille  Minutes    
 Photos

Points topographiques

X (Lambert III)  \* (m) Y (Lambert III)    
 Altitude supérieure  Altitude inférieure    
 forme en coupe  forme en plan    
 UPS de scellement  UPS encaissants    
 diamètre à l'ouverture\*  x  diamètre maximal\*    
 profondeur observée\*  Volume estimé (m3)    
 coupe ST  coupée par ST

Protocole de fouille

Notes sur la structure

Comblement  Datation

Légendes de la coupe

Prélèvements

Mobilier  Tamisage  Restes humains

Faune  Lithique  Céramique  Terre crue-cuite  Métal

Industrie osseuse  Macroolithique  Pierres (en g)  Parure  Autres

Malacofaune  Microfaune  Carporesses  Anthracorestes

Négatif

OA9785 - Clos de Roque - Saint-Maximin-la-Sainte-Baume - Var - 2011

Numéro de structure  Secteur  Type de structure    
 Date de fouille  Minutes    
 Photos

Points topographiques

X (Lambert III)  \* (m) Y (Lambert III)    
 Altitude supérieure  Altitude inférieure    
 forme en coupe  forme en plan    
 UPS de scellement  UPS encaissants    
 diamètre à l'ouverture\*  x  diamètre maximal\*    
 profondeur observée\*  Volume estimé (m3)    
 coupe ST  coupée par ST

Protocole de fouille

Notes sur la structure

Comblement  Datation

Légendes de la coupe

Prélèvements

Mobilier  Tamisage  Restes humains

Faune  Lithique  Céramique  Terre crue-cuite  Métal

Industrie osseuse  Macroolithique  Pierres (en g)  Parure  Autres

Malacofaune  Microfaune  Carporesses  Anthracorestes

Négatif

OA9785 - Clos de Roque - Saint-Maximin-la-Sainte-Baume - Var - 2011

Numéro de structure  Secteur  Type de structure    
 Date de fouille  Minutes    
 Photos

Points topographiques

X (Lambert III)  \* (m) Y (Lambert III)    
 Altitude supérieure  Altitude inférieure    
 forme en coupe  forme en plan    
 UPS de scellement  UPS encaissants    
 diamètre à l'ouverture\*  x  diamètre maximal\*    
 profondeur observée\*  Volume estimé (m3)    
 coupe ST  coupée par ST

Protocole de fouille

Notes sur la structure

Comblement  Datation

Légendes de la coupe

Prélèvements

Mobilier  Tamisage  Restes humains

Faune  Lithique  Céramique  Terre crue-cuite  Métal

Industrie osseuse  Macroolithique  Pierres (en g)  Parure  Autres

Malacofaune  Microfaune  Carporesses  Anthracorestes

Négatif

OA9785 - Clos de Roque - Saint-Maximin-la-Sainte-Baume - Var - 2011

Numéro de structure  Secteur  Type de structure    
 Date de fouille  Minutes    
 Photos

Points topographiques

X (Lambert III)  \* (m) Y (Lambert III)    
 Altitude supérieure  Altitude inférieure    
 forme en coupe  forme en plan    
 UPS de scellement  UPS encaissants    
 diamètre à l'ouverture\*  x  diamètre maximal\*    
 profondeur observée\*  Volume estimé (m3)    
 coupe ST  coupée par ST

Protocole de fouille

Notes sur la structure

Comblement  Datation

Légendes de la coupe

Prélèvements

Mobilier  Tamisage  Restes humains

Faune  Lithique  Céramique  Terre crue-cuite  Métal

Industrie osseuse  Macroolithique  Pierres (en g)  Parure  Autres

Malacofaune  Microfaune  Carporesses  Anthracorestes

Annexe 3 - Le Clos de Roque, Saint-Maximin-la-Sainte-Baume (83). Inventaire des structures identifiées au décapage par fiches comprenant les indications des points topographiques, des minutes, des prélèvements et des photographies numériques de références.

Négatif <input type="checkbox"/> OA9785 - Clos de Roque - Saint-Maximin-la-Sainte-Baume - Var - 2011		Négatif <input type="checkbox"/> OA9785 - Clos de Roque - Saint-Maximin-la-Sainte-Baume - Var - 2011	
Numéro de structure <input type="text" value="ST2042"/> Secteur <input type="text" value="G06"/> Type de structure <input type="text" value="Tranchée de plantation"/>	Numéro de structure <input type="text" value="ST2043"/> Secteur <input type="text" value="G06"/> Type de structure <input type="text" value="Fosse de plantation"/>	Numéro de structure <input type="text" value="ST2044"/> Secteur <input type="text" value="G06"/> Type de structure <input type="text" value="Fosse de plantation"/>	Numéro de structure <input type="text" value="ST2045"/> Secteur <input type="text" value="F06"/> Type de structure <input type="text" value="Tranchée de plantation"/>
Date de fouille <input type="text" value="23/06/2011"/> Minutes <input type="text"/>	Date de fouille <input type="text" value="23/06/2011"/> Minutes <input type="text"/>	Date de fouille <input type="text" value="23/06/2011"/> Minutes <input type="text"/>	Date de fouille <input type="text" value="23/06/2011"/> Minutes <input type="text"/>
Photos <input type="text" value="1013"/>	Photos <input type="text"/>	Photos <input type="text"/>	Photos <input type="text"/>
Points topographiques <input type="text" value="PT0625 - PT4973 à PT4976"/>	Points topographiques <input type="text" value="PT0626 - PT4969 à PT4972"/>	Points topographiques <input type="text" value="PT0627 - PT4965 à PT4968"/>	Points topographiques <input type="text" value="PT0628 - PT4977 à PT4980"/>
X (Lambert III) <input type="text" value="885518.27"/> * (m) Y (Lambert III) <input type="text" value="134906.73"/>	X (Lambert III) <input type="text" value="885520.37"/> * (m) Y (Lambert III) <input type="text" value="134908.45"/>	X (Lambert III) <input type="text" value="885521.63"/> * (m) Y (Lambert III) <input type="text" value="134909.19"/>	X (Lambert III) <input type="text" value="885521.45"/> * (m) Y (Lambert III) <input type="text" value="134912.17"/>
Altitude supérieure <input type="text" value="285.83"/> Altitude inférieure <input type="text" value="285.80"/>	Altitude supérieure <input type="text" value="285.81"/> Altitude inférieure <input type="text" value="285.79"/>	Altitude supérieure <input type="text" value="285.81"/> Altitude inférieure <input type="text" value="285.79"/>	Altitude supérieure <input type="text" value="285.82"/> Altitude inférieure <input type="text" value="285.78"/>
forme en coupe <input type="text" value="C"/> forme en plan <input type="text" value="Rectangulaire"/>	forme en coupe <input type="text" value="C"/> forme en plan <input type="text" value="Circulaire"/>	forme en coupe <input type="text" value="C"/> forme en plan <input type="text" value="Circulaire"/>	forme en coupe <input type="text" value="C"/> forme en plan <input type="text" value="Rectangulaire"/>
UPS de scellement <input type="text" value="UPS2"/> UPS encaissants <input type="text" value="UPS3"/>	UPS de scellement <input type="text" value="UPS2"/> UPS encaissants <input type="text" value="UPS3"/>	UPS de scellement <input type="text" value="UPS2"/> UPS encaissants <input type="text" value="UPS3"/>	UPS de scellement <input type="text" value="UPS2"/> UPS encaissants <input type="text" value="UPS3"/>
diamètre à l'ouverture* <input type="text" value="0.96"/> x <input type="text" value="0.4"/> diamètre maximal* <input type="text" value="0.96"/>	diamètre à l'ouverture* <input type="text" value="0.5"/> x <input type="text" value="0.96"/> diamètre maximal* <input type="text" value="0.5"/>	diamètre à l'ouverture* <input type="text" value="0.5"/> x <input type="text" value="0.5"/> diamètre maximal* <input type="text" value="0.5"/>	diamètre à l'ouverture* <input type="text" value="0.6"/> x <input type="text" value="0.4"/> diamètre maximal* <input type="text" value="0.6"/>
profondeur observée* <input type="text" value="0.03"/> Volume estimé (m3) <input type="text" value="0.0202"/>	profondeur observée* <input type="text" value="0.02"/> Volume estimé (m3) <input type="text" value="0.0039"/>	profondeur observée* <input type="text" value="0.02"/> Volume estimé (m3) <input type="text" value="0.0039"/>	profondeur observée* <input type="text" value="0.04"/> Volume estimé (m3) <input type="text" value="0.0096"/>
coupe ST <input type="text"/> coupée par ST <input type="text"/>	coupe ST <input type="text"/> coupée par ST <input type="text"/>	coupe ST <input type="text"/> coupée par ST <input type="text"/>	coupe ST <input type="text"/> coupée par ST <input type="text"/>
Protocole de fouille <input type="text" value="Moitié Sud : fouille par passes à la pelle mécanique&lt;br/&gt;Moitié Nord : fouille par passes manuelles"/>	Protocole de fouille <input type="text" value="Moitié Sud : fouille par passes à la pelle mécanique&lt;br/&gt;Moitié Nord : fouille par passes manuelles"/>	Protocole de fouille <input type="text" value="Moitié Sud : fouille par passes à la pelle mécanique&lt;br/&gt;Moitié Nord : fouille par passes manuelles"/>	Protocole de fouille <input type="text" value="Moitié Sud : fouille par passes à la pelle mécanique&lt;br/&gt;Moitié Nord : fouille par passes manuelles"/>
Notes sur la structure <input type="text" value="Fosse de plantation moderne (0.96 x 0.4 m)"/>	Notes sur la structure <input type="text" value="Fosse de plantation moderne"/>	Notes sur la structure <input type="text" value="Fosse de plantation moderne"/>	Notes sur la structure <input type="text" value="Fosse de plantation moderne (0.6 x 0.4 m)."/>
Comblement <input type="text" value="N-naturel"/> Datation <input type="text" value="Historique"/>	Comblement <input type="text" value="N-naturel"/> Datation <input type="text" value="Historique"/>	Comblement <input type="text" value="N-naturel"/> Datation <input type="text" value="Historique"/>	Comblement <input type="text" value="N-naturel"/> Datation <input type="text" value="Historique"/>
Légendes de la coupe <input type="text" value="Sédiment limono-argileux brun, meuble, quelques galets de 1 à 2 cm, radicelles."/>	Légendes de la coupe <input type="text" value="Sédiment limono-argileux brun, meuble, quelques galets de 1 à 2 cm, radicelles."/>	Légendes de la coupe <input type="text" value="Sédiment limono-argileux brun, meuble, quelques galets de 1 à 2 cm, radicelles."/>	Légendes de la coupe <input type="text" value="Sédiment limono-argileux brun, meuble, quelques galets de 1 à 2 cm, radicelles."/>
Prélèvements <input type="text"/>	Prélèvements <input type="text"/>	Prélèvements <input type="text"/>	Prélèvements <input type="text"/>
Mobilier <input type="checkbox"/> Tamisage <input type="checkbox"/> Restes humains <input type="checkbox"/>	Mobilier <input type="checkbox"/> Tamisage <input type="checkbox"/> Restes humains <input type="checkbox"/>	Mobilier <input type="checkbox"/> Tamisage <input type="checkbox"/> Restes humains <input type="checkbox"/>	Mobilier <input type="checkbox"/> Tamisage <input type="checkbox"/> Restes humains <input type="checkbox"/>
Faune <input type="text"/> Lithique <input type="text"/> Céramique <input type="text" value="8"/> Terre crue-cuite <input type="text"/> Métal <input type="text"/>	Faune <input type="text"/> Lithique <input type="text"/> Céramique <input type="text"/> Terre crue-cuite <input type="text"/> Métal <input type="text"/>	Faune <input type="text"/> Lithique <input type="text"/> Céramique <input type="text"/> Terre crue-cuite <input type="text"/> Métal <input type="text"/>	Faune <input type="text"/> Lithique <input type="text"/> Céramique <input type="text"/> Terre crue-cuite <input type="text"/> Métal <input type="text"/>
Industrie osseuse <input type="text"/> Macrolithique <input type="text"/> Pierres (en g) <input type="text"/> Parure <input type="text"/> Autres <input type="text"/>	Industrie osseuse <input type="text"/> Macrolithique <input type="text"/> Pierres (en g) <input type="text"/> Parure <input type="text"/> Autres <input type="text"/>	Industrie osseuse <input type="text"/> Macrolithique <input type="text"/> Pierres (en g) <input type="text"/> Parure <input type="text"/> Autres <input type="text"/>	Industrie osseuse <input type="text"/> Macrolithique <input type="text"/> Pierres (en g) <input type="text"/> Parure <input type="text"/> Autres <input type="text"/>
Malacofaune <input type="text"/> Microfaune <input type="text"/> Carpocestes <input type="text"/> Anthracocrestes <input type="text"/>	Malacofaune <input type="text"/> Microfaune <input type="text"/> Carpocestes <input type="text"/> Anthracocrestes <input type="text"/>	Malacofaune <input type="text"/> Microfaune <input type="text"/> Carpocestes <input type="text"/> Anthracocrestes <input type="text"/>	Malacofaune <input type="text"/> Microfaune <input type="text"/> Carpocestes <input type="text"/> Anthracocrestes <input type="text"/>

Annexe 3 - Le Clos de Roque, Saint-Maximin-la-Sainte-Baume (83). Inventaire des structures identifiées au décapage par fiches comprenant les indications des points topographiques, des minutes, des prélèvements et des photographies numériques de références.

Négatif

OA9785 - Clos de Roque - Saint-Maximin-la-Sainte-Baume - Var - 2011

Numéro de structure ST2046 Secteur I10 Type de structure Terrier

Date de fouille 21/06/2011 Minutes 381 - 382 - 383

Photos 0786 - 0793 - 0801 - 0825 - 0854 à 0855

Points topographiques PT0629 - PT4066 à PT4069 - PT4233 à PT4234 - PT4323 à PT4331

X (Lambert III) 885566.43 \* (m) Y (Lambert III) 134888.99

Altitude supérieure 285.81 Altitude inférieure 285.66

forme en coupe B2 forme en plan Longiligne

UPS de scellement UPS2 UPS encaissants UPS3

diamètre à l'ouverture\* 0.8 x diamètre maximal\* 0.8

profondeur observée\* 0.21 Volume estimé (m3)

coupe ST coupe par ST

Protocole de fouille Moitié Sud : fouille par passes manuelles  
Moitié Nord : fouille par passes manuelles

Notes sur la structure Galerie de terrier, sans doute pré ou protohistorique. Comblement qui se rapproche de celui des fosses attribuables à cette période.

Comblement N-naturel Datation Néant

Légendes de la coupe US1 : sédiment argilo-limoneux de couleur brun foncé, compact et homogène, quelques cailloux de 1 à 5 cm, granules blancs millimétriques abondants, racines et radicelles.  
US2 : mélange de sédiment de l'US1 et de l'UPS3.

Prélèvements

Mobilier  Tamisage

Faune Lithique Céramique Terre crue-cuite Métal Restes humains

Industrie osseuse Macrolithique Pierres (en g) Parure Autres

Malacofaune Microfaune Carporesses Anthracorestes

Négatif

OA9785 - Clos de Roque - Saint-Maximin-la-Sainte-Baume - Var - 2011

Numéro de structure ST2047 Secteur H06 Type de structure "Fosse de plantation"

Date de fouille 23/06/2011 Minutes 474

Photos 0833 - 0882

Points topographiques PT0667 - PT4729 à PT4734 - PT4770 à PT4776

X (Lambert III) 885528.94 \* (m) Y (Lambert III) 134898.85

Altitude supérieure 285.85 Altitude inférieure 285.87

forme en coupe C forme en plan Circulaire

UPS de scellement UPS2 UPS encaissants UPS3

diamètre à l'ouverture\* 0.7 x diamètre maximal\* 0.7

profondeur observée\* 0.08 Volume estimé (m3) 0.0308

coupe ST coupée par ST

Protocole de fouille Moitié Sud : fouille par passes manuelles  
Moitié Nord : fouille par passes manuelles

Notes sur la structure Fosse de plantation moderne

Comblement N-naturel Datation Historique

Légendes de la coupe Sédiment limono-argileux brun, meuble, quelques galets de 1 à 2 cm, radicelles.

Prélèvements

Mobilier  Tamisage

Faune Lithique Céramique Terre crue-cuite Métal Restes humains

Industrie osseuse Macrolithique Pierres (en g) Parure Autres

Malacofaune Microfaune Carporesses Anthracorestes

Présence

Négatif

OA9785 - Clos de Roque - Saint-Maximin-la-Sainte-Baume - Var - 2011

Numéro de structure ST2048 Secteur G07 Type de structure Trou de poteau

Date de fouille 22/06/2011 Minutes 443 - 444 - 445

Photos 0876 - 0883 - 0916

Points topographiques PT0668 - PT4468 à PT4473 - PT4696 à PT4708 - PT4472 à PT4473

X (Lambert III) 885533.24 \* (m) Y (Lambert III) 134901.59

Altitude supérieure 285.9 Altitude inférieure 285.76

forme en coupe C forme en plan Circulaire

UPS de scellement UPS2 UPS encaissants UPS3

diamètre à l'ouverture\* 0.42 x diamètre maximal\* 0.42

profondeur observée\* 0.14 Volume estimé (m3) 0.0194

coupe ST coupe par ST

Protocole de fouille Moitié Sud : fouille par passes manuelles  
Moitié Nord : fouille par passes manuelles

Notes sur la structure Trou de poteau ?

Comblement N-naturel Datation Néo/Proto

Légendes de la coupe US1 : sédiment argilo-limoneux de couleur brun foncé, compact et homogène, granules blancs millimétriques abondants, racines et radicelles dans la partie supérieure.  
US2 : mélange de sédiment de l'US1 et de l'UPS3.

Prélèvements

Mobilier  Tamisage

Faune Lithique Céramique Terre crue-cuite Métal Restes humains

Industrie osseuse Macrolithique Pierres (en g) Parure Autres

Malacofaune Microfaune Carporesses Anthracorestes

Négatif

OA9785 - Clos de Roque - Saint-Maximin-la-Sainte-Baume - Var - 2011

Numéro de structure ST2049 Secteur H07 Type de structure Fosse

Date de fouille 21/06/2011 Minutes 400 - 401 - 402

Photos 0832 - 0849 - 0875

Points topographiques PT0669 - PT4316 à PT4318 - PT4411 à PT4424

X (Lambert III) 885534.92 \* (m) Y (Lambert III) 134898.97

Altitude supérieure 285.92 Altitude inférieure 285.77

forme en coupe C forme en plan Ovale

UPS de scellement UPS2 UPS encaissants UPS3

diamètre à l'ouverture\* 0.63 x diamètre maximal\* 0.63

profondeur observée\* 0.16 Volume estimé (m3) 0.0408

coupe ST coupe par ST

Protocole de fouille Moitié Sud : fouille par passes manuelles  
Moitié Nord : fouille par passes manuelles

Notes sur la structure Trou de poteau ? (0.63 x 0.52 m)

Comblement N-naturel Datation Néo/Proto

Légendes de la coupe US1 : sédiment argilo-limoneux de couleur brun foncé, compact et homogène, granules blancs millimétriques abondants, charbons millimétriques abondants, racines et radicelles dans la partie supérieure.  
US2 : mélange de sédiment de l'US1 et de l'UPS3.

Prélèvements

Mobilier  Tamisage

Faune Lithique Céramique Terre crue-cuite Métal Restes humains

Industrie osseuse Macrolithique Pierres (en g) Parure Autres

Malacofaune Microfaune Carporesses Anthracorestes

Présence

Annexe 3 - Le Clos de Roque, Saint-Maximin-la-Sainte-Baume (83). Inventaire des structures identifiées au décapage par fiches comprenant les indications des points topographiques, des minutes, des prélèvements et des photographies numériques de références.

<p>Négatif <input type="checkbox"/></p> <p style="text-align: center;">OA9785 - Clos de Roque - Saint-Maximin-la-Sainte-Baume - Var - 2011</p> <p>Numéro de structure <input type="text" value="ST2050"/> Secteur <input type="text" value="H07"/> Type de structure <input type="text" value="Fosse"/></p> <p>Date de fouille <input type="text" value="16/06/2011"/> Minutes <input type="text" value="323 - 324 - 325"/></p> <p>Photos <input type="text" value="0656 - 0692 - 0710"/></p> <p>Points topographiques <input type="text" value="PT0670 - PT3836 à PT3854"/></p> <p>X (Lambert III) <input type="text" value="885539.53"/> * (m) Y (Lambert III) <input type="text" value="134895.19"/></p> <p>Altitude supérieure <input type="text" value="285.99"/> Altitude inférieure <input type="text" value="285.75"/></p> <p>forme en coupe <input type="text" value="B2"/> forme en plan <input type="text" value="Circulaire"/></p> <p>UPS de scellement <input type="text" value="UPS2"/> UPS encaissants <input type="text" value="UPS3"/></p> <p>diamètre à l'ouverture* <input type="text" value="1.33"/> x <input type="text" value="1.33"/> diamètre maximal* <input type="text" value="1.33"/></p> <p>profondeur observée* <input type="text" value="0.2"/> Volume estimé (m3) <input type="text" value="0.2791"/></p> <p>coupe ST <input type="text" value="2051"/> coupée par ST</p> <p>Protocole de fouille <input type="text" value="Moitié Sud : fouille par passes manuelles&lt;br/&gt;Moitié Nord : fouille par passes manuelles"/></p> <p>Notes sur la structure <input type="text" value="1 bloc de lapiaz"/></p> <p>Comblement <input type="text" value="N-naturel"/> Datation <input type="text" value="Néolithique final phase 2"/></p> <p>Légendes de la coupe <input type="text" value="US1 : sédiment argilo-limoneux de couleur brun foncé, compact et homogène, quelques cailloux de 3 à 10 cm, racines et radicelles dans la partie supérieure.&lt;br/&gt;US2 : mélange de sédiment de l'US1 et de l'UPS3."/></p> <p>Prélèvements <input type="text"/></p> <p>Mobilier <input checked="" type="checkbox"/> Tamisage</p> <table border="1" style="width:100%; border-collapse: collapse;"> <tr> <td>Faune <input type="text" value="175"/></td> <td>Lithique <input type="text" value="5"/></td> <td>Céramique <input type="text" value="185"/></td> <td>Terre crue-cuite <input type="text" value="Présence"/></td> <td>Métal <input type="text"/></td> <td>Restes humains <input type="text"/></td> </tr> <tr> <td>Industrie osseuse <input type="text"/></td> <td>Macrolithique <input type="text"/></td> <td>Pierres (en g) <input type="text" value="885"/></td> <td>Parure <input type="text"/></td> <td colspan="2" style="text-align: center;">calcaire</td> </tr> <tr> <td>Malacofaune <input type="text"/></td> <td>Microfaune <input type="text"/></td> <td>Carpocestes <input type="text"/></td> <td>Anthracocestes <input type="text"/></td> <td colspan="2" style="text-align: center;"></td> </tr> <tr> <td>Présence <input type="text"/></td> <td>Présence <input type="text"/></td> <td></td> <td></td> <td colspan="2" style="text-align: center;"></td> </tr> </table>	Faune <input type="text" value="175"/>	Lithique <input type="text" value="5"/>	Céramique <input type="text" value="185"/>	Terre crue-cuite <input type="text" value="Présence"/>	Métal <input type="text"/>	Restes humains <input type="text"/>	Industrie osseuse <input type="text"/>	Macrolithique <input type="text"/>	Pierres (en g) <input type="text" value="885"/>	Parure <input type="text"/>	calcaire		Malacofaune <input type="text"/>	Microfaune <input type="text"/>	Carpocestes <input type="text"/>	Anthracocestes <input type="text"/>			Présence <input type="text"/>	Présence <input type="text"/>					<p>Négatif <input type="checkbox"/></p> <p style="text-align: center;">OA9785 - Clos de Roque - Saint-Maximin-la-Sainte-Baume - Var - 2011</p> <p>Numéro de structure <input type="text" value="ST2051"/> Secteur <input type="text" value="H07"/> Type de structure <input type="text" value="Tranchée de plantation"/></p> <p>Date de fouille <input type="text" value="15/06/2011"/> Minutes <input type="text"/></p> <p>Photos <input type="text" value="0654"/></p> <p>Points topographiques <input type="text" value="PT0671"/></p> <p>X (Lambert III) <input type="text" value="885539.75"/> * (m) Y (Lambert III) <input type="text" value="134896.06"/></p> <p>Altitude supérieure <input type="text" value="285.94"/> Altitude inférieure <input type="text" value="285.83"/></p> <p>forme en coupe <input type="text" value="C"/> forme en plan <input type="text" value="Rectangulaire"/></p> <p>UPS de scellement <input type="text" value="UPS2"/> UPS encaissants <input type="text" value="UPS3"/></p> <p>diamètre à l'ouverture* <input type="text" value="1.2"/> x <input type="text" value="0.35"/> diamètre maximal* <input type="text" value="1.2"/></p> <p>profondeur observée* <input type="text" value="0.11"/> Volume estimé (m3) <input type="text" value="0.0462"/></p> <p>coupe ST <input type="text" value="2050"/> coupée par ST</p> <p>Protocole de fouille <input type="text" value="Moitié Sud : fouille par passes manuelles&lt;br/&gt;Moitié Nord : fouille par passes manuelles"/></p> <p>Notes sur la structure <input type="text" value="Fosse de plantation moderne (1.2 x 0.35 m)."/></p> <p>Comblement <input type="text" value="N-naturel"/> Datation <input type="text" value="Historique"/></p> <p>Légendes de la coupe <input type="text" value="Sédiment limono-argileux brun, meuble, quelques galets de 1 à 2 cm, radicelles."/></p> <p>Prélèvements <input type="text"/></p> <p>Mobilier <input type="checkbox"/> Tamisage</p> <table border="1" style="width:100%; border-collapse: collapse;"> <tr> <td>Faune <input type="text"/></td> <td>Lithique <input type="text"/></td> <td>Céramique <input type="text"/></td> <td>Terre crue-cuite <input type="text"/></td> <td>Métal <input type="text"/></td> <td>Restes humains <input type="text"/></td> </tr> <tr> <td>Industrie osseuse <input type="text"/></td> <td>Macrolithique <input type="text"/></td> <td>Pierres (en g) <input type="text"/></td> <td>Parure <input type="text"/></td> <td colspan="2" style="text-align: center;"></td> </tr> <tr> <td>Malacofaune <input type="text"/></td> <td>Microfaune <input type="text"/></td> <td>Carpocestes <input type="text"/></td> <td>Anthracocestes <input type="text"/></td> <td colspan="2" style="text-align: center;"></td> </tr> <tr> <td></td> <td></td> <td></td> <td></td> <td colspan="2" style="text-align: center;"></td> </tr> </table>	Faune <input type="text"/>	Lithique <input type="text"/>	Céramique <input type="text"/>	Terre crue-cuite <input type="text"/>	Métal <input type="text"/>	Restes humains <input type="text"/>	Industrie osseuse <input type="text"/>	Macrolithique <input type="text"/>	Pierres (en g) <input type="text"/>	Parure <input type="text"/>			Malacofaune <input type="text"/>	Microfaune <input type="text"/>	Carpocestes <input type="text"/>	Anthracocestes <input type="text"/>								
Faune <input type="text" value="175"/>	Lithique <input type="text" value="5"/>	Céramique <input type="text" value="185"/>	Terre crue-cuite <input type="text" value="Présence"/>	Métal <input type="text"/>	Restes humains <input type="text"/>																																												
Industrie osseuse <input type="text"/>	Macrolithique <input type="text"/>	Pierres (en g) <input type="text" value="885"/>	Parure <input type="text"/>	calcaire																																													
Malacofaune <input type="text"/>	Microfaune <input type="text"/>	Carpocestes <input type="text"/>	Anthracocestes <input type="text"/>																																														
Présence <input type="text"/>	Présence <input type="text"/>																																																
Faune <input type="text"/>	Lithique <input type="text"/>	Céramique <input type="text"/>	Terre crue-cuite <input type="text"/>	Métal <input type="text"/>	Restes humains <input type="text"/>																																												
Industrie osseuse <input type="text"/>	Macrolithique <input type="text"/>	Pierres (en g) <input type="text"/>	Parure <input type="text"/>																																														
Malacofaune <input type="text"/>	Microfaune <input type="text"/>	Carpocestes <input type="text"/>	Anthracocestes <input type="text"/>																																														
<p>Négatif <input type="checkbox"/></p> <p style="text-align: center;">OA9785 - Clos de Roque - Saint-Maximin-la-Sainte-Baume - Var - 2011</p> <p>Numéro de structure <input type="text" value="ST2052"/> Secteur <input type="text" value="H07"/> Type de structure <input type="text" value="Tranchée de plantation"/></p> <p>Date de fouille <input type="text" value="15/06/2011"/> Minutes <input type="text"/></p> <p>Photos <input type="text" value="0657"/></p> <p>Points topographiques <input type="text" value="PT0672"/></p> <p>X (Lambert III) <input type="text" value="885537.27"/> * (m) Y (Lambert III) <input type="text" value="134893.83"/></p> <p>Altitude supérieure <input type="text" value="285.98"/> Altitude inférieure <input type="text" value="285.87"/></p> <p>forme en coupe <input type="text" value="C"/> forme en plan <input type="text" value="Rectangulaire"/></p> <p>UPS de scellement <input type="text" value="UPS2"/> UPS encaissants <input type="text" value="UPS3"/></p> <p>diamètre à l'ouverture* <input type="text" value="1.4"/> x <input type="text" value="0.4"/> diamètre maximal* <input type="text" value="1.4"/></p> <p>profondeur observée* <input type="text" value="0.11"/> Volume estimé (m3) <input type="text" value="0.0616"/></p> <p>coupe ST <input type="text" value="2053"/> coupée par ST</p> <p>Protocole de fouille <input type="text" value="Moitié Sud : fouille par passes manuelles&lt;br/&gt;Moitié Nord : fouille par passes manuelles"/></p> <p>Notes sur la structure <input type="text" value="Fosse de plantation moderne (1.4 x 0.4 m)."/></p> <p>Comblement <input type="text" value="N-naturel"/> Datation <input type="text" value="Historique"/></p> <p>Légendes de la coupe <input type="text" value="Sédiment limono-argileux brun, meuble, quelques galets de 1 à 2 cm, radicelles."/></p> <p>Prélèvements <input type="text"/></p> <p>Mobilier <input type="checkbox"/> Tamisage</p> <table border="1" style="width:100%; border-collapse: collapse;"> <tr> <td>Faune <input type="text"/></td> <td>Lithique <input type="text"/></td> <td>Céramique <input type="text"/></td> <td>Terre crue-cuite <input type="text"/></td> <td>Métal <input type="text"/></td> <td>Restes humains <input type="text"/></td> </tr> <tr> <td>Industrie osseuse <input type="text"/></td> <td>Macrolithique <input type="text"/></td> <td>Pierres (en g) <input type="text"/></td> <td>Parure <input type="text"/></td> <td colspan="2" style="text-align: center;"></td> </tr> <tr> <td>Malacofaune <input type="text"/></td> <td>Microfaune <input type="text"/></td> <td>Carpocestes <input type="text"/></td> <td>Anthracocestes <input type="text"/></td> <td colspan="2" style="text-align: center;"></td> </tr> <tr> <td></td> <td></td> <td></td> <td></td> <td colspan="2" style="text-align: center;"></td> </tr> </table>	Faune <input type="text"/>	Lithique <input type="text"/>	Céramique <input type="text"/>	Terre crue-cuite <input type="text"/>	Métal <input type="text"/>	Restes humains <input type="text"/>	Industrie osseuse <input type="text"/>	Macrolithique <input type="text"/>	Pierres (en g) <input type="text"/>	Parure <input type="text"/>			Malacofaune <input type="text"/>	Microfaune <input type="text"/>	Carpocestes <input type="text"/>	Anthracocestes <input type="text"/>									<p>Négatif <input type="checkbox"/></p> <p style="text-align: center;">OA9785 - Clos de Roque - Saint-Maximin-la-Sainte-Baume - Var - 2011</p> <p>Numéro de structure <input type="text" value="ST2053"/> Secteur <input type="text" value="H07"/> Type de structure <input type="text" value="Fosse"/></p> <p>Date de fouille <input type="text" value="21/06/2011"/> Minutes <input type="text" value="403 - 404 - 405"/></p> <p>Photos <input type="text" value="0834 - 0846 - 0874"/></p> <p>Points topographiques <input type="text" value="PT0673 - PT4307 à PT4312 - PT4402 à PT4410"/></p> <p>X (Lambert III) <input type="text" value="885538.04"/> * (m) Y (Lambert III) <input type="text" value="134893.32"/></p> <p>Altitude supérieure <input type="text" value="286.02"/> Altitude inférieure <input type="text" value="285.83"/></p> <p>forme en coupe <input type="text" value="C"/> forme en plan <input type="text" value="Ovale"/></p> <p>UPS de scellement <input type="text" value="UPS2"/> UPS encaissants <input type="text" value="UPS3"/></p> <p>diamètre à l'ouverture* <input type="text" value="0.67"/> x <input type="text" value="0.51"/> diamètre maximal* <input type="text" value="0.67"/></p> <p>profondeur observée* <input type="text" value="0.2"/> Volume estimé (m3) <input type="text" value="0.2187"/></p> <p>coupe ST <input type="text" value="2052"/> coupée par ST</p> <p>Protocole de fouille <input type="text" value="Moitié Sud : fouille par passes manuelles&lt;br/&gt;Moitié Nord : fouille par passes manuelles"/></p> <p>Notes sur la structure <input type="text"/></p> <p>Comblement <input type="text" value="N-naturel"/> Datation <input type="text" value="Néo/Proto"/></p> <p>Légendes de la coupe <input type="text" value="US1 : sédiment argilo-limoneux de couleur brun foncé, compact et homogène, racines et radicelles dans la partie supérieure.&lt;br/&gt;US2 : mélange de sédiment de l'US1 et de l'UPS3."/></p> <p>Prélèvements <input type="text"/></p> <p>Mobilier <input type="checkbox"/> Tamisage</p> <table border="1" style="width:100%; border-collapse: collapse;"> <tr> <td>Faune <input type="text"/></td> <td>Lithique <input type="text"/></td> <td>Céramique <input type="text"/></td> <td>Terre crue-cuite <input type="text"/></td> <td>Métal <input type="text"/></td> <td>Restes humains <input type="text"/></td> </tr> <tr> <td>Industrie osseuse <input type="text"/></td> <td>Macrolithique <input type="text"/></td> <td>Pierres (en g) <input type="text"/></td> <td>Parure <input type="text"/></td> <td colspan="2" style="text-align: center;"></td> </tr> <tr> <td>Malacofaune <input type="text"/></td> <td>Microfaune <input type="text"/></td> <td>Carpocestes <input type="text"/></td> <td>Anthracocestes <input type="text"/></td> <td colspan="2" style="text-align: center;"></td> </tr> <tr> <td></td> <td></td> <td></td> <td></td> <td colspan="2" style="text-align: center;"></td> </tr> </table>	Faune <input type="text"/>	Lithique <input type="text"/>	Céramique <input type="text"/>	Terre crue-cuite <input type="text"/>	Métal <input type="text"/>	Restes humains <input type="text"/>	Industrie osseuse <input type="text"/>	Macrolithique <input type="text"/>	Pierres (en g) <input type="text"/>	Parure <input type="text"/>			Malacofaune <input type="text"/>	Microfaune <input type="text"/>	Carpocestes <input type="text"/>	Anthracocestes <input type="text"/>								
Faune <input type="text"/>	Lithique <input type="text"/>	Céramique <input type="text"/>	Terre crue-cuite <input type="text"/>	Métal <input type="text"/>	Restes humains <input type="text"/>																																												
Industrie osseuse <input type="text"/>	Macrolithique <input type="text"/>	Pierres (en g) <input type="text"/>	Parure <input type="text"/>																																														
Malacofaune <input type="text"/>	Microfaune <input type="text"/>	Carpocestes <input type="text"/>	Anthracocestes <input type="text"/>																																														
Faune <input type="text"/>	Lithique <input type="text"/>	Céramique <input type="text"/>	Terre crue-cuite <input type="text"/>	Métal <input type="text"/>	Restes humains <input type="text"/>																																												
Industrie osseuse <input type="text"/>	Macrolithique <input type="text"/>	Pierres (en g) <input type="text"/>	Parure <input type="text"/>																																														
Malacofaune <input type="text"/>	Microfaune <input type="text"/>	Carpocestes <input type="text"/>	Anthracocestes <input type="text"/>																																														

Annexe 3 - Le Clos de Roque, Saint-Maximin-la-Sainte-Baume (83). Inventaire des structures identifiées au décapage par fiches comprenant les indications des points topographiques, des minutes, des prélèvements et des photographies numériques de références.

Négatif

OA9785 - Clos de Roque - Saint-Maximin-la-Sainte-Baume - Var - 2011

Numéro de structure ST2054 Secteur I07 Type de structure Terrier

Date de fouille 29/06/2011 Minutes

Photos

Points topographiques PT0674

X (Lambert III) 885535.06 \* (m) Y (Lambert III) 134888.1

Altitude supérieure 285.97 Altitude inférieure 285.92

forme en coupe B2 forme en plan Circulaire

UPS de scellement UPS2 UPS encaissants UPS3

diamètre à l'ouverture\* 0.15 x diamètre maximal\* 0.15

profondeur observée\* 0.05 Volume estimé (m3)

coupe ST coupée par ST

Protocole de fouille Moitié Sud : fouille par passes manuelles  
Moitié Nord : fouille par passes manuelles

Notes sur la structure Terrier

Comblement N-naturel Datation Néant

Légendes de la coupe Sédiment limono-argileux brun, meuble, quelques galets de 1 à 2 cm, radicelles.

Prélèvements

Mobilier  Tamisage Restes humains

Faune Lithique Céramique Terre crue-cuite Métal

Industrie osseuse Macroolithique Pierres (en g) Parure Autres

Malacofaune Microfaune Carporesses Anthracorestes

Négatif

OA9785 - Clos de Roque - Saint-Maximin-la-Sainte-Baume - Var - 2011

Numéro de structure ST2055 Secteur H07 Type de structure Tranchée de plantation

Date de fouille 15/06/2011 Minutes

Photos 0653

Points topographiques PT0675 - PT3673 à PT3676

X (Lambert III) 885541.67 \* (m) Y (Lambert III) 134895.02

Altitude supérieure 285.93 Altitude inférieure 285.82

forme en coupe C forme en plan Rectangulaire

UPS de scellement UPS2 UPS encaissants UPS3

diamètre à l'ouverture\* 1.4 x diamètre maximal\* 1.4

profondeur observée\* 0.11 Volume estimé (m3) 0.0616

coupe ST coupée par ST

Protocole de fouille Moitié Sud : fouille par passes manuelles  
Moitié Nord : fouille par passes manuelles

Notes sur la structure Fosse de plantation moderne (1.4 x 0.4 m).

Comblement N-naturel Datation Historique

Légendes de la coupe Sédiment limono-argileux brun, meuble, quelques galets de 1 à 2 cm, radicelles.

Prélèvements

Mobilier  Tamisage Restes humains

Faune Lithique Céramique Terre crue-cuite Métal

Industrie osseuse Macroolithique Pierres (en g) Parure Autres

Malacofaune Microfaune Carporesses Anthracorestes

Négatif

OA9785 - Clos de Roque - Saint-Maximin-la-Sainte-Baume - Var - 2011

Numéro de structure ST2056 Secteur I08 Type de structure Fosse

Date de fouille 15/06/2011 Minutes 298 - 299 - 300

Photos 0627 - 0634 - 0647

Points topographiques PT0676 - PT3550 à PT3555 - PT3657 à PT3668

X (Lambert III) 885547.87 \* (m) Y (Lambert III) 134889.29

Altitude supérieure 285.94 Altitude inférieure 285.78

forme en coupe C forme en plan Ovale

UPS de scellement UPS2 UPS encaissants UPS3

diamètre à l'ouverture\* 1.34 x diamètre maximal\* 1.34

profondeur observée\* 0.18 Volume estimé (m3) 0.1773

coupe ST coupée par ST

Protocole de fouille Moitié Sud : fouille par passes manuelles  
Moitié Nord : fouille par passes manuelles

Notes sur la structure Fosse ovale (1.3 x 0.9 m)

Comblement N-naturel Datation Néo/Proto

Légendes de la coupe JS1 : sédiment argilo-limoneux de couleur brun foncé, compact et homogène, cailloux de 7 à 10 cm peu abondants, granules blancs millimétriques abondants, racines et radicelles dans la partie supérieure.  
JS2 : mélange de sédiment de l'US1 et de l'UPS3.

Prélèvements

Mobilier  Tamisage Restes humains

Faune Lithique Céramique Terre crue-cuite Métal

Industrie osseuse Macroolithique Pierres (en g) Parure Autres

Malacofaune Microfaune Carporesses Anthracorestes

Négatif

OA9785 - Clos de Roque - Saint-Maximin-la-Sainte-Baume - Var - 2011

Numéro de structure ST2057 Secteur I07 Type de structure Terrier

Date de fouille 15/06/2011 Minutes

Photos 0613

Points topographiques PT0677

X (Lambert III) 885538.08 \* (m) Y (Lambert III) 134882.15

Altitude supérieure 286.04 Altitude inférieure 285.89

forme en coupe forme en plan

UPS de scellement UPS2 UPS encaissants UPS3

diamètre à l'ouverture\* 0.25 x diamètre maximal\* 0.25

profondeur observée\* 0.15 Volume estimé (m3)

coupe ST coupée par ST

Protocole de fouille Moitié Sud : fouille par passes manuelles  
Moitié Nord : fouille par passes manuelles

Notes sur la structure Terrier

Comblement N-naturel Datation Néant

Légendes de la coupe Sédiment limono-argileux brun, meuble, quelques galets de 1 à 2 cm, radicelles.

Prélèvements

Mobilier  Tamisage Restes humains

Faune Lithique Céramique Terre crue-cuite Métal

Industrie osseuse Macroolithique Pierres (en g) Parure Autres

Malacofaune Microfaune Carporesses Anthracorestes

Annexe 3 - Le Clos de Roque, Saint-Maximin-la-Sainte-Baume (83). Inventaire des structures identifiées au décapage par fiches comprenant les indications des points topographiques, des minutes, des prélèvements et des photographies numériques de références.

Négatif <input checked="" type="checkbox"/> OA9785 - Clos de Roque - Saint-Maximin-la-Sainte-Baume - Var - 2011		Négatif <input checked="" type="checkbox"/> OA9785 - Clos de Roque - Saint-Maximin-la-Sainte-Baume - Var - 2011	
Numéro de structure <input type="text" value="ST2058"/> Secteur <input type="text" value="I07"/> Type de structure <input type="text" value="Terrier"/>	Numéro de structure <input type="text" value="ST2059"/> Secteur <input type="text" value="I09"/> Type de structure <input type="text" value="Terrier"/>	Date de fouille <input type="text" value="14/06/2011"/> Minutes <input type="text"/>	Date de fouille <input type="text" value="27/06/2011"/> Minutes <input type="text"/>
Points topographiques <input type="text" value="PT0678"/>		Points topographiques <input type="text" value="PT0679"/>	
X (Lambert III) <input type="text" value="885540.24"/> * (m) Y (Lambert III) <input type="text" value="134880.56"/>	X (Lambert III) <input type="text" value="885555.89"/> * (m) Y (Lambert III) <input type="text" value="134887.52"/>	Altitude supérieure <input type="text" value="286.08"/> Altitude inférieure <input type="text" value="285.98"/>	Altitude supérieure <input type="text" value="285.95"/> Altitude inférieure <input type="text" value="285.82"/>
forme en coupe <input type="text"/> forme en plan <input type="text"/>	forme en coupe <input type="text"/> forme en plan <input type="text"/>	UPS de scellement <input type="text" value="UPS2"/> UPS encaissants <input type="text" value="UPS3"/>	UPS de scellement <input type="text" value="UPS2"/> UPS encaissants <input type="text" value="UPS3"/>
diamètre à l'ouverture* <input type="text" value="0.125"/> x <input type="text"/> diamètre maximal* <input type="text" value="0.125"/>	diamètre à l'ouverture* <input type="text" value="0.35"/> x <input type="text"/> diamètre maximal* <input type="text" value="0.35"/>	profondeur observée* <input type="text" value="0.1"/> Volume estimé (m3) <input type="text"/>	profondeur observée* <input type="text" value="0.13"/> Volume estimé (m3) <input type="text"/>
coupe ST <input type="text"/> coupée par ST <input type="text"/>	coupe ST <input type="text"/> coupée par ST <input type="text"/>	Protocole de fouille <input type="text" value="Moitié Sud : fouille par passes manuelles&lt;br/&gt;Moitié Nord : fouille par passes manuelles"/>	
Notes sur la structure <input type="text" value="Terrier, restes de lagomorphe"/>		Notes sur la structure <input type="text" value="Terrier"/>	
Comblement <input type="text" value="N-naturel"/> Datation <input type="text" value="Néant"/>		Comblement <input type="text" value="N-naturel"/> Datation <input type="text" value="Néant"/>	
Légendes de la coupe <input type="text" value="Sédiment limono-argileux brun, meuble, quelques galets de 1 à 2 cm, radicelles."/>		Légendes de la coupe <input type="text" value="Sédiment limono-argileux brun, meuble, quelques galets de 1 à 2 cm, radicelles."/>	
Prélèvements <input type="text"/>		Prélèvements <input type="text"/>	
Mobilier <input type="checkbox"/> Tamisage <input type="checkbox"/> Restes humains <input type="checkbox"/>		Mobilier <input type="checkbox"/> Tamisage <input type="checkbox"/> Restes humains <input type="checkbox"/>	
Faune <input type="text" value="11"/> Lithique <input type="text"/> Céramique <input type="text"/> Terre crue-cuite <input type="text"/> Métal <input type="text"/>	Faune <input type="text"/> Lithique <input type="text"/> Céramique <input type="text"/> Terre crue-cuite <input type="text"/> Métal <input type="text"/>	Industrie osseuse <input type="text"/> Macrolithique <input type="text"/> Pierres (en g) <input type="text"/> Parure <input type="text"/> Autres <input type="text"/>	Industrie osseuse <input type="text"/> Macrolithique <input type="text"/> Pierres (en g) <input type="text"/> Parure <input type="text"/> Autres <input type="text"/>
Malacofaune <input type="text"/> Microfaune <input type="text"/> Carpocestes <input type="text"/> Anthracocrestes <input type="text"/>	Malacofaune <input type="text"/> Microfaune <input type="text"/> Carpocestes <input type="text"/> Anthracocrestes <input type="text"/>		

Négatif <input checked="" type="checkbox"/> OA9785 - Clos de Roque - Saint-Maximin-la-Sainte-Baume - Var - 2011		Négatif <input checked="" type="checkbox"/> OA9785 - Clos de Roque - Saint-Maximin-la-Sainte-Baume - Var - 2011	
Numéro de structure <input type="text" value="ST2060"/> Secteur <input type="text" value="I10"/> Type de structure <input type="text" value="Terrier"/>	Numéro de structure <input type="text" value="ST2061"/> Secteur <input type="text" value="J10"/> Type de structure <input type="text" value="Terrier"/>	Date de fouille <input type="text" value="27/06/2011"/> Minutes <input type="text" value="690"/>	Date de fouille <input type="text" value="27/06/2011"/> Minutes <input type="text"/>
Points topographiques <input type="text" value="PT0680 - PT5557 à PT5564"/>		Points topographiques <input type="text" value="PT0681"/>	
X (Lambert III) <input type="text" value="885568.17"/> * (m) Y (Lambert III) <input type="text" value="134881.21"/>	X (Lambert III) <input type="text" value="885565.37"/> * (m) Y (Lambert III) <input type="text" value="134876.24"/>	Altitude supérieure <input type="text" value="285.88"/> Altitude inférieure <input type="text" value="285.81"/>	Altitude supérieure <input type="text" value="285.9"/> Altitude inférieure <input type="text" value="285.83"/>
forme en coupe <input type="text"/> forme en plan <input type="text"/>	forme en coupe <input type="text"/> forme en plan <input type="text"/>	UPS de scellement <input type="text" value="UPS2"/> UPS encaissants <input type="text" value="UPS3"/>	UPS de scellement <input type="text" value="UPS2"/> UPS encaissants <input type="text" value="UPS3"/>
diamètre à l'ouverture* <input type="text" value="0.2"/> x <input type="text"/> diamètre maximal* <input type="text" value="0.2"/>	diamètre à l'ouverture* <input type="text" value="0.22"/> x <input type="text"/> diamètre maximal* <input type="text" value="0.22"/>	profondeur observée* <input type="text" value="0.07"/> Volume estimé (m3) <input type="text"/>	profondeur observée* <input type="text"/> Volume estimé (m3) <input type="text"/>
coupe ST <input type="text"/> coupée par ST <input type="text"/>	coupe ST <input type="text"/> coupée par ST <input type="text"/>	Protocole de fouille <input type="text" value="Moitié Sud : fouille par passes à la pelle mécanique&lt;br/&gt;Moitié Nord : fouille par passes manuelles"/>	
Notes sur la structure <input type="text" value="Terrier"/>		Notes sur la structure <input type="text" value="Terrier"/>	
Comblement <input type="text" value="N-naturel"/> Datation <input type="text" value="Néant"/>		Comblement <input type="text" value="N-naturel"/> Datation <input type="text" value="Néant"/>	
Légendes de la coupe <input type="text" value="Sédiment limono-argileux brun, meuble, quelques galets de 1 à 2 cm, radicelles."/>		Légendes de la coupe <input type="text" value="Sédiment limono-argileux brun, meuble, quelques galets de 1 à 2 cm, radicelles."/>	
Prélèvements <input type="text"/>		Prélèvements <input type="text"/>	
Mobilier <input type="checkbox"/> Tamisage <input type="checkbox"/> Restes humains <input type="checkbox"/>		Mobilier <input type="checkbox"/> Tamisage <input type="checkbox"/> Restes humains <input type="checkbox"/>	
Faune <input type="text"/> Lithique <input type="text"/> Céramique <input type="text"/> Terre crue-cuite <input type="text"/> Métal <input type="text"/>	Faune <input type="text"/> Lithique <input type="text"/> Céramique <input type="text"/> Terre crue-cuite <input type="text"/> Métal <input type="text"/>	Industrie osseuse <input type="text"/> Macrolithique <input type="text"/> Pierres (en g) <input type="text"/> Parure <input type="text"/> Autres <input type="text"/>	Industrie osseuse <input type="text"/> Macrolithique <input type="text"/> Pierres (en g) <input type="text"/> Parure <input type="text"/> Autres <input type="text"/>
Malacofaune <input type="text"/> Microfaune <input type="text"/> Carpocestes <input type="text"/> Anthracocrestes <input type="text"/>	Malacofaune <input type="text"/> Microfaune <input type="text"/> Carpocestes <input type="text"/> Anthracocrestes <input type="text"/>		

Annexe 3 - Le Clos de Roque, Saint-Maximin-la-Sainte-Baume (83). Inventaire des structures identifiées au décapage par fiches comprenant les indications des points topographiques, des minutes, des prélèvements et des photographies numériques de références.

Négatif

OA9785 - Clos de Roque - Saint-Maximin-la-Sainte-Baume - Var - 2011

Numéro de structure ST2062 Secteur U10 Type de structure Fosse

Date de fouille 27/06/2011 Minutes 649 - 650 - 651

Photos 1170 - 1202 - 1328

Points topographiques PT0682 - PT5650 à PT5659 - PT6422 à PT6433 - PT5729 - PT5730

X (Lambert III) 885563.46 \* (m) Y (Lambert III) 134875.24

Altitude supérieure 285.95 Altitude inférieure 285.7

forme en coupe B2 forme en plan Circulaire

UPS de scellement UPS2 UPS encaissants UPS3

diamètre à l'ouverture\* 1.61 x diamètre maximal\* 1.61

profondeur observée\* 0.19 Volume estimé (m3) 0.3868

coupe ST coupée par ST

Protocole de fouille Moitié Nord : fouille par passes à la pelle mécanique  
Moitié Sud : fouille par passes manuelles

Notes sur la structure calcaires brûlés, peu de malacofaune, comblement rapide.

Comblement N-naturel Datation Néo/Proto

Légendes de la coupe US1 : sédiment argilo-limoneux de couleur brun foncé à noirâtre, compact et homogène, cailloux de 1 à 5 cm abondants, granules blancs millimétriques abondants, racines et radicelles dans la partie supérieure.

Prélèvements

Mobilier  Tamisage

Faune Lithique Céramique Terre crue-cuite Métal Restes humains

Industrie osseuse Macroolithique Pierres (en g) Parure Autres

Malacofaune Microfaune Carporesses Anthracorestes

grès

Négatif

OA9785 - Clos de Roque - Saint-Maximin-la-Sainte-Baume - Var - 2011

Numéro de structure ST2063 Secteur U10 Type de structure Fosse

Date de fouille 28/06/2011 Minutes 679 - 682

Photos 1147 - 1152

Points topographiques PT0683 - PT5566 à PT5575

X (Lambert III) 885562.49 \* (m) Y (Lambert III) 134878.26

Altitude supérieure 285.96 Altitude inférieure 285.8

forme en coupe B2 forme en plan Ovale

UPS de scellement UPS2 UPS encaissants UPS3

diamètre à l'ouverture\* 0.97 x diamètre maximal\* 0.97

profondeur observée\* 0.16 Volume estimé (m3) 0.1041

coupe ST coupée par ST

Protocole de fouille Moitié Sud : fouille par passes manuelles  
Moitié Nord : fouille par passes manuelles

Notes sur la structure fosse ovale

Comblement N-naturel Datation Néo/Proto

Légendes de la coupe US1 : sédiment argilo-limoneux de couleur brun foncé, compact et homogène, cailloux de 1 à 2 cm abondants, granules blancs millimétriques abondants, racines et radicelles dans la partie supérieure.  
US2 : mélange de sédiment de l'US1 et de l'UPS3.

Prélèvements

Mobilier  Tamisage

Faune Lithique Céramique Terre crue-cuite Métal Restes humains

Industrie osseuse Macroolithique Pierres (en g) Parure Autres

Malacofaune Microfaune Carporesses Anthracorestes

Négatif

OA9785 - Clos de Roque - Saint-Maximin-la-Sainte-Baume - Var - 2011

Numéro de structure ST2064 Secteur J03 Type de structure Tranchée de plantation

Date de fouille 23/06/2011 Minutes

Photos

Points topographiques PT0684 - PT5143 à PT5146

X (Lambert III) 885497.7 \* (m) Y (Lambert III) 134880.13

Altitude supérieure 286.1 Altitude inférieure 286.03

forme en coupe C forme en plan Rectangulaire

UPS de scellement UPS2 UPS encaissants UPS3

diamètre à l'ouverture\* 0.8 x diamètre maximal\* 0.8

profondeur observée\* 0.07 Volume estimé (m3) 0.0224

coupe ST coupée par ST

Protocole de fouille Moitié Sud : fouille par passes à la pelle mécanique  
Moitié Nord : fouille par passes manuelles

Notes sur la structure Fosse de plantation moderne (0.8 x 0.4 m). Structure moderne non fouillée de la Tranchée 15 du diagnostic de 2010.

Comblement N-naturel Datation Historique

Légendes de la coupe Sédiment limono-argileux brun, meuble, quelques galets de 1 à 2 cm, radicelles.

Prélèvements

Mobilier  Tamisage

Faune Lithique Céramique Terre crue-cuite Métal Restes humains

Industrie osseuse Macroolithique Pierres (en g) Parure Autres

Malacofaune Microfaune Carporesses Anthracorestes

Négatif

OA9785 - Clos de Roque - Saint-Maximin-la-Sainte-Baume - Var - 2011

Numéro de structure ST2065 Secteur J04 Type de structure Tranchée de plantation

Date de fouille 23/06/2011 Minutes

Photos

Points topographiques PT0685 - PT5151 à PT5154

X (Lambert III) 885500.71 \* (m) Y (Lambert III) 134875.92

Altitude supérieure 286.11 Altitude inférieure 286.03

forme en coupe C forme en plan Rectangulaire

UPS de scellement UPS2 UPS encaissants UPS3

diamètre à l'ouverture\* 0.9 x diamètre maximal\* 0.9

profondeur observée\* 0.08 Volume estimé (m3) 0.0288

coupe ST ST2332 coupée par ST

Protocole de fouille Moitié Sud : fouille par passes à la pelle mécanique  
Moitié Nord : fouille par passes manuelles

Notes sur la structure Fosse de plantation moderne (0.9 x 0.4 m) qui recoupe une fosse de plantation moderne circulaire.

Comblement N-naturel Datation Historique

Légendes de la coupe Sédiment limono-argileux brun, meuble, quelques galets de 1 à 2 cm, radicelles.

Prélèvements

Mobilier  Tamisage

Faune Lithique Céramique Terre crue-cuite Métal Restes humains

Industrie osseuse Macroolithique Pierres (en g) Parure Autres

Malacofaune Microfaune Carporesses Anthracorestes

Annexe 3 - Le Clos de Roque, Saint-Maximin-la-Sainte-Baume (83). Inventaire des structures identifiées au décapage par fiches comprenant les indications des points topographiques, des minutes, des prélèvements et des photographies numériques de références.

<p>Négatif <input checked="" type="checkbox"/></p> <p style="text-align: center;">OA9785 - Clos de Roque - Saint-Maximin-la-Sainte-Baume - Var - 2011</p> <p>Numéro de structure <input type="text" value="ST2066"/> Secteur <input type="text" value="U04"/> Type de structure <input type="text" value="Terrier"/></p> <p>Date de fouille <input type="text" value="05/07/2011"/> Minutes <input type="text"/></p> <p>Photos <input type="text" value="1081"/></p> <p>Points topographiques <input type="text" value="PT0686"/></p> <p>X (Lambert III) <input type="text" value="885505.99"/> * (m) Y (Lambert III) <input type="text" value="134880.73"/></p> <p>Altitude supérieure <input type="text" value="286.16"/> Altitude inférieure <input type="text" value="286.01"/></p> <p>forme en coupe <input type="text"/></p> <p>forme en plan <input type="text"/></p> <p>UPS de scellement <input type="text" value="UPS2"/> UPS encaissants <input type="text" value="UPS3"/></p> <p>diamètre à l'ouverture* <input type="text" value="1.15"/> x <input type="text"/> diamètre maximal* <input type="text" value="1.15"/></p> <p>profondeur observée* <input type="text" value="0.15"/> Volume estimé (m3) <input type="text"/></p> <p>coupe ST <input type="text"/></p> <p>Protocole de fouille <input type="text" value="Moitié Sud : fouille par passes à la pelle mécanique&lt;br/&gt;Moitié Nord : fouille par passes manuelles"/></p> <p>Notes sur la structure <input type="text" value="Terrier"/></p> <p>Comblement <input type="text" value="N-naturel"/> Datation <input type="text" value="Néant"/></p> <p>Légendes de la coupe <input type="text" value="Sédiment limono-argileux brun, meuble, quelques galets de 1 à 2 cm, radicelles."/></p> <p>Prélèvements <input type="text"/></p> <p>Mobilier <input type="checkbox"/> Tamisage</p> <table border="1" style="width:100%; border-collapse: collapse;"> <tr> <td>Faune</td> <td>Lithique</td> <td>Céramique</td> <td>Terre crue-cuite</td> <td>Métal</td> <td>Restes humains</td> </tr> <tr> <td><input type="text"/></td> <td><input type="text"/></td> <td><input type="text"/></td> <td><input type="text"/></td> <td><input type="text"/></td> <td><input type="text"/></td> </tr> <tr> <td>Industrie osseuse</td> <td>Macrolithique</td> <td>Pierres (en g)</td> <td>Parure</td> <td colspan="2">Autres</td> </tr> <tr> <td><input type="text"/></td> <td><input type="text"/></td> <td><input type="text"/></td> <td><input type="text"/></td> <td colspan="2"><input type="text"/></td> </tr> <tr> <td>Malacofaune</td> <td>Microfaune</td> <td>Carpocestes</td> <td>Anthracocrestes</td> <td colspan="2"><input type="text"/></td> </tr> <tr> <td><input type="text"/></td> <td><input type="text"/></td> <td><input type="text"/></td> <td><input type="text"/></td> <td colspan="2"><input type="text"/></td> </tr> </table>	Faune	Lithique	Céramique	Terre crue-cuite	Métal	Restes humains	<input type="text"/>	<input type="text"/>	<input type="text"/>	<input type="text"/>	<input type="text"/>	<input type="text"/>	Industrie osseuse	Macrolithique	Pierres (en g)	Parure	Autres		<input type="text"/>	<input type="text"/>	<input type="text"/>	<input type="text"/>	<input type="text"/>		Malacofaune	Microfaune	Carpocestes	Anthracocrestes	<input type="text"/>		<input type="text"/>	<input type="text"/>	<input type="text"/>	<input type="text"/>	<input type="text"/>		<p>Négatif <input type="checkbox"/></p> <p style="text-align: center;">OA9785 - Clos de Roque - Saint-Maximin-la-Sainte-Baume - Var - 2011</p> <p>Numéro de structure <input type="text" value="ST2067"/> Secteur <input type="text" value="U04"/> Type de structure <input type="text" value="Fosse"/></p> <p>Date de fouille <input type="text" value="23/06/2011"/> Minutes <input type="text" value="668 - 669 - 670 - 671"/></p> <p>Photos <input type="text" value="1077 - 1117 - 1249 - 1250"/></p> <p>Points topographiques <input type="text" value="PT0687 - PT5168 à PT5178 - PT6340 à PT6349 - PT5467 - PT5468"/></p> <p>X (Lambert III) <input type="text" value="885504.02"/> * (m) Y (Lambert III) <input type="text" value="134872.64"/></p> <p>Altitude supérieure <input type="text" value="285.95"/> Altitude inférieure <input type="text" value="285.48"/></p> <p>forme en coupe <input type="text" value="A4"/> forme en plan <input type="text" value="Ovale"/></p> <p>UPS de scellement <input type="text" value="UPS2"/> UPS encaissants <input type="text" value="UPS3"/></p> <p>diamètre à l'ouverture* <input type="text" value="1.72"/> x <input type="text" value="1.40"/> diamètre maximal* <input type="text" value="1.72"/></p> <p>profondeur observée* <input type="text" value="0.6"/> Volume estimé (m3) <input type="text" value="1.1468"/></p> <p>coupe ST <input type="text"/></p> <p>Protocole de fouille <input type="text" value="Moitié Nord : fouille par passes à la pelle mécanique&lt;br/&gt;Moitié Sud : fouille par passes manuelles"/></p> <p>Notes sur la structure <input type="text" value="Fosse en ampoule, sans doute remplissage en partie naturel effondrement des parois. Nombreuses pierres (calcaires brûlés) sur les pourtours, contre les parois, dans le fond de la structure. calcaires et calcites brûlées, et un calcaire jaune"/></p> <p>Comblement <input type="text" value="N-naturel"/> Datation <input type="text" value="Néolithique final ind"/></p> <p>Légendes de la coupe <input type="text" value="US1 : sédiment argilo-limoneux de couleur brun foncé, compact et homogène, cailloux de 1 à 5 cm abondants, granules blancs millimétriques abondants, racines et radicelles dans la partie supérieure.&lt;br/&gt;US2 : mélange de sédiment de l'US1 et de l'UPS3."/></p> <p>Prélèvements <input type="text" value="PR151 (PT5903) : carpologie"/></p> <p>Mobilier <input type="checkbox"/> Tamisage</p> <table border="1" style="width:100%; border-collapse: collapse;"> <tr> <td>Faune</td> <td>Lithique</td> <td>Céramique</td> <td>Terre crue-cuite</td> <td>Métal</td> <td>Restes humains</td> </tr> <tr> <td><input type="text" value="21"/></td> <td><input type="text" value="1"/></td> <td><input type="text" value="9"/></td> <td><input type="text"/></td> <td><input type="text"/></td> <td><input type="text"/></td> </tr> <tr> <td>Industrie osseuse</td> <td>Macrolithique</td> <td>Pierres (en g)</td> <td>Parure</td> <td colspan="2">Autres</td> </tr> <tr> <td><input type="text"/></td> <td><input type="text"/></td> <td><input type="text" value="804"/></td> <td><input type="text"/></td> <td colspan="2"><input type="text" value="granit (frgt de meule ?)"/></td> </tr> <tr> <td>Malacofaune</td> <td>Microfaune</td> <td>Carpocestes</td> <td>Anthracocrestes</td> <td colspan="2"><input type="text"/></td> </tr> <tr> <td><input type="text" value="Présence"/></td> <td><input type="text"/></td> <td><input type="text"/></td> <td><input type="text"/></td> <td colspan="2"><input type="text"/></td> </tr> </table>	Faune	Lithique	Céramique	Terre crue-cuite	Métal	Restes humains	<input type="text" value="21"/>	<input type="text" value="1"/>	<input type="text" value="9"/>	<input type="text"/>	<input type="text"/>	<input type="text"/>	Industrie osseuse	Macrolithique	Pierres (en g)	Parure	Autres		<input type="text"/>	<input type="text"/>	<input type="text" value="804"/>	<input type="text"/>	<input type="text" value="granit (frgt de meule ?)"/>		Malacofaune	Microfaune	Carpocestes	Anthracocrestes	<input type="text"/>		<input type="text" value="Présence"/>	<input type="text"/>	<input type="text"/>	<input type="text"/>	<input type="text"/>	
Faune	Lithique	Céramique	Terre crue-cuite	Métal	Restes humains																																																																				
<input type="text"/>	<input type="text"/>	<input type="text"/>	<input type="text"/>	<input type="text"/>	<input type="text"/>																																																																				
Industrie osseuse	Macrolithique	Pierres (en g)	Parure	Autres																																																																					
<input type="text"/>	<input type="text"/>	<input type="text"/>	<input type="text"/>	<input type="text"/>																																																																					
Malacofaune	Microfaune	Carpocestes	Anthracocrestes	<input type="text"/>																																																																					
<input type="text"/>	<input type="text"/>	<input type="text"/>	<input type="text"/>	<input type="text"/>																																																																					
Faune	Lithique	Céramique	Terre crue-cuite	Métal	Restes humains																																																																				
<input type="text" value="21"/>	<input type="text" value="1"/>	<input type="text" value="9"/>	<input type="text"/>	<input type="text"/>	<input type="text"/>																																																																				
Industrie osseuse	Macrolithique	Pierres (en g)	Parure	Autres																																																																					
<input type="text"/>	<input type="text"/>	<input type="text" value="804"/>	<input type="text"/>	<input type="text" value="granit (frgt de meule ?)"/>																																																																					
Malacofaune	Microfaune	Carpocestes	Anthracocrestes	<input type="text"/>																																																																					
<input type="text" value="Présence"/>	<input type="text"/>	<input type="text"/>	<input type="text"/>	<input type="text"/>																																																																					
<p>Négatif <input type="checkbox"/></p> <p style="text-align: center;">OA9785 - Clos de Roque - Saint-Maximin-la-Sainte-Baume - Var - 2011</p> <p>Numéro de structure <input type="text" value="ST2068"/> Secteur <input type="text" value="U03"/> Type de structure <input type="text" value="Fosse"/></p> <p>Date de fouille <input type="text" value="23/06/2011"/> Minutes <input type="text" value="574 - 575 - 576"/></p> <p>Photos <input type="text" value="1082 - 1115 - 1116 - 1151"/></p> <p>Points topographiques <input type="text" value="PT0688 - PT5034 à PT5044 - PT5741 à PT5750 - PT5465 - PT5466"/></p> <p>X (Lambert III) <input type="text" value="885498.33"/> * (m) Y (Lambert III) <input type="text" value="134874.46"/></p> <p>Altitude supérieure <input type="text" value="286.08"/> Altitude inférieure <input type="text" value="285.36"/></p> <p>forme en coupe <input type="text" value="A3"/> forme en plan <input type="text" value="Circulaire"/></p> <p>UPS de scellement <input type="text" value="UPS2"/> UPS encaissants <input type="text" value="UPS3"/></p> <p>diamètre à l'ouverture* <input type="text" value="1.34"/> x <input type="text" value="1.14"/> diamètre maximal* <input type="text" value="1.34"/></p> <p>profondeur observée* <input type="text" value="0.8"/> Volume estimé (m3) <input type="text" value="0.9661"/></p> <p>coupe ST <input type="text"/></p> <p>Protocole de fouille <input type="text" value="Moitié Nord : fouille par passes à la pelle mécanique&lt;br/&gt;Moitié Sud : fouille par passes manuelles"/></p> <p>Notes sur la structure <input type="text" value="Fosse sub-cylindrique, sans doute remplissage naturel effondrement des parois. Nombreuses pierres (calcaires brûlés) sur les pourtours, contre les parois, dans le fond de la structure. calcite brûlée"/></p> <p>Comblement <input type="text" value="N-naturel"/> Datation <input type="text" value="Néolithique final ind"/></p> <p>Légendes de la coupe <input type="text" value="US1 : sédiment argilo-limoneux de couleur brun foncé, compact et homogène, cailloux de 1 à 5 cm abondants, granules blancs millimétriques peu abondants, racines et radicelles dans la partie supérieure.&lt;br/&gt;US2 : mélange de sédiment de l'US1 et de l'UPS3."/></p> <p>Prélèvements <input type="text"/></p> <p>Mobilier <input type="checkbox"/> Tamisage</p> <table border="1" style="width:100%; border-collapse: collapse;"> <tr> <td>Faune</td> <td>Lithique</td> <td>Céramique</td> <td>Terre crue-cuite</td> <td>Métal</td> <td>Restes humains</td> </tr> <tr> <td><input type="text" value="5"/></td> <td><input type="text"/></td> <td><input type="text" value="21"/></td> <td><input type="text" value="Présence"/></td> <td><input type="text"/></td> <td><input type="text"/></td> </tr> <tr> <td>Industrie osseuse</td> <td>Macrolithique</td> <td>Pierres (en g)</td> <td>Parure</td> <td colspan="2">Autres</td> </tr> <tr> <td><input type="text"/></td> <td><input type="text"/></td> <td><input type="text" value="449"/></td> <td><input type="text"/></td> <td colspan="2"><input type="text" value="calcite"/></td> </tr> <tr> <td>Malacofaune</td> <td>Microfaune</td> <td>Carpocestes</td> <td>Anthracocrestes</td> <td colspan="2"><input type="text"/></td> </tr> <tr> <td><input type="text" value="Présence"/></td> <td><input type="text"/></td> <td><input type="text"/></td> <td><input type="text"/></td> <td colspan="2"><input type="text"/></td> </tr> </table>	Faune	Lithique	Céramique	Terre crue-cuite	Métal	Restes humains	<input type="text" value="5"/>	<input type="text"/>	<input type="text" value="21"/>	<input type="text" value="Présence"/>	<input type="text"/>	<input type="text"/>	Industrie osseuse	Macrolithique	Pierres (en g)	Parure	Autres		<input type="text"/>	<input type="text"/>	<input type="text" value="449"/>	<input type="text"/>	<input type="text" value="calcite"/>		Malacofaune	Microfaune	Carpocestes	Anthracocrestes	<input type="text"/>		<input type="text" value="Présence"/>	<input type="text"/>	<input type="text"/>	<input type="text"/>	<input type="text"/>		<p>Négatif <input type="checkbox"/></p> <p style="text-align: center;">OA9785 - Clos de Roque - Saint-Maximin-la-Sainte-Baume - Var - 2011</p> <p>Numéro de structure <input type="text" value="ST2069"/> Secteur <input type="text" value="U03"/> Type de structure <input type="text" value="Fosse"/></p> <p>Date de fouille <input type="text" value="23/06/2011"/> Minutes <input type="text" value="552 - 553 - 554"/></p> <p>Photos <input type="text" value="1083 - 1110 - 1113"/></p> <p>Points topographiques <input type="text" value="PT0689 - PT5024 à PT5033 - PT5473 à PT5482 - PT5378 - PT5379"/></p> <p>X (Lambert III) <input type="text" value="885495.05"/> * (m) Y (Lambert III) <input type="text" value="134878"/></p> <p>Altitude supérieure <input type="text" value="286.1"/> Altitude inférieure <input type="text" value="285.92"/></p> <p>forme en coupe <input type="text" value="B2"/> forme en plan <input type="text" value="Ovale"/></p> <p>UPS de scellement <input type="text" value="UPS2"/> UPS encaissants <input type="text" value="UPS3"/></p> <p>diamètre à l'ouverture* <input type="text" value="0.72"/> x <input type="text" value="0.6"/> diamètre maximal* <input type="text" value="0.72"/></p> <p>profondeur observée* <input type="text" value="0.23"/> Volume estimé (m3) <input type="text" value="0.0787"/></p> <p>coupe ST <input type="text"/></p> <p>Protocole de fouille <input type="text" value="Moitié Sud : fouille par passes à la pelle mécanique&lt;br/&gt;Moitié Nord : fouille par passes manuelles"/></p> <p>Notes sur la structure <input type="text" value="Diamètre à l'ouverture (0.72 x 0.6 m)."/></p> <p>Comblement <input type="text" value="N-naturel"/> Datation <input type="text" value="Néo/Proto"/></p> <p>Légendes de la coupe <input type="text" value="US1 : sédiment argilo-limoneux de couleur brun foncé, compact et homogène, cailloux de 1 à 5 cm abondants, granules blancs millimétriques peu abondants, racines et radicelles dans la partie supérieure.&lt;br/&gt;US2 : mélange de sédiment de l'US1 et de l'UPS3."/></p> <p>Prélèvements <input type="text"/></p> <p>Mobilier <input type="checkbox"/> Tamisage</p> <table border="1" style="width:100%; border-collapse: collapse;"> <tr> <td>Faune</td> <td>Lithique</td> <td>Céramique</td> <td>Terre crue-cuite</td> <td>Métal</td> <td>Restes humains</td> </tr> <tr> <td><input type="text"/></td> <td><input type="text"/></td> <td><input type="text" value="2"/></td> <td><input type="text"/></td> <td><input type="text"/></td> <td><input type="text"/></td> </tr> <tr> <td>Industrie osseuse</td> <td>Macrolithique</td> <td>Pierres (en g)</td> <td>Parure</td> <td colspan="2">Autres</td> </tr> <tr> <td><input type="text"/></td> <td><input type="text"/></td> <td><input type="text" value="Présence"/></td> <td><input type="text"/></td> <td colspan="2"><input type="text"/></td> </tr> <tr> <td>Malacofaune</td> <td>Microfaune</td> <td>Carpocestes</td> <td>Anthracocrestes</td> <td colspan="2"><input type="text"/></td> </tr> <tr> <td><input type="text" value="Présence"/></td> <td><input type="text"/></td> <td><input type="text"/></td> <td><input type="text"/></td> <td colspan="2"><input type="text"/></td> </tr> </table>	Faune	Lithique	Céramique	Terre crue-cuite	Métal	Restes humains	<input type="text"/>	<input type="text"/>	<input type="text" value="2"/>	<input type="text"/>	<input type="text"/>	<input type="text"/>	Industrie osseuse	Macrolithique	Pierres (en g)	Parure	Autres		<input type="text"/>	<input type="text"/>	<input type="text" value="Présence"/>	<input type="text"/>	<input type="text"/>		Malacofaune	Microfaune	Carpocestes	Anthracocrestes	<input type="text"/>		<input type="text" value="Présence"/>	<input type="text"/>	<input type="text"/>	<input type="text"/>	<input type="text"/>	
Faune	Lithique	Céramique	Terre crue-cuite	Métal	Restes humains																																																																				
<input type="text" value="5"/>	<input type="text"/>	<input type="text" value="21"/>	<input type="text" value="Présence"/>	<input type="text"/>	<input type="text"/>																																																																				
Industrie osseuse	Macrolithique	Pierres (en g)	Parure	Autres																																																																					
<input type="text"/>	<input type="text"/>	<input type="text" value="449"/>	<input type="text"/>	<input type="text" value="calcite"/>																																																																					
Malacofaune	Microfaune	Carpocestes	Anthracocrestes	<input type="text"/>																																																																					
<input type="text" value="Présence"/>	<input type="text"/>	<input type="text"/>	<input type="text"/>	<input type="text"/>																																																																					
Faune	Lithique	Céramique	Terre crue-cuite	Métal	Restes humains																																																																				
<input type="text"/>	<input type="text"/>	<input type="text" value="2"/>	<input type="text"/>	<input type="text"/>	<input type="text"/>																																																																				
Industrie osseuse	Macrolithique	Pierres (en g)	Parure	Autres																																																																					
<input type="text"/>	<input type="text"/>	<input type="text" value="Présence"/>	<input type="text"/>	<input type="text"/>																																																																					
Malacofaune	Microfaune	Carpocestes	Anthracocrestes	<input type="text"/>																																																																					
<input type="text" value="Présence"/>	<input type="text"/>	<input type="text"/>	<input type="text"/>	<input type="text"/>																																																																					

Annexe 3 - Le Clos de Roque, Saint-Maximin-la-Sainte-Baume (83). Inventaire des structures identifiées au décapage par fiches comprenant les indications des points topographiques, des minutes, des prélèvements et des photographies numériques de références.



Négatif

OA9785 - Clos de Roque - Saint-Maximin-la-Sainte-Baume - Var - 2011

Numéro de structure  Secteur  Type de structure

Date de fouille  Minutes

Photos

Points topographiques

X (Lambert III)  \* (m) Y (Lambert III)

Altitude supérieure  Altitude inférieure

forme en coupe  forme en plan

UPS de scellement  UPS encaissants

diamètre à l'ouverture\*  x  diamètre maximal\*

profondeur observée\*  Volume estimé (m3)

coupe ST

Protocole de fouille

Notes sur la structure

Comblement  Datation

Légendes de la coupe

Prélèvements

Mobilier  Tamisage

Faune	Lithique	Céramique	Terre crue-cuite	Métal	Restes humains
Industrie osseuse	Macrolithique	Pierres (en g)	Parure	Autres	
Malacofaune	Microfaune	Carporesses	Anthracorestes		

Négatif

OA9785 - Clos de Roque - Saint-Maximin-la-Sainte-Baume - Var - 2011

Numéro de structure  Secteur  Type de structure

Date de fouille  Minutes

Photos

Points topographiques

X (Lambert III)  \* (m) Y (Lambert III)

Altitude supérieure  Altitude inférieure

forme en coupe  forme en plan

UPS de scellement  UPS encaissants

diamètre à l'ouverture\*  x  diamètre maximal\*

profondeur observée\*  Volume estimé (m3)

coupe ST

Protocole de fouille

Notes sur la structure

Comblement  Datation

Légendes de la coupe

Prélèvements

Mobilier  Tamisage

Faune	Lithique	Céramique	Terre crue-cuite	Métal	Restes humains
9	2	43			
Industrie osseuse	Macrolithique	Pierres (en g)	Parure	Autres	
		1837			
Malacofaune	Microfaune	Carporesses	Anthracorestes		
Présence					

Négatif

OA9785 - Clos de Roque - Saint-Maximin-la-Sainte-Baume - Var - 2011

Numéro de structure  Secteur  Type de structure

Date de fouille  Minutes

Photos

Points topographiques

X (Lambert III)  \* (m) Y (Lambert III)

Altitude supérieure  Altitude inférieure

forme en coupe  forme en plan

UPS de scellement  UPS encaissants

diamètre à l'ouverture\*  x  diamètre maximal\*

profondeur observée\*  Volume estimé (m3)

coupe ST

Protocole de fouille

Notes sur la structure

Comblement  Datation

Légendes de la coupe

Prélèvements

Mobilier  Tamisage

Faune	Lithique	Céramique	Terre crue-cuite	Métal	Restes humains
		9			
Industrie osseuse	Macrolithique	Pierres (en g)	Parure	Autres	
		Présence			
Malacofaune	Microfaune	Carporesses	Anthracorestes		
Présence					

Négatif

OA9785 - Clos de Roque - Saint-Maximin-la-Sainte-Baume - Var - 2011

Numéro de structure  Secteur  Type de structure

Date de fouille  Minutes

Photos

Points topographiques

X (Lambert III)  \* (m) Y (Lambert III)

Altitude supérieure  Altitude inférieure

forme en coupe  forme en plan

UPS de scellement  UPS encaissants

diamètre à l'ouverture\*  x  diamètre maximal\*

profondeur observée\*  Volume estimé (m3)

coupe ST

Protocole de fouille

Notes sur la structure

Comblement  Datation

Légendes de la coupe

Prélèvements

Mobilier  Tamisage

Faune	Lithique	Céramique	Terre crue-cuite	Métal	Restes humains
94	14	173	Présence		
Industrie osseuse	Macrolithique	Pierres (en g)	Parure	Autres	
		3169		calcite	
Malacofaune	Microfaune	Carporesses	Anthracorestes		
Présence			Présence		

Annexe 3 - Le Clos de Roque, Saint-Maximin-la-Sainte-Baume (83). Inventaire des structures identifiées au décapage par fiches comprenant les indications des points topographiques, des minutes, des prélèvements et des photographies numériques de références.

Négatif

OA9785 - Clos de Roque - Saint-Maximin-la-Sainte-Baume - Var - 2011

Número de structure  Secteur  Type de structure

Date de fouille  Minutes

Photos

Points topographiques

X (Lambert III)  \* (m) Y (Lambert III)

Altitude supérieure  Altitude inférieure

forme en coupe  forme en plan

UPS de scellement  UPS encaissants

diamètre à l'ouverture\*  x  diamètre maximal\*

profondeur observée\*  Volume estimé (m3)

coupe ST  coupée par ST

Protocole de fouille   
Moitié Nord : fouille par passes manuelles

Notes sur la structure

Comblement  Datation

Légendes de la coupe

Prélèvements

Mobilier  Tamisage

Faune	Lithique	Céramique	Terre crue-cuite	Métal	Restes humains
<input type="text" value="643"/>	<input type="text" value="64"/>	<input type="text" value="524"/>	<input type="text" value="Présence"/>	<input type="text" value="1 fragment"/>	<input type="text" value=""/>
Industrie osseuse	Macrolithique	Pierres (en g)	Parure	Autres	
<input type="text" value=""/>	<input type="text" value=""/>	<input type="text" value="2927"/>	<input type="text" value="bracelet"/>	<input type="text" value="calcite, grès, poudding, quartzite"/>	
Malacofaune	Microfaune	Carporesses	Anthracoresstes	<input type="text" value=""/>	
<input type="text" value="Présence"/>	<input type="text" value="Présence"/>	<input type="text" value="Présence"/>	<input type="text" value="Présence"/>	<input type="text" value=""/>	

Négatif

OA9785 - Clos de Roque - Saint-Maximin-la-Sainte-Baume - Var - 2011

Número de structure  Secteur  Type de structure

Date de fouille  Minutes

Photos

Points topographiques

X (Lambert III)  \* (m) Y (Lambert III)

Altitude supérieure  Altitude inférieure

forme en coupe  forme en plan

UPS de scellement  UPS encaissants

diamètre à l'ouverture\*  x  diamètre maximal\*

profondeur observée\*  Volume estimé (m3)

coupe ST  coupée par ST

Protocole de fouille   
Moitié Nord : fouille par passes manuelles

Notes sur la structure

Comblement  Datation

Légendes de la coupe

Prélèvements

Mobilier  Tamisage

Faune	Lithique	Céramique	Terre crue-cuite	Métal	Restes humains
<input type="text" value="58"/>	<input type="text" value="5"/>	<input type="text" value="29"/>	<input type="text" value="Présence"/>	<input type="text" value=""/>	<input type="text" value=""/>
Industrie osseuse	Macrolithique	Pierres (en g)	Parure	Autres	
<input type="text" value=""/>	<input type="text" value=""/>	<input type="text" value="16"/>	<input type="text" value=""/>	<input type="text" value=""/>	
Malacofaune	Microfaune	Carporesses	Anthracoresstes	<input type="text" value=""/>	
<input type="text" value="Présence"/>	<input type="text" value="Présence"/>	<input type="text" value="Présence"/>	<input type="text" value="Présence"/>	<input type="text" value=""/>	

Négatif

OA9785 - Clos de Roque - Saint-Maximin-la-Sainte-Baume - Var - 2011

Número de structure  Secteur  Type de structure

Date de fouille  Minutes

Photos

Points topographiques

X (Lambert III)  \* (m) Y (Lambert III)

Altitude supérieure  Altitude inférieure

forme en coupe  forme en plan

UPS de scellement  UPS encaissants

diamètre à l'ouverture\*  x  diamètre maximal\*

profondeur observée\*  Volume estimé (m3)

coupe ST  coupée par ST

Protocole de fouille   
Moitié Sud : fouille par passes manuelles

Notes sur la structure

Comblement  Datation

Légendes de la coupe

Prélèvements

Mobilier  Tamisage

Faune	Lithique	Céramique	Terre crue-cuite	Métal	Restes humains
<input type="text" value=""/>	<input type="text" value="6"/>	<input type="text" value="Présence"/>	<input type="text" value="Présence"/>	<input type="text" value=""/>	<input type="text" value=""/>
Industrie osseuse	Macrolithique	Pierres (en g)	Parure	Autres	
<input type="text" value=""/>	<input type="text" value="Présence"/>	<input type="text" value=""/>	<input type="text" value=""/>	<input type="text" value=""/>	
Malacofaune	Microfaune	Carporesses	Anthracoresstes	<input type="text" value=""/>	
<input type="text" value="Présence"/>	<input type="text" value="Présence"/>	<input type="text" value="Présence"/>	<input type="text" value="Présence"/>	<input type="text" value=""/>	

Négatif

OA9785 - Clos de Roque - Saint-Maximin-la-Sainte-Baume - Var - 2011

Número de structure  Secteur  Type de structure

Date de fouille  Minutes

Photos

Points topographiques

X (Lambert III)  \* (m) Y (Lambert III)

Altitude supérieure  Altitude inférieure

forme en coupe  forme en plan

UPS de scellement  UPS encaissants

diamètre à l'ouverture\*  x  diamètre maximal\*

profondeur observée\*  Volume estimé (m3)

coupe ST  coupée par ST

Protocole de fouille   
Moitié Sud : fouille par passes manuelles

Notes sur la structure

Comblement  Datation

Légendes de la coupe

Prélèvements

Mobilier  Tamisage

Faune	Lithique	Céramique	Terre crue-cuite	Métal	Restes humains
<input type="text" value=""/>	<input type="text" value=""/>	<input type="text" value=""/>	<input type="text" value=""/>	<input type="text" value=""/>	<input type="text" value=""/>
Industrie osseuse	Macrolithique	Pierres (en g)	Parure	Autres	
<input type="text" value=""/>	<input type="text" value=""/>	<input type="text" value=""/>	<input type="text" value=""/>	<input type="text" value=""/>	
Malacofaune	Microfaune	Carporesses	Anthracoresstes	<input type="text" value=""/>	
<input type="text" value=""/>	<input type="text" value=""/>	<input type="text" value=""/>	<input type="text" value=""/>	<input type="text" value=""/>	

Annexe 3 - Le Clos de Roque, Saint-Maximin-la-Sainte-Baume (83). Inventaire des structures identifiées au décapage par fiches comprenant les indications des points topographiques, des minutes, des prélèvements et des photographies numériques de références.

Négatif <input type="checkbox"/>		OA9785 - Clos de Roque - Saint-Maximin-la-Sainte-Baume - Var - 2011	
Numéro de structure Date de fouille Photos	ST2078 23/06/2011 0894 - 1035 - 1067	Secteur Minutes	K02 552 - 553 - 554
Type de structure <b>Fosse</b>			
Points topographiques PT0720 - PT4581 à PT4589 - PT5125 à PT5133 - PT4921 - PT4922			
X (Lambert III) Altitude supérieure forme en coupe UPS de scellement diamètre à l'ouverture* profondeur observée* coupe ST	885488.57 286.13 F1 UPS2 1.36 0.36 coupe ST	Y (Lambert III) Altitude inférieure forme en plan UPS encaissants diamètre maximal* Volume estimé (m3) coupée par ST	134868.02 285.71 Ovale UPS3 1.36 0.4778 coupe par ST
Protocole de fouille Moitié Sud : fouille par passes à la pelle mécanique Moitié Nord : fouille par passes manuelles			
Notes sur la structure calcaires brûlés			
Comblement N-naturel Datation Néolithique final ind			
Légendes de la coupe US1 : sédiment argilo-limoneux de couleur brun foncé, compact et homogène, cailloux de 1 à 5 cm, granules blancs millimétriques abondants, racines et radicelles dans la partie supérieure. US2 : mélange de sédiment de l'US1 et de l'UPS3.			
Prélèvements			
Mobilier			
<input type="checkbox"/> Tamisage			
Faune Lithique Céramique Terre crue-cuite Métal Restes humains			
Industrie osseuse Macrolithique Pierres (en g) Parure Autres			
Malacofaune Microfaune Carporesses Anthracorestes			
calcite, grès			

Négatif <input type="checkbox"/>		OA9785 - Clos de Roque - Saint-Maximin-la-Sainte-Baume - Var - 2011	
Numéro de structure Date de fouille Photos	ST2079 21/06/2011 0895 - 1036	Secteur Minutes	K02 735
Type de structure <b>"Fosse de plantation"</b>			
Points topographiques PT0721 - PT4591 à PT4598			
X (Lambert III) Altitude supérieure forme en coupe UPS de scellement diamètre à l'ouverture* profondeur observée* coupe ST	885487.3 286.09 C UPS2 0.7 0.11 coupe ST	Y (Lambert III) Altitude inférieure forme en plan UPS encaissants diamètre maximal* Volume estimé (m3) coupée par ST	134869.17 285.98 Circulaire UPS3 0.7 0.0423 coupée par ST
Protocole de fouille Moitié Sud : fouille par passes à la pelle mécanique Moitié Nord : fouille par passes manuelles			
Notes sur la structure Fosse de plantation moderne			
Comblement N-naturel Datation Historique			
Légendes de la coupe Sédiment limono-argileux brun, meuble, quelques galets de 1 à 2 cm, radicelles.			
Prélèvements			
Mobilier			
<input type="checkbox"/> Tamisage			
Faune Lithique Céramique Terre crue-cuite Métal Restes humains			
Industrie osseuse Macrolithique Pierres (en g) Parure Autres			
Malacofaune Microfaune Carporesses Anthracorestes			

Négatif <input type="checkbox"/>		OA9785 - Clos de Roque - Saint-Maximin-la-Sainte-Baume - Var - 2011	
Numéro de structure Date de fouille Photos	ST2080 21/06/2011 0896 - 1087	Secteur Minutes	J02 509 - 510
Type de structure <b>Fosse</b>			
Points topographiques PT0722 - PT4554 à PT4563 - PT5015 à PT5023 - PT4919 - PT4920			
X (Lambert III) Altitude supérieure forme en coupe UPS de scellement diamètre à l'ouverture* profondeur observée* coupe ST	885480.84 286.04 F1 UPS2 1.73 0.6 coupe ST	Y (Lambert III) Altitude inférieure forme en plan UPS encaissants diamètre maximal* Volume estimé (m3) coupée par ST	134870.74 285.47 Circulaire UPS3 1.73 1.4104 coupe par ST
Protocole de fouille Moitié Sud : fouille par passes à la pelle mécanique Moitié Nord : fouille par passes à la pelle mécanique			
Notes sur la structure Grande fosse à fond en cuvette, sans doute remplissage naturel, effondrement partiel des parois. En surface, nombreux fragments d'une même céramique, calcaires brûlés			
Comblement AN-anthropique et Datation Néolithique final ind			
Légendes de la coupe US1 : sédiment argilo-limoneux de couleur brun foncé, compact et homogène, cailloux de 4 à 10 cm, granules blancs millimétriques abondants, charbons millimétriques et nodules de terre cuite abondants, racines et radicelles dans la partie supérieure. US2 : mélange de sédiment de l'US1 et de l'UPS3 (effondrement parois).			
Prélèvements			
Mobilier			
<input checked="" type="checkbox"/> Tamisage			
Faune Lithique Céramique Terre crue-cuite Métal Restes humains			
Industrie osseuse Macrolithique Pierres (en g) Parure Autres			
Malacofaune Microfaune Carporesses Anthracorestes			
Présence			

Négatif <input type="checkbox"/>		OA9785 - Clos de Roque - Saint-Maximin-la-Sainte-Baume - Var - 2011	
Numéro de structure Date de fouille Photos	ST2081 21/06/2011 0897 - 1038	Secteur Minutes	K01 513 - 514
Type de structure <b>Fosse</b>			
Points topographiques PT0723 - PT4543 à PT4553 - PT5082 à PT5089 - PT4739 - PT4740			
X (Lambert III) Altitude supérieure forme en coupe UPS de scellement diamètre à l'ouverture* profondeur observée* coupe ST	885478.34 286.09 C UPS2 0.92 0.25 coupe ST	Y (Lambert III) Altitude inférieure forme en plan UPS encaissants diamètre maximal* Volume estimé (m3) coupée par ST	134863.29 285.85 Ovale UPS3 0.92 0.132 coupée par ST
Protocole de fouille Moitié Sud : fouille par passes à la pelle mécanique Moitié Nord : fouille par passes à la pelle mécanique			
Notes sur la structure Fosse à fond en cuvette, sans doute remplissage naturel.			
Comblement N-naturel Datation Néo/Proto			
Légendes de la coupe US1 : sédiment argilo-limoneux de couleur brun foncé, compact et homogène, cailloux de 1 à 5 cm, racines et radicelles dans la partie supérieure. US2 : mélange de sédiment de l'US1 et de l'UPS3.			
Prélèvements			
Mobilier			
<input type="checkbox"/> Tamisage			
Faune Lithique Céramique Terre crue-cuite Métal Restes humains			
Industrie osseuse Macrolithique Pierres (en g) Parure Autres			
Malacofaune Microfaune Carporesses Anthracorestes			
Présence			

Annexe 3 - Le Clos de Roque, Saint-Maximin-la-Sainte-Baume (83). Inventaire des structures identifiées au décapage par fiches comprenant les indications des points topographiques, des minutes, des prélèvements et des photographies numériques de références.

Négatif

OA9785 - Clos de Roque - Saint-Maximin-la-Sainte-Baume - Var - 2011

Numéro de structure  Secteur  Type de structure

Date de fouille  Minutes

Photos

Points topographiques

X (Lambert III)  \* (m) Y (Lambert III)

Altitude supérieure  Altitude inférieure

forme en coupe  forme en plan

UPS de scellement  UPS encaissants

diamètre à l'ouverture\*  x  diamètre maximal\*

profondeur observée\*  Volume estimé (m3)

coupe ST

Protocole de fouille

Notes sur la structure

Comblement  Datation

Légendes de la coupe

Prélèvements

Mobilier  Tamisage

Faune  Lithique  Céramique  Terre crue-cuite  Métal  Restes humains

Industrie osseuse  Macrolithique  Pierres (en g)  Parure  Autres

Malacofaune  Microfaune  Carpocestes  Anthracestes

Négatif

OA9785 - Clos de Roque - Saint-Maximin-la-Sainte-Baume - Var - 2011

Numéro de structure  Secteur  Type de structure

Date de fouille  Minutes

Photos

Points topographiques

X (Lambert III)  \* (m) Y (Lambert III)

Altitude supérieure  Altitude inférieure

forme en coupe  forme en plan

UPS de scellement  UPS encaissants

diamètre à l'ouverture\*  x  diamètre maximal\*

profondeur observée\*  Volume estimé (m3)

coupe ST

Protocole de fouille

Notes sur la structure

Comblement  Datation

Légendes de la coupe

Prélèvements

Mobilier  Tamisage

Faune  Lithique  Céramique  Terre crue-cuite  Métal  Restes humains

Industrie osseuse  Macrolithique  Pierres (en g)  Parure  Autres

Malacofaune  Microfaune  Carpocestes  Anthracestes

Négatif

OA9785 - Clos de Roque - Saint-Maximin-la-Sainte-Baume - Var - 2011

Numéro de structure  Secteur  Type de structure

Date de fouille  Minutes

Photos

Points topographiques

X (Lambert III)  \* (m) Y (Lambert III)

Altitude supérieure  Altitude inférieure

forme en coupe  forme en plan

UPS de scellement  UPS encaissants

diamètre à l'ouverture\*  x  diamètre maximal\*

profondeur observée\*  Volume estimé (m3)

coupe ST

Protocole de fouille

Notes sur la structure

Comblement  Datation

Légendes de la coupe

Prélèvements

Mobilier  Tamisage

Faune  Lithique  Céramique  Terre crue-cuite  Métal  Restes humains

Industrie osseuse  Macrolithique  Pierres (en g)  Parure  Autres

Malacofaune  Microfaune  Carpocestes  Anthracestes

Négatif

OA9785 - Clos de Roque - Saint-Maximin-la-Sainte-Baume - Var - 2011

Numéro de structure  Secteur  Type de structure

Date de fouille  Minutes

Photos

Points topographiques

X (Lambert III)  \* (m) Y (Lambert III)

Altitude supérieure  Altitude inférieure

forme en coupe  forme en plan

UPS de scellement  UPS encaissants

diamètre à l'ouverture\*  x  diamètre maximal\*

profondeur observée\*  Volume estimé (m3)

coupe ST

Protocole de fouille

Notes sur la structure

Comblement  Datation

Légendes de la coupe

Prélèvements

Mobilier  Tamisage

Faune  Lithique  Céramique  Terre crue-cuite  Métal  Restes humains

Industrie osseuse  Macrolithique  Pierres (en g)  Parure  Autres

Malacofaune  Microfaune  Carpocestes  Anthracestes

Annexe 3 - Le Clos de Roque, Saint-Maximin-la-Sainte-Baume (83). Inventaire des structures identifiées au décapage par fiches comprenant les indications des points topographiques, des minutes, des prélèvements et des photographies numériques de références.

Négatif

OA9785 - Clos de Roque - Saint-Maximin-la-Sainte-Baume - Var - 2011

Nom de structure: ST2086 Secteur: K03 Type de structure: Fosse de plantation

Date de fouille: 07/07/2011 Minutes:

Points topographiques: PT0728

X (Lambert III): 885490.13 Y (Lambert III): 134865.29

Altitude supérieure: 286.16 Altitude inférieure: 286.03

forme en coupe: C forme en plan: Circulaire

UPS de scellement: UPS2 UPS encaissants: UPS3

diamètre à l'ouverture\*: 0.7 x diamètre maximal\*: 0.7

profondeur observée\*: 0.13 Volume estimé (m3): 0.05

coupe ST: coupée par ST

Protocole de fouille: Moitié Sud : fouille par passes à la pelle mécanique  
Moitié Nord : fouille par passes manuelles

Notes sur la structure: Fosse de plantation moderne

Comblement: N-naturel Datation: Historique

Légendes de la coupe: Sédiment limono-argileux brun, meuble, quelques galets de 1 à 2 cm, radicelles.

Prélèvements:

Mobilier:  Tamisage

Faune	Lithique	Céramique	Terre crue-cuite	Métal	Restes humains
Industrie osseuse	Macrolithique	Pierres (en g)	Parure	Autres	
Malacofaune	Microfaune	Carporesses	Anthracorestes		

Négatif

OA9785 - Clos de Roque - Saint-Maximin-la-Sainte-Baume - Var - 2011

Nom de structure: ST2087 Secteur: K03 Type de structure: Fosse

Date de fouille: 07/06/2011 Minutes: 249 - 250 - 251 - 256

Photos: 0449 - 0489 - 0490 - 0516 - 0517

Points topographiques: PT0729 - PT2785 à PT2790 - PT3157 à PT3173

X (Lambert III): 885492.24 Y (Lambert III): 134865.09

Altitude supérieure: 286.14 Altitude inférieure: 285.48

forme en coupe: A4 forme en plan: Circulaire

UPS de scellement: UPS2 UPS encaissants: UPS3

diamètre à l'ouverture\*: 1 x diamètre maximal\*: 1.2

profondeur observée\*: 0.68 Volume estimé (m3): 0.6462

coupe ST: coupée par ST

Protocole de fouille: Moitié Sud : fouille par passes manuelles  
Moitié Nord : fouille par passes manuelles

Notes sur la structure: Diamètre à l'ouverture (1 x 1 m). Fosse en ampoule, sans doute remplissage naturel/effondrement des parois. Nombreuses pierres (calcaires brûlés) sur les pourtours, contre les parois, dans le fond de la structure. Lentille charbonneuse présente dans le remplissage qui est le résultat d'une vidange de foyer. calcaires brûlés et un calcaire jaune

Comblement: AN-anthropique et Datation: Néolithique final ind

Légendes de la coupe: US1 : sédiment argilo-limoneux de couleur brun foncé, compact et homogène, cailloux de 10 à 15 cm, charbons millimétriques peu abondants, granules blancs millimétriques abondants, racines et radicelles dans la partie supérieure. Présence d'une lentille charbonneuse dans le milieu de la fosse  
US2 : mélange de sédiment de l'US1 et de l'UPS3 (effondrement des parois).

Prélèvements: PR48 (PT3103) : carpologie

Mobilier:  Tamisage

Faune	Lithique	Céramique	Terre crue-cuite	Métal	Restes humains
52	16	87	Présence		
Industrie osseuse	Macrolithique	Pierres (en g)	Parure	Autres	
Malacofaune	Microfaune	Carporesses	Anthracorestes	calcite, pouddingue	

Négatif

OA9785 - Clos de Roque - Saint-Maximin-la-Sainte-Baume - Var - 2011

Nom de structure: ST2088 Secteur: K04 Type de structure: Fosse

Date de fouille: 23/06/2011 Minutes: 537 - 538 - 539

Photos: 0902 - 1031 - 1064

Points topographiques: PT0730 - PT4599 à PT4606 - PT5114 à PT5123 - PT4767 - PT4768

X (Lambert III): 885500.38 Y (Lambert III): 134865.36

Altitude supérieure: 286.06 Altitude inférieure: 285.62

forme en coupe: A3 forme en plan: Ovale

UPS de scellement: UPS2 UPS encaissants: UPS3

diamètre à l'ouverture\*: 0.96 x diamètre maximal\*: 0.96

profondeur observée\*: 0.45 Volume estimé (m3): 0.2927

coupe ST: coupée par ST

Protocole de fouille: Moitié Nord : fouille par passes à la pelle mécanique  
Moitié Sud : fouille par passes manuelles

Notes sur la structure: Fosse à fond en cuvette, sans doute remplissage naturel.

Comblement: N-naturel Datation: Néolithique final phase 1

Légendes de la coupe: US1 : sédiment argilo-limoneux de couleur brun foncé à noirâtre, compact et homogène, cailloux de 1 à 5 cm, nodules de terre cuite peu abondants, racines et radicelles dans la partie supérieure.  
US2 : mélange de sédiment de l'US1 et de l'UPS3.

Prélèvements: PR118 (PT5097) : carpologie

Mobilier:  Tamisage

Faune	Lithique	Céramique	Terre crue-cuite	Métal	Restes humains
33	06	34			
Industrie osseuse	Macrolithique	Pierres (en g)	Parure	Autres	
Malacofaune	Microfaune	Carporesses	Anthracorestes		

Négatif

OA9785 - Clos de Roque - Saint-Maximin-la-Sainte-Baume - Var - 2011

Nom de structure: ST2089 Secteur: K03 Type de structure: Fosse de plantation

Date de fouille: 07/07/2011 Minutes:

Photos: 810 - 900

Points topographiques: PT0731 - PT4151 à PT4154 - PT4487 à PT4492

X (Lambert III): 885495.85 Y (Lambert III): 134862.94

Altitude supérieure: 286.09 Altitude inférieure: 286.04

forme en coupe: C forme en plan: Circulaire

UPS de scellement: UPS2 UPS encaissants: UPS3

diamètre à l'ouverture\*: 1 x diamètre maximal\*: 1

profondeur observée\*: 0.05 Volume estimé (m3): 0.0393

coupe ST: coupée par ST

Protocole de fouille: Moitié Sud : fouille par passes à la pelle mécanique  
Moitié Nord : fouille par passes manuelles

Notes sur la structure: Fosse de plantation moderne

Comblement: N-naturel Datation: Historique

Légendes de la coupe: Sédiment limono-argileux brun, meuble, quelques galets de 1 à 2 cm, radicelles.

Prélèvements:

Mobilier:  Tamisage

Faune	Lithique	Céramique	Terre crue-cuite	Métal	Restes humains
Industrie osseuse	Macrolithique	Pierres (en g)	Parure	Autres	
Malacofaune	Microfaune	Carporesses	Anthracorestes		

Annexe 3 - Le Clos de Roque, Saint-Maximin-la-Sainte-Baume (83). Inventaire des structures identifiées au décapage par fiches comprenant les indications des points topographiques, des minutes, des prélèvements et des photographies numériques de références.



Négatif

OA9785 - Clos de Roque - Saint-Maximin-la-Sainte-Baume - Var - 2011

Numéro de structure ST2094 Secteur L03 Type de structure Fosse

Date de fouille 08/06/2011 Minutes 739 - 740 - 741 - 742 - 743 - 744 - 745 - 746 - 747

Photos 0492 - 0514 - 0521 - 0524 - 0526 - 0546 - 0878 à 0880 - 0909 à 0913 - 1497 à 1501 - 1515 à 1522 - 1539 - 1544 à 1549 - 1558 à 1567

Points topographiques PT0736 - PT2868 à PT2874 - PT4037 à PT4042 - PT4372 à PT4375 - PT6781 à PT6789 - PT6868 à PT6874 - PT6881 à PT6885 - PT6888 à PT6901 - PT7130 - PT7131 - PT7213 à

X (Lambert III) 885495.87 \* (m) Y (Lambert III) 134851.4

Altitude supérieure 286.27 Altitude inférieure 284.79

forme en coupe A5 forme en plan Ovale

UPS de scellement UPS2 UPS encaissants UPS3

diamètre à l'ouverture\* 2.9 x 2.57 diamètre maximal\* 3.10

profondeur observée\* 1.72 Volume estimé (m3) 10.2905

coupe ST coupée par ST ST2257 et ST2338

Protocole de fouille Moitié Sud : fouille par passes manuelles et par passes à la pelle mécanique  
Moitié Nord : fouille par passes manuelles et par passes à la pelle mécanique

Notes sur la structure Fosse à fond en dôme, avec sur creusement latéraux. Sans doute une cave silo. ST2257, fossé moderne, ST2338, fosse silo calcite

Comblement A-anthropique Datation Néolithique final phase 1

Légendes de la coupe US1 : sédiment argilo-limoneux de couleur brun foncé, compact et homogène, cailloux de 1 à 5 cm, granules blancs millimétriques peu abondants, racines et radicelles dans les niveaux supérieurs.

Prélèvements PR85, 196, 198 (PT4590, PT7295, PT7319) : malacologie ; PR199 (PT7362) : carpologie

Mobilier  Tamisage Restes humains

Faune	Lithique	Céramique	Terre crue-cuite	Métal	Restes humains
	01	01			
Industrie osseuse	Macrolithique	Pierres (en g)	Parure	Autres	
		Présence		grès	
Malacofaune	Microfaune	Carporestes	Anthracorestes		
Présence					

Négatif

OA9785 - Clos de Roque - Saint-Maximin-la-Sainte-Baume - Var - 2011

Numéro de structure ST2095 Secteur J09 Type de structure Terrier

Date de fouille 27/06/2011 Minutes

Photos

Points topographiques PT0741

X (Lambert III) 885555.27 \* (m) Y (Lambert III) 134887.8

Altitude supérieure 285.94 Altitude inférieure 285.79

forme en coupe forme en plan

UPS de scellement UPS2 UPS encaissants UPS3

diamètre à l'ouverture\* 0.25 x 0.15 diamètre maximal\* 0.25

profondeur observée\* 0.15 Volume estimé (m3)

coupe ST coupée par ST

Protocole de fouille Moitié Sud : fouille par passes à la pelle mécanique  
Moitié Nord : fouille par passes manuelles

Notes sur la structure Terrier

Comblement N-naturel Datation Néant

Légendes de la coupe Sédiment limono-argileux brun, meuble, quelques galets de 1 à 2 cm, radicelles.

Prélèvements

Mobilier  Tamisage Restes humains

Faune	Lithique	Céramique	Terre crue-cuite	Métal	Restes humains
Industrie osseuse	Macrolithique	Pierres (en g)	Parure	Autres	
Malacofaune	Microfaune	Carporestes	Anthracorestes		

Négatif

OA9785 - Clos de Roque - Saint-Maximin-la-Sainte-Baume - Var - 2011

Numéro de structure ST2096 Secteur J09 Type de structure Puits

Date de fouille 23/06/2011 Minutes 456

Photos

Points topographiques PT0742

X (Lambert III) 885558.34 \* (m) Y (Lambert III) 134872.64

Altitude supérieure 286.03 Altitude inférieure 280.1

forme en coupe E forme en plan Ovale

UPS de scellement UPS2 UPS encaissants UPS3

diamètre à l'ouverture\* 3 x 3 diamètre maximal\* 3

profondeur observée\* 5.9 Volume estimé (m3) 18.5354

coupe ST coupée par ST

Protocole de fouille Moitié Sud : fouille par passes manuelles et par passes à la pelle mécanique  
Moitié Nord : fouille par passes manuelles et par passes à la pelle mécanique

Notes sur la structure Puits calcaires et calcites brûlées (US1 : 7089) ; (US2 : 2459) ; (US3 : 458) ; (US4 : 425) ; (US5 : 853) ; (US6 : 19945) ; (US7 : 20) ; (US8 : 1682) ; (US9 : 16611) ; (US10 : 3870) ; (US12 : 535, calcite) ; (US14 : 9298) ; (US15 : 41972 dont blocs : 3804, 1339, 3150, 2080) ; (US16 : 2911)

Comblement AN-anthropique et Datation Néolithique récent/final

Légendes de la coupe US1 : sédiment argilo-limoneux brun foncé, homogène et compact, inclusions millimétriques de terre et de boulette d'argile cuite, charbons millimétriques et cailloux de 1 à 2 cm peu abondants. Racines et radicelles au sommet.  
US2 : sédiment argilo-limoneux brun, homogène et compact, nombreuses inclusions de nodules d'argile cuite, charbons centimétriques et cailloux de 1 à 2 cm peu abondants, présence de fragments d'UPS3.  
US3 : sédiment argilo-limoneux brun rouge, homogène et compact, nombreuses inclusions de nodules d'argile cuite, charbons centimétriques abondants et cailloux de 1 à 2 cm peu abondants, fragments d'UPS3.  
US4 : sédiment argilo-limoneux brun, homogène et compact, avec des cendres, des nodules d'argile cuite, charbons millimétriques et fragments d'UPS3.  
US5 : sédiment argilo-limoneux brun foncé, homogène et compact, avec des nodules d'argile cuite et des charbons millimétriques rares.

Prélèvements PR14 à 32 ; PR42 ; PR46 ; PR53 à 55 ; PR105 à 117 ; PR135 à 136 ; PR138 à 139 ; PR143 ; PR156 à 159 ; PR162 à 164 ; PR166 à 169 ; PR177 à 184 ; PR188 à 191

Mobilier  Tamisage Restes humains

Faune	Lithique	Céramique	Terre crue-cuite	Métal	Restes humains
Industrie osseuse	Macrolithique	Pierres (en g)	Parure	Autres	
		Présence		grès	
Malacofaune	Microfaune	Carporestes	Anthracorestes		
Présence					

Négatif

OA9785 - Clos de Roque - Saint-Maximin-la-Sainte-Baume - Var - 2011

Numéro de structure ST2097 Secteur J09 Type de structure Trou de poteau

Date de fouille 06/06/2011 Minutes 159 - 164 - 165

Photos 0399 - 0403 - 0404 - 0412

Points topographiques PT0743 - PT2529 à PT2532 - PT2534 à PT2535 - PT2560 à PT2565 PT2749 à PT2753

X (Lambert III) 885554.56 \* (m) Y (Lambert III) 134872.55

Altitude supérieure 286.09 Altitude inférieure 285.84

forme en coupe B2 forme en plan Circulaire

UPS de scellement UPS2 UPS encaissants UPS3

diamètre à l'ouverture\* 0.55 x 0.25 diamètre maximal\* 0.55

profondeur observée\* 0.25 Volume estimé (m3) 0.0594

coupe ST coupée par ST

Protocole de fouille Moitié Sud : fouille par passes manuelles  
Moitié Nord : fouille par passes manuelles

Notes sur la structure Trou de poteau ou petite fosse

Comblement N-naturel Datation Néo/Proto

Légendes de la coupe US1 : sédiment argilo-limoneux de couleur brun foncé, compact et homogène, granules blancs millimétriques abondants, racines et radicelles dans la partie supérieure.  
US2 : mélange de sédiment de l'US1 et de l'UPS3.

Prélèvements

Mobilier  Tamisage Restes humains

Faune	Lithique	Céramique	Terre crue-cuite	Métal	Restes humains
		3	Présence		
Industrie osseuse	Macrolithique	Pierres (en g)	Parure	Autres	
Malacofaune	Microfaune	Carporestes	Anthracorestes		

Annexe 3 - Le Clos de Roque, Saint-Maximin-la-Sainte-Baume (83). Inventaire des structures identifiées au décapage par fiches comprenant les indications des points topographiques, des minutes, des prélèvements et des photographies numériques de références.

<p>Négatif <input type="checkbox"/></p> <p style="text-align: center;">OA9785 - Clos de Roque - Saint-Maximin-la-Sainte-Baume - Var - 2011</p> <p>Numéro de structure <input type="text" value="ST2098"/> Secteur <input type="text" value="L10"/> Type de structure <input type="text" value="Fosse de plantation"/></p> <p>Date de fouille <input type="text" value="28/06/2011"/> Minutes <input type="text" value="641"/></p> <p>Photos <input type="text" value="1255"/></p> <p>Points topographiques <input type="text" value="PT0744 - PT5998 à PT6005"/></p> <p>X (Lambert III) <input type="text" value="885563.71"/> * (m) Y (Lambert III) <input type="text" value="134854.2"/></p> <p>Altitude supérieure <input type="text" value="286.21"/> Altitude inférieure <input type="text" value="286.03"/></p> <p>forme en coupe <input type="text" value="C"/> forme en plan <input type="text" value="Circulaire"/></p> <p>UPS de scellement <input type="text" value="UPS2"/> UPS encaissants <input type="text" value="UPS3"/></p> <p>diamètre à l'ouverture* <input type="text" value="0.6"/> x <input type="text" value=""/> diamètre maximal* <input type="text" value="0.6"/></p> <p>profondeur observée* <input type="text" value="0.18"/> Volume estimé (m3) <input type="text" value="0.0509"/></p> <p>coupe ST <input type="text" value=""/> coupée par ST <input type="text" value=""/></p> <p>Protocole de fouille <input type="text" value="Moitié Sud : fouille par passes à la pelle mécanique&lt;br/&gt;Moitié Nord : fouille par passes manuelles"/></p> <p>Notes sur la structure <input type="text" value="Fosse de plantation moderne"/></p> <p>Comblement <input type="text" value="N-naturel"/> Datation <input type="text" value="Historique"/></p> <p>Légendes de la coupe <input type="text" value="Sédiment limono-argileux brun, meuble, quelques galets de 1 à 2 cm, radicelles."/></p> <p>Prélèvements <input type="text" value=""/></p> <p>Mobilier <input type="checkbox"/> Tamisage</p> <p>Faune <input type="text" value=""/> Lithique <input type="text" value=""/> Céramique <input type="text" value=""/> Terre crue-cuite <input type="text" value=""/> Métal <input type="text" value=""/> Restes humains <input type="text" value=""/></p> <p>Industrie osseuse <input type="text" value=""/> Macrolithique <input type="text" value=""/> Pierres (en g) <input type="text" value=""/> Parure <input type="text" value=""/> Autres <input type="text" value=""/></p> <p>Malacofaune <input type="text" value=""/> Microfaune <input type="text" value=""/> Carporesses <input type="text" value=""/> Anthracorestes <input type="text" value=""/></p>	<p>Négatif <input type="checkbox"/></p> <p style="text-align: center;">OA9785 - Clos de Roque - Saint-Maximin-la-Sainte-Baume - Var - 2011</p> <p>Numéro de structure <input type="text" value="ST2099"/> Secteur <input type="text" value="L10"/> Type de structure <input type="text" value="Tranchée de plantation"/></p> <p>Date de fouille <input type="text" value="28/06/2011"/> Minutes <input type="text" value=""/></p> <p>Photos <input type="text" value="1259"/></p> <p>Points topographiques <input type="text" value="PT0745 - PT5994 à PT5997"/></p> <p>X (Lambert III) <input type="text" value="885563.50"/> * (m) Y (Lambert III) <input type="text" value="134852.66"/></p> <p>Altitude supérieure <input type="text" value="286.3"/> Altitude inférieure <input type="text" value="286.05"/></p> <p>forme en coupe <input type="text" value="C"/> forme en plan <input type="text" value="Rectangulaire"/></p> <p>UPS de scellement <input type="text" value="UPS2"/> UPS encaissants <input type="text" value="UPS3"/></p> <p>diamètre à l'ouverture* <input type="text" value="0.9"/> x <input type="text" value="0.4"/> diamètre maximal* <input type="text" value="0.9"/></p> <p>profondeur observée* <input type="text" value="0.25"/> Volume estimé (m3) <input type="text" value="0.072"/></p> <p>coupe ST <input type="text" value=""/> coupée par ST <input type="text" value=""/></p> <p>Protocole de fouille <input type="text" value="Moitié Sud : fouille par passes à la pelle mécanique&lt;br/&gt;Moitié Nord : fouille par passes manuelles"/></p> <p>Notes sur la structure <input type="text" value="Fosse de plantation moderne (0.9 x 0.4 m) = ST2100"/></p> <p>Comblement <input type="text" value="N-naturel"/> Datation <input type="text" value="Historique"/></p> <p>Légendes de la coupe <input type="text" value="Sédiment limono-argileux brun, meuble, quelques galets de 1 à 2 cm, radicelles."/></p> <p>Prélèvements <input type="text" value=""/></p> <p>Mobilier <input type="checkbox"/> Tamisage</p> <p>Faune <input type="text" value=""/> Lithique <input type="text" value=""/> Céramique <input type="text" value=""/> Terre crue-cuite <input type="text" value=""/> Métal <input type="text" value=""/> Restes humains <input type="text" value=""/></p> <p>Industrie osseuse <input type="text" value=""/> Macrolithique <input type="text" value=""/> Pierres (en g) <input type="text" value=""/> Parure <input type="text" value=""/> Autres <input type="text" value=""/></p> <p>Malacofaune <input type="text" value=""/> Microfaune <input type="text" value=""/> Carporesses <input type="text" value=""/> Anthracorestes <input type="text" value=""/></p>
<p>Négatif <input checked="" type="checkbox"/></p> <p style="text-align: center;">OA9785 - Clos de Roque - Saint-Maximin-la-Sainte-Baume - Var - 2011</p> <p>Numéro de structure <input type="text" value="ST2100"/> Secteur <input type="text" value="L10"/> Type de structure <input type="text" value="Tranchée de plantation"/></p> <p>Date de fouille <input type="text" value="28/06/2011"/> Minutes <input type="text" value=""/></p> <p>Photos <input type="text" value="1259"/></p> <p>Points topographiques <input type="text" value="PT0746"/></p> <p>X (Lambert III) <input type="text" value="885563.50"/> * (m) Y (Lambert III) <input type="text" value="134852.66"/></p> <p>Altitude supérieure <input type="text" value="286.3"/> Altitude inférieure <input type="text" value="286.05"/></p> <p>forme en coupe <input type="text" value="C"/> forme en plan <input type="text" value="Rectangulaire"/></p> <p>UPS de scellement <input type="text" value="UPS2"/> UPS encaissants <input type="text" value="UPS3"/></p> <p>diamètre à l'ouverture* <input type="text" value="0.9"/> x <input type="text" value="0.4"/> diamètre maximal* <input type="text" value="0.9"/></p> <p>profondeur observée* <input type="text" value="0.25"/> Volume estimé (m3) <input type="text" value="0.072"/></p> <p>coupe ST <input type="text" value=""/> coupée par ST <input type="text" value=""/></p> <p>Protocole de fouille <input type="text" value="Moitié Sud : fouille par passes à la pelle mécanique&lt;br/&gt;Moitié Nord : fouille par passes manuelles"/></p> <p>Notes sur la structure <input type="text" value="Fosse de plantation moderne (0.9 x 0.4 m) = ST2099"/></p> <p>Comblement <input type="text" value="N-naturel"/> Datation <input type="text" value="Historique"/></p> <p>Légendes de la coupe <input type="text" value="Sédiment limono-argileux brun, meuble, quelques galets de 1 à 2 cm, radicelles."/></p> <p>Prélèvements <input type="text" value=""/></p> <p>Mobilier <input type="checkbox"/> Tamisage</p> <p>Faune <input type="text" value=""/> Lithique <input type="text" value=""/> Céramique <input type="text" value=""/> Terre crue-cuite <input type="text" value=""/> Métal <input type="text" value=""/> Restes humains <input type="text" value=""/></p> <p>Industrie osseuse <input type="text" value=""/> Macrolithique <input type="text" value=""/> Pierres (en g) <input type="text" value=""/> Parure <input type="text" value=""/> Autres <input type="text" value=""/></p> <p>Malacofaune <input type="text" value=""/> Microfaune <input type="text" value=""/> Carporesses <input type="text" value=""/> Anthracorestes <input type="text" value=""/></p>	<p>Négatif <input type="checkbox"/></p> <p style="text-align: center;">OA9785 - Clos de Roque - Saint-Maximin-la-Sainte-Baume - Var - 2011</p> <p>Numéro de structure <input type="text" value="ST2101"/> Secteur <input type="text" value="L10"/> Type de structure <input type="text" value="Fosse"/></p> <p>Date de fouille <input type="text" value="28/06/2011"/> Minutes <input type="text" value="643 - 644 - 645"/></p> <p>Photos <input type="text" value="1258 - 1292 - 1301"/></p> <p>Points topographiques <input type="text" value="PT0747 - PT5986 à PT5989 - PT6266 à PT6275 - PT6194 - PT6195"/></p> <p>X (Lambert III) <input type="text" value="885563.3"/> * (m) Y (Lambert III) <input type="text" value="134850.27"/></p> <p>Altitude supérieure <input type="text" value="286.34"/> Altitude inférieure <input type="text" value="286.05"/></p> <p>forme en coupe <input type="text" value="B2"/> forme en plan <input type="text" value="Ovale"/></p> <p>UPS de scellement <input type="text" value="UPS2"/> UPS encaissants <input type="text" value="UPS3"/></p> <p>diamètre à l'ouverture* <input type="text" value="1.06"/> x <input type="text" value="0.84"/> diamètre maximal* <input type="text" value="1.06"/></p> <p>profondeur observée* <input type="text" value="0.31"/> Volume estimé (m3) <input type="text" value="0.2197"/></p> <p>coupe ST <input type="text" value=""/> coupée par ST <input type="text" value=""/></p> <p>Protocole de fouille <input type="text" value="Moitié Nord : fouille par passes à la pelle mécanique&lt;br/&gt;Moitié Sud : fouille par passes manuelles"/></p> <p>Notes sur la structure <input type="text" value="Fosse à fond en cuvette, peu de malacofaune, pas d'effondrement des parois, comblement rapide calcite"/></p> <p>Comblement <input type="text" value="AN-anthropique et"/> Datation <input type="text" value="Néo/Proto"/></p> <p>Légendes de la coupe <input type="text" value="US1 : sédiment argilo-limoneux de couleur brun foncé à noirâtre, compact et homogène, cailloux de 1 à 5 cm abondants, charbons millimétriques abondants, racines et radicelles dans les niveaux supérieurs."/></p> <p>Prélèvements <input type="text" value=""/></p> <p>Mobilier <input checked="" type="checkbox"/> Tamisage</p> <p>Faune <input type="text" value="04"/> Lithique <input type="text" value="02"/> Céramique <input type="text" value="01"/> Terre crue-cuite <input type="text" value=""/> Métal <input type="text" value=""/> Restes humains <input type="text" value=""/></p> <p>Industrie osseuse <input type="text" value=""/> Macrolithique <input type="text" value=""/> Pierres (en g) <input type="text" value="10"/> Parure <input type="text" value=""/> Autres <input type="text" value="calcite"/></p> <p>Malacofaune <input type="text" value="Présence"/> Microfaune <input type="text" value=""/> Carporesses <input type="text" value=""/> Anthracorestes <input type="text" value="Présence"/></p>

Annexe 3 - Le Clos de Roque, Saint-Maximin-la-Sainte-Baume (83). Inventaire des structures identifiées au décapage par fiches comprenant les indications des points topographiques, des minutes, des prélèvements et des photographies numériques de références.



Négatif <input type="checkbox"/> OA9785 - Clos de Roque - Saint-Maximin-la-Sainte-Baume - Var - 2011		Négatif <input type="checkbox"/> OA9785 - Clos de Roque - Saint-Maximin-la-Sainte-Baume - Var - 2011	
Numéro de structure <input type="text" value="ST2102"/> Secteur <input type="text" value="L10"/> Type de structure <input type="text" value="Tranchée de plantation"/>	Numéro de structure <input type="text" value="ST2103"/> Secteur <input type="text" value="M10"/> Type de structure <input type="text" value="Tranchée de plantation"/>	Numéro de structure <input type="text" value="ST2104"/> Secteur <input type="text" value="M09"/> Type de structure <input type="text" value="Tranchée de plantation"/>	Numéro de structure <input type="text" value="ST2105"/> Secteur <input type="text" value="M10"/> Type de structure <input type="text" value="Tranchée de plantation"/>
Date de fouille <input type="text" value="28/06/2011"/> Minutes <input type="text"/>	Date de fouille <input type="text" value="28/06/2011"/> Minutes <input type="text"/>	Date de fouille <input type="text" value="29/06/2011"/> Minutes <input type="text"/>	Date de fouille <input type="text" value="28/06/2011"/> Minutes <input type="text"/>
Photos <input type="text" value="1256"/>	Photos <input type="text" value="1257"/>	Photos <input type="text" value="1265"/>	Photos <input type="text" value="1260"/>
Points topographiques <input type="text" value="PT0748 - PT5978 à PT5981"/>	Points topographiques <input type="text" value="PT0749 - PT5982 à PT5985"/>	Points topographiques <input type="text" value="PT0750 - PT6107 à PT6114"/>	Points topographiques <input type="text" value="PT0751 - PT6079 à PT6082"/>
X (Lambert III) <input type="text" value="88567.21"/> * (m) Y (Lambert III) <input type="text" value="134849.98"/>	X (Lambert III) <input type="text" value="88566.11"/> * (m) Y (Lambert III) <input type="text" value="134848.66"/>	X (Lambert III) <input type="text" value="88558.28"/> * (m) Y (Lambert III) <input type="text" value="134848.52"/>	X (Lambert III) <input type="text" value="88559.99"/> * (m) Y (Lambert III) <input type="text" value="134852.74"/>
Altitude supérieure <input type="text" value="286.31"/> Altitude inférieure <input type="text" value="286.16"/>	Altitude supérieure <input type="text" value="286.35"/> Altitude inférieure <input type="text" value="286.17"/>	Altitude supérieure <input type="text" value="286.26"/> Altitude inférieure <input type="text" value="286.11"/>	Altitude supérieure <input type="text" value="286.28"/> Altitude inférieure <input type="text" value="286.08"/>
forme en coupe <input type="text" value="C"/> forme en plan <input type="text" value="Rectangulaire"/>	forme en coupe <input type="text" value="C"/> forme en plan <input type="text" value="Rectangulaire"/>	forme en coupe <input type="text" value="C"/> forme en plan <input type="text" value="Rectangulaire"/>	forme en coupe <input type="text" value="C"/> forme en plan <input type="text" value="Rectangulaire"/>
UPS de scellement <input type="text" value="UPS2"/> UPS encaissants <input type="text" value="UPS3"/>	UPS de scellement <input type="text" value="UPS2"/> UPS encaissants <input type="text" value="UPS3"/>	UPS de scellement <input type="text" value="UPS2"/> UPS encaissants <input type="text" value="UPS3"/>	UPS de scellement <input type="text" value="UPS2"/> UPS encaissants <input type="text" value="UPS3"/>
diamètre à l'ouverture* <input type="text" value="1.2"/> x <input type="text" value="0.4"/> diamètre maximal* <input type="text" value="1.2"/>	diamètre à l'ouverture* <input type="text" value="1.2"/> x <input type="text" value="0.4"/> diamètre maximal* <input type="text" value="1.2"/>	diamètre à l'ouverture* <input type="text" value="0.9"/> x <input type="text" value="0.3"/> diamètre maximal* <input type="text" value="0.9"/>	diamètre à l'ouverture* <input type="text" value="1.2"/> x <input type="text" value="0.4"/> diamètre maximal* <input type="text" value="1.2"/>
profondeur observée* <input type="text" value="0.15"/> Volume estimé (m3) <input type="text" value="0.072"/>	profondeur observée* <input type="text" value="0.18"/> Volume estimé (m3) <input type="text" value="0.0864"/>	profondeur observée* <input type="text" value="0.15"/> Volume estimé (m3) <input type="text" value="0.0675"/>	profondeur observée* <input type="text" value="0.2"/> Volume estimé (m3) <input type="text" value="0.096"/>
coupe ST <input type="text"/> coupée par ST <input type="text"/>	coupe ST <input type="text"/> coupée par ST <input type="text"/>	coupe ST <input type="text"/> coupée par ST <input type="text"/>	coupe ST <input type="text"/> coupée par ST <input type="text"/>
Protocole de fouille <input type="text" value="Moitié Sud : fouille par passes à la pelle mécanique&lt;br/&gt;Moitié Nord : fouille par passes manuelles"/>	Protocole de fouille <input type="text" value="Moitié Sud : fouille par passes à la pelle mécanique&lt;br/&gt;Moitié Nord : fouille par passes manuelles"/>	Protocole de fouille <input type="text" value="Moitié Sud : fouille par passes à la pelle mécanique&lt;br/&gt;Moitié Nord : fouille par passes manuelles"/>	Protocole de fouille <input type="text" value="Moitié Sud : fouille par passes à la pelle mécanique&lt;br/&gt;Moitié Nord : fouille par passes manuelles"/>
Notes sur la structure <input type="text" value="Fosse de plantation moderne (1.2 x 0.4 m)"/>	Notes sur la structure <input type="text" value="Fosse de plantation moderne (1.2 x 0.4 m)"/>	Notes sur la structure <input type="text" value="Fosse de plantation moderne. Diamètre à l'ouverture (0.9 x 0.5 m)"/>	Notes sur la structure <input type="text" value="Fosse de plantation moderne (1.2 x 0.4 m)"/>
Comblement <input type="text" value="N-naturel"/> Datation <input type="text" value="Historique"/>	Comblement <input type="text" value="N-naturel"/> Datation <input type="text" value="Historique"/>	Comblement <input type="text" value="N-naturel"/> Datation <input type="text" value="Historique"/>	Comblement <input type="text" value="N-naturel"/> Datation <input type="text" value="Historique"/>
Légendes de la coupe <input type="text" value="Sédiment limono-argileux brun, meuble, quelques galets de 1 à 2 cm, radicelles."/>	Légendes de la coupe <input type="text" value="Sédiment limono-argileux brun, meuble, quelques galets de 1 à 2 cm, cailloux de 5 à 10 cm, radicelles."/>	Légendes de la coupe <input type="text" value="Sédiment limono-argileux brun, meuble, quelques galets de 1 à 2 cm, radicelles."/>	Légendes de la coupe <input type="text" value="Sédiment limono-argileux brun, meuble, quelques galets de 1 à 2 cm, cailloux de 5 à 10 cm, radicelles."/>
Prélèvements <input type="text"/>	Prélèvements <input type="text"/>	Prélèvements <input type="text"/>	Prélèvements <input type="text"/>
Mobilier <input type="checkbox"/> Tamisage <input type="checkbox"/> Restes humains <input type="checkbox"/>	Mobilier <input type="checkbox"/> Tamisage <input type="checkbox"/> Restes humains <input type="checkbox"/>	Mobilier <input type="checkbox"/> Tamisage <input type="checkbox"/> Restes humains <input type="checkbox"/>	Mobilier <input type="checkbox"/> Tamisage <input type="checkbox"/> Restes humains <input type="checkbox"/>
Faune <input type="text"/> Lithique <input type="text"/> Céramique <input type="text"/> Terre crue-cuite <input type="text"/> Métal <input type="text"/>	Faune <input type="text"/> Lithique <input type="text"/> Céramique <input type="text"/> Terre crue-cuite <input type="text"/> Métal <input type="text"/>	Faune <input type="text"/> Lithique <input type="text"/> Céramique <input type="text"/> Terre crue-cuite <input type="text"/> Métal <input type="text"/>	Faune <input type="text"/> Lithique <input type="text"/> Céramique <input type="text"/> Terre crue-cuite <input type="text"/> Métal <input type="text"/>
Industrie osseuse <input type="text"/> Macroolithique <input type="text"/> Pierres (en g) <input type="text"/> Parure <input type="text"/> Autres <input type="text"/>	Industrie osseuse <input type="text"/> Macroolithique <input type="text"/> Pierres (en g) <input type="text"/> Parure <input type="text"/> Autres <input type="text"/>	Industrie osseuse <input type="text"/> Macroolithique <input type="text"/> Pierres (en g) <input type="text"/> Parure <input type="text"/> Autres <input type="text"/>	Industrie osseuse <input type="text"/> Macroolithique <input type="text"/> Pierres (en g) <input type="text"/> Parure <input type="text"/> Autres <input type="text"/>
Malacofaune <input type="text"/> Microfaune <input type="text"/> Carporesses <input type="text"/> Anthracocistes <input type="text"/>	Malacofaune <input type="text"/> Microfaune <input type="text"/> Carporesses <input type="text"/> Anthracocistes <input type="text"/>	Malacofaune <input type="text"/> Microfaune <input type="text"/> Carporesses <input type="text"/> Anthracocistes <input type="text"/>	Malacofaune <input type="text"/> Microfaune <input type="text"/> Carporesses <input type="text"/> Anthracocistes <input type="text"/>

Annexe 3 - Le Clos de Roque, Saint-Maximin-la-Sainte-Baume (83). Inventaire des structures identifiées au décapage par fiches comprenant les indications des points topographiques, des minutes, des prélèvements et des photographies numériques de références.

<p>Négatif <input type="checkbox"/></p> <p style="text-align: center;">OA9785 - Clos de Roque - Saint-Maximin-la-Sainte-Baume - Var - 2011</p> <p>Numéro de structure <input type="text" value="ST2106"/> Secteur <input type="text" value="M10"/> Type de structure <input type="text" value="Tranchée de plantation"/></p> <p>Date de fouille <input type="text" value="28/06/2011"/> Minutes <input type="text"/></p> <p>Photos <input type="text" value="1261"/></p> <p>Points topographiques <input type="text" value="PT0752 - PT6083 à PT6086"/></p> <p>X (Lambert III) <input type="text" value="885559.78"/> * (m) Y (Lambert III) <input type="text" value="134850.87"/></p> <p>Altitude supérieure <input type="text" value="286.34"/> Altitude inférieure <input type="text" value="286.19"/></p> <p>forme en coupe <input type="text" value="C"/> forme en plan <input type="text" value="Rectangulaire"/></p> <p>UPS de scellement <input type="text" value="UPS2"/> UPS encaissants <input type="text" value="UPS3"/></p> <p>diamètre à l'ouverture* <input type="text" value="1.2"/> x <input type="text" value="0.4"/> diamètre maximal* <input type="text" value="1.2"/></p> <p>profondeur observée* <input type="text" value="0.15"/> Volume estimé (m3) <input type="text" value="0.072"/></p> <p>coupe ST <input type="text"/></p> <p>Protocole de fouille <input type="text" value="Moitié Sud : fouille par passes à la pelle mécanique&lt;br/&gt;Moitié Nord : fouille par passes manuelles"/></p> <p>Notes sur la structure <input type="text" value="Fosse de plantation moderne (1.2 x 0.4 m)"/></p> <p>Comblement <input type="text" value="N-naturel"/> Datation <input type="text" value="Historique"/></p> <p>Légendes de la coupe <input type="text" value="Sédiment limono-argileux brun, meuble, quelques galets de 1 à 2 cm, cailloux de 5 à 10 cm, radicelles."/></p> <p>Prélèvements <input type="text"/></p> <p>Mobilier <input type="checkbox"/> Tamisage</p> <table border="1" style="width:100%; border-collapse: collapse;"> <tr> <td>Faune</td> <td>Lithique</td> <td>Céramique</td> <td>Terre crue-cuite</td> <td>Métal</td> <td>Restes humains</td> </tr> <tr> <td><input type="text"/></td> <td><input type="text"/></td> <td><input type="text"/></td> <td><input type="text"/></td> <td><input type="text"/></td> <td><input type="text"/></td> </tr> <tr> <td>Industrie osseuse</td> <td>Macrolithique</td> <td>Pierres (en g)</td> <td>Parure</td> <td colspan="2">Autres</td> </tr> <tr> <td><input type="text"/></td> <td><input type="text"/></td> <td><input type="text"/></td> <td><input type="text"/></td> <td colspan="2"><input type="text"/></td> </tr> <tr> <td>Malacofaune</td> <td>Microfaune</td> <td>Carpocestes</td> <td>Anthracoccestes</td> <td colspan="2"></td> </tr> <tr> <td><input type="text"/></td> <td><input type="text"/></td> <td><input type="text"/></td> <td><input type="text"/></td> <td colspan="2"></td> </tr> </table>	Faune	Lithique	Céramique	Terre crue-cuite	Métal	Restes humains	<input type="text"/>	<input type="text"/>	<input type="text"/>	<input type="text"/>	<input type="text"/>	<input type="text"/>	Industrie osseuse	Macrolithique	Pierres (en g)	Parure	Autres		<input type="text"/>	<input type="text"/>	<input type="text"/>	<input type="text"/>	<input type="text"/>		Malacofaune	Microfaune	Carpocestes	Anthracoccestes			<input type="text"/>	<input type="text"/>	<input type="text"/>	<input type="text"/>			<p>Négatif <input type="checkbox"/></p> <p style="text-align: center;">OA9785 - Clos de Roque - Saint-Maximin-la-Sainte-Baume - Var - 2011</p> <p>Numéro de structure <input type="text" value="ST2107"/> Secteur <input type="text" value="L09"/> Type de structure <input type="text" value="Fosse"/></p> <p>Date de fouille <input type="text" value="28/06/2011"/> Minutes <input type="text" value="681 - 682 - 683"/></p> <p>Photos <input type="text" value="1262 - 1294 - 1302"/></p> <p>Points topographiques <input type="text" value="PT0753 - PT6091 à PT6098 - PT6276 à PT6284 - PT6250 - PT6251"/></p> <p>X (Lambert III) <input type="text" value="885558.12"/> * (m) Y (Lambert III) <input type="text" value="134850.98"/></p> <p>Altitude supérieure <input type="text" value="286.37"/> Altitude inférieure <input type="text" value="286.23"/></p> <p>forme en coupe <input type="text" value="B2"/> forme en plan <input type="text" value="Circulaire"/></p> <p>UPS de scellement <input type="text" value="UPS2"/> UPS encaissants <input type="text" value="UPS3"/></p> <p>diamètre à l'ouverture* <input type="text" value="0.56"/> x <input type="text" value="0.37"/> diamètre maximal* <input type="text" value="0.56"/></p> <p>profondeur observée* <input type="text" value="0.13"/> Volume estimé (m3) <input type="text" value="0.0216"/></p> <p>coupe ST <input type="text"/></p> <p>Protocole de fouille <input type="text" value="Moitié Sud : fouille par passes à la pelle mécanique&lt;br/&gt;Moitié Nord : fouille par passes manuelles"/></p> <p>Notes sur la structure <input type="text" value="Fosse à fond en cuvette, pas de malacofaune, pas d'effondrement des parois, comblement rapide"/></p> <p>Comblement <input type="text" value="AN-anthropique et"/> Datation <input type="text" value="Néo/Proto"/></p> <p>Légendes de la coupe <input type="text" value="US1 : sédiment argilo-limoneux de couleur brun foncé, compact et homogène, granules blancs millimétriques abondants, racines et radicelles dans la partie supérieure.&lt;br/&gt;US2 : mélange de sédiment de l'US1 et de l'UPS3 (bioturbations)."/></p> <p>Prélèvements <input type="text"/></p> <p>Mobilier <input type="checkbox"/> Tamisage</p> <table border="1" style="width:100%; border-collapse: collapse;"> <tr> <td>Faune</td> <td>Lithique</td> <td>Céramique</td> <td>Terre crue-cuite</td> <td>Métal</td> <td>Restes humains</td> </tr> <tr> <td><input type="text"/></td> <td><input type="text"/></td> <td><input type="text"/></td> <td><input type="text"/></td> <td><input type="text"/></td> <td><input type="text"/></td> </tr> <tr> <td>Industrie osseuse</td> <td>Macrolithique</td> <td>Pierres (en g)</td> <td>Parure</td> <td colspan="2">Autres</td> </tr> <tr> <td><input type="text"/></td> <td><input type="text"/></td> <td><input type="text"/></td> <td><input type="text"/></td> <td colspan="2"><input type="text"/></td> </tr> <tr> <td>Malacofaune</td> <td>Microfaune</td> <td>Carpocestes</td> <td>Anthracoccestes</td> <td colspan="2"></td> </tr> <tr> <td><input type="text"/></td> <td><input type="text"/></td> <td><input type="text"/></td> <td><input type="text"/></td> <td colspan="2"></td> </tr> </table>	Faune	Lithique	Céramique	Terre crue-cuite	Métal	Restes humains	<input type="text"/>	<input type="text"/>	<input type="text"/>	<input type="text"/>	<input type="text"/>	<input type="text"/>	Industrie osseuse	Macrolithique	Pierres (en g)	Parure	Autres		<input type="text"/>	<input type="text"/>	<input type="text"/>	<input type="text"/>	<input type="text"/>		Malacofaune	Microfaune	Carpocestes	Anthracoccestes			<input type="text"/>	<input type="text"/>	<input type="text"/>	<input type="text"/>		
Faune	Lithique	Céramique	Terre crue-cuite	Métal	Restes humains																																																																				
<input type="text"/>	<input type="text"/>	<input type="text"/>	<input type="text"/>	<input type="text"/>	<input type="text"/>																																																																				
Industrie osseuse	Macrolithique	Pierres (en g)	Parure	Autres																																																																					
<input type="text"/>	<input type="text"/>	<input type="text"/>	<input type="text"/>	<input type="text"/>																																																																					
Malacofaune	Microfaune	Carpocestes	Anthracoccestes																																																																						
<input type="text"/>	<input type="text"/>	<input type="text"/>	<input type="text"/>																																																																						
Faune	Lithique	Céramique	Terre crue-cuite	Métal	Restes humains																																																																				
<input type="text"/>	<input type="text"/>	<input type="text"/>	<input type="text"/>	<input type="text"/>	<input type="text"/>																																																																				
Industrie osseuse	Macrolithique	Pierres (en g)	Parure	Autres																																																																					
<input type="text"/>	<input type="text"/>	<input type="text"/>	<input type="text"/>	<input type="text"/>																																																																					
Malacofaune	Microfaune	Carpocestes	Anthracoccestes																																																																						
<input type="text"/>	<input type="text"/>	<input type="text"/>	<input type="text"/>																																																																						
<p>Négatif <input type="checkbox"/></p> <p style="text-align: center;">OA9785 - Clos de Roque - Saint-Maximin-la-Sainte-Baume - Var - 2011</p> <p>Numéro de structure <input type="text" value="ST2108"/> Secteur <input type="text" value="L09"/> Type de structure <input type="text" value="Tranchée de plantation"/></p> <p>Date de fouille <input type="text" value="29/06/2011"/> Minutes <input type="text"/></p> <p>Photos <input type="text" value="1263"/></p> <p>Points topographiques <input type="text" value="PT0754 - PT6099 à PT6102"/></p> <p>X (Lambert III) <input type="text" value="885556.92"/> * (m) Y (Lambert III) <input type="text" value="134851.76"/></p> <p>Altitude supérieure <input type="text" value="286.38"/> Altitude inférieure <input type="text" value="286.23"/></p> <p>forme en coupe <input type="text" value="C"/> forme en plan <input type="text" value="Rectangulaire"/></p> <p>UPS de scellement <input type="text" value="UPS2"/> UPS encaissants <input type="text" value="UPS3"/></p> <p>diamètre à l'ouverture* <input type="text" value="1.2"/> x <input type="text" value="0.4"/> diamètre maximal* <input type="text" value="1.2"/></p> <p>profondeur observée* <input type="text" value="0.15"/> Volume estimé (m3) <input type="text" value="0.072"/></p> <p>coupe ST <input type="text"/></p> <p>Protocole de fouille <input type="text" value="Moitié Sud : fouille par passes à la pelle mécanique&lt;br/&gt;Moitié Nord : fouille par passes manuelles"/></p> <p>Notes sur la structure <input type="text" value="Fosse de plantation moderne (1.2 x 0.4 m)"/></p> <p>Comblement <input type="text" value="N-naturel"/> Datation <input type="text" value="Historique"/></p> <p>Légendes de la coupe <input type="text" value="Sédiment limono-argileux brun, meuble, quelques galets de 1 à 2 cm, cailloux de 5 à 10 cm, radicelles."/></p> <p>Prélèvements <input type="text"/></p> <p>Mobilier <input type="checkbox"/> Tamisage</p> <table border="1" style="width:100%; border-collapse: collapse;"> <tr> <td>Faune</td> <td>Lithique</td> <td>Céramique</td> <td>Terre crue-cuite</td> <td>Métal</td> <td>Restes humains</td> </tr> <tr> <td><input type="text"/></td> <td><input type="text"/></td> <td><input type="text"/></td> <td><input type="text"/></td> <td><input type="text"/></td> <td><input type="text"/></td> </tr> <tr> <td>Industrie osseuse</td> <td>Macrolithique</td> <td>Pierres (en g)</td> <td>Parure</td> <td colspan="2">Autres</td> </tr> <tr> <td><input type="text"/></td> <td><input type="text"/></td> <td><input type="text"/></td> <td><input type="text"/></td> <td colspan="2"><input type="text"/></td> </tr> <tr> <td>Malacofaune</td> <td>Microfaune</td> <td>Carpocestes</td> <td>Anthracoccestes</td> <td colspan="2"></td> </tr> <tr> <td><input type="text"/></td> <td><input type="text"/></td> <td><input type="text"/></td> <td><input type="text"/></td> <td colspan="2"></td> </tr> </table>	Faune	Lithique	Céramique	Terre crue-cuite	Métal	Restes humains	<input type="text"/>	<input type="text"/>	<input type="text"/>	<input type="text"/>	<input type="text"/>	<input type="text"/>	Industrie osseuse	Macrolithique	Pierres (en g)	Parure	Autres		<input type="text"/>	<input type="text"/>	<input type="text"/>	<input type="text"/>	<input type="text"/>		Malacofaune	Microfaune	Carpocestes	Anthracoccestes			<input type="text"/>	<input type="text"/>	<input type="text"/>	<input type="text"/>			<p>Négatif <input type="checkbox"/></p> <p style="text-align: center;">OA9785 - Clos de Roque - Saint-Maximin-la-Sainte-Baume - Var - 2011</p> <p>Numéro de structure <input type="text" value="ST2109"/> Secteur <input type="text" value="L09"/> Type de structure <input type="text" value="Tranchée de plantation"/></p> <p>Date de fouille <input type="text" value="29/06/2011"/> Minutes <input type="text"/></p> <p>Photos <input type="text" value="1264"/></p> <p>Points topographiques <input type="text" value="PT0755 - PT6103 à PT6106"/></p> <p>X (Lambert III) <input type="text" value="885556.73"/> * (m) Y (Lambert III) <input type="text" value="134852.8"/></p> <p>Altitude supérieure <input type="text" value="286.36"/> Altitude inférieure <input type="text" value="286.23"/></p> <p>forme en coupe <input type="text" value="C"/> forme en plan <input type="text" value="Rectangulaire"/></p> <p>UPS de scellement <input type="text" value="UPS2"/> UPS encaissants <input type="text" value="UPS3"/></p> <p>diamètre à l'ouverture* <input type="text" value="1.2"/> x <input type="text" value="0.4"/> diamètre maximal* <input type="text" value="1.2"/></p> <p>profondeur observée* <input type="text" value="0.13"/> Volume estimé (m3) <input type="text" value="0.0624"/></p> <p>coupe ST <input type="text"/></p> <p>Protocole de fouille <input type="text" value="Moitié Sud : fouille par passes à la pelle mécanique&lt;br/&gt;Moitié Nord : fouille par passes manuelles"/></p> <p>Notes sur la structure <input type="text" value="Fosse de plantation moderne (1.2 x 0.4 m)"/></p> <p>Comblement <input type="text" value="N-naturel"/> Datation <input type="text" value="Historique"/></p> <p>Légendes de la coupe <input type="text" value="Sédiment limono-argileux brun, meuble, quelques galets de 1 à 2 cm, cailloux de 5 à 10 cm, radicelles."/></p> <p>Prélèvements <input type="text"/></p> <p>Mobilier <input type="checkbox"/> Tamisage</p> <table border="1" style="width:100%; border-collapse: collapse;"> <tr> <td>Faune</td> <td>Lithique</td> <td>Céramique</td> <td>Terre crue-cuite</td> <td>Métal</td> <td>Restes humains</td> </tr> <tr> <td><input type="text"/></td> <td><input type="text"/></td> <td><input type="text"/></td> <td><input type="text"/></td> <td><input type="text"/></td> <td><input type="text"/></td> </tr> <tr> <td>Industrie osseuse</td> <td>Macrolithique</td> <td>Pierres (en g)</td> <td>Parure</td> <td colspan="2">Autres</td> </tr> <tr> <td><input type="text"/></td> <td><input type="text"/></td> <td><input type="text"/></td> <td><input type="text"/></td> <td colspan="2"><input type="text"/></td> </tr> <tr> <td>Malacofaune</td> <td>Microfaune</td> <td>Carpocestes</td> <td>Anthracoccestes</td> <td colspan="2"></td> </tr> <tr> <td><input type="text"/></td> <td><input type="text"/></td> <td><input type="text"/></td> <td><input type="text"/></td> <td colspan="2"></td> </tr> </table>	Faune	Lithique	Céramique	Terre crue-cuite	Métal	Restes humains	<input type="text"/>	<input type="text"/>	<input type="text"/>	<input type="text"/>	<input type="text"/>	<input type="text"/>	Industrie osseuse	Macrolithique	Pierres (en g)	Parure	Autres		<input type="text"/>	<input type="text"/>	<input type="text"/>	<input type="text"/>	<input type="text"/>		Malacofaune	Microfaune	Carpocestes	Anthracoccestes			<input type="text"/>	<input type="text"/>	<input type="text"/>	<input type="text"/>		
Faune	Lithique	Céramique	Terre crue-cuite	Métal	Restes humains																																																																				
<input type="text"/>	<input type="text"/>	<input type="text"/>	<input type="text"/>	<input type="text"/>	<input type="text"/>																																																																				
Industrie osseuse	Macrolithique	Pierres (en g)	Parure	Autres																																																																					
<input type="text"/>	<input type="text"/>	<input type="text"/>	<input type="text"/>	<input type="text"/>																																																																					
Malacofaune	Microfaune	Carpocestes	Anthracoccestes																																																																						
<input type="text"/>	<input type="text"/>	<input type="text"/>	<input type="text"/>																																																																						
Faune	Lithique	Céramique	Terre crue-cuite	Métal	Restes humains																																																																				
<input type="text"/>	<input type="text"/>	<input type="text"/>	<input type="text"/>	<input type="text"/>	<input type="text"/>																																																																				
Industrie osseuse	Macrolithique	Pierres (en g)	Parure	Autres																																																																					
<input type="text"/>	<input type="text"/>	<input type="text"/>	<input type="text"/>	<input type="text"/>																																																																					
Malacofaune	Microfaune	Carpocestes	Anthracoccestes																																																																						
<input type="text"/>	<input type="text"/>	<input type="text"/>	<input type="text"/>																																																																						

Annexe 3 - Le Clos de Roque, Saint-Maximin-la-Sainte-Baume (83). Inventaire des structures identifiées au décapage par fiches comprenant les indications des points topographiques, des minutes, des prélèvements et des photographies numériques de références.

Négatif

OA9785 - Clos de Roque - Saint-Maximin-la-Sainte-Baume - Var - 2011

Numéro de structure ST2110 Secteur L09 Type de structure Tranchée de plantation

Date de fouille 29/06/2011 Minutes

Photos 1267

Points topographiques PT0756 - PT6123 à PT6126

X (Lambert III) 885552.23 \* (m) Y (Lambert III) 134852.24

Altitude supérieure 286.29 Altitude inférieure 286.23

forme en coupe C forme en plan Rectangulaire

UPS de scellement UPS2 UPS encaissants UPS3

diamètre à l'ouverture\* 1.2 x 0.4 diamètre maximal\* 1.2

profondeur observée\* 0.06 Volume estimé (m3) 0.0288

coupe ST coupée par ST

Protocole de fouille Moitié Sud : fouille par passes à la pelle mécanique  
Moitié Nord : fouille par passes manuelles

Notes sur la structure Fosse de plantation moderne (1.2 x 0.4 m)

Comblement N-naturel Datation Historique

Légendes de la coupe Sédiment limono-argileux brun, meuble, quelques galets de 1 à 2 cm, cailloux de 5 à 10 cm, radicelles.

Prélèvements

Mobilier  Tamisage

Faune	Lithique	Céramique	Terre crue-cuite	Métal	Restes humains
Industrie osseuse	Macrolithique	Pierres (en g)	Parure	Autres	
Malacofaune	Microfaune	Carporesses	Anthracorestes		

Négatif

OA9785 - Clos de Roque - Saint-Maximin-la-Sainte-Baume - Var - 2011

Numéro de structure ST2111 Secteur L09 Type de structure Pierrier

Date de fouille 29/06/2011 Minutes

Photos 1266

Points topographiques PT0757 - PT6119 à PT6122

X (Lambert III) 885551.44 \* (m) Y (Lambert III) 134850.08

Altitude supérieure 286.34 Altitude inférieure 286.20

forme en coupe C forme en plan Rectangulaire

UPS de scellement UPS2 UPS encaissants UPS3

diamètre à l'ouverture\* 0.90 x diamètre maximal\* 1

profondeur observée\* 0.14 Volume estimé (m3)

coupe ST coupée par ST

Protocole de fouille Moitié Sud : fouille par passes à la pelle mécanique  
Moitié Nord : fouille par passes manuelles

Notes sur la structure Pierrier qui se poursuit sous la berme vers le sud

Comblement N-naturel Datation Historique

Légendes de la coupe Sédiment limono-argileux brun, meuble, quelques galets de 1 à 2 cm, cailloux de 5 à 20 cm très abondants.

Prélèvements

Mobilier  Tamisage

Faune	Lithique	Céramique	Terre crue-cuite	Métal	Restes humains
Industrie osseuse	Macrolithique	Pierres (en g)	Parure	Autres	
Malacofaune	Microfaune	Carporesses	Anthracorestes		

Négatif

OA9785 - Clos de Roque - Saint-Maximin-la-Sainte-Baume - Var - 2011

Numéro de structure ST2112 Secteur L08 Type de structure Tranchée de plantation

Date de fouille 29/06/2011 Minutes

Photos 1268

Points topographiques PT0758 - PT6127 à PT6130

X (Lambert III) 885548.27 \* (m) Y (Lambert III) 134856.33

Altitude supérieure 286.26 Altitude inférieure 286.19

forme en coupe C forme en plan Rectangulaire

UPS de scellement UPS2 UPS encaissants UPS3

diamètre à l'ouverture\* 1.2 x 0.4 diamètre maximal\* 1.2

profondeur observée\* 0.07 Volume estimé (m3) 0.0336

coupe ST coupée par ST

Protocole de fouille Moitié Sud : fouille par passes à la pelle mécanique  
Moitié Nord : fouille par passes manuelles

Notes sur la structure Fosse de plantation moderne (1.2 x 0.4 m)

Comblement N-naturel Datation Historique

Légendes de la coupe Sédiment limono-argileux brun, meuble, quelques galets de 1 à 2 cm, cailloux de 5 à 10 cm, radicelles.

Prélèvements

Mobilier  Tamisage

Faune	Lithique	Céramique	Terre crue-cuite	Métal	Restes humains
Industrie osseuse	Macrolithique	Pierres (en g)	Parure	Autres	
Malacofaune	Microfaune	Carporesses	Anthracorestes		

Négatif

OA9785 - Clos de Roque - Saint-Maximin-la-Sainte-Baume - Var - 2011

Numéro de structure ST2113 Secteur L08 Type de structure Trou de poteau

Date de fouille 01/06/2011 Minutes 139 - 140 - 141

Photos 0350 - 0352 - 0358

Points topographiques PT0759 - PT2314 à PT2319 - PT2329 à PT2334

X (Lambert III) 885545.75 \* (m) Y (Lambert III) 134853.86

Altitude supérieure 286.3 Altitude inférieure 286.18

forme en coupe B2 forme en plan Ovale

UPS de scellement UPS2 UPS encaissants UPS3

diamètre à l'ouverture\* 0.43 x 0.31 diamètre maximal\* 0.43

profondeur observée\* 0.14 Volume estimé (m3) 0.0143

coupe ST coupée par ST

Protocole de fouille Moitié Sud : fouille par passes manuelles  
Moitié Nord : fouille par passes manuelles

Notes sur la structure Trou de poteau. Diamètre à l'ouverture (0.43 x 0.31 m). Céramique moderne en surface, niveau perturbé par les labours. Cette fosse est située dans un secteur attribuable au Bronze ancien

Comblement N-naturel Datation Bronze ancien prob

Légendes de la coupe US1 : sédiment argilo-limoneux de couleur brun foncé, compact et homogène, racines et radicelles dans la partie supérieure.  
US2 : mélange de sédiment de l'US1 et de l'US3.

Prélèvements

Mobilier  Tamisage

Faune	Lithique	Céramique	Terre crue-cuite	Métal	Restes humains
Industrie osseuse	Macrolithique	Pierres (en g)	Parure	Autres	
Malacofaune	Microfaune	Carporesses	Anthracorestes		

Annexe 3 - Le Clos de Roque, Saint-Maximin-la-Sainte-Baume (83). Inventaire des structures identifiées au décapage par fiches comprenant les indications des points topographiques, des minutes, des prélèvements et des photographies numériques de références.

Négatif <input type="checkbox"/>		OA9785 - Clos de Roque - Saint-Maximin-la-Sainte-Baume - Var - 2011	
Numéro de structure Date de fouille Photos	ST2114 05/07/2011 [ ]	Secteur Minutes	L08 [ ]
Points topographiques PT0760 - PT7070 à PT7073		Type de structure Tranchée de plantation	
X (Lambert III) Altitude supérieure forme en coupe UPS de scellement diamètre à l'ouverture* profondeur observée* coupe ST	885544.39 286.29 C UPS2 1.2 0.12 [ ]	Y (Lambert III) Altitude inférieure forme en plan UPS encaissants diamètre maximal* Volume estimé (m3) coupée par ST	134852.79 286.17 Rectangulaire UPS3 1.2 0.0576 [ ]
Protocole de fouille Notes sur la structure		Moitié Sud : fouille par passes à la pelle mécanique Moitié Nord : fouille par passes manuelles Fosse de plantation moderne (1.2 x 0.4 m)	
Comblement Légendes de la coupe		N-naturel Historique Sédiment limono-argileux brun, meuble, quelques galets de 1 à 2 cm, cailloux de 5 à 10 cm, radicelles.	
Prélèvements		[ ]	
Mobilier Faune Industrie osseuse Malacofaune		Lithique Céramique Pierres (en g) Carporesses Terre crue-cuite Parure Anthracorestes <input type="checkbox"/> Tamisage Restes humains Autres	

Négatif <input type="checkbox"/>		OA9785 - Clos de Roque - Saint-Maximin-la-Sainte-Baume - Var - 2011	
Numéro de structure Date de fouille Photos	ST2115 01/08/2011 0336 - 0341 - 0347	Secteur Minutes	L08 136 - 137 - 138
Points topographiques PT0761 - PT2246 à PT2251 - PT2303 à PT2313		Type de structure Fosse	
X (Lambert III) Altitude supérieure forme en coupe UPS de scellement diamètre à l'ouverture* profondeur observée* coupe ST	885544.23 286.34 C UPS2 1.40 0.14 [ ]	Y (Lambert III) Altitude inférieure forme en plan UPS encaissants diamètre maximal* Volume estimé (m3) coupée par ST	134854.9 286.22 Polylobée UPS3 1.4 0.1705 [ ]
Protocole de fouille Notes sur la structure		Moitié Sud : fouille par passes à la pelle mécanique Moitié Nord : fouille par passes manuelles Fosse polylobée. Extraction de terre ?	
Comblement Légendes de la coupe		N-naturel Bronze ancien phase 2 US1 : sédiment argilo-limoneux de couleur brun foncé, compact et homogène, granules blancs millimétriques peu abondants, racines et radicelles dans la partie supérieure. US2 : mélange de sédiment de l'US1 et de l'UPS3.	
Prélèvements		[ ]	
Mobilier Faune Industrie osseuse Malacofaune		Lithique Céramique Pierres (en g) Carporesses Terre crue-cuite Parure Anthracorestes <input checked="" type="checkbox"/> Tamisage Restes humains Autres	

Négatif <input type="checkbox"/>		OA9785 - Clos de Roque - Saint-Maximin-la-Sainte-Baume - Var - 2011	
Numéro de structure Date de fouille Photos	ST2116 05/07/2011 1272	Secteur Minutes	L08 [ ]
Points topographiques PT0762 - PT7070 à PT7073		Type de structure Tranchée de plantation	
X (Lambert III) Altitude supérieure forme en coupe UPS de scellement diamètre à l'ouverture* profondeur observée* coupe ST	885547.11 286.22 C UPS2 1.2 0.14 [ ]	Y (Lambert III) Altitude inférieure forme en plan UPS encaissants diamètre maximal* Volume estimé (m3) coupée par ST	134859.55 286.08 Rectangulaire UPS3 1.2 0.0672 [ ]
Protocole de fouille Notes sur la structure		Moitié Sud : fouille par passes à la pelle mécanique Moitié Nord : fouille par passes manuelles Fosse de plantation moderne (1.2 x 0.4 m)	
Comblement Légendes de la coupe		N-naturel Historique Sédiment limono-argileux brun, meuble, quelques galets de 1 à 2 cm, cailloux de 5 à 10 cm, radicelles.	
Prélèvements		[ ]	
Mobilier Faune Industrie osseuse Malacofaune		Lithique Céramique Pierres (en g) Carporesses Terre crue-cuite Parure Anthracorestes <input type="checkbox"/> Tamisage Restes humains Autres	

Négatif <input type="checkbox"/>		OA9785 - Clos de Roque - Saint-Maximin-la-Sainte-Baume - Var - 2011	
Numéro de structure Date de fouille Photos	ST2117 29/06/2011 [ ]	Secteur Minutes	L08 [ ]
Points topographiques PT0763 - PT6087 à PT6090		Type de structure Tranchée de plantation	
X (Lambert III) Altitude supérieure forme en coupe UPS de scellement diamètre à l'ouverture* profondeur observée* coupe ST	885557.8 286.31 C UPS2 1.2 0.13 [ ]	Y (Lambert III) Altitude inférieure forme en plan UPS encaissants diamètre maximal* Volume estimé (m3) coupée par ST	134853.92 286.18 Rectangulaire UPS3 1.2 0.0672 [ ]
Protocole de fouille Notes sur la structure		Moitié Sud : fouille par passes à la pelle mécanique Moitié Nord : fouille par passes manuelles Fosse de plantation moderne (1.2 x 0.4 m)	
Comblement Légendes de la coupe		N-naturel Historique Sédiment limono-argileux brun, meuble, quelques galets de 1 à 2 cm, cailloux de 5 à 10 cm, radicelles.	
Prélèvements		[ ]	
Mobilier Faune Industrie osseuse Malacofaune		Lithique Céramique Pierres (en g) Carporesses Terre crue-cuite Parure Anthracorestes <input type="checkbox"/> Tamisage Restes humains Autres	

Annexe 3 - Le Clos de Roque, Saint-Maximin-la-Sainte-Baume (83). Inventaire des structures identifiées au décapage par fiches comprenant les indications des points topographiques, des minutes, des prélèvements et des photographies numériques de références.

Négatif

OA9785 - Clos de Roque - Saint-Maximin-la-Sainte-Baume - Var - 2011

Numéro de structure ST2118 Secteur L09 Type de structure Tranchée de plantation

Date de fouille 29/06/2011 Minutes

Photos

Points topographiques PT0764 - PT6115 à PT6118

X (Lambert III) 88558.95 \* (m) Y (Lambert III) 134857.34

Altitude supérieure 286.14 Altitude inférieure 286.10

forme en coupe C forme en plan Rectangulaire

UPS de scellement UPS2 UPS encaissants UPS3

diamètre à l'ouverture\* 1.2 x 0.4 diamètre maximal\* 1.2

profondeur observée\* 0.04 Volume estimé (m3) 0.0192

coupe ST coupée par ST

Protocole de fouille Moitié Sud : fouille par passes à la pelle mécanique  
Moitié Nord : fouille par passes manuelles

Notes sur la structure Fosse de plantation moderne (1.2 x 0.4 m)

Comblement N-naturel Datation Historique

Légendes de la coupe Sédiment limono-argileux brun, meuble, quelques galets de 1 à 2 cm, cailloux de 5 à 10 cm, radicelles.

Prélèvements

Mobilier  Tamisage

Faune Lithique Céramique Terre crue-cuite Métal Restes humains

Industrie osseuse Macroolithique Pierres (en g) Parure Autres

Malacofaune Microfaune Carporesses Anthracorestes

Négatif

OA9785 - Clos de Roque - Saint-Maximin-la-Sainte-Baume - Var - 2011

Numéro de structure ST2119 Secteur K09 Type de structure Trou de poteau

Date de fouille 29/06/2011 Minutes 614 - 638

Photos 1274 - 1289

Points topographiques PT0765 - PT6143 à PT6150 - PT6192

X (Lambert III) 88556.38 \* (m) Y (Lambert III) 134860.55

Altitude supérieure 286.12 Altitude inférieure 286.01

forme en coupe B2 forme en plan Circulaire

UPS de scellement UPS2 UPS encaissants UPS3

diamètre à l'ouverture\* 0.2 x diamètre maximal\* 0.2

profondeur observée\* 0.11 Volume estimé (m3) 0.0035

coupe ST coupée par ST

Protocole de fouille Moitié Sud : fouille par passes manuelles  
Moitié Nord : fouille par passes manuelles

Notes sur la structure Trou de poteau.

Comblement N-naturel Datation Néo/Proto

Légendes de la coupe US1 : sédiment argilo-limoneux de couleur brun foncé, compact et homogène, granules blancs millimétriques peu abondants, racines et radicelles dans la partie supérieure.

Prélèvements

Mobilier  Tamisage

Faune Lithique Céramique Terre crue-cuite Métal Restes humains

Industrie osseuse Macroolithique Pierres (en g) Parure Autres

Malacofaune Microfaune Carporesses Anthracorestes

Négatif

OA9785 - Clos de Roque - Saint-Maximin-la-Sainte-Baume - Var - 2011

Numéro de structure ST2120 Secteur L09 Type de structure Trou de poteau

Date de fouille 29/06/2011 Minutes 615 - 639

Photos 1273 - 1291

Points topographiques PT0766 - PT6135 à PT6142 - PT6193

X (Lambert III) 88554.13 \* (m) Y (Lambert III) 134859.83

Altitude supérieure 286.14 Altitude inférieure 286.05

forme en coupe B2 forme en plan Circulaire

UPS de scellement UPS2 UPS encaissants UPS3

diamètre à l'ouverture\* 0.15 x 0.15 diamètre maximal\* 0.15

profondeur observée\* 0.09 Volume estimé (m3) 0.0064

coupe ST coupée par ST

Protocole de fouille Moitié Sud : fouille par passes à la pelle mécanique  
Moitié Nord : fouille par passes manuelles

Notes sur la structure Trou de poteau.

Comblement N-naturel Datation Néo/Proto

Légendes de la coupe US1 : sédiment argilo-limoneux de couleur brun foncé, compact et homogène, granules blancs millimétriques peu abondants, racines et radicelles dans la partie supérieure.

Prélèvements

Mobilier  Tamisage

Faune Lithique Céramique Terre crue-cuite Métal Restes humains

Industrie osseuse Macroolithique Pierres (en g) Parure Autres

Malacofaune Microfaune Carporesses Anthracorestes

Négatif

OA9785 - Clos de Roque - Saint-Maximin-la-Sainte-Baume - Var - 2011

Numéro de structure ST2121 Secteur K08 Type de structure Terrier

Date de fouille 29/06/2011 Minutes

Photos

Points topographiques PT0767

X (Lambert III) 885543.29 \* (m) Y (Lambert III) 134861.49

Altitude supérieure 286.2 Altitude inférieure 286.05

forme en coupe forme en plan

UPS de scellement UPS2 UPS encaissants UPS3

diamètre à l'ouverture\* 0.8 x 0.8 diamètre maximal\* 0.8

profondeur observée\* 0.15 Volume estimé (m3)

coupe ST coupée par ST

Protocole de fouille Moitié Sud : fouille par passes à la pelle mécanique  
Moitié Nord : fouille par passes manuelles

Notes sur la structure Terrier

Comblement N-naturel Datation Néant

Légendes de la coupe Sédiment limono-argileux brun, meuble, quelques galets de 1 à 2 cm, radicelles.

Prélèvements

Mobilier  Tamisage

Faune Lithique Céramique Terre crue-cuite Métal Restes humains

Industrie osseuse Macroolithique Pierres (en g) Parure Autres

Malacofaune Microfaune Carporesses Anthracorestes

Annexe 3 - Le Clos de Roque, Saint-Maximin-la-Sainte-Baume (83). Inventaire des structures identifiées au décapage par fiches comprenant les indications des points topographiques, des minutes, des prélèvements et des photographies numériques de références.

Négatif <input type="checkbox"/>		OA9785 - Clos de Roque - Saint-Maximin-la-Sainte-Baume - Var - 2011	
Numéro de structure Date de fouille Photos	ST2122 30/05/2011 0277 - 0287 - 0291	Secteur Minutes	L08 111 - 112 - 113
Points topographiques PT0768 - PT1949 à PT1954 - PT1991 à PT2029			
X (Lambert III) Altitude supérieure forme en coupe UPS de scellement diamètre à l'ouverture* profondeur observée* coupe ST	885542.73 286.32 B2 UPS2 1.45 0.18 coupe par ST	* (m) Altitude inférieure forme en plan UPS encaissants diamètre maximal* Volume estimé (m3) coupée par ST	Y (Lambert III) 134855.21 286.22 Longiligne UPS3 1.45 0.1435 coupe par ST
Protocole de fouille Moitié Sud : fouille par passes à la pelle mécanique Moitié Nord : fouille par passes manuelles			
Notes sur la structure Fosse longiligne à trous de piquets.			
Comblement N-naturel Datation Bronze ancien phase 2			
Légendes de la coupe US1 : sédiment argilo-limoneux de couleur brun foncé, compact et homogène, granules blancs millimétriques peu abondants, racines et radicelles dans la partie supérieure. US2 : mélange de sédiment de l'US1 et de l'UPS3.			
Prélèvements			
Mobilier			
Faune Industrie osseuse Malacofaune Présence	Lithique Macrolithique Microfaune Présence	Céramique Pierres (en g) Carporesses Présence	Terre crue-cuite Parure Anthracorestes Présence
<input type="checkbox"/> 5 <input type="checkbox"/> <input type="checkbox"/>	<input type="checkbox"/> 2 <input type="checkbox"/> <input type="checkbox"/>	<input type="checkbox"/> 22 <input type="checkbox"/> <input type="checkbox"/>	<input checked="" type="checkbox"/> Tamisage <input type="checkbox"/> Restes humains <input type="checkbox"/> <input type="checkbox"/>

Négatif <input type="checkbox"/>		OA9785 - Clos de Roque - Saint-Maximin-la-Sainte-Baume - Var - 2011	
Numéro de structure Date de fouille Photos	ST2123 26/05/2011 0247 - 0250 - 0264	Secteur Minutes	L08 97 - 98 - 99
Points topographiques PT0769 - PT1682 - PT1701 - PT1702 - PT1799 à PT1801 - PT1814 à PT1835			
X (Lambert III) Altitude supérieure forme en coupe UPS de scellement diamètre à l'ouverture* profondeur observée* coupe ST	885543.29 286.28 C UPS2 1.54 0.17 coupe par ST	* (m) Altitude inférieure forme en plan UPS encaissants diamètre maximal* Volume estimé (m3) coupée par ST	Y (Lambert III) 134857.41 286.12 Polylobée UPS3 1.54 0.258 coupe par ST
Protocole de fouille Moitié Sud : fouille par passes manuelles Moitié Nord : fouille par passes manuelles			
Notes sur la structure Fosse polylobée. Extraction de terre ? Recoupe le TP ST2265			
Comblement N-naturel Datation Bronze ancien phase 2			
Légendes de la coupe US1 : sédiment argilo-limoneux de couleur brun foncé, compact et homogène, inclusions d'UPS3 peu abondantes, racines et radicelles dans la partie supérieure. US2 : mélange de sédiment de l'US1 et de l'UPS3.			
Prélèvements			
Mobilier			
Faune Industrie osseuse Malacofaune Présence	Lithique Macrolithique Microfaune Présence	Céramique Pierres (en g) Carporesses Présence	Terre crue-cuite Parure Anthracorestes Présence
<input type="checkbox"/> 17 <input type="checkbox"/> <input type="checkbox"/>	<input type="checkbox"/> 2 <input type="checkbox"/> <input type="checkbox"/>	<input type="checkbox"/> 24 <input type="checkbox"/> <input type="checkbox"/>	<input checked="" type="checkbox"/> Tamisage <input type="checkbox"/> Restes humains <input type="checkbox"/> <input type="checkbox"/> fossile

Négatif <input type="checkbox"/>		OA9785 - Clos de Roque - Saint-Maximin-la-Sainte-Baume - Var - 2011	
Numéro de structure Date de fouille Photos	ST2124 25/05/2011 0236 - 0241 - 0244	Secteur Minutes	L08 83 - 84 - 85
Points topographiques PT0770 - PT1648 à PT1653 - PT1686 à PT1696			
X (Lambert III) Altitude supérieure forme en coupe UPS de scellement diamètre à l'ouverture* profondeur observée* coupe ST	885542.81 286.21 A4 UPS2 0.36 0.32 coupe par ST	* (m) Altitude inférieure forme en plan UPS encaissants diamètre maximal* Volume estimé (m3) coupée par ST	Y (Lambert III) 134859.7 285.87 Circulaire UPS3 0.47 0.0422 coupe par ST
Protocole de fouille Moitié Sud : fouille par passes manuelles Moitié Nord : fouille par passes manuelles			
Notes sur la structure Fosse en ampoule, sans doute remplissage naturel, effondrement des parois. Galerie de terrier qui traverse la structure, 3 passages (Nord, Est, Ouest).			
Comblement N-naturel Datation Bronze ancien phase 2			
Légendes de la coupe US1 : sédiment argilo-limoneux de couleur brun foncé, compact et homogène, cailloux de 10 à 15 cm, racines et radicelles dans la partie supérieure. US2 : mélange de sédiment de l'US1 et de l'UPS3 (effondrement des parois).			
Prélèvements PR48 (PT3103) : carpologie			
Mobilier			
Faune Industrie osseuse Malacofaune Présence	Lithique Macrolithique Microfaune Présence	Céramique Pierres (en g) Carporesses Présence	Terre crue-cuite Parure Anthracorestes Présence
<input type="checkbox"/> 3 <input type="checkbox"/> <input type="checkbox"/>	<input type="checkbox"/> 4 <input type="checkbox"/> <input type="checkbox"/>	<input type="checkbox"/> 2 <input type="checkbox"/> <input type="checkbox"/>	<input checked="" type="checkbox"/> Tamisage <input type="checkbox"/> Restes humains <input type="checkbox"/> <input type="checkbox"/>

Négatif <input type="checkbox"/>		OA9785 - Clos de Roque - Saint-Maximin-la-Sainte-Baume - Var - 2011	
Numéro de structure Date de fouille Photos	ST2125 25/05/2011 0242 - 0248 - 0255	Secteur Minutes	L08 92 - 93 - 94
Points topographiques PT0771 - PT1673 à PT1678 - PT1784 à PT1798			
X (Lambert III) Altitude supérieure forme en coupe UPS de scellement diamètre à l'ouverture* profondeur observée* coupe ST	885541.19 286.27 F2 UPS2 1.05 0.35 coupe par ST	* (m) Altitude inférieure forme en plan UPS encaissants diamètre maximal* Volume estimé (m3) coupée par ST	Y (Lambert III) 134858.79 285.97 Circulaire UPS3 1.05 0.3031 coupe par ST
Protocole de fouille Moitié Sud : fouille par passes manuelles Moitié Nord : fouille par passes manuelles			
Notes sur la structure fosse tronconique à profil irrégulier			
Comblement N-naturel Datation Bronze ancien phase 2			
Légendes de la coupe US1 : sédiment argilo-limoneux de couleur brun foncé, compact et homogène, cailloux de 2 à 7 cm, granules blancs millimétriques peu abondants, charbons millimétriques peu abondants, racines et radicelles dans la partie supérieure. US2 : mélange de sédiment de l'US1 et de l'UPS3 (effondrement parois).			
Prélèvements			
Mobilier			
Faune Industrie osseuse Malacofaune Présence	Lithique Macrolithique Microfaune Présence	Céramique Pierres (en g) Carporesses Présence	Terre crue-cuite Parure Anthracorestes Présence
<input type="checkbox"/> 1 <input type="checkbox"/> <input type="checkbox"/>	<input type="checkbox"/> 19 <input type="checkbox"/> <input type="checkbox"/>	<input type="checkbox"/> 19 <input type="checkbox"/> <input type="checkbox"/>	<input checked="" type="checkbox"/> Tamisage <input type="checkbox"/> Restes humains <input type="checkbox"/> <input type="checkbox"/>

Annexe 3 - Le Clos de Roque, Saint-Maximin-la-Sainte-Baume (83). Inventaire des structures identifiées au décapage par fiches comprenant les indications des points topographiques, des minutes, des prélèvements et des photographies numériques de références.

Négatif

OA9785 - Clos de Roque - Saint-Maximin-la-Sainte-Baume - Var - 2011

Numéro de structure ST2126 Secteur L08 Type de structure Fosse

Date de fouille 30/05/2011 Minutes 126 - 127 - 128

Photos 0288 - 0306 - 0325

Points topographiques PT0772 - PT1949 - PT2034 à PT2034 - PT2235 à PT2246

X (Lambert III) 885541.51 Y (Lambert III) 134856.35

Altitude supérieure 286.34 Altitude inférieure 286.13

forme en coupe B2 forme en plan Circulaire

UPS de scellement UPS2 UPS encaissants UPS3

diamètre à l'ouverture\* 0.9 x diamètre maximal\* 0.9

profondeur observée\* 0.24 Volume estimé (m3) 0.1527

coupe ST coupée par ST

Protocole de fouille Moitié Sud : fouille par passes manuelles  
Moitié Nord : fouille par passes manuelles

Notes sur la structure Fosse tronconique

Comblement N-naturel Datation Bronze ancien phase 2

Légendes de la coupe US1 : sédiment argilo-limoneux de couleur brun foncé, compact et homogène, cailloux de 1 à 3 cm, granules blancs millimétriques abondants, racines et radicelles dans la partie supérieure.  
US2 : mélange de sédiment de l'US1 et de l'UPS3 (effondrement parois).

Prélèvements

Mobilier  Tamisage

Faune	Lithique	Céramique	Terre crue-cuite	Métal	Restes humains
37	1	19			
Industrie osseuse	Macrolithique	Pierres (en g)	Parure	Autres	
		6		quartzite, galets	
Malacofaune	Microfaune	Carporesses	Anthracorestes		
Présence					

Négatif

OA9785 - Clos de Roque - Saint-Maximin-la-Sainte-Baume - Var - 2011

Numéro de structure ST2127 Secteur L08 Type de structure Fosse

Date de fouille 31/05/2011 Minutes 114 - 115 - 116

Photos 0290 - 0302 - 0307

Points topographiques PT0773 - PT1971 à PT1974 - PT1989 - PT1990 - PT2102 à PT2124

X (Lambert III) 885538.89 Y (Lambert III) 134856.47

Altitude supérieure 286.33 Altitude inférieure 286.14

forme en coupe C forme en plan Longiligne

UPS de scellement UPS2 UPS encaissants UPS3

diamètre à l'ouverture\* 2.06 x diamètre maximal\* 0.66

profondeur observée\* 0.25 Volume estimé (m3) 0.3399

coupe ST coupée par ST

Protocole de fouille Moitié Sud : fouille par passes manuelles  
Moitié Nord : fouille par passes manuelles

Notes sur la structure Fosse longiligne en forme de boomerang, diamètre à l'ouverture (2.06 x 0.66 m) calcaires et calcites brûlées

Comblement N-naturel Datation Bronze ancien phase 2

Légendes de la coupe US1 : sédiment argilo-limoneux de couleur brun foncé, compact et homogène, granules blancs millimétriques peu abondants, racines et radicelles dans la partie supérieure.  
US2 : mélange de sédiment de l'US1 et de l'UPS3.

Prélèvements

Mobilier  Tamisage

Faune	Lithique	Céramique	Terre crue-cuite	Métal	Restes humains
20	9	45	Présence		
Industrie osseuse	Macrolithique	Pierres (en g)	Parure	Autres	
		102		calcite	
Malacofaune	Microfaune	Carporesses	Anthracorestes		
Présence			Présence		

Négatif

OA9785 - Clos de Roque - Saint-Maximin-la-Sainte-Baume - Var - 2011

Numéro de structure ST2128 Secteur L08 Type de structure Fosse

Date de fouille 31/05/2011 Minutes 121 - 122 - 123

Photos 0299 - 0305 - 0317

Points topographiques PT0774 - PT2066 à PT2071 - PT2136 à PT2145

X (Lambert III) 885540 Y (Lambert III) 134858.63

Altitude supérieure 286.33 Altitude inférieure 286.18

forme en coupe C forme en plan Ovale

UPS de scellement UPS2 UPS encaissants UPS3

diamètre à l'ouverture\* 1.09 x diamètre maximal\* 0.85

profondeur observée\* 0.15 Volume estimé (m3) 0.1108

coupe ST ST2125 coupée par ST ST2129

Protocole de fouille Moitié Sud : fouille par passes manuelles  
Moitié Nord : fouille par passes manuelles

Notes sur la structure Fosse ovale à fond en cuvette, diamètre à l'ouverture 1.09 x 0.85 m. Elle recoupe ST2125 et est coupée par ST2129. Présence d'un clou en surface, en lien avec le labour profond. calcaires et calcites brûlées

Comblement N-naturel Datation Bronze ancien phase 2

Légendes de la coupe US1 : sédiment argilo-limoneux de couleur brun foncé, compact et homogène, granules blancs millimétriques peu abondants, racines et radicelles dans la partie supérieure.  
US2 : mélange de sédiment de l'US1 et de l'UPS3.

Prélèvements

Mobilier  Tamisage

Faune	Lithique	Céramique	Terre crue-cuite	Métal	Restes humains
12	1	21	Présence		
Industrie osseuse	Macrolithique	Pierres (en g)	Parure	Autres	
	Frgt percuteur	102		calcite, galets, clou	
Malacofaune	Microfaune	Carporesses	Anthracorestes		
Présence			Présence		

Négatif

OA9785 - Clos de Roque - Saint-Maximin-la-Sainte-Baume - Var - 2011

Numéro de structure ST2129 Secteur L08 Type de structure Fosse

Date de fouille 26/05/2011 Minutes 108 - 109 - 110

Photos 0243 - 0259 - 0289

Points topographiques PT0775 - PT1680 à PT1685 - PT1975 à PT1988

X (Lambert III) 885540.55 Y (Lambert III) 134859.99

Altitude supérieure 286.27 Altitude inférieure 285.98

forme en coupe C forme en plan Circulaire

UPS de scellement UPS2 UPS encaissants UPS3

diamètre à l'ouverture\* 2.13 x diamètre maximal\* 2.13

profondeur observée\* 0.21 Volume estimé (m3) 0.7483

coupe ST ST2128 et ST2125 coupée par ST

Protocole de fouille Moitié Sud : fouille par passes manuelles  
Moitié Nord : fouille par passes manuelles

Notes sur la structure Fosse circulaire à fond en cuvette, diamètre à l'ouverture (2.13 x 2 m). Elle coupe ST2125 et ST2128. calcaires et calcites brûlées

Comblement N-naturel Datation Bronze ancien phase 2

Légendes de la coupe US1 : sédiment argilo-limoneux de couleur brun foncé, compact et homogène, racines et radicelles dans la partie supérieure.  
US2 : mélange de sédiment de l'US1 et de l'UPS3.

Prélèvements

Mobilier  Tamisage

Faune	Lithique	Céramique	Terre crue-cuite	Métal	Restes humains
60	1	68	Présence		
Industrie osseuse	Macrolithique	Pierres (en g)	Parure	Autres	
		661	coquillage	calcite, galets	
Malacofaune	Microfaune	Carporesses	Anthracorestes		
Présence			Présence		

Annexe 3 - Le Clos de Roque, Saint-Maximin-la-Sainte-Baume (83). Inventaire des structures identifiées au décapage par fiches comprenant les indications des points topographiques, des minutes, des prélèvements et des photographies numériques de références.

<p>Négatif <input type="checkbox"/></p> <p style="text-align: center;">OA9785 - Clos de Roque - Saint-Maximin-la-Sainte-Baume - Var - 2011</p> <p>Numéro de structure <input type="text" value="ST2130"/> Secteur <input type="text" value="L07"/> Type de structure <input type="text" value="Tranchée de plantation"/></p> <p>Date de fouille <input type="text" value="29/06/2011"/> Minutes <input type="text" value="124 - 125"/></p> <p>Photos <input type="text" value="0315 - 0331 - 0332"/></p> <p>Points topographiques <input type="text" value="PT0776 - PT2126 à PT2131 - PT2213 à PT2234"/></p> <p>X (Lambert III) <input type="text" value="885537.27"/> * (m) Y (Lambert III) <input type="text" value="134859.99"/></p> <p>Altitude supérieure <input type="text" value="286.24"/> Altitude inférieure <input type="text" value="286.2"/></p> <p>forme en coupe <input type="text" value="C"/> forme en plan <input type="text" value="Rectangulaire"/></p> <p>UPS de scellement <input type="text" value="UPS2"/> UPS encaissants <input type="text" value="UPS3"/></p> <p>diamètre à l'ouverture* <input type="text" value="1.98"/> x <input type="text" value="0.45"/> diamètre maximal* <input type="text" value="1.98"/></p> <p>profondeur observée* <input type="text" value="0.06"/> Volume estimé (m3) <input type="text" value="0.0535"/></p> <p>coupe ST <input type="text" value=""/></p> <p>Protocole de fouille <input type="text" value="Moitié Sud : fouille par passes à la pelle mécanique&lt;br/&gt;Moitié Nord : fouille par passes manuelles"/></p> <p>Notes sur la structure <input type="text" value="Fosse de plantation moderne (1.98 x 0.45 m)"/></p> <p>Comblement <input type="text" value="N-naturel"/> Datation <input type="text" value="Historique"/></p> <p>Légendes de la coupe <input type="text" value="Sédiment limono-argileux brun, meuble, quelques galets de 1 à 2 cm, cailloux de 5 à 10 cm, radicelles."/></p> <p>Prélèvements <input type="text" value=""/></p> <p>Mobilier <input type="checkbox"/> Tamisage</p> <p>Faune <input type="text" value=""/> Lithique <input type="text" value=""/> Céramique <input type="text" value=""/> Terre crue-cuite <input type="text" value=""/> Métal <input type="text" value=""/> Restes humains <input type="text" value=""/></p> <p>Industrie osseuse <input type="text" value=""/> Macrolithique <input type="text" value=""/> Pierres (en g) <input type="text" value=""/> Parure <input type="text" value=""/> Autres <input type="text" value=""/></p> <p>Malacofaune <input type="text" value=""/> Microfaune <input type="text" value=""/> Carpocestes <input type="text" value=""/> Anthracocrestes <input type="text" value=""/></p>	<p>Négatif <input type="checkbox"/></p> <p style="text-align: center;">OA9785 - Clos de Roque - Saint-Maximin-la-Sainte-Baume - Var - 2011</p> <p>Numéro de structure <input type="text" value="ST2131"/> Secteur <input type="text" value="L07"/> Type de structure <input type="text" value="Tranchée de plantation"/></p> <p>Date de fouille <input type="text" value="02/08/2011"/> Minutes <input type="text" value="146"/></p> <p>Photos <input type="text" value=""/></p> <p>Points topographiques <input type="text" value="PT0777 - PT2374 à PT2377"/></p> <p>X (Lambert III) <input type="text" value="885535.86"/> * (m) Y (Lambert III) <input type="text" value="134858.37"/></p> <p>Altitude supérieure <input type="text" value="286.33"/> Altitude inférieure <input type="text" value="286.2"/></p> <p>forme en coupe <input type="text" value="C"/> forme en plan <input type="text" value="Rectangulaire"/></p> <p>UPS de scellement <input type="text" value="UPS2"/> UPS encaissants <input type="text" value="UPS3"/></p> <p>diamètre à l'ouverture* <input type="text" value="1.2"/> x <input type="text" value=""/> diamètre maximal* <input type="text" value="1.2"/></p> <p>profondeur observée* <input type="text" value="0.13"/> Volume estimé (m3) <input type="text" value="0.0593"/></p> <p>coupe ST <input type="text" value="2132"/></p> <p>Protocole de fouille <input type="text" value="Moitié Sud : fouille par passes à la pelle mécanique&lt;br/&gt;Moitié Nord : fouille par passes manuelles"/></p> <p>Notes sur la structure <input type="text" value="Fosse de plantation moderne (1.2 x 0.38 m)"/></p> <p>Comblement <input type="text" value="N-naturel"/> Datation <input type="text" value="Historique"/></p> <p>Légendes de la coupe <input type="text" value="Sédiment limono-argileux brun, meuble, quelques galets de 1 à 2 cm, radicelles."/></p> <p>Prélèvements <input type="text" value=""/></p> <p>Mobilier <input type="checkbox"/> Tamisage</p> <p>Faune <input type="text" value=""/> Lithique <input type="text" value=""/> Céramique <input type="text" value=""/> Terre crue-cuite <input type="text" value=""/> Métal <input type="text" value=""/> Restes humains <input type="text" value=""/></p> <p>Industrie osseuse <input type="text" value=""/> Macrolithique <input type="text" value=""/> Pierres (en g) <input type="text" value=""/> Parure <input type="text" value=""/> Autres <input type="text" value=""/></p> <p>Malacofaune <input type="text" value=""/> Microfaune <input type="text" value=""/> Carpocestes <input type="text" value=""/> Anthracocrestes <input type="text" value=""/></p>
<p>Négatif <input type="checkbox"/></p> <p style="text-align: center;">OA9785 - Clos de Roque - Saint-Maximin-la-Sainte-Baume - Var - 2011</p> <p>Numéro de structure <input type="text" value="ST2132"/> Secteur <input type="text" value="L07"/> Type de structure <input type="text" value="Fosse"/></p> <p>Date de fouille <input type="text" value="02/06/2011"/> Minutes <input type="text" value="185 - 186 - 187"/></p> <p>Photos <input type="text" value="0368 - 0380 - 0395 - 0418"/></p> <p>Points topographiques <input type="text" value="PT0778 - PT2340 à PT2345 - PT2684 à PT2694"/></p> <p>X (Lambert III) <input type="text" value="885535.14"/> * (m) Y (Lambert III) <input type="text" value="134857.46"/></p> <p>Altitude supérieure <input type="text" value="286.3"/> Altitude inférieure <input type="text" value="285.99"/></p> <p>forme en coupe <input type="text" value="C"/> forme en plan <input type="text" value="Circulaire"/></p> <p>UPS de scellement <input type="text" value="UPS2"/> UPS encaissants <input type="text" value="UPS3"/></p> <p>diamètre à l'ouverture* <input type="text" value="1.72"/> x <input type="text" value=""/> diamètre maximal* <input type="text" value="1.72"/></p> <p>profondeur observée* <input type="text" value="0.31"/> Volume estimé (m3) <input type="text" value="0.7203"/></p> <p>coupe ST <input type="text" value=""/></p> <p>Protocole de fouille <input type="text" value="Moitié Sud : fouille par passes manuelles&lt;br/&gt;Moitié Nord : fouille par passes manuelles"/></p> <p>Notes sur la structure <input type="text" value="Fosse circulaire à fond en cuvette. Elle est coupée, mais à peine entamée, par ST2131 et ST2272. calcite"/></p> <p>Comblement <input type="text" value="N-naturel"/> Datation <input type="text" value="Bronze ancien phase 2"/></p> <p>Légendes de la coupe <input type="text" value="US1 : sédiment argilo-limoneux de couleur brun foncé, compact et homogène, racines et radicelles dans la partie supérieure.&lt;br/&gt;US2 : mélange de sédiment de l'US1 et de l'UPS3."/></p> <p>Prélèvements <input type="text" value=""/></p> <p>Mobilier <input type="checkbox"/> Tamisage</p> <p>Faune <input type="text" value="109"/> Lithique <input type="text" value="15"/> Céramique <input type="text" value="42"/> Terre crue-cuite <input type="text" value=""/> Métal <input type="text" value=""/> Restes humains <input type="text" value=""/></p> <p>Industrie osseuse <input type="text" value=""/> Macrolithique <input type="text" value=""/> Pierres (en g) <input type="text" value="15"/> Parure <input type="text" value=""/> Autres <input type="text" value="calcite, grès"/></p> <p>Malacofaune <input type="text" value="Présence"/> Microfaune <input type="text" value=""/> Carpocestes <input type="text" value=""/> Anthracocrestes <input type="text" value=""/></p>	<p>Négatif <input checked="" type="checkbox"/></p> <p style="text-align: center;">OA9785 - Clos de Roque - Saint-Maximin-la-Sainte-Baume - Var - 2011</p> <p>Numéro de structure <input type="text" value="ST2133"/> Secteur <input type="text" value="K08"/> Type de structure <input type="text" value="Terrier"/></p> <p>Date de fouille <input type="text" value="05/07/2011"/> Minutes <input type="text" value=""/></p> <p>Photos <input type="text" value=""/></p> <p>Points topographiques <input type="text" value="PT0779"/></p> <p>X (Lambert III) <input type="text" value="885535.42"/> * (m) Y (Lambert III) <input type="text" value="134854.51"/></p> <p>Altitude supérieure <input type="text" value="286.33"/> Altitude inférieure <input type="text" value="286.18"/></p> <p>forme en coupe <input type="text" value=""/> forme en plan <input type="text" value=""/></p> <p>UPS de scellement <input type="text" value="UPS2"/> UPS encaissants <input type="text" value="UPS3"/></p> <p>diamètre à l'ouverture* <input type="text" value="0.4"/> x <input type="text" value=""/> diamètre maximal* <input type="text" value="0.4"/></p> <p>profondeur observée* <input type="text" value="0.15"/> Volume estimé (m3) <input type="text" value=""/></p> <p>coupe ST <input type="text" value=""/></p> <p>Protocole de fouille <input type="text" value="Moitié Sud : fouille par passes à la pelle mécanique&lt;br/&gt;Moitié Nord : fouille par passes manuelles"/></p> <p>Notes sur la structure <input type="text" value="Terrier"/></p> <p>Comblement <input type="text" value="N-naturel"/> Datation <input type="text" value="Néant"/></p> <p>Légendes de la coupe <input type="text" value="Sédiment limono-argileux brun, meuble, quelques galets de 1 à 2 cm, radicelles."/></p> <p>Prélèvements <input type="text" value=""/></p> <p>Mobilier <input type="checkbox"/> Tamisage</p> <p>Faune <input type="text" value=""/> Lithique <input type="text" value=""/> Céramique <input type="text" value=""/> Terre crue-cuite <input type="text" value=""/> Métal <input type="text" value=""/> Restes humains <input type="text" value=""/></p> <p>Industrie osseuse <input type="text" value=""/> Macrolithique <input type="text" value=""/> Pierres (en g) <input type="text" value=""/> Parure <input type="text" value=""/> Autres <input type="text" value=""/></p> <p>Malacofaune <input type="text" value=""/> Microfaune <input type="text" value=""/> Carpocestes <input type="text" value=""/> Anthracocrestes <input type="text" value=""/></p>

Annexe 3 - Le Clos de Roque, Saint-Maximin-la-Sainte-Baume (83). Inventaire des structures identifiées au décapage par fiches comprenant les indications des points topographiques, des minutes, des prélèvements et des photographies numériques de références.



<p>Négatif <input checked="" type="checkbox"/></p> <p>OA9785 - Clos de Roque - Saint-Maximin-la-Sainte-Baume - Var - 2011</p> <p>Numéro de structure <input type="text" value="ST2134"/> Secteur <input type="text" value="K08"/> Type de structure <input type="text" value="Terrier"/></p> <p>Date de fouille <input type="text" value="05/07/2011"/> Minutes <input type="text"/></p> <p>Photos <input type="text"/></p> <p>Points topographiques <input type="text" value="PT0780"/></p> <p>X (Lambert III) <input type="text" value="885536.26"/> * (m) Y (Lambert III) <input type="text" value="134854"/></p> <p>Altitude supérieure <input type="text" value="286.32"/> Altitude inférieure <input type="text" value="286.2"/></p> <p>forme en coupe <input type="text"/> forme en plan <input type="text"/></p> <p>UPS de scellement <input type="text" value="UPS2"/> UPS encaissants <input type="text" value="UPS3"/></p> <p>diamètre à l'ouverture* <input type="text" value="0.3"/> x <input type="text"/> diamètre maximal* <input type="text" value="0.3"/></p> <p>profondeur observée* <input type="text" value="0.12"/> Volume estimé (m3) <input type="text"/></p> <p>coupe ST <input type="text"/> coupée par ST <input type="text"/></p> <p>Protocole de fouille <input type="text" value="Moitié Sud : fouille par passes à la pelle mécanique"/> Moitié Nord : fouille par passes manuelles</p> <p>Notes sur la structure <input type="text" value="Terrier"/></p> <p>Comblement <input type="text" value="N-naturel"/> Datation <input type="text" value="Néant"/></p> <p>Légendes de la coupe <input type="text" value="Sédiment limono-argileux brun, meuble, quelques galets de 1 à 2 cm, radicelles."/></p> <p>Prélèvements <input type="text"/></p> <p>Mobilier <input type="checkbox"/> Tamisage</p> <p>Faune <input type="text"/> Lithique <input type="text"/> Céramique <input type="text"/> Terre crue-cuite <input type="text"/> Métal <input type="text"/> Restes humains <input type="text"/></p> <p>Industrie osseuse <input type="text"/> Macroolithique <input type="text"/> Pierres (en g) <input type="text"/> Parure <input type="text"/> Autres <input type="text"/></p> <p>Malacofaune <input type="text"/> Microfaune <input type="text"/> Carporesses <input type="text"/> Anthracocrestes <input type="text"/></p>	<p>Négatif <input checked="" type="checkbox"/></p> <p>OA9785 - Clos de Roque - Saint-Maximin-la-Sainte-Baume - Var - 2011</p> <p>Numéro de structure <input type="text" value="ST2135"/> Secteur <input type="text" value="K08"/> Type de structure <input type="text" value="Terrier"/></p> <p>Date de fouille <input type="text" value="05/07/2011"/> Minutes <input type="text"/></p> <p>Photos <input type="text"/></p> <p>Points topographiques <input type="text" value="PT0781"/></p> <p>X (Lambert III) <input type="text" value="885536.47"/> * (m) Y (Lambert III) <input type="text" value="134851.98"/></p> <p>Altitude supérieure <input type="text" value="286.35"/> Altitude inférieure <input type="text" value="286.18"/></p> <p>forme en coupe <input type="text"/> forme en plan <input type="text"/></p> <p>UPS de scellement <input type="text" value="UPS2"/> UPS encaissants <input type="text" value="UPS3"/></p> <p>diamètre à l'ouverture* <input type="text" value="0.35"/> x <input type="text"/> diamètre maximal* <input type="text" value="0.35"/></p> <p>profondeur observée* <input type="text" value="0.17"/> Volume estimé (m3) <input type="text"/></p> <p>coupe ST <input type="text"/> coupée par ST <input type="text"/></p> <p>Protocole de fouille <input type="text" value="Moitié Sud : fouille par passes à la pelle mécanique"/> Moitié Nord : fouille par passes manuelles</p> <p>Notes sur la structure <input type="text" value="Terrier"/></p> <p>Comblement <input type="text" value="N-naturel"/> Datation <input type="text" value="Néant"/></p> <p>Légendes de la coupe <input type="text" value="Sédiment limono-argileux brun, meuble, quelques galets de 1 à 2 cm, radicelles."/></p> <p>Prélèvements <input type="text"/></p> <p>Mobilier <input type="checkbox"/> Tamisage</p> <p>Faune <input type="text"/> Lithique <input type="text"/> Céramique <input type="text"/> Terre crue-cuite <input type="text"/> Métal <input type="text"/> Restes humains <input type="text"/></p> <p>Industrie osseuse <input type="text"/> Macroolithique <input type="text"/> Pierres (en g) <input type="text"/> Parure <input type="text"/> Autres <input type="text"/></p> <p>Malacofaune <input type="text"/> Microfaune <input type="text"/> Carporesses <input type="text"/> Anthracocrestes <input type="text"/></p>
<p>Négatif <input type="checkbox"/></p> <p>OA9785 - Clos de Roque - Saint-Maximin-la-Sainte-Baume - Var - 2011</p> <p>Numéro de structure <input type="text" value="ST2136"/> Secteur <input type="text" value="L08"/> Type de structure <input type="text" value="Fosse"/></p> <p>Date de fouille <input type="text" value="31/05/2011"/> Minutes <input type="text" value="179 - 180 - 181 - 182 - 183 - 184 - 185 - 186"/></p> <p>Photos <input type="text" value="0303 à 0304 - 0314 - 0318 à 0324 - 0333 - 0334 - 0349 - 0424"/></p> <p>Points topographiques <input type="text" value="PT0782 - PT2079 à PT2097 - PT2608 à PT2618"/></p> <p>X (Lambert III) <input type="text" value="885540.37"/> * (m) Y (Lambert III) <input type="text" value="134853.79"/></p> <p>Altitude supérieure <input type="text" value="286.49"/> Altitude inférieure <input type="text" value="286.26"/></p> <p>forme en coupe <input type="text" value="B2"/> forme en plan <input type="text" value="Circulaire"/></p> <p>UPS de scellement <input type="text" value="UPS2"/> UPS encaissants <input type="text" value="UPS3"/></p> <p>diamètre à l'ouverture* <input type="text" value="1.65"/> x <input type="text"/> diamètre maximal* <input type="text" value="1.65"/></p> <p>profondeur observée* <input type="text" value="0.23"/> Volume estimé (m3) <input type="text" value="0.4918"/></p> <p>coupe ST <input type="text"/> coupée par ST <input type="text" value="ST2315"/></p> <p>Protocole de fouille <input type="text" value="Moitié Sud : fouille par passes manuelles"/> Moitié Nord : fouille par passes manuelles</p> <p>Notes sur la structure <input type="text" value="Fosse circulaire à fond en cuvette. Elle est coupée par ST2315. Vase entier exposé sur place posé au fond de la fosse. calcaires brûlés"/></p> <p>Comblement <input type="text" value="N-naturel"/> Datation <input type="text" value="Bronze ancien phase 2"/></p> <p>Légendes de la coupe <input type="text" value="US1 : sédiment argilo-limoneux de couleur brun foncé, compact et homogène, racines et radicelles dans la partie supérieure.&lt;br/&gt;US2 : mélange de sédiment de l'US1 et de l'UPS3."/></p> <p>Prélèvements <input type="text"/></p> <p>Mobilier <input type="checkbox"/> Tamisage</p> <p>Faune <input type="text" value="45"/> Lithique <input type="text" value="8"/> Céramique <input type="text" value="65"/> Terre crue-cuite <input type="text"/> Métal <input type="text"/> Restes humains <input type="text"/></p> <p>Industrie osseuse <input type="text"/> Macroolithique <input type="text"/> Pierres (en g) <input type="text"/> Parure <input type="text"/> Autres <input type="text" value="calcite"/></p> <p>Malacofaune <input type="text"/> Microfaune <input type="text"/> Carporesses <input type="text"/> Anthracocrestes <input type="text"/></p> <p>Présence <input type="text"/> <input type="text"/> <input type="text"/> <input type="text"/> <input type="text"/></p>	<p>Négatif <input checked="" type="checkbox"/></p> <p>OA9785 - Clos de Roque - Saint-Maximin-la-Sainte-Baume - Var - 2011</p> <p>Numéro de structure <input type="text" value="ST2137"/> Secteur <input type="text" value="K08"/> Type de structure <input type="text" value="Terrier"/></p> <p>Date de fouille <input type="text" value="29/06/2011"/> Minutes <input type="text"/></p> <p>Photos <input type="text" value="1299"/></p> <p>Points topographiques <input type="text" value="PT0783"/></p> <p>X (Lambert III) <input type="text" value="885540.95"/> * (m) Y (Lambert III) <input type="text" value="134862.42"/></p> <p>Altitude supérieure <input type="text" value="286.18"/> Altitude inférieure <input type="text" value="286.1"/></p> <p>forme en coupe <input type="text"/> forme en plan <input type="text"/></p> <p>UPS de scellement <input type="text" value="UPS2"/> UPS encaissants <input type="text" value="UPS3"/></p> <p>diamètre à l'ouverture* <input type="text" value="0.70"/> x <input type="text"/> diamètre maximal* <input type="text" value="0.70"/></p> <p>profondeur observée* <input type="text" value="0.08"/> Volume estimé (m3) <input type="text"/></p> <p>coupe ST <input type="text"/> coupée par ST <input type="text"/></p> <p>Protocole de fouille <input type="text" value="Moitié Sud : fouille par passes à la pelle mécanique"/> Moitié Nord : fouille par passes manuelles</p> <p>Notes sur la structure <input type="text" value="Terrier"/></p> <p>Comblement <input type="text" value="N-naturel"/> Datation <input type="text" value="Néant"/></p> <p>Légendes de la coupe <input type="text" value="Sédiment limono-argileux brun, meuble, quelques galets de 1 à 2 cm, radicelles."/></p> <p>Prélèvements <input type="text"/></p> <p>Mobilier <input type="checkbox"/> Tamisage</p> <p>Faune <input type="text"/> Lithique <input type="text"/> Céramique <input type="text"/> Terre crue-cuite <input type="text"/> Métal <input type="text"/> Restes humains <input type="text"/></p> <p>Industrie osseuse <input type="text"/> Macroolithique <input type="text"/> Pierres (en g) <input type="text"/> Parure <input type="text"/> Autres <input type="text"/></p> <p>Malacofaune <input type="text"/> Microfaune <input type="text"/> Carporesses <input type="text"/> Anthracocrestes <input type="text"/></p>

Annexe 3 - Le Clos de Roque, Saint-Maximin-la-Sainte-Baume (83). Inventaire des structures identifiées au décapage par fiches comprenant les indications des points topographiques, des minutes, des prélèvements et des photographies numériques de références.

Négatif <input type="checkbox"/>		OA9785 - Clos de Roque - Saint-Maximin-la-Sainte-Baume - Var - 2011	
Numéro de structure Date de fouille Photos	ST2138 18/05/2011 0163 - 0168 - 0188	Secteur Minutes	K08 37 - 38 - 45
Type de structure <b>Trou de poteau</b>			
Points topographiques PT0784 - PT1196 à PT1201 - PT1352 à PT1359			
X (Lambert III) Altitude supérieure forme en coupe UPS de scellement diamètre à l'ouverture* profondeur observée* coupe ST	885542.39 286.13 B2 UPS2 0.20 0.11	* (m) Altitude inférieure forme en plan UPS encaissants diamètre maximal* Volume estimé (m3) coupée par ST	Y (Lambert III) 134864.76 285.97 Circulaire UPS3 0.20 0.0035
Protocole de fouille Moitié Sud : fouille par passes manuelles Moitié Nord : fouille par passes manuelles			
Notes sur la structure Trou de poteau.			
Comblement N-naturel Datation Bronze ancien prob			
Légendes de la coupe US1 : sédiment argilo-limoneux de couleur brun foncé, compact et homogène, racines et radicelles dans la partie supérieure. US2 : mélange des sédiments de l'US1 et de l'UPS3.			
Prélèvements			
Mobilier			
Faune Industrie osseuse Malacofaune Présence	Lithique 1 Macroolithique Microfaune Présence	Céramique Pierres (en g) Carporesses	Terre crue-cuite Parure Anthracoresites
		Métal Restes humains Autres	<input checked="" type="checkbox"/> Tamisage

Négatif <input type="checkbox"/>		OA9785 - Clos de Roque - Saint-Maximin-la-Sainte-Baume - Var - 2011	
Numéro de structure Date de fouille Photos	ST2139 18/05/2011 0152 - 0153 - 0156	Secteur Minutes	K08 25 - 28
Type de structure <b>Trou de poteau</b>			
Points topographiques PT0785 - PT1073 à PT1078 - PT1130 à PT1140 - PT1147 à PT1156			
X (Lambert III) Altitude supérieure forme en coupe UPS de scellement diamètre à l'ouverture* profondeur observée* coupe ST	885544.83 286.14 B2 UPS2 0.6 0.175	* (m) Altitude inférieure forme en plan UPS encaissants diamètre maximal* Volume estimé (m3) coupée par ST	Y (Lambert III) 134866.44 285.99 Ovale UPS3 0.6 0.0266
Protocole de fouille Moitié Sud : fouille par passes manuelles Moitié Nord : fouille par passes manuelles			
Notes sur la structure Trou de poteau qui appartient à l'Ensemble A			
Comblement N-naturel Datation Bronze ancien prob			
Légendes de la coupe US1 : sédiment argilo-limoneux de couleur brun foncé, compact et homogène, racines et radicelles dans la partie supérieure. US2 : mélange des sédiments de l'US1 et de l'UPS3.			
Prélèvements			
Mobilier			
Faune Industrie osseuse Malacofaune Présence	Lithique 3 Macroolithique Microfaune Présence	Céramique Pierres (en g) Carporesses	Terre crue-cuite Parure Anthracoresites
		Métal Restes humains Autres	<input checked="" type="checkbox"/> Tamisage

Négatif <input type="checkbox"/>		OA9785 - Clos de Roque - Saint-Maximin-la-Sainte-Baume - Var - 2011	
Numéro de structure Date de fouille Photos	ST2140 18/05/2011 0157 - 0159 - 0160	Secteur Minutes	K08 32 - 33 - 34
Type de structure <b>Trou de poteau</b>			
Points topographiques PT0786 - PT1141 à PT1146 - PT1260 à PT1286			
X (Lambert III) Altitude supérieure forme en coupe UPS de scellement diamètre à l'ouverture* profondeur observée* coupe ST	885544.67 286.15 B2 UPS2 0.47 0.225	* (m) Altitude inférieure forme en plan UPS encaissants diamètre maximal* Volume estimé (m3) coupée par ST	Y (Lambert III) 134864.61 285.94 Circulaire UPS3 0.47 0.039
Protocole de fouille Moitié Sud : fouille par passes manuelles Moitié Nord : fouille par passes manuelles			
Notes sur la structure Trou de poteau, avec une légère dépression dans le fond de la structure, sinon altitude générale à 285.99. Trou de poteau qui appartient à l'Ensemble A			
Comblement N-naturel Datation Bronze ancien prob			
Légendes de la coupe US1 : sédiment argilo-limoneux de couleur brun foncé, compact et homogène, racines et radicelles dans la partie supérieure. US2 : mélange des sédiments de l'US1 et de l'UPS3.			
Prélèvements			
Mobilier			
Faune Industrie osseuse Malacofaune Présence	Lithique 3 Macroolithique Microfaune Présence	Céramique Pierres (en g) Carporesses	Terre crue-cuite Parure Anthracoresites
		Métal Restes humains Autres	<input checked="" type="checkbox"/> Tamisage

Négatif <input type="checkbox"/>		OA9785 - Clos de Roque - Saint-Maximin-la-Sainte-Baume - Var - 2011	
Numéro de structure Date de fouille Photos	ST2141 19/05/2011 0162 - 0167 - 0173	Secteur Minutes	K08 36 - 39 - 44
Type de structure <b>Trou de poteau</b>			
Points topographiques PT0787 - PT1202 à PT1207 - PT1302 à PT1306			
X (Lambert III) Altitude supérieure forme en coupe UPS de scellement diamètre à l'ouverture* profondeur observée* coupe ST	885544.42 286.2 B2 UPS2 0.41 0.13	* (m) Altitude inférieure forme en plan UPS encaissants diamètre maximal* Volume estimé (m3) coupée par ST	Y (Lambert III) 134862.79 286.07 Ovale UPS3 0.41 0.0132
Protocole de fouille Moitié Sud : fouille par passes manuelles Moitié Nord : fouille par passes manuelles			
Notes sur la structure Trou de poteau qui appartient à l'Ensemble A			
Comblement N-naturel Datation Bronze ancien prob			
Légendes de la coupe US1 : sédiment argilo-limoneux de couleur brun foncé, compact et homogène, quelques nodules de terre cuite millimétrique, racines et radicelles dans la partie supérieure. US2 : mélange des sédiments de l'US1 et de l'UPS3.			
Prélèvements			
Mobilier			
Faune Industrie osseuse Malacofaune Présence	Lithique 3 Macroolithique Microfaune Présence	Céramique Pierres (en g) Carporesses	Terre crue-cuite Parure Anthracoresites
		Métal Restes humains Autres	<input checked="" type="checkbox"/> Tamisage

Annexe 3 - Le Clos de Roque, Saint-Maximin-la-Sainte-Baume (83). Inventaire des structures identifiées au décapage par fiches comprenant les indications des points topographiques, des minutes, des prélèvements et des photographies numériques de références.

Négatif

OA9785 - Clos de Roque - Saint-Maximin-la-Sainte-Baume - Var - 2011

Numéro de structure ST2142 Secteur K08 Type de structure Trou de poteau  
 Date de fouille 17/05/2011 Minutes 19 - 26 - 40  
 Photos 0136 - 0137 - 0144 - 0147

Points topographiques PT0788 - PT1020 à PT1023 - PT1042 à PT1043 - PT1065 à PT1072 - PT1228 à PT1235

X (Lambert III) 885546.38 \* (m) Y (Lambert III) 134862.61  
 Altitude supérieure 286.19 Altitude inférieure 285.89  
 forme en coupe B2 forme en plan Circulaire  
 UPS de scellement UPS2 UPS encaissants UPS3  
 diamètre à l'ouverture\* 0.45 x diamètre maximal\* 0.46  
 profondeur observée\* 0.29 Volume estimé (m3) 0.0461  
 coupe ST coupe par ST

Protocole de fouille Moitié Sud : fouille par passes manuelles  
 Moitié Nord : fouille par passes manuelles

Notes sur la structure Trou de poteau qui appartient à l'Ensemble A

Comblement N-naturel Datation Bronze ancien phase 2

Légendes de la coupe US1 : sédiment argilo-limoneux de couleur brun foncé, compact et homogène, racines et radicelles dans la partie supérieure.  
 US2 : mélange des sédiments de l'US1 et de l'UPS3.

Prélèvements

Mobilier  Tamisage Restes humains

Faune	Lithique	Céramique	Terre crue-cuite	Métal	Restes humains
	1	2			
Industrie osseuse	Macrolithique	Pierres (en g)	Parure	Autres	
Malacofaune	Microfaune	Carporesses	Anthracorestes		

Négatif

OA9785 - Clos de Roque - Saint-Maximin-la-Sainte-Baume - Var - 2011

Numéro de structure ST2143 Secteur K08 Type de structure Trou de poteau  
 Date de fouille 17/05/2011 Minutes 23 - 29 - 35  
 Photos 0148 - 0154 - 0161

Points topographiques PT0789 - PT1057 à PT1062 - PT1236 à PT1259

X (Lambert III) 885545.58 \* (m) Y (Lambert III) 134864.37  
 Altitude supérieure 286.14 Altitude inférieure 285.84  
 forme en coupe B2 forme en plan Circulaire  
 UPS de scellement UPS2 UPS encaissants UPS3  
 diamètre à l'ouverture\* 0.45 x diamètre maximal\* 0.45  
 profondeur observée\* 0.31 Volume estimé (m3) 0.0493  
 coupe ST coupe par ST

Protocole de fouille Moitié Sud : fouille par passes manuelles  
 Moitié Nord : fouille par passes manuelles

Notes sur la structure Trou de poteau qui appartient à l'Ensemble A

Comblement N-naturel Datation Bronze ancien phase 2

Légendes de la coupe US1 : sédiment argilo-limoneux de couleur brun foncé, compact et homogène, racines et radicelles dans la partie supérieure.  
 US2 : mélange des sédiments de l'US1 et de l'UPS3.

Prélèvements

Mobilier  Tamisage Restes humains

Faune	Lithique	Céramique	Terre crue-cuite	Métal	Restes humains
8	2	15		1	
Industrie osseuse	Macrolithique	Pierres (en g)	Parure	Autres	
Malacofaune	Microfaune	Carporesses	Anthracorestes		
Présence					

Négatif

OA9785 - Clos de Roque - Saint-Maximin-la-Sainte-Baume - Var - 2011

Numéro de structure ST2144 Secteur K08 Type de structure Trou de poteau  
 Date de fouille 16/05/2011 Minutes 18 - 30 - 31  
 Photos 0134 - 0135 - 0141 - 155

Points topographiques PT0790 - PT1016 à PT1019 - PT1208 à PT1215 - PT1030 - PT1031

X (Lambert III) 885546.56 \* (m) Y (Lambert III) 134864.39  
 Altitude supérieure 286.17 Altitude inférieure 285.9  
 forme en coupe B2 forme en plan Ovale  
 UPS de scellement UPS2 UPS encaissants UPS3  
 diamètre à l'ouverture\* 0.58 x diamètre maximal\* 0.48  
 profondeur observée\* 0.30 Volume estimé (m3) 0.0596  
 coupe ST coupe par ST

Protocole de fouille Moitié Sud : fouille par passes manuelles  
 Moitié Nord : fouille par passes manuelles

Notes sur la structure Trou de poteau qui appartient à l'Ensemble A

Comblement N-naturel Datation Bronze ancien phase 2

Légendes de la coupe US1 : sédiment argilo-limoneux de couleur brun foncé, compact et homogène, racines et radicelles dans la partie supérieure.  
 US2 : mélange des sédiments de l'US1 et de l'UPS3.

Prélèvements

Mobilier  Tamisage Restes humains

Faune	Lithique	Céramique	Terre crue-cuite	Métal	Restes humains
9	5	4			
Industrie osseuse	Macrolithique	Pierres (en g)	Parure	Autres	
Malacofaune	Microfaune	Carporesses	Anthracorestes		
Présence					

Négatif

OA9785 - Clos de Roque - Saint-Maximin-la-Sainte-Baume - Var - 2011

Numéro de structure ST2145 Secteur K08 Type de structure Trou de poteau  
 Date de fouille 16/05/2011 Minutes 17 - 24 - 27  
 Photos 0132 - 0133 - 0142 - 0145 - 151

Points topographiques PT0791 - PT1012 à PT1015 - PT1079 à PT1094 - PT1157 à PT1169 - PT1028 - PT1029

X (Lambert III) 885546.89 \* (m) Y (Lambert III) 134866.18  
 Altitude supérieure 286.18 Altitude inférieure 285.93  
 forme en coupe B2 forme en plan Circulaire  
 UPS de scellement UPS2 UPS encaissants UPS3  
 diamètre à l'ouverture\* 0.60 x diamètre maximal\* 0.60  
 profondeur observée\* 0.25 Volume estimé (m3) 0.0638  
 coupe ST coupe par ST

Protocole de fouille Moitié Sud : fouille par passes manuelles  
 Moitié Nord : fouille par passes manuelles

Notes sur la structure Bords fortement bioturbés, contours de fin de fouille qui ne correspondent pas au plan initial circulaire. Trou de poteau qui appartient à l'Ensemble A

Comblement N-naturel Datation Bronze ancien phase 2

Légendes de la coupe US1 : sédiment argilo-limoneux de couleur brun foncé, compact et homogène, racines et radicelles dans la partie supérieure.  
 US2 : mélange des sédiments de l'US1 et de l'UPS3.

Prélèvements

Mobilier  Tamisage Restes humains

Faune	Lithique	Céramique	Terre crue-cuite	Métal	Restes humains
8	2	10			
Industrie osseuse	Macrolithique	Pierres (en g)	Parure	Autres	
Malacofaune	Microfaune	Carporesses	Anthracorestes		
Présence					

Annexe 3 - Le Clos de Roque, Saint-Maximin-la-Sainte-Baume (83). Inventaire des structures identifiées au décapage par fiches comprenant les indications des points topographiques, des minutes, des prélèvements et des photographies numériques de références.

Négatif <input type="checkbox"/>		OA9785 - Clos de Roque - Saint-Maximin-la-Sainte-Baume - Var - 2011																																					
Numéro de structure Date de fouille Photos	ST2146 19/05/2011 0164 - 0175 - 0183	Secteur Minutes	K07 47 - 48 - 49																																				
Points topographiques X (Lambert III) Altitude supérieure forme en coupe UPS de scellement diamètre à l'ouverture* profondeur observée* coupe ST		PT0792 - PT1288 à PT1293 - PT1344 à PT1351 Y (Lambert III) 134867.07 Altitude inférieure 285.99 forme en plan Circulaire UPS encaissants UPS3 diamètre maximal* 0.21 Volume estimé (m3) 0.0045 coupée par ST																																					
Protocole de fouille Notes sur la structure		Moitié Sud : fouille par passes manuelles Moitié Nord : fouille par passes manuelles Trou de poteau qui appartient à un possible ensemble organisé (Ensemble A)																																					
Comblement Légendes de la coupe		N-naturel Datation Bronze ancien prob US1 : sédiment argilo-limoneux de couleur brun foncé, compact et homogène, racines et radicelles dans la partie supérieure. US2 : mélange des sédiments de l'US1 et de l'UPS3.																																					
Prélèvements		Tamisage <input checked="" type="checkbox"/>																																					
Mobilier																																							
<table border="0"> <tr> <td>Faune</td> <td>Lithique</td> <td>Céramique</td> <td>Terre crue-cuite</td> <td>Métal</td> <td>Restes humains</td> </tr> <tr> <td>1</td> <td></td> <td>2</td> <td></td> <td></td> <td></td> </tr> <tr> <td>Industrie osseuse</td> <td>Macrolithique</td> <td>Pierres (en g)</td> <td>Parure</td> <td colspan="2">Autres</td> </tr> <tr> <td></td> <td></td> <td></td> <td></td> <td colspan="2"></td> </tr> <tr> <td>Malacofaune</td> <td>Microfaune</td> <td>Carporesses</td> <td>Anthracorestes</td> <td colspan="2"></td> </tr> <tr> <td>Présence</td> <td></td> <td></td> <td></td> <td colspan="2"></td> </tr> </table>				Faune	Lithique	Céramique	Terre crue-cuite	Métal	Restes humains	1		2				Industrie osseuse	Macrolithique	Pierres (en g)	Parure	Autres								Malacofaune	Microfaune	Carporesses	Anthracorestes			Présence					
Faune	Lithique	Céramique	Terre crue-cuite	Métal	Restes humains																																		
1		2																																					
Industrie osseuse	Macrolithique	Pierres (en g)	Parure	Autres																																			
Malacofaune	Microfaune	Carporesses	Anthracorestes																																				
Présence																																							

Négatif <input type="checkbox"/>		OA9785 - Clos de Roque - Saint-Maximin-la-Sainte-Baume - Var - 2011																																					
Numéro de structure Date de fouille Photos	ST2147 19/05/2011 0176 - 0187 - 0190	Secteur Minutes	K07 50 - 51 - 52																																				
Points topographiques X (Lambert III) Altitude supérieure forme en coupe UPS de scellement diamètre à l'ouverture* profondeur observée* coupe ST		PT0793 - PT1294 à PT1299 - PT1365 à PT1372 - PT1368 à PT1381 Y (Lambert III) 134864.46 Altitude inférieure 285.96 forme en plan Ovale UPS encaissants UPS3 diamètre maximal* 0.7 Volume estimé (m3) 0.0405 coupée par ST																																					
Protocole de fouille Notes sur la structure		Moitié Sud : fouille par passes manuelles Moitié Nord : fouille par passes manuelles 2 Trous de poteau contigus. 0.34 et 0.3 m de diamètre																																					
Comblement Légendes de la coupe		N-naturel Datation Bronze ancien prob US1 : sédiment argilo-limoneux de couleur brun foncé, compact et homogène, racines et radicelles dans la partie supérieure. US2 : mélange des sédiments de l'US1 et de l'UPS3.																																					
Prélèvements		Tamisage <input checked="" type="checkbox"/>																																					
Mobilier																																							
<table border="0"> <tr> <td>Faune</td> <td>Lithique</td> <td>Céramique</td> <td>Terre crue-cuite</td> <td>Métal</td> <td>Restes humains</td> </tr> <tr> <td></td> <td></td> <td>2</td> <td></td> <td></td> <td></td> </tr> <tr> <td>Industrie osseuse</td> <td>Macrolithique</td> <td>Pierres (en g)</td> <td>Parure</td> <td colspan="2">Autres</td> </tr> <tr> <td></td> <td></td> <td></td> <td></td> <td colspan="2"></td> </tr> <tr> <td>Malacofaune</td> <td>Microfaune</td> <td>Carporesses</td> <td>Anthracorestes</td> <td colspan="2"></td> </tr> <tr> <td>Présence</td> <td></td> <td></td> <td></td> <td colspan="2"></td> </tr> </table>				Faune	Lithique	Céramique	Terre crue-cuite	Métal	Restes humains			2				Industrie osseuse	Macrolithique	Pierres (en g)	Parure	Autres								Malacofaune	Microfaune	Carporesses	Anthracorestes			Présence					
Faune	Lithique	Céramique	Terre crue-cuite	Métal	Restes humains																																		
		2																																					
Industrie osseuse	Macrolithique	Pierres (en g)	Parure	Autres																																			
Malacofaune	Microfaune	Carporesses	Anthracorestes																																				
Présence																																							

Négatif <input type="checkbox"/>		OA9785 - Clos de Roque - Saint-Maximin-la-Sainte-Baume - Var - 2011																																					
Numéro de structure Date de fouille Photos	ST2148 31/05/2011 0292 à 0295 - 0328 à 0330 - 0359 - 0388 à 0394	Secteur Minutes	K07 154 - 155 - 156 - 157 - 158																																				
Points topographiques X (Lambert III) Altitude supérieure forme en coupe UPS de scellement diamètre à l'ouverture* profondeur observée* coupe ST		PT0794 - PT2035 à PT2039 - PT2075 à PT2078 - PT2325 à PT2326 - PT2270 - PT2423 à PT2483 Y (Lambert III) 134863.96 Altitude inférieure 285.80 forme en plan Longiligne UPS encaissants UPS3 diamètre maximal* 3 Volume estimé (m3) 0.54 coupée par ST																																					
Protocole de fouille Notes sur la structure		Moitié Sud : fouille par passes manuelles Moitié Nord : fouille par passes manuelles Trous de poteau contigus dans tranchée. Tranchée palissadée recoupée par un terrier. Elle constitue une même structure avec ST2154.																																					
Comblement Légendes de la coupe		N-naturel Datation Bronze ancien phase 2 US1 : sédiment argilo-limoneux de couleur brun foncé, compact et homogène, racines et radicelles dans la partie supérieure. US2 : mélange des sédiments de l'US1 et de l'UPS3.																																					
Prélèvements		Tamisage <input checked="" type="checkbox"/>																																					
Mobilier																																							
<table border="0"> <tr> <td>Faune</td> <td>Lithique</td> <td>Céramique</td> <td>Terre crue-cuite</td> <td>Métal</td> <td>Restes humains</td> </tr> <tr> <td>11</td> <td>03</td> <td>33</td> <td></td> <td>1 fragment</td> <td></td> </tr> <tr> <td>Industrie osseuse</td> <td>Macrolithique</td> <td>Pierres (en g)</td> <td>Parure</td> <td colspan="2">Autres</td> </tr> <tr> <td></td> <td></td> <td></td> <td></td> <td colspan="2"></td> </tr> <tr> <td>Malacofaune</td> <td>Microfaune</td> <td>Carporesses</td> <td>Anthracorestes</td> <td colspan="2"></td> </tr> <tr> <td>Présence</td> <td></td> <td></td> <td></td> <td colspan="2"></td> </tr> </table>				Faune	Lithique	Céramique	Terre crue-cuite	Métal	Restes humains	11	03	33		1 fragment		Industrie osseuse	Macrolithique	Pierres (en g)	Parure	Autres								Malacofaune	Microfaune	Carporesses	Anthracorestes			Présence					
Faune	Lithique	Céramique	Terre crue-cuite	Métal	Restes humains																																		
11	03	33		1 fragment																																			
Industrie osseuse	Macrolithique	Pierres (en g)	Parure	Autres																																			
Malacofaune	Microfaune	Carporesses	Anthracorestes																																				
Présence																																							

Négatif <input type="checkbox"/>		OA9785 - Clos de Roque - Saint-Maximin-la-Sainte-Baume - Var - 2011																																					
Numéro de structure Date de fouille Photos	ST2149 06/06/2011 0397 à 0398 - 0423	Secteur Minutes	K07 194 - 195 - 196																																				
Points topographiques X (Lambert III) Altitude supérieure forme en coupe UPS de scellement diamètre à l'ouverture* profondeur observée* coupe ST		PT0795 - PT2523 à PT2528 - PT2637 à PT2674 Y (Lambert III) 134863.93 Altitude inférieure 285.90 forme en plan Circulaire UPS encaissants UPS3 diamètre maximal* 0.30 Volume estimé (m3) 0.0212 coupée par ST																																					
Protocole de fouille Notes sur la structure		Moitié Sud : fouille par passes manuelles Moitié Nord : fouille par passes manuelles Trou de poteau recoupé par un terrier provenant de ST2148, continuant en ST2271, qui rend la structure en partie illisible calcite brûlée																																					
Comblement Légendes de la coupe		N-naturel Datation Bronze ancien prob US1 : sédiment argilo-limoneux de couleur brun foncé, compact et homogène, racines et radicelles dans la partie supérieure. US2 : mélange des sédiments de l'US1 et de l'UPS3.																																					
Prélèvements		Tamisage <input checked="" type="checkbox"/>																																					
Mobilier																																							
<table border="0"> <tr> <td>Faune</td> <td>Lithique</td> <td>Céramique</td> <td>Terre crue-cuite</td> <td>Métal</td> <td>Restes humains</td> </tr> <tr> <td>04</td> <td></td> <td>06</td> <td></td> <td></td> <td></td> </tr> <tr> <td>Industrie osseuse</td> <td>Macrolithique</td> <td>Pierres (en g)</td> <td>Parure</td> <td colspan="2">Autres</td> </tr> <tr> <td></td> <td></td> <td>5</td> <td></td> <td colspan="2"></td> </tr> <tr> <td>Malacofaune</td> <td>Microfaune</td> <td>Carporesses</td> <td>Anthracorestes</td> <td colspan="2"></td> </tr> <tr> <td>Présence</td> <td></td> <td></td> <td></td> <td colspan="2"></td> </tr> </table>				Faune	Lithique	Céramique	Terre crue-cuite	Métal	Restes humains	04		06				Industrie osseuse	Macrolithique	Pierres (en g)	Parure	Autres				5				Malacofaune	Microfaune	Carporesses	Anthracorestes			Présence					
Faune	Lithique	Céramique	Terre crue-cuite	Métal	Restes humains																																		
04		06																																					
Industrie osseuse	Macrolithique	Pierres (en g)	Parure	Autres																																			
		5																																					
Malacofaune	Microfaune	Carporesses	Anthracorestes																																				
Présence																																							

Annexe 3 - Le Clos de Roque, Saint-Maximin-la-Sainte-Baume (83). Inventaire des structures identifiées au décapage par fiches comprenant les indications des points topographiques, des minutes, des prélèvements et des photographies numériques de références.

Négatif

OA9785 - Clos de Roque - Saint-Maximin-la-Sainte-Baume - Var - 2011

Numéro de structure ST2150 Secteur K07 Type de structure Terrier

Date de fouille 02/06/2011 Minutes 142

Photos 0364

Points topographiques PT0796 - PT2054 à PT2059

X (Lambert III) 885538.22 \* (m) Y (Lambert III) 134862.72

Altitude supérieure 286.23 Altitude inférieure 286.1

forme en coupe forme en plan

UPS de scellement UPS2 UPS encaissants UPS3

diamètre à l'ouverture\* 0.50 x diamètre maximal\* 0.50

profondeur observée\* 0.10 Volume estimé (m3)

coupe ST coupée par ST

Protocole de fouille Moitié Sud : fouille par passes manuelles  
Moitié Nord : fouille par passes manuelles

Notes sur la structure Terrier

Comblement N-naturel Datation Néant

Légendes de la coupe Sédiment limono-argileux brun, meuble, quelques galets de 1 à 2 cm, radicelles.

Prélèvements

Mobilier  Tamisage

Faune Lithique Céramique Terre crue-cuite Métal Restes humains

Industrie osseuse Macroolithique Pierres (en g) Parure Autres

Malacofaune Microfaune Carporesses Anthracorestes

Négatif

OA9785 - Clos de Roque - Saint-Maximin-la-Sainte-Baume - Var - 2011

Numéro de structure ST2151 Secteur K07 Type de structure Terrier

Date de fouille 02/06/2011 Minutes 144

Photos 0360

Points topographiques PT0797 - PT2060 à PT2065 - PT2327 à PT2328

X (Lambert III) 885535.85 \* (m) Y (Lambert III) 134863.35

Altitude supérieure 286.24 Altitude inférieure 286.06

forme en coupe forme en plan

UPS de scellement UPS2 UPS encaissants UPS3

diamètre à l'ouverture\* 0.30 x diamètre maximal\* 1

profondeur observée\* 0.18 Volume estimé (m3)

coupe ST coupée par ST

Protocole de fouille Moitié Sud : fouille par passes manuelles  
Moitié Nord : fouille par passes manuelles

Notes sur la structure Terrier

Comblement N-naturel Datation Néant

Légendes de la coupe Sédiment limono-argileux brun, meuble à compact, quelques galets de 1 à 2 cm, radicelles.

Prélèvements

Mobilier  Tamisage

Faune Lithique Céramique Terre crue-cuite Métal Restes humains

Industrie osseuse Macroolithique Pierres (en g) Parure Autres

Malacofaune Microfaune Carporesses Anthracorestes

Négatif

OA9785 - Clos de Roque - Saint-Maximin-la-Sainte-Baume - Var - 2011

Numéro de structure ST2152 Secteur K07 Type de structure Fosse

Date de fouille 07/06/2011 Minutes 237 - 238 - 239

Photos 0443 - 0499 - 0505 à 0506

Points topographiques PT0798 - PT2770 à PT2775 - PT3078 à PT3090

X (Lambert III) 885536.08 \* (m) Y (Lambert III) 134864.2

Altitude supérieure 286.25 Altitude inférieure 285.91

forme en coupe C forme en plan Ovale

UPS de scellement UPS2 UPS encaissants UPS3

diamètre à l'ouverture\* 0.68 x 0.56 diamètre maximal\* 0.68

profondeur observée\* 0.34 Volume estimé (m3) 0.0961

coupe ST coupée par ST ST2153

Protocole de fouille Moitié Sud : fouille par passes manuelles  
Moitié Nord : fouille par passes manuelles

Notes sur la structure Petite fosse

Comblement N-naturel Datation Néo/Proto

Légendes de la coupe US1 : sédiment argilo-limoneux de couleur brun foncé, compact et homogène, racines et radicelles dans la partie supérieure.  
US2 : mélange des sédiments de IUS1 et de IUPS3.

Prélèvements

Mobilier  Tamisage

Faune Lithique Céramique Terre crue-cuite Métal Restes humains

Industrie osseuse Macroolithique Pierres (en g) Parure Autres

Malacofaune Microfaune Carporesses Anthracorestes

Présence

Négatif

OA9785 - Clos de Roque - Saint-Maximin-la-Sainte-Baume - Var - 2011

Numéro de structure ST2153 Secteur K07 Type de structure Fosse

Date de fouille 07/06/2011 Minutes 220 - 221 - 222

Photos 0442 - 0457 - 0476 - 0506

Points topographiques PT0799 - PT2764 à PT2769 - PT2969 à PT2977

X (Lambert III) 885535.64 \* (m) Y (Lambert III) 134864.82

Altitude supérieure 286.24 Altitude inférieure 285.86

forme en coupe F1 forme en plan Circulaire

UPS de scellement UPS2 UPS encaissants UPS3

diamètre à l'ouverture\* 0.96 x 0.96 diamètre maximal\* 0.96

profondeur observée\* 0.38 Volume estimé (m3) 0.2751

coupe ST ST2152 coupée par ST

Protocole de fouille Moitié Sud : fouille par passes manuelles  
Moitié Nord : fouille par passes manuelles

Notes sur la structure Fosse

Comblement N-naturel Datation Néo/Proto

Légendes de la coupe US1 : sédiment argilo-limoneux de couleur brun foncé, compact et homogène, racines et radicelles dans la partie supérieure.  
US2 : mélange des sédiments de IUS1 et de IUPS3.

Prélèvements

Mobilier  Tamisage

Faune Lithique Céramique Terre crue-cuite Métal Restes humains

Industrie osseuse Macroolithique Pierres (en g) Parure Autres

Malacofaune Microfaune Carporesses Anthracorestes

Présence

Annexe 3 - Le Clos de Roque, Saint-Maximin-la-Sainte-Baume (83). Inventaire des structures identifiées au décapage par fiches comprenant les indications des points topographiques, des minutes, des prélèvements et des photographies numériques de références.

Négatif

OA9785 - Clos de Roque - Saint-Maximin-la-Sainte-Baume - Var - 2011

Numéro de structure  Secteur  Type de structure    
 Date de fouille  Minutes   
 Photos

Points topographiques

X (Lambert III)  \* (m) Y (Lambert III)   
 Altitude supérieure  Altitude inférieure   
 forme en coupe  forme en plan    
 UPS de scellement  UPS encaissants   
 diamètre à l'ouverture\*  x  diamètre maximal\*   
 profondeur observée\*  Volume estimé (m3)   
 coupe ST  coupée par ST

Protocole de fouille   
 Moitié Nord : fouille par passes manuelles

Notes sur la structure

Comblement  Datation

Légendes de la coupe   
 US2 : mélange des sédiments de l'US1 et de l'UPS3.

Prélèvements

Mobilier  Tamisage

Faune	Lithique	Céramique	Terre crue-cuite	Métal	Restes humains
<input type="text" value="06"/>	<input type="text" value="09"/>	<input type="text"/>	<input type="text"/>	<input type="text"/>	<input type="text"/>
Industrie osseuse	Macrolithique	Pierres (en g)	Parure	Autres	
<input type="text"/>	<input type="text"/>	<input type="text"/>	<input type="text"/>	<input type="text"/>	
Malacofaune	Microfaune	Carporesses	Anthracorestes		
<input type="text"/>	<input type="text"/>	<input type="text"/>	<input type="text"/>		
Présence					

Négatif

OA9785 - Clos de Roque - Saint-Maximin-la-Sainte-Baume - Var - 2011

Numéro de structure  Secteur  Type de structure    
 Date de fouille  Minutes   
 Photos

Points topographiques

X (Lambert III)  \* (m) Y (Lambert III)   
 Altitude supérieure  Altitude inférieure   
 forme en coupe  forme en plan    
 UPS de scellement  UPS encaissants   
 diamètre à l'ouverture\*  x  diamètre maximal\*   
 profondeur observée\*  Volume estimé (m3)   
 coupe ST  coupée par ST

Protocole de fouille   
 Moitié Nord : fouille par passes manuelles

Notes sur la structure

Comblement  Datation

Légendes de la coupe   
 US2 : mélange des sédiments de l'US1 et de l'UPS3.

Prélèvements

Mobilier  Tamisage

Faune	Lithique	Céramique	Terre crue-cuite	Métal	Restes humains
<input type="text" value="27"/>	<input type="text" value="01"/>	<input type="text" value="48"/>	<input type="text"/>	<input type="text"/>	<input type="text"/>
Industrie osseuse	Macrolithique	Pierres (en g)	Parure	Autres	
<input type="text"/>	<input type="text"/>	<input type="text"/>	<input type="text"/>	<input type="text"/>	
Malacofaune	Microfaune	Carporesses	Anthracorestes		
<input type="text"/>	<input type="text"/>	<input type="text"/>	<input type="text"/>		
Présence					

Négatif

OA9785 - Clos de Roque - Saint-Maximin-la-Sainte-Baume - Var - 2011

Numéro de structure  Secteur  Type de structure    
 Date de fouille  Minutes   
 Photos

Points topographiques

X (Lambert III)  \* (m) Y (Lambert III)   
 Altitude supérieure  Altitude inférieure   
 forme en coupe  forme en plan    
 UPS de scellement  UPS encaissants   
 diamètre à l'ouverture\*  x  diamètre maximal\*   
 profondeur observée\*  Volume estimé (m3)   
 coupe ST  coupée par ST

Protocole de fouille   
 Moitié Nord : fouille par passes manuelles

Notes sur la structure

Comblement  Datation

Légendes de la coupe   
 US2 : mélange des sédiments de l'US1 et de l'UPS3.

Prélèvements

Mobilier  Tamisage

Faune	Lithique	Céramique	Terre crue-cuite	Métal	Restes humains
<input type="text"/>	<input type="text"/>	<input type="text"/>	<input type="text"/>	<input type="text"/>	<input type="text"/>
Industrie osseuse	Macrolithique	Pierres (en g)	Parure	Autres	
<input type="text"/>	<input type="text"/>	<input type="text"/>	<input type="text"/>	<input type="text"/>	
Malacofaune	Microfaune	Carporesses	Anthracorestes		
<input type="text"/>	<input type="text"/>	<input type="text"/>	<input type="text"/>		
Présence					

Négatif

OA9785 - Clos de Roque - Saint-Maximin-la-Sainte-Baume - Var - 2011

Numéro de structure  Secteur  Type de structure    
 Date de fouille  Minutes   
 Photos

Points topographiques

X (Lambert III)  \* (m) Y (Lambert III)   
 Altitude supérieure  Altitude inférieure   
 forme en coupe  forme en plan    
 UPS de scellement  UPS encaissants   
 diamètre à l'ouverture\*  x  diamètre maximal\*   
 profondeur observée\*  Volume estimé (m3)   
 coupe ST  coupée par ST

Protocole de fouille   
 Moitié Nord : fouille par passes manuelles

Notes sur la structure

Comblement  Datation

Légendes de la coupe   
 US2 : mélange des sédiments de l'US1 et de l'UPS3.

Prélèvements

Mobilier  Tamisage

Faune	Lithique	Céramique	Terre crue-cuite	Métal	Restes humains
<input type="text" value="présence"/>	<input type="text"/>	<input type="text"/>	<input type="text"/>	<input type="text"/>	<input type="text"/>
Industrie osseuse	Macrolithique	Pierres (en g)	Parure	Autres	
<input type="text"/>	<input type="text"/>	<input type="text"/>	<input type="text"/>	<input type="text"/>	
Malacofaune	Microfaune	Carporesses	Anthracorestes		
<input type="text"/>	<input type="text"/>	<input type="text"/>	<input type="text"/>		
Présence					

Annexe 3 - Le Clos de Roque, Saint-Maximin-la-Sainte-Baume (83). Inventaire des structures identifiées au décapage par fiches comprenant les indications des points topographiques, des minutes, des prélèvements et des photographies numériques de références.

Négatif

OA9785 - Clos de Roque - Saint-Maximin-la-Sainte-Baume - Var - 2011

Numéro de structure  Secteur  Type de structure

Date de fouille  Minutes

Photos

Points topographiques

X (Lambert III)  \* (m) Y (Lambert III)

Altitude supérieure  Altitude inférieure

forme en coupe  forme en plan

UPS de scellement  UPS encaissants

diamètre à l'ouverture\*  x  diamètre maximal\*

profondeur observée\*  Volume estimé (m3)

coupe ST  coupée par ST

Protocole de fouille  
Moitié Sud : fouille par passes manuelles  
Moitié Nord : fouille par passes manuelles

Notes sur la structure  
Terrier = ST2159

Comblement  Datation

Légendes de la coupe  
Sédiment limono-argileux brun, meuble à compact, quelques galets de 1 à 2 cm, radicelles.

Prélèvements

Mobilier  Tamisage

Faune	Lithique	Céramique	Terre crue-cuite	Métal	Restes humains
<input type="text" value="1"/>	<input type="text" value=""/>	<input type="text" value=""/>	<input type="text" value=""/>	<input type="text" value=""/>	<input type="text" value=""/>
Industrie osseuse	Macrolithique	Pierres (en g)	Parure	Autres	
<input type="text" value=""/>	<input type="text" value=""/>	<input type="text" value=""/>	<input type="text" value=""/>	<input type="text" value=""/>	
Malacofaune	Microfaune	Carporesses	Anthracorestes	<input type="text" value=""/>	
<input type="text" value=""/>	<input type="text" value=""/>	<input type="text" value=""/>	<input type="text" value=""/>	<input type="text" value=""/>	

Négatif

OA9785 - Clos de Roque - Saint-Maximin-la-Sainte-Baume - Var - 2011

Numéro de structure  Secteur  Type de structure

Date de fouille  Minutes

Photos

Points topographiques

X (Lambert III)  \* (m) Y (Lambert III)

Altitude supérieure  Altitude inférieure

forme en coupe  forme en plan

UPS de scellement  UPS encaissants

diamètre à l'ouverture\*  x  diamètre maximal\*

profondeur observée\*  Volume estimé (m3)

coupe ST  coupée par ST

Protocole de fouille  
Moitié Sud : fouille par passes manuelles  
Moitié Nord : fouille par passes manuelles

Notes sur la structure  
Fosse moderne circulaire

Comblement  Datation

Légendes de la coupe  
Sédiment limono-argileux brun, meuble à compact, quelques galets de 1 à 2 cm, radicelles.

Prélèvements

Mobilier  Tamisage

Faune	Lithique	Céramique	Terre crue-cuite	Métal	Restes humains
<input type="text" value=""/>	<input type="text" value=""/>	<input type="text" value=""/>	<input type="text" value=""/>	<input type="text" value=""/>	<input type="text" value=""/>
Industrie osseuse	Macrolithique	Pierres (en g)	Parure	Autres	
<input type="text" value=""/>	<input type="text" value=""/>	<input type="text" value=""/>	<input type="text" value=""/>	<input type="text" value=""/>	
Malacofaune	Microfaune	Carporesses	Anthracorestes	<input type="text" value=""/>	
<input type="text" value=""/>	<input type="text" value=""/>	<input type="text" value=""/>	<input type="text" value=""/>	<input type="text" value=""/>	

Négatif

OA9785 - Clos de Roque - Saint-Maximin-la-Sainte-Baume - Var - 2011

Numéro de structure  Secteur  Type de structure

Date de fouille  Minutes

Photos

Points topographiques

X (Lambert III)  \* (m) Y (Lambert III)

Altitude supérieure  Altitude inférieure

forme en coupe  forme en plan

UPS de scellement  UPS encaissants

diamètre à l'ouverture\*  x  diamètre maximal\*

profondeur observée\*  Volume estimé (m3)

coupe ST  coupée par ST

Protocole de fouille  
Moitié Sud : fouille par passes manuelles  
Moitié Nord : fouille par passes manuelles

Notes sur la structure  
Terrier = ST2158

Comblement  Datation

Légendes de la coupe  
Sédiment limono-argileux brun, meuble à compact, quelques galets de 1 à 2 cm, radicelles.

Prélèvements

Mobilier  Tamisage

Faune	Lithique	Céramique	Terre crue-cuite	Métal	Restes humains
<input type="text" value=""/>	<input type="text" value=""/>	<input type="text" value=""/>	<input type="text" value=""/>	<input type="text" value=""/>	<input type="text" value=""/>
Industrie osseuse	Macrolithique	Pierres (en g)	Parure	Autres	
<input type="text" value=""/>	<input type="text" value=""/>	<input type="text" value=""/>	<input type="text" value=""/>	<input type="text" value=""/>	
Malacofaune	Microfaune	Carporesses	Anthracorestes	<input type="text" value=""/>	
<input type="text" value=""/>	<input type="text" value=""/>	<input type="text" value=""/>	<input type="text" value=""/>	<input type="text" value=""/>	

Négatif

OA9785 - Clos de Roque - Saint-Maximin-la-Sainte-Baume - Var - 2011

Numéro de structure  Secteur  Type de structure

Date de fouille  Minutes

Photos

Points topographiques

X (Lambert III)  \* (m) Y (Lambert III)

Altitude supérieure  Altitude inférieure

forme en coupe  forme en plan

UPS de scellement  UPS encaissants

diamètre à l'ouverture\*  x  diamètre maximal\*

profondeur observée\*  Volume estimé (m3)

coupe ST  coupée par ST

Protocole de fouille  
Moitié Sud : fouille par passes manuelles  
Moitié Nord : fouille par passes manuelles

Notes sur la structure  
Fosse moderne rectangulaire qui coupe ST2060 fosse moderne circulaire

Comblement  Datation

Légendes de la coupe  
Sédiment limono-argileux brun, meuble à compact, quelques galets de 1 à 2 cm, radicelles.

Prélèvements

Mobilier  Tamisage

Faune	Lithique	Céramique	Terre crue-cuite	Métal	Restes humains
<input type="text" value=""/>	<input type="text" value=""/>	<input type="text" value=""/>	<input type="text" value=""/>	<input type="text" value=""/>	<input type="text" value=""/>
Industrie osseuse	Macrolithique	Pierres (en g)	Parure	Autres	
<input type="text" value=""/>	<input type="text" value=""/>	<input type="text" value=""/>	<input type="text" value=""/>	<input type="text" value=""/>	
Malacofaune	Microfaune	Carporesses	Anthracorestes	<input type="text" value=""/>	
<input type="text" value=""/>	<input type="text" value=""/>	<input type="text" value=""/>	<input type="text" value=""/>	<input type="text" value=""/>	

Annexe 3 - Le Clos de Roque, Saint-Maximin-la-Sainte-Baume (83). Inventaire des structures identifiées au décapage par fiches comprenant les indications des points topographiques, des minutes, des prélèvements et des photographies numériques de références.

Négatif <input type="checkbox"/>		OA9785 - Clos de Roque - Saint-Maximin-la-Sainte-Baume - Var - 2011	
Numéro de structure Date de fouille Photos	ST2162 08/06/2011 0808 - 0503 - 0520 - 0506	Secteur Minutes	U07 224 - 225 - 226
Type de structure <b>Fosse</b>			
Points topographiques PT0808 - PT2867 à PT2872 - PT2988 à PT2996 - PT3174 à PT3184 - PT3018			
X (Lambert III) Altitude supérieure forme en coupe		Y (Lambert III) Altitude inférieure forme en plan	
885536.44 286.12 B2		134875.24 285.87 Circulaire	
UPS de scellement diamètre à l'ouverture* profondeur observée*		UPS encaissants diamètre maximal* Volume estimé (m3)	
UPS2 0.33 0.23		UPS3 0.33 0.0197	
coupe ST Protocole de fouille			
Moitié Sud : fouille par passes manuelles Moitié Nord : fouille par passes manuelles			
Notes sur la structure Fosse ou trou de poteau. Appartient à l'Ensemble B, trous de poteaux dessinant un plan rectangulaire nord-sud.			
Comblement Datation			
N-naturel Bronze ancien prob			
Légendes de la coupe US1 : sédiment argilo-limoneux de couleur brun foncé, compact et homogène, racines et radicelles dans la partie supérieure. US2 : mélange des sédiments de l'US1 et de l'UPS3.			
Prélèvements PR44 (PT3018) : sédiment			
Mobilier <input checked="" type="checkbox"/> Tamisage			
Faune Lithique Céramique Terre crue-cuite Métal Restes humains			
Industrie osseuse Macrolithique Pierres (en g) Parure Autres			
Malacofaune Microfaune Carporesses Anthracorestes			
Présence			

Négatif <input checked="" type="checkbox"/>		OA9785 - Clos de Roque - Saint-Maximin-la-Sainte-Baume - Var - 2011	
Numéro de structure Date de fouille Photos	ST2163 08/06/2011 Photos	Secteur Minutes	U07 Minutes
Type de structure <b>Dépression</b>			
Points topographiques PT0809			
X (Lambert III) Altitude supérieure forme en coupe		Y (Lambert III) Altitude inférieure forme en plan	
885535.74 286.14 B2		134874.65 286 B2	
UPS de scellement diamètre à l'ouverture* profondeur observée*		UPS encaissants diamètre maximal* Volume estimé (m3)	
UPS2 0.33 Profondeur observée*		UPS3 0.33 Volume estimé (m3)	
coupe ST Protocole de fouille			
Moitié Sud : fouille par passes manuelles Moitié Nord : fouille par passes manuelles			
Notes sur la structure Trou de racine			
Comblement Datation			
N-naturel Néant			
Légendes de la coupe Sédiment limono-argileux brun, meuble à compact, quelques galets de 1 à 2 cm, radicelles.			
Prélèvements			
Mobilier <input type="checkbox"/> Tamisage			
Faune Lithique Céramique Terre crue-cuite Métal Restes humains			
Industrie osseuse Macrolithique Pierres (en g) Parure Autres			
Malacofaune Microfaune Carporesses Anthracorestes			
Présence			

Négatif <input type="checkbox"/>		OA9785 - Clos de Roque - Saint-Maximin-la-Sainte-Baume - Var - 2011	
Numéro de structure Date de fouille Photos	ST2164 09/06/2011 0502 - 0508 - 0522	Secteur Minutes	U07 253 - 254 - 255
Type de structure <b>Fosse</b>			
Points topographiques PT0810 - PT3065 à PT3070 - PT3185 à PT3194 - PT3174 à PT3184			
X (Lambert III) Altitude supérieure forme en coupe		Y (Lambert III) Altitude inférieure forme en plan	
885535.09 286.17 B2		134872.95 285.87 Ovalaire	
UPS de scellement diamètre à l'ouverture* profondeur observée*		UPS encaissants diamètre maximal* Volume estimé (m3)	
UPS2 0.80 0.30		UPS3 0.80 0.1256	
coupe ST Protocole de fouille			
Moitié Sud : fouille par passes manuelles Moitié Nord : fouille par passes manuelles			
Notes sur la structure Fosse			
Comblement Datation			
N-naturel NéoProto			
Légendes de la coupe US1 : sédiment argilo-limoneux de couleur brun foncé, compact et homogène, racines et radicelles dans la partie supérieure. US2 : mélange des sédiments de l'US1 et de l'UPS3.			
Prélèvements			
Mobilier <input checked="" type="checkbox"/> Tamisage			
Faune Lithique Céramique Terre crue-cuite Métal Restes humains			
Industrie osseuse Macrolithique Pierres (en g) Parure Autres			
Malacofaune Microfaune Carporesses Anthracorestes			
Présence			

Négatif <input type="checkbox"/>		OA9785 - Clos de Roque - Saint-Maximin-la-Sainte-Baume - Var - 2011	
Numéro de structure Date de fouille Photos	ST2165 07/06/2011 0444 - 0446 - 0450	Secteur Minutes	U07 230 - 231 - 245
Type de structure <b>Trou de poteau</b>			
Points topographiques PT0811 - PT2777 à PT2782 - PT2841 à PT2860 - PT2784			
X (Lambert III) Altitude supérieure forme en coupe		Y (Lambert III) Altitude inférieure forme en plan	
885536.71 286.15 B2		134871.95 285.94 Ovalaire	
UPS de scellement diamètre à l'ouverture* profondeur observée*		UPS encaissants diamètre maximal* Volume estimé (m3)	
UPS2 0.89 0.20		UPS3 0.89 0.0872	
coupe ST Protocole de fouille			
Moitié Sud : fouille par passes manuelles Moitié Nord : fouille par passes manuelles			
Notes sur la structure double trou de poteau accolé (0.49 et 0.30 x 0.43). Appartient à l'Ensemble B, trous de poteaux dessinant un plan rectangulaire nord-sud.			
Comblement Datation			
N-naturel Bronze ancien prob			
Légendes de la coupe US1 : sédiment argilo-limoneux de couleur brun foncé, compact et homogène, racines et radicelles dans la partie supérieure. US2 : mélange des sédiments de l'US1 et de l'UPS3.			
Prélèvements PR37 (PT2784) : sédiment			
Mobilier <input checked="" type="checkbox"/> Tamisage			
Faune Lithique Céramique Terre crue-cuite Métal Restes humains			
Industrie osseuse Macrolithique Pierres (en g) Parure Autres			
Malacofaune Microfaune Carporesses Anthracorestes			
Présence			

Annexe 3 - Le Clos de Roque, Saint-Maximin-la-Sainte-Baume (83). Inventaire des structures identifiées au décapage par fiches comprenant les indications des points topographiques, des minutes, des prélèvements et des photographies numériques de références.



Négatif

OA9785 - Clos de Roque - Saint-Maximin-la-Sainte-Baume - Var - 2011

Numéro de structure ST2166 Secteur J07 Type de structure Trou de poteau  
 Date de fouille 15/06/2011 Minutes 284 - 285 - 286  
 Photos 0558 - 0567 - 0568

Points topographiques PT0812 - PT3413 à PT3416 - PT3422 à PT3423 - PT3523 à PT3536

X (Lambert III) 885536.19 \* (m) Y (Lambert III) 134870.78  
 Altitude supérieure 286.16 Altitude inférieure 285.99  
 forme en coupe B2 forme en plan Circulaire  
 UPS de scellement UPS2 UPS encaissants UPS3  
 diamètre à l'ouverture\* 0.44 x diamètre maximal\* 0.44  
 profondeur observée\* 0.17 Volume estimé (m3) 0.0258  
 coupe ST coupe par ST

Protocole de fouille Moitié Sud : fouille par passes manuelles  
 Moitié Nord : fouille par passes manuelles

Notes sur la structure Trou de poteau aux bords déformés par des bioturbations. Appartient à l'Ensemble B, trous de poteaux dessinant un plan rectangulaire nord-sud.

Comblement N-naturel Datation Bronze ancien prob

Légendes de la coupe US1 : sédiment argilo-limoneux de couleur brun foncé, compact et homogène, racines et radicelles dans la partie supérieure.  
 US2 : mélange des sédiments de l'US1 et de l'UPS3.

Prélèvements PR56 (PT3536) : sédiment

Mobilier  Tamisage Restes humains

Faune	Lithique	Céramique	Terre crue-cuite	Métal	Restes humains
Industrie osseuse	Macrolithique	Pierres (en g)	Parure	Autres	
Malacofaune	Microfaune	Carporestes	Anthracorestes		

Négatif

OA9785 - Clos de Roque - Saint-Maximin-la-Sainte-Baume - Var - 2011

Numéro de structure ST2167 Secteur J07 Type de structure Fosse  
 Date de fouille 15/06/2011 Minutes 287 - 288 - 289  
 Photos 0557 - 0592 - 0611

Points topographiques PT0813 - PT3417 à PT3420 - PT3473 à PT3474 - PT3523 à PT3536

X (Lambert III) 885535.26 \* (m) Y (Lambert III) 134871.24  
 Altitude supérieure 286.17 Altitude inférieure 285.98  
 forme en coupe C forme en plan Ovale  
 UPS de scellement UPS2 UPS encaissants UPS3  
 diamètre à l'ouverture\* 1.12 x diamètre maximal\* 1.12  
 profondeur observée\* 0.19 Volume estimé (m3) 0.1426  
 coupe ST coupée par ST

Protocole de fouille Moitié Sud : fouille par passes manuelles  
 Moitié Nord : fouille par passes manuelles

Notes sur la structure Fosse ovale

Comblement N-naturel Datation Néo/Proto

Légendes de la coupe US1 : sédiment argilo-limoneux de couleur brun foncé, compact et homogène, racines et radicelles dans la partie supérieure.  
 US2 : mélange des sédiments de l'US1 et de l'UPS3.

Prélèvements

Mobilier  Tamisage Restes humains

Faune	Lithique	Céramique	Terre crue-cuite	Métal	Restes humains
Industrie osseuse	Macrolithique	Pierres (en g)	Parure	Autres	
Malacofaune	Microfaune	Carporestes	Anthracorestes		

Négatif

OA9785 - Clos de Roque - Saint-Maximin-la-Sainte-Baume - Var - 2011

Numéro de structure ST2168 Secteur J07 Type de structure Tranchée de plantation  
 Date de fouille 29/06/2011 Minutes  
 Photos 1321

Points topographiques PT0814

X (Lambert III) 885532.76 \* (m) Y (Lambert III) 134879.94  
 Altitude supérieure 286.03 Altitude inférieure 285.98  
 forme en coupe B2 forme en plan Rectangulaire  
 UPS de scellement UPS2 UPS encaissants UPS3  
 diamètre à l'ouverture\* 0.9 x diamètre maximal\* 0.9  
 profondeur observée\* 0.05 Volume estimé (m3) 0.018  
 coupe ST coupe par ST

Protocole de fouille Moitié Sud : fouille par passes manuelles  
 Moitié Nord : fouille par passes manuelles

Notes sur la structure Fosse moderne rectangulaire

Comblement N-naturel Datation Historique

Légendes de la coupe Sédiment limono-argileux brun, meuble à compact, quelques galets de 1 à 2 cm, radicelles.

Prélèvements

Mobilier  Tamisage Restes humains

Faune	Lithique	Céramique	Terre crue-cuite	Métal	Restes humains
Industrie osseuse	Macrolithique	Pierres (en g)	Parure	Autres	
Malacofaune	Microfaune	Carporestes	Anthracorestes		

Négatif

OA9785 - Clos de Roque - Saint-Maximin-la-Sainte-Baume - Var - 2011

Numéro de structure ST2169 Secteur J07 Type de structure Tranchée de plantation  
 Date de fouille 29/06/2011 Minutes  
 Photos 1322

Points topographiques PT0815

X (Lambert III) 885531.29 \* (m) Y (Lambert III) 134880.42  
 Altitude supérieure 286.12 Altitude inférieure 285.97  
 forme en coupe B2 forme en plan Rectangulaire  
 UPS de scellement UPS2 UPS encaissants UPS3  
 diamètre à l'ouverture\* 0.95 x diamètre maximal\* 0.95  
 profondeur observée\* 0.15 Volume estimé (m3) 0.057  
 coupe ST coupe par ST

Protocole de fouille Moitié Sud : fouille par passes manuelles  
 Moitié Nord : fouille par passes manuelles

Notes sur la structure Fosse moderne rectangulaire

Comblement N-naturel Datation Historique

Légendes de la coupe Sédiment limono-argileux brun, meuble à compact, quelques galets de 1 à 2 cm, radicelles.

Prélèvements

Mobilier  Tamisage Restes humains

Faune	Lithique	Céramique	Terre crue-cuite	Métal	Restes humains
Industrie osseuse	Macrolithique	Pierres (en g)	Parure	Autres	
Malacofaune	Microfaune	Carporestes	Anthracorestes		

Annexe 3 - Le Clos de Roque, Saint-Maximin-la-Sainte-Baume (83). Inventaire des structures identifiées au décapage par fiches comprenant les indications des points topographiques, des minutes, des prélèvements et des photographies numériques de références.

<p>Négatif <input type="checkbox"/></p> <p style="text-align: center;">OA9785 - Clos de Roque - Saint-Maximin-la-Sainte-Baume - Var - 2011</p> <p>Número de structure <input type="text" value="ST2170"/> Secteur <input type="text" value="J07"/> Type de structure <input type="text" value="Tranchée de plantation"/></p> <p>Date de fouille <input type="text" value="29/06/2011"/> Minutes <input type="text"/></p> <p>Photos <input type="text"/></p> <p>Points topographiques <input type="text" value="PT0816"/></p> <p>X (Lambert III) <input type="text" value="885531.05"/> * (m) Y (Lambert III) <input type="text" value="134881.61"/></p> <p>Altitude supérieure <input type="text" value="286.12"/> Altitude inférieure <input type="text" value="285.97"/></p> <p>forme en coupe <input type="text" value="B2"/> forme en plan <input type="text" value="Rectangulaire"/></p> <p>UPS de scellement <input type="text" value="UPS2"/> UPS encaissants <input type="text" value="UPS3"/></p> <p>diamètre à l'ouverture* <input type="text" value="0.60"/> x <input type="text" value="0.35"/> diamètre maximal* <input type="text" value="0.60"/></p> <p>profondeur observée* <input type="text" value="0.05"/> Volume estimé (m3) <input type="text" value="0.0105"/></p> <p>coupe ST <input type="text"/></p> <p>Protocole de fouille <input type="text" value="Moitié Sud : fouille par passes manuelles"/> <input type="text" value="Moitié Nord : fouille par passes manuelles"/></p> <p>Notes sur la structure <input type="text" value="Fosse moderne rectangulaire"/></p> <p>Comblement <input type="text" value="N-naturel"/> Datation <input type="text" value="Historique"/></p> <p>Légendes de la coupe <input type="text" value="Sédiment limono-argileux brun, meuble à compact, quelques galets de 1 à 2 cm, radicelles."/></p> <p>Prélèvements <input type="text"/></p> <p>Mobilier <input type="checkbox"/> Tamisage</p> <p>Faune <input type="text"/> Lithique <input type="text"/> Céramique <input type="text"/> Terre crue-cuite <input type="text"/> Métal <input type="text"/> Restes humains <input type="text"/></p> <p>Industrie osseuse <input type="text"/> Macrolithique <input type="text"/> Pierres (en g) <input type="text"/> Parure <input type="text"/> Autres <input type="text"/></p> <p>Malacofaune <input type="text"/> Microfaune <input type="text"/> Carporesses <input type="text"/> Anthracorestes <input type="text"/></p>	<p>Négatif <input type="checkbox"/></p> <p style="text-align: center;">OA9785 - Clos de Roque - Saint-Maximin-la-Sainte-Baume - Var - 2011</p> <p>Número de structure <input type="text" value="ST2171"/> Secteur <input type="text" value="J07"/> Type de structure <input type="text" value="Tarière de vigne"/></p> <p>Date de fouille <input type="text" value="29/06/2011"/> Minutes <input type="text"/></p> <p>Photos <input type="text" value="1319"/></p> <p>Points topographiques <input type="text" value="PT0817"/></p> <p>X (Lambert III) <input type="text" value="885531.91"/> * (m) Y (Lambert III) <input type="text" value="134882.99"/></p> <p>Altitude supérieure <input type="text" value="286.01"/> Altitude inférieure <input type="text" value="285.96"/></p> <p>forme en coupe <input type="text" value="B2"/> forme en plan <input type="text" value="Circulaire"/></p> <p>UPS de scellement <input type="text" value="UPS2"/> UPS encaissants <input type="text" value="UPS3"/></p> <p>diamètre à l'ouverture* <input type="text" value="0.80"/> x <input type="text"/> diamètre maximal* <input type="text" value="0.80"/></p> <p>profondeur observée* <input type="text" value="0.05"/> Volume estimé (m3) <input type="text" value="0.0251"/></p> <p>coupe ST <input type="text" value="coupée par ST"/></p> <p>Protocole de fouille <input type="text" value="Moitié Sud : fouille par passes manuelles"/> <input type="text" value="Moitié Nord : fouille par passes manuelles"/></p> <p>Notes sur la structure <input type="text" value="Fosse circulaire, négatif d'une tarière à vigne ?"/></p> <p>Comblement <input type="text" value="N-naturel"/> Datation <input type="text" value="Historique"/></p> <p>Légendes de la coupe <input type="text" value="Sédiment limono-argileux brun, meuble à compact, quelques galets de 1 à 2 cm, radicelles."/></p> <p>Prélèvements <input type="text"/></p> <p>Mobilier <input type="checkbox"/> Tamisage</p> <p>Faune <input type="text"/> Lithique <input type="text"/> Céramique <input type="text"/> Terre crue-cuite <input type="text"/> Métal <input type="text"/> Restes humains <input type="text"/></p> <p>Industrie osseuse <input type="text"/> Macrolithique <input type="text"/> Pierres (en g) <input type="text"/> Parure <input type="text"/> Autres <input type="text"/></p> <p>Malacofaune <input type="text"/> Microfaune <input type="text"/> Carporesses <input type="text"/> Anthracorestes <input type="text"/></p>
<p>Négatif <input type="checkbox"/></p> <p style="text-align: center;">OA9785 - Clos de Roque - Saint-Maximin-la-Sainte-Baume - Var - 2011</p> <p>Número de structure <input type="text" value="ST2172"/> Secteur <input type="text" value="J06"/> Type de structure <input type="text" value="Fosse de plantation"/></p> <p>Date de fouille <input type="text" value="29/06/2011"/> Minutes <input type="text"/></p> <p>Photos <input type="text"/></p> <p>Points topographiques <input type="text" value="PT0818"/></p> <p>X (Lambert III) <input type="text" value="885528.5"/> * (m) Y (Lambert III) <input type="text" value="134879.28"/></p> <p>Altitude supérieure <input type="text" value="286.19"/> Altitude inférieure <input type="text" value="286.12"/></p> <p>forme en coupe <input type="text" value="B2"/> forme en plan <input type="text" value="Circulaire"/></p> <p>UPS de scellement <input type="text" value="UPS2"/> UPS encaissants <input type="text" value="UPS3"/></p> <p>diamètre à l'ouverture* <input type="text" value="0.6"/> x <input type="text"/> diamètre maximal* <input type="text" value="0.60"/></p> <p>profondeur observée* <input type="text" value="0.07"/> Volume estimé (m3) <input type="text" value="0.0198"/></p> <p>coupe ST <input type="text"/></p> <p>Protocole de fouille <input type="text" value="Moitié Sud : fouille par passes manuelles"/> <input type="text" value="Moitié Nord : fouille par passes manuelles"/></p> <p>Notes sur la structure <input type="text" value="Fosse moderne circulaire"/></p> <p>Comblement <input type="text" value="N-naturel"/> Datation <input type="text" value="Historique"/></p> <p>Légendes de la coupe <input type="text" value="Sédiment limono-argileux brun, meuble à compact, quelques galets et cailloux de 1 à 5 cm, radicelles."/></p> <p>Prélèvements <input type="text"/></p> <p>Mobilier <input type="checkbox"/> Tamisage</p> <p>Faune <input type="text"/> Lithique <input type="text"/> Céramique <input type="text"/> Terre crue-cuite <input type="text"/> Métal <input type="text"/> Restes humains <input type="text"/></p> <p>Industrie osseuse <input type="text"/> Macrolithique <input type="text"/> Pierres (en g) <input type="text"/> Parure <input type="text"/> Autres <input type="text"/></p> <p>Malacofaune <input type="text"/> Microfaune <input type="text"/> Carporesses <input type="text"/> Anthracorestes <input type="text"/></p>	<p>Négatif <input type="checkbox"/></p> <p style="text-align: center;">OA9785 - Clos de Roque - Saint-Maximin-la-Sainte-Baume - Var - 2011</p> <p>Número de structure <input type="text" value="ST2173"/> Secteur <input type="text" value="J06"/> Type de structure <input type="text" value="Fosse de plantation"/></p> <p>Date de fouille <input type="text" value="29/06/2011"/> Minutes <input type="text"/></p> <p>Photos <input type="text"/></p> <p>Points topographiques <input type="text" value="PT0819"/></p> <p>X (Lambert III) <input type="text" value="885529.61"/> * (m) Y (Lambert III) <input type="text" value="134876.6"/></p> <p>Altitude supérieure <input type="text" value="286.16"/> Altitude inférieure <input type="text" value="286.11"/></p> <p>forme en coupe <input type="text" value="B2"/> forme en plan <input type="text" value="Circulaire"/></p> <p>UPS de scellement <input type="text" value="UPS2"/> UPS encaissants <input type="text" value="UPS3"/></p> <p>diamètre à l'ouverture* <input type="text" value="0.6"/> x <input type="text"/> diamètre maximal* <input type="text" value="0.60"/></p> <p>profondeur observée* <input type="text" value="0.05"/> Volume estimé (m3) <input type="text" value="0.0141"/></p> <p>coupe ST <input type="text" value="coupée par ST"/></p> <p>Protocole de fouille <input type="text" value="Moitié Sud : fouille par passes manuelles"/> <input type="text" value="Moitié Nord : fouille par passes manuelles"/></p> <p>Notes sur la structure <input type="text" value="Fosse moderne circulaire"/></p> <p>Comblement <input type="text" value="N-naturel"/> Datation <input type="text" value="Historique"/></p> <p>Légendes de la coupe <input type="text" value="Sédiment limono-argileux brun, meuble à compact, quelques galets et cailloux de 1 à 5 cm, radicelles."/></p> <p>Prélèvements <input type="text"/></p> <p>Mobilier <input type="checkbox"/> Tamisage</p> <p>Faune <input type="text"/> Lithique <input type="text"/> Céramique <input type="text"/> Terre crue-cuite <input type="text"/> Métal <input type="text"/> Restes humains <input type="text"/></p> <p>Industrie osseuse <input type="text"/> Macrolithique <input type="text"/> Pierres (en g) <input type="text"/> Parure <input type="text"/> Autres <input type="text"/></p> <p>Malacofaune <input type="text"/> Microfaune <input type="text"/> Carporesses <input type="text"/> Anthracorestes <input type="text"/></p>

Annexe 3 - Le Clos de Roque, Saint-Maximin-la-Sainte-Baume (83). Inventaire des structures identifiées au décapage par fiches comprenant les indications des points topographiques, des minutes, des prélèvements et des photographies numériques de références.

Négatif

OA9785 - Clos de Roque - Saint-Maximin-la-Sainte-Baume - Var - 2011

Numéro de structure ST2174 Secteur U06 Type de structure "Fosse de plantation"

Date de fouille 29/06/2011 Minutes

Photos

Points topographiques PT0820

X (Lambert III) 88528.11 \* (m) Y (Lambert III) 134876.33

Altitude supérieure 286.15 Altitude inférieure 286.05

forme en coupe B2 forme en plan Circulaire

UPS de scellement UPS2 UPS encaissants UPS3

diamètre à l'ouverture\* 0.6 x diamètre maximal\* 0.60

profondeur observée\* 0.1 Volume estimé (m3) 0.0283

coupe ST coupée par ST

Protocole de fouille Moitié Sud : fouille par passes manuelles  
Moitié Nord : fouille par passes manuelles

Notes sur la structure Fosse moderne circulaire

Comblement N-naturel Datation Historique

Légendes de la coupe Sédiment limono-argileux brun, meuble à compact, quelques galets et cailloux de 1 à 5 cm, radicales.

Prélèvements

Mobilier  Tamisage Restes humains

Faune Lithique Céramique Terre crue-cuite Métal

Industrie osseuse Macrolithique Pierres (en g) Parure Autres

Malacofaune Microfaune Carporesses Anthracorestes

Négatif

OA9785 - Clos de Roque - Saint-Maximin-la-Sainte-Baume - Var - 2011

Numéro de structure ST2175 Secteur H07 Type de structure Terrier

Date de fouille 30/06/2011 Minutes

Photos

Points topographiques PT0811

X (Lambert III) 88531.19 \* (m) Y (Lambert III) 134892.51

Altitude supérieure 285.99 Altitude inférieure 285.89

forme en coupe B2 forme en plan Longiligne

UPS de scellement UPS2 UPS encaissants UPS3

diamètre à l'ouverture\* 0.20 x diamètre maximal\* 0.80

profondeur observée\* 0.10 Volume estimé (m3)

coupe ST coupée par ST

Protocole de fouille Moitié Sud : fouille par passes manuelles  
Moitié Nord : fouille par passes manuelles

Notes sur la structure Terrier

Comblement N-naturel Datation Néant

Légendes de la coupe Sédiment limono-argileux brun, meuble à compact, quelques galets de 1 à 2 cm, radicales.

Prélèvements

Mobilier  Tamisage Restes humains

Faune Lithique Céramique Terre crue-cuite Métal

Industrie osseuse Macrolithique Pierres (en g) Parure Autres

Malacofaune Microfaune Carporesses Anthracorestes

Négatif

OA9785 - Clos de Roque - Saint-Maximin-la-Sainte-Baume - Var - 2011

Numéro de structure ST2176 Secteur I06 Type de structure "Fosse de plantation"

Date de fouille 29/06/2011 Minutes

Photos 1109 - 1141

Points topographiques PT0822

X (Lambert III) 88528.5 \* (m) Y (Lambert III) 134892.61

Altitude supérieure 286 Altitude inférieure 285.83

forme en coupe B2 forme en plan Circulaire

UPS de scellement UPS2 UPS encaissants UPS3

diamètre à l'ouverture\* 0.60 x diamètre maximal\* 0.60

profondeur observée\* 0.07 Volume estimé (m3) 0.0198

coupe ST coupée par ST

Protocole de fouille Moitié Sud : fouille par passes manuelles  
Moitié Nord : fouille par passes manuelles

Notes sur la structure Fosse moderne circulaire

Comblement N-naturel Datation Historique

Légendes de la coupe Sédiment limono-argileux brun, meuble à compact, quelques galets et cailloux de 1 à 5 cm, radicales.

Prélèvements

Mobilier  Tamisage Restes humains

Faune Lithique Céramique Terre crue-cuite Métal

Industrie osseuse Macrolithique Pierres (en g) Parure Autres

Malacofaune Microfaune Carporesses Anthracorestes

Négatif

OA9785 - Clos de Roque - Saint-Maximin-la-Sainte-Baume - Var - 2011

Numéro de structure ST2177 Secteur I06 Type de structure "Fosse de plantation"

Date de fouille 30/06/2011 Minutes

Photos 1338

Points topographiques PT0823

X (Lambert III) 88527.89 \* (m) Y (Lambert III) 134883.56

Altitude supérieure 286.12 Altitude inférieure 285.98

forme en coupe B2 forme en plan Circulaire

UPS de scellement UPS2 UPS encaissants UPS3

diamètre à l'ouverture\* 0.60 x diamètre maximal\* 0.60

profondeur observée\* 0.15 Volume estimé (m3) 0.0424

coupe ST coupée par ST

Protocole de fouille Moitié Sud : fouille par passes manuelles  
Moitié Nord : fouille par passes manuelles

Notes sur la structure Fosse moderne circulaire

Comblement N-naturel Datation Historique

Légendes de la coupe Sédiment limono-argileux brun, meuble à compact, quelques galets et cailloux de 1 à 5 cm, radicales.

Prélèvements

Mobilier  Tamisage Restes humains

Faune Lithique Céramique Terre crue-cuite Métal

Industrie osseuse Macrolithique Pierres (en g) Parure Autres

Malacofaune Microfaune Carporesses Anthracorestes

Annexe 3 - Le Clos de Roque, Saint-Maximin-la-Sainte-Baume (83). Inventaire des structures identifiées au décapage par fiches comprenant les indications des points topographiques, des minutes, des prélèvements et des photographies numériques de références.

<p>Négatif <input type="checkbox"/></p> <p style="text-align: center;">OA9785 - Clos de Roque - Saint-Maximin-la-Sainte-Baume - Var - 2011</p> <p>Numéro de structure <input type="text" value="ST2178"/> Secteur <input type="text" value="I06"/> Type de structure <input type="text" value="Fosse de plantation"/></p> <p>Date de fouille <input type="text" value="30/06/2011"/> Minutes <input type="text"/></p> <p>Photos <input type="text" value="1337"/></p> <p>Points topographiques <input type="text" value="PT0824"/></p> <p>X (Lambert III) <input type="text" value="885526.76"/> * (m) Y (Lambert III) <input type="text" value="134884.42"/></p> <p>Altitude supérieure <input type="text" value="286.14"/> Altitude inférieure <input type="text" value="285.99"/></p> <p>forme en coupe <input type="text" value="B2"/> forme en plan <input type="text" value="Circulaire"/></p> <p>UPS de scellement <input type="text" value="UPS2"/> UPS encaissants <input type="text" value="UPS3"/></p> <p>diamètre à l'ouverture* <input type="text" value="0.60"/> x <input type="text"/> diamètre maximal* <input type="text" value="0.60"/></p> <p>profondeur observée* <input type="text" value="0.15"/> Volume estimé (m3) <input type="text" value="0.0424"/></p> <p>coupe ST <input type="text"/> coupée par ST <input type="text"/></p> <p>Protocole de fouille <input type="text" value="Moitié Sud : fouille par passes manuelles"/> Moitié Nord : fouille par passes manuelles</p> <p>Notes sur la structure <input type="text" value="Fosse moderne circulaire"/></p> <p>Comblement <input type="text" value="N-naturel"/> Datation <input type="text" value="Historique"/></p> <p>Légendes de la coupe <input type="text" value="Sédiment limono-argileux brun, meuble à compact, quelques galets et cailloux de 1 à 5 cm, radicelles."/></p> <p>Prélèvements <input type="text"/></p> <p>Mobilier <input type="checkbox"/> Tamisage</p> <p>Faune <input type="text"/> Lithique <input type="text"/> Céramique <input type="text"/> Terre crue-cuite <input type="text"/> Métal <input type="text"/> Restes humains <input type="text"/></p> <p>Industrie osseuse <input type="text"/> Macrolithique <input type="text"/> Pierres (en g) <input type="text"/> Parure <input type="text"/> Autres <input type="text"/></p> <p>Malacofaune <input type="text"/> Microfaune <input type="text"/> Carpocestes <input type="text"/> Anthracocrestes <input type="text"/></p>	<p>Négatif <input type="checkbox"/></p> <p style="text-align: center;">OA9785 - Clos de Roque - Saint-Maximin-la-Sainte-Baume - Var - 2011</p> <p>Numéro de structure <input type="text" value="ST2179"/> Secteur <input type="text" value="I06"/> Type de structure <input type="text" value="Fosse de plantation"/></p> <p>Date de fouille <input type="text" value="30/06/2011"/> Minutes <input type="text"/></p> <p>Photos <input type="text" value="1336"/></p> <p>Points topographiques <input type="text" value="PT0825"/></p> <p>X (Lambert III) <input type="text" value="885525.32"/> * (m) Y (Lambert III) <input type="text" value="134885.36"/></p> <p>Altitude supérieure <input type="text" value="286.15"/> Altitude inférieure <input type="text" value="285.98"/></p> <p>forme en coupe <input type="text" value="B2"/> forme en plan <input type="text" value="Circulaire"/></p> <p>UPS de scellement <input type="text" value="UPS2"/> UPS encaissants <input type="text" value="UPS3"/></p> <p>diamètre à l'ouverture* <input type="text" value="0.60"/> x <input type="text"/> diamètre maximal* <input type="text" value="0.60"/></p> <p>profondeur observée* <input type="text" value="0.17"/> Volume estimé (m3) <input type="text" value="0.0481"/></p> <p>coupe ST <input type="text"/> coupée par ST <input type="text"/></p> <p>Protocole de fouille <input type="text" value="Moitié Sud : fouille par passes manuelles"/> Moitié Nord : fouille par passes manuelles</p> <p>Notes sur la structure <input type="text" value="Fosse moderne circulaire"/></p> <p>Comblement <input type="text" value="N-naturel"/> Datation <input type="text" value="Historique"/></p> <p>Légendes de la coupe <input type="text" value="Sédiment limono-argileux brun, meuble à compact, quelques galets et cailloux de 1 à 5 cm, radicelles."/></p> <p>Prélèvements <input type="text"/></p> <p>Mobilier <input type="checkbox"/> Tamisage</p> <p>Faune <input type="text"/> Lithique <input type="text"/> Céramique <input type="text"/> Terre crue-cuite <input type="text"/> Métal <input type="text"/> Restes humains <input type="text"/></p> <p>Industrie osseuse <input type="text"/> Macrolithique <input type="text"/> Pierres (en g) <input type="text"/> Parure <input type="text"/> Autres <input type="text"/></p> <p>Malacofaune <input type="text"/> Microfaune <input type="text"/> Carpocestes <input type="text"/> Anthracocrestes <input type="text"/></p>
<p>Négatif <input type="checkbox"/></p> <p style="text-align: center;">OA9785 - Clos de Roque - Saint-Maximin-la-Sainte-Baume - Var - 2011</p> <p>Numéro de structure <input type="text" value="ST2180"/> Secteur <input type="text" value="I06"/> Type de structure <input type="text" value="Fosse de plantation"/></p> <p>Date de fouille <input type="text" value="30/06/2011"/> Minutes <input type="text"/></p> <p>Photos <input type="text" value="1339"/></p> <p>Points topographiques <input type="text" value="PT0825"/></p> <p>X (Lambert III) <input type="text" value="885523.24"/> * (m) Y (Lambert III) <input type="text" value="134884.76"/></p> <p>Altitude supérieure <input type="text" value="286.16"/> Altitude inférieure <input type="text" value="285.99"/></p> <p>forme en coupe <input type="text" value="B2"/> forme en plan <input type="text" value="Circulaire"/></p> <p>UPS de scellement <input type="text" value="UPS2"/> UPS encaissants <input type="text" value="UPS3"/></p> <p>diamètre à l'ouverture* <input type="text" value="0.60"/> x <input type="text"/> diamètre maximal* <input type="text" value="0.60"/></p> <p>profondeur observée* <input type="text" value="0.17"/> Volume estimé (m3) <input type="text" value="0.0481"/></p> <p>coupe ST <input type="text"/> coupée par ST <input type="text"/></p> <p>Protocole de fouille <input type="text" value="Moitié Sud : fouille par passes manuelles"/> Moitié Nord : fouille par passes manuelles</p> <p>Notes sur la structure <input type="text" value="Fosse moderne circulaire"/></p> <p>Comblement <input type="text" value="N-naturel"/> Datation <input type="text" value="Historique"/></p> <p>Légendes de la coupe <input type="text" value="Sédiment limono-argileux brun, meuble à compact, quelques galets et cailloux de 1 à 5 cm, radicelles."/></p> <p>Prélèvements <input type="text"/></p> <p>Mobilier <input type="checkbox"/> Tamisage</p> <p>Faune <input type="text"/> Lithique <input type="text"/> Céramique <input type="text"/> Terre crue-cuite <input type="text"/> Métal <input type="text"/> Restes humains <input type="text"/></p> <p>Industrie osseuse <input type="text"/> Macrolithique <input type="text"/> Pierres (en g) <input type="text"/> Parure <input type="text"/> Autres <input type="text"/></p> <p>Malacofaune <input type="text"/> Microfaune <input type="text"/> Carpocestes <input type="text"/> Anthracocrestes <input type="text"/></p>	<p>Négatif <input checked="" type="checkbox"/></p> <p style="text-align: center;">OA9785 - Clos de Roque - Saint-Maximin-la-Sainte-Baume - Var - 2011</p> <p>Numéro de structure <input type="text" value="ST2181"/> Secteur <input type="text" value="I06"/> Type de structure <input type="text" value="Terrier"/></p> <p>Date de fouille <input type="text" value="30/06/2011"/> Minutes <input type="text"/></p> <p>Photos <input type="text" value="1335"/></p> <p>Points topographiques <input type="text" value="PT0827 - PT6448 à PT6452"/></p> <p>X (Lambert III) <input type="text" value="885520.45"/> * (m) Y (Lambert III) <input type="text" value="134882.08"/></p> <p>Altitude supérieure <input type="text" value="286.16"/> Altitude inférieure <input type="text" value="286.06"/></p> <p>forme en coupe <input type="text" value="B2"/> forme en plan <input type="text" value="Longiligne"/></p> <p>UPS de scellement <input type="text" value="UPS2"/> UPS encaissants <input type="text" value="UPS3"/></p> <p>diamètre à l'ouverture* <input type="text" value="0.20"/> x <input type="text"/> diamètre maximal* <input type="text" value="0.40"/></p> <p>profondeur observée* <input type="text" value="0.10"/> Volume estimé (m3) <input type="text"/></p> <p>coupe ST <input type="text"/> coupée par ST <input type="text"/></p> <p>Protocole de fouille <input type="text" value="Moitié Sud : fouille par passes manuelles"/> Moitié Nord : fouille par passes manuelles</p> <p>Notes sur la structure <input type="text" value="Terrier en lien avec ST2182"/></p> <p>Comblement <input type="text" value="N-naturel"/> Datation <input type="text" value="Néant"/></p> <p>Légendes de la coupe <input type="text" value="Sédiment limono-argileux brun, meuble à compact, quelques galets de 1 à 2 cm, radicelles."/></p> <p>Prélèvements <input type="text"/></p> <p>Mobilier <input type="checkbox"/> Tamisage</p> <p>Faune <input type="text"/> Lithique <input type="text"/> Céramique <input type="text"/> Terre crue-cuite <input type="text"/> Métal <input type="text"/> Restes humains <input type="text"/></p> <p>Industrie osseuse <input type="text"/> Macrolithique <input type="text"/> Pierres (en g) <input type="text"/> Parure <input type="text"/> Autres <input type="text"/></p> <p>Malacofaune <input type="text"/> Microfaune <input type="text"/> Carpocestes <input type="text"/> Anthracocrestes <input type="text"/></p>

Annexe 3 - Le Clos de Roque, Saint-Maximin-la-Sainte-Baume (83). Inventaire des structures identifiées au décapage par fiches comprenant les indications des points topographiques, des minutes, des prélèvements et des photographies numériques de références.

Négatif

OA9785 - Clos de Roque - Saint-Maximin-la-Sainte-Baume - Var - 2011

Numéro de structure  Secteur  Type de structure

Date de fouille  Minutes

Photos

Points topographiques

X (Lambert III)  \* (m) Y (Lambert III)

Altitude supérieure  Altitude inférieure

forme en coupe  forme en plan

UPS de scellement  UPS encaissants

diamètre à l'ouverture\*  x  diamètre maximal\*

profondeur observée\*  Volume estimé (m3)

coupe ST  coupée par ST

Protocole de fouille   
Moitié Nord : fouille par passes manuelles

Notes sur la structure

Comblement  Datation

Légendes de la coupe

Prélèvements

Mobilier  Tamisage

Faune	Lithique	Céramique	Terre crue-cuite	Métal	Restes humains
<input type="text"/>	<input type="text"/>	<input type="text"/>	<input type="text"/>	<input type="text"/>	<input type="text"/>
Industrie osseuse	Macrolithique	Pierres (en g)	Parure	Autres	
<input type="text"/>	<input type="text"/>	<input type="text"/>	<input type="text"/>	<input type="text"/>	
Malacofaune	Microfaune	Carporesses	Anthracocrestes	<input type="text"/>	
<input type="text"/>	<input type="text"/>	<input type="text"/>	<input type="text"/>	<input type="text"/>	

Négatif

OA9785 - Clos de Roque - Saint-Maximin-la-Sainte-Baume - Var - 2011

Numéro de structure  Secteur  Type de structure

Date de fouille  Minutes

Photos

Points topographiques

X (Lambert III)  \* (m) Y (Lambert III)

Altitude supérieure  Altitude inférieure

forme en coupe  forme en plan

UPS de scellement  UPS encaissants

diamètre à l'ouverture\*  x  diamètre maximal\*

profondeur observée\*  Volume estimé (m3)

coupe ST  coupée par ST

Protocole de fouille   
Moitié Nord : fouille par passes manuelles

Notes sur la structure

Comblement  Datation

Légendes de la coupe

Prélèvements

Mobilier  Tamisage

Faune	Lithique	Céramique	Terre crue-cuite	Métal	Restes humains
<input type="text" value="présence"/>	<input type="text"/>	<input type="text" value="05"/>	<input type="text"/>	<input type="text"/>	<input type="text"/>
Industrie osseuse	Macrolithique	Pierres (en g)	Parure	Autres	
<input type="text"/>	<input type="text"/>	<input type="text"/>	<input type="text"/>	<input type="text"/>	
Malacofaune	Microfaune	Carporesses	Anthracocrestes	<input type="text"/>	
<input type="text" value="Présence"/>	<input type="text"/>	<input type="text"/>	<input type="text"/>	<input type="text"/>	

Négatif

OA9785 - Clos de Roque - Saint-Maximin-la-Sainte-Baume - Var - 2011

Numéro de structure  Secteur  Type de structure

Date de fouille  Minutes

Photos

Points topographiques

X (Lambert III)  \* (m) Y (Lambert III)

Altitude supérieure  Altitude inférieure

forme en coupe  forme en plan

UPS de scellement  UPS encaissants

diamètre à l'ouverture\*  x  diamètre maximal\*

profondeur observée\*  Volume estimé (m3)

coupe ST  coupée par ST

Protocole de fouille   
Moitié Nord : fouille par passes manuelles

Notes sur la structure

Comblement  Datation

Légendes de la coupe

Prélèvements

Mobilier  Tamisage

Faune	Lithique	Céramique	Terre crue-cuite	Métal	Restes humains
<input type="text"/>	<input type="text"/>	<input type="text"/>	<input type="text"/>	<input type="text"/>	<input type="text"/>
Industrie osseuse	Macrolithique	Pierres (en g)	Parure	Autres	
<input type="text"/>	<input type="text"/>	<input type="text"/>	<input type="text"/>	<input type="text"/>	
Malacofaune	Microfaune	Carporesses	Anthracocrestes	<input type="text"/>	
<input type="text"/>	<input type="text"/>	<input type="text"/>	<input type="text"/>	<input type="text"/>	

Négatif

OA9785 - Clos de Roque - Saint-Maximin-la-Sainte-Baume - Var - 2011

Numéro de structure  Secteur  Type de structure

Date de fouille  Minutes

Photos

Points topographiques

X (Lambert III)  \* (m) Y (Lambert III)

Altitude supérieure  Altitude inférieure

forme en coupe  forme en plan

UPS de scellement  UPS encaissants

diamètre à l'ouverture\*  x  diamètre maximal\*

profondeur observée\*  Volume estimé (m3)

coupe ST  coupée par ST

Protocole de fouille   
Moitié Nord : fouille par passes manuelles

Notes sur la structure

Comblement  Datation

Légendes de la coupe

Prélèvements

Mobilier  Tamisage

Faune	Lithique	Céramique	Terre crue-cuite	Métal	Restes humains
<input type="text" value="40"/>	<input type="text"/>	<input type="text" value="32"/>	<input type="text"/>	<input type="text"/>	<input type="text"/>
Industrie osseuse	Macrolithique	Pierres (en g)	Parure	Autres	
<input type="text"/>	<input type="text"/>	<input type="text"/>	<input type="text"/>	<input type="text"/>	
Malacofaune	Microfaune	Carporesses	Anthracocrestes	<input type="text"/>	
<input type="text" value="Présence"/>	<input type="text"/>	<input type="text"/>	<input type="text"/>	<input type="text"/>	

Annexe 3 - Le Clos de Roque, Saint-Maximin-la-Sainte-Baume (83). Inventaire des structures identifiées au décapage par fiches comprenant les indications des points topographiques, des minutes, des prélèvements et des photographies numériques de références.

<p>Négatif <input type="checkbox"/></p> <p style="text-align: center;">OA9785 - Clos de Roque - Saint-Maximin-la-Sainte-Baume - Var - 2011</p> <p>Numéro de structure <input type="text" value="ST2186"/> Secteur <input type="text" value="J06"/> Type de structure <input type="text" value="Fosse"/></p> <p>Date de fouille <input type="text" value="08/06/2011"/> Minutes <input type="text" value="246 - 247 - 248"/></p> <p>Photos <input type="text" value="0557 - 0592 - 0611"/></p> <p>Points topographiques <input type="text" value="PT0832 - PT3036 à PT3039 - PT3071 à PT3072 - PT3523 à PT3536"/></p> <p>X (Lambert III) <input type="text" value="885524.07"/> * (m) Y (Lambert III) <input type="text" value="134879.22"/></p> <p>Altitude supérieure <input type="text" value="286.2"/> Altitude inférieure <input type="text" value="285.98"/></p> <p>forme en coupe <input type="text" value="B2"/> forme en plan <input type="text" value="Ovalaire"/></p> <p>UPS de scellement <input type="text" value="UPS2"/> UPS encaissants <input type="text" value="UPS3"/></p> <p>diamètre à l'ouverture* <input type="text" value="0.85"/> x <input type="text" value="0.74"/> diamètre maximal* <input type="text" value="0.85"/></p> <p>profondeur observée* <input type="text" value="0.22"/> Volume estimé (m3) <input type="text" value="0.1106"/></p> <p>coupe ST <input type="text" value="coupée par ST"/></p> <p>Protocole de fouille <input type="text" value="Moitié Sud : fouille par passes manuelles&lt;br/&gt;Moitié Nord : fouille par passes manuelles"/></p> <p>Notes sur la structure <input type="text" value="Petite fosse ou trou de poteau, fortement perturbé par des bioturbations et terrier à l'ouest"/></p> <p>Comblement <input type="text" value="N-naturel"/> Datation <input type="text" value="Hallstatt prob"/></p> <p>Légendes de la coupe <input type="text" value="US1 : sédiment argilo-limoneux de couleur brun foncé, compact et homogène, racines et radicelles dans la partie supérieure&lt;br/&gt;US2 : mélange des sédiments de l'US1 et de l'UPS3."/></p> <p>Prélèvements <input type="text"/></p> <p>Mobilier <input checked="" type="checkbox"/> Tamisage</p> <table border="1" style="width:100%; border-collapse: collapse;"> <tr> <td>Faune</td><td>Lithique</td><td>Céramique</td><td>Terre crue-cuite</td><td>Métal</td><td>Restes humains</td> </tr> <tr> <td><input type="text"/></td><td><input type="text"/></td><td><input type="text" value="02"/></td><td><input type="text"/></td><td><input type="text"/></td><td><input type="text"/></td> </tr> <tr> <td>Industrie osseuse</td><td>Macrolithique</td><td>Pierres (en g)</td><td>Parure</td><td colspan="2">Autres</td> </tr> <tr> <td><input type="text"/></td><td><input type="text"/></td><td><input type="text"/></td><td><input type="text"/></td><td colspan="2"><input type="text"/></td> </tr> <tr> <td>Malacofaune</td><td>Microfaune</td><td>Carporesses</td><td>Anthracorestes</td><td colspan="2"></td> </tr> <tr> <td><input type="text"/></td><td><input type="text"/></td><td><input type="text"/></td><td><input type="text"/></td><td colspan="2"></td> </tr> <tr> <td>Présence</td><td><input type="text"/></td><td><input type="text"/></td><td><input type="text"/></td><td colspan="2"></td> </tr> </table>	Faune	Lithique	Céramique	Terre crue-cuite	Métal	Restes humains	<input type="text"/>	<input type="text"/>	<input type="text" value="02"/>	<input type="text"/>	<input type="text"/>	<input type="text"/>	Industrie osseuse	Macrolithique	Pierres (en g)	Parure	Autres		<input type="text"/>	<input type="text"/>	<input type="text"/>	<input type="text"/>	<input type="text"/>		Malacofaune	Microfaune	Carporesses	Anthracorestes			<input type="text"/>	<input type="text"/>	<input type="text"/>	<input type="text"/>			Présence	<input type="text"/>	<input type="text"/>	<input type="text"/>			<p>Négatif <input type="checkbox"/></p> <p style="text-align: center;">OA9785 - Clos de Roque - Saint-Maximin-la-Sainte-Baume - Var - 2011</p> <p>Numéro de structure <input type="text" value="ST2187"/> Secteur <input type="text" value="J06"/> Type de structure <input type="text" value="Fosse"/></p> <p>Date de fouille <input type="text" value="08/06/2011"/> Minutes <input type="text" value="261 - 262 - 263"/></p> <p>Photos <input type="text" value="0495 - 0525 - 0533"/></p> <p>Points topographiques <input type="text" value="PT0833 - PT3197 à PT3198 - PT3201 à PT3216"/></p> <p>X (Lambert III) <input type="text" value="885524.46"/> * (m) Y (Lambert III) <input type="text" value="134877.69"/></p> <p>Altitude supérieure <input type="text" value="286.18"/> Altitude inférieure <input type="text" value="285.8"/></p> <p>forme en coupe <input type="text" value="F1"/> forme en plan <input type="text" value="Circulaire"/></p> <p>UPS de scellement <input type="text" value="UPS2"/> UPS encaissants <input type="text" value="UPS3"/></p> <p>diamètre à l'ouverture* <input type="text" value="1.08"/> x <input type="text" value="0.83"/> diamètre maximal* <input type="text" value="1.08"/></p> <p>profondeur observée* <input type="text" value="0.38"/> Volume estimé (m3) <input type="text" value="0.2694"/></p> <p>coupe ST <input type="text" value="coupée par ST"/></p> <p>Protocole de fouille <input type="text" value="Moitié Sud : fouille par passes manuelles&lt;br/&gt;Moitié Nord : fouille par passes manuelles"/></p> <p>Notes sur la structure <input type="text" value="Petite fosse, fortement perturbé par des bioturbations"/></p> <p>Comblement <input type="text" value="N-naturel"/> Datation <input type="text" value="Hallstatt ancien"/></p> <p>Légendes de la coupe <input type="text" value="US1 : sédiment argilo-limoneux de couleur brun foncé, compact et homogène, racines et radicelles dans la partie supérieure.&lt;br/&gt;US2 : mélange des sédiments de l'US1 et de l'UPS3."/></p> <p>Prélèvements <input type="text"/></p> <p>Mobilier <input checked="" type="checkbox"/> Tamisage</p> <table border="1" style="width:100%; border-collapse: collapse;"> <tr> <td>Faune</td><td>Lithique</td><td>Céramique</td><td>Terre crue-cuite</td><td>Métal</td><td>Restes humains</td> </tr> <tr> <td><input type="text" value="16"/></td><td><input type="text" value="02"/></td><td><input type="text" value="09"/></td><td><input type="text"/></td><td><input type="text"/></td><td><input type="text"/></td> </tr> <tr> <td>Industrie osseuse</td><td>Macrolithique</td><td>Pierres (en g)</td><td>Parure</td><td colspan="2">Autres</td> </tr> <tr> <td><input type="text"/></td><td><input type="text"/></td><td><input type="text"/></td><td><input type="text"/></td><td colspan="2"><input type="text"/></td> </tr> <tr> <td>Malacofaune</td><td>Microfaune</td><td>Carporesses</td><td>Anthracorestes</td><td colspan="2"></td> </tr> <tr> <td><input type="text"/></td><td><input type="text"/></td><td><input type="text"/></td><td><input type="text"/></td><td colspan="2"></td> </tr> <tr> <td>Présence</td><td><input type="text"/></td><td><input type="text"/></td><td><input type="text"/></td><td colspan="2"></td> </tr> </table>	Faune	Lithique	Céramique	Terre crue-cuite	Métal	Restes humains	<input type="text" value="16"/>	<input type="text" value="02"/>	<input type="text" value="09"/>	<input type="text"/>	<input type="text"/>	<input type="text"/>	Industrie osseuse	Macrolithique	Pierres (en g)	Parure	Autres		<input type="text"/>	<input type="text"/>	<input type="text"/>	<input type="text"/>	<input type="text"/>		Malacofaune	Microfaune	Carporesses	Anthracorestes			<input type="text"/>	<input type="text"/>	<input type="text"/>	<input type="text"/>			Présence	<input type="text"/>	<input type="text"/>	<input type="text"/>		
Faune	Lithique	Céramique	Terre crue-cuite	Métal	Restes humains																																																																																
<input type="text"/>	<input type="text"/>	<input type="text" value="02"/>	<input type="text"/>	<input type="text"/>	<input type="text"/>																																																																																
Industrie osseuse	Macrolithique	Pierres (en g)	Parure	Autres																																																																																	
<input type="text"/>	<input type="text"/>	<input type="text"/>	<input type="text"/>	<input type="text"/>																																																																																	
Malacofaune	Microfaune	Carporesses	Anthracorestes																																																																																		
<input type="text"/>	<input type="text"/>	<input type="text"/>	<input type="text"/>																																																																																		
Présence	<input type="text"/>	<input type="text"/>	<input type="text"/>																																																																																		
Faune	Lithique	Céramique	Terre crue-cuite	Métal	Restes humains																																																																																
<input type="text" value="16"/>	<input type="text" value="02"/>	<input type="text" value="09"/>	<input type="text"/>	<input type="text"/>	<input type="text"/>																																																																																
Industrie osseuse	Macrolithique	Pierres (en g)	Parure	Autres																																																																																	
<input type="text"/>	<input type="text"/>	<input type="text"/>	<input type="text"/>	<input type="text"/>																																																																																	
Malacofaune	Microfaune	Carporesses	Anthracorestes																																																																																		
<input type="text"/>	<input type="text"/>	<input type="text"/>	<input type="text"/>																																																																																		
Présence	<input type="text"/>	<input type="text"/>	<input type="text"/>																																																																																		
<p>Négatif <input checked="" type="checkbox"/></p> <p style="text-align: center;">OA9785 - Clos de Roque - Saint-Maximin-la-Sainte-Baume - Var - 2011</p> <p>Numéro de structure <input type="text" value="ST2188"/> Secteur <input type="text" value="J06"/> Type de structure <input type="text" value="Terrier"/></p> <p>Date de fouille <input type="text" value="30/06/2011"/> Minutes <input type="text"/></p> <p>Photos <input type="text" value="1354"/></p> <p>Points topographiques <input type="text" value="PT0834"/></p> <p>X (Lambert III) <input type="text" value="885524.3"/> * (m) Y (Lambert III) <input type="text" value="134876.58"/></p> <p>Altitude supérieure <input type="text" value="286.17"/> Altitude inférieure <input type="text" value="286.07"/></p> <p>forme en coupe <input type="text" value="B2"/> forme en plan <input type="text" value="Circulaire"/></p> <p>UPS de scellement <input type="text" value="UPS2"/> UPS encaissants <input type="text" value="UPS3"/></p> <p>diamètre à l'ouverture* <input type="text" value="0.18"/> x <input type="text" value="0.18"/> diamètre maximal* <input type="text" value="0.18"/></p> <p>profondeur observée* <input type="text" value="0.1"/> Volume estimé (m3) <input type="text" value="0.0025"/></p> <p>coupe ST <input type="text" value="coupée par ST"/></p> <p>Protocole de fouille <input type="text" value="Moitié Sud : fouille par passes manuelles&lt;br/&gt;Moitié Nord : fouille par passes manuelles"/></p> <p>Notes sur la structure <input type="text" value="Terrier"/></p> <p>Comblement <input type="text" value="N-naturel"/> Datation <input type="text" value="Néant"/></p> <p>Légendes de la coupe <input type="text" value="Sédiment limono-argileux brun, meuble à compact, quelques galets de 1 à 2 cm, radicelles."/></p> <p>Prélèvements <input type="text"/></p> <p>Mobilier <input type="checkbox"/> Tamisage</p> <table border="1" style="width:100%; border-collapse: collapse;"> <tr> <td>Faune</td><td>Lithique</td><td>Céramique</td><td>Terre crue-cuite</td><td>Métal</td><td>Restes humains</td> </tr> <tr> <td><input type="text"/></td><td><input type="text"/></td><td><input type="text"/></td><td><input type="text"/></td><td><input type="text"/></td><td><input type="text"/></td> </tr> <tr> <td>Industrie osseuse</td><td>Macrolithique</td><td>Pierres (en g)</td><td>Parure</td><td colspan="2">Autres</td> </tr> <tr> <td><input type="text"/></td><td><input type="text"/></td><td><input type="text"/></td><td><input type="text"/></td><td colspan="2"><input type="text"/></td> </tr> <tr> <td>Malacofaune</td><td>Microfaune</td><td>Carporesses</td><td>Anthracorestes</td><td colspan="2"></td> </tr> <tr> <td><input type="text"/></td><td><input type="text"/></td><td><input type="text"/></td><td><input type="text"/></td><td colspan="2"></td> </tr> <tr> <td>Présence</td><td><input type="text"/></td><td><input type="text"/></td><td><input type="text"/></td><td colspan="2"></td> </tr> </table>	Faune	Lithique	Céramique	Terre crue-cuite	Métal	Restes humains	<input type="text"/>	<input type="text"/>	<input type="text"/>	<input type="text"/>	<input type="text"/>	<input type="text"/>	Industrie osseuse	Macrolithique	Pierres (en g)	Parure	Autres		<input type="text"/>	<input type="text"/>	<input type="text"/>	<input type="text"/>	<input type="text"/>		Malacofaune	Microfaune	Carporesses	Anthracorestes			<input type="text"/>	<input type="text"/>	<input type="text"/>	<input type="text"/>			Présence	<input type="text"/>	<input type="text"/>	<input type="text"/>			<p>Négatif <input type="checkbox"/></p> <p style="text-align: center;">OA9785 - Clos de Roque - Saint-Maximin-la-Sainte-Baume - Var - 2011</p> <p>Numéro de structure <input type="text" value="ST2189"/> Secteur <input type="text" value="J06"/> Type de structure <input type="text" value="Fosse"/></p> <p>Date de fouille <input type="text" value="16/06/2011"/> Minutes <input type="text" value="375 - 376 - 377"/></p> <p>Photos <input type="text" value="0696 - 0717 - 0721"/></p> <p>Points topographiques <input type="text" value="PT0835 - PT3791 à PT3794 - PT3813 - PT3897 - PT3907 à PT3915"/></p> <p>X (Lambert III) <input type="text" value="885521.68"/> * (m) Y (Lambert III) <input type="text" value="134877.77"/></p> <p>Altitude supérieure <input type="text" value="286.13"/> Altitude inférieure <input type="text" value="286"/></p> <p>forme en coupe <input type="text" value="B2"/> forme en plan <input type="text" value="Circulaire"/></p> <p>UPS de scellement <input type="text" value="UPS2"/> UPS encaissants <input type="text" value="UPS3"/></p> <p>diamètre à l'ouverture* <input type="text" value="0.70"/> x <input type="text" value="0.60"/> diamètre maximal* <input type="text" value="0.70"/></p> <p>profondeur observée* <input type="text" value="0.15"/> Volume estimé (m3) <input type="text" value="0.0498"/></p> <p>coupe ST <input type="text" value="coupée par ST"/></p> <p>Protocole de fouille <input type="text" value="Moitié Sud : fouille par passes manuelles&lt;br/&gt;Moitié Nord : fouille par passes manuelles"/></p> <p>Notes sur la structure <input type="text" value="Fosse"/></p> <p>Comblement <input type="text" value="N-naturel"/> Datation <input type="text" value="Hallstatt ancien"/></p> <p>Légendes de la coupe <input type="text" value="US1 : sédiment argilo-limoneux de couleur brun foncé, compact et homogène, racines et radicelles dans la partie supérieure.&lt;br/&gt;US2 : mélange des sédiments de l'US1 et de l'UPS3."/></p> <p>Prélèvements <input type="text"/></p> <p>Mobilier <input checked="" type="checkbox"/> Tamisage</p> <table border="1" style="width:100%; border-collapse: collapse;"> <tr> <td>Faune</td><td>Lithique</td><td>Céramique</td><td>Terre crue-cuite</td><td>Métal</td><td>Restes humains</td> </tr> <tr> <td><input type="text" value="05"/></td><td><input type="text"/></td><td><input type="text" value="01"/></td><td><input type="text" value="02"/></td><td><input type="text"/></td><td><input type="text"/></td> </tr> <tr> <td>Industrie osseuse</td><td>Macrolithique</td><td>Pierres (en g)</td><td>Parure</td><td colspan="2">Autres</td> </tr> <tr> <td><input type="text"/></td><td><input type="text"/></td><td><input type="text"/></td><td><input type="text"/></td><td colspan="2"><input type="text"/></td> </tr> <tr> <td>Malacofaune</td><td>Microfaune</td><td>Carporesses</td><td>Anthracorestes</td><td colspan="2"></td> </tr> <tr> <td><input type="text"/></td><td><input type="text"/></td><td><input type="text"/></td><td><input type="text"/></td><td colspan="2"></td> </tr> <tr> <td>Présence</td><td><input type="text"/></td><td><input type="text"/></td><td><input type="text"/></td><td colspan="2"></td> </tr> </table>	Faune	Lithique	Céramique	Terre crue-cuite	Métal	Restes humains	<input type="text" value="05"/>	<input type="text"/>	<input type="text" value="01"/>	<input type="text" value="02"/>	<input type="text"/>	<input type="text"/>	Industrie osseuse	Macrolithique	Pierres (en g)	Parure	Autres		<input type="text"/>	<input type="text"/>	<input type="text"/>	<input type="text"/>	<input type="text"/>		Malacofaune	Microfaune	Carporesses	Anthracorestes			<input type="text"/>	<input type="text"/>	<input type="text"/>	<input type="text"/>			Présence	<input type="text"/>	<input type="text"/>	<input type="text"/>		
Faune	Lithique	Céramique	Terre crue-cuite	Métal	Restes humains																																																																																
<input type="text"/>	<input type="text"/>	<input type="text"/>	<input type="text"/>	<input type="text"/>	<input type="text"/>																																																																																
Industrie osseuse	Macrolithique	Pierres (en g)	Parure	Autres																																																																																	
<input type="text"/>	<input type="text"/>	<input type="text"/>	<input type="text"/>	<input type="text"/>																																																																																	
Malacofaune	Microfaune	Carporesses	Anthracorestes																																																																																		
<input type="text"/>	<input type="text"/>	<input type="text"/>	<input type="text"/>																																																																																		
Présence	<input type="text"/>	<input type="text"/>	<input type="text"/>																																																																																		
Faune	Lithique	Céramique	Terre crue-cuite	Métal	Restes humains																																																																																
<input type="text" value="05"/>	<input type="text"/>	<input type="text" value="01"/>	<input type="text" value="02"/>	<input type="text"/>	<input type="text"/>																																																																																
Industrie osseuse	Macrolithique	Pierres (en g)	Parure	Autres																																																																																	
<input type="text"/>	<input type="text"/>	<input type="text"/>	<input type="text"/>	<input type="text"/>																																																																																	
Malacofaune	Microfaune	Carporesses	Anthracorestes																																																																																		
<input type="text"/>	<input type="text"/>	<input type="text"/>	<input type="text"/>																																																																																		
Présence	<input type="text"/>	<input type="text"/>	<input type="text"/>																																																																																		

Annexe 3 - Le Clos de Roque, Saint-Maximin-la-Sainte-Baume (83). Inventaire des structures identifiées au décapage par fiches comprenant les indications des points topographiques, des minutes, des prélèvements et des photographies numériques de références.

Négatif

OA9785 - Clos de Roque - Saint-Maximin-la-Sainte-Baume - Var - 2011

Numéro de structure ST2190 Secteur J06 Type de structure Fosse

Date de fouille 16/06/2011 Minutes 378 - 379 - 380

Photos 0695 - 0707 - 0712

Points topographiques PT0836 - PT3792 à PT3793 - PT3795 à PT3796 - PT3813 à PT3814 - PT3898 à PT3906

X (Lambert III) 885521.64 \* (m) Y (Lambert III) 134876.91

Altitude supérieure 286.15 Altitude inférieure 286.03

forme en coupe B2 forme en plan Circulaire

UPS de scellement UPS2 UPS encaissants UPS3

diamètre à l'ouverture\* 0.43 x 0.39 diamètre maximal\* 0.43

profondeur observée\* 0.16 Volume estimé (m3) 0.0211

coupe ST coupe par ST

Protocole de fouille Moitié Sud : fouille par passes manuelles  
Moitié Nord : fouille par passes manuelles

Notes sur la structure Fosse

Comblement N-naturel Datation Hallstatt prob

Légendes de la coupe US1 : sédiment argilo-limoneux de couleur brun foncé, compact et homogène, racines et radicelles dans la partie supérieure.  
US2 : mélange des sédiments de l'US1 et de l'UPS3.

Prélèvements

Mobilier  Tamisage

Faune 14 Lithique Céramique Terre crue-cuite Métal Restes humains

Industrie osseuse Macrolithique Pierres (en g) Parure Autres

Malacofaune Microfaune Carporesses Anthracorestes

Présence

Négatif

OA9785 - Clos de Roque - Saint-Maximin-la-Sainte-Baume - Var - 2011

Numéro de structure ST2191 Secteur J06 Type de structure Trou de poteau

Date de fouille 16/06/2011 Minutes 272 - 273 - 274

Photos 0695 - 0707 - 0712

Points topographiques PT0837 - PT3217 à PT3220 - PT3291 à PT3294 - PT3370 à PT3398

X (Lambert III) 885523.5 \* (m) Y (Lambert III) 134873.73

Altitude supérieure 286.17 Altitude inférieure 285.84

forme en coupe B2 forme en plan Circulaire

UPS de scellement UPS2 UPS encaissants UPS3

diamètre à l'ouverture\* 0.20 x 0.87 diamètre maximal\* 0.87

profondeur observée\* 0.33 Volume estimé (m3) 0.0574

coupe ST coupe par ST

Protocole de fouille Moitié Sud : fouille par passes manuelles  
Moitié Nord : fouille par passes manuelles

Notes sur la structure Double trous de poteaux en contact avec la fosse ST2192. Peut-être fonctionnement synchrone dans le cadre d'un aménagement

Comblement N-naturel Datation Hallstatt ancien

Légendes de la coupe US1 : sédiment argilo-limoneux de couleur brun foncé, compact et homogène, racines et radicelles dans la partie supérieure.  
US2 : mélange des sédiments de l'US1 et de l'UPS3.

Prélèvements

Mobilier  Tamisage

Faune 40 Lithique 02 Céramique 19 Terre crue-cuite Métal Restes humains

Industrie osseuse Macrolithique Pierres (en g) Parure Autres

Malacofaune Microfaune Carporesses Anthracorestes

Présence

Négatif

OA9785 - Clos de Roque - Saint-Maximin-la-Sainte-Baume - Var - 2011

Numéro de structure ST2192 Secteur J06 Type de structure Fosse

Date de fouille 14/06/2011 Minutes 346 - 347 - 348

Photos 0555 - 0584 - 0649 - 0790

Points topographiques PT0838 - PT3405 à PT3408 - PT3448 - PT3466 à PT3468 - PT3475 - PT3482 - PT3556 - PT3638 à PT3639 - PT3945 - PT4043 à PT4058

X (Lambert III) 885524.05 \* (m) Y (Lambert III) 134872.49

Altitude supérieure 286.15 Altitude inférieure 285.46

forme en coupe F2 forme en plan Polylobée

UPS de scellement UPS2 UPS encaissants UPS3

diamètre à l'ouverture\* 1.70 x 1.05 diamètre maximal\* 1.70

profondeur observée\* 0.69 Volume estimé (m3) 1.2317

coupe ST ST2191 coupe par ST

Protocole de fouille Moitié Sud : fouille par passes manuelles  
Moitié Nord : fouille par passes manuelles

Notes sur la structure Fosse polylobée à surcreusement latéral, ou fosse ovulaire fonctionnant avec les trous de poteaux situés au nord. Riche en artéfacts divers. A rapprocher de ST2194. calcaires brûlées et un calcaire jaune

Comblement AN-anthropique et Datation Hallstatt ancien

Légendes de la coupe US1 : sédiment argilo-limoneux de couleur brun foncé, compact et homogène, racines et radicelles dans la partie supérieure, nombreux artéfacts.  
US2 : mélange des sédiments de l'US1 et de l'UPS3.

Prélèvements

Mobilier  Tamisage

Faune 100 Lithique 13 Céramique 180 Terre crue-cuite Métal alène et fer Restes humains

Industrie osseuse Macrolithique Pierres (en g) Parure Autres

Malacofaune Microfaune Carporesses Anthracorestes

Présence 1 hache polie, 1 alène en bronze, 1 frgt de fer

Négatif

OA9785 - Clos de Roque - Saint-Maximin-la-Sainte-Baume - Var - 2011

Numéro de structure ST2193 Secteur J06 Type de structure Terrier

Date de fouille 30/06/2011 Minutes

Photos

Points topographiques PT0839

X (Lambert III) 885521.97 \* (m) Y (Lambert III) 134874.12

Altitude supérieure 286.15 Altitude inférieure 286.10

forme en coupe B2 forme en plan Longiligne

UPS de scellement UPS2 UPS encaissants UPS3

diamètre à l'ouverture\* 0.6 x 1.70 diamètre maximal\* 1.8

profondeur observée\* 0.05 Volume estimé (m3)

coupe ST coupe par ST

Protocole de fouille Moitié Sud : fouille par passes manuelles  
Moitié Nord : fouille par passes manuelles

Notes sur la structure Terrier

Comblement N-naturel Datation Néant

Légendes de la coupe Sédiment limono-argileux brun, meuble à compact, quelques galets de 1 à 2 cm, radicelles.

Prélèvements

Mobilier  Tamisage

Faune Lithique Céramique Terre crue-cuite Métal Restes humains

Industrie osseuse Macrolithique Pierres (en g) Parure Autres

Malacofaune Microfaune Carporesses Anthracorestes

Annexe 3 - Le Clos de Roque, Saint-Maximin-la-Sainte-Baume (83). Inventaire des structures identifiées au décapage par fiches comprenant les indications des points topographiques, des minutes, des prélèvements et des photographies numériques de références.

Négatif

OA9785 - Clos de Roque - Saint-Maximin-la-Sainte-Baume - Var - 2011

Numéro de structure  Secteur  Type de structure

Date de fouille  Minutes

Photos

Points topographiques

X (Lambert III)  \* (m) Y (Lambert III)

Altitude supérieure  Altitude inférieure

forme en coupe  forme en plan

UPS de scellement  UPS encaissants

diamètre à l'ouverture\*  x  diamètre maximal\*

profondeur observée\*  Volume estimé (m3)

coupe ST  coupée par ST

Protocole de fouille

Notes sur la structure

Comblement  Datation

Légendes de la coupe

Prélèvements

Mobilier  Tamisage

Faune	Lithique	Céramique	Terre crue-cuite	Métal	Restes humains
<input type="text" value="44"/>	<input type="text" value="4"/>	<input type="text" value="80"/>	<input type="text"/>	<input type="text"/>	<input type="text"/>
Industrie osseuse	Macrolithique	Pierres (en g)	Parure	Autres	
<input type="text" value="01"/>	<input type="text"/>	<input type="text"/>	<input type="text"/>	<input type="text"/>	
Malacofaune	Microfaune	Carporesses	Anthracorestes	<input type="text"/>	
<input type="text" value="Présence"/>	<input type="text"/>	<input type="text"/>	<input type="text"/>	<input type="text"/>	

Négatif

OA9785 - Clos de Roque - Saint-Maximin-la-Sainte-Baume - Var - 2011

Numéro de structure  Secteur  Type de structure

Date de fouille  Minutes

Photos

Points topographiques

X (Lambert III)  \* (m) Y (Lambert III)

Altitude supérieure  Altitude inférieure

forme en coupe  forme en plan

UPS de scellement  UPS encaissants

diamètre à l'ouverture\*  x  diamètre maximal\*

profondeur observée\*  Volume estimé (m3)

coupe ST

Protocole de fouille

Notes sur la structure

Comblement  Datation

Légendes de la coupe

Prélèvements

Mobilier  Tamisage

Faune	Lithique	Céramique	Terre crue-cuite	Métal	Restes humains
<input type="text" value="05"/>	<input type="text"/>	<input type="text" value="12"/>	<input type="text" value="Présence"/>	<input type="text"/>	<input type="text"/>
Industrie osseuse	Macrolithique	Pierres (en g)	Parure	Autres	
<input type="text"/>	<input type="text"/>	<input type="text"/>	<input type="text"/>	<input type="text"/>	
Malacofaune	Microfaune	Carporesses	Anthracorestes	<input type="text"/>	
<input type="text" value="Présence"/>	<input type="text"/>	<input type="text"/>	<input type="text"/>	<input type="text"/>	

Négatif

OA9785 - Clos de Roque - Saint-Maximin-la-Sainte-Baume - Var - 2011

Numéro de structure  Secteur  Type de structure

Date de fouille  Minutes

Photos

Points topographiques

X (Lambert III)  \* (m) Y (Lambert III)

Altitude supérieure  Altitude inférieure

forme en coupe  forme en plan

UPS de scellement  UPS encaissants

diamètre à l'ouverture\*  x

profondeur observée\*  diamètre maximal\*

coupe ST

Protocole de fouille

Notes sur la structure

Comblement  Datation

Légendes de la coupe

Prélèvements

Mobilier  Tamisage

Faune	Lithique	Céramique	Terre crue-cuite	Métal	Restes humains
<input type="text" value="01"/>	<input type="text"/>	<input type="text" value="03"/>	<input type="text"/>	<input type="text"/>	<input type="text"/>
Industrie osseuse	Macrolithique	Pierres (en g)	Parure	Autres	
<input type="text"/>	<input type="text"/>	<input type="text"/>	<input type="text"/>	<input type="text"/>	
Malacofaune	Microfaune	Carporesses	Anthracorestes	<input type="text"/>	
<input type="text"/>	<input type="text"/>	<input type="text"/>	<input type="text"/>	<input type="text"/>	

Négatif

OA9785 - Clos de Roque - Saint-Maximin-la-Sainte-Baume - Var - 2011

Numéro de structure  Secteur  Type de structure

Date de fouille  Minutes

Photos

Points topographiques

X (Lambert III)  \* (m) Y (Lambert III)

Altitude supérieure  Altitude inférieure

forme en coupe  forme en plan

UPS de scellement  UPS encaissants

diamètre à l'ouverture\*  x  diamètre maximal\*

profondeur observée\*  Volume estimé (m3)

coupe ST

Protocole de fouille

Notes sur la structure

Comblement  Datation

Légendes de la coupe

Prélèvements

Mobilier  Tamisage

Faune	Lithique	Céramique	Terre crue-cuite	Métal	Restes humains
<input type="text"/>	<input type="text"/>	<input type="text" value="01"/>	<input type="text" value="Présence"/>	<input type="text"/>	<input type="text"/>
Industrie osseuse	Macrolithique	Pierres (en g)	Parure	Autres	
<input type="text"/>	<input type="text"/>	<input type="text"/>	<input type="text"/>	<input type="text"/>	
Malacofaune	Microfaune	Carporesses	Anthracorestes	<input type="text"/>	
<input type="text" value="Présence"/>	<input type="text"/>	<input type="text"/>	<input type="text"/>	<input type="text"/>	

Annexe 3 - Le Clos de Roque, Saint-Maximin-la-Sainte-Baume (83). Inventaire des structures identifiées au décapage par fiches comprenant les indications des points topographiques, des minutes, des prélèvements et des photographies numériques de références.



Négatif

OA9785 - Clos de Roque - Saint-Maximin-la-Sainte-Baume - Var - 2011

Numéro de structure  Secteur  Type de structure

Date de fouille  Minutes

Photos

Points topographiques

X (Lambert III)  \* (m) Y (Lambert III)

Altitude supérieure  Altitude inférieure

forme en coupe  forme en plan

UPS de scellement  UPS encaissants

diamètre à l'ouverture\*  x  diamètre maximal\*

profondeur observée\*  Volume estimé (m3)

coupe ST  coupée par ST

Protocole de fouille   
Moitié Nord : fouille par passes manuelles

Notes sur la structure

Comblement  Datation

Légendes de la coupe

Prélèvements

Mobilier  Tamisage

Faune	Lithique	Céramique	Terre crue-cuite	Métal	Restes humains
<input type="text"/>	<input type="text"/>	<input type="text" value="03"/>	<input type="text"/>	<input type="text"/>	<input type="text"/>
Industrie osseuse	Macrolithique	Pierres (en g)	Parure	Autres	
<input type="text"/>	<input type="text"/>	<input type="text"/>	<input type="text"/>	<input type="text"/>	
Malacofaune	Microfaune	Carporestes	Anthracorestes	<input type="text"/>	
<input type="text"/>	<input type="text"/>	<input type="text"/>	<input type="text"/>	<input type="text"/>	

Négatif

OA9785 - Clos de Roque - Saint-Maximin-la-Sainte-Baume - Var - 2011

Numéro de structure  Secteur  Type de structure

Date de fouille  Minutes

Photos

Points topographiques

X (Lambert III)  \* (m) Y (Lambert III)

Altitude supérieure  Altitude inférieure

forme en coupe  forme en plan

UPS de scellement  UPS encaissants

diamètre à l'ouverture\*  x  diamètre maximal\*

profondeur observée\*  Volume estimé (m3)

coupe ST  coupée par ST

Protocole de fouille   
Moitié Nord : fouille par passes manuelles

Notes sur la structure

Comblement  Datation

Légendes de la coupe

Prélèvements

Mobilier  Tamisage

Faune	Lithique	Céramique	Terre crue-cuite	Métal	Restes humains
<input type="text" value="08"/>	<input type="text" value="01"/>	<input type="text" value="29"/>	<input type="text"/>	<input type="text"/>	<input type="text"/>
Industrie osseuse	Macrolithique	Pierres (en g)	Parure	Autres	
<input type="text"/>	<input type="text"/>	<input type="text"/>	<input type="text"/>	<input type="text"/>	
Malacofaune	Microfaune	Carporestes	Anthracorestes	<input type="text"/>	
<input type="text" value="Présence"/>	<input type="text"/>	<input type="text"/>	<input type="text"/>	<input type="text"/>	

Négatif

OA9785 - Clos de Roque - Saint-Maximin-la-Sainte-Baume - Var - 2011

Numéro de structure  Secteur  Type de structure

Date de fouille  Minutes

Photos

Points topographiques

X (Lambert III)  \* (m) Y (Lambert III)

Altitude supérieure  Altitude inférieure

forme en coupe  forme en plan

UPS de scellement  UPS encaissants

diamètre à l'ouverture\*  x  diamètre maximal\*

profondeur observée\*  Volume estimé (m3)

coupe ST  coupée par ST

Protocole de fouille   
Moitié Nord : fouille par passes manuelles

Notes sur la structure

Comblement  Datation

Légendes de la coupe

Prélèvements

Mobilier  Tamisage

Faune	Lithique	Céramique	Terre crue-cuite	Métal	Restes humains
<input type="text"/>	<input type="text"/>	<input type="text"/>	<input type="text"/>	<input type="text"/>	<input type="text"/>
Industrie osseuse	Macrolithique	Pierres (en g)	Parure	Autres	
<input type="text"/>	<input type="text"/>	<input type="text"/>	<input type="text"/>	<input type="text"/>	
Malacofaune	Microfaune	Carporestes	Anthracorestes	<input type="text"/>	
<input type="text"/>	<input type="text"/>	<input type="text"/>	<input type="text"/>	<input type="text"/>	

Négatif

OA9785 - Clos de Roque - Saint-Maximin-la-Sainte-Baume - Var - 2011

Numéro de structure  Secteur  Type de structure

Date de fouille  Minutes

Photos

Points topographiques

X (Lambert III)  \* (m) Y (Lambert III)

Altitude supérieure  Altitude inférieure

forme en coupe  forme en plan

UPS de scellement  UPS encaissants

diamètre à l'ouverture\*  x  diamètre maximal\*

profondeur observée\*  Volume estimé (m3)

coupe ST  coupée par ST

Protocole de fouille   
Moitié Nord : fouille par passes manuelles

Notes sur la structure

Comblement  Datation

Légendes de la coupe

Prélèvements

Mobilier  Tamisage

Faune	Lithique	Céramique	Terre crue-cuite	Métal	Restes humains
<input type="text" value="16"/>	<input type="text" value="04"/>	<input type="text" value="24"/>	<input type="text"/>	<input type="text"/>	<input type="text"/>
Industrie osseuse	Macrolithique	Pierres (en g)	Parure	Autres	
<input type="text" value="Présence"/>	<input type="text"/>	<input type="text"/>	<input type="text"/>	<input type="text"/>	
Malacofaune	Microfaune	Carporestes	Anthracorestes	<input type="text"/>	
<input type="text"/>	<input type="text"/>	<input type="text"/>	<input type="text"/>	<input type="text"/>	

Annexe 3 - Le Clos de Roque, Saint-Maximin-la-Sainte-Baume (83). Inventaire des structures identifiées au décapage par fiches comprenant les indications des points topographiques, des minutes, des prélèvements et des photographies numériques de références.

<p>Négatif <input type="checkbox"/></p> <p style="text-align: center;">OA9785 - Clos de Roque - Saint-Maximin-la-Sainte-Baume - Var - 2011</p> <p>Numéro de structure <input type="text" value="ST2202"/> Secteur <input type="text" value="K05"/> Type de structure <input type="text" value="Fosse"/></p> <p>Date de fouille <input type="text" value="22/06/2011"/> Minutes <input type="text" value="448 - 449 - 450"/></p> <p>Photos <input type="text" value="1112 - 1118 - 1122"/></p> <p>Points topographiques <input type="text" value="PT0848 - PT4807 à PT4810 - PT4913 à PT4914 - PT4981 à PT4987"/></p> <p>X (Lambert III) <input type="text" value="885519.9"/> * (m) Y (Lambert III) <input type="text" value="134865.4"/></p> <p>Altitude supérieure <input type="text" value="286.13"/> Altitude inférieure <input type="text" value="285.97"/></p> <p>forme en coupe <input type="text" value="B2"/> forme en plan <input type="text" value="Circulaire"/></p> <p>UPS de scellement <input type="text" value="UPS2"/> UPS encaissants <input type="text" value="UPS3"/></p> <p>diamètre à l'ouverture* <input type="text" value="0.48"/> x <input type="text" value="0.41"/> diamètre maximal* <input type="text" value="0.48"/></p> <p>profondeur observée* <input type="text" value="0.16"/> Volume estimé (m3) <input type="text" value="0.0278"/></p> <p>coupe ST <input type="text" value=""/> coupée par ST <input type="text" value=""/></p> <p>Protocole de fouille <input type="text" value="Moitié Sud : fouille par passes manuelles"/> <input type="text" value="Moitié Nord : fouille par passes manuelles"/></p> <p>Notes sur la structure <input type="text" value="Fosse ou trou de poteau. Ce trou de poteau pourrait appartenir à un petit ensemble quadrangulaire, type grenier sur poteaux (Ensemble C)."/></p> <p>Comblement <input type="text" value="N-naturel"/> Datation <input type="text" value="Hallstatt prob"/></p> <p>Légendes de la coupe <input type="text" value="US1 : sédiment argilo-limoneux de couleur brun foncé, compact et homogène, racines et radicelles dans la partie supérieure, quelques charbons et nodules de terre cuite."/> <input type="text" value="US2 : mélange des sédiments de l'US1 et de l'UPS3."/></p> <p>Prélèvements <input type="text" value=""/></p> <p>Mobilier <input checked="" type="checkbox"/> Tamisage</p> <p>Faune <input type="text" value=""/> Lithique <input type="text" value=""/> Céramique <input type="text" value=""/> Terre crue-cuite <input type="text" value=""/> Métal <input type="text" value=""/> Restes humains <input type="text" value=""/></p> <p>Industrie osseuse <input type="text" value=""/> Macrolithique <input type="text" value=""/> Pierres (en g) <input type="text" value=""/> Parure <input type="text" value=""/> Autres <input type="text" value=""/></p> <p>Malacofaune <input type="text" value=""/> Microfaune <input type="text" value=""/> Carporesses <input type="text" value=""/> Anthracorestes <input type="text" value=""/></p> <p>Présence <input type="text" value=""/></p>	<p>Négatif <input type="checkbox"/></p> <p style="text-align: center;">OA9785 - Clos de Roque - Saint-Maximin-la-Sainte-Baume - Var - 2011</p> <p>Numéro de structure <input type="text" value="ST2203"/> Secteur <input type="text" value="K05"/> Type de structure <input type="text" value="Trou de poteau"/></p> <p>Date de fouille <input type="text" value="05/07/2011"/> Minutes <input type="text" value=""/></p> <p>Photos <input type="text" value=""/></p> <p>Points topographiques <input type="text" value="PT0849"/></p> <p>X (Lambert III) <input type="text" value="885519.36"/> * (m) Y (Lambert III) <input type="text" value="134868.15"/></p> <p>Altitude supérieure <input type="text" value="286.1"/> Altitude inférieure <input type="text" value="285.97"/></p> <p>forme en coupe <input type="text" value="B2"/> forme en plan <input type="text" value="Circulaire"/></p> <p>UPS de scellement <input type="text" value="UPS2"/> UPS encaissants <input type="text" value="UPS3"/></p> <p>diamètre à l'ouverture* <input type="text" value="0.48"/> x <input type="text" value=""/> diamètre maximal* <input type="text" value="0.48"/></p> <p>profondeur observée* <input type="text" value="0.13"/> Volume estimé (m3) <input type="text" value="0.0235"/></p> <p>coupe ST <input type="text" value=""/> coupée par ST <input type="text" value=""/></p> <p>Protocole de fouille <input type="text" value="Moitié Sud : fouille par passes manuelles"/> <input type="text" value="Moitié Nord : fouille par passes manuelles"/></p> <p>Notes sur la structure <input type="text" value="Fosse ou trou de poteau. Ce trou de poteau pourrait appartenir à un petit ensemble quadrangulaire, type grenier sur poteaux (Ensemble C)."/></p> <p>Comblement <input type="text" value="N-naturel"/> Datation <input type="text" value="Hallstatt prob"/></p> <p>Légendes de la coupe <input type="text" value="US1 : sédiment argilo-limoneux de couleur brun foncé à noirâtre, compact et homogène, racines et radicelles dans la partie supérieure."/> <input type="text" value="US2 : mélange des sédiments de l'US1 et de l'UPS3."/></p> <p>Prélèvements <input type="text" value=""/></p> <p>Mobilier <input type="checkbox"/> Tamisage</p> <p>Faune <input type="text" value=""/> Lithique <input type="text" value=""/> Céramique <input type="text" value=""/> Terre crue-cuite <input type="text" value=""/> Métal <input type="text" value=""/> Restes humains <input type="text" value=""/></p> <p>Industrie osseuse <input type="text" value=""/> Macrolithique <input type="text" value=""/> Pierres (en g) <input type="text" value=""/> Parure <input type="text" value=""/> Autres <input type="text" value=""/></p> <p>Malacofaune <input type="text" value=""/> Microfaune <input type="text" value=""/> Carporesses <input type="text" value=""/> Anthracorestes <input type="text" value=""/></p> <p>Présence <input type="text" value=""/></p>
<p>Négatif <input type="checkbox"/></p> <p style="text-align: center;">OA9785 - Clos de Roque - Saint-Maximin-la-Sainte-Baume - Var - 2011</p> <p>Numéro de structure <input type="text" value="ST2204"/> Secteur <input type="text" value="K05"/> Type de structure <input type="text" value="Fosse"/></p> <p>Date de fouille <input type="text" value="22/06/2011"/> Minutes <input type="text" value="486 - 487 - 488"/></p> <p>Photos <input type="text" value="1029 - 1039 - 1049"/></p> <p>Points topographiques <input type="text" value="PT0850 - PT4915 à PT4918 - PT4988 à PT4989 - PT5045 à PT5053"/></p> <p>X (Lambert III) <input type="text" value="885517.47"/> * (m) Y (Lambert III) <input type="text" value="134866.4"/></p> <p>Altitude supérieure <input type="text" value="286.12"/> Altitude inférieure <input type="text" value="286"/></p> <p>forme en coupe <input type="text" value="B2"/> forme en plan <input type="text" value="Circulaire"/></p> <p>UPS de scellement <input type="text" value="UPS2"/> UPS encaissants <input type="text" value="UPS3"/></p> <p>diamètre à l'ouverture* <input type="text" value="0.54"/> x <input type="text" value="0.45"/> diamètre maximal* <input type="text" value="0.54"/></p> <p>profondeur observée* <input type="text" value="0.12"/> Volume estimé (m3) <input type="text" value="0.0226"/></p> <p>coupe ST <input type="text" value=""/> coupée par ST <input type="text" value=""/></p> <p>Protocole de fouille <input type="text" value="Moitié Sud : fouille par passes manuelles"/> <input type="text" value="Moitié Nord : fouille par passes manuelles"/></p> <p>Notes sur la structure <input type="text" value="Fosse ou trou de poteau. Ce trou de poteau pourrait appartenir à un petit ensemble quadrangulaire, type grenier sur poteaux (Ensemble C)."/></p> <p>Comblement <input type="text" value="N-naturel"/> Datation <input type="text" value="Hallstatt prob"/></p> <p>Légendes de la coupe <input type="text" value="US1 : sédiment argilo-limoneux de couleur brun foncé à noirâtre, compact et homogène, racines et radicelles dans la partie supérieure."/> <input type="text" value="US2 : mélange des sédiments de l'US1 et de l'UPS3."/></p> <p>Prélèvements <input type="text" value=""/></p> <p>Mobilier <input checked="" type="checkbox"/> Tamisage</p> <p>Faune <input type="text" value=""/> Lithique <input type="text" value=""/> Céramique <input type="text" value=""/> Terre crue-cuite <input type="text" value=""/> Métal <input type="text" value=""/> Restes humains <input type="text" value=""/></p> <p>Industrie osseuse <input type="text" value=""/> Macrolithique <input type="text" value=""/> Pierres (en g) <input type="text" value=""/> Parure <input type="text" value=""/> Autres <input type="text" value=""/></p> <p>Malacofaune <input type="text" value=""/> Microfaune <input type="text" value=""/> Carporesses <input type="text" value=""/> Anthracorestes <input type="text" value=""/></p> <p>Présence <input type="text" value=""/></p>	<p>Négatif <input type="checkbox"/></p> <p style="text-align: center;">OA9785 - Clos de Roque - Saint-Maximin-la-Sainte-Baume - Var - 2011</p> <p>Numéro de structure <input type="text" value="ST2205"/> Secteur <input type="text" value="J05"/> Type de structure <input type="text" value="Fosse"/></p> <p>Date de fouille <input type="text" value="22/06/2011"/> Minutes <input type="text" value="130 - 131 - 132 - 133"/></p> <p>Photos <input type="text" value="0335 - 0338 à 0340 - 0342 - 0343"/></p> <p>Points topographiques <input type="text" value="PT0851 - PT2252 à PT2255 - PT2265 à PT2269 - PT2272 à PT2280"/></p> <p>X (Lambert III) <input type="text" value="885516.56"/> * (m) Y (Lambert III) <input type="text" value="134870.82"/></p> <p>Altitude supérieure <input type="text" value="286.12"/> Altitude inférieure <input type="text" value="285.98"/></p> <p>forme en coupe <input type="text" value="B2"/> forme en plan <input type="text" value="Ovale"/></p> <p>UPS de scellement <input type="text" value="UPS2"/> UPS encaissants <input type="text" value="UPS3"/></p> <p>diamètre à l'ouverture* <input type="text" value="0.48"/> x <input type="text" value="0.37"/> diamètre maximal* <input type="text" value="0.48"/></p> <p>profondeur observée* <input type="text" value="0.14"/> Volume estimé (m3) <input type="text" value="0.0203"/></p> <p>coupe ST <input type="text" value=""/> coupée par ST <input type="text" value="ST2254"/></p> <p>Protocole de fouille <input type="text" value="Moitié Sud : fouille par passes manuelles"/> <input type="text" value="Moitié Nord : fouille par passes manuelles"/></p> <p>Notes sur la structure <input type="text" value="Fosse sépulcrale recoupée par le fossé moderne ST2254. L'individu en place a été découpée latéralement et la partie supérieure a été soustraite par le labour profond"/></p> <p>Comblement <input type="text" value="A-anthropique"/> Datation <input type="text" value="Néolithique moyen VBQ"/></p> <p>Légendes de la coupe <input type="text" value="US1 : sédiment argilo-limoneux de couleur brun foncé à noirâtre, compact et homogène, racines et radicelles dans la partie supérieure."/> <input type="text" value="US2 : mélange des sédiments de l'US1 et de l'UPS3."/></p> <p>Prélèvements <input type="text" value=""/></p> <p>Mobilier <input checked="" type="checkbox"/> Tamisage</p> <p>Faune <input type="text" value=""/> Lithique <input type="text" value=""/> Céramique <input type="text" value="1"/> Terre crue-cuite <input type="text" value=""/> Métal <input type="text" value=""/> Restes humains <input type="text" value="présence"/></p> <p>Industrie osseuse <input type="text" value=""/> Macrolithique <input type="text" value=""/> Pierres (en g) <input type="text" value=""/> Parure <input type="text" value=""/> Autres <input type="text" value=""/></p> <p>Malacofaune <input type="text" value=""/> Microfaune <input type="text" value=""/> Carporesses <input type="text" value=""/> Anthracorestes <input type="text" value=""/></p> <p>Présence <input type="text" value=""/></p>

Annexe 3 - Le Clos de Roque, Saint-Maximin-la-Sainte-Baume (83). Inventaire des structures identifiées au décapage par fiches comprenant les indications des points topographiques, des minutes, des prélèvements et des photographies numériques de références.

<p>Négatif <input type="checkbox"/></p> <p>OA9785 - Clos de Roque - Saint-Maximin-la-Sainte-Baume - Var - 2011</p> <p>Numéro de structure <input type="text" value="ST2206"/> Secteur <input type="text" value="U05"/> Type de structure <input type="text" value="Fosse"/></p> <p>Date de fouille <input type="text" value="23/06/2011"/> Minutes <input type="text" value="518 - 519 - 520"/></p> <p>Photos <input type="text" value="0335 - 0338 à 0340 - 0342 - 0343"/></p> <p>Points topographiques <input type="text" value="PT0852 - PT5054 à PT5059 - PT5184 à PT5192"/></p> <p>X (Lambert III) <input type="text" value="885513.38"/> * (m) Y (Lambert III) <input type="text" value="134875.02"/></p> <p>Altitude supérieure <input type="text" value="286.11"/> Altitude inférieure <input type="text" value="285.98"/></p> <p>forme en coupe <input type="text" value="B2"/> forme en plan <input type="text" value="Ovulaire"/></p> <p>UPS de scellement <input type="text" value="UPS2"/> UPS encaissants <input type="text" value="UPS3"/></p> <p>diamètre à l'ouverture* <input type="text" value="0.6"/> x <input type="text" value="0.47"/> diamètre maximal* <input type="text" value="0.6"/></p> <p>profondeur observée* <input type="text" value="0.13"/> Volume estimé (m3) <input type="text" value="0.0287"/></p> <p>coupe ST <input type="text" value="coupée par ST"/></p> <p>Protocole de fouille <input type="text" value="Moitié Sud : fouille par passes manuelles&lt;br/&gt;Moitié Nord : fouille par passes manuelles"/></p> <p>Notes sur la structure <input type="text" value="Petite fosse sans matériel"/></p> <p>Comblement <input type="text" value="N-naturel"/> Datation <input type="text" value="Néo/Proto"/></p> <p>Légendes de la coupe <input type="text" value="US1 : sédiment argilo-limoneux de couleur brun foncé à noirâtre, compact et homogène, racines et radicelles dans la partie supérieure.&lt;br/&gt;US2 : mélange des sédiments de l'US1 et de l'UPS3."/></p> <p>Prélèvements <input type="text"/></p> <p>Mobilier <input type="checkbox"/> Tamisage</p> <p>Faune <input type="text"/> Lithique <input type="text"/> Céramique <input type="text"/> Terre crue-cuite <input type="text"/> Métal <input type="text"/> Restes humains <input type="text"/></p> <p>Industrie osseuse <input type="text"/> Macroolithique <input type="text"/> Pierres (en g) <input type="text"/> Parure <input type="text"/> Autres <input type="text"/></p> <p>Malacofaune <input type="text"/> Microfaune <input type="text"/> Carporesses <input type="text"/> Anthracorestes <input type="text"/></p> <p>Présence <input type="text"/></p>	<p>Négatif <input checked="" type="checkbox"/></p> <p>OA9785 - Clos de Roque - Saint-Maximin-la-Sainte-Baume - Var - 2011</p> <p>Numéro de structure <input type="text" value="ST2207"/> Secteur <input type="text" value="L07"/> Type de structure <input type="text" value="Dépression"/></p> <p>Date de fouille <input type="text" value="06/07/2011"/> Minutes <input type="text" value="725"/></p> <p>Photos <input type="text" value="1481"/></p> <p>Points topographiques <input type="text" value="PT0853 - PT7062 à PT7065"/></p> <p>X (Lambert III) <input type="text" value="885532.97"/> * (m) Y (Lambert III) <input type="text" value="134859.97"/></p> <p>Altitude supérieure <input type="text" value="286.18"/> Altitude inférieure <input type="text" value="286.12"/></p> <p>forme en coupe <input type="text" value="B2"/> forme en plan <input type="text" value="Ovulaire"/></p> <p>UPS de scellement <input type="text" value="UPS2"/> UPS encaissants <input type="text" value="UPS3"/></p> <p>diamètre à l'ouverture* <input type="text" value="0.45"/> x <input type="text" value="0.6"/> diamètre maximal* <input type="text" value="0.6"/></p> <p>profondeur observée* <input type="text" value="0.06"/> Volume estimé (m3) <input type="text"/></p> <p>coupe ST <input type="text" value="coupée par ST"/></p> <p>Protocole de fouille <input type="text" value="Moitié Sud : non fouillée&lt;br/&gt;Moitié Nord : fouille par passes manuelles"/></p> <p>Notes sur la structure <input type="text" value="Trace de labour plus profond"/></p> <p>Comblement <input type="text" value="N-naturel"/> Datation <input type="text" value="Néant"/></p> <p>Légendes de la coupe <input type="text" value="Sédiment limono-argileux brun, meuble à compact, quelques galets de 1 à 2 cm, radicelles."/></p> <p>Prélèvements <input type="text"/></p> <p>Mobilier <input type="checkbox"/> Tamisage</p> <p>Faune <input type="text"/> Lithique <input type="text"/> Céramique <input type="text"/> Terre crue-cuite <input type="text"/> Métal <input type="text"/> Restes humains <input type="text"/></p> <p>Industrie osseuse <input type="text"/> Macroolithique <input type="text"/> Pierres (en g) <input type="text"/> Parure <input type="text"/> Autres <input type="text"/></p> <p>Malacofaune <input type="text"/> Microfaune <input type="text"/> Carporesses <input type="text"/> Anthracorestes <input type="text"/></p> <p>Présence <input type="text"/></p>
<p>Négatif <input checked="" type="checkbox"/></p> <p>OA9785 - Clos de Roque - Saint-Maximin-la-Sainte-Baume - Var - 2011</p> <p>Numéro de structure <input type="text" value="ST2208"/> Secteur <input type="text" value="L07"/> Type de structure <input type="text" value="Terrier"/></p> <p>Date de fouille <input type="text" value="05/07/2011"/> Minutes <input type="text"/></p> <p>Photos <input type="text"/></p> <p>Points topographiques <input type="text" value="PT0854"/></p> <p>X (Lambert III) <input type="text" value="885532.16"/> * (m) Y (Lambert III) <input type="text" value="134857.79"/></p> <p>Altitude supérieure <input type="text" value="286.24"/> Altitude inférieure <input type="text" value="286.12"/></p> <p>forme en coupe <input type="text" value="B2"/> forme en plan <input type="text" value="Longiligne"/></p> <p>UPS de scellement <input type="text" value="UPS2"/> UPS encaissants <input type="text" value="UPS3"/></p> <p>diamètre à l'ouverture* <input type="text" value="0.35"/> x <input type="text" value="0.7"/> diamètre maximal* <input type="text" value="0.7"/></p> <p>profondeur observée* <input type="text" value="0.12"/> Volume estimé (m3) <input type="text"/></p> <p>coupe ST <input type="text" value="coupée par ST"/></p> <p>Protocole de fouille <input type="text" value="Moitié Sud : fouille par passes manuelles&lt;br/&gt;Moitié Nord : fouille par passes manuelles"/></p> <p>Notes sur la structure <input type="text" value="Terrier"/></p> <p>Comblement <input type="text" value="N-naturel"/> Datation <input type="text" value="Néant"/></p> <p>Légendes de la coupe <input type="text" value="Sédiment limono-argileux brun, meuble à compact, quelques galets de 1 à 2 cm, radicelles."/></p> <p>Prélèvements <input type="text"/></p> <p>Mobilier <input type="checkbox"/> Tamisage</p> <p>Faune <input type="text"/> Lithique <input type="text"/> Céramique <input type="text"/> Terre crue-cuite <input type="text"/> Métal <input type="text"/> Restes humains <input type="text"/></p> <p>Industrie osseuse <input type="text"/> Macroolithique <input type="text"/> Pierres (en g) <input type="text"/> Parure <input type="text"/> Autres <input type="text"/></p> <p>Malacofaune <input type="text"/> Microfaune <input type="text"/> Carporesses <input type="text"/> Anthracorestes <input type="text"/></p> <p>Présence <input type="text"/></p>	<p>Négatif <input type="checkbox"/></p> <p>OA9785 - Clos de Roque - Saint-Maximin-la-Sainte-Baume - Var - 2011</p> <p>Numéro de structure <input type="text" value="ST2209"/> Secteur <input type="text" value="L07"/> Type de structure <input type="text" value="Fosse"/></p> <p>Date de fouille <input type="text" value="02/06/2011"/> Minutes <input type="text" value="477 - 478 - 479 - 480 - 481 - 482"/></p> <p>Photos <input type="text" value="0366 - 0381 - 0477 - 0478 - 0529 à 0532 - 0570 à 0583 - 0585 à 0591 - 0593 à 0599 - 0601 à 0610 - 1043 à 1046"/></p> <p>Points topographiques <input type="text" value="PT0855 - PT2353 à PT2356 - PT2382 à PT2383 - PT3476 à PT3481 - PT3588 à PT3598 - PT3751 à PT3752 - PT5060 à PT5081"/></p> <p>X (Lambert III) <input type="text" value="885534.19"/> * (m) Y (Lambert III) <input type="text" value="134855.66"/></p> <p>Altitude supérieure <input type="text" value="286.29"/> Altitude inférieure <input type="text" value="285.57"/></p> <p>forme en coupe <input type="text" value="G"/> forme en plan <input type="text" value="Circulaire"/></p> <p>UPS de scellement <input type="text" value="UPS2"/> UPS encaissants <input type="text" value="UPS3"/></p> <p>diamètre à l'ouverture* <input type="text" value="1.80"/> x <input type="text" value="1.80"/> diamètre maximal* <input type="text" value="1.80"/></p> <p>profondeur observée* <input type="text" value="0.80"/> Volume estimé (m3) <input type="text" value="2.0358"/></p> <p>coupe ST <input type="text" value="coupée par ST"/></p> <p>Protocole de fouille <input type="text" value="Moitié Sud : fouille par passes manuelles&lt;br/&gt;Moitié Nord : fouille par passes manuelles"/></p> <p>Notes sur la structure <input type="text" value="Fosse sépulcrale circulaire, avec individu dans une logette latérale, opposée à une logette latérale vide&lt;br/&gt;calcaires brûlés"/></p> <p>Comblement <input type="text" value="A-anthropique"/> Datation <input type="text" value="Néolithique moyen VBQ"/></p> <p>Légendes de la coupe <input type="text" value="US1 : sédiment argilo-limoneux de couleur brun foncé à noirâtre, compact et homogène, racines et radicelles dans la partie supérieure.&lt;br/&gt;US2 : mélange des sédiments de l'US1 et de l'UPS3."/></p> <p>Prélèvements <input type="text" value="PRS8 (PT3752) : sédiment parasitologie&lt;br/&gt;PRS9 (PT3751) : sédiment parasitologie"/></p> <p>Mobilier <input checked="" type="checkbox"/> Tamisage</p> <p>Faune <input type="text" value="02"/> Lithique <input type="text" value="04"/> Céramique <input type="text" value="09"/> Terre crue-cuite <input type="text"/> Métal <input type="text"/> Restes humains <input type="text" value="présence"/></p> <p>Industrie osseuse <input type="text"/> Macroolithique <input type="text"/> Pierres (en g) <input type="text" value="401"/> Parure <input type="text"/> Autres <input type="text"/></p> <p>Malacofaune <input type="text"/> Microfaune <input type="text"/> Carporesses <input type="text"/> Anthracorestes <input type="text"/></p> <p>Présence <input type="text"/></p>

Annexe 3 - Le Clos de Roque, Saint-Maximin-la-Sainte-Baume (83). Inventaire des structures identifiées au décapage par fiches comprenant les indications des points topographiques, des minutes, des prélèvements et des photographies numériques de références.

Négatif

OA9785 - Clos de Roque - Saint-Maximin-la-Sainte-Baume - Var - 2011

Numéro de structure  Secteur  Type de structure

Date de fouille  Minutes

Photos

Points topographiques

X (Lambert III)  \* (m) Y (Lambert III)

Altitude supérieure  Altitude inférieure

forme en coupe  forme en plan

UPS de scellement  UPS encaissants

diamètre à l'ouverture\*  x  diamètre maximal\*

profondeur observée\*  Volume estimé (m3)

coupe ST  coupée par ST

Protocole de fouille

Notes sur la structure

Comblement  Datation

Légendes de la coupe

Prélèvements

Mobilier  Tamisage

Faune	Lithique	Céramique	Terre crue-cuite	Métal	Restes humains
<input type="text"/>	<input type="text"/>	<input type="text"/>	<input type="text"/>	<input type="text"/>	<input type="text"/>
Industrie osseuse	Macrolithique	Pierres (en g)	Parure	Autres	
<input type="text"/>	<input type="text"/>	<input type="text"/>	<input type="text"/>	<input type="text"/>	
Malacofaune	Microfaune	Carpocestes	Anthracoccestes		
<input type="text"/>	<input type="text"/>	<input type="text"/>	<input type="text"/>		

Négatif

OA9785 - Clos de Roque - Saint-Maximin-la-Sainte-Baume - Var - 2011

Numéro de structure  Secteur  Type de structure

Date de fouille  Minutes

Photos

Points topographiques

X (Lambert III)  \* (m) Y (Lambert III)

Altitude supérieure  Altitude inférieure

forme en coupe  forme en plan

UPS de scellement  UPS encaissants

diamètre à l'ouverture\*  x  diamètre maximal\*

profondeur observée\*  Volume estimé (m3)

coupe ST  coupée par ST

Protocole de fouille

Notes sur la structure

Comblement  Datation

Légendes de la coupe

Prélèvements

Mobilier  Tamisage

Faune	Lithique	Céramique	Terre crue-cuite	Métal	Restes humains
<input type="text"/>	<input type="text"/>	<input type="text"/>	<input type="text"/>	<input type="text"/>	<input type="text"/>
Industrie osseuse	Macrolithique	Pierres (en g)	Parure	Autres	
<input type="text"/>	<input type="text"/>	<input type="text"/>	<input type="text"/>	<input type="text"/>	
Malacofaune	Microfaune	Carpocestes	Anthracoccestes		
<input type="text"/>	<input type="text"/>	<input type="text"/>	<input type="text"/>		

Négatif

OA9785 - Clos de Roque - Saint-Maximin-la-Sainte-Baume - Var - 2011

Numéro de structure  Secteur  Type de structure

Date de fouille  Minutes

Photos

Points topographiques

X (Lambert III)  \* (m) Y (Lambert III)

Altitude supérieure  Altitude inférieure

forme en coupe  forme en plan

UPS de scellement  UPS encaissants

diamètre à l'ouverture\*  x  diamètre maximal\*

profondeur observée\*  Volume estimé (m3)

coupe ST  coupée par ST

Protocole de fouille

Notes sur la structure

Comblement  Datation

Légendes de la coupe

Prélèvements

Mobilier  Tamisage

Faune	Lithique	Céramique	Terre crue-cuite	Métal	Restes humains
<input type="text"/>	<input type="text"/>	<input type="text"/>	<input type="text"/>	<input type="text"/>	<input type="text"/>
Industrie osseuse	Macrolithique	Pierres (en g)	Parure	Autres	
<input type="text"/>	<input type="text"/>	<input type="text"/>	<input type="text"/>	<input type="text"/>	
Malacofaune	Microfaune	Carpocestes	Anthracoccestes		
<input type="text"/>	<input type="text"/>	<input type="text"/>	<input type="text"/>		

Négatif

OA9785 - Clos de Roque - Saint-Maximin-la-Sainte-Baume - Var - 2011

Numéro de structure  Secteur  Type de structure

Date de fouille  Minutes

Photos

Points topographiques

X (Lambert III)  \* (m) Y (Lambert III)

Altitude supérieure  Altitude inférieure

forme en coupe  forme en plan

UPS de scellement  UPS encaissants

diamètre à l'ouverture\*  x  diamètre maximal\*

profondeur observée\*  Volume estimé (m3)

coupe ST  coupée par ST

Protocole de fouille

Notes sur la structure

Comblement  Datation

Légendes de la coupe

Prélèvements

Mobilier  Tamisage

Faune	Lithique	Céramique	Terre crue-cuite	Métal	Restes humains
<input type="text"/>	<input type="text"/>	<input type="text"/>	<input type="text"/>	<input type="text"/>	<input type="text"/>
Industrie osseuse	Macrolithique	Pierres (en g)	Parure	Autres	
<input type="text"/>	<input type="text"/>	<input type="text"/>	<input type="text"/>	<input type="text"/>	
Malacofaune	Microfaune	Carpocestes	Anthracoccestes		
<input type="text"/>	<input type="text"/>	<input type="text"/>	<input type="text"/>		

Annexe 3 - Le Clos de Roque, Saint-Maximin-la-Sainte-Baume (83). Inventaire des structures identifiées au décapage par fiches comprenant les indications des points topographiques, des minutes, des prélèvements et des photographies numériques de références.

Négatif

OA9785 - Clos de Roque - Saint-Maximin-la-Sainte-Baume - Var - 2011

Numéro de structure ST2214 Secteur L07 Type de structure Fosse

Date de fouille 08/06/2011 Minutes 257 - 258 - 259

Photos 0488 - 0500 - 0509

Points topographiques PT0860 - PT3023 - PT3063 à PT3064 - PT3116 à PT3135

X (Lambert III) 885530.1 \* (m) Y (Lambert III) 134850.16

Altitude supérieure 286.27 Altitude inférieure 286.1

forme en coupe B2 forme en plan Ovale

UPS de scellement UPS2 UPS encaissants UPS3

diamètre à l'ouverture\* 1.3 x 0.72 diamètre maximal\* 1.3

profondeur observée\* 0.17 Volume estimé (m3) 0.1591

coupe ST coupe par ST

Protocole de fouille Moitié Sud : fouille par passes manuelles  
Moitié Nord : fouille par passes manuelles

Notes sur la structure Fosse ovale ayant livré peu de matériel

Comblement N-naturel Datation Néo/Proto

Légendes de la coupe US1 : sédiment argilo-limoneux de couleur brun foncé à noirâtre, compact et homogène, racines et radicelles dans la partie supérieure, quelques charbons millimétriques, nodules de terre cuite et quelques tessons modelés.  
US2 : mélange des sédiments de l'US1 et de l'UPS3.

Prélèvements

Mobilier  Tamisage

Faune	Lithique	Céramique	Terre crue-cuite	Métal	Restes humains
		03	Présence		
Industrie osseuse	Macrolithique	Pierres (en g)	Parure	Autres	
Malacofaune	Microfaune	Carporesses	Anthracorestes		
Présence					

Négatif

OA9785 - Clos de Roque - Saint-Maximin-la-Sainte-Baume - Var - 2011

Numéro de structure ST2215 Secteur L07 Type de structure Fosse

Date de fouille 09/06/2011 Minutes 435 - 436 - 437 - 438 - 439

Photos 0523 - 0549 - 0550 - 0750 à 0778 - 0830 - 0831 - 0941 - 1010

Points topographiques PT0861 - PT3151 à PT3156 - PT4079 à PT4087 - PT4676 à PT4678 - PT4874 à PT4912

X (Lambert III) 885526.66 \* (m) Y (Lambert III) 134849.25

Altitude supérieure 286.28 Altitude inférieure 285.98

forme en coupe B3 forme en plan Ovale

UPS de scellement UPS2 UPS encaissants UPS3

diamètre à l'ouverture\* 1.44 x 1.6 diamètre maximal\* 1.6

profondeur observée\* 0.30 Volume estimé (m3) 0.5444

coupe ST coupe par ST

Protocole de fouille Moitié Sud : fouille par passes manuelles  
Moitié Nord : fouille par passes manuelles

Notes sur la structure Fosse sépulcrale avec individu dans fosse réaménagé pour accueillir le cadavre qui repose sur l'US2 et est recouvert par l'US1. Fosse recoupée par le fossé moderne ST2257 calcaires et calcites brûlées dans US2

Comblement AN-anthropique et Datation Néolithique moyen VBQ

Légendes de la coupe US1 : sédiment argilo-limoneux de couleur brun foncé, compact et homogène, racines et radicelles dans la partie supérieure, quelques charbons millimétriques.  
US2 : sédiment argilo-limoneux de couleur brun foncé, compact et homogène, nombreux charbons millimétriques, quelques nodules de terre cuite, nombreuses radicelles, cailloux de 2 à 5 cm.  
US3 : mélange des sédiments de l'US2 et de l'UPS3.

Prélèvements PR60 (PT3890) : sédiment parasito au niveau de l'estomac

Mobilier  Tamisage

Faune	Lithique	Céramique	Terre crue-cuite	Métal	Restes humains
214	20	39			présence
Industrie osseuse	Macrolithique	Pierres (en g)	Parure	Autres	
		1250			
Malacofaune	Microfaune	Carporesses	Anthracorestes		
Présence					

Négatif

OA9785 - Clos de Roque - Saint-Maximin-la-Sainte-Baume - Var - 2011

Numéro de structure ST2216 Secteur M07 Type de structure Dépression

Date de fouille 14/06/2011 Minutes

Photos

Points topographiques PT0862

X (Lambert III) 885531.35 \* (m) Y (Lambert III) 134846.42

Altitude supérieure 286.29 Altitude inférieure 286.18

forme en coupe forme en plan

UPS de scellement UPS2 UPS encaissants UPS3

diamètre à l'ouverture\* x diamètre maximal\*

profondeur observée\* Volume estimé (m3)

coupe ST coupe par ST

Protocole de fouille Moitié Sud : fouille par passes manuelles  
Moitié Nord : fouille par passes manuelles

Notes sur la structure Sillon de labour profond moderne

Comblement N-naturel Datation Néant

Légendes de la coupe US1 : sédiment limoneux de couleur brun, meuble et homogène, quelques galets de 1 à 3 cm, radicelles abondantes.

Prélèvements

Mobilier  Tamisage

Faune	Lithique	Céramique	Terre crue-cuite	Métal	Restes humains
Industrie osseuse	Macrolithique	Pierres (en g)	Parure	Autres	
Malacofaune	Microfaune	Carporesses	Anthracorestes		

Négatif

OA9785 - Clos de Roque - Saint-Maximin-la-Sainte-Baume - Var - 2011

Numéro de structure ST2217 Secteur M07 Type de structure Fosse

Date de fouille 08/06/2011 Minutes 269 - 270 - 271

Photos 0538 - 0545 - 0548

Points topographiques PT0863 - PT3221 à PT3224 - PT3332 à PT3343

X (Lambert III) 885533.86 \* (m) Y (Lambert III) 134846.33

Altitude supérieure 286.36 Altitude inférieure 286.25

forme en coupe B2 forme en plan Circulaire

UPS de scellement UPS2 UPS encaissants UPS3

diamètre à l'ouverture\* 1.34 x 0.95 diamètre maximal\* 1.34

profondeur observée\* 0.11 Volume estimé (m3) 0.1143

coupe ST coupe par ST

Protocole de fouille Moitié Sud : fouille par passes manuelles  
Moitié Nord : fouille par passes manuelles

Notes sur la structure Fosse

Comblement N-naturel Datation Néo/Proto

Légendes de la coupe US1 : sédiment argilo-limoneux de couleur brun foncé à noirâtre, compact et homogène, racines et radicelles dans la partie supérieure.  
US2 : mélange des sédiments de l'US1 et de l'UPS3.

Prélèvements

Mobilier  Tamisage

Faune	Lithique	Céramique	Terre crue-cuite	Métal	Restes humains
1					
Industrie osseuse	Macrolithique	Pierres (en g)	Parure	Autres	
Malacofaune	Microfaune	Carporesses	Anthracorestes		
Présence					

Annexe 3 - Le Clos de Roque, Saint-Maximin-la-Sainte-Baume (83). Inventaire des structures identifiées au décapage par fiches comprenant les indications des points topographiques, des minutes, des prélèvements et des photographies numériques de références.

Négatif <input checked="" type="checkbox"/> OA9785 - Clos de Roque - Saint-Maximin-la-Sainte-Baume - Var - 2011		Négatif <input checked="" type="checkbox"/> OA9785 - Clos de Roque - Saint-Maximin-la-Sainte-Baume - Var - 2011	
Numéro de structure <input type="text" value="ST2218"/> Secteur <input type="text" value="M07"/> Type de structure <input type="text" value="Dépression"/>	Numéro de structure <input type="text" value="ST2219"/> Secteur <input type="text" value="M07"/> Type de structure <input type="text" value="Dépression"/>	Numéro de structure <input type="text" value="ST2220"/> Secteur <input type="text" value="M07"/> Type de structure <input type="text" value="Dépression"/>	Numéro de structure <input type="text" value="ST2221"/> Secteur <input type="text" value="M07"/> Type de structure <input type="text" value="Dépression"/>
Date de fouille <input type="text" value="14/06/2011"/> Minutes <input type="text"/>	Date de fouille <input type="text" value="14/06/2011"/> Minutes <input type="text"/>	Date de fouille <input type="text" value="14/06/2011"/> Minutes <input type="text"/>	Date de fouille <input type="text" value="14/06/2011"/> Minutes <input type="text"/>
Points topographiques <input type="text" value="PT0864"/>		Points topographiques <input type="text" value="PT0865"/>	
X (Lambert III) <input type="text" value="885534.85"/> * (m) Y (Lambert III) <input type="text" value="134844.9"/>	X (Lambert III) <input type="text" value="885534.38"/> * (m) Y (Lambert III) <input type="text" value="134843.21"/>	X (Lambert III) <input type="text" value="885534.22"/> * (m) Y (Lambert III) <input type="text" value="134841.29"/>	X (Lambert III) <input type="text" value="885534.25"/> * (m) Y (Lambert III) <input type="text" value="134838.89"/>
Altitude supérieure <input type="text" value="286.37"/> Altitude inférieure <input type="text" value="286.23"/>	Altitude supérieure <input type="text" value="286.34"/> Altitude inférieure <input type="text" value="286.27"/>	Altitude supérieure <input type="text" value="286.36"/> Altitude inférieure <input type="text" value="286.24"/>	Altitude supérieure <input type="text" value="286.28"/> Altitude inférieure <input type="text" value="286.27"/>
forme en coupe <input type="text"/> forme en plan <input type="text"/>	forme en coupe <input type="text"/> forme en plan <input type="text"/>	forme en coupe <input type="text"/> forme en plan <input type="text"/>	forme en coupe <input type="text"/> forme en plan <input type="text"/>
UPS de scellement <input type="text" value="UPS2"/> UPS encaissants <input type="text" value="UPS3"/>	UPS de scellement <input type="text" value="UPS2"/> UPS encaissants <input type="text" value="UPS3"/>	UPS de scellement <input type="text" value="UPS2"/> UPS encaissants <input type="text" value="UPS3"/>	UPS de scellement <input type="text" value="UPS2"/> UPS encaissants <input type="text" value="UPS3"/>
diamètre à l'ouverture* <input type="text"/> x <input type="text"/> diamètre maximal* <input type="text"/>	diamètre à l'ouverture* <input type="text"/> x <input type="text"/> diamètre maximal* <input type="text"/>	diamètre à l'ouverture* <input type="text"/> x <input type="text"/> diamètre maximal* <input type="text"/>	diamètre à l'ouverture* <input type="text"/> x <input type="text"/> diamètre maximal* <input type="text"/>
profondeur observée* <input type="text"/> Volume estimé (m3) <input type="text"/>	profondeur observée* <input type="text"/> Volume estimé (m3) <input type="text"/>	profondeur observée* <input type="text"/> Volume estimé (m3) <input type="text"/>	profondeur observée* <input type="text"/> Volume estimé (m3) <input type="text"/>
coupe ST <input type="text"/> coupée par ST <input type="text"/>	coupe ST <input type="text"/> coupée par ST <input type="text"/>	coupe ST <input type="text"/> coupée par ST <input type="text"/>	coupe ST <input type="text"/> coupée par ST <input type="text"/>
Protocole de fouille <input type="text" value="Moitié Sud : fouille par passes manuelles"/>		Protocole de fouille <input type="text" value="Moitié Sud : fouille par passes manuelles"/>	
Protocole de fouille <input type="text" value="Moitié Nord : fouille par passes manuelles"/>		Protocole de fouille <input type="text" value="Moitié Nord : fouille par passes manuelles"/>	
Notes sur la structure <input type="text" value="Sillon de labour profond moderne"/>		Notes sur la structure <input type="text" value="Sillon de labour profond moderne"/>	
Remplissage <input type="text" value="N-naturel"/> Datation <input type="text" value="Néant"/>		Remplissage <input type="text" value="N-naturel"/> Datation <input type="text" value="Néant"/>	
Légendes de la coupe <input type="text" value="US1 : sédiment limoneux de couleur brun, meuble et homogène, quelques galets de 1 à 3 cm, racielles abondantes."/>		Légendes de la coupe <input type="text" value="US1 : sédiment limoneux de couleur brun, meuble et homogène, quelques galets de 1 à 3 cm, racielles abondantes."/>	
Prélèvements <input type="text"/>		Prélèvements <input type="text"/>	
Mobilier <input type="checkbox"/> Tamisage <input type="checkbox"/> Restes humains <input type="checkbox"/>		Mobilier <input type="checkbox"/> Tamisage <input type="checkbox"/> Restes humains <input type="checkbox"/>	
Faune <input type="text"/> Lithique <input type="text"/> Céramique <input type="text"/> Terre crue-cuite <input type="text"/> Métal <input type="text"/>	Faune <input type="text"/> Lithique <input type="text"/> Céramique <input type="text"/> Terre crue-cuite <input type="text"/> Métal <input type="text"/>	Faune <input type="text"/> Lithique <input type="text"/> Céramique <input type="text"/> Terre crue-cuite <input type="text"/> Métal <input type="text"/>	Faune <input type="text"/> Lithique <input type="text"/> Céramique <input type="text"/> Terre crue-cuite <input type="text"/> Métal <input type="text"/>
Industrie osseuse <input type="text"/> Macrolithique <input type="text"/> Pierres (en g) <input type="text"/> Parure <input type="text"/> Autres <input type="text"/>	Industrie osseuse <input type="text"/> Macrolithique <input type="text"/> Pierres (en g) <input type="text"/> Parure <input type="text"/> Autres <input type="text"/>	Industrie osseuse <input type="text"/> Macrolithique <input type="text"/> Pierres (en g) <input type="text"/> Parure <input type="text"/> Autres <input type="text"/>	Industrie osseuse <input type="text"/> Macrolithique <input type="text"/> Pierres (en g) <input type="text"/> Parure <input type="text"/> Autres <input type="text"/>
Malacofaune <input type="text"/> Microfaune <input type="text"/> Carpocestes <input type="text"/> Anthracocrestes <input type="text"/>	Malacofaune <input type="text"/> Microfaune <input type="text"/> Carpocestes <input type="text"/> Anthracocrestes <input type="text"/>	Malacofaune <input type="text"/> Microfaune <input type="text"/> Carpocestes <input type="text"/> Anthracocrestes <input type="text"/>	Malacofaune <input type="text"/> Microfaune <input type="text"/> Carpocestes <input type="text"/> Anthracocrestes <input type="text"/>

Annexe 3 - Le Clos de Roque, Saint-Maximin-la-Sainte-Baume (83). Inventaire des structures identifiées au décapage par fiches comprenant les indications des points topographiques, des minutes, des prélèvements et des photographies numériques de références.

Négatif

OA9785 - Clos de Roque - Saint-Maximin-la-Sainte-Baume - Var - 2011

Numéro de structure ST2222 Secteur M07 Type de structure Dépression

Date de fouille 14/06/2011 Minutes

Points topographiques PT0868

X (Lambert III) 885530.48 \* (m) Y (Lambert III) 134843.89

Altitude supérieure 286.37 Altitude inférieure 286.23

forme en coupe forme en plan

UPS de scellement UPS2 UPS encaissants UPS3

diamètre à l'ouverture\* x diamètre maximal\* diamètre maximal\*

profondeur observée\* Volume estimé (m3)

coupe ST coupée par ST

Protocole de fouille Moitié Sud : fouille par passes manuelles  
Moitié Nord : fouille par passes manuelles

Notes sur la structure Sillon de labour profond moderne

Comblement N-naturel Datation Néant

Légendes de la coupe US1 : sédiment limoneux de couleur brun, meuble et homogène, quelques galets de 1 à 3 cm, racielles abondantes.

Prélèvements

Mobilier  Tamisage Restes humains

Faune Lithique Céramique Terre crue-cuite Métal

Industrie osseuse Macrolithique Pierres (en g) Parure Autres

Malacofaune Microfaune Carporesses Anthracorestes

Négatif

OA9785 - Clos de Roque - Saint-Maximin-la-Sainte-Baume - Var - 2011

Numéro de structure ST2223 Secteur M06 Type de structure Dépression

Date de fouille 14/06/2011 Minutes

Points topographiques PT0869

X (Lambert III) 885526.94 \* (m) Y (Lambert III) 134844.22

Altitude supérieure 286.32 Altitude inférieure 286.26

forme en coupe forme en plan

UPS de scellement UPS2 UPS encaissants UPS3

diamètre à l'ouverture\* x diamètre maximal\* diamètre maximal\*

profondeur observée\* Volume estimé (m3)

coupe ST coupée par ST

Protocole de fouille Moitié Sud : fouille par passes manuelles  
Moitié Nord : fouille par passes manuelles

Notes sur la structure Sillon de labour profond moderne

Comblement N-naturel Datation Néant

Légendes de la coupe US1 : sédiment limoneux de couleur brun, meuble et homogène, quelques galets de 1 à 3 cm, racielles abondantes.

Prélèvements

Mobilier  Tamisage Restes humains

Faune Lithique Céramique Terre crue-cuite Métal

Industrie osseuse Macrolithique Pierres (en g) Parure Autres

Malacofaune Microfaune Carporesses Anthracorestes

Négatif

OA9785 - Clos de Roque - Saint-Maximin-la-Sainte-Baume - Var - 2011

Numéro de structure ST2224 Secteur M05 Type de structure Fosse

Date de fouille 07/07/2011 Minutes 768 - 769 - 770 - 771 - 772

Photos 1572 - 1585 - 1628 à 1651

Points topographiques PT0870 - PT4171 à PT4178 - PT7402 à PT7410 - PT7433 à PT7434 - PT7606 à PT7631

X (Lambert III) 885519.39 \* (m) Y (Lambert III) 134845.88

Altitude supérieure 286.29 Altitude inférieure 286.25

forme en coupe F1 forme en plan Ovale

UPS de scellement UPS2 UPS encaissants UPS3

diamètre à l'ouverture\* 1.11 x 0.98 diamètre maximal\* 1.11

profondeur observée\* 0.60 Volume estimé (m3) 0.5097

coupe ST coupée par ST

Protocole de fouille Moitié Sud : fouille par passes mécaniques pour la partie haute, manuelles partie basse  
Moitié Nord : fouille par passes manuelles

Notes sur la structure Fosse avec un individu épars répandu au fond. Une grosse pierre présente, sans doute déposé en même temps que l'individu calcaires et calcites brûlées dont 1 bloc (16000g)

Comblement A-anthropique Datation Néolithique moyen VBQ

Légendes de la coupe US1 : sédiment argilo-limoneux de couleur brun foncé à noirâtre, compact et homogène, racines et racielles dans la partie supérieure, nodules de terre cuite et charbons millimétriques, cailloux de 1 à 5 cm.  
US2 : mélange des sédiments de l'US1 et de l'UPS3, sur seulement l'un des bords.

Prélèvements PR209 (PT7434) : sédiment malacologie  
PR211 (PT7612) : sédiment malacologie

Mobilier  Tamisage Restes humains

Faune Lithique Céramique Terre crue-cuite Métal

Industrie osseuse Macrolithique Pierres (en g) Parure Autres

Malacofaune Microfaune Carporesses Anthracorestes

Présence

Négatif

OA9785 - Clos de Roque - Saint-Maximin-la-Sainte-Baume - Var - 2011

Numéro de structure ST2225 Secteur M05 Type de structure Fosse

Date de fouille 29/06/2011 Minutes 722 - 723 - 724

Photos 1325 - 1326 - 1412 à 1420 - 1502

Points topographiques PT0871 - PT6336 à PT6339 - PT6569 - PT6617 - PT6651 - PT6739 à PT6740 - PT6861 à PT6867 - PT6886 à PT6887 - PT6910 - PT7117 à PT7129

X (Lambert III) 885517.29 \* (m) Y (Lambert III) 134847.3

Altitude supérieure 286.25 Altitude inférieure 285.77

forme en coupe F1 forme en plan Ovale

UPS de scellement UPS2 UPS encaissants UPS3

diamètre à l'ouverture\* 1.66 x 1.45 diamètre maximal\* 1.66

profondeur observée\* 0.48 Volume estimé (m3) 0.7926

coupe ST coupée par ST ST2257

Protocole de fouille Moitié Sud : fouille par passes manuelles  
Moitié Nord : fouille par passes manuelles

Notes sur la structure Fosse contenant de nombreux ossements animaux, bucranes et mandibules de bovidés, dans le fond de la structure. Fosse recoupée légèrement au nord par un fossé moderne, la ST2257, calcaires et calcites brûlées

Comblement AN-anthropique et Datation Néolithique moyen VBQ

Légendes de la coupe US1 : sédiment argilo-limoneux de couleur brun foncé à noirâtre, compact et homogène, racines et racielles dans la partie supérieure, cailloux de 1 à 5 cm, quelques charbons millimétriques et poches cendreuse au niveau des ossements.  
US2 : mélange des sédiments de l'US1 et de l'UPS3.

Prélèvements PR171 (PT6739) : sédiment malacologie

Mobilier  Tamisage Restes humains

Faune Lithique Céramique Terre crue-cuite Métal

Industrie osseuse Macrolithique Pierres (en g) Parure Autres

Malacofaune Microfaune Carporesses Anthracorestes

Présence

Annexe 3 - Le Clos de Roque, Saint-Maximin-la-Sainte-Baume (83). Inventaire des structures identifiées au décapage par fiches comprenant les indications des points topographiques, des minutes, des prélèvements et des photographies numériques de références.

<p>Négatif <input type="checkbox"/></p> <p style="text-align: center;">OA9785 - Clos de Roque - Saint-Maximin-la-Sainte-Baume - Var - 2011</p> <p>Numéro de structure <input type="text" value="ST2226"/> Secteur <input type="text" value="M05"/> Type de structure <input type="text" value="Fosse"/></p> <p>Date de fouille <input type="text" value="06/06/2011"/> Minutes <input type="text" value="214 - 215 - 216"/></p> <p>Photos <input type="text" value="0439 - 0440 - 0464"/></p> <p>Points topographiques <input type="text" value="PT0872 - PT2743 à PT2746 - PT2909 à PT2920"/></p> <p>X (Lambert III) <input type="text" value="885517.19"/> * (m) Y (Lambert III) <input type="text" value="134849.71"/></p> <p>Altitude supérieure <input type="text" value="286.23"/> Altitude inférieure <input type="text" value="286"/></p> <p>forme en coupe <input type="text" value="B2"/> forme en plan <input type="text" value="Circulaire"/></p> <p>UPS de scellement <input type="text" value="UPS2"/> UPS encaissants <input type="text" value="UPS3"/></p> <p>diamètre à l'ouverture* <input type="text" value="1.4"/> x <input type="text" value=""/> diamètre maximal* <input type="text" value="1.4"/></p> <p>profondeur observée* <input type="text" value="0.23"/> Volume estimé (m3) <input type="text" value="0.3541"/></p> <p>coupe ST <input type="text" value="ST2257"/> coupée par ST</p> <p>Protocole de fouille <input type="text" value="Moitié Nord : fouille par passes manuelles"/></p> <p>Notes sur la structure <input type="text" value="Fosse recoupée par moitié par la ST2257, fossé moderne. calcaires et calottes brûlées"/></p> <p>Comblement <input type="text" value="AN-anthropique et"/> Datation <input type="text" value="Néolithique moyen VBQ"/></p> <p>Légendes de la coupe <input type="text" value="US1 : sédiment argilo-limoneux de couleur brun foncé à noirâtre, compact et homogène, racines et radicelles dans la partie supérieure, avec quelques cailloux de 1 à 5 cm, quelques charbons millimétriques. US2 : mélange des sédiments de l'US1 et de l'UPS3."/></p> <p>Prélèvements <input type="text"/></p> <p>Mobilier <input checked="" type="checkbox"/> Tamisage</p> <table border="1" style="width:100%; border-collapse: collapse;"> <tr> <td>Faune <input type="text" value="36"/></td> <td>Lithique <input type="text" value="03"/></td> <td>Céramique <input type="text" value="05"/></td> <td>Terre crue-cuite <input type="text"/></td> <td>Métal <input type="text"/></td> <td>Restes humains <input type="text"/></td> </tr> <tr> <td>Industrie osseuse <input type="text"/></td> <td>Macrolithique <input type="text" value="Frgt meules (2)"/></td> <td>Pierres (en g) <input type="text" value="2246"/></td> <td>Parure <input type="text"/></td> <td colspan="2">Autres <input type="text"/></td> </tr> <tr> <td>Malacofaune <input type="text"/></td> <td>Microfaune <input type="text"/></td> <td>Carporesses <input type="text"/></td> <td>Anthracorestes <input type="text"/></td> <td colspan="2"></td> </tr> <tr> <td>Présence <input type="text"/></td> <td></td> <td></td> <td></td> <td colspan="2"></td> </tr> </table>	Faune <input type="text" value="36"/>	Lithique <input type="text" value="03"/>	Céramique <input type="text" value="05"/>	Terre crue-cuite <input type="text"/>	Métal <input type="text"/>	Restes humains <input type="text"/>	Industrie osseuse <input type="text"/>	Macrolithique <input type="text" value="Frgt meules (2)"/>	Pierres (en g) <input type="text" value="2246"/>	Parure <input type="text"/>	Autres <input type="text"/>		Malacofaune <input type="text"/>	Microfaune <input type="text"/>	Carporesses <input type="text"/>	Anthracorestes <input type="text"/>			Présence <input type="text"/>						<p>Négatif <input type="checkbox"/></p> <p style="text-align: center;">OA9785 - Clos de Roque - Saint-Maximin-la-Sainte-Baume - Var - 2011</p> <p>Numéro de structure <input type="text" value="ST2227"/> Secteur <input type="text" value="L05"/> Type de structure <input type="text" value="Fosse"/></p> <p>Date de fouille <input type="text" value="06/06/2011"/> Minutes <input type="text" value="169 - 170 - 171"/></p> <p>Photos <input type="text" value="0408 - 0409 - 0426"/></p> <p>Points topographiques <input type="text" value="PT0873 - PT2556 à PT2559 - PT2619 à PT2631"/></p> <p>X (Lambert III) <input type="text" value="885514.61"/> * (m) Y (Lambert III) <input type="text" value="134854.27"/></p> <p>Altitude supérieure <input type="text" value="286.17"/> Altitude inférieure <input type="text" value="286"/></p> <p>forme en coupe <input type="text" value="B2"/> forme en plan <input type="text" value="Circulaire"/></p> <p>UPS de scellement <input type="text" value="UPS2"/> UPS encaissants <input type="text" value="UPS3"/></p> <p>diamètre à l'ouverture* <input type="text" value="1.5"/> x <input type="text" value=""/> diamètre maximal* <input type="text" value="1.5"/></p> <p>profondeur observée* <input type="text" value="0.16"/> Volume estimé (m3) <input type="text" value="0.2827"/></p> <p>coupe ST <input type="text" value="ST2256"/> coupée par ST</p> <p>Protocole de fouille <input type="text" value="Moitié Sud : fouille par passes manuelles"/></p> <p>Notes sur la structure <input type="text" value="Fosse recoupée par moitié par la ST2256, fossé moderne. calcaires brûlées. NMI VBQ?"/></p> <p>Comblement <input type="text" value="AN-anthropique et"/> Datation <input type="text" value="Néolithique moyen VBQ"/></p> <p>Légendes de la coupe <input type="text" value="US1 : sédiment argilo-limoneux de couleur brun foncé à noirâtre, compact et homogène, racines et radicelles dans la partie supérieure, avec quelques cailloux de 3 à 5 cm, quelques charbons millimétriques à centimétriques. US2 : mélange des sédiments de l'US1 et de l'UPS3."/></p> <p>Prélèvements <input type="text"/></p> <p>Mobilier <input checked="" type="checkbox"/> Tamisage</p> <table border="1" style="width:100%; border-collapse: collapse;"> <tr> <td>Faune <input type="text" value="64"/></td> <td>Lithique <input type="text" value="02"/></td> <td>Céramique <input type="text" value="03"/></td> <td>Terre crue-cuite <input type="text"/></td> <td>Métal <input type="text"/></td> <td>Restes humains <input type="text"/></td> </tr> <tr> <td>Industrie osseuse <input type="text"/></td> <td>Macrolithique <input type="text" value="Frgt meules (2)"/></td> <td>Pierres (en g) <input type="text" value="127"/></td> <td>Parure <input type="text"/></td> <td colspan="2">Autres <input type="text"/></td> </tr> <tr> <td>Malacofaune <input type="text"/></td> <td>Microfaune <input type="text"/></td> <td>Carporesses <input type="text"/></td> <td>Anthracorestes <input type="text"/></td> <td colspan="2"></td> </tr> <tr> <td>Présence <input type="text"/></td> <td></td> <td></td> <td></td> <td colspan="2"></td> </tr> </table>	Faune <input type="text" value="64"/>	Lithique <input type="text" value="02"/>	Céramique <input type="text" value="03"/>	Terre crue-cuite <input type="text"/>	Métal <input type="text"/>	Restes humains <input type="text"/>	Industrie osseuse <input type="text"/>	Macrolithique <input type="text" value="Frgt meules (2)"/>	Pierres (en g) <input type="text" value="127"/>	Parure <input type="text"/>	Autres <input type="text"/>		Malacofaune <input type="text"/>	Microfaune <input type="text"/>	Carporesses <input type="text"/>	Anthracorestes <input type="text"/>			Présence <input type="text"/>					
Faune <input type="text" value="36"/>	Lithique <input type="text" value="03"/>	Céramique <input type="text" value="05"/>	Terre crue-cuite <input type="text"/>	Métal <input type="text"/>	Restes humains <input type="text"/>																																												
Industrie osseuse <input type="text"/>	Macrolithique <input type="text" value="Frgt meules (2)"/>	Pierres (en g) <input type="text" value="2246"/>	Parure <input type="text"/>	Autres <input type="text"/>																																													
Malacofaune <input type="text"/>	Microfaune <input type="text"/>	Carporesses <input type="text"/>	Anthracorestes <input type="text"/>																																														
Présence <input type="text"/>																																																	
Faune <input type="text" value="64"/>	Lithique <input type="text" value="02"/>	Céramique <input type="text" value="03"/>	Terre crue-cuite <input type="text"/>	Métal <input type="text"/>	Restes humains <input type="text"/>																																												
Industrie osseuse <input type="text"/>	Macrolithique <input type="text" value="Frgt meules (2)"/>	Pierres (en g) <input type="text" value="127"/>	Parure <input type="text"/>	Autres <input type="text"/>																																													
Malacofaune <input type="text"/>	Microfaune <input type="text"/>	Carporesses <input type="text"/>	Anthracorestes <input type="text"/>																																														
Présence <input type="text"/>																																																	
<p>Négatif <input checked="" type="checkbox"/></p> <p style="text-align: center;">OA9785 - Clos de Roque - Saint-Maximin-la-Sainte-Baume - Var - 2011</p> <p>Numéro de structure <input type="text" value="ST2228"/> Secteur <input type="text" value="K07"/> Type de structure <input type="text" value="Terrier"/></p> <p>Date de fouille <input type="text" value="06/06/2011"/> Minutes <input type="text"/></p> <p>Photos <input type="text"/></p> <p>Points topographiques <input type="text" value="PT0874"/></p> <p>X (Lambert III) <input type="text" value="885530.20"/> * (m) Y (Lambert III) <input type="text" value="134866.07"/></p> <p>Altitude supérieure <input type="text" value="286.18"/> Altitude inférieure <input type="text"/></p> <p>forme en coupe <input type="text"/></p> <p>UPS de scellement <input type="text"/></p> <p>diamètre à l'ouverture* <input type="text"/> x <input type="text"/> diamètre maximal* <input type="text"/></p> <p>profondeur observée* <input type="text"/> Volume estimé (m3) <input type="text"/></p> <p>coupe ST <input type="text"/></p> <p>Protocole de fouille <input type="text"/></p> <p>Notes sur la structure <input type="text" value="terrier recoupant la ST2229"/></p> <p>Comblement <input type="text" value="N-naturel"/> Datation <input type="text" value="Néant"/></p> <p>Légendes de la coupe <input type="text" value="US3 : sédiment limoneux de couleur brun, meuble et homogène, quelques galets de 1 à 3 cm, radicelles abondantes."/></p> <p>Prélèvements <input type="text"/></p> <p>Mobilier <input type="checkbox"/> Tamisage</p> <table border="1" style="width:100%; border-collapse: collapse;"> <tr> <td>Faune <input type="text"/></td> <td>Lithique <input type="text"/></td> <td>Céramique <input type="text"/></td> <td>Terre crue-cuite <input type="text"/></td> <td>Métal <input type="text"/></td> <td>Restes humains <input type="text"/></td> </tr> <tr> <td>Industrie osseuse <input type="text"/></td> <td>Macrolithique <input type="text"/></td> <td>Pierres (en g) <input type="text"/></td> <td>Parure <input type="text"/></td> <td colspan="2">Autres <input type="text"/></td> </tr> <tr> <td>Malacofaune <input type="text"/></td> <td>Microfaune <input type="text"/></td> <td>Carporesses <input type="text"/></td> <td>Anthracorestes <input type="text"/></td> <td colspan="2"></td> </tr> <tr> <td>Présence <input type="text"/></td> <td></td> <td></td> <td></td> <td colspan="2"></td> </tr> </table>	Faune <input type="text"/>	Lithique <input type="text"/>	Céramique <input type="text"/>	Terre crue-cuite <input type="text"/>	Métal <input type="text"/>	Restes humains <input type="text"/>	Industrie osseuse <input type="text"/>	Macrolithique <input type="text"/>	Pierres (en g) <input type="text"/>	Parure <input type="text"/>	Autres <input type="text"/>		Malacofaune <input type="text"/>	Microfaune <input type="text"/>	Carporesses <input type="text"/>	Anthracorestes <input type="text"/>			Présence <input type="text"/>						<p>Négatif <input type="checkbox"/></p> <p style="text-align: center;">OA9785 - Clos de Roque - Saint-Maximin-la-Sainte-Baume - Var - 2011</p> <p>Numéro de structure <input type="text" value="ST2229"/> Secteur <input type="text" value="K07"/> Type de structure <input type="text" value="Fosse"/></p> <p>Date de fouille <input type="text" value="06/06/2011"/> Minutes <input type="text" value="188 - 189 - 190"/></p> <p>Photos <input type="text" value="249 - 258 - 417"/></p> <p>Points topographiques <input type="text" value="PT0875 - PT1703 à PT1708 - PT2695 à PT2739"/></p> <p>X (Lambert III) <input type="text" value="885531.25"/> * (m) Y (Lambert III) <input type="text" value="134866.48"/></p> <p>Altitude supérieure <input type="text" value="286.19"/> Altitude inférieure <input type="text" value="285.94"/></p> <p>forme en coupe <input type="text" value="B2"/> forme en plan <input type="text" value="Polylobée"/></p> <p>UPS de scellement <input type="text" value="UPS2"/> UPS encaissants <input type="text" value="UPS3"/></p> <p>diamètre à l'ouverture* <input type="text" value="1.83"/> x <input type="text" value="1.25"/> diamètre maximal* <input type="text" value="1.83"/></p> <p>profondeur observée* <input type="text" value="0.25"/> Volume estimé (m3) <input type="text" value="0.4128"/></p> <p>coupe ST <input type="text"/></p> <p>Protocole de fouille <input type="text" value="Moitié Sud : fouille par passes manuelles Moitié Nord : fouille par passes manuelles"/></p> <p>Notes sur la structure <input type="text" value="Structure recoupée par ST2228 (terrier), présence d'un trou de poteau dans la structure. Il semble s'agir de deux structures, une fosse circulaire et une petite fosse ovale avec un trou de poteau. A rapprocher de ST2192 et ST2194. calcaires brûlées"/></p> <p>Comblement <input type="text" value="AN-anthropique et"/> Datation <input type="text" value="Hallstatt ancien"/></p> <p>Légendes de la coupe <input type="text" value="US1 : sédiment argilo-limoneux de couleur brun foncé, compact et homogène, racines et radicelles dans la partie supérieure, avec quelques cailloux de 1 à 2 cm. US2 : mélange des sédiments de l'US1 et de l'UPS3. US3 : sédiment limoneux de couleur brun, meuble et homogène, quelques galets de 1 à 3 cm, radicelles abondantes. Absence de matériel."/></p> <p>Prélèvements <input type="text"/></p> <p>Mobilier <input checked="" type="checkbox"/> Tamisage</p> <table border="1" style="width:100%; border-collapse: collapse;"> <tr> <td>Faune <input type="text" value="20"/></td> <td>Lithique <input type="text" value="04"/></td> <td>Céramique <input type="text" value="19"/></td> <td>Terre crue-cuite <input type="text"/></td> <td>Métal <input type="text"/></td> <td>Restes humains <input type="text"/></td> </tr> <tr> <td>Industrie osseuse <input type="text"/></td> <td>Macrolithique <input type="text" value="95"/></td> <td>Pierres (en g) <input type="text"/></td> <td>Parure <input type="text"/></td> <td colspan="2">Autres <input type="text"/></td> </tr> <tr> <td>Malacofaune <input type="text"/></td> <td>Microfaune <input type="text"/></td> <td>Carporesses <input type="text"/></td> <td>Anthracorestes <input type="text"/></td> <td colspan="2"></td> </tr> <tr> <td>Présence <input type="text"/></td> <td></td> <td></td> <td></td> <td colspan="2"></td> </tr> </table>	Faune <input type="text" value="20"/>	Lithique <input type="text" value="04"/>	Céramique <input type="text" value="19"/>	Terre crue-cuite <input type="text"/>	Métal <input type="text"/>	Restes humains <input type="text"/>	Industrie osseuse <input type="text"/>	Macrolithique <input type="text" value="95"/>	Pierres (en g) <input type="text"/>	Parure <input type="text"/>	Autres <input type="text"/>		Malacofaune <input type="text"/>	Microfaune <input type="text"/>	Carporesses <input type="text"/>	Anthracorestes <input type="text"/>			Présence <input type="text"/>					
Faune <input type="text"/>	Lithique <input type="text"/>	Céramique <input type="text"/>	Terre crue-cuite <input type="text"/>	Métal <input type="text"/>	Restes humains <input type="text"/>																																												
Industrie osseuse <input type="text"/>	Macrolithique <input type="text"/>	Pierres (en g) <input type="text"/>	Parure <input type="text"/>	Autres <input type="text"/>																																													
Malacofaune <input type="text"/>	Microfaune <input type="text"/>	Carporesses <input type="text"/>	Anthracorestes <input type="text"/>																																														
Présence <input type="text"/>																																																	
Faune <input type="text" value="20"/>	Lithique <input type="text" value="04"/>	Céramique <input type="text" value="19"/>	Terre crue-cuite <input type="text"/>	Métal <input type="text"/>	Restes humains <input type="text"/>																																												
Industrie osseuse <input type="text"/>	Macrolithique <input type="text" value="95"/>	Pierres (en g) <input type="text"/>	Parure <input type="text"/>	Autres <input type="text"/>																																													
Malacofaune <input type="text"/>	Microfaune <input type="text"/>	Carporesses <input type="text"/>	Anthracorestes <input type="text"/>																																														
Présence <input type="text"/>																																																	

Annexe 3 - Le Clos de Roque, Saint-Maximin-la-Sainte-Baume (83). Inventaire des structures identifiées au décapage par fiches comprenant les indications des points topographiques, des minutes, des prélèvements et des photographies numériques de références.



Négatif

OA9785 - Clos de Roque - Saint-Maximin-la-Sainte-Baume - Var - 2011

Numéro de structure ST2230 Secteur U06 Type de structure Fosse

Date de fouille 21/06/2011 Minutes H20 - 421 - 422

Photos 0346 - 0822 - 0856 - 0857 - 0907 - 0908

Points topographiques PT0876 - PT2291 à PT 2302 - PT4288 à PT4291 - PT4306 - PT4364 à PT4365 - PT4390 - PT4627 à PT4647

X (Lambert III) 885524.08 \* (m) Y (Lambert III) 134870.41

Altitude supérieure 286.1 Altitude inférieure 285.44

forme en coupe F1 forme en plan Ovale

UPS de scellement UPS2 UPS encaissants UPS3

diamètre à l'ouverture\* 1.48 x 1.05 diamètre maximal\* 1.48

profondeur observée\* 0.66 Volume estimé (m3) 0.8099

coupe ST coupe par ST ST2254

Protocole de fouille Moitié Sud : fouille par passes manuelles  
Moitié Nord : fouille par passes manuelles

Notes sur la structure Fosse ovalaire recoupée par un fossé moderne ST2254. La structure est recoupée par un terrier provenant du sud. Peut-être un petit feu a été réalisé dans la structure après qu'elle soit en partie comblée comme en témoigneraient la zone rubéfiée calcites brûlées et un calcaire jaune

Comblement A-anthropique Datation Hallstatt ancien

Légendes de la coupe US1 : sédiment argilo-limoneux de couleur brun foncé à rougeâtre, compact et homogène, avec de nombreux nodules de terre cuite, rubéfié en surface dans une zone circonscrite au nord de la structure, racines et radicelles dans la partie supérieure, présence de micro-charbons.  
US2 : sédiment argilo-limoneux de couleur jaune et brun, compact et hétérogène.  
US3 : sédiment argilo-limoneux de couleur brun foncé à rougeâtre, compact et homogène.  
US4 : sédiment argilo-limoneux de couleur brun foncé avec quelques passées de jaune, compact et hétérogène, quelques nodules de terres cuites.  
US5 : proche de l'US4, un peu plus argileuse.  
US6 : mélange des sédiments de l'US5 et de l'UPS3.

Prélèvements PR87 (PT4306) : sédiment carpologie

Mobilier  Tamisage

Faune	Lithique	Céramique	Terre crue-cuite	Métal	Restes humains
153	01	29			
Industrie osseuse	Macrolithique	Pierres (en g)	Parure	Autres	
		233			
Malacofaune	Microfaune	Carporestes	Anthracorestes		
Présence					

Négatif

OA9785 - Clos de Roque - Saint-Maximin-la-Sainte-Baume - Var - 2011

Numéro de structure ST2231 Secteur H06 Type de structure Terrier

Date de fouille 08/06/2011 Minutes 446

Photos 369 - 921

Points topographiques PT0877 - PT4735 à PT4738

X (Lambert III) 885526.9 \* (m) Y (Lambert III) 134895.81

Altitude supérieure 285.96 Altitude inférieure 285.81

forme en coupe B2 forme en plan Longiligne

UPS de scellement UPS2 UPS encaissants UPS3

diamètre à l'ouverture\* 0.35 x 1.48 diamètre maximal\* 1

profondeur observée\* 0.15 Volume estimé (m3)

coupe ST coupe par ST

Protocole de fouille Moitié Sud : fouille par passes manuelles  
Moitié Nord : fouille par passes manuelles

Notes sur la structure Terrier

Comblement N-naturel Datation Néant

Légendes de la coupe Sédiment limono-argileux brun, meuble à compact, quelques galets de 1 à 2 cm, radicelles.

Prélèvements

Mobilier  Tamisage

Faune	Lithique	Céramique	Terre crue-cuite	Métal	Restes humains
Industrie osseuse	Macrolithique	Pierres (en g)	Parure	Autres	
Malacofaune	Microfaune	Carporestes	Anthracorestes		

Négatif

OA9785 - Clos de Roque - Saint-Maximin-la-Sainte-Baume - Var - 2011

Numéro de structure ST2232 Secteur J06 Type de structure Fosse de plantation

Date de fouille 23/06/2011 Minutes

Photos 0368

Points topographiques PT0878 - PT5442 à PT5445

X (Lambert III) 885525.32 \* (m) Y (Lambert III) 134893.55

Altitude supérieure 285.99 Altitude inférieure 285.94

forme en coupe B2 forme en plan Circulaire

UPS de scellement UPS2 UPS encaissants UPS3

diamètre à l'ouverture\* 0.80 x diamètre maximal\* 0.80

profondeur observée\* 0.05 Volume estimé (m3) 0.0141

coupe ST coupe par ST

Protocole de fouille Moitié Sud : fouille par passes manuelles  
Moitié Nord : fouille par passes manuelles

Notes sur la structure Fosse moderne circulaire

Comblement N-naturel Datation Historique

Légendes de la coupe Sédiment limono-argileux brun, meuble à compact, quelques galets et cailloux de 1 à 5 cm, radicelles.

Prélèvements

Mobilier  Tamisage

Faune	Lithique	Céramique	Terre crue-cuite	Métal	Restes humains
Industrie osseuse	Macrolithique	Pierres (en g)	Parure	Autres	
Malacofaune	Microfaune	Carporestes	Anthracorestes		

Négatif

OA9785 - Clos de Roque - Saint-Maximin-la-Sainte-Baume - Var - 2011

Numéro de structure ST2233 Secteur H06 Type de structure Fosse

Date de fouille 28/06/2011 Minutes 623 - 624 - 625

Photos 249 - 258 - 417

Points topographiques PT0879 - PT5446 à PT5455 - PT5544 à PT5545 - PT6226 à PT6234

X (Lambert III) 885526.18 \* (m) Y (Lambert III) 134892.5

Altitude supérieure 286.05 Altitude inférieure 285.88

forme en coupe C forme en plan Ovalaire

UPS de scellement UPS2 UPS encaissants UPS3

diamètre à l'ouverture\* 1.23 x 0.93 diamètre maximal\* 1.23

profondeur observée\* 0.17 Volume estimé (m3) 0.1557

coupe ST coupe par ST

Protocole de fouille Moitié Sud : fouille par passes mécaniques  
Moitié Nord : fouille par passes manuelles

Notes sur la structure Fosse ovalaire

Comblement N-naturel Datation Néo/Proto

Légendes de la coupe US1 : sédiment argilo-limoneux de couleur brun foncé, compact et homogène, racines et radicelles dans la partie supérieure, avec quelques cailloux de 1 à 2 cm.  
US2 : mélange des sédiments de l'US1 et de l'UPS3.

Prélèvements

Mobilier  Tamisage

Faune	Lithique	Céramique	Terre crue-cuite	Métal	Restes humains
20	04	19			
Industrie osseuse	Macrolithique	Pierres (en g)	Parure	Autres	
Malacofaune	Microfaune	Carporestes	Anthracorestes		
Présence					

Annexe 3 - Le Clos de Roque, Saint-Maximin-la-Sainte-Baume (83). Inventaire des structures identifiées au décapage par fiches comprenant les indications des points topographiques, des minutes, des prélèvements et des photographies numériques de références.

<p>Négatif <input type="checkbox"/></p> <p style="text-align: center;">OA9785 - Clos de Roque - Saint-Maximin-la-Sainte-Baume - Var - 2011</p> <p>Número de structure <input type="text" value="ST2234"/> Secteur <input type="text" value="M07"/> Type de structure <input type="text" value="Tranchée de plantation"/></p> <p>Date de fouille <input type="text" value="23/06/2011"/> Minutes <input type="text" value="547"/></p> <p>Photos <input type="text" value="1105"/></p> <p>Points topographiques <input type="text" value="PT0880 - PT5430 à PT5433"/></p> <p>X (Lambert III) <input type="text" value="885521.33"/> * (m) Y (Lambert III) <input type="text" value="134892.31"/></p> <p>Altitude supérieure <input type="text" value="286.01"/> Altitude inférieure <input type="text" value="285.89"/></p> <p>forme en coupe <input type="text" value="B2"/> forme en plan <input type="text" value="Rectangulaire"/></p> <p>UPS de scellement <input type="text" value="UPS2"/> UPS encaissants <input type="text" value="UPS3"/></p> <p>diamètre à l'ouverture* <input type="text" value="0.70"/> x <input type="text" value="0.35"/> diamètre maximal* <input type="text" value="0.7"/></p> <p>profondeur observée* <input type="text" value="0.12"/> Volume estimé (m3) <input type="text" value="0.0294"/></p> <p>coupe ST <input type="text"/></p> <p>Protocole de fouille <input type="text" value="Moitié Sud : fouille par passes manuelles&lt;br/&gt;Moitié Nord : fouille par passes manuelles"/></p> <p>Notes sur la structure <input type="text" value="Fosse moderne rectangulaire"/></p> <p>Comblement <input type="text" value="N-naturel"/> Datation <input type="text" value="Historique"/></p> <p>Légendes de la coupe <input type="text" value="Sédiment limono-argileux brun, meuble à compact, quelques galets de 1 à 2 cm, radicelles."/></p> <p>Prélèvements <input type="text"/></p> <p>Mobilier <input type="checkbox"/> Tamisage</p> <p>Faune <input type="text"/> Lithique <input type="text"/> Céramique <input type="text"/> Terre crue-cuite <input type="text"/> Métal <input type="text"/> Restes humains <input type="text"/></p> <p>Industrie osseuse <input type="text"/> Macrolithique <input type="text"/> Pierres (en g) <input type="text"/> Parure <input type="text"/> Autres <input type="text"/></p> <p>Malacofaune <input type="text"/> Microfaune <input type="text"/> Carporesses <input type="text"/> Anthracorestes <input type="text"/></p>	<p>Négatif <input type="checkbox"/></p> <p style="text-align: center;">OA9785 - Clos de Roque - Saint-Maximin-la-Sainte-Baume - Var - 2011</p> <p>Número de structure <input type="text" value="ST2235"/> Secteur <input type="text" value="H06"/> Type de structure <input type="text" value="Tarière de vigne"/></p> <p>Date de fouille <input type="text" value="29/06/2011"/> Minutes <input type="text" value="544"/></p> <p>Photos <input type="text" value="1104 - 1142"/></p> <p>Points topographiques <input type="text" value="PT0881 - PT5434 à PT5441"/></p> <p>X (Lambert III) <input type="text" value="885521.26"/> * (m) Y (Lambert III) <input type="text" value="134899.43"/></p> <p>Altitude supérieure <input type="text" value="285.93"/> Altitude inférieure <input type="text" value="285.96"/></p> <p>forme en coupe <input type="text" value="B2"/> forme en plan <input type="text" value="Circulaire"/></p> <p>UPS de scellement <input type="text" value="UPS2"/> UPS encaissants <input type="text" value="UPS3"/></p> <p>diamètre à l'ouverture* <input type="text" value="0.80"/> x <input type="text"/> diamètre maximal* <input type="text" value="0.80"/></p> <p>profondeur observée* <input type="text" value="0.05"/> Volume estimé (m3) <input type="text" value="0.0251"/></p> <p>coupe ST <input type="text"/></p> <p>Protocole de fouille <input type="text" value="Moitié Sud : fouille par passes manuelles&lt;br/&gt;Moitié Nord : fouille par passes manuelles"/></p> <p>Notes sur la structure <input type="text" value="Fosse circulaire, négatif d'une tarière à vigne ?"/></p> <p>Comblement <input type="text" value="N-naturel"/> Datation <input type="text" value="Historique"/></p> <p>Légendes de la coupe <input type="text" value="Sédiment limono-argileux brun, meuble à compact, quelques galets de 1 à 2 cm, radicelles."/></p> <p>Prélèvements <input type="text"/></p> <p>Mobilier <input type="checkbox"/> Tamisage</p> <p>Faune <input type="text"/> Lithique <input type="text"/> Céramique <input type="text"/> Terre crue-cuite <input type="text"/> Métal <input type="text"/> Restes humains <input type="text"/></p> <p>Industrie osseuse <input type="text"/> Macrolithique <input type="text"/> Pierres (en g) <input type="text"/> Parure <input type="text"/> Autres <input type="text"/></p> <p>Malacofaune <input type="text"/> Microfaune <input type="text"/> Carporesses <input type="text"/> Anthracorestes <input type="text"/></p>
<p>Négatif <input type="checkbox"/></p> <p style="text-align: center;">OA9785 - Clos de Roque - Saint-Maximin-la-Sainte-Baume - Var - 2011</p> <p>Número de structure <input type="text" value="ST2236"/> Secteur <input type="text" value="H05"/> Type de structure <input type="text" value="Fosse"/></p> <p>Date de fouille <input type="text" value="27/06/2011"/> Minutes <input type="text" value="620 - 621 - 622"/></p> <p>Photos <input type="text" value="1099 - 1139 - 1192 - 1193"/></p> <p>Points topographiques <input type="text" value="PT0882 - PT5410 à PT5417 - PT5546 à PT5547 - PT5734 à PT5740 - PT5678"/></p> <p>X (Lambert III) <input type="text" value="885513.79"/> * (m) Y (Lambert III) <input type="text" value="134895.67"/></p> <p>Altitude supérieure <input type="text" value="285.93"/> Altitude inférieure <input type="text" value="285.28"/></p> <p>forme en coupe <input type="text" value="A4"/> forme en plan <input type="text" value="Circulaire"/></p> <p>UPS de scellement <input type="text" value="UPS2"/> UPS encaissants <input type="text" value="UPS3"/></p> <p>diamètre à l'ouverture* <input type="text" value="0.85"/> x <input type="text"/> diamètre maximal* <input type="text" value="1.18"/></p> <p>profondeur observée* <input type="text" value="0.65"/> Volume estimé (m3) <input type="text" value="0.5208"/></p> <p>coupe ST <input type="text"/></p> <p>Protocole de fouille <input type="text" value="Moitié Sud : fouille par passes manuelles&lt;br/&gt;Moitié Nord : fouille par passes mécaniques"/></p> <p>Notes sur la structure <input type="text" value="Fosse en ampoule, l'US2 est dû à des bioturbations calcaires brûlées"/></p> <p>Comblement <input type="text" value="N-naturel"/> Datation <input type="text" value="Néolithique final ind"/></p> <p>Légendes de la coupe <input type="text" value="US1 : sédiment argilo-limoneux de couleur brun foncé, compact et homogène, racines et radicelles dans la partie supérieure, avec quelques cailloux de 1 à 2 cm.&lt;br/&gt;US2 : bioturbations dans l'UPS3."/></p> <p>Prélèvements <input type="text" value="PR137 (PT5678) : sédiment carpologie"/></p> <p>Mobilier <input type="checkbox"/> Tamisage</p> <p>Faune <input type="text" value="05"/> Lithique <input type="text" value="01"/> Céramique <input type="text" value="12"/> Terre crue-cuite <input type="text"/> Métal <input type="text"/> Restes humains <input type="text"/></p> <p>Industrie osseuse <input type="text"/> Macrolithique <input type="text"/> Pierres (en g) <input type="text" value="3605"/> Parure <input type="text"/> Autres <input type="text"/></p> <p>Malacofaune <input type="text"/> Microfaune <input type="text"/> Carporesses <input type="text"/> Anthracorestes <input type="text"/></p> <p>Présence <input type="text"/></p>	<p>Négatif <input type="checkbox"/></p> <p style="text-align: center;">OA9785 - Clos de Roque - Saint-Maximin-la-Sainte-Baume - Var - 2011</p> <p>Número de structure <input type="text" value="ST2237"/> Secteur <input type="text" value="H04-05"/> Type de structure <input type="text" value="Fosse"/></p> <p>Date de fouille <input type="text" value="24/06/2011"/> Minutes <input type="text" value="599 - 600 - 601"/></p> <p>Photos <input type="text" value="1098 - 1138 - 1168 - 1232"/></p> <p>Points topographiques <input type="text" value="PT0883 - PT5388 à PT5395 - PT5523 à PT5524 - PT5646 - PT5648 à PT5649 - PT5677 - PT5921 à PT5930"/></p> <p>X (Lambert III) <input type="text" value="885510.05"/> * (m) Y (Lambert III) <input type="text" value="134891.68"/></p> <p>Altitude supérieure <input type="text" value="285.99"/> Altitude inférieure <input type="text" value="285.42"/></p> <p>forme en coupe <input type="text" value="A3"/> forme en plan <input type="text" value="Circulaire"/></p> <p>UPS de scellement <input type="text" value="UPS2"/> UPS encaissants <input type="text" value="UPS3"/></p> <p>diamètre à l'ouverture* <input type="text" value="0.87"/> x <input type="text"/> diamètre maximal* <input type="text" value="0.98"/></p> <p>profondeur observée* <input type="text" value="0.57"/> Volume estimé (m3) <input type="text" value="0.3789"/></p> <p>coupe ST <input type="text"/></p> <p>Protocole de fouille <input type="text" value="Moitié Sud : fouille par passes manuelles&lt;br/&gt;Moitié Nord : fouille par passes mécaniques"/></p> <p>Notes sur la structure <input type="text" value="Fosse sub-cylindrique"/></p> <p>Comblement <input type="text" value="N-naturel"/> Datation <input type="text" value="Néolithique final phase 2"/></p> <p>Légendes de la coupe <input type="text" value="US1 : sédiment argilo-limoneux de couleur brun moyen à foncé, compact et homogène, racines et radicelles dans la partie supérieure.&lt;br/&gt;US2 : mélange des sédiments de l'US1 et de l'UPS3.&lt;br/&gt;US3 : lentilles d'UPS3 présentes dans le remplissage.&lt;br/&gt;US4 : cf. US2.&lt;br/&gt;US5 : bioturbations dans l'UPS3."/></p> <p>Prélèvements <input type="text" value="PR140 (PT5677) : sédiment carpologie"/></p> <p>Mobilier <input type="checkbox"/> Tamisage</p> <p>Faune <input type="text"/> Lithique <input type="text"/> Céramique <input type="text" value="10"/> Terre crue-cuite <input type="text"/> Métal <input type="text"/> Restes humains <input type="text"/></p> <p>Industrie osseuse <input type="text"/> Macrolithique <input type="text"/> Pierres (en g) <input type="text"/> Parure <input type="text"/> Autres <input type="text"/></p> <p>Malacofaune <input type="text"/> Microfaune <input type="text"/> Carporesses <input type="text"/> Anthracorestes <input type="text"/></p> <p>Présence <input type="text"/></p>

Annexe 3 - Le Clos de Roque, Saint-Maximin-la-Sainte-Baume (83). Inventaire des structures identifiées au décapage par fiches comprenant les indications des points topographiques, des minutes, des prélèvements et des photographies numériques de références.

Négatif

OA9785 - Clos de Roque - Saint-Maximin-la-Sainte-Baume - Var - 2011

Nom de structure: ST2238 Secteur: I04 Type de structure: Fosse de plantation

Date de fouille: 23/06/2011 Minutes: 545 - 546 Photos: 1097 - 1134

Points topographiques: PT0884 - PT5380 à PT5387

X (Lambert III): 885509.19 Y (Lambert III): 134889.89 Altitude supérieure: 285.99 Altitude inférieure: 285.94

forme en coupe: B2 forme en plan: Circulaire

UPS de scellement: UPS2 UPS encaissants: UPS3

diamètre à l'ouverture\*: 0.80 x diamètre maximal\*: 0.80

profondeur observée\*: 0.11 Volume estimé (m3): 0.0553

coupe ST: coupée par ST

Protocole de fouille: Moitié Sud : fouille par passes mécaniques Moitié Nord : fouille par passes manuelles

Notes sur la structure: Fosse moderne circulaire

Comblement: N-naturel Datation: Historique

Légendes de la coupe: US1 : Sédiment limono-argileux brun, meuble à compact, quelques galets et cailloux de 1 à 2 cm, radicelles.

Prélèvements:

Mobilier:  Tamisage

Faune:  Lithique:  Céramique:  Terre crue-cuite:  Métal:  Restes humains:

Industrie osseuse:  Macroolithique:  Pierres (en g):  Parure:  Autres:

Malacofaune:  Microfaune:  Carporesses:  Anthracorestes:

Négatif

OA9785 - Clos de Roque - Saint-Maximin-la-Sainte-Baume - Var - 2011

Nom de structure: ST2239 Secteur: I05 Type de structure: Fosse

Date de fouille: 23/06/2011 Minutes: 543 Photos: 1096 - 1123 à 1126

Points topographiques: PT0885 - PT5396 à PT5403

X (Lambert III): 885511.15 Y (Lambert III): 134888.67 Altitude supérieure: 286.01 Altitude inférieure: 285

forme en coupe: A3 forme en plan: Circulaire

UPS de scellement: UPS2 UPS encaissants: UPS3

diamètre à l'ouverture\*: 1.7 x diamètre maximal\*: 1.7

profondeur observée\*: 1 Volume estimé (m3): 2.27

coupe ST: coupée par ST

Protocole de fouille: Moitié Sud : fouille par passes mécaniques Moitié Nord : fouille par passes manuelles

Notes sur la structure: Fosse avec la dépouille d'un cheval entier. Sans doute contemporain, décomposition récente, nombreux vides dans le remplissage.

Comblement: N-naturel Datation: Historique

Légendes de la coupe: US1 : sédiment limoneux de couleur brun moyen et nombreuses lentilles d'UPS3, meuble et homogène, racines et radicelles dans la partie supérieure.

Prélèvements:

Mobilier:  Tamisage

Faune:  Lithique:  Céramique:  Terre crue-cuite:  Métal:  Restes humains:

Industrie osseuse:  Macroolithique:  Pierres (en g):  Parure:  Autres:

Malacofaune:  Microfaune:  Carporesses:  Anthracorestes:

Négatif

OA9785 - Clos de Roque - Saint-Maximin-la-Sainte-Baume - Var - 2011

Nom de structure: ST2240 Secteur: I04 Type de structure: Fosse

Date de fouille: 28/06/2011 Minutes: 652 - 653 - 654 Photos: 1095 - 1133 - 1222

Points topographiques: PT0886 - PT5341 à PT5351 - PT5471 à PT5472 - PT5783 à PT5790 - PT5858

X (Lambert III): 885508.1 Y (Lambert III): 134887.01 Altitude supérieure: 286.07 Altitude inférieure: 285.27

forme en coupe: A4 forme en plan: Circulaire

UPS de scellement: UPS2 UPS encaissants: UPS3

diamètre à l'ouverture\*: 1.45 x diamètre maximal\*: 1.64

profondeur observée\*: 0.80 Volume estimé (m3): 1.5095

coupe ST: coupée par ST

Protocole de fouille: Moitié Sud : fouille par passes manuelles Moitié Nord : fouille par passes mécaniques

Notes sur la structure: Fosse en ampoule, avec pierres à la base du remplissage. Nombreuses lentilles d'UPS3 traduisant l'effondrement de la paroi au cours du remplissage calcaires brûlés

Comblement: N-naturel Datation: Néolithique final phase 2 prob

Légendes de la coupe: US1 : sédiment argilo-limoneux de couleur brun foncé, compact et homogène, racines et radicelles dans la partie supérieure, avec quelques cailloux de 1 à 2 cm, quelques nodules de charbons et terre cuite.  
US2 : mélange des sédiments de l'US1 et de l'UPS3.  
US3 : effondrement de paroi, qui se matérialise par une lentille d'UPS3.  
US4 : = US1 avec quelques nodules d'UPS3.  
US5 : similaire US2.  
US6 : similaire US4.

Prélèvements: PR144 (PT5858) : sédiment carpologie

Mobilier:  Tamisage

Faune:  Lithique:  Céramique:  Terre crue-cuite:  Métal:  Restes humains:

Industrie osseuse:  Macroolithique:  Pierres (en g):  Parure:  Autres:

Malacofaune:  Microfaune:  Carporesses:  Anthracorestes:

Négatif

OA9785 - Clos de Roque - Saint-Maximin-la-Sainte-Baume - Var - 2011

Nom de structure: ST2241 Secteur: I04 Type de structure: Fosse

Date de fouille: 28/06/2011 Minutes: 608 - 609 - 610 Photos: 1094 - 1132 - 1233

Points topographiques: PT0887 - PT5331 à PT5340 - PT5469 à PT5470 - PT6041 à PT6062 - PT5865

X (Lambert III): 885507.95 Y (Lambert III): 134885.69 Altitude supérieure: 286.09 Altitude inférieure: 285.64

forme en coupe: F2 forme en plan: Ovale

UPS de scellement: UPS2 UPS encaissants: UPS3

diamètre à l'ouverture\*: 1.80 x diamètre maximal\*: 1.80

profondeur observée\*: 0.40 Volume estimé (m3): 0.9079

coupe ST: coupée par ST

Protocole de fouille: Moitié Sud : fouille par passes mécaniques Moitié Nord : fouille par passes manuelles

Notes sur la structure: Fosse à surcreusement latéral, remplissage homogène, à l'exception d'une poche charbonneuse contre la partie inférieure nord est de la paroi. Peut-être deux fosses distinctes, mais indiscernable dans le remplissage calcaires

Comblement: N-naturel Datation: Néolithique final phase 2

Légendes de la coupe: US1 : sédiment argilo-limoneux de couleur brun foncé, compact et homogène, racines et radicelles dans la partie supérieure.  
US2 : mélange des sédiments de l'US1 et de l'UPS3.  
US3 : poche charbonneuse présente contre la partie nord de la paroi

Prélèvements: PR148 (PT5865) : sédiment carpologie

Mobilier:  Tamisage

Faune:  Lithique:  Céramique:  Terre crue-cuite:  Métal:  Restes humains:

Industrie osseuse:  Macroolithique:  Pierres (en g):  Parure:  Autres:

Malacofaune:  Microfaune:  Carporesses:  Anthracorestes:

Annexe 3 - Le Clos de Roque, Saint-Maximin-la-Sainte-Baume (83). Inventaire des structures identifiées au décapage par fiches comprenant les indications des points topographiques, des minutes, des prélèvements et des photographies numériques de références.

<p>Négatif <input checked="" type="checkbox"/></p> <p style="text-align: center;">OA9785 - Clos de Roque - Saint-Maximin-la-Sainte-Baume - Var - 2011</p> <p>Nom de structure: ST2242    Secteur: J04    Type de structure: Dépression</p> <p>Date de fouille: 21/06/2011    Minutes: _____</p> <p>Photos: _____</p> <p>Points topographiques: PT0888 - PT5274 à PT5284</p> <p>X (Lambert III): 885509.7    Y (Lambert III): 134879.57</p> <p>Altitude supérieure: 286.16    Altitude inférieure: 286.11</p> <p>forme en coupe: _____    forme en plan: _____</p> <p>UPS de scellement: UPS2    UPS encaissants: UPS3</p> <p>diamètre à l'ouverture*: 0.5    diamètre maximal*: 0.5</p> <p>profondeur observée*: 0.05    Volume estimé (m3): _____</p> <p>coupe ST: _____    coupée par ST: _____</p> <p>Protocole de fouille: Moitié Sud : fouille par passes manuelles Moitié Nord : fouille par passes mécaniques</p> <p>Notes sur la structure: Trace de labour plus profond</p> <p>Comblement: N-naturel    Datation: Néant</p> <p>Légendes de la coupe: Sédiment limono-argileux brun, meuble à compact, quelques galets et cailloux de 1 à 2 cm, radicelles.</p> <p>Prélèvements: _____</p> <p>Mobilier</p> <table border="1" style="width:100%; border-collapse: collapse;"> <tr> <td>Faune</td><td>Lithique</td><td>Céramique</td><td>Terre crue-cuite</td><td>Métal</td><td>Restes humains</td> </tr> <tr> <td>Industrie osseuse</td><td>Macrolithique</td><td>Pierres (en g)</td><td>Parure</td><td></td><td>Autres</td> </tr> <tr> <td>Malacofaune</td><td>Microfaune</td><td>Carpocestes</td><td>Anthracoccestes</td><td></td><td></td> </tr> </table>	Faune	Lithique	Céramique	Terre crue-cuite	Métal	Restes humains	Industrie osseuse	Macrolithique	Pierres (en g)	Parure		Autres	Malacofaune	Microfaune	Carpocestes	Anthracoccestes			<p>Négatif <input type="checkbox"/></p> <p style="text-align: center;">OA9785 - Clos de Roque - Saint-Maximin-la-Sainte-Baume - Var - 2011</p> <p>Nom de structure: ST2243    Secteur: J04    Type de structure: "Fosse de plantation"</p> <p>Date de fouille: 21/06/2011    Minutes: _____</p> <p>Photos: 1088</p> <p>Points topographiques: PT0889 - PT5380 à PT5387</p> <p>X (Lambert III): 885508.01    Y (Lambert III): 134877.74</p> <p>Altitude supérieure: 286.2    Altitude inférieure: 286.05</p> <p>forme en coupe: B2    forme en plan: Circulaire</p> <p>UPS de scellement: UPS2    UPS encaissants: UPS3</p> <p>diamètre à l'ouverture*: 0.60    diamètre maximal*: 0.60</p> <p>profondeur observée*: 0.15    Volume estimé (m3): 0.0424</p> <p>coupe ST: _____    coupée par ST: _____</p> <p>Protocole de fouille: Moitié Sud : fouille par passes manuelles Moitié Nord : fouille par passes mécaniques</p> <p>Notes sur la structure: Fosse moderne circulaire</p> <p>Comblement: N-naturel    Datation: Historique</p> <p>Légendes de la coupe: Sédiment limono-argileux brun, meuble à compact, quelques galets et cailloux de 1 à 2 cm, radicelles.</p> <p>Prélèvements: _____</p> <p>Mobilier</p> <table border="1" style="width:100%; border-collapse: collapse;"> <tr> <td>Faune</td><td>Lithique</td><td>Céramique</td><td>Terre crue-cuite</td><td>Métal</td><td>Restes humains</td> </tr> <tr> <td>Industrie osseuse</td><td>Macrolithique</td><td>Pierres (en g)</td><td>Parure</td><td></td><td>Autres</td> </tr> <tr> <td>Malacofaune</td><td>Microfaune</td><td>Carpocestes</td><td>Anthracoccestes</td><td></td><td></td> </tr> </table>	Faune	Lithique	Céramique	Terre crue-cuite	Métal	Restes humains	Industrie osseuse	Macrolithique	Pierres (en g)	Parure		Autres	Malacofaune	Microfaune	Carpocestes	Anthracoccestes		
Faune	Lithique	Céramique	Terre crue-cuite	Métal	Restes humains																																
Industrie osseuse	Macrolithique	Pierres (en g)	Parure		Autres																																
Malacofaune	Microfaune	Carpocestes	Anthracoccestes																																		
Faune	Lithique	Céramique	Terre crue-cuite	Métal	Restes humains																																
Industrie osseuse	Macrolithique	Pierres (en g)	Parure		Autres																																
Malacofaune	Microfaune	Carpocestes	Anthracoccestes																																		
<p>Négatif <input type="checkbox"/></p> <p style="text-align: center;">OA9785 - Clos de Roque - Saint-Maximin-la-Sainte-Baume - Var - 2011</p> <p>Nom de structure: ST2244    Secteur: J04    Type de structure: "Fosse de plantation"</p> <p>Date de fouille: 07/07/2011    Minutes: _____</p> <p>Photos: _____</p> <p>Points topographiques: PT0890 - PT7356 à PT7359</p> <p>X (Lambert III): 885509.52    Y (Lambert III): 134873.73</p> <p>Altitude supérieure: 286.2    Altitude inférieure: 286.05</p> <p>forme en coupe: B2    forme en plan: Circulaire</p> <p>UPS de scellement: UPS2    UPS encaissants: UPS3</p> <p>diamètre à l'ouverture*: 0.60    diamètre maximal*: 0.60</p> <p>profondeur observée*: 0.15    Volume estimé (m3): 0.0424</p> <p>coupe ST: _____    coupée par ST: _____</p> <p>Protocole de fouille: Moitié Sud : fouille par passes manuelles Moitié Nord : fouille par passes mécaniques</p> <p>Notes sur la structure: Fosse moderne circulaire</p> <p>Comblement: N-naturel    Datation: Historique</p> <p>Légendes de la coupe: Sédiment limono-argileux brun, meuble à compact, quelques galets et cailloux de 1 à 2 cm, radicelles.</p> <p>Prélèvements: _____</p> <p>Mobilier</p> <table border="1" style="width:100%; border-collapse: collapse;"> <tr> <td>Faune</td><td>Lithique</td><td>Céramique</td><td>Terre crue-cuite</td><td>Métal</td><td>Restes humains</td> </tr> <tr> <td>Industrie osseuse</td><td>Macrolithique</td><td>Pierres (en g)</td><td>Parure</td><td></td><td>Autres</td> </tr> <tr> <td>Malacofaune</td><td>Microfaune</td><td>Carpocestes</td><td>Anthracoccestes</td><td></td><td></td> </tr> </table>	Faune	Lithique	Céramique	Terre crue-cuite	Métal	Restes humains	Industrie osseuse	Macrolithique	Pierres (en g)	Parure		Autres	Malacofaune	Microfaune	Carpocestes	Anthracoccestes			<p>Négatif <input type="checkbox"/></p> <p style="text-align: center;">OA9785 - Clos de Roque - Saint-Maximin-la-Sainte-Baume - Var - 2011</p> <p>Nom de structure: ST2245    Secteur: J04    Type de structure: "Fosse de plantation"</p> <p>Date de fouille: 07/07/2011    Minutes: _____</p> <p>Photos: _____</p> <p>Points topographiques: PT0891</p> <p>X (Lambert III): 885508.09    Y (Lambert III): 134865.75</p> <p>Altitude supérieure: 286.08    Altitude inférieure: 286.02</p> <p>forme en coupe: B2    forme en plan: Circulaire</p> <p>UPS de scellement: UPS2    UPS encaissants: UPS3</p> <p>diamètre à l'ouverture*: 0.60    diamètre maximal*: 0.60</p> <p>profondeur observée*: 0.06    Volume estimé (m3): 0.017</p> <p>coupe ST: _____    coupée par ST: _____</p> <p>Protocole de fouille: Moitié Sud : fouille par passes mécaniques Moitié Nord : fouille par passes manuelles</p> <p>Notes sur la structure: Fosse moderne circulaire</p> <p>Comblement: N-naturel    Datation: Historique</p> <p>Légendes de la coupe: Sédiment limono-argileux brun, meuble à compact, quelques galets et cailloux de 1 à 2 cm, radicelles.</p> <p>Prélèvements: _____</p> <p>Mobilier</p> <table border="1" style="width:100%; border-collapse: collapse;"> <tr> <td>Faune</td><td>Lithique</td><td>Céramique</td><td>Terre crue-cuite</td><td>Métal</td><td>Restes humains</td> </tr> <tr> <td>Industrie osseuse</td><td>Macrolithique</td><td>Pierres (en g)</td><td>Parure</td><td></td><td>Autres</td> </tr> <tr> <td>Malacofaune</td><td>Microfaune</td><td>Carpocestes</td><td>Anthracoccestes</td><td></td><td></td> </tr> </table>	Faune	Lithique	Céramique	Terre crue-cuite	Métal	Restes humains	Industrie osseuse	Macrolithique	Pierres (en g)	Parure		Autres	Malacofaune	Microfaune	Carpocestes	Anthracoccestes		
Faune	Lithique	Céramique	Terre crue-cuite	Métal	Restes humains																																
Industrie osseuse	Macrolithique	Pierres (en g)	Parure		Autres																																
Malacofaune	Microfaune	Carpocestes	Anthracoccestes																																		
Faune	Lithique	Céramique	Terre crue-cuite	Métal	Restes humains																																
Industrie osseuse	Macrolithique	Pierres (en g)	Parure		Autres																																
Malacofaune	Microfaune	Carpocestes	Anthracoccestes																																		

Annexe 3 - Le Clos de Roque, Saint-Maximin-la-Sainte-Baume (83). Inventaire des structures identifiées au décapage par fiches comprenant les indications des points topographiques, des minutes, des prélèvements et des photographies numériques de références.

Négatif

OA9785 - Clos de Roque - Saint-Maximin-la-Sainte-Baume - Var - 2011

Numéro de structure ST2246 Secteur H05 Type de structure Fosse

Date de fouille 27/06/2011 Minutes 467 - 468 - 469

Photos 0829 - 0848 - 0888

Points topographiques PT0892 - PT4239 à PT4247 - PT4294 à PT4295 - PT4505 à PT4508

X (Lambert III) 885505.38 \* (m) Y (Lambert III) 134865.19

Altitude supérieure 286.09 Altitude inférieure 285.72

forme en coupe F1 forme en plan Ovale

UPS de scellement UPS2 UPS encaissants UPS3

diamètre à l'ouverture\* 1.25 x 0.93 diamètre maximal\* 1.25

profondeur observée\* 0.38 Volume estimé (m3) 0.3611

coupe ST coupe par ST

Protocole de fouille Moitié Sud : fouille par passes manuelles  
Moitié Nord : fouille par passes mécaniques

Notes sur la structure Fosse ovale (1.3 par 0.95)  
calcaires brûlés

Comblement N-naturel Datation Néo/Proto

Légendes de la coupe US1 : sédiment argilo-limoneux de couleur brun foncé, compact et homogène, racines et radicelles dans la partie supérieure, avec quelques cailloux brûlés de 1 à 5 cm.  
US2 : mélange des sédiments de l'US1 et de l'US3.

Prélèvements

Mobilier  Tamisage

Faune	Lithique	Céramique	Terre crue-cuite	Métal	Restes humains
Industrie osseuse	Macrolithique	Pierres (en g)	Parure	Autres	
Malacofaune	Microfaune	Carporestes	Anthracorestes		
Présence					

Négatif

OA9785 - Clos de Roque - Saint-Maximin-la-Sainte-Baume - Var - 2011

Numéro de structure ST2247 Secteur K04 Type de structure Fosse

Date de fouille 23/06/2011 Minutes 540 - 541 - 542

Photos 0812 - 0845 - 0864 - 0865 - 1047 - 1048

Points topographiques PT0893 - PT4171 à PT4178 - PT4292 à PT4293 - PT5098 à PT5113 - PT4389

X (Lambert III) 885505 \* (m) Y (Lambert III) 134860.52

Altitude supérieure 286.18 Altitude inférieure 285.27

forme en coupe A4 forme en plan Circulaire

UPS de scellement UPS2 UPS encaissants UPS3

diamètre à l'ouverture\* 1.10 x diamètre maximal\* 1.45

profondeur observée\* 0.90 Volume estimé (m3) 1.1946

coupe ST coupe par ST

Protocole de fouille Moitié Sud : fouille par passes manuelles  
Moitié Nord : fouille par passes mécaniques

Notes sur la structure Fosse avec présence de restes humains éparés dans l'US4  
calcaires et calcites brûlés

Comblement AN-anthropique et Datation Néolithique final phase 1

Légendes de la coupe US1 : sédiment argilo-limoneux de couleur brun foncé, compact et hétérogène, quelques cailloux de 1 à 5 cm, avec nombreuses lentilles d'UPS3. Effondrement parois.  
US2 : sédiment argilo-limoneux de couleur brun moyen, compact et homogène, quelques cailloux de 1 à 5 cm.  
US3 : sédiment argilo-limoneux de couleur brun moyen, compact et homogène, quelques cailloux de 1 à 5 cm et micro-granules calcaires.  
US4 : sédiment argilo-limoneux de couleur brun moyen à foncé, compact et homogène, quelques cailloux de 1 à 5 cm et micro-granules calcaires, racines et radicelles dans la partie supérieure, proche de l'US3.

Prélèvements PR80 (PT4389) : sédiment carpologie

Mobilier  Tamisage

Faune	Lithique	Céramique	Terre crue-cuite	Métal	Restes humains
21	03	10			08
Industrie osseuse	Macrolithique	Pierres (en g)	Parure	Autres	
Malacofaune	Microfaune	Carporestes	Anthracorestes		
Présence					

Négatif

OA9785 - Clos de Roque - Saint-Maximin-la-Sainte-Baume - Var - 2011

Numéro de structure ST2248 Secteur J04 Type de structure Fosse de plantation\*

Date de fouille 07/07/2011 Minutes

Photos

Points topographiques PT0894

X (Lambert III) 885509 \* (m) Y (Lambert III) 134861.32

Altitude supérieure 286.08 Altitude inférieure 286.01

forme en coupe B2 forme en plan Circulaire

UPS de scellement UPS2 UPS encaissants UPS3

diamètre à l'ouverture\* 0.60 x diamètre maximal\* 0.60

profondeur observée\* 0.07 Volume estimé (m3) 0.0198

coupe ST coupe par ST

Protocole de fouille Moitié Sud : fouille par passes mécaniques  
Moitié Nord : fouille par passes manuelles

Notes sur la structure Fosse moderne circulaire

Comblement N-naturel Datation Historique

Légendes de la coupe Sédiment limono-argileux brun, meuble à compact, quelques galets et cailloux de 1 à 2 cm, radicelles.

Prélèvements

Mobilier  Tamisage

Faune	Lithique	Céramique	Terre crue-cuite	Métal	Restes humains
Industrie osseuse	Macrolithique	Pierres (en g)	Parure	Autres	
Malacofaune	Microfaune	Carporestes	Anthracorestes		
Présence					

Négatif

OA9785 - Clos de Roque - Saint-Maximin-la-Sainte-Baume - Var - 2011

Numéro de structure ST2249 Secteur J06 Type de structure Trou de poteau

Date de fouille 18/06/2011 Minutes 616 - 640

Photos 1275 - 1290

Points topographiques PT0895 - PT6151 à PT6158 - PT6191

X (Lambert III) 885565.73 \* (m) Y (Lambert III) 134860.36

Altitude supérieure 286.07 Altitude inférieure 285.97

forme en coupe B2 forme en plan Circulaire

UPS de scellement UPS2 UPS encaissants UPS3

diamètre à l'ouverture\* 0.18 x diamètre maximal\* 0.18

profondeur observée\* 0.10 Volume estimé (m3) 0.0025

coupe ST coupe par ST

Protocole de fouille Moitié Sud : fouille par passes manuelles  
Moitié Nord : fouille par passes manuelles

Notes sur la structure Trou de poteau

Comblement N-naturel Datation Néo/Proto

Légendes de la coupe US1 : sédiment argilo-limoneux de couleur brun foncé, compact et homogène, racines et radicelles dans la partie supérieure.

Prélèvements

Mobilier  Tamisage

Faune	Lithique	Céramique	Terre crue-cuite	Métal	Restes humains
Industrie osseuse	Macrolithique	Pierres (en g)	Parure	Autres	
Malacofaune	Microfaune	Carporestes	Anthracorestes		
Présence					

Annexe 3 - Le Clos de Roque, Saint-Maximin-la-Sainte-Baume (83). Inventaire des structures identifiées au décapage par fiches comprenant les indications des points topographiques, des minutes, des prélèvements et des photographies numériques de références.

<p>Négatif <input type="checkbox"/></p> <p style="text-align: center;">OA9785 - Clos de Roque - Saint-Maximin-la-Sainte-Baume - Var - 2011</p> <p>Nom de structure: ST2250    Secteur: L04    Type de structure: Fosse</p> <p>Date de fouille: 23/06/2011    Minutes: 707 - 708</p> <p>Photos: 0812 - 0845 - 0864 - 0865 - 1047 - 1048</p> <p>Points topographiques: PT0896 - PT6556 à PT6557 - PT7006 à PT7015 - PT4389</p> <p>X (Lambert III): 885505.78    Y (Lambert III): 134857.81</p> <p>Altitude supérieure: 286.16    Altitude inférieure: 285.84</p> <p>forme en coupe: A3    forme en plan: Circulaire</p> <p>UPS de scellement: UPS2    UPS encaissants: UPS3</p> <p>diamètre à l'ouverture*: 0.80 x 0.75    diamètre maximal*: 0.85</p> <p>profondeur observée*: 0.32    Volume estimé (m3): 0.149</p> <p>coupe ST: coupée par ST</p> <p>Protocole de fouille: Moitié Sud : fouille par passes manuelles Moitié Nord : fouille par passes mécaniques</p> <p>Notes sur la structure: Fosse peu profonde, peut-être fosse en ampoule calcaires</p> <p>Comblement: N-naturel    Datation: Néo/Proto</p> <p>Légendes de la coupe: US1 : sédiment argilo-limoneux de couleur brun foncé, compact et homogène, quelques cailloux de 1 à 5 cm, racines et radicelles dans la partie supérieure.</p> <p>Prélèvements:</p> <p>Mobilier: <input type="checkbox"/> Tamisage</p> <table border="1" style="width:100%; border-collapse: collapse;"> <tr> <td>Faune</td><td>Lithique</td><td>Céramique</td><td>Terre crue-cuite</td><td>Métal</td><td>Restes humains</td> </tr> <tr> <td>02</td><td>01</td><td></td><td></td><td></td><td></td> </tr> <tr> <td>Industrie osseuse</td><td>Macrolithique</td><td>Pierres (en g)</td><td>Parure</td><td></td><td>Autres</td> </tr> <tr> <td></td><td></td><td>170</td><td></td><td></td><td></td> </tr> <tr> <td>Malacofaune</td><td>Microfaune</td><td>Carporesses</td><td>Anthracorestes</td><td></td><td></td> </tr> <tr> <td>Présence</td><td></td><td></td><td></td><td></td><td></td> </tr> </table>	Faune	Lithique	Céramique	Terre crue-cuite	Métal	Restes humains	02	01					Industrie osseuse	Macrolithique	Pierres (en g)	Parure		Autres			170				Malacofaune	Microfaune	Carporesses	Anthracorestes			Présence						<p>Négatif <input type="checkbox"/></p> <p style="text-align: center;">OA9785 - Clos de Roque - Saint-Maximin-la-Sainte-Baume - Var - 2011</p> <p>Nom de structure: ST2251    Secteur: L04    Type de structure: Fosse de plantation</p> <p>Date de fouille: 06/07/2011    Minutes:</p> <p>Photos:</p> <p>Points topographiques: PT0897</p> <p>X (Lambert III): 885503.19    Y (Lambert III): 134854.29</p> <p>Altitude supérieure: 286.09    Altitude inférieure: 286.01</p> <p>forme en coupe: B2    forme en plan: Circulaire</p> <p>UPS de scellement: UPS2    UPS encaissants: UPS3</p> <p>diamètre à l'ouverture*: 0.70 x    diamètre maximal*: 0.70</p> <p>profondeur observée*: 0.08    Volume estimé (m3): 0.0308</p> <p>coupe ST: coupée par ST</p> <p>Protocole de fouille: Moitié Sud : fouille par passes manuelles Moitié Nord : fouille par passes mécaniques</p> <p>Notes sur la structure: Fosse moderne circulaire</p> <p>Comblement: N-naturel    Datation: Historique</p> <p>Légendes de la coupe: Sédiment limono-argileux brun, meuble à compact, quelques galets et cailloux de 1 à 2 cm, radicelles.</p> <p>Prélèvements:</p> <p>Mobilier: <input type="checkbox"/> Tamisage</p> <table border="1" style="width:100%; border-collapse: collapse;"> <tr> <td>Faune</td><td>Lithique</td><td>Céramique</td><td>Terre crue-cuite</td><td>Métal</td><td>Restes humains</td> </tr> <tr> <td></td><td></td><td></td><td></td><td></td><td></td> </tr> <tr> <td>Industrie osseuse</td><td>Macrolithique</td><td>Pierres (en g)</td><td>Parure</td><td></td><td>Autres</td> </tr> <tr> <td></td><td></td><td></td><td></td><td></td><td></td> </tr> <tr> <td>Malacofaune</td><td>Microfaune</td><td>Carporesses</td><td>Anthracorestes</td><td></td><td></td> </tr> <tr> <td></td><td></td><td></td><td></td><td></td><td></td> </tr> </table>	Faune	Lithique	Céramique	Terre crue-cuite	Métal	Restes humains							Industrie osseuse	Macrolithique	Pierres (en g)	Parure		Autres							Malacofaune	Microfaune	Carporesses	Anthracorestes								
Faune	Lithique	Céramique	Terre crue-cuite	Métal	Restes humains																																																																				
02	01																																																																								
Industrie osseuse	Macrolithique	Pierres (en g)	Parure		Autres																																																																				
		170																																																																							
Malacofaune	Microfaune	Carporesses	Anthracorestes																																																																						
Présence																																																																									
Faune	Lithique	Céramique	Terre crue-cuite	Métal	Restes humains																																																																				
Industrie osseuse	Macrolithique	Pierres (en g)	Parure		Autres																																																																				
Malacofaune	Microfaune	Carporesses	Anthracorestes																																																																						
<p>Négatif <input checked="" type="checkbox"/></p> <p style="text-align: center;">OA9785 - Clos de Roque - Saint-Maximin-la-Sainte-Baume - Var - 2011</p> <p>Nom de structure: ST2252    Secteur: M03    Type de structure: Fosse</p> <p>Date de fouille: 06/07/2011    Minutes:</p> <p>Photos:</p> <p>Points topographiques: PT0898</p> <p>X (Lambert III): 885499.2    Y (Lambert III): 134848.62</p> <p>Altitude supérieure: 286.09    Altitude inférieure:</p> <p>forme en coupe:    forme en plan:</p> <p>UPS de scellement:    UPS encaissants:</p> <p>diamètre à l'ouverture* x    diamètre maximal*:</p> <p>profondeur observée*    Volume estimé (m3):</p> <p>coupe ST: coupée par ST</p> <p>Protocole de fouille:</p> <p>Notes sur la structure: Annulée, identique à ST2326</p> <p>Comblement:    Datation:</p> <p>Légendes de la coupe:</p> <p>Prélèvements:</p> <p>Mobilier: <input type="checkbox"/> Tamisage</p> <table border="1" style="width:100%; border-collapse: collapse;"> <tr> <td>Faune</td><td>Lithique</td><td>Céramique</td><td>Terre crue-cuite</td><td>Métal</td><td>Restes humains</td> </tr> <tr> <td></td><td></td><td></td><td></td><td></td><td></td> </tr> <tr> <td>Industrie osseuse</td><td>Macrolithique</td><td>Pierres (en g)</td><td>Parure</td><td></td><td>Autres</td> </tr> <tr> <td></td><td></td><td></td><td></td><td></td><td></td> </tr> <tr> <td>Malacofaune</td><td>Microfaune</td><td>Carporesses</td><td>Anthracorestes</td><td></td><td></td> </tr> <tr> <td></td><td></td><td></td><td></td><td></td><td></td> </tr> </table>	Faune	Lithique	Céramique	Terre crue-cuite	Métal	Restes humains							Industrie osseuse	Macrolithique	Pierres (en g)	Parure		Autres							Malacofaune	Microfaune	Carporesses	Anthracorestes									<p>Négatif <input type="checkbox"/></p> <p style="text-align: center;">OA9785 - Clos de Roque - Saint-Maximin-la-Sainte-Baume - Var - 2011</p> <p>Nom de structure: ST2253    Secteur: K07    Type de structure: Trou de poteau</p> <p>Date de fouille: 23/05/2011    Minutes: 058 - 059 - 060</p> <p>Photos: 0198 - 0201 - 0202</p> <p>Points topographiques: PT1428 à PT1434 - PT1604 à PT1612</p> <p>X (Lambert III): 885537.49    Y (Lambert III): 134868.45</p> <p>Altitude supérieure: 286.09    Altitude inférieure: 285.89</p> <p>forme en coupe: B2    forme en plan: Circulaire</p> <p>UPS de scellement: UPS2    UPS encaissants: UPS3</p> <p>diamètre à l'ouverture*: 0.24 x    diamètre maximal*: 0.24</p> <p>profondeur observée*: 0.2    Volume estimé (m3): 0.009</p> <p>coupe ST: coupée par ST</p> <p>Protocole de fouille: Moitié Sud : fouille par passes manuelles Moitié Nord : fouille par passes manuelles</p> <p>Notes sur la structure: Trou de poteau. Appartient à l'Ensemble B, trous de poteaux dessinant un plan rectangulaire nord-sud.</p> <p>Comblement: N-naturel    Datation: Bronze ancien prob</p> <p>Légendes de la coupe: US1 : sédiment argilo-limoneux de couleur brun, compact et homogène, racines et radicelles dans la partie supérieure. US2 : mélange des sédiments de l'US1 et de l'UPS3.</p> <p>Prélèvements:</p> <p>Mobilier: <input type="checkbox"/> Tamisage</p> <table border="1" style="width:100%; border-collapse: collapse;"> <tr> <td>Faune</td><td>Lithique</td><td>Céramique</td><td>Terre crue-cuite</td><td>Métal</td><td>Restes humains</td> </tr> <tr> <td></td><td></td><td></td><td></td><td></td><td></td> </tr> <tr> <td>Industrie osseuse</td><td>Macrolithique</td><td>Pierres (en g)</td><td>Parure</td><td></td><td>Autres</td> </tr> <tr> <td></td><td></td><td></td><td></td><td></td><td></td> </tr> <tr> <td>Malacofaune</td><td>Microfaune</td><td>Carporesses</td><td>Anthracorestes</td><td></td><td></td> </tr> <tr> <td>Présence</td><td></td><td></td><td></td><td></td><td></td> </tr> </table>	Faune	Lithique	Céramique	Terre crue-cuite	Métal	Restes humains							Industrie osseuse	Macrolithique	Pierres (en g)	Parure		Autres							Malacofaune	Microfaune	Carporesses	Anthracorestes			Présence					
Faune	Lithique	Céramique	Terre crue-cuite	Métal	Restes humains																																																																				
Industrie osseuse	Macrolithique	Pierres (en g)	Parure		Autres																																																																				
Malacofaune	Microfaune	Carporesses	Anthracorestes																																																																						
Faune	Lithique	Céramique	Terre crue-cuite	Métal	Restes humains																																																																				
Industrie osseuse	Macrolithique	Pierres (en g)	Parure		Autres																																																																				
Malacofaune	Microfaune	Carporesses	Anthracorestes																																																																						
Présence																																																																									

Annexe 3 - Le Clos de Roque, Saint-Maximin-la-Sainte-Baume (83). Inventaire des structures identifiées au décapage par fiches comprenant les indications des points topographiques, des minutes, des prélèvements et des photographies numériques de références.

Négatif

OA9785 - Clos de Roque - Saint-Maximin-la-Sainte-Baume - Var - 2011

Numéro de structure  Secteur  Type de structure

Date de fouille  Minutes

Photos

Points topographiques

X (Lambert III)  \* (m) Y (Lambert III)

Altitude supérieure  Altitude inférieure

forme en coupe  forme en plan

UPS de scellement  UPS encaissants

diamètre à l'ouverture\*  x  diamètre maximal\*

profondeur observée\*  Volume estimé (m3)

coupe ST  coupée par ST

Protocole de fouille

Notes sur la structure

Comblement  Datation

Légendes de la coupe

Prélèvements

Mobilier  Tamisage

Faune	Lithique	Céramique	Terre crue-cuite	Métal	Restes humains
<input type="text"/>	<input type="text" value="02"/>	<input type="text" value="24"/>	<input type="text"/>	<input type="text"/>	<input type="text"/>
Industrie osseuse	Macrolithique	Pierres (en g)	Parure	Autres	
<input type="text"/>	<input type="text"/>	<input type="text"/>	<input type="text"/>	<input type="text"/>	
Malacofaune	Microfaune	Carporesses	Anthracorestes	<input type="text"/>	
<input type="text"/>	<input type="text"/>	<input type="text"/>	<input type="text"/>	<input type="text"/>	

Négatif

OA9785 - Clos de Roque - Saint-Maximin-la-Sainte-Baume - Var - 2011

Numéro de structure  Secteur  Type de structure

Date de fouille  Minutes

Photos

Points topographiques

X (Lambert III)  \* (m) Y (Lambert III)

Altitude supérieure  Altitude inférieure

forme en coupe  forme en plan

UPS de scellement  UPS encaissants

diamètre à l'ouverture\*  x

diamètre maximal\*

profondeur observée\*  Volume estimé (m3)

coupe ST  coupée par ST

Protocole de fouille

Notes sur la structure

Comblement  Datation

Légendes de la coupe

Prélèvements

Mobilier  Tamisage

Faune	Lithique	Céramique	Terre crue-cuite	Métal	Restes humains
<input type="text"/>	<input type="text"/>	<input type="text" value="04"/>	<input type="text"/>	<input type="text"/>	<input type="text"/>
Industrie osseuse	Macrolithique	Pierres (en g)	Parure	Autres	
<input type="text"/>	<input type="text"/>	<input type="text"/>	<input type="text"/>	<input type="text"/>	
Malacofaune	Microfaune	Carporesses	Anthracorestes	<input type="text"/>	
<input type="text"/>	<input type="text"/>	<input type="text"/>	<input type="text"/>	<input type="text"/>	

Négatif

OA9785 - Clos de Roque - Saint-Maximin-la-Sainte-Baume - Var - 2011

Numéro de structure  Secteur  Type de structure

Date de fouille  Minutes

Photos

Points topographiques

X (Lambert III)  \* (m) Y (Lambert III)

Altitude supérieure  Altitude inférieure

forme en coupe  forme en plan

UPS de scellement  UPS encaissants

diamètre à l'ouverture\*  x  diamètre maximal\*

profondeur observée\*  Volume estimé (m3)

coupe ST  coupée par ST

Protocole de fouille

Notes sur la structure

Comblement  Datation

Légendes de la coupe

Prélèvements

Mobilier  Tamisage

Faune	Lithique	Céramique	Terre crue-cuite	Métal	Restes humains
<input type="text"/>	<input type="text"/>	<input type="text" value="16"/>	<input type="text"/>	<input type="text"/>	<input type="text"/>
Industrie osseuse	Macrolithique	Pierres (en g)	Parure	Autres	
<input type="text"/>	<input type="text"/>	<input type="text"/>	<input type="text"/>	<input type="text"/>	
Malacofaune	Microfaune	Carporesses	Anthracorestes	<input type="text"/>	
<input type="text"/>	<input type="text"/>	<input type="text"/>	<input type="text"/>	<input type="text"/>	

Négatif

OA9785 - Clos de Roque - Saint-Maximin-la-Sainte-Baume - Var - 2011

Numéro de structure  Secteur  Type de structure

Date de fouille  Minutes

Photos

Points topographiques

X (Lambert III)  \* (m) Y (Lambert III)

Altitude supérieure  Altitude inférieure

forme en coupe  forme en plan

UPS de scellement  UPS encaissants

diamètre à l'ouverture\*  x  diamètre maximal\*

profondeur observée\*  Volume estimé (m3)

coupe ST  coupée par ST

Protocole de fouille

Notes sur la structure

Comblement  Datation

Légendes de la coupe

Prélèvements

Mobilier  Tamisage

Faune	Lithique	Céramique	Terre crue-cuite	Métal	Restes humains
<input type="text" value="01"/>	<input type="text"/>	<input type="text" value="03"/>	<input type="text"/>	<input type="text"/>	<input type="text"/>
Industrie osseuse	Macrolithique	Pierres (en g)	Parure	Autres	
<input type="text"/>	<input type="text"/>	<input type="text"/>	<input type="text"/>	<input type="text"/>	
Malacofaune	Microfaune	Carporesses	Anthracorestes	<input type="text"/>	
<input type="text"/>	<input type="text"/>	<input type="text"/>	<input type="text"/>	<input type="text"/>	

Annexe 3 - Le Clos de Roque, Saint-Maximin-la-Sainte-Baume (83). Inventaire des structures identifiées au décapage par fiches comprenant les indications des points topographiques, des minutes, des prélèvements et des photographies numériques de références.

Négatif <input type="checkbox"/>		OA9785 - Clos de Roque - Saint-Maximin-la-Sainte-Baume - Var - 2011	
Numéro de structure Date de fouille Photos	ST2258 24/05/2011 0207 - 0215 - 0218	Secteur Minutes	K07 064 - 065 - 066
Type de structure <b>Trou de poteau</b>			
Points topographiques PT1441 à PT1451 - PT1505 - PT1514 - PT1613 à PT1614 - PT1847 -PT1848			
X (Lambert III) Altitude supérieure forme en coupe UPS de scellement diamètre à l'ouverture* profondeur observée* coupe ST	885537.59 286.03 B2 US1 ST2154 0.3 0.20 coupe par ST	Y (Lambert III) Altitude inférieure forme en plan UPS encaissants diamètre maximal* Volume estimé (m3) coupée par ST	134866.57 285.92 Ovalaire UPS3 0.3 0.0106 ST2154
Protocole de fouille Moitié Sud : fouille par passes manuelles Moitié Nord : fouille par passes manuelles			
Notes sur la structure Trou de poteau dans tranchée de fondation ST2154-ST2148. Cette structure appartient à l'Ensemble A			
Comblement N-naturel Datation Bronze ancien phase 2			
Légendes de la coupe US1 : sédiment argilo-limoneux de couleur brun foncé, compact et homogène. US2 : mélange des sédiments de l'US1 et de l'UPS3.			
Prélèvements			
Mobilier			
Faune Industrie osseuse Malacofaune Présence	Lithique Macrolithique Microfaune	Céramique Pierres (en g) Carpocestes	Terre crue-cuite Parure Anthracocrestes
<input type="checkbox"/> Tamisage <input type="checkbox"/> Restes humains			

Négatif <input checked="" type="checkbox"/>		OA9785 - Clos de Roque - Saint-Maximin-la-Sainte-Baume - Var - 2011	
Numéro de structure Date de fouille Photos	ST2259 05/07/2011 0192	Secteur Minutes	K07 074 - 075 - 076
Type de structure <b>Ferrier</b>			
Points topographiques PT1364			
X (Lambert III) Altitude supérieure forme en coupe UPS de scellement diamètre à l'ouverture* profondeur observée* coupe ST	885536.71 286.2 B2 UPS2 0.35 0.15 coupe par ST	Y (Lambert III) Altitude inférieure forme en plan UPS encaissants diamètre maximal* Volume estimé (m3) coupée par ST	134866.95 285.81 Longiligne UPS3 1 coupe par ST
Protocole de fouille Moitié Sud : fouille par passes manuelles Moitié Nord : fouille par passes manuelles			
Notes sur la structure Ferrier recoupant une structure néolithique, livrant du matériel			
Comblement N-naturel Datation Néant			
Légendes de la coupe Sédiment limono-argileux brun, meuble à compact, quelques galets de 1 à 2 cm, radicelles.			
Prélèvements			
Mobilier			
Faune Industrie osseuse Malacofaune Présence	Lithique Macrolithique Microfaune	Céramique Pierres (en g) Carpocestes	Terre crue-cuite Parure Anthracocrestes
<input checked="" type="checkbox"/> Tamisage <input type="checkbox"/> Restes humains			

Négatif <input type="checkbox"/>		OA9785 - Clos de Roque - Saint-Maximin-la-Sainte-Baume - Var - 2011	
Numéro de structure Date de fouille Photos	ST2260 24/05/2011 0207 - 0215 - 0218	Secteur Minutes	K07 061 - 062 - 063
Type de structure <b>Trou de poteau</b>			
Points topographiques PT1473 à PT1477 - PT1515 à PT1524			
X (Lambert III) Altitude supérieure forme en coupe UPS de scellement diamètre à l'ouverture* profondeur observée* coupe ST	885537.63 285.98 B2 US1 ST2154 0.25 0.30 coupe par ST	Y (Lambert III) Altitude inférieure forme en plan UPS encaissants diamètre maximal* Volume estimé (m3) coupée par ST	134865.71 285.85 Circulaire UPS3 0.25 0.0147 ST2154
Protocole de fouille Moitié Sud : fouille par passes manuelles Moitié Nord : fouille par passes manuelles			
Notes sur la structure Trou de poteau dans tranchée de fondation ST2154-ST2148. Cette structure appartient à l'Ensemble A			
Comblement N-naturel Datation Bronze ancien phase 2			
Légendes de la coupe US1 : sédiment argilo-limoneux de couleur brun foncé, compact et homogène. US2 : mélange des sédiments de l'US1 et de l'UPS3.			
Prélèvements			
Mobilier			
Faune Industrie osseuse Malacofaune Présence	Lithique Macrolithique Microfaune	Céramique Pierres (en g) Carpocestes	Terre crue-cuite Parure Anthracocrestes
<input type="checkbox"/> Tamisage <input type="checkbox"/> Restes humains			

Négatif <input type="checkbox"/>		OA9785 - Clos de Roque - Saint-Maximin-la-Sainte-Baume - Var - 2011	
Numéro de structure Date de fouille Photos	ST2261 24/05/2011 0209 - 0220 - 0232	Secteur Minutes	K07 074 - 075 - 076
Type de structure <b>Trou de poteau</b>			
Points topographiques PT1478 à PT1484 - PT1615 à PT1624			
X (Lambert III) Altitude supérieure forme en coupe UPS de scellement diamètre à l'ouverture* profondeur observée* coupe ST	885536.57 286.12 B2 UPS2 0.44 0.23 coupe par ST	Y (Lambert III) Altitude inférieure forme en plan UPS encaissants diamètre maximal* Volume estimé (m3) coupée par ST	134868.24 285.89 Ovalaire UPS3 0.44 0.0247 coupe par ST
Protocole de fouille Moitié Sud : fouille par passes manuelles Moitié Nord : fouille par passes manuelles			
Notes sur la structure Trou de poteau dont la partie ouest est plus profonde			
Comblement N-naturel Datation Bronze ancien prob			
Légendes de la coupe US1 : sédiment argilo-limoneux de couleur brun, compact et homogène, racines et radicelles dans la partie supérieure. US2 : mélange des sédiments de l'US1 et de l'UPS3.			
Prélèvements			
Mobilier			
Faune Industrie osseuse Malacofaune Présence	Lithique Macrolithique Microfaune	Céramique Pierres (en g) Carpocestes	Terre crue-cuite Parure Anthracocrestes
<input type="checkbox"/> Tamisage <input type="checkbox"/> Restes humains			

Annexe 3 - Le Clos de Roque, Saint-Maximin-la-Sainte-Baume (83). Inventaire des structures identifiées au décapage par fiches comprenant les indications des points topographiques, des minutes, des prélèvements et des photographies numériques de références.



Négatif

OA9785 - Clos de Roque - Saint-Maximin-la-Sainte-Baume - Var - 2011

Numéro de structure  Secteur  Type de structure

Date de fouille  Minutes

Photos

Points topographiques

X (Lambert III)  \* (m) Y (Lambert III)

Altitude supérieure  Altitude inférieure

forme en coupe  forme en plan

UPS de scellement  UPS encaissants

diamètre à l'ouverture\*  x  diamètre maximal\*

profondeur observée\*  Volume estimé (m3)

coupe ST  coupée par ST

Protocole de fouille

Notes sur la structure

Comblement  Datation

Légendes de la coupe

Prélèvements

Mobilier  Tamisage

Faune	Lithique	Céramique	Terre crue-cuite	Métal	Restes humains
<input type="text" value=""/>	<input type="text" value=""/>	<input type="text" value="01"/>	<input type="text" value=""/>	<input type="text" value=""/>	<input type="text" value=""/>
Industrie osseuse	Macrolithique	Pierres (en g)	Parure	Autres	
<input type="text" value=""/>	<input type="text" value=""/>	<input type="text" value=""/>	<input type="text" value=""/>	<input type="text" value=""/>	
Malacofaune	Microfaune	Carporesses	Anthracorestes	<input type="text" value=""/>	
<input type="text" value=""/>	<input type="text" value=""/>	<input type="text" value=""/>	<input type="text" value=""/>	<input type="text" value=""/>	

Négatif

OA9785 - Clos de Roque - Saint-Maximin-la-Sainte-Baume - Var - 2011

Numéro de structure  Secteur  Type de structure

Date de fouille  Minutes

Photos

Points topographiques

X (Lambert III)  \* (m) Y (Lambert III)

Altitude supérieure  Altitude inférieure

forme en coupe  forme en plan

UPS de scellement  UPS encaissants

diamètre à l'ouverture\*  x  diamètre maximal\*

profondeur observée\*  Volume estimé (m3)

coupe ST  coupée par ST

Protocole de fouille

Notes sur la structure

Comblement  Datation

Légendes de la coupe

Prélèvements

Mobilier  Tamisage

Faune	Lithique	Céramique	Terre crue-cuite	Métal	Restes humains
<input type="text" value=""/>	<input type="text" value=""/>	<input type="text" value="07"/>	<input type="text" value=""/>	<input type="text" value=""/>	<input type="text" value=""/>
Industrie osseuse	Macrolithique	Pierres (en g)	Parure	Autres	
<input type="text" value=""/>	<input type="text" value=""/>	<input type="text" value=""/>	<input type="text" value=""/>	<input type="text" value=""/>	
Malacofaune	Microfaune	Carporesses	Anthracorestes	<input type="text" value=""/>	
<input type="text" value=""/>	<input type="text" value=""/>	<input type="text" value=""/>	<input type="text" value=""/>	<input type="text" value=""/>	

Négatif

OA9785 - Clos de Roque - Saint-Maximin-la-Sainte-Baume - Var - 2011

Numéro de structure  Secteur  Type de structure

Date de fouille  Minutes

Photos

Points topographiques

X (Lambert III)  \* (m) Y (Lambert III)

Altitude supérieure  Altitude inférieure

forme en coupe  forme en plan

UPS de scellement  UPS encaissants

diamètre à l'ouverture\*  x  diamètre maximal\*

profondeur observée\*  Volume estimé (m3)

coupe ST  coupée par ST

Protocole de fouille

Notes sur la structure

Comblement  Datation

Légendes de la coupe

Prélèvements

Mobilier  Tamisage

Faune	Lithique	Céramique	Terre crue-cuite	Métal	Restes humains
<input type="text" value="01"/>	<input type="text" value=""/>	<input type="text" value="02"/>	<input type="text" value=""/>	<input type="text" value=""/>	<input type="text" value=""/>
Industrie osseuse	Macrolithique	Pierres (en g)	Parure	Autres	
<input type="text" value=""/>	<input type="text" value=""/>	<input type="text" value=""/>	<input type="text" value=""/>	<input type="text" value=""/>	
Malacofaune	Microfaune	Carporesses	Anthracorestes	<input type="text" value=""/>	
<input type="text" value=""/>	<input type="text" value=""/>	<input type="text" value=""/>	<input type="text" value=""/>	<input type="text" value=""/>	

Négatif

OA9785 - Clos de Roque - Saint-Maximin-la-Sainte-Baume - Var - 2011

Numéro de structure  Secteur  Type de structure

Date de fouille  Minutes

Photos

Points topographiques

X (Lambert III)  \* (m) Y (Lambert III)

Altitude supérieure  Altitude inférieure

forme en coupe  forme en plan

UPS de scellement  UPS encaissants

diamètre à l'ouverture\*  x  diamètre maximal\*

profondeur observée\*  Volume estimé (m3)

coupe ST  coupée par ST

Protocole de fouille

Notes sur la structure

Comblement  Datation

Légendes de la coupe

Prélèvements

Mobilier  Tamisage

Faune	Lithique	Céramique	Terre crue-cuite	Métal	Restes humains
<input type="text" value=""/>	<input type="text" value=""/>	<input type="text" value="07"/>	<input type="text" value=""/>	<input type="text" value=""/>	<input type="text" value=""/>
Industrie osseuse	Macrolithique	Pierres (en g)	Parure	Autres	
<input type="text" value=""/>	<input type="text" value=""/>	<input type="text" value=""/>	<input type="text" value=""/>	<input type="text" value=""/>	
Malacofaune	Microfaune	Carporesses	Anthracorestes	<input type="text" value=""/>	
<input type="text" value=""/>	<input type="text" value=""/>	<input type="text" value=""/>	<input type="text" value=""/>	<input type="text" value=""/>	

Annexe 3 - Le Clos de Roque, Saint-Maximin-la-Sainte-Baume (83). Inventaire des structures identifiées au décapage par fiches comprenant les indications des points topographiques, des minutes, des prélèvements et des photographies numériques de références.

Négatif <input checked="" type="checkbox"/>		OA9785 - Clos de Roque - Saint-Maximin-la-Sainte-Baume - Var - 2011	
Numéro de structure ST2266	Secteur K07	Type de structure Dépression	
Date de fouille 30/05/2011	Minutes 101	Photos 0276	
Points topographiques PT1911 à PT1915			
X (Lambert III) 885536.31	Y (Lambert III) 134868.63	Altitude supérieure 286.15	
Altitude inférieure 286.1		forme en coupe B2	
forme en plan Longiligne		UPS de scellement UPS2	
UPS encaissants UPS3		diamètre à l'ouverture* 0.15	
diamètre maximal* 0.3		profondeur observée* 0.05	
Volume estimé (m3) coupée par ST		Protocole de fouille Moitié Sud : fouille par passes manuelles Moitié Nord : fouille par passes manuelles	
Notes sur la structure Trace de labour plus profond			
Comblement N-naturel			
Datation Néant			
Légendes de la coupe Sédiment limono-argileux brun, meuble à compact, quelques galets et cailloux de 1 à 2 cm, radicelles.			
Prélèvements			
Mobilier			
Faune	Lithique	Céramique	Terre crue-cuite
Industrie osseuse	Macrolithique	Pierres (en g)	Parure
Malacofaune	Microfaune	Carpocestes	Anthracoccestes
			<input type="checkbox"/> Tamisage Restes humains

Négatif <input type="checkbox"/>		OA9785 - Clos de Roque - Saint-Maximin-la-Sainte-Baume - Var - 2011	
Numéro de structure ST2267	Secteur K07	Type de structure Trou de poteau	
Date de fouille 31/05/2011	Minutes 117 - 118 - 119	Photos 0300 à 0301 - 0308 à 0309	
Points topographiques PT2040 à PT2046 - PT2149 à PT2212			
X (Lambert III) 885534.87	Y (Lambert III) 134862.14	Altitude supérieure 286.24	
Altitude inférieure 286.1		forme en coupe B2	
forme en plan Longiligne		UPS de scellement UPS2	
UPS encaissants UPS3		diamètre à l'ouverture* 0.15	
diamètre maximal* 1.6		profondeur observée* 0.14	
Volume estimé (m3) 0.0336		coupée par ST	
Protocole de fouille Moitié Sud : fouille par passes manuelles Moitié Nord : fouille par passes manuelles			
Notes sur la structure Trous de piquets en ligne			
Comblement N-naturel			
Datation Bronze ancien prob			
Légendes de la coupe US1 : sédiment argilo-limoneux de couleur brun, compact et homogène, racines et radicelles dans la partie supérieure. US2 : mélange des sédiments de l'US1 et de l'UPS3.			
Prélèvements			
Mobilier			
Faune	Lithique	Céramique	Terre crue-cuite
Industrie osseuse	Macrolithique	Pierres (en g)	Parure
Malacofaune	Microfaune	Carpocestes	Anthracoccestes
			<input checked="" type="checkbox"/> Tamisage Restes humains

Négatif <input type="checkbox"/>		OA9785 - Clos de Roque - Saint-Maximin-la-Sainte-Baume - Var - 2011	
Numéro de structure ST2268	Secteur K07	Type de structure Trou de poteau	
Date de fouille 02/06/2011	Minutes 143 - 193	Photos 0365 - 0372	
Points topographiques PT2047 à PT2053			
X (Lambert III) 885537.68	Y (Lambert III) 134863.06	Altitude supérieure 286.22	
Altitude inférieure 286.12		forme en coupe B2	
forme en plan Ovalaire		UPS de scellement UPS2	
UPS encaissants UPS3		diamètre à l'ouverture* 0.32	
diamètre maximal* 0.32		profondeur observée* 0.29	
Volume estimé (m3) 0.0192		coupée par ST	
Protocole de fouille Moitié Sud : fouille par passes manuelles Moitié Nord : fouille par passes manuelles			
Notes sur la structure Trou de poteau plus profond dans la partie nord			
Comblement N-naturel			
Datation Bronze ancien prob			
Légendes de la coupe US1 : sédiment argilo-limoneux de couleur brun, compact et homogène, racines et radicelles dans la partie supérieure. US2 : mélange des sédiments de l'US1 et de l'UPS3.			
Prélèvements			
Mobilier			
Faune	Lithique	Céramique	Terre crue-cuite
Industrie osseuse	Macrolithique	Pierres (en g)	Parure
Malacofaune	Microfaune	Carpocestes	Anthracoccestes
			<input type="checkbox"/> Tamisage Restes humains

Négatif <input type="checkbox"/>		OA9785 - Clos de Roque - Saint-Maximin-la-Sainte-Baume - Var - 2011	
Numéro de structure ST2269	Secteur K07	Type de structure Fosse	
Date de fouille 02/06/2011	Minutes 173 - 174 - 175	Photos 0373 - 0375	
Points topographiques PT2359 à PT2364 - PT2373			
X (Lambert III) 885530.92	Y (Lambert III) 134863.52	Altitude supérieure 286.19	
Altitude inférieure 285.93		forme en coupe C	
forme en plan Ovalaire		UPS de scellement UPS2	
UPS encaissants UPS3		diamètre à l'ouverture* 0.72	
diamètre maximal* 0.72		profondeur observée* 0.26	
Volume estimé (m3) 0.0863		coupée par ST	
Protocole de fouille Moitié Sud : fouille par passes manuelles Moitié Nord : fouille par passes manuelles			
Notes sur la structure Fosse avec deux trous de poteaux (0.17 x 0.14) (0.10). Ces trous de poteaux pourraient être mis en relation avec l'alignement de ST2267			
Comblement N-naturel			
Datation Néo/Proto			
Légendes de la coupe US1 : sédiment argilo-limoneux de couleur brun, compact et homogène, racines et radicelles dans la partie supérieure. US2 : mélange des sédiments de l'US1 et de l'UPS3.			
Prélèvements			
Mobilier			
Faune	Lithique	Céramique	Terre crue-cuite
Industrie osseuse	Macrolithique	Pierres (en g)	Parure
Malacofaune	Microfaune	Carpocestes	Anthracoccestes
			<input type="checkbox"/> Tamisage Restes humains

Annexe 3 - Le Clos de Roque, Saint-Maximin-la-Sainte-Baume (83). Inventaire des structures identifiées au décapage par fiches comprenant les indications des points topographiques, des minutes, des prélèvements et des photographies numériques de références.

Négatif

OA9785 - Clos de Roque - Saint-Maximin-la-Sainte-Baume - Var - 2011

Numéro de structure  Secteur  Type de structure

Date de fouille  Minutes

Photos

Points topographiques

X (Lambert III)  \* (m) Y (Lambert III)

Altitude supérieure  Altitude inférieure

forme en coupe

forme en plan

UPS de scellement  UPS encaissants

diamètre à l'ouverture\*  x  diamètre maximal\*

profondeur observée\*  Volume estimé (m3)

coupe ST  coupée par ST

Protocole de fouille

Notes sur la structure

Comblement

Datation

Légendes de la coupe

Prélèvements

Mobilier  Tamisage

Faune  Lithique  Céramique  Terre crue-cuite  Métal  Restes humains

Industrie osseuse  Macroolithique  Pierres (en g)  Parure  Autres

Malacofaune  Microfaune  Carporesses  Anthracorestes

Négatif

OA9785 - Clos de Roque - Saint-Maximin-la-Sainte-Baume - Var - 2011

Numéro de structure  Secteur  Type de structure

Date de fouille  Minutes

Photos

Points topographiques

X (Lambert III)  \* (m) Y (Lambert III)

Altitude supérieure  Altitude inférieure

forme en coupe  forme en plan

UPS de scellement  UPS encaissants

diamètre à l'ouverture\*  x  diamètre maximal\*

profondeur observée\*  Volume estimé (m3)

coupe ST  coupée par ST

Protocole de fouille

Notes sur la structure

Comblement  Datation

Légendes de la coupe

Prélèvements

Mobilier  Tamisage

Faune  Lithique  Céramique  Terre crue-cuite  Métal  Restes humains

Industrie osseuse  Macroolithique  Pierres (en g)  Parure  Autres

Malacofaune  Microfaune  Carporesses  Anthracorestes

Négatif

OA9785 - Clos de Roque - Saint-Maximin-la-Sainte-Baume - Var - 2011

Numéro de structure  Secteur  Type de structure

Date de fouille  Minutes

Photos

Points topographiques

X (Lambert III)  \* (m) Y (Lambert III)

Altitude supérieure  Altitude inférieure

forme en coupe  forme en plan

UPS de scellement  UPS encaissants

diamètre à l'ouverture\*  x  diamètre maximal\*

profondeur observée\*  Volume estimé (m3)

coupe ST  coupée par ST

Protocole de fouille

Notes sur la structure

Comblement  Datation

Légendes de la coupe

Prélèvements

Mobilier  Tamisage

Faune  Lithique  Céramique  Terre crue-cuite  Métal  Restes humains

Industrie osseuse  Macroolithique  Pierres (en g)  Parure  Autres

Malacofaune  Microfaune  Carporesses  Anthracorestes

Négatif

OA9785 - Clos de Roque - Saint-Maximin-la-Sainte-Baume - Var - 2011

Numéro de structure  Secteur  Type de structure

Date de fouille  Minutes

Photos

Points topographiques

X (Lambert III)  \* (m) Y (Lambert III)

Altitude supérieure  Altitude inférieure

forme en coupe  forme en plan

UPS de scellement  UPS encaissants

diamètre à l'ouverture\*  x  diamètre maximal\*

profondeur observée\*  Volume estimé (m3)

coupe ST  coupée par ST

Protocole de fouille

Notes sur la structure

Comblement  Datation

Légendes de la coupe

Prélèvements

Mobilier  Tamisage

Faune  Lithique  Céramique  Terre crue-cuite  Métal  Restes humains

Industrie osseuse  Macroolithique  Pierres (en g)  Parure  Autres

Malacofaune  Microfaune  Carporesses  Anthracorestes

Présence

Annexe 3 - Le Clos de Roque, Saint-Maximin-la-Sainte-Baume (83). Inventaire des structures identifiées au décapage par fiches comprenant les indications des points topographiques, des minutes, des prélèvements et des photographies numériques de références.

<p>Négatif <input checked="" type="checkbox"/></p> <p style="text-align: center;">OA9785 - Clos de Roque - Saint-Maximin-la-Sainte-Baume - Var - 2011</p> <p>Numéro de structure <input type="text" value="ST2274"/> Secteur <input type="text" value="J09"/> Type de structure <input type="text" value="Néant"/></p> <p>Date de fouille <input type="text" value="02/06/2011"/> Minutes <input type="text" value="147 - 150"/></p> <p>Photos <input type="text" value="0377 - 0378 - 387"/></p> <p>Points topographiques <input type="text" value="PT2418 - PT2419 - PT2405"/></p> <p>X (Lambert III) <input type="text" value="885559.03"/> * (m) Y (Lambert III) <input type="text" value="134872.75"/></p> <p>Altitude supérieure <input type="text" value="285.66"/> Altitude inférieure <input type="text" value="285.5"/></p> <p>forme en coupe <input type="text" value="B2"/> forme en plan <input type="text" value="Circulaire"/></p> <p>UPS de scellement <input type="text" value="US1 ST2096"/> UPS encaissants <input type="text" value="US4 ST2096"/></p> <p>diamètre à l'ouverture* <input type="text" value="0.20"/> x <input type="text" value=""/> diamètre maximal* <input type="text" value="0.20"/></p> <p>profondeur observée* <input type="text" value="0.16"/> Volume estimé (m3) <input type="text" value=""/></p> <p>coupe ST <input type="text" value="ST2096"/> coupée par ST <input type="text" value=""/></p> <p>Protocole de fouille <input type="text" value="Moitié Sud : fouille par passes manuelles&lt;br/&gt;Moitié Nord : fouille par passes manuelles"/></p> <p>Notes sur la structure <input type="text" value="Trou de poteau possible dans ST2096, ou plus vraisemblablement amas de pierres"/></p> <p>Comblement <input type="text" value="N-naturel"/> Datation <input type="text" value="Néolithique récent"/></p> <p>Légendes de la coupe <input type="text" value="US1 : sédiment argilo-limoneux de couleur brun, compact et homogène."/></p> <p>Prélèvements <input type="text" value=""/></p> <p>Mobilier <input type="checkbox"/> Tamisage</p> <table style="width:100%; border-collapse: collapse;"> <tr> <td style="width:12.5%;"><input type="text"/></td> <td style="width:12.5%;"><input type="text"/></td> <td style="width:12.5%;"><input type="text"/></td> <td style="width:12.5%;"><input type="text"/></td> <td style="width:12.5%;"><input type="text"/></td> <td style="width:12.5%;"><input type="text"/></td> <td style="width:12.5%;"><input type="text"/></td> <td style="width:12.5%;"><input type="text"/></td> </tr> <tr> <td>Faune</td> <td>Lithique</td> <td>Céramique</td> <td>Terre crue-cuite</td> <td>Métal</td> <td>Restes humains</td> <td></td> <td></td> </tr> <tr> <td><input type="text"/></td> <td><input type="text"/></td> <td><input type="text"/></td> <td><input type="text"/></td> <td><input type="text"/></td> <td><input type="text"/></td> <td><input type="text"/></td> <td><input type="text"/></td> </tr> <tr> <td>Industrie osseuse</td> <td>Macrolithique</td> <td>Pierres (en g)</td> <td>Parure</td> <td colspan="4">Autres</td> </tr> <tr> <td><input type="text"/></td> <td><input type="text"/></td> <td><input type="text"/></td> <td><input type="text"/></td> <td colspan="4"><input type="text"/></td> </tr> <tr> <td>Malacofaune</td> <td>Microfaune</td> <td>Carpocestes</td> <td>Anthracocrestes</td> <td colspan="4"></td> </tr> <tr> <td><input type="text"/></td> <td><input type="text"/></td> <td><input type="text"/></td> <td><input type="text"/></td> <td colspan="4"></td> </tr> </table>	<input type="text"/>	<input type="text"/>	<input type="text"/>	<input type="text"/>	<input type="text"/>	<input type="text"/>	<input type="text"/>	<input type="text"/>	Faune	Lithique	Céramique	Terre crue-cuite	Métal	Restes humains			<input type="text"/>	<input type="text"/>	<input type="text"/>	<input type="text"/>	<input type="text"/>	<input type="text"/>	<input type="text"/>	<input type="text"/>	Industrie osseuse	Macrolithique	Pierres (en g)	Parure	Autres				<input type="text"/>	<input type="text"/>	<input type="text"/>	<input type="text"/>	<input type="text"/>				Malacofaune	Microfaune	Carpocestes	Anthracocrestes					<input type="text"/>	<input type="text"/>	<input type="text"/>	<input type="text"/>					<p>Négatif <input type="checkbox"/></p> <p style="text-align: center;">OA9785 - Clos de Roque - Saint-Maximin-la-Sainte-Baume - Var - 2011</p> <p>Numéro de structure <input type="text" value="ST2275"/> Secteur <input type="text" value="K07"/> Type de structure <input type="text" value="Trou de poteau"/></p> <p>Date de fouille <input type="text" value="08/06/2011"/> Minutes <input type="text" value="217 - 218 - 219"/></p> <p>Photos <input type="text" value="0456 - 0458 - 0469"/></p> <p>Points topographiques <input type="text" value="PT2422 - PT2875 à PT2878 - PT2923 à PT2966"/></p> <p>X (Lambert III) <input type="text" value="885538.18"/> * (m) Y (Lambert III) <input type="text" value="134861.58"/></p> <p>Altitude supérieure <input type="text" value="286.21"/> Altitude inférieure <input type="text" value="286.08"/></p> <p>forme en coupe <input type="text" value="B2"/> forme en plan <input type="text" value="Longligne"/></p> <p>UPS de scellement <input type="text" value="UPS2"/> UPS encaissants <input type="text" value="UPS3"/></p> <p>diamètre à l'ouverture* <input type="text" value="0.92"/> x <input type="text" value="0.34"/> diamètre maximal* <input type="text" value="0.92"/></p> <p>profondeur observée* <input type="text" value="0.11"/> Volume estimé (m3) <input type="text" value="0.0344"/></p> <p>coupe ST <input type="text" value=""/> coupée par ST <input type="text" value=""/></p> <p>Protocole de fouille <input type="text" value="Moitié Sud : fouille par passes manuelles&lt;br/&gt;Moitié Nord : fouille par passes manuelles"/></p> <p>Notes sur la structure <input type="text" value="Trous de piquets en ligne"/></p> <p>Comblement <input type="text" value="N-naturel"/> Datation <input type="text" value="Bronze ancien prob"/></p> <p>Légendes de la coupe <input type="text" value="US1 : sédiment argilo-limoneux de couleur brun, compact et homogène, racines et radicelles dans la partie supérieure.&lt;br/&gt;US2 : mélange des sédiments de l'US1 et de l'UPS3."/></p> <p>Prélèvements <input type="text" value=""/></p> <p>Mobilier <input type="checkbox"/> Tamisage</p> <table style="width:100%; border-collapse: collapse;"> <tr> <td style="width:12.5%;"><input type="text"/></td> <td style="width:12.5%;"><input type="text"/></td> <td style="width:12.5%;"><input type="text"/></td> <td style="width:12.5%;"><input type="text"/></td> <td style="width:12.5%;"><input type="text"/></td> <td style="width:12.5%;"><input type="text"/></td> <td style="width:12.5%;"><input type="text"/></td> <td style="width:12.5%;"><input type="text"/></td> </tr> <tr> <td>Faune</td> <td>Lithique</td> <td>Céramique</td> <td>Terre crue-cuite</td> <td>Métal</td> <td>Restes humains</td> <td></td> <td></td> </tr> <tr> <td><input type="text"/></td> <td><input type="text"/></td> <td><input type="text"/></td> <td><input type="text"/></td> <td><input type="text"/></td> <td><input type="text"/></td> <td><input type="text"/></td> <td><input type="text"/></td> </tr> <tr> <td>Industrie osseuse</td> <td>Macrolithique</td> <td>Pierres (en g)</td> <td>Parure</td> <td colspan="4">Autres</td> </tr> <tr> <td><input type="text"/></td> <td><input type="text"/></td> <td><input type="text"/></td> <td><input type="text"/></td> <td colspan="4"><input type="text"/></td> </tr> <tr> <td>Malacofaune</td> <td>Microfaune</td> <td>Carpocestes</td> <td>Anthracocrestes</td> <td colspan="4"></td> </tr> <tr> <td><input type="text"/></td> <td><input type="text"/></td> <td><input type="text"/></td> <td><input type="text"/></td> <td colspan="4"></td> </tr> </table>	<input type="text"/>	<input type="text"/>	<input type="text"/>	<input type="text"/>	<input type="text"/>	<input type="text"/>	<input type="text"/>	<input type="text"/>	Faune	Lithique	Céramique	Terre crue-cuite	Métal	Restes humains			<input type="text"/>	<input type="text"/>	<input type="text"/>	<input type="text"/>	<input type="text"/>	<input type="text"/>	<input type="text"/>	<input type="text"/>	Industrie osseuse	Macrolithique	Pierres (en g)	Parure	Autres				<input type="text"/>	<input type="text"/>	<input type="text"/>	<input type="text"/>	<input type="text"/>				Malacofaune	Microfaune	Carpocestes	Anthracocrestes					<input type="text"/>	<input type="text"/>	<input type="text"/>	<input type="text"/>				
<input type="text"/>	<input type="text"/>	<input type="text"/>	<input type="text"/>	<input type="text"/>	<input type="text"/>	<input type="text"/>	<input type="text"/>																																																																																																										
Faune	Lithique	Céramique	Terre crue-cuite	Métal	Restes humains																																																																																																												
<input type="text"/>	<input type="text"/>	<input type="text"/>	<input type="text"/>	<input type="text"/>	<input type="text"/>	<input type="text"/>	<input type="text"/>																																																																																																										
Industrie osseuse	Macrolithique	Pierres (en g)	Parure	Autres																																																																																																													
<input type="text"/>	<input type="text"/>	<input type="text"/>	<input type="text"/>	<input type="text"/>																																																																																																													
Malacofaune	Microfaune	Carpocestes	Anthracocrestes																																																																																																														
<input type="text"/>	<input type="text"/>	<input type="text"/>	<input type="text"/>																																																																																																														
<input type="text"/>	<input type="text"/>	<input type="text"/>	<input type="text"/>	<input type="text"/>	<input type="text"/>	<input type="text"/>	<input type="text"/>																																																																																																										
Faune	Lithique	Céramique	Terre crue-cuite	Métal	Restes humains																																																																																																												
<input type="text"/>	<input type="text"/>	<input type="text"/>	<input type="text"/>	<input type="text"/>	<input type="text"/>	<input type="text"/>	<input type="text"/>																																																																																																										
Industrie osseuse	Macrolithique	Pierres (en g)	Parure	Autres																																																																																																													
<input type="text"/>	<input type="text"/>	<input type="text"/>	<input type="text"/>	<input type="text"/>																																																																																																													
Malacofaune	Microfaune	Carpocestes	Anthracocrestes																																																																																																														
<input type="text"/>	<input type="text"/>	<input type="text"/>	<input type="text"/>																																																																																																														
<p>Négatif <input type="checkbox"/></p> <p style="text-align: center;">OA9785 - Clos de Roque - Saint-Maximin-la-Sainte-Baume - Var - 2011</p> <p>Numéro de structure <input type="text" value="ST2276"/> Secteur <input type="text" value="E04"/> Type de structure <input type="text" value="Fosse"/></p> <p>Date de fouille <input type="text" value="23/06/2011"/> Minutes <input type="text" value="291 - 292 - 293 - 294"/></p> <p>Photos <input type="text" value="0569 - 0624 à 0626 - 0631"/></p> <p>Points topographiques <input type="text" value="PT2486 - PT3557 à PT3564 - PT3615 à PT3623"/></p> <p>X (Lambert III) <input type="text" value="885502.61"/> * (m) Y (Lambert III) <input type="text" value="134921.5"/></p> <p>Altitude supérieure <input type="text" value="285.85"/> Altitude inférieure <input type="text" value="285.74"/></p> <p>forme en coupe <input type="text" value="C"/> forme en plan <input type="text" value="Circulaire"/></p> <p>UPS de scellement <input type="text" value="UPS2"/> UPS encaissants <input type="text" value="UPS3"/></p> <p>diamètre à l'ouverture* <input type="text" value="0.39"/> x <input type="text" value="0.35"/> diamètre maximal* <input type="text" value="0.39"/></p> <p>profondeur observée* <input type="text" value="0.09"/> Volume estimé (m3) <input type="text" value="0.0097"/></p> <p>coupe ST <input type="text" value=""/> coupée par ST <input type="text" value=""/></p> <p>Protocole de fouille <input type="text" value="Moitié Sud : fouille par passes manuelles&lt;br/&gt;Moitié Nord : fouille par passes manuelles"/></p> <p>Notes sur la structure <input type="text" value="Fosse avec un vase posé au fond, coupé par labour profond"/></p> <p>Comblement <input type="text" value="N-naturel"/> Datation <input type="text" value="Bronze ancien phase 2"/></p> <p>Légendes de la coupe <input type="text" value="US1 : sédiment argilo-limoneux de couleur brun foncé, compact et homogène, quelques cailloux de 1 à 5 cm, racines et radicelles dans la partie supérieure.&lt;br/&gt;US2 : mélange des sédiments de l'US1 et de l'UPS3."/></p> <p>Prélèvements <input type="text" value="PR57 (PT3663) : sédiment carpologie"/></p> <p>Mobilier <input checked="" type="checkbox"/> Tamisage</p> <table style="width:100%; border-collapse: collapse;"> <tr> <td style="width:12.5%;"><input type="text"/></td> <td style="width:12.5%;"><input type="text"/></td> <td style="width:12.5%;"><input type="text"/></td> <td style="width:12.5%;"><input type="text"/></td> <td style="width:12.5%;"><input type="text"/></td> <td style="width:12.5%;"><input type="text"/></td> <td style="width:12.5%;"><input type="text"/></td> <td style="width:12.5%;"><input type="text"/></td> </tr> <tr> <td>Faune</td> <td>Lithique</td> <td>Céramique</td> <td>Terre crue-cuite</td> <td>Métal</td> <td>Restes humains</td> <td></td> <td></td> </tr> <tr> <td><input type="text"/></td> <td><input type="text"/></td> <td><input type="text" value="15"/></td> <td><input type="text"/></td> <td><input type="text"/></td> <td><input type="text"/></td> <td><input type="text"/></td> <td><input type="text"/></td> </tr> <tr> <td>Industrie osseuse</td> <td>Macrolithique</td> <td>Pierres (en g)</td> <td>Parure</td> <td colspan="4">Autres</td> </tr> <tr> <td><input type="text"/></td> <td><input type="text"/></td> <td><input type="text"/></td> <td><input type="text"/></td> <td colspan="4"><input type="text"/></td> </tr> <tr> <td>Malacofaune</td> <td>Microfaune</td> <td>Carpocestes</td> <td>Anthracocrestes</td> <td colspan="4"></td> </tr> <tr> <td><input type="text" value="Présence"/></td> <td><input type="text"/></td> <td><input type="text"/></td> <td><input type="text"/></td> <td colspan="4"></td> </tr> </table>	<input type="text"/>	<input type="text"/>	<input type="text"/>	<input type="text"/>	<input type="text"/>	<input type="text"/>	<input type="text"/>	<input type="text"/>	Faune	Lithique	Céramique	Terre crue-cuite	Métal	Restes humains			<input type="text"/>	<input type="text"/>	<input type="text" value="15"/>	<input type="text"/>	<input type="text"/>	<input type="text"/>	<input type="text"/>	<input type="text"/>	Industrie osseuse	Macrolithique	Pierres (en g)	Parure	Autres				<input type="text"/>	<input type="text"/>	<input type="text"/>	<input type="text"/>	<input type="text"/>				Malacofaune	Microfaune	Carpocestes	Anthracocrestes					<input type="text" value="Présence"/>	<input type="text"/>	<input type="text"/>	<input type="text"/>					<p>Négatif <input type="checkbox"/></p> <p style="text-align: center;">OA9785 - Clos de Roque - Saint-Maximin-la-Sainte-Baume - Var - 2011</p> <p>Numéro de structure <input type="text" value="ST2277"/> Secteur <input type="text" value="J07"/> Type de structure <input type="text" value="Fosse"/></p> <p>Date de fouille <input type="text" value="06/06/2011"/> Minutes <input type="text" value="172"/></p> <p>Photos <input type="text" value="0406 - 0410 - 0411"/></p> <p>Points topographiques <input type="text" value="PT2487 - PT2566 à PT2578"/></p> <p>X (Lambert III) <input type="text" value="885534.87"/> * (m) Y (Lambert III) <input type="text" value="134874.96"/></p> <p>Altitude supérieure <input type="text" value="286.15"/> Altitude inférieure <input type="text" value="286"/></p> <p>forme en coupe <input type="text" value="B2"/> forme en plan <input type="text" value="Circulaire"/></p> <p>UPS de scellement <input type="text" value="UPS2"/> UPS encaissants <input type="text" value="UPS3"/></p> <p>diamètre à l'ouverture* <input type="text" value="1.5"/> x <input type="text" value="1.5"/> diamètre maximal* <input type="text" value="1.5"/></p> <p>profondeur observée* <input type="text" value="0.15"/> Volume estimé (m3) <input type="text" value="0.2651"/></p> <p>coupe ST <input type="text" value=""/> coupée par ST <input type="text" value=""/></p> <p>Protocole de fouille <input type="text" value="Moitié Est : fouille par passes manuelles&lt;br/&gt;Moitié Ouest : fouille par passes manuelles"/></p> <p>Notes sur la structure <input type="text" value="Fosse moderne circulaire qui est recoupé par la tranchée 19 du diagnostic de 2010"/></p> <p>Comblement <input type="text" value="N-naturel"/> Datation <input type="text" value="Historique"/></p> <p>Légendes de la coupe <input type="text" value="US1 : sédiment limoneux de couleur brun, meuble et homogène, racines et radicelles dans la partie supérieure, avec quelques cailloux de 1 à 2 cm."/></p> <p>Prélèvements <input type="text" value=""/></p> <p>Mobilier <input type="checkbox"/> Tamisage</p> <table style="width:100%; border-collapse: collapse;"> <tr> <td style="width:12.5%;"><input type="text"/></td> <td style="width:12.5%;"><input type="text"/></td> <td style="width:12.5%;"><input type="text"/></td> <td style="width:12.5%;"><input type="text"/></td> <td style="width:12.5%;"><input type="text"/></td> <td style="width:12.5%;"><input type="text"/></td> <td style="width:12.5%;"><input type="text"/></td> <td style="width:12.5%;"><input type="text"/></td> </tr> <tr> <td>Faune</td> <td>Lithique</td> <td>Céramique</td> <td>Terre crue-cuite</td> <td>Métal</td> <td>Restes humains</td> <td></td> <td></td> </tr> <tr> <td><input type="text"/></td> <td><input type="text"/></td> <td><input type="text"/></td> <td><input type="text"/></td> <td><input type="text"/></td> <td><input type="text"/></td> <td><input type="text"/></td> <td><input type="text"/></td> </tr> <tr> <td>Industrie osseuse</td> <td>Macrolithique</td> <td>Pierres (en g)</td> <td>Parure</td> <td colspan="4">Autres</td> </tr> <tr> <td><input type="text"/></td> <td><input type="text"/></td> <td><input type="text"/></td> <td><input type="text"/></td> <td colspan="4"><input type="text"/></td> </tr> <tr> <td>Malacofaune</td> <td>Microfaune</td> <td>Carpocestes</td> <td>Anthracocrestes</td> <td colspan="4"></td> </tr> <tr> <td><input type="text" value="Présence"/></td> <td><input type="text"/></td> <td><input type="text"/></td> <td><input type="text"/></td> <td colspan="4"></td> </tr> </table>	<input type="text"/>	<input type="text"/>	<input type="text"/>	<input type="text"/>	<input type="text"/>	<input type="text"/>	<input type="text"/>	<input type="text"/>	Faune	Lithique	Céramique	Terre crue-cuite	Métal	Restes humains			<input type="text"/>	<input type="text"/>	<input type="text"/>	<input type="text"/>	<input type="text"/>	<input type="text"/>	<input type="text"/>	<input type="text"/>	Industrie osseuse	Macrolithique	Pierres (en g)	Parure	Autres				<input type="text"/>	<input type="text"/>	<input type="text"/>	<input type="text"/>	<input type="text"/>				Malacofaune	Microfaune	Carpocestes	Anthracocrestes					<input type="text" value="Présence"/>	<input type="text"/>	<input type="text"/>	<input type="text"/>				
<input type="text"/>	<input type="text"/>	<input type="text"/>	<input type="text"/>	<input type="text"/>	<input type="text"/>	<input type="text"/>	<input type="text"/>																																																																																																										
Faune	Lithique	Céramique	Terre crue-cuite	Métal	Restes humains																																																																																																												
<input type="text"/>	<input type="text"/>	<input type="text" value="15"/>	<input type="text"/>	<input type="text"/>	<input type="text"/>	<input type="text"/>	<input type="text"/>																																																																																																										
Industrie osseuse	Macrolithique	Pierres (en g)	Parure	Autres																																																																																																													
<input type="text"/>	<input type="text"/>	<input type="text"/>	<input type="text"/>	<input type="text"/>																																																																																																													
Malacofaune	Microfaune	Carpocestes	Anthracocrestes																																																																																																														
<input type="text" value="Présence"/>	<input type="text"/>	<input type="text"/>	<input type="text"/>																																																																																																														
<input type="text"/>	<input type="text"/>	<input type="text"/>	<input type="text"/>	<input type="text"/>	<input type="text"/>	<input type="text"/>	<input type="text"/>																																																																																																										
Faune	Lithique	Céramique	Terre crue-cuite	Métal	Restes humains																																																																																																												
<input type="text"/>	<input type="text"/>	<input type="text"/>	<input type="text"/>	<input type="text"/>	<input type="text"/>	<input type="text"/>	<input type="text"/>																																																																																																										
Industrie osseuse	Macrolithique	Pierres (en g)	Parure	Autres																																																																																																													
<input type="text"/>	<input type="text"/>	<input type="text"/>	<input type="text"/>	<input type="text"/>																																																																																																													
Malacofaune	Microfaune	Carpocestes	Anthracocrestes																																																																																																														
<input type="text" value="Présence"/>	<input type="text"/>	<input type="text"/>	<input type="text"/>																																																																																																														

Annexe 3 - Le Clos de Roque, Saint-Maximin-la-Sainte-Baume (83). Inventaire des structures identifiées au décapage par fiches comprenant les indications des points topographiques, des minutes, des prélèvements et des photographies numériques de références.

Négatif

OA9785 - Clos de Roque - Saint-Maximin-la-Sainte-Baume - Var - 2011

Numéro de structure ST2278 Secteur F04 Type de structure Fosse

Date de fouille 22/06/2011 Minutes 523 - 524 - 525

Photos 0903 - 0919 - 0981

Points topographiques PT2488 - PT4483 à PT4486 - PT4648 à PT4649 - PT4786 à PT4794

X (Lambert III) 885508.58 \* (m) Y (Lambert III) 134919.03

Altitude supérieure 285.79 Altitude inférieure 285.53

forme en coupe B2 forme en plan Ovale

UPS de scellement UPS2 UPS encaissants UPS3

diamètre à l'ouverture\* 1.04 x 0.99 diamètre maximal\* 1.04

profondeur observée\* 0.26 Volume estimé (m3) 0.2042

coupe ST coupe par ST

Protocole de fouille Moitié Sud : fouille par passes manuelles  
Moitié Nord : fouille par passes manuelles

Notes sur la structure Fosse ovale

Comblement N-naturel Datation Bronze ancien phase 2

Légendes de la coupe US1 : sédiment argilo-limoneux de couleur brun foncé, compact et homogène, quelques cailloux de 1 à 5 cm, racines et radicelles dans la partie supérieure.  
US2 : mélange des sédiments de l'US1 et de l'UPS3.

Prélèvements

Mobilier  Tamisage

Faune	Lithique	Céramique	Terre crue-cuite	Métal	Restes humains
04	02	05			
Industrie osseuse	Macrolithique	Pierres (en g)	Parure	Autres	
Malacofaune	Microfaune	Carporesses	Anthracorestes		
Présence					

Négatif

OA9785 - Clos de Roque - Saint-Maximin-la-Sainte-Baume - Var - 2011

Numéro de structure ST2279 Secteur F05 Type de structure Fosse de plantation

Date de fouille 06/07/2011 Minutes 729

Photos 1488

Points topographiques PT2489 - PT7066 à PT7069 - PT7111 à PT7114

X (Lambert III) 885510.45 \* (m) Y (Lambert III) 134916.48

Altitude supérieure 285.81 Altitude inférieure 285.76

forme en coupe B2 forme en plan Circulaire

UPS de scellement UPS2 UPS encaissants UPS3

diamètre à l'ouverture\* 0.8 x diamètre maximal\* 0.8

profondeur observée\* 0.05 Volume estimé (m3) 0.0251

coupe ST coupe par ST

Protocole de fouille Moitié Sud : fouille par passes manuelles  
Moitié Nord : fouille par passes manuelles

Notes sur la structure Fosse moderne circulaire

Comblement N-naturel Datation Historique

Légendes de la coupe US1 : sédiment limoneux de couleur brun, meuble et homogène, racines et radicelles dans la partie supérieure, avec quelques cailloux de 1 à 2 cm.

Prélèvements

Mobilier  Tamisage

Faune	Lithique	Céramique	Terre crue-cuite	Métal	Restes humains
Industrie osseuse	Macrolithique	Pierres (en g)	Parure	Autres	
Malacofaune	Microfaune	Carporesses	Anthracorestes		
Présence					

Négatif

OA9785 - Clos de Roque - Saint-Maximin-la-Sainte-Baume - Var - 2011

Numéro de structure ST2280 Secteur E04 Type de structure Fosse de plantation

Date de fouille 22/06/2011 Minutes

Photos 1002

Points topographiques PT2490 - PT4795 à PT4798

X (Lambert III) 885504.93 \* (m) Y (Lambert III) 134923.79

Altitude supérieure 285.84 Altitude inférieure 285.74

forme en coupe B2 forme en plan Circulaire

UPS de scellement UPS2 UPS encaissants UPS3

diamètre à l'ouverture\* 0.6 x diamètre maximal\* 0.6

profondeur observée\* 0.10 Volume estimé (m3) 0.0283

coupe ST coupe par ST

Protocole de fouille Moitié Sud : fouille par passes mécaniques  
Moitié Nord : fouille par passes manuelles

Notes sur la structure Fosse moderne circulaire

Comblement N-naturel Datation Historique

Légendes de la coupe US1 : sédiment limoneux de couleur brun, meuble et homogène, racines et radicelles dans la partie supérieure, avec quelques cailloux et galets de 1 à 2 cm.

Prélèvements

Mobilier  Tamisage

Faune	Lithique	Céramique	Terre crue-cuite	Métal	Restes humains
Industrie osseuse	Macrolithique	Pierres (en g)	Parure	Autres	
Malacofaune	Microfaune	Carporesses	Anthracorestes		
Présence					

Négatif

OA9785 - Clos de Roque - Saint-Maximin-la-Sainte-Baume - Var - 2011

Numéro de structure ST2281 Secteur E04 Type de structure Fosse de plantation

Date de fouille 22/06/2011 Minutes

Photos 1005 - 1007

Points topographiques PT2491 - PT4803 à PT4806 - PT5010 à PT5014

X (Lambert III) 885508.54 \* (m) Y (Lambert III) 134929.55

Altitude supérieure 285.79 Altitude inférieure 285.72

forme en coupe B2 forme en plan Circulaire

UPS de scellement UPS2 UPS encaissants UPS3

diamètre à l'ouverture\* 0.8 x diamètre maximal\* 0.8

profondeur observée\* 0.07 Volume estimé (m3) 0.0352

coupe ST coupe par ST

Protocole de fouille Moitié Sud : fouille par passes mécaniques  
Moitié Nord : fouille par passes manuelles

Notes sur la structure Fosse moderne circulaire

Comblement N-naturel Datation Historique

Légendes de la coupe US1 : sédiment limoneux de couleur brun, meuble et homogène, racines et radicelles dans la partie supérieure, avec quelques cailloux et galets de 1 à 2 cm.

Prélèvements

Mobilier  Tamisage

Faune	Lithique	Céramique	Terre crue-cuite	Métal	Restes humains
Industrie osseuse	Macrolithique	Pierres (en g)	Parure	Autres	
Malacofaune	Microfaune	Carporesses	Anthracorestes		
Présence					

Annexe 3 - Le Clos de Roque, Saint-Maximin-la-Sainte-Baume (83). Inventaire des structures identifiées au décapage par fiches comprenant les indications des points topographiques, des minutes, des prélèvements et des photographies numériques de références.

Négatif

OA9785 - Clos de Roque - Saint-Maximin-la-Sainte-Baume - Var - 2011

Numéro de structure  Secteur  Type de structure    
 Date de fouille  Minutes   
 Photos

Points topographiques

X (Lambert III)  \* (m) Y (Lambert III)   
 Altitude supérieure  Altitude inférieure   
 forme en coupe   forme en plan    
 UPS de scellement  UPS encaissants   
 diamètre à l'ouverture\*  x  diamètre maximal\*   
 profondeur observée\*  Volume estimé (m3)   
 coupe ST  coupée par ST

Protocole de fouille

Notes sur la structure

Comblement   Datation

Légendes de la coupe

Prélèvements

Mobilier  Tamisage

Faune	Lithique	Céramique	Terre crue-cuite	Métal	Restes humains
<input type="text"/>	<input type="text"/>	<input type="text"/>	<input type="text"/>	<input type="text"/>	<input type="text"/>
Industrie osseuse	Macrolithique	Pierres (en g)	Parure	Autres	
<input type="text"/>	<input type="text"/>	<input type="text"/>	<input type="text"/>	<input type="text"/>	
Malacofaune	Microfaune	Carporesses	Anthracorestes		
<input type="text" value="Présence"/>	<input type="text"/>	<input type="text"/>	<input type="text"/>		

Négatif

OA9785 - Clos de Roque - Saint-Maximin-la-Sainte-Baume - Var - 2011

Numéro de structure  Secteur  Type de structure    
 Date de fouille  Minutes   
 Photos

Points topographiques

X (Lambert III)  \* (m) Y (Lambert III)   
 Altitude supérieure  Altitude inférieure   
 forme en coupe   forme en plan    
 UPS de scellement  UPS encaissants   
 diamètre à l'ouverture\*  x  diamètre maximal\*   
 profondeur observée\*  Volume estimé (m3)   
 coupe ST  coupée par ST

Protocole de fouille

Notes sur la structure

Comblement   Datation

Légendes de la coupe

Prélèvements

Mobilier  Tamisage

Faune	Lithique	Céramique	Terre crue-cuite	Métal	Restes humains
<input type="text"/>	<input type="text"/>	<input type="text"/>	<input type="text"/>	<input type="text"/>	<input type="text"/>
Industrie osseuse	Macrolithique	Pierres (en g)	Parure	Autres	
<input type="text"/>	<input type="text"/>	<input type="text"/>	<input type="text"/>	<input type="text"/>	
Malacofaune	Microfaune	Carporesses	Anthracorestes		
<input type="text" value="Présence"/>	<input type="text"/>	<input type="text"/>	<input type="text"/>		

Négatif

OA9785 - Clos de Roque - Saint-Maximin-la-Sainte-Baume - Var - 2011

Numéro de structure  Secteur  Type de structure    
 Date de fouille  Minutes   
 Photos

Points topographiques

X (Lambert III)  \* (m) Y (Lambert III)   
 Altitude supérieure  Altitude inférieure   
 forme en coupe   forme en plan    
 UPS de scellement  UPS encaissants   
 diamètre à l'ouverture\*  x  diamètre maximal\*   
 profondeur observée\*  Volume estimé (m3)   
 coupe ST  coupée par ST

Protocole de fouille

Notes sur la structure

Comblement   Datation

Légendes de la coupe

Prélèvements

Mobilier  Tamisage

Faune	Lithique	Céramique	Terre crue-cuite	Métal	Restes humains
<input type="text"/>	<input type="text"/>	<input type="text"/>	<input type="text"/>	<input type="text"/>	<input type="text"/>
Industrie osseuse	Macrolithique	Pierres (en g)	Parure	Autres	
<input type="text"/>	<input type="text"/>	<input type="text"/>	<input type="text"/>	<input type="text"/>	
Malacofaune	Microfaune	Carporesses	Anthracorestes		
<input type="text" value="Présence"/>	<input type="text"/>	<input type="text"/>	<input type="text"/>		

Négatif

OA9785 - Clos de Roque - Saint-Maximin-la-Sainte-Baume - Var - 2011

Numéro de structure  Secteur  Type de structure    
 Date de fouille  Minutes   
 Photos

Points topographiques

X (Lambert III)  \* (m) Y (Lambert III)   
 Altitude supérieure  Altitude inférieure   
 forme en coupe   forme en plan    
 UPS de scellement  UPS encaissants   
 diamètre à l'ouverture\*  x  diamètre maximal\*   
 profondeur observée\*  Volume estimé (m3)   
 coupe ST  coupée par ST

Protocole de fouille

Notes sur la structure

Comblement   Datation

Légendes de la coupe

Prélèvements

Mobilier  Tamisage

Faune	Lithique	Céramique	Terre crue-cuite	Métal	Restes humains
<input type="text"/>	<input type="text"/>	<input type="text"/>	<input type="text"/>	<input type="text"/>	<input type="text"/>
Industrie osseuse	Macrolithique	Pierres (en g)	Parure	Autres	
<input type="text"/>	<input type="text"/>	<input type="text"/>	<input type="text"/>	<input type="text"/>	
Malacofaune	Microfaune	Carporesses	Anthracorestes		
<input type="text" value="Présence"/>	<input type="text"/>	<input type="text"/>	<input type="text"/>		

Annexe 3 - Le Clos de Roque, Saint-Maximin-la-Sainte-Baume (83). Inventaire des structures identifiées au décapage par fiches comprenant les indications des points topographiques, des minutes, des prélèvements et des photographies numériques de références.

Négatif

OA9785 - Clos de Roque - Saint-Maximin-la-Sainte-Baume - Var - 2011

Numéro de structure  Secteur  Type de structure    
 Date de fouille  Minutes

Photos

Points topographiques

X (Lambert III)  \* (m) Y (Lambert III)   
 Altitude supérieure  Altitude inférieure   
 forme en coupe   forme en plan    
 UPS de scellement  UPS encaissants   
 diamètre à l'ouverture\*  x  diamètre maximal\*   
 profondeur observée\*  Volume estimé (m3)   
 coupe ST  coupée par ST

Protocole de fouille  
 Moitié Sud : fouille par passes mécaniques  
 Moitié Nord : fouille par passes manuelles

Notes sur la structure

Comblement   Datation

Légendes de la coupe

Prélèvements

Mobilier  Tamisage

Faune	Lithique	Céramique	Terre crue-cuite	Métal	Restes humains
<input type="text"/>	<input type="text"/>	<input type="text"/>	<input type="text"/>	<input type="text"/>	<input type="text"/>
Industrie osseuse	Macrolithique	Pierres (en g)	Parure	Autres	
<input type="text"/>	<input type="text"/>	<input type="text"/>	<input type="text"/>	<input type="text"/>	
Malacofaune	Microfaune	Carporesses	Anthracorestes	<input type="text"/>	
Présence	<input type="text"/>	<input type="text"/>	<input type="text"/>	<input type="text"/>	

Négatif

OA9785 - Clos de Roque - Saint-Maximin-la-Sainte-Baume - Var - 2011

Numéro de structure  Secteur  Type de structure    
 Date de fouille  Minutes

Photos

Points topographiques

X (Lambert III)  \* (m) Y (Lambert III)   
 Altitude supérieure  Altitude inférieure   
 forme en coupe   forme en plan    
 UPS de scellement  UPS encaissants   
 diamètre à l'ouverture\*  x  diamètre maximal\*   
 profondeur observée\*  Volume estimé (m3)   
 coupe ST  coupée par ST

Protocole de fouille  
 Moitié Sud : fouille par passes mécaniques  
 Moitié Nord : fouille par passes manuelles

Notes sur la structure

Comblement   Datation

Légendes de la coupe

Prélèvements

Mobilier  Tamisage

Faune	Lithique	Céramique	Terre crue-cuite	Métal	Restes humains
<input type="text"/>	<input type="text"/>	<input type="text"/>	<input type="text"/>	<input type="text"/>	<input type="text"/>
Industrie osseuse	Macrolithique	Pierres (en g)	Parure	Autres	
<input type="text"/>	<input type="text"/>	<input type="text"/>	<input type="text"/>	<input type="text"/>	
Malacofaune	Microfaune	Carporesses	Anthracorestes	<input type="text"/>	
Présence	<input type="text"/>	<input type="text"/>	<input type="text"/>	<input type="text"/>	

Négatif

OA9785 - Clos de Roque - Saint-Maximin-la-Sainte-Baume - Var - 2011

Numéro de structure  Secteur  Type de structure    
 Date de fouille  Minutes

Photos

Points topographiques

X (Lambert III)  \* (m) Y (Lambert III)   
 Altitude supérieure  Altitude inférieure   
 forme en coupe   forme en plan    
 UPS de scellement  UPS encaissants   
 diamètre à l'ouverture\*  x  diamètre maximal\*   
 profondeur observée\*  Volume estimé (m3)   
 coupe ST  coupée par ST

Protocole de fouille  
 Moitié Sud : fouille par passes mécaniques  
 Moitié Nord : fouille par passes manuelles

Notes sur la structure

Comblement   Datation

Légendes de la coupe

Prélèvements

Mobilier  Tamisage

Faune	Lithique	Céramique	Terre crue-cuite	Métal	Restes humains
<input type="text"/>	<input type="text"/>	<input type="text" value="01"/>	<input type="text"/>	<input type="text"/>	<input type="text"/>
Industrie osseuse	Macrolithique	Pierres (en g)	Parure	Autres	
<input type="text"/>	<input type="text"/>	<input type="text"/>	<input type="text"/>	<input type="text"/>	
Malacofaune	Microfaune	Carporesses	Anthracorestes	<input type="text"/>	
Présence	<input type="text"/>	<input type="text"/>	<input type="text"/>	<input type="text"/>	

Négatif

OA9785 - Clos de Roque - Saint-Maximin-la-Sainte-Baume - Var - 2011

Numéro de structure  Secteur  Type de structure    
 Date de fouille  Minutes

Photos

Points topographiques

X (Lambert III)  \* (m) Y (Lambert III)   
 Altitude supérieure  Altitude inférieure   
 forme en coupe   forme en plan    
 UPS de scellement  UPS encaissants   
 diamètre à l'ouverture\*  x  diamètre maximal\*   
 profondeur observée\*  Volume estimé (m3)   
 coupe ST  coupée par ST

Protocole de fouille  
 Moitié Sud : fouille par passes mécaniques  
 Moitié Nord : fouille par passes manuelles

Notes sur la structure

Comblement   Datation

Légendes de la coupe

Prélèvements

Mobilier  Tamisage

Faune	Lithique	Céramique	Terre crue-cuite	Métal	Restes humains
<input type="text"/>	<input type="text"/>	<input type="text"/>	<input type="text"/>	<input type="text"/>	<input type="text"/>
Industrie osseuse	Macrolithique	Pierres (en g)	Parure	Autres	
<input type="text"/>	<input type="text"/>	<input type="text"/>	<input type="text"/>	<input type="text"/>	
Malacofaune	Microfaune	Carporesses	Anthracorestes	<input type="text"/>	
Présence	<input type="text"/>	<input type="text"/>	<input type="text"/>	<input type="text"/>	

Annexe 3 - Le Clos de Roque, Saint-Maximin-la-Sainte-Baume (83). Inventaire des structures identifiées au décapage par fiches comprenant les indications des points topographiques, des minutes, des prélèvements et des photographies numériques de références.

Négatif <input type="checkbox"/> OA9785 - Clos de Roque - Saint-Maximin-la-Sainte-Baume - Var - 2011		Négatif <input type="checkbox"/> OA9785 - Clos de Roque - Saint-Maximin-la-Sainte-Baume - Var - 2011	
Numéro de structure <input type="text" value="ST2290"/> Secteur <input type="text" value="E03"/> Type de structure <input type="text" value="Fosse de plantation"/>	Numéro de structure <input type="text" value="ST2291"/> Secteur <input type="text" value="F04"/> Type de structure <input type="text" value="Fosse de plantation"/>	Numéro de structure <input type="text" value="ST2292"/> Secteur <input type="text" value="F04"/> Type de structure <input type="text" value="Fosse de plantation"/>	Numéro de structure <input type="text" value="ST2293"/> Secteur <input type="text" value="G03"/> Type de structure <input type="text" value="Trou de poteau"/>
Date de fouille <input type="text" value="23/06/2011"/> Minutes <input type="text"/>	Date de fouille <input type="text" value="23/06/2011"/> Minutes <input type="text"/>	Date de fouille <input type="text" value="23/06/2011"/> Minutes <input type="text"/>	Date de fouille <input type="text" value="28/06/2011"/> Minutes <input type="text" value="605 - 606 - 607"/>
Photos <input type="text"/>	Photos <input type="text"/>	Photos <input type="text"/>	Photos <input type="text" value="1236 - 1245 - 1271"/>
Points topographiques <input type="text" value="PT2500 - PT5537 à PT5542"/>	Points topographiques <input type="text" value="PT2501"/>	Points topographiques <input type="text" value="PT2502"/>	Points topographiques <input type="text" value="PT2505 - PT5869 à PT5876 - PT5976 à PT5977 - PT6165 à PT6181"/>
X (Lambert III) <input type="text" value="885497.62"/> * (m) Y (Lambert III) <input type="text" value="134923.5"/>	X (Lambert III) <input type="text" value="885501.14"/> * (m) Y (Lambert III) <input type="text" value="134910.13"/>	X (Lambert III) <input type="text" value="885501.88"/> * (m) Y (Lambert III) <input type="text" value="134909.64"/>	X (Lambert III) <input type="text" value="885494.14"/> * (m) Y (Lambert III) <input type="text" value="134902.68"/>
Altitude supérieure <input type="text" value="285.82"/> Altitude inférieure <input type="text" value="285.65"/>	Altitude supérieure <input type="text" value="285.84"/> Altitude inférieure <input type="text" value="285.76"/>	Altitude supérieure <input type="text" value="285.84"/> Altitude inférieure <input type="text" value="285.79"/>	Altitude supérieure <input type="text" value="285.88"/> Altitude inférieure <input type="text" value="285.64"/>
forme en coupe <input type="text" value="B2"/> forme en plan <input type="text" value="Circulaire"/>	forme en coupe <input type="text" value="B2"/> forme en plan <input type="text" value="Circulaire"/>	forme en coupe <input type="text" value="B2"/> forme en plan <input type="text" value="Circulaire"/>	forme en coupe <input type="text" value="B2"/> forme en plan <input type="text" value="Circulaire"/>
UPS de scellement <input type="text" value="UPS2"/> UPS encaissants <input type="text" value="UPS3"/>	UPS de scellement <input type="text" value="UPS2"/> UPS encaissants <input type="text" value="UPS3"/>	UPS de scellement <input type="text" value="UPS2"/> UPS encaissants <input type="text" value="UPS3"/>	UPS de scellement <input type="text" value="UPS2"/> UPS encaissants <input type="text" value="UPS3"/>
diamètre à l'ouverture* <input type="text" value="0.9"/> x <input type="text"/> diamètre maximal* <input type="text" value="0.9"/>	diamètre à l'ouverture* <input type="text" value="0.5"/> x <input type="text"/> diamètre maximal* <input type="text" value="0.5"/>	diamètre à l'ouverture* <input type="text" value="0.5"/> x <input type="text"/> diamètre maximal* <input type="text" value="0.5"/>	diamètre à l'ouverture* <input type="text" value="0.43"/> x <input type="text" value="0.41"/> diamètre maximal* <input type="text" value="0.43"/>
profondeur observée* <input type="text" value="0.17"/> Volume estimé (m3) <input type="text" value="0.1081"/>	profondeur observée* <input type="text" value="0.08"/> Volume estimé (m3) <input type="text" value="0.0157"/>	profondeur observée* <input type="text" value="0.05"/> Volume estimé (m3) <input type="text" value="0.0098"/>	profondeur observée* <input type="text" value="0.24"/> Volume estimé (m3) <input type="text" value="0.0333"/>
coupe ST <input type="text"/> coupée par ST <input type="text"/>	coupe ST <input type="text"/> coupée par ST <input type="text"/>	coupe ST <input type="text"/> coupée par ST <input type="text"/>	coupe ST <input type="text"/> coupée par ST <input type="text"/>
Protocole de fouille <input type="text" value="Moitié Sud : fouille par passes mécaniques&lt;br/&gt;Moitié Nord : fouille par passes manuelles"/>	Protocole de fouille <input type="text" value="Moitié Sud : fouille par passes mécaniques&lt;br/&gt;Moitié Nord : fouille par passes manuelles"/>	Protocole de fouille <input type="text" value="Moitié Sud : fouille par passes mécaniques&lt;br/&gt;Moitié Nord : fouille par passes manuelles"/>	Protocole de fouille <input type="text" value="Moitié Sud : fouille par passes manuelles&lt;br/&gt;Moitié Nord : fouille par passes manuelles"/>
Notes sur la structure <input type="text" value="Fosse moderne circulaire"/>	Notes sur la structure <input type="text" value="Fosse moderne circulaire"/>	Notes sur la structure <input type="text" value="Fosse moderne circulaire"/>	Notes sur la structure <input type="text" value="Trou de poteau avec un surcreusement latéral à l'ouest"/>
Comblement <input type="text" value="N-naturel"/> Datation <input type="text" value="Historique"/>	Comblement <input type="text" value="N-naturel"/> Datation <input type="text" value="Historique"/>	Comblement <input type="text" value="N-naturel"/> Datation <input type="text" value="Historique"/>	Comblement <input type="text" value="N-naturel"/> Datation <input type="text" value="Néo/Proto"/>
Légendes de la coupe <input type="text" value="US1 : sédiment limoneux de couleur brun, meuble et homogène, racines et radicelles dans la partie supérieure, avec quelques cailloux et galets de 1 à 2 cm."/>	Légendes de la coupe <input type="text" value="US1 : sédiment limoneux de couleur brun, meuble et homogène, racines et radicelles dans la partie supérieure, avec quelques cailloux et galets de 1 à 2 cm."/>	Légendes de la coupe <input type="text" value="US1 : sédiment limoneux de couleur brun, meuble et homogène, racines et radicelles dans la partie supérieure, avec quelques cailloux et galets de 1 à 2 cm."/>	Légendes de la coupe <input type="text" value="US1 : sédiment argilo-limoneux de couleur brun, compact et homogène, racines et radicelles dans la partie supérieure.&lt;br/&gt;US2 : mélange des sédiments de l'US1 et de l'US3."/>
Prélèvements <input type="text"/>	Prélèvements <input type="text"/>	Prélèvements <input type="text"/>	Prélèvements <input type="text"/>
Mobilier <input type="checkbox"/> Tamisage <input type="checkbox"/> Restes humains <input type="checkbox"/>	Mobilier <input type="checkbox"/> Tamisage <input type="checkbox"/> Restes humains <input type="checkbox"/>	Mobilier <input type="checkbox"/> Tamisage <input type="checkbox"/> Restes humains <input type="checkbox"/>	Mobilier <input type="checkbox"/> Tamisage <input type="checkbox"/> Restes humains <input type="checkbox"/>
Faune <input type="text"/> Lithique <input type="text"/> Céramique <input type="text" value="04"/> Terre crue-cuite <input type="text"/> Métal <input type="text"/>	Faune <input type="text"/> Lithique <input type="text"/> Céramique <input type="text"/> Terre crue-cuite <input type="text"/> Métal <input type="text"/>	Faune <input type="text"/> Lithique <input type="text"/> Céramique <input type="text"/> Terre crue-cuite <input type="text"/> Métal <input type="text"/>	Faune <input type="text"/> Lithique <input type="text"/> Céramique <input type="text"/> Terre crue-cuite <input type="text"/> Métal <input type="text"/>
Industrie osseuse <input type="text"/> Macroolithique <input type="text"/> Pierres (en g) <input type="text"/> Parure <input type="text"/> Autres <input type="text"/>	Industrie osseuse <input type="text"/> Macroolithique <input type="text"/> Pierres (en g) <input type="text"/> Parure <input type="text"/> Autres <input type="text"/>	Industrie osseuse <input type="text"/> Macroolithique <input type="text"/> Pierres (en g) <input type="text"/> Parure <input type="text"/> Autres <input type="text"/>	Industrie osseuse <input type="text"/> Macroolithique <input type="text"/> Pierres (en g) <input type="text"/> Parure <input type="text"/> Autres <input type="text"/>
Malacofaune <input type="text"/> Microfaune <input type="text"/> Carporesses <input type="text"/> Anthracorestes <input type="text"/>	Malacofaune <input type="text"/> Microfaune <input type="text"/> Carporesses <input type="text"/> Anthracorestes <input type="text"/>	Malacofaune <input type="text"/> Microfaune <input type="text"/> Carporesses <input type="text"/> Anthracorestes <input type="text"/>	Malacofaune <input type="text"/> Microfaune <input type="text"/> Carporesses <input type="text"/> Anthracorestes <input type="text"/>
Présence <input type="text"/>	Présence <input type="text"/>	Présence <input type="text"/>	Présence <input type="text"/>

Annexe 3 - Le Clos de Roque, Saint-Maximin-la-Sainte-Baume (83). Inventaire des structures identifiées au décapage par fiches comprenant les indications des points topographiques, des minutes, des prélèvements et des photographies numériques de références.



Négatif <input type="checkbox"/>		OA9785 - Clos de Roque - Saint-Maximin-la-Sainte-Baume - Var - 2011	
Numéro de structure Date de fouille Photos	ST2294 20/06/2011 0674 - 0828 - 0847	Secteur Minutes	H03 391 - 392 - 393
Type de structure	Trou de poteau		
Points topographiques	PT2506 - PT3711 à PT3714 - PT4139 à PT4140 - PT4425 à PT4434		
X (Lambert III) Altitude supérieure Altitude inférieure forme en coupe UPS de scellement diamètre à l'ouverture* profondeur observée* coupe ST	885492.14 285.88 B2 UPS2 0.69 0.15	Y (Lambert III) Altitude inférieure forme en plan UPS encaissants diamètre maximal* Volume estimé (m3)	134896.54 285.73 Ovale UPS3 0.69 0.0513
Protocole de fouille	Moitié Sud : fouille par passes manuelles Moitié Nord : fouille par passes manuelles		
Notes sur la structure	Trou de poteau qui appartient à un ensemble organisé de sept trous de poteaux dessinant un plan rectangulaire de 3,50 x 2,20 m (Ensemble D) à rapprocher de la zone orientale de l'Ensemble A.		
Comblement Légendes de la coupe	N-naturel Datation Bronze ancien prob US1 : sédiment argilo-limoneux de couleur brun, compact et homogène, racines et radicelles dans la partie supérieure. US2 : mélange des sédiments de l'US1 et de l'UPS3.		
Prélèvements	PR72 (PT4434) : prélèvement sédiment (phosphate)		
Mobilier	<input checked="" type="checkbox"/> Tamisage <input type="checkbox"/> Faune <input type="checkbox"/> Lithique <input type="checkbox"/> Céramique <input type="checkbox"/> Terre crue-cuite <input type="checkbox"/> Métal <input type="checkbox"/> Restes humains <input type="checkbox"/> Industrie osseuse <input type="checkbox"/> Macrolithique <input type="checkbox"/> Pierres (en g) <input type="checkbox"/> Parure <input type="checkbox"/> Autres <input type="checkbox"/> Malacofaune <input type="checkbox"/> Microfaune <input type="checkbox"/> Carpocestes <input type="checkbox"/> Anthracocestes		

Négatif <input type="checkbox"/>		OA9785 - Clos de Roque - Saint-Maximin-la-Sainte-Baume - Var - 2011	
Numéro de structure Date de fouille Photos	ST2295 21/06/2011 0674 - 0828 - 0847	Secteur Minutes	H03 394 - 395 - 396
Type de structure	Trou de poteau		
Points topographiques	PT2507 - PT3715 à PT3718 - PT4435 - PT4437 à PT4447		
X (Lambert III) Altitude supérieure Altitude inférieure forme en coupe UPS de scellement diamètre à l'ouverture* profondeur observée* coupe ST	885494.29 285.89 B2 UPS2 0.72 0.12	Y (Lambert III) Altitude inférieure forme en plan UPS encaissants diamètre maximal* Volume estimé (m3)	134897.87 285.77 Circulaire UPS3 0.72 0.0489
Protocole de fouille	Moitié Sud : fouille par passes manuelles Moitié Nord : fouille par passes manuelles		
Notes sur la structure	Trou de poteau qui appartient à un ensemble organisé de sept trous de poteaux dessinant un plan rectangulaire de 3,50 x 2,20 m (Ensemble D) à rapprocher de la zone orientale de l'Ensemble A.		
Comblement Légendes de la coupe	N-naturel Datation Bronze ancien phase 2 US1 : sédiment argilo-limoneux de couleur brun, compact et homogène, racines et radicelles dans la partie supérieure. US2 : mélange des sédiments de l'US1 et de l'UPS3.		
Prélèvements	PR72 (PT4434) : prélèvement sédiment (phosphate)		
Mobilier	<input checked="" type="checkbox"/> Tamisage <input type="checkbox"/> Faune <input type="checkbox"/> Lithique <input type="checkbox"/> Céramique <input type="checkbox"/> Terre crue-cuite <input type="checkbox"/> Métal <input type="checkbox"/> Restes humains <input type="checkbox"/> Industrie osseuse <input type="checkbox"/> Macrolithique <input type="checkbox"/> Pierres (en g) <input type="checkbox"/> Parure <input type="checkbox"/> Autres <input type="checkbox"/> Malacofaune <input type="checkbox"/> Microfaune <input type="checkbox"/> Carpocestes <input type="checkbox"/> Anthracocestes		

Négatif <input type="checkbox"/>		OA9785 - Clos de Roque - Saint-Maximin-la-Sainte-Baume - Var - 2011	
Numéro de structure Date de fouille Photos	ST2296 27/06/2011 1041 - 1189 - 1218	Secteur Minutes	H03 586 - 587 - 588
Type de structure	Trou de poteau		
Points topographiques	PT2508 - PT5831 à PT5837 - PT5846 à PT5854		
X (Lambert III) Altitude supérieure Altitude inférieure forme en coupe UPS de scellement diamètre à l'ouverture* profondeur observée* coupe ST	885495.77 285.91 B2 UPS2 0.76 0.18	Y (Lambert III) Altitude inférieure forme en plan UPS encaissants diamètre maximal* Volume estimé (m3)	134896.66 285.73 Circulaire UPS3 0.76 0.0713
Protocole de fouille	Moitié Sud : fouille par passes manuelles Moitié Nord : fouille par passes manuelles		
Notes sur la structure	Trou de poteau qui appartient à un ensemble organisé en ligne de trous de poteaux sur 11 m de long (Ensemble E), orienté nord-ouest sud-est, à l'est de l'Ensemble D.		
Comblement Légendes de la coupe	N-naturel Datation Bronze ancien prob US1 : sédiment argilo-limoneux de couleur brun, compact et homogène, racines et radicelles dans la partie supérieure. US2 : mélange des sédiments de l'US1 et de l'UPS3.		
Prélèvements	PR145 (PT5833) : prélèvement sédiment (phosphate)		
Mobilier	<input checked="" type="checkbox"/> Tamisage <input type="checkbox"/> Faune <input type="checkbox"/> Lithique <input type="checkbox"/> Céramique <input type="checkbox"/> Terre crue-cuite <input type="checkbox"/> Métal <input type="checkbox"/> Restes humains <input type="checkbox"/> Industrie osseuse <input type="checkbox"/> Macrolithique <input type="checkbox"/> Pierres (en g) <input type="checkbox"/> Parure <input type="checkbox"/> Autres <input type="checkbox"/> Malacofaune <input type="checkbox"/> Microfaune <input type="checkbox"/> Carpocestes <input type="checkbox"/> Anthracocestes		

Négatif <input type="checkbox"/>		OA9785 - Clos de Roque - Saint-Maximin-la-Sainte-Baume - Var - 2011	
Numéro de structure Date de fouille Photos	ST2297 22/06/2011 0680 - 0982 - 1001	Secteur Minutes	H03 426 - 427 - 428
Type de structure	Trou de poteau		
Points topographiques	PT2509 - PT3731 à PT3734 - PT4811 à PT4821 - PT4848		
X (Lambert III) Altitude supérieure Altitude inférieure forme en coupe UPS de scellement diamètre à l'ouverture* profondeur observée* coupe ST	885496.1 285.93 C UPS2 0.40 0.11	Y (Lambert III) Altitude inférieure forme en plan UPS encaissants diamètre maximal* Volume estimé (m3)	134896.36 285.82 Circulaire UPS3 0.40 0.0118
Protocole de fouille	Moitié Sud : fouille par passes manuelles Moitié Nord : fouille par passes manuelles		
Notes sur la structure	Trou de poteau qui appartient à un ensemble organisé en ligne de trous de poteaux sur 11 m de long (Ensemble E), orienté nord-ouest sud-est, à l'est de l'Ensemble D.		
Comblement Légendes de la coupe	N-naturel Datation Bronze ancien prob US1 : sédiment argilo-limoneux de couleur brun, compact et homogène, racines et radicelles dans la partie supérieure. US2 : mélange des sédiments de l'US1 et de l'UPS3.		
Prélèvements	PR89 (PT4848) : prélèvement sédiment (phosphate)		
Mobilier	<input checked="" type="checkbox"/> Tamisage <input type="checkbox"/> Faune <input type="checkbox"/> Lithique <input type="checkbox"/> Céramique <input type="checkbox"/> Terre crue-cuite <input type="checkbox"/> Métal <input type="checkbox"/> Restes humains <input type="checkbox"/> Industrie osseuse <input type="checkbox"/> Macrolithique <input type="checkbox"/> Pierres (en g) <input type="checkbox"/> Parure <input type="checkbox"/> Autres <input type="checkbox"/> Malacofaune <input type="checkbox"/> Microfaune <input type="checkbox"/> Carpocestes <input type="checkbox"/> Anthracocestes		

Annexe 3 - Le Clos de Roque, Saint-Maximin-la-Sainte-Baume (83). Inventaire des structures identifiées au décapage par fiches comprenant les indications des points topographiques, des minutes, des prélèvements et des photographies numériques de références.

Négatif <input type="checkbox"/>		OA9785 - Clos de Roque - Saint-Maximin-la-Sainte-Baume - Var - 2011	
Numéro de structure Date de fouille Photos	ST2298 22/06/2011 0679 - 0984 - 0999	Secteur Minutes	H03 429 - 430 - 431
Type de structure Trou de poteau			
Points topographiques PT2510 - PT2327 à PT2330 - PT4822 à PT4832 - PT4849			
X (Lambert III) Altitude supérieure forme en coupe UPS de scellement diamètre à l'ouverture* profondeur observée* coupe ST	885495.15 285.9 C UPS2 0.38 0.1 coupe ST	Y (Lambert III) Altitude inférieure forme en plan UPS encaissants diamètre maximal* Volume estimé (m3) coupée par ST	134896.36 285.8 Circulaire UPS3 0.38 0.0102 coupe ST
Protocole de fouille Moitié Sud : fouille par passes manuelles Moitié Nord : fouille par passes manuelles			
Notes sur la structure Trou de poteau qui appartient à un ensemble organisé en ligne de trous de poteaux sur 11 m de long (Ensemble E), orienté nord-ouest sud-est, à l'est de l'Ensemble D.			
Comblement N-naturel Datation Bronze ancien prob			
Légendes de la coupe US1 : sédiment argilo-limoneux de couleur brun, compact et homogène, racines et radicelles dans la partie supérieure. US2 : mélange des sédiments de l'US1 et de l'UPS3.			
Prélèvements PR90 (PT4848) : prélèvement sédiment (phosphate)			
Mobilier <input checked="" type="checkbox"/> Tamisage Faune Lithique Céramique Terre crue-cuite Métal Restes humains Industrie osseuse Macrolithique Pierres (en g) Parure Autres Malacofaune Microfaune Carporesses Anthracorestes			

Négatif <input type="checkbox"/>		OA9785 - Clos de Roque - Saint-Maximin-la-Sainte-Baume - Var - 2011	
Numéro de structure Date de fouille Photos	ST2299 22/06/2011 0677 - 0872 - 0881	Secteur Minutes	H03 429 - 430 - 431
Type de structure Trou de poteau			
Points topographiques PT2511 - PT3719 à PT3722 - PT4448 à PT4458 - PT4436			
X (Lambert III) Altitude supérieure forme en coupe UPS de scellement diamètre à l'ouverture* profondeur observée* coupe ST	885493.96 285.88 B2 UPS2 0.67 0.13 coupe ST	Y (Lambert III) Altitude inférieure forme en plan UPS encaissants diamètre maximal* Volume estimé (m3) coupée par ST	134896.37 285.75 Ovalaire UPS3 0.67 0.0392 coupe ST
Protocole de fouille Moitié Sud : fouille par passes manuelles Moitié Nord : fouille par passes manuelles			
Notes sur la structure Trou de poteau qui appartient à un ensemble organisé de sept trous de poteaux dessinant un plan rectangulaire de 3,50 x 2,20 m (Ensemble D) à rapprocher de la zone orientale de l'Ensemble A.			
Comblement N-naturel Datation Bronze ancien prob			
Légendes de la coupe US1 : sédiment argilo-limoneux de couleur brun, compact et homogène, racines et radicelles dans la partie supérieure. US2 : mélange des sédiments de l'US1 et de l'UPS3.			
Prélèvements PR79 (PT4436) : prélèvement sédiment (phosphate)			
Mobilier <input checked="" type="checkbox"/> Tamisage Faune Lithique Céramique Terre crue-cuite Métal Restes humains Industrie osseuse Macrolithique Pierres (en g) Parure Autres Malacofaune Microfaune Carporesses Anthracorestes			

Négatif <input type="checkbox"/>		OA9785 - Clos de Roque - Saint-Maximin-la-Sainte-Baume - Var - 2011	
Numéro de structure Date de fouille Photos	ST2300 16/06/2011 0673 - 0708 - 0742	Secteur Minutes	H03 340 - 341 - 342
Type de structure Trou de poteau			
Points topographiques PT2512 - PT3705 à PT3708 - PT3891 - PT3895 à PT3896 - PT3984 à PT3991			
X (Lambert III) Altitude supérieure forme en coupe UPS de scellement diamètre à l'ouverture* profondeur observée* coupe ST	885491.86 285.88 B2 UPS2 0.75 0.13 coupe ST	Y (Lambert III) Altitude inférieure forme en plan UPS encaissants diamètre maximal* Volume estimé (m3) coupée par ST	134896.86 285.75 Ovalaire UPS3 0.75 0.0529 coupe ST
Protocole de fouille Moitié Sud : fouille par passes manuelles Moitié Nord : fouille par passes manuelles			
Notes sur la structure Trou de poteau qui appartient à un ensemble organisé de sept trous de poteaux dessinant un plan rectangulaire de 3,50 x 2,20 m (Ensemble D) à rapprocher de la zone orientale de l'Ensemble A.			
Comblement N-naturel Datation Bronze ancien prob			
Légendes de la coupe US1 : sédiment argilo-limoneux de couleur brun, compact et homogène, racines et radicelles dans la partie supérieure. US2 : mélange des sédiments de l'US1 et de l'UPS3.			
Prélèvements PR61 (PT3891) : prélèvement sédiment (phosphate)			
Mobilier <input checked="" type="checkbox"/> Tamisage Faune Lithique Céramique Terre crue-cuite Métal Restes humains Industrie osseuse Macrolithique Pierres (en g) Parure Autres Malacofaune Microfaune Carporesses Anthracorestes			

Négatif <input type="checkbox"/>		OA9785 - Clos de Roque - Saint-Maximin-la-Sainte-Baume - Var - 2011	
Numéro de structure Date de fouille Photos	ST2301 16/06/2011 0672 - 0709 - 0744	Secteur Minutes	H03 337 - 338 - 339
Type de structure Trou de poteau			
Points topographiques PT2513 - PT3701 à PT3704 - PT3892 à PT3894 - PT3992 à PT4000			
X (Lambert III) Altitude supérieure forme en coupe UPS de scellement diamètre à l'ouverture* profondeur observée* coupe ST	885491.46 285.85 B2 UPS2 0.60 0.16 coupe ST	Y (Lambert III) Altitude inférieure forme en plan UPS encaissants diamètre maximal* Volume estimé (m3) coupée par ST	134895.54 285.69 Ovalaire UPS3 0.6 0.0327 coupe ST
Protocole de fouille Moitié Sud : fouille par passes manuelles Moitié Nord : fouille par passes manuelles			
Notes sur la structure Trou de poteau qui appartient à un ensemble organisé de sept trous de poteaux dessinant un plan rectangulaire de 3,50 x 2,20 m (Ensemble D) à rapprocher de la zone orientale de l'Ensemble A.			
Comblement N-naturel Datation Bronze ancien prob			
Légendes de la coupe US1 : sédiment argilo-limoneux de couleur brun, compact et homogène, racines et radicelles dans la partie supérieure. US2 : mélange des sédiments de l'US1 et de l'UPS3.			
Prélèvements PR62 (PT3892) : prélèvement sédiment (phosphate)			
Mobilier <input checked="" type="checkbox"/> Tamisage Faune Lithique Céramique Terre crue-cuite Métal Restes humains Industrie osseuse Macrolithique Pierres (en g) Parure Autres Malacofaune Microfaune Carporesses Anthracorestes			

Annexe 3 - Le Clos de Roque, Saint-Maximin-la-Sainte-Baume (83). Inventaire des structures identifiées au décapage par fiches comprenant les indications des points topographiques, des minutes, des prélèvements et des photographies numériques de références.

Négatif

OA9785 - Clos de Roque - Saint-Maximin-la-Sainte-Baume - Var - 2011

Numéro de structure  Secteur  Type de structure

Date de fouille  Minutes

Photos

Points topographiques

X (Lambert III)  \* (m) Y (Lambert III)

Altitude supérieure  Altitude inférieure

forme en coupe  forme en plan

UPS de scellement  UPS encaissants

diamètre à l'ouverture\*  x  diamètre maximal\*

profondeur observée\*  Volume estimé (m3)

coupe ST

Protocole de fouille

Notes sur la structure

Comblement  Datation

Légendes de la coupe

Prélèvements

Mobilier  Tamisage

Faune  Lithique  Céramique  Terre crue-cuite  Métal  Restes humains

Industrie osseuse  Macroolithique  Pierres (en g)  Parure  Autres

Malacofaune  Microfaune  Carporesses  Anthracorestes

Négatif

OA9785 - Clos de Roque - Saint-Maximin-la-Sainte-Baume - Var - 2011

Numéro de structure  Secteur  Type de structure

Date de fouille  Minutes

Photos

Points topographiques

X (Lambert III)  \* (m) Y (Lambert III)

Altitude supérieure  Altitude inférieure

forme en coupe  forme en plan

UPS de scellement  UPS encaissants

diamètre à l'ouverture\*  x  diamètre maximal\*

profondeur observée\*  Volume estimé (m3)

coupe ST

Protocole de fouille

Notes sur la structure

Comblement  Datation

Légendes de la coupe

Prélèvements

Mobilier  Tamisage

Faune  Lithique  Céramique  Terre crue-cuite  Métal  Restes humains

Industrie osseuse  Macroolithique  Pierres (en g)  Parure  Autres

Malacofaune  Microfaune  Carporesses  Anthracorestes

Négatif

OA9785 - Clos de Roque - Saint-Maximin-la-Sainte-Baume - Var - 2011

Numéro de structure  Secteur  Type de structure

Date de fouille  Minutes

Photos

Points topographiques

X (Lambert III)  \* (m) Y (Lambert III)

Altitude supérieure  Altitude inférieure

forme en coupe  forme en plan

UPS de scellement  UPS encaissants

diamètre à l'ouverture\*  x  diamètre maximal\*

profondeur observée\*  Volume estimé (m3)

coupe ST

Protocole de fouille

Notes sur la structure

Comblement  Datation

Légendes de la coupe

Prélèvements

Mobilier  Tamisage

Faune  Lithique  Céramique  Terre crue-cuite  Métal  Restes humains

Industrie osseuse  Macroolithique  Pierres (en g)  Parure  Autres

Malacofaune  Microfaune  Carporesses  Anthracorestes

Négatif

OA9785 - Clos de Roque - Saint-Maximin-la-Sainte-Baume - Var - 2011

Numéro de structure  Secteur  Type de structure

Date de fouille  Minutes

Photos

Points topographiques

X (Lambert III)  \* (m) Y (Lambert III)

Altitude supérieure  Altitude inférieure

forme en coupe  forme en plan

UPS de scellement  UPS encaissants

diamètre à l'ouverture\*  x  diamètre maximal\*

profondeur observée\*  Volume estimé (m3)

coupe ST

Protocole de fouille

Notes sur la structure

Comblement  Datation

Légendes de la coupe

Prélèvements

Mobilier  Tamisage

Faune  Lithique  Céramique  Terre crue-cuite  Métal  Restes humains

Industrie osseuse  Macroolithique  Pierres (en g)  Parure  Autres

Malacofaune  Microfaune  Carporesses  Anthracorestes

Annexe 3 - Le Clos de Roque, Saint-Maximin-la-Sainte-Baume (83). Inventaire des structures identifiées au décapage par fiches comprenant les indications des points topographiques, des minutes, des prélèvements et des photographies numériques de références.

Négatif

OA9785 - Clos de Roque - Saint-Maximin-la-Sainte-Baume - Var - 2011

Numéro de structure  Secteur  Type de structure

Date de fouille  Minutes

Photos

Points topographiques

X (Lambert III)  \* (m) Y (Lambert III)

Altitude supérieure  Altitude inférieure

forme en coupe  forme en plan

UPS de scellement  UPS encaissants

diamètre à l'ouverture\*  x  diamètre maximal\*

profondeur observée\*  Volume estimé (m3)

coupe ST

Protocole de fouille

Notes sur la structure

Comblement  Datation

Légendes de la coupe

Prélèvements

Mobilier  Tamisage

Faune  Lithique  Céramique  Terre crue-cuite  Métal  Restes humains

Industrie osseuse  Macroolithique  Pierres (en g)  Parure  Autres

Malacofaune  Microfaune  Carporesses  Anthracorestes

Négatif

OA9785 - Clos de Roque - Saint-Maximin-la-Sainte-Baume - Var - 2011

Numéro de structure  Secteur  Type de structure

Date de fouille  Minutes

Photos

Points topographiques

X (Lambert III)  \* (m) Y (Lambert III)

Altitude supérieure  Altitude inférieure

forme en coupe  forme en plan

UPS de scellement  UPS encaissants

diamètre à l'ouverture\*  x  diamètre maximal\*

profondeur observée\*  Volume estimé (m3)

coupe ST

Protocole de fouille

Notes sur la structure

Comblement  Datation

Légendes de la coupe

Prélèvements

Mobilier  Tamisage

Faune  Lithique  Céramique  Terre crue-cuite  Métal  Restes humains

Industrie osseuse  Macroolithique  Pierres (en g)  Parure  Autres

Malacofaune  Microfaune  Carporesses  Anthracorestes

Négatif

OA9785 - Clos de Roque - Saint-Maximin-la-Sainte-Baume - Var - 2011

Numéro de structure  Secteur  Type de structure

Date de fouille  Minutes

Photos

Points topographiques

X (Lambert III)  \* (m) Y (Lambert III)

Altitude supérieure  Altitude inférieure

forme en coupe  forme en plan

UPS de scellement  UPS encaissants

diamètre à l'ouverture\*  x  diamètre maximal\*

profondeur observée\*  Volume estimé (m3)

coupe ST

Protocole de fouille

Notes sur la structure

Comblement  Datation

Légendes de la coupe

Prélèvements

Mobilier  Tamisage

Faune  Lithique  Céramique  Terre crue-cuite  Métal  Restes humains

Industrie osseuse  Macroolithique  Pierres (en g)  Parure  Autres

Malacofaune  Microfaune  Carporesses  Anthracorestes

Négatif

OA9785 - Clos de Roque - Saint-Maximin-la-Sainte-Baume - Var - 2011

Numéro de structure  Secteur  Type de structure

Date de fouille  Minutes

Photos

Points topographiques

X (Lambert III)  \* (m) Y (Lambert III)

Altitude supérieure  Altitude inférieure

forme en coupe  forme en plan

UPS de scellement  UPS encaissants

diamètre à l'ouverture\*  x  diamètre maximal\*

profondeur observée\*  Volume estimé (m3)

coupe ST

Protocole de fouille

Notes sur la structure

Comblement  Datation

Légendes de la coupe

Prélèvements

Mobilier  Tamisage

Faune  Lithique  Céramique  Terre crue-cuite  Métal  Restes humains

Industrie osseuse  Macroolithique  Pierres (en g)  Parure  Autres

Malacofaune  Microfaune  Carporesses  Anthracorestes

Annexe 3 - Le Clos de Roque, Saint-Maximin-la-Sainte-Baume (83). Inventaire des structures identifiées au décapage par fiches comprenant les indications des points topographiques, des minutes, des prélèvements et des photographies numériques de références.

Négatif

OA9785 - Clos de Roque - Saint-Maximin-la-Sainte-Baume - Var - 2011

Numéro de structure  Secteur  Type de structure

Date de fouille  Minutes

Photos

Points topographiques

X (Lambert III)  \* (m) Y (Lambert III)

Altitude supérieure  Altitude inférieure

forme en coupe  forme en plan

UPS de scellement  UPS encaissants

diamètre à l'ouverture\*  x  diamètre maximal\*

profondeur observée\*  Volume estimé (m3)

coupe ST  coupée par ST

Protocole de fouille

Notes sur la structure

Comblement  Datation

Légendes de la coupe

Prélèvements

Mobilier  Tamisage

Faune	Lithique	Céramique	Terre crue-cuite	Métal	Restes humains
<input type="text" value="04"/>	<input type="text"/>	<input type="text" value="01"/>	<input type="text"/>	<input type="text"/>	<input type="text"/>
Industrie osseuse	Macrolithique	Pierres (en g)	Parure	Autres	
<input type="text"/>	<input type="text"/>	<input type="text"/>	<input type="text"/>	<input type="text"/>	
Malacofaune	Microfaune	Carporesses	Anthracorestes	<input type="text"/>	
Présence	<input type="text"/>	<input type="text"/>	<input type="text"/>	<input type="text"/>	

Négatif

OA9785 - Clos de Roque - Saint-Maximin-la-Sainte-Baume - Var - 2011

Numéro de structure  Secteur  Type de structure

Date de fouille  Minutes

Photos

Points topographiques

X (Lambert III)  \* (m) Y (Lambert III)

Altitude supérieure  Altitude inférieure

forme en coupe  forme en plan

UPS de scellement  UPS encaissants

diamètre à l'ouverture\*  x  diamètre maximal\*

profondeur observée\*  Volume estimé (m3)

coupe ST  coupée par ST

Protocole de fouille

Notes sur la structure

Comblement  Datation

Légendes de la coupe

Prélèvements

Mobilier  Tamisage

Faune	Lithique	Céramique	Terre crue-cuite	Métal	Restes humains
<input type="text" value="15"/>	<input type="text" value="06"/>	<input type="text" value="18"/>	<input type="text"/>	<input type="text"/>	<input type="text"/>
Industrie osseuse	Macrolithique	Pierres (en g)	Parure	Autres	
<input type="text"/>	<input type="text"/>	<input type="text"/>	<input type="text"/>	<input type="text"/>	
Malacofaune	Microfaune	Carporesses	Anthracorestes	<input type="text"/>	
Présence	<input type="text"/>	<input type="text"/>	<input type="text"/>	<input type="text"/>	

Négatif

OA9785 - Clos de Roque - Saint-Maximin-la-Sainte-Baume - Var - 2011

Numéro de structure  Secteur  Type de structure

Date de fouille  Minutes

Photos

Points topographiques

X (Lambert III)  \* (m) Y (Lambert III)

Altitude supérieure  Altitude inférieure

forme en coupe  forme en plan

UPS de scellement  UPS encaissants

diamètre à l'ouverture\*  x  diamètre maximal\*

profondeur observée\*  Volume estimé (m3)

coupe ST

Protocole de fouille

Notes sur la structure

Comblement  Datation

Légendes de la coupe

Prélèvements

Mobilier  Tamisage

Faune	Lithique	Céramique	Terre crue-cuite	Métal	Restes humains
<input type="text" value="07"/>	<input type="text"/>	<input type="text" value="10"/>	<input type="text"/>	<input type="text"/>	<input type="text"/>
Industrie osseuse	Macrolithique	Pierres (en g)	Parure	Autres	
<input type="text"/>	<input type="text"/>	<input type="text" value="266"/>	<input type="text"/>	<input type="text"/>	
Malacofaune	Microfaune	Carporesses	Anthracorestes	<input type="text"/>	
Présence	<input type="text"/>	<input type="text"/>	<input type="text"/>	<input type="text"/>	

Négatif

OA9785 - Clos de Roque - Saint-Maximin-la-Sainte-Baume - Var - 2011

Numéro de structure  Secteur  Type de structure

Date de fouille  Minutes

Photos

Points topographiques

X (Lambert III)  \* (m) Y (Lambert III)

Altitude supérieure  Altitude inférieure

forme en coupe  forme en plan

UPS de scellement  UPS encaissants

diamètre à l'ouverture\*  x

profondeur observée\*  Volume estimé (m3)

coupe ST

Protocole de fouille

Notes sur la structure

Comblement  Datation

Légendes de la coupe

Prélèvements

Mobilier  Tamisage

Faune	Lithique	Céramique	Terre crue-cuite	Métal	Restes humains
<input type="text"/>	<input type="text"/>	<input type="text" value="01"/>	<input type="text"/>	<input type="text"/>	<input type="text"/>
Industrie osseuse	Macrolithique	Pierres (en g)	Parure	Autres	
<input type="text"/>	<input type="text"/>	<input type="text"/>	<input type="text"/>	<input type="text"/>	
Malacofaune	Microfaune	Carporesses	Anthracorestes	<input type="text"/>	
Présence	<input type="text"/>	<input type="text"/>	<input type="text"/>	<input type="text"/>	

Annexe 3 - Le Clos de Roque, Saint-Maximin-la-Sainte-Baume (83). Inventaire des structures identifiées au décapage par fiches comprenant les indications des points topographiques, des minutes, des prélèvements et des photographies numériques de références.

<p>Négatif <input type="checkbox"/></p> <p style="text-align: center;">OA9785 - Clos de Roque - Saint-Maximin-la-Sainte-Baume - Var - 2011</p> <p>Numéro de structure <input type="text" value="ST2314"/> Secteur <input type="text" value="J07"/> Type de structure <input type="text" value="Trou de poteau"/></p> <p>Date de fouille <input type="text" value="07/06/2011"/> Minutes <input type="text" value="178 - 191 - 192"/></p> <p>Photos <input type="text" value="0430 - 0432 - 0441"/></p> <p>Points topographiques <input type="text" value="PT2632 à PT2636 - PT2675 à PT2676 - PT2754 à PT2763 - PT2776"/></p> <p>X (Lambert III) <input type="text" value="885538.80"/> * (m) Y (Lambert III) <input type="text" value="134874.83"/></p> <p>Altitude supérieure <input type="text" value="286.06"/> Altitude inférieure <input type="text" value="285.84"/></p> <p>forme en coupe <input type="text" value="B2"/> forme en plan <input type="text" value="Circulaire"/></p> <p>UPS de scellement <input type="text" value="UPS2"/> UPS encaissants <input type="text" value="UPS3"/></p> <p>diamètre à l'ouverture* <input type="text" value="0.40"/> x <input type="text" value="0.33"/> diamètre maximal* <input type="text" value="0.40"/></p> <p>profondeur observée* <input type="text" value="0.22"/> Volume estimé (m3) <input type="text" value="0.0237"/></p> <p>coupe ST <input type="text" value=""/> coupée par ST <input type="text" value=""/></p> <p>Protocole de fouille <input type="text" value="Moitié Sud : fouille par passes manuelles&lt;br/&gt;Moitié Nord : fouille par passes manuelles"/></p> <p>Notes sur la structure <input type="text" value="Trou de poteau qui appartient à un ensemble organisé de plusieurs trous de poteaux dessinant un plan rectangulaire (Ensemble B) orienté nord-sud, perpendiculaire à l'Ensemble A à l'ouest."/></p> <p>Comblement <input type="text" value="N-naturel"/> Datation <input type="text" value="Bronze ancien prob"/></p> <p>Légendes de la coupe <input type="text" value="US1 : sédiment argilo-limoneux de couleur brun clair, compact et homogène, racines et radicelles dans la partie supérieure.&lt;br/&gt;US2 : mélange des sédiments de l'US1 et de l'UPS3."/></p> <p>Prélèvements <input type="text" value="PR36 (PT2776) : sédiment (phosphate)"/></p> <p>Mobilier <input type="checkbox"/> Tamisage</p> <table border="1" style="width:100%; border-collapse: collapse;"> <tr> <td>Faune</td> <td>Lithique</td> <td>Céramique</td> <td>Terre crue-cuite</td> <td>Métal</td> <td>Restes humains</td> </tr> <tr> <td><input type="text"/></td> <td><input type="text"/></td> <td><input type="text" value="01"/></td> <td><input type="text"/></td> <td><input type="text"/></td> <td><input type="text"/></td> </tr> <tr> <td>Industrie osseuse</td> <td>Macrolithique</td> <td>Pierres (en g)</td> <td>Parure</td> <td colspan="2">Autres</td> </tr> <tr> <td><input type="text"/></td> <td><input type="text"/></td> <td><input type="text"/></td> <td><input type="text"/></td> <td colspan="2"><input type="text"/></td> </tr> <tr> <td>Malacofaune</td> <td>Microfaune</td> <td>Carpocestes</td> <td>Anthracoccestes</td> <td colspan="2"></td> </tr> <tr> <td><input type="text"/></td> <td><input type="text"/></td> <td><input type="text"/></td> <td><input type="text"/></td> <td colspan="2"></td> </tr> <tr> <td>Présence</td> <td></td> <td></td> <td></td> <td colspan="2"></td> </tr> </table>	Faune	Lithique	Céramique	Terre crue-cuite	Métal	Restes humains	<input type="text"/>	<input type="text"/>	<input type="text" value="01"/>	<input type="text"/>	<input type="text"/>	<input type="text"/>	Industrie osseuse	Macrolithique	Pierres (en g)	Parure	Autres		<input type="text"/>	<input type="text"/>	<input type="text"/>	<input type="text"/>	<input type="text"/>		Malacofaune	Microfaune	Carpocestes	Anthracoccestes			<input type="text"/>	<input type="text"/>	<input type="text"/>	<input type="text"/>			Présence						<p>Négatif <input type="checkbox"/></p> <p style="text-align: center;">OA9785 - Clos de Roque - Saint-Maximin-la-Sainte-Baume - Var - 2011</p> <p>Numéro de structure <input type="text" value="ST2315"/> Secteur <input type="text" value="L07"/> Type de structure <input type="text" value="Tranchée de plantation"/></p> <p>Date de fouille <input type="text" value="07/07/2011"/> Minutes <input type="text" value=""/></p> <p>Photos <input type="text" value="1571"/></p> <p>Points topographiques <input type="text" value="PT7351 à PT7355 - PT7393 à PT7401"/></p> <p>X (Lambert III) <input type="text" value="885538.54"/> * (m) Y (Lambert III) <input type="text" value="134854.79"/></p> <p>Altitude supérieure <input type="text" value="286.43"/> Altitude inférieure <input type="text" value="286.29"/></p> <p>forme en coupe <input type="text" value="B2"/> forme en plan <input type="text" value="Rectangulaire"/></p> <p>UPS de scellement <input type="text" value="UPS2"/> UPS encaissants <input type="text" value="UPS3"/></p> <p>diamètre à l'ouverture* <input type="text" value="0.4"/> x <input type="text" value=""/> diamètre maximal* <input type="text" value="1"/></p> <p>profondeur observée* <input type="text" value="0.14"/> Volume estimé (m3) <input type="text" value="0.056"/></p> <p>coupe ST <input type="text" value="2136"/> coupée par ST <input type="text" value=""/></p> <p>Protocole de fouille <input type="text" value="Moitié Sud : fouille par passes mécaniques&lt;br/&gt;Moitié Nord : fouille par passes mécaniques"/></p> <p>Notes sur la structure <input type="text" value="Fosse moderne rectangulaire qui recoupe ST2136, fosse du Néo proto, la céramique découverte est attribuable à cette période."/></p> <p>Comblement <input type="text" value="N-naturel"/> Datation <input type="text" value="Historique"/></p> <p>Légendes de la coupe <input type="text" value="Sédiment limono-argileux brun, meuble à compact, quelques galets de 1 à 2 cm, radicelles."/></p> <p>Prélèvements <input type="text" value=""/></p> <p>Mobilier <input type="checkbox"/> Tamisage</p> <table border="1" style="width:100%; border-collapse: collapse;"> <tr> <td>Faune</td> <td>Lithique</td> <td>Céramique</td> <td>Terre crue-cuite</td> <td>Métal</td> <td>Restes humains</td> </tr> <tr> <td><input type="text"/></td> <td><input type="text"/></td> <td><input type="text" value="68"/></td> <td><input type="text"/></td> <td><input type="text"/></td> <td><input type="text"/></td> </tr> <tr> <td>Industrie osseuse</td> <td>Macrolithique</td> <td>Pierres (en g)</td> <td>Parure</td> <td colspan="2">Autres</td> </tr> <tr> <td><input type="text"/></td> <td><input type="text"/></td> <td><input type="text"/></td> <td><input type="text"/></td> <td colspan="2"><input type="text"/></td> </tr> <tr> <td>Malacofaune</td> <td>Microfaune</td> <td>Carpocestes</td> <td>Anthracoccestes</td> <td colspan="2"></td> </tr> <tr> <td><input type="text"/></td> <td><input type="text"/></td> <td><input type="text"/></td> <td><input type="text"/></td> <td colspan="2"></td> </tr> <tr> <td>Présence</td> <td></td> <td></td> <td></td> <td colspan="2"></td> </tr> </table>	Faune	Lithique	Céramique	Terre crue-cuite	Métal	Restes humains	<input type="text"/>	<input type="text"/>	<input type="text" value="68"/>	<input type="text"/>	<input type="text"/>	<input type="text"/>	Industrie osseuse	Macrolithique	Pierres (en g)	Parure	Autres		<input type="text"/>	<input type="text"/>	<input type="text"/>	<input type="text"/>	<input type="text"/>		Malacofaune	Microfaune	Carpocestes	Anthracoccestes			<input type="text"/>	<input type="text"/>	<input type="text"/>	<input type="text"/>			Présence					
Faune	Lithique	Céramique	Terre crue-cuite	Métal	Restes humains																																																																																
<input type="text"/>	<input type="text"/>	<input type="text" value="01"/>	<input type="text"/>	<input type="text"/>	<input type="text"/>																																																																																
Industrie osseuse	Macrolithique	Pierres (en g)	Parure	Autres																																																																																	
<input type="text"/>	<input type="text"/>	<input type="text"/>	<input type="text"/>	<input type="text"/>																																																																																	
Malacofaune	Microfaune	Carpocestes	Anthracoccestes																																																																																		
<input type="text"/>	<input type="text"/>	<input type="text"/>	<input type="text"/>																																																																																		
Présence																																																																																					
Faune	Lithique	Céramique	Terre crue-cuite	Métal	Restes humains																																																																																
<input type="text"/>	<input type="text"/>	<input type="text" value="68"/>	<input type="text"/>	<input type="text"/>	<input type="text"/>																																																																																
Industrie osseuse	Macrolithique	Pierres (en g)	Parure	Autres																																																																																	
<input type="text"/>	<input type="text"/>	<input type="text"/>	<input type="text"/>	<input type="text"/>																																																																																	
Malacofaune	Microfaune	Carpocestes	Anthracoccestes																																																																																		
<input type="text"/>	<input type="text"/>	<input type="text"/>	<input type="text"/>																																																																																		
Présence																																																																																					
<p>Négatif <input checked="" type="checkbox"/></p> <p style="text-align: center;">OA9785 - Clos de Roque - Saint-Maximin-la-Sainte-Baume - Var - 2011</p> <p>Numéro de structure <input type="text" value="ST2316"/> Secteur <input type="text" value="J08"/> Type de structure <input type="text" value="Terrier"/></p> <p>Date de fouille <input type="text" value="07/07/2011"/> Minutes <input type="text" value=""/></p> <p>Photos <input type="text" value=""/></p> <p>Points topographiques <input type="text" value="PT2747"/></p> <p>X (Lambert III) <input type="text" value="885545.41"/> * (m) Y (Lambert III) <input type="text" value="134870.13"/></p> <p>Altitude supérieure <input type="text" value="286.07"/> Altitude inférieure <input type="text" value="285.92"/></p> <p>forme en coupe <input type="text" value="B2"/> forme en plan <input type="text" value="Longiligne"/></p> <p>UPS de scellement <input type="text" value="UPS2"/> UPS encaissants <input type="text" value="UPS3"/></p> <p>diamètre à l'ouverture* <input type="text" value="0.3"/> x <input type="text" value=""/> diamètre maximal* <input type="text" value="0.7"/></p> <p>profondeur observée* <input type="text" value="0.15"/> Volume estimé (m3) <input type="text" value=""/></p> <p>coupe ST <input type="text" value=""/> coupée par ST <input type="text" value=""/></p> <p>Protocole de fouille <input type="text" value="Moitié Sud : fouille par passes manuelles&lt;br/&gt;Moitié Nord : fouille par passes manuelles"/></p> <p>Notes sur la structure <input type="text" value="Terrier"/></p> <p>Comblement <input type="text" value="N-naturel"/> Datation <input type="text" value="Néant"/></p> <p>Légendes de la coupe <input type="text" value="Sédiment limono-argileux brun, meuble à compact, quelques galets de 1 à 2 cm, radicelles."/></p> <p>Prélèvements <input type="text" value=""/></p> <p>Mobilier <input type="checkbox"/> Tamisage</p> <table border="1" style="width:100%; border-collapse: collapse;"> <tr> <td>Faune</td> <td>Lithique</td> <td>Céramique</td> <td>Terre crue-cuite</td> <td>Métal</td> <td>Restes humains</td> </tr> <tr> <td><input type="text"/></td> <td><input type="text"/></td> <td><input type="text"/></td> <td><input type="text"/></td> <td><input type="text"/></td> <td><input type="text"/></td> </tr> <tr> <td>Industrie osseuse</td> <td>Macrolithique</td> <td>Pierres (en g)</td> <td>Parure</td> <td colspan="2">Autres</td> </tr> <tr> <td><input type="text"/></td> <td><input type="text"/></td> <td><input type="text"/></td> <td><input type="text"/></td> <td colspan="2"><input type="text"/></td> </tr> <tr> <td>Malacofaune</td> <td>Microfaune</td> <td>Carpocestes</td> <td>Anthracoccestes</td> <td colspan="2"></td> </tr> <tr> <td><input type="text"/></td> <td><input type="text"/></td> <td><input type="text"/></td> <td><input type="text"/></td> <td colspan="2"></td> </tr> <tr> <td>Présence</td> <td></td> <td></td> <td></td> <td colspan="2"></td> </tr> </table>	Faune	Lithique	Céramique	Terre crue-cuite	Métal	Restes humains	<input type="text"/>	<input type="text"/>	<input type="text"/>	<input type="text"/>	<input type="text"/>	<input type="text"/>	Industrie osseuse	Macrolithique	Pierres (en g)	Parure	Autres		<input type="text"/>	<input type="text"/>	<input type="text"/>	<input type="text"/>	<input type="text"/>		Malacofaune	Microfaune	Carpocestes	Anthracoccestes			<input type="text"/>	<input type="text"/>	<input type="text"/>	<input type="text"/>			Présence						<p>Négatif <input type="checkbox"/></p> <p style="text-align: center;">OA9785 - Clos de Roque - Saint-Maximin-la-Sainte-Baume - Var - 2011</p> <p>Numéro de structure <input type="text" value="ST2317"/> Secteur <input type="text" value="J07"/> Type de structure <input type="text" value="Trou de poteau"/></p> <p>Date de fouille <input type="text" value="07/06/2011"/> Minutes <input type="text" value="200 - 201 - 202"/></p> <p>Photos <input type="text" value="0445 - 0451 - 0453"/></p> <p>Points topographiques <input type="text" value="PT2748 - PT2827 à PT2840 - PT2873"/></p> <p>X (Lambert III) <input type="text" value="885537.92"/> * (m) Y (Lambert III) <input type="text" value="134870.46"/></p> <p>Altitude supérieure <input type="text" value="286.11"/> Altitude inférieure <input type="text" value="285.92"/></p> <p>forme en coupe <input type="text" value="B2"/> forme en plan <input type="text" value="Ovalaire"/></p> <p>UPS de scellement <input type="text" value="UPS2"/> UPS encaissants <input type="text" value="UPS3"/></p> <p>diamètre à l'ouverture* <input type="text" value="0.44"/> x <input type="text" value="0.36"/> diamètre maximal* <input type="text" value="0.44"/></p> <p>profondeur observée* <input type="text" value="0.19"/> Volume estimé (m3) <input type="text" value="0.0239"/></p> <p>coupe ST <input type="text" value=""/> coupée par ST <input type="text" value=""/></p> <p>Protocole de fouille <input type="text" value="Moitié Sud : fouille par passes manuelles&lt;br/&gt;Moitié Nord : fouille par passes manuelles"/></p> <p>Notes sur la structure <input type="text" value="Trou de poteau qui appartient à un ensemble organisé de plusieurs trous de poteaux dessinant un plan rectangulaire (Ensemble B) orienté nord-sud, perpendiculaire à l'Ensemble A à l'ouest."/></p> <p>Comblement <input type="text" value="N-naturel"/> Datation <input type="text" value="Bronze ancien prob"/></p> <p>Légendes de la coupe <input type="text" value="US1 : sédiment argilo-limoneux de couleur brun clair, compact et homogène, racines et radicelles dans la partie supérieure.&lt;br/&gt;US2 : mélange des sédiments de l'US1 et de l'UPS3."/></p> <p>Prélèvements <input type="text" value="PR38 (PT2873) : sédiment (phosphate)"/></p> <p>Mobilier <input checked="" type="checkbox"/> Tamisage</p> <table border="1" style="width:100%; border-collapse: collapse;"> <tr> <td>Faune</td> <td>Lithique</td> <td>Céramique</td> <td>Terre crue-cuite</td> <td>Métal</td> <td>Restes humains</td> </tr> <tr> <td><input type="text"/></td> <td><input type="text"/></td> <td><input type="text"/></td> <td><input type="text"/></td> <td><input type="text"/></td> <td><input type="text"/></td> </tr> <tr> <td>Industrie osseuse</td> <td>Macrolithique</td> <td>Pierres (en g)</td> <td>Parure</td> <td colspan="2">Autres</td> </tr> <tr> <td><input type="text"/></td> <td><input type="text"/></td> <td><input type="text"/></td> <td><input type="text"/></td> <td colspan="2"><input type="text"/></td> </tr> <tr> <td>Malacofaune</td> <td>Microfaune</td> <td>Carpocestes</td> <td>Anthracoccestes</td> <td colspan="2"></td> </tr> <tr> <td><input type="text"/></td> <td><input type="text"/></td> <td><input type="text"/></td> <td><input type="text"/></td> <td colspan="2"></td> </tr> <tr> <td>Présence</td> <td></td> <td></td> <td></td> <td colspan="2"></td> </tr> </table>	Faune	Lithique	Céramique	Terre crue-cuite	Métal	Restes humains	<input type="text"/>	<input type="text"/>	<input type="text"/>	<input type="text"/>	<input type="text"/>	<input type="text"/>	Industrie osseuse	Macrolithique	Pierres (en g)	Parure	Autres		<input type="text"/>	<input type="text"/>	<input type="text"/>	<input type="text"/>	<input type="text"/>		Malacofaune	Microfaune	Carpocestes	Anthracoccestes			<input type="text"/>	<input type="text"/>	<input type="text"/>	<input type="text"/>			Présence					
Faune	Lithique	Céramique	Terre crue-cuite	Métal	Restes humains																																																																																
<input type="text"/>	<input type="text"/>	<input type="text"/>	<input type="text"/>	<input type="text"/>	<input type="text"/>																																																																																
Industrie osseuse	Macrolithique	Pierres (en g)	Parure	Autres																																																																																	
<input type="text"/>	<input type="text"/>	<input type="text"/>	<input type="text"/>	<input type="text"/>																																																																																	
Malacofaune	Microfaune	Carpocestes	Anthracoccestes																																																																																		
<input type="text"/>	<input type="text"/>	<input type="text"/>	<input type="text"/>																																																																																		
Présence																																																																																					
Faune	Lithique	Céramique	Terre crue-cuite	Métal	Restes humains																																																																																
<input type="text"/>	<input type="text"/>	<input type="text"/>	<input type="text"/>	<input type="text"/>	<input type="text"/>																																																																																
Industrie osseuse	Macrolithique	Pierres (en g)	Parure	Autres																																																																																	
<input type="text"/>	<input type="text"/>	<input type="text"/>	<input type="text"/>	<input type="text"/>																																																																																	
Malacofaune	Microfaune	Carpocestes	Anthracoccestes																																																																																		
<input type="text"/>	<input type="text"/>	<input type="text"/>	<input type="text"/>																																																																																		
Présence																																																																																					

Annexe 3 - Le Clos de Roque, Saint-Maximin-la-Sainte-Baume (83). Inventaire des structures identifiées au décapage par fiches comprenant les indications des points topographiques, des minutes, des prélèvements et des photographies numériques de références.

Négatif

OA9785 - Clos de Roque - Saint-Maximin-la-Sainte-Baume - Var - 2011

Numéro de structure ST2318 Secteur J07 Type de structure Trou de poteau

Date de fouille 07/06/2011 Minutes 242 - 243 - 244

Photos 0454 - 0459 - 0486

Points topographiques PT2874 - PT2861 à PT2866 - PT3019 - PT3091 à PT3100

X (Lambert III) 885536.77 \* (m) Y (Lambert III) 134873.99

Altitude supérieure 286.15 Altitude inférieure 286.01

forme en coupe B2 forme en plan Circulaire

UPS de scellement UPS2 UPS encaissants UPS3

diamètre à l'ouverture\* 0.50 x 0.47 diamètre maximal\* 0.50

profondeur observée\* 0.11 Volume estimé (m3) 0.0199

coupe ST coupée par ST

Protocole de fouille Moitié Sud : fouille par passes manuelles  
Moitié Nord : fouille par passes manuelles

Notes sur la structure Trou de poteau qui appartient à un ensemble organisé de plusieurs trous de poteaux dessinant un plan rectangulaire (Ensemble B) orienté nord-sud, perpendiculaire à l'Ensemble A à l'ouest.

Comblement N-naturel Datation Bronze ancien prob

Légendes de la coupe US1 : sédiment argilo-limoneux de couleur brun clair, compact et homogène, racines et radicelles dans la partie supérieure.  
US2 : mélange des sédiments de l'US1 et de l'UPS3.

Prélèvements PR45 (PT3019 : sédiment (phosphate))

Mobilier  Tamisage

Faune	Lithique	Céramique	Terre crue-cuite	Métal	Restes humains
Industrie osseuse	Macrolithique	Pierres (en g)	Parure	Autres	
Malacofaune	Microfaune	Carporesses	Anthracorestes		
Présence					

Négatif

OA9785 - Clos de Roque - Saint-Maximin-la-Sainte-Baume - Var - 2011

Numéro de structure ST2319 Secteur J06 Type de structure Fosse

Date de fouille 05/07/2011 Minutes 700 - 701 - 702 - 703

Photos 0564 - 1332 - 1356 - 1357 - 1395 à 1397 - 1456

Points topographiques PT3141 - PT3225 à PT3228 - PT3344 à PT3365 - PT3399 à PT3404 - PT6406 à PT6418 - PT6731 - PT7017 à PT7028 - PT7040 - PT7042

X (Lambert III) 885527.8 \* (m) Y (Lambert III) 134873.1

Altitude supérieure 286.09 Altitude inférieure 285.53

forme en coupe F1 forme en plan Circulaire

UPS de scellement UPS2 UPS encaissants UPS3

diamètre à l'ouverture\* 2.14 x diamètre maximal\* 2.14

profondeur observée\* 0.55 Volume estimé (m3) 1.9782

coupe ST coupée par ST

Protocole de fouille Moitié Sud : fouille par passes mécaniques  
Moitié Nord : fouille par passes manuelles

Notes sur la structure Niveau d'apparition qui englobait en fait 2 fosses ST2333 et ST2319 à l'altitude 286.28. Il s'agissait d'un niveau perturbé par le labour. La ST2319 correspond à une structure attribuable au VBQ, avec des niveaux de rejets domestiques, calcaires et calcites brûlées.

Comblement A-anthropique Datation Néolithique moyen VBQ

Légendes de la coupe US1 : sédiment argilo-limoneux de couleur brun foncé, compact et homogène, quelques cailloux de 1 à 5 cm, racines et radicelles dans la partie supérieure. Quelques charbons et nodules de terre cuite centimétriques.  
US2 : mélange des sédiments de l'US1 et de l'UPS3.  
US3 : sédiment argilo-limoneux de couleur brun foncé, compact et homogène, nombreux charbons et nodules de terre cuite centimétriques. Nombreux artefacts céramiques et restes de faunes.  
US4 : sédiment argilo-limoneux de couleur brun foncé, compact et homogène, quelques charbons millimétriques, US de quelques centimètres d'épaisseur, dans la partie nord de la fosse, n'apparaît pas sur la coupe

Prélèvements PR219 : sédiment malacologie, anthracologie

Mobilier  Tamisage

Faune	Lithique	Céramique	Terre crue-cuite	Métal	Restes humains
565	59	178	Présence		
Industrie osseuse	Macrolithique	Pierres (en g)	Parure	Autres	
	Frgt meules (B)	1300			
Malacofaune	Microfaune	Carporesses	Anthracorestes		
Présence					

Négatif

OA9785 - Clos de Roque - Saint-Maximin-la-Sainte-Baume - Var - 2011

Numéro de structure ST2320 Secteur E04 Type de structure Trou de poteau

Date de fouille 15/06/2011 Minutes 295 - 296 - 297

Photos 0632 - 0636 - 0652

Points topographiques PT3565 - PT3566 - PT3624 à PT3627 - PT3646 à PT3656

X (Lambert III) 885503.08 \* (m) Y (Lambert III) 134921.97

Altitude supérieure 285.82 Altitude inférieure 285.65

forme en coupe B2 forme en plan Ovalaire

UPS de scellement UPS2 UPS encaissants UPS3

diamètre à l'ouverture\* 0.53 x 0.46 diamètre maximal\* 0.53

profondeur observée\* 0.17 Volume estimé (m3) 0.0334

coupe ST coupée par ST

Protocole de fouille Moitié Sud : fouille par passes manuelles  
Moitié Nord : fouille par passes manuelles

Notes sur la structure Trou de poteau

Comblement N-naturel Datation Néo/Proto

Légendes de la coupe US1 : sédiment argilo-limoneux de couleur brun clair, compact et homogène, racines et radicelles dans la partie supérieure.  
US2 : mélange des sédiments de l'US1 et de l'UPS3.

Prélèvements PR45 (PT3019 : sédiment (phosphate))

Mobilier  Tamisage

Faune	Lithique	Céramique	Terre crue-cuite	Métal	Restes humains
	01	02			
Industrie osseuse	Macrolithique	Pierres (en g)	Parure	Autres	
Malacofaune	Microfaune	Carporesses	Anthracorestes		
Présence					

Négatif

OA9785 - Clos de Roque - Saint-Maximin-la-Sainte-Baume - Var - 2011

Numéro de structure ST2321 Secteur L03 Type de structure Fosse

Date de fouille 07/07/2011 Minutes 760 - 761

Photos 1575 - 1586

Points topographiques PT4059 à PT4066 - PT7387 à PT7390 - PT7411 à PT7422 - PT6012 à PT6018

X (Lambert III) 885494.42 \* (m) Y (Lambert III) 134853.16

Altitude supérieure 286.01 Altitude inférieure 285.71

forme en coupe F1 forme en plan Ovalaire

UPS de scellement UPS2 UPS encaissants UPS3

diamètre à l'ouverture\* 1.14 x 0.99 diamètre maximal\* 1.14

profondeur observée\* 0.3 Volume estimé (m3) 0.2698

coupe ST coupée par ST

Protocole de fouille Moitié Ouest : fouille par passes manuelles  
Moitié Est : fouille par passes mécaniques

Notes sur la structure Fosse

Comblement N-naturel Datation Néolithique final ind

Légendes de la coupe US1 : sédiment argilo-limoneux de couleur brun, compact et homogène, racines et radicelles dans la partie supérieure.  
US2 : mélange des sédiments de l'US1 et de l'UPS3.

Prélèvements PR207 : Sédiment carpoologie  
PR208 : Sédiment malacologie

Mobilier  Tamisage

Faune	Lithique	Céramique	Terre crue-cuite	Métal	Restes humains
	01	01			
Industrie osseuse	Macrolithique	Pierres (en g)	Parure	Autres	
Malacofaune	Microfaune	Carporesses	Anthracorestes		
Présence					

Annexe 3 - Le Clos de Roque, Saint-Maximin-la-Sainte-Baume (83). Inventaire des structures identifiées au décapage par fiches comprenant les indications des points topographiques, des minutes, des prélèvements et des photographies numériques de références.

Négatif

OA9785 - Clos de Roque - Saint-Maximin-la-Sainte-Baume - Var - 2011

Numéro de structure  Secteur  Type de structure

Date de fouille  Minutes

Photos

Points topographiques

X (Lambert III)  (m) Y (Lambert III)

Altitude supérieure  Altitude inférieure

forme en coupe  forme en plan

UPS de scellement  UPS encaissants

diamètre à l'ouverture\*  x  diamètre maximal\*

profondeur observée\*  Volume estimé (m3)

coupe ST  coupée par ST

Protocole de fouille

Notes sur la structure

Comblement  Datation

Légendes de la coupe

Prélèvements

Mobilier  Tamisage

Faune	Lithique	Céramique	Terre crue-cuite	Métal	Restes humains
Industrie osseuse	Macrolithique	Pierres (en g)	Parure	Autres	
Malacofaune	Microfaune	Carporestes	Anthracorestes		

Négatif

OA9785 - Clos de Roque - Saint-Maximin-la-Sainte-Baume - Var - 2011

Numéro de structure  Secteur  Type de structure

Date de fouille  Minutes

Photos

Points topographiques

X (Lambert III)  (m) Y (Lambert III)

Altitude supérieure  Altitude inférieure

forme en coupe  forme en plan

UPS de scellement  UPS encaissants

diamètre à l'ouverture\*  x  diamètre maximal\*

profondeur observée\*  Volume estimé (m3)

coupe ST  coupée par ST

Protocole de fouille

Notes sur la structure

Comblement  Datation

Légendes de la coupe

Prélèvements

Mobilier  Tamisage

Faune	Lithique	Céramique	Terre crue-cuite	Métal	Restes humains
		05			
Industrie osseuse	Macrolithique	Pierres (en g)	Parure	Autres	
Malacofaune	Microfaune	Carporestes	Anthracorestes		

Négatif

OA9785 - Clos de Roque - Saint-Maximin-la-Sainte-Baume - Var - 2011

Numéro de structure  Secteur  Type de structure

Date de fouille  Minutes

Photos

Points topographiques

X (Lambert III)  (m) Y (Lambert III)

Altitude supérieure  Altitude inférieure

forme en coupe  forme en plan

UPS de scellement  UPS encaissants

diamètre à l'ouverture\*  x  diamètre maximal\*

profondeur observée\*  Volume estimé (m3)

coupe ST  coupée par ST

Protocole de fouille

Notes sur la structure

Comblement  Datation

Légendes de la coupe

Prélèvements

Mobilier  Tamisage

Faune	Lithique	Céramique	Terre crue-cuite	Métal	Restes humains
		04			
Industrie osseuse	Macrolithique	Pierres (en g)	Parure	Autres	
		28			
Malacofaune	Microfaune	Carporestes	Anthracorestes		

Négatif

OA9785 - Clos de Roque - Saint-Maximin-la-Sainte-Baume - Var - 2011

Numéro de structure  Secteur  Type de structure

Date de fouille  Minutes

Photos

Points topographiques

X (Lambert III)  (m) Y (Lambert III)

Altitude supérieure  Altitude inférieure

forme en coupe  forme en plan

UPS de scellement  UPS encaissants

diamètre à l'ouverture\*  x  diamètre maximal\*

profondeur observée\*  Volume estimé (m3)

coupe ST  coupée par ST

Protocole de fouille

Notes sur la structure

Comblement  Datation

Légendes de la coupe

Prélèvements

Mobilier  Tamisage

Faune	Lithique	Céramique	Terre crue-cuite	Métal	Restes humains
22	03	21			
Industrie osseuse	Macrolithique	Pierres (en g)	Parure	Autres	
		2800			
Malacofaune	Microfaune	Carporestes	Anthracorestes		

Annexe 3 - Le Clos de Roque, Saint-Maximin-la-Sainte-Baume (83). Inventaire des structures identifiées au décapage par fiches comprenant les indications des points topographiques, des minutes, des prélèvements et des photographies numériques de références.



Négatif

OA9785 - Clos de Roque - Saint-Maximin-la-Sainte-Baume - Var - 2011

Numéro de structure  Secteur  Type de structure

Date de fouille  Minutes

Photos

Points topographiques

X (Lambert III)  \* (m) Y (Lambert III)

Altitude supérieure  Altitude inférieure

forme en coupe  forme en plan

UPS de scellement  UPS encaissants

diamètre à l'ouverture\*  x  diamètre maximal\*

profondeur observée\*  Volume estimé (m3)

coupe ST

Protocole de fouille

Notes sur la structure

Comblement  Datation

Légendes de la coupe

Prélèvements

Mobilier  Tamisage

Faune	Lithique	Céramique	Terre crue-cuite	Métal	Restes humains
<input type="text" value="37"/>	<input type="text" value="02"/>	<input type="text" value="59"/>	<input type="text"/>	<input type="text"/>	<input type="text"/>
Industrie osseuse	Macrolithique	Pierres (en g)	Parure	Autres	
<input type="text" value="01"/>	<input type="text"/>	<input type="text" value="1242"/>	<input type="text"/>	<input type="text"/>	
Malacofaune	Microfaune	Carporesses	Anthracorestes	<input type="text"/>	
<input type="text"/>	<input type="text"/>	<input type="text"/>	<input type="text"/>	<input type="text"/>	

Négatif

OA9785 - Clos de Roque - Saint-Maximin-la-Sainte-Baume - Var - 2011

Numéro de structure  Secteur  Type de structure

Date de fouille  Minutes

Photos

Points topographiques

X (Lambert III)  \* (m) Y (Lambert III)

Altitude supérieure  Altitude inférieure

forme en coupe  forme en plan

UPS de scellement  UPS encaissants

diamètre à l'ouverture\*  x  diamètre maximal\*

profondeur observée\*  Volume estimé (m3)

coupe ST

Protocole de fouille

Notes sur la structure

Comblement  Datation

Légendes de la coupe

Prélèvements

Mobilier  Tamisage

Faune	Lithique	Céramique	Terre crue-cuite	Métal	Restes humains
<input type="text" value="13"/>	<input type="text"/>	<input type="text" value="19"/>	<input type="text"/>	<input type="text"/>	<input type="text"/>
Industrie osseuse	Macrolithique	Pierres (en g)	Parure	Autres	
<input type="text"/>	<input type="text"/>	<input type="text"/>	<input type="text"/>	<input type="text"/>	
Malacofaune	Microfaune	Carporesses	Anthracorestes	<input type="text"/>	
<input type="text"/>	<input type="text"/>	<input type="text"/>	<input type="text"/>	<input type="text"/>	

Négatif

OA9785 - Clos de Roque - Saint-Maximin-la-Sainte-Baume - Var - 2011

Numéro de structure  Secteur  Type de structure

Date de fouille  Minutes

Photos

Points topographiques

X (Lambert III)  \* (m) Y (Lambert III)

Altitude supérieure  Altitude inférieure

forme en coupe  forme en plan

UPS de scellement  UPS encaissants

diamètre à l'ouverture\*  x  diamètre maximal\*

profondeur observée\*  Volume estimé (m3)

coupe ST

Protocole de fouille

Notes sur la structure

Comblement  Datation

Légendes de la coupe

Prélèvements

Mobilier  Tamisage

Faune	Lithique	Céramique	Terre crue-cuite	Métal	Restes humains
<input type="text" value="37"/>	<input type="text" value="16"/>	<input type="text" value="123"/>	<input type="text"/>	<input type="text"/>	<input type="text"/>
Industrie osseuse	Macrolithique	Pierres (en g)	Parure	Autres	
<input type="text"/>	<input type="text" value="Frgt meules (3)"/>	<input type="text" value="4345"/>	<input type="text"/>	<input type="text"/>	
Malacofaune	Microfaune	Carporesses	Anthracorestes	<input type="text"/>	
<input type="text"/>	<input type="text"/>	<input type="text"/>	<input type="text"/>	<input type="text"/>	

Négatif

OA9785 - Clos de Roque - Saint-Maximin-la-Sainte-Baume - Var - 2011

Numéro de structure  Secteur  Type de structure

Date de fouille  Minutes

Photos

Points topographiques

X (Lambert III)  \* (m) Y (Lambert III)

Altitude supérieure  Altitude inférieure

forme en coupe  forme en plan

UPS de scellement  UPS encaissants

diamètre à l'ouverture\*  x  diamètre maximal\*

profondeur observée\*  Volume estimé (m3)

coupe ST

Protocole de fouille

Notes sur la structure

Comblement  Datation

Légendes de la coupe

Prélèvements

Mobilier  Tamisage

Faune	Lithique	Céramique	Terre crue-cuite	Métal	Restes humains
<input type="text" value="01"/>	<input type="text" value="01"/>	<input type="text" value="18"/>	<input type="text"/>	<input type="text"/>	<input type="text"/>
Industrie osseuse	Macrolithique	Pierres (en g)	Parure	Autres	
<input type="text"/>	<input type="text"/>	<input type="text" value="10740"/>	<input type="text"/>	<input type="text"/>	
Malacofaune	Microfaune	Carporesses	Anthracorestes	<input type="text"/>	
<input type="text"/>	<input type="text"/>	<input type="text"/>	<input type="text"/>	<input type="text"/>	

Annexe 3 - Le Clos de Roque, Saint-Maximin-la-Sainte-Baume (83). Inventaire des structures identifiées au décapage par fiches comprenant les indications des points topographiques, des minutes, des prélèvements et des photographies numériques de références.

<p>Négatif <input type="checkbox"/> OA9785 - Clos de Roque - Saint-Maximin-la-Sainte-Baume - Var - 2011</p> <p>Numéro de structure <input type="text" value="ST2330"/> Secteur <input type="text" value="J03"/> Type de structure <input type="text" value="Fosse"/></p> <p>Date de fouille <input type="text" value="23/06/2011"/> Minutes <input type="text" value="521 - 522"/></p> <p>Photos <input type="text" value="1008 - 1052"/></p> <p>Points topographiques <input type="text" value="PT4850 à PT4854 - PT4862 à PT4869 - PT4994 à PT4995 - PT5292 à PT5297"/></p> <p>X (Lambert III) <input type="text" value="885491.25"/> * (m) Y (Lambert III) <input type="text" value="134872.94"/></p> <p>Altitude supérieure <input type="text" value="285.94"/> Altitude inférieure <input type="text" value="285.6"/></p> <p>forme en coupe <input type="text" value="F2"/> forme en plan <input type="text" value="Circulaire"/></p> <p>UPS de scellement <input type="text" value="UPS2"/> UPS encaissants <input type="text" value="UPS3"/></p> <p>diamètre à l'ouverture* <input type="text" value="1.36"/> x <input type="text" value=""/> diamètre maximal* <input type="text" value="1.36"/></p> <p>profondeur observée* <input type="text" value="0.34"/> Volume estimé (m3) <input type="text" value="0.4939"/></p> <p>coupe ST <input type="text" value=""/> coupée par ST <input type="text" value="ST2254"/></p> <p>Protocole de fouille <input type="text" value="Moitié Sud : fouille par passes mécaniques&lt;br/&gt;Moitié Nord : fouille par passes mécaniques"/></p> <p>Notes sur la structure <input type="text" value="fosse recoupée par la pelle mécanique et par la tranchée moderne ST2254"/></p> <p>Comblement <input type="text" value="N-naturel"/> Datation <input type="text" value="Néolithique final ind"/></p> <p>Légendes de la coupe <input type="text" value="US1 : sédiment argilo-limoneux de couleur brun foncé, compact et homogène, racines et radicelles dans la partie supérieure, charbons millimétriques abondants et nodules de terre cuite.&lt;br/&gt;US2 : mélange des sédiments de l'US1 et de l'UPS3."/></p> <p>Prélèvements <input type="text" value=""/></p> <p>Mobilier <input type="checkbox"/> Tamisage</p> <table border="1" style="width:100%; border-collapse: collapse;"> <tr> <td>Faune</td><td>Lithique</td><td>Céramique</td><td>Terre crue-cuite</td><td>Métal</td><td>Restes humains</td> </tr> <tr> <td><input type="text"/></td><td><input type="text"/></td><td><input type="text" value="07"/></td><td><input type="text"/></td><td><input type="text"/></td><td><input type="text"/></td> </tr> <tr> <td>Industrie osseuse</td><td>Macrolithique</td><td>Pierres (en g)</td><td>Parure</td><td colspan="2">Autres</td> </tr> <tr> <td><input type="text"/></td><td><input type="text"/></td><td><input type="text"/></td><td><input type="text"/></td><td colspan="2"><input type="text"/></td> </tr> <tr> <td>Malacofaune</td><td>Microfaune</td><td>Carporesses</td><td>Anthracorestes</td><td colspan="2"><input type="text"/></td> </tr> <tr> <td><input type="text"/></td><td><input type="text"/></td><td><input type="text"/></td><td><input type="text"/></td><td colspan="2"><input type="text"/></td> </tr> </table>	Faune	Lithique	Céramique	Terre crue-cuite	Métal	Restes humains	<input type="text"/>	<input type="text"/>	<input type="text" value="07"/>	<input type="text"/>	<input type="text"/>	<input type="text"/>	Industrie osseuse	Macrolithique	Pierres (en g)	Parure	Autres		<input type="text"/>	<input type="text"/>	<input type="text"/>	<input type="text"/>	<input type="text"/>		Malacofaune	Microfaune	Carporesses	Anthracorestes	<input type="text"/>		<input type="text"/>	<input type="text"/>	<input type="text"/>	<input type="text"/>	<input type="text"/>		<p>Négatif <input type="checkbox"/> OA9785 - Clos de Roque - Saint-Maximin-la-Sainte-Baume - Var - 2011</p> <p>Numéro de structure <input type="text" value="ST2331"/> Secteur <input type="text" value="J03"/> Type de structure <input type="text" value="Trou de poteau"/></p> <p>Date de fouille <input type="text" value="22/06/2011"/> Minutes <input type="text" value="633 - 634"/></p> <p>Photos <input type="text" value="1009 - 1053"/></p> <p>Points topographiques <input type="text" value="PT4855 à PT4859 - PT4870 à PT4873 - PT4996 à PT4997 - PT5292 à PT5297"/></p> <p>X (Lambert III) <input type="text" value="885492.57"/> * (m) Y (Lambert III) <input type="text" value="134872.91"/></p> <p>Altitude supérieure <input type="text" value="285.96"/> Altitude inférieure <input type="text" value="285.6"/></p> <p>forme en coupe <input type="text" value="B2"/> forme en plan <input type="text" value="Ovalaire"/></p> <p>UPS de scellement <input type="text" value="UPS2"/> UPS encaissants <input type="text" value="UPS3"/></p> <p>diamètre à l'ouverture* <input type="text" value="0.32"/> x <input type="text" value=""/> diamètre maximal* <input type="text" value="0.32"/></p> <p>profondeur observée* <input type="text" value="0.09"/> Volume estimé (m3) <input type="text" value="0.0072"/></p> <p>coupe ST <input type="text" value=""/> coupée par ST <input type="text" value=""/></p> <p>Protocole de fouille <input type="text" value="Moitié Nord : fouille par passes manuelles&lt;br/&gt;Moitié Sud : fouille par passes mécaniques"/></p> <p>Notes sur la structure <input type="text" value="trou de poteau"/></p> <p>Comblement <input type="text" value="N-naturel"/> Datation <input type="text" value="Néo/Proto"/></p> <p>Légendes de la coupe <input type="text" value="US1 : sédiment argilo-limoneux de couleur brun foncé, compact et homogène, racines et radicelles dans la partie supérieure.&lt;br/&gt;US2 : mélange des sédiments de l'US1 et de l'UPS3."/></p> <p>Prélèvements <input type="text" value=""/></p> <p>Mobilier <input type="checkbox"/> Tamisage</p> <table border="1" style="width:100%; border-collapse: collapse;"> <tr> <td>Faune</td><td>Lithique</td><td>Céramique</td><td>Terre crue-cuite</td><td>Métal</td><td>Restes humains</td> </tr> <tr> <td><input type="text"/></td><td><input type="text"/></td><td><input type="text"/></td><td><input type="text"/></td><td><input type="text"/></td><td><input type="text"/></td> </tr> <tr> <td>Industrie osseuse</td><td>Macrolithique</td><td>Pierres (en g)</td><td>Parure</td><td colspan="2">Autres</td> </tr> <tr> <td><input type="text"/></td><td><input type="text"/></td><td><input type="text"/></td><td><input type="text"/></td><td colspan="2"><input type="text"/></td> </tr> <tr> <td>Malacofaune</td><td>Microfaune</td><td>Carporesses</td><td>Anthracorestes</td><td colspan="2"><input type="text"/></td> </tr> <tr> <td><input type="text"/></td><td><input type="text"/></td><td><input type="text"/></td><td><input type="text"/></td><td colspan="2"><input type="text"/></td> </tr> </table>	Faune	Lithique	Céramique	Terre crue-cuite	Métal	Restes humains	<input type="text"/>	<input type="text"/>	<input type="text"/>	<input type="text"/>	<input type="text"/>	<input type="text"/>	Industrie osseuse	Macrolithique	Pierres (en g)	Parure	Autres		<input type="text"/>	<input type="text"/>	<input type="text"/>	<input type="text"/>	<input type="text"/>		Malacofaune	Microfaune	Carporesses	Anthracorestes	<input type="text"/>		<input type="text"/>	<input type="text"/>	<input type="text"/>	<input type="text"/>	<input type="text"/>	
Faune	Lithique	Céramique	Terre crue-cuite	Métal	Restes humains																																																																				
<input type="text"/>	<input type="text"/>	<input type="text" value="07"/>	<input type="text"/>	<input type="text"/>	<input type="text"/>																																																																				
Industrie osseuse	Macrolithique	Pierres (en g)	Parure	Autres																																																																					
<input type="text"/>	<input type="text"/>	<input type="text"/>	<input type="text"/>	<input type="text"/>																																																																					
Malacofaune	Microfaune	Carporesses	Anthracorestes	<input type="text"/>																																																																					
<input type="text"/>	<input type="text"/>	<input type="text"/>	<input type="text"/>	<input type="text"/>																																																																					
Faune	Lithique	Céramique	Terre crue-cuite	Métal	Restes humains																																																																				
<input type="text"/>	<input type="text"/>	<input type="text"/>	<input type="text"/>	<input type="text"/>	<input type="text"/>																																																																				
Industrie osseuse	Macrolithique	Pierres (en g)	Parure	Autres																																																																					
<input type="text"/>	<input type="text"/>	<input type="text"/>	<input type="text"/>	<input type="text"/>																																																																					
Malacofaune	Microfaune	Carporesses	Anthracorestes	<input type="text"/>																																																																					
<input type="text"/>	<input type="text"/>	<input type="text"/>	<input type="text"/>	<input type="text"/>																																																																					
<p>Négatif <input type="checkbox"/> OA9785 - Clos de Roque - Saint-Maximin-la-Sainte-Baume - Var - 2011</p> <p>Numéro de structure <input type="text" value="ST2332"/> Secteur <input type="text" value="J04"/> Type de structure <input type="text" value="Fosse de plantation"/></p> <p>Date de fouille <input type="text" value="23/06/2011"/> Minutes <input type="text" value="632"/></p> <p>Photos <input type="text" value=""/></p> <p>Points topographiques <input type="text" value="PT5155 à PT5167"/></p> <p>X (Lambert III) <input type="text" value="885500.82"/> * (m) Y (Lambert III) <input type="text" value="134875.3"/></p> <p>Altitude supérieure <input type="text" value="286.12"/> Altitude inférieure <input type="text" value="285.98"/></p> <p>forme en coupe <input type="text" value="B2"/> forme en plan <input type="text" value="Circulaire"/></p> <p>UPS de scellement <input type="text" value="UPS2"/> UPS encaissants <input type="text" value="UPS3"/></p> <p>diamètre à l'ouverture* <input type="text" value="0.58"/> x <input type="text" value=""/> diamètre maximal* <input type="text" value="0.58"/></p> <p>profondeur observée* <input type="text" value="0.16"/> Volume estimé (m3) <input type="text" value="0.0423"/></p> <p>coupe ST <input type="text" value=""/> coupée par ST <input type="text" value="ST2065"/></p> <p>Protocole de fouille <input type="text" value="Moitié Sud : fouille par passes mécaniques&lt;br/&gt;Moitié Nord : fouille par passes mécaniques"/></p> <p>Notes sur la structure <input type="text" value="Fosse moderne circulaire recoupée par une fosse rectangulaire moderne.&lt;br/&gt;indice que les fosses de plantations circulaires seraient antérieures aux rectangulaires."/></p> <p>Comblement <input type="text" value="N-naturel"/> Datation <input type="text" value="Historique"/></p> <p>Légendes de la coupe <input type="text" value="US1 : sédiment limoneux de couleur brun, meuble et homogène, racines et radicelles dans la partie supérieure, avec quelques cailloux et galets de 1 à 2 cm."/></p> <p>Prélèvements <input type="text" value=""/></p> <p>Mobilier <input type="checkbox"/> Tamisage</p> <table border="1" style="width:100%; border-collapse: collapse;"> <tr> <td>Faune</td><td>Lithique</td><td>Céramique</td><td>Terre crue-cuite</td><td>Métal</td><td>Restes humains</td> </tr> <tr> <td><input type="text"/></td><td><input type="text"/></td><td><input type="text"/></td><td><input type="text"/></td><td><input type="text"/></td><td><input type="text"/></td> </tr> <tr> <td>Industrie osseuse</td><td>Macrolithique</td><td>Pierres (en g)</td><td>Parure</td><td colspan="2">Autres</td> </tr> <tr> <td><input type="text"/></td><td><input type="text"/></td><td><input type="text"/></td><td><input type="text"/></td><td colspan="2"><input type="text"/></td> </tr> <tr> <td>Malacofaune</td><td>Microfaune</td><td>Carporesses</td><td>Anthracorestes</td><td colspan="2"><input type="text"/></td> </tr> <tr> <td><input type="text"/></td><td><input type="text"/></td><td><input type="text"/></td><td><input type="text"/></td><td colspan="2"><input type="text"/></td> </tr> </table>	Faune	Lithique	Céramique	Terre crue-cuite	Métal	Restes humains	<input type="text"/>	<input type="text"/>	<input type="text"/>	<input type="text"/>	<input type="text"/>	<input type="text"/>	Industrie osseuse	Macrolithique	Pierres (en g)	Parure	Autres		<input type="text"/>	<input type="text"/>	<input type="text"/>	<input type="text"/>	<input type="text"/>		Malacofaune	Microfaune	Carporesses	Anthracorestes	<input type="text"/>		<input type="text"/>	<input type="text"/>	<input type="text"/>	<input type="text"/>	<input type="text"/>		<p>Négatif <input type="checkbox"/> OA9785 - Clos de Roque - Saint-Maximin-la-Sainte-Baume - Var - 2011</p> <p>Numéro de structure <input type="text" value="ST2333"/> Secteur <input type="text" value="J06-07"/> Type de structure <input type="text" value="Fosse"/></p> <p>Date de fouille <input type="text" value="23/06/2011"/> Minutes <input type="text" value="659 - 660 - 661"/></p> <p>Photos <input type="text" value="1331 - 1358 - 1369"/></p> <p>Points topographiques <input type="text" value="PT6390 à PT6405 - PT6538 à PT6539 - PT6604 à PT6616"/></p> <p>X (Lambert III) <input type="text" value="885529.51"/> * (m) Y (Lambert III) <input type="text" value="134872.74"/></p> <p>Altitude supérieure <input type="text" value="286.14"/> Altitude inférieure <input type="text" value="285.97"/></p> <p>forme en coupe <input type="text" value="B2"/> forme en plan <input type="text" value="Circulaire"/></p> <p>UPS de scellement <input type="text" value="UPS2"/> UPS encaissants <input type="text" value="UPS3"/></p> <p>diamètre à l'ouverture* <input type="text" value="1.50"/> x <input type="text" value="1.35"/> diamètre maximal* <input type="text" value="1.50"/></p> <p>profondeur observée* <input type="text" value="0.17"/> Volume estimé (m3) <input type="text" value="0.2692"/></p> <p>coupe ST <input type="text" value=""/> coupée par ST <input type="text" value=""/></p> <p>Protocole de fouille <input type="text" value="Moitié Sud : fouille par passes manuelles&lt;br/&gt;Moitié Nord : fouille par passes mécaniques"/></p> <p>Notes sur la structure <input type="text" value="fosse calcaires et calcites brûlées"/></p> <p>Comblement <input type="text" value="N-naturel"/> Datation <input type="text" value="Néo/Proto"/></p> <p>Légendes de la coupe <input type="text" value="US1 : sédiment argilo-limoneux de couleur brun foncé, compact et homogène, cailloux de 1 à 2 cm, racines et radicelles dans la partie supérieure.&lt;br/&gt;US2 : mélange des sédiments de l'US1 et de l'UPS3."/></p> <p>Prélèvements <input type="text" value=""/></p> <p>Mobilier <input checked="" type="checkbox"/> Tamisage</p> <table border="1" style="width:100%; border-collapse: collapse;"> <tr> <td>Faune</td><td>Lithique</td><td>Céramique</td><td>Terre crue-cuite</td><td>Métal</td><td>Restes humains</td> </tr> <tr> <td><input type="text" value="30"/></td><td><input type="text" value="06"/></td><td><input type="text" value="14"/></td><td><input type="text"/></td><td><input type="text"/></td><td><input type="text"/></td> </tr> <tr> <td>Industrie osseuse</td><td>Macrolithique</td><td>Pierres (en g)</td><td>Parure</td><td colspan="2">Autres</td> </tr> <tr> <td><input type="text"/></td><td><input type="text" value="127"/></td><td><input type="text"/></td><td><input type="text"/></td><td colspan="2"><input type="text"/></td> </tr> <tr> <td>Malacofaune</td><td>Microfaune</td><td>Carporesses</td><td>Anthracorestes</td><td colspan="2"><input type="text"/></td> </tr> <tr> <td><input type="text"/></td><td><input type="text"/></td><td><input type="text"/></td><td><input type="text"/></td><td colspan="2"><input type="text"/></td> </tr> </table>	Faune	Lithique	Céramique	Terre crue-cuite	Métal	Restes humains	<input type="text" value="30"/>	<input type="text" value="06"/>	<input type="text" value="14"/>	<input type="text"/>	<input type="text"/>	<input type="text"/>	Industrie osseuse	Macrolithique	Pierres (en g)	Parure	Autres		<input type="text"/>	<input type="text" value="127"/>	<input type="text"/>	<input type="text"/>	<input type="text"/>		Malacofaune	Microfaune	Carporesses	Anthracorestes	<input type="text"/>		<input type="text"/>	<input type="text"/>	<input type="text"/>	<input type="text"/>	<input type="text"/>	
Faune	Lithique	Céramique	Terre crue-cuite	Métal	Restes humains																																																																				
<input type="text"/>	<input type="text"/>	<input type="text"/>	<input type="text"/>	<input type="text"/>	<input type="text"/>																																																																				
Industrie osseuse	Macrolithique	Pierres (en g)	Parure	Autres																																																																					
<input type="text"/>	<input type="text"/>	<input type="text"/>	<input type="text"/>	<input type="text"/>																																																																					
Malacofaune	Microfaune	Carporesses	Anthracorestes	<input type="text"/>																																																																					
<input type="text"/>	<input type="text"/>	<input type="text"/>	<input type="text"/>	<input type="text"/>																																																																					
Faune	Lithique	Céramique	Terre crue-cuite	Métal	Restes humains																																																																				
<input type="text" value="30"/>	<input type="text" value="06"/>	<input type="text" value="14"/>	<input type="text"/>	<input type="text"/>	<input type="text"/>																																																																				
Industrie osseuse	Macrolithique	Pierres (en g)	Parure	Autres																																																																					
<input type="text"/>	<input type="text" value="127"/>	<input type="text"/>	<input type="text"/>	<input type="text"/>																																																																					
Malacofaune	Microfaune	Carporesses	Anthracorestes	<input type="text"/>																																																																					
<input type="text"/>	<input type="text"/>	<input type="text"/>	<input type="text"/>	<input type="text"/>																																																																					

Annexe 3 - Le Clos de Roque, Saint-Maximin-la-Sainte-Baume (83). Inventaire des structures identifiées au décapage par fiches comprenant les indications des points topographiques, des minutes, des prélèvements et des photographies numériques de références.

Négatif

OA9785 - Clos de Roque - Saint-Maximin-la-Sainte-Baume - Var - 2011

Numéro de structure  Secteur  Type de structure

Date de fouille  Minutes

Photos

Points topographiques

X (Lambert III)  \* (m) Y (Lambert III)

Altitude supérieure  Altitude inférieure

forme en coupe  forme en plan

UPS de scellement  UPS encaissants

diamètre à l'ouverture\*  x  diamètre maximal\*

profondeur observée\*  Volume estimé (m3)

coupe ST  coupée par ST

Protocole de fouille

Notes sur la structure

Comblement  Datation

Légendes de la coupe

Prélèvements

Mobilier  Tamisage

Faune	Lithique	Céramique	Terre crue-cuite	Métal	Restes humains
Industrie osseuse	Macrolithique	Pierres (en g)	Parure	Autres	
Malacofaune	Microfaune	Carporestes	Anthracorestes		

Négatif

OA9785 - Clos de Roque - Saint-Maximin-la-Sainte-Baume - Var - 2011

Numéro de structure  Secteur  Type de structure

Date de fouille  Minutes

Photos

Points topographiques

X (Lambert III)  \* (m) Y (Lambert III)

Altitude supérieure  Altitude inférieure

forme en coupe  forme en plan

UPS de scellement  UPS encaissants

diamètre à l'ouverture\*  x  diamètre maximal\*

profondeur observée\*  Volume estimé (m3)

coupe ST  coupée par ST

Protocole de fouille

Notes sur la structure

Comblement  Datation

Légendes de la coupe

Prélèvements

Mobilier  Tamisage

Faune	Lithique	Céramique	Terre crue-cuite	Métal	Restes humains
Industrie osseuse	Macrolithique	Pierres (en g)	Parure	Autres	
Malacofaune	Microfaune	Carporestes	Anthracorestes		

Négatif

OA9785 - Clos de Roque - Saint-Maximin-la-Sainte-Baume - Var - 2011

Numéro de structure  Secteur  Type de structure

Date de fouille  Minutes

Photos

Points topographiques

X (Lambert III)  \* (m) Y (Lambert III)

Altitude supérieure  Altitude inférieure

forme en coupe  forme en plan

UPS de scellement  UPS encaissants

diamètre à l'ouverture\*  x  diamètre maximal\*

profondeur observée\*  Volume estimé (m3)

coupe ST  coupée par ST

Protocole de fouille

Notes sur la structure

Comblement  Datation

Légendes de la coupe

Prélèvements

Mobilier  Tamisage

Faune	Lithique	Céramique	Terre crue-cuite	Métal	Restes humains
Industrie osseuse	Macrolithique	Pierres (en g)	Parure	Autres	
Malacofaune	Microfaune	Carporestes	Anthracorestes		

Négatif

OA9785 - Clos de Roque - Saint-Maximin-la-Sainte-Baume - Var - 2011

Numéro de structure  Secteur  Type de structure

Date de fouille  Minutes

Photos

Points topographiques

X (Lambert III)  \* (m) Y (Lambert III)

Altitude supérieure  Altitude inférieure

forme en coupe  forme en plan

UPS de scellement  UPS encaissants

diamètre à l'ouverture\*  x  diamètre maximal\*

profondeur observée\*  Volume estimé (m3)

coupe ST  coupée par ST

Protocole de fouille

Notes sur la structure

Comblement  Datation

Légendes de la coupe

Prélèvements

Mobilier  Tamisage

Faune	Lithique	Céramique	Terre crue-cuite	Métal	Restes humains
Industrie osseuse	01	31	Parure	Autres	
Malacofaune	23607		une grosse dalle calcaire		

Annexe 3 - Le Clos de Roque, Saint-Maximin-la-Sainte-Baume (83). Inventaire des structures identifiées au décapage par fiches comprenant les indications des points topographiques, des minutes, des prélèvements et des photographies numériques de références.

Négatif

OA9785 - Clos de Roque - Saint-Maximin-la-Sainte-Baume - Var - 2011

Numéro de structure  Secteur  Type de structure

Date de fouille  Minutes

Photos

Points topographiques

X (Lambert III)  \* (m) Y (Lambert III)

Altitude supérieure  Altitude inférieure

forme en coupe  forme en plan

UPS de scellement  UPS encaissants

diamètre à l'ouverture\*  x  diamètre maximal\*

profondeur observée\*  Volume estimé (m3)

coupe ST  coupée par ST

Protocole de fouille

Notes sur la structure

Comblement  Datation

Légendes de la coupe

Prélèvements

Mobilier  Tamisage

Faune	Lithique	Céramique	Terre crue-cuite	Métal	Restes humains
<input type="text" value="15"/>	<input type="text"/>	<input type="text" value="11"/>	<input type="text"/>	<input type="text"/>	<input type="text"/>
Industrie osseuse	Macrolithique	Pierres (en g)	Parure	Autres	
<input type="text"/>	<input type="text" value="Frgt meules (2)"/>	<input type="text" value="1876"/>	<input type="text"/>	<input type="text" value="une grosse pierre calcaire"/>	
Malacofaune	Microfaune	Carporestes	Anthracorestes	<input type="text"/>	
<input type="text"/>	<input type="text"/>	<input type="text"/>	<input type="text"/>	<input type="text"/>	

Négatif

OA9785 - Clos de Roque - Saint-Maximin-la-Sainte-Baume - Var - 2011

Numéro de structure  Secteur  Type de structure

Date de fouille  Minutes

Photos

Points topographiques

X (Lambert III)  \* (m) Y (Lambert III)

Altitude supérieure  Altitude inférieure

forme en coupe  forme en plan

UPS de scellement  UPS encaissants

diamètre à l'ouverture\*  x

profondeur observée\*  Volume estimé (m3)

coupe ST

Protocole de fouille

Notes sur la structure

Comblement

Légendes de la coupe

Prélèvements

Mobilier  Tamisage

Faune	Lithique	Céramique	Terre crue-cuite	Métal	Restes humains
<input type="text"/>	<input type="text"/>	<input type="text"/>	<input type="text"/>	<input type="text"/>	<input type="text"/>
Industrie osseuse	Macrolithique	Pierres (en g)	Parure	Autres	
<input type="text"/>	<input type="text"/>	<input type="text"/>	<input type="text"/>	<input type="text"/>	
Malacofaune	Microfaune	Carporestes	Anthracorestes	<input type="text"/>	
<input type="text"/>	<input type="text"/>	<input type="text"/>	<input type="text"/>	<input type="text"/>	

Négatif

OA9785 - Clos de Roque - Saint-Maximin-la-Sainte-Baume - Var - 2011

Numéro de structure  Secteur  Type de structure

Date de fouille  Minutes

Photos

Points topographiques

X (Lambert III)  \* (m) Y (Lambert III)

Altitude supérieure  Altitude inférieure

forme en coupe  forme en plan

UPS de scellement  UPS encaissants

diamètre à l'ouverture\*  x

profondeur observée\*  Volume estimé (m3)

coupe ST

Protocole de fouille

Notes sur la structure

Comblement

Légendes de la coupe

Prélèvements

Mobilier  Tamisage

Faune	Lithique	Céramique	Terre crue-cuite	Métal	Restes humains
<input type="text"/>	<input type="text"/>	<input type="text"/>	<input type="text"/>	<input type="text"/>	<input type="text"/>
Industrie osseuse	Macrolithique	Pierres (en g)	Parure	Autres	
<input type="text"/>	<input type="text"/>	<input type="text"/>	<input type="text"/>	<input type="text"/>	
Malacofaune	Microfaune	Carporestes	Anthracorestes	<input type="text"/>	
<input type="text"/>	<input type="text"/>	<input type="text"/>	<input type="text"/>	<input type="text"/>	

Négatif

OA9785 - Clos de Roque - Saint-Maximin-la-Sainte-Baume - Var - 2011

Numéro de structure  Secteur  Type de structure

Date de fouille  Minutes

Photos

Points topographiques

X (Lambert III)  \* (m) Y (Lambert III)

Altitude supérieure  Altitude inférieure

forme en coupe  forme en plan

UPS de scellement  UPS encaissants

diamètre à l'ouverture\*  x  diamètre maximal\*

profondeur observée\*  Volume estimé (m3)

coupe ST

Protocole de fouille

Notes sur la structure

Comblement  Datation

Légendes de la coupe

Prélèvements

Mobilier  Tamisage

Faune	Lithique	Céramique	Terre crue-cuite	Métal	Restes humains
<input type="text"/>	<input type="text"/>	<input type="text"/>	<input type="text"/>	<input type="text"/>	<input type="text"/>
Industrie osseuse	Macrolithique	Pierres (en g)	Parure	Autres	
<input type="text"/>	<input type="text"/>	<input type="text"/>	<input type="text"/>	<input type="text"/>	
Malacofaune	Microfaune	Carporestes	Anthracorestes	<input type="text"/>	
<input type="text"/>	<input type="text"/>	<input type="text"/>	<input type="text"/>	<input type="text"/>	

Annexe 3 - Le Clos de Roque, Saint-Maximin-la-Sainte-Baume (83). Inventaire des structures identifiées au décapage par fiches comprenant les indications des points topographiques, des minutes, des prélèvements et des photographies numériques de références.

Négatif

OA9785 - Clos de Roque - Saint-Maximin-la-Sainte-Baume - Var - 2011

Numéro de structure FS18 Secteur Zone 2 Type de structure Fosse

Date de fouille 2010 Minutes

Points topographiques

X (Lambert III) 885493.5 (m) Y (Lambert III) 134869

Altitude supérieure 286.10 Altitude inférieure 285.55

forme en coupe F1 forme en plan Circulaire

UPS de scellement UPS2 UPS encaissants UPS3

diamètre à l'ouverture\* 1.55 x diamètre maximal\* 1.55

profondeur observée\* 0.55 Volume estimé (m3) 1.0378

coupe ST coupée par ST

Protocole de fouille cf. Diag 2010, p. 26-27

Notes sur la structure fosse tronconique

Comblement Datation Néolithique final ind

Légendes de la coupe

Prélèvements

Mobilier  Tamisage

Faune Lithique Céramique Terre crue-cuite Métal Restes humains

Industrie osseuse Macrolithique Pierres (en g) Parure Autres

Malacofaune Microfaune Carpocestes Anthracocrestes

Négatif

OA9785 - Clos de Roque - Saint-Maximin-la-Sainte-Baume - Var - 2011

Numéro de structure FS19 Secteur Zone 2 Type de structure Fosse

Date de fouille 2010 Minutes

Points topographiques

X (Lambert III) 885512 (m) Y (Lambert III) 134942

Altitude supérieure 285.21 Altitude inférieure 285

forme en coupe B2 forme en plan Circulaire

UPS de scellement UPS2 UPS encaissants UPS3

diamètre à l'ouverture\* 1.15 x diamètre maximal\* 1.15

profondeur observée\* 0.21 Volume estimé (m3) 0.2181

coupe ST coupée par ST

Protocole de fouille cf. Diag 2010, p. 28

Notes sur la structure fosse tronconique

Comblement Datation Néo/Proto

Légendes de la coupe

Prélèvements

Mobilier  Tamisage

Faune Lithique Céramique Terre crue-cuite Métal Restes humains

Industrie osseuse Macrolithique Pierres (en g) Parure Autres

Malacofaune Microfaune Carpocestes Anthracocrestes

Négatif

OA9785 - Clos de Roque - Saint-Maximin-la-Sainte-Baume - Var - 2011

Numéro de structure FS21 Secteur Zone 2 Type de structure Fosse

Date de fouille 2010 Minutes

Points topographiques

X (Lambert III) 885491 (m) Y (Lambert III) 134858.5

Altitude supérieure 286 Altitude inférieure 284.90

forme en coupe F1 forme en plan Circulaire

UPS de scellement UPS2 UPS encaissants UPS3

diamètre à l'ouverture\* 1.57 x diamètre maximal\* 1.57

profondeur observée\* 1.11 Volume estimé (m3) 2.1489

coupe ST coupée par ST

Protocole de fouille cf. Diag 2010, p. 29-32

Notes sur la structure fosse tronconique

Comblement Datation Néolithique final ind

Légendes de la coupe

Prélèvements

Mobilier  Tamisage

Faune Lithique Céramique Terre crue-cuite Métal Restes humains

Industrie osseuse Macrolithique Pierres (en g) Parure Autres

Malacofaune Microfaune Carpocestes Anthracocrestes

Négatif

OA9785 - Clos de Roque - Saint-Maximin-la-Sainte-Baume - Var - 2011

Numéro de structure FS23 Secteur Zone 2 Type de structure Fosse

Date de fouille 2010 Minutes

Points topographiques

X (Lambert III) 885494.2 (m) Y (Lambert III) 134857.5

Altitude supérieure 285.80 Altitude inférieure 285.09

forme en coupe F1 forme en plan Ovale

UPS de scellement UPS2 UPS encaissants UPS3

diamètre à l'ouverture\* 1.70 x diamètre maximal\* 1.70

profondeur observée\* 0.81 Volume estimé (m3) 1.732

coupe ST coupée par ST

Protocole de fouille cf. Diag 2010, p. 33-40

Notes sur la structure fosse tronconique sépulcrale

Comblement A-anthropique Datation Néolithique final phase 1

Légendes de la coupe

Prélèvements

Mobilier  Tamisage

Faune Lithique Céramique Terre crue-cuite Métal Restes humains

Industrie osseuse Macrolithique Pierres (en g) Parure Autres

Malacofaune Microfaune Carpocestes Anthracocrestes

Annexe 3 - Le Clos de Roque, Saint-Maximin-la-Sainte-Baume (83). Inventaire des structures identifiées au décapage par fiches comprenant les indications des points topographiques, des minutes, des prélèvements et des photographies numériques de références.

Négatif <input type="checkbox"/>		OA9785 - Clos de Roque - Saint-Maximin-la-Sainte-Baume - Var - 2011	
Numéro de structure	FS28	Secteur	Zone 2
Date de fouille	2010	Type de structure	Fosse
Minutes			
Photos			
Points topographiques			
X (Lambert III)	885525	Y (Lambert III)	134902
Altitude supérieure	285.83	Altitude inférieure	284.73
forme en coupe	A4	forme en plan	Ovalaire
UPS de scellement	UPS2	UPS encaissants	UPS3
diamètre à l'ouverture*	2.20	diamètre maximal*	2.40
profondeur observée*	1.10	Volume estimé (m3)	4.1815
coupe ST		coupée par ST	
Protocole de fouille	cf. Diag 2010, p. 40-42		
Notes sur la structure	fosse en ampoule		
Comblement		Datation	Néolithique final ind
Légendes de la coupe			
Prélèvements			
Mobilier	<input type="checkbox"/> Faune <input type="checkbox"/> Lithique <input type="checkbox"/> Céramique <input type="checkbox"/> Terre crue-cuite <input type="checkbox"/> Métal <input type="checkbox"/> Restes humains <input type="checkbox"/> Industrie osseuse <input type="checkbox"/> Macroolithique <input type="checkbox"/> Pierres (en g) <input type="checkbox"/> Parure <input type="checkbox"/> Autres <input type="checkbox"/> Malacofaune <input type="checkbox"/> Microfaune <input type="checkbox"/> Carpocestes <input type="checkbox"/> Anthracocrestes		

Négatif <input type="checkbox"/>		OA9785 - Clos de Roque - Saint-Maximin-la-Sainte-Baume - Var - 2011	
Numéro de structure	FS36	Secteur	Zone 1
Date de fouille	2010	Type de structure	Fosse
Minutes			
Photos			
Points topographiques			
X (Lambert III)	885593	Y (Lambert III)	134815
Altitude supérieure	286.55	Altitude inférieure	286.29
forme en coupe	B2	forme en plan	Circulaire
UPS de scellement	UPS2	UPS encaissants	UPS3
diamètre à l'ouverture*	1.54	diamètre maximal*	1.54
profondeur observée*	0.26	Volume estimé (m3)	0.4843
coupe ST		coupée par ST	
Protocole de fouille	Moitié Sud : fouille par passes manuelles Moitié Nord : fouille par passes manuelles		
Notes sur la structure	fosse en cuvette		
Comblement		Datation	Néolithique final ind
Légendes de la coupe			
Prélèvements			
Mobilier	<input type="checkbox"/> Faune <input type="checkbox"/> Lithique <input type="checkbox"/> Céramique <input type="checkbox"/> Terre crue-cuite <input type="checkbox"/> Métal <input type="checkbox"/> Restes humains <input type="checkbox"/> Industrie osseuse <input type="checkbox"/> Macroolithique <input type="checkbox"/> Pierres (en g) <input type="checkbox"/> Parure <input type="checkbox"/> Autres <input type="checkbox"/> Malacofaune <input type="checkbox"/> Microfaune <input type="checkbox"/> Carpocestes <input type="checkbox"/> Anthracocrestes		

Annexe 3 - Le Clos de Roque, Saint-Maximin-la-Sainte-Baume (83). Inventaire des structures identifiées au décapage par fiches comprenant les indications des points topographiques, des minutes, des prélèvements et des photographies numériques de références.

PT	X (est)	Y (nord)	Z (alti)	Z (alti)	élément	type de point	identifiant
PT0001	885610.462764	134891.143997	286.242153	286.24	coupe	clou	CP1-1
PT0002	885611.189716	134890.778857	286.224713	286.22	coupe	clou	CP1-1
PT0003	885610.460473	134891.091512	285.256374	285.26	coupe	clou	CP1-1
PT0004	885611.172424	134890.746401	285.236136	285.24	coupe	clou	CP1-1
PT0005	885627.428595	134883.525854	286.484039	286.48	coupe	clou	CP1-2
PT0006	885628.339721	134883.150473	286.474806	286.47	coupe	clou	CP1-2
PT0007	885627.417645	134883.507116	285.457782	285.46	coupe	clou	CP1-2
PT0008	885628.329107	134883.149897	285.454781	285.45	coupe	clou	CP1-2
PT0009	885640.120339	134878.313882	286.362270	286.36	coupe	clou	CP1-3
PT0010	885641.041361	134877.912271	286.347753	286.35	coupe	clou	CP1-3
PT0011	885640.100955	134878.262464	285.422032	285.42	coupe	clou	CP1-3
PT0012	885641.028950	134877.885642	285.400800	285.4	coupe	clou	CP1-3
PT0013	885660.272894	134869.842551	286.406084	286.41	coupe	clou	CP1-4
PT0014	885661.183355	134869.466973	286.393853	286.39	coupe	clou	CP1-4
PT0015	885660.245366	134869.779991	285.475953	285.48	coupe	clou	CP1-4
PT0016	885661.166758	134869.415304	285.465239	285.47	coupe	clou	CP1-4
PT0017	885609.389459	134891.572338	285.772185	285.77	LOG	contour	CP1-1
PT0018	885608.366290	134889.446137	285.771017	285.77	LOG	contour	CP1-1
PT0019	885612.088254	134890.322868	285.870417	285.87	LOG	contour	CP1-1
PT0020	885611.096638	134888.121733	285.832838	285.83	LOG	contour	CP1-1
PT0021	885626.699303	134883.793099	286.016640	286.02	LOG	contour	CP1-2
PT0022	885625.820229	134881.620564	285.958535	285.96	LOG	contour	CP1-2
PT0023	885629.710599	134882.577619	286.053164	286.05	LOG	contour	CP1-2
PT0024	885628.856413	134880.378480	285.959527	285.96	LOG	contour	CP1-2
PT0025	885639.361139	134878.602412	285.975493	285.98	LOG	contour	CP1-3
PT0026	885638.455063	134876.397666	285.936594	285.94	LOG	contour	CP1-3
PT0027	885642.497445	134877.271761	285.977686	285.98	LOG	contour	CP1-3
PT0028	885641.638655	134875.076263	285.958640	285.96	LOG	contour	CP1-3
PT0029	885659.550503	134870.092010	285.998844	286	LOG	contour	CP1-4
PT0030	885658.681083	134867.909239	285.973944	285.97	LOG	contour	CP1-4
PT0031	885662.408681	134868.889276	286.038377	286.04	LOG	contour	CP1-4
PT0032	885661.473202	134866.716972	285.988279	285.99	LOG	contour	CP1-4
PT0033	885674.840739	134863.814752	286.674445	286.67	coupe	contour	CP1
PT0034	885670.760560	134865.540883	286.673646	286.67	coupe	contour	CP1
PT0035	885666.782206	134867.351414	286.686522	286.69	coupe	contour	CP1
PT0036	885662.261066	134869.322235	286.683181	286.68	coupe	contour	CP1
PT0037	885657.879863	134870.995702	286.695420	286.7	coupe	contour	CP1
PT0038	885653.348096	134873.006133	286.662651	286.66	coupe	contour	CP1
PT0039	885649.246613	134874.687769	286.659871	286.66	coupe	contour	CP1
PT0040	885644.872772	134876.506290	286.592633	286.59	coupe	contour	CP1
PT0041	885640.983931	134878.080295	286.541853	286.54	coupe	contour	CP1
PT0042	885636.831093	134879.810911	286.521329	286.52	coupe	contour	CP1
PT0043	885633.149592	134881.413497	286.543755	286.54	coupe	contour	CP1
PT0044	885629.497717	134882.905257	286.536864	286.54	coupe	contour	CP1
PT0045	885625.407935	134884.527138	286.595511	286.6	coupe	contour	CP1
PT0046	885621.425829	134886.192523	286.587218	286.59	coupe	contour	CP1
PT0047	885617.284089	134888.052484	286.635738	286.64	coupe	contour	CP1
PT0048	885613.048338	134889.965215	286.484041	286.48	coupe	contour	CP1
PT0049	885607.154694	134892.854756	286.125807	286.13	coupe	contour	CP1
PT0050	885607.729864	134892.378954	285.931918	285.93	coupe	contour	CP1
PT0051	885609.496949	134891.523259	285.752495	285.75	coupe	contour	CP1
PT0052	885610.338907	134891.111396	285.075640	285.08	coupe	contour	CP1
PT0053	885611.636972	134890.502390	285.183157	285.18	coupe	contour	CP1
PT0054	885612.089416	134890.318114	285.868258	285.87	coupe	contour	CP1
PT0055	885616.863743	134887.947462	286.003449	286	coupe	contour	CP1
PT0056	885621.068634	134886.049789	286.008798	286.01	coupe	contour	CP1
PT0057	885626.661648	134883.804248	286.020266	286.02	coupe	contour	CP1
PT0058	885627.534772	134883.413661	285.308433	285.31	coupe	contour	CP1
PT0059	885628.406174	134883.079485	285.402014	285.4	coupe	contour	CP1
PT0060	885629.698624	134882.563459	286.044238	286.04	coupe	contour	CP1
PT0061	885633.677538	134880.970601	286.027715	286.03	coupe	contour	CP1
PT0062	885637.068541	134879.541872	286.035693	286.04	coupe	contour	CP1
PT0063	885639.365481	134878.597702	285.973164	285.97	coupe	contour	CP1
PT0064	885640.148293	134878.213358	285.320226	285.32	coupe	contour	CP1
PT0065	885641.253954	134877.780858	285.369876	285.37	coupe	contour	CP1
PT0066	885642.490732	134877.268289	285.974540	285.97	coupe	contour	CP1

Annexe 4 - Le Clos de Roque, Saint-Maximin-la-Sainte-Baume (83). Inventaire des points topographiques.

PT	X (est)	Y (nord)	Z (alti)	Z (alti)	élément	type de point	identifiant
PT0067	885646.387163	134875.629528	285.958951	285.96	coupe	contour	CP1
PT0068	885650.340059	134874.021010	286.067792	286.07	coupe	contour	CP1
PT0069	885654.750699	134872.204924	286.020627	286.02	coupe	contour	CP1
PT0070	885659.555686	134870.087037	285.986994	285.99	coupe	contour	CP1
PT0071	885660.291611	134869.752248	285.308620	285.31	coupe	contour	CP1
PT0072	885661.335114	134869.325221	285.413232	285.41	coupe	contour	CP1
PT0073	885662.457483	134868.896174	286.041883	286.04	coupe	contour	CP1
PT0074	885666.924024	134867.046198	286.020786	286.02	coupe	contour	CP1
PT0075	885670.924721	134865.238265	285.920837	285.92	coupe	contour	CP1
PT0076	885674.602388	134863.482966	286.004086	286	coupe	contour	CP1
PT0077	885669.252534	134848.842853	286.498171	286.5	coupe	clou	CP2-1
PT0078	885668.874851	134847.918046	286.475863	286.48	coupe	clou	CP2-1
PT0079	885669.175971	134848.853398	285.493399	285.49	coupe	clou	CP2-1
PT0080	885668.822684	134847.939607	285.492153	285.49	coupe	clou	CP2-1
PT0081	885663.855116	134833.701182	286.659752	286.66	coupe	clou	CP2-2
PT0082	885663.537640	134832.773439	286.649235	286.65	coupe	clou	CP2-2
PT0083	885663.813936	134833.726841	285.632379	285.63	coupe	clou	CP2-2
PT0084	885663.475340	134832.779389	285.618078	285.62	coupe	clou	CP2-2
PT0085	885667.302968	134850.723495	286.004713	286	LOG	contour	CP2-1
PT0086	885669.511194	134849.856176	286.107472	286.11	LOG	contour	CP2-1
PT0087	885668.367857	134846.711690	286.048531	286.05	LOG	contour	CP2-1
PT0088	885666.157065	134847.550826	285.949673	285.95	LOG	contour	CP2-1
PT0089	885661.860530	134835.407145	285.943762	285.94	LOG	contour	CP2-2
PT0090	885664.092218	134834.642792	286.024523	286.02	LOG	contour	CP2-2
PT0091	885663.015424	134831.343672	286.082601	286.08	LOG	contour	CP2-2
PT0092	885660.663550	134831.805281	286.077640	286.08	LOG	contour	CP2-2
PT0093	885674.681880	134863.598011	286.055849	286.06	coupe	contour	CP2
PT0094	885672.817738	134859.144651	286.022181	286.02	coupe	contour	CP2
PT0095	885671.417396	134855.201222	286.094911	286.09	coupe	contour	CP2
PT0096	885669.843041	134850.882309	286.073428	286.07	coupe	contour	CP2
PT0097	885669.508100	134849.853672	286.107841	286.11	coupe	contour	CP2
PT0098	885669.218831	134849.007682	285.363744	285.36	coupe	contour	CP2
PT0099	885668.710620	134847.644760	285.524665	285.52	coupe	contour	CP2
PT0100	885668.370403	134846.710435	286.047210	286.05	coupe	contour	CP2
PT0101	885666.461284	134841.448395	285.958611	285.96	coupe	contour	CP2
PT0102	885665.178997	134837.850563	286.077602	286.08	coupe	contour	CP2
PT0103	885664.092210	134834.642668	286.025492	286.03	coupe	contour	CP2
PT0104	885663.878091	134833.996265	285.409319	285.41	coupe	contour	CP2
PT0105	885663.427511	134832.609092	285.474737	285.47	coupe	contour	CP2
PT0106	885663.009708	134831.342287	286.080611	286.08	coupe	contour	CP2
PT0107	885661.764512	134827.357772	286.374777	286.37	coupe	contour	CP2
PT0108	885660.454708	134822.888867	287.090791	287.09	coupe	contour	CP2
PT0109	885674.844381	134863.737653	286.704432	286.7	coupe	contour	CP2
PT0110	885672.956812	134859.104206	286.671261	286.67	coupe	contour	CP2
PT0111	885671.634983	134855.145469	286.674565	286.67	coupe	contour	CP2
PT0112	885670.120694	134850.828125	286.838504	286.84	coupe	contour	CP2
PT0113	885668.620685	134846.709126	286.783658	286.78	coupe	contour	CP2
PT0114	885666.764190	134841.403270	286.882079	286.88	coupe	contour	CP2
PT0115	885665.069420	134836.847038	286.856089	286.86	coupe	contour	CP2
PT0116	885663.413729	134832.123169	286.862757	286.86	coupe	contour	CP2
PT0117	885662.068277	134827.389992	287.036037	287.04	coupe	contour	CP2
PT0118	885672.025640	134864.824214	286.334150	286.33	UPS	limite	CP1
PT0119	885668.876230	134866.224902	286.342637	286.34	UPS	limite	CP1
PT0120	885665.761342	134867.597959	286.367587	286.37	UPS	limite	CP1
PT0121	885662.846938	134868.824536	286.390688	286.39	UPS	limite	CP1
PT0122	885660.904143	134869.613873	286.406341	286.41	UPS	limite	CP1
PT0123	885657.318057	134871.132330	286.420004	286.42	UPS	limite	CP1
PT0124	885652.571437	134873.158613	286.393285	286.39	UPS	limite	CP1
PT0125	885647.259337	134875.308958	286.364512	286.36	UPS	limite	CP1
PT0126	885640.702489	134878.081115	286.262848	286.26	UPS	limite	CP1
PT0127	885635.249101	134880.332863	286.320701	286.32	UPS	limite	CP1
PT0128	885626.512110	134883.877260	286.293125	286.29	UPS	limite	CP1
PT0129	885619.321224	134886.911727	286.378301	286.38	UPS	limite	CP1
PT0130	885610.895421	134890.896636	286.172887	286.17	UPS	limite	CP1
PT0131	885608.673575	134891.970633	285.948169	285.95	UPS	limite	CP1
PT0132	885610.744870	134890.963018	285.957502	285.96	UPS	limite	CP1

Annexe 4 - Le Clos de Roque, Saint-Maximin-la-Sainte-Baume (83). Inventaire des points topographiques.



PT	X (est)	Y (nord)	Z (alti)	Z (alti)	élément	type de point	identifiant
PT0133	885615.377152	134888.660349	285.996444	286	UPS	limite	CP1
PT0134	885618.524232	134887.260412	286.104682	286.1	UPS	limite	CP1
PT0135	885620.452679	134886.378042	286.073828	286.07	UPS	limite	CP1
PT0136	885622.090112	134885.668749	286.026338	286.03	UPS	limite	CP1
PT0137	885623.139433	134885.219380	286.126900	286.13	UPS	limite	CP1
PT0138	885625.111353	134884.443417	286.146014	286.15	UPS	limite	CP1
PT0139	885626.097412	134884.021324	286.061319	286.06	UPS	limite	CP1
PT0140	885628.507838	134883.087294	286.157174	286.16	UPS	limite	CP1
PT0141	885635.063193	134880.391670	286.039743	286.04	UPS	limite	CP1
PT0142	885640.037606	134878.294410	286.022517	286.02	UPS	limite	CP1
PT0143	885643.807522	134876.722802	286.096937	286.1	UPS	limite	CP1
PT0144	885647.064033	134875.372197	286.114148	286.11	UPS	limite	CP1
PT0145	885650.765225	134873.899815	286.143111	286.14	UPS	limite	CP1
PT0146	885653.516011	134872.753396	286.143293	286.14	UPS	limite	CP1
PT0147	885657.393806	134871.090052	286.168465	286.17	UPS	limite	CP1
PT0148	885660.133560	134869.916024	286.129420	286.13	UPS	limite	CP1
PT0149	885665.351861	134867.714987	286.120824	286.12	UPS	limite	CP1
PT0150	885670.494867	134865.445277	286.058986	286.06	UPS	limite	CP1
PT0151	885674.708069	134863.619416	286.161859	286.16	UPS	limite	CP1
PT0152	885673.568038	134860.966081	286.384681	286.38	UPS	limite	CP2
PT0153	885671.029069	134853.948714	286.471446	286.47	UPS	limite	CP2
PT0154	885669.787028	134850.350728	286.432689	286.43	UPS	limite	CP2
PT0155	885668.007007	134845.529708	286.454140	286.45	UPS	limite	CP2
PT0156	885666.535702	134841.437549	286.459593	286.46	UPS	limite	CP2
PT0157	885664.415216	134835.575831	286.516059	286.52	UPS	limite	CP2
PT0158	885663.411545	134832.423025	286.563339	286.56	UPS	limite	CP2
PT0159	885662.058627	134828.236533	286.665588	286.67	UPS	limite	CP2
PT0160	885661.278964	134825.420591	286.743460	286.74	UPS	limite	CP2
PT0161	885662.514300	134829.886105	286.391868	286.39	UPS	limite	CP2
PT0162	885663.908638	134833.922537	286.330982	286.33	UPS	limite	CP2
PT0163	885665.200839	134837.798375	286.276676	286.28	UPS	limite	CP2
PT0164	885666.603257	134841.728053	286.236496	286.24	UPS	limite	CP2
PT0165	885667.988020	134845.614871	286.217982	286.22	UPS	limite	CP2
PT0166	885669.253528	134848.954065	286.197320	286.2	UPS	limite	CP2
PT0167	885670.830506	134853.499882	286.179429	286.18	UPS	limite	CP2
PT0168	885672.303581	134857.514403	286.176020	286.18	UPS	limite	CP2
PT0169	885674.678173	134863.500586	286.156747	286.16	UPS	limite	CP2
PT0170	885674.517640	134863.208649	286.104494	286.1	tranchée	sondage	CP2
PT0171	885673.681611	134861.367527	286.039276	286.04	tranchée	sondage	CP2
PT0172	885663.243838	134831.914010	286.434983	286.43	structure	contour	
PT0173	885663.196552	134831.911749	286.094294	286.09	structure	contour	
PT0174	885662.544972	134829.990724	286.204671	286.2	structure	contour	
PT0175	885474.297173	134852.918333	286.439090	286.44	coupe	clou	CP3.1
PT0176	885474.373840	134854.113378	286.435986	286.44	coupe	clou	CP3.1
PT0177	885474.347644	134852.918818	285.457395	285.46	coupe	clou	CP3.1
PT0178	885474.418249	134854.106500	285.449666	285.45	coupe	clou	CP3.1
PT0179	885484.736819	134888.000185	286.306479	286.31	coupe	clou	CP4.1
PT0180	885484.757652	134889.197814	286.295338	286.3	coupe	clou	CP4.1
PT0181	885484.770522	134888.007343	285.417514	285.42	coupe	clou	CP4.1
PT0182	885484.817987	134889.194170	285.406262	285.41	coupe	clou	CP4.1
PT0183	885485.053625	134903.259390	286.133080	286.13	coupe	clou	CP4.2
PT0184	885485.060750	134904.459011	286.127550	286.13	coupe	clou	CP4.2
PT0185	885485.116690	134903.277030	285.014816	285.01	coupe	clou	CP4.2
PT0186	885485.108378	134904.472507	285.009207	285.01	coupe	clou	CP4.2
PT0187	885485.371380	134926.156171	285.966165	285.97	coupe	clou	CP4.3
PT0188	885485.350503	134927.356143	285.957796	285.96	coupe	clou	CP4.3
PT0189	885485.370042	134926.160788	284.963282	284.96	coupe	clou	CP4.3
PT0190	885485.357720	134927.347368	284.980379	284.98	coupe	clou	CP4.3
PT0191	885485.445364	134947.963527	286.003822	286	coupe	clou	CP4.4
PT0192	885485.431158	134949.161520	285.979418	285.98	coupe	clou	CP4.4
PT0193	885485.498176	134947.956836	284.908239	284.91	coupe	clou	CP4.4
PT0194	885485.457898	134949.163902	284.901494	284.9	coupe	clou	CP4.4
PT0195	885555.045790	134848.682484	286.724632	286.72	coupe	clou	CP5.1
PT0196	885553.882908	134849.005434	286.718732	286.72	coupe	clou	CP5.1
PT0197	885555.044714	134848.730708	285.469440	285.47	coupe	clou	CP5.1
PT0198	885553.897788	134849.047742	285.455870	285.46	coupe	clou	CP5.1

PT	X (est)	Y (nord)	Z (alti)	Z (alti)	élément	type de point	identifiant
PT0199	885525.133867	134839.413548	286.779324	286.78	coupe	clou	CP6.1
PT0200	885523.679094	134839.738878	286.770775	286.77	coupe	clou	CP6.1
PT0201	885525.143428	134839.443339	285.773545	285.77	coupe	clou	CP6.1
PT0202	885523.694220	134839.754794	285.762108	285.76	coupe	clou	CP6.1
PT0203	885485.122333	134844.714198	286.412229	286.41	coupe	clou	CP7.1
PT0204	885483.925593	134844.852702	286.397792	286.4	coupe	clou	CP7.1
PT0205	885485.128161	134844.801407	285.295527	285.3	coupe	clou	CP7.1
PT0206	885483.913208	134844.912617	285.282591	285.28	coupe	clou	CP7.1
PT0207	885473.962217	134845.547597	286.566497	286.57	coupe	contour	CP3
PT0208	885474.142200	134851.151238	286.611659	286.61	coupe	contour	CP3
PT0209	885474.423991	134856.168570	286.740035	286.74	coupe	contour	CP3
PT0210	885474.905001	134860.880778	286.645854	286.65	coupe	contour	CP3
PT0211	885475.485204	134865.853006	286.644293	286.64	coupe	contour	CP3
PT0212	885475.850208	134870.908874	286.626583	286.63	coupe	contour	CP3
PT0213	885476.142374	134874.431363	286.676738	286.68	coupe	contour	CP3
PT0214	885484.202605	134876.972859	286.679306	286.68	coupe	contour	CP4
PT0215	885484.295945	134882.038564	286.636876	286.64	coupe	contour	CP4
PT0216	885484.616456	134886.620701	286.549877	286.55	coupe	contour	CP4
PT0217	885484.769975	134891.327474	286.375056	286.38	coupe	contour	CP4
PT0218	885484.835279	134896.126516	286.292416	286.29	coupe	contour	CP4
PT0219	885484.953004	134900.783499	286.298012	286.3	coupe	contour	CP4
PT0220	885484.995174	134905.397962	286.327306	286.33	coupe	contour	CP4
PT0221	885484.886040	134909.860123	286.182366	286.18	coupe	contour	CP4
PT0222	885485.027171	134914.758195	286.151752	286.15	coupe	contour	CP4
PT0223	885485.264527	134919.515820	286.085206	286.09	coupe	contour	CP4
PT0224	885485.208587	134924.121413	286.045498	286.05	coupe	contour	CP4
PT0225	885485.240191	134929.124528	286.157823	286.16	coupe	contour	CP4
PT0226	885485.251155	134933.988832	286.124770	286.12	coupe	contour	CP4
PT0227	885485.144118	134939.097368	286.135450	286.14	coupe	contour	CP4
PT0228	885485.310476	134943.893574	286.179944	286.18	coupe	contour	CP4
PT0229	885485.300108	134949.200815	286.123009	286.12	coupe	contour	CP4
PT0230	885485.339603	134954.487518	286.125994	286.13	coupe	contour	CP4
PT0231	885485.375542	134958.083691	286.187791	286.19	coupe	contour	CP4
PT0232	885568.028845	134845.094221	286.999204	287	coupe	contour	CP5
PT0233	885562.891957	134846.601078	286.898555	286.9	coupe	contour	CP5
PT0234	885557.900288	134847.844957	286.946564	286.95	coupe	contour	CP5
PT0235	885552.903835	134849.132270	286.884740	286.88	coupe	contour	CP5
PT0236	885548.426768	134850.174850	286.887809	286.89	coupe	contour	CP5
PT0237	885543.444003	134851.481062	286.991847	286.99	coupe	contour	CP5
PT0238	885537.946764	134852.886685	287.086874	287.09	coupe	contour	CP5
PT0239	885534.741324	134837.073238	287.038808	287.04	coupe	contour	CP6
PT0240	885529.453862	134838.394207	287.055471	287.06	coupe	contour	CP6
PT0241	885524.568320	134839.423359	286.980385	286.98	coupe	contour	CP6
PT0242	885519.739169	134840.288351	286.985281	286.99	coupe	contour	CP6
PT0243	885513.925495	134841.751876	286.878752	286.88	coupe	contour	CP6
PT0244	885498.963379	134843.332703	286.936431	286.94	coupe	contour	CP7
PT0245	885494.097377	134843.626244	286.791777	286.79	coupe	contour	CP7
PT0246	885488.981930	134844.200933	286.676862	286.68	coupe	contour	CP7
PT0247	885483.877860	134844.770344	286.647005	286.65	coupe	contour	CP7
PT0248	885479.131604	134845.103698	286.650457	286.65	coupe	contour	CP7
PT0249	885476.297007	134845.272027	286.622493	286.62	coupe	contour	CP7
PT0250	885474.166562	134846.916689	286.080874	286.08	coupe	contour	CP3
PT0251	885474.318897	134852.019476	286.001591	286	coupe	contour	CP3
PT0252	885474.339277	134852.701575	285.337271	285.34	coupe	contour	CP3
PT0253	885474.466342	134854.660618	285.436448	285.44	coupe	contour	CP3
PT0254	885474.548890	134856.037431	286.106058	286.11	coupe	contour	CP3
PT0255	885475.120449	134861.590597	286.058649	286.06	coupe	contour	CP3
PT0256	885475.708464	134866.477410	286.091633	286.09	coupe	contour	CP3
PT0257	885476.093531	134872.378303	286.109262	286.11	coupe	contour	CP3
PT0258	885484.329935	134878.352894	286.234025	286.23	coupe	contour	CP4
PT0259	885484.577629	134883.016283	285.932296	285.93	coupe	contour	CP4
PT0260	885484.790790	134887.163620	285.915672	285.92	coupe	contour	CP4
PT0261	885484.797517	134887.893921	285.359686	285.36	coupe	contour	CP4
PT0262	885484.836479	134889.223676	285.331476	285.33	coupe	contour	CP4
PT0263	885484.877965	134890.311837	285.882560	285.88	coupe	contour	CP4
PT0264	885484.975082	134894.509938	285.875780	285.88	coupe	contour	CP4

Annexe 4 - Le Clos de Roque, Saint-Maximin-la-Sainte-Baume (83). Inventaire des points topographiques.

PT	X (est)	Y (nord)	Z (alti)	Z (alti)	élément	type de point	identifiant
PT0265	885485.034962	134898.578368	285.771470	285.77	coupe	contour	CP4
PT0266	885485.131459	134902.185405	285.746944	285.75	coupe	contour	CP4
PT0267	885485.154276	134903.254807	284.872728	284.87	coupe	contour	CP4
PT0268	885485.122464	134904.547358	284.882959	284.88	coupe	contour	CP4
PT0269	885485.125944	134906.150377	285.640719	285.64	coupe	contour	CP4
PT0270	885485.085514	134911.066120	285.703665	285.7	coupe	contour	CP4
PT0271	885485.294567	134915.809438	285.647844	285.65	coupe	contour	CP4
PT0272	885485.449671	134920.400443	285.655819	285.66	coupe	contour	CP4
PT0273	885485.423206	134925.284869	285.656653	285.66	coupe	contour	CP4
PT0274	885485.399559	134926.036238	284.797128	284.8	coupe	contour	CP4
PT0275	885485.379852	134927.523940	284.801318	284.8	coupe	contour	CP4
PT0276	885485.360214	134928.994370	285.635877	285.64	coupe	contour	CP4
PT0277	885485.354792	134933.740647	285.617113	285.62	coupe	contour	CP4
PT0278	885485.318494	134938.843004	285.618589	285.62	coupe	contour	CP4
PT0279	885485.540831	134944.194497	285.646143	285.65	coupe	contour	CP4
PT0280	885485.514825	134946.886823	285.660680	285.66	coupe	contour	CP4
PT0281	885485.521998	134947.554368	284.804390	284.8	coupe	contour	CP4
PT0282	885485.461255	134949.510192	284.869183	284.87	coupe	contour	CP4
PT0283	885485.453563	134950.769496	285.719527	285.72	coupe	contour	CP4
PT0284	885485.547018	134955.275857	285.741618	285.74	coupe	contour	CP4
PT0285	885565.044521	134846.190199	286.283048	286.28	coupe	contour	CP5
PT0286	885560.369205	134847.473595	286.282552	286.28	coupe	contour	CP5
PT0287	885556.308540	134848.429265	286.263802	286.26	coupe	contour	CP5
PT0288	885555.191442	134848.704125	285.316077	285.32	coupe	contour	CP5
PT0289	885553.909081	134849.034125	285.351037	285.35	coupe	contour	CP5
PT0290	885552.394744	134849.435860	286.319411	286.32	coupe	contour	CP5
PT0291	885548.077410	134850.495504	286.246029	286.25	coupe	contour	CP5
PT0292	885543.674017	134851.560613	286.291674	286.29	coupe	contour	CP5
PT0293	885542.033295	134852.004679	286.282083	286.28	coupe	contour	CP5
PT0294	885532.658267	134837.774694	286.304723	286.3	coupe	contour	CP6
PT0295	885528.272137	134838.917407	286.222914	286.22	coupe	contour	CP6
PT0296	885526.096694	134839.309217	286.268160	286.27	coupe	contour	CP6
PT0297	885525.518557	134839.402774	285.687060	285.69	coupe	contour	CP6
PT0298	885523.658063	134839.759328	285.651063	285.65	coupe	contour	CP6
PT0299	885522.575935	134839.934785	286.250501	286.25	coupe	contour	CP6
PT0300	885517.927907	134840.790190	286.184070	286.18	coupe	contour	CP6
PT0301	885516.476774	134841.167796	286.210826	286.21	coupe	contour	CP6
PT0302	885496.054003	134843.741872	286.127819	286.13	coupe	contour	CP7
PT0303	885491.756820	134844.175018	285.930937	285.93	coupe	contour	CP7
PT0304	885486.720669	134844.641702	285.948080	285.95	coupe	contour	CP7
PT0305	885485.310331	134844.804756	285.253472	285.25	coupe	contour	CP7
PT0306	885483.679968	134844.930101	285.301955	285.3	coupe	contour	CP7
PT0307	885482.702516	134845.017688	285.994418	285.99	coupe	contour	CP7
PT0308	885480.149384	134845.217491	286.033296	286.03	coupe	contour	CP7
PT0309	885476.438876	134845.460487	286.087419	286.09	coupe	contour	CP7
PT0310	885476.683431	134851.891411	285.974525	285.97	LOG	contour	CP3.1
PT0311	885474.314409	134852.018407	285.994685	285.99	LOG	contour	CP3.1
PT0312	885474.562021	134856.036904	286.101238	286.1	LOG	contour	CP3.1
PT0313	885476.912572	134855.849468	286.055729	286.06	LOG	contour	CP3.1
PT0314	885487.163992	134887.179378	285.915110	285.92	LOG	contour	CP4.1
PT0315	885484.790008	134887.283445	285.867366	285.87	LOG	contour	CP4.1
PT0316	885484.884323	134890.301422	285.882895	285.88	LOG	contour	CP4.1
PT0317	885487.280431	134890.548971	285.910338	285.91	LOG	contour	CP4.1
PT0318	885487.485928	134902.182748	285.755433	285.76	LOG	contour	CP4.2
PT0319	885485.126071	134902.191830	285.744335	285.74	LOG	contour	CP4.2
PT0320	885485.128922	134906.152211	285.639912	285.64	LOG	contour	CP4.2
PT0321	885487.478669	134906.334463	285.652832	285.65	LOG	contour	CP4.2
PT0322	885487.765668	134925.238336	285.586670	285.59	LOG	contour	CP4.3
PT0323	885485.414821	134925.282336	285.658515	285.66	LOG	contour	CP4.3
PT0324	885485.368038	134928.993684	285.635326	285.64	LOG	contour	CP4.3
PT0325	885487.730430	134928.951787	285.568685	285.57	LOG	contour	CP4.3
PT0326	885487.862353	134946.858404	285.626844	285.63	LOG	contour	CP4.4
PT0327	885485.511690	134946.885417	285.662675	285.66	LOG	contour	CP4.4
PT0328	885485.446202	134950.760294	285.719005	285.72	LOG	contour	CP4.4
PT0329	885487.816916	134950.698152	285.647413	285.65	LOG	contour	CP4.4
PT0330	885556.310946	134848.437336	286.257829	286.26	LOG	contour	CP5.1

Annexe 4 - Le Clos de Roque, Saint-Maximin-la-Sainte-Baume (83). Inventaire des points topographiques.

PT	X (est)	Y (nord)	Z (alti)	Z (alti)	élément	type de point	identifiant
PT0331	885556.803348	134850.767797	286.194792	286.19	LOG	contour	CP5.1
PT0332	885553.020574	134851.738258	286.259573	286.26	LOG	contour	CP5.1
PT0333	885552.410131	134849.452188	286.311814	286.31	LOG	contour	CP5.1
PT0334	885526.417490	134841.660887	286.221300	286.22	LOG	contour	CP6.1
PT0335	885526.098025	134839.316618	286.269664	286.27	LOG	contour	CP6.1
PT0336	885522.593764	134839.946050	286.249514	286.25	LOG	contour	CP6.1
PT0337	885522.992981	134842.285455	286.214901	286.21	LOG	contour	CP6.1
PT0338	885486.930618	134847.012024	286.000591	286	LOG	contour	CP7.1
PT0339	885486.719033	134844.635870	285.948807	285.95	LOG	contour	CP7.1
PT0340	885482.705033	134845.024470	285.993180	285.99	LOG	contour	CP7.1
PT0341	885483.010998	134847.360640	286.021320	286.02	LOG	contour	CP7.1
PT0342	885474.141075	134847.290988	286.371428	286.37	UPS	limite	CP3
PT0343	885474.203198	134850.486370	286.304819	286.3	UPS	limite	CP3
PT0344	885474.636542	134857.429594	286.427763	286.43	UPS	limite	CP3
PT0345	885475.053591	134861.082221	286.278825	286.28	UPS	limite	CP3
PT0346	885475.517406	134864.809503	286.244465	286.24	UPS	limite	CP3
PT0347	885476.038656	134871.681704	286.161284	286.16	UPS	limite	CP3
PT0348	885475.737618	134868.215581	286.165410	286.17	UPS	limite	CP3
PT0349	885475.452468	134864.248840	286.175618	286.18	UPS	limite	CP3
PT0350	885474.972478	134860.169451	286.087106	286.09	UPS	limite	CP3
PT0351	885474.428027	134854.428967	286.156652	286.16	UPS	limite	CP3
PT0352	885474.284899	134851.199002	286.086947	286.09	UPS	limite	CP3
PT0353	885474.180296	134847.628562	286.098516	286.1	UPS	limite	CP3
PT0354	885484.547398	134884.063656	286.307254	286.31	UPS	limite	CP4
PT0355	885484.737427	134888.827383	286.211151	286.21	UPS	limite	CP4
PT0356	885484.915174	134892.636824	286.093629	286.09	UPS	limite	CP4
PT0357	885485.020408	134898.224147	286.054915	286.05	UPS	limite	CP4
PT0358	885485.083317	134903.608517	286.009099	286.01	UPS	limite	CP4
PT0359	885485.051209	134908.149187	286.031871	286.03	UPS	limite	CP4
PT0360	885485.217746	134915.406892	285.987119	285.99	UPS	limite	CP4
PT0361	885485.357959	134926.212760	285.912643	285.91	UPS	limite	CP4
PT0362	885485.371818	134933.293530	285.944531	285.94	UPS	limite	CP4
PT0363	885485.439576	134941.260722	285.925678	285.93	UPS	limite	CP4
PT0364	885485.456288	134945.800703	285.935929	285.94	UPS	limite	CP4
PT0365	885485.452328	134948.960781	285.891047	285.89	UPS	limite	CP4
PT0366	885485.438766	134953.361021	285.873917	285.87	UPS	limite	CP4
PT0367	885485.433607	134957.238652	286.124585	286.12	coupe	contour	CP4
PT0368	885485.452708	134961.758607	286.082919	286.08	coupe	contour	CP4
PT0369	885485.957611	134965.972068	286.098624	286.1	coupe	contour	CP4
PT0370	885485.746263	134969.248079	286.168017	286.17	coupe	contour	CP4
PT0371	885485.460686	134953.266700	285.744610	285.74	UPS	limite	CP4
PT0372	885485.463552	134948.464921	285.742539	285.74	UPS	limite	CP4
PT0373	885485.523495	134942.373814	285.756375	285.76	UPS	limite	CP4
PT0374	885485.294454	134937.663224	285.778697	285.78	UPS	limite	CP4
PT0375	885485.384304	134932.893911	285.765667	285.77	UPS	limite	CP4
PT0376	885485.355474	134927.555346	285.729926	285.73	UPS	limite	CP4
PT0377	885485.394245	134922.547518	285.796355	285.8	UPS	limite	CP4
PT0378	885485.363385	134918.314200	285.783803	285.78	UPS	limite	CP4
PT0379	885485.134771	134913.841279	285.805165	285.81	UPS	limite	CP4
PT0380	885485.079797	134909.295288	285.880666	285.88	UPS	limite	CP4
PT0381	885485.095866	134904.667049	285.863117	285.86	UPS	limite	CP4
PT0382	885485.081783	134899.644548	285.886885	285.89	UPS	limite	CP4
PT0383	885484.967754	134894.659798	285.936136	285.94	UPS	limite	CP4
PT0384	885484.794905	134889.312877	285.993670	285.99	UPS	limite	CP4
PT0385	885484.618042	134885.128656	286.057154	286.06	UPS	limite	CP4
PT0386	885484.474032	134882.071311	286.069394	286.07	UPS	limite	CP4
PT0387	885540.704123	134852.311006	286.729432	286.73	UPS	limite	CP5
PT0388	885543.919190	134851.492087	286.647912	286.65	UPS	limite	CP5
PT0389	885547.351175	134850.697322	286.602143	286.6	UPS	limite	CP5
PT0390	885550.493839	134849.901760	286.569107	286.57	UPS	limite	CP5
PT0391	885555.473031	134848.585569	286.515702	286.52	UPS	limite	CP5
PT0392	885561.130146	134847.270943	286.542595	286.54	UPS	limite	CP5
PT0393	885566.052790	134845.860279	286.590609	286.59	UPS	limite	CP5
PT0394	885565.062679	134846.160166	286.334258	286.33	UPS	limite	CP5
PT0395	885561.436712	134847.177799	286.344745	286.34	UPS	limite	CP5
PT0396	885558.379297	134847.976891	286.334984	286.33	UPS	limite	CP5

Annexe 4 - Le Clos de Roque, Saint-Maximin-la-Sainte-Baume (83). Inventaire des points topographiques.



PT	X (est)	Y (nord)	Z (alti)	Z (alti)	élément	type de point	identifiant
PT0397	885555.617386	134848.569287	286.306133	286.31	UPS	limite	CP5
PT0398	885549.890073	134850.065388	286.335736	286.34	UPS	limite	CP5
PT0399	885547.353875	134850.693985	286.367476	286.37	UPS	limite	CP5
PT0400	885544.377709	134851.389326	286.418094	286.42	UPS	limite	CP5
PT0401	885541.148516	134852.226801	286.398850	286.4	UPS	limite	CP5
PT0402	885532.715591	134837.748788	286.744773	286.74	UPS	limite	CP6
PT0403	885530.049725	134838.464405	286.792100	286.79	UPS	limite	CP6
PT0404	885525.476652	134839.371384	286.734278	286.73	UPS	limite	CP6
PT0405	885517.213402	134840.973017	286.570747	286.57	UPS	limite	CP6
PT0406	885523.868483	134839.711069	286.385327	286.39	UPS	limite	CP6
PT0407	885526.054170	134839.303828	286.368630	286.37	UPS	limite	CP6
PT0408	885529.704000	134838.616010	286.384739	286.38	UPS	limite	CP6
PT0409	885532.755414	134837.775504	286.414908	286.41	UPS	limite	CP6
PT0410	885522.406833	134839.985029	286.383010	286.38	tranchée	limite	CP6
PT0411	885520.350122	134840.327180	286.344336	286.34	tranchée	limite	CP6
PT0412	885518.933146	134840.603534	286.304198	286.3	tranchée	limite	CP6
PT0413	885496.012621	134843.723779	286.500767	286.5	UPS	limite	CP7
PT0414	885493.156486	134843.988697	286.488137	286.49	UPS	limite	CP7
PT0415	885488.573942	134844.440290	286.422815	286.42	UPS	limite	CP7
PT0416	885483.755273	134844.873334	286.413668	286.41	UPS	limite	CP7
PT0417	885479.634739	134845.248084	286.410196	286.41	UPS	limite	CP7
PT0418	885477.142366	134845.389025	286.191763	286.19	UPS	limite	CP7
PT0419	885479.993160	134845.240042	286.173216	286.17	UPS	limite	CP7
PT0420	885484.506029	134844.814501	286.096918	286.1	UPS	limite	CP7
PT0421	885488.260715	134844.483316	286.046320	286.05	UPS	limite	CP7
PT0422	885492.211206	134844.096425	286.048552	286.05	UPS	limite	CP7
PT0423	885494.609557	134843.833575	286.071149	286.07	UPS	limite	CP7
PT0424	885615.800704	134886.876777	285.956344	285.96	structure	point central	ST1001
PT0425	885611.134723	134871.789538	286.011968	286.01	structure	point central	ST1002
PT0426	885614.930344	134870.468967	286.132747	286.13	structure	point central	ST1003
PT0427	885613.477236	134867.696860	286.075518	286.08	structure	point central	ST1004
PT0428	885617.037996	134874.718001	286.114295	286.11	structure	point central	ST1005
PT0429	885616.426497	134874.561584	286.100647	286.1	structure	point central	ST1006
PT0430	885616.283445	134875.815260	286.094850	286.09	structure	point central	ST1007
PT0431	885619.189764	134879.931167	286.124048	286.12	structure	point central	ST1008
PT0432	885621.540828	134875.883411	286.111335	286.11	structure	point central	ST1009
PT0433	885622.749462	134872.774213	286.122598	286.12	structure	point central	ST1010
PT0434	885624.332805	134872.690364	286.126192	286.13	structure	point central	ST1011
PT0435	885623.671742	134876.714480	286.139352	286.14	structure	point central	ST1012
PT0436	885628.027238	134875.507979	286.056654	286.06	structure	point central	ST1013
PT0437	885617.338101	134865.576084	286.193572	286.19	structure	point central	ST1014
PT0438	885618.540395	134864.880358	286.143304	286.14	structure	point central	ST1015
PT0439	885618.649591	134865.623382	286.139820	286.14	structure	point central	ST1016
PT0440	885619.094310	134866.470444	286.115314	286.12	structure	point central	ST1017
PT0441	885623.407147	134868.134459	286.113846	286.11	structure	point central	ST1018
PT0442	885628.313424	134860.342135	286.133693	286.13	structure	point central	ST1019
PT0443	885635.240850	134878.343282	285.937790	285.94	structure	point central	ST1020
PT0444	885637.012675	134878.573253	286.000151	286	structure	point central	ST1021
PT0445	885639.084541	134873.391060	285.991220	285.99	structure	point central	ST1022
PT0446	885638.587026	134869.738684	286.019704	286.02	structure	point central	ST1023
PT0447	885640.391411	134867.716158	286.049583	286.05	structure	point central	ST1024
PT0448	885645.466240	134870.157135	286.057462	286.06	structure	point central	ST1025
PT0449	885646.512721	134868.312415	286.071822	286.07	structure	point central	ST1026
PT0450	885644.168652	134864.553254	286.100737	286.1	structure	point central	ST1027
PT0451	885645.376625	134860.177625	286.128881	286.13	structure	point central	ST1028
PT0452	885649.230570	134869.218079	286.104874	286.1	structure	point central	ST1029
PT0453	885655.041685	134866.006932	286.077914	286.08	structure	point central	ST1030
PT0454	885654.970786	134865.330312	286.070350	286.07	structure	point central	ST1031
PT0455	885654.722794	134864.546422	286.067511	286.07	structure	point central	ST1032
PT0456	885648.130742	134850.520459	286.115556	286.12	structure	point central	ST1033
PT0457	885659.204278	134851.711510	286.124201	286.12	structure	point central	ST1034
PT0458	885659.379486	134855.664100	286.069800	286.07	structure	point central	ST1035
PT0459	885660.139897	134857.809804	286.047629	286.05	structure	point central	ST1036
PT0460	885665.112569	134860.698209	286.086592	286.09	structure	point central	ST1037
PT0461	885663.795477	134863.378797	286.081685	286.08	structure	point central	ST1038
PT0462	885641.492480	134858.215967	286.099287	286.1	fosse	contour	ST1067

PT	X (est)	Y (nord)	Z (alti)	Z (alti)	élément	type de point	identifiant
PT0463	885639.563031	134857.866626	286.144837	286.14	fosse	contour	ST1067
PT0464	885637.331408	134859.006513	286.135162	286.14	fosse	contour	ST1067
PT0465	885636.754580	134856.999479	286.121833	286.12	fosse	contour	ST1067
PT0466	885638.759720	134856.383161	286.197619	286.2	fosse	contour	ST1067
PT0467	885641.146180	134856.772334	286.127701	286.13	fosse	contour	ST1067
PT0468	885639.102884	134874.078607	285.997399	286	tranchée	contour	TR29
PT0469	885612.521104	134883.662720	285.937188	285.94	tranchée	contour	TR29
PT0470	885613.294747	134885.575403	285.980379	285.98	tranchée	contour	TR29
PT0471	885650.697286	134869.571676	286.051071	286.05	tranchée	contour	TR30
PT0472	885651.622793	134871.418863	285.924592	285.92	tranchée	contour	TR30
PT0473	885673.592628	134861.273697	285.960139	285.96	tranchée	contour	TR30
PT0474	885674.393928	134863.061461	285.920531	285.92	tranchée	contour	TR30
PT0475	885655.731833	134855.931108	286.113814	286.11	tranchée	contour	TR34
PT0476	885653.814759	134856.721160	286.128350	286.13	tranchée	contour	TR34
PT0477	885649.475737	134844.445298	286.157933	286.16	tranchée	contour	TR34
PT0478	885651.364731	134843.856239	286.070475	286.07	tranchée	contour	TR34
PT0479	885635.398080	134848.836290	286.127168	286.13	tranchée	contour	TR33
PT0480	885633.593208	134849.915519	286.112833	286.11	tranchée	contour	TR33
PT0481	885641.076130	134863.912876	286.061558	286.06	tranchée	contour	TR33
PT0482	885643.010370	134862.799611	286.076226	286.08	tranchée	contour	TR33
PT0483	885499.868866	134958.428300	285.642940	285.64	tranchée	contour	TR5
PT0484	885498.651861	134958.459143	285.627547	285.63	tranchée	contour	TR5
PT0485	885497.914434	134944.792713	285.705881	285.71	tranchée	contour	TR5
PT0486	885499.284857	134944.850614	285.680284	285.68	tranchée	contour	TR5
PT0487	885490.836194	134956.849087	285.652084	285.65	tranchée	contour	TR4
PT0488	885488.711295	134957.202058	285.690751	285.69	tranchée	contour	TR4
PT0489	885490.956967	134964.611712	285.685062	285.69	tranchée	contour	TR4
PT0490	885492.903386	134963.329549	285.692565	285.69	tranchée	contour	TR4
PT0491	885503.265828	134957.032156	285.726008	285.73	structure	point central	ST2001
PT0492	885503.812220	134949.802802	285.702290	285.7	structure	point central	ST2002
PT0493	885493.390352	134951.143708	285.731585	285.73	structure	point central	ST2003
PT0494	885488.038923	134958.149448	285.698112	285.7	structure	point central	ST2004
PT0495	885486.877156	134886.470147	285.920815	285.92	structure	point central	ST2005
PT0496	885484.805142	134880.855686	285.982076	285.98	structure	point central	ST2006
PT0497	885619.181631	134886.388224	286.036346	286.04	structure	point central	ST1039
PT0498	885618.754078	134884.953685	286.048039	286.05	structure	point central	ST1040
PT0499	885613.238237	134864.602609	286.141487	286.14	structure	point central	ST1041
PT0500	885608.893447	134858.089804	286.176655	286.18	structure	point central	ST1042
PT0501	885613.638336	134856.787954	286.200295	286.2	structure	point central	ST1043
PT0502	885615.572326	134857.804848	286.177725	286.18	structure	point central	ST1044
PT0503	885619.220420	134858.666589	286.195486	286.2	structure	point central	ST1045
PT0504	885634.060586	134855.588959	286.072421	286.07	structure	point central	ST1046
PT0505	885612.777546	134851.330697	286.257258	286.26	structure	point central	ST1047
PT0506	885622.448030	134847.665801	286.266783	286.27	structure	contour	ST1048
PT0507	885623.401445	134852.447992	286.133454	286.13	structure	contour	ST1048
PT0508	885623.358804	134850.685520	286.194295	286.19	structure	contour	ST1048
PT0509	885622.505371	134848.829796	286.213743	286.21	structure	contour	ST1048
PT0510	885621.762891	134841.865220	286.283918	286.28	structure	contour	ST1048
PT0511	885620.355423	134842.100893	286.295896	286.3	structure	contour	ST1048
PT0512	885621.081345	134846.381611	286.270659	286.27	structure	contour	ST1048
PT0513	885622.389153	134849.439337	286.217903	286.22	structure	contour	ST1048
PT0514	885622.842797	134851.781608	286.153595	286.15	structure	contour	ST1048
PT0515	885620.983018	134844.957054	286.251870	286.25	mobilier	faune	
PT0516	885604.058744	134852.451615	286.155967	286.16	structure	point central	ST1049
PT0517	885603.938804	134858.241818	286.132681	286.13	tranchée	contour	TR31
PT0518	885605.867594	134857.719574	286.119148	286.12	tranchée	contour	TR31
PT0519	885609.564161	134873.072853	285.972057	285.97	tranchée	contour	TR31
PT0520	885607.899191	134873.337787	285.994711	285.99	tranchée	contour	TR31
PT0521	885627.462402	134867.158330	285.964675	285.96	tranchée	contour	TR32
PT0522	885629.466158	134866.505996	285.981699	285.98	tranchée	contour	TR32
PT0523	885623.410558	134852.921768	286.158661	286.16	tranchée	contour	TR32
PT0524	885621.251397	134853.888993	286.106956	286.11	tranchée	contour	TR32
PT0525	885613.715562	134843.212383	286.324330	286.32	tranchée	contour	TR36
PT0526	885613.360797	134841.243544	286.299724	286.3	tranchée	contour	TR36
PT0527	885660.134590	134830.472553	286.263749	286.26	tranchée	contour	TR36
PT0528	885660.727235	134832.381800	286.230684	286.23	tranchée	contour	TR36

PT	X (est)	Y (nord)	Z (alti)	Z (alti)	élément	type de point	identifiant
PT0529	885603.626522	134860.342508	286.118827	286.12	structure	point central	ST1050
PT0530	885614.882490	134858.710694	286.198160	286.2	structure	point central	ST1051
PT0531	885606.217622	134840.742850	286.438841	286.44	structure	point central	ST1052
PT0532	885605.910338	134838.962069	286.479755	286.48	structure	point central	ST1053
PT0533	885602.726317	134841.156462	286.411173	286.41	structure	point central	ST1054
PT0534	885600.629177	134842.323055	286.461051	286.46	structure	point central	ST1055
PT0535	885599.277548	134840.151748	286.524662	286.52	structure	point central	ST1056
PT0536	885600.663565	134845.351664	286.329224	286.33	structure	point central	ST1057
PT0537	885612.159400	134840.886129	286.356314	286.36	structure	point central	ST1058
PT0538	885612.297914	134836.831168	286.452246	286.45	structure	point central	ST1059
PT0539	885613.892218	134837.995509	286.430399	286.43	structure	point central	ST1060
PT0540	885615.958811	134834.962776	286.395470	286.4	structure	point central	ST1061
PT0541	885617.908529	134839.195330	286.376175	286.38	structure	point central	ST1062
PT0542	885630.855206	134836.501232	286.310752	286.31	structure	point central	ST1063
PT0543	885646.796727	134830.552681	286.380110	286.38	structure	point central	ST1064
PT0544	885662.401964	134830.663261	286.170948	286.17	structure	point central	ST1065
PT0545	885609.198307	134836.941328	286.448945	286.45	structure	point central	ST1066
PT0546	885600.714325	134842.174959	286.473585	286.47	meublier	faune	
PT0547	885595.963197	134839.957072	286.449250	286.45	décapage mécanique	contour	Zone 1
PT0548	885597.778302	134851.922493	286.384340	286.38	décapage mécanique	contour	Zone 1
PT0549	885606.080835	134849.048675	286.299496	286.3	décapage mécanique	contour	Zone 1
PT0550	885606.884283	134851.427310	286.241471	286.24	décapage mécanique	contour	Zone 1
PT0551	885598.963811	134853.783377	286.230540	286.23	décapage mécanique	contour	Zone 1
PT0552	885607.037624	134892.689973	286.088719	286.09	décapage mécanique	contour	Zone 1
PT0553	885674.691062	134863.593660	286.069837	286.07	décapage mécanique	contour	Zone 1
PT0554	885660.960305	134824.336922	286.757088	286.76	décapage mécanique	contour	Zone 1
PT0555	885651.866430	134827.517621	286.365834	286.37	décapage mécanique	contour	Zone 1
PT0556	885650.702030	134823.942170	286.333201	286.33	décapage mécanique	contour	Zone 1
PT0557	885647.889890	134824.634699	286.396203	286.4	décapage mécanique	contour	Zone 1
PT0558	885648.012536	134825.636411	286.349856	286.35	décapage mécanique	contour	Zone 1
PT0559	885629.628417	134830.702170	286.419828	286.42	décapage mécanique	contour	Zone 1
PT0560	885612.192005	134835.716489	286.474893	286.47	décapage mécanique	contour	Zone 1
PT0561	885503.053060	134926.999321	285.827444	285.83	structure	point central	ST2007
PT0562	885495.159369	134927.833285	285.804020	285.8	structure	point central	ST2008
PT0563	885496.223998	134926.284094	285.776476	285.78	structure	point central	ST2009
PT0564	885491.052730	134919.762059	285.795565	285.8	structure	point central	ST2010
PT0565	885496.193429	134914.558165	285.849002	285.85	structure	point central	ST2011
PT0566	885493.196819	134906.997791	285.917184	285.92	structure	point central	ST2012
PT0567	885492.966344	134905.661185	285.887008	285.89	structure	point central	ST2013
PT0568	885494.750870	134903.632107	285.899847	285.9	structure	point central	ST2014
PT0569	885500.560127	134906.584482	285.802865	285.8	structure	point central	ST2015
PT0570	885489.027223	134891.018165	285.972664	285.97	structure	point central	ST2016
PT0571	885494.956737	134883.800234	286.069342	286.07	structure	point central	ST2017
PT0572	885503.975392	134889.009905	286.005976	286.01	structure	point central	ST2018
PT0573	885503.832855	134880.352065	286.148331	286.15	structure	point central	ST2019
PT0574	885509.466050	134925.355329	285.754890	285.75	tranchée	contour	TR16
PT0575	885511.449935	134925.148802	285.724892	285.72	tranchée	contour	TR16
PT0576	885512.661988	134949.337646	285.528375	285.53	tranchée	contour	TR16
PT0577	885511.251424	134949.445696	285.519318	285.52	tranchée	contour	TR16
PT0578	885511.986759	134935.533625	285.675088	285.68	tranchée	contour	TR16
PT0579	885493.163708	134933.433681	285.737265	285.74	tranchée	contour	TR6
PT0580	885491.924133	134933.322442	285.692455	285.69	tranchée	contour	TR6
PT0581	885492.503406	134923.847027	285.733713	285.73	tranchée	contour	TR6
PT0582	885493.869768	134924.035901	285.717217	285.72	tranchée	contour	TR6
PT0583	885500.238249	134921.884099	285.754237	285.75	tranchée	contour	TR9
PT0584	885501.809445	134921.041962	285.795955	285.8	tranchée	contour	TR9
PT0585	885497.736637	134899.755679	285.880604	285.88	tranchée	contour	TR9
PT0586	885496.505828	134899.944873	285.852935	285.85	tranchée	contour	TR9
PT0587	885490.166068	134900.846470	285.736025	285.74	tranchée	contour	TR7
PT0588	885488.948157	134901.077238	285.757097	285.76	tranchée	contour	TR7
PT0589	885490.139267	134910.188353	285.741265	285.74	tranchée	contour	TR7
PT0590	885491.308059	134910.217315	285.733238	285.73	tranchée	contour	TR7
PT0591	885486.807582	134906.597495	285.659614	285.66	tranchée	contour	TR8
PT0592	885485.562988	134906.808304	285.651485	285.65	tranchée	contour	TR8
PT0593	885487.323643	134922.087755	285.608484	285.61	tranchée	contour	TR8
PT0594	885488.565938	134922.201599	285.730917	285.73	tranchée	contour	TR8

PT	X (est)	Y (nord)	Z (alti)	Z (alti)	élément	type de point	identifiant
PT0595	885507.275292	134897.608064	285.825280	285.83	tranchée	contour	TR3
PT0596	885507.950023	134896.884775	285.897000	285.9	tranchée	contour	TR3
PT0597	885503.815839	134889.834453	285.970962	285.97	tranchée	contour	TR3
PT0598	885502.574111	134890.486704	285.944132	285.94	tranchée	contour	TR3
PT0599	885507.311051	134886.005199	286.100352	286.1	tranchée	contour	TR10
PT0600	885507.018876	134884.750336	286.093191	286.09	tranchée	contour	TR10
PT0601	885487.333853	134889.040781	285.986713	285.99	tranchée	contour	TR10
PT0602	885486.320725	134890.368175	285.866420	285.87	tranchée	contour	TR10
PT0603	885572.742597	134890.701125	285.691080	285.69	structure	point central	ST2020
PT0604	885570.087853	134883.578245	285.848511	285.85	structure	point central	ST2021
PT0605	885568.845219	134889.118669	285.770933	285.77	structure	point central	ST2022
PT0606	885566.676945	134890.628416	285.786137	285.79	structure	point central	ST2023
PT0607	885562.894649	134888.173369	285.877480	285.88	structure	point central	ST2024
PT0608	885563.722475	134890.097697	285.848782	285.85	structure	point central	ST2025
PT0609	885560.569553	134889.345893	285.889191	285.89	structure	point central	ST2026
PT0610	885556.610948	134893.305934	285.946797	285.95	structure	point central	ST2027
PT0611	885554.868813	134891.588431	285.966760	285.97	structure	point central	ST2028
PT0612	885555.969920	134895.987716	285.922474	285.92	structure	point central	ST2029
PT0613	885549.225594	134895.373024	285.911452	285.91	structure	point central	ST2030
PT0614	885540.932994	134898.740180	285.895887	285.9	structure	point central	ST2031
PT0615	885542.547319	134902.438388	285.849723	285.85	structure	point central	ST2032
PT0616	885539.821764	134902.106842	285.869357	285.87	structure	point central	ST2033
PT0617	885535.210300	134902.563396	285.893661	285.89	structure	point central	ST2034
PT0618	885533.406332	134906.232971	285.857448	285.86	structure	point central	ST2035
PT0619	885532.536560	134903.601945	285.867884	285.87	structure	point central	ST2036
PT0620	885528.903382	134910.544579	285.876521	285.88	structure	point central	ST2037
PT0621	885526.801556	134908.714475	285.914734	285.91	structure	point central	ST2038
PT0622	885524.849723	134907.371034	285.914759	285.91	structure	point central	ST2039
PT0623	885525.322596	134905.896797	285.897869	285.9	structure	point central	ST2040
PT0624	885523.217707	134903.156221	285.876879	285.88	structure	point central	ST2041
PT0625	885518.276105	134906.739734	285.826616	285.83	structure	point central	ST2042
PT0626	885520.372613	134908.457147	285.809340	285.81	structure	point central	ST2043
PT0627	885521.630780	134909.192803	285.814978	285.81	structure	point central	ST2044
PT0628	885521.452989	134912.176453	285.824537	285.82	structure	point central	ST2045
PT0629	885566.433520	134888.996389	285.805735	285.81	structure	point central	ST2046
PT0630	885634.325382	134875.852109	286.048192	286.05	structure	contour	ST1068
PT0631	885632.974398	134871.033494	286.065800	286.07	structure	contour	ST1068
PT0632	885631.640920	134866.579076	285.983631	285.98	structure	contour	ST1068
PT0633	885630.658737	134861.628642	286.058517	286.06	structure	contour	ST1068
PT0634	885629.421118	134856.465246	286.113855	286.11	structure	contour	ST1068
PT0635	885628.368565	134851.364782	286.103275	286.1	structure	contour	ST1068
PT0636	885627.158367	134846.616786	286.238367	286.24	structure	contour	ST1068
PT0637	885626.596881	134842.419042	286.236409	286.24	structure	contour	ST1068
PT0638	885626.293551	134840.404415	286.201893	286.2	structure	contour	ST1068
PT0639	885627.229721	134840.182717	286.195911	286.2	structure	contour	ST1068
PT0640	885627.384674	134844.666018	286.244913	286.24	structure	contour	ST1068
PT0641	885628.538234	134849.654317	286.155956	286.16	structure	contour	ST1068
PT0642	885629.516690	134854.087441	286.096905	286.1	structure	contour	ST1068
PT0643	885630.460485	134858.202861	286.074629	286.07	structure	contour	ST1068
PT0644	885631.551745	134862.949720	286.041007	286.04	structure	contour	ST1068
PT0645	885633.078248	134867.681849	286.005409	286.01	structure	contour	ST1068
PT0646	885634.020401	134871.949517	286.055622	286.06	structure	contour	ST1068
PT0647	885635.051848	134875.546366	286.068348	286.07	structure	contour	ST1068
PT0648	885492.210622	134905.522168	285.910983	285.91	structure	clou plan	ST2013
PT0649	885492.798763	134906.323236	285.891620	285.89	structure	clou plan	ST2013
PT0650	885493.609633	134905.753230	285.948739	285.95	structure	clou plan	ST2013
PT0651	885493.027927	134904.936189	285.934876	285.93	structure	clou plan	ST2013
PT0652	885492.426803	134907.239947	285.849160	285.85	structure	clou plan	ST2012
PT0653	885493.353949	134907.647901	285.887331	285.89	structure	clou plan	ST2012
PT0654	885493.730348	134906.720847	285.908988	285.91	structure	clou plan	ST2012
PT0655	885496.336250	134913.943859	285.843758	285.84	structure	clou plan	ST2011
PT0656	885495.638072	134914.224052	285.863400	285.86	structure	clou plan	ST2011
PT0657	885495.914406	134914.920803	285.879930	285.88	structure	clou plan	ST2011
PT0658	885496.615917	134914.658336	285.849877	285.85	structure	clou plan	ST2011
PT0659	885491.112918	134919.004161	285.821639	285.82	structure	clou plan	ST2010
PT0660	885490.358369	134919.635376	285.818966	285.82	structure	clou plan	ST2010

Annexe 4 - Le Clos de Roque, Saint-Maximin-la-Sainte-Baume (83). Inventaire des points topographiques.



PT	X (est)	Y (nord)	Z (alti)	Z (alti)	élément	type de point	identifiant
PT0661	885491.019247	134920.382790	285.805389	285.81	structure	clou plan	ST2010
PT0662	885491.772541	134919.746559	285.856467	285.86	structure	clou plan	ST2010
PT0663	885495.302451	134925.818308	285.793764	285.79	structure	clou plan	ST2009
PT0664	885495.919834	134927.181780	285.823185	285.82	structure	clou plan	ST2009
PT0665	885497.303151	134926.607462	285.828248	285.83	structure	clou plan	ST2009
PT0666	885496.690992	134925.239827	285.821259	285.82	structure	clou plan	ST2009
PT0667	885528.948455	134898.855412	285.953561	285.95	structure	point central	ST2047
PT0668	885533.247133	134901.591630	285.901600	285.9	structure	point central	ST2048
PT0669	885534.922788	134898.979321	285.920899	285.92	structure	point central	ST2049
PT0670	885539.537971	134895.192564	285.988903	285.99	structure	point central	ST2050
PT0671	885539.757798	134896.068768	285.937490	285.94	structure	point central	ST2051
PT0672	885537.276328	134893.830139	285.984186	285.98	structure	point central	ST2052
PT0673	885538.046489	134893.322977	286.017575	286.02	structure	point central	ST2053
PT0674	885535.062969	134888.107715	285.972457	285.97	structure	point central	ST2054
PT0675	885541.670687	134895.027370	285.932923	285.93	structure	point central	ST2055
PT0676	885547.873278	134889.294390	285.938396	285.94	structure	point central	ST2056
PT0677	885538.087749	134882.156669	286.038233	286.04	structure	point central	ST2057
PT0678	885540.241670	134880.562875	286.077538	286.08	structure	point central	ST2058
PT0679	885555.898446	134887.527329	285.945412	285.95	structure	point central	ST2059
PT0680	885568.174365	134881.211528	285.876397	285.88	structure	point central	ST2060
PT0681	885565.378156	134876.246283	285.896736	285.9	structure	point central	ST2061
PT0682	885563.465943	134875.246588	285.948285	285.95	structure	point central	ST2062
PT0683	885562.491091	134878.268975	285.962922	285.96	structure	point central	ST2063
PT0684	885497.708864	134880.132505	286.102995	286.1	structure	point central	ST2064
PT0685	885500.712229	134875.922539	286.113602	286.11	structure	point central	ST2065
PT0686	885505.994149	134880.732234	286.163267	286.16	structure	point central	ST2066
PT0687	885504.025763	134872.643386	286.104476	286.1	structure	point central	ST2067
PT0688	885498.331726	134874.463275	286.084172	286.08	structure	point central	ST2068
PT0689	885495.053446	134878.000390	286.102860	286.1	structure	point central	ST2069
PT0690	885494.256581	134878.174954	286.143250	286.14	structure	point central	ST2070
PT0691	885491.739216	134876.755714	286.082212	286.08	structure	point central	ST2071
PT0692	885493.658245	134876.052585	286.093825	286.09	structure	point central	ST2072
PT0693	885495.683342	134870.595076	286.045877	286.05	structure	point central	ST2073
PT0694	885496.651325	134868.070757	286.053935	286.05	structure	point central	ST2074
PT0695	885495.688942	134867.535004	286.071688	286.07	structure	point central	ST2075
PT0696	885511.381034	134906.883719	285.796528	285.8	tranchée	contour	TR2
PT0697	885512.789661	134906.752808	285.764639	285.76	tranchée	contour	TR2
PT0698	885515.956503	134916.474572	285.745964	285.75	tranchée	contour	TR2
PT0699	885516.848477	134916.031478	285.758102	285.76	tranchée	contour	TR2
PT0700	885497.747770	134886.822465	286.064935	286.06	tranchée	contour	TR15
PT0701	885501.456828	134885.944879	286.064798	286.06	tranchée	contour	TR15
PT0702	885496.239445	134874.759162	286.070669	286.07	tranchée	contour	TR15
PT0703	885494.358422	134875.363689	286.034058	286.03	tranchée	contour	TR15
PT0704	885491.949270	134868.682066	286.094217	286.09	tranchée	contour	TR15
PT0705	885493.832201	134868.048662	286.063103	286.06	tranchée	contour	TR15
PT0706	885485.264736	134867.873234	286.086559	286.09	tranchée	contour	TR14
PT0707	885484.030300	134868.386597	286.086978	286.09	tranchée	contour	TR14
PT0708	885486.340152	134890.500666	285.894115	285.89	tranchée	contour	TR14
PT0709	885488.993910	134890.060829	285.938398	285.94	tranchée	contour	TR14
PT0710	885476.509831	134873.814189	286.071690	286.07	structure	contour	ST2254
PT0711	885476.340422	134872.379308	286.098668	286.1	structure	contour	ST2254
PT0712	885505.665601	134869.992850	286.049862	286.05	structure	contour	ST2254
PT0713	885506.036581	134871.657418	286.080541	286.08	structure	contour	ST2254
PT0714	885503.640831	134863.729949	286.076675	286.08	structure	contour	ST2255
PT0715	885503.346822	134862.265292	286.067364	286.07	structure	contour	ST2255
PT0716	885476.959231	134864.235480	286.036373	286.04	structure	contour	ST2255
PT0717	885477.075527	134865.811752	286.065875	286.07	structure	contour	ST2255
PT0718	885491.810263	134867.499029	286.119424	286.12	structure	point central	ST2076
PT0719	885490.170356	134870.317845	286.079121	286.08	structure	point central	ST2077
PT0720	885488.576057	134868.029199	286.134078	286.13	structure	point central	ST2078
PT0721	885487.304388	134869.176294	286.092703	286.09	structure	point central	ST2079
PT0722	885480.847126	134870.744445	286.040386	286.04	structure	point central	ST2080
PT0723	885478.349998	134863.294512	286.094989	286.09	structure	point central	ST2081
PT0724	885478.136637	134856.586329	286.064612	286.06	structure	point central	ST2082
PT0725	885475.943800	134857.052454	286.063534	286.06	structure	point central	ST2083
PT0726	885486.200763	134853.608495	286.136362	286.14	structure	point central	ST2084

PT	X (est)	Y (nord)	Z (alti)	Z (alti)	élément	type de point	identifiant
PT0727	885487.498137	134862.163313	286.158098	286.16	structure	point central	ST2085
PT0728	885490.138445	134865.299817	286.154746	286.15	structure	point central	ST2086
PT0729	885492.245951	134865.095014	286.144798	286.14	structure	point central	ST2087
PT0730	885500.387998	134865.364634	286.064661	286.06	structure	point central	ST2088
PT0731	885495.859804	134862.945208	286.089861	286.09	structure	point central	ST2089
PT0732	885493.883881	134860.945439	286.139127	286.14	structure	point central	ST2090
PT0733	885495.057319	134859.730482	286.168032	286.17	structure	point central	ST2091
PT0734	885501.167694	134859.205231	286.064793	286.06	structure	point central	ST2092
PT0735	885492.498198	134854.913174	286.159233	286.16	structure	point central	ST2093
PT0736	885495.874107	134851.409817	286.274604	286.27	structure	point central	ST2094
PT0737	885476.918771	134852.117927	286.064521	286.06	structure	contour	ST2257
PT0738	885476.717245	134850.422254	286.085446	286.09	structure	contour	ST2257
PT0739	885493.003617	134851.139977	286.191947	286.19	structure	contour	ST2257
PT0740	885498.113337	134848.383787	286.220286	286.22	structure	contour	ST2257
PT0741	885555.237179	134887.805412	285.941879	285.94	structure	point central	ST2095
PT0742	885558.348831	134872.643266	286.028961	286.03	structure	point central	ST2096
PT0743	885554.565194	134872.557851	286.092755	286.09	structure	point central	ST2097
PT0744	885563.719471	134854.207428	286.214403	286.21	structure	point central	ST2098
PT0745	885563.505906	134852.665181	286.296397	286.3	structure	point central	ST2099
PT0746	885563.876111	134851.972001	286.284690	286.28	structure	point central	ST2100
PT0747	885563.301682	134850.275958	286.335145	286.34	structure	point central	ST2101
PT0748	885567.211148	134849.982974	286.314022	286.31	structure	point central	ST2102
PT0749	885566.114899	134848.668072	286.348736	286.35	structure	point central	ST2103
PT0750	885558.289831	134848.526802	286.265616	286.27	structure	point central	ST2104
PT0751	885559.997828	134852.745476	286.284556	286.28	structure	point central	ST2105
PT0752	885559.783388	134850.871478	286.341919	286.34	structure	point central	ST2106
PT0753	885558.125151	134850.983371	286.372941	286.37	structure	point central	ST2107
PT0754	885556.925300	134851.761883	286.379698	286.38	structure	point central	ST2108
PT0755	885556.730712	134852.808829	286.358493	286.36	structure	point central	ST2109
PT0756	885552.236558	134852.244886	286.293488	286.29	structure	point central	ST2110
PT0757	885551.449598	134850.086936	286.335917	286.34	structure	point central	ST2111
PT0758	885548.277945	134856.337108	286.260887	286.26	structure	point central	ST2112
PT0759	885545.754805	134853.866523	286.301208	286.3	structure	point central	ST2113
PT0760	885544.393335	134852.793438	286.296979	286.3	structure	point central	ST2114
PT0761	885544.239771	134854.907278	286.343392	286.34	structure	point central	ST2115
PT0762	885547.116951	134859.555948	286.215727	286.22	structure	point central	ST2116
PT0763	885557.808486	134853.928013	286.308916	286.31	structure	point central	ST2117
PT0764	885558.954154	134857.348714	286.140522	286.14	structure	point central	ST2118
PT0765	885556.385748	134860.550638	286.116529	286.12	structure	point central	ST2119
PT0766	885554.138196	134859.831754	286.136419	286.14	structure	point central	ST2120
PT0767	885543.293578	134861.490092	286.200248	286.2	structure	point central	ST2121
PT0768	885542.734731	134855.214355	286.321816	286.32	structure	point central	ST2122
PT0769	885543.289808	134857.410977	286.276086	286.28	structure	point central	ST2123
PT0770	885542.817957	134859.707059	286.212947	286.21	structure	point central	ST2124
PT0771	885541.194496	134858.797358	286.274457	286.27	structure	point central	ST2125
PT0772	885541.519269	134856.357954	286.338758	286.34	structure	point central	ST2126
PT0773	885538.894073	134856.477959	286.334278	286.33	structure	point central	ST2127
PT0774	885540.007561	134858.635333	286.328625	286.33	structure	point central	ST2128
PT0775	885540.552647	134859.992680	286.274227	286.27	structure	point central	ST2129
PT0776	885538.088353	134858.989476	286.267421	286.27	structure	point central	ST2130
PT0777	885535.865076	134858.377944	286.334686	286.33	structure	point central	ST2131
PT0778	885535.140982	134857.462063	286.296920	286.3	structure	point central	ST2132
PT0779	885535.426930	134854.516241	286.326519	286.33	structure	point central	ST2133
PT0780	885536.262333	134854.001855	286.315431	286.32	structure	point central	ST2134
PT0781	885536.471853	134851.982978	286.354584	286.35	structure	point central	ST2135
PT0782	885540.372122	134853.790041	286.491094	286.49	structure	point central	ST2136
PT0783	885540.955999	134862.424523	286.181999	286.18	structure	point central	ST2137
PT0784	885542.394540	134864.762678	286.125212	286.13	structure	point central	ST2138
PT0785	885544.830830	134866.444045	286.141419	286.14	structure	point central	ST2139
PT0786	885544.674713	134864.619089	286.154184	286.15	structure	point central	ST2140
PT0787	885544.426609	134862.799931	286.172808	286.17	structure	point central	ST2141
PT0788	885546.385747	134862.617303	286.191209	286.19	structure	point central	ST2142
PT0789	885545.583726	134864.371852	286.142420	286.14	structure	point central	ST2143
PT0790	885546.561801	134864.369855	286.171417	286.17	structure	point central	ST2144
PT0791	885546.893878	134866.184978	286.178095	286.18	structure	point central	ST2145
PT0792	885539.558657	134867.078603	286.129750	286.13	structure	point central	ST2146

Annexe 4 - Le Clos de Roque, Saint-Maximin-la-Sainte-Baume (83). Inventaire des points topographiques.

PT	X (est)	Y (nord)	Z (alti)	Z (alti)	élément	type de point	identifiant
PT0793	885539.560700	134864.463977	286.131649	286.13	structure	point central	ST2147
PT0794	885538.434149	134865.417720	286.166354	286.17	structure	point central	ST2148
PT0795	885537.747374	134863.933993	286.220534	286.22	structure	point central	ST2149
PT0796	885538.220421	134862.722259	286.231321	286.23	structure	point central	ST2150
PT0797	885535.857598	134863.358124	286.249631	286.25	structure	point central	ST2151
PT0798	885536.089325	134864.207993	286.254320	286.25	structure	point central	ST2152
PT0799	885535.642474	134864.822126	286.238236	286.24	structure	point central	ST2153
PT0800	885537.654367	134865.695793	286.171727	286.17	structure	point central	ST2154
PT0801	885535.746379	134866.550733	286.215637	286.22	structure	point central	ST2155
PT0802	885538.483399	134867.913178	286.095190	286.1	structure	point central	ST2156
PT0803	885535.198747	134878.764126	286.098509	286.1	structure	point central	ST2157
PT0804	885536.395364	134879.410133	286.061948	286.06	structure	point central	ST2158
PT0805	885537.172537	134879.192692	286.068135	286.07	structure	point central	ST2159
PT0806	885537.513458	134877.648117	286.098848	286.1	structure	point central	ST2160
PT0807	885538.497502	134877.126791	286.118742	286.12	structure	point central	ST2161
PT0808	885536.444078	134875.243033	286.115386	286.12	structure	point central	ST2162
PT0809	885535.746818	134874.651295	286.140995	286.14	structure	point central	ST2163
PT0810	885535.091086	134872.953015	286.172839	286.17	structure	point central	ST2164
PT0811	885536.714648	134871.958639	286.156981	286.16	structure	point central	ST2165
PT0812	885536.195789	134870.788059	286.162510	286.16	structure	point central	ST2166
PT0813	885535.265837	134871.246394	286.167197	286.17	structure	point central	ST2167
PT0814	885532.763349	134879.949116	286.027288	286.03	structure	point central	ST2168
PT0815	885531.297154	134880.423668	286.127561	286.13	structure	point central	ST2169
PT0816	885531.056045	134881.616664	286.115526	286.12	structure	point central	ST2170
PT0817	885531.915956	134882.997606	286.013147	286.01	structure	point central	ST2171
PT0818	885528.504611	134879.285969	286.185312	286.19	structure	point central	ST2172
PT0819	885529.616321	134876.605428	286.161420	286.16	structure	point central	ST2173
PT0820	885528.114895	134876.335370	286.157680	286.16	structure	point central	ST2174
PT0821	885531.194720	134892.510056	285.988803	285.99	structure	point central	ST2175
PT0822	885528.500561	134892.618230	285.995942	286	structure	point central	ST2176
PT0823	885527.898220	134883.569196	286.119861	286.12	structure	point central	ST2177
PT0824	885526.766537	134884.428960	286.139256	286.14	structure	point central	ST2178
PT0825	885525.329519	134885.367042	286.150310	286.15	structure	point central	ST2179
PT0826	885523.246925	134884.765267	286.155477	286.16	structure	point central	ST2180
PT0827	885520.454888	134882.083661	286.163388	286.16	structure	point central	ST2181
PT0828	885520.138027	134881.813009	286.162290	286.16	structure	point central	ST2182
PT0829	885516.727109	134882.950428	286.099897	286.1	structure	point central	ST2183
PT0830	885517.619383	134886.466673	286.056637	286.06	structure	point central	ST2184
PT0831	885522.645304	134879.364810	286.174663	286.17	structure	point central	ST2185
PT0832	885524.076269	134879.227438	286.198345	286.2	structure	point central	ST2186
PT0833	885524.469859	134877.695457	286.181011	286.18	structure	point central	ST2187
PT0834	885524.306811	134876.589262	286.166750	286.17	structure	point central	ST2188
PT0835	885521.687198	134877.778915	286.133452	286.13	structure	point central	ST2189
PT0836	885521.641898	134876.911941	286.152014	286.15	structure	point central	ST2190
PT0837	885523.506572	134873.732994	286.171206	286.17	structure	point central	ST2191
PT0838	885524.056604	134872.495223	286.150660	286.15	structure	point central	ST2192
PT0839	885521.970802	134874.120651	286.157108	286.16	structure	point central	ST2193
PT0840	885521.262192	134872.346105	286.174177	286.17	structure	point central	ST2194
PT0841	885520.085634	134873.370136	286.172772	286.17	structure	point central	ST2195
PT0842	885518.294802	134873.871786	286.205095	286.21	structure	point central	ST2196
PT0843	885522.758284	134868.323513	286.089703	286.09	structure	point central	ST2197
PT0844	885527.403266	134866.277569	286.069640	286.07	structure	point central	ST2198
PT0845	885522.341707	134865.852195	286.103266	286.1	structure	point central	ST2199
PT0846	885521.981246	134866.176565	286.126872	286.13	structure	point central	ST2200
PT0847	885521.089348	134866.693035	286.101513	286.1	structure	point central	ST2201
PT0848	885519.909949	134865.402907	286.129709	286.13	structure	point central	ST2202
PT0849	885519.362571	134868.150433	286.102331	286.1	structure	point central	ST2203
PT0850	885517.477836	134866.407006	286.121402	286.12	structure	point central	ST2204
PT0851	885516.569252	134870.821676	286.086732	286.09	structure	point central	ST2205
PT0852	885513.386824	134875.025605	286.109926	286.11	structure	point central	ST2206
PT0853	885532.971769	134859.970471	286.182250	286.18	structure	point central	ST2207
PT0854	885532.164332	134857.799117	286.240361	286.24	structure	point central	ST2208
PT0855	885534.191783	134855.669202	286.292002	286.29	structure	point central	ST2209
PT0856	885528.883223	134856.136545	286.244572	286.24	structure	point central	ST2210
PT0857	885534.273362	134851.306063	286.341337	286.34	structure	point central	ST2211
PT0858	885535.621596	134850.701862	286.327029	286.33	structure	point central	ST2212

PT	X (est)	Y (nord)	Z (alti)	Z (alti)	élément	type de point	identifiant
PT0859	885533.479704	134849.792054	286.326395	286.33	structure	point central	ST2213
PT0860	885530.100159	134850.163734	286.279680	286.28	structure	point central	ST2214
PT0861	885526.667132	134849.258030	286.275873	286.28	structure	point central	ST2215
PT0862	885531.358316	134846.422530	286.293764	286.29	structure	point central	ST2216
PT0863	885533.868353	134846.332703	286.362324	286.36	structure	point central	ST2217
PT0864	885534.859769	134844.905176	286.370486	286.37	structure	point central	ST2218
PT0865	885534.384612	134843.212794	286.341554	286.34	structure	point central	ST2219
PT0866	885534.225141	134841.296916	286.363693	286.36	structure	point central	ST2220
PT0867	885532.412476	134838.893918	286.283928	286.28	structure	point central	ST2221
PT0868	885530.486539	134843.892876	286.365103	286.37	structure	point central	ST2222
PT0869	885526.944887	134844.225269	286.320819	286.32	structure	point central	ST2223
PT0870	885519.398901	134845.888478	286.293322	286.29	structure	point central	ST2224
PT0871	885517.293384	134847.308359	286.247015	286.25	structure	point central	ST2225
PT0872	885517.195220	134849.719434	286.228521	286.23	structure	point central	ST2226
PT0873	885514.612516	134854.276729	286.169990	286.17	structure	point central	ST2227
PT0874	885530.209646	134866.071865	286.175954	286.18	structure	point central	ST2228
PT0875	885531.256833	134866.487322	286.188905	286.19	structure	point central	ST2229
PT0876	885524.084876	134870.414974	286.097020	286.1	structure	point central	ST2230
PT0877	885526.906078	134895.816374	285.964328	285.96	structure	point central	ST2231
PT0878	885525.216331	134893.559399	285.987957	285.99	structure	point central	ST2232
PT0879	885526.188163	134892.503744	286.049699	286.05	structure	point central	ST2233
PT0880	885521.332552	134892.311442	286.007720	286.01	structure	point central	ST2234
PT0881	885521.261194	134899.439129	285.930996	285.93	structure	point central	ST2235
PT0882	885513.790806	134895.675462	285.927496	285.93	structure	point central	ST2236
PT0883	885510.057570	134891.685761	285.987298	285.99	structure	point central	ST2237
PT0884	885509.198843	134889.898674	286.019934	286.02	structure	point central	ST2238
PT0885	885511.159961	134888.671760	286.006029	286.01	structure	point central	ST2239
PT0886	885508.109410	134887.015919	286.070611	286.07	structure	point central	ST2240
PT0887	885507.954944	134885.696379	286.089490	286.09	structure	point central	ST2241
PT0888	885509.706338	134879.571877	286.162378	286.16	structure	point central	ST2242
PT0889	885508.011595	134877.740806	286.198762	286.2	structure	point central	ST2243
PT0890	885509.526680	134873.731109	286.199367	286.2	structure	point central	ST2244
PT0891	885508.092958	134865.759856	286.078598	286.08	structure	point central	ST2245
PT0892	885505.381957	134865.199060	286.089294	286.09	structure	point central	ST2246
PT0893	885505.004804	134860.528235	286.175593	286.18	structure	point central	ST2247
PT0894	885509.007320	134861.323726	286.083678	286.08	structure	point central	ST2248
PT0895	885565.739646	134860.363615	286.071516	286.07	structure	point central	ST2249
PT0896	885505.782231	134857.814932	286.158235	286.16	structure	point central	ST2250
PT0897	885503.193152	134854.299467	286.085820	286.09	structure	point central	ST2251
PT0898	885499.202091	134848.629891	286.091475	286.09	structure	point central	ST2252
PT0899	885526.183665	134901.853116	285.897187	285.9	tranchée	contour	TR18
PT0900	885526.320965	134899.808649	285.855551	285.86	tranchée	contour	TR18
PT0901	885523.457601	134900.247615	285.825494	285.83	tranchée	contour	TR18
PT0902	885517.265239	134884.500739	286.061639	286.06	tranchée	contour	TR18
PT0903	885515.401223	134878.501609	286.163672	286.16	tranchée	contour	TR18
PT0904	885514.202119	134872.876224	286.105486	286.11	tranchée	contour	TR18
PT0905	885513.107893	134868.491472	286.022527	286.02	tranchée	contour	TR18
PT0906	885512.454646	134865.857890	285.994886	285.99	tranchée	contour	TR18
PT0907	885511.877339	134863.906992	286.004643	286	tranchée	contour	TR18
PT0908	885510.550688	134859.714291	286.065029	286.07	tranchée	contour	TR18
PT0909	885512.693089	134858.586378	286.066569	286.07	tranchée	contour	TR18
PT0910	885514.351646	134863.389728	286.020385	286.02	tranchée	contour	TR18
PT0911	885514.693578	134865.117224	286.011566	286.01	tranchée	contour	TR18
PT0912	885515.677507	134867.652959	286.049780	286.05	tranchée	contour	TR18
PT0913	885516.568422	134871.842371	286.074214	286.07	tranchée	contour	TR18
PT0914	885518.600264	134877.658745	286.129216	286.13	tranchée	contour	TR18
PT0915	885519.919308	134882.792473	286.101193	286.1	tranchée	contour	TR18
PT0916	885522.147325	134888.061404	286.019092	286.02	tranchée	contour	TR18
PT0917	885543.151961	134893.040889	285.897500	285.9	tranchée	contour	TR19
PT0918	885540.655401	134894.845979	285.939249	285.94	tranchée	contour	TR19
PT0919	885537.567750	134889.097103	285.940335	285.94	tranchée	contour	TR19
PT0920	885533.071820	134881.657985	286.043307	286.04	tranchée	contour	TR19
PT0921	885531.513642	134878.911913	286.091312	286.09	tranchée	contour	TR19
PT0922	885529.048490	134874.739487	286.125174	286.13	tranchée	contour	TR19
PT0923	885532.887125	134872.911550	286.174574	286.17	tranchée	contour	TR19
PT0924	885536.850924	134880.995184	286.007270	286.01	tranchée	contour	TR19

Annexe 4 - Le Clos de Roque, Saint-Maximin-la-Sainte-Baume (83). Inventaire des points topographiques.



PT	X (est)	Y (nord)	Z (alti)	Z (alti)	élément	type de point	identifiant
PT0925	885539.478011	134885.148092	285.938584	285.94	tranchée	contour	TR19
PT0926	885553.323501	134887.841887	285.951360	285.95	tranchée	contour	TR22
PT0927	885544.890407	134869.721265	286.059370	286.06	tranchée	contour	TR22
PT0928	885547.918168	134866.093275	286.139610	286.14	tranchée	contour	TR22
PT0929	885556.707742	134885.679745	285.943888	285.94	tranchée	contour	TR22
PT0930	885533.487479	134862.006984	286.149912	286.15	tranchée	contour	TR21
PT0931	885521.021269	134864.462893	286.057674	286.06	tranchée	contour	TR21
PT0932	885520.483255	134861.472918	286.121144	286.12	tranchée	contour	TR21
PT0933	885532.428268	134860.288839	286.162000	286.16	tranchée	contour	TR21
PT0934	885501.540678	134857.680756	286.020364	286.02	tranchée	contour	TR17
PT0935	885501.287434	134855.533657	286.077154	286.08	tranchée	contour	TR17
PT0936	885492.172775	134856.706903	286.077523	286.08	tranchée	contour	TR17
PT0937	885492.595119	134859.746238	286.065079	286.07	tranchée	contour	TR17
PT0938	885471.057577	134849.072689	286.617597	286.62	tranchée	contour	station tamisage
PT0939	885471.882041	134857.663528	286.720838	286.72	tranchée	contour	station tamisage
PT0940	885469.333455	134857.996644	286.619372	286.62	tranchée	contour	station tamisage
PT0941	885468.404755	134849.675750	286.666219	286.67	tranchée	contour	station tamisage
PT0942	885465.676196	134850.962797	286.652031	286.65	tranchée	contour	station tamisage
PT0943	885466.549251	134857.777523	286.662202	286.66	tranchée	contour	station tamisage
PT0944	885463.899793	134858.271748	286.765082	286.77	tranchée	contour	station tamisage
PT0945	885463.158401	134851.380517	286.678065	286.68	tranchée	contour	station tamisage
PT0946	885461.693942	134852.834916	286.698979	286.7	tranchée	contour	station tamisage
PT0947	885462.548750	134860.006429	286.629508	286.63	tranchée	contour	station tamisage
PT0948	885459.970634	134860.479841	286.689255	286.69	tranchée	contour	station tamisage
PT0949	885459.035261	134852.949370	286.732927	286.73	tranchée	contour	station tamisage
PT0950	885537.329854	134852.927324	286.340008	286.34	décapage	contour	Zone 2
PT0951	885548.334770	134850.440557	286.280061	286.28	décapage	contour	Zone 2
PT0952	885557.459858	134848.167122	286.293498	286.29	décapage	contour	Zone 2
PT0953	885568.030077	134845.140776	286.998331	287	décapage	contour	Zone 2
PT0954	885568.955211	134849.886009	286.336736	286.34	décapage	contour	Zone 2
PT0955	885569.590750	134855.657696	286.056220	286.06	décapage	contour	Zone 2
PT0956	885570.170866	134860.928382	286.117527	286.12	décapage	contour	Zone 2
PT0957	885572.142885	134873.710318	285.885527	285.89	décapage	contour	Zone 2
PT0958	885572.709149	134879.805838	285.797020	285.8	décapage	contour	Zone 2
PT0959	885573.987904	134886.379795	285.695410	285.7	décapage	contour	Zone 2
PT0960	885574.059630	134889.100139	285.576474	285.58	décapage	contour	Zone 2
PT0961	885574.459874	134891.262738	285.706832	285.71	décapage	contour	Zone 2
PT0962	885565.379242	134895.895347	285.796553	285.8	décapage	contour	Zone 2
PT0963	885550.910572	134903.010300	285.758574	285.76	décapage	contour	Zone 2
PT0964	885535.892693	134910.877411	285.771701	285.77	décapage	contour	Zone 2
PT0965	885511.740039	134923.370255	285.707719	285.71	décapage	contour	Zone 2
PT0966	885511.683583	134928.107439	285.727802	285.73	décapage	contour	Zone 2
PT0967	885511.931886	134936.186721	285.707814	285.71	décapage	contour	Zone 2
PT0968	885513.753648	134952.262566	285.729312	285.73	décapage	contour	Zone 2
PT0969	885505.770138	134956.714007	285.674247	285.67	décapage	contour	Zone 2
PT0970	885500.155683	134959.351477	285.676680	285.68	décapage	contour	Zone 2
PT0971	885494.684844	134962.252712	285.741082	285.74	décapage	contour	Zone 2
PT0972	885486.133596	134967.426385	286.147887	286.15	décapage	contour	Zone 2
PT0973	885485.491671	134954.112053	285.726880	285.73	décapage	contour	Zone 2
PT0974	885485.562747	134944.345275	285.666345	285.67	décapage	contour	Zone 2
PT0975	885485.318777	134937.581988	285.584100	285.58	décapage	contour	Zone 2
PT0976	885485.425291	134929.131881	285.625257	285.63	décapage	contour	Zone 2
PT0977	885485.411913	134919.142167	285.688829	285.69	décapage	contour	Zone 2
PT0978	885485.129748	134906.347157	285.666995	285.67	décapage	contour	Zone 2
PT0979	885485.050952	134897.297805	285.775875	285.78	décapage	contour	Zone 2
PT0980	885484.417577	134878.538343	286.153035	286.15	décapage	contour	Zone 2
PT0981	885476.385467	134877.212497	286.045303	286.05	décapage	contour	Zone 2
PT0982	885475.654097	134866.115567	286.124825	286.12	décapage	contour	Zone 2
PT0983	885474.735995	134858.005482	286.072393	286.07	décapage	contour	Zone 2
PT0984	885474.068562	134845.378097	286.531804	286.53	décapage	contour	Zone 2
PT0985	885487.884925	134844.560345	285.951574	285.95	décapage	contour	Zone 2
PT0986	885501.980435	134843.233008	286.116748	286.12	décapage	contour	Zone 2
PT0987	885509.775843	134842.296776	286.185139	286.19	décapage	contour	Zone 2
PT0988	885522.426172	134839.972297	286.257619	286.26	décapage	contour	Zone 2
PT0989	885529.173935	134838.735838	286.259143	286.26	décapage	contour	Zone 2
PT0990	885534.259644	134837.422785	286.779743	286.78	décapage	contour	Zone 2

PT	X (est)	Y (nord)	Z (alti)	Z (alti)	élément	type de point	identifiant
PT0991	885536.232580	134846.534745	286.414137	286.41	décapage	contour	Zone 2
PT0992	885533.700941	134869.629208	286.118124	286.12	structure	contour	ST2254
PT0993	885533.573390	134867.932342	286.106829	286.11	structure	contour	ST2254
PT0994	885505.764792	134869.976743	286.043702	286.04	structure	contour	ST2254
PT0995	885505.874329	134871.694717	286.055172	286.06	structure	contour	ST2254
PT0996	885505.359209	134864.015952	286.099103	286.1	structure	contour	ST2255
PT0997	885505.099324	134862.158855	286.154125	286.15	structure	contour	ST2255
PT0998	885534.313063	134859.732698	286.193367	286.19	structure	contour	ST2255
PT0999	885534.869202	134861.560509	286.217940	286.22	structure	contour	ST2255
PT1000	885532.320666	134855.140751	286.277030	286.28	structure	contour	ST2256
PT1001	885532.117459	134853.426956	286.283839	286.28	structure	contour	ST2256
PT1002	885505.446289	134856.969806	286.121479	286.12	structure	contour	ST2256
PT1003	885505.259951	134855.280490	286.128689	286.13	structure	contour	ST2256
PT1004	885504.327110	134850.393291	286.130101	286.13	structure	contour	ST2257
PT1005	885504.053236	134848.437224	286.142188	286.14	structure	contour	ST2257
PT1006	885530.863685	134846.678788	286.349997	286.35	structure	contour	ST2257
PT1007	885531.073695	134848.413149	286.319003	286.32	structure	contour	ST2257
PT1008	885505.708918	134859.062683	286.181881	286.18	berme	contour	Zone 2
PT1009	885504.324661	134858.459247	286.168651	286.17	berme	contour	Zone 2
PT1010	885503.845144	134853.794197	286.060570	286.06	berme	contour	Zone 2
PT1011	885505.075616	134853.663365	286.160766	286.16	berme	contour	Zone 2
PT1012	885547.059400	134865.890572	286.170778	286.17	structure	clou carroyage	ST2145
PT1013	885547.134879	134866.373472	286.185530	286.19	structure	clou carroyage	ST2145
PT1014	885546.659572	134866.464046	286.165760	286.17	structure	clou carroyage	ST2145
PT1015	885546.569762	134865.972187	286.170962	286.17	structure	clou carroyage	ST2145
PT1016	885546.463548	134864.619558	286.185446	286.19	structure	clou carroyage	ST2144
PT1017	885546.955247	134864.615008	286.172255	286.17	structure	clou carroyage	ST2144
PT1018	885546.937277	134864.098008	286.173021	286.17	structure	clou carroyage	ST2144
PT1019	885546.448772	134864.122061	286.181278	286.18	structure	clou carroyage	ST2144
PT1020	885546.714107	134862.768081	286.187436	286.19	structure	clou carroyage	ST2142
PT1021	885546.651416	134862.260786	286.193483	286.19	structure	clou carroyage	ST2142
PT1022	885546.149763	134862.308299	286.190850	286.19	structure	clou carroyage	ST2142
PT1023	885546.213516	134862.802349	286.187461	286.19	structure	clou carroyage	ST2142
PT1024	885493.602146	134905.300155	285.968809	285.97	structure	clou coupe	ST2013
PT1025	885492.348838	134905.964970	285.992871	285.99	structure	clou coupe	ST2013
PT1026	885492.547824	134907.243677	285.968446	285.97	structure	clou coupe	ST2012
PT1027	885492.539546	134907.243172	285.967838	285.97	structure	clou coupe	ST2012
PT1028	885546.535081	134866.233311	286.168141	286.17	structure	clou coupe	ST2145
PT1029	885547.175849	134866.129365	286.176335	286.18	structure	clou coupe	ST2145
PT1030	885546.317479	134864.384436	286.170039	286.17	structure	clou coupe	ST2144
PT1031	885547.082197	134864.353514	286.165815	286.17	structure	clou coupe	ST2144
PT1032	885493.196099	134907.238942	285.909300	285.91	mobilier	charbon	ST2012
PT1033	885556.022515	134870.012473	286.121489	286.12	structure	clou carroyage	ST2096
PT1034	885560.013641	134870.024354	286.013010	286.01	structure	clou carroyage	ST2096
PT1035	885560.031700	134875.005902	286.038441	286.04	structure	clou carroyage	ST2096
PT1036	885555.995176	134875.013321	286.112135	286.11	structure	clou carroyage	ST2096
PT1037	885555.706561	134874.033451	286.128574	286.13	structure	clou coupe	ST2096
PT1038	885560.527839	134871.841276	286.024281	286.02	structure	clou coupe	ST2096
PT1039	885559.010104	134875.004115	286.063075	286.06	structure	clou coupe	ST2096
PT1040	885557.075348	134870.795519	286.091346	286.09	structure	clou coupe	ST2096
PT1041	885546.864582	134866.039335	286.093542	286.09	mobilier	céramique	ST2096
PT1042	885545.994010	134862.732594	286.182749	286.18	structure	clou coupe	ST2142
PT1043	885546.836633	134862.560771	286.204109	286.2	structure	clou coupe	ST2142
PT1044	885546.842337	134866.184226	286.078856	286.08	mobilier	céramique	ST2142
PT1045	885492.312875	134905.964166	285.880851	285.88	structure	contour	ST2013
PT1046	885492.309624	134905.525486	285.864821	285.86	structure	contour	ST2013
PT1047	885492.573052	134905.106691	285.876253	285.88	structure	contour	ST2013
PT1048	885493.014175	134904.939122	285.900680	285.9	structure	contour	ST2013
PT1049	885493.576372	134905.249411	285.911983	285.91	structure	contour	ST2013
PT1050	885493.658011	134905.496900	285.923304	285.92	structure	contour	ST2013
PT1051	885493.494193	134905.993041	285.899983	285.9	structure	contour	ST2013
PT1052	885493.130941	134906.288281	285.875407	285.88	structure	contour	ST2013
PT1053	885492.601591	134906.206037	285.875805	285.88	structure	contour	ST2013
PT1054	885493.841779	134906.859095	285.956667	285.96	structure	clou coupe	ST2012
PT1055	885559.632148	134873.289270	286.021014	286.02	mobilier	céramique	ST2096
PT1056	885559.235428	134873.423397	286.043796	286.04	mobilier	céramique	ST2096

PT	X (est)	Y (nord)	Z (alti)	Z (alti)	élément	type de point	identifiant
PT1057	885545.800527	134864.151216	286.177001	286.18	structure	clou carroyage	ST 2143
PT1058	885545.331044	134864.319101	286.164968	286.16	structure	clou carroyage	ST 2143
PT1059	885545.977304	134864.629512	286.160849	286.16	structure	clou carroyage	ST 2143
PT1060	885545.508260	134864.784895	286.170621	286.17	structure	clou carroyage	ST 2143
PT1061	885545.310824	134864.575733	286.170240	286.17	structure	clou coupe	ST2143
PT1062	885545.972239	134864.328453	286.159624	286.16	structure	clou coupe	ST2143
PT1063	885545.725770	134864.419240	286.145960	286.15	mobilier	céramique	ST2143
PT1064	885546.675767	134862.531964	286.183284	286.18	structure	contour	ST2142
PT1065	885546.585248	134862.436754	286.189828	286.19	structure	contour	ST2142
PT1066	885546.460004	134862.374553	286.196747	286.2	structure	contour	ST2142
PT1067	885546.313627	134862.418520	286.188757	286.19	structure	contour	ST2142
PT1068	885546.232721	134862.511435	286.183615	286.18	structure	contour	ST2142
PT1069	885546.215984	134862.659560	286.174838	286.17	structure	contour	ST2142
PT1070	885546.438173	134862.830527	286.195921	286.2	structure	contour	ST2142
PT1071	885546.577362	134862.773479	286.196947	286.2	structure	contour	ST2142
PT1072	885546.677683	134862.642651	286.194026	286.19	structure	contour	ST2142
PT1073	885545.226135	134866.803806	286.152696	286.15	structure	clou carroyage	ST2139
PT1074	885544.545753	134866.894457	286.144914	286.14	structure	clou carroyage	ST2139
PT1075	885544.431644	134866.211365	286.171347	286.17	structure	clou carroyage	ST2139
PT1076	885545.138403	134866.107512	286.156546	286.16	structure	clou carroyage	ST2139
PT1077	885544.322903	134866.583142	286.143478	286.14	structure	clou coupe	ST2139
PT1078	885545.331886	134866.433858	286.148794	286.15	structure	clou coupe	ST2139
PT1079	885547.124850	134866.154998	286.168600	286.17	structure	contour	ST2145
PT1080	885547.100277	134866.110485	286.169000	286.17	structure	contour	ST2145
PT1081	885547.041386	134865.944080	286.168549	286.17	structure	contour	ST2145
PT1082	885546.890203	134865.698333	286.160504	286.16	structure	contour	ST2145
PT1083	885546.652628	134865.948046	286.179137	286.18	structure	contour	ST2145
PT1084	885546.505638	134865.978067	286.165733	286.17	structure	contour	ST2145
PT1085	885546.403880	134866.120539	286.169375	286.17	structure	contour	ST2145
PT1086	885546.485254	134866.239795	286.165255	286.17	structure	contour	ST2145
PT1087	885546.571824	134866.417345	286.164732	286.16	structure	contour	ST2145
PT1088	885546.711605	134866.541980	286.162412	286.16	structure	contour	ST2145
PT1089	885546.747319	134866.550220	286.167559	286.17	structure	contour	ST2145
PT1090	885546.836469	134866.570968	286.173266	286.17	structure	contour	ST2145
PT1091	885546.936751	134866.593907	286.175110	286.18	structure	contour	ST2145
PT1092	885546.973595	134866.512105	286.180398	286.18	structure	contour	ST2145
PT1093	885547.050984	134866.442408	286.187156	286.19	structure	contour	ST2145
PT1094	885547.109342	134866.323180	286.184839	286.18	structure	contour	ST2145
PT1095	885559.025589	134873.369563	286.023027	286.02	mobilier	os	ST 2096
PT1096	885559.146809	134872.725475	285.949590	285.95	mobilier	os	ST 2096
PT1097	885559.293150	134872.830483	285.958073	285.96	mobilier	ceram	ST 2096
PT1098	885559.492828	134872.618654	285.962047	285.96	mobilier	ceram	ST 2096
PT1099	885559.891031	134872.905622	285.969256	285.97	mobilier	lithique	ST 2096
PT1100	885492.753098	134907.054083	285.853987	285.85	mobilier	charbon	ST2012
PT1101	885493.682313	134906.716962	285.877189	285.88	structure	contour	ST2012
PT1102	885493.365860	134906.630541	285.869920	285.87	structure	contour	ST2012
PT1103	885492.951861	134906.596322	285.882827	285.88	structure	contour	ST2012
PT1104	885492.633048	134907.171126	285.859934	285.86	structure	contour	ST2012
PT1105	885492.821713	134907.465634	285.876389	285.88	structure	contour	ST2012
PT1106	885493.248807	134907.530224	285.887074	285.89	structure	contour	ST2012
PT1107	885493.614609	134907.297528	285.916071	285.92	structure	contour	ST2012
PT1108	885493.755311	134906.929397	285.895965	285.9	structure	contour	ST2012
PT1109	885559.613411	134873.509930	285.990301	285.99	mobilier	céramique	ST2096
PT1110	885558.437939	134872.880609	285.994886	285.99	mobilier	céramique	ST2096
PT1111	885558.796082	134873.404926	286.018556	286.02	mobilier	céramique	ST2096
PT1112	885558.795357	134873.488107	286.024590	286.02	mobilier	lithique	ST2096
PT1113	885558.392823	134873.606679	285.999530	286	mobilier	céramique	ST2096
PT1114	885557.052325	134872.112137	286.092090	286.09	mobilier	os	ST2096
PT1115	885557.222858	134872.510397	286.069799	286.07	mobilier	os	ST2096
PT1116	885557.075368	134872.627680	286.075242	286.08	mobilier	lithique	ST2096
PT1117	885557.196455	134872.830200	286.072117	286.07	mobilier	lithique	ST2096
PT1118	885556.923741	134872.184799	286.104066	286.1	mobilier	lithique	ST2096
PT1119	885556.853518	134872.522871	286.060780	286.06	mobilier	os	ST2096
PT1120	885557.397549	134871.818554	286.061062	286.06	mobilier	céramique	ST2096
PT1121	885557.521782	134872.524321	286.052057	286.05	mobilier	argile chauffé	ST2096
PT1122	885557.938095	134872.833520	286.052836	286.05	mobilier	os	ST2096

PT	X (est)	Y (nord)	Z (alti)	Z (alti)	élément	type de point	identifiant
PT1123	885556.970830	134872.485847	286.047056	286.05	mobilier	os	ST2096
PT1124	885556.869016	134873.145418	286.039722	286.04	mobilier	os	ST2096
PT1125	885556.817328	134873.500175	286.059988	286.06	mobilier	céramique	ST2096
PT1126	885556.583732	134873.293019	286.059042	286.06	mobilier	céramique	ST2096
PT1127	885556.538853	134873.135264	286.064447	286.06	mobilier	calcaire	ST2096
PT1128	885555.883227	134873.254553	285.993817	285.99	mobilier	os	ST2096
PT1129	885558.616633	134872.869564	285.940461	285.94	mobilier	céramique	ST2096
PT1130	885544.817844	134866.178852	286.148687	286.15	structure	contour	ST2139
PT1131	885544.744589	134866.273595	286.148945	286.15	structure	contour	ST2139
PT1132	885544.627417	134866.301468	286.152698	286.15	structure	contour	ST2139
PT1133	885544.585622	134866.403475	286.151658	286.15	structure	contour	ST2139
PT1134	885544.528689	134866.545125	286.147987	286.15	structure	contour	ST2139
PT1135	885544.537108	134866.737243	286.143515	286.14	structure	contour	ST2139
PT1136	885544.733367	134866.821987	286.138171	286.14	structure	contour	ST2139
PT1137	885544.970137	134866.718997	286.138906	286.14	structure	contour	ST2139
PT1138	885545.055205	134866.453740	286.138762	286.14	structure	contour	ST2139
PT1139	885544.972477	134866.312106	286.146292	286.15	structure	contour	ST2139
PT1140	885544.782435	134866.511953	285.989709	285.99	structure	fond	ST2139
PT1141	885544.397662	134864.998117	286.160784	286.16	structure	clou carroyage	ST2140
PT1142	885544.996490	134864.879046	286.158682	286.16	structure	clou carroyage	ST2140
PT1143	885544.899509	134864.280953	286.166030	286.17	structure	clou carroyage	ST2140
PT1144	885544.333630	134864.366685	286.167757	286.17	structure	clou carroyage	ST2140
PT1145	885544.246474	134864.691194	286.169814	286.17	structure	clou coupe	ST2140
PT1146	885545.043506	134864.571871	286.157699	286.16	structure	clou coupe	ST2140
PT1147	885544.840377	134866.322694	286.025156	286.03	structure	contour fond	ST2139
PT1148	885544.678353	134866.308782	286.047406	286.05	structure	contour fond	ST2139
PT1149	885544.720715	134866.416053	286.004871	286	structure	contour fond	ST2139
PT1150	885544.623343	134866.426977	286.008177	286.01	structure	contour fond	ST2139
PT1151	885544.605881	134866.513696	286.010258	286.01	structure	contour fond	ST2139
PT1152	885544.602310	134866.677991	286.007629	286.01	structure	contour fond	ST2139
PT1153	885544.698177	134866.636540	285.993842	285.99	structure	contour fond	ST2139
PT1154	885544.844436	134866.676723	286.014067	286.01	structure	contour fond	ST2139
PT1155	885544.962327	134866.671663	285.990613	285.99	structure	contour fond	ST2139
PT1156	885544.947248	134866.471566	285.990082	285.99	structure	contour fond	ST2139
PT1157	885546.745915	134865.912709	285.962554	285.96	structure	contour fond	ST2145
PT1158	885546.639118	134866.032705	285.960243	285.96	structure	contour fond	ST2145
PT1159	885546.666673	134866.110173	285.938841	285.94	structure	contour fond	ST2145
PT1160	885546.940561	134866.198167	285.935204	285.94	structure	contour fond	ST2145
PT1161	885547.073735	134866.089940	285.947138	285.95	structure	contour fond	ST2145
PT1162	885546.982159	134865.987746	285.960999	285.96	structure	contour fond	ST2145
PT1163	885547.065329	134866.314972	286.037346	286.04	structure	contour fond	ST2145
PT1164	885546.921894	134866.516509	286.009145	286.01	structure	contour fond	ST2145
PT1165	885546.829506	134866.418926	286.040080	286.04	structure	contour fond	ST2145
PT1166	885546.660487	134866.411699	286.004928	286	structure	contour fond	ST2145
PT1167	885546.831754	134866.427449	285.995206	286	structure	contour fond	ST2145
PT1168	885546.981880	134866.359106	286.041625	286.04	structure	contour fond	ST2145
PT1169	885546.812560	134866.293423	285.969491	285.97	structure	contour fond	ST2145
PT1170	885557.072766	134871.659823	286.010437	286.01	mobilier	céramique	ST2096
PT1171	885557.318236	134871.773227	286.014652	286.01	mobilier	céramique	ST2096
PT1172	885557.419310	134871.832275	286.033861	286.03	mobilier	céramique	ST2096
PT1173	885557.232645	134871.939020	286.028683	286.03	mobilier	terre brûlée	ST2096
PT1174	885557.318442	134871.943384	286.048148	286.05	mobilier	os	ST2096
PT1175	885557.321290	134871.989910	286.057301	286.06	mobilier	os	ST2096
PT1176	885557.082974	134872.133799	286.041850	286.04	mobilier	os	ST2096
PT1177	885557.275348	134872.278618	286.011902	286.01	mobilier	céramique	ST2096
PT1178	885556.998955	134872.216902	286.035091	286.04	mobilier	os	ST2096
PT1179	885556.962386	134872.138249	286.062947	286.06	mobilier	os	ST2096
PT1180	885556.753059	134872.303213	286.035950	286.04	mobilier	céramique	ST2096
PT1181	885556.778740	134872.677462	286.007888	286.01	mobilier	silex	ST2096
PT1182	885556.483335	134872.685576	286.025052	286.03	mobilier	céramique	ST2096
PT1183	885556.489237	134872.991266	286.063241	286.06	mobilier	os	ST2096
PT1184	885558.882652	134873.507623	285.906480	285.91	mobilier	céramique	ST2096
PT1185	885559.005472	134873.577841	285.952683	285.95	mobilier	silex	ST2096
PT1186	885559.764289	134873.161893	285.967540	285.97	mobilier	silex	ST2096
PT1187	885557.750640	134872.446777	285.999885	286	mobilier	céramique	ST2096
PT1188	885557.087186	134873.335453	286.000401	286	mobilier	céramique	ST2096



PT	X (est)	Y (nord)	Z (alti)	Z (alti)	élément	type de point	identifiant
PT1189	885556.666995	134873.481508	285.989770	285.99	mobilier	céramique	ST2096
PT1190	885557.111374	134872.492637	286.009979	286.01	mobilier	os	ST2096
PT1191	885557.301473	134872.381741	286.000347	286	mobilier	céramique	ST2096
PT1192	885556.722415	134871.801020	286.044212	286.04	mobilier	céramique	ST2096
PT1193	885556.449232	134872.562210	286.032068	286.03	mobilier	céramique	ST2096
PT1194	885556.527499	134872.480598	286.013275	286.01	mobilier	céramique	ST2096
PT1195	885556.560962	134872.434783	286.025933	286.03	mobilier	os	ST2096
PT1196	885542.089110	134864.607887	286.129640	286.13	structure	clou carroyage	ST2138
PT1197	885542.575066	134864.526232	286.145901	286.15	structure	clou carroyage	ST2138
PT1198	885542.670133	134865.028025	286.148384	286.15	structure	clou carroyage	ST2138
PT1199	885542.162824	134865.108790	286.133303	286.13	structure	clou carroyage	ST2138
PT1200	885542.113549	134864.801494	286.121484	286.12	structure	clou coupe	ST2138
PT1201	885542.716086	134864.709095	286.149116	286.15	structure	clou coupe	ST2138
PT1202	885544.234294	134863.210773	286.190030	286.19	structure	clou carroyage	ST2141
PT1203	885544.726839	134863.111430	286.182724	286.18	structure	clou carroyage	ST2141
PT1204	885544.644561	134862.621122	286.181308	286.18	structure	clou carroyage	ST2141
PT1205	885544.150187	134862.700597	286.197593	286.2	structure	clou carroyage	ST2141
PT1206	885544.085467	134862.910647	286.196598	286.2	structure	clou coupe	ST2141
PT1207	885544.769765	134862.780775	286.183169	286.18	structure	clou coupe	ST2141
PT1208	885546.346580	134864.382084	286.178289	286.18	structure	contour	ST2144
PT1209	885546.691351	134864.550679	286.169898	286.17	structure	contour	ST2144
PT1210	885546.917395	134864.233448	286.165379	286.17	structure	contour	ST2144
PT1211	885546.640681	134864.063342	286.182608	286.18	structure	contour	ST2144
PT1212	885546.471291	134864.265246	285.923881	285.92	structure	contour fond	ST2144
PT1213	885546.784114	134864.202384	285.949945	285.95	structure	contour fond	ST2144
PT1214	885546.644783	134864.373584	285.917386	285.92	structure	contour fond	ST2144
PT1215	885546.626500	134864.313645	285.898098	285.9	structure	fond	ST2144
PT1216	885556.925856	134871.417543	286.047510	286.05	prélèvement		ST2096
PT1217	885557.357002	134871.672908	286.012408	286.01	mobilier	os	ST2096
PT1218	885557.400717	134871.783463	286.031414	286.03	mobilier	céramique	ST2096
PT1219	885557.513001	134871.930600	286.005881	286.01	mobilier	céramique	ST2096
PT1220	885557.320703	134872.233016	286.003907	286	mobilier	os	ST2096
PT1221	885557.128352	134872.193696	286.017715	286.02	mobilier	céramique	ST2096
PT1222	885557.184411	134872.295546	285.995722	286	mobilier	céramique	ST2096
PT1223	885557.097120	134872.423573	285.992327	285.99	mobilier	céramique	ST2096
PT1224	885556.953377	134872.010217	286.019473	286.02	mobilier	céramique	ST2096
PT1225	885559.078309	134872.904818	285.909811	285.91	mobilier	céramique	ST2096
PT1226	885559.291432	134873.320497	285.911949	285.91	mobilier	céramique	ST2096
PT1227	885557.150633	134872.216553	286.003899	286	mobilier	céramique	ST2096
PT1228	885546.401737	134862.555490	285.889405	285.89	structure	fond	ST2142
PT1229	885546.251876	134862.623155	285.970051	285.97	structure	contour fond	ST2142
PT1230	885546.384880	134862.700585	286.007117	286.01	structure	contour fond	ST2142
PT1231	885546.564674	134862.647696	286.029158	286.03	structure	contour fond	ST2142
PT1232	885546.482037	134862.591589	285.901639	285.9	structure	contour fond	ST2142
PT1233	885546.325037	134862.587311	285.899751	285.9	structure	contour fond	ST2142
PT1234	885546.324760	134862.480122	285.916905	285.92	structure	contour fond	ST2142
PT1235	885546.448615	134862.475701	285.914103	285.91	structure	contour fond	ST2142
PT1236	885545.302931	134864.373870	286.146559	286.15	structure	contour	ST2143
PT1237	885545.388318	134864.515843	286.145703	286.15	structure	contour	ST2143
PT1238	885545.561815	134864.631499	286.156648	286.16	structure	contour	ST2143
PT1239	885545.708026	134864.632352	286.159504	286.16	structure	contour	ST2143
PT1240	885545.865748	134864.537337	286.154491	286.15	structure	contour	ST2143
PT1241	885545.911302	134864.465966	286.154201	286.15	structure	contour	ST2143
PT1242	885545.887266	134864.336783	286.151311	286.15	structure	contour	ST2143
PT1243	885545.837766	134864.263712	286.154403	286.15	structure	contour	ST2143
PT1244	885545.771639	134864.189542	286.155866	286.16	structure	contour	ST2143
PT1245	885545.657264	134864.162993	286.129521	286.13	structure	contour	ST2143
PT1246	885545.636421	134864.163212	286.128650	286.13	structure	contour	ST2143
PT1247	885545.494051	134864.194469	286.136777	286.14	structure	contour	ST2143
PT1248	885545.425670	134864.257225	286.141257	286.14	structure	contour	ST2143
PT1249	885545.354346	134864.355891	286.146186	286.15	structure	contour	ST2143
PT1250	885545.583905	134864.373942	285.841500	285.84	structure	contour fond	ST2143
PT1251	885545.458607	134864.465717	285.935598	285.94	structure	contour fond	ST2143
PT1252	885545.609001	134864.540580	286.021136	286.02	structure	contour fond	ST2143
PT1253	885545.697478	134864.515260	286.021789	286.02	structure	contour fond	ST2143
PT1254	885545.804490	134864.332119	285.951628	285.95	structure	contour fond	ST2143

PT	X (est)	Y (nord)	Z (alti)	Z (alti)	élément	type de point	identifiant
PT1255	885545.607499	134864.466927	285.955000	285.96	structure	contour fond	ST2143
PT1256	885545.686879	134864.426883	285.853284	285.85	structure	contour fond	ST2143
PT1257	885545.675077	134864.325660	285.857433	285.86	structure	contour fond	ST2143
PT1258	885545.479720	134864.290256	285.922408	285.92	structure	contour fond	ST2143
PT1259	885545.504007	134864.391652	285.862107	285.86	structure	contour fond	ST2143
PT1260	885544.590554	134864.506533	285.937457	285.94	structure	fond	ST2140
PT1261	885544.734986	134864.330514	286.163140	286.16	structure	contour	ST2140
PT1262	885544.605869	134864.348248	286.164646	286.16	structure	contour	ST2140
PT1263	885544.467824	134864.407009	286.163678	286.16	structure	contour	ST2140
PT1264	885544.398959	134864.502733	286.160542	286.16	structure	contour	ST2140
PT1265	885544.380381	134864.638772	286.162894	286.16	structure	contour	ST2140
PT1266	885544.527753	134864.820558	286.141663	286.14	structure	contour	ST2140
PT1267	885544.702104	134864.813474	286.153465	286.15	structure	contour	ST2140
PT1268	885544.810061	134864.770546	286.163524	286.16	structure	contour	ST2140
PT1269	885544.842202	134864.600153	286.159876	286.16	structure	contour	ST2140
PT1270	885544.830205	134864.487489	286.165176	286.17	structure	contour	ST2140
PT1271	885544.771384	134864.454781	286.160853	286.16	structure	contour	ST2140
PT1272	885544.747255	134864.385974	286.156627	286.16	structure	contour	ST2140
PT1273	885544.579195	134864.473396	286.006282	286.01	structure	contour fond	ST2140
PT1274	885544.519426	134864.542811	285.998011	286	structure	contour fond	ST2140
PT1275	885544.499815	134864.602256	285.995461	286	structure	contour fond	ST2140
PT1276	885544.604446	134864.640286	285.993254	285.99	structure	contour fond	ST2140
PT1277	885544.661108	134864.575683	285.993774	285.99	structure	contour fond	ST2140
PT1278	885544.430386	134864.658480	286.034956	286.03	structure	contour fond	ST2140
PT1279	885544.512166	134864.787529	286.057794	286.06	structure	contour fond	ST2140
PT1280	885544.646253	134864.803977	286.055142	286.06	structure	contour fond	ST2140
PT1281	885544.751871	134864.754582	286.026580	286.03	structure	contour fond	ST2140
PT1282	885544.801079	134864.581783	286.031357	286.03	structure	contour fond	ST2140
PT1283	885544.655493	134864.370510	286.038006	286.04	structure	contour fond	ST2140
PT1284	885544.481988	134864.459939	286.021592	286.02	structure	contour fond	ST2140
PT1285	885544.516243	134864.575056	285.943748	285.94	structure	contour fond	ST2140
PT1286	885544.622973	134864.556089	285.944323	285.94	structure	contour fond	ST2140
PT1287	885558.199489	134873.210567	285.916839	285.92	meublier	os	ST2096
PT1288	885539.253555	134866.905241	286.125397	286.13	structure	clou carroyage	ST2146
PT1289	885539.384234	134867.380525	286.130802	286.13	structure	clou carroyage	ST2146
PT1290	885539.854601	134867.256192	286.125020	286.13	structure	clou carroyage	ST2146
PT1291	885539.745822	134866.787957	286.142187	286.14	structure	clou carroyage	ST2146
PT1292	885539.321707	134867.158271	286.135423	286.14	structure	clou coupe	ST2146
PT1293	885539.804147	134867.038140	286.126888	286.13	structure	clou coupe	ST2146
PT1294	885539.160851	134864.162437	286.176593	286.18	structure	clou carroyage	ST2147
PT1295	885539.339995	134864.949950	286.169792	286.17	structure	clou carroyage	ST2147
PT1296	885540.118614	134864.783832	286.158223	286.16	structure	clou carroyage	ST2147
PT1297	885539.947531	134863.999429	286.160127	286.16	structure	clou carroyage	ST2147
PT1298	885539.083390	134864.339726	286.172270	286.17	structure	clou coupe	ST2147
PT1299	885540.227476	134864.620893	286.160895	286.16	structure	clou coupe	ST2147
PT1300	885556.634313	134871.940726	286.017867	286.02	meublier	os	ST2096
PT1301	885556.654354	134871.956985	286.011098	286.01	meublier	os	ST2096
PT1302	885544.341199	134862.731393	286.184240	286.18	structure	contour	ST2141
PT1303	885544.194271	134862.918354	286.195330	286.2	structure	contour	ST2141
PT1304	885544.432653	134863.021799	286.178488	286.18	structure	contour	ST2141
PT1305	885544.580386	134862.796227	286.177208	286.18	structure	contour	ST2141
PT1306	885544.391469	134862.862855	286.068598	286.07	structure	fond	ST2141
PT1307	885544.377615	134862.800192	286.081311	286.08	structure	contour fond	ST2141
PT1308	885544.272648	134862.895085	286.076228	286.08	structure	contour fond	ST2141
PT1309	885544.418865	134862.945667	286.099557	286.1	structure	contour fond	ST2141
PT1310	885544.509103	134862.816327	286.099842	286.1	structure	contour fond	ST2141
PT1311	885558.807772	134873.174074	285.889959	285.89	meublier	lithique	ST2096
PT1312	885558.822937	134873.715251	285.895524	285.9	meublier	lithique	ST2096
PT1313	885558.551677	134873.991001	285.935843	285.94	meublier	lithique	ST2096
PT1314	885559.047169	134873.356752	285.892126	285.89	meublier	céramique	ST2096
PT1315	885559.334288	134873.543503	285.889487	285.89	meublier	céramique	ST2096
PT1316	885559.282620	134873.152821	285.912425	285.91	meublier	céramique	ST2096
PT1317	885556.807656	134871.926882	286.044772	286.04	meublier	os	ST2096
PT1318	885556.747530	134871.997516	285.997685	286	meublier	os	ST2096
PT1319	885556.718718	134871.980778	286.011716	286.01	meublier	os	ST2096
PT1320	885556.754234	134872.043935	286.005177	286.01	meublier	os	ST2096

PT	X (est)	Y (nord)	Z (alti)	Z (alti)	élément	type de point	identifiant
PT1321	885556.744342	134872.021570	286.009919	286.01	mobilier	os	ST2096
PT1322	885556.710233	134872.040946	285.993687	285.99	mobilier	os	ST2096
PT1323	885556.738148	134872.133659	285.997221	286	mobilier	os	ST2096
PT1324	885556.729620	134872.103982	286.009752	286.01	mobilier	os	ST2096
PT1325	885556.721371	134872.078677	285.998851	286	mobilier	os	ST2096
PT1326	885556.731426	134872.072659	285.997439	286	mobilier	os	ST2096
PT1327	885556.627773	134872.057845	286.013626	286.01	mobilier	os	ST2096
PT1328	885556.629836	134872.091744	286.006427	286.01	mobilier	os	ST2096
PT1329	885556.622571	134872.071142	286.010315	286.01	mobilier	os	ST2096
PT1330	885556.652785	134872.037777	286.018943	286.02	mobilier	os	ST2096
PT1331	885556.651730	134872.021274	286.005578	286.01	mobilier	os	ST2096
PT1332	885556.657312	134872.088840	286.005935	286.01	mobilier	os	ST2096
PT1333	885556.662976	134872.065943	286.014396	286.01	mobilier	os	ST2096
PT1334	885556.697045	134872.118667	285.993140	285.99	mobilier	os	ST2096
PT1335	885556.685709	134872.086958	286.010088	286.01	mobilier	os	ST2096
PT1336	885556.919477	134872.211822	285.981940	285.98	mobilier	os	ST2096
PT1337	885556.915274	134872.407499	285.987599	285.99	mobilier	os	ST2096
PT1338	885557.416620	134872.339513	285.963188	285.96	mobilier	os	ST2096
PT1339	885557.247642	134872.057200	285.987090	285.99	mobilier	os	ST2096
PT1340	885557.209992	134872.438655	285.961010	285.96	mobilier	os	ST2096
PT1341	885557.267255	134872.428920	286.011108	286.01	mobilier	os	ST2096
PT1342	885557.150097	134872.365412	286.006065	286.01	mobilier	os	ST2096
PT1343	885556.614467	134872.074457	285.985909	285.99	mobilier	os	ST2096
PT1344	885539.389539	134867.158778	286.138375	286.14	structure	contour	ST2146
PT1345	885539.654725	134867.291958	286.140175	286.14	structure	contour	ST2146
PT1346	885539.765247	134867.080199	286.132862	286.13	structure	contour	ST2146
PT1347	885539.542264	134866.964151	286.128173	286.13	structure	contour	ST2146
PT1348	885539.572615	134867.099477	286.035863	286.04	structure	contour fond	ST2146
PT1349	885539.509888	134867.183168	285.994981	285.99	structure	contour fond	ST2146
PT1350	885539.635971	134867.203280	286.004538	286	structure	contour fond	ST2146
PT1351	885539.571165	134867.186069	285.992362	285.99	structure	fond	ST2146
PT1352	885542.197637	134864.830462	286.138568	286.14	structure	contour	ST2138
PT1353	885542.395476	134864.906928	286.133273	286.13	structure	contour	ST2138
PT1354	885542.524995	134864.748219	286.144629	286.14	structure	contour	ST2138
PT1355	885542.353625	134864.625762	286.136209	286.14	structure	contour	ST2138
PT1356	885542.393979	134864.832105	286.003109	286	structure	contour fond	ST2138
PT1357	885542.347729	134864.767681	285.966137	285.97	structure	contour fond	ST2138
PT1358	885542.426869	134864.767980	285.966029	285.97	structure	contour fond	ST2138
PT1359	885542.386152	134864.780667	285.966424	285.97	structure	fond	ST2138
PT1360	885558.566646	134872.916411	285.876361	285.88	mobilier	lithique	ST2096
PT1361	885559.125569	134873.110323	285.863545	285.86	mobilier	lithique	ST2096
PT1362	885558.934027	134873.506185	285.906049	285.91	prélèvement		ST2096
PT1363	885557.698491	134872.736085	285.998892	286	mobilier	meule	ST2096
PT1364	885536.714147	134866.958440	286.195129	286.2	structure	point central	ST2259
PT1365	885539.293677	134864.448969	286.124207	286.12	structure	contour	ST2147
PT1366	885539.420065	134864.597265	286.143044	286.14	structure	contour	ST2147
PT1367	885539.668449	134864.606371	286.123539	286.12	structure	contour	ST2147
PT1368	885539.855719	134864.702378	286.153661	286.15	structure	contour	ST2147
PT1369	885540.025580	134864.582788	286.144652	286.14	structure	contour	ST2147
PT1370	885539.894377	134864.389723	286.139669	286.14	structure	contour	ST2147
PT1371	885539.707067	134864.420971	286.136813	286.14	structure	contour	ST2147
PT1372	885539.547358	134864.347294	286.137732	286.14	structure	point haut	ST2147
PT1373	885539.471793	134864.460189	286.012947	286.01	structure	point haut	ST2147
PT1374	885539.694810	134864.525589	286.070008	286.07	structure	contour fond	ST2147
PT1375	885539.935268	134864.590062	285.975011	285.98	structure	contour fond	ST2147
PT1376	885539.812012	134864.598164	285.970814	285.97	structure	contour fond	ST2147
PT1377	885539.856875	134864.499176	285.978894	285.98	structure	contour fond	ST2147
PT1378	885539.871049	134864.560644	285.963955	285.96	structure	contour fond	ST2147
PT1379	885539.630300	134864.560930	285.945787	285.95	structure	contour fond	ST2147
PT1380	885539.560928	134864.509770	285.947601	285.95	structure	contour fond	ST2147
PT1381	885539.607367	134864.505123	285.937710	285.94	structure	fond	ST2147
PT1382	885538.192285	134867.748256	286.110340	286.11	structure	clou carroyage	ST2147
PT1383	885538.239387	134868.154182	286.101206	286.1	structure	clou carroyage	ST2147
PT1384	885538.624860	134868.103921	286.125188	286.13	structure	clou carroyage	ST2147
PT1385	885538.578229	134867.721494	286.116766	286.12	structure	clou carroyage	ST2147
PT1386	885538.077717	134868.003174	286.114685	286.11	structure	clou coupe	ST2147

PT	X (est)	Y (nord)	Z (alti)	Z (alti)	élément	type de point	identifiant
PT1387	885538.743344	134867.922163	286.127675	286.13	structure	clou coupe	ST2147
PT1388	885558.767534	134873.436326	285.850412	285.85	mobilier	céramique	ST2096
PT1389	885558.931215	134873.349659	285.825855	285.83	mobilier	céramique	ST2096
PT1390	885558.879414	134873.360676	285.817738	285.82	mobilier	céramique	ST2096
PT1391	885557.172833	134872.925849	285.965093	285.97	mobilier	os	ST2096
PT1392	885557.051606	134872.878810	285.977932	285.98	mobilier	céramique	ST2096
PT1393	885557.184735	134873.198837	285.990016	285.99	mobilier	céramique	ST2096
PT1394	885557.112901	134873.353666	285.999506	286	mobilier	céramique	ST2096
PT1395	885557.104458	134871.525054	285.961434	285.96	mobilier	céramique	ST2096
PT1396	885557.356312	134871.687545	285.967034	285.97	mobilier	os	ST2096
PT1397	885557.425654	134871.804123	285.961173	285.96	mobilier	os	ST2096
PT1398	885557.854631	134872.676987	285.911509	285.91	mobilier	céramique	ST2096
PT1399	885557.598744	134872.715266	285.926583	285.93	mobilier	céramique	ST2096
PT1400	885557.259581	134872.455219	285.938677	285.94	mobilier	os	ST2096
PT1401	885557.312139	134872.789299	285.924727	285.92	mobilier	os	ST2096
PT1402	885557.318820	134872.183015	285.944149	285.94	mobilier	céramique	ST2096
PT1403	885556.546686	134872.658157	285.969341	285.97	mobilier	céramique	ST2096
PT1404	885556.927666	134872.430181	285.937807	285.94	mobilier	coquille	ST2096
PT1405	885556.926209	134872.082341	285.935916	285.94	mobilier	argile chauffé	ST2096
PT1406	885557.192484	134872.451523	285.946549	285.95	mobilier	céramique	ST2096
PT1407	885557.727995	134871.314102	286.026459	286.03	mobilier	lithique	ST2096
PT1408	885557.127442	134872.235232	285.927149	285.93	mobilier	céramique	ST2096
PT1409	885558.223154	134873.048437	285.797184	285.8	mobilier	ocre	ST2096
PT1410	885558.688768	134873.528789	285.764589	285.76	mobilier	céramique	ST2096
PT1411	885559.041977	134873.614344	285.800140	285.8	mobilier	ocre	ST2096
PT1412	885559.120090	134873.469447	285.791251	285.79	mobilier	lithique	ST2096
PT1413	885559.108030	134873.248101	285.801738	285.8	mobilier	céramique	ST2096
PT1414	885559.784103	134872.656904	285.794735	285.79	mobilier	lithique	ST 2096
PT1415	885559.660654	134872.653828	285.804450	285.8	mobilier	lithique	ST 2096
PT1416	885538.036565	134867.982357	286.095674	286.1	structure	clou carroyage	ST2154
PT1417	885537.029944	134867.980685	286.117525	286.12	structure	clou carroyage	ST2154
PT1418	885537.020183	134864.946528	286.183876	286.18	structure	clou carroyage	ST2154
PT1419	885538.019750	134864.952653	286.163645	286.16	structure	clou carroyage	ST2154
PT1420	885557.404353	134873.180195	285.887437	285.89	mobilier	céramique	ST 2096
PT1421	885557.392829	134873.075050	285.900396	285.9	mobilier	céramique	ST 2096
PT1422	885557.316790	134873.183629	285.901613	285.9	mobilier	céramique	ST 2096
PT1423	885557.154893	134873.053805	285.918577	285.92	mobilier	céramique	ST 2096
PT1424	885557.106327	134873.019115	285.905443	285.91	mobilier	céramique	ST 2096
PT1425	885557.048977	134873.041993	285.886595	285.89	mobilier	céramique	ST 2096
PT1426	885557.042584	134872.946766	285.893666	285.89	mobilier	céramique	ST 2096
PT1427	885557.207242	134872.670108	285.881214	285.88	mobilier	céramique	ST 2096
PT1428	885537.493255	134868.453594	286.093165	286.09	structure	point central	ST2253
PT1429	885537.694067	134868.258896	286.101157	286.1	structure	clou carroyage	ST2253
PT1430	885537.706666	134868.663964	286.102810	286.1	structure	clou carroyage	ST2253
PT1431	885537.301352	134868.651939	286.108087	286.11	structure	clou carroyage	ST2253
PT1432	885537.304628	134868.259395	286.107706	286.11	structure	clou carroyage	ST2253
PT1433	885537.317429	134868.438012	286.097208	286.1	structure	clou coupe	ST2253
PT1434	885537.669938	134868.448880	286.106896	286.11	structure	clou coupe	ST2253
PT1435	885559.129696	134872.597439	285.758149	285.76	mobilier	céramique	ST2096
PT1436	885559.210374	134872.904328	285.768536	285.77	mobilier	céramique	ST2096
PT1437	885559.264045	134873.135965	285.771253	285.77	mobilier	céramique	ST2096
PT1438	885556.680211	134873.056679	285.944084	285.94	mobilier	céramique	ST2096
PT1439	885557.165218	134873.021148	285.906730	285.91	mobilier	céramique	ST2096
PT1440	885558.563073	134872.872798	285.813820	285.81	prélèvement		ST2096
PT1441	885537.590978	134866.575836	286.030097	286.03	structure	point central	ST2258
PT1442	885537.498737	134866.467494	286.042188	286.04	structure	clou carroyage	ST2258
PT1443	885537.439902	134866.654940	286.043867	286.04	structure	clou carroyage	ST2258
PT1444	885537.690425	134866.538495	286.029500	286.03	structure	clou carroyage	ST2258
PT1445	885537.611412	134866.740330	286.038745	286.04	structure	clou carroyage	ST2258
PT1446	885537.657481	134866.818635	286.128295	286.13	structure	clou coupe	ST2258
PT1447	885537.446702	134866.380784	286.146357	286.15	structure	clou coupe	ST2258
PT1448	885537.446683	134865.976910	286.156889	286.16	structure	clou coupe	ST2258
PT1449	885537.909793	134865.979768	286.155869	286.16	structure	clou coupe	ST2258
PT1450	885537.027926	134866.474926	286.157955	286.16	structure	clou coupe	ST2258
PT1451	885537.979047	134866.455328	286.138306	286.14	structure	clou coupe	ST2258
PT1452	885558.786010	134872.804683	285.797945	285.8	mobilier	céramique	ST2096

Annexe 4 - Le Clos de Roque, Saint-Maximin-la-Sainte-Baume (83). Inventaire des points topographiques.



PT	X (est)	Y (nord)	Z (alti)	Z (alti)	élément	type de point	identifiant
PT1453	885557.562189	134872.699070	285.819236	285.82	mobilier	céramique	ST2096
PT1454	885557.418339	134872.521234	285.848682	285.85	mobilier	céramique	ST2096
PT1455	885557.184965	134872.305709	285.917757	285.92	mobilier	céramique	ST2096
PT1456	885557.061314	134872.478778	285.908413	285.91	mobilier	céramique	ST2096
PT1457	885558.318173	134872.986868	285.718936	285.72	mobilier	céramique	ST2096
PT1458	885557.512308	134873.188849	285.925847	285.93	mobilier	lithique	ST2096
PT1459	885557.644320	134872.819321	285.791043	285.79	mobilier	lithique	ST2096
PT1460	885556.520133	134872.627202	285.934647	285.93	mobilier	os	ST2096
PT1461	885556.685954	134872.642177	285.920135	285.92	mobilier	céramique	ST2096
PT1462	885556.660770	134872.353458	285.931297	285.93	mobilier	céramique	ST2096
PT1463	885556.910500	134872.321550	285.955703	285.96	mobilier	céramique	ST2096
PT1464	885557.020733	134872.110536	285.949241	285.95	mobilier	céramique	ST2096
PT1465	885557.267002	134872.223400	285.931334	285.93	mobilier	céramique	ST2096
PT1466	885556.979305	134872.606959	285.919958	285.92	mobilier	céramique	ST2096
PT1467	885557.062239	134872.610286	285.902266	285.9	mobilier	céramique	ST2096
PT1468	885557.550314	134872.284662	285.874301	285.87	mobilier	céramique	ST2096
PT1469	885557.652016	134872.982057	285.805613	285.81	mobilier	os	ST2096
PT1470	885557.950669	134872.806700	285.700089	285.7	mobilier	os	ST2096
PT1471	885557.220052	134872.957568	285.871166	285.87	mobilier	céramique	ST2096
PT1472	885557.284325	134873.081968	285.865601	285.87	mobilier	céramique	ST2096
PT1473	885537.637057	134865.712460	285.978496	285.98	structure	point central	ST2260
PT1474	885537.919032	134865.523336	286.143783	286.14	structure	clou carroyage	ST2260
PT1475	885537.458549	134865.517825	286.171350	286.17	structure	clou carroyage	ST2260
PT1476	885537.447527	134865.708759	286.174318	286.17	structure	clou coupe	ST2260
PT1477	885537.954403	134865.744874	286.176337	286.18	structure	clou coupe	ST2260
PT1478	885536.573585	134868.241499	286.115307	286.12	structure	point central	ST2261
PT1479	885536.799639	134868.036258	286.114674	286.11	structure	clou carroyage	ST2261
PT1480	885536.363009	134868.038108	286.125532	286.13	structure	clou carroyage	ST2261
PT1481	885536.378827	134868.448512	286.132042	286.13	structure	clou carroyage	ST2261
PT1482	885536.785099	134868.446781	286.109526	286.11	structure	clou carroyage	ST2261
PT1483	885536.365120	134868.240337	286.122664	286.12	structure	clou coupe	ST2261
PT1484	885536.781889	134868.231155	286.112638	286.11	structure	clou coupe	ST2261
PT1485	885535.837564	134868.361318	286.134493	286.13	structure	point central	ST2262
PT1486	885536.024809	134868.175112	286.132361	286.13	structure	clou carroyage	ST2262
PT1487	885535.586317	134868.191128	286.150191	286.15	structure	clou carroyage	ST2262
PT1488	885535.613962	134868.580215	286.138265	286.14	structure	clou carroyage	ST2262
PT1489	885536.028021	134868.573545	286.131621	286.13	structure	clou carroyage	ST2262
PT1490	885535.607400	134868.365301	286.152328	286.15	structure	clou coupe	ST2262
PT1491	885536.027820	134868.368480	286.129446	286.13	structure	clou coupe	ST2262
PT1492	885535.550561	134867.177440	286.176783	286.18	structure	point central	ST2263
PT1493	885535.761449	134866.981523	286.181420	286.18	structure	clou carroyage	ST2263
PT1494	885535.325786	134867.004478	286.156085	286.16	structure	clou carroyage	ST2263
PT1495	885535.348500	134867.407859	286.162126	286.16	structure	clou carroyage	ST2263
PT1496	885535.783629	134867.393110	286.150238	286.15	structure	clou carroyage	ST2263
PT1497	885535.336535	134867.203737	286.164722	286.16	structure	clou coupe	ST2263
PT1498	885535.777335	134867.163848	286.176928	286.18	structure	clou coupe	ST2263
PT1499	885535.260437	134868.152237	286.152996	286.15	structure	point central	ST2264
PT1500	885535.050146	134867.411670	286.155286	286.16	structure	clou carroyage	ST2264
PT1501	885535.072838	134868.911820	286.151794	286.15	structure	clou carroyage	ST2264
PT1502	885535.475056	134868.905591	286.143447	286.14	structure	clou carroyage	ST2264
PT1503	885535.067214	134868.153373	286.152309	286.15	structure	clou coupe	ST2264
PT1504	885535.467918	134868.172912	286.147538	286.15	structure	clou coupe	ST2264
PT1505	885537.342936	134866.501486	286.156801	286.16	structure	clou coupe	ST2258
PT1506	885558.863471	134873.148384	285.677966	285.68	mobilier	céramique	ST2096
PT1507	885558.699192	134872.744077	285.701030	285.7	mobilier	lithique	ST2096
PT1508	885556.993298	134872.105166	285.896165	285.9	mobilier	céramique	ST2096
PT1509	885557.097290	134872.131891	285.921194	285.92	mobilier	céramique	ST2096
PT1510	885557.233301	134871.629266	285.952057	285.95	mobilier	céramique	ST2096
PT1511	885557.196369	134871.648307	285.950983	285.95	mobilier	os	ST2096
PT1512	885557.595961	134872.296894	285.862202	285.86	mobilier	céramique	ST2096
PT1513	885557.316391	134872.299196	285.854747	285.85	mobilier	céramique	ST2096
PT1514	885537.804968	134866.633671	286.135525	286.14	structure	clou coupe	ST2258
PT1515	885537.638717	134865.823116	285.969452	285.97	structure	contour	ST2260
PT1516	885537.736847	134865.736954	285.960926	285.96	structure	contour	ST2260
PT1517	885537.666724	134865.601149	285.964499	285.96	structure	contour	ST2260
PT1518	885537.558080	134865.694906	285.977977	285.98	structure	contour	ST2260

PT	X (est)	Y (nord)	Z (alti)	Z (alti)	élément	type de point	identifiant
PT1519	885537.706262	134865.698261	285.924241	285.92	structure	marche	ST2260
PT1520	885537.619236	134865.726011	285.859274	285.86	structure	contour fond	ST2260
PT1521	885537.580840	134865.680255	285.865184	285.87	structure	contour fond	ST2260
PT1522	885537.624840	134865.644863	285.856953	285.86	structure	contour fond	ST2260
PT1523	885537.652025	134865.685842	285.858091	285.86	structure	contour fond	ST2260
PT1524	885537.616536	134865.680356	285.850398	285.85	structure	fond	ST2260
PT1525	885557.324434	134872.755552	285.819841	285.82	mobilier	céramique	ST2096
PT1526	885557.572644	134872.847787	285.753209	285.75	mobilier	céramique	ST2096
PT1527	885557.602087	134872.350373	285.835456	285.84	mobilier	céramique	ST2096
PT1528	885557.258353	134872.382995	285.843051	285.84	mobilier	céramique	ST2096
PT1529	885557.252132	134872.377594	285.843145	285.84	mobilier	céramique	ST2096
PT1530	885557.118635	134872.529891	285.846876	285.85	mobilier	céramique	ST2096
PT1531	885557.126585	134872.683471	285.877304	285.88	mobilier	céramique	ST2096
PT1532	885557.324451	134872.168447	285.830238	285.83	mobilier	lithique	ST2096
PT1533	885557.120399	134873.257043	285.876788	285.88	mobilier	céramique	ST2096
PT1534	885557.225554	134873.137708	285.831003	285.83	mobilier	céramique	ST2096
PT1535	885557.091246	134873.077212	285.850231	285.85	mobilier	céramique	ST2096
PT1536	885556.956933	134872.924480	285.860113	285.86	mobilier	céramique	ST2096
PT1537	885557.952728	134872.752809	285.678119	285.68	mobilier	os	ST2096
PT1538	885557.781560	134872.533904	285.652450	285.65	mobilier	céramique	ST2096
PT1539	885557.731734	134872.595170	285.596711	285.6	mobilier	céramique	ST2096
PT1540	885557.586971	134872.403157	285.810860	285.81	mobilier	céramique	ST2096
PT1541	885557.662874	134872.363240	285.819067	285.82	mobilier	céramique	ST2096
PT1542	885557.695315	134872.352832	285.803628	285.8	mobilier	céramique	ST2096
PT1543	885557.700100	134872.376446	285.792639	285.79	mobilier	céramique	ST2096
PT1544	885558.424629	134873.471947	285.678818	285.68	mobilier	céramique	ST2096
PT1545	885559.660357	134872.897320	285.694772	285.69	mobilier	céramique	ST2096
PT1546	885559.079229	134873.537883	285.667029	285.67	mobilier	céramique	ST2096
PT1547	885534.977390	134867.011092	286.166663	286.17	structure	clou carroyage	ST2155
PT1548	885534.973901	134865.916720	286.184260	286.18	structure	clou carroyage	ST2155
PT1549	885536.979604	134865.969665	286.156271	286.16	structure	clou carroyage	ST2155
PT1550	885537.009992	134866.969628	286.145092	286.15	structure	clou carroyage	ST2155
PT1551	885558.422482	134873.100288	285.666065	285.67	prélèvement		ST2096
PT1552	885556.821637	134872.938022	285.863829	285.86	mobilier	lithique	ST2096
PT1553	885535.505960	134867.024162	286.174369	286.17	structure	contour	ST2263
PT1554	885535.311899	134867.201517	286.164403	286.16	structure	contour	ST2263
PT1555	885535.534033	134867.369130	286.169828	286.17	structure	contour	ST2263
PT1556	885535.707325	134867.196480	286.170409	286.17	structure	contour	ST2263
PT1557	885535.622802	134867.160594	285.919370	285.92	structure	contour fond	ST2263
PT1558	885535.526033	134867.116361	285.925521	285.93	structure	contour fond	ST2263
PT1559	885535.436682	134867.153593	285.944401	285.94	structure	contour fond	ST2263
PT1560	885535.529512	134867.214381	285.933254	285.93	structure	contour fond	ST2263
PT1561	885535.519258	134867.156065	285.906469	285.91	structure	fond	ST2263
PT1562	885537.567090	134866.197147	286.044346	286.04	structure	contour	ST2154
PT1563	885537.635736	134866.273893	286.017272	286.02	structure	contour	ST2154
PT1564	885537.719930	134866.224626	286.026196	286.03	structure	contour	ST2154
PT1565	885537.670212	134866.145157	286.025121	286.03	structure	contour	ST2154
PT1566	885537.636090	134866.219256	285.921227	285.92	structure	fond	ST2154
PT1567	885537.166550	134866.897243	286.048968	286.05	structure	contour	ST2154
PT1568	885537.221121	134866.986736	286.034913	286.03	structure	contour	ST2154
PT1569	885537.314980	134866.934845	286.039430	286.04	structure	contour	ST2154
PT1570	885537.317882	134866.843366	286.061958	286.06	structure	contour	ST2154
PT1571	885537.250417	134866.894078	285.929189	285.93	structure	fond	ST2154
PT1572	885537.472576	134867.092283	286.038530	286.04	structure	contour	ST2154
PT1573	885537.429407	134866.994110	286.039932	286.04	structure	contour	ST2154
PT1574	885537.335252	134867.037146	286.034404	286.03	structure	contour	ST2154
PT1575	885537.369416	134867.119302	286.045158	286.05	structure	contour	ST2154
PT1576	885537.405582	134867.044014	285.912886	285.91	structure	fond	ST2154
PT1577	885537.145223	134867.222205	286.122335	286.12	structure	contour	ST2154
PT1578	885537.586916	134867.007003	286.121738	286.12	structure	contour	ST2154
PT1579	885537.624459	134866.801977	286.134049	286.13	structure	contour	ST2154
PT1580	885537.806130	134866.445274	286.140816	286.14	structure	contour	ST2154
PT1581	885537.810830	134866.443619	286.140985	286.14	structure	contour	ST2154
PT1582	885537.949145	134866.014781	286.161406	286.16	structure	contour	ST2154
PT1583	885537.945974	134865.603954	286.160223	286.16	structure	contour	ST2154
PT1584	885538.112567	134865.472208	286.150626	286.15	structure	contour	ST2154

Annexe 4 - Le Clos de Roque, Saint-Maximin-la-Sainte-Baume (83). Inventaire des points topographiques.

PT	X (est)	Y (nord)	Z (alti)	Z (alti)	élément	type de point	identifiant
PT1585	885538.223332	134865.255369	286.158377	286.16	structure	contour	ST2154
PT1586	885537.732940	134865.268230	286.170768	286.17	structure	contour	ST2154
PT1587	885537.504539	134865.565443	286.166162	286.17	structure	contour	ST2154
PT1588	885537.440454	134865.797897	286.159762	286.16	structure	contour	ST2154
PT1589	885537.422415	134866.234494	286.153995	286.15	structure	contour	ST2154
PT1590	885537.318970	134866.657888	286.136119	286.14	structure	contour	ST2154
PT1591	885537.113473	134866.867736	286.138592	286.14	structure	contour	ST2154
PT1592	885537.069106	134867.047970	286.136884	286.14	structure	contour	ST2154
PT1593	885537.228115	134867.060849	286.024247	286.02	structure	fond	ST2154
PT1594	885537.498302	134866.808900	286.054414	286.05	structure	fond	ST2154
PT1595	885537.541962	134866.694574	286.003201	286	structure	fond	ST2154
PT1596	885537.550201	134866.553630	285.951828	285.95	structure	fond	ST2154
PT1597	885537.704637	134866.541607	286.000676	286	structure	fond	ST2154
PT1598	885537.670771	134866.380650	286.040447	286.04	structure	fond	ST2154
PT1599	885537.542340	134866.016308	286.020511	286.02	structure	fond	ST2154
PT1600	885537.633768	134865.852823	285.973628	285.97	structure	fond	ST2154
PT1601	885537.693050	134865.580576	285.967027	285.97	structure	fond	ST2154
PT1602	885537.816814	134865.822984	286.060796	286.06	structure	fond	ST2154
PT1603	885537.840648	134865.378302	285.960870	285.96	structure	fond	ST2154
PT1604	885537.383185	134868.437029	286.089656	286.09	structure	contour	ST2253
PT1605	885537.519974	134868.560317	286.095300	286.1	structure	contour	ST2253
PT1606	885537.612949	134868.427570	286.098788	286.1	structure	contour	ST2253
PT1607	885537.510499	134868.298597	286.098172	286.1	structure	contour	ST2253
PT1608	885537.443116	134868.402733	285.886349	285.89	structure	contour fond	ST2253
PT1609	885537.465925	134868.458615	285.899855	285.9	structure	contour fond	ST2253
PT1610	885537.535430	134868.443758	285.902141	285.9	structure	contour fond	ST2253
PT1611	885537.527062	134868.370809	285.894031	285.89	structure	contour fond	ST2253
PT1612	885537.492151	134868.407973	285.888968	285.89	structure	fond	ST2253
PT1613	885537.392714	134866.816983	285.936023	285.94	structure	fond	ST2258
PT1614	885537.523577	134866.396042	285.924107	285.92	structure	fond	ST2258
PT1615	885536.675332	134868.112510	286.120991	286.12	structure	contour	ST2261
PT1616	885536.478860	134868.131217	286.125043	286.13	structure	contour	ST2261
PT1617	885536.401660	134868.381746	286.131105	286.13	structure	contour	ST2261
PT1618	885536.616414	134868.387413	286.116710	286.12	structure	contour	ST2261
PT1619	885536.733490	134868.224584	286.113561	286.11	structure	contour	ST2261
PT1620	885536.392938	134868.267780	285.909762	285.91	structure	contour fond	ST2261
PT1621	885536.546602	134868.307068	285.916905	285.92	structure	contour fond	ST2261
PT1622	885536.646284	134868.257902	285.955192	285.96	structure	contour fond	ST2261
PT1623	885536.533120	134868.214593	285.931466	285.93	structure	contour fond	ST2261
PT1624	885536.488004	134868.273742	285.888490	285.89	structure	fond	ST2261
PT1625	885535.786389	134868.530066	286.135152	286.14	structure	contour	ST2262
PT1626	885535.971991	134868.353029	286.130234	286.13	structure	contour	ST2262
PT1627	885535.784785	134868.191999	286.141884	286.14	structure	contour	ST2262
PT1628	885535.638174	134868.353329	286.157305	286.16	structure	contour	ST2262
PT1629	885535.709237	134868.402916	285.944209	285.94	structure	contour fond	ST2262
PT1630	885535.851541	134868.426993	285.947087	285.95	structure	contour fond	ST2262
PT1631	885535.883668	134868.310088	285.966374	285.97	structure	contour fond	ST2262
PT1632	885535.760006	134868.283870	285.952758	285.95	structure	contour fond	ST2262
PT1633	885535.806870	134868.355629	285.960695	285.96	structure	fond	ST2262
PT1634	885535.147014	134866.722183	286.171922	286.17	structure	clou coupe	ST2155
PT1635	885537.009606	134866.019573	286.177180	286.18	structure	clou coupe	ST2155
PT1636	885557.357257	134872.585832	285.799141	285.8	mobilier	céramique	ST2096
PT1637	885557.926140	134872.751670	285.661852	285.66	mobilier	céramique	ST2096
PT1638	885535.158637	134866.955090	286.148815	286.15	structure	point haut	ST2155
PT1639	885535.480344	134866.473130	286.185981	286.19	structure	point haut	ST2155
PT1640	885535.553329	134866.814565	286.176778	286.18	structure	point haut	ST2155
PT1641	885535.926076	134866.350156	286.198844	286.2	structure	point haut	ST2155
PT1642	885536.171102	134866.284782	286.181275	286.18	structure	point haut	ST2155
PT1643	885536.415411	134866.450020	286.168574	286.17	structure	point haut	ST2155
PT1644	885536.458627	134865.967866	286.201496	286.2	structure	point haut	ST2155
PT1645	885536.844951	134866.136075	286.150700	286.15	structure	point haut	ST2155
PT1646	885558.988249	134872.776396	285.695250	285.7	prélèvement		ST2096
PT1647	885558.942097	134873.048594	285.619550	285.62	mobilier	lithique	ST2096
PT1648	885542.676121	134860.094928	286.208385	286.21	structure	clou carroyage	ST2124
PT1649	885543.147302	134859.924432	286.215382	286.22	structure	clou carroyage	ST2124
PT1650	885542.964252	134859.440952	286.217749	286.22	structure	clou carroyage	ST2124

PT	X (est)	Y (nord)	Z (alti)	Z (alti)	élément	type de point	identifiant
PT1651	885542.490882	134859.640815	286.221146	286.22	structure	clou carroyage	ST2124
PT1652	885542.493174	134859.900699	286.219185	286.22	structure	clou coupe	ST2124
PT1653	885543.141068	134859.653633	286.218898	286.22	structure	clou coupe	ST2124
PT1654	885559.814565	134872.706419	285.654602	285.65	meublier	lithique	ST2096
PT1655	885559.267104	134873.253450	285.571198	285.57	meublier	lithique	ST2096
PT1656	885559.100009	134873.565293	285.574370	285.57	meublier	céramique	ST2096
PT1657	885558.862606	134872.667304	285.612436	285.61	meublier	céramique	ST2096
PT1658	885557.559814	134872.963806	285.756908	285.76	meublier	lithique	ST2096
PT1659	885557.203737	134873.052604	285.813791	285.81	meublier	os	ST2096
PT1660	885557.116870	134873.109199	285.839950	285.84	meublier	céramique	ST2096
PT1661	885556.925772	134872.986313	285.827684	285.83	meublier	céramique	ST2096
PT1662	885556.802719	134873.071350	285.855897	285.86	meublier	céramique	ST2096
PT1663	885556.676938	134872.895047	285.883192	285.88	meublier	céramique	ST2096
PT1664	885557.357993	134871.946564	285.840666	285.84	meublier	os	ST2096
PT1665	885557.283864	134872.072104	285.831042	285.83	meublier	céramique	ST2096
PT1666	885557.335293	134872.146684	285.816311	285.82	meublier	céramique	ST2096
PT1667	885556.412271	134873.079050	285.896199	285.9	prélèvement	p18	ST2096
PT1668	885556.846863	134872.936782	285.823633	285.82	prélèvement	p19	ST2096
PT1669	885556.977777	134872.630359	285.824338	285.82	prélèvement	p20	ST2096
PT1670	885557.218945	134871.979540	285.856566	285.86	prélèvement	p21	ST2096
PT1671	885557.319788	134872.725209	285.797018	285.8	prélèvement	p22	ST2096
PT1672	885557.391885	134873.096373	285.800101	285.8	prélèvement	p23	ST2096
PT1673	885541.593781	134859.132133	286.264707	286.26	structure	clou carroyage	ST2125
PT1674	885540.641493	134859.253815	286.291524	286.29	structure	clou carroyage	ST2125
PT1675	885540.486372	134858.251241	286.323691	286.32	structure	clou carroyage	ST2125
PT1676	885541.482260	134858.143049	286.298122	286.3	structure	clou carroyage	ST2125
PT1677	885541.541415	134858.646141	286.267061	286.27	structure	clou coupe	ST2125
PT1678	885540.551439	134858.749463	286.295870	286.3	structure	clou coupe	ST2125
PT1679	885535.927395	134866.382323	286.190418	286.19	meublier	lithique	ST2155
PT1680	885540.021194	134860.957881	286.301250	286.3	structure	clou carroyage	ST2129
PT1681	885542.014279	134860.944900	286.202405	286.2	structure	clou carroyage	ST2129
PT1682	885542.016043	134858.934123	286.250306	286.25	structure	clou carroyage	ST2129
PT1683	885540.013022	134858.979184	286.327995	286.33	structure	clou carroyage	ST2129
PT1684	885539.517133	134859.984676	286.264777	286.26	structure	clou coupe	ST2129
PT1685	885541.413216	134859.950527	286.242222	286.24	structure	clou coupe	ST2129
PT1686	885542.799517	134859.715268	285.865334	285.87	structure	fond	ST2124
PT1687	885542.619539	134859.817848	286.207640	286.21	structure	contour	ST2124
PT1688	885542.843632	134859.967338	286.200130	286.2	structure	contour	ST2124
PT1689	885542.982167	134859.834804	286.200603	286.2	structure	contour	ST2124
PT1690	885543.020728	134859.629834	286.203321	286.2	structure	contour	ST2124
PT1691	885542.913862	134859.510974	286.201697	286.2	structure	contour	ST2124
PT1692	885542.708512	134859.594378	286.208206	286.21	structure	contour	ST2124
PT1693	885542.674057	134859.762768	285.882123	285.88	structure	contour	ST2124
PT1694	885542.800265	134859.918567	285.862181	285.86	structure	contour	ST2124
PT1695	885542.982641	134859.753054	285.872251	285.87	structure	contour	ST2124
PT1696	885542.842894	134859.612821	285.901026	285.9	structure	contour	ST2124
PT1697	885543.070937	134857.841191	286.246882	286.25	structure	contour	ST2123
PT1698	885543.541185	134857.755198	286.257997	286.26	structure	contour	ST2123
PT1699	885543.494853	134857.288614	286.272331	286.27	structure	contour	ST2123
PT1700	885543.001837	134857.348359	286.275176	286.28	structure	contour	ST2123
PT1701	885542.722672	134857.588008	286.274549	286.27	structure	clou coupe	ST2123
PT1702	885543.649198	134857.458351	286.264366	286.26	structure	clou coupe	ST2123
PT1703	885530.551737	134865.002238	286.188513	286.19	structure	clou carroyage	ST2229
PT1704	885530.574194	134867.009597	286.151718	286.15	structure	clou carroyage	ST2229
PT1705	885532.587070	134867.005901	286.164104	286.16	structure	clou carroyage	ST2229
PT1706	885532.538691	134864.986248	286.172328	286.17	structure	clou carroyage	ST2229
PT1707	885530.619233	134867.122549	286.143422	286.14	structure	clou coupe	ST2229
PT1708	885532.393675	134865.432007	286.169297	286.17	structure	clou coupe	ST2229
PT1709	885535.380156	134868.924202	286.148195	286.15	structure	coupe	ST2264
PT1710	885535.192282	134867.430067	286.154907	286.15	structure	coupe	ST2264
PT1711	885535.143291	134868.216506	286.153565	286.15	structure	coupe	ST2264
PT1712	885536.002602	134867.902383	286.122252	286.12	structure	coupe	ST2264
PT1713	885535.437108	134867.405430	286.157278	286.16	structure	coupe	ST2264
PT1714	885534.996651	134868.115942	286.143708	286.14	structure	coupe	ST2264
PT1715	885535.456823	134868.838844	286.139700	286.14	structure	contour	ST2264
PT1716	885535.425359	134868.716322	286.142179	286.14	structure	contour	ST2264

Annexe 4 - Le Clos de Roque, Saint-Maximin-la-Sainte-Baume (83). Inventaire des points topographiques.



PT	X (est)	Y (nord)	Z (alti)	Z (alti)	élément	type de point	identifiant
PT1717	885535.391329	134868.611471	286.147759	286.15	structure	contour	ST2264
PT1718	885535.421759	134868.493817	286.146899	286.15	structure	contour	ST2264
PT1719	885535.360152	134868.429069	286.148938	286.15	structure	contour	ST2264
PT1720	885535.401327	134868.325323	286.135235	286.14	structure	contour	ST2264
PT1721	885535.387134	134868.270454	286.133698	286.13	structure	contour	ST2264
PT1722	885535.404041	134868.089061	286.141335	286.14	structure	contour	ST2264
PT1723	885535.306426	134868.036608	286.144172	286.14	structure	contour	ST2264
PT1724	885535.397568	134867.783812	286.156267	286.16	structure	contour	ST2264
PT1725	885535.397510	134867.598874	286.153404	286.15	structure	contour	ST2264
PT1726	885535.296204	134867.435382	286.160169	286.16	structure	contour	ST2264
PT1727	885535.113498	134867.608716	286.147659	286.15	structure	contour	ST2264
PT1728	885534.960832	134867.823052	286.149891	286.15	structure	contour	ST2264
PT1729	885534.957293	134868.034265	286.137669	286.14	structure	contour	ST2264
PT1730	885535.185234	134868.115194	286.145004	286.15	structure	contour	ST2264
PT1731	885535.230653	134868.243140	286.145615	286.15	structure	contour	ST2264
PT1732	885535.262998	134868.430214	286.148715	286.15	structure	contour	ST2264
PT1733	885535.321207	134868.633412	286.150556	286.15	structure	contour	ST2264
PT1734	885535.228332	134868.770388	286.151658	286.15	structure	contour	ST2264
PT1735	885535.579039	134868.152777	286.147764	286.15	structure	contour	ST2264
PT1736	885535.683794	134868.096979	286.122457	286.12	structure	contour	ST2264
PT1737	885535.871865	134868.034680	286.140069	286.14	structure	contour	ST2264
PT1738	885535.932102	134867.856925	286.142465	286.14	structure	contour	ST2264
PT1739	885535.688367	134867.948001	286.162470	286.16	structure	contour	ST2264
PT1740	885535.491038	134867.962169	286.146375	286.15	structure	contour	ST2264
PT1741	885535.439519	134868.049448	286.141681	286.14	structure	contour	ST2264
PT1742	885535.336440	134868.794087	285.956048	285.96	structure	fond	ST2264
PT1743	885535.371047	134868.651074	286.008792	286.01	structure	fond	ST2264
PT1744	885535.322645	134868.527386	286.014530	286.01	structure	fond	ST2264
PT1745	885535.287925	134868.321537	285.981582	285.98	structure	fond	ST2264
PT1746	885535.302666	134868.172563	285.966108	285.97	structure	fond	ST2264
PT1747	885535.224901	134867.746133	285.891227	285.89	structure	fond	ST2264
PT1748	885535.212835	134867.568914	286.044706	286.04	structure	fond	ST2264
PT1749	885535.365107	134867.490759	286.036973	286.04	structure	fond	ST2264
PT1750	885535.575449	134868.044322	285.973495	285.97	structure	fond	ST2264
PT1751	885535.765299	134867.973984	286.035217	286.04	structure	fond	ST2264
PT1752	885535.871665	134867.935490	286.053056	286.05	structure	fond	ST2264
PT1753	885556.692877	134873.304682	285.896851	285.9	meuble	céramique	ST2096
PT1754	885557.778270	134872.403963	285.563814	285.56	meuble	céramique	ST2096
PT1755	885557.872777	134872.680094	285.502660	285.5	meuble	os	ST2096
PT1756	885557.811072	134872.768668	285.531497	285.53	meuble	lithique	ST2096
PT1757	885557.774223	134872.724762	285.530949	285.53	meuble	os	ST2096
PT1758	885557.609505	134872.719046	285.544261	285.54	meuble	céramique	ST2096
PT1759	885541.127516	134858.693573	286.200947	286.2	meuble	céramique	ST2123
PT1760	885557.102295	134872.840182	285.780207	285.78	meuble	céramique	ST2129
PT1761	885542.789039	134857.756068	286.224167	286.22	meuble	céramique	ST2129
PT1762	885540.389003	134859.981527	286.271672	286.27	meuble	céramique	ST2096
PT1763	885539.711278	134859.991347	286.247731	286.25	meuble	céramique	ST2096
PT1764	885557.425651	134872.165295	285.757187	285.76	meuble	céramique	ST2096
PT1765	885557.152830	134872.181785	285.765480	285.77	meuble	céramique	ST2096
PT1766	885557.171178	134872.735852	285.759335	285.76	meuble	céramique	ST2096
PT1767	885557.215446	134872.855319	285.774412	285.77	meuble	céramique	ST2096
PT1768	885557.203541	134872.795788	285.771518	285.77	meuble	os	ST2096
PT1769	885557.326791	134873.215599	285.792812	285.79	meuble	céramique	ST2096
PT1770	885557.646279	134872.860045	285.543938	285.54	meuble	os	ST2096
PT1771	885557.194233	134871.339574	285.938078	285.94	meuble	lithique	ST2096
PT1772	885557.045807	134871.636371	285.898855	285.9	meuble	os	ST2096
PT1773	885538.418681	134867.797701	286.086761	286.09	structure	contour	ST2156
PT1774	885538.345661	134867.927558	286.086535	286.09	structure	contour	ST2156
PT1775	885538.444380	134868.032152	286.093698	286.09	structure	contour	ST2156
PT1776	885538.564182	134867.936683	286.094975	286.09	structure	contour	ST2156
PT1777	885538.456793	134867.855669	285.989337	285.99	structure	contour fond	ST2156
PT1778	885538.394260	134867.910077	285.989753	285.99	structure	contour fond	ST2156
PT1779	885538.430475	134867.935034	285.991744	285.99	structure	contour fond	ST2156
PT1780	885538.500453	134867.903739	285.991953	285.99	structure	contour fond	ST2156
PT1781	885538.446697	134867.896833	285.985263	285.99	structure	fond	ST2156
PT1782	885559.092699	134872.587124	285.690405	285.69	meuble	céramique	ST2096

PT	X (est)	Y (nord)	Z (alti)	Z (alti)	élément	type de point	identifiant
PT1783	885559.203355	134872.612312	285.642785	285.64	mobilier	os	ST2096
PT1784	885540.779530	134858.377775	286.303016	286.3	structure	contour	ST2125
PT1785	885541.336414	134858.254345	286.273351	286.27	structure	contour	ST2125
PT1786	885541.722686	134858.652252	286.256246	286.26	structure	contour	ST2125
PT1787	885541.765998	134858.909286	286.248642	286.25	structure	contour	ST2125
PT1788	885541.605116	134859.141522	286.259551	286.26	structure	contour	ST2125
PT1789	885541.265395	134859.431241	286.237880	286.24	structure	contour	ST2125
PT1790	885540.794613	134859.301223	286.271876	286.27	structure	contour	ST2125
PT1791	885540.569112	134858.939167	286.285601	286.29	structure	contour	ST2125
PT1792	885540.841975	134858.809042	286.150112	286.15	structure	contour intérieur	ST2125
PT1793	885541.198273	134859.067569	286.128799	286.13	structure	contour intérieur	ST2125
PT1794	885541.475580	134858.803156	286.125856	286.13	structure	contour intérieur	ST2125
PT1795	885541.217405	134858.552537	286.142614	286.14	structure	contour intérieur	ST2125
PT1796	885541.376940	134858.832989	286.030678	286.03	structure	contour fond	ST2125
PT1797	885541.006957	134858.812243	286.006724	286.01	structure	contour fond	ST2125
PT1798	885541.174377	134858.697231	285.972615	285.97	structure	fond	ST2125
PT1799	885544.021049	134858.761487	286.229835	286.23	structure	clou carroyage	ST2123
PT1800	885543.832844	134856.753500	286.300200	286.3	structure	clou carroyage	ST2123
PT1801	885541.838083	134856.932173	286.321994	286.32	structure	clou carroyage	ST2123
PT1802	885543.921100	134857.772285	286.263319	286.26	structure	clou carroyage	ST2265
PT1803	885542.928186	134857.849712	286.139913	286.14	structure	clou carroyage	ST2265
PT1804	885543.035450	134858.830693	286.234463	286.23	structure	clou carroyage	ST2265
PT1805	885557.883622	134872.574630	285.489039	285.49	mobilier	céramique	ST2096
PT1806	885557.834629	134872.976600	285.456529	285.46	mobilier	os	ST2096
PT1807	885540.261963	134859.673371	286.206489	286.21	mobilier	céramique	ST2129
PT1808	885537.383794	134867.255671	286.174668	286.17	structure	clou coupe	ST2154
PT1809	885537.679250	134865.329940	286.173815	286.17	structure	clou coupe	ST2154
PT1810	885537.100198	134867.219034	286.168417	286.17	structure	clou coupe	ST2154
PT1811	885538.232629	134865.199766	286.184716	286.18	structure	clou coupe	ST2154
PT1812	885537.130189	134866.819205	286.140471	286.14	structure	clou coupe	ST2154
PT1813	885537.552824	134867.211320	286.135311	286.14	structure	clou coupe	ST2154
PT1814	885543.017629	134857.930764	286.120553	286.12	structure	fond	ST2123
PT1815	885542.796538	134858.363182	286.246379	286.25	structure	contour	ST2123
PT1816	885543.126433	134858.660366	286.228975	286.23	structure	contour	ST2123
PT1817	885543.368279	134858.746216	286.225260	286.23	structure	contour	ST2123
PT1818	885543.442758	134858.638062	286.229172	286.23	structure	contour	ST2123
PT1819	885543.509712	134858.502254	286.234064	286.23	structure	contour	ST2123
PT1820	885543.253210	134858.234829	286.242906	286.24	structure	contour	ST2123
PT1821	885543.215892	134858.112192	286.249250	286.25	structure	contour	ST2123
PT1822	885543.442975	134857.683514	286.254479	286.25	structure	contour	ST2123
PT1823	885543.639554	134857.524773	286.265240	286.27	structure	contour	ST2123
PT1824	885543.478994	134857.224099	286.276860	286.28	structure	contour	ST2123
PT1825	885543.188255	134857.246974	286.277788	286.28	structure	contour	ST2123
PT1826	885542.937154	134857.518485	286.270150	286.27	structure	contour	ST2123
PT1827	885542.281935	134858.118515	286.261011	286.26	structure	contour	ST2123
PT1828	885542.834336	134858.260244	286.103453	286.1	structure	contour fond	ST2123
PT1829	885543.144654	134858.591466	286.107753	286.11	structure	contour fond	ST2123
PT1830	885543.409221	134858.321456	286.047522	286.05	structure	contour fond	ST2123
PT1831	885543.145456	134858.194250	286.100687	286.1	structure	contour fond	ST2123
PT1832	885543.379005	134857.639938	286.138748	286.14	structure	contour fond	ST2123
PT1833	885543.619616	134857.457150	286.120045	286.12	structure	contour fond	ST2123
PT1834	885543.220630	134857.356551	286.015657	286.02	structure	contour fond	ST2123
PT1835	885542.625509	134857.810572	286.156996	286.16	structure	contour fond	ST2123
PT1836	885543.349397	134858.736876	286.224015	286.22	structure	contour	ST2265
PT1837	885543.497537	134858.515301	286.233190	286.23	structure	contour	ST2265
PT1838	885543.164498	134858.670244	286.229374	286.23	structure	contour	ST2265
PT1839	885543.457130	134858.465036	286.054260	286.05	structure	contour intérieur	ST2265
PT1840	885543.272524	134858.432260	286.064747	286.06	structure	contour intérieur	ST2265
PT1841	885543.376974	134858.686375	285.805247	285.81	structure	contour fond	ST2265
PT1842	885543.460428	134858.511086	285.819956	285.82	structure	contour fond	ST2265
PT1843	885543.294772	134858.479211	285.791228	285.79	structure	contour fond	ST2265
PT1844	885543.225466	134858.607477	285.807763	285.81	structure	contour fond	ST2265
PT1845	885543.359384	134858.564853	285.775302	285.78	structure	fond	ST2265
PT1846	885543.327586	134858.564190	286.231930	286.23	structure	alti sommet	ST2265
PT1847	885537.288418	134866.738291	286.134790	286.13	structure	clou coupe	ST2258
PT1848	885537.842999	134866.531047	286.139688	286.14	structure	clou coupe	ST2258

PT	X (est)	Y (nord)	Z (alti)	Z (alti)	élément	type de point	identifiant
PT1849	885536.475360	134866.920177	286.138363	286.14	structure	contour	ST2155
PT1850	885536.446226	134866.659737	286.160312	286.16	structure	contour	ST2155
PT1851	885536.567674	134866.366289	286.148018	286.15	structure	contour	ST2155
PT1852	885536.535809	134866.155862	286.139186	286.14	structure	contour	ST2155
PT1853	885536.437842	134866.037726	286.110838	286.11	structure	contour	ST2155
PT1854	885536.277544	134865.840334	286.197484	286.2	structure	contour	ST2155
PT1855	885536.097198	134865.931450	286.198473	286.2	structure	contour	ST2155
PT1856	885536.085046	134865.642863	286.198903	286.2	structure	contour	ST2155
PT1857	885535.975029	134865.744953	286.179710	286.18	structure	contour	ST2155
PT1858	885535.754251	134865.690579	286.210738	286.21	structure	contour	ST2155
PT1859	885535.501036	134865.836731	286.171167	286.17	structure	contour	ST2155
PT1860	885535.270245	134865.964945	286.175103	286.18	structure	contour	ST2155
PT1861	885535.366655	134866.166656	286.166901	286.17	structure	contour	ST2155
PT1862	885535.523286	134866.199992	286.160503	286.16	structure	contour	ST2155
PT1863	885535.514787	134866.356505	286.154586	286.15	structure	contour	ST2155
PT1864	885535.374677	134866.302842	286.166186	286.17	structure	contour	ST2155
PT1865	885535.260658	134866.315144	286.162179	286.16	structure	contour	ST2155
PT1866	885535.296921	134866.545832	286.161756	286.16	structure	contour	ST2155
PT1867	885535.091744	134867.014682	286.147716	286.15	structure	contour	ST2155
PT1868	885535.320578	134867.307231	286.157622	286.16	structure	contour	ST2155
PT1869	885535.623102	134867.354500	286.152095	286.15	structure	contour	ST2155
PT1870	885535.715118	134867.274147	286.157368	286.16	structure	contour	ST2155
PT1871	885535.640191	134867.060218	286.171077	286.17	structure	contour	ST2155
PT1872	885535.275813	134867.013796	286.149512	286.15	structure	contour	ST2155
PT1873	885535.437008	134866.916331	286.165291	286.17	structure	contour	ST2155
PT1874	885535.673662	134866.954102	286.174637	286.17	structure	contour	ST2155
PT1875	885535.640416	134866.971499	286.172244	286.17	structure	contour	ST2155
PT1876	885535.801745	134866.836893	286.170534	286.17	structure	contour	ST2155
PT1877	885536.210952	134866.925981	286.150739	286.15	structure	contour	ST2155
PT1878	885535.822060	134866.859420	286.178958	286.18	structure	contour	ST2155
PT1879	885535.539086	134867.173871	285.909781	285.91	structure	contour fond et fond	ST2155
PT1880	885535.242032	134867.115256	285.973630	285.97	structure	contour fond et fond	ST2155
PT1881	885535.179742	134867.019020	285.989829	285.99	structure	contour fond et fond	ST2155
PT1882	885535.198796	134866.942504	286.077219	286.08	structure	contour fond et fond	ST2155
PT1883	885535.592047	134866.875769	286.043281	286.04	structure	contour fond et fond	ST2155
PT1884	885535.559472	134866.747695	286.016679	286.02	structure	contour fond et fond	ST2155
PT1885	885535.449352	134866.700782	286.067749	286.07	structure	contour fond et fond	ST2155
PT1886	885535.350124	134866.805380	286.023752	286.02	structure	contour fond et fond	ST2155
PT1887	885535.384544	134866.731542	286.036858	286.04	structure	contour fond et fond	ST2155
PT1888	885535.458544	134866.622485	286.044016	286.04	structure	contour fond et fond	ST2155
PT1889	885535.561204	134866.495564	286.022942	286.02	structure	contour fond et fond	ST2155
PT1890	885535.433143	134866.477957	286.041504	286.04	structure	contour fond et fond	ST2155
PT1891	885535.333305	134866.362210	286.066830	286.07	structure	contour fond et fond	ST2155
PT1892	885535.440659	134866.408699	286.092386	286.09	structure	contour fond et fond	ST2155
PT1893	885535.660828	134866.574643	286.070719	286.07	structure	contour fond et fond	ST2155
PT1894	885535.901622	134866.504701	286.064552	286.06	structure	contour fond et fond	ST2155
PT1895	885535.684391	134866.716863	286.042358	286.04	structure	contour fond et fond	ST2155
PT1896	885535.847000	134866.677530	286.015594	286.02	structure	contour fond et fond	ST2155
PT1897	885535.944874	134866.642471	286.012326	286.01	structure	contour fond et fond	ST2155
PT1898	885536.042373	134866.622950	286.003703	286	structure	contour fond et fond	ST2155
PT1899	885535.933526	134866.787060	286.090466	286.09	structure	contour fond et fond	ST2155
PT1900	885536.100414	134866.726770	286.051547	286.05	structure	contour fond et fond	ST2155
PT1901	885536.370669	134867.004281	286.072450	286.07	structure	contour fond et fond	ST2155
PT1902	885536.478144	134866.839782	286.099476	286.1	structure	contour fond et fond	ST2155
PT1903	885536.341788	134866.865929	286.047504	286.05	structure	contour fond et fond	ST2155
PT1904	885536.301823	134866.760724	286.080174	286.08	structure	contour fond et fond	ST2155
PT1905	885536.270209	134866.635129	286.055195	286.06	structure	contour fond et fond	ST2155
PT1906	885536.398998	134866.540425	286.098420	286.1	structure	contour fond et fond	ST2155
PT1907	885536.163702	134866.550325	286.069319	286.07	structure	contour fond et fond	ST2155
PT1908	885536.190354	134866.437117	286.048688	286.05	structure	contour fond et fond	ST2155
PT1909	885536.081083	134866.397025	286.031424	286.03	structure	contour fond et fond	ST2155
PT1910	885536.021983	134866.478359	286.025633	286.03	structure	contour fond et fond	ST2155
PT1911	885536.312082	134868.639987	286.148212	286.15	structure	point central	ST2266
PT1912	885536.871469	134868.615107	286.124635	286.12	structure	clou carroyage	ST2266
PT1913	885536.608739	134869.132911	286.148968	286.15	structure	clou carroyage	ST2266
PT1914	885535.994670	134868.164793	286.134581	286.13	structure	clou carroyage	ST2266

PT	X (est)	Y (nord)	Z (alti)	Z (alti)	élément	type de point	identifiant
PT1915	885535.730731	134868.697188	286.139654	286.14	structure	clou carroyage	ST2266
PT1916	885535.621955	134866.346317	286.036057	286.04	structure	fond	ST2155
PT1917	885535.737709	134866.454417	286.048307	286.05	structure	fond	ST2155
PT1918	885535.774599	134866.369531	286.056272	286.06	structure	fond	ST2155
PT1919	885535.653970	134866.533603	286.076021	286.08	structure	fond	ST2155
PT1920	885535.676678	134866.213605	286.067155	286.07	structure	fond	ST2155
PT1921	885535.669819	134866.157517	286.050660	286.05	structure	fond	ST2155
PT1922	885535.588184	134866.213714	286.086462	286.09	structure	fond	ST2155
PT1923	885535.475995	134866.106232	286.108004	286.11	structure	fond	ST2155
PT1924	885535.596383	134866.023982	286.107459	286.11	structure	fond	ST2155
PT1925	885535.455766	134865.938177	286.105622	286.11	structure	fond	ST2155
PT1926	885535.380100	134866.011576	286.001708	286	structure	fond	ST2155
PT1927	885535.672311	134865.975385	286.105820	286.11	structure	fond	ST2155
PT1928	885535.748019	134865.975856	286.072328	286.07	structure	fond	ST2155
PT1929	885535.890483	134865.779465	286.094232	286.09	structure	fond	ST2155
PT1930	885535.744186	134865.880936	286.033264	286.03	structure	fond	ST2155
PT1931	885535.908936	134866.080492	286.054274	286.05	structure	fond	ST2155
PT1932	885536.074812	134866.078207	286.074197	286.07	structure	fond	ST2155
PT1933	885536.100474	134866.202135	286.072399	286.07	structure	fond	ST2155
PT1934	885536.141649	134866.296825	286.071791	286.07	structure	fond	ST2155
PT1935	885535.981579	134866.194989	286.011179	286.01	structure	fond	ST2155
PT1936	885535.808586	134866.036630	286.048879	286.05	structure	fond	ST2155
PT1937	885536.466921	134866.338582	286.062263	286.06	structure	fond	ST2155
PT1938	885536.345886	134866.286259	286.068081	286.07	structure	fond	ST2155
PT1939	885536.216207	134866.176829	286.034028	286.03	structure	fond	ST2155
PT1940	885536.223581	134865.996960	286.080431	286.08	structure	fond	ST2155
PT1941	885536.306342	134866.077191	286.075623	286.08	structure	fond	ST2155
PT1942	885536.468215	134866.256371	286.088018	286.09	structure	fond	ST2155
PT1943	885493.594637	134853.130152	286.199076	286.2	structure	clou carroyage	ST2093
PT1944	885490.774967	134854.158740	286.178815	286.18	structure	clou carroyage	ST2093
PT1945	885491.874864	134856.945398	286.113575	286.11	structure	clou carroyage	ST2093
PT1946	885494.670648	134855.918766	286.088156	286.09	structure	clou carroyage	ST2093
PT1947	885494.184434	134854.909319	286.196240	286.2	structure	clou coupe	ST2093
PT1948	885491.316638	134855.385787	286.197606	286.2	structure	clou coupe	ST2093
PT1949	885541.858924	134855.665938	286.326967	286.33	structure	clou carroyage	ST2122
PT1950	885543.121811	134855.391823	286.327199	286.33	structure	clou carroyage	ST2122
PT1951	885542.865973	134854.085067	286.269835	286.27	structure	clou carroyage	ST2122
PT1952	885541.608932	134854.382605	286.325957	286.33	structure	clou carroyage	ST2122
PT1953	885541.746120	134855.022821	286.329567	286.33	structure	clou coupe	ST2122
PT1954	885542.984179	134854.724721	286.343118	286.34	structure	clou coupe	ST2122
PT1955				0	Err ce point n'existe PAS		
PT1956	885558.367687	134873.128835	285.506808	285.51	mobilier	os	ST2096
PT1957	885558.951780	134873.556086	285.535639	285.54	mobilier	céramique	ST2096
PT1958	885558.680644	134873.522337	285.486289	285.49	mobilier	lithique	ST2096
PT1959	885535.666836	134866.995364	286.182121	286.18	structure	clou coupe	ST2155
PT1960	885535.257014	134866.231767	286.170761	286.17	structure	clou coupe	ST2155
PT1961	885536.046567	134866.944809	286.181251	286.18	structure	clou coupe	ST2155
PT1962	885535.277865	134865.918155	286.184026	286.18	structure	clou coupe	ST2155
PT1963	885536.396209	134867.182875	286.230290	286.23	structure	clou coupe	ST2155
PT1964	885536.055168	134865.512081	286.235003	286.24	structure	clou coupe	ST2155
PT1965	885535.079668	134867.152095	286.187145	286.19	structure	clou coupe	ST2155
PT1966	885535.919516	134865.632334	286.194442	286.19	structure	clou coupe	ST2155
PT1967	885558.741052	134873.328301	285.681457	285.68	prélèvement		ST2096
PT1968	885558.715637	134873.328446	285.661848	285.66	mobilier		ST2096
PT1969	885558.950734	134873.291868	285.624844	285.62	mobilier		ST2096
PT1970	885557.799691	134872.610644	285.381301	285.38	mobilier		ST2096
PT1971	885538.546826	134856.918841	286.330242	286.33	structure	clou carroyage	ST2127
PT1972	885540.524331	134856.572186	286.327760	286.33	structure	clou carroyage	ST2127
PT1973	885540.332896	134855.581042	286.327806	286.33	structure	clou carroyage	ST2127
PT1974	885538.363909	134855.938187	286.347366	286.35	structure	clou carroyage	ST2127
PT1975	885540.690886	134859.185398	286.250967	286.25	structure	contour	ST2129
PT1976	885541.055008	134859.399299	286.221612	286.22	structure	contour	ST2129
PT1977	885541.398385	134859.939420	286.232534	286.23	structure	contour	ST2129
PT1978	885541.135374	134860.734994	286.187928	286.19	structure	contour	ST2129
PT1979	885540.154894	134861.023510	286.235989	286.24	structure	contour	ST2129
PT1980	885539.747822	134860.721237	286.267135	286.27	structure	contour	ST2129

Annexe 4 - Le Clos de Roque, Saint-Maximin-la-Sainte-Baume (83). Inventaire des points topographiques.



PT	X (est)	Y (nord)	Z (alti)	Z (alti)	élément	type de point	identifiant
PT1981	885539.584356	134860.025867	286.259053	286.26	structure	contour	ST2129
PT1982	885539.828179	134859.311196	286.151270	286.15	structure	contour fond	ST2129
PT1983	885540.199788	134859.220542	286.112975	286.11	structure	contour fond	ST2129
PT1984	885540.088069	134859.773359	285.989264	285.99	structure	contour fond	ST2129
PT1985	885540.883393	134859.848167	286.012079	286.01	structure	contour fond	ST2129
PT1986	885541.124789	134860.500164	286.065102	286.07	structure	contour fond	ST2129
PT1987	885540.248342	134860.544005	286.063211	286.06	structure	contour fond	ST2129
PT1988	885540.344164	134859.902521	285.984254	285.98	structure	fond	ST2129
PT1989	885539.592956	134856.502041	286.342857	286.34	structure	clou coupe	ST2127
PT1990	885539.301198	134855.551855	286.356414	286.36	structure	clou coupe	ST2127
PT1991	885542.505973	134854.428838	286.329110	286.33	structure	contour	ST2122
PT1992	885542.527624	134854.592666	286.326608	286.33	structure	contour	ST2122
PT1993	885542.591947	134854.670195	286.326514	286.33	structure	contour	ST2122
PT1994	885542.558696	134854.781705	286.326704	286.33	structure	contour	ST2122
PT1995	885542.781803	134854.825455	286.325994	286.33	structure	contour	ST2122
PT1996	885542.907588	134855.243680	286.317698	286.32	structure	contour	ST2122
PT1997	885542.785017	134855.644146	286.288149	286.29	structure	contour	ST2122
PT1998	885542.498984	134855.387714	286.312596	286.31	structure	contour	ST2122
PT1999	885542.211554	134854.911330	286.315985	286.32	structure	contour	ST2122
PT2000	885542.126924	134854.659290	286.321386	286.32	structure	contour	ST2122
PT2001	885542.213150	134854.362962	286.279101	286.28	structure	contour	ST2122
PT2002	885542.601305	134854.877341	286.227557	286.23	structure	contour fond	ST2122
PT2003	885542.784016	134854.931871	286.244971	286.24	structure	contour fond	ST2122
PT2004	885542.792810	134854.984485	286.279219	286.28	structure	contour fond	ST2122
PT2005	885542.837113	134855.076369	286.170111	286.17	structure	contour fond	ST2122
PT2006	885542.805574	134855.219204	286.223223	286.22	structure	contour fond	ST2122
PT2007	885542.818674	134855.543548	286.240990	286.24	structure	contour fond	ST2122
PT2008	885542.738655	134855.370766	286.032639	286.03	structure	contour fond	ST2122
PT2009	885542.574490	134855.289727	286.217507	286.22	structure	contour fond	ST2122
PT2010	885542.572381	134855.129464	286.218044	286.22	structure	contour fond	ST2122
PT2011	885542.388839	134855.036571	286.263812	286.26	structure	contour fond	ST2122
PT2012	885542.325436	134854.938637	286.171605	286.17	structure	contour fond	ST2122
PT2013	885542.284266	134854.845517	286.058607	286.06	structure	contour fond	ST2122
PT2014	885542.431266	134854.783813	286.209644	286.21	structure	contour fond	ST2122
PT2015	885542.266285	134854.680126	286.238899	286.24	structure	contour fond	ST2122
PT2016	885542.240049	134854.622687	286.200252	286.2	structure	contour fond	ST2122
PT2017	885542.609123	134855.007294	286.258860	286.26	structure	contour fond	ST2122
PT2018	885542.665726	134855.234543	286.223116	286.22	structure	fond	ST2122
PT2019	885542.646979	134855.349953	286.234552	286.23	structure	contour fond	ST2122
PT2020	885542.744915	134855.280507	286.207086	286.21	structure	contour fond	ST2122
PT2021	885542.803809	134855.398065	286.173387	286.17	structure	contour fond	ST2122
PT2022	885542.744754	134855.492220	286.212007	286.21	structure	contour fond	ST2122
PT2023	885542.759544	134855.135883	286.209207	286.21	structure	contour fond	ST2122
PT2024	885542.774017	134855.056610	286.275546	286.28	structure	contour fond	ST2122
PT2025	885542.878468	134855.029321	286.273257	286.27	structure	contour fond	ST2122
PT2026	885542.338575	134854.753300	286.230432	286.23	structure	contour fond	ST2122
PT2027	885542.399192	134854.875073	286.236970	286.24	structure	contour fond	ST2122
PT2028	885542.379590	134855.013912	286.263291	286.26	structure	contour fond	ST2122
PT2029	885542.544406	134854.679404	286.246467	286.25	structure	contour fond	ST2122
PT2030	885541.097348	134856.869276	286.334893	286.33	structure	clou carroyage	ST2126
PT2031	885542.047123	134856.642985	286.325800	286.33	structure	clou carroyage	ST2126
PT2032	885540.877518	134855.879947	286.342643	286.34	structure	clou carroyage	ST2126
PT2033	885540.824615	134856.399756	286.328503	286.33	structure	clou coupe	ST2126
PT2034	885542.073628	134856.108370	286.325359	286.33	structure	clou coupe	ST2126
PT2035	885538.028689	134865.967081	286.155996	286.16	structure	clou carroyage	ST2148
PT2036	885539.994865	134865.945164	286.136537	286.14	structure	clou carroyage	ST2148
PT2037	885540.018652	134861.958527	286.208452	286.21	structure	clou carroyage	ST2148
PT2038	885538.033304	134861.957852	286.221952	286.22	structure	clou carroyage	ST2148
PT2039	885539.036494	134863.961693	286.190425	286.19	structure	point central	ST2148
PT2040	885534.872245	134862.145128	286.237914	286.24	structure	point central	ST2267
PT2041	885535.785010	134861.808834	286.246511	286.25	structure	clou carroyage	ST2267
PT2042	885535.665402	134861.541894	286.200866	286.2	structure	clou carroyage	ST2267
PT2043	885533.888205	134862.428057	286.168812	286.17	structure	clou carroyage	ST2267
PT2044	885533.996708	134862.709289	286.180542	286.18	structure	clou carroyage	ST2267
PT2045	885533.949519	134862.606167	286.201815	286.2	structure	clou coupe	ST2267
PT2046	885535.735503	134861.718789	286.257781	286.26	structure	clou coupe	ST2267

PT	X (est)	Y (nord)	Z (alti)	Z (alti)	élément	type de point	identifiant
PT2047	885537.683764	134863.066921	286.223297	286.22	structure	point central	ST2268
PT2048	885537.876218	134862.882001	286.220010	286.22	structure	clou carroyage	ST2268
PT2049	885537.458594	134862.884484	286.220720	286.22	structure	clou carroyage	ST2268
PT2050	885537.453595	134863.258163	286.225388	286.23	structure	clou carroyage	ST2268
PT2051	885537.877808	134863.261162	286.237387	286.24	structure	clou carroyage	ST2268
PT2052	885537.457646	134863.028159	286.242931	286.24	structure	clou coupe	ST2268
PT2053	885537.883608	134863.037356	286.235822	286.24	structure	clou coupe	ST2268
PT2054	885538.414108	134863.325328	286.228352	286.23	structure	clou carroyage	ST2150
PT2055	885538.429130	134861.953185	286.212585	286.21	structure	clou carroyage	ST2150
PT2056	885537.696423	134861.948961	286.224644	286.22	structure	clou carroyage	ST2150
PT2057	885537.692805	134863.322182	286.235396	286.24	structure	clou carroyage	ST2150
PT2058	885537.696644	134862.661294	286.232023	286.23	structure	clou coupe	ST2150
PT2059	885538.418426	134862.666456	286.240348	286.24	structure	clou coupe	ST2150
PT2060	885537.031444	134864.070177	286.233015	286.23	structure	clou carroyage	ST2151
PT2061	885537.030053	134861.661751	286.216950	286.22	structure	clou carroyage	ST2151
PT2062	885534.695424	134861.667325	286.223689	286.22	structure	clou carroyage	ST2151
PT2063	885534.701970	134864.129883	286.209537	286.21	structure	clou carroyage	ST2151
PT2064	885534.701510	134862.674940	286.231282	286.23	structure	clou coupe	ST2151
PT2065	885537.038354	134862.681314	286.220391	286.22	structure	clou coupe	ST2151
PT2066	885539.616404	134859.116804	286.313643	286.31	structure	clou carroyage	ST2128
PT2067	885540.397190	134858.949118	286.272184	286.27	structure	clou carroyage	ST2128
PT2068	885540.263670	134858.170067	286.318347	286.32	structure	clou carroyage	ST2128
PT2069	885539.476401	134858.316195	286.308966	286.31	structure	clou carroyage	ST2128
PT2070	885539.547744	134858.704984	286.315808	286.32	structure	clou coupe	ST2128
PT2071	885540.634441	134858.527505	286.308056	286.31	structure	clou coupe	ST2128
PT2072	885558.424058	134872.908054	285.463686	285.46	mobilier	os	ST2096
PT2073	885558.406859	134872.921906	285.466238	285.47	mobilier	os	ST2096
PT2074	885558.739907	134872.937206	285.433588	285.43	mobilier	os	ST2096
PT2075	885538.068497	134864.981233	286.160142	286.16	structure	clou coupe	ST2148
PT2076	885538.226209	134864.939059	286.159738	286.16	structure	clou coupe	ST2148
PT2077	885538.823884	134864.955480	286.159110	286.16	structure	clou coupe	ST2148
PT2078	885539.001962	134865.184528	286.153998	286.15	structure	clou coupe	ST2148
PT2079	885539.547945	134855.252939	286.392310	286.39	structure	clou carroyage	ST2136
PT2080	885541.513172	134854.905263	286.332469	286.33	structure	clou carroyage	ST2136
PT2081	885541.135777	134852.924514	286.386768	286.39	structure	clou carroyage	ST2136
PT2082	885539.186007	134853.252199	286.405714	286.41	structure	clou carroyage	ST2136
PT2083	885539.323079	134853.951775	286.440707	286.44	structure	clou coupe	ST2136
PT2084	885541.059368	134853.663579	286.379902	286.38	structure	clou coupe	ST2136
PT2085	885540.230220	134853.343333	286.525582	286.53	structure	topo sommet	ST2136
PT2086	885540.264326	134853.775357	286.511843	286.51	structure	topo sommet	ST2136
PT2087	885539.883231	134853.812753	286.500663	286.5	structure	topo sommet	ST2136
PT2088	885539.956551	134853.424270	286.490916	286.49	structure	topo sommet	ST2136
PT2089	885540.139008	134853.621101	286.491159	286.49	structure	topo sommet	ST2136
PT2090	885540.555307	134853.536147	286.482927	286.48	structure	topo sommet	ST2136
PT2091	885540.708719	134853.802174	286.458193	286.46	structure	topo sommet	ST2136
PT2092	885540.734718	134854.112643	286.451451	286.45	structure	topo sommet	ST2136
PT2093	885540.529340	134854.146115	286.449948	286.45	structure	topo sommet	ST2136
PT2094	885540.245706	134854.154821	286.537585	286.54	structure	topo sommet	ST2136
PT2095	885539.863519	134854.336684	286.511537	286.51	structure	topo sommet	ST2136
PT2096	885540.203763	134854.544111	286.434505	286.43	structure	topo sommet	ST2136
PT2097	885540.496038	134854.376454	286.394639	286.39	structure	topo sommet	ST2136
PT2098	885558.397582	134873.355832	285.481616	285.48	mobilier	os	ST2096
PT2099	885558.402392	134873.373423	285.488865	285.49	mobilier	céramique	ST2096
PT2100	885558.463051	134873.431194	285.504505	285.5	mobilier	céramique	ST2096
PT2101	885558.581466	134873.409273	285.493946	285.49	mobilier	céramique	ST2096
PT2102	885538.453700	134856.680940	286.322794	286.32	structure	contour	ST2127
PT2103	885539.040906	134856.570438	286.329699	286.33	structure	contour	ST2127
PT2104	885539.425222	134856.380573	286.324370	286.32	structure	contour	ST2127
PT2105	885539.942637	134856.325946	286.325779	286.33	structure	contour	ST2127
PT2106	885540.368246	134856.361093	286.320494	286.32	structure	contour	ST2127
PT2107	885540.437612	134855.889374	286.326543	286.33	structure	contour	ST2127
PT2108	885540.120797	134855.753977	286.312106	286.31	structure	contour	ST2127
PT2109	885539.369047	134855.716373	286.353353	286.35	structure	contour	ST2127
PT2110	885538.948443	134855.965485	286.336606	286.34	structure	contour	ST2127
PT2111	885538.585499	134856.279604	286.328242	286.33	structure	contour	ST2127
PT2112	885538.486411	134856.411473	286.321356	286.32	structure	contour	ST2127

Annexe 4 - Le Clos de Roque, Saint-Maximin-la-Sainte-Baume (83). Inventaire des points topographiques.

PT	X (est)	Y (nord)	Z (alti)	Z (alti)	élément	type de point	identifiant
PT2113	885538.656260	134856.506865	286.159985	286.16	structure	contour fond	ST2127
PT2114	885538.871650	134856.454971	286.161872	286.16	structure	contour fond	ST2127
PT2115	885539.319044	134856.275071	286.137805	286.14	structure	contour fond	ST2127
PT2116	885539.817235	134856.138836	286.184245	286.18	structure	contour fond	ST2127
PT2117	885540.122662	134856.308097	286.178391	286.18	structure	contour fond	ST2127
PT2118	885540.280281	134856.064006	286.158959	286.16	structure	contour fond	ST2127
PT2119	885539.950705	134855.945353	286.156842	286.16	structure	contour fond	ST2127
PT2120	885539.760001	134855.933948	286.170040	286.17	structure	contour fond	ST2127
PT2121	885539.344149	134855.907403	286.149187	286.15	structure	contour fond	ST2127
PT2122	885538.980621	134856.152050	286.142231	286.14	structure	contour fond	ST2127
PT2123	885538.703680	134856.385368	286.160127	286.16	structure	contour fond	ST2127
PT2124	885539.398465	134856.074100	286.139756	286.14	structure	fond	ST2127
PT2125	885492.630563	134855.009983	286.013015	286.01	mobilier	os	ST2093
PT2126	885537.278994	134859.999409	286.243850	286.24	structure	clou carroyage	ST2130
PT2127	885539.018188	134859.008216	286.276863	286.28	structure	clou carroyage	ST2130
PT2128	885538.521499	134858.141144	286.290760	286.29	structure	clou carroyage	ST2130
PT2129	885536.776196	134859.133770	286.288728	286.29	structure	clou carroyage	ST2130
PT2130	885538.213064	134859.445791	286.272388	286.27	structure	clou coupe	ST2130
PT2131	885537.658042	134858.665748	286.278412	286.28	structure	clou coupe	ST2130
PT2132	885540.427142	134853.983110	286.470920	286.47	mobilier	lithique	ST2136
PT2133	885559.223135	134872.961903	285.504227	285.5	mobilier	os	ST2096
PT2134	885559.554085	134872.343609	285.536514	285.54	mobilier	céramique	ST2096
PT2135	885559.568867	134872.663346	285.469779	285.47	mobilier	lithique	ST2096
PT2136	885539.851471	134859.050432	286.310770	286.31	structure	contour	ST2128
PT2137	885539.654773	134858.727228	286.298435	286.3	structure	contour	ST2128
PT2138	885539.696171	134858.268316	286.298912	286.3	structure	contour	ST2128
PT2139	885540.121984	134858.149038	286.299783	286.3	structure	contour	ST2128
PT2140	885540.372371	134858.409069	286.291432	286.29	structure	contour	ST2128
PT2141	885540.581431	134858.672356	286.278165	286.28	structure	contour	ST2128
PT2142	885539.929420	134858.706613	286.166069	286.17	structure	contour fond	ST2128
PT2143	885539.921016	134858.416391	286.179002	286.18	structure	contour fond	ST2128
PT2144	885540.250355	134858.571258	286.179452	286.18	structure	contour fond	ST2128
PT2145	885540.017745	134858.597043	286.177147	286.18	structure	fond	ST2128
PT2146	885540.433220	134853.988916	286.436246	286.44	mobilier	céramique	ST2136
PT2147	885540.454133	134854.079665	286.442694	286.44	mobilier	lithique	ST2136
PT2148	885540.126861	134853.926762	286.452936	286.45	mobilier	céramique	ST2136
PT2149	885534.217873	134862.574322	286.174633	286.17	structure	contour	ST2267
PT2150	885534.287466	134862.471745	286.177676	286.18	structure	contour	ST2267
PT2151	885534.168403	134862.363204	286.186333	286.19	structure	contour	ST2267
PT2152	885534.072375	134862.455296	286.177101	286.18	structure	contour	ST2267
PT2153	885534.174988	134862.499971	286.102412	286.1	structure	contour fond	ST2267
PT2154	885534.184440	134862.398916	286.055723	286.06	structure	contour fond	ST2267
PT2155	885534.113502	134862.451653	286.072875	286.07	structure	contour fond	ST2267
PT2156	885534.162863	134862.425063	286.052745	286.05	structure	contour fond	ST2267
PT2157	885534.364791	134862.489739	286.181952	286.18	structure	contour	ST2267
PT2158	885534.473154	134862.387914	286.174453	286.17	structure	contour	ST2267
PT2159	885534.343356	134862.330054	286.181031	286.18	structure	contour	ST2267
PT2160	885534.289515	134862.437568	286.180809	286.18	structure	contour	ST2267
PT2161	885534.413324	134862.427710	286.111504	286.11	structure	contour fond	ST2267
PT2162	885534.362146	134862.341877	286.073678	286.07	structure	contour fond	ST2267
PT2163	885534.319123	134862.398247	286.074300	286.07	structure	contour fond	ST2267
PT2164	885534.556168	134862.335957	286.170777	286.17	structure	contour	ST2267
PT2165	885534.621497	134862.231723	286.180697	286.18	structure	contour	ST2267
PT2166	885534.536744	134862.142637	286.176139	286.18	structure	contour	ST2267
PT2167	885534.446717	134862.293593	286.178851	286.18	structure	contour	ST2267
PT2168	885534.543653	134862.298220	286.080133	286.08	structure	contour fond	ST2267
PT2169	885534.578603	134862.236307	286.141293	286.14	structure	contour fond	ST2267
PT2170	885534.512087	134862.214380	286.098953	286.1	structure	contour fond	ST2267
PT2171	885534.511285	134862.259494	286.083719	286.08	structure	contour fond	ST2267
PT2172	885534.788854	134862.313765	286.217565	286.22	structure	contour fond	ST2267
PT2173	885534.795706	134862.165628	286.217141	286.22	structure	contour	ST2267
PT2174	885534.693475	134862.167820	286.190067	286.19	structure	contour	ST2267
PT2175	885534.653897	134862.294422	286.187949	286.19	structure	contour	ST2267
PT2176	885534.738412	134862.293466	286.104719	286.1	structure	contour	ST2267
PT2177	885534.760359	134862.171763	286.122777	286.12	structure	contour fond	ST2267
PT2178	885534.687041	134862.230611	286.090821	286.09	structure	contour fond	ST2267

PT	X (est)	Y (nord)	Z (alti)	Z (alti)	élément	type de point	identifiant
PT2179	885534.916219	134862.231580	286.217039	286.22	structure	contour fond	ST2267
PT2180	885534.999834	134862.084589	286.219306	286.22	structure	contour	ST2267
PT2181	885534.895766	134862.065097	286.220862	286.22	structure	contour	ST2267
PT2182	885534.806404	134862.133905	286.221696	286.22	structure	contour	ST2267
PT2183	885534.937164	134862.179825	286.107523	286.11	structure	contour	ST2267
PT2184	885534.941914	134862.106851	286.112588	286.11	structure	contour fond	ST2267
PT2185	885534.875707	134862.125110	286.128778	286.13	structure	contour fond	ST2267
PT2186	885535.102828	134862.202469	286.230831	286.23	structure	contour fond	ST2267
PT2187	885535.165677	134862.086839	286.232578	286.23	structure	contour	ST2267
PT2188	885535.046061	134862.015887	286.227371	286.23	structure	contour	ST2267
PT2189	885534.995091	134862.159293	286.223949	286.22	structure	contour	ST2267
PT2190	885535.132453	134862.118891	286.135006	286.14	structure	contour	ST2267
PT2191	885535.069092	134862.046993	286.151404	286.15	structure	contour fond	ST2267
PT2192	885535.058289	134862.117294	286.147491	286.15	structure	contour fond	ST2267
PT2193	885535.096783	134862.002715	286.227951	286.23	structure	contour fond	ST2267
PT2194	885535.102840	134861.935748	286.233519	286.23	structure	contour	ST2267
PT2195	885535.020419	134861.970497	286.224578	286.22	structure	contour	ST2267
PT2196	885535.092429	134861.974932	286.181165	286.18	structure	contour	ST2267
PT2197	885535.059042	134861.944549	286.182595	286.18	structure	contour	ST2267
PT2198	885534.919558	134861.986814	286.230663	286.23	structure	contour fond	ST2267
PT2199	885534.832193	134861.932551	286.215586	286.22	structure	contour fond	ST2267
PT2200	885534.791003	134861.996858	286.207568	286.21	structure	contour	ST2267
PT2201	885534.865353	134862.038401	286.226023	286.23	structure	contour	ST2267
PT2202	885534.839820	134862.016413	286.166763	286.17	structure	contour	ST2267
PT2203	885534.876144	134861.965117	286.166167	286.17	structure	contour	ST2267
PT2204	885535.553958	134861.898730	286.249293	286.25	structure	contour fond	ST2267
PT2205	885535.588829	134861.822462	286.250602	286.25	structure	contour	ST2267
PT2206	885535.473055	134861.744864	286.238408	286.24	structure	contour	ST2267
PT2207	885535.422837	134861.834129	286.251853	286.25	structure	contour	ST2267
PT2208	885535.497339	134861.864586	286.146214	286.15	structure	contour	ST2267
PT2209	885535.538020	134861.813104	286.140205	286.14	structure	contour fond	ST2267
PT2210	885535.496711	134861.769671	286.141344	286.14	structure	contour fond	ST2267
PT2211	885535.457190	134861.812742	286.144368	286.14	structure	contour fond	ST2267
PT2212	885535.508723	134861.817068	286.131180	286.13	structure	contour fond	ST2267
PT2213	885537.142401	134859.782920	286.225394	286.23	structure	contour	ST2130
PT2214	885537.675593	134859.573288	286.254128	286.25	structure	contour	ST2130
PT2215	885538.103571	134859.310601	286.263724	286.26	structure	contour	ST2130
PT2216	885538.448316	134858.995522	286.256695	286.26	structure	contour	ST2130
PT2217	885538.809135	134858.717538	286.271685	286.27	structure	contour	ST2130
PT2218	885538.750288	134858.557824	286.270035	286.27	structure	contour	ST2130
PT2219	885538.642163	134858.393643	286.271394	286.27	structure	contour	ST2130
PT2220	885538.141057	134858.660334	286.259639	286.26	structure	contour	ST2130
PT2221	885537.792665	134858.928368	286.272277	286.27	structure	contour	ST2130
PT2222	885537.397000	134859.211411	286.252256	286.25	structure	contour	ST2130
PT2223	885537.020372	134859.452315	286.214618	286.21	structure	contour	ST2130
PT2224	885537.074044	134859.635923	286.209597	286.21	structure	contour	ST2130
PT2225	885537.187754	134859.708593	286.189784	286.19	structure	contour fond	ST2130
PT2226	885537.641900	134859.522734	286.207292	286.21	structure	contour fond	ST2130
PT2227	885538.008928	134859.263486	286.207878	286.21	structure	contour fond	ST2130
PT2228	885537.919893	134859.119104	286.204857	286.2	structure	contour fond	ST2130
PT2229	885537.820676	134858.992817	286.220091	286.22	structure	contour fond	ST2130
PT2230	885537.439821	134859.230032	286.198778	286.2	structure	contour fond	ST2130
PT2231	885537.070215	134859.459939	286.184924	286.18	structure	contour fond	ST2130
PT2232	885537.073133	134859.601122	286.181467	286.18	structure	contour fond	ST2130
PT2233	885537.344764	134859.460424	286.200889	286.2	structure	fond	ST2130
PT2234	885537.698294	134859.280357	286.208782	286.21	structure	fond	ST2130
PT2235	885541.453631	134856.140625	286.131703	286.13	structure	fond	ST2126
PT2236	885541.296389	134856.165799	286.138472	286.14	structure	contour fond	ST2126
PT2237	885540.947204	134856.282533	286.326414	286.33	structure	contour	ST2126
PT2238	885541.280982	134856.774110	286.345900	286.35	structure	contour	ST2126
PT2239	885541.905633	134856.497310	286.329480	286.33	structure	contour	ST2126
PT2240	885541.902387	134855.906271	286.319475	286.32	structure	contour	ST2126
PT2241	885541.404704	134856.186586	286.139941	286.14	structure	contour fond	ST2126
PT2242	885541.616484	134856.126990	286.145862	286.15	structure	contour fond	ST2126
PT2243	885541.406770	134855.678689	286.315414	286.32	structure	contour fond	ST2126
PT2244	885541.045560	134855.926947	286.338097	286.34	structure	contour	ST2126

Annexe 4 - Le Clos de Roque, Saint-Maximin-la-Sainte-Baume (83). Inventaire des points topographiques.



PT	X (est)	Y (nord)	Z (alti)	Z (alti)	élément	type de point	identifiant
PT2245	885544.510148	134854.327470	286.332001	286.33	structure	contour	ST2126
PT2246	885543.560250	134854.633827	286.349467	286.35	structure	clou carroyage	ST2115
PT2247	885543.867626	134855.601309	286.334168	286.33	structure	clou carroyage	ST2115
PT2248	885544.808017	134855.257169	286.327003	286.33	structure	clou carroyage	ST2115
PT2249	885543.971412	134854.507566	286.347704	286.35	structure	clou carroyage	ST2115
PT2250	885543.862894	134854.256267	286.356073	286.36	structure	clou coupe	ST2115
PT2251	885544.336512	134855.435941	286.346491	286.35	structure	clou coupe	ST2115
PT2252	885516.052929	134871.412560	286.125869	286.13	structure	clou carroyage	ST2205
PT2253	885517.116854	134871.320464	286.137318	286.14	structure	clou carroyage	ST2205
PT2254	885517.027587	134870.259508	286.135265	286.14	structure	clou carroyage	ST2205
PT2255	885515.948404	134870.340402	286.097211	286.1	structure	clou carroyage	ST2205
PT2256	885492.613422	134854.510562	285.931170	285.93	meublier	lithique	ST2093
PT2257	885540.144106	134853.621279	286.504281	286.5	meublier	c�ramique	ST2136
PT2258	885540.336665	134854.061881	286.349948	286.35	meublier	c�ramique	ST2136
PT2259	885540.371860	134854.204282	286.400208	286.4	meublier	c�ramique	ST2136
PT2260	885540.461796	134853.992045	286.338212	286.34	meublier	os	ST2136
PT2261	885540.440741	134854.170170	286.387219	286.39	meublier	os	ST2136
PT2262	885557.696755	134873.038971	285.421714	285.42	meublier	os	ST2096
PT2263	885557.869546	134872.673565	285.307920	285.31	meublier	c�ramique	ST2096
PT2264	885559.517979	134873.011168	285.443273	285.44	meublier	c�ramique	ST2096
PT2265	885516.644712	134871.042823	286.084200	286.08	meublier	os	ST2205
PT2266	885516.678926	134871.006288	286.090730	286.09	meublier	os	ST2205
PT2267	885516.751559	134871.047357	286.087577	286.09	meublier	os	ST2205
PT2268	885516.790613	134871.007998	286.082443	286.08	meublier	os	ST2205
PT2269	885516.770278	134871.003506	286.082238	286.08	meublier	os	ST2205
PT2270	885538.524423	134863.965416	286.200964	286.2	structure	clou coupe	ST2148
PT2271	885540.449079	134854.098437	286.321660	286.32	meublier	os	ST2136
PT2272	885516.366442	134870.998133	286.089202	286.09	structure	clou coupe	ST2205
PT2273	885516.958257	134870.916395	286.090246	286.09	structure	clou coupe	ST2205
PT2274	885516.445584	134870.995786	286.073122	286.07	structure	contour	ST2205
PT2275	885516.736492	134871.180135	286.073642	286.07	structure	contour	ST2205
PT2276	885516.898775	134870.927873	286.073850	286.07	structure	contour	ST2205
PT2277	885516.494170	134870.960220	286.010064	286.01	structure	contour fond	ST2205
PT2278	885516.704229	134871.121145	285.995306	286	structure	contour fond	ST2205
PT2279	885516.829618	134870.901429	286.001787	286	structure	contour fond	ST2205
PT2280	885516.671831	134870.914530	285.979565	285.98	structure	contour fond	ST2205
PT2281	885558.449044	134872.952918	285.390634	285.39	meublier	lithique	ST2096
PT2282	885557.988709	134872.841550	285.261821	285.26	meublier	c�ramique	ST2096
PT2283	885524.784514	134870.960252	286.102153	286.1	structure	clou carroyage	ST2230
PT2284	885523.287481	134871.263777	286.157516	286.16	structure	clou carroyage	ST2230
PT2285	885522.777916	134868.315480	286.085648	286.09	structure	clou carroyage	ST2230
PT2286	885524.262154	134868.016037	286.025174	286.03	structure	clou carroyage	ST2230
PT2287	885495.368501	134871.383599	286.063161	286.06	structure	clou carroyage	ST2073
PT2288	885496.396075	134871.127032	286.040249	286.04	structure	clou carroyage	ST2073
PT2289	885496.134558	134870.082557	286.041330	286.04	structure	clou carroyage	ST2073
PT2290	885495.105877	134870.338101	286.056249	286.06	structure	clou carroyage	ST2073
PT2291	885523.723835	134868.445034	286.066454	286.07	structure	alti sommet	ST2230
PT2292	885523.742133	134868.836273	285.965255	285.97	structure	alti sommet	ST2230
PT2293	885523.925336	134868.879307	285.945425	285.95	structure	alti sommet	ST2230
PT2294	885523.788084	134869.336030	285.887111	285.89	structure	alti sommet	ST2230
PT2295	885524.015297	134869.402600	285.872628	285.87	structure	alti sommet	ST2230
PT2296	885524.184020	134869.738919	285.866275	285.87	structure	alti sommet	ST2230
PT2297	885523.816147	134869.950239	285.852032	285.85	structure	alti sommet	ST2230
PT2298	885523.810382	134870.383919	285.889184	285.89	structure	alti sommet	ST2230
PT2299	885524.331685	134870.246323	285.896043	285.9	structure	alti sommet	ST2230
PT2300	885524.373151	134870.438521	286.093160	286.09	structure	alti sommet	ST2230
PT2301	885523.637167	134870.656118	286.127253	286.13	structure	alti sommet	ST2230
PT2302	885523.818327	134871.007240	286.132907	286.13	structure	alti sommet	ST2230
PT2303	885543.626455	134855.280301	286.314020	286.31	structure	contour	ST2115
PT2304	885543.696997	134854.792107	286.316140	286.32	structure	contour	ST2115
PT2305	885543.871923	134854.433312	286.350466	286.35	structure	contour	ST2115
PT2306	885544.304352	134854.566903	286.299674	286.3	structure	contour	ST2115
PT2307	885544.472138	134854.427080	286.322094	286.32	structure	contour	ST2115
PT2308	885544.514969	134855.079437	286.273871	286.27	structure	contour	ST2115
PT2309	885544.085609	134855.254902	286.308469	286.31	structure	contour	ST2115
PT2310	885543.842491	134855.036394	286.205491	286.21	structure	contour fond	ST2115

PT	X (est)	Y (nord)	Z (alti)	Z (alti)	élément	type de point	identifiant
PT2311	885544.124885	134854.688154	286.207202	286.21	structure	contour fond	ST2115
PT2312	885544.350445	134854.865869	286.210353	286.21	structure	contour fond	ST2115
PT2313	885544.040948	134854.933419	286.215547	286.22	structure	fond	ST2115
PT2314	885545.388933	134853.741230	286.315481	286.32	structure	clou carroyage	ST2113
PT2315	885545.502564	134854.337912	286.312360	286.31	structure	clou carroyage	ST2113
PT2316	885546.097644	134854.256461	286.294383	286.29	structure	clou carroyage	ST2113
PT2317	885545.979024	134853.629274	286.301992	286.3	structure	clou carroyage	ST2113
PT2318	885545.438006	134853.984712	286.308505	286.31	structure	clou coupe	ST2113
PT2319	885546.026478	134853.867137	286.303984	286.3	structure	clou coupe	ST2113
PT2320	885492.740920	134855.112198	286.014692	286.01	mobilier	lithique	ST2093
PT2321	885493.724677	134854.843305	285.920664	285.92	mobilier	céramique	ST2093
PT2322	885493.874838	134854.761885	285.966834	285.97	mobilier	céramique	ST2093
PT2323	885492.843832	134854.333306	285.884633	285.88	mobilier	céramique	ST2093
PT2324	885492.816643	134854.292103	285.897081	285.9	mobilier	céramique	ST2093
PT2325	885538.239659	134862.569379	286.222920	286.22	structure	clou coupe	ST2148
PT2326	885538.219921	134863.301187	286.232125	286.23	structure	clou coupe	ST2148
PT2327	885535.776111	134862.974821	286.261724	286.26	structure	clou coupe	ST2151
PT2328	885536.041885	134862.585694	286.259505	286.26	structure	clou coupe	ST2151
PT2329	885545.599427	134854.105326	286.293119	286.29	structure	contour	ST2113
PT2330	885545.855241	134854.023546	286.266657	286.27	structure	contour	ST2113
PT2331	885545.886867	134853.775487	286.278607	286.28	structure	contour	ST2113
PT2332	885545.562501	134853.837640	286.275152	286.28	structure	contour	ST2113
PT2333	885545.650796	134854.028466	286.179469	286.18	structure	contour fond	ST2113
PT2334	885545.788740	134853.885399	286.183762	286.18	structure	contour fond	ST2113
PT2335	885545.709482	134853.955187	286.176597	286.18	structure	fond	ST2113
PT2336	885559.338085	134872.507581	285.366759	285.37	mobilier	céramique	ST2096
PT2337	885558.853309	134873.010986	285.384972	285.38	mobilier	céramique	ST2096
PT2338	885558.807397	134873.098342	285.415455	285.42	mobilier	céramique	ST2096
PT2339	885558.660335	134873.120882	285.351012	285.35	mobilier	céramique	ST2096
PT2340	885533.705454	134856.856927	286.267721	286.27	structure	clou carroyage	ST2132
PT2341	885534.744197	134858.572142	286.308721	286.31	structure	clou carroyage	ST2132
PT2342	885536.446993	134857.499854	286.338802	286.34	structure	clou carroyage	ST2132
PT2343	885535.380264	134855.808209	286.327792	286.33	structure	clou carroyage	ST2132
PT2344	885534.450203	134858.030409	286.296062	286.3	structure	clou coupe	ST2132
PT2345	885536.146152	134856.983621	286.307810	286.31	structure	clou coupe	ST2132
PT2346	885535.135044	134856.423569	286.324949	286.32	structure	clou carroyage	ST2270
PT2347	885535.302914	134856.913574	286.343532	286.34	structure	clou carroyage	ST2270
PT2348	885535.763314	134856.749732	286.335363	286.34	structure	clou carroyage	ST2270
PT2349	885535.598434	134856.263374	286.327419	286.33	structure	clou carroyage	ST2270
PT2350	885535.465556	134856.646033	286.320952	286.32	structure	point central	ST2270
PT2351	885535.221992	134856.727029	286.332922	286.33	structure	clou coupe	ST2270
PT2352	885535.703527	134856.562509	286.333917	286.33	structure	clou coupe	ST2270
PT2353	885534.777281	134855.914985	286.320257	286.32	structure	clou carroyage	ST2209
PT2354	885534.528835	134854.961698	286.328538	286.33	structure	clou carroyage	ST2209
PT2355	885533.574532	134855.207736	286.290237	286.29	structure	clou carroyage	ST2209
PT2356	885533.819920	134856.157012	286.275840	286.28	structure	clou carroyage	ST2209
PT2357				0			
PT2358				0			
PT2359	885530.586365	134863.978793	286.178648	286.18	structure	clou carroyage	ST2269
PT2360	885531.288901	134863.920424	286.175461	286.18	structure	clou carroyage	ST2269
PT2361	885531.249012	134863.224477	286.172431	286.17	structure	clou carroyage	ST2269
PT2362	885530.560497	134863.259752	286.200342	286.2	structure	clou carroyage	ST2269
PT2363	885530.567430	134863.611167	286.185863	286.19	structure	clou coupe	ST2269
PT2364	885531.372487	134863.596465	286.160752	286.16	structure	clou coupe	ST2269
PT2365	885537.021403	134864.287042	286.203964	286.2	structure	point central	ST2271
PT2366	885537.480329	134864.791575	286.185163	286.19	structure	clou carroyage	ST2271
PT2367	885537.526567	134863.727194	286.217194	286.22	structure	clou carroyage	ST2271
PT2368	885536.449342	134863.693462	286.189617	286.19	structure	clou carroyage	ST2271
PT2369	885536.402533	134864.728321	286.210551	286.21	structure	clou carroyage	ST2271
PT2370	885536.990259	134864.554172	286.203628	286.2	structure	clou coupe	ST2271
PT2371	885536.975612	134864.099986	286.222184	286.22	structure	clou coupe	ST2271
PT2372	885534.327862	134857.384926	286.317999	286.32	structure	point central	ST2272
PT2373	885530.952167	134863.527085	286.187378	286.19	structure	point central	ST2269
PT2374	885534.986518	134859.260234	286.280080	286.28	structure	contour	ST2131
PT2375	885536.829092	134858.032382	286.316955	286.32	structure	contour	ST2131
PT2376	885536.677785	134857.596017	286.327231	286.33	structure	contour	ST2131

Annexe 4 - Le Clos de Roque, Saint-Maximin-la-Sainte-Baume (83). Inventaire des points topographiques.

PT	X (est)	Y (nord)	Z (alti)	Z (alti)	élément	type de point	identifiant
PT2377	885534.746564	134858.904965	286.271058	286.27	structure	contour	ST2131
PT2378	885534.157582	134857.689306	286.287130	286.29	structure	contour	ST2272
PT2379	885534.017627	134857.471984	286.263043	286.26	structure	contour	ST2272
PT2380	885534.975314	134856.587092	286.325290	286.33	structure	contour	ST2272
PT2381	885535.208961	134856.811233	286.332623	286.33	structure	contour	ST2272
PT2382	885534.417658	134855.502198	286.277051	286.28	mobilier	céramique	ST2209
PT2383	885534.381646	134855.531059	286.296636	286.3	mobilier	céramique	ST2209
PT2384	885558.354355	134873.121729	285.239640	285.24	mobilier	céramique	ST2096
PT2385	885558.539546	134872.955996	285.217929	285.22	mobilier	os	ST2096
PT2386	885559.205806	134872.792491	285.439085	285.44	mobilier	lithique	ST2096
PT2387	885559.713285	134873.108590	285.230765	285.23	mobilier	lithique	ST2096
PT2388	885558.952697	134872.922114	285.443870	285.44	prélèvement		ST2096
PT2389	885536.570161	134864.999785	286.200793	286.2	structure	point central	ST2273
PT2390	885536.969422	134865.415255	286.145519	286.15	structure	clou carroyage	ST2273
PT2391	885536.997838	134864.620528	286.187364	286.19	structure	clou carroyage	ST2273
PT2392	885536.176392	134864.601198	286.244154	286.24	structure	clou carroyage	ST2273
PT2393	885536.140827	134865.399098	286.223562	286.22	structure	clou carroyage	ST2273
PT2394	885536.263640	134864.948705	286.224236	286.22	structure	clou coupe	ST2273
PT2395	885536.975055	134864.947796	286.180900	286.18	structure	clou coupe	ST2273
PT2396	885530.912111	134863.318282	286.165964	286.17	structure	contour	ST2269
PT2397	885531.165153	134863.360673	286.157066	286.16	structure	contour	ST2269
PT2398	885531.306033	134863.614142	286.151892	286.15	structure	contour	ST2269
PT2399	885530.925322	134863.894886	286.144300	286.14	structure	contour	ST2269
PT2400	885530.638362	134863.759892	286.175724	286.18	structure	contour	ST2269
PT2401	885530.699225	134863.351307	286.186756	286.19	structure	contour	ST2269
PT2402	885530.837392	134863.476092	285.932438	285.93	structure	fond	ST2269
PT2403	885531.055809	134863.567515	286.019495	286.02	structure	fond	ST2269
PT2404	885559.037943	134872.756907	285.655063	285.66	structure	point central	ST2274
PT2405	885558.804928	134873.306016	285.716893	285.72	prélèvement		ST2096
PT2406	885558.986027	134873.179321	285.701717	285.7	prélèvement		ST2096
PT2407	885558.618483	134873.271648	285.560105	285.56	prélèvement		ST2096
PT2408	885558.928526	134873.062998	285.563290	285.56	prélèvement		ST2096
PT2409	885558.821797	134873.167365	285.618349	285.62	prélèvement	point central	ST2096
PT2410	885559.004674	134872.979852	285.634534	285.63	prélèvement		ST2096
PT2411	885558.910596	134872.979047	285.551758	285.55	prélèvement		ST2096
PT2412	885558.907600	134873.065767	285.368834	285.37	prélèvement		ST2096
PT2413	885558.919835	134873.075785	285.323846	285.32	prélèvement		ST2096
PT2414	885558.761973	134873.123118	285.384343	285.38	prélèvement		ST2096
PT2415	885558.767226	134873.132441	285.340314	285.34	prélèvement		ST2096
PT2416	885494.658153	134870.967322	286.040758	286.04	structure	clou coupe	ST2073
PT2417	885496.612842	134870.716937	286.037440	286.04	structure	clou coupe	ST2073
PT2418	885559.086572	134872.516833	285.757773	285.76	structure	clou coupe	ST2274
PT2419	885558.418600	134873.672234	285.753187	285.75	structure	clou coupe	ST2274
PT2420	885558.717437	134873.109478	285.355633	285.36	prélèvement		ST2096
PT2421	885558.733765	134873.112201	285.304813	285.3	prélèvement		ST2096
PT2422	885538.184731	134861.580786	286.214023	286.21	structure	point central	ST2275
PT2423	885539.495273	134865.138011	286.141117	286.14	structure	clou coupe	ST2148
PT2424	885537.473922	134865.324658	286.177209	286.18	structure	clou coupe	ST2148
PT2425	885538.103476	134865.634162	286.135936	286.14	structure	clou coupe	ST2148
PT2426	885538.507337	134863.907071	286.191126	286.19	structure	clou coupe	ST2148
PT2427	885538.629467	134864.843193	286.147958	286.15	structure	clou coupe	ST2148
PT2428	885538.967989	134862.991237	286.195194	286.2	structure	clou coupe	ST2148
PT2429	885538.053157	134865.517530	286.145734	286.15	structure	contour	ST2148
PT2430	885538.194707	134865.504584	286.144187	286.14	structure	contour	ST2148
PT2431	885538.352011	134865.560831	286.136483	286.14	structure	contour	ST2148
PT2432	885538.581059	134865.538523	286.141866	286.14	structure	contour	ST2148
PT2433	885538.817650	134865.495199	286.149594	286.15	structure	contour	ST2148
PT2434	885539.081894	134865.393222	286.148925	286.15	structure	contour	ST2148
PT2435	885539.271645	134865.067241	286.110017	286.11	structure	contour	ST2148
PT2436	885539.195037	134864.758253	286.134089	286.13	structure	contour	ST2148
PT2437	885538.959216	134864.875616	286.153991	286.15	structure	contour	ST2148
PT2438	885538.660400	134865.004163	286.148918	286.15	structure	contour	ST2148
PT2439	885538.509163	134865.088021	286.117931	286.12	structure	contour	ST2148
PT2440	885538.409892	134864.888615	286.149111	286.15	structure	contour	ST2148
PT2441	885538.572629	134864.727313	286.157292	286.16	structure	contour	ST2148
PT2442	885538.781824	134864.610503	286.161325	286.16	structure	contour	ST2148

Annexe 4 - Le Clos de Roque, Saint-Maximin-la-Sainte-Baume (83). Inventaire des points topographiques.

PT	X (est)	Y (nord)	Z (alti)	Z (alti)	élément	type de point	identifiant
PT2443	885538.771558	134864.383355	286.158333	286.16	structure	contour	ST2148
PT2444	885538.971459	134864.213849	286.156638	286.16	structure	contour	ST2148
PT2445	885539.060544	134863.996319	286.186530	286.19	structure	contour	ST2148
PT2446	885539.098125	134863.779096	286.206383	286.21	structure	contour	ST2148
PT2447	885539.125587	134863.360141	286.174307	286.17	structure	contour	ST2148
PT2448	885539.005339	134863.063139	286.196251	286.2	structure	contour	ST2148
PT2449	885538.826139	134863.036926	286.188125	286.19	structure	contour	ST2148
PT2450	885538.614776	134862.807421	286.191151	286.19	structure	contour	ST2148
PT2451	885538.490955	134862.649735	286.194778	286.19	structure	contour	ST2148
PT2452	885538.245934	134862.664116	286.207762	286.21	structure	contour	ST2148
PT2453	885538.185664	134862.873849	286.132671	286.13	structure	contour	ST2148
PT2454	885538.210084	134863.143135	286.199064	286.2	structure	contour	ST2148
PT2455	885538.308159	134863.245548	286.215236	286.22	structure	contour	ST2148
PT2456	885538.470444	134863.317663	286.218622	286.22	structure	contour	ST2148
PT2457	885538.716647	134863.493338	286.219941	286.22	structure	contour	ST2148
PT2458	885538.631187	134863.716392	286.216435	286.22	structure	contour	ST2148
PT2459	885538.601130	134863.972855	286.186110	286.19	structure	contour	ST2148
PT2460	885538.405619	134864.209829	286.184397	286.18	structure	contour	ST2148
PT2461	885538.367397	134864.426432	286.151052	286.15	structure	contour	ST2148
PT2462	885538.050942	134864.624233	286.128676	286.13	structure	contour	ST2148
PT2463	885537.959914	134864.792427	286.141807	286.14	structure	contour	ST2148
PT2464	885537.997573	134865.125069	286.148856	286.15	structure	contour	ST2148
PT2465	885537.885776	134865.357901	285.946754	285.95	structure	fond	ST2148
PT2466	885538.257212	134865.201182	285.802654	285.8	structure	fond	ST2148
PT2467	885538.448000	134865.303655	285.902621	285.9	structure	fond	ST2148
PT2468	885538.579996	134865.275634	285.870017	285.87	structure	fond	ST2148
PT2469	885538.727576	134865.243412	285.938194	285.94	structure	fond	ST2148
PT2470	885538.870197	134865.225749	285.880206	285.88	structure	fond	ST2148
PT2471	885538.202205	134864.846927	285.916488	285.92	structure	fond	ST2148
PT2472	885538.312445	134864.721982	285.864597	285.86	structure	fond	ST2148
PT2473	885538.491579	134864.509708	285.936977	285.94	structure	fond	ST2148
PT2474	885538.609723	134864.292279	285.867449	285.87	structure	fond	ST2148
PT2475	885538.760888	134864.126989	285.861833	285.86	structure	fond	ST2148
PT2476	885538.864458	134863.921468	285.944273	285.94	structure	fond	ST2148
PT2477	885538.788724	134863.785904	285.943473	285.94	structure	fond	ST2148
PT2478	885538.841589	134863.681822	285.989451	285.99	structure	fond	ST2148
PT2479	885538.977027	134863.618384	285.911905	285.91	structure	fond	ST2148
PT2480	885538.897063	134863.275840	285.992904	285.99	structure	fond	ST2148
PT2481	885538.561372	134862.999419	285.994543	285.99	structure	fond	ST2148
PT2482	885538.284110	134862.910472	286.024136	286.02	structure	fond	ST2148
PT2483	885538.468349	134862.815489	285.973797	285.97	structure	fond	ST2148
PT2484	885538.950165	134872.808189	285.478366	285.48	prélèvement		ST2096
PT2485	885538.863886	134872.805098	285.344819	285.34	prélèvement		ST2096
PT2486	885502.614412	134921.501151	285.847092	285.85	structure	point central	ST2276
PT2487	885534.873264	134874.965392	286.154037	286.15	structure	point central	ST2277
PT2488	885508.589828	134919.038244	285.791753	285.79	structure	point central	ST2278
PT2489	885510.458354	134916.482077	285.812369	285.81	structure	point central	ST2279
PT2490	885504.934303	134923.792344	285.838212	285.84	structure	point central	ST2280
PT2491	885508.541690	134929.551563	285.792184	285.79	structure	point central	ST2281
PT2492	885506.141133	134928.665771	285.809781	285.81	structure	point central	ST2282
PT2493	885506.662889	134934.850072	285.807722	285.81	structure	point central	ST2283
PT2494	885504.383046	134934.460932	285.776817	285.78	structure	point central	ST2284
PT2495	885495.701074	134957.677697	285.718137	285.72	structure	point central	ST2285
PT2496	885499.463687	134939.766637	285.787696	285.79	structure	point central	ST2286
PT2497	885494.632027	134932.596101	285.812931	285.81	structure	point central	ST2287
PT2498	885495.674072	134930.041258	285.803557	285.8	structure	point central	ST2288
PT2499	885497.130522	134929.017831	285.793910	285.79	structure	point central	ST2289
PT2500	885497.627587	134923.504979	285.822549	285.82	structure	point central	ST2290
PT2501	885501.144418	134910.136320	285.841437	285.84	structure	point central	ST2291
PT2502	885501.881062	134909.646128	285.836361	285.84	structure	point central	ST2292
PT2503	885558.558549	134873.063807	285.180936	285.18	meublier	céramique	ST2096
PT2504	885558.712693	134873.011640	285.243695	285.24	meublier	céramique	ST2096
PT2505	885494.148697	134902.687669	285.883051	285.88	structure	point central	ST2293
PT2506	885492.140255	134898.545050	285.875282	285.88	structure	point central	ST2294
PT2507	885494.298216	134897.877581	285.891490	285.89	structure	point central	ST2295
PT2508	885495.771001	134896.668278	285.910633	285.91	structure	point central	ST2296



PT	X (est)	Y (nord)	Z (alti)	Z (alti)	élément	type de point	identifiant
PT2509	885496.108209	134896.364517	285.933996	285.93	structure	point central	ST2297
PT2510	885495.145444	134896.364461	285.895911	285.9	structure	point central	ST2298
PT2511	885493.962792	134896.376968	285.879801	285.88	structure	point central	ST2299
PT2512	885491.863568	134896.864071	285.865446	285.87	structure	point central	ST2300
PT2513	885491.465157	134895.540170	285.850670	285.85	structure	point central	ST2301
PT2514	885493.692075	134894.870132	285.875608	285.88	structure	point central	ST2302
PT2515	885492.738156	134896.615215	285.876784	285.88	structure	point central	ST2303
PT2516	885500.110495	134895.077354	285.962393	285.96	structure	point central	ST2304
PT2517	885499.650399	134893.139537	285.958516	285.96	structure	point central	ST2305
PT2518	885500.186270	134892.626696	285.948067	285.95	structure	point central	ST2306
PT2519	885502.484900	134890.679236	285.966061	285.97	structure	point central	ST2307
PT2520	885497.965292	134894.666786	285.898133	285.9	structure	point central	ST2308
PT2521	885508.218350	134881.447721	286.198841	286.2	structure	point central	ST2309
PT2522	885510.319380	134884.008176	286.092204	286.09	structure	point central	ST2310
PT2523	885538.291574	134864.286043	286.183411	286.18	structure	clou carroyage	ST2149
PT2524	885538.310075	134863.498860	286.218518	286.22	structure	clou carroyage	ST2149
PT2525	885537.516859	134863.458989	286.212178	286.21	structure	clou carroyage	ST2149
PT2526	885537.493230	134864.261064	286.203061	286.2	structure	clou carroyage	ST2149
PT2527	885537.620466	134864.189622	286.221662	286.22	structure	clou coupe	ST2149
PT2528	885537.636267	134863.713350	286.236651	286.24	structure	clou coupe	ST2149
PT2529	885554.015463	134872.024747	286.107688	286.11	structure	clou carroyage	ST2097
PT2530	885553.956073	134873.100887	286.101932	286.1	structure	clou carroyage	ST2097
PT2531	885555.030922	134873.147463	286.140692	286.14	structure	clou carroyage	ST2097
PT2532	885555.083335	134872.077102	286.125814	286.13	structure	clou carroyage	ST2097
PT2533	885558.431784	134873.030828	285.096574	285.1	prélèvement		ST2096
PT2534	885554.341198	134872.190477	286.103868	286.1	structure	clou coupe	ST2097
PT2535	885554.333073	134873.111851	286.106626	286.11	structure	clou coupe	ST2097
PT2536	885493.570441	134856.331022	285.873274	285.87	structure	point central	ST2311
PT2537	885494.080758	134855.233166	286.098535	286.1	structure	clou carroyage	ST2311
PT2538	885492.438442	134856.336640	285.914772	285.91	structure	clou carroyage	ST2311
PT2539	885493.518983	134858.018815	286.104013	286.1	structure	clou carroyage	ST2311
PT2540	885495.178871	134856.910153	286.017452	286.02	structure	clou carroyage	ST2311
PT2541	885494.559197	134855.886547	286.150972	286.15	structure	clou coupe	ST2093
PT2542	885493.004885	134855.864834	286.146052	286.15	structure	clou coupe	ST2093
PT2543	885536.555612	134864.616522	286.197859	286.2	structure	contour	ST2273
PT2544	885536.273940	134865.037800	286.209246	286.21	structure	contour	ST2273
PT2545	885536.585678	134865.452089	286.161585	286.16	structure	contour	ST2273
PT2546	885537.007845	134865.036360	286.163930	286.16	structure	contour	ST2273
PT2547	885536.770516	134864.679296	286.141882	286.14	structure	contour	ST2273
PT2548	885536.643365	134865.000236	286.033561	286.03	structure	fond	ST2273
PT2549	885539.562161	134863.559726	286.163993	286.16	structure	point central	ST2312
PT2550	885540.100043	134864.065506	286.134960	286.13	structure	clou carroyage	ST2312
PT2551	885540.088536	134863.067097	286.174590	286.17	structure	clou carroyage	ST2312
PT2552	885539.086492	134863.074656	286.188937	286.19	structure	clou carroyage	ST2312
PT2553	885539.104500	134864.070060	286.175067	286.18	structure	clou carroyage	ST2312
PT2554	885540.439439	134863.500709	286.171675	286.17	structure	clou coupe	ST2312
PT2555	885539.454646	134863.494623	286.155971	286.16	structure	clou coupe	ST2312
PT2556	885515.988887	134854.485586	286.173407	286.17	structure	clou carroyage	ST2227
PT2557	885514.344719	134854.609556	286.141019	286.14	structure	clou carroyage	ST2227
PT2558	885514.304399	134853.838795	286.155024	286.16	structure	clou carroyage	ST2227
PT2559	885515.899320	134853.693871	286.160840	286.16	structure	clou carroyage	ST2227
PT2560	885554.375073	134872.311481	286.103816	286.1	structure	contour	ST2097
PT2561	885554.156684	134872.583548	286.091290	286.09	structure	contour	ST2097
PT2562	885554.346900	134872.860519	286.098810	286.1	structure	contour	ST2097
PT2563	885554.646270	134872.796660	286.101859	286.1	structure	contour	ST2097
PT2564	885554.742453	134872.499812	286.090914	286.09	structure	contour	ST2097
PT2565	885554.608717	134872.303011	286.088367	286.09	structure	contour	ST2097
PT2566	885533.379250	134874.462389	286.028424	286.03	structure	contour	ST2277
PT2567	885534.153513	134874.391161	286.109859	286.11	structure	contour	ST2277
PT2568	885534.701854	134874.357654	286.140506	286.14	structure	contour	ST2277
PT2569	885535.175268	134874.772328	286.133955	286.13	structure	contour	ST2277
PT2570	885535.142238	134875.456918	286.119048	286.12	structure	contour	ST2277
PT2571	885534.922398	134876.036289	286.111935	286.11	structure	contour	ST2277
PT2572	885534.630840	134876.099254	286.047617	286.05	structure	contour	ST2277
PT2573	885533.730848	134874.556186	286.014834	286.01	structure	contour fond	ST2277
PT2574	885534.283757	134874.520329	286.046386	286.05	structure	contour fond	ST2277

Annexe 4 - Le Clos de Roque, Saint-Maximin-la-Sainte-Baume (83). Inventaire des points topographiques.

PT	X (est)	Y (nord)	Z (alti)	Z (alti)	élément	type de point	identifiant
PT2575	885534.902775	134874.619106	286.020144	286.02	structure	contour fond	ST2277
PT2576	885534.997054	134875.396638	286.013719	286.01	structure	contour fond	ST2277
PT2577	885534.625297	134875.926836	286.022807	286.02	structure	contour fond	ST2277
PT2578	885534.478003	134875.344868	285.998796	286	structure	fond	ST2277
PT2579	885493.693157	134856.208455	285.822579	285.82	prélèvement		ST2311
PT2580	885558.257903	134873.215509	285.293968	285.29	mobilier	céramique	ST2096
PT2581	885537.890940	134872.672501	286.094849	286.09	structure	clou carroyage	ST2313
PT2582	885537.743925	134872.183040	286.122796	286.12	structure	clou carroyage	ST2313
PT2583	885538.250160	134872.050023	286.096931	286.1	structure	clou carroyage	ST2313
PT2584	885538.387027	134872.527935	286.080074	286.08	structure	clou carroyage	ST2313
PT2585	885538.429916	134872.364351	286.086896	286.09	structure	clou coupe	ST2313
PT2586	885537.829984	134872.376491	286.113706	286.11	structure	clou coupe	ST2313
PT2587	885538.124011	134872.382221	286.088255	286.09	structure	point central	ST2313
PT2588	885493.864044	134855.874014	286.273065	286.27	structure	contour	ST2311
PT2589	885494.150976	134856.143948	286.274429	286.27	structure	contour	ST2311
PT2590	885494.204698	134856.374877	286.224899	286.22	structure	contour	ST2311
PT2591	885494.203112	134856.550201	286.213130	286.21	structure	contour	ST2311
PT2592	885494.084716	134856.659687	286.116097	286.12	structure	contour	ST2311
PT2593	885493.847712	134856.755978	286.051495	286.05	structure	contour	ST2311
PT2594	885493.612477	134856.976528	286.006335	286.01	structure	contour	ST2311
PT2595	885493.475209	134857.087983	286.042593	286.04	structure	contour	ST2311
PT2596	885493.428799	134857.187135	286.055982	286.06	structure	contour	ST2311
PT2597	885493.453102	134857.256701	286.047227	286.05	structure	contour	ST2311
PT2598	885493.009582	134857.003467	286.119174	286.12	structure	contour	ST2311
PT2599	885492.872120	134856.861654	286.239017	286.24	structure	contour	ST2311
PT2600	885492.958347	134856.353580	286.248795	286.25	structure	contour	ST2311
PT2601	885493.130434	134856.076254	286.330461	286.33	structure	contour	ST2311
PT2602	885493.269140	134855.858136	286.352525	286.35	structure	contour	ST2311
PT2603	885493.637061	134856.759417	286.018507	286.02	structure	contour	ST2311
PT2604	885493.272785	134856.692918	286.074929	286.07	structure	contour	ST2311
PT2605	885493.370920	134856.417457	286.069863	286.07	structure	contour fond	ST2311
PT2606	885493.813790	134856.246293	286.109908	286.11	structure	contour fond	ST2311
PT2607	885494.012735	134856.423842	286.128865	286.13	structure	contour fond	ST2311
PT2608	885540.055992	134854.904354	286.448517	286.45	structure	contour	ST2136
PT2609	885539.351627	134853.954709	286.431650	286.43	structure	contour	ST2136
PT2610	885539.463274	134853.960024	286.422008	286.42	structure	contour	ST2136
PT2611	885540.260355	134853.216358	286.535523	286.54	structure	contour	ST2136
PT2612	885540.983728	134853.593803	286.360833	286.36	structure	contour	ST2136
PT2613	885540.555135	134853.440199	286.240739	286.24	structure	contour fond	ST2136
PT2614	885539.579921	134853.745729	286.301225	286.3	structure	contour fond	ST2136
PT2615	885539.662263	134854.374380	286.341940	286.34	structure	contour fond	ST2136
PT2616	885540.379527	134854.468899	286.315175	286.32	structure	contour fond	ST2136
PT2617	885540.887798	134854.056681	286.331143	286.33	structure	contour fond	ST2136
PT2618	885540.234510	134853.956694	286.258068	286.26	structure	fond	ST2136
PT2619	885514.385696	134854.650751	286.140436	286.14	structure	contour	ST2227
PT2620	885514.456176	134854.197153	286.154292	286.15	structure	contour	ST2227
PT2621	885514.720733	134853.921459	286.162978	286.16	structure	contour	ST2227
PT2622	885515.125409	134853.798699	286.161582	286.16	structure	contour	ST2227
PT2623	885515.519813	134853.964454	286.161510	286.16	structure	contour	ST2227
PT2624	885515.793510	134854.193468	286.175148	286.18	structure	contour	ST2227
PT2625	885515.925992	134854.477134	286.153244	286.15	structure	contour	ST2227
PT2626	885515.670480	134854.432840	286.037904	286.04	structure	contour fond	ST2227
PT2627	885515.479099	134854.248507	286.014005	286.01	structure	contour fond	ST2227
PT2628	885515.155481	134854.153472	285.996540	286	structure	contour fond	ST2227
PT2629	885514.780324	134854.272374	285.983454	285.98	structure	contour fond	ST2227
PT2630	885514.660915	134854.601068	285.993580	285.99	structure	contour fond	ST2227
PT2631	885515.189224	134854.637528	285.997781	286	structure	fond	ST2227
PT2632	885538.793311	134874.944425	286.056321	286.06	structure	point central	ST2314
PT2633	885539.030431	134875.105561	286.061704	286.06	structure	clou carroyage	ST2314
PT2634	885538.541857	134875.205773	286.069977	286.07	structure	clou carroyage	ST2314
PT2635	885538.467973	134874.687680	286.073902	286.07	structure	clou carroyage	ST2314
PT2636	885538.958317	134874.617527	286.054267	286.05	structure	clou carroyage	ST2314
PT2637	885538.786526	134864.398845	286.171384	286.17	structure	point coupe	ST2149
PT2638	885538.024206	134863.367138	286.244644	286.24	structure	point coupe	ST2149
PT2639	885537.481643	134864.139419	286.198388	286.2	structure	contour	ST2149
PT2640	885537.542447	134864.540591	286.188215	286.19	structure	contour	ST2149

PT	X (est)	Y (nord)	Z (alti)	Z (alti)	élément	type de point	identifiant
PT2641	885537.841293	134864.447240	286.187839	286.19	structure	contour	ST2149
PT2642	885537.900678	134864.281593	286.213536	286.21	structure	contour	ST2149
PT2643	885537.918527	134864.081014	286.206760	286.21	structure	contour	ST2149
PT2644	885538.008853	134864.057422	286.199782	286.2	structure	contour	ST2149
PT2645	885538.155572	134864.234463	286.184759	286.18	structure	contour	ST2149
PT2646	885538.376852	134864.348100	286.159183	286.16	structure	contour	ST2149
PT2647	885538.476253	134864.098625	286.189333	286.19	structure	contour	ST2149
PT2648	885538.404838	134863.912218	286.201087	286.2	structure	contour	ST2149
PT2649	885538.310536	134863.798896	286.196023	286.2	structure	contour	ST2149
PT2650	885538.229026	134863.781125	286.199351	286.2	structure	contour	ST2149
PT2651	885538.158489	134863.682665	286.199390	286.2	structure	contour	ST2149
PT2652	885537.967730	134863.579529	286.221147	286.22	structure	contour	ST2149
PT2653	885537.609657	134863.617155	286.206720	286.21	structure	contour	ST2149
PT2654	885537.512032	134863.978017	285.990495	285.99	structure	contour fond	ST2149
PT2655	885537.566589	134864.117592	286.078826	286.08	structure	contour fond	ST2149
PT2656	885537.593555	134864.385308	286.080999	286.08	structure	contour fond	ST2149
PT2657	885537.762488	134864.309975	286.084339	286.08	structure	contour fond	ST2149
PT2658	885537.876981	134864.042911	286.057144	286.06	structure	contour fond	ST2149
PT2659	885537.813993	134863.879334	286.084310	286.08	structure	contour fond	ST2149
PT2660	885537.816488	134864.215366	286.001406	286	structure	contour	ST2149
PT2661	885537.803723	134864.155224	286.011940	286.01	structure	contour	ST2149
PT2662	885537.681137	134864.151293	285.993585	285.99	structure	contour	ST2149
PT2663	885537.663236	134864.061672	285.992291	285.99	structure	contour	ST2149
PT2664	885537.627801	134864.113836	286.009015	286.01	structure	contour	ST2149
PT2665	885537.728729	134863.942203	285.948511	285.95	structure	contour	ST2149
PT2666	885537.693480	134863.833780	285.959440	285.96	structure	contour	ST2149
PT2667	885537.963501	134863.846387	285.971084	285.97	structure	contour fond	ST2149
PT2668	885538.086767	134863.999967	285.930586	285.93	structure	contour fond	ST2149
PT2669	885538.208651	134864.119986	285.940349	285.94	structure	contour fond	ST2149
PT2670	885538.292919	134864.159608	285.892034	285.89	structure	contour fond	ST2149
PT2671	885538.359737	134864.218313	285.902860	285.9	structure	contour fond	ST2149
PT2672	885538.450494	134864.274346	285.919542	285.92	structure	contour fond	ST2149
PT2673	885538.316124	134863.992413	285.939429	285.94	structure	contour fond	ST2149
PT2674	885538.163221	134863.776795	285.918931	285.92	structure	contour fond	ST2149
PT2675	885539.134146	134874.836651	286.061489	286.06	structure	clou coupe	ST2314
PT2676	885538.437923	134875.022632	286.069367	286.07	structure	clou coupe	ST2314
PT2677	885538.110728	134872.312748	285.854709	285.85	prélèvement		ST2313
PT2678	885537.985440	134872.341405	286.092649	286.09	structure	contour	ST2313
PT2679	885538.193049	134872.229365	286.094224	286.09	structure	contour	ST2313
PT2680	885538.271047	134872.391715	286.086150	286.09	structure	contour	ST2313
PT2681	885538.107076	134872.496204	286.072768	286.07	structure	contour	ST2313
PT2682	885538.106176	134872.350770	285.855050	285.86	structure	fond	ST2313
PT2683	885538.118176	134872.255553	285.871970	285.87	structure	fond	ST2313
PT2684	885535.244347	134856.692496	286.315263	286.32	structure	contour	ST2132
PT2685	885534.701602	134856.905462	286.298027	286.3	structure	contour	ST2132
PT2686	885534.419597	134857.556498	286.327750	286.33	structure	contour	ST2132
PT2687	885535.337913	134858.425526	286.314750	286.31	structure	contour	ST2132
PT2688	885536.058864	134857.498086	286.309887	286.31	structure	contour	ST2132
PT2689	885535.906291	134857.502651	286.050193	286.05	structure	contour fond	ST2132
PT2690	885535.672043	134856.934934	286.054843	286.05	structure	contour fond	ST2132
PT2691	885534.735657	134857.006502	285.985466	285.99	structure	contour fond	ST2132
PT2692	885534.744073	134858.104951	286.016929	286.02	structure	contour fond	ST2132
PT2693	885535.333809	134858.254664	285.986602	285.99	structure	contour fond	ST2132
PT2694	885535.213429	134857.554835	285.990059	285.99	structure	fond	ST2132
PT2695	885531.356231	134865.744295	286.167503	286.17	structure	contour	ST2229
PT2696	885531.716880	134865.432895	286.151707	286.15	structure	contour	ST2229
PT2697	885531.790105	134865.226057	286.145704	286.15	structure	contour	ST2229
PT2698	885532.293165	134864.970536	286.123661	286.12	structure	contour	ST2229
PT2699	885532.841778	134865.124991	286.152513	286.15	structure	contour	ST2229
PT2700	885533.012690	134865.540579	286.130700	286.13	structure	contour	ST2229
PT2701	885532.505614	134865.886960	286.148752	286.15	structure	contour	ST2229
PT2702	885531.933346	134866.178688	286.159701	286.16	structure	contour	ST2229
PT2703	885531.598623	134866.532039	286.126628	286.13	structure	contour	ST2229
PT2704	885531.535487	134866.706335	286.139179	286.14	structure	contour	ST2229
PT2705	885532.078498	134867.082924	286.130995	286.13	structure	contour	ST2229
PT2706	885532.232718	134867.334810	286.145586	286.15	structure	contour	ST2229

PT	X (est)	Y (nord)	Z (alti)	Z (alti)	élément	type de point	identifiant
PT2707	885531.791457	134867.630591	286.128389	286.13	structure	contour	ST2229
PT2708	885531.411031	134868.072209	286.094288	286.09	structure	contour	ST2229
PT2709	885531.216233	134867.493479	286.140778	286.14	structure	contour	ST2229
PT2710	885530.596740	134866.845321	286.160629	286.16	structure	contour	ST2229
PT2711	885530.312279	134866.591216	286.151118	286.15	structure	contour	ST2229
PT2712	885530.519566	134866.195836	286.139948	286.14	structure	contour	ST2229
PT2713	885530.745361	134866.235115	286.181559	286.18	structure	contour	ST2229
PT2714	885531.145265	134866.164622	286.177583	286.18	structure	contour	ST2229
PT2715	885531.635187	134865.958254	285.967873	285.97	structure	contour	ST2229
PT2716	885531.874491	134865.960970	285.961759	285.96	structure	contour	ST2229
PT2717	885531.589790	134866.066837	285.950746	285.95	structure	contour	ST2229
PT2718	885531.679879	134866.151683	285.958775	285.96	structure	contour	ST2229
PT2719	885531.712364	134866.017081	285.811383	285.81	structure	fond	ST2229
PT2720	885532.038524	134865.920477	285.979969	285.98	structure	contour fond	ST2229
PT2721	885532.763507	134865.428663	285.990751	285.99	structure	contour fond	ST2229
PT2722	885532.462072	134865.143611	285.958821	285.96	structure	contour fond	ST2229
PT2723	885531.833573	134865.606387	286.033854	286.03	structure	contour fond	ST2229
PT2724	885531.264286	134866.202190	286.012475	286.01	structure	contour fond	ST2229
PT2725	885531.073517	134866.317214	286.061124	286.06	structure	contour fond	ST2229
PT2726	885530.712406	134866.338380	286.064049	286.06	structure	contour fond	ST2229
PT2727	885530.387980	134866.655377	286.057355	286.06	structure	contour fond	ST2229
PT2728	885531.179426	134866.764433	286.054335	286.05	structure	contour fond	ST2229
PT2729	885531.089796	134866.997503	286.039526	286.04	structure	contour fond	ST2229
PT2730	885531.411609	134867.421456	286.006681	286.01	structure	contour fond	ST2229
PT2731	885531.285235	134867.824123	286.058463	286.06	structure	contour fond	ST2229
PT2732	885531.684270	134867.637533	286.079795	286.08	structure	contour fond	ST2229
PT2733	885532.056156	134867.298522	285.986181	285.99	structure	contour fond	ST2229
PT2734	885531.476939	134866.728656	286.056570	286.06	structure	contour fond	ST2229
PT2735	885531.552332	134866.411174	286.005827	286.01	structure	contour fond	ST2229
PT2736	885531.590984	134866.222274	285.983386	285.98	structure	contour fond	ST2229
PT2737	885532.206661	134865.593373	285.975184	285.98	structure	fond	ST2229
PT2738	885531.218714	134866.542792	285.971195	285.97	structure	fond	ST2229
PT2739	885531.638679	134867.240041	285.939739	285.94	structure	fond	ST2229
PT2740	885558.317374	134873.274074	285.099463	285.1	mobilier	céramique	ST2096
PT2741	885558.711874	134873.353975	285.076082	285.08	mobilier	lithique	ST2096
PT2742	885559.295403	134872.962005	285.068031	285.07	mobilier	céramique	ST2096
PT2743	885517.991789	134849.469028	286.252938	286.25	structure	clou carroyage	ST2226
PT2744	885516.622988	134849.531050	286.200900	286.2	structure	clou carroyage	ST2226
PT2745	885516.662270	134850.342567	286.209425	286.21	structure	clou carroyage	ST2226
PT2746	885518.065113	134850.259576	286.245604	286.25	structure	clou carroyage	ST2226
PT2747	885545.414450	134870.131264	286.068437	286.07	structure	point central	ST2316
PT2748	885537.854482	134870.393254	286.109198	286.11	structure	point central	ST2317
PT2749	885554.395265	134872.716787	285.976915	285.98	structure	contour fond	ST2097
PT2750	885554.639395	134872.587622	285.976822	285.98	structure	contour fond	ST2097
PT2751	885554.471176	134872.420043	285.947479	285.95	structure	contour fond	ST2097
PT2752	885554.287078	134872.548064	285.974516	285.97	structure	contour fond	ST2097
PT2753	885554.496625	134872.545661	285.879892	285.88	structure	contour fond	ST2097
PT2754	885538.788613	134874.822397	285.844315	285.84	structure	fond	ST2314
PT2755	885538.836541	134874.735632	286.055839	286.06	structure	contour	ST2314
PT2756	885538.996524	134874.878725	286.054084	286.05	structure	contour	ST2314
PT2757	885538.856565	134875.025645	286.051227	286.05	structure	contour	ST2314
PT2758	885538.657576	134875.001140	286.057090	286.06	structure	contour	ST2314
PT2759	885538.616647	134874.897633	286.057459	286.06	structure	contour	ST2314
PT2760	885538.608346	134874.751200	286.065767	286.07	structure	contour	ST2314
PT2761	885538.756969	134874.950463	285.949865	285.95	structure	contour fond	ST2314
PT2762	885538.906641	134874.895336	285.923484	285.92	structure	contour fond	ST2314
PT2763	885538.652047	134874.793177	285.922365	285.92	structure	contour fond	ST2314
PT2764	885535.139735	134865.452499	286.204125	286.2	structure	clou carroyage	ST2153
PT2765	885536.141058	134865.472929	286.214431	286.21	structure	clou carroyage	ST2153
PT2766	885536.132217	134864.439164	286.235673	286.24	structure	clou carroyage	ST2153
PT2767	885535.153752	134864.435102	286.221743	286.22	structure	clou carroyage	ST2153
PT2768	885535.041129	134864.843342	286.193372	286.19	structure	clou coupe	ST2153
PT2769	885536.232358	134864.786361	286.214371	286.21	structure	clou coupe	ST2153
PT2770	885535.788396	134864.434468	286.235951	286.24	structure	clou carroyage	ST2152
PT2771	885536.275034	134864.439123	286.218061	286.22	structure	clou carroyage	ST2152
PT2772	885536.262991	134863.942556	286.227561	286.23	structure	clou carroyage	ST2152



PT	X (est)	Y (nord)	Z (alti)	Z (alti)	élément	type de point	identifiant
PT2773	885535.782630	134863.945264	286.250294	286.25	structure	clou carroyage	ST2152
PT2774	885535.685058	134864.206543	286.235166	286.24	structure	clou coupe	ST2152
PT2775	885536.393102	134864.207775	286.191235	286.19	structure	clou coupe	ST2152
PT2776	885538.779839	134874.824619	285.841991	285.84	prélèvement		ST2314
PT2777	885536.961863	134871.671532	286.135452	286.14	structure	clou carroyage	ST2165
PT2778	885536.298856	134871.856165	286.152716	286.15	structure	clou carroyage	ST2165
PT2779	885536.496111	134872.542288	286.150137	286.15	structure	clou carroyage	ST2165
PT2780	885537.173023	134872.343775	286.133352	286.13	structure	clou carroyage	ST2165
PT2781	885536.258157	134872.205841	286.171695	286.17	structure	clou coupe	ST2165
PT2782	885537.234059	134871.960087	286.133427	286.13	structure	clou coupe	ST2165
PT2783	885492.386840	134855.272151	285.867405	285.87	mobilier	céramique	ST2093
PT2784	885536.620009	134872.181103	285.669099	285.67	prélèvement		ST2165
PT2785	885493.406684	134865.132680	286.195282	286.2	structure	clou coupe	ST2317
PT2786	885490.880671	134865.132375	286.202158	286.2	structure	clou coupe	ST2317
PT2787	885491.170095	134866.136744	286.142544	286.14	structure	clou carroyage	ST2317
PT2788	885493.177134	134866.136195	286.115486	286.12	structure	clou carroyage	ST2317
PT2789	885493.158188	134864.129793	286.109242	286.11	structure	clou carroyage	ST2317
PT2790	885491.157624	134864.132527	286.110967	286.11	structure	clou carroyage	ST2317
PT2791	885540.152129	134863.622823	286.138839	286.14	structure	contour	ST2312
PT2792	885540.397001	134863.537074	286.175469	286.18	structure	contour	ST2312
PT2793	885540.463774	134863.309090	286.201241	286.2	structure	contour	ST2312
PT2794	885540.302863	134863.093820	286.168645	286.17	structure	contour	ST2312
PT2795	885540.018195	134863.205525	286.151869	286.15	structure	contour	ST2312
PT2796	885539.662055	134863.215997	286.168838	286.17	structure	contour	ST2312
PT2797	885539.484518	134863.369013	286.157892	286.16	structure	contour	ST2312
PT2798	885539.313383	134863.458936	286.140732	286.14	structure	contour	ST2312
PT2799	885539.154994	134863.441243	286.163957	286.16	structure	contour	ST2312
PT2800	885539.050167	134863.769690	286.188324	286.19	structure	contour	ST2312
PT2801	885539.088909	134864.024648	286.177994	286.18	structure	contour	ST2312
PT2802	885538.941143	134864.287073	286.144381	286.14	structure	contour	ST2312
PT2803	885538.796196	134864.505785	286.141111	286.14	structure	contour	ST2312
PT2804	885538.957990	134864.746695	286.146965	286.15	structure	contour	ST2312
PT2805	885539.205017	134864.537015	286.128766	286.13	structure	contour	ST2312
PT2806	885539.343465	134864.429134	286.099641	286.1	structure	contour	ST2312
PT2807	885539.303043	134864.242527	286.052476	286.05	structure	contour	ST2312
PT2808	885539.467980	134864.015082	286.049831	286.05	structure	contour	ST2312
PT2809	885539.563215	134864.204556	286.104228	286.1	structure	contour	ST2312
PT2810	885539.682783	134863.899297	286.142521	286.14	structure	contour	ST2312
PT2811	885540.018127	134863.738363	286.130662	286.13	structure	contour	ST2312
PT2812	885540.188371	134863.441278	285.901228	285.9	structure	contour fond	ST2312
PT2813	885540.227393	134863.354050	285.874701	285.87	structure	contour fond	ST2312
PT2814	885540.091178	134863.376729	285.879038	285.88	structure	contour fond	ST2312
PT2815	885539.950546	134863.398869	285.959520	285.96	structure	contour fond	ST2312
PT2816	885539.725641	134863.364061	286.055984	286.06	structure	contour fond	ST2312
PT2817	885539.867810	134863.580837	285.950277	285.95	structure	contour fond	ST2312
PT2818	885539.689075	134863.690523	285.943650	285.94	structure	contour fond	ST2312
PT2819	885539.557692	134863.749355	285.918538	285.92	structure	contour fond	ST2312
PT2820	885539.470637	134863.888990	285.908919	285.91	structure	contour fond	ST2312
PT2821	885539.397501	134863.810523	285.964085	285.96	structure	contour fond	ST2312
PT2822	885539.293570	134863.680600	285.956194	285.96	structure	contour fond	ST2312
PT2823	885539.149481	134863.629401	286.087154	286.09	structure	contour fond	ST2312
PT2824	885539.170087	134863.942629	285.928080	285.93	structure	contour fond	ST2312
PT2825	885539.250273	134864.191120	285.880920	285.88	structure	contour fond	ST2312
PT2826	885539.137938	134864.458879	285.857640	285.86	structure	contour fond	ST2312
PT2827	885537.795546	134870.196468	286.107201	286.11	structure	contour	ST2317
PT2828	885537.965485	134870.225308	286.101726	286.1	structure	contour	ST2317
PT2829	885538.103224	134870.274416	286.090876	286.09	structure	contour	ST2317
PT2830	885538.144783	134870.500280	286.095717	286.1	structure	contour	ST2317
PT2831	885538.018479	134870.669112	286.108922	286.11	structure	contour	ST2317
PT2832	885537.720567	134870.594768	286.114864	286.11	structure	contour	ST2317
PT2833	885537.758456	134870.362419	286.111578	286.11	structure	contour	ST2317
PT2834	885537.814516	134870.231652	285.932590	285.93	structure	contour fond	ST2317
PT2835	885538.025238	134870.283479	285.932452	285.93	structure	contour fond	ST2317
PT2836	885538.032819	134870.490460	285.958452	285.96	structure	contour fond	ST2317
PT2837	885537.757761	134870.506478	285.978504	285.98	structure	contour fond	ST2317
PT2838	885537.796850	134870.356093	285.927878	285.93	structure	contour fond	ST2317

PT	X (est)	Y (nord)	Z (alti)	Z (alti)	élément	type de point	identifiant
PT2839	885537.931739	134870.373013	285.916487	285.92	structure	fond	ST2317
PT2840	885536.863280	134871.798513	286.130178	286.13	structure	fond	ST2317
PT2841	885537.070840	134871.989081	286.132216	286.13	structure	contour	ST2165
PT2842	885536.905036	134872.058309	286.123073	286.12	structure	contour	ST2165
PT2843	885536.697561	134871.949066	286.086594	286.09	structure	contour	ST2165
PT2844	885536.754631	134871.812306	286.116793	286.12	structure	contour	ST2165
PT2845	885536.786750	134872.030119	286.077631	286.08	structure	contour	ST2165
PT2846	885536.805048	134872.373984	286.124512	286.12	structure	contour	ST2165
PT2847	885536.506434	134872.442519	286.134632	286.13	structure	contour	ST2165
PT2848	885536.398248	134872.134299	286.134403	286.13	structure	contour	ST2165
PT2849	885536.581643	134871.994364	286.089144	286.09	structure	contour	ST2165
PT2850	885536.661948	134872.054672	286.022752	286.02	structure	contour fond	ST2165
PT2851	885536.780677	134872.188763	286.047373	286.05	structure	contour fond	ST2165
PT2852	885536.659740	134872.337809	286.040753	286.04	structure	contour fond	ST2165
PT2853	885536.493644	134872.262594	286.028304	286.03	structure	contour fond	ST2165
PT2854	885536.576640	134872.071100	286.027819	286.03	structure	contour fond	ST2165
PT2855	885536.894639	134871.889641	286.019931	286.02	structure	contour fond	ST2165
PT2856	885537.009391	134871.972408	286.015600	286.02	structure	contour fond	ST2165
PT2857	885536.889741	134872.019716	286.018972	286.02	structure	contour fond	ST2165
PT2858	885536.781499	134871.974417	286.033128	286.03	structure	contour fond	ST2165
PT2859	885536.797372	134871.890345	285.936633	285.94	structure	fond	ST2165
PT2860	885536.647646	134872.206897	286.026386	286.03	structure	fond	ST2165
PT2861	885536.960339	134873.569870	286.134924	286.13	structure	clou carroyage	ST2318
PT2862	885536.299158	134873.774066	286.134430	286.13	structure	clou carroyage	ST2318
PT2863	885536.505702	134874.455074	286.154244	286.15	structure	clou carroyage	ST2318
PT2864	885537.175020	134874.246933	286.148254	286.15	structure	clou carroyage	ST2318
PT2865	885536.353263	134874.118753	286.157215	286.16	structure	clou coupe	ST2318
PT2866	885537.112013	134873.907713	286.145715	286.15	structure	clou coupe	ST2318
PT2867	885536.130833	134875.039005	286.122040	286.12	structure	clou carroyage	ST2162
PT2868	885536.203868	134875.533340	286.116147	286.12	structure	clou carroyage	ST2162
PT2869	885536.703496	134875.468066	286.120989	286.12	structure	clou carroyage	ST2162
PT2870	885536.642981	134874.976119	286.128801	286.13	structure	clou carroyage	ST2162
PT2871	885536.130513	134875.316227	286.121251	286.12	structure	clou coupe	ST2162
PT2872	885536.840664	134875.193571	286.136522	286.14	structure	clou coupe	ST2162
PT2873	885537.939151	134870.395051	285.914113	285.91	prélèvement		ST2317
PT2874	885536.779114	134873.999114	286.154683	286.15	structure	point central	ST2318
PT2875	885538.938621	134862.145533	286.201164	286.2	structure	clou carroyage	ST2275
PT2876	885538.945528	134861.235329	286.217625	286.22	structure	clou carroyage	ST2275
PT2877	885537.471997	134861.235135	286.219169	286.22	structure	clou carroyage	ST2275
PT2878	885537.464290	134862.137019	286.214461	286.21	structure	clou carroyage	ST2275
PT2879	885494.567125	134855.938976	286.059886	286.06	structure	contour	ST2311
PT2880	885494.302265	134855.470400	286.104385	286.1	structure	contour	ST2311
PT2881	885493.757508	134855.329841	286.053665	286.05	structure	contour	ST2311
PT2882	885493.528867	134855.478714	286.070434	286.07	structure	contour	ST2311
PT2883	885493.278476	134855.791561	285.973148	285.97	structure	contour	ST2311
PT2884	885492.843383	134855.490054	285.910102	285.91	mobilier	céramique	ST2093
PT2885	885495.876671	134871.738847	286.050321	286.05	structure	clou coupe	ST2073
PT2886	885495.499350	134869.988667	286.047102	286.05	structure	clou coupe	ST2073
PT2887	885495.818272	134871.384992	285.900309	285.9	structure	contour	ST2073
PT2888	885496.109486	134871.130638	285.904283	285.9	structure	contour	ST2073
PT2889	885496.257852	134870.684653	286.006819	286.01	structure	contour	ST2073
PT2890	885496.039500	134870.290247	286.023633	286.02	structure	contour	ST2073
PT2891	885495.585464	134870.240540	286.038574	286.04	structure	contour	ST2073
PT2892	885495.172763	134870.441216	286.023624	286.02	structure	contour	ST2073
PT2893	885495.029122	134870.920991	285.921217	285.92	structure	contour	ST2073
PT2894	885495.368851	134871.267021	285.903878	285.9	structure	contour	ST2073
PT2895	885495.693786	134871.302370	285.414300	285.41	structure	contour fond	ST2073
PT2896	885496.048213	134871.067548	285.346776	285.35	structure	contour fond	ST2073
PT2897	885496.150808	134870.756983	285.393952	285.39	structure	contour fond	ST2073
PT2898	885496.077729	134870.444845	285.377381	285.38	structure	contour fond	ST2073
PT2899	885495.584540	134870.347599	285.366585	285.37	structure	contour fond	ST2073
PT2900	885495.149818	134870.562807	285.363437	285.36	structure	contour fond	ST2073
PT2901	885495.106451	134870.939435	285.415346	285.42	structure	contour fond	ST2073
PT2902	885495.400438	134871.236019	285.374153	285.37	structure	contour fond	ST2073
PT2903	885495.671992	134871.044517	285.312001	285.31	structure	fond	ST2073
PT2904	885495.989036	134870.756324	285.332985	285.33	structure	fond	ST2073

PT	X (est)	Y (nord)	Z (alti)	Z (alti)	élément	type de point	identifiant
PT2905	885495.617301	134870.458019	285.330773	285.33	structure	fond	ST2073
PT2906	885495.202764	134870.856729	285.337794	285.34	structure	fond	ST2073
PT2907	885495.512877	134870.779572	285.333909	285.33	structure	fond	ST2073
PT2908	885495.796994	134870.774498	285.320647	285.32	structure	fond	ST2073
PT2909	885516.549741	134849.557137	286.189823	286.19	structure	contour	ST2226
PT2910	885516.734054	134849.909044	286.198147	286.2	structure	contour	ST2226
PT2911	885517.075672	134850.263654	286.223314	286.22	structure	contour	ST2226
PT2912	885517.584873	134850.178239	286.232323	286.23	structure	contour	ST2226
PT2913	885517.905405	134849.903228	286.241598	286.24	structure	contour	ST2226
PT2914	885518.060231	134849.436988	286.241707	286.24	structure	contour	ST2226
PT2915	885517.756911	134849.361466	286.006942	286.01	structure	contour fond	ST2226
PT2916	885517.638022	134849.719143	286.003076	286	structure	contour fond	ST2226
PT2917	885517.429654	134849.958249	286.045128	286.05	structure	contour fond	ST2226
PT2918	885516.944648	134849.978020	286.014636	286.01	structure	contour fond	ST2226
PT2919	885516.831187	134849.566513	286.000920	286	structure	contour fond	ST2226
PT2920	885517.332574	134849.470165	285.998795	286	structure	fond	ST2226
PT2921	885558.257160	134873.182319	285.157685	285.16	mobilier	ocre	ST2096
PT2922	885558.230723	134873.172516	285.268496	285.27	mobilier	céramique	ST2096
PT2923	885538.648767	134861.441004	286.212531	286.21	structure	clou coupe	ST2275
PT2924	885537.601554	134861.829579	286.208525	286.21	structure	clou coupe	ST2275
PT2925	885538.824740	134861.576825	286.208445	286.21	structure	clou coupe	ST2275
PT2926	885538.718399	134862.033975	286.192514	286.19	structure	clou coupe	ST2275
PT2927	885538.492775	134861.400007	286.207706	286.21	structure	contour	ST2275
PT2928	885538.413181	134861.500187	286.193815	286.19	structure	contour	ST2275
PT2929	885538.294669	134861.467140	286.200687	286.2	structure	contour	ST2275
PT2930	885538.132350	134861.506966	286.201549	286.2	structure	contour	ST2275
PT2931	885538.107580	134861.539882	286.204807	286.2	structure	contour	ST2275
PT2932	885538.031057	134861.588467	286.204755	286.2	structure	contour	ST2275
PT2933	885537.931149	134861.627033	286.205884	286.21	structure	contour	ST2275
PT2934	885537.798993	134861.646043	286.199119	286.2	structure	contour	ST2275
PT2935	885537.791371	134861.734969	286.194358	286.19	structure	contour	ST2275
PT2936	885537.681302	134861.841459	286.200662	286.2	structure	contour	ST2275
PT2937	885537.769717	134861.926024	286.205763	286.21	structure	contour	ST2275
PT2938	885537.836608	134861.801856	286.201482	286.2	structure	contour	ST2275
PT2939	885537.913437	134861.739978	286.212181	286.21	structure	contour	ST2275
PT2940	885537.987045	134861.656644	286.208977	286.21	structure	contour	ST2275
PT2941	885538.102323	134861.709398	286.218657	286.22	structure	contour	ST2275
PT2942	885538.144605	134861.670843	286.214570	286.21	structure	contour	ST2275
PT2943	885538.203130	134861.670801	286.213778	286.21	structure	contour	ST2275
PT2944	885538.250976	134861.625782	286.211437	286.21	structure	contour	ST2275
PT2945	885538.331061	134861.653336	286.211934	286.21	structure	contour	ST2275
PT2946	885538.372160	134861.625088	286.211977	286.21	structure	contour	ST2275
PT2947	885538.429194	134861.640217	286.210167	286.21	structure	contour	ST2275
PT2948	885538.452654	134861.575998	286.206893	286.21	structure	contour	ST2275
PT2949	885538.537615	134861.599707	286.211525	286.21	structure	contour	ST2275
PT2950	885538.565359	134861.483577	286.208683	286.21	structure	contour	ST2275
PT2951	885538.492170	134861.498830	286.125736	286.13	structure	contour	ST2275
PT2952	885538.402166	134861.585467	286.107678	286.11	structure	fond	ST2275
PT2953	885538.308823	134861.568121	286.112379	286.11	structure	fond	ST2275
PT2954	885538.184645	134861.606726	286.138207	286.14	structure	fond	ST2275
PT2955	885538.089405	134861.640172	286.132752	286.13	structure	fond	ST2275
PT2956	885537.881648	134861.692460	286.127411	286.13	structure	fond	ST2275
PT2957	885537.756218	134861.861355	286.088890	286.09	structure	fond	ST2275
PT2958	885538.747095	134861.655947	286.204705	286.2	structure	fond	ST2275
PT2959	885538.715244	134861.824008	286.205466	286.21	structure	contour	ST2275
PT2960	885538.656241	134861.935030	286.194138	286.19	structure	contour	ST2275
PT2961	885538.749668	134862.007150	286.190144	286.19	structure	contour	ST2275
PT2962	885538.849548	134861.917615	286.181794	286.18	structure	contour	ST2275
PT2963	885538.795176	134861.868048	286.194834	286.19	structure	contour	ST2275
PT2964	885538.891831	134861.744100	286.191314	286.19	structure	contour	ST2275
PT2965	885538.800154	134861.724168	286.077704	286.08	structure	fond	ST2275
PT2966	885538.732420	134861.871752	286.078190	286.08	structure	fond	ST2275
PT2967	885558.703083	134873.007447	284.995093	285	prélèvement		ST2096
PT2968	885558.687200	134873.020708	284.943497	284.94	prélèvement		ST2096
PT2969	885535.130356	134865.010772	286.196035	286.2	structure	contour	ST2153
PT2970	885535.907616	134865.312825	286.218095	286.22	structure	contour	ST2153

PT	X (est)	Y (nord)	Z (alti)	Z (alti)	élément	type de point	identifiant
PT2971	885536.147342	134864.861016	286.186126	286.19	structure	contour	ST2153
PT2972	885535.830817	134864.450547	286.225616	286.23	structure	contour	ST2153
PT2973	885535.774778	134864.569842	285.864017	285.86	structure	contour fond	ST2153
PT2974	885535.318688	134864.770317	285.877918	285.88	structure	contour fond	ST2153
PT2975	885535.723152	134865.231389	285.883834	285.88	structure	contour fond	ST2153
PT2976	885536.089414	134864.845684	285.878769	285.88	structure	contour fond	ST2153
PT2977	885535.645429	134864.891720	285.862120	285.86	structure	fond	ST2153
PT2978	885528.458954	134855.894077	286.230927	286.23	structure	clou carroyage	ST2210
PT2979	885529.463875	134855.699975	286.239493	286.24	structure	clou carroyage	ST2210
PT2980	885529.658611	134856.708873	286.233529	286.23	structure	clou carroyage	ST2210
PT2981	885528.652750	134856.878981	286.228506	286.23	structure	clou carroyage	ST2210
PT2982	885537.906306	134876.711772	286.104111	286.1	structure	clou carroyage	ST2161
PT2983	885538.889096	134876.533137	286.098717	286.1	structure	clou carroyage	ST2161
PT2984	885539.086807	134877.517217	286.095029	286.1	structure	clou carroyage	ST2161
PT2985	885538.100180	134877.713603	286.119133	286.12	structure	clou carroyage	ST2161
PT2986	885537.865297	134877.354298	286.090161	286.09	structure	clou coupe	ST2161
PT2987	885539.582693	134877.035386	286.089664	286.09	structure	clou coupe	ST2161
PT2988	885536.470003	134875.394022	286.100685	286.1	structure	contour	ST2162
PT2989	885536.523624	134875.165790	286.112899	286.11	structure	contour	ST2162
PT2990	885536.405456	134875.085395	286.108241	286.11	structure	contour	ST2162
PT2991	885536.274421	134875.218877	286.110764	286.11	structure	contour	ST2162
PT2992	885536.258632	134875.355560	286.108642	286.11	structure	contour	ST2162
PT2993	885536.327104	134875.285844	285.893308	285.89	structure	contour fond	ST2162
PT2994	885536.415084	134875.206437	285.884753	285.88	structure	contour fond	ST2162
PT2995	885536.323031	134875.187664	285.885674	285.89	structure	contour fond	ST2162
PT2996	885536.330929	134875.223334	285.871095	285.87	structure	fond	ST2162
PT2997	885536.454703	134863.932645	286.186924	286.19	structure	clou coupe	ST2271
PT2998	885537.024090	134865.005201	286.164445	286.16	structure	clou coupe	ST2271
PT2999	885536.491851	134864.485813	286.213069	286.21	structure	contour	ST2271
PT3000	885537.008547	134864.526058	286.194544	286.19	structure	contour	ST2271
PT3001	885537.267478	134864.346342	286.187873	286.19	structure	contour	ST2271
PT3002	885537.442862	134864.118752	286.198640	286.2	structure	contour	ST2271
PT3003	885537.597986	134863.601506	286.212214	286.21	structure	contour	ST2271
PT3004	885537.223021	134863.746586	286.190737	286.19	structure	contour	ST2271
PT3005	885537.075955	134863.931070	286.175691	286.18	structure	contour	ST2271
PT3006	885536.908227	134864.111315	286.198496	286.2	structure	contour	ST2271
PT3007	885536.769437	134864.297532	286.203369	286.2	structure	contour	ST2271
PT3008	885536.598846	134864.038474	286.193513	286.19	structure	contour	ST2271
PT3009	885536.460532	134864.161362	286.193616	286.19	structure	contour	ST2271
PT3010	885536.535852	134864.182467	286.053939	286.05	structure	contour fond	ST2271
PT3011	885536.703828	134864.474644	285.989934	285.99	structure	contour fond	ST2271
PT3012	885536.842278	134864.210374	286.027979	286.03	structure	contour fond	ST2271
PT3013	885537.029516	134864.315668	286.019504	286.02	structure	contour fond	ST2271
PT3014	885537.070838	134864.046731	286.007382	286.01	structure	contour fond	ST2271
PT3015	885537.211374	134864.038714	285.972752	285.97	structure	contour fond	ST2271
PT3016	885537.304417	134863.913928	285.989980	285.99	structure	contour fond	ST2271
PT3017	885537.516222	134863.750979	286.003659	286	structure	fond	ST2271
PT3018	885536.341477	134875.220186	285.868946	285.87	prélèvement		ST2162
PT3019	885536.776511	134873.970793	286.021683	286.02	prélèvement		ST2318
PT3020	885530.569139	134850.624555	286.252924	286.25	structure	clou carroyage	ST2214
PT3021	885529.624222	134850.965842	286.289318	286.29	structure	clou carroyage	ST2214
PT3022	885529.269376	134849.997815	286.292780	286.29	structure	clou carroyage	ST2214
PT3023	885530.214778	134849.660573	286.284536	286.28	structure	clou carroyage	ST2214
PT3024	885492.812380	134855.182298	285.963434	285.96	structure	clou coupe	ST2093
PT3025	885492.126979	134855.288326	285.957456	285.96	structure	clou coupe	ST2093
PT3026	885537.940014	134876.954142	286.098340	286.1	structure	clou carroyage	ST2161
PT3027	885538.127711	134877.941786	286.111145	286.11	structure	clou carroyage	ST2161
PT3028	885537.139625	134878.154833	286.094597	286.09	structure	clou carroyage	ST2161
PT3029	885536.944479	134877.185728	286.110639	286.11	structure	clou carroyage	ST2161
PT3030	885537.061606	134877.747775	286.102148	286.1	structure	clou coupe	ST2161
PT3031	885537.998927	134877.547647	286.119885	286.12	structure	clou coupe	ST2161
PT3032	885535.666737	134878.150864	286.099821	286.1	structure	clou carroyage	ST2161
PT3033	885535.785582	134879.148999	286.045420	286.05	structure	clou carroyage	ST2161
PT3034	885534.783629	134879.252049	286.065190	286.07	structure	clou carroyage	ST2161
PT3035	885534.674914	134878.255787	286.079975	286.08	structure	clou carroyage	ST2161
PT3036	885523.347755	134878.774193	286.185948	286.19	structure	clou carroyage	ST2186



PT	X (est)	Y (nord)	Z (alti)	Z (alti)	élément	type de point	identifiant
PT3037	885523.530735	134879.776397	286.187672	286.19	structure	clou carroyage	ST2186
PT3038	885524.508939	134879.616193	286.188645	286.19	structure	clou carroyage	ST2186
PT3039	885524.348936	134878.603167	286.169361	286.17	structure	clou carroyage	ST2186
PT3040	885524.332812	134878.431191	286.184593	286.18	structure	clou carroyage	ST2187
PT3041	885525.232398	134877.934943	286.188274	286.19	structure	clou carroyage	ST2187
PT3042	885524.739490	134877.052646	286.169759	286.17	structure	clou carroyage	ST2187
PT3043	885523.864800	134877.559596	286.172817	286.17	structure	clou carroyage	ST2187
PT3044	885537.906400	134876.965746	286.093253	286.09	structure	contour	ST2161
PT3045	885538.324158	134876.746077	286.094177	286.09	structure	contour	ST2161
PT3046	885538.780291	134876.734496	286.087748	286.09	structure	contour	ST2161
PT3047	885539.149418	134876.641504	286.077350	286.08	structure	contour	ST2161
PT3048	885539.234475	134877.288533	286.078851	286.08	structure	contour	ST2161
PT3049	885538.614872	134877.484356	286.089571	286.09	structure	contour	ST2161
PT3050	885537.888435	134877.824847	286.085703	286.09	structure	contour	ST2160
PT3051	885537.159654	134877.986913	286.088904	286.09	structure	contour	ST2160
PT3052	885536.980582	134877.500942	286.085583	286.09	structure	contour	ST2160
PT3053	885537.370253	134877.237287	286.077898	286.08	structure	contour	ST2160
PT3054	885537.137324	134877.644708	285.923435	285.92	structure	contour fond	ST2160
PT3055	885537.589117	134877.117218	286.015358	286.02	structure	contour fond	ST2160
PT3056	885537.898434	134877.085609	286.015158	286.02	structure	contour fond	ST2161
PT3057	885538.153991	134876.897574	285.981006	285.98	structure	contour fond	ST2161
PT3058	885538.931645	134876.885157	285.951914	285.95	structure	contour fond	ST2161
PT3059	885538.556190	134877.085384	285.945976	285.95	structure	fond	ST2161
PT3060	885537.434238	134877.574396	285.912412	285.91	structure	fond	ST2160
PT3061	885558.788693	134872.786029	284.992126	284.99	prélèvement		ST2096
PT3062	885558.345315	134873.123154	284.818168	284.82	prélèvement		ST2096
PT3063	885529.725861	134849.814112	286.283604	286.28	structure	clou coupe	ST2214
PT3064	885530.101238	134850.763961	286.284170	286.28	structure	clou coupe	ST2214
PT3065	885534.572014	134872.565528	286.162542	286.16	structure	clou carroyage	ST2164
PT3066	885535.521721	134872.236854	286.158658	286.16	structure	clou carroyage	ST2164
PT3067	885535.830453	134873.194991	286.144423	286.14	structure	clou carroyage	ST2164
PT3068	885534.889200	134873.505035	286.168988	286.17	structure	clou carroyage	ST2164
PT3069	885534.707129	134873.109153	286.161703	286.16	structure	clou coupe	ST2164
PT3070	885535.762816	134872.705288	286.146830	286.15	structure	clou coupe	ST2164
PT3071	885524.478539	134879.151576	286.176949	286.18	structure	clou coupe	ST2186
PT3072	885523.435454	134879.311234	286.171437	286.17	structure	clou coupe	ST2186
PT3073	885492.313988	134855.166450	285.823473	285.82	prélèvement		ST2093
PT3074	885492.409841	134855.069939	285.843200	285.84	structure	clou carroyage	ST2093
PT3075	885492.414836	134855.001937	285.852999	285.85	structure	clou carroyage	ST2093
PT3076	885492.339368	134855.007163	285.849584	285.85	structure	clou carroyage	ST2093
PT3077	885492.340977	134855.079808	285.852252	285.85	structure	clou carroyage	ST2093
PT3078	885536.143975	134864.597695	286.237616	286.24	structure	contour	ST2152
PT3079	885536.235226	134864.529767	286.22168	286.22	structure	contour	ST2152
PT3080	885536.370440	134864.169560	286.1856	286.19	structure	contour	ST2152
PT3081	885536.111671	134863.921777	286.230911	286.23	structure	contour	ST2152
PT3082	885535.782212	134864.104675	286.237524	286.24	structure	contour	ST2152
PT3083	885535.743923	134864.314359	286.221584	286.22	structure	contour	ST2152
PT3084	885535.775153	134864.424285	286.227881	286.23	structure	contour	ST2152
PT3085	885535.827870	134864.360841	285.952992	285.95	structure	contour fond	ST2152
PT3086	885535.884814	134864.102073	285.932799	285.93	structure	contour fond	ST2152
PT3087	885536.121174	134864.019791	285.920957	285.92	structure	contour fond	ST2152
PT3088	885536.320241	134864.260570	285.928402	285.93	structure	contour fond	ST2152
PT3089	885536.152194	134864.524021	285.961761	285.96	structure	contour fond	ST2152
PT3090	885536.082210	134864.247516	285.919017	285.92	structure	fond	ST2152
PT3091	885536.700665	134873.734233	286.14146	286.14	structure	contour	ST2318
PT3092	885536.910263	134873.748296	286.123617	286.12	structure	contour	ST2318
PT3093	885537.033260	134874.026350	286.131705	286.13	structure	contour	ST2318
PT3094	885536.629249	134874.189543	286.117395	286.12	structure	contour	ST2318
PT3095	885536.536235	134873.983949	286.126373	286.13	structure	contour	ST2318
PT3096	885536.655993	134874.036245	286.045044	286.05	structure	contour fond	ST2318
PT3097	885536.800577	134873.844144	286.00797	286.01	structure	contour fond	ST2318
PT3098	885536.923346	134873.998582	286.029894	286.03	structure	contour fond	ST2318
PT3099	885536.763283	134874.117345	286.033417	286.03	structure	contour fond	ST2318
PT3100	885536.784450	134873.952401	286.011725	286.01	structure	fond	ST2318
PT3101	885534.693175	134878.966200	286.055545	286.06	structure	clou coupe	ST2157
PT3102	885535.737109	134878.507686	286.056137	286.06	structure	clou coupe	ST2157

PT	X (est)	Y (nord)	Z (alti)	Z (alti)	élément	type de point	identifiant
PT3103	885492.316695	134865.070246	285.549581	285.55	prélèvement		ST2087
PT3104	885534.508363	134855.362423	285.677607	285.68	mobilier	lithique	ST2209
PT3105	885541.735542	134903.532552	285.835636	285.84	structure	clou carroyage	ST2032
PT3106	885543.586986	134902.825955	285.778043	285.78	structure	clou carroyage	ST2032
PT3107	885542.893827	134900.929273	285.883004	285.88	structure	clou carroyage	ST2032
PT3108	885541.033588	134901.676580	285.886596	285.89	structure	clou carroyage	ST2032
PT3109	885523.615207	134879.434498	286.177568	286.18	structure	contour	ST2186
PT3110	885523.990990	134879.636795	286.186167	286.19	structure	contour	ST2186
PT3111	885524.382021	134879.441873	286.182989	286.18	structure	contour	ST2186
PT3112	885524.368042	134879.084341	286.173341	286.17	structure	contour	ST2186
PT3113	885524.003641	134878.896497	286.176501	286.18	structure	contour	ST2186
PT3114	885523.713443	134879.020038	286.178875	286.18	structure	contour	ST2186
PT3115	885524.018249	134879.267338	285.978790	285.98	structure	fond	ST2186
PT3116	885529.195832	134850.042129	286.233707	286.23	structure	contour	ST2214
PT3117	885529.178011	134850.565892	286.239856	286.24	structure	contour	ST2214
PT3118	885529.514680	134850.883820	286.248559	286.25	structure	contour	ST2214
PT3119	885529.991928	134850.582361	286.232570	286.23	structure	contour	ST2214
PT3120	885530.528028	134850.350411	286.198563	286.2	structure	contour	ST2214
PT3121	885530.590393	134849.899501	286.253306	286.25	structure	contour	ST2214
PT3122	885530.273486	134849.757779	286.243663	286.24	structure	contour	ST2214
PT3123	885529.806432	134849.858897	286.248027	286.25	structure	contour	ST2214
PT3124	885529.649218	134849.888669	286.248171	286.25	structure	contour	ST2214
PT3125	885529.655028	134850.123540	286.101738	286.1	structure	contour fond	ST2214
PT3126	885529.458553	134850.311052	286.106096	286.11	structure	contour fond	ST2214
PT3127	885529.372029	134850.529968	286.138821	286.14	structure	contour fond	ST2214
PT3128	885529.631057	134850.571027	286.114935	286.11	structure	contour fond	ST2214
PT3129	885529.929664	134850.270103	286.108991	286.11	structure	contour fond	ST2214
PT3130	885530.206562	134850.207041	286.111842	286.11	structure	contour fond	ST2214
PT3131	885530.063238	134850.109771	286.107496	286.11	structure	contour fond	ST2214
PT3132	885530.046560	134849.996218	286.107713	286.11	structure	contour fond	ST2214
PT3133	885529.821391	134850.080255	286.101217	286.1	structure	contour fond	ST2214
PT3134	885529.988836	134850.227194	286.080384	286.08	structure	fond	ST2214
PT3135	885529.708584	134850.390598	286.096747	286.1	structure	fond	ST2214
PT3136	885523.026875	134878.573070	286.193469	286.19	structure	clou carroyage	ST2185
PT3137	885520.767441	134879.463254	286.169982	286.17	structure	clou carroyage	ST2185
PT3138	885521.198220	134880.687982	286.179844	286.18	structure	clou carroyage	ST2185
PT3139				0			
PT3140	885528.519490	134873.511422	286.280397	286.28	structure	point central	ST2319
PT3141	885534.706364	134878.975360	286.067139	286.07	structure	clou coupe	ST2157
PT3142	885535.738604	134878.502285	286.069404	286.07	structure	clou coupe	ST2157
PT3143	885541.459657	134902.740658	285.835572	285.84	structure	clou coupe	ST2032
PT3144	885543.304579	134902.008573	285.792597	285.79	structure	clou coupe	ST2032
PT3145	885542.555579	134902.075232	285.769530	285.77	mobilier	céramique	ST2032
PT3146	885542.125538	134902.549383	285.780574	285.78	mobilier	lithique	ST2032
PT3147	885542.639821	134902.656407	285.766199	285.77	mobilier	céramique	ST2032
PT3148	885542.303779	134902.694941	285.802384	285.8	prélèvement		ST2032
PT3149	885542.362813	134902.918197	285.743214	285.74	prélèvement		ST2032
PT3150	885492.123297	134855.503901	285.889938	285.89	prélèvement		ST2093
PT3151	885525.595787	134848.906320	286.235173	286.24	structure	clou carroyage	ST2215
PT3152	885526.017102	134850.113854	286.286665	286.29	structure	clou carroyage	ST2215
PT3153	885527.289137	134849.815805	286.256864	286.26	structure	clou carroyage	ST2215
PT3154	885526.967419	134848.545439	286.216544	286.22	structure	clou carroyage	ST2215
PT3155	885525.805451	134849.529653	286.275515	286.28	structure	clou coupe	ST2215
PT3156	885527.214157	134849.148874	286.564717	286.56	structure	clou coupe	ST2215
PT3157	885491.605340	134864.979878	286.074453	286.07	structure	contour	ST2087
PT3158	885491.799988	134865.368917	286.118487	286.12	structure	contour	ST2087
PT3159	885492.137543	134865.596390	286.122486	286.12	structure	contour	ST2087
PT3160	885492.506830	134865.556707	286.106745	286.11	structure	contour	ST2087
PT3161	885492.756873	134865.311900	286.106696	286.11	structure	contour	ST2087
PT3162	885492.803611	134864.982418	286.034947	286.03	structure	contour	ST2087
PT3163	885492.750511	134864.776274	285.950506	285.95	structure	contour	ST2087
PT3164	885492.477160	134864.590130	285.885356	285.89	structure	contour	ST2087
PT3165	885492.137384	134864.501129	285.905883	285.91	structure	contour	ST2087
PT3166	885491.789085	134864.744382	285.935300	285.94	structure	contour	ST2087
PT3167	885491.895267	134865.130061	285.530299	285.53	structure	contour fond	ST2087
PT3168	885492.188188	134865.447235	285.552883	285.55	structure	contour fond	ST2087

PT	X (est)	Y (nord)	Z (alti)	Z (alti)	élément	type de point	identifiant
PT3169	885492.560688	134865.288387	285.535916	285.54	structure	contour fond	ST2087
PT3170	885492.617971	134865.018014	285.547200	285.55	structure	contour fond	ST2087
PT3171	885492.346973	134864.736556	285.501656	285.5	structure	contour fond	ST2087
PT3172	885492.064439	134864.738124	285.481978	285.48	structure	contour fond	ST2087
PT3173	885491.834656	134864.847650	285.520367	285.52	structure	contour fond	ST2087
PT3174	885534.800937	134878.590441	286.065861	286.07	structure	contour	ST2157
PT3175	885535.111039	134878.268485	286.092755	286.09	structure	contour	ST2157
PT3176	885535.447888	134878.375297	286.092924	286.09	structure	contour	ST2157
PT3177	885535.534627	134878.834784	286.052612	286.05	structure	contour	ST2157
PT3178	885535.215517	134879.062188	286.064789	286.06	structure	contour	ST2157
PT3179	885534.910615	134878.936497	286.062826	286.06	structure	contour	ST2157
PT3180	885535.014664	134878.717403	285.897148	285.9	structure	contour fond	ST2157
PT3181	885535.053390	134878.471667	285.918562	285.92	structure	contour fond	ST2157
PT3182	885535.394355	134878.604393	285.898404	285.9	structure	contour fond	ST2157
PT3183	885535.205818	134878.859598	285.908453	285.91	structure	contour fond	ST2157
PT3184	885535.198261	134878.618769	285.871763	285.87	structure	fond	ST2157
PT3185	885535.253351	134872.387019	286.153782	286.15	structure	contour	ST2164
PT3186	885535.632968	134872.436384	286.152826	286.15	structure	contour	ST2164
PT3187	885535.722623	134873.015805	286.146759	286.15	structure	contour	ST2164
PT3188	885535.290318	134873.255235	286.167626	286.17	structure	contour	ST2164
PT3189	885534.933922	134873.133406	286.145361	286.15	structure	contour	ST2164
PT3190	885534.906636	134872.827075	286.147276	286.15	structure	contour	ST2164
PT3191	885535.166495	134872.823367	285.955289	285.96	structure	contour fond	ST2164
PT3192	885535.367633	134872.572743	285.961180	285.96	structure	contour fond	ST2164
PT3193	885535.315288	134872.945640	285.964036	285.96	structure	contour fond	ST2164
PT3194	885535.375521	134872.724497	285.869286	285.87	structure	fond	ST2164
PT3195	885492.167110	134864.156384	286.169646	286.17	structure	clou coupe	ST2087
PT3196	885492.178136	134865.876764	286.164120	286.16	structure	clou coupe	ST2087
PT3197	885525.063602	134877.475623	286.223246	286.22	structure	clou coupe	ST2187
PT3198	885524.129943	134877.816096	286.209845	286.21	structure	clou coupe	ST2187
PT3199	885522.360567	134880.249836	286.192615	286.19	structure	clou coupe	ST2185
PT3200	885521.857597	134879.035131	286.201507	286.2	structure	clou coupe	ST2185
PT3201	885524.268586	134877.746232	286.160602	286.16	structure	contour	ST2187
PT3202	885524.320519	134877.543111	286.165483	286.17	structure	contour	ST2187
PT3203	885524.410439	134877.483178	286.167902	286.17	structure	contour	ST2187
PT3204	885524.487363	134877.365792	286.170607	286.17	structure	contour	ST2187
PT3205	885524.673659	134877.341517	286.169308	286.17	structure	contour	ST2187
PT3206	885524.835355	134877.242937	286.164251	286.16	structure	contour	ST2187
PT3207	885525.001358	134877.450357	286.171782	286.17	structure	contour	ST2187
PT3208	885525.097679	134877.796125	286.181236	286.18	structure	contour	ST2187
PT3209	885524.919261	134878.170423	286.173026	286.17	structure	contour	ST2187
PT3210	885524.635518	134878.217767	285.901964	285.9	structure	contour fond	ST2187
PT3211	885524.464566	134878.009306	285.903320	285.9	structure	contour fond	ST2187
PT3212	885524.433260	134877.742232	285.861211	285.86	structure	contour fond	ST2187
PT3213	885524.739744	134877.558023	285.820767	285.22	structure	contour fond	ST2187
PT3214	885524.921634	134877.802644	285.881006	285.88	structure	contour fond	ST2187
PT3215	885524.697116	134877.753004	285.809161	285.81	structure	contour fond	ST2187
PT3216	885524.680124	134877.729820	285.802842	285.8	structure	fond	ST2187
PT3217	885522.888571	134873.566987	286.178199	286.18	structure	clou carroyage	ST2191
PT3218	885523.768603	134873.090868	286.194820	286.19	structure	clou carroyage	ST2191
PT3219	885524.257115	134873.991044	286.174502	286.17	structure	clou carroyage	ST2191
PT3220	885523.361024	134874.460759	286.164378	286.16	structure	clou carroyage	ST2191
PT3221	885532.623487	134845.880313	286.294108	286.29	structure	clou carroyage	ST2217
PT3222	885533.076895	134847.412199	286.325782	286.33	structure	clou carroyage	ST2217
PT3223	885534.811558	134846.929364	286.359832	286.36	structure	clou carroyage	ST2217
PT3224	885534.419290	134845.364724	286.367644	286.37	structure	clou carroyage	ST2217
PT3225	885529.723521	134872.039585	286.214844	286.21	structure	contour	ST2319
PT3226	885526.558479	134873.114284	286.266936	286.27	structure	contour	ST2319
PT3227	885527.534742	134875.425330	286.305697	286.31	structure	contour	ST2319
PT3228	885530.040943	134873.223190	286.253012	286.25	structure	contour	ST2319
PT3229	885537.664218	134878.981211	286.092211	286.09	structure	contour	ST2158
PT3230	885537.694106	134879.318412	286.091994	286.09	structure	contour	ST2158
PT3231	885537.453594	134879.241634	286.080187	286.08	structure	contour	ST2158
PT3232	885537.161717	134879.245962	286.084083	286.08	structure	contour	ST2158
PT3233	885536.908295	134880.201889	286.060230	286.06	structure	contour	ST2158
PT3234	885536.820352	134880.058014	285.983356	285.98	structure	contour	ST2158

PT	X (est)	Y (nord)	Z (alti)	Z (alti)	élément	type de point	identifiant
PT3235	885536.414402	134879.766583	285.902778	285.9	structure	contour	ST2158
PT3236	885536.199501	134879.739750	286.059836	286.06	structure	contour	ST2158
PT3237	885535.843123	134879.668018	286.038146	286.04	structure	contour	ST2158
PT3238	885535.689214	134879.397912	286.050114	286.05	structure	contour	ST2158
PT3239	885536.275852	134879.467421	285.930063	285.93	structure	contour	ST2158
PT3240	885536.485883	134879.224623	285.880026	285.88	structure	contour	ST2158
PT3241	885537.047146	134879.063808	285.977470	285.98	structure	contour	ST2158
PT3242	885537.565030	134878.994799	286.014839	286.01	structure	contour	ST2158
PT3243	885537.746315	134879.103431	286.027326	286.03	structure	contour	ST2158
PT3244	885537.721750	134879.244986	286.012507	286.01	structure	contour	ST2158
PT3245	885537.413061	134879.147209	285.947362	285.95	structure	contour	ST2158
PT3246	885537.064167	134879.439313	285.997253	286	structure	contour	ST2158
PT3247	885536.980388	134879.792940	286.006298	286.01	structure	contour	ST2158
PT3248	885536.421968	134880.130412	285.932446	285.93	structure	contour	ST2158
PT3249	885536.254864	134879.553982	285.910881	285.91	structure	contour	ST2158
PT3250	885535.726053	134879.523058	285.960158	285.96	structure	contour	ST2158
PT3251	885536.640382	134879.621960	285.876084	285.88	structure	fond	ST2158
PT3252	885535.659913	134879.395633	286.049559	286.05	structure	contour	ST2158
PT3253	885536.214999	134879.310214	286.054633	286.05	structure	contour	ST2158
PT3254	885536.476896	134878.947918	286.076028	286.08	structure	contour	ST2158
PT3255	885537.033825	134878.950393	286.082437	286.08	structure	contour	ST2158
PT3256	885542.348317	134902.029400	285.798230	285.8	mobilier	céramique	ST2032
PT3257	885541.937445	134902.183260	285.717289	285.72	mobilier	céramique	ST2032
PT3258	885542.323815	134902.174500	285.731670	285.73	prélèvement		ST2032
PT3259	885521.052233	134879.927004	286.163291	286.16	structure	contour	ST2185
PT3260	885521.500838	134880.149486	286.142042	286.14	structure	contour	ST2185
PT3261	885521.987844	134879.911011	286.178407	286.18	structure	contour	ST2185
PT3262	885522.540101	134879.871978	286.170085	286.17	structure	contour	ST2185
PT3263	885522.883104	134879.598885	286.182893	286.18	structure	contour	ST2185
PT3264	885523.105845	134880.340470	286.188634	286.19	structure	contour	ST2185
PT3265	885523.604923	134880.344246	286.114677	286.11	structure	contour	ST2185
PT3266	885523.772723	134879.983290	286.200742	286.2	structure	contour	ST2185
PT3267	885523.574728	134879.598233	286.194273	286.19	structure	contour	ST2185
PT3268	885523.339485	134879.347920	286.180813	286.18	structure	contour	ST2185
PT3269	885522.949864	134878.773517	286.182957	286.18	structure	contour	ST2185
PT3270	885522.351703	134878.816259	286.191018	286.19	structure	contour	ST2185
PT3271	885522.154894	134879.039187	286.190217	286.19	structure	contour	ST2185
PT3272	885521.944796	134879.377396	286.181216	286.18	structure	contour	ST2185
PT3273	885521.483982	134879.550185	286.167497	286.17	structure	contour	ST2185
PT3274	885521.155107	134879.537071	286.163412	286.16	structure	contour	ST2185
PT3275	885521.146498	134879.863746	286.026579	286.03	structure	contour	ST2185
PT3276	885521.333945	134880.011114	286.045361	286.05	structure	contour	ST2185
PT3277	885521.493356	134880.066438	285.972354	285.97	structure	contour	ST2185
PT3278	885521.585510	134879.967340	286.012072	286.01	structure	contour	ST2185
PT3279	885521.456874	134879.959263	285.966353	285.97	structure	contour	ST2185
PT3280	885521.478375	134880.025987	285.957957	285.96	structure	contour	ST2185
PT3281	885521.789033	134879.892568	286.062032	286.06	structure	contour	ST2185
PT3282	885522.064598	134879.707230	286.048236	286.05	structure	contour	ST2185
PT3283	885522.521754	134879.678254	286.048934	286.05	structure	contour	ST2185
PT3284	885522.887217	134879.484770	286.033540	286.03	structure	contour	ST2185
PT3285	885523.449451	134879.828451	286.058421	286.06	structure	contour	ST2185
PT3286	885523.199777	134879.462715	286.059941	286.06	structure	contour	ST2185
PT3287	885522.978989	134878.998900	286.037200	286.04	structure	contour	ST2185
PT3288	885522.348113	134878.943031	286.042007	286.04	structure	contour	ST2185
PT3289	885521.807705	134879.559240	286.048563	286.05	structure	contour	ST2185
PT3290	885521.228666	134879.623646	286.011660	286.01	structure	contour	ST2185
PT3291	885524.106369	134873.429053	286.198544	286.2	structure	clou coupe	ST2191
PT3292	885522.973392	134873.997812	286.179298	286.18	structure	clou coupe	ST2191
PT3293	885523.990808	134873.941770	286.189586	286.19	structure	clou coupe	ST2191
PT3294	885523.298773	134872.928406	286.164180	286.16	structure	clou coupe	ST2191
PT3295	885558.819505	134872.842396	284.726699	284.73	structure	contour	ST2096
PT3296	885558.926104	134872.767849	284.779323	284.78	structure	contour	ST2096
PT3297	885559.029490	134872.698501	284.836228	284.84	structure	contour	ST2096
PT3298	885559.205778	134872.587660	284.989099	284.99	structure	contour	ST2096
PT3299	885559.280692	134872.793100	285.001671	285	structure	contour	ST2096
PT3300	885559.267818	134872.962935	285.010590	285.01	structure	contour	ST2096



PT	X (est)	Y (nord)	Z (alti)	Z (alti)	élément	type de point	identifiant
PT3301	885559.261417	134873.094554	285.113519	285.11	structure	contour	ST2096
PT3302	885559.114960	134873.266598	285.100473	285.1	structure	contour	ST2096
PT3303	885558.973667	134873.382305	285.105533	285.11	structure	contour	ST2096
PT3304	885558.832133	134873.391635	285.068508	285.07	structure	contour	ST2096
PT3305	885558.716168	134873.349264	285.025430	285.03	structure	contour	ST2096
PT3306	885558.638178	134873.234289	284.898295	284.9	structure	contour	ST2096
PT3307	885558.700853	134873.134767	284.774183	284.77	structure	contour	ST2096
PT3308	885558.757833	134873.065621	284.749764	284.75	structure	contour	ST2096
PT3309	885558.836823	134872.959398	284.761870	284.76	structure	contour	ST2096
PT3310	885558.774662	134873.176778	284.873143	284.87	structure	contour	ST2096
PT3311	885558.863261	134873.226816	284.930519	284.93	structure	contour	ST2096
PT3312	885558.935370	134873.275655	284.968230	284.97	structure	contour	ST2096
PT3313	885558.861010	134873.078660	284.819399	284.82	structure	contour	ST2096
PT3314	885558.958178	134873.109874	284.880316	284.88	structure	contour	ST2096
PT3315	885559.028569	134873.165870	284.952545	284.95	structure	contour	ST2096
PT3316	885558.928595	134873.048708	284.817385	284.82	structure	contour	ST2096
PT3317	885559.026561	134873.082932	284.895301	284.9	structure	contour	ST2096
PT3318	885559.115792	134873.091257	284.999695	285	structure	contour	ST2096
PT3319	885558.914034	134872.915958	284.769376	284.77	structure	contour	ST2096
PT3320	885558.993859	134872.939141	284.828066	284.83	structure	contour	ST2096
PT3321	885559.089865	134872.944438	284.876428	284.88	structure	contour	ST2096
PT3322	885559.180794	134872.969385	284.987005	284.99	structure	contour	ST2096
PT3323	885558.977382	134872.844670	284.796147	284.8	structure	contour	ST2096
PT3324	885559.074848	134872.833955	284.866383	284.87	structure	contour	ST2096
PT3325	885559.175532	134872.818772	284.938892	284.94	structure	contour	ST2096
PT3326	885518.920613	134874.066621	286.220832	286.22	structure	clou carroyage	ST2196
PT3327	885518.520150	134873.403619	286.180633	286.18	structure	clou carroyage	ST2196
PT3328	885517.504213	134874.032799	286.165249	286.17	structure	clou carroyage	ST2196
PT3329	885517.905987	134874.706516	286.181701	286.18	structure	clou carroyage	ST2196
PT3330	885558.916208	134873.116013	284.874020	284.87	prélèvement	p54	ST2096
PT3331	885559.111044	134872.830010	284.878805	284.88	prélèvement	p55	ST2096
PT3332	885533.010997	134846.570570	286.313233	286.31	structure	clou coupe	ST2217
PT3333	885534.554066	134846.187018	286.354806	286.35	structure	clou coupe	ST2217
PT3334	885533.339116	134846.777384	286.321422	286.32	structure	contour	ST2217
PT3335	885533.249734	134846.176295	286.330990	286.33	structure	contour	ST2217
PT3336	885534.367299	134846.051089	286.337114	286.34	structure	contour	ST2217
PT3337	885534.445095	134846.597227	286.357522	286.36	structure	contour	ST2217
PT3338	885533.462848	134846.534710	286.289025	286.29	structure	contour fond	ST2217
PT3339	885533.702867	134846.196511	286.299751	286.3	structure	contour fond	ST2217
PT3340	885534.120641	134846.611064	286.277987	286.28	structure	contour fond	ST2217
PT3341	885534.191723	134846.113622	286.297425	286.3	structure	contour fond	ST2217
PT3342	885534.027319	134846.360461	286.247130	286.25	structure	contour fond	ST2217
PT3343	885533.793388	134846.413055	286.273846	286.27	structure	fond	ST2217
PT3344	885529.508486	134873.300783	286.264498	286.26	mobilier	terre chauffée	ST2319
PT3345	885529.350994	134873.425310	286.270580	286.27	mobilier	céramique	ST2319
PT3346	885529.275076	134873.310708	286.273324	286.27	mobilier	céramique	ST2319
PT3347	885529.087175	134873.200450	286.260429	286.26	mobilier	céramique	ST2319
PT3348	885529.280494	134872.645776	286.266494	286.27	mobilier	céramique	ST2319
PT3349	885528.976720	134872.839782	286.248380	286.25	mobilier	lithique	ST2319
PT3350	885528.935572	134873.223176	286.263891	286.26	mobilier	lithique	ST2319
PT3351	885528.850236	134873.198875	286.236483	286.24	mobilier	céramique	ST2319
PT3352	885528.185300	134873.043935	286.284052	286.28	mobilier	céramique	ST2319
PT3353	885528.401213	134874.555335	286.266651	286.27	mobilier	céramique	ST2319
PT3354	885528.362971	134873.843188	286.272467	286.27	mobilier	lithique	ST2319
PT3355	885528.142285	134873.834171	286.307623	286.31	mobilier	céramique	ST2319
PT3356	885527.958740	134873.936733	286.292049	286.29	mobilier	lithique	ST2319
PT3357	885528.183769	134873.655791	286.305819	286.31	mobilier	céramique	ST2319
PT3358	885528.303966	134874.172322	286.283796	286.28	mobilier	os	ST2319
PT3359	885527.543380	134874.074379	286.283286	286.28	mobilier	céramique	ST2319
PT3360	885527.212848	134874.128102	286.295144	286.3	mobilier	céramique	ST2319
PT3361	885527.520022	134873.879858	286.273164	286.27	mobilier	céramique	ST2319
PT3362	885527.568700	134873.785895	286.267665	286.27	mobilier	céramique	ST2319
PT3363	885527.701527	134873.560351	286.256862	286.26	mobilier	os	ST2319
PT3364	885527.492182	134873.333430	286.270325	286.27	mobilier	céramique	ST2319
PT3365	885528.103078	134872.925308	286.256087	286.26	mobilier	céramique	ST2319
PT3366	885520.724072	134873.705238	286.199587	286.2	mobilier	clou carroyage	ST2195

PT	X (est)	Y (nord)	Z (alti)	Z (alti)	élément	type de point	identifiant
PT3367	885520.506850	134872.758270	286.198522	286.2	mobilier	clou carroyage	ST2195
PT3368	885519.554412	134872.969786	286.195486	286.2	mobilier	clou carroyage	ST2195
PT3369	885519.767576	134873.919742	286.193189	286.19	mobilier	clou carroyage	ST2195
PT3370	885523.521335	134873.886264	286.156705	286.16	mobilier	contour	ST2191
PT3371	885523.423785	134873.815880	286.138467	286.14	mobilier	contour	ST2191
PT3372	885523.295585	134873.707191	286.175484	286.18	mobilier	contour	ST2191
PT3373	885523.379921	134873.507815	286.184183	286.18	mobilier	contour	ST2191
PT3374	885523.291784	134873.307634	286.176200	286.18	mobilier	contour	ST2191
PT3375	885523.350856	134873.099452	286.164370	286.16	mobilier	contour	ST2191
PT3376	885523.498155	134872.981386	286.166201	286.17	mobilier	contour	ST2191
PT3377	885523.661027	134873.186908	286.175736	286.18	mobilier	contour	ST2191
PT3378	885523.693049	134873.320956	286.165731	286.17	mobilier	contour	ST2191
PT3379	885523.586143	134873.505223	286.183201	286.18	mobilier	contour	ST2191
PT3380	885523.603957	134873.658288	286.174220	286.17	mobilier	contour	ST2191
PT3381	885523.710600	134873.633961	286.175842	286.18	mobilier	contour	ST2191
PT3382	885523.877619	134873.627756	286.176665	286.18	mobilier	contour	ST2191
PT3383	885523.929417	134873.763405	286.190229	286.19	mobilier	contour	ST2191
PT3384	885523.786920	134873.791218	286.173969	286.17	mobilier	contour	ST2191
PT3385	885523.682588	134873.651136	286.156526	286.16	mobilier	contour	ST2191
PT3386	885523.616006	134873.680747	286.158911	286.16	mobilier	contour	ST2191
PT3387	885523.495795	134873.784603	286.010692	286.01	mobilier	fond	ST2191
PT3388	885523.408210	134873.580994	285.980184	285.98	mobilier	contour fond	ST2191
PT3389	885523.376170	134873.371321	285.886336	285.89	mobilier	contour fond	ST2191
PT3390	885523.459732	134873.165265	285.838795	285.84	mobilier	contour fond	ST2191
PT3391	885523.607602	134873.301896	285.881660	285.88	mobilier	contour fond	ST2191
PT3392	885523.545837	134873.568707	285.967044	285.97	mobilier	contour fond	ST2191
PT3393	885523.532080	134873.846866	286.032527	286.03	mobilier	contour fond	ST2191
PT3394	885523.727160	134873.674000	286.054864	286.05	mobilier	contour fond	ST2191
PT3395	885523.830062	134873.649368	286.038675	286.04	mobilier	contour fond	ST2191
PT3396	885523.905409	134873.722012	286.047984	286.05	mobilier	contour fond	ST2191
PT3397	885523.818586	134873.752681	286.043120	286.04	mobilier	contour fond	ST2191
PT3398	885523.814320	134873.711964	286.029948	286.03	mobilier	fond	ST2191
PT3399	885523.338958	134873.082403	286.236749	286.24	mobilier	céramique	ST2319
PT3400	885529.415805	134873.096789	286.237817	286.24	mobilier	lithique	ST2319
PT3401	885529.374942	134873.239244	286.243660	286.24	mobilier	os	ST2319
PT3402	885529.405192	134873.386277	286.217687	286.22	mobilier	céramique	ST2319
PT3403	885528.966953	134873.430777	286.269248	286.27	mobilier	os	ST2319
PT3404	885528.607868	134873.343738	286.268876	286.27	mobilier	os	ST2319
PT3405	885523.112042	134871.683908	286.122838	286.12	structure	clou carroyage	ST2192
PT3406	885523.239402	134873.279599	286.126988	286.13	structure	clou carroyage	ST2192
PT3407	885524.872507	134873.157994	286.147398	286.15	structure	clou carroyage	ST2192
PT3408	885524.705868	134871.542838	286.079527	286.08	structure	clou carroyage	ST2192
PT3409	885523.534706	134873.944653	286.123070	286.12	structure	clou coupe	ST2191
PT3410	885523.479876	134872.950062	286.117941	286.12	structure	clou coupe	ST2191
PT3411	885520.233064	134873.839663	286.183063	286.18	structure	clou coupe	ST2195
PT3412	885520.054309	134872.869875	286.183841	286.18	structure	clou coupe	ST2195
PT3413	885536.394252	134871.052186	286.164483	286.16	structure	clou carroyage	ST2166
PT3414	885536.363230	134870.546353	286.152781	286.15	structure	clou carroyage	ST2166
PT3415	885535.868160	134870.588625	286.156897	286.16	structure	clou carroyage	ST2166
PT3416	885535.888966	134871.079616	286.165403	286.17	structure	clou carroyage	ST2166
PT3417	885535.612119	134870.666203	286.162297	286.16	structure	clou carroyage	ST2167
PT3418	885534.620129	134870.691055	286.174170	286.17	structure	clou carroyage	ST2167
PT3419	885534.663304	134871.668705	286.157402	286.16	structure	clou carroyage	ST2167
PT3420	885535.644449	134871.635863	286.159670	286.16	structure	clou carroyage	ST2167
PT3421	885520.117464	134873.163788	286.110124	286.11	mobilier	céramique	ST2195
PT3422	885535.844511	134870.923740	286.162973	286.16	structure	clou coupe	ST2166
PT3423	885536.464574	134870.810135	286.157035	286.16	structure	clou coupe	ST2166
PT3424	885543.183461	134902.070013	285.825168	285.83	structure	contour	ST2032
PT3425	885543.095868	134902.740739	285.773685	285.77	structure	contour	ST2032
PT3426	885542.252254	134903.126110	285.775013	285.78	structure	contour	ST2032
PT3427	885541.771335	134902.119829	285.876455	285.88	structure	contour	ST2032
PT3428	885542.512636	134901.686003	285.862022	285.86	structure	contour	ST2032
PT3429	885542.537561	134901.813454	285.626290	285.63	structure	contour intérieur	ST2032
PT3430	885542.547773	134901.739022	285.631542	285.63	structure	contour intérieur	ST2032
PT3431	885543.065038	134902.135842	285.614293	285.61	structure	contour intérieur	ST2032
PT3432	885543.145123	134902.116625	285.624864	285.62	structure	contour intérieur	ST2032

Annexe 4 - Le Clos de Roque, Saint-Maximin-la-Sainte-Baume (83). Inventaire des points topographiques.

PT	X (est)	Y (nord)	Z (alti)	Z (alti)	élément	type de point	identifiant
PT3433	885542.996144	134902.647318	285.614491	285.61	structure	contour intérieur	ST2032
PT3434	885543.058109	134902.667319	285.611406	285.61	structure	contour intérieur	ST2032
PT3435	885542.322771	134903.002480	285.600519	285.6	structure	contour intérieur	ST2032
PT3436	885542.258909	134903.052357	285.612390	285.61	structure	contour intérieur	ST2032
PT3437	885542.093154	134901.931654	285.606456	285.61	structure	contour intérieur	ST2032
PT3438	885542.073977	134901.892491	285.616069	285.62	structure	contour intérieur	ST2032
PT3439	885542.121628	134901.985465	285.556072	285.56	structure	contour fond	ST2032
PT3440	885542.663391	134901.926519	285.528269	285.53	structure	contour fond	ST2032
PT3441	885542.990583	134902.176112	285.537403	285.54	structure	contour fond	ST2032
PT3442	885542.969680	134902.602478	285.549859	285.55	structure	contour fond	ST2032
PT3443	885542.315276	134902.976797	285.562517	285.56	structure	contour fond	ST2032
PT3444	885542.064121	134902.659863	285.547730	285.55	structure	fond	ST2032
PT3445	885542.386515	134902.099301	285.542991	285.54	structure	fond	ST2032
PT3446	885542.712644	134902.306181	285.550340	285.55	structure	fond	ST2032
PT3447	885542.495321	134902.483279	285.554635	285.55	structure	fond	ST2032
PT3448	885523.890921	134872.760421	286.145957	286.15	mobilier	céramique	ST2192
PT3449	885519.804878	134873.361869	286.189215	286.19	structure	contour	ST2195
PT3450	885520.031313	134873.591812	286.195562	286.2	structure	contour	ST2195
PT3451	885520.351491	134873.700636	286.192093	286.19	structure	contour	ST2195
PT3452	885520.500421	134873.438378	286.193551	286.19	structure	contour	ST2195
PT3453	885520.487898	134873.061073	286.189782	286.19	structure	contour	ST2195
PT3454	885520.181161	134872.816745	286.202182	286.2	structure	contour	ST2195
PT3455	885519.923702	134873.058736	286.191352	286.19	structure	contour fond	ST2195
PT3456	885519.940753	134873.387749	286.053595	286.05	structure	contour fond	ST2195
PT3457	885520.136859	134873.469016	286.053520	286.05	structure	contour fond	ST2195
PT3458	885520.255666	134873.441216	286.026697	286.03	structure	contour fond	ST2195
PT3459	885520.204677	134873.177085	286.049822	286.05	structure	contour fond	ST2195
PT3460	885520.004917	134873.160556	286.050375	286.05	structure	contour fond	ST2195
PT3461	885520.245742	134873.633328	286.060796	286.06	structure	contour fond	ST2195
PT3462	885520.360411	134873.277094	286.103534	286.1	structure	contour fond	ST2195
PT3463	885520.226835	134872.958539	286.098031	286.1	structure	contour fond	ST2195
PT3464	885522.650729	134873.351482	286.112124	286.11	structure	contour fond	ST2195
PT3465	885520.074292	134873.280900	286.016133	286.02	structure	contour fond	ST2195
PT3466	885524.022700	134872.497328	286.085827	286.09	mobilier	céramique	ST2192
PT3467	885523.683929	134872.972242	286.119866	286.12	mobilier	céramique	ST2192
PT3468	885523.636569	134872.984366	286.119363	286.12	mobilier	céramique	ST2192
PT3469	885522.298160	134872.896929	286.155911	286.16	structure	clou carroyage	ST2194
PT3470	885521.982251	134871.413363	286.155986	286.16	structure	clou carroyage	ST2194
PT3471	885520.436718	134871.733174	286.186226	286.19	structure	clou carroyage	ST2194
PT3472	885520.739957	134873.200035	286.170170	286.17	structure	clou carroyage	ST2194
PT3473	885534.595119	134871.238413	286.165886	286.17	structure	clou coupe	ST2167
PT3474	885535.573388	134871.030848	286.166011	286.17	structure	clou coupe	ST2167
PT3475	885523.474737	134872.933298	286.066770	286.07	mobilier	bronze	ST2192
PT3476	885534.402691	134856.288655	285.668881	285.67	structure	clou carroyage	ST2209
PT3477	885534.277602	134855.775646	285.643201	285.64	structure	clou carroyage	ST2209
PT3478	885534.126918	134855.247739	285.619593	285.62	structure	clou carroyage	ST2209
PT3479	885534.671438	134855.171471	285.574298	285.57	structure	clou carroyage	ST2209
PT3480	885534.962729	134855.610735	285.587427	285.59	structure	clou carroyage	ST2209
PT3481	885534.939661	134856.115221	285.654638	285.65	structure	clou carroyage	ST2209
PT3482	885523.532902	134872.525703	286.016846	286.02	structure	lithique	ST2192
PT3483	885603.280143	134861.224575	286.098449	286.1	structure	clou carroyage	ST1050
PT3484	885604.302903	134860.885892	286.082081	286.08	structure	clou carroyage	ST1050
PT3485	885603.950938	134859.860459	286.104987	286.1	structure	clou carroyage	ST1050
PT3486	885602.934892	134860.199709	286.106709	286.11	structure	clou carroyage	ST1050
PT3487	885612.946663	134865.232673	286.108472	286.11	structure	clou carroyage	ST1041
PT3488	885613.905570	134864.983715	286.134385	286.13	structure	clou carroyage	ST1041
PT3489	885613.669052	134864.024949	286.158681	286.16	structure	clou carroyage	ST1041
PT3490	885612.717751	134864.252135	286.130134	286.13	structure	clou carroyage	ST1041
PT3491	885613.246612	134868.023500	286.073947	286.07	structure	clou carroyage	ST1004
PT3492	885613.843778	134867.881824	286.084202	286.08	structure	clou carroyage	ST1004
PT3493	885613.706712	134867.291165	286.086776	286.09	structure	clou carroyage	ST1004
PT3494	885613.115269	134867.432937	286.069593	286.07	structure	clou carroyage	ST1004
PT3495	885610.972565	134872.213284	286.036555	286.04	structure	clou carroyage	ST1002
PT3496	885611.533379	134872.013969	286.030294	286.03	structure	clou carroyage	ST1002
PT3497	885611.317932	134871.440936	286.034733	286.03	structure	clou carroyage	ST1002
PT3498	885610.754942	134871.666723	286.022340	286.02	structure	clou carroyage	ST1002

PT	X (est)	Y (nord)	Z (alti)	Z (alti)	élément	type de point	identifiant
PT3499	885614.910046	134871.199644	286.089239	286.09	structure	clou carroyage	ST1003
PT3500	885615.839536	134870.683943	286.131487	286.13	structure	clou carroyage	ST1003
PT3501	885615.324747	134869.743068	286.114151	286.11	structure	clou carroyage	ST1003
PT3502	885614.376908	134870.264205	286.102778	286.1	structure	clou carroyage	ST1003
PT3503	885622.379779	134873.439310	286.118503	286.12	structure	clou carroyage	ST1010
PT3504	885623.390667	134873.067511	286.109919	286.11	structure	clou carroyage	ST1010
PT3505	885623.025647	134872.055206	286.104252	286.1	structure	clou carroyage	ST1010
PT3506	885622.027522	134872.414923	286.106088	286.11	structure	clou carroyage	ST1010
PT3507	885623.894108	134872.843240	286.120703	286.12	structure	clou carroyage	ST1011
PT3508	885624.929141	134872.618334	286.075582	286.08	structure	clou carroyage	ST1011
PT3509	885624.714629	134871.582095	286.093977	286.09	structure	clou carroyage	ST1011
PT3510	885623.679080	134871.821215	286.119768	286.12	structure	clou carroyage	ST1011
PT3511	885617.463534	134881.705437	286.079554	286.08	structure	clou carroyage	ST1008
PT3512	885621.075916	134880.000019	286.034911	286.03	structure	clou carroyage	ST1008
PT3513	885619.795074	134877.283659	286.071723	286.07	structure	clou carroyage	ST1008
PT3514	885616.193062	134878.971562	286.091857	286.09	structure	clou carroyage	ST1008
PT3515	885615.400265	134888.053390	285.914781	285.91	structure	clou carroyage	ST1001
PT3516	885617.218965	134887.290895	286.005984	286.01	structure	clou carroyage	ST1001
PT3517	885616.519586	134885.423544	286.015892	286.02	structure	clou carroyage	ST1001
PT3518	885614.675434	134886.208124	285.964666	285.96	structure	clou carroyage	ST1001
PT3519	885618.844144	134887.042884	286.056833	286.06	structure	clou carroyage	ST1039
PT3520	885619.834792	134886.633148	286.051606	286.05	structure	clou carroyage	ST1039
PT3521	885619.422987	134885.667492	286.061077	286.06	structure	clou carroyage	ST1039
PT3522	885618.435887	134886.060897	286.054775	286.05	structure	clou carroyage	ST1039
PT3523	885536.230324	134871.179896	286.160945	286.16	structure	contour	ST2166
PT3524	885536.010910	134871.031343	286.150689	286.15	structure	contour	ST2166
PT3525	885535.887243	134870.764930	286.159652	286.16	structure	contour	ST2166
PT3526	885535.961618	134870.660285	286.160874	286.16	structure	contour	ST2166
PT3527	885536.082510	134870.542416	286.150652	286.15	structure	contour	ST2166
PT3528	885536.242893	134870.666429	286.156551	286.16	structure	contour	ST2166
PT3529	885536.327414	134870.901305	286.164069	286.16	structure	contour	ST2166
PT3530	885536.181649	134871.074375	286.041593	286.04	structure	contour	ST2166
PT3531	885536.190495	134870.863122	286.045466	286.05	structure	contour fond	ST2166
PT3532	885536.175185	134870.705489	286.042923	286.04	structure	contour fond	ST2166
PT3533	885536.086213	134870.713513	286.021515	286.02	structure	contour fond	ST2166
PT3534	885535.989383	134870.846381	286.019221	286.02	structure	contour fond	ST2166
PT3535	885536.097183	134870.999364	286.057876	286.06	structure	contour fond	ST2166
PT3536	885536.075970	134870.782014	285.987420	285.99	structure	fond	ST2166
PT3537	885534.965881	134871.587851	286.160804	286.16	structure	contour	ST2167
PT3538	885535.483799	134871.243508	286.151720	286.15	structure	contour	ST2167
PT3539	885535.557679	134870.991639	286.162800	286.16	structure	contour	ST2167
PT3540	885535.578843	134870.727336	286.158434	286.16	structure	contour	ST2167
PT3541	885535.108057	134870.732470	286.156667	286.16	structure	contour	ST2167
PT3542	885534.811073	134870.951638	286.162281	286.16	structure	contour	ST2167
PT3543	885534.616391	134871.093628	286.166776	286.17	structure	contour	ST2167
PT3544	885534.948975	134871.439310	286.050282	286.05	structure	contour fond	ST2167
PT3545	885535.324569	134871.200638	286.040497	286.04	structure	contour fond	ST2167
PT3546	885535.242831	134870.914281	286.017936	286.02	structure	contour fond	ST2167
PT3547	885534.901742	134871.002640	286.026523	286.03	structure	contour fond	ST2167
PT3548	885534.729020	134871.180900	286.036642	286.04	structure	contour fond	ST2167
PT3549	885535.075156	134871.089021	285.977171	285.98	structure	fond	ST2167
PT3550	885547.380162	134888.814357	285.936532	285.94	structure	clou carroyage	ST2056
PT3551	885548.375636	134888.687689	285.957406	285.96	structure	clou carroyage	ST2056
PT3552	885548.510815	134889.686951	285.931012	285.93	structure	clou carroyage	ST2056
PT3553	885547.512908	134889.813380	285.927749	285.93	structure	clou carroyage	ST2056
PT3554	885547.207434	134889.323518	285.938666	285.94	structure	clou coupe	ST2056
PT3555	885548.830430	134889.113567	285.957512	285.96	structure	clou coupe	ST2056
PT3556	885523.946871	134872.417433	285.991671	285.99	mobilier	céramique	ST2192
PT3557	885502.507200	134921.779370	285.814991	285.81	structure	clou carroyage	ST2276
PT3558	885502.955335	134921.546236	285.827192	285.83	structure	clou carroyage	ST2276
PT3559	885502.702231	134921.103070	285.816931	285.82	structure	clou carroyage	ST2276
PT3560	885502.287165	134921.362605	285.818241	285.82	structure	clou carroyage	ST2276
PT3561	885502.221190	134921.663710	285.823164	285.82	structure	clou coupe	ST2276
PT3562	885503.037207	134921.235176	285.826024	285.83	structure	clou coupe	ST2276
PT3563	885502.565559	134921.492155	285.800314	285.8	prélèvement	p57	ST2276
PT3564	885502.644667	134921.507304	285.799272	285.8	mobilier	céramique	ST2276

Annexe 4 - Le Clos de Roque, Saint-Maximin-la-Sainte-Baume (83). Inventaire des points topographiques.



PT	X (est)	Y (nord)	Z (alti)	Z (alti)	élément	type de point	identifiant
PT3565	885503.086734	134921.976294	285.815330	285.82	structure	point central	ST2320
PT3566	885503.048516	134921.867661	285.808332	285.81	mobilier	lithique	ST2320
PT3567	885627.696699	134876.112568	286.049332	286.05	structure	clou carroyage	ST1013
PT3568	885628.733025	134875.918244	286.073907	286.07	structure	clou carroyage	ST1013
PT3569	885628.522995	134874.857229	286.067496	286.07	structure	clou carroyage	ST1013
PT3570	885627.483677	134875.073258	286.056915	286.06	structure	clou carroyage	ST1013
PT3571	885615.764782	134858.504607	286.170843	286.17	structure	clou carroyage	ST1044
PT3572	885616.432280	134857.654503	286.171786	286.17	structure	clou carroyage	ST1044
PT3573	885615.587232	134857.008685	286.174643	286.17	structure	clou carroyage	ST1044
PT3574	885614.931777	134857.844929	286.182800	286.18	structure	clou carroyage	ST1044
PT3575	885615.119885	134859.646750	286.166418	286.17	structure	clou carroyage	ST1051
PT3576	885615.801496	134858.843104	286.173338	286.17	structure	clou carroyage	ST1051
PT3577	885614.963860	134858.155437	286.183067	286.18	structure	clou carroyage	ST1051
PT3578	885614.276561	134858.987154	286.203049	286.2	structure	clou carroyage	ST1051
PT3579	885619.005544	134859.368710	286.176044	286.18	structure	clou carroyage	ST1045
PT3580	885619.976122	134859.026270	286.183660	286.18	structure	clou carroyage	ST1045
PT3581	885619.631683	134857.989457	286.196582	286.2	structure	clou carroyage	ST1045
PT3582	885618.621856	134858.367362	286.172340	286.17	structure	clou carroyage	ST1045
PT3583	885613.310268	134857.512558	286.207581	286.21	structure	clou carroyage	ST1043
PT3584	885614.318756	134857.165891	286.187078	286.19	structure	clou carroyage	ST1043
PT3585	885613.983335	134856.160165	286.223692	286.22	structure	clou carroyage	ST1043
PT3586	885612.981987	134856.493062	286.209477	286.21	structure	clou carroyage	ST1043
PT3587	885534.510940	134855.317146	285.724873	285.72	Squelette	crane	ST2209
PT3588	885534.750783	134855.391355	285.720064	285.72	Squelette	tete humerale droite	ST2209
PT3589	885534.434422	134855.490847	285.573984	285.57	Squelette	tete humerale gauche	ST2209
PT3590	885534.310638	134855.543395	285.605551	285.61	Squelette	main gauche	ST2209
PT3591	885534.720569	134855.668302	285.572193	285.57	Squelette	coude droit	ST2209
PT3592	885534.558722	134855.743325	285.581323	285.58	Squelette	coude gauche	ST2209
PT3593	885534.367385	134855.809040	285.661001	285.66	Squelette	genou gauche	ST2209
PT3594	885534.509328	134855.850395	285.668876	285.67	Squelette	genou droite	ST2209
PT3595	885534.898464	134855.809701	285.757265	285.76	Squelette	tete femoral droite	ST2209
PT3596	885534.865725	134856.081214	285.663357	285.66	Squelette	pied droit	ST2209
PT3597	885534.700767	134856.025567	285.678062	285.68	Squelette	pied gauche	ST2209
PT3598	885620.958430	134885.584256	286.007216	286.01	structure	point central	ST1069
PT3599	885620.636271	134886.206726	286.012660	286.01	structure	clou carroyage	ST1069
PT3600	885621.655628	134885.810941	285.999408	286	structure	clou carroyage	ST1069
PT3601	885621.251162	134884.826709	285.990044	285.99	structure	clou carroyage	ST1069
PT3602	885620.270521	134885.213855	286.003235	286	structure	clou carroyage	ST1069
PT3603	885616.942519	134866.282422	286.176967	286.18	structure	clou carroyage	ST1014
PT3604	885617.962499	134865.995352	286.190151	286.19	structure	clou carroyage	ST1014
PT3605	885617.677458	134864.967252	286.206433	286.21	structure	clou carroyage	ST1014
PT3606	885616.644106	134865.256163	286.207314	286.21	structure	clou carroyage	ST1014
PT3607	885608.612495	134858.745372	286.171036	286.17	structure	clou carroyage	ST1042
PT3608	885609.667068	134858.579248	286.189985	286.19	structure	clou carroyage	ST1042
PT3609	885609.498852	134857.521947	286.183901	286.18	structure	clou carroyage	ST1042
PT3610	885608.443872	134857.675980	286.173711	286.17	structure	clou carroyage	ST1042
PT3611	885612.397084	134852.022288	286.278587	286.28	structure	clou carroyage	ST1047
PT3612	885613.350017	134851.706216	286.256145	286.26	structure	clou carroyage	ST1047
PT3613	885613.017363	134850.752151	286.250221	286.25	structure	clou carroyage	ST1047
PT3614	885612.065628	134851.079559	286.269085	286.27	structure	clou carroyage	ST1047
PT3615	885502.501658	134921.595341	285.812581	285.81	structure	contour	ST2276
PT3616	885502.734648	134921.664485	285.796069	285.8	structure	contour	ST2276
PT3617	885502.786399	134921.400521	285.795571	285.8	structure	contour	ST2276
PT3618	885502.603951	134921.300965	285.796138	285.8	structure	contour	ST2276
PT3619	885502.629301	134921.366873	285.748438	285.75	structure	contour fond	ST2276
PT3620	885502.525106	134921.500675	285.751663	285.75	structure	contour fond	ST2276
PT3621	885502.683497	134921.607806	285.749624	285.75	structure	contour fond	ST2276
PT3622	885502.755056	134921.424844	285.747036	285.75	structure	contour fond	ST2276
PT3623	885502.639609	134921.496849	285.740746	285.74	structure	fond	ST2276
PT3624	885502.864815	134922.568765	285.828452	285.83	structure	clou carroyage	ST2320
PT3625	885503.654236	134922.349335	285.808037	285.81	structure	clou carroyage	ST2320
PT3626	885503.479870	134921.589060	285.822124	285.82	structure	clou carroyage	ST2320
PT3627	885502.699423	134921.794041	285.797061	285.8	structure	clou carroyage	ST2320
PT3628	885558.470835	134872.879797	285.206577	285.21	mobilier	céramique	ST2096
PT3629	885521.629141	134872.880991	286.136938	286.14	structure	clou coupe	ST2194
PT3630	885521.210728	134871.500785	286.144287	286.14	structure	clou coupe	ST2194

PT	X (est)	Y (nord)	Z (alti)	Z (alti)	élément	type de point	identifiant
PT3631	885547.875354	134889.259200	285.840961	285.84	structure	clou coupe	ST2056
PT3632	885548.088096	134889.222797	285.839965	285.84	structure	clou coupe	ST2056
PT3633	885548.199196	134889.229027	285.846654	285.85	mobilier	os	ST2056
PT3634	885548.601928	134894.907977	285.903399	285.9	structure	clou carroyage	ST2030
PT3635	885549.225293	134896.390152	285.884436	285.88	structure	clou carroyage	ST2030
PT3636	885550.705417	134895.799348	285.901278	285.9	structure	clou carroyage	ST2030
PT3637	885550.097042	134894.321572	285.913999	285.91	structure	clou carroyage	ST2030
PT3638	885522.999247	134872.634386	286.155253	286.16	structure	clou coupe	ST2192
PT3639	885525.000071	134872.128773	286.145555	286.15	structure	clou coupe	ST2192
PT3640	885614.824589	134887.038486	286.000719	286	structure	clou coupe	ST1001
PT3641	885616.614512	134887.024297	285.990327	285.99	structure	clou coupe	ST1001
PT3642	885618.923630	134886.470583	286.051070	286.05	structure	clou coupe	ST1039
PT3643	885619.370081	134886.220917	286.055191	286.06	structure	clou coupe	ST1039
PT3644	885617.357317	134880.945000	285.869022	285.87	structure	clou coupe	ST1008
PT3645	885620.408583	134879.647980	285.866459	285.87	structure	clou coupe	ST1008
PT3646	885502.776053	134922.080766	285.806466	285.81	structure	clou coupe	ST2320
PT3647	885503.555101	134921.918460	285.821299	285.82	structure	clou coupe	ST2320
PT3648	885502.817624	134922.154992	285.810683	285.81	structure	contour	ST2320
PT3649	885503.120454	134922.314285	285.789212	285.79	structure	contour	ST2320
PT3650	885503.327861	134922.062554	285.811758	285.81	structure	contour	ST2320
PT3651	885503.018946	134921.867431	285.831010	285.83	structure	contour	ST2320
PT3652	885503.019439	134921.914643	285.690139	285.69	structure	contour fond	ST2320
PT3653	885502.837774	134922.079986	285.710865	285.71	structure	contour fond	ST2320
PT3654	885503.086804	134922.243811	285.685526	285.69	structure	contour fond	ST2320
PT3655	885503.255996	134922.026014	285.688300	285.69	structure	contour fond	ST2320
PT3656	885503.038257	134922.041200	285.650259	285.65	structure	fond	ST2320
PT3657	885547.332027	134889.266177	285.930066	285.93	structure	contour	ST2056
PT3658	885547.770441	134889.694254	285.919097	285.92	structure	contour	ST2056
PT3659	885548.412426	134889.597772	285.911043	285.91	structure	contour	ST2056
PT3660	885548.630976	134889.247548	285.937002	285.94	structure	contour	ST2056
PT3661	885548.418850	134888.742482	285.957891	285.96	structure	contour	ST2056
PT3662	885547.956392	134888.774098	285.960182	285.96	structure	contour	ST2056
PT3663	885547.514209	134888.981023	285.934303	285.93	structure	contour	ST2056
PT3664	885547.692000	134889.141358	285.862587	285.86	structure	contour	ST2056
PT3665	885547.900049	134889.453429	285.809837	285.81	structure	contour fond	ST2056
PT3666	885548.402894	134889.259194	285.784904	285.78	structure	contour fond	ST2056
PT3667	885548.322890	134888.967403	285.850649	285.85	structure	contour fond	ST2056
PT3668	885548.105554	134889.282743	285.776518	285.78	structure	fond	ST2056
PT3669	885539.178710	134896.725956	285.929916	285.93	structure	contour	ST2051
PT3670	885540.230225	134896.109937	285.923152	285.92	structure	contour	ST2051
PT3671	885540.119077	134895.771810	285.934456	285.93	structure	contour	ST2051
PT3672	885539.036376	134896.428030	285.945722	285.95	structure	contour	ST2051
PT3673	885541.455367	134895.356912	285.933620	285.93	structure	contour	ST2055
PT3674	885542.264776	134894.828997	285.884318	285.88	structure	contour	ST2055
PT3675	885542.066244	134894.542182	285.868505	285.87	structure	contour	ST2055
PT3676	885541.212134	134895.053582	285.922915	285.92	structure	contour	ST2055
PT3677	885536.599005	134894.450741	285.953719	285.95	structure	contour	ST2052
PT3678	885537.761193	134893.804432	285.998216	286	structure	contour	ST2052
PT3679	885537.610940	134893.506272	285.997861	286	structure	contour	ST2052
PT3680	885536.430692	134894.172905	285.968230	285.97	structure	contour	ST2052
PT3681	885622.039278	134872.755449	286.136037	286.14	structure	clou coupe	ST1010
PT3682	885623.016358	134872.517674	286.125445	286.13	structure	clou coupe	ST1010
PT3683	885623.957934	134872.288219	286.138703	286.14	structure	clou coupe	ST1011
PT3684	885624.639971	134872.100539	286.123369	286.12	structure	clou coupe	ST1011
PT3685	885599.820576	134846.638116	286.324084	286.32	structure	clou carroyage	ST1057
PT3686	885601.818885	134846.466976	286.345962	286.35	structure	clou carroyage	ST1057
PT3687	885601.650321	134844.480326	286.364736	286.36	structure	clou carroyage	ST1057
PT3688	885599.655244	134844.634926	286.354494	286.35	structure	clou carroyage	ST1057
PT3689	885602.185326	134842.373911	286.421972	286.42	structure	clou carroyage	ST1054
PT3690	885604.115603	134841.828834	286.423209	286.42	structure	clou carroyage	ST1054
PT3691	885603.558968	134839.894334	286.453361	286.45	structure	clou carroyage	ST1054
PT3692	885601.646732	134840.444770	286.461282	286.46	structure	clou carroyage	ST1054
PT3693	885599.816177	134843.750686	286.489619	286.49	structure	clou carroyage	ST1055
PT3694	885601.755146	134843.208358	286.485602	286.49	structure	clou carroyage	ST1055
PT3695	885601.231264	134841.281417	286.469919	286.47	structure	clou carroyage	ST1055
PT3696	885599.311966	134841.810500	286.548137	286.55	structure	clou carroyage	ST1055

PT	X (est)	Y (nord)	Z (alti)	Z (alti)	élément	type de point	identifiant
PT3697	885598.901123	134840.887273	286.547227	286.55	structure	clou carroyage	ST1056
PT3698	885599.875377	134840.691715	286.542167	286.54	structure	clou carroyage	ST1056
PT3699	885599.582929	134839.231212	286.581391	286.58	structure	clou carroyage	ST1056
PT3700	885598.617292	134839.443341	286.580036	286.58	structure	clou carroyage	ST1056
PT3701	885490.850441	134895.180726	285.838938	285.84	structure	clou carroyage	ST2301
PT3702	885491.301595	134896.037140	285.858214	285.86	structure	clou carroyage	ST2301
PT3703	885492.211134	134895.557643	285.854961	285.85	structure	clou carroyage	ST2301
PT3704	885491.722899	134894.702320	285.834928	285.83	structure	clou carroyage	ST2301
PT3705	885491.151238	134896.481337	285.851378	285.85	structure	clou carroyage	ST2300
PT3706	885491.479738	134897.418441	285.873562	285.87	structure	clou carroyage	ST2300
PT3707	885492.415932	134897.104413	285.883979	285.88	structure	clou carroyage	ST2300
PT3708	885492.107718	134896.186272	285.877352	285.88	structure	clou carroyage	ST2300
PT3709	885493.028779	134895.829636	285.855512	285.86	structure	clou carroyage	ST2303
PT3710	885493.363322	134896.762485	285.900861	285.9	structure	clou carroyage	ST2303
PT3711	885491.545890	134898.179284	285.882950	285.88	structure	clou carroyage	ST2294
PT3712	885491.885558	134899.128885	285.874941	285.87	structure	clou carroyage	ST2294
PT3713	885492.827642	134898.819173	285.879712	285.88	structure	clou carroyage	ST2294
PT3714	885492.523702	134897.865328	285.880424	285.88	structure	clou carroyage	ST2294
PT3715	885493.645602	134897.566140	285.909588	285.91	structure	clou carroyage	ST2295
PT3716	885494.029718	134898.455397	285.896835	285.9	structure	clou carroyage	ST2295
PT3717	885494.940469	134898.079130	285.883022	285.88	structure	clou carroyage	ST2295
PT3718	885494.568545	134897.159462	285.875658	285.88	structure	clou carroyage	ST2295
PT3719	885493.317645	134895.997284	285.861786	285.86	structure	clou carroyage	ST2299
PT3720	885493.677949	134896.897455	285.891025	285.89	structure	clou carroyage	ST2299
PT3721	885494.596431	134896.551246	285.881246	285.88	structure	clou carroyage	ST2299
PT3722	885494.222578	134895.603433	285.883044	285.88	structure	clou carroyage	ST2299
PT3723	885492.995312	134894.501862	285.853705	285.85	structure	clou carroyage	ST2302
PT3724	885493.411949	134895.397037	285.858038	285.86	structure	clou carroyage	ST2302
PT3725	885494.320467	134894.975447	285.908217	285.91	structure	clou carroyage	ST2302
PT3726	885493.889910	134894.068250	285.887570	285.89	structure	clou carroyage	ST2302
PT3727	885494.735949	134895.931935	285.892461	285.89	structure	clou carroyage	ST2298
PT3728	885494.694379	134896.701592	285.878403	285.88	structure	clou carroyage	ST2298
PT3729	885495.484113	134896.755661	285.885617	285.89	structure	clou carroyage	ST2298
PT3730	885495.508619	134895.929368	285.917985	285.92	structure	clou carroyage	ST2298
PT3731	885495.669473	134895.993692	285.922445	285.92	structure	clou carroyage	ST2297
PT3732	885495.903283	134896.884726	285.912844	285.91	structure	clou carroyage	ST2297
PT3733	885496.763257	134896.654756	285.938050	285.94	structure	clou carroyage	ST2297
PT3734	885496.519863	134895.778383	285.938121	285.94	structure	clou carroyage	ST2297
PT3735	885497.392613	134894.330548	285.897898	285.9	structure	clou carroyage	ST2308
PT3736	885497.619402	134894.971986	285.896574	285.9	structure	clou carroyage	ST2308
PT3737	885498.278507	134894.701337	285.900691	285.9	structure	clou carroyage	ST2308
PT3738	885498.041100	134894.067939	285.909670	285.91	structure	clou carroyage	ST2308
PT3739	885499.127079	134893.040166	285.940442	285.94	structure	clou carroyage	ST2305
PT3740	885499.589956	134893.551607	285.940700	285.94	structure	clou carroyage	ST2305
PT3741	885500.095616	134893.068135	285.935201	285.94	structure	clou carroyage	ST2305
PT3742	885499.643387	134892.565097	285.934403	285.93	structure	clou carroyage	ST2305
PT3743	885499.749167	134892.579974	285.935255	285.94	structure	clou carroyage	ST2306
PT3744	885500.261095	134893.065104	285.941547	285.94	structure	clou carroyage	ST2306
PT3745	885500.747719	134892.532571	285.935986	285.94	structure	clou carroyage	ST2306
PT3746	885500.231537	134892.057509	285.952710	285.95	structure	clou carroyage	ST2306
PT3747	885499.413926	134894.730090	285.955903	285.96	structure	clou carroyage	ST2304
PT3748	885499.634780	134895.695524	285.946396	285.95	structure	clou carroyage	ST2304
PT3749	885500.606250	134895.467611	285.987329	285.99	structure	clou carroyage	ST2304
PT3750	885500.373158	134894.494614	285.950466	285.95	structure	clou carroyage	ST2304
PT3751	885534.857941	134855.717498	285.621595	285.62	prélèvement		ST2209
PT3752	885534.842	134855.631	285.615	285.62	prélèvement		ST2209
PT3753	885615.077037	134887.061776	285.927069	285.93	structure	contour	ST1001
PT3754	885615.539789	134887.869867	285.940394	285.94	structure	contour	ST1001
PT3755	885616.237950	134887.916201	285.99859	286	structure	contour	ST1001
PT3756	885616.661447	134887.956775	286.022739	286.02	structure	contour	ST1001
PT3757	885616.770310	134887.507329	286.037398	286.04	structure	contour	ST1001
PT3758	885616.663420	134886.916378	286.025696	286.03	structure	contour	ST1001
PT3759	885616.572654	134887.739991	285.771363	285.77	structure	contour	ST1001
PT3760	885616.155692	134887.356617	285.863473	285.86	structure	contour	ST1001
PT3761	885615.674221	134887.427962	285.889692	285.89	structure	contour	ST1001
PT3762	885618.891932	134886.516330	286.070723	286.07	structure	contour	ST1039



PT	X (est)	Y (nord)	Z (alti)	Z (alti)	élément	type de point	identifiant
PT3763	885619.275841	134886.557647	286.074895	286.07	structure	contour	ST1039
PT3764	885619.356095	134886.278591	286.088627	286.09	structure	contour	ST1039
PT3765	885619.093450	134886.370660	285.872945	285.87	structure	contour	ST1039
PT3766	885558.865391	134873.069459	284.251806	284.25	meublier	céramique	ST2096
PT3767	885559.062379	134873.085136	284.356884	284.36	meublier	lithique	ST2096
PT3768	885521.118708	134873.382332	286.149288	286.15	structure	contour	ST2194
PT3769	885521.252260	134872.992086	286.153497	286.15	structure	contour	ST2194
PT3770	885521.492197	134872.582083	286.162605	286.16	structure	contour	ST2194
PT3771	885521.854138	134872.230456	286.173221	286.17	structure	contour	ST2194
PT3772	885521.718311	134871.743697	286.163269	286.16	structure	contour	ST2194
PT3773	885521.087893	134871.969216	286.145784	286.15	structure	contour	ST2194
PT3774	885520.923725	134872.398866	286.184981	286.18	structure	contour	ST2194
PT3775	885520.860045	134873.022935	286.140516	286.14	structure	contour	ST2194
PT3776	885521.096030	134873.309866	285.996624	286	structure	contour	ST2194
PT3777	885521.116567	134873.004749	285.924683	285.92	structure	contour fond	ST2194
PT3778	885521.088294	134872.878571	285.928090	285.93	structure	contour fond	ST2194
PT3779	885521.247513	134872.703996	285.994412	285.99	structure	contour fond	ST2194
PT3780	885521.396924	134872.428020	285.922257	285.92	structure	contour fond	ST2194
PT3781	885521.372636	134872.189148	285.814910	285.81	structure	contour fond	ST2194
PT3782	885521.635647	134872.033678	285.860185	285.86	structure	contour fond	ST2194
PT3783	885521.419690	134871.924985	285.732084	285.73	structure	contour fond	ST2194
PT3784	885521.160203	134872.261416	285.870914	285.87	structure	contour fond	ST2194
PT3785	885520.966564	134872.708275	286.030324	286.03	structure	contour fond	ST2194
PT3786	885520.961129	134873.125040	286.008833	286.01	structure	contour fond	ST2194
PT3787	885610.794545	134871.951133	286.004224	286	structure	clou coupe	ST1002
PT3788	885611.437787	134871.717652	286.032426	286.03	structure	clou coupe	ST1002
PT3789	885614.183817	134870.671853	285.939195	285.94	structure	clou coupe	ST1003
PT3790	885615.816359	134870.183294	285.92912	285.93	structure	clou coupe	ST1003
PT3791	885522.367750	134878.252116	286.185840	286.19	structure	clou carroyage	ST2189
PT3792	885522.232874	134877.187293	286.155025	286.16	structure	clou carroyage	ST2189
PT3793	885521.154604	134877.330190	286.147004	286.15	structure	clou carroyage	ST2189
PT3794	885521.303609	134878.402949	286.170535	286.17	structure	clou carroyage	ST2189
PT3795	885522.110351	134876.160646	286.147519	286.15	structure	clou carroyage	ST2190
PT3796	885521.047449	134876.255778	286.162216	286.16	structure	clou carroyage	ST2190
PT3797	885621.895312	134872.733246	286.09174	286.09	structure	contour	ST1010
PT3798	885622.284254	134873.154770	286.09209	286.09	structure	contour	ST1010
PT3799	885622.829591	134873.492632	286.115036	286.12	structure	contour	ST1010
PT3800	885623.139109	134873.129147	286.097682	286.1	structure	contour	ST1010
PT3801	885623.126735	134872.589426	286.032056	286.03	structure	contour	ST1010
PT3802	885622.352859	134872.667364	285.771424	285.77	structure	contour fond	ST1010
PT3803	885622.763972	134873.084977	285.714225	285.71	structure	contour fond	ST1010
PT3804	885622.868513	134872.629871	285.741694	285.74	structure	contour fond	ST1010
PT3805	885622.755940	134872.897756	285.71518	285.72	structure	fond	ST1010
PT3806	885608.095411	134858.222972	286.016925	286.02	structure	clou coupe	ST1042
PT3807	885609.627256	134857.620734	286.01437	286.01	structure	clou coupe	ST1042
PT3808	885610.949989	134871.916826	285.968309	285.97	structure	contour	ST1002
PT3809	885611.220355	134872.042390	286.011274	286.01	structure	contour	ST1002
PT3810	885611.356309	134871.782157	286.022454	286.02	structure	contour	ST1002
PT3811	885611.179776	134871.934774	285.894165	285.89	structure	fond	ST1002
PT3812	885611.150371	134871.821805	285.864047	285.86	structure	fond	ST1002
PT3813	885521.604527	134877.269057	286.171901	286.17	structure	clou coupe	ST2190
PT3814	885521.432879	134876.386239	286.179241	286.18	structure	clou coupe	ST2190
PT3815	885548.659005	134895.668242	285.877947	285.88	structure	clou coupe	ST2030
PT3816	885550.109550	134894.947606	285.892675	285.89	structure	clou coupe	ST2030
PT3817	885613.263365	134867.690255	286.009807	286.01	structure	clou coupe	ST1004
PT3818	885613.697735	134867.565849	286.002027	286	structure	clou coupe	ST1004
PT3819	885612.892305	134864.712878	286.112407	286.11	structure	clou coupe	ST1041
PT3820	885613.680206	134864.521790	286.152547	286.15	structure	clou coupe	ST1041
PT3821	885623.840007	134872.409076	286.102168	286.1	structure	contour	ST1011
PT3822	885624.084629	134872.753231	286.083967	286.08	structure	contour	ST1011
PT3823	885624.457426	134872.904499	286.091377	286.09	structure	contour	ST1011
PT3824	885624.780477	134872.522608	286.077516	286.08	structure	contour	ST1011
PT3825	885624.767310	134872.098571	286.087657	286.09	structure	contour	ST1011
PT3826	885623.992516	134872.299444	285.862923	285.86	structure	contour fond	ST1011
PT3827	885624.424424	134872.724855	285.876624	285.88	structure	contour fond	ST1011
PT3828	885624.557684	134872.121139	285.912727	285.91	structure	contour fond	ST1011

PT	X (est)	Y (nord)	Z (alti)	Z (alti)	élément	type de point	identifiant
PT3829	885624.389480	134872.437009	285.864892	285.86	structure	fond	ST1011
PT3830	885613.258960	134867.770794	286.051735	286.05	structure	contour	ST1004
PT3831	885613.513636	134867.869636	286.060109	286.06	structure	contour	ST1004
PT3832	885613.716624	134867.606815	286.060405	286.06	structure	contour	ST1004
PT3833	885613.442885	134867.660320	285.927389	285.93	structure	fond	ST1004
PT3834	885615.309070	134858.066684	286.077494	286.08	structure	clou coupe	ST1044
PT3835	885615.831644	134857.487868	286.070861	286.07	structure	clou coupe	ST1044
PT3836	885538.617109	134894.744041	285.971975	285.97	structure	clou carroyage	ST2050
PT3837	885539.941284	134894.038373	285.959487	285.96	structure	clou carroyage	ST2050
PT3838	885540.923159	134895.782216	285.904264	285.9	structure	clou carroyage	ST2050
PT3839	885539.590514	134896.504492	285.917924	285.92	structure	clou carroyage	ST2050
PT3840	885539.111791	134895.711391	285.958505	285.96	structure	clou coupe	ST2050
PT3841	885540.562190	134895.035993	285.941482	285.94	structure	clou coupe	ST2050
PT3842	885539.224983	134895.665018	285.944061	285.94	structure	contour	ST2050
PT3843	885539.884716	134895.972462	285.938413	285.94	structure	contour	ST2050
PT3844	885540.444027	134895.637235	285.962091	285.96	structure	contour	ST2050
PT3845	885540.441884	134895.048126	285.943868	285.94	structure	contour	ST2050
PT3846	885540.011644	134894.649155	285.954966	285.95	structure	contour	ST2050
PT3847	885539.455061	134894.694347	285.962301	285.96	structure	contour	ST2050
PT3848	885539.148741	134895.196706	285.965458	285.97	structure	contour	ST2050
PT3849	885539.400915	134895.408932	285.797678	285.8	structure	contour fond	ST2050
PT3850	885539.950423	134895.742666	285.805175	285.81	structure	contour fond	ST2050
PT3851	885540.281163	134895.301298	285.798921	285.8	structure	contour fond	ST2050
PT3852	885540.071735	134894.874474	285.801974	285.8	structure	contour fond	ST2050
PT3853	885539.570759	134894.894021	285.798667	285.8	structure	contour fond	ST2050
PT3854	885539.793264	134895.263789	285.752116	285.75	structure	fond	ST2050
PT3855	885539.771979	134897.952258	285.910653	285.91	structure	clou carroyage	ST2031
PT3856	885541.134853	134897.332737	285.888121	285.89	structure	clou carroyage	ST2031
PT3857	885541.935678	134899.193692	285.891736	285.89	structure	clou carroyage	ST2031
PT3858	885540.561181	134899.794865	285.887562	285.89	structure	clou carroyage	ST2031
PT3859	885540.331121	134898.858191	285.896245	285.9	structure	clou coupe	ST2031
PT3860	885541.416566	134898.465345	285.897025	285.9	structure	clou coupe	ST2031
PT3861	885538.506333	134901.712065	285.910091	285.91	structure	clou carroyage	ST2033
PT3862	885539.877383	134901.071783	285.926774	285.93	structure	clou carroyage	ST2033
PT3863	885540.550356	134902.400103	285.885771	285.89	structure	clou carroyage	ST2033
PT3864	885539.187225	134903.048295	285.882525	285.88	structure	clou carroyage	ST2033
PT3865	885549.001478	134895.088005	285.893776	285.89	structure	contour	ST2030
PT3866	885549.179974	134894.856706	285.907938	285.91	structure	contour	ST2030
PT3867	885549.608906	134894.781844	285.858359	285.86	structure	contour	ST2030
PT3868	885549.962939	134894.943911	285.866671	285.87	structure	contour	ST2030
PT3869	885550.125854	134895.455307	285.874732	285.87	structure	contour	ST2030
PT3870	885549.637125	134895.929210	285.893540	285.89	structure	contour	ST2030
PT3871	885549.118040	134895.809147	285.882419	285.88	structure	contour	ST2030
PT3872	885549.189587	134895.210073	285.745054	285.75	structure	contour fond	ST2030
PT3873	885549.603616	134894.861222	285.735421	285.74	structure	contour fond	ST2030
PT3874	885549.951572	134895.132551	285.715863	285.72	structure	contour fond	ST2030
PT3875	885549.865278	134895.601385	285.749211	285.75	structure	contour fond	ST2030
PT3876	885549.483598	134895.770352	285.749772	285.75	structure	contour fond	ST2030
PT3877	885549.156700	134895.647986	285.784498	285.78	structure	contour fond	ST2030
PT3878	885549.532077	134895.326693	285.712915	285.71	structure	fond	ST2030
PT3879	885558.503317	134872.833909	285.206559	285.21	mobilier	céramique	ST2096
PT3880	885559.612285	134872.736249	284.280249	284.28	mobilier	céramique	ST2096
PT3881	885608.669530	134859.518757	286.158226	286.16	structure	sondage	ST1642
PT3882	885610.425779	134858.708230	286.193708	286.19	structure	sondage	ST1642
PT3883	885609.898097	134855.438469	286.149612	286.15	structure	sondage	ST1642
PT3884	885606.934724	134856.734305	286.105173	286.11	structure	sondage	ST1642
PT3885	885609.106180	134857.961101	285.202572	285.2	structure	fond	ST1642
PT3886	885612.934008	134864.670916	286.088190	286.09	structure	contour	ST1041
PT3887	885613.329590	134864.894493	286.106614	286.11	structure	contour	ST1041
PT3888	885613.619506	134864.495234	286.105711	286.11	structure	contour	ST1041
PT3889	885613.282271	134864.621669	285.874785	285.87	structure	fond	ST1041
PT3890	885526.694430	134849.246349	286.175197	286.18	prélèvement		ST2214
PT3891	885491.858980	134896.961905	285.715002	285.72	prélèvement		ST2300
PT3892	885491.527348	134895.480700	285.699516	285.7	prélèvement		ST2301
PT3893	885491.275781	134895.654035	285.822893	285.82	structure	clou coupe	ST2301
PT3894	885492.001418	134895.266128	285.853347	285.85	structure	clou coupe	ST2301

PT	X (est)	Y (nord)	Z (alti)	Z (alti)	élément	type de point	identifiant
PT3895	885491.359735	134897.093594	285.862870	285.86	structure	clou coupe	ST2300
PT3896	885492.301954	134896.795363	285.880672	285.88	structure	clou coupe	ST2300
PT3897	885521.689405	134878.221426	286.198462	286.2	structure	clou coupe	ST2189
PT3898	885521.821753	134876.900447	286.153752	286.15	structure	contour	ST2190
PT3899	885521.469907	134876.670669	286.162716	286.16	structure	contour	ST2190
PT3900	885521.297716	134876.962366	286.156021	286.16	structure	contour	ST2190
PT3901	885521.659774	134877.114739	286.142049	286.14	structure	contour	ST2190
PT3902	885521.717566	134876.967499	286.041506	286.04	structure	contour fond	ST2190
PT3903	885521.575819	134876.764918	286.035013	286.04	structure	contour fond	ST2190
PT3904	885521.420360	134876.817734	286.035046	286.04	structure	contour fond	ST2190
PT3905	885521.428059	134877.031692	286.044136	286.04	structure	contour fond	ST2190
PT3906	885521.565599	134876.891233	286.034291	286.03	structure	fond	ST2190
PT3907	885522.032144	134877.641707	286.140739	286.14	structure	contour	ST2189
PT3908	885521.565981	134877.490315	286.131972	286.13	structure	contour	ST2189
PT3909	885521.389286	134877.856571	286.128684	286.13	structure	contour	ST2189
PT3910	885521.696783	134878.049133	286.157043	286.16	structure	contour	ST2189
PT3911	885521.816251	134877.773184	286.029286	286.03	structure	contour fond	ST2189
PT3912	885521.593611	134877.606049	286.004216	286	structure	contour fond	ST2189
PT3913	885521.502650	134877.803936	286.016029	286.02	structure	contour fond	ST2189
PT3914	885521.665313	134877.936021	286.016946	286.02	structure	contour fond	ST2189
PT3915	885521.665738	134877.743368	286.010100	286.01	structure	fond	ST2189
PT3916	885615.386026	134858.053499	286.136866	286.14	structure	contour	ST1044
PT3917	885615.790476	134857.994952	286.147962	286.15	structure	contour	ST1044
PT3918	885615.817560	134857.559960	286.135246	286.14	structure	contour	ST1044
PT3919	885615.550892	134857.926146	285.951578	285.95	structure	contour fond	ST1044
PT3920	885615.732786	134857.908130	285.949980	285.95	structure	contour fond	ST1044
PT3921	885615.761731	134857.639325	285.922821	285.92	structure	contour fond	ST1044
PT3922	885615.614925	134857.795840	285.903108	285.9	structure	fond	ST1044
PT3923	885599.723722	134842.587603	286.485389	286.49	structure	clou coupe	ST1055
PT3924	885601.433773	134842.806646	286.504390	286.5	structure	clou coupe	ST1055
PT3925	885617.806868	134839.673719	286.392106	286.39	structure	clou carroyage	ST1042
PT3926	885618.745352	134839.320718	286.457518	286.46	structure	clou carroyage	ST1042
PT3927	885618.407845	134838.384126	286.446904	286.45	structure	clou carroyage	ST1042
PT3928	885617.452303	134838.742368	286.419595	286.42	structure	clou carroyage	ST1042
PT3929	885611.962310	134841.404414	286.353754	286.35	structure	clou carroyage	ST1058
PT3930	885612.847616	134840.916824	286.338010	286.34	structure	clou carroyage	ST1058
PT3931	885612.358519	134840.046479	286.334506	286.33	structure	clou carroyage	ST1058
PT3932	885611.493285	134840.522078	286.355503	286.36	structure	clou carroyage	ST1058
PT3933	885630.296560	134836.490396	286.310139	286.31	structure	clou carroyage	ST1063
PT3934	885632.235050	134836.013623	286.304283	286.3	structure	clou carroyage	ST1063
PT3935	885632.017053	134835.030381	286.350702	286.35	structure	clou carroyage	ST1063
PT3936	885630.072543	134835.510479	286.364989	286.36	structure	clou carroyage	ST1063
PT3937	885628.049248	134861.010989	286.143050	286.14	structure	clou carroyage	ST1019
PT3938	885628.981999	134860.733651	286.155090	286.16	structure	clou carroyage	ST1019
PT3939	885628.728864	134859.786550	286.152030	286.15	structure	clou carroyage	ST1019
PT3940	885627.757866	134860.047124	286.157889	286.16	structure	clou carroyage	ST1019
PT3941	885638.018872	134871.021514	286.017929	286.02	structure	clou carroyage	ST1023
PT3942	885639.971236	134870.656365	286.074049	286.07	structure	clou carroyage	ST1023
PT3943	885639.610967	134868.685389	286.065214	286.07	structure	clou carroyage	ST1023
PT3944	885637.639354	134869.059792	286.003712	286	structure	clou carroyage	ST1023
PT3945	885523.635414	134872.240936	285.153914	285.15	mobilier	céramique	ST2192
PT3946	885633.866674	134855.972155	286.079281	286.08	structure	clou carroyage	ST1046
PT3947	885634.360823	134855.925181	286.077222	286.08	structure	clou carroyage	ST1046
PT3948	885634.317930	134855.443020	286.092212	286.09	structure	clou carroyage	ST1046
PT3949	885633.816532	134855.499739	286.103877	286.1	structure	clou carroyage	ST1046
PT3950	885646.210433	134868.884805	286.104187	286.1	structure	clou carroyage	ST1026
PT3951	885647.171866	134868.615272	286.068596	286.07	structure	clou carroyage	ST1026
PT3952	885646.898439	134867.667393	286.079384	286.08	structure	clou carroyage	ST1026
PT3953	885645.949706	134867.915209	286.1034	286.1	structure	clou carroyage	ST1026
PT3954	885643.995825	134864.818672	286.101151	286.1	structure	clou carroyage	ST1027
PT3955	885644.484024	134864.777905	286.09278	286.09	structure	clou carroyage	ST1027
PT3956	885644.446248	134864.283839	286.109687	286.11	structure	clou carroyage	ST1027
PT3957	885643.959012	134864.321777	286.096831	286.1	structure	clou carroyage	ST1027
PT3958	885645.237312	134860.985931	286.163022	286.16	structure	clou carroyage	ST1028
PT3959	885646.154268	134860.588743	286.149658	286.15	structure	clou carroyage	ST1028
PT3960	885645.750828	134859.670782	286.129554	286.13	structure	clou carroyage	ST1028

PT	X (est)	Y (nord)	Z (alti)	Z (alti)	élément	type de point	identifiant
PT3961	885644.837842	134860.070665	286.138761	286.14	structure	clou carroyage	ST1028
PT3962	885649.093428	134869.858271	286.107147	286.11	structure	clou carroyage	ST1029
PT3963	885649.984547	134869.445907	286.110808	286.11	structure	clou carroyage	ST1029
PT3964	885649.572670	134868.531162	286.096918	286.1	structure	clou carroyage	ST1029
PT3965	885648.657457	134868.949145	286.096089	286.1	structure	clou carroyage	ST1029
PT3966	885659.150309	134852.323793	286.107931	286.11	structure	clou carroyage	ST1034
PT3967	885660.077294	134851.983507	286.107681	286.11	structure	clou carroyage	ST1034
PT3968	885659.753935	134851.024039	286.09617	286.1	structure	clou carroyage	ST1034
PT3969	885658.813893	134851.365526	286.09856	286.1	structure	clou carroyage	ST1034
PT3970	885647.795757	134851.192347	286.133793	286.13	structure	clou carroyage	ST1033
PT3971	885648.791027	134850.943327	286.102648	286.1	structure	clou carroyage	ST1033
PT3972	885648.548496	134849.986324	286.120604	286.12	structure	clou carroyage	ST1033
PT3973	885647.580265	134850.221559	286.155789	286.16	structure	clou carroyage	ST1033
PT3974	885646.522408	134831.215076	286.33061	286.33	structure	clou carroyage	ST1064
PT3975	885647.428406	134830.826128	286.35565	286.36	structure	clou carroyage	ST1064
PT3976	885647.054280	134829.912260	286.399621	286.4	structure	clou carroyage	ST1064
PT3977	885646.112793	134830.280139	286.352289	286.35	structure	clou carroyage	ST1064
PT3978	885558.652908	134873.222376	284.030123	284.03	mobilier	torchis	ST2096
PT3979	885558.858731	134873.241291	284.071226	284.07	mobilier	lithique	ST2096
PT3980	885558.883423	134872.980931	284.153907	284.15	mobilier	lithique	ST2096
PT3981	885558.987869	134873.032534	284.186914	284.19	mobilier	lithique	ST2096
PT3982	885615.056186	134870.668734	285.315839	285.32	prélèvement	p63	ST1003
PT3983	885493.224162	134896.396075	285.898236	285.9	structure	clou coupe	ST2303
PT3984	885491.787818	134896.553756	285.856879	285.86	structure	contour	ST2300
PT3985	885491.561444	134897.109131	285.851173	285.85	structure	contour	ST2300
PT3986	885491.997113	134897.128918	285.863285	285.86	structure	contour	ST2300
PT3987	885492.217107	134896.790437	285.887506	285.89	structure	contour	ST2300
PT3988	885492.135963	134896.806611	285.750418	285.75	structure	contour fond	ST2300
PT3989	885491.853794	134896.668609	285.742037	285.74	structure	contour fond	ST2300
PT3990	885491.570925	134896.977203	285.736974	285.74	structure	contour fond	ST2300
PT3991	885491.826028	134896.886521	285.729423	285.73	structure	fond	ST2300
PT3992	885491.505098	134895.450175	285.693913	285.69	structure	fond	ST2301
PT3993	885491.909297	134895.310765	285.859781	285.86	structure	contour	ST2301
PT3994	885491.602713	134895.767701	285.870739	285.87	structure	contour	ST2301
PT3995	885491.157345	134895.646064	285.850977	285.85	structure	contour	ST2301
PT3996	885491.405192	134895.109508	285.83311	285.83	structure	contour	ST2301
PT3997	885491.427841	134895.183633	285.688216	285.69	structure	contour fond	ST2301
PT3998	885491.827420	134895.330581	285.710997	285.71	structure	contour fond	ST2301
PT3999	885491.592220	134895.711641	285.72949	285.73	structure	contour fond	ST2301
PT4000	885491.230060	134895.561170	285.703042	285.7	structure	contour fond	ST2301
PT4001	885539.639288	134902.065302	285.468115	285.47	mobilier	bronze	ST2033
PT4002	885540.388351	134897.913891	285.915405	285.92	structure	contour	ST2031
PT4003	885540.582387	134897.760410	285.913271	285.91	structure	contour	ST2031
PT4004	885540.858046	134897.718194	285.918241	285.92	structure	contour	ST2031
PT4005	885541.034874	134898.222766	285.903489	285.9	structure	contour	ST2031
PT4006	885541.154468	134898.766093	285.883002	285.88	structure	contour	ST2031
PT4007	885541.219917	134899.216064	285.879715	285.88	structure	contour	ST2031
PT4008	885540.956460	134899.359916	285.881429	285.88	structure	contour	ST2031
PT4009	885540.726710	134899.028336	285.887827	285.89	structure	contour	ST2031
PT4010	885540.490798	134898.389068	285.888432	285.89	structure	contour	ST2031
PT4011	885540.560214	134898.012580	285.768751	285.77	structure	contour fond	ST2031
PT4012	885540.784137	134897.883338	285.773839	285.77	structure	contour fond	ST2031
PT4013	885540.967401	134898.496627	285.786481	285.79	structure	contour fond	ST2031
PT4014	885541.016857	134899.068864	285.790128	285.79	structure	contour fond	ST2031
PT4015	885540.689418	134898.416260	285.751191	285.75	structure	contour fond	ST2031
PT4016	885540.784178	134898.315453	285.750259	285.75	structure	fond	ST2031
PT4017	885539.036364	134902.366897	285.899994	285.9	structure	clou coupe	ST2033
PT4018	885540.189102	134901.693706	285.903987	285.9	structure	clou coupe	ST2033
PT4019	885615.267224	134871.239108	286.167698	286.17	structure	clou coupe	ST1003
PT4020	885614.234568	134868.355107	286.169223	286.17	structure	clou coupe	ST1003
PT4021	885558.830095	134873.170870	284.148852	284.15	mobilier	lithique	ST2096
PT4022	885558.828793	134873.181954	284.030248	284.03	mobilier	lithique	ST2096
PT4023	885558.725231	134873.129379	284.057553	284.06	mobilier	lithique	ST2096
PT4024	885558.745961	134873.137262	283.963629	283.96	mobilier	lithique	ST2096
PT4025	885645.851256	134860.105246	286.051110	286.05	structure	clou coupe	ST1028
PT4026	885645.243589	134860.502222	286.047965	286.05	structure	clou coupe	ST1028

Annexe 4 - Le Clos de Roque, Saint-Maximin-la-Sainte-Baume (83). Inventaire des points topographiques.



PT	X (est)	Y (nord)	Z (alti)	Z (alti)	élément	type de point	identifiant
PT4027	885659.435808	134851.150945	286.117102	286.12	structure	clou coupe	ST1034
PT4028	885659.330843	134852.242278	286.111415	286.11	structure	clou coupe	ST1034
PT4029	885647.159903	134830.599971	286.198670	286.2	structure	clou coupe	ST1064
PT4030	885646.259324	134830.828215	286.205647	286.21	structure	clou coupe	ST1064
PT4031	885644.553426	134864.622153	286.018473	286.02	structure	clou coupe	ST1027
PT4032	885643.850699	134864.538064	286.017017	286.02	structure	clou coupe	ST1027
PT4033	885639.525599	134869.844922	285.851260	285.85	structure	clou coupe	ST1023
PT4034	885637.869407	134870.156599	285.854333	285.85	structure	clou coupe	ST1023
PT4035	885628.601212	134875.385714	285.945173	285.95	structure	clou coupe	ST1013
PT4036	885627.645638	134875.683169	285.946397	285.95	structure	clou coupe	ST1013
PT4037	885494.082105	134851.827807	286.197819	286.2	structure	contour	ST2094
PT4038	885494.398627	134852.349334	286.183634	286.18	structure	contour	ST2094
PT4039	885495.044141	134852.657316	286.162516	286.16	structure	contour	ST2094
PT4040	885495.632316	134852.591821	286.178783	286.18	structure	contour	ST2094
PT4041	885496.131939	134852.235294	286.170764	286.17	structure	contour	ST2094
PT4042	885496.509660	134851.851658	286.183198	286.18	structure	contour	ST2094
PT4043	885523.323971	134873.099885	286.160608	286.16	structure	contour	ST2192
PT4044	885523.337491	134872.061648	286.148112	286.15	structure	contour	ST2192
PT4045	885523.747346	134871.634057	286.134868	286.13	structure	contour	ST2192
PT4046	885524.377233	134871.792994	286.132737	286.13	structure	contour	ST2192
PT4047	885524.460419	134872.387969	286.162562	286.16	structure	contour	ST2192
PT4048	885524.871476	134873.085151	286.166375	286.17	structure	contour	ST2192
PT4049	885524.637094	134873.289299	286.171234	286.17	structure	contour	ST2192
PT4050	885523.844131	134873.031028	286.187326	286.19	structure	contour	ST2192
PT4051	885523.593087	134873.023067	285.839391	285.84	structure	contour fond	ST2192
PT4052	885523.359817	134872.975528	285.802699	285.8	structure	contour fond	ST2192
PT4053	885523.365025	134872.312812	285.727507	285.73	structure	contour fond	ST2192
PT4054	885523.744869	134871.902191	285.462022	285.46	structure	contour fond	ST2192
PT4055	885524.201782	134871.922568	285.799884	285.8	structure	contour fond	ST2192
PT4056	885524.481080	134872.699627	285.874549	285.87	structure	contour fond	ST2192
PT4057	885524.700155	134873.203180	285.915336	285.92	structure	contour fond	ST2192
PT4058	885523.921858	134872.535948	285.830446	285.83	structure	contour fond	ST2192
PT4059	885494.422004	134853.161844	285.936707	285.94	structure	point central	ST2321
PT4060	885493.928840	134853.254243	286.014885	286.01	structure	contour	ST2321
PT4061	885494.269256	134853.552256	285.963866	285.96	structure	contour	ST2321
PT4062	885494.770195	134853.373383	285.879615	285.88	structure	contour	ST2321
PT4063	885494.863286	134853.041096	285.891338	285.89	structure	contour	ST2321
PT4064	885494.767214	134852.775721	285.900755	285.9	structure	contour	ST2321
PT4065	885494.328801	134852.647797	285.924282	285.92	structure	contour	ST2321
PT4066	885494.018604	134852.844740	285.997372	286	structure	contour	ST2321
PT4067	885566.793731	134889.175554	285.821355	285.82	structure	clou carroyage	ST2046
PT4068	885566.447176	134888.441726	285.792646	285.79	structure	clou carroyage	ST2046
PT4069	885565.982732	134888.675948	285.808989	285.81	structure	clou carroyage	ST2046
PT4070	885566.345292	134889.398761	285.813335	285.81	structure	clou carroyage	ST2046
PT4071	885567.744572	134890.575371	285.808539	285.81	structure	clou carroyage	ST2023
PT4072	885567.619024	134890.080043	285.818011	285.82	structure	clou carroyage	ST2023
PT4073	885566.404554	134890.361581	285.813319	285.81	structure	clou carroyage	ST2023
PT4074	885566.512315	134890.853328	285.797718	285.8	structure	clou carroyage	ST2023
PT4075	885569.411589	134889.502748	285.793005	285.79	structure	clou carroyage	ST2022
PT4076	885569.309665	134889.009705	285.799173	285.8	structure	clou carroyage	ST2022
PT4077	885568.107376	134889.285680	285.827582	285.83	structure	clou carroyage	ST2022
PT4078	885568.221038	134889.769278	285.827779	285.83	structure	clou carroyage	ST2022
PT4079	885526.607468	134848.808927	286.213303	286.21	Squelette	crâne	ST2215
PT4080	885526.752902	134848.837748	286.160763	286.16	Squelette	épaule droite	ST2215
PT4081	885526.799421	134849.142078	286.122764	286.12	Squelette	coude droit	ST2215
PT4082	885526.732543	134849.329781	286.175316	286.18	Squelette	coxal droit	ST2215
PT4083	885526.404208	134849.097705	286.137178	286.14	Squelette	genou droit	ST2215
PT4084	885526.388288	134849.502321	286.166463	286.17	Squelette	pieds	ST2215
PT4085	885526.309730	134849.121175	286.196039	286.2	Squelette	genou gauche	ST2215
PT4086	885526.315843	134849.031913	286.145669	286.15	Squelette	coude gauche	ST2215
PT4087	885526.516873	134848.846414	286.131035	286.13	Squelette	épaule gauche	ST2215
PT4088	885477.426168	134851.290511	285.969136	285.97	structure	point central	ST2322
PT4089	885477.922082	134850.816464	285.982398	285.98	structure	clou carroyage	ST2322
PT4090	885476.928704	134850.828200	285.976685	285.98	structure	clou carroyage	ST2322
PT4091	885476.933562	134851.825822	285.969203	285.97	structure	clou carroyage	ST2322
PT4092	885477.931008	134851.809576	285.955831	285.96	structure	clou carroyage	ST2322

Annexe 4 - Le Clos de Roque, Saint-Maximin-la-Sainte-Baume (83). Inventaire des points topographiques.

PT	X (est)	Y (nord)	Z (alti)	Z (alti)	élément	type de point	identifiant
PT4093	885476.981435	134851.564102	285.940613	285.94	structure	contour	ST2322
PT4094	885477.144474	134851.016060	285.972548	285.97	structure	contour	ST2322
PT4095	885477.564403	134850.779571	285.950411	285.95	structure	contour	ST2322
PT4096	885477.937834	134851.088183	285.969527	285.97	structure	contour	ST2322
PT4097	885477.765597	134851.540415	285.940817	285.94	structure	contour	ST2322
PT4098	885477.017351	134851.710884	285.963371	285.96	structure	contour	ST2322
PT4099	885493.609525	134864.113512	285.876592	285.88	structure	point central	ST2323
PT4100	885497.342603	134863.118746	285.886730	285.89	structure	point central	ST2324
PT4101	885493.226270	134864.743074	285.866369	285.87	structure	clou carroyage	ST2323
PT4102	885494.232571	134864.602263	285.875960	285.88	structure	clou carroyage	ST2323
PT4103	885494.074142	134863.636957	285.900899	285.9	structure	clou carroyage	ST2323
PT4104	885493.097032	134863.799463	285.906882	285.91	structure	clou carroyage	ST2323
PT4105	885497.130434	134863.363339	285.871833	285.87	structure	clou carroyage	ST2324
PT4106	885497.583343	134863.352689	285.876998	285.88	structure	clou carroyage	ST2324
PT4107	885497.582548	134862.895862	285.877580	285.88	structure	clou carroyage	ST2324
PT4108	885497.084790	134862.953750	285.876598	285.88	structure	clou carroyage	ST2324
PT4109	885493.122502	134864.177910	285.882370	285.88	structure	contour	ST2323
PT4110	885493.629422	134864.629037	285.859037	285.86	structure	contour	ST2323
PT4111	885494.094164	134864.104028	285.867681	285.87	structure	contour	ST2323
PT4112	885493.551312	134863.636237	285.907774	285.91	structure	contour	ST2323
PT4113	885493.556333	134863.645411	285.904573	285.9	structure	contour	ST2323
PT4114	885497.096809	134863.174005	285.871800	285.87	structure	contour	ST2324
PT4115	885497.389071	134863.339630	285.878278	285.88	structure	contour	ST2324
PT4116	885497.576017	134863.079474	285.863649	285.86	structure	contour	ST2324
PT4117	885497.369143	134862.917096	285.883359	285.88	structure	contour	ST2324
PT4118	885559.203528	134872.857868	283.797284	283.8	mobilier	céramique	ST2096
PT4119	885494.342414	134871.412552	285.890963	285.89	structure	point central	ST2325
PT4120	885493.997088	134872.046141	285.884085	285.88	structure	clou carroyage	ST2325
PT4121	885495.053879	134871.764815	285.856116	285.86	structure	clou carroyage	ST2325
PT4122	885495.023554	134871.756179	285.862231	285.86	structure	clou carroyage	ST2325
PT4123	885494.770003	134870.717800	285.854556	285.85	structure	clou carroyage	ST2325
PT4124	885493.737079	134871.001729	285.868136	285.87	structure	contour	ST2325
PT4125	885493.843175	134871.497857	285.884705	285.88	structure	contour	ST2325
PT4126	885494.445125	134871.924982	285.858254	285.86	structure	contour	ST2325
PT4127	885494.848839	134871.277404	285.860663	285.86	structure	contour	ST2325
PT4128	885494.187798	134870.851984	285.865229	285.87	structure	contour	ST2325
PT4129	885492.532718	134896.438590	285.875640	285.88	structure	contour	ST2303
PT4130	885492.372298	134896.858693	285.868021	285.87	structure	contour	ST2303
PT4131	885492.712312	134896.950768	285.894245	285.89	structure	contour	ST2303
PT4132	885493.017185	134896.556931	285.889066	285.89	structure	contour	ST2303
PT4133	885492.961872	134896.569318	285.673512	285.67	structure	contour fond	ST2303
PT4134	885492.594906	134896.529483	285.656873	285.66	structure	contour fond	ST2303
PT4135	885492.446046	134896.824223	285.693465	285.69	structure	contour fond	ST2303
PT4136	885492.758980	134896.858988	285.681005	285.68	structure	contour fond	ST2303
PT4137	885492.691642	134896.693396	285.647731	285.65	structure	fond	ST2303
PT4138	885492.637373	134896.621428	285.664128	285.66	prélèvement		ST2303
PT4139	885491.711301	134898.736742	285.873388	285.87	structure	clou coupe	ST2294
PT4140	885492.692438	134898.430755	285.888195	285.89	structure	clou coupe	ST2294
PT4141	885559.418969	134872.742491	283.699652	283.7	mobilier	céramique	ST2096
PT4142	885559.503123	134872.761256	283.721369	283.72	mobilier	céramique	ST2096
PT4143	885493.346889	134860.433677	286.138622	286.14	structure	clou carroyage	ST2090
PT4144	885493.396635	134861.522119	286.113945	286.11	structure	clou carroyage	ST2090
PT4145	885494.475773	134861.479128	286.121008	286.12	structure	clou carroyage	ST2090
PT4146	885494.445122	134860.443800	286.161795	286.16	structure	clou carroyage	ST2090
PT4147	885493.500500	134860.972181	286.114374	286.11	structure	contour	ST2090
PT4148	885493.965676	134861.295293	286.136806	286.14	structure	contour	ST2090
PT4149	885494.341802	134860.858142	286.161753	286.16	structure	contour	ST2090
PT4150	885493.852329	134860.535851	286.136512	286.14	structure	contour	ST2090
PT4151	885494.830644	134861.793441	286.126311	286.13	structure	clou carroyage	ST2089
PT4152	885494.898661	134862.284044	286.115506	286.12	structure	clou carroyage	ST2089
PT4153	885496.417670	134862.187533	286.103130	286.1	structure	clou carroyage	ST2089
PT4154	885496.315853	134861.711155	286.125799	286.13	structure	clou carroyage	ST2089
PT4155	885494.471956	134860.437851	286.159627	286.16	structure	clou carroyage	ST2091
PT4156	885495.962490	134860.349426	286.145791	286.15	structure	clou carroyage	ST2091
PT4157	885495.896713	134858.873505	286.156411	286.16	structure	clou carroyage	ST2091
PT4158	885494.361388	134858.951762	286.134801	286.13	structure	clou carroyage	ST2091

PT	X (est)	Y (nord)	Z (alti)	Z (alti)	élément	type de point	identifiant
PT4159	885494.449754	134859.601763	286.164867	286.16	structure	contour	ST2091
PT4160	885495.210116	134860.183993	286.156364	286.16	structure	contour	ST2091
PT4161	885495.738874	134859.530502	286.168989	286.17	structure	contour	ST2091
PT4162	885495.112400	134858.934656	286.155934	286.16	structure	contour	ST2091
PT4163	885500.631345	134859.857966	286.084126	286.08	structure	clou carroyage	ST2092
PT4164	885501.643088	134859.844785	286.050839	286.05	structure	clou carroyage	ST2092
PT4165	885501.649113	134858.860757	286.043726	286.04	structure	clou carroyage	ST2092
PT4166	885500.639470	134858.873442	286.093002	286.09	structure	clou carroyage	ST2092
PT4167	885500.883162	134859.271498	286.075458	286.08	structure	contour	ST2092
PT4168	885501.121672	134859.580295	286.047077	286.05	structure	contour	ST2092
PT4169	885501.393522	134859.223521	286.049441	286.05	structure	contour	ST2092
PT4170	885501.089183	134858.812082	286.074933	286.07	structure	contour	ST2092
PT4171	885504.724132	134861.031104	286.162842	286.16	structure	clou carroyage	ST2224
PT4172	885505.667097	134860.750139	286.144106	286.14	structure	clou carroyage	ST2224
PT4173	885505.399848	134859.799406	286.144149	286.14	structure	clou carroyage	ST2224
PT4174	885504.442951	134860.061354	286.166662	286.17	structure	clou carroyage	ST2224
PT4175	885504.625594	134860.441224	286.159701	286.16	structure	contour	ST2224
PT4176	885505.062542	134860.979489	286.143494	286.14	structure	contour	ST2224
PT4177	885505.501860	134860.379163	286.155937	286.16	structure	contour	ST2224
PT4178	885505.043047	134860.108642	286.140316	286.14	structure	contour	ST2224
PT4179	885499.580446	134848.668278	285.930136	285.93	structure	point central	ST2326
PT4180	885499.160763	134849.373878	285.917746	285.92	structure	clou carroyage	ST2326
PT4181	885500.102164	134849.061191	285.913771	285.91	structure	clou carroyage	ST2326
PT4182	885499.809495	134848.113441	285.941074	285.94	structure	clou carroyage	ST2326
PT4183	885498.881582	134848.444393	285.933787	285.93	structure	clou carroyage	ST2326
PT4184	885498.949336	134848.890400	285.914029	285.91	structure	contour	ST2326
PT4185	885499.582453	134849.164249	285.916338	285.92	structure	contour	ST2326
PT4186	885499.946167	134848.639220	285.926435	285.93	structure	contour	ST2326
PT4187	885499.348031	134848.222846	285.931079	285.93	structure	contour	ST2326
PT4188	885638.480528	134869.869094	285.843465	285.84	prélèvement	p 65	ST1003
PT4189	885614.241117	134870.761132	285.936356	285.94	structure	contour	ST1003
PT4190	885614.517664	134871.225843	286.079549	286.08	structure	contour	ST1003
PT4191	885615.122962	134871.211194	286.088535	286.09	structure	contour	ST1003
PT4192	885615.510014	134871.036066	286.115391	286.12	structure	contour	ST1003
PT4193	885615.685739	134870.801593	286.115972	286.12	structure	contour	ST1003
PT4194	885615.943711	134870.464724	286.119624	286.12	structure	contour	ST1003
PT4195	885615.778463	134870.230284	285.933548	285.93	structure	contour	ST1003
PT4196	885615.754842	134870.243853	285.917882	285.92	structure	contour	ST1003
PT4197	885615.636479	134870.540941	285.996115	286	structure	contour	ST1003
PT4198	885615.392126	134870.922366	285.966041	285.97	structure	contour	ST1003
PT4199	885615.052679	134871.069185	285.966893	285.97	structure	contour	ST1003
PT4200	885614.640719	134871.009314	285.800979	285.8	structure	contour	ST1003
PT4201	885614.408169	134870.849643	285.799265	285.8	structure	contour	ST1003
PT4202	885615.028602	134870.434427	285.322427	285.32	structure	contour	ST1003
PT4203	885615.342847	134870.619562	285.334885	285.33	structure	contour	ST1003
PT4204	885614.713168	134870.810858	285.332424	285.33	structure	contour	ST1003
PT4205	885645.273197	134860.408685	286.106831	286.11	structure	contour	ST1028
PT4206	885645.276091	134860.147470	286.109739	286.11	structure	contour	ST1028
PT4207	885645.477300	134859.981024	286.107583	286.11	structure	contour	ST1028
PT4208	885645.737198	134860.043543	286.134924	286.13	structure	contour	ST1028
PT4209	885645.640463	134860.169375	285.984368	285.98	structure	contour	ST1028
PT4210	885645.451046	134860.152877	286.028720	286.03	structure	contour	ST1028
PT4211	885645.425022	134860.328719	285.965063	285.97	structure	contour	ST1028
PT4212	885645.515853	134860.276354	285.964028	285.96	structure	contour	ST1028
PT4213	885643.828503	134864.508465	286.104012	286.1	structure	contour	ST1027
PT4214	885643.993971	134864.340258	286.107689	286.11	structure	contour	ST1027
PT4215	885644.205105	134864.292859	286.086192	286.09	structure	contour	ST1027
PT4216	885644.397119	134864.383991	286.099934	286.1	structure	contour	ST1027
PT4217	885644.528195	134864.597374	286.097788	286.1	structure	contour	ST1027
PT4218	885644.319728	134864.598910	285.834068	285.83	structure	contour	ST1027
PT4219	885644.247943	134864.461777	285.877887	285.88	structure	contour	ST1027
PT4220	885644.240655	134864.449702	285.878072	285.88	structure	contour	ST1027
PT4221	885644.110130	134864.449361	285.881604	285.88	structure	contour	ST1027
PT4222	885644.061954	134864.556455	285.822993	285.82	structure	contour	ST1027
PT4223	885644.174189	134864.561716	285.810780	285.81	structure	contour	ST1027
PT4224	885659.308734	134852.137385	286.069010	286.07	structure	contour	ST1034

Annexe 4 - Le Clos de Roque, Saint-Maximin-la-Sainte-Baume (83). Inventaire des points topographiques.



PT	X (est)	Y (nord)	Z (alti)	Z (alti)	élément	type de point	identifiant
PT4225	885658.909120	134851.990141	286.106532	286.11	structure	contour	ST1034
PT4226	885658.837740	134851.399361	286.103376	286.1	structure	contour	ST1034
PT4227	885659.426319	134851.153227	286.105288	286.11	structure	contour	ST1034
PT4228	885659.410707	134851.272251	285.955089	285.96	structure	contour	ST1034
PT4229	885659.019461	134851.411072	285.931817	285.93	structure	contour	ST1034
PT4230	885659.008976	134851.877616	285.927751	285.93	structure	contour	ST1034
PT4231	885659.344375	134852.018503	285.932070	285.93	structure	contour	ST1034
PT4232	885659.382054	134851.651164	285.907781	285.91	structure	contour	ST1034
PT4233	885566.633899	134888.865699	285.816254	285.82	structure	clou coupe	ST2046
PT4234	885566.232453	134889.054520	285.809108	285.81	structure	clou coupe	ST2046
PT4235	885567.067930	134890.779829	285.818139	285.82	structure	clou coupe	ST2023
PT4236	885566.874442	134890.319436	285.845952	285.85	structure	clou coupe	ST2023
PT4237	885569.050454	134889.617375	285.838386	285.84	structure	clou coupe	ST2022
PT4238	885568.890985	134888.949820	285.852245	285.85	structure	clou coupe	ST2022
PT4239	885505.044845	134865.625759	286.067775	286.07	structure	clou carroyage	ST2246
PT4240	885506.042557	134865.544844	286.086731	286.09	structure	clou carroyage	ST2246
PT4241	885505.975362	134864.550206	286.077195	286.08	structure	clou carroyage	ST2246
PT4242	885504.983708	134864.628891	286.090445	286.09	structure	clou carroyage	ST2246
PT4243	885504.987169	134865.159067	286.077792	286.08	structure	contour	ST2246
PT4244	885505.566875	134865.464615	286.062307	286.06	structure	contour	ST2246
PT4245	885506.009865	134865.020189	286.080954	286.08	structure	contour	ST2246
PT4246	885505.459608	134864.656107	286.075401	286.08	structure	contour	ST2246
PT4247	885504.959786	134864.831655	286.092048	286.09	structure	contour	ST2246
PT4248	885560.437078	134871.902017	286.005778	286.01	structure	contours	ST2096
PT4249	885560.612864	134872.433723	286.006664	286.01	structure	contours	ST2096
PT4250	885560.426894	134873.128732	285.992758	285.99	structure	contours	ST2096
PT4251	885560.297789	134873.696451	286.003276	286	structure	contours	ST2096
PT4252	885559.885621	134874.105380	285.986198	285.99	structure	contours	ST2096
PT4253	885559.293533	134874.428953	286.014956	286.01	structure	contours	ST2096
PT4254	885558.787636	134874.559318	286.067352	286.07	structure	contours	ST2096
PT4255	885558.541535	134873.919549	285.663519	285.66	structure	contours	ST2096
PT4256	885558.967617	134873.829329	285.608847	285.61	structure	contours	ST2096
PT4257	885559.407821	134873.641200	285.582613	285.58	structure	contours	ST2096
PT4258	885559.799462	134873.268536	285.586798	285.59	structure	contours	ST2096
PT4259	885559.884070	134872.902947	285.592716	285.59	structure	contours	ST2096
PT4260	885559.853262	134872.209344	285.470667	285.47	structure	contours	ST2096
PT4261	885559.388780	134872.603697	283.656715	283.66	structure	contours	ST2096
PT4262	885559.559293	134872.656006	283.734769	283.73	structure	contours	ST2096
PT4263	885559.571851	134872.863951	283.750841	283.75	structure	contours	ST2096
PT4264	885559.326244	134873.326954	283.781556	283.78	structure	contours	ST2096
PT4265	885558.978655	134873.464315	283.792891	283.79	structure	contours	ST2096
PT4266	885558.730479	134873.389987	283.745071	283.75	structure	contours	ST2096
PT4267	885558.516702	134873.372196	283.749077	283.75	structure	contours	ST2096
PT4268	885628.659557	134875.301040	286.068428	286.07	structure	contours	ST1013
PT4269	885628.399818	134874.916571	286.069492	286.07	structure	contours	ST1013
PT4270	885628.151976	134874.759488	286.074540	286.07	structure	contours	ST1013
PT4271	885627.741845	134874.871990	286.061354	286.06	structure	contours	ST1013
PT4272	885627.512010	134875.212895	286.043516	286.04	structure	contours	ST1013
PT4273	885627.409052	134875.658779	286.049902	286.05	structure	contours	ST1013
PT4274	885627.762338	134875.578451	285.553932	285.55	structure	contours	ST1013
PT4275	885627.996546	134874.995756	285.588330	285.59	structure	contours	ST1013
PT4276	885628.458675	134875.371489	285.603328	285.6	structure	contours	ST1013
PT4277	885628.133853	134875.446792	285.548317	285.55	structure	contours	ST1013
PT4278	885639.766712	134869.684404	286.031027	286.03	structure	contours	ST1023
PT4279	885639.457201	134869.357287	286.033100	286.03	structure	contours	ST1023
PT4280	885638.907282	134869.091478	286.011265	286.01	structure	contours	ST1023
PT4281	885638.070268	134869.263643	285.997230	286	structure	contours	ST1023
PT4282	885637.721858	134870.106109	285.999442	286	structure	contours	ST1023
PT4283	885638.003804	134870.057893	285.785827	285.79	structure	contours	ST1023
PT4284	885638.128461	134869.417686	285.754485	285.75	structure	contours	ST1023
PT4285	885638.967402	134869.413325	285.868846	285.87	structure	contours	ST1023
PT4286	885639.422229	134869.812351	285.837636	285.84	structure	contours	ST1023
PT4287	885638.635770	134869.977310	285.720127	285.72	structure	contours	ST1023
PT4288	885523.329235	134870.543001	286.126522	286.13	structure	clou coupe	ST2230
PT4289	885524.745491	134870.281527	286.071238	286.07	structure	clou coupe	ST2230
PT4290	885523.918848	134870.475429	286.107471	286.11	mobilier	céramique	ST2230

Annexe 4 - Le Clos de Roque, Saint-Maximin-la-Sainte-Baume (83). Inventaire des points topographiques.

PT	X (est)	Y (nord)	Z (alti)	Z (alti)	élément	type de point	identifiant
PT4291	885523.971199	134870.422230	286.059543	286.06	mobilier	os	ST2230
PT4292	885505.833137	134860.529527	286.001580	286	structure	clou coupe	ST2247
PT4293	885504.432484	134860.597662	286.006809	286.01	structure	clou coupe	ST2247
PT4294	885506.206808	134865.217796	285.934919	285.93	structure	clou coupe	ST2246
PT4295	885504.922792	134864.851418	285.924495	285.92	structure	clou coupe	ST2246
PT4296	885617.574417	134880.850766	285.571105	285.57	structure	contour	ST1008
PT4297	885617.443713	134880.520922	285.584457	285.58	structure	contour	ST1008
PT4298	885617.529906	134880.095406	285.602025	285.6	structure	contour	ST1008
PT4299	885617.916642	134879.773639	285.581080	285.58	structure	contour	ST1008
PT4300	885618.645038	134879.433912	285.576224	285.58	structure	contour	ST1008
PT4301	885619.324188	134879.125165	285.564432	285.56	structure	contour	ST1008
PT4302	885619.615946	134879.183535	285.548277	285.55	structure	contour	ST1008
PT4303	885619.793312	134879.400923	285.563127	285.56	structure	contour	ST1008
PT4304	885619.840765	134879.587378	285.551901	285.55	structure	contour	ST1008
PT4305	885619.877596	134879.917137	285.549806	285.55	structure	contour	ST1008
PT4306	885524.043713	134870.611782	286.096941	286.1	prélèvement	sommet foyer	ST2230
PT4307	885537.155231	134893.181725	286.000685	286	structure	clou carroyage	ST2053
PT4308	885538.001422	134892.620802	286.019728	286.02	structure	clou carroyage	ST2053
PT4309	885538.567681	134893.463231	286.019224	286.02	structure	clou carroyage	ST2053
PT4310	885537.735422	134894.019020	286.000691	286	structure	clou carroyage	ST2053
PT4311	885537.655571	134893.616386	286.001232	286	structure	clou coupe	ST2053
PT4312	885538.301214	134893.068514	286.014457	286.01	structure	clou coupe	ST2053
PT4313	885534.109677	134898.699817	285.950469	285.95	structure	clou carroyage	ST2049
PT4314	885535.023835	134898.280252	285.926313	285.93	structure	clou carroyage	ST2049
PT4315	885535.440543	134899.176803	285.923712	285.92	structure	clou carroyage	ST2049
PT4316	885534.542165	134899.607179	285.905414	285.91	structure	clou carroyage	ST2049
PT4317	885534.298275	134899.167136	285.914023	285.91	structure	clou coupe	ST2049
PT4318	885535.270823	134898.754678	285.921489	285.92	structure	clou coupe	ST2049
PT4319	885534.576506	134902.359754	285.895926	285.9	structure	clou carroyage	ST2034
PT4320	885535.415305	134901.880452	285.882133	285.88	structure	clou carroyage	ST2034
PT4321	885535.920921	134902.741021	285.875827	285.88	structure	clou carroyage	ST2034
PT4322	885535.035908	134903.227663	285.900098	285.9	structure	clou carroyage	ST2034
PT4323	885566.543283	134889.362330	285.813503	285.81	structure	contour	ST2046
PT4324	885566.542984	134888.985734	285.793963	285.79	structure	contour	ST2046
PT4325	885566.230925	134888.620251	285.793830	285.79	structure	contour	ST2046
PT4326	885566.305209	134888.974267	285.796097	285.8	structure	contour	ST2046
PT4327	885566.466399	134889.243491	285.656013	285.66	structure	contour	ST2046
PT4328	885566.454549	134888.917020	285.681150	285.68	structure	contour	ST2046
PT4329	885566.347520	134888.768968	285.707020	285.71	structure	contour	ST2046
PT4330	885566.295385	134888.894509	285.698890	285.7	structure	contour	ST2046
PT4331	885566.392919	134889.144875	285.656275	285.66	structure	contour	ST2046
PT4332	885569.303693	134889.526356	285.782789	285.78	structure	contour	ST2022
PT4333	885568.880270	134889.146427	285.769030	285.77	structure	contour	ST2022
PT4334	885568.656499	134889.453579	285.803742	285.8	structure	contour	ST2022
PT4335	885568.218115	134889.553582	285.817447	285.82	structure	contour	ST2022
PT4336	885568.270038	134889.715899	285.807679	285.81	structure	contour	ST2022
PT4337	885568.582230	134889.631502	285.802115	285.8	structure	contour	ST2022
PT4338	885568.949620	134889.497319	285.789496	285.79	structure	contour	ST2022
PT4339	885569.159697	134889.260289	285.626028	285.63	structure	contour	ST2022
PT4340	885568.886994	134889.295027	285.634143	285.63	structure	contour	ST2022
PT4341	885568.789562	134889.479418	285.686357	285.69	structure	contour	ST2022
PT4342	885568.440304	134889.687379	285.667200	285.67	structure	contour	ST2022
PT4343	885569.200128	134889.462332	285.627713	285.63	structure	contour	ST2022
PT4344	885566.123447	134890.687975	285.789259	285.79	structure	contour	ST2023
PT4345	885566.378448	134890.784743	285.784292	285.78	structure	contour	ST2023
PT4346	885566.814609	134890.705654	285.787139	285.79	structure	contour	ST2023
PT4347	885567.287753	134890.361204	285.790927	285.79	structure	contour	ST2023
PT4348	885567.563336	134890.447040	285.808523	285.81	structure	contour	ST2023
PT4349	885567.458549	134890.195909	285.777686	285.78	structure	contour	ST2023
PT4350	885567.720850	134889.905683	285.800877	285.8	structure	contour	ST2023
PT4351	885567.372723	134889.890631	285.808016	285.81	structure	contour	ST2023
PT4352	885567.150186	134889.978576	285.796570	285.8	structure	contour	ST2023
PT4353	885567.110990	134890.220376	285.798591	285.8	structure	contour	ST2023
PT4354	885566.856020	134890.484882	285.802598	285.8	structure	contour	ST2023
PT4355	885566.403479	134890.529413	285.793587	285.79	structure	contour	ST2023
PT4356	885566.205218	134890.674153	285.645332	285.65	structure	contour	ST2023

Annexe 4 - Le Clos de Roque, Saint-Maximin-la-Sainte-Baume (83). Inventaire des points topographiques.

PT	X (est)	Y (nord)	Z (alti)	Z (alti)	élément	type de point	identifiant
PT4357	885566.500389	134890.634484	285.586927	285.59	structure	contour	ST2023
PT4358	885566.778451	134890.633966	285.671797	285.67	structure	contour	ST2023
PT4359	885567.138549	134890.338145	285.701575	285.7	structure	contour	ST2023
PT4360	885567.483653	134890.361832	285.718264	285.72	structure	contour	ST2023
PT4361	885567.335690	134890.213179	285.689793	285.69	structure	contour	ST2023
PT4362	885567.581689	134889.933292	285.700845	285.7	structure	contour	ST2023
PT4363	885567.228761	134890.042463	285.683458	285.68	structure	contour	ST2023
PT4364	885523.978557	134870.506275	286.084221	286.08	mobilier	céramique	ST2230
PT4365	885524.116111	134870.523703	286.055154	286.06	mobilier	céramique	ST2230
PT4366	885494.179241	134864.135867	285.762072	285.76	structure	clou coupe	ST2323
PT4367	885492.999062	134864.209620	285.814289	285.81	structure	clou coupe	ST2323
PT4368	885494.951588	134871.300007	285.785398	285.79	structure	clou coupe	ST2325
PT4369	885493.689521	134871.718894	285.792411	285.79	structure	clou coupe	ST2325
PT4370	885494.705480	134860.967149	285.976582	285.98	structure	clou coupe	ST2090
PT4371	885493.174276	134861.209108	285.971384	285.97	structure	clou coupe	ST2090
PT4372	885496.127802	134851.168729	286.127943	286.13	structure	clou coupe	ST2094
PT4373	885494.067057	134851.847605	286.005966	286.01	structure	clou coupe	ST2094
PT4374	885496.211352	134851.212164	284.731152	284.73	structure	clou coupe	ST2094
PT4375	885494.226491	134851.840016	284.774900	284.77	structure	clou coupe	ST2094
PT4376	885478.011375	134851.247251	285.900860	285.9	structure	clou coupe	ST2322
PT4377	885476.921814	134851.335396	285.897285	285.9	structure	clou coupe	ST2322
PT4378	885618.886145	134880.232821	284.788364	284.79	structure	contour fond	ST1008
PT4379	885619.102588	134879.977292	284.817730	284.82	structure	contour fond	ST1008
PT4380	885619.104991	134879.762204	284.839207	284.84	structure	contour fond	ST1008
PT4381	885618.882977	134879.561210	284.839555	284.84	structure	contour fond	ST1008
PT4382	885618.458743	134879.575489	284.833209	284.83	structure	contour fond	ST1008
PT4383	885618.170823	134879.722202	284.823053	284.82	structure	contour fond	ST1008
PT4384	885617.989452	134880.042592	284.830913	284.83	structure	contour fond	ST1008
PT4385	885617.888966	134880.354952	284.798547	284.8	structure	contour fond	ST1008
PT4386	885618.141847	134880.565590	284.780580	284.78	structure	contour fond	ST1008
PT4387	885559.161970	134873.130226	283.676481	283.68	mobilier	lithique	ST2096
PT4388	885559.184218	134873.124509	283.541364	283.54	mobilier	lithique	ST2096
PT4389	885505.057244	134860.391113	285.370648	285.37	prélèvement	p80	ST2247
PT4390	885523.864135	134870.887136	285.724713	285.72	prélèvement	base foyer p87	ST2230
PT4391	885534.864842	134902.631740	285.863394	285.86	structure	contour	ST2034
PT4392	885534.989957	134902.276552	285.888003	285.89	structure	contour	ST2034
PT4393	885535.361111	134902.273686	285.876644	285.88	structure	contour	ST2034
PT4394	885535.567687	134902.559477	285.864879	285.86	structure	contour	ST2034
PT4395	885535.371929	134902.848320	285.877614	285.88	structure	contour	ST2034
PT4396	885535.050826	134902.800218	285.888040	285.89	structure	contour	ST2034
PT4397	885534.947489	134902.567405	285.808576	285.81	structure	contour	ST2034
PT4398	885535.108132	134902.332945	285.803688	285.8	structure	contour	ST2034
PT4399	885535.422087	134902.459827	285.807295	285.81	structure	contour	ST2034
PT4400	885535.095368	134902.759652	285.824554	285.82	structure	contour	ST2034
PT4401	885535.207174	134902.533558	285.778606	285.78	structure	fond	ST2034
PT4402	885537.634449	134893.590056	285.984123	285.98	structure	contour	ST2053
PT4403	885537.659783	134893.220679	285.996093	286	structure	contour	ST2053
PT4404	885537.980134	134893.045505	286.014011	286.01	structure	contour	ST2053
PT4405	885538.323462	134893.306673	286.015283	286.02	structure	contour	ST2053
PT4406	885537.883391	134893.626652	285.994173	285.99	structure	contour	ST2053
PT4407	885537.697963	134893.478434	285.858940	285.86	structure	contour	ST2053
PT4408	885537.864681	134893.276400	285.849978	285.85	structure	contour	ST2053
PT4409	885538.121837	134893.275958	285.883418	285.88	structure	contour	ST2053
PT4410	885537.900337	134893.371497	285.827537	285.83	structure	fond	ST2053
PT4411	885534.521466	134899.046441	285.912016	285.91	structure	contour	ST2049
PT4412	885534.493495	134898.874762	285.932680	285.93	structure	contour	ST2049
PT4413	885534.729597	134898.666702	285.930931	285.93	structure	contour	ST2049
PT4414	885535.035463	134898.661881	285.924816	285.92	structure	contour	ST2049
PT4415	885535.142182	134898.910893	285.918245	285.92	structure	contour	ST2049
PT4416	885535.126795	134899.086747	285.924525	285.92	structure	contour	ST2049
PT4417	885534.873890	134899.189417	285.925320	285.93	structure	contour	ST2049
PT4418	885534.626638	134899.168750	285.913552	285.91	structure	contour	ST2049
PT4419	885534.550432	134898.889079	285.774114	285.77	structure	contour	ST2049
PT4420	885534.774620	134898.746401	285.770312	285.77	structure	contour	ST2049
PT4421	885535.019173	134898.773880	285.781784	285.78	structure	contour	ST2049
PT4422	885535.117579	134899.016207	285.814741	285.81	structure	contour	ST2049

Annexe 4 - Le Clos de Roque, Saint-Maximin-la-Sainte-Baume (83). Inventaire des points topographiques.

PT	X (est)	Y (nord)	Z (alti)	Z (alti)	élément	type de point	identifiant
PT4423	885534.727859	134899.085038	285.780077	285.78	structure	contour	ST2049
PT4424	885534.836602	134898.895041	285.772685	285.77	structure	fond	ST2049
PT4425	885491.982696	134898.644172	285.866708	285.87	structure	contour	ST2294
PT4426	885492.510664	134898.797660	285.884399	285.88	structure	contour	ST2294
PT4427	885492.550693	134898.364999	285.874766	285.87	structure	contour	ST2294
PT4428	885492.067317	134898.243680	285.859810	285.86	structure	contour	ST2294
PT4429	885492.145946	134898.326702	285.722794	285.72	structure	contour	ST2294
PT4430	885492.045917	134898.647460	285.751841	285.75	structure	contour	ST2294
PT4431	885492.441156	134898.793114	285.766381	285.77	structure	contour	ST2294
PT4432	885492.508963	134898.450638	285.739876	285.74	structure	contour	ST2294
PT4433	885492.285663	134898.581073	285.734190	285.73	structure	fond	ST2294
PT4434	885492.260823	134898.422396	285.744212	285.74	prélèvement	p72	ST2294
PT4435	885494.272811	134897.847540	285.779080	285.78	prélèvement	p76	ST2295
PT4436	885493.807635	134896.312809	285.769675	285.77	prélèvement	p79	ST2299
PT4437	885493.879787	134898.149522	285.900871	285.9	structure	clou coupe	ST2295
PT4438	885494.797822	134897.764196	285.854548	285.85	structure	clou coupe	ST2295
PT4439	885494.036927	134897.883700	285.888185	285.89	structure	contour	ST2295
PT4440	885494.133050	134898.210097	285.881117	285.88	structure	contour	ST2295
PT4441	885494.644608	134898.105449	285.880548	285.88	structure	contour	ST2295
PT4442	885494.545013	134897.633319	285.857837	285.86	structure	contour	ST2295
PT4443	885494.512067	134897.716486	285.769616	285.77	structure	contour	ST2295
PT4444	885494.104262	134897.849048	285.766646	285.77	structure	contour	ST2295
PT4445	885494.178612	134898.178061	285.772892	285.77	structure	contour	ST2295
PT4446	885494.591128	134898.076962	285.776601	285.78	structure	contour	ST2295
PT4447	885494.336789	134897.994066	285.767293	285.77	structure	fond	ST2295
PT4448	885493.507971	134896.557142	285.886690	285.89	structure	clou coupe	ST2299
PT4449	885494.427674	134896.158305	285.880116	285.88	structure	clou coupe	ST2299
PT4450	885493.547675	134896.586652	285.880455	285.88	structure	contour	ST2299
PT4451	885494.003386	134896.717011	285.874643	285.87	structure	contour	ST2299
PT4452	885494.184113	134896.278039	285.868339	285.87	structure	contour	ST2299
PT4453	885493.728610	134896.183484	285.867010	285.87	structure	contour	ST2299
PT4454	885493.734997	134896.227624	285.751298	285.75	structure	contour	ST2299
PT4455	885493.620050	134896.576101	285.767106	285.77	structure	contour	ST2299
PT4456	885493.987083	134896.661261	285.761973	285.76	structure	contour	ST2299
PT4457	885494.124892	134896.332002	285.755206	285.76	structure	contour	ST2299
PT4458	885493.856379	134896.448453	285.747758	285.75	structure	fond	ST2299
PT4459	885610.285671	134880.164863	286.196793	286.2	structure	point central	ST1070
PT4460	885618.448830	134880.405847	284.646182	284.65	structure	fond	ST1008
PT4461	885494.431689	134859.796312	286.068869	286.07	structure	contour fond	ST2091
PT4462	885494.857461	134860.263405	286.046751	286.05	structure	contour fond	ST2091
PT4463	885495.437973	134860.159551	286.009108	286.01	structure	contour fond	ST2091
PT4464	885495.883624	134859.634683	285.981787	285.98	structure	contour fond	ST2091
PT4465	885495.191944	134859.655566	285.942187	285.94	structure	fond	ST2091
PT4466	885534.670085	134902.816480	285.891778	285.89	structure	clou coupe	ST2034
PT4467	885535.921728	134902.210644	285.881670	285.88	structure	clou coupe	ST2034
PT4468	885532.910937	134901.440265	285.912799	285.91	structure	clou carroyage	ST2048
PT4469	885533.374762	134901.248743	285.913944	285.91	structure	clou carroyage	ST2048
PT4470	885533.567870	134901.690070	285.900714	285.9	structure	clou carroyage	ST2048
PT4471	885533.114157	134901.892715	285.888975	285.89	structure	clou carroyage	ST2048
PT4472	885532.959740	134901.703482	285.894442	285.89	structure	clou coupe	ST2048
PT4473	885533.592883	134901.459266	285.907306	285.91	structure	clou coupe	ST2048
PT4474	885531.909269	134903.227656	285.883207	285.88	structure	clou carroyage	ST2036
PT4475	885532.886174	134902.994452	285.871794	285.87	structure	clou carroyage	ST2036
PT4476	885533.117356	134903.971011	285.851547	285.85	structure	clou carroyage	ST2036
PT4477	885532.152489	134904.208107	285.877392	285.88	structure	clou carroyage	ST2036
PT4478	885496.839956	134863.285271	285.648763	285.65	structure	contour fond	ST2324
PT4479	885496.928039	134862.729048	285.688884	285.69	structure	contour fond	ST2324
PT4480	885497.521124	134862.674971	285.671216	285.67	structure	contour fond	ST2324
PT4481	885497.688035	134863.175236	285.653584	285.65	structure	contour fond	ST2324
PT4482	885497.189666	134863.281610	285.628664	285.63	structure	fond	ST2324
PT4483	885509.249085	134919.209574	285.733960	285.73	structure	clou carroyage	ST2278
PT4484	885508.791229	134918.332878	285.795229	285.8	structure	clou carroyage	ST2278
PT4485	885507.921102	134918.810408	285.801370	285.8	structure	clou carroyage	ST2278
PT4486	885508.390979	134919.685510	285.729429	285.73	structure	clou carroyage	ST2278
PT4487	885495.347312	134862.320538	285.993622	285.99	structure	contour fond	ST2089
PT4488	885495.352442	134862.039529	286.015155	286.02	structure	contour fond	ST2089

Annexe 4 - Le Clos de Roque, Saint-Maximin-la-Sainte-Baume (83). Inventaire des points topographiques.



PT	X (est)	Y (nord)	Z (alti)	Z (alti)	élément	type de point	identifiant
PT4489	885495.617236	134861.787087	286.047477	286.05	structure	contour fond	ST2089
PT4490	885496.000943	134861.834933	286.040537	286.04	structure	contour fond	ST2089
PT4491	885496.118168	134862.070666	286.026488	286.03	structure	contour fond	ST2089
PT4492	885496.135825	134862.253053	286.021669	286.02	structure	contour fond	ST2089
PT4493	885493.885802	134871.627170	285.766854	285.77	structure	contour fond	ST2325
PT4494	885493.903553	134871.163197	285.748778	285.75	structure	contour fond	ST2325
PT4495	885494.148501	134870.989455	285.733075	285.73	structure	contour fond	ST2325
PT4496	885494.521430	134871.001383	285.735237	285.74	structure	contour fond	ST2325
PT4497	885494.838209	134871.287312	285.732582	285.73	structure	contour fond	ST2325
PT4498	885494.333001	134871.498581	285.700026	285.7	structure	contour fond	ST2325
PT4499	885494.214735	134871.236462	285.696936	285.7	structure	fond	ST2325
PT4500	885493.146392	134864.170165	285.684045	285.68	structure	contour fond	ST2323
PT4501	885493.555338	134863.774228	285.713009	285.71	structure	contour fond	ST2323
PT4502	885493.980108	134864.070106	285.682560	285.68	structure	contour fond	ST2323
PT4503	885493.536961	134864.125027	285.665896	285.67	structure	contour fond	ST2323
PT4504	885493.531866	134863.950205	285.680338	285.68	structure	fond	ST2323
PT4505	885505.188588	134864.884116	285.766263	285.77	structure	contour fond	ST2246
PT4506	885505.596864	134864.810137	285.760066	285.76	structure	contour fond	ST2246
PT4507	885505.735385	134865.058840	285.744305	285.74	structure	contour fond	ST2246
PT4508	885505.541618	134865.005819	285.716502	285.72	structure	fond	ST2246
PT4509	885498.982278	134848.499252	285.696638	285.7	structure	contour fond	ST2326
PT4510	885499.315625	134848.270461	285.706635	285.71	structure	contour fond	ST2326
PT4511	885499.671697	134848.324150	285.696751	285.7	structure	contour fond	ST2326
PT4512	885499.855469	134848.578055	285.691955	285.69	structure	contour fond	ST2326
PT4513	885499.730252	134848.945624	285.687178	285.69	structure	contour fond	ST2326
PT4514	885499.353653	134848.710072	285.687050	285.69	structure	fond	ST2326
PT4515	885477.009479	134851.297504	285.827300	285.83	structure	contour fond	ST2322
PT4516	885477.245427	134851.050861	285.815617	285.82	structure	contour fond	ST2322
PT4517	885477.536538	134850.881577	285.815681	285.82	structure	contour fond	ST2322
PT4518	885477.795009	134850.966008	285.815770	285.82	structure	contour fond	ST2322
PT4519	885477.854259	134851.245131	285.803132	285.8	structure	contour fond	ST2322
PT4520	885477.427615	134851.274665	285.769423	285.77	structure	fond	ST2322
PT4521	885475.484768	134857.598965	286.078643	286.08	structure	clou carroyage	ST2083
PT4522	885476.467246	134857.485011	286.056082	286.06	structure	clou carroyage	ST2083
PT4523	885476.334551	134856.487295	286.056294	286.06	structure	clou carroyage	ST2083
PT4524	885475.353879	134856.618845	286.084284	286.08	structure	clou carroyage	ST2083
PT4525	885475.401595	134857.037363	286.072500	286.07	structure	contour	ST2083
PT4526	885475.544780	134857.470418	286.058023	286.06	structure	contour	ST2083
PT4527	885476.095188	134857.530028	286.057459	286.06	structure	contour	ST2083
PT4528	885476.415000	134857.049892	286.037001	286.04	structure	contour	ST2083
PT4529	885476.126379	134856.630545	286.025087	286.03	structure	contour	ST2083
PT4530	885475.648146	134856.768015	286.060098	286.06	structure	contour	ST2083
PT4531	885485.689240	134854.016846	286.107698	286.11	structure	clou carroyage	ST2084
PT4532	885486.681338	134854.018826	286.162284	286.16	structure	clou carroyage	ST2084
PT4533	885486.688581	134853.014273	286.123262	286.12	structure	clou carroyage	ST2084
PT4534	885485.672505	134853.038497	286.151583	286.15	structure	clou carroyage	ST2084
PT4535	885485.709750	134853.507627	286.119527	286.12	structure	contour	ST2084
PT4536	885485.878915	134853.860626	286.110262	286.11	structure	contour	ST2084
PT4537	885486.269745	134854.029087	286.138198	286.14	structure	contour	ST2084
PT4538	885486.505195	134853.917195	286.149448	286.15	structure	contour	ST2084
PT4539	885486.719468	134853.830050	286.115301	286.12	structure	contour	ST2084
PT4540	885486.307059	134853.090187	286.098918	286.1	structure	contour	ST2084
PT4541	885486.011558	134853.218235	286.132702	286.13	structure	contour	ST2084
PT4542	885485.763055	134853.362187	286.139266	286.14	structure	contour	ST2084
PT4543	885477.876649	134863.774887	286.140150	286.14	structure	clou carroyage	ST2081
PT4544	885478.894064	134863.763762	286.125101	286.13	structure	clou carroyage	ST2081
PT4545	885478.891998	134862.767507	286.106171	286.11	structure	clou carroyage	ST2081
PT4546	885477.908291	134862.779562	286.121917	286.12	structure	clou carroyage	ST2081
PT4547	885477.965599	134862.830727	286.092884	286.09	structure	contour	ST2081
PT4548	885477.997433	134863.344426	286.113467	286.11	structure	contour	ST2081
PT4549	885478.205526	134863.721238	286.103468	286.1	structure	contour	ST2081
PT4550	885478.550647	134863.676788	286.101228	286.1	structure	contour	ST2081
PT4551	885478.886280	134863.514435	286.106527	286.11	structure	contour	ST2081
PT4552	885478.621343	134862.942460	286.092586	286.09	structure	contour	ST2081
PT4553	885478.311089	134862.808137	286.081530	286.08	structure	contour	ST2081
PT4554	885479.974580	134871.624551	286.050230	286.05	structure	clou carroyage	ST2080

PT	X (est)	Y (nord)	Z (alti)	Z (alti)	élément	type de point	identifiant
PT4555	885481.449189	134871.604547	286.044172	286.04	structure	clou carroyage	ST2080
PT4556	885481.453664	134870.125874	286.058189	286.06	structure	clou carroyage	ST2080
PT4557	885479.954137	134870.058610	286.078012	286.08	structure	clou carroyage	ST2080
PT4558	885480.149153	134870.775375	286.043754	286.04	structure	contour	ST2080
PT4559	885480.180253	134871.149707	286.027964	286.03	structure	contour	ST2080
PT4560	885480.851859	134871.326858	286.037659	286.04	structure	contour	ST2080
PT4561	885481.502301	134870.842316	286.039512	286.04	structure	contour	ST2080
PT4562	885481.125196	134870.190221	286.052873	286.05	structure	contour	ST2080
PT4563	885480.325547	134870.310711	286.051024	286.05	structure	contour	ST2080
PT4564	885491.497847	134868.136967	286.121224	286.12	structure	clou carroyage	ST2076
PT4565	885492.454773	134867.842273	286.128673	286.13	structure	clou carroyage	ST2076
PT4566	885492.327993	134866.962336	286.121232	286.12	structure	clou carroyage	ST2076
PT4567	885491.219254	134867.172149	286.166792	286.17	structure	clou carroyage	ST2076
PT4568	885491.541098	134867.089843	286.128028	286.13	structure	contour	ST2076
PT4569	885491.599918	134867.858654	286.129150	286.13	structure	contour	ST2076
PT4570	885492.211257	134867.616697	286.105855	286.11	structure	contour	ST2076
PT4571	885491.862070	134867.086670	286.107229	286.11	structure	contour	ST2076
PT4572	885489.802891	134870.899870	286.097392	286.1	structure	clou carroyage	ST2077
PT4573	885490.716305	134870.714096	286.102568	286.1	structure	clou carroyage	ST2077
PT4574	885490.583781	134869.758612	286.085698	286.09	structure	clou carroyage	ST2077
PT4575	885489.624840	134869.936504	286.084229	286.08	structure	clou carroyage	ST2077
PT4576	885489.826249	134870.115023	286.067895	286.07	structure	contour	ST2077
PT4577	885489.949262	134870.596753	286.077995	286.08	structure	contour	ST2077
PT4578	885490.362284	134870.682749	286.076877	286.08	structure	contour	ST2077
PT4579	885490.499532	134870.003726	286.063421	286.06	structure	contour	ST2077
PT4580	885489.957559	134869.983752	286.044497	286.04	structure	contour	ST2077
PT4581	885488.163565	134868.558951	286.136664	286.14	structure	clou carroyage	ST2078
PT4582	885489.126203	134868.428266	286.162983	286.16	structure	clou carroyage	ST2078
PT4583	885489.010806	134867.450313	286.168704	286.17	structure	clou carroyage	ST2078
PT4584	885488.037681	134867.553922	286.148574	286.15	structure	clou carroyage	ST2078
PT4585	885488.021014	134867.829977	286.122078	286.12	structure	contour	ST2078
PT4586	885488.168003	134868.137722	286.131269	286.13	structure	contour	ST2078
PT4587	885488.617423	134868.426933	286.139631	286.14	structure	contour	ST2078
PT4588	885488.934128	134867.946045	286.149535	286.15	structure	contour	ST2078
PT4589	885488.513542	134867.622752	286.146101	286.15	structure	contour	ST2078
PT4590	885494.158680	134851.823110	285.170221	285.17	structure	malaco p85	ST2094
PT4591	885486.945908	134869.741357	286.129737	286.13	structure	clou carroyage	ST2079
PT4592	885487.896746	134869.552892	286.118355	286.12	structure	clou carroyage	ST2079
PT4593	885487.736502	134868.570226	286.151924	286.15	structure	clou carroyage	ST2079
PT4594	885486.728871	134868.785837	286.135042	286.14	structure	clou carroyage	ST2079
PT4595	885486.856947	134869.236651	286.106031	286.11	structure	contour	ST2079
PT4596	885487.159148	134869.596233	286.113974	286.11	structure	contour	ST2079
PT4597	885487.650410	134869.158904	286.097894	286.1	structure	contour	ST2079
PT4598	885487.110855	134868.768548	286.117588	286.12	structure	contour	ST2079
PT4599	885500.011756	134865.878315	286.070614	286.07	structure	clou carroyage	ST2088
PT4600	885500.990203	134865.741423	286.057781	286.06	structure	clou carroyage	ST2088
PT4601	885500.843002	134864.793583	286.051915	286.05	structure	clou carroyage	ST2088
PT4602	885499.892436	134864.910676	286.082897	286.08	structure	clou carroyage	ST2088
PT4603	885499.955211	134865.414575	286.052930	286.05	structure	contour	ST2088
PT4604	885500.405186	134865.802424	286.061726	286.06	structure	contour	ST2088
PT4605	885500.892825	134865.361380	286.032993	286.03	structure	contour	ST2088
PT4606	885500.439712	134864.897349	286.055312	286.06	structure	contour	ST2088
PT4607	885495.739650	134869.265381	286.058550	286.06	structure	clou carroyage	ST2074
PT4608	885497.687024	134868.885895	286.042566	286.04	structure	clou carroyage	ST2074
PT4609	885497.421555	134866.954994	286.090844	286.09	structure	clou carroyage	ST2074
PT4610	885495.481590	134867.311478	286.060328	286.06	structure	clou carroyage	ST2074
PT4611	885495.930040	134868.131714	286.021298	286.02	structure	contour	ST2074
PT4612	885496.098841	134868.766016	286.025933	286.03	structure	contour	ST2074
PT4613	885496.786658	134869.078678	286.019662	286.02	structure	contour	ST2074
PT4614	885497.395745	134868.448621	286.031080	286.03	structure	contour	ST2074
PT4615	885497.289623	134867.703571	286.039603	286.04	structure	contour	ST2074
PT4616	885496.647004	134867.298369	286.041498	286.04	structure	contour	ST2074
PT4617	885496.190380	134867.496364	286.028848	286.03	structure	contour	ST2074
PT4618	885495.280997	134868.006010	286.101337	286.1	structure	clou carroyage	ST2075
PT4619	885496.277275	134867.781517	286.035708	286.04	structure	clou carroyage	ST2075
PT4620	885496.031718	134866.816872	286.066300	286.07	structure	clou carroyage	ST2075

Annexe 4 - Le Clos de Roque, Saint-Maximin-la-Sainte-Baume (83). Inventaire des points topographiques.



PT	X (est)	Y (nord)	Z (alti)	Z (alti)	élément	type de point	identifiant
PT4621	885495.087807	134866.996189	286.053693	286.05	structure	clou carroyage	ST2075
PT4622	885495.165300	134867.515890	286.046783	286.05	structure	contour	ST2075
PT4623	885495.655525	134868.010405	286.048198	286.05	structure	contour	ST2075
PT4624	885496.165950	134867.430937	286.038979	286.04	structure	contour	ST2075
PT4625	885495.592538	134866.878745	286.050701	286.05	structure	contour	ST2075
PT4626	885495.291040	134867.154517	286.045590	286.05	structure	contour	ST2075
PT4627	885524.546979	134870.479674	286.079738	286.08	structure	contour	ST2230
PT4628	885523.873743	134871.168834	286.133079	286.13	structure	contour	ST2230
PT4629	885523.565302	134870.635667	286.108989	286.11	structure	contour	ST2230
PT4630	885523.828918	134869.913424	285.803849	285.8	structure	contour	ST2230
PT4631	885523.632065	134869.138497	285.736519	285.74	structure	contour	ST2230
PT4632	885523.739127	134868.734260	285.900536	285.9	structure	contour	ST2230
PT4633	885523.550039	134868.392260	285.997033	286	structure	contour	ST2230
PT4634	885523.345752	134868.123293	286.073605	286.07	structure	contour	ST2230
PT4635	885523.689082	134867.961573	286.064756	286.06	structure	contour	ST2230
PT4636	885523.980499	134868.433942	286.071924	286.07	structure	contour	ST2230
PT4637	885524.179349	134869.024384	285.898144	285.9	structure	contour	ST2230
PT4638	885524.287804	134869.814561	285.830895	285.83	structure	contour	ST2230
PT4639	885524.522668	134870.229091	285.878184	285.88	structure	contour	ST2230
PT4640	885524.095946	134869.862840	285.572403	285.57	structure	contour fond	ST2230
PT4641	885524.245233	134870.507179	285.452313	285.45	structure	contour fond	ST2230
PT4642	885523.854175	134870.954392	285.490136	285.49	structure	contour fond	ST2230
PT4643	885523.888674	134870.515178	285.471667	285.47	structure	contour fond	ST2230
PT4644	885523.878877	134868.963337	285.646521	285.65	structure	fond	ST2230
PT4645	885523.782700	134868.505764	285.659367	285.66	structure	fond	ST2230
PT4646	885523.577984	134868.137373	285.775329	285.78	structure	fond	ST2230
PT4647	885524.038038	134870.473232	285.443284	285.44	structure	fond	ST2230
PT4648	885508.843448	134919.554084	285.761333	285.76	structure	clou coupe	ST2278
PT4649	885508.154395	134918.561402	285.834187	285.83	structure	clou coupe	ST2278
PT4650	885500.263913	134867.376925	286.004196	286	structure	contour	ST2327
PT4651	885500.440028	134867.616931	286.025980	286.03	structure	contour	ST2327
PT4652	885500.734958	134867.667789	286.016981	286.02	structure	contour	ST2327
PT4653	885500.965269	134867.566151	286.017090	286.02	structure	contour	ST2327
PT4654	885501.099951	134867.310487	286.001502	286	structure	contour	ST2327
PT4655	885501.088598	134867.206045	285.572843	285.57	structure	contour fond	ST2327
PT4656	885500.874033	134866.919549	285.581959	285.58	structure	contour fond	ST2327
PT4657	885500.411257	134866.955438	285.632258	285.63	structure	contour fond	ST2327
PT4658	885500.219484	134867.285079	285.703686	285.7	structure	contour fond	ST2327
PT4659	885487.099772	134862.839237	286.112191	286.11	structure	clou carroyage	ST2085
PT4660	885488.588020	134862.519567	286.154852	286.15	structure	clou carroyage	ST2085
PT4661	885488.303000	134861.065511	286.168678	286.17	structure	clou carroyage	ST2085
PT4662	885486.804521	134861.360340	286.175719	286.18	structure	clou carroyage	ST2085
PT4663	885486.854950	134861.591130	286.137649	286.14	structure	contour	ST2085
PT4664	885486.852519	134862.336199	286.120767	286.12	structure	contour	ST2085
PT4665	885487.361315	134862.793271	286.132430	286.13	structure	contour	ST2085
PT4666	885488.186735	134862.522128	286.121911	286.12	structure	contour	ST2085
PT4667	885488.328130	134861.581514	286.142097	286.14	structure	contour	ST2085
PT4668	885487.453313	134861.330557	286.146012	286.15	structure	contour	ST2085
PT4669	885523.142596	134868.768506	286.085300	286.09	structure	clou carroyage	ST2197
PT4670	885522.113629	134868.684647	286.106435	286.11	structure	clou carroyage	ST2197
PT4671	885522.184583	134867.678813	286.099018	286.1	structure	clou carroyage	ST2197
PT4672	885523.222097	134867.751163	286.092708	286.09	structure	clou carroyage	ST2197
PT4673	885523.235986	134867.753575	286.093090	286.09	structure	clou carroyage	ST2197
PT4674	885522.069339	134868.204298	286.089870	286.09	structure	clou coupe	ST2197
PT4675	885523.298744	134868.329100	286.090071	286.09	structure	clou coupe	ST2197
PT4676	885527.252028	134848.955816	286.265476	286.27	structure	clou coupe	ST2215
PT4677	885525.795123	134849.299773	286.263635	286.26	structure	clou coupe	ST2215
PT4678	885527.215865	134849.147237	286.224002	286.22	structure	clou coupe	ST2215
PT4679	885489.875975	134860.280313	286.024152	286.02	structure	clou coupe	ST2328
PT4680	885491.174300	134860.002087	286.032587	286.03	structure	clou coupe	ST2328
PT4681	885492.732832	134859.704144	286.025361	286.03	structure	clou coupe	ST2328
PT4682	885489.137305	134860.269107	284.953462	284.95	structure	clou coupe	ST2328
PT4683	885491.169475	134859.979562	284.961858	284.96	structure	clou coupe	ST2328
PT4684	885492.698416	134859.690542	284.957086	284.96	structure	clou coupe	ST2328
PT4685	885489.878914	134860.163222	284.054616	284.05	structure	clou coupe	ST2328
PT4686	885491.160754	134859.946952	284.054141	284.05	structure	clou coupe	ST2328

PT	X (est)	Y (nord)	Z (alti)	Z (alti)	élément	type de point	identifiant
PT4687	885492.700544	134859.676621	284.057259	284.06	structure	clou coupe	ST2328
PT4688	885558.525859	134873.899752	285.532807	285.53	coupe	clou coupe	ST2096
PT4689	885558.130799	134873.003491	285.542946	285.54	coupe	clou coupe	ST2096
PT4690	885559.974878	134872.136943	285.578443	285.58	coupe	clou coupe	ST2096
PT4691	885559.961169	134872.146243	285.516421	285.52	coupe	clou coupe	ST2096
PT4692	885558.654827	134873.917731	284.413868	284.41	coupe	clou coupe	ST2096
PT4693	885558.254376	134873.118062	284.426007	284.43	coupe	clou coupe	ST2096
PT4694	885558.255529	134873.118306	284.426236	284.43	coupe	clou coupe	ST2096
PT4695	885559.760266	134872.297156	284.436553	284.44	coupe	clou coupe	ST2096
PT4696	885533.034618	134901.703996	285.892576	285.89	structure	contour	ST2048
PT4697	885533.053595	134901.516413	285.908893	285.91	structure	contour	ST2048
PT4698	885533.184203	134901.402005	285.900861	285.9	structure	contour	ST2048
PT4699	885533.407859	134901.457688	285.906805	285.91	structure	contour	ST2048
PT4700	885533.448844	134901.729583	285.901547	285.9	structure	contour	ST2048
PT4701	885533.286413	134901.844153	285.891790	285.89	structure	contour	ST2048
PT4702	885533.111904	134901.806358	285.884545	285.88	structure	contour	ST2048
PT4703	885533.165060	134901.749768	285.798747	285.8	structure	contour	ST2048
PT4704	885533.104028	134901.577113	285.773727	285.77	structure	contour	ST2048
PT4705	885533.313776	134901.477452	285.771095	285.77	structure	contour	ST2048
PT4706	885533.377082	134901.668694	285.796982	285.8	structure	contour	ST2048
PT4707	885533.252956	134901.764009	285.801454	285.8	structure	contour	ST2048
PT4708	885533.256358	134901.608193	285.762729	285.76	structure	fond	ST2048
PT4709	885539.168453	134902.335593	285.881345	285.88	structure	contour	ST2033
PT4710	885539.116721	134902.043000	285.888610	285.89	structure	contour	ST2033
PT4711	885539.276881	134901.645011	285.850858	285.85	structure	contour	ST2033
PT4712	885539.640737	134901.603454	285.884351	285.88	structure	contour	ST2033
PT4713	885540.066996	134901.877793	285.885223	285.89	structure	contour	ST2033
PT4714	885540.023092	134902.425174	285.868564	285.87	structure	contour	ST2033
PT4715	885539.623125	134902.656146	285.884277	285.88	structure	contour	ST2033
PT4716	885539.405180	134902.205069	285.678802	285.68	structure	contour	ST2033
PT4717	885539.331638	134901.801854	285.685596	285.69	structure	contour	ST2033
PT4718	885539.763405	134901.758452	285.698290	285.7	structure	contour	ST2033
PT4719	885539.874015	134902.178907	285.705837	285.71	structure	contour	ST2033
PT4720	885539.616520	134902.056136	285.656898	285.66	structure	fond	ST2033
PT4721	885531.979063	134903.787604	285.870336	285.87	structure	clou coupe	ST2036
PT4722	885532.981899	134903.478686	285.856897	285.86	structure	clou coupe	ST2036
PT4723	885532.747349	134906.138299	285.873829	285.87	structure	clou carroyage	ST2035
PT4724	885533.617170	134905.645672	285.858326	285.86	structure	clou carroyage	ST2035
PT4725	885534.116345	134906.482093	285.829593	285.83	structure	clou carroyage	ST2035
PT4726	885533.267695	134907.019593	285.851730	285.85	structure	clou carroyage	ST2035
PT4727	885532.918178	134906.543837	285.866098	285.87	structure	clou coupe	ST2035
PT4728	885533.881955	134905.973413	285.856309	285.86	structure	clou coupe	ST2035
PT4729	885528.368081	134898.612563	285.948163	285.95	structure	clou carroyage	ST2047
PT4730	885529.330094	134898.336331	285.951266	285.95	structure	clou carroyage	ST2047
PT4731	885529.596434	134899.312718	285.950523	285.95	structure	clou carroyage	ST2047
PT4732	885528.625960	134899.582208	285.952155	285.95	structure	clou carroyage	ST2047
PT4733	885528.319162	134899.155481	285.947885	285.95	structure	clou coupe	ST2047
PT4734	885529.646778	134898.853338	285.957770	285.96	structure	clou coupe	ST2047
PT4735	885526.220960	134895.461057	285.911756	285.91	structure	clou carroyage	ST2231
PT4736	885527.183607	134895.175823	285.970977	285.97	structure	clou carroyage	ST2231
PT4737	885527.486676	134896.145955	285.994233	285.99	structure	clou carroyage	ST2231
PT4738	885526.523570	134896.431512	285.957152	285.96	structure	clou carroyage	ST2231
PT4739	885478.893775	134863.451659	285.969805	285.97	structure	clou coupe	ST2081
PT4740	885477.896308	134863.480353	285.968934	285.97	structure	clou coupe	ST2081
PT4741	885476.557787	134857.250706	285.920099	285.92	structure	clou coupe	ST2083
PT4742	885475.358414	134857.355443	285.927721	285.93	structure	clou coupe	ST2083
PT4743	885486.812123	134853.478200	285.862631	285.86	structure	clou coupe	ST2084
PT4744	885486.815601	134853.479124	285.862723	285.86	structure	clou coupe	ST2084
PT4745	885485.488776	134853.573887	285.855414	285.86	structure	clou coupe	ST2084
PT4746	885494.881335	134867.564177	285.938755	285.94	structure	clou coupe	ST2075
PT4747	885496.282268	134866.902284	285.936307	285.94	structure	clou coupe	ST2075
PT4748	885522.546946	134868.658525	286.099385	286.1	structure	contour	ST2197
PT4749	885522.403439	134868.386036	286.063754	286.06	structure	contour	ST2197
PT4750	885522.522709	134868.241200	286.016051	286.02	structure	contour	ST2197
PT4751	885522.758830	134868.052834	286.049536	286.05	structure	contour	ST2197
PT4752	885523.124202	134868.177094	286.059017	286.06	structure	contour	ST2197

PT	X (est)	Y (nord)	Z (alti)	Z (alti)	élément	type de point	identifiant
PT4753	885522.986867	134868.446461	286.057541	286.06	structure	contour	ST2197
PT4754	885522.828177	134868.398169	285.891300	285.89	structure	contour fond	ST2197
PT4755	885522.535640	134868.550092	285.824926	285.82	structure	contour fond	ST2197
PT4756	885522.582293	134868.279599	285.871819	285.87	structure	contour fond	ST2197
PT4757	885522.907185	134868.152448	285.939164	285.94	structure	contour fond	ST2197
PT4758	885522.680054	134868.333506	285.874228	285.87	structure	fond	ST2197
PT4759	885488.823892	134871.866119	285.874670	285.87	structure	contour	ST2329
PT4760	885488.932261	134872.513792	285.849111	285.85	structure	contour	ST2329
PT4761	885489.423954	134872.814437	285.837937	285.84	structure	contour	ST2329
PT4762	885489.925394	134872.488883	285.844928	285.84	structure	contour	ST2329
PT4763	885489.994765	134871.815317	285.852059	285.85	structure	contour	ST2329
PT4764	885489.604322	134871.482143	285.846931	285.85	structure	contour	ST2329
PT4765	885489.116274	134871.509690	285.869590	285.87	structure	contour	ST2329
PT4766	885500.257778	134867.356326	285.847623	285.85	structure	clou coupe	ST2327
PT4767	885501.011546	134865.475736	285.885139	285.89	structure	clou coupe	ST2088
PT4768	885499.933419	134865.608729	285.869930	285.87	structure	clou coupe	ST2088
PT4769	885501.204965	134867.192774	285.839395	285.84	structure	clou coupe	ST2327
PT4770	885528.532063	134899.340702	285.922373	285.92	structure	contour	ST2047
PT4771	885528.733763	134898.623506	285.954739	285.95	structure	contour	ST2047
PT4772	885529.128937	134898.642734	285.935417	285.94	structure	contour	ST2047
PT4773	885529.414058	134898.869908	285.941652	285.94	structure	contour	ST2047
PT4774	885529.278203	134899.405619	285.939234	285.94	structure	contour	ST2047
PT4775	885528.683254	134899.430606	285.946092	285.95	structure	contour	ST2047
PT4776	885528.961074	134899.151198	285.868632	285.87	structure	fond	ST2047
PT4777	885532.855296	134906.271975	285.855049	285.86	structure	contour	ST2035
PT4778	885533.474563	134905.930689	285.840289	285.84	structure	contour	ST2035
PT4779	885533.627402	134906.341055	285.820573	285.82	structure	contour	ST2035
PT4780	885533.067013	134906.692303	285.848521	285.85	structure	contour	ST2035
PT4781	885533.290766	134906.369174	285.779494	285.78	structure	fond	ST2035
PT4782	885488.900633	134871.125587	285.867577	285.87	structure	clou carroyage	ST2329
PT4783	885488.528496	134872.660398	285.853363	285.85	structure	clou carroyage	ST2329
PT4784	885490.094202	134873.040592	285.840115	285.84	structure	clou carroyage	ST2329
PT4785	885490.501102	134871.485487	285.846480	285.85	structure	clou carroyage	ST2329
PT4786	885508.858121	134919.608203	285.720426	285.72	structure	contour	ST2278
PT4787	885508.866529	134918.649423	285.781899	285.78	structure	contour	ST2278
PT4788	885508.099903	134918.655417	285.805236	285.81	structure	contour	ST2278
PT4789	885508.077623	134919.408289	285.767751	285.77	structure	contour	ST2278
PT4790	885508.962462	134919.243845	285.526857	285.53	structure	contour	ST2278
PT4791	885508.530574	134918.788195	285.527834	285.53	structure	contour	ST2278
PT4792	885508.244839	134919.192189	285.544360	285.54	structure	contour	ST2278
PT4793	885508.456412	134919.607971	285.546913	285.55	structure	contour	ST2278
PT4794	885508.591073	134919.166698	285.529745	285.53	structure	fond	ST2278
PT4795	885505.650609	134924.014958	285.836417	285.84	structure	clou carroyage	ST2280
PT4796	885505.159580	134923.150204	285.821323	285.82	structure	clou carroyage	ST2280
PT4797	885504.285077	134923.602236	285.857904	285.86	structure	clou carroyage	ST2280
PT4798	885504.760162	134924.489599	285.856499	285.86	structure	clou carroyage	ST2280
PT4799	885506.891278	134928.394958	285.818613	285.82	structure	clou carroyage	ST2282
PT4800	885506.006898	134927.923650	285.816802	285.82	structure	clou carroyage	ST2282
PT4801	885505.541069	134928.807225	285.820666	285.82	structure	clou carroyage	ST2282
PT4802	885506.407995	134929.271952	285.826356	285.83	structure	clou carroyage	ST2282
PT4803	885509.167137	134930.101820	285.776240	285.78	structure	clou carroyage	ST2281
PT4804	885509.133073	134929.099135	285.789269	285.79	structure	clou carroyage	ST2281
PT4805	885508.147423	134929.110136	285.803125	285.8	structure	clou carroyage	ST2281
PT4806	885508.174422	134930.097656	285.801839	285.8	structure	clou carroyage	ST2281
PT4807	885520.443125	134864.698842	286.084239	286.08	structure	clou carroyage	ST2202
PT4808	885520.305966	134865.909961	286.131277	286.13	structure	clou carroyage	ST2202
PT4809	885519.198091	134865.834394	286.117117	286.12	structure	clou carroyage	ST2202
PT4810	885519.238851	134864.611764	286.100230	286.1	structure	clou carroyage	ST2202
PT4811	885496.021786	134896.408261	285.904324	285.9	structure	contour	ST2297
PT4812	885496.299222	134896.569559	285.918416	285.92	structure	contour	ST2297
PT4813	885496.420685	134896.394931	285.914397	285.91	structure	contour	ST2297
PT4814	885496.227722	134896.253732	285.910872	285.91	structure	contour	ST2297
PT4815	885496.240495	134896.317286	285.815190	285.82	structure	contour	ST2297
PT4816	885496.088028	134896.413028	285.824879	285.82	structure	contour	ST2297
PT4817	885496.285554	134896.537752	285.823484	285.82	structure	contour	ST2297
PT4818	885496.358510	134896.396920	285.829263	285.83	structure	contour	ST2297

PT	X (est)	Y (nord)	Z (alti)	Z (alti)	élément	type de point	identifiant
PT4819	885496.233421	134896.425405	285.822974	285.82	structure	fond	ST2297
PT4820	885495.805116	134896.516939	285.899791	285.9	structure	clou coupe	ST2297
PT4821	885496.618205	134896.281893	285.935628	285.94	structure	clou coupe	ST2297
PT4822	885494.738370	134896.395498	285.876964	285.88	structure	clou coupe	ST2298
PT4823	885495.507329	134896.411164	285.882491	285.88	structure	clou coupe	ST2298
PT4824	885494.923846	134896.473711	285.887578	285.89	structure	contour	ST2298
PT4825	885495.145938	134896.572760	285.886586	285.89	structure	contour	ST2298
PT4826	885495.290986	134896.352249	285.893932	285.89	structure	contour	ST2298
PT4827	885495.079484	134896.232778	285.889707	285.89	structure	contour	ST2298
PT4828	885495.081497	134896.282010	285.803496	285.8	structure	contour	ST2298
PT4829	885494.954619	134896.430581	285.816000	285.82	structure	contour	ST2298
PT4830	885495.136609	134896.526386	285.814784	285.81	structure	contour	ST2298
PT4831	885495.265312	134896.419639	285.812973	285.81	structure	contour	ST2298
PT4832	885495.112343	134896.404911	285.796325	285.8	structure	fond	ST2298
PT4833	885493.273434	134895.067389	285.862800	285.86	structure	clou coupe	ST2302
PT4834	885494.119473	134894.629913	285.899150	285.9	structure	clou coupe	ST2302
PT4835	885493.615087	134894.639282	285.871365	285.87	structure	contour	ST2302
PT4836	885493.299023	134894.888735	285.852151	285.85	structure	contour	ST2302
PT4837	885493.705890	134895.186987	285.869640	285.87	structure	contour	ST2302
PT4838	885493.926875	134894.996681	285.889812	285.89	structure	contour	ST2302
PT4839	885493.855463	134894.951841	285.785003	285.79	structure	contour	ST2302
PT4840	885493.646105	134894.692146	285.769773	285.77	structure	contour	ST2302
PT4841	885493.359458	134894.869172	285.774773	285.77	structure	contour	ST2302
PT4842	885493.601733	134895.166323	285.783053	285.78	structure	contour	ST2302
PT4843	885493.594745	134894.921604	285.764228	285.76	structure	contour	ST2302
PT4844	885493.556717	134894.947011	285.762844	285.76	structure	fond	ST2302
PT4845	885497.549328	134894.807208	285.897838	285.9	structure	clou coupe	ST2308
PT4846	885498.202211	134894.568205	285.906590	285.91	structure	clou coupe	ST2308
PT4847	885493.559584	134894.790129	285.771930	285.77	prélèvement	p88	ST2302
PT4848	885496.211496	134896.339066	285.816716	285.82	prélèvement	p89	ST2297
PT4849	885495.065510	134896.337560	285.801800	285.8	prélèvement	p90	ST2298
PT4850	885491.259150	134872.943411	285.943305	285.94	structure	point central	ST2330
PT4851	885490.887692	134873.351678	285.933229	285.93	structure	clou carroyage	ST2330
PT4852	885491.883151	134873.468703	285.948923	285.95	structure	clou carroyage	ST2330
PT4853	885491.974865	134872.492131	285.928668	285.93	structure	clou carroyage	ST2330
PT4854	885490.982992	134872.360110	285.894909	285.89	structure	clou carroyage	ST2330
PT4855	885492.371157	134873.101512	285.964866	285.96	structure	clou carroyage	ST2331
PT4856	885492.772905	134873.135197	285.977242	285.98	structure	clou carroyage	ST2331
PT4857	885492.824265	134872.727447	285.965821	285.97	structure	clou carroyage	ST2331
PT4858	885492.416749	134872.704940	285.953708	285.95	structure	clou carroyage	ST2331
PT4859	885492.573252	134872.911994	285.956711	285.96	structure	point central	ST2331
PT4860	885492.519960	134867.470857	285.901433	285.9	structure	clou coupe	ST2076
PT4861	885491.230896	134867.327727	285.895777	285.9	structure	clou coupe	ST2076
PT4862	885491.523825	134872.438731	285.921650	285.92	structure	contour	ST2330
PT4863	885491.283799	134872.466934	285.920502	285.92	structure	contour	ST2330
PT4864	885491.048518	134872.460176	285.922186	285.92	structure	contour	ST2330
PT4865	885490.930519	134872.839866	285.932714	285.93	structure	contour	ST2330
PT4866	885490.865867	134873.281597	285.922478	285.92	structure	contour	ST2330
PT4867	885491.259070	134873.412209	285.943049	285.94	structure	contour	ST2330
PT4868	885491.611229	134873.192457	285.933375	285.93	structure	contour	ST2330
PT4869	885491.795191	134872.876386	285.936952	285.94	structure	contour	ST2330
PT4870	885492.434162	134872.910196	285.950083	285.95	structure	contour	ST2331
PT4871	885492.540834	134873.011693	285.966311	285.97	structure	contour	ST2331
PT4872	885492.682698	134872.890650	285.954343	285.95	structure	contour	ST2331
PT4873	885492.547695	134872.788015	285.952051	285.95	structure	contour	ST2331
PT4874	885527.051282	134848.832480	286.222326	286.22	structure	contour	ST2215
PT4875	885527.199471	134849.226758	286.231345	286.23	structure	contour	ST2215
PT4876	885527.180243	134849.595911	286.252745	286.25	structure	contour	ST2215
PT4877	885526.825817	134849.879776	286.255139	286.26	structure	contour	ST2215
PT4878	885526.444665	134850.025691	286.273760	286.27	structure	contour	ST2215
PT4879	885526.031552	134850.075373	286.292748	286.29	structure	contour	ST2215
PT4880	885525.847792	134849.637123	286.274234	286.27	structure	contour	ST2215
PT4881	885525.850464	134849.098597	286.256977	286.26	structure	contour	ST2215
PT4882	885525.894759	134848.863237	286.218778	286.22	structure	contour	ST2215
PT4883	885525.900246	134848.924848	286.179507	286.18	structure	contour	ST2215
PT4884	885525.852606	134849.300373	286.190687	286.19	structure	contour	ST2215

Annexe 4 - Le Clos de Roque, Saint-Maximin-la-Sainte-Baume (83). Inventaire des points topographiques.



PT	X (est)	Y (nord)	Z (alti)	Z (alti)	élément	type de point	identifiant
PT4885	885525.956730	134849.706513	286.184181	286.18	structure	contour	ST2215
PT4886	885526.093557	134850.026592	286.204002	286.2	structure	contour	ST2215
PT4887	885526.454647	134849.951680	286.211435	286.21	structure	contour	ST2215
PT4888	885527.070586	134849.685525	286.155477	286.16	structure	contour	ST2215
PT4889	885527.179036	134849.248710	286.141940	286.14	structure	contour	ST2215
PT4890	885527.031766	134848.868556	286.147784	286.15	structure	contour	ST2215
PT4891	885526.318799	134848.639904	286.132971	286.13	structure	contour	ST2215
PT4892	885526.659841	134848.648794	286.147404	286.15	structure	contour	ST2215
PT4893	885526.843065	134848.758024	286.127701	286.13	structure	contour	ST2215
PT4894	885527.010091	134849.199448	286.124765	286.12	structure	contour	ST2215
PT4895	885526.846232	134849.492120	286.120266	286.12	structure	contour	ST2215
PT4896	885526.640937	134849.637041	286.161142	286.16	structure	contour	ST2215
PT4897	885526.584125	134849.739129	286.161622	286.16	structure	contour	ST2215
PT4898	885526.508956	134849.704796	286.170964	286.17	structure	contour	ST2215
PT4899	885526.135551	134849.652494	286.154142	286.15	structure	contour	ST2215
PT4900	885526.000067	134849.514288	286.170735	286.17	structure	contour	ST2215
PT4901	885526.035479	134849.453876	286.169578	286.17	structure	contour	ST2215
PT4902	885525.964045	134849.165005	286.188415	286.19	structure	contour	ST2215
PT4903	885526.016305	134848.880206	286.182462	286.18	structure	contour	ST2215
PT4904	885526.058782	134849.025800	286.032992	286.03	structure	contour	ST2215
PT4905	885526.070230	134849.332460	286.029953	286.03	structure	contour	ST2215
PT4906	885526.247839	134849.592595	286.033651	286.03	structure	contour	ST2215
PT4907	885526.606175	134849.556741	286.056525	286.06	structure	contour	ST2215
PT4908	885526.813338	134849.437359	286.066459	286.07	structure	contour	ST2215
PT4909	885526.977614	134849.122347	286.042179	286.04	structure	contour	ST2215
PT4910	885526.767050	134848.788071	286.051414	286.05	structure	contour	ST2215
PT4911	885526.425938	134848.702745	286.049434	286.05	structure	contour	ST2215
PT4912	885526.500013	134849.101687	285.978439	285.98	structure	fond	ST2215
PT4913	885519.169502	134865.435363	286.107892	286.11	structure	clou coupe	ST2202
PT4914	885520.473622	134865.299634	286.119995	286.12	structure	clou coupe	ST2202
PT4915	885517.026165	134866.958214	286.141590	286.14	structure	clou carroyage	ST2204
PT4916	885516.882151	134865.949519	286.099753	286.1	structure	clou carroyage	ST2204
PT4917	885517.882456	134865.792717	286.115537	286.12	structure	clou carroyage	ST2204
PT4918	885518.026796	134866.796039	286.119754	286.12	structure	clou carroyage	ST2204
PT4919	885479.986187	134870.785541	285.881103	285.88	structure	clou coupe	ST2280
PT4920	885481.773151	134870.563453	285.859904	285.86	structure	clou coupe	ST2280
PT4921	885488.019376	134868.075480	286.044621	286.04	structure	clou coupe	ST2280
PT4922	885489.175303	134867.671078	286.049936	286.05	structure	clou coupe	ST2280
PT4923	885491.060266	134877.747237	286.023854	286.02	structure	clou carroyage	ST2071
PT4924	885492.540124	134877.516622	286.083550	286.08	structure	clou carroyage	ST2071
PT4925	885492.299097	134876.035808	286.064401	286.06	structure	clou carroyage	ST2071
PT4926	885490.831555	134876.281576	286.066424	286.07	structure	clou carroyage	ST2071
PT4927	885491.142450	134876.957397	286.044409	286.04	structure	contour	ST2071
PT4928	885491.778687	134877.377588	286.060908	286.06	structure	contour	ST2071
PT4929	885492.270553	134876.677578	286.057026	286.06	structure	contour	ST2071
PT4930	885491.650134	134876.319495	286.053457	286.05	structure	contour	ST2071
PT4931	885493.246817	134876.952816	286.029953	286.03	structure	clou carroyage	ST2072
PT4932	885494.234230	134876.773548	286.034881	286.03	structure	clou carroyage	ST2072
PT4933	885494.062803	134875.825544	286.018369	286.02	structure	clou carroyage	ST2072
PT4934	885493.083667	134875.989762	286.016908	286.02	structure	clou carroyage	ST2072
PT4935	885493.191357	134876.448173	286.022924	286.02	structure	contour	ST2072
PT4936	885493.801372	134876.906379	286.018538	286.02	structure	contour	ST2072
PT4937	885494.118118	134876.294509	286.037878	286.04	structure	contour	ST2072
PT4938	885493.593002	134875.868085	286.026226	286.03	structure	contour	ST2072
PT4939	885532.222564	134903.715056	285.856365	285.86	structure	contour	ST2036
PT4940	885532.299241	134903.437155	285.871175	285.87	structure	contour	ST2036
PT4941	885532.627706	134903.394382	285.860858	285.86	structure	contour	ST2036
PT4942	885532.785126	134903.683289	285.867074	285.87	structure	contour	ST2036
PT4943	885532.475640	134903.894918	285.857723	285.86	structure	contour	ST2036
PT4944	885532.352244	134903.715721	285.782885	285.78	structure	contour	ST2036
PT4945	885532.445792	134903.484738	285.799581	285.8	structure	contour	ST2036
PT4946	885532.646464	134903.565365	285.803670	285.8	structure	contour	ST2036
PT4947	885532.576969	134903.790861	285.806660	285.81	structure	contour	ST2036
PT4948	885532.497033	134903.632701	285.783217	285.78	structure	fond	ST2036
PT4949	885529.074340	134910.975253	285.870229	285.87	structure	contour	ST2037
PT4950	885529.269644	134910.842584	285.867487	285.87	structure	contour	ST2037

PT	X (est)	Y (nord)	Z (alti)	Z (alti)	élément	type de point	identifiant
PT4951	885528.826777	134910.171669	285.881167	285.88	structure	contour	ST2037
PT4952	885528.574141	134910.338447	285.886794	285.89	structure	contour	ST2037
PT4953	885526.423508	134908.733009	285.905720	285.91	structure	contour	ST2038
PT4954	885527.196874	134908.805437	285.898980	285.9	structure	contour	ST2038
PT4955	885527.228579	134908.613530	285.897387	285.9	structure	contour	ST2038
PT4956	885526.445294	134908.519179	285.890416	285.89	structure	contour	ST2038
PT4957	885525.132976	134906.122774	285.878000	285.88	structure	contour	ST2040
PT4958	885525.638731	134905.822019	285.897200	285.9	structure	contour	ST2040
PT4959	885525.511965	134905.630781	285.892190	285.89	structure	contour	ST2040
PT4960	885525.045683	134905.950358	285.894547	285.89	structure	contour	ST2040
PT4961	885523.113648	134903.417746	285.900406	285.9	structure	contour	ST2041
PT4962	885523.484396	134903.125625	285.887600	285.89	structure	contour	ST2041
PT4963	885523.303729	134902.748863	285.907702	285.91	structure	contour	ST2041
PT4964	885522.870545	134903.107515	285.910811	285.91	structure	contour	ST2041
PT4965	885521.877640	134909.488161	285.830476	285.83	structure	contour	ST2044
PT4966	885522.113395	134909.135371	285.798329	285.8	structure	contour	ST2044
PT4967	885521.962979	134908.958847	285.805449	285.81	structure	contour	ST2044
PT4968	885521.644393	134909.192909	285.812940	285.81	structure	contour	ST2044
PT4969	885520.427337	134908.939396	285.816931	285.82	structure	contour	ST2043
PT4970	885520.688996	134908.638670	285.796911	285.8	structure	contour	ST2043
PT4971	885520.496604	134908.485229	285.807148	285.81	structure	contour	ST2043
PT4972	885520.273682	134908.675373	285.814815	285.81	structure	contour	ST2043
PT4973	885518.158973	134907.219429	285.821828	285.82	structure	contour	ST2042
PT4974	885518.842945	134906.844032	285.822686	285.82	structure	contour	ST2042
PT4975	885518.509781	134906.501405	285.836732	285.84	structure	contour	ST2042
PT4976	885517.893192	134906.836565	285.825242	285.83	structure	contour	ST2042
PT4977	885521.320997	134912.430950	285.814371	285.81	structure	contour	ST2045
PT4978	885521.919135	134912.155588	285.837342	285.84	structure	contour	ST2045
PT4979	885521.760157	134911.877410	285.842006	285.84	structure	contour	ST2045
PT4980	885521.258800	134912.145312	285.819032	285.82	structure	contour	ST2045
PT4981	885519.685189	134865.388821	286.109262	286.11	structure	contour	ST2202
PT4982	885519.866635	134865.179419	286.109419	286.11	structure	contour	ST2202
PT4983	885520.169345	134865.339024	286.103383	286.1	structure	contour	ST2202
PT4984	885519.917169	134865.577032	286.085032	286.09	structure	contour	ST2202
PT4985	885519.803291	134865.369674	285.992545	285.99	structure	contour fond	ST2202
PT4986	885520.016647	134865.387535	285.999864	286	structure	contour fond	ST2202
PT4987	885519.874089	134865.449393	285.974540	285.97	structure	fond	ST2202
PT4988	885516.978489	134866.450840	286.077375	286.08	structure	clou coupe	ST2204
PT4989	885518.045830	134866.508503	286.094460	286.09	structure	clou coupe	ST2204
PT4990	885499.980457	134849.095768	285.797242	285.8	structure	clou coupe	ST2326
PT4991	885498.809128	134848.463586	285.827667	285.83	structure	clou coupe	ST2326
PT4992	885490.280880	134872.317427	285.657757	285.66	structure	clou coupe	ST2329
PT4993	885488.603040	134871.978204	285.649743	285.65	structure	clou coupe	ST2329
PT4994	885492.069343	134873.078711	285.791301	285.79	structure	clou coupe	ST2330
PT4995	885490.908362	134872.869973	285.784161	285.78	structure	clou coupe	ST2330
PT4996	885492.702007	134872.900478	285.962527	285.96	structure	clou coupe	ST2331
PT4997	885492.349984	134872.911085	285.957932	285.96	structure	clou coupe	ST2331
PT4998	885492.701414	134876.936768	285.814403	285.81	structure	clou coupe	ST2071
PT4999	885490.669855	134876.912286	285.808304	285.81	structure	clou coupe	ST2071
PT5000	885504.893207	134923.607303	285.814526	285.81	structure	contour	ST2280
PT5001	885504.751412	134923.895883	285.821369	285.82	structure	contour	ST2280
PT5002	885505.065567	134924.038481	285.793193	285.79	structure	contour	ST2280
PT5003	885505.183678	134923.698825	285.776402	285.78	structure	contour	ST2280
PT5004	885504.988364	134923.801849	285.740965	285.74	structure	fond	ST2280
PT5005	885506.171963	134928.181735	285.783272	285.78	structure	contour	ST2282
PT5006	885505.810880	134928.663560	285.800571	285.8	structure	contour	ST2282
PT5007	885506.174766	134929.044087	285.772901	285.77	structure	contour	ST2282
PT5008	885506.613353	134928.713846	285.799771	285.8	structure	contour	ST2282
PT5009	885506.226543	134928.687762	285.745313	285.75	structure	fond	ST2282
PT5010	885508.675080	134929.185080	285.763913	285.76	structure	contour	ST2281
PT5011	885508.228269	134929.576030	285.770235	285.77	structure	contour	ST2281
PT5012	885508.596159	134930.046471	285.763656	285.76	structure	contour	ST2281
PT5013	885509.056990	134929.637144	285.763631	285.76	structure	contour	ST2281
PT5014	885508.649347	134929.622453	285.727276	285.73	structure	fond	ST2281
PT5015	885480.082213	134870.679032	285.613215	285.61	structure	contour fond	ST2080
PT5016	885480.088085	134871.074039	285.650928	285.65	structure	contour fond	ST2080

Annexe 4 - Le Clos de Roque, Saint-Maximin-la-Sainte-Baume (83). Inventaire des points topographiques.



PT	X (est)	Y (nord)	Z (alti)	Z (alti)	élément	type de point	identifiant
PT5017	885480.312020	134871.416056	285.669361	285.67	structure	contour fond	ST2080
PT5018	885480.714579	134871.571482	285.725602	285.73	structure	contour fond	ST2080
PT5019	885481.222413	134871.521509	285.730582	285.73	structure	contour fond	ST2080
PT5020	885481.521937	134871.306693	285.691618	285.69	structure	contour fond	ST2080
PT5021	885481.673779	134871.004156	285.679864	285.68	structure	contour fond	ST2080
PT5022	885481.708538	134870.762767	285.680297	285.68	structure	contour fond	ST2080
PT5023	885481.020190	134870.526780	285.471834	285.47	structure	fond	ST2080
PT5024	885494.489303	134878.489935	286.145925	286.15	structure	clou carroyage	ST2069
PT5025	885495.475277	134878.531380	286.142141	286.14	structure	clou carroyage	ST2069
PT5026	885495.508947	134877.537333	286.118100	286.12	structure	clou carroyage	ST2069
PT5027	885494.518611	134877.481671	286.117711	286.12	structure	clou carroyage	ST2069
PT5028	885494.672600	134878.043786	286.128472	286.13	structure	contour	ST2069
PT5029	885494.822158	134878.331594	286.128436	286.13	structure	contour	ST2069
PT5030	885495.082280	134878.382219	286.133985	286.13	structure	contour	ST2069
PT5031	885495.309943	134878.064877	286.131190	286.13	structure	contour	ST2069
PT5032	885495.170822	134877.738689	286.127169	286.13	structure	contour	ST2069
PT5033	885494.772127	134877.795310	286.134982	286.13	structure	contour	ST2069
PT5034	885499.020676	134874.962769	286.043437	286.04	structure	clou carroyage	ST2068
PT5035	885498.943593	134873.965015	286.079536	286.08	structure	clou carroyage	ST2068
PT5036	885497.928133	134874.037332	286.085472	286.09	structure	clou carroyage	ST2068
PT5037	885498.021523	134875.028154	286.052042	286.05	structure	clou carroyage	ST2068
PT5038	885497.995765	134874.513128	286.062714	286.06	structure	contour	ST2068
PT5039	885498.299837	134874.890825	286.051752	286.05	structure	contour	ST2068
PT5040	885498.774601	134874.752624	286.056157	286.06	structure	contour	ST2068
PT5041	885498.899973	134874.314366	286.067787	286.07	structure	contour	ST2068
PT5042	885498.525648	134873.985969	286.072685	286.07	structure	contour	ST2068
PT5043	885498.153587	134874.100872	286.077693	286.08	structure	contour	ST2068
PT5044	885497.988542	134874.479338	286.074574	286.07	structure	contour	ST2068
PT5045	885517.470273	134866.602769	286.109806	286.11	structure	contour	ST2204
PT5046	885517.256985	134866.425727	286.050409	286.05	structure	contour	ST2204
PT5047	885517.451531	134866.237538	286.097901	286.1	structure	contour	ST2204
PT5048	885517.696437	134866.431652	286.107665	286.11	structure	contour	ST2204
PT5049	885517.432920	134866.560512	286.004969	286	structure	contour fond	ST2204
PT5050	885517.304260	134866.443747	286.006833	286.01	structure	contour fond	ST2204
PT5051	885517.453553	134866.371401	286.009689	286.01	structure	contour fond	ST2204
PT5052	885517.602743	134866.444613	286.028496	286.03	structure	contour fond	ST2204
PT5053	885517.440695	134866.444518	286.011684	286.01	structure	fond	ST2204
PT5054	885513.027817	134875.610978	286.115280	286.12	structure	clou carroyage	ST2206
PT5055	885512.771071	134874.623218	286.121431	286.12	structure	clou carroyage	ST2206
PT5056	885513.811092	134874.363667	286.114113	286.11	structure	clou carroyage	ST2206
PT5057	885514.028639	134875.385209	286.108528	286.11	structure	clou carroyage	ST2206
PT5058	885512.902860	134875.326318	286.081739	286.08	structure	clou coupe	ST2206
PT5059	885514.091055	134874.783671	286.100428	286.1	structure	clou coupe	ST2206
PT5060	885535.012546	134855.163908	286.327060	286.33	structure	clou coupe	ST2209
PT5061	885533.470740	134856.624610	286.327253	286.33	structure	clou coupe	ST2209
PT5062	885534.058378	134854.797505	286.379111	286.38	structure	clou coupe	ST2209
PT5063	885534.394754	134856.943445	286.373188	286.37	structure	clou coupe	ST2209
PT5064	885533.696635	134856.528437	286.267669	286.27	structure	contour	ST2209
PT5065	885534.354915	134856.785340	286.304330	286.3	structure	contour	ST2209
PT5066	885534.898135	134856.388611	286.321851	286.32	structure	contour	ST2209
PT5067	885534.944837	134855.286789	286.316378	286.32	structure	contour	ST2209
PT5068	885534.670834	134854.993637	286.320129	286.32	structure	contour	ST2209
PT5069	885533.950345	134854.998605	286.321967	286.32	structure	contour	ST2209
PT5070	885533.361242	134855.461095	286.272627	286.27	structure	contour	ST2209
PT5071	885533.712393	134855.715868	285.705586	285.71	structure	contour	ST2209
PT5072	885533.809402	134856.384020	285.713508	285.71	structure	contour	ST2209
PT5073	885534.156818	134856.535978	285.737351	285.74	structure	contour	ST2209
PT5074	885534.453293	134856.333237	285.665671	285.67	structure	contour	ST2209
PT5075	885534.677287	134856.398263	285.638522	285.64	structure	contour	ST2209
PT5076	885534.937840	134856.075496	285.634536	285.63	structure	contour	ST2209
PT5077	885534.995961	134855.617152	285.600311	285.6	structure	contour	ST2209
PT5078	885534.732050	134855.167574	285.570014	285.57	structure	contour	ST2209
PT5079	885534.095865	134855.123630	285.642230	285.64	structure	contour	ST2209
PT5080	885533.917386	134855.454730	285.670344	285.67	structure	contour	ST2209
PT5081	885534.264560	134855.837766	285.654760	285.65	structure	contour	ST2209
PT5082	885478.092312	134863.456623	285.911125	285.91	structure	contour	ST2081

PT	X (est)	Y (nord)	Z (alti)	Z (alti)	élément	type de point	identifiant
PT5083	885478.026672	134863.182700	285.888842	285.89	structure	contour	ST2081
PT5084	885478.186787	134862.922790	285.896611	285.9	structure	contour	ST2081
PT5085	885478.495031	134862.885537	285.922037	285.92	structure	contour	ST2081
PT5086	885478.723439	134863.043152	285.929855	285.93	structure	contour	ST2081
PT5087	885478.844263	134863.180175	285.933235	285.93	structure	contour	ST2081
PT5088	885478.888295	134863.455737	285.926948	285.93	structure	contour	ST2081
PT5089	885478.452307	134863.506562	285.848687	285.85	structure	fond	ST2081
PT5090	885475.326165	134857.282757	285.762322	285.76	structure	contour	ST2083
PT5091	885475.429036	134856.883619	285.791807	285.79	structure	contour	ST2083
PT5092	885475.757018	134856.631547	285.816998	285.82	structure	contour	ST2083
PT5093	885476.095057	134856.671903	285.804973	285.8	structure	contour	ST2083
PT5094	885476.447578	134856.885692	285.786265	285.79	structure	contour	ST2083
PT5095	885476.396247	134857.258540	285.774196	285.77	structure	contour	ST2083
PT5096	885475.975953	134857.297055	285.731838	285.73	structure	fond	ST2083
PT5097	885500.398442	134865.278500	285.686511	285.69	prélèvement	PR118	ST2088
PT5098	885505.743047	134860.355030	286.166887	286.17	structure	contour	ST2247
PT5099	885505.502990	134860.054849	286.173267	286.17	structure	contour	ST2247
PT5100	885505.131722	134859.972546	286.147094	286.15	structure	contour	ST2247
PT5101	885504.793216	134860.021804	286.157940	286.16	structure	contour	ST2247
PT5102	885504.556936	134860.241067	286.174861	286.17	structure	contour	ST2247
PT5103	885504.306607	134860.558598	286.171276	286.17	structure	contour	ST2247
PT5104	885504.506231	134860.549333	286.053020	286.05	structure	contour	ST2247
PT5105	885504.763743	134860.163664	286.033253	286.03	structure	contour	ST2247
PT5106	885504.998515	134860.066813	286.038174	286.04	structure	contour	ST2247
PT5107	885505.237529	134860.147259	285.954262	285.95	structure	contour	ST2247
PT5108	885505.629572	134860.526422	285.953785	285.95	structure	contour	ST2247
PT5109	885504.541582	134860.589983	285.274459	285.27	structure	contour	ST2247
PT5110	885504.738485	134860.234736	285.274333	285.27	structure	contour	ST2247
PT5111	885505.169208	134860.148544	285.300476	285.3	structure	contour	ST2247
PT5112	885505.557927	134860.506930	285.297253	285.3	structure	contour	ST2247
PT5113	885505.085266	134860.428389	285.310624	285.31	structure	contour	ST2247
PT5114	885501.027442	134865.362877	286.047863	286.05	structure	contour	ST2088
PT5115	885500.749924	134864.946822	286.045636	286.05	structure	contour	ST2088
PT5116	885500.354877	134864.765825	286.066406	286.07	structure	contour	ST2088
PT5117	885499.937946	134865.094549	286.063047	286.06	structure	contour	ST2088
PT5118	885499.780947	134865.527108	286.069496	286.07	structure	contour	ST2088
PT5119	885500.077498	134865.490834	285.655624	285.66	structure	contour	ST2088
PT5120	885500.136444	134865.062438	285.652087	285.65	structure	contour	ST2088
PT5121	885500.615278	134864.962941	285.644237	285.64	structure	contour	ST2088
PT5122	885500.871771	134865.427690	285.620881	285.62	structure	contour	ST2088
PT5123	885500.500463	134865.445787	285.623907	285.62	structure	contour	ST2088
PT5124	885556.863077	134872.178294	285.714638	285.71	prélèvement	base p107	ST2096
PT5125	885487.751807	134868.122781	286.100575	286.1	structure	contour fond	ST2078
PT5126	885488.179042	134868.542805	286.133205	286.13	structure	contour fond	ST2078
PT5127	885488.520289	134868.676398	286.128737	286.13	structure	contour fond	ST2078
PT5128	885489.086749	134868.471218	286.141818	286.14	structure	contour fond	ST2078
PT5129	885489.397210	134867.891482	286.147192	286.15	structure	contour fond	ST2078
PT5130	885488.264881	134868.203002	285.796833	285.8	structure	contour fond	ST2078
PT5131	885488.567181	134868.303361	285.799433	285.8	structure	contour fond	ST2078
PT5132	885489.087753	134867.785658	285.863974	285.86	structure	contour fond	ST2078
PT5133	885488.599537	134867.978011	285.792716	285.79	structure	contour fond	ST2078
PT5134	885485.642640	134853.540718	285.707753	285.71	structure	contour	ST2084
PT5135	885485.853993	134853.056222	285.718705	285.72	structure	contour	ST2084
PT5136	885486.313886	134853.032907	285.727750	285.73	structure	contour	ST2084
PT5137	885486.698258	134853.499585	285.715722	285.72	structure	contour	ST2084
PT5138	885500.705978	134867.444823	285.656418	285.66	prélèvement		PR123
PT5139	885494.020523	134878.104373	286.128748	286.13	structure	contour	ST2070
PT5140	885494.294171	134878.662587	286.116750	286.12	structure	contour	ST2070
PT5141	885494.603214	134878.480924	286.146178	286.15	structure	contour	ST2070
PT5142	885494.328664	134877.960042	286.133140	286.13	structure	contour	ST2070
PT5143	885497.431232	134879.956654	286.101423	286.1	structure	contour	ST2064
PT5144	885497.377408	134880.358678	286.112927	286.11	structure	contour	ST2064
PT5145	885498.117643	134880.405793	286.134683	286.13	structure	contour	ST2064
PT5146	885498.229882	134880.050025	286.121548	286.12	structure	contour	ST2064
PT5147	885503.466243	134879.925179	286.145353	286.15	structure	contour	ST2019
PT5148	885503.748319	134880.895419	286.149560	286.15	structure	contour	ST2019

Annexe 4 - Le Clos de Roque, Saint-Maximin-la-Sainte-Baume (83). Inventaire des points topographiques.

PT	X (est)	Y (nord)	Z (alti)	Z (alti)	élément	type de point	identifiant
PT5149	885504.223978	134880.814714	286.160804	286.16	structure	contour	ST2019
PT5150	885503.854193	134879.808757	286.147477	286.15	structure	contour	ST2019
PT5151	885500.538583	134875.536515	286.112783	286.11	structure	contour	ST2065
PT5152	885500.936326	134875.491445	286.092503	286.09	structure	contour	ST2065
PT5153	885501.129902	134876.323497	286.102069	286.1	structure	contour	ST2065
PT5154	885500.782888	134876.405588	286.115486	286.12	structure	contour	ST2065
PT5155	885500.829918	134875.306181	286.120353	286.12	structure	point central	ST2332
PT5156	885500.343594	134874.829133	286.121773	286.12	structure	clou carroyage	ST2332
PT5157	885500.294204	134875.799355	286.115059	286.12	structure	clou carroyage	ST2332
PT5158	885501.287091	134875.867570	286.117030	286.12	structure	clou carroyage	ST2332
PT5159	885501.345053	134874.872988	286.105385	286.11	structure	clou carroyage	ST2332
PT5160	885500.482790	134875.250800	286.113069	286.11	structure	contour	ST2332
PT5161	885500.587613	134875.556761	286.108309	286.11	structure	contour	ST2332
PT5162	885500.936209	134875.490476	286.099151	286.1	structure	contour	ST2332
PT5163	885500.972313	134875.579327	286.091990	286.09	structure	contour	ST2332
PT5164	885501.124254	134875.338808	286.108489	286.11	structure	contour	ST2332
PT5165	885501.023845	134875.122475	286.107482	286.11	structure	contour	ST2332
PT5166	885500.804914	134875.032248	286.108075	286.11	structure	contour	ST2332
PT5167	885500.625743	134875.117693	286.116127	286.12	structure	contour	ST2332
PT5168	885503.618099	134872.081470	286.082108	286.08	structure	clou carroyage	ST2067
PT5169	885503.484825	134873.051567	286.094300	286.09	structure	clou carroyage	ST2067
PT5170	885504.463480	134873.206232	286.112481	286.11	structure	clou carroyage	ST2067
PT5171	885504.617608	134872.223041	286.101321	286.1	structure	clou carroyage	ST2067
PT5172	885503.639851	134872.555070	286.084661	286.08	structure	contour	ST2067
PT5173	885503.830852	134873.071191	286.076238	286.08	structure	contour	ST2067
PT5174	885504.148791	134873.241502	286.085875	286.09	structure	contour	ST2067
PT5175	885504.455946	134872.949570	286.093054	286.09	structure	contour	ST2067
PT5176	885504.492641	134872.518915	286.108432	286.11	structure	contour	ST2067
PT5177	885504.309854	134872.182073	286.069774	286.07	structure	contour	ST2067
PT5178	885503.674741	134872.321615	286.072265	286.07	structure	contour	ST2067
PT5179	885491.325348	134867.305710	285.635036	285.64	structure	contour fond	ST2076
PT5180	885491.549952	134867.005203	285.661365	285.66	structure	contour fond	ST2076
PT5181	885491.880933	134866.969579	285.663036	285.66	structure	contour fond	ST2076
PT5182	885492.310183	134867.338981	285.669466	285.67	structure	contour fond	ST2076
PT5183	885491.816874	134867.344943	285.576693	285.58	structure	fond	ST2076
PT5184	885513.600513	134875.282394	286.100184	286.1	structure	contour	ST2206
PT5185	885513.223710	134875.162070	286.081967	286.08	structure	contour	ST2206
PT5186	885513.459689	134874.832576	286.099240	286.1	structure	contour	ST2206
PT5187	885513.779170	134874.921821	286.089932	286.09	structure	contour	ST2206
PT5188	885513.669838	134874.996155	286.016302	286.02	structure	contour fond	ST2206
PT5189	885513.524247	134875.109258	285.979275	285.98	structure	contour fond	ST2206
PT5190	885513.383057	134875.077678	285.993388	285.99	structure	contour fond	ST2206
PT5191	885513.465102	134874.946425	285.978807	285.98	structure	contour fond	ST2206
PT5192	885513.491991	134875.040415	285.979717	285.98	structure	fond	ST2206
PT5193	885521.663316	134867.006352	286.099000	286.1	structure	clou carroyage	ST2199
PT5194	885521.275252	134865.106125	286.101802	286.1	structure	clou carroyage	ST2199
PT5195	885522.703780	134864.839982	286.098310	286.1	structure	clou carroyage	ST2199
PT5196	885523.124448	134866.768034	286.090951	286.09	structure	clou carroyage	ST2199
PT5197	885521.298312	134865.897972	286.126040	286.13	structure	clou coupe	ST2199
PT5198	885523.195726	134865.599447	286.110566	286.11	structure	clou coupe	ST2199
PT5199	885490.917811	134854.969494	286.165473	286.17	structure	clou coupe	ST2093
PT5200	885494.048447	134854.630340	286.174116	286.17	structure	clou coupe	ST2093
PT5201	885492.169469	134853.886402	286.229059	286.23	structure	clou coupe	ST2093
PT5202	885492.610841	134856.110595	286.207344	286.21	structure	clou coupe	ST2093
PT5203	885493.853321	134855.186481	286.087594	286.09	structure	contour	ST2093
PT5204	885494.027300	134854.861097	286.126910	286.13	structure	contour	ST2093
PT5205	885493.817155	134854.399913	286.150953	286.15	structure	contour	ST2093
PT5206	885493.003261	134853.982259	286.154105	286.15	structure	contour	ST2093
PT5207	885492.756753	134853.693506	286.161882	286.16	structure	contour	ST2093
PT5208	885492.311797	134853.927380	286.183915	286.18	structure	contour	ST2093
PT5209	885491.776999	134854.052545	286.161007	286.16	structure	contour	ST2093
PT5210	885491.345021	134854.394803	286.126229	286.13	structure	contour	ST2093
PT5211	885491.057923	134854.908369	286.117077	286.12	structure	contour	ST2093
PT5212	885491.613450	134855.223187	286.108267	286.11	structure	contour	ST2093
PT5213	885491.759579	134855.677312	286.090327	286.09	structure	contour	ST2093
PT5214	885491.899706	134856.096829	286.006329	286.01	structure	contour	ST2093

PT	X (est)	Y (nord)	Z (alti)	Z (alti)	élément	type de point	identifiant
PT5215	885492.835847	134856.033129	285.987970	285.99	structure	contour	ST2093
PT5216	885493.530299	134855.468569	286.074289	286.07	structure	contour	ST2093
PT5217	885493.784478	134855.120866	286.028311	286.03	structure	contour	ST2093
PT5218	885493.542968	134854.794761	285.999476	286	structure	contour	ST2093
PT5219	885493.536257	134854.368991	286.045063	286.05	structure	contour	ST2093
PT5220	885492.498601	134854.003924	285.952707	285.95	structure	contour	ST2093
PT5221	885492.962201	134854.078546	286.070899	286.07	structure	contour	ST2093
PT5222	885493.204871	134854.551420	286.041488	286.04	structure	contour	ST2093
PT5223	885492.815916	134854.932099	286.071822	286.07	structure	contour	ST2093
PT5224	885492.959008	134855.564725	286.003746	286	structure	contour	ST2093
PT5225	885492.697575	134855.852615	285.977449	285.98	structure	contour	ST2093
PT5226	885492.433149	134855.869419	285.973391	285.97	structure	contour	ST2093
PT5227	885492.009203	134855.134689	285.954376	285.95	structure	contour	ST2093
PT5228	885492.329289	134854.684479	285.945839	285.95	structure	contour	ST2093
PT5229	885491.487235	134855.114774	286.045823	286.05	structure	contour	ST2093
PT5230	885491.459720	134854.884604	285.947909	285.95	structure	contour	ST2093
PT5231	885491.439311	134854.606490	286.004030	286	structure	contour	ST2093
PT5232	885493.799937	134855.034032	285.915128	285.92	structure	contour fond	ST2093
PT5233	885493.895475	134854.871211	285.881041	285.88	structure	contour fond	ST2093
PT5234	885493.714929	134854.481290	285.968969	285.97	structure	contour fond	ST2093
PT5235	885493.570744	134854.667379	285.938283	285.94	structure	contour fond	ST2093
PT5236	885493.785613	134854.816466	285.873371	285.87	structure	contour fond	ST2093
PT5237	885492.548225	134854.581712	285.850896	285.85	structure	contour fond	ST2093
PT5238	885492.872183	134854.487855	285.836300	285.84	structure	contour fond	ST2093
PT5239	885492.882695	134854.224573	285.835311	285.84	structure	contour fond	ST2093
PT5240	885492.381998	134854.061076	285.907949	285.91	structure	contour fond	ST2093
PT5241	885492.107626	134854.043798	285.811374	285.81	structure	contour fond	ST2093
PT5242	885491.730817	134854.209435	285.830137	285.83	structure	contour fond	ST2093
PT5243	885491.496368	134854.405289	285.850083	285.85	structure	contour fond	ST2093
PT5244	885491.722032	134854.913149	285.811690	285.81	structure	contour fond	ST2093
PT5245	885492.210852	134854.623565	285.836775	285.84	structure	contour fond	ST2093
PT5246	885492.594194	134854.369136	285.803375	285.8	structure	contour fond	ST2093
PT5247	885492.130855	134854.324411	285.869472	285.87	structure	contour fond	ST2093
PT5248	885491.744960	134854.622250	285.832998	285.83	structure	contour fond	ST2093
PT5249	885492.422285	134855.040467	285.825758	285.83	structure	contour fond	ST2093
PT5250	885492.600040	134855.554386	285.847413	285.85	structure	contour fond	ST2093
PT5251	885485.644806	134853.552098	285.512462	285.51	structure	contour fond	ST2084
PT5252	885485.955951	134853.072517	285.505999	285.51	structure	contour fond	ST2084
PT5253	885486.476742	134853.136752	285.505556	285.51	structure	contour fond	ST2084
PT5254	885486.685738	134853.530595	285.540089	285.54	structure	contour fond	ST2084
PT5255	885486.240615	134853.569462	285.461897	285.46	prélèvement	p125	ST2084
PT5256	885488.635882	134871.869884	285.639054	285.64	structure	contour	ST2329
PT5257	885488.855926	134871.565399	285.630136	285.63	structure	contour	ST2329
PT5258	885489.213657	134871.317504	285.621573	285.62	structure	contour	ST2329
PT5259	885489.698958	134871.328632	285.611282	285.61	structure	contour	ST2329
PT5260	885490.085474	134871.631499	285.612608	285.61	structure	contour	ST2329
PT5261	885490.225498	134872.021774	285.610968	285.61	structure	contour	ST2329
PT5262	885490.174819	134872.259002	285.604990	285.6	structure	contour	ST2329
PT5263	885489.429356	134872.170378	285.384082	285.38	structure	fond	ST2329
PT5264	885500.038851	134867.373364	285.983404	285.98	structure	contour	ST2327
PT5265	885500.291115	134867.658542	286.017020	286.02	structure	contour	ST2327
PT5266	885500.660498	134867.770311	286.006760	286.01	structure	contour	ST2327
PT5267	885501.033512	134867.672247	286.012201	286.01	structure	contour	ST2327
PT5268	885501.222955	134867.338552	285.973461	285.97	structure	contour	ST2327
PT5269	885501.050201	134867.337307	285.553528	285.55	structure	contour	ST2327
PT5270	885500.899466	134867.613123	285.582522	285.58	structure	contour	ST2327
PT5271	885500.558484	134867.618217	285.577216	285.58	structure	contour	ST2327
PT5272	885500.299385	134867.411920	285.598053	285.6	structure	contour	ST2327
PT5273	885500.706282	134867.353322	285.523472	285.52	structure	contour	ST2327
PT5274	885509.248983	134879.518614	286.177540	286.18	structure	clou carroyage	ST2242
PT5275	885509.333089	134880.493125	286.186477	286.19	structure	clou carroyage	ST2242
PT5276	885510.327318	134880.408146	286.152567	286.15	structure	clou carroyage	ST2242
PT5277	885510.233000	134879.417739	286.146058	286.15	structure	clou carroyage	ST2242
PT5278	885509.313225	134879.945784	286.181043	286.18	structure	contour	ST2242
PT5279	885509.619448	134880.346408	286.159901	286.16	structure	contour	ST2242
PT5280	885510.019625	134880.494957	286.161176	286.16	structure	contour	ST2242



PT	X (est)	Y (nord)	Z (alti)	Z (alti)	élément	type de point	identifiant
PT5281	885510.441482	134879.965189	286.135681	286.14	structure	contour	ST2242
PT5282	885510.196754	134879.601807	286.149764	286.15	structure	contour	ST2242
PT5283	885509.673101	134879.588049	286.166266	286.17	structure	contour	ST2242
PT5284	885507.959825	134881.157094	286.206005	286.21	structure	clou carroyage	ST2309
PT5285	885507.976780	134881.683533	286.170544	286.17	structure	clou carroyage	ST2309
PT5286	885508.486686	134881.642941	286.179813	286.18	structure	clou carroyage	ST2309
PT5287	885508.449950	134881.152974	286.179533	286.18	structure	clou carroyage	ST2309
PT5288	885508.050942	134881.458306	286.189904	286.19	structure	contour	ST2309
PT5289	885508.242525	134881.611154	286.179983	286.18	structure	contour	ST2309
PT5290	885508.372735	134881.401971	286.185349	286.19	structure	contour	ST2309
PT5291	885508.170195	134881.247791	286.190012	286.19	structure	contour	ST2309
PT5292	885490.779698	134872.789763	285.720954	285.72	structure	contour	ST2330
PT5293	885490.853832	134872.176263	285.743607	285.74	structure	contour	ST2330
PT5294	885491.399010	134872.121846	285.754202	285.75	structure	contour	ST2330
PT5295	885491.818281	134872.442144	285.725571	285.73	structure	contour	ST2330
PT5296	885491.885994	134872.981306	285.692425	285.69	structure	contour	ST2330
PT5297	885491.378474	134873.018431	285.599129	285.6	structure	fond	ST2330
PT5298	885497.666774	134894.640150	285.883890	285.88	structure	contour	ST2308
PT5299	885498.030228	134894.906184	285.898744	285.9	structure	contour	ST2308
PT5300	885498.182791	134894.565693	285.902376	285.9	structure	contour	ST2308
PT5301	885497.791683	134894.399220	285.890578	285.89	structure	contour	ST2308
PT5302	885497.873249	134894.477217	285.781402	285.78	structure	contour	ST2308
PT5303	885497.708983	134894.688202	285.811530	285.81	structure	contour	ST2308
PT5304	885498.001684	134894.855980	285.804520	285.8	structure	contour	ST2308
PT5305	885498.119836	134894.574112	285.793186	285.79	structure	contour	ST2308
PT5306	885497.922777	134894.657816	285.798447	285.8	structure	fond	ST2308
PT5307	885499.550118	134895.254271	285.943657	285.94	structure	clou coupe	ST2304
PT5308	885500.617931	134894.983051	285.956391	285.96	structure	clou coupe	ST2304
PT5309	885500.130877	134894.843882	285.934672	285.93	structure	contour	ST2304
PT5310	885499.833568	134895.178858	285.930892	285.93	structure	contour	ST2304
PT5311	885500.269109	134895.490234	285.945252	285.95	structure	contour	ST2304
PT5312	885500.635592	134895.048848	285.955193	285.96	structure	contour	ST2304
PT5313	885500.373290	134895.164111	285.834515	285.83	structure	contour	ST2304
PT5314	885500.175326	134895.025769	285.812469	285.81	structure	contour	ST2304
PT5315	885500.175790	134895.236543	285.803055	285.8	structure	contour	ST2304
PT5316	885500.193976	134895.156912	285.779412	285.78	structure	fond	ST2304
PT5317	885500.137497	134895.082314	285.813944	285.81	prélèvement	p126	ST2304
PT5318	885497.977829	134894.600708	285.814072	285.81	prélèvement	p119	ST2308
PT5319	885508.948785	134882.755492	286.138325	286.14	structure	clou carroyage	ST2310
PT5320	885509.285722	134885.740995	286.093911	286.09	structure	clou carroyage	ST2310
PT5321	885512.261815	134885.356606	286.037506	286.04	structure	clou carroyage	ST2310
PT5322	885511.936996	134882.402304	286.128266	286.13	structure	clou carroyage	ST2310
PT5323	885510.234065	134882.714378	286.128078	286.13	structure	contour	ST2310
PT5324	885509.440553	134883.081509	286.107344	286.11	structure	contour	ST2310
PT5325	885509.025403	134883.610020	286.112458	286.11	structure	contour	ST2310
PT5326	885509.187965	134884.276576	286.110306	286.11	structure	contour	ST2310
PT5327	885509.806258	134884.958403	286.081986	286.08	structure	contour	ST2310
PT5328	885510.811145	134885.044312	286.068369	286.07	structure	contour	ST2310
PT5329	885511.181852	134884.330610	286.069121	286.07	structure	contour	ST2310
PT5330	885510.892932	134883.414740	286.072117	286.07	structure	contour	ST2310
PT5331	885506.676730	134884.617288	286.023895	286.02	structure	clou carroyage	ST2241
PT5332	885506.991950	134886.599094	285.991925	285.99	structure	clou carroyage	ST2241
PT5333	885508.976968	134886.252126	286.000530	286	structure	clou carroyage	ST2241
PT5334	885508.646539	134884.291478	286.107437	286.11	structure	clou carroyage	ST2241
PT5335	885507.558058	134884.487161	286.019249	286.02	structure	contour	ST2241
PT5336	885506.907673	134885.070950	285.993417	285.99	structure	contour	ST2241
PT5337	885507.059844	134885.925984	285.980885	285.98	structure	contour	ST2241
PT5338	885507.960995	134886.374508	285.990822	285.99	structure	contour	ST2241
PT5339	885508.769517	134885.797694	285.980399	285.98	structure	contour	ST2241
PT5340	885508.753546	134885.195527	285.991258	285.99	structure	contour	ST2241
PT5341	885508.563336	134886.448390	286.030088	286.03	structure	clou carroyage	ST2240
PT5342	885507.604142	134886.631751	285.989544	285.99	structure	clou carroyage	ST2240
PT5343	885507.785185	134887.617940	286.007968	286.01	structure	clou carroyage	ST2240
PT5344	885508.763714	134887.448772	286.014192	286.01	structure	clou carroyage	ST2240
PT5345	885508.064906	134886.584758	286.008405	286.01	structure	contour	ST2240
PT5346	885507.754554	134886.802785	285.986742	285.99	structure	contour	ST2240

PT	X (est)	Y (nord)	Z (alti)	Z (alti)	élément	type de point	identifiant
PT5347	885507.711704	134887.228066	285.996878	286	structure	contour	ST2240
PT5348	885508.137886	134887.561654	286.014258	286.01	structure	contour	ST2240
PT5349	885508.569094	134887.270440	286.015838	286.02	structure	contour	ST2240
PT5350	885508.622857	134886.887616	286.012086	286.01	structure	contour	ST2240
PT5351	885508.390677	134886.580472	286.006648	286.01	structure	contour	ST2240
PT5352	885494.386988	134883.411630	286.068569	286.07	structure	clou carroyage	ST2017
PT5353	885494.530799	134884.403061	286.048368	286.05	structure	clou carroyage	ST2017
PT5354	885495.524185	134884.245941	286.027590	286.03	structure	clou carroyage	ST2017
PT5355	885495.374972	134883.251144	286.088542	286.09	structure	clou carroyage	ST2017
PT5356	885494.861207	134883.549571	286.050015	286.05	structure	contour	ST2017
PT5357	885494.688371	134883.891530	286.036802	286.04	structure	contour	ST2017
PT5358	885495.069540	134884.048035	286.030832	286.03	structure	contour	ST2017
PT5359	885495.234706	134883.730606	286.036779	286.04	structure	contour	ST2017
PT5360	885494.290512	134876.362164	285.912338	285.91	structure	clou coupe	ST2072
PT5361	885493.108981	134876.483292	285.911315	285.91	structure	clou coupe	ST2072
PT5362	885504.189584	134888.781109	285.990335	285.99	structure	clou carroyage	ST2018
PT5363	885503.729279	134888.955479	285.989595	285.99	structure	clou carroyage	ST2018
PT5364	885503.921595	134889.409500	285.995430	286	structure	clou carroyage	ST2018
PT5365	885504.369159	134889.232753	286.003530	286	structure	clou carroyage	ST2018
PT5366	885503.969932	134888.837760	285.994077	285.99	structure	contour	ST2018
PT5367	885503.880262	134889.092915	285.998738	286	structure	contour	ST2018
PT5368	885504.121796	134889.182105	285.988508	285.99	structure	contour	ST2018
PT5369	885504.164484	134888.948599	285.995556	286	structure	contour	ST2018
PT5370	885502.125474	134890.553001	285.966536	285.97	structure	clou carroyage	ST2307
PT5371	885502.387379	134891.534152	285.984776	285.98	structure	clou carroyage	ST2307
PT5372	885503.362287	134891.288782	285.940106	285.94	structure	clou carroyage	ST2307
PT5373	885503.122540	134890.316666	285.959757	285.96	structure	clou carroyage	ST2307
PT5374	885502.452470	134890.505839	285.956308	285.96	structure	contour	ST2307
PT5375	885502.307117	134890.834875	285.960872	285.96	structure	contour	ST2307
PT5376	885502.586125	134890.977387	285.950625	285.95	structure	contour	ST2307
PT5377	885502.728340	134890.719704	285.946103	285.95	structure	contour	ST2307
PT5378	885494.575734	134878.105013	285.914093	285.91	structure	clou coupe	ST2069
PT5379	885495.475409	134877.961666	285.913114	285.91	structure	clou coupe	ST2069
PT5380	885509.783300	134889.300828	286.020291	286.02	structure	clou carroyage	ST2238
PT5381	885508.820356	134889.333104	286.032200	286.03	structure	clou carroyage	ST2238
PT5382	885508.812689	134890.319420	285.984139	285.98	structure	clou carroyage	ST2238
PT5383	885509.813578	134890.297317	286.009242	286.01	structure	clou carroyage	ST2238
PT5384	885509.231051	134889.429197	285.986114	285.99	structure	contour	ST2238
PT5385	885508.763575	134889.920509	285.966868	285.97	structure	contour	ST2238
PT5386	885509.264103	134890.323246	285.985805	285.99	structure	contour	ST2238
PT5387	885509.685793	134889.757075	285.986688	285.99	structure	contour	ST2238
PT5388	885510.486353	134891.063189	285.997617	286	structure	clou carroyage	ST2237
PT5389	885509.501208	134891.100340	285.986540	285.99	structure	clou carroyage	ST2237
PT5390	885509.479581	134892.087338	285.980922	285.98	structure	clou carroyage	ST2237
PT5391	885510.504153	134892.072165	285.982402	285.98	structure	clou carroyage	ST2237
PT5392	885509.875790	134891.354872	285.970971	285.97	structure	contour	ST2237
PT5393	885509.533732	134891.750681	285.962582	285.96	structure	contour	ST2237
PT5394	885510.009861	134892.206640	285.961714	285.96	structure	contour	ST2237
PT5395	885510.413102	134891.701779	285.963870	285.96	structure	contour	ST2237
PT5396	885511.043894	134888.333560	285.995480	286	structure	clou carroyage	ST2239
PT5397	885510.984365	134888.828130	286.016739	286.02	structure	clou carroyage	ST2239
PT5398	885511.476325	134888.902675	285.994592	285.99	structure	clou carroyage	ST2239
PT5399	885511.537591	134888.388974	285.969043	285.97	structure	clou carroyage	ST2239
PT5400	885511.244201	134888.428811	285.968081	285.97	structure	contour	ST2239
PT5401	885511.003645	134888.592644	285.969798	285.97	structure	contour	ST2239
PT5402	885511.212937	134888.770923	285.940489	285.94	structure	contour	ST2239
PT5403	885511.348897	134888.605893	285.966037	285.97	structure	contour	ST2239
PT5404	885520.709235	134867.428758	286.108230	286.11	structure	clou carroyage	ST2201
PT5405	885520.490119	134866.429809	286.113388	286.11	structure	clou carroyage	ST2201
PT5406	885521.473145	134866.188271	286.131426	286.13	structure	clou carroyage	ST2201
PT5407	885521.659773	134867.168281	286.110617	286.11	structure	clou carroyage	ST2201
PT5408	885520.530730	134866.933687	286.098321	286.1	structure	clou coupe	ST2201
PT5409	885521.872291	134866.625428	286.110086	286.11	structure	clou coupe	ST2201
PT5410	885514.189839	134895.060858	285.923375	285.92	structure	clou carroyage	ST2236
PT5411	885513.208950	134895.295817	285.892873	285.89	structure	clou carroyage	ST2236
PT5412	885513.443751	134896.255665	285.904152	285.9	structure	clou carroyage	ST2236



PT	X (est)	Y (nord)	Z (alti)	Z (alti)	élément	type de point	identifiant
PT5413	885514.396374	134896.044009	285.920833	285.92	structure	clou carroyage	ST2236
PT5414	885513.744289	134895.362328	285.906427	285.91	structure	contour	ST2236
PT5415	885513.504931	134895.708626	285.903166	285.9	structure	contour	ST2236
PT5416	885513.848455	134895.946831	285.913001	285.91	structure	contour	ST2236
PT5417	885514.081057	134895.634820	285.917919	285.92	structure	contour	ST2236
PT5418	885517.032112	134882.528861	286.133249	286.13	structure	clou carroyage	ST2183
PT5419	885516.572018	134882.698926	286.116297	286.12	structure	clou carroyage	ST2183
PT5420	885516.723879	134883.180507	286.079068	286.08	structure	clou carroyage	ST2183
PT5421	885517.196781	134882.996295	286.102338	286.1	structure	clou carroyage	ST2183
PT5422	885516.806517	134882.666891	286.103967	286.1	structure	contour	ST2183
PT5423	885516.668473	134882.886636	286.099643	286.1	structure	contour	ST2183
PT5424	885516.847813	134883.001743	286.090892	286.09	structure	contour	ST2183
PT5425	885517.047705	134882.805842	286.086131	286.09	structure	contour	ST2183
PT5426	885517.193795	134886.342744	286.031539	286.03	structure	contour	ST2184
PT5427	885517.364915	134886.864022	286.027709	286.03	structure	contour	ST2184
PT5428	885518.134587	134886.277033	286.009722	286.01	structure	contour	ST2184
PT5429	885517.926143	134886.000654	286.004267	286	structure	contour	ST2184
PT5430	885521.571800	134891.875979	285.980713	285.98	structure	contour	ST2234
PT5431	885520.839316	134892.461415	285.981740	285.98	structure	contour	ST2234
PT5432	885520.967194	134892.810256	285.984352	285.98	structure	contour	ST2234
PT5433	885521.783009	134892.451325	285.955420	285.96	structure	contour	ST2234
PT5434	885521.499158	134898.782438	285.952474	285.95	structure	clou carroyage	ST2235
PT5435	885520.568899	134899.190800	285.938726	285.94	structure	clou carroyage	ST2235
PT5436	885520.958172	134900.067008	285.951667	285.95	structure	clou carroyage	ST2235
PT5437	885521.885397	134899.683129	285.952554	285.95	structure	clou carroyage	ST2235
PT5438	885521.076557	134899.021113	285.944793	285.94	structure	contour	ST2235
PT5439	885520.890503	134899.586202	285.917805	285.92	structure	contour	ST2235
PT5440	885521.415735	134899.864061	285.896941	285.9	structure	contour	ST2235
PT5441	885521.640100	134899.252516	285.918584	285.92	structure	contour	ST2235
PT5442	885525.370977	134893.322283	285.959659	285.96	structure	contour	ST2232
PT5443	885525.560262	134893.598388	285.951611	285.95	structure	contour	ST2232
PT5444	885525.018115	134893.888443	285.962550	285.96	structure	contour	ST2232
PT5445	885524.877738	134893.523465	285.971814	285.97	structure	contour	ST2232
PT5446	885525.518470	134892.171071	286.076466	286.08	structure	clou carroyage	ST2233
PT5447	885525.897425	134893.088774	286.028420	286.03	structure	clou carroyage	ST2233
PT5448	885526.838668	134892.690796	286.029524	286.03	structure	clou carroyage	ST2233
PT5449	885526.433005	134891.776406	286.078464	286.08	structure	clou carroyage	ST2233
PT5450	885525.938920	134892.073400	286.052304	286.05	structure	contour	ST2233
PT5451	885526.408534	134892.129124	286.057875	286.06	structure	contour	ST2233
PT5452	885526.655306	134892.517721	286.021682	286.02	structure	contour	ST2233
PT5453	885526.493903	134892.942195	286.012551	286.01	structure	contour	ST2233
PT5454	885526.067529	134892.830527	286.033810	286.03	structure	contour	ST2233
PT5455	885525.895824	134892.467149	286.050674	286.05	structure	contour	ST2233
PT5456	885510.298259	134883.763729	285.774689	285.77	structure	fond	ST2310
PT5457	885528.856567	134892.040129	286.002626	286	structure	clou carroyage	ST2176
PT5458	885527.880905	134892.306906	286.019403	286.02	structure	clou carroyage	ST2176
PT5459	885528.159821	134893.270693	285.989798	285.99	structure	clou carroyage	ST2176
PT5460	885529.130693	134893.001987	285.989393	285.99	structure	clou carroyage	ST2176
PT5461	885528.881903	134892.429324	285.995604	286	structure	contour	ST2176
PT5462	885528.445822	134892.284301	285.983431	285.98	structure	contour	ST2176
PT5463	885528.191382	134892.701234	286.002230	286	structure	contour	ST2176
PT5464	885528.689530	134892.958058	285.978919	285.98	structure	contour	ST2176
PT5465	885499.120699	134874.404275	285.882413	285.88	structure	clou coupe	ST2068
PT5466	885497.660040	134874.709476	285.892511	285.89	structure	clou coupe	ST2068
PT5467	885504.956053	134872.471006	285.885878	285.89	structure	clou coupe	ST2067
PT5468	885503.396971	134872.959789	285.890856	285.89	structure	clou coupe	ST2067
PT5469	885506.736801	134885.353380	285.881414	285.88	structure	clou coupe	ST2241
PT5470	885508.728735	134885.044022	285.877647	285.88	structure	clou coupe	ST2241
PT5471	885509.027954	134886.932365	285.788998	285.79	structure	clou coupe	ST2240
PT5472	885507.558147	134887.400697	285.776801	285.78	structure	clou coupe	ST2240
PT5473	885494.729889	134878.246065	286.141182	286.14	structure	contour	ST2069
PT5474	885494.866187	134878.425882	286.130634	286.13	structure	contour	ST2069
PT5475	885495.149069	134878.510382	286.147773	286.15	structure	contour	ST2069
PT5476	885495.385551	134878.340198	286.150384	286.15	structure	contour	ST2069
PT5477	885495.445977	134878.053192	286.138428	286.14	structure	contour	ST2069
PT5478	885495.263341	134878.053860	285.926116	285.93	structure	contour	ST2069

PT	X (est)	Y (nord)	Z (alti)	Z (alti)	élément	type de point	identifiant
PT5479	885495.220747	134878.308625	285.936111	285.94	structure	contour	ST2069
PT5480	885494.994003	134878.371579	285.922682	285.92	structure	contour	ST2069
PT5481	885494.847716	134878.104249	285.936575	285.94	structure	contour	ST2069
PT5482	885495.057401	134878.071816	285.917498	285.92	structure	contour	ST2069
PT5483	885495.984835	134868.628021	285.438564	285.44	mobilier	bracelet	
PT5484	885521.934442	134866.420594	286.113935	286.11	structure	contour	ST2199
PT5485	885521.719479	134866.051147	286.120800	286.12	structure	contour	ST2199
PT5486	885521.749819	134865.757561	286.102373	286.1	structure	contour	ST2199
PT5487	885522.089645	134865.387919	286.091634	286.09	structure	contour	ST2199
PT5488	885522.540523	134865.553672	286.042423	286.04	structure	contour	ST2199
PT5489	885522.863179	134865.814396	286.089296	286.09	structure	contour	ST2199
PT5490	885522.535479	134866.135194	286.097456	286.1	structure	contour	ST2199
PT5491	885522.134299	134866.168197	286.111320	286.11	structure	contour	ST2199
PT5492	885521.916336	134866.154128	286.011832	286.01	structure	contour fond	ST2199
PT5493	885522.017608	134865.586917	285.970395	285.97	structure	contour fond	ST2199
PT5494	885522.257434	134865.924826	285.931336	285.93	structure	contour fond	ST2199
PT5495	885493.982747	134861.002485	285.495194	285.5	prélèvement	p127	
PT5496	885493.581621	134860.847660	285.500605	285.5	prélèvement	p128	
PT5497	885493.329749	134860.978633	285.683109	285.68	prélèvement	p129	
PT5498	885521.304949	134866.938329	286.025395	286.03	structure	contour	ST2201
PT5499	885521.014461	134866.669703	286.009513	286.01	structure	contour	ST2201
PT5500	885521.265207	134866.438995	286.088020	286.09	structure	contour	ST2201
PT5501	885521.550958	134866.613333	286.095719	286.1	structure	contour	ST2201
PT5502	885521.326003	134866.798838	285.866686	285.87	structure	contour fond	ST2201
PT5503	885521.201183	134866.671716	285.871268	285.87	structure	contour fond	ST2201
PT5504	885521.299624	134866.564851	285.865966	285.87	structure	contour fond	ST2201
PT5505	885521.436842	134866.635155	285.877479	285.88	structure	contour fond	ST2201
PT5506	885521.305054	134866.680732	285.849183	285.85	structure	fond	ST2201
PT5507	885493.969249	134860.998749	285.460687	285.46	structure	fond	ST2090
PT5508	885494.331135	134860.760333	285.484981	285.48	structure	contour fond	ST2090
PT5509	885493.932504	134860.487685	285.498531	285.5	structure	contour fond	ST2090
PT5510	885493.470140	134860.877844	285.501903	285.5	structure	contour fond	ST2090
PT5511	885494.669029	134860.914230	286.141543	286.14	structure	contour	ST2090
PT5512	885494.253154	134860.357186	286.152342	286.15	structure	contour	ST2090
PT5513	885493.554511	134860.447621	286.136077	286.14	structure	contour	ST2090
PT5514	885493.098238	134861.168833	286.106245	286.11	structure	contour	ST2090
PT5515	885501.845214	134906.367109	285.841710	285.84	structure	clou carroyage	ST2015
PT5516	885500.787907	134905.304648	285.839933	285.84	structure	clou carroyage	ST2015
PT5517	885499.735106	134906.375944	285.817501	285.82	structure	clou carroyage	ST2015
PT5518	885500.794224	134907.425332	285.849951	285.85	structure	clou carroyage	ST2015
PT5519	885501.273921	134906.658959	285.860046	285.86	structure	clou coupe	ST2015
PT5520	885500.275271	134905.881199	285.853656	285.85	structure	clou coupe	ST2015
PT5521	885508.516887	134890.010507	285.904849	285.9	structure	clou coupe	ST2238
PT5522	885509.642678	134889.685934	285.925537	285.93	structure	clou coupe	ST2238
PT5523	885510.612578	134891.850217	285.746700	285.75	structure	clou coupe	ST2237
PT5524	885509.399459	134892.138763	285.734884	285.73	structure	clou coupe	ST2237
PT5525	885496.779726	134914.207130	285.830411	285.83	structure	clou coupe	ST2011
PT5526	885495.649694	134914.756543	285.855142	285.86	structure	clou coupe	ST2011
PT5527	885496.071179	134914.732006	285.805540	285.81	mobilier	céramique	
PT5528	885493.037661	134876.432542	286.107685	286.11	structure	contour	ST2072
PT5529	885493.390138	134875.825807	286.117496	286.12	structure	contour	ST2072
PT5530	885494.028897	134875.832889	286.104202	286.1	structure	contour	ST2072
PT5531	885494.228798	134876.297687	286.092365	286.09	structure	contour	ST2072
PT5532	885493.272769	134876.405394	285.880406	285.88	structure	contour	ST2072
PT5533	885493.417218	134875.981354	285.902667	285.9	structure	contour	ST2072
PT5534	885493.899638	134875.925423	285.875078	285.88	structure	contour	ST2072
PT5535	885494.151478	134876.340651	285.878898	285.88	structure	contour	ST2072
PT5536	885493.695399	134876.372677	285.822187	285.82	structure	fond	ST2072
PT5537	885497.616491	134923.288740	285.794694	285.79	structure	contour	ST2290
PT5538	885497.916414	134923.161308	285.785819	285.79	structure	contour	ST2290
PT5539	885498.124968	134923.253540	285.790931	285.79	structure	contour	ST2290
PT5540	885498.225412	134923.467550	285.774117	285.77	structure	contour	ST2290
PT5541	885498.170852	134923.734459	285.776478	285.78	structure	contour	ST2290
PT5542	885497.823892	134923.596409	285.654999	285.65	structure	fond	ST2290
PT5543	885498.318746	134874.390356	285.457879	285.46	prélèvement		ST2068
PT5544	885525.761117	134892.537369	286.005978	286.01	structure	clou coupe	ST2233

PT	X (est)	Y (nord)	Z (alti)	Z (alti)	élément	type de point	identifiant
PT5545	885526.704861	134892.333094	285.996684	286	structure	clou coupe	ST2233
PT5546	885514.550215	134895.651679	285.781206	285.78	structure	clou coupe	ST2236
PT5547	885513.043601	134896.080356	285.785740	285.79	structure	clou coupe	ST2236
PT5548	885496.275508	134914.841902	285.835641	285.84	structure	contour	ST2011
PT5549	885495.861993	134914.695673	285.828992	285.83	structure	contour	ST2011
PT5550	885496.025533	134914.379417	285.840696	285.84	structure	contour	ST2011
PT5551	885496.457172	134914.441677	285.801240	285.8	structure	contour	ST2011
PT5552	885496.218229	134914.773379	285.756787	285.76	structure	contour fond	ST2011
PT5553	885495.980094	134914.663470	285.778873	285.78	structure	contour fond	ST2011
PT5554	885496.084437	134914.490899	285.776657	285.78	structure	contour fond	ST2011
PT5555	885496.253289	134914.560317	285.740243	285.74	structure	contour fond	ST2011
PT5556	885496.168236	134914.633038	285.754845	285.75	structure	fond	ST2011
PT5557	885568.499661	134880.473721	285.873262	285.87	structure	clou carroyage	ST2060
PT5558	885568.842304	134881.400298	285.863847	285.86	structure	clou carroyage	ST2060
PT5559	885568.827613	134881.406884	285.864087	285.86	structure	clou carroyage	ST2060
PT5560	885567.877325	134881.745973	285.897623	285.9	structure	clou carroyage	ST2060
PT5561	885567.551278	134880.804386	285.892645	285.89	structure	clou carroyage	ST2060
PT5562	885568.324918	134881.000745	285.860144	285.86	structure	contour	ST2060
PT5563	885568.293515	134881.286121	285.875724	285.88	structure	contour	ST2060
PT5564	885568.061698	134881.144340	285.870321	285.87	structure	contour	ST2060
PT5565	885568.194909	134880.864634	285.853087	285.85	structure	contour	ST2060
PT5566	885562.840825	134877.648842	285.969983	285.97	structure	clou carroyage	ST2063
PT5567	885563.105822	134878.615771	285.949655	285.95	structure	clou carroyage	ST2063
PT5568	885562.141336	134878.874897	285.941991	285.94	structure	clou carroyage	ST2063
PT5569	885561.870597	134877.915955	285.956853	285.96	structure	clou carroyage	ST2063
PT5570	885562.887581	134878.141698	285.977591	285.98	structure	contour	ST2063
PT5571	885562.704209	134878.708597	285.954182	285.95	structure	contour	ST2063
PT5572	885562.223355	134878.494623	285.959852	285.96	structure	contour	ST2063
PT5573	885562.370656	134877.910698	285.948824	285.95	structure	contour	ST2063
PT5574	885563.133433	134878.048031	285.914496	285.91	structure	clou coupe	ST2063
PT5575	885561.960028	134878.453518	285.929981	285.93	structure	clou coupe	ST2063
PT5576	885500.632570	134905.945508	285.800068	285.8	prélèvement	charbon	PR131
PT5577	885501.057428	134906.176250	285.811150	285.81	Nivellement	surface du foyer	ST2015
PT5578	885501.055228	134906.166285	285.746361	285.75	Nivellement	surface du foyer	ST2015
PT5579	885500.933291	134906.247676	285.802210	285.8	Nivellement	surface du foyer	ST2015
PT5580	885500.938097	134906.255643	285.742465	285.74	Nivellement	surface du foyer	ST2015
PT5581	885500.959637	134906.006625	285.808161	285.81	Nivellement	surface du foyer	ST2015
PT5582	885500.974911	134905.905755	285.789646	285.79	Nivellement	surface du foyer	ST2015
PT5583	885500.531396	134906.043237	285.803491	285.8	Nivellement	surface du foyer	ST2015
PT5584	885500.391358	134906.325467	285.807069	285.81	Nivellement	surface du foyer	ST2015
PT5585	885500.716904	134906.459023	285.719588	285.72	Nivellement	surface du foyer	ST2015
PT5586	885500.748118	134906.230317	285.770348	285.77	Nivellement	surface du foyer	ST2015
PT5587	885500.781456	134906.156721	285.786701	285.79	Nivellement	surface du foyer	ST2015
PT5588	885500.306374	134906.693552	285.787968	285.79	Nivellement	surface du foyer	ST2015
PT5589	885500.402960	134906.934559	285.811123	285.81	Nivellement	surface du foyer	ST2015
PT5590	885500.544333	134906.710470	285.759026	285.76	Nivellement	surface du foyer	ST2015
PT5591	885500.871347	134906.818147	285.791566	285.79	Nivellement	surface du foyer	ST2015
PT5592	885501.097952	134906.546040	285.797379	285.8	Nivellement	surface du foyer	ST2015
PT5593	885495.475082	134927.008106	285.813614	285.81	structure	clou carroyage	ST2008
PT5594	885495.737897	134927.973266	285.807299	285.81	structure	clou carroyage	ST2008
PT5595	885494.770546	134928.222561	285.801008	285.8	structure	clou carroyage	ST2008
PT5596	885494.512162	134927.235524	285.808323	285.81	structure	clou carroyage	ST2008
PT5597	885494.954459	134927.939724	285.808584	285.81	structure	contour	ST2008
PT5598	885495.236138	134928.094045	285.804635	285.8	structure	contour	ST2008
PT5599	885495.383521	134927.744671	285.805400	285.81	structure	contour	ST2008
PT5600	885495.041972	134927.576052	285.809916	285.81	structure	contour	ST2008
PT5601	885487.647078	134958.173297	285.681425	285.68	structure	clou carroyage	ST2004
PT5602	885487.962841	134958.572637	285.715973	285.72	structure	clou carroyage	ST2004
PT5603	885488.434842	134958.183052	285.701219	285.7	structure	clou carroyage	ST2004
PT5604	885488.111923	134957.807649	285.691085	285.69	structure	clou carroyage	ST2004
PT5605	885488.271518	134958.078157	285.695544	285.7	structure	contour	ST2004
PT5606	885487.966229	134958.350760	285.685374	285.69	structure	contour	ST2004
PT5607	885487.800440	134958.160635	285.675277	285.68	structure	contour	ST2004
PT5608	885488.112935	134957.890273	285.674651	285.67	structure	contour	ST2004
PT5609	885502.865933	134957.067012	285.741493	285.74	structure	contour	ST2001
PT5610	885503.011386	134957.337232	285.733953	285.73	structure	contour	ST2001

PT	X (est)	Y (nord)	Z (alti)	Z (alti)	élément	type de point	identifiant
PT5611	885503.648637	134956.948297	285.734435	285.73	structure	contour	ST2001
PT5612	885503.409746	134956.604443	285.731829	285.73	structure	contour	ST2001
PT5613	885503.317948	134950.229976	285.731858	285.73	structure	clou carroyage	ST2002
PT5614	885504.295394	134950.002752	285.706425	285.71	structure	clou carroyage	ST2002
PT5615	885504.068991	134949.029421	285.720095	285.72	structure	clou carroyage	ST2002
PT5616	885503.085568	134949.254758	285.721938	285.72	structure	clou carroyage	ST2002
PT5617	885503.268451	134949.903637	285.720934	285.72	structure	contour	ST2002
PT5618	885503.851702	134950.113463	285.714361	285.71	structure	contour	ST2002
PT5619	885504.054999	134949.503801	285.707473	285.71	structure	contour	ST2002
PT5620	885503.363745	134949.269341	285.713156	285.71	structure	contour	ST2002
PT5621	885493.989109	134951.600753	285.752433	285.75	structure	clou carroyage	ST2003
PT5622	885493.868373	134950.590626	285.754440	285.75	structure	clou carroyage	ST2003
PT5623	885492.882455	134950.701428	285.748228	285.75	structure	clou carroyage	ST2003
PT5624	885492.988482	134951.689395	285.732298	285.73	structure	clou carroyage	ST2003
PT5625	885493.053110	134951.284851	285.713189	285.71	structure	contour	ST2003
PT5626	885493.509663	134951.505865	285.718542	285.72	structure	contour	ST2003
PT5627	885493.788311	134951.061536	285.726972	285.73	structure	contour	ST2003
PT5628	885493.361145	134950.800992	285.718125	285.72	structure	contour	ST2003
PT5629	885495.968897	134926.474277	285.798140	285.8	structure	contour	ST2009
PT5630	885495.823110	134925.924428	285.785468	285.79	structure	contour	ST2009
PT5631	885496.440181	134925.857448	285.780133	285.78	structure	contour	ST2009
PT5632	885496.223878	134926.164549	285.790355	285.79	structure	contour	ST2009
PT5633	885490.847727	134920.029632	285.786936	285.79	structure	contour	ST2010
PT5634	885491.377479	134920.077599	285.813956	285.81	structure	contour	ST2010
PT5635	885491.459855	134919.492078	285.821453	285.82	structure	contour	ST2010
PT5636	885490.860439	134919.413643	285.808121	285.81	structure	contour	ST2010
PT5637	885495.549223	134957.657651	285.714250	285.71	structure	contour	ST2285
PT5638	885495.627936	134957.865802	285.742765	285.74	structure	contour	ST2285
PT5639	885496.075900	134957.841524	285.756708	285.76	structure	contour	ST2285
PT5640	885496.023859	134957.548681	285.707991	285.71	structure	contour	ST2285
PT5641	885494.722324	134932.861791	285.791961	285.79	structure	contour	ST2287
PT5642	885494.989454	134932.521363	285.811621	285.81	structure	contour	ST2287
PT5643	885494.407051	134932.136039	285.792880	285.79	structure	contour	ST2287
PT5644	885494.145418	134932.436828	285.784709	285.78	structure	contour	ST2287
PT5645	885510.006765	134891.800721	285.649969	285.65	meublier	céramique	ST2237
PT5646	885559.430793	134872.898013	283.219429	283.22	meublier	zone rubéf.	ST2096
PT5647	885491.722131	134876.804776	285.237901	285.24	prélèvement	PR134	ST2071
PT5648	885509.983627	134891.854562	285.656336	285.66	meublier	céramique	ST2237
PT5649	885509.953298	134891.780774	285.660699	285.66	meublier	céramique	ST2237
PT5650	885563.126521	134876.441781	285.915034	285.92	structure	clou carroyage	ST2062
PT5651	885564.994520	134875.692774	285.909715	285.91	structure	clou carroyage	ST2062
PT5652	885564.232269	134873.925104	285.964218	285.96	structure	clou carroyage	ST2062
PT5653	885562.383218	134874.553944	285.962599	285.96	structure	clou carroyage	ST2062
PT5654	885562.685732	134874.956302	285.926934	285.93	structure	contour	ST2062
PT5655	885563.077596	134875.930934	285.933315	285.93	structure	contour	ST2062
PT5656	885563.970353	134875.881528	285.916897	285.92	structure	contour	ST2062
PT5657	885564.337291	134875.119034	285.914041	285.91	structure	contour	ST2062
PT5658	885563.942790	134874.501686	285.906673	285.91	structure	contour	ST2062
PT5659	885563.158025	134874.488274	285.941473	285.94	structure	contour	ST2062
PT5660	885559.225869	134873.243316	283.255656	283.26	meublier	os	ST2096
PT5661	885559.336153	134872.952399	283.258265	283.26	prélèvement	charbon	PR136
PT5662	885559.289479	134873.004944	283.153135	283.15	prélèvement	charbon	PR136
PT5663	885514.044387	134895.547786	285.297731	285.3	prélèvement	carpo	PR137
PT5664	885501.072431	134906.748492	285.809738	285.81	structure	contour	ST2015
PT5665	885501.263068	134906.412029	285.798433	285.8	structure	contour	ST2015
PT5666	885501.038499	134905.891563	285.785388	285.79	structure	contour	ST2015
PT5667	885500.478713	134905.802400	285.798209	285.8	structure	contour	ST2015
PT5668	885500.270299	134906.172130	285.814464	285.81	structure	contour	ST2015
PT5669	885500.108077	134906.705457	285.806036	285.81	structure	contour	ST2015
PT5670	885500.289802	134907.071685	285.823211	285.82	structure	contour	ST2015
PT5671	885500.711477	134907.071008	285.831487	285.83	structure	contour	ST2015
PT5672	885500.963853	134905.993472	285.741648	285.74	structure	nivellement	ST2015
PT5673	885500.490251	134906.151800	285.773058	285.77	structure	nivellement	ST2015
PT5674	885500.762318	134906.306711	285.725264	285.73	structure	nivellement	ST2015
PT5675	885501.065490	134906.519205	285.760220	285.76	structure	nivellement	ST2015
PT5676	885500.478335	134906.767395	285.773088	285.77	structure	nivellement	ST2015



PT	X (est)	Y (nord)	Z (alti)	Z (alti)	élément	type de point	identifiant
PT5677	885509.932850	134891.786170	285.432236	285.43	prélèvement	PR140	ST2237
PT5678	885569.714179	134883.869779	285.886260	285.89	structure	clou carroyage	ST2021
PT5679	885570.631804	134883.542043	285.828575	285.83	structure	clou carroyage	ST2021
PT5680	885570.343529	134882.622030	285.866276	285.87	structure	clou carroyage	ST2021
PT5681	885569.440961	134882.915102	285.845790	285.85	structure	clou carroyage	ST2021
PT5682	885569.639227	134883.023875	285.813712	285.81	structure	contour	ST2021
PT5683	885570.235134	134883.739649	285.809696	285.81	structure	contour	ST2021
PT5684	885570.452711	134883.099630	285.815902	285.82	structure	contour	ST2021
PT5685	885569.911335	134882.794934	285.802539	285.8	structure	contour	ST2021
PT5686	885572.336090	134891.321254	285.658678	285.66	structure	contour	ST2021
PT5687	885573.314802	134891.050441	285.691832	285.69	structure	clou carroyage	ST2020
PT5688	885573.014127	134890.107663	285.656245	285.66	structure	clou carroyage	ST2020
PT5689	885572.060290	134890.343294	285.674938	285.67	structure	clou carroyage	ST2020
PT5690	885572.222096	134890.911224	285.640201	285.64	structure	clou carroyage	ST2020
PT5691	885573.003752	134891.115227	285.659644	285.66	structure	contour	ST2020
PT5692	885573.071641	134890.248959	285.640153	285.64	structure	contour	ST2020
PT5693	885572.340373	134890.326226	285.662440	285.66	structure	contour	ST2020
PT5694	885572.364891	134890.248459	285.652653	285.65	structure	contour	ST2020
PT5695	885563.598528	134890.511197	285.849241	285.85	structure	clou carroyage	ST2025
PT5696	885564.053022	134890.287433	285.825211	285.83	structure	clou carroyage	ST2025
PT5697	885563.812183	134889.861202	285.853016	285.85	structure	clou carroyage	ST2025
PT5698	885563.383943	134890.043295	285.854169	285.85	structure	clou carroyage	ST2025
PT5699	885563.655497	134890.255801	285.839354	285.84	structure	contour	ST2025
PT5700	885563.824284	134890.305143	285.835370	285.84	structure	contour	ST2025
PT5701	885563.877563	134890.108654	285.831847	285.83	structure	contour	ST2025
PT5702	885563.710707	134890.004711	285.838102	285.84	structure	contour	ST2025
PT5703	885562.541611	134889.025463	285.870965	285.87	structure	clou carroyage	ST2024
PT5704	885563.448505	134888.640590	285.839084	285.84	structure	clou carroyage	ST2024
PT5705	885563.110832	134887.749621	285.848398	285.85	structure	clou carroyage	ST2024
PT5706	885562.149247	134888.093494	285.852253	285.85	structure	clou carroyage	ST2024
PT5707	885562.467172	134888.668759	285.865317	285.87	structure	contour	ST2024
PT5708	885563.153086	134888.998625	285.847680	285.85	structure	contour	ST2024
PT5709	885563.440159	134888.179445	285.836391	285.84	structure	contour	ST2024
PT5710	885562.698543	134887.865397	285.852456	285.85	structure	contour	ST2024
PT5711	885556.454213	134893.886445	285.919262	285.92	structure	clou carroyage	ST2027
PT5712	885557.370483	134893.592654	285.907740	285.91	structure	clou carroyage	ST2027
PT5713	885557.096832	134892.631393	285.899291	285.9	structure	clou carroyage	ST2027
PT5714	885556.148339	134892.923893	285.907445	285.91	structure	clou carroyage	ST2027
PT5715	885556.242433	134893.362222	285.905028	285.91	structure	contour	ST2027
PT5716	885556.479959	134893.651824	285.892808	285.89	structure	contour	ST2027
PT5717	885557.362372	134893.110608	285.888780	285.89	structure	contour	ST2027
PT5718	885557.189516	134892.886971	285.892440	285.89	structure	contour	ST2027
PT5719	885555.767013	134896.781913	285.896738	285.9	structure	clou carroyage	ST2029
PT5720	885556.669102	134896.358806	285.876781	285.88	structure	clou carroyage	ST2029
PT5721	885556.273946	134895.491398	285.900324	285.9	structure	clou carroyage	ST2029
PT5722	885555.378145	134895.878418	285.937984	285.94	structure	clou carroyage	ST2029
PT5723	885555.798949	134896.160001	285.894696	285.89	structure	contour	ST2029
PT5724	885556.126129	134896.280417	285.883187	285.88	structure	contour	ST2029
PT5725	885556.586028	134895.911259	285.893386	285.89	structure	contour	ST2029
PT5726	885556.365716	134895.723231	285.903782	285.9	structure	contour	ST2029
PT5727	885555.994122	134895.827026	285.908155	285.91	structure	contour	ST2029
PT5728	885555.710521	134896.074471	285.912295	285.91	structure	contour	ST2029
PT5729	885562.766625	134875.635031	285.815615	285.82	structure	clou coupe	ST2062
PT5730	885564.454181	134874.941883	285.827223	285.83	structure	clou coupe	ST2062
PT5731	885500.118001	134892.651075	285.428162	285.43	prélèvement	PR132	ST2306
PT5732	885499.659251	134893.076843	285.473489	285.47	prélèvement	PR133	ST2307
PT5733	885513.791798	134895.751027	285.280976	285.28	structure	fond	ST2236
PT5734	885514.105320	134895.541616	285.307491	285.31	structure	nivellement	ST2236
PT5735	885513.671155	134895.300761	285.331936	285.33	structure	nivellement	ST2236
PT5736	885513.334612	134895.771461	285.309210	285.31	structure	nivellement	ST2236
PT5737	885514.378405	134895.556133	285.941579	285.94	structure	contour	ST2236
PT5738	885513.965415	134895.142408	285.915817	285.92	structure	contour	ST2236
PT5739	885513.311221	134895.180548	285.899949	285.9	structure	contour	ST2236
PT5740	885513.158776	134895.937155	285.895336	285.9	structure	contour	ST2236
PT5741	885499.043681	134874.314896	286.066831	286.07	structure	contour	ST2068
PT5742	885498.716272	134873.886108	286.073436	286.07	structure	contour	ST2068

PT	X (est)	Y (nord)	Z (alti)	Z (alti)	élément	type de point	identifiant
PT5743	885498.206461	134873.720374	286.079908	286.08	structure	contour	ST2068
PT5744	885497.769326	134874.234982	286.068558	286.07	structure	contour	ST2068
PT5745	885497.730333	134874.611987	286.071706	286.07	structure	contour	ST2068
PT5746	885497.867094	134874.581371	285.405452	285.41	structure	nivellement	ST2068
PT5747	885498.032482	134874.068831	285.407818	285.41	structure	nivellement	ST2068
PT5748	885498.486712	134873.959502	285.405428	285.41	structure	nivellement	ST2068
PT5749	885498.836817	134874.379774	285.418538	285.42	structure	nivellement	ST2068
PT5750	885498.391678	134874.492955	285.355089	285.36	structure	fond	ST2068
PT5751	885492.495396	134876.827426	286.050704	286.05	structure	contour	ST2071
PT5752	885492.353101	134876.394279	286.066636	286.07	structure	contour	ST2071
PT5753	885492.101143	134876.220093	286.064581	286.06	structure	contour	ST2071
PT5754	885491.799682	134876.142689	286.071746	286.07	structure	contour	ST2071
PT5755	885491.311297	134876.341796	286.058215	286.06	structure	contour	ST2071
PT5756	885491.076340	134876.802679	286.051578	286.05	structure	contour	ST2071
PT5757	885491.207805	134876.838414	285.143607	285.14	structure	nivellement	ST2071
PT5758	885491.383249	134876.419418	285.166955	285.17	structure	nivellement	ST2071
PT5759	885491.715393	134876.283243	285.156239	285.16	structure	nivellement	ST2071
PT5760	885492.094471	134876.315776	285.169765	285.17	structure	nivellement	ST2071
PT5761	885492.396071	134876.868290	285.169142	285.17	structure	nivellement	ST2071
PT5762	885491.824057	134876.830661	285.133233	285.13	structure	fond	ST2071
PT5763	885496.503807	134868.438615	285.381344	285.38	prélèvement	PR141	ST2074
PT5764	885496.559400	134868.394985	285.593521	285.59	prélèvement	PR142	ST2074
PT5765	885496.573456	134868.372889	285.660705	285.66	structure	nivellement	ST2074
PT5766	885496.557951	134868.405161	285.523962	285.52	structure	nivellement	ST2074
PT5767	885496.505927	134868.426677	285.462771	285.46	structure	nivellement	ST2074
PT5768	885495.339795	134868.538452	286.064157	286.06	structure	clou coupe	ST2074
PT5769	885497.597455	134868.087110	286.038159	286.04	structure	clou coupe	ST2074
PT5770	885504.618736	134872.481288	285.593738	285.59	mobilier	os	ST2067
PT5771	885563.488374	134890.248122	285.860513	285.86	structure	clou coupe	ST2025
PT5772	885564.029994	134890.141653	285.841289	285.84	structure	clou coupe	ST2025
PT5773	885570.719884	134883.323517	285.656472	285.66	structure	clou coupe	ST2021
PT5774	885569.434597	134883.813991	285.621042	285.62	structure	clou coupe	ST2021
PT5775	885559.092276	134873.087849	282.767909	282.77	mobilier		ST2096
PT5776	885563.705498	134890.219888	285.712483	285.71	structure	contour fond	ST2025
PT5777	885563.883922	134890.315159	285.705559	285.71	structure	contour fond	ST2025
PT5778	885563.834414	134890.170543	285.716569	285.72	structure	contour fond	ST2025
PT5779	885563.777035	134890.229606	285.701021	285.7	structure	fond	ST2025
PT5780	885570.325225	134883.474846	285.582286	285.58	mobilier	céramique	ST2021
PT5781	885573.249519	134890.982356	285.572391	285.57	structure	clou coupe	ST2020
PT5782	885572.150147	134890.767873	285.543333	285.54	structure	clou coupe	ST2020
PT5783	885507.664553	134887.297431	285.267269	285.27	structure	nivellement fond	ST2240
PT5784	885507.595104	134886.993061	285.288856	285.29	structure	nivellement fond	ST2240
PT5785	885507.738385	134886.656214	285.306081	285.31	structure	nivellement fond	ST2240
PT5786	885508.163615	134886.441294	285.315266	285.32	structure	nivellement fond	ST2240
PT5787	885508.408308	134886.452661	285.311767	285.31	structure	nivellement fond	ST2240
PT5788	885508.746113	134886.658218	285.330898	285.33	structure	nivellement fond	ST2240
PT5789	885508.886699	134886.921306	285.306528	285.31	structure	nivellement fond	ST2240
PT5790	885563.420796	134888.160632	285.694302	285.69	structure	clou coupe	ST2024
PT5791	885562.130950	134888.600000	285.671740	285.67	structure	clou coupe	ST2024
PT5792	885559.462077	134872.771530	283.290559	283.29	structure	nivellement	ST2096
PT5793	885559.574277	134873.167085	283.217051	283.22	structure	nivellement	ST2096
PT5794	885559.346313	134873.531163	283.182146	283.18	structure	nivellement	ST2096
PT5795	885558.913035	134873.643245	283.077369	283.08	structure	nivellement	ST2096
PT5796	885558.620162	134873.613029	283.172968	283.17	structure	nivellement	ST2096
PT5797	885558.479270	134873.515009	282.994271	282.99	structure	nivellement	ST2096
PT5798	885558.973566	134873.498398	282.916048	282.92	structure	nivellement	ST2096
PT5799	885559.223622	134873.401496	282.880960	282.88	structure	nivellement	ST2096
PT5800	885559.418105	134873.070992	282.953019	282.95	structure	nivellement	ST2096
PT5801	885559.399382	134872.844254	282.992482	282.99	structure	nivellement	ST2096
PT5802	885559.321236	134872.831209	282.860590	282.86	structure	nivellement	ST2096
PT5803	885559.269272	134873.146070	282.826480	282.83	structure	nivellement	ST2096
PT5804	885559.226163	134873.274115	282.803615	282.8	structure	nivellement	ST2096
PT5805	885558.886443	134873.382916	282.791790	282.79	structure	nivellement	ST2096
PT5806	885558.717505	134873.325001	282.781114	282.78	structure	nivellement	ST2096
PT5807	885495.489083	134903.408189	285.969049	285.97	structure	clou coupe	ST2014
PT5808	885494.295119	134904.245860	285.976085	285.98	structure	clou coupe	ST2014

Annexe 4 - Le Clos de Roque, Saint-Maximin-la-Sainte-Baume (83). Inventaire des points topographiques.



PT	X (est)	Y (nord)	Z (alti)	Z (alti)	élément	type de point	identifiant
PT5809	885499.452801	134893.421903	285.932111	285.93	structure	clou coupe	ST2305
PT5810	885499.960129	134892.954695	285.924029	285.92	structure	clou coupe	ST2305
PT5811	885499.551224	134893.419899	285.947069	285.95	structure	contour	ST2305
PT5812	885499.982659	134893.359276	285.933384	285.93	structure	contour	ST2305
PT5813	885499.948434	134892.948748	285.929	285.93	structure	contour	ST2305
PT5814	885499.556281	134892.905521	285.941878	285.94	structure	contour	ST2305
PT5815	885499.632662	134893.025391	285.829808	285.83	structure	contour fond	ST2305
PT5816	885499.597030	134893.246164	285.838965	285.84	structure	contour fond	ST2305
PT5817	885499.851107	134893.268292	285.828647	285.83	structure	contour fond	ST2305
PT5818	885499.877546	134893.032150	285.831703	285.83	structure	contour fond	ST2305
PT5819	885499.740619	134893.134951	285.815088	285.82	structure	fond	ST2305
PT5820	885500.010866	134892.908328	285.921549	285.92	structure	clou coupe	ST2306
PT5821	885500.515437	134892.347733	285.928452	285.93	structure	clou coupe	ST2306
PT5822	885500.077203	134892.427012	285.939393	285.94	structure	contour	ST2306
PT5823	885499.969913	134892.877857	285.928624	285.93	structure	contour	ST2306
PT5824	885500.443184	134892.916153	285.924424	285.92	structure	contour	ST2306
PT5825	885500.519426	134892.429352	285.913896	285.91	structure	contour	ST2306
PT5826	885500.418572	134892.522931	285.783519	285.78	structure	contour fond	ST2306
PT5827	885500.222747	134892.521296	285.779641	285.78	structure	contour fond	ST2306
PT5828	885500.030474	134892.728145	285.802968	285.8	structure	contour fond	ST2306
PT5829	885500.369607	134892.807071	285.798368	285.8	structure	contour fond	ST2306
PT5830	885500.270191	134892.614874	285.754003	285.75	structure	fond	ST2306
PT5831	885495.064909	134896.863740	285.88213	285.88	structure	clou coupe	ST2296
PT5832	885496.013000	134896.523851	285.907943	285.91	structure	clou coupe	ST2296
PT5833	885495.570239	134896.553192	285.749844	285.75	prélèvement	PR145	ST2296
PT5834	885494.947255	134896.455604	285.885856	285.89	structure	clou carroyage	ST2296
PT5835	885495.251614	134897.382800	285.890116	285.89	structure	clou carroyage	ST2296
PT5836	885496.207643	134897.057675	285.922142	285.92	structure	clou carroyage	ST2296
PT5837	885495.865561	134896.126751	285.921163	285.92	structure	clou carroyage	ST2296
PT5838	885558.566296	134873.538669	282.399472	282.4	structure	contour intermédiaire	ST2096
PT5839	885559.604678	134873.215553	282.348868	282.35	structure	contour intermédiaire	ST2096
PT5840	885559.569205	134873.315713	282.350289	282.35	structure	contour intermédiaire	ST2096
PT5841	885559.605179	134872.697272	282.394354	282.39	structure	contour intermédiaire	ST2096
PT5842	885496.170918	134903.987799	285.928412	285.93	structure	clou carroyage	ST2014
PT5843	885494.837400	134902.496877	285.89018	285.89	structure	clou carroyage	ST2014
PT5844	885493.697253	134903.564773	285.915478	285.92	structure	clou carroyage	ST2014
PT5845	885495.023198	134905.043554	285.921151	285.92	structure	clou carroyage	ST2014
PT5846	885495.397667	134896.899234	285.874814	285.87	structure	contour	ST2296
PT5847	885495.923008	134896.967229	285.4910423	285.91	structure	contour	ST2296
PT5848	885495.889633	134896.483229	285.895384	285.9	structure	contour	ST2296
PT5849	885495.411644	134896.434498	285.890931	285.89	structure	contour	ST2296
PT5850	885495.494663	134896.529018	285.748975	285.75	structure	contour fond	ST2296
PT5851	885495.440694	134896.792987	285.769187	285.77	structure	contour fond	ST2296
PT5852	885495.699563	134896.853958	285.748915	285.75	structure	contour fond	ST2296
PT5853	885495.781256	134896.569381	285.729809	285.73	structure	contour fond	ST2296
PT5854	885495.602316	134896.685831	285.742569	285.74	structure	fond	ST2296
PT5855	885569.741379	134883.508167	285.566103	285.57	meublier	os	ST2021
PT5856	885570.075719	134883.265407	285.636746	285.64	prélèvement	PR146	ST2021
PT5857	885570.481518	134883.310436	285.423956	285.42	prélèvement	PR147	ST2021
PT5858	885508.073951	134886.889428	285.262958	285.26	prélèvement	PR144	ST2240
PT5859	885502.866498	134890.864425	285.912864	285.91	structure	clou coupe	ST2307
PT5860	885502.083984	134890.732251	285.927821	285.93	structure	clou coupe	ST2307
PT5861	885503.750505	134888.967893	285.910559	285.91	structure	clou coupe	ST2018
PT5862	885504.542617	134889.167893	285.892328	285.89	structure	clou coupe	ST2018
PT5863	885494.655390	134883.873349	286.009432	286.01	structure	clou coupe	ST2017
PT5864	885495.726122	134884.050706	285.987337	285.99	structure	clou coupe	ST2017
PT5865	885508.503084	134885.429758	285.746874	285.75	prélèvement	PR148	ST2241
PT5866	885570.173421	134883.135203	285.576264	285.58	meublier	céramique	ST2021
PT5867	885569.978407	134883.304337	285.567045	285.57	meublier	céramique	ST2021
PT5868	885569.998706	134883.546422	285.366999	285.37	prélèvement	PR149	ST2021
PT5869	885494.034342	134902.991154	285.877578	285.88	structure	clou carroyage	ST2293
PT5870	885494.544808	134902.911356	285.919440	285.92	structure	clou carroyage	ST2293
PT5871	885494.466503	134902.429248	285.867285	285.87	structure	clou carroyage	ST2293
PT5872	885493.987018	134902.496151	285.873912	285.87	structure	clou carroyage	ST2293
PT5873	885494.098913	134902.653107	285.874658	285.87	structure	contour	ST2293
PT5874	885494.182165	134902.885797	285.873994	285.87	structure	contour	ST2293

PT	X (est)	Y (nord)	Z (alti)	Z (alti)	élément	type de point	identifiant
PT5875	885494.414569	134902.820076	285.885332	285.89	structure	contour	ST2293
PT5876	885494.359291	134902.551496	285.871991	285.87	structure	contour	ST2293
PT5877	885570.121903	134883.396514	285.216748	285.22	prélèvement	PR150	ST2021
PT5878	885508.429917	134881.463957	286.163983	286.16	structure	clou coupe	ST2309
PT5879	885508.106546	134881.424617	286.173670	286.17	structure	clou coupe	ST2309
PT5880	885559.257873	134872.803471	281.798385	281.8	structure	fond	ST2096
PT5881	885569.826422	134883.497049	285.279763	285.28	mobilier	céramique	ST2021
PT5882	885559.958001	134872.090212	285.898993	285.9	structure	contour	ST2096
PT5883	885559.518678	134871.362644	285.930390	285.93	structure	contour	ST2096
PT5884	885558.808469	134871.207295	285.927910	285.93	structure	contour intermédiaire	ST2096
PT5885	885559.948959	134872.097236	285.655867	285.66	structure	contour intermédiaire	ST2096
PT5886	885559.534203	134871.628632	285.646321	285.65	structure	contour intermédiaire	ST2096
PT5887	885558.957632	134871.429400	285.635887	285.64	structure	contour intermédiaire	ST2096
PT5888	885558.964247	134871.437232	285.635981	285.64	structure	contour intermédiaire	ST2096
PT5889	885558.074606	134872.981122	285.997611	286	structure	clou coupe	ST2096
PT5890	885557.181398	134871.046656	286.024015	286.02	structure	clou coupe	ST2096
PT5891	885559.853190	134872.164332	285.543591	285.54	structure	contour intermédiaire	ST2096
PT5892	885559.428720	134871.606440	285.510983	285.51	structure	contour intermédiaire	ST2096
PT5893	885558.897837	134871.506175	285.511447	285.51	structure	contour intermédiaire	ST2096
PT5894	885559.872994	134872.167335	285.459801	285.46	structure	contour intermédiaire	ST2096
PT5895	885559.443694	134871.680862	285.427869	285.43	structure	contour intermédiaire	ST2096
PT5896	885558.926357	134871.422720	285.407870	285.41	structure	contour intermédiaire	ST2096
PT5897	885558.370093	134870.779877	285.952459	285.95	structure	contour intermédiaire	ST2096
PT5898	885557.719243	134870.812723	285.973830	285.97	structure	contour intermédiaire	ST2096
PT5899	885557.198226	134871.014074	285.965208	285.97	structure	contour intermédiaire	ST2096
PT5900	885558.385583	134870.780501	285.868828	285.87	structure	contour intermédiaire	ST2096
PT5901	885557.886999	134870.991571	285.888499	285.89	structure	contour intermédiaire	ST2096
PT5902	885557.134132	134871.242244	285.898361	285.9	structure	contour intermédiaire	ST2096
PT5903	885504.106113	134872.452028	285.548454	285.55	prélèvement	PR151	ST2067
PT5904	885558.457839	134870.762690	285.787851	285.79	structure	contour intermédiaire	ST2096
PT5905	885557.833598	134871.000901	285.817717	285.82	structure	contour intermédiaire	ST2096
PT5906	885557.201339	134871.279961	285.823756	285.82	structure	contour intermédiaire	ST2096
PT5907	885558.667624	134871.254003	285.624037	285.62	structure	contour intermédiaire	ST2096
PT5908	885558.416790	134871.171863	285.645598	285.65	structure	contour intermédiaire	ST2096
PT5909	885558.368094	134871.446713	285.647358	285.65	structure	contour intermédiaire	ST2096
PT5910	885558.028891	134871.702100	285.661197	285.66	structure	contour intermédiaire	ST2096
PT5911	885557.680850	134872.092004	285.662084	285.66	structure	contour intermédiaire	ST2096
PT5912	885569.789077	134883.125608	285.549460	285.55	mobilier	céramique	ST2021
PT5913	885558.769242	134871.464975	285.553822	285.55	structure	contour intermédiaire	ST2096
PT5914	885558.473994	134871.289531	285.564477	285.56	structure	contour intermédiaire	ST2096
PT5915	885558.376633	134871.531329	285.569930	285.57	structure	contour intermédiaire	ST2096
PT5916	885558.104389	134871.766279	285.583533	285.58	structure	contour intermédiaire	ST2096
PT5917	885557.728449	134872.138961	285.593583	285.59	structure	contour intermédiaire	ST2096
PT5918	885559.179629	134872.447396	285.560245	285.56	structure	contour	ST2096
PT5919	885558.781756	134872.128978	285.551043	285.55	structure	contour	ST2096
PT5920	885558.353889	134872.267051	285.532291	285.53	structure	contour	ST2096
PT5921	885509.417604	134892.044551	285.976282	285.98	structure	contour	ST2237
PT5922	885509.526324	134891.346997	285.993422	285.99	structure	contour	ST2237
PT5923	885510.073489	134891.136445	285.983326	285.98	structure	contour	ST2237
PT5924	885510.637171	134891.764844	285.997338	286	structure	contour	ST2237
PT5925	885510.490766	134891.869685	285.477022	285.48	structure	contour fond	ST2237
PT5926	885510.304281	134891.358219	285.451409	285.45	structure	contour fond	ST2237
PT5927	885509.678389	134891.328248	285.466577	285.47	structure	contour fond	ST2237
PT5928	885509.541740	134892.085364	285.437193	285.44	structure	contour fond	ST2237
PT5929	885510.064482	134891.977620	285.423741	285.42	structure	contour fond	ST2237
PT5930	885509.949780	134891.622659	285.429554	285.43	structure	fond	ST2237
PT5931	885559.857625	134872.187059	285.453382	285.45	structure	contour intermédiaire	ST2096
PT5932	885559.307621	134871.704032	285.419554	285.42	structure	contour intermédiaire	ST2096
PT5933	885558.758845	134871.508427	285.406124	285.41	structure	contour intermédiaire	ST2096
PT5934	885558.485118	134871.306771	285.399681	285.4	structure	contour intermédiaire	ST2096
PT5935	885558.351072	134871.565853	285.404589	285.4	structure	contour intermédiaire	ST2096
PT5936	885557.699184	134872.209478	285.428884	285.43	structure	contour intermédiaire	ST2096
PT5937	885569.957779	134882.989218	285.465771	285.47	mobilier	os	ST2020
PT5938	885500.463904	134906.789035	285.768394	285.77	structure	fond	ST2015
PT5939	885500.922100	134906.606366	285.738822	285.74	structure	fond	ST2015
PT5940	885500.720673	134906.369303	285.711868	285.71	structure	fond	ST2015

Annexe 4 - Le Clos de Roque, Saint-Maximin-la-Sainte-Baume (83). Inventaire des points topographiques.

PT	X (est)	Y (nord)	Z (alti)	Z (alti)	élément	type de point	identifiant
PT5941	885500.471307	134906.172987	285.775047	285.78	structure	fond	ST2015
PT5942	885500.999152	134906.044924	285.742015	285.74	structure	fond	ST2015
PT5943	885559.824759	134872.200296	285.398721	285.4	structure	contour intermédiaire	ST2096
PT5944	885559.546778	134871.774260	285.389457	285.39	structure	contour intermédiaire	ST2096
PT5945	885558.829651	134871.625511	285.303164	285.3	structure	contour intermédiaire	ST2096
PT5946	885558.526045	134871.370150	285.318105	285.32	structure	contour intermédiaire	ST2096
PT5947	885558.237253	134871.702900	285.315650	285.32	structure	contour intermédiaire	ST2096
PT5948	885557.767938	134872.324398	285.312733	285.31	structure	contour intermédiaire	ST2096
PT5949	885495.698462	134904.146833	285.916421	285.92	structure	contour	ST2014
PT5950	885495.599592	134903.733760	285.907026	285.91	structure	contour	ST2014
PT5951	885495.449415	134903.365112	285.905409	285.91	structure	contour	ST2014
PT5952	885494.830329	134903.018449	285.903719	285.9	structure	contour	ST2014
PT5953	885494.462814	134903.156206	285.891078	285.89	structure	contour	ST2014
PT5954	885494.228315	134904.104377	285.913808	285.91	structure	contour	ST2014
PT5955	885494.648474	134904.562903	285.938934	285.94	structure	contour	ST2014
PT5956	885495.029706	134904.717028	285.928438	285.93	structure	contour	ST2014
PT5957	885495.096201	134904.400047	285.831800	285.83	structure	nivellement	ST2014
PT5958	885495.474954	134904.076669	285.831935	285.83	structure	nivellement	ST2014
PT5959	885495.400857	134903.666154	285.845016	285.85	structure	nivellement	ST2014
PT5960	885495.099836	134903.294948	285.845547	285.85	structure	nivellement	ST2014
PT5961	885494.676417	134903.336284	285.857663	285.86	structure	nivellement	ST2014
PT5962	885494.372261	134903.743365	285.867903	285.87	structure	nivellement	ST2014
PT5963	885494.530418	134904.201775	285.893462	285.89	structure	nivellement	ST2014
PT5964	885494.898807	134904.381709	285.847836	285.85	structure	nivellement	ST2014
PT5965	885495.130033	134904.322914	285.723851	285.72	structure	contour fond	ST2014
PT5966	885495.363280	134903.750324	285.724351	285.72	structure	contour fond	ST2014
PT5967	885494.795575	134903.434712	285.709799	285.71	structure	contour fond	ST2014
PT5968	885494.476086	134904.059950	285.743591	285.74	structure	contour fond	ST2014
PT5969	885494.962771	134903.872154	285.643958	285.64	structure	fond	ST2014
PT5970	885559.803086	134872.224754	285.313802	285.31	structure	contour intermédiaire	ST2096
PT5971	885559.270890	134871.796993	285.272333	285.27	structure	contour intermédiaire	ST2096
PT5972	885558.823357	134871.676729	285.237706	285.24	structure	contour intermédiaire	ST2096
PT5973	885558.516171	134871.449838	285.212646	285.21	structure	contour intermédiaire	ST2096
PT5974	885558.395058	134871.734129	285.228520	285.23	structure	contour intermédiaire	ST2096
PT5975	885557.850417	134872.285161	285.257597	285.26	structure	contour intermédiaire	ST2096
PT5976	885494.513165	134902.646792	285.891944	285.89	structure	clou coupe	ST2293
PT5977	885494.006364	134902.765524	285.893039	285.89	structure	clou coupe	ST2293
PT5978	885567.390630	134849.736152	286.295161	286.3	structure	contour	ST2102
PT5979	885566.006224	134850.604393	286.271166	286.27	structure	contour	ST2102
PT5980	885566.490278	134850.984156	286.266698	286.27	structure	contour	ST2102
PT5981	885567.629607	134850.057731	286.312055	286.31	structure	contour	ST2102
PT5982	885566.985934	134848.496886	286.371127	286.37	structure	contour	ST2103
PT5983	885566.621332	134848.061315	286.398174	286.4	structure	contour	ST2103
PT5984	885565.442622	134848.893329	286.331712	286.33	structure	contour	ST2103
PT5985	885565.797164	134849.362238	286.338404	286.34	structure	contour	ST2103
PT5986	885564.164080	134850.494114	286.330287	286.33	structure	clou carroyage	ST2101
PT5987	885563.620353	134849.580923	286.352603	286.35	structure	clou carroyage	ST2101
PT5988	885562.686860	134850.126246	286.326332	286.33	structure	clou carroyage	ST2101
PT5989	885563.241865	134851.052902	286.301490	286.3	structure	clou carroyage	ST2101
PT5990	885563.904762	134849.897847	286.330353	286.33	structure	contour	ST2101
PT5991	885563.193119	134849.826729	286.337966	286.34	structure	contour	ST2101
PT5992	885563.047887	134850.560909	286.309262	286.31	structure	contour	ST2101
PT5993	885563.768886	134850.747617	286.322866	286.32	structure	contour	ST2101
PT5994	885564.154344	134851.944529	286.261706	286.26	structure	contour	ST2099
PT5995	885563.010864	134852.576450	286.248196	286.25	structure	contour	ST2099
PT5996	885563.283423	134853.070913	286.247181	286.25	structure	contour	ST2099
PT5997	885564.464681	134852.244935	286.258843	286.26	structure	contour	ST2099
PT5998	885564.047924	134853.676740	286.224506	286.22	structure	clou carroyage	ST2098
PT5999	885563.092157	134853.921466	286.214349	286.21	structure	clou carroyage	ST2098
PT6000	885563.322574	134854.875306	286.157760	286.16	structure	clou carroyage	ST2098
PT6001	885564.282956	134854.642838	286.172365	286.17	structure	clou carroyage	ST2098
PT6002	885563.979948	134854.202328	286.187315	286.19	structure	contour	ST2098
PT6003	885563.570679	134853.949369	286.204494	286.2	structure	contour	ST2098
PT6004	885563.456192	134854.411210	286.179633	286.18	structure	contour	ST2098
PT6005	885563.845033	134854.595186	286.161916	286.16	structure	contour	ST2098
PT6006	885559.838967	134872.216725	285.199357	285.2	structure	contour intermédiaire	ST2096

PT	X (est)	Y (nord)	Z (alti)	Z (alti)	élément	type de point	identifiant
PT6007	885559.210814	134871.814285	285.162429	285.16	structure	contour intermédiaire	ST2096
PT6008	885558.755418	134871.605107	285.144570	285.14	structure	contour intermédiaire	ST2096
PT6009	885558.518381	134871.499755	285.150495	285.15	structure	contour intermédiaire	ST2096
PT6010	885558.253750	134871.807249	285.145352	285.15	structure	contour intermédiaire	ST2096
PT6011	885557.802728	134872.219165	285.146690	285.15	structure	contour intermédiaire	ST2096
PT6012	885508.076899	134881.477824	286.163111	286.16	structure	contour	ST2309
PT6013	885508.371241	134881.551195	286.160486	286.16	structure	contour	ST2309
PT6014	885508.200059	134881.301913	286.168774	286.17	structure	contour	ST2309
PT6015	885508.236421	134881.376271	286.052556	286.05	structure	contour fond	ST2309
PT6016	885508.151878	134881.507978	286.057915	286.06	structure	contour fond	ST2309
PT6017	885508.331622	134881.417851	286.067572	286.07	structure	contour fond	ST2309
PT6018	885508.216632	134881.461479	286.037826	286.04	structure	fond	ST2309
PT6019	885486.726662	134886.443323	285.927765	285.93	structure	contour	ST2005
PT6020	885487.129192	134886.513848	285.939207	285.94	structure	contour	ST2005
PT6021	885486.906862	134886.321701	285.913407	285.91	structure	contour	ST2005
PT6022	885486.946001	134886.381949	285.842294	285.84	structure	contour fond	ST2005
PT6023	885486.858386	134886.520858	285.861821	285.86	structure	contour fond	ST2005
PT6024	885487.049941	134886.457915	285.855960	285.86	structure	contour fond	ST2005
PT6025	885486.958506	134886.421923	285.830510	285.83	structure	fond	ST2005
PT6026	885486.444139	134886.430680	285.941851	285.94	structure	clou coupe	ST2005
PT6027	885487.181989	134886.420180	285.954679	285.95	structure	clou coupe	ST2005
PT6028	885486.449390	134886.056608	285.950835	285.95	structure	clou carroyage	ST2005
PT6029	885486.499819	134886.768399	285.952710	285.95	structure	clou carroyage	ST2005
PT6030	885487.154444	134886.714873	285.962609	285.96	structure	clou carroyage	ST2005
PT6031	885487.147407	134886.073343	285.956768	285.96	structure	clou carroyage	ST2005
PT6032	885559.742636	134872.185325	285.121803	285.12	structure	contour intermédiaire	ST2096
PT6033	885559.202838	134871.744324	285.060387	285.06	structure	contour intermédiaire	ST2096
PT6034	885558.776015	134871.613840	285.045135	285.05	structure	contour intermédiaire	ST2096
PT6035	885558.367691	134871.695234	285.042763	285.04	structure	contour intermédiaire	ST2096
PT6036	885557.832024	134872.153614	285.061219	285.06	structure	contour intermédiaire	ST2096
PT6037	885559.710081	134872.214582	284.982315	284.98	structure	contour intermédiaire	ST2096
PT6038	885559.017341	134871.751332	284.906158	284.91	structure	contour intermédiaire	ST2096
PT6039	885558.529623	134871.564163	284.910047	284.91	structure	contour intermédiaire	ST2096
PT6040	885557.857031	134872.221091	284.900713	284.9	structure	contour intermédiaire	ST2096
PT6041	885506.790052	134885.425466	285.998570	286	structure	contour	ST2241
PT6042	885507.108024	134885.979304	285.996154	286	structure	contour	ST2241
PT6043	885507.652501	134886.295658	285.995676	286	structure	contour	ST2241
PT6044	885508.559977	134886.179091	286.040331	286.04	structure	contour	ST2241
PT6045	885508.966472	134885.544815	286.063131	286.06	structure	contour	ST2241
PT6046	885508.972577	134885.038673	286.071085	286.07	structure	contour	ST2241
PT6047	885506.958447	134885.335405	285.882806	285.88	structure	contour fond	ST2241
PT6048	885507.374660	134885.989066	285.886939	285.89	structure	contour fond	ST2241
PT6049	885507.913360	134886.276597	285.909007	285.91	structure	contour fond	ST2241
PT6050	885508.366449	134886.209234	285.948712	285.95	structure	contour fond	ST2241
PT6051	885507.483350	134885.626006	285.852148	285.85	structure	fond	ST2241
PT6052	885507.736457	134885.262096	285.855848	285.86	structure	contour	ST2241
PT6053	885508.000056	134885.604185	285.864371	285.86	structure	contour	ST2241
PT6054	885508.246489	134886.057754	285.864162	285.86	structure	contour	ST2241
PT6055	885508.716329	134885.997205	285.974014	285.97	structure	contour	ST2241
PT6056	885508.981545	134885.043459	286.070606	286.07	structure	contour	ST2241
PT6057	885507.970484	134885.217781	285.690281	285.69	structure	contour fond	ST2241
PT6058	885508.272693	134885.536070	285.666301	285.67	structure	contour fond	ST2241
PT6059	885508.551184	134885.845791	285.686706	285.69	structure	contour fond	ST2241
PT6060	885508.784200	134885.485320	285.689242	285.69	structure	contour fond	ST2241
PT6061	885508.671164	134885.059017	285.699122	285.7	structure	contour fond	ST2241
PT6062	885508.525038	134885.438745	285.635156	285.64	structure	fond	ST2241
PT6063	885559.074055	134872.310628	284.815628	284.82	structure	contour	ST2096
PT6064	885558.923147	134872.284441	284.806310	284.81	structure	contour	ST2096
PT6065	885558.796771	134872.228576	284.795679	284.8	structure	contour	ST2096
PT6066	885558.622123	134872.270453	284.798137	284.8	structure	contour	ST2096
PT6067	885558.462751	134872.231806	284.813478	284.81	structure	contour	ST2096
PT6068	885558.385941	134872.380443	284.787736	284.79	structure	contour	ST2096
PT6069	885558.298041	134872.601693	284.843564	284.84	structure	contour	ST2096
PT6070	885495.071935	134867.597597	286.045468	286.05	structure	contour	ST2075
PT6071	885495.736219	134868.035434	286.052122	286.05	structure	contour	ST2075
PT6072	885496.139031	134867.789988	286.035747	286.04	structure	contour	ST2075

Annexe 4 - Le Clos de Roque, Saint-Maximin-la-Sainte-Baume (83). Inventaire des points topographiques.



PT	X (est)	Y (nord)	Z (alti)	Z (alti)	élément	type de point	identifiant
PT6073	885496.215027	134867.391025	286.047068	286.05	structure	contour	ST2075
PT6074	885496.179991	134867.074671	286.041018	286.04	structure	contour	ST2075
PT6075	885559.660964	134872.239613	284.698214	284.7	structure	contour intermédiaire	ST2096
PT6076	885559.199589	134871.820392	284.676897	284.68	structure	contour intermédiaire	ST2096
PT6077	885558.576908	134871.728169	284.651374	284.65	structure	contour intermédiaire	ST2096
PT6078	885557.858193	134872.212490	284.653707	284.65	structure	contour intermédiaire	ST2096
PT6079	885561.063618	134852.413831	286.250002	286.25	structure	contour	ST2105
PT6080	885560.710410	134851.960645	286.264362	286.26	structure	contour	ST2105
PT6081	885559.439865	134852.845558	286.252722	286.25	structure	contour	ST2105
PT6082	885559.879628	134853.381962	286.223242	286.22	structure	contour	ST2105
PT6083	885560.538889	134850.551950	286.303192	286.3	structure	contour	ST2106
PT6084	885560.239362	134850.148429	286.321699	286.32	structure	contour	ST2106
PT6085	885558.884985	134851.057765	286.274847	286.27	structure	contour	ST2106
PT6086	885559.188510	134851.487952	286.250540	286.25	structure	contour	ST2106
PT6087	885557.084872	134853.565991	286.214395	286.21	structure	contour	ST2117
PT6088	885556.338394	134854.095516	286.227734	286.23	structure	contour	ST2117
PT6089	885556.610362	134854.554970	286.188526	286.19	structure	contour	ST2117
PT6090	885557.320077	134854.000066	286.223320	286.22	structure	contour	ST2117
PT6091	885558.532091	134850.559578	286.325444	286.33	structure	clou carroyage	ST2107
PT6092	885557.858255	134850.684024	286.324685	286.32	structure	clou carroyage	ST2107
PT6093	885557.982480	134851.378069	286.296537	286.3	structure	clou carroyage	ST2107
PT6094	885558.683528	134851.245035	286.299877	286.3	structure	clou carroyage	ST2107
PT6095	885558.523885	134850.804856	286.319972	286.32	structure	contour	ST2107
PT6096	885558.113244	134850.621147	286.310718	286.31	structure	contour	ST2107
PT6097	885557.908063	134851.057050	286.300318	286.3	structure	contour	ST2107
PT6098	885558.258873	134851.139898	286.297622	286.3	structure	contour	ST2107
PT6099	885557.929683	134852.082211	286.275731	286.28	structure	contour	ST2108
PT6100	885557.814662	134852.435378	286.272643	286.27	structure	contour	ST2108
PT6101	885558.161991	134852.566754	286.273102	286.27	structure	contour	ST2108
PT6102	885558.242527	134852.237476	286.281214	286.28	structure	contour	ST2108
PT6103	885556.849882	134852.266225	286.272834	286.27	structure	contour	ST2109
PT6104	885555.969718	134852.987046	286.253632	286.25	structure	contour	ST2109
PT6105	885556.256589	134853.336688	286.233405	286.23	structure	contour	ST2109
PT6106	885557.180353	134852.687251	286.228058	286.23	structure	contour	ST2109
PT6107	885558.651813	134847.953078	286.284105	286.28	structure	clou carroyage	ST2104
PT6108	885557.883422	134848.165665	286.283154	286.28	structure	clou carroyage	ST2104
PT6109	885558.141206	134849.128493	286.258400	286.26	structure	clou carroyage	ST2104
PT6110	885558.902961	134848.887922	286.235683	286.24	structure	clou carroyage	ST2104
PT6111	885558.667782	134848.451372	286.252715	286.25	structure	contour	ST2104
PT6112	885558.248353	134848.169342	286.261196	286.26	structure	contour	ST2104
PT6113	885558.034970	134848.670909	286.258561	286.26	structure	contour	ST2104
PT6114	885558.470679	134848.957309	286.238185	286.24	structure	contour	ST2104
PT6115	885559.415535	134856.244194	286.114987	286.11	structure	contour	ST2118
PT6116	885558.547604	134857.000277	286.126877	286.13	structure	contour	ST2118
PT6117	885558.910955	134857.489370	286.123518	286.12	structure	contour	ST2118
PT6118	885559.752373	134856.830099	286.126937	286.13	structure	contour	ST2118
PT6119	885551.919556	134849.541944	286.302964	286.3	structure	contour	ST2111
PT6120	885551.799638	134850.180126	286.313690	286.31	structure	contour	ST2111
PT6121	885551.124485	134850.427537	286.324293	286.32	structure	contour	ST2111
PT6122	885550.738114	134849.826780	286.336183	286.34	structure	contour	ST2111
PT6123	885552.729304	134851.710176	286.260418	286.26	structure	contour	ST2110
PT6124	885551.776031	134852.236220	286.288766	286.29	structure	contour	ST2110
PT6125	885552.037531	134852.604175	286.271504	286.27	structure	contour	ST2110
PT6126	885553.008153	134852.116121	286.272888	286.27	structure	contour	ST2110
PT6127	885548.250247	134856.072321	286.251542	286.25	structure	contour	ST2112
PT6128	885547.998471	134856.231351	286.229381	286.23	structure	contour	ST2112
PT6129	885548.148193	134856.414520	286.246023	286.25	structure	contour	ST2112
PT6130	885548.382661	134856.309186	286.252233	286.25	structure	contour	ST2112
PT6131	885547.260837	134859.029137	286.233970	286.23	structure	contour	ST2116
PT6132	885547.070219	134859.667568	286.210716	286.21	structure	contour	ST2116
PT6133	885547.671397	134859.753983	286.244853	286.24	structure	contour	ST2116
PT6134	885547.759650	134859.213778	286.243580	286.24	structure	contour	ST2116
PT6135	885554.225504	134859.658863	286.128672	286.13	structure	clou carroyage	ST2120
PT6136	885553.926352	134859.703790	286.132937	286.13	structure	clou carroyage	ST2120
PT6137	885554.011106	134860.013894	286.130613	286.13	structure	clou carroyage	ST2120
PT6138	885554.304813	134859.949219	286.124983	286.12	structure	clou carroyage	ST2120

PT	X (est)	Y (nord)	Z (alti)	Z (alti)	élément	type de point	identifiant
PT6139	885554.157267	134859.735376	286.126398	286.13	structure	contour	ST2120
PT6140	885554.033422	134859.827646	286.129356	286.13	structure	contour	ST2120
PT6141	885554.118700	134859.918604	286.125277	286.13	structure	contour	ST2120
PT6142	885554.231955	134859.833214	286.103249	286.1	structure	contour	ST2120
PT6143	885556.537252	134860.383623	286.112215	286.11	structure	clou carroyage	ST2119
PT6144	885556.247679	134860.427586	286.090839	286.09	structure	clou carroyage	ST2119
PT6145	885556.298373	134860.717853	286.094551	286.09	structure	clou carroyage	ST2119
PT6146	885556.605451	134860.681983	286.116619	286.12	structure	clou carroyage	ST2119
PT6147	885556.436881	134860.487672	286.084030	286.08	structure	contour	ST2119
PT6148	885556.322269	134860.514161	286.096111	286.1	structure	contour	ST2119
PT6149	885556.370912	134860.691815	286.095928	286.1	structure	contour	ST2119
PT6150	885556.479302	134860.653668	286.102715	286.1	structure	contour	ST2119
PT6151	885565.639833	134860.207547	286.066345	286.07	structure	clou carroyage	ST2249
PT6152	885565.668226	134860.522375	286.073820	286.07	structure	clou carroyage	ST2249
PT6153	885565.958057	134860.500339	286.067729	286.07	structure	clou carroyage	ST2249
PT6154	885565.944458	134860.179315	286.062437	286.06	structure	clou carroyage	ST2249
PT6155	885565.871395	134860.274557	286.062341	286.06	structure	contour	ST2249
PT6156	885565.756937	134860.264380	286.065906	286.07	structure	contour	ST2249
PT6157	885565.745949	134860.391979	286.058041	286.06	structure	contour	ST2249
PT6158	885565.921810	134860.403924	286.065342	286.07	structure	contour	ST2249
PT6159	885569.710193	134883.520254	285.220289	285.22	structure	contour fond	ST2021
PT6160	885569.734438	134883.061696	285.203362	285.2	structure	contour fond	ST2021
PT6161	885570.103649	134882.882671	285.201558	285.2	structure	contour fond	ST2021
PT6162	885570.412358	134883.150451	285.249802	285.25	structure	contour fond	ST2021
PT6163	885570.000238	134883.387718	285.168448	285.17	structure	contour fond	ST2021
PT6164	885569.990212	134883.151070	285.174078	285.17	structure	contour fond	ST2021
PT6165	885494.065338	134902.776647	285.856040	285.86	structure	contour	ST2293
PT6166	885494.310327	134902.895080	285.860770	285.86	structure	contour	ST2293
PT6167	885494.428480	134902.662922	285.881492	285.88	structure	contour	ST2293
PT6168	885494.221077	134902.541507	285.870931	285.87	structure	contour	ST2293
PT6169	885494.395405	134902.703175	285.723592	285.72	structure	contour fond	ST2293
PT6170	885494.248870	134902.591694	285.716678	285.72	structure	contour fond	ST2293
PT6171	885494.128984	134902.785884	285.724986	285.72	structure	contour fond	ST2293
PT6172	885494.275417	134902.869766	285.729789	285.73	structure	contour fond	ST2293
PT6173	885494.232053	134902.843808	285.720087	285.72	structure	contour	ST2293
PT6174	885494.292818	134902.714847	285.708203	285.71	structure	contour	ST2293
PT6175	885494.201674	134902.614293	285.714900	285.71	structure	contour	ST2293
PT6176	885494.122347	134902.740295	285.717744	285.72	structure	contour	ST2293
PT6177	885494.252378	134902.733960	285.641748	285.64	structure	fond	ST2293
PT6178	885494.189498	134902.659155	285.642852	285.64	structure	fond	ST2293
PT6179	885494.149104	134902.762109	285.652190	285.65	structure	fond	ST2293
PT6180	885494.209088	134902.832789	285.669660	285.67	structure	fond	ST2293
PT6181	885494.198266	134902.746337	285.644270	285.64	structure	fond	ST2293
PT6182	885562.966156	134887.936140	285.542832	285.54	prélèvement	ST2024	P152
PT6183	885572.188374	134890.596948	285.657512	285.66	structure	contour	ST2020
PT6184	885572.539853	134890.204439	285.645772	285.65	structure	contour	ST2020
PT6185	885573.122586	134890.384339	285.639696	285.64	structure	contour	ST2020
PT6186	885573.268235	134890.814349	285.661543	285.66	structure	contour	ST2020
PT6187	885572.326501	134890.616273	285.603020	285.6	structure	contour fond	ST2020
PT6188	885572.847423	134890.239957	285.588138	285.59	structure	contour fond	ST2020
PT6189	885573.146606	134890.780853	285.630688	285.63	structure	contour fond	ST2020
PT6190	885572.753813	134890.688552	285.594966	285.59	structure	fond	ST2020
PT6191	885565.810076	134860.341522	285.973526	285.97	structure	fond	ST2249
PT6192	885556.395367	134860.584874	286.014880	286.01	structure	fond	ST2119
PT6193	885554.191170	134859.797046	286.047721	286.05	structure	fond	ST2120
PT6194	885563.920280	134849.920931	286.244869	286.24	structure	clou coupe	ST2101
PT6195	885562.759178	134850.284959	286.246155	286.25	structure	clou coupe	ST2101
PT6196	885502.275594	134890.672735	285.957370	285.96	structure	contour	ST2307
PT6197	885502.494278	134890.532896	285.953682	285.95	structure	contour	ST2307
PT6198	885502.722490	134890.623038	285.938786	285.94	structure	contour	ST2307
PT6199	885502.769868	134890.789196	285.942571	285.94	structure	contour	ST2307
PT6200	885502.729492	134890.776205	285.898917	285.9	structure	contour fond	ST2307
PT6201	885502.594281	134890.624709	285.888773	285.89	structure	contour fond	ST2307
PT6202	885502.436372	134890.605558	285.875100	285.88	structure	contour fond	ST2307
PT6203	885502.366235	134890.790780	285.861706	285.86	structure	contour fond	ST2307
PT6204	885502.535845	134890.785720	285.860137	285.86	structure	contour fond	ST2307

Annexe 4 - Le Clos de Roque, Saint-Maximin-la-Sainte-Baume (83). Inventaire des points topographiques.



PT	X (est)	Y (nord)	Z (alti)	Z (alti)	élément	type de point	identifiant
PT6205	885502.529937	134890.699822	285.874407	285.87	structure	fond	ST2307
PT6206	885558.342056	134873.260857	285.049939	285.05	structure	clou coupe	ST2096
PT6207	885558.350032	134873.292987	285.049005	285.05	structure	clou coupe	ST2096
PT6208	885559.560663	134872.328858	284.418569	284.42	structure	contour intermédiaire	ST2096
PT6209	885559.022078	134871.852416	284.324581	284.32	structure	contour intermédiaire	ST2096
PT6210	885558.491403	134871.932865	284.320693	284.32	structure	contour intermédiaire	ST2096
PT6211	885557.873402	134872.270040	284.330196	284.33	structure	contour intermédiaire	ST2096
PT6212	885558.859250	134872.706027	284.438517	284.44	structure	contour intermédiaire	ST2096
PT6213	885558.862495	134872.695975	284.436541	284.44	structure	contour intermédiaire	ST2096
PT6214	885558.720281	134872.336194	284.375206	284.38	structure	contour intermédiaire	ST2096
PT6215	885558.311673	134872.030196	284.323591	284.32	structure	contour intermédiaire	ST2096
PT6216	885503.753950	134889.026853	285.965632	285.97	structure	contour	ST2018
PT6217	885503.810187	134889.230892	285.995477	286	structure	contour	ST2018
PT6218	885504.122381	134889.286903	286.002871	286	structure	contour	ST2018
PT6219	885504.338149	134889.153861	285.953154	285.95	structure	contour	ST2018
PT6220	885504.187143	134889.092885	285.767374	285.77	structure	contour fond	ST2018
PT6221	885504.088842	134889.182891	285.816508	285.82	structure	contour fond	ST2018
PT6222	885503.893240	134889.122641	285.832960	285.83	structure	contour fond	ST2018
PT6223	885503.823622	134888.996038	285.781208	285.78	structure	contour fond	ST2018
PT6224	885504.011456	134889.039980	285.763805	285.76	structure	contour fond	ST2018
PT6225	885503.982272	134889.095177	285.784084	285.78	structure	fond	ST2018
PT6226	885525.911707	134892.517411	285.968548	285.97	structure	contour	ST2233
PT6227	885526.083701	134892.805909	286.037367	286.04	structure	contour	ST2233
PT6228	885526.588397	134892.860491	286.022698	286.02	structure	contour	ST2233
PT6229	885526.637590	134892.387562	286.036269	286.04	structure	contour	ST2233
PT6230	885526.538069	134892.399594	285.930687	285.93	structure	contour fond	ST2233
PT6231	885526.544582	134892.822722	285.901396	285.9	structure	contour fond	ST2233
PT6232	885526.236497	134892.848500	285.902855	285.9	structure	contour fond	ST2233
PT6233	885526.032127	134892.489756	285.886380	285.89	structure	contour fond	ST2233
PT6234	885526.322622	134892.399761	285.875077	285.88	structure	contour fond	ST2233
PT6235	885526.336140	134892.616546	285.888702	285.89	structure	fond	ST2233
PT6236	885557.528352	134872.281701	285.673651	285.67	structure	contour intermédiaire	ST2096
PT6237	885557.114073	134871.881568	285.702305	285.7	structure	contour intermédiaire	ST2096
PT6238	885556.532436	134872.352718	285.704268	285.7	structure	contour intermédiaire	ST2096
PT6239	885556.565854	134872.856901	285.710451	285.71	structure	contour intermédiaire	ST2096
PT6240	885556.668109	134873.092371	285.705380	285.71	structure	contour intermédiaire	ST2096
PT6241	885556.478482	134873.081622	285.713762	285.71	structure	contour intermédiaire	ST2096
PT6242	885556.593245	134873.397981	285.705085	285.71	structure	contour intermédiaire	ST2096
PT6243	885556.741687	134873.233626	285.714083	285.71	structure	contour intermédiaire	ST2096
PT6244	885556.912013	134873.459834	285.712937	285.71	structure	contour intermédiaire	ST2096
PT6245	885556.518198	134873.235843	285.680345	285.68	structure	fond	ST2096
PT6246	885557.515550	134872.328351	285.677225	285.68	structure	contour intermédiaire	ST2096
PT6247	885557.496675	134872.676155	285.659904	285.66	structure	contour intermédiaire	ST2096
PT6248	885557.453015	134873.017784	285.647268	285.65	structure	contour intermédiaire	ST2096
PT6249	885557.584201	134873.133469	285.648876	285.65	structure	contour intermédiaire	ST2096
PT6250	885557.780218	134850.906338	286.227460	286.23	structure	clou coupe	ST2107
PT6251	885558.526508	134850.705948	286.213229	286.21	structure	clou coupe	ST2107
PT6252	885557.774114	134872.414656	285.073608	285.07	structure	contour	ST2096
PT6253	885557.822957	134872.567484	285.053006	285.05	structure	contour	ST2096
PT6254	885557.779187	134872.618920	285.044265	285.04	structure	contour	ST2096
PT6255	885557.786856	134872.750940	285.026940	285.03	structure	contour	ST2096
PT6256	885557.895456	134872.826700	285.018372	285.02	structure	contour	ST2096
PT6257	885558.001044	134872.850706	284.985026	284.99	structure	contour	ST2096
PT6258	885484.911819	134880.987119	285.911764	285.91	prélèvement	P154	
PT6259	885494.688807	134883.932635	286.051887	286.05	structure	contour	ST2017
PT6260	885494.933950	134884.175894	286.052802	286.05	structure	contour	ST2017
PT6261	885495.300121	134884.066886	286.053043	286.05	structure	contour	ST2017
PT6262	885494.994727	134883.970027	285.961966	285.96	structure	fond	ST2017
PT6263	885557.878151	134872.301104	284.295687	284.3	structure	contour	ST2096
PT6264	885557.800776	134872.571535	284.289454	284.29	structure	contour	ST2096
PT6265	885557.836342	134872.910444	284.292707	284.29	structure	contour	ST2096
PT6266	885562.777124	134850.188055	286.393264	286.39	structure	contour	ST2101
PT6267	885562.947929	134849.828212	286.391733	286.39	structure	contour	ST2101
PT6268	885563.215301	134849.669320	286.393187	286.39	structure	contour	ST2101
PT6269	885563.538713	134849.636096	286.394167	286.39	structure	contour	ST2101
PT6270	885563.826258	134849.889120	286.375811	286.38	structure	contour	ST2101

Annexe 4 - Le Clos de Roque, Saint-Maximin-la-Sainte-Baume (83). Inventaire des points topographiques.

PT	X (est)	Y (nord)	Z (alti)	Z (alti)	élément	type de point	identifiant
PT6271	885563.640140	134849.940384	286.238117	286.24	structure	contour fond	ST2101
PT6272	885563.298573	134850.083431	286.162106	286.16	structure	contour fond	ST2101
PT6273	885562.997984	134850.122996	286.175939	286.18	structure	contour fond	ST2101
PT6274	885563.210431	134849.785589	286.181993	286.18	structure	contour fond	ST2101
PT6275	885563.270990	134849.911541	286.149321	286.15	structure	fond	ST2101
PT6276	885557.815775	134850.957501	286.353584	286.35	structure	contour	ST2107
PT6277	885558.051335	134851.190756	286.367567	286.37	structure	contour	ST2107
PT6278	885558.419794	134851.080650	286.370644	286.37	structure	contour	ST2107
PT6279	885558.531074	134850.750291	286.376896	286.38	structure	contour	ST2107
PT6280	885557.929561	134850.967598	286.308343	286.31	structure	contour fond	ST2107
PT6281	885557.993549	134850.873527	286.252886	286.25	structure	contour fond	ST2107
PT6282	885558.227479	134851.103095	286.246966	286.25	structure	contour fond	ST2107
PT6283	885558.320027	134850.792953	286.239435	286.24	structure	contour fond	ST2107
PT6284	885558.168661	134850.947631	286.233827	286.23	structure	fond	ST2107
PT6285	885562.158992	134888.355876	285.916467	285.92	structure	contour	ST2024
PT6286	885562.575693	134887.797979	285.919963	285.92	structure	contour	ST2024
PT6287	885563.054756	134887.663833	285.889262	285.89	structure	contour	ST2024
PT6288	885563.340708	134887.956034	285.905350	285.91	structure	contour	ST2024
PT6289	885562.352215	134888.336185	285.681455	285.68	structure	contour fond	ST2024
PT6290	885562.677886	134887.919836	285.712653	285.71	structure	contour fond	ST2024
PT6291	885562.920165	134888.091084	285.659363	285.66	structure	contour fond	ST2024
PT6292	885563.044930	134887.753847	285.676675	285.68	structure	contour fond	ST2024
PT6293	885563.256232	134888.050736	285.665299	285.67	structure	contour fond	ST2024
PT6294	885563.007663	134887.901936	285.601931	285.6	structure	fond	ST2024
PT6295	885556.012940	134873.745874	285.075334	285.08	structure	clou coupe	ST2096
PT6296	885558.028727	134872.907152	285.092789	285.09	structure	clou coupe	ST2096
PT6297	885558.730311	134874.384450	285.922817	285.92	structure	contour	ST2096
PT6298	885557.960944	134874.526000	285.896234	285.9	structure	contour	ST2096
PT6299	885557.694588	134874.705133	285.870422	285.87	structure	contour	ST2096
PT6300	885557.280002	134874.786346	285.865991	285.87	structure	contour	ST2096
PT6301	885556.875922	134874.726221	285.855336	285.86	structure	contour	ST2096
PT6302	885556.558912	134874.453361	285.866780	285.87	structure	contour	ST2096
PT6303	885556.232755	134873.993956	285.862476	285.86	structure	contour	ST2096
PT6304	885495.508646	134926.412469	285.494982	285.49	structure	clou coupe	ST2009
PT6305	885496.984107	134925.856129	285.500295	285.5	structure	clou coupe	ST2009
PT6306	885496.006039	134926.333732	285.629080	285.63	prélèvement	P155 us4	ST2009
PT6307	885558.579544	134874.057129	285.738142	285.74	structure	contour intermédiaire	ST2096
PT6308	885558.193882	134874.112181	285.708956	285.71	structure	contour intermédiaire	ST2096
PT6309	885557.761758	134874.099220	285.699605	285.7	structure	contour intermédiaire	ST2096
PT6310	885557.403570	134874.283249	285.690764	285.69	structure	contour intermédiaire	ST2096
PT6311	885557.084917	134873.890804	285.690538	285.69	structure	contour intermédiaire	ST2096
PT6312	885556.905187	134873.584210	285.688003	285.69	structure	contour intermédiaire	ST2096
PT6313	885556.661837	134873.718596	285.697197	285.7	structure	contour intermédiaire	ST2096
PT6314	885557.044024	134874.004530	285.690386	285.69	structure	contour intermédiaire	ST2096
PT6315	885557.353398	134874.306074	285.682142	285.68	structure	contour intermédiaire	ST2096
PT6316	885557.266377	134874.594043	285.691405	285.69	structure	contour intermédiaire	ST2096
PT6317	885556.904313	134874.558403	285.724962	285.72	structure	contour intermédiaire	ST2096
PT6318	885556.883380	134874.420635	285.720798	285.72	structure	contour intermédiaire	ST2096
PT6319	885556.407861	134874.286241	285.752556	285.75	structure	contour intermédiaire	ST2096
PT6320	885556.147157	134873.961711	285.745226	285.75	structure	contour intermédiaire	ST2096
PT6321	885558.497863	134873.883571	285.608854	285.61	structure	contour intermédiaire	ST2096
PT6322	885558.408266	134873.886977	285.621797	285.62	structure	contour intermédiaire	ST2096
PT6323	885558.258445	134873.830421	285.618688	285.62	structure	contour intermédiaire	ST2096
PT6324	885558.157007	134874.006346	285.602789	285.6	structure	contour intermédiaire	ST2096
PT6325	885557.861446	134873.992435	285.577656	285.58	structure	contour intermédiaire	ST2096
PT6326	885557.833833	134873.880522	285.599973	285.6	structure	contour intermédiaire	ST2096
PT6327	885557.328401	134874.027835	285.623912	285.62	structure	contour intermédiaire	ST2096
PT6328	885557.079895	134873.895987	285.620221	285.62	structure	contour intermédiaire	ST2096
PT6329	885556.958789	134874.098139	285.622221	285.62	structure	contour intermédiaire	ST2096
PT6330	885556.975513	134874.356627	285.611778	285.61	structure	contour intermédiaire	ST2096
PT6331	885556.776471	134874.393262	285.605076	285.61	structure	contour intermédiaire	ST2096
PT6332	885556.697843	134874.251002	285.604571	285.6	structure	contour intermédiaire	ST2096
PT6333	885556.727045	134874.081036	285.606547	285.61	structure	contour intermédiaire	ST2096
PT6334	885556.621603	134873.973997	285.606268	285.61	structure	contour intermédiaire	ST2096
PT6335	885556.591356	134873.659995	285.615547	285.62	structure	contour intermédiaire	ST2096
PT6336	885516.733900	134847.620164	286.276978	286.28	structure	clou carroyage	ST2225

Annexe 4 - Le Clos de Roque, Saint-Maximin-la-Sainte-Baume (83). Inventaire des points topographiques.

PT	X (est)	Y (nord)	Z (alti)	Z (alti)	élément	type de point	identifiant
PT6337	885518.114931	134847.489025	286.292922	286.29	structure	clou carroyage	ST2225
PT6338	885518.019240	134846.471641	286.275820	286.28	structure	clou carroyage	ST2225
PT6339	885516.628988	134846.622817	286.264458	286.26	structure	clou carroyage	ST2225
PT6340	885503.480023	134872.878276	285.987906	285.99	structure	contour	ST2067
PT6341	885503.565614	134872.392592	286.085027	286.09	structure	contour	ST2067
PT6342	885503.924824	134872.108974	286.093269	286.09	structure	contour	ST2067
PT6343	885504.323978	134872.169317	286.066928	286.07	structure	contour	ST2067
PT6344	885504.815127	134872.436454	286.017696	286.02	structure	contour	ST2067
PT6345	885503.520453	134872.904709	285.553121	285.55	structure	contour fond	ST2067
PT6346	885503.734234	134872.249183	285.543209	285.54	structure	contour fond	ST2067
PT6347	885504.184145	134872.135142	285.512332	285.51	structure	contour fond	ST2067
PT6348	885504.756447	134872.561633	285.545524	285.55	structure	contour fond	ST2067
PT6349	885504.151929	134872.674500	285.480120	285.48	structure	fond	ST2067
PT6350	885557.488151	134873.697843	285.580323	285.58	mobilier	céramique	ST2096
PT6351	885494.897913	134867.643989	286.062527	286.06	structure	contour	ST2075
PT6352	885495.391277	134868.256651	286.051288	286.05	structure	contour	ST2075
PT6353	885495.845114	134868.251718	285.652976	285.65	structure	contour	ST2075
PT6354	885496.510165	134867.544690	285.640065	285.64	structure	contour	ST2075
PT6355	885496.441543	134867.252582	286.039263	286.04	structure	contour	ST2075
PT6356	885496.358587	134866.960042	286.036127	286.04	structure	contour	ST2075
PT6357	885495.085170	134867.499367	285.554347	285.55	structure	contour fond	ST2075
PT6358	885495.431876	134868.049656	285.501829	285.5	structure	contour fond	ST2075
PT6359	885496.093493	134867.930187	285.529249	285.53	structure	contour fond	ST2075
PT6360	885496.422626	134867.435416	285.560891	285.56	structure	contour fond	ST2075
PT6361	885496.231696	134867.002038	285.566506	285.57	structure	contour fond	ST2075
PT6362	885495.709687	134867.263538	285.479218	285.48	structure	fond	ST2075
PT6363	885558.453723	134873.786905	285.493745	285.49	structure	contour	ST2096
PT6364	885558.122390	134873.771924	285.480552	285.48	structure	contour	ST2096
PT6365	885557.872526	134873.740826	285.481501	285.48	structure	contour	ST2096
PT6366	885557.823722	134873.396027	285.483359	285.48	structure	contour	ST2096
PT6367	885557.642179	134873.166334	285.505984	285.51	structure	contour	ST2096
PT6368	885557.730776	134873.615562	285.484802	285.48	structure	contour	ST2096
PT6369	885557.622238	134873.630234	285.485611	285.49	structure	contour	ST2096
PT6370	885557.468072	134873.967600	285.495661	285.5	structure	contour	ST2096
PT6371	885557.132497	134873.842485	285.501401	285.5	structure	contour	ST2096
PT6372	885557.264397	134873.508256	285.496033	285.5	structure	contour	ST2096
PT6373	885558.337010	134873.528597	285.332541	285.33	structure	contour intermédiaire	ST2096
PT6374	885557.989593	134873.384755	285.325683	285.33	structure	contour intermédiaire	ST2096
PT6375	885557.722276	134873.110918	285.347157	285.35	structure	contour intermédiaire	ST2096
PT6376	885558.384586	134873.586921	285.185944	285.19	structure	contour intermédiaire	ST2096
PT6377	885557.935177	134873.362441	285.182230	285.18	structure	contour intermédiaire	ST2096
PT6378	885557.746661	134873.070634	285.188318	285.19	structure	contour intermédiaire	ST2096
PT6379	885558.298317	134873.432009	285.159071	285.16	structure	contour	ST2096
PT6380	885558.160946	134873.323957	285.136529	285.14	structure	contour	ST2096
PT6381	885558.065027	134873.271313	285.133632	285.13	structure	contour	ST2096
PT6382	885558.048868	134873.154473	285.124234	285.12	structure	contour	ST2096
PT6383	885557.917730	134873.094230	285.145690	285.15	structure	contour	ST2096
PT6384	885557.869195	134873.028507	285.154245	285.15	structure	contour	ST2096
PT6385	885502.574775	134956.564490	285.519091	285.52	structure	clou coupe	ST2001
PT6386	885503.964700	134957.207558	285.515150	285.52	structure	clou coupe	ST2001
PT6387	885558.336945	134873.459534	284.855440	284.86	structure	contour intermédiaire	ST2096
PT6388	885557.950444	134873.331037	284.868999	284.87	structure	contour intermédiaire	ST2096
PT6389	885557.798575	134873.049023	284.874773	284.87	structure	contour intermédiaire	ST2096
PT6390	885529.511328	134872.742425	286.137235	286.14	structure	point central	ST2333
PT6391	885530.132636	134871.458880	286.133411	286.13	structure	clou carroyage	ST2333
PT6392	885528.237580	134872.112549	286.134769	286.13	structure	clou carroyage	ST2333
PT6393	885528.960418	134873.990264	286.121978	286.12	structure	clou carroyage	ST2333
PT6394	885530.871399	134873.325796	286.170469	286.17	structure	clou carroyage	ST2333
PT6395	885530.098861	134872.576399	286.111129	286.11	structure	contour	ST2333
PT6396	885529.773440	134872.214075	286.107871	286.11	structure	contour	ST2333
PT6397	885529.335079	134872.007669	286.108167	286.11	structure	contour	ST2333
PT6398	885528.952671	134872.135289	286.126851	286.13	structure	contour	ST2333
PT6399	885528.758782	134872.527293	286.141355	286.14	structure	contour	ST2333
PT6400	885528.763989	134872.972116	286.113063	286.11	structure	contour	ST2333
PT6401	885528.991977	134873.390177	286.114151	286.11	structure	contour	ST2333
PT6402	885529.419372	134873.675961	286.118870	286.12	structure	contour	ST2333

PT	X (est)	Y (nord)	Z (alti)	Z (alti)	élément	type de point	identifiant
PT6403	885529.926671	134873.537571	286.129955	286.13	structure	contour	ST2333
PT6404	885530.259548	134873.206035	286.127687	286.13	structure	contour	ST2333
PT6405	885530.173745	134872.666516	286.110579	286.11	structure	contour	ST2333
PT6406	885528.230793	134872.130708	286.133086	286.13	structure	clou carroyage	ST2319
PT6407	885526.327285	134872.748147	286.080429	286.08	structure	clou carroyage	ST2319
PT6408	885527.284585	134875.584808	286.083580	286.08	structure	clou carroyage	ST2319
PT6409	885529.190551	134874.975100	286.117750	286.12	structure	clou carroyage	ST2319
PT6410	885528.495930	134873.458270	286.131341	286.13	structure	contour	ST2319
PT6411	885528.085587	134872.876200	286.090708	286.09	structure	contour	ST2319
PT6412	885527.418563	134872.831102	286.109701	286.11	structure	contour	ST2319
PT6413	885526.809526	134873.105519	286.104732	286.1	structure	contour	ST2319
PT6414	885526.601943	134873.546771	286.096818	286.1	structure	contour	ST2319
PT6415	885526.937936	134874.247082	286.092882	286.09	structure	contour	ST2319
PT6416	885527.563461	134874.689799	286.085073	286.09	structure	contour	ST2319
PT6417	885528.202656	134874.566668	286.083029	286.08	structure	contour	ST2319
PT6418	885528.418102	134873.993445	286.110193	286.11	structure	contour	ST2319
PT6419	885558.394035	134873.542623	284.283966	284.28	structure	contour intermédiaire	ST2096
PT6420	885558.079470	134873.370012	284.265206	284.27	structure	contour intermédiaire	ST2096
PT6421	885557.909295	134873.271551	284.256677	284.26	structure	contour intermédiaire	ST2096
PT6422	885562.732182	134875.560220	285.862379	285.86	structure	contour	ST2062
PT6423	885562.721805	134874.919494	285.931115	285.93	structure	contour	ST2062
PT6424	885562.936791	134874.446837	285.948140	285.95	structure	contour	ST2062
PT6425	885563.752853	134874.382316	285.932504	285.93	structure	contour	ST2062
PT6426	885564.276017	134874.858549	285.893764	285.89	structure	contour	ST2062
PT6427	885564.159068	134874.959915	285.781176	285.78	structure	contour fond	ST2062
PT6428	885563.477644	134875.220075	285.702015	285.7	structure	contour fond	ST2062
PT6429	885562.901474	134875.455143	285.721163	285.72	structure	contour fond	ST2062
PT6430	885562.913498	134874.865410	285.753626	285.75	structure	contour fond	ST2062
PT6431	885563.169299	134874.499246	285.772267	285.77	structure	contour fond	ST2062
PT6432	885563.819621	134874.585479	285.774681	285.77	structure	contour fond	ST2062
PT6433	885563.392173	134874.928562	285.703773	285.7	structure	fond	ST2062
PT6434	885559.590361	134872.343367	284.070330	284.07	structure	contour intermédiaire	ST2096
PT6435	885559.257934	134871.979745	284.020306	284.02	structure	contour intermédiaire	ST2096
PT6436	885558.768617	134871.684086	284.006951	284.01	structure	contour intermédiaire	ST2096
PT6437	885558.457458	134871.703483	283.999987	284	structure	contour intermédiaire	ST2096
PT6438	885557.887808	134872.369237	283.995408	284	structure	contour intermédiaire	ST2096
PT6439	885558.770201	134872.829222	284.042074	284.04	structure	contour	ST2096
PT6440	885558.820283	134872.528564	284.017936	284.02	structure	contour	ST2096
PT6441	885558.747006	134872.368957	284.016264	284.02	structure	contour	ST2096
PT6442	885558.431102	134872.112443	283.999384	284	structure	contour	ST2096
PT6443	885558.161755	134871.994745	283.998882	284	structure	contour	ST2096
PT6444	885519.839985	134881.675895	286.170509	286.17	structure	clou carroyage	ST2182
PT6445	885520.195928	134881.461230	286.183351	286.18	structure	clou carroyage	ST2182
PT6446	885520.416270	134881.827148	286.171140	286.17	structure	clou carroyage	ST2182
PT6447	885520.045090	134882.043732	286.151160	286.15	structure	clou carroyage	ST2182
PT6448	885520.149355	134882.143832	286.152220	286.15	structure	clou carroyage	ST2181
PT6449	885520.445355	134882.406284	286.158900	286.16	structure	clou carroyage	ST2181
PT6450	885520.734472	134882.100414	286.172424	286.17	structure	clou carroyage	ST2181
PT6451	885520.008688	134881.541221	286.172266	286.17	structure	clou coupe	ST2182 et ST2181
PT6452	885520.661458	134882.357934	286.166116	286.17	structure	clou coupe	ST2182 et ST2181
PT6453	885517.021952	134882.540041	286.134551	286.13	structure	clou carroyage	ST2183
PT6454	885516.550146	134882.699490	286.128026	286.13	structure	clou carroyage	ST2183
PT6455	885516.720540	134883.177909	286.101197	286.1	structure	clou carroyage	ST2183
PT6456	885517.195381	134883.007168	286.104123	286.1	structure	clou carroyage	ST2183
PT6457	885559.544112	134872.415859	283.848929	283.85	structure	contour intermédiaire	ST2096
PT6458	885559.333782	134872.022532	283.825776	283.83	structure	contour intermédiaire	ST2096
PT6459	885558.821793	134871.737506	283.805373	283.81	structure	contour intermédiaire	ST2096
PT6460	885558.491106	134871.737353	283.793813	283.79	structure	contour intermédiaire	ST2096
PT6461	885558.137177	134872.052863	283.785642	283.79	structure	contour intermédiaire	ST2096
PT6462	885557.904686	134872.405051	283.790210	283.79	structure	contour intermédiaire	ST2096
PT6463	885558.807105	134872.817298	283.853022	283.85	structure	contour intermédiaire	ST2096
PT6464	885558.792216	134872.546829	283.819804	283.82	structure	contour intermédiaire	ST2096
PT6465	885558.633553	134872.252822	283.788187	283.79	structure	contour intermédiaire	ST2096
PT6466	885558.463063	134872.099270	283.774820	283.77	structure	contour intermédiaire	ST2096
PT6467	885558.234956	134872.033476	283.789162	283.79	structure	contour intermédiaire	ST2096
PT6468	885559.514896	134872.399415	283.678571	283.68	structure	contour intermédiaire	ST2096

Annexe 4 - Le Clos de Roque, Saint-Maximin-la-Sainte-Baume (83). Inventaire des points topographiques.



PT	X (est)	Y (nord)	Z (alti)	Z (alti)	élément	type de point	identifiant
PT6469	885559.362591	134872.081806	283.660031	283.66	structure	contour intermédiaire	ST2096
PT6470	885558.970100	134871.813639	283.642543	283.64	structure	contour intermédiaire	ST2096
PT6471	885558.562664	134871.733360	283.625609	283.63	structure	contour intermédiaire	ST2096
PT6472	885558.269178	134871.943065	283.621655	283.62	structure	contour intermédiaire	ST2096
PT6473	885557.911641	134872.383355	283.617766	283.62	structure	contour intermédiaire	ST2096
PT6474	885558.818285	134872.470393	283.652485	283.65	structure	contour intermédiaire	ST2096
PT6475	885558.625446	134872.286296	283.635341	283.64	structure	contour intermédiaire	ST2096
PT6476	885558.450806	134872.093472	283.629157	283.63	structure	contour intermédiaire	ST2096
PT6477	885558.287784	134872.049737	283.623143	283.62	structure	contour intermédiaire	ST2096
PT6478	885558.206253	134872.072418	283.615864	283.62	structure	contour intermédiaire	ST2096
PT6479	885516.716454	134882.558288	286.121032	286.12	structure	clou coupe	ST2183
PT6480	885516.990185	134883.162841	286.099429	286.1	structure	clou coupe	ST2183
PT6481	885559.191775	134872.192342	283.249736	283.25	structure	contour intermédiaire	ST2096
PT6482	885558.939809	134871.842656	283.250035	283.25	structure	contour intermédiaire	ST2096
PT6483	885558.773801	134871.816749	283.239925	283.24	structure	contour intermédiaire	ST2096
PT6484	885558.590325	134871.899283	283.232268	283.23	structure	contour intermédiaire	ST2096
PT6485	885558.462173	134872.023072	283.211100	283.21	structure	contour intermédiaire	ST2096
PT6486	885558.420267	134872.149631	283.242492	283.24	structure	contour intermédiaire	ST2096
PT6487	885558.227341	134872.075562	283.226249	283.23	structure	contour intermédiaire	ST2096
PT6488	885558.069713	134872.195519	283.230388	283.23	structure	contour intermédiaire	ST2096
PT6489	885557.936116	134872.431115	283.242735	283.24	structure	contour intermédiaire	ST2096
PT6490	885558.734130	134872.382495	283.250295	283.25	structure	contour intermédiaire	ST2096
PT6491	885558.626326	134872.257897	283.264525	283.26	structure	contour intermédiaire	ST2096
PT6492	885558.406564	134872.145841	283.235537	283.24	structure	contour intermédiaire	ST2096
PT6493	885496.380785	134867.128353	286.036150	286.04	structure	clou coupe	ST2074
PT6494	885496.746600	134869.732829	286.024019	286.02	structure	clou coupe	ST2074
PT6495	885495.324568	134868.316293	286.047456	286.05	structure	contour	ST2074
PT6496	885495.265267	134868.860822	286.041269	286.04	structure	contour	ST2074
PT6497	885495.442695	134869.298032	286.041069	286.04	structure	contour	ST2074
PT6498	885495.892616	134869.529353	286.001634	286	structure	contour	ST2074
PT6499	885496.530528	134869.583373	285.985951	285.99	structure	contour	ST2074
PT6500	885497.190910	134869.388201	286.008385	286.01	structure	contour	ST2074
PT6501	885497.612430	134868.705408	286.031366	286.03	structure	contour	ST2074
PT6502	885497.649879	134868.171859	286.030008	286.03	structure	contour	ST2074
PT6503	885497.562924	134867.558950	286.051639	286.05	structure	contour	ST2074
PT6504	885497.171375	134867.315788	286.055757	286.06	structure	contour	ST2074
PT6505	885496.411767	134867.273878	286.038721	286.04	structure	contour	ST2074
PT6506	885495.668456	134868.399133	285.527224	285.53	structure	contour intermédiaire	ST2074
PT6507	885495.857763	134869.145266	285.533926	285.53	structure	contour intermédiaire	ST2074
PT6508	885496.364765	134869.293718	285.484256	285.48	structure	contour intermédiaire	ST2074
PT6509	885496.990378	134868.975319	285.404712	285.4	structure	contour intermédiaire	ST2074
PT6510	885497.009262	134867.668018	285.579416	285.58	structure	contour intermédiaire	ST2074
PT6511	885496.350131	134867.758712	285.630975	285.63	structure	contour intermédiaire	ST2074
PT6512	885495.902149	134868.629430	285.360544	285.36	structure	contour fond	ST2074
PT6513	885496.413442	134869.169095	285.392119	285.39	structure	contour fond	ST2074
PT6514	885496.922566	134868.772370	285.336244	285.34	structure	contour fond	ST2074
PT6515	885496.849400	134868.447445	285.308161	285.31	structure	contour fond	ST2074
PT6516	885496.351427	134868.331000	285.365469	285.37	structure	contour fond	ST2074
PT6517	885497.073071	134867.796732	285.481547	285.48	structure	contour	ST2074
PT6518	885497.039895	134868.347465	285.413919	285.41	structure	contour	ST2074
PT6519	885497.167437	134868.132677	285.308273	285.31	structure	fond	ST2074
PT6520	885496.449346	134868.780879	285.353040	285.35	structure	fond	ST2074
PT6521	885488.001181	134863.695171	285.922072	285.92	structure	point central	ST2334
PT6522	885488.039983	134864.137134	285.908678	285.91	structure	contour	ST2334
PT6523	885487.559112	134863.942635	285.913183	285.91	structure	contour	ST2334
PT6524	885487.608279	134863.571136	285.890211	285.89	structure	contour	ST2334
PT6525	885487.858963	134863.346949	285.938100	285.94	structure	contour	ST2334
PT6526	885488.176515	134863.324145	285.936970	285.94	structure	contour	ST2334
PT6527	885488.366369	134863.508187	285.945161	285.95	structure	contour	ST2334
PT6528	885488.385290	134863.804858	285.878167	285.88	structure	contour	ST2334
PT6529	885488.311486	134863.968649	285.889969	285.89	structure	contour	ST2334
PT6530	885558.935118	134872.374080	282.827972	282.83	prélèvement	P156	ST2096
PT6531	885559.075718	134872.303836	282.616254	282.62	prélèvement	P157	ST2096
PT6532	885558.617327	134872.519975	282.755923	282.76	prélèvement	P158	ST2096
PT6533	885559.123809	134872.263300	282.815435	282.82	prélèvement	P159	ST2096
PT6534	885557.683858	134872.017971	283.926185	283.93	prélèvement	clou coupe	ST2096

Annexe 4 - Le Clos de Roque, Saint-Maximin-la-Sainte-Baume (83). Inventaire des points topographiques.

PT	X (est)	Y (nord)	Z (alti)	Z (alti)	élément	type de point	identifiant
PT6535	885558.391124	134873.425366	283.928573	283.93	prélèvement	clou coupe	ST2096
PT6536	885488.530012	134863.771816	285.882376	285.88	prélèvement	clou coupe	ST2334
PT6537	885487.478650	134863.449053	285.915714	285.92	prélèvement	clou coupe	ST2334
PT6538	885530.310173	134873.156743	286.095647	286.1	prélèvement	clou coupe	ST2333
PT6539	885528.770470	134872.953278	286.100010	286.1	prélèvement	clou coupe	ST2333
PT6540	885496.280566	134926.239787	285.144169	285.14	prélèvement	P161	ST2009
PT6541	885559.360712	134872.190555	283.212931	283.21	structure	contour	ST2096
PT6542	885559.151767	134871.949653	283.213660	283.21	structure	contour	ST2096
PT6543	885558.862763	134871.741051	283.182699	283.18	structure	contour	ST2096
PT6544	885558.556330	134871.815018	283.157828	283.16	structure	contour	ST2096
PT6545	885558.368066	134871.995966	283.144598	283.14	structure	contour	ST2096
PT6546	885558.672652	134872.377124	283.183731	283.18	structure	contour	ST2096
PT6547	885558.583806	134872.233412	283.185417	283.19	structure	contour	ST2096
PT6548	885558.373413	134872.053518	283.148539	283.15	structure	contour	ST2096
PT6549	885558.171524	134872.088736	283.163388	283.16	structure	contour	ST2096
PT6550	885557.925409	134872.360792	283.163893	283.16	structure	contour	ST2096
PT6551	885557.840233	134872.702762	283.195322	283.2	structure	contour	ST2096
PT6552	885557.866169	134872.988985	283.206130	283.21	structure	contour	ST2096
PT6553	885557.920387	134873.159675	283.208257	283.21	structure	contour	ST2096
PT6554	885558.090481	134873.353441	283.210521	283.21	structure	contour	ST2096
PT6555	885558.359741	134873.356034	283.199392	283.2	structure	contour	ST2096
PT6556	885506.073169	134857.886591	286.055716	286.06	structure	clou coupe	ST2250
PT6557	885504.893270	134857.909302	286.036626	286.04	structure	clou coupe	ST2250
PT6558	885489.383002	134860.756336	286.125498	286.13	structure	contour	ST2328
PT6559	885489.654840	134861.482418	286.107220	286.11	structure	contour	ST2328
PT6560	885490.804110	134862.424345	286.077605	286.08	structure	contour	ST2328
PT6561	885491.553047	134862.167594	286.110284	286.11	structure	contour	ST2328
PT6562	885492.038123	134861.731225	286.104821	286.1	structure	contour	ST2328
PT6563	885492.427608	134861.117033	286.118589	286.12	structure	contour	ST2328
PT6564	885492.537273	134860.473514	286.125745	286.13	structure	contour	ST2328
PT6565	885492.361314	134859.849392	286.107134	286.11	structure	contour	ST2328
PT6566	885558.839996	134872.305699	282.182418	282.18	prélèvement	P162	ST2096
PT6567	885558.791566	134872.595908	282.144681	282.14	prélèvement	P166	ST2096
PT6568	885516.709488	134847.428288	286.047272	286.05	meublier	faune scapula	ST2225
PT6569	885558.130002	134872.901250	282.971474	282.97	prélèvement	P163	ST2096
PT6570	885558.292591	134872.906286	282.393655	282.39	prélèvement	P164	ST2096
PT6571	885504.229929	134949.820183	285.708393	285.71	structure	contour	ST2002
PT6572	885503.899910	134949.161500	285.686506	285.69	structure	contour	ST2002
PT6573	885503.266068	134949.171721	285.702029	285.7	structure	contour	ST2002
PT6574	885503.057167	134949.626878	285.724808	285.72	structure	contour	ST2002
PT6575	885503.133446	134949.680929	285.302039	285.3	structure	contour fond	ST2002
PT6576	885503.260467	134949.274230	285.307930	285.31	structure	contour fond	ST2002
PT6577	885503.874197	134949.275154	285.275120	285.28	structure	contour fond	ST2002
PT6578	885504.045464	134949.851363	285.235385	285.24	structure	contour fond	ST2002
PT6579	885503.497686	134949.748878	285.220562	285.22	structure	contour fond	ST2002
PT6580	885503.584622	134949.474760	285.271506	285.27	structure	fond	ST2002
PT6581	885503.860108	134949.367865	285.287174	285.29	prélèvement	P160	ST2002
PT6582	885504.241310	134949.845631	285.605322	285.61	structure	clou coupe	ST2002
PT6583	885502.991548	134949.666110	285.621533	285.62	structure	clou coupe	ST2002
PT6584	885502.512673	134956.651537	285.649664	285.65	structure	contour	ST2001
PT6585	885502.752292	134957.322561	285.613087	285.61	structure	contour	ST2001
PT6586	885503.357163	134957.615864	285.636470	285.64	structure	contour	ST2001
PT6587	885504.004392	134957.297268	285.734784	285.73	structure	contour	ST2001
PT6588	885503.871682	134957.208913	285.267438	285.27	structure	contour fond	ST2001
PT6589	885503.349454	134957.560089	285.295931	285.3	structure	contour fond	ST2001
PT6590	885502.844202	134957.324435	285.298613	285.3	structure	contour fond	ST2001
PT6591	885502.763416	134956.748168	285.312758	285.31	structure	contour fond	ST2001
PT6592	885503.340155	134956.922367	285.233958	285.23	structure	contour fond	ST2001
PT6593	885503.157886	134957.194369	285.274351	285.27	structure	fond	ST2001
PT6594	885502.839417	134957.259322	285.324629	285.32	prélèvement	P165	ST2001
PT6595	885516.919417	134883.072158	286.098721	286.1	structure	contour	ST2183
PT6596	885516.552295	134882.932339	286.095563	286.1	structure	contour	ST2183
PT6597	885516.694516	134882.590120	286.097276	286.1	structure	contour	ST2183
PT6598	885517.069054	134882.718682	286.088339	286.09	structure	contour	ST2183
PT6599	885516.825749	134882.964209	285.894047	285.89	structure	contour fond	ST2183
PT6600	885516.612350	134882.896559	285.916043	285.92	structure	contour fond	ST2183

Annexe 4 - Le Clos de Roque, Saint-Maximin-la-Sainte-Baume (83). Inventaire des points topographiques.



PT	X (est)	Y (nord)	Z (alti)	Z (alti)	élément	type de point	identifiant
PT6601	885516.726243	134882.701358	285.930461	285.93	structure	contour fond	ST2183
PT6602	885516.883235	134882.798657	285.901761	285.9	structure	contour fond	ST2183
PT6603	885516.770510	134882.843323	285.882941	285.88	structure	fond	ST2183
PT6604	885528.819202	134872.896625	286.130599	286.13	structure	contour	ST2333
PT6605	885529.089398	134872.267948	286.128814	286.13	structure	contour	ST2333
PT6606	885529.428055	134872.196042	286.123048	286.12	structure	contour	ST2333
PT6607	885529.920239	134872.396849	286.108865	286.11	structure	contour	ST2333
PT6608	885530.198060	134872.664835	286.136039	286.14	structure	contour	ST2333
PT6609	885530.261681	134873.122906	286.132105	286.13	structure	contour	ST2333
PT6610	885530.102364	134873.103657	286.018009	286.02	structure	contour fond	ST2333
PT6611	885530.101942	134873.102529	286.018154	286.02	structure	contour fond	ST2333
PT6612						Point annulé	
PT6613	885529.007802	134872.951682	285.972085	285.97	structure	contour fond	ST2333
PT6614	885529.398987	134872.432196	285.987417	285.99	structure	contour fond	ST2333
PT6615	885529.788667	134872.594435	285.990219	285.99	structure	contour fond	ST2333
PT6616	885529.562521	134872.794817	285.967511	285.97	structure	fond	ST2333
PT6617	885516.843455	134847.657445	285.952906	285.95	mobilier	os	ST2225
PT6618	885557.799352	134872.298204	282.904268	282.9	structure	clou coupe	ST2096
PT6619	885558.523489	134873.592260	282.891374	282.89	structure	clou coupe	ST2096
PT6620	885492.418241	134859.872003	285.605111	285.61	structure	contour	ST2328
PT6621	885492.570885	134860.610368	285.589127	285.59	structure	contour	ST2328
PT6622	885492.313705	134861.264510	285.568322	285.57	structure	contour	ST2328
PT6623	885492.027880	134861.524681	285.566131	285.57	structure	contour	ST2328
PT6624	885491.780435	134861.659065	285.571173	285.57	structure	contour	ST2328
PT6625	885491.681219	134861.909499	285.568997	285.57	structure	contour	ST2328
PT6626	885491.520769	134862.111692	285.570640	285.57	structure	contour	ST2328
PT6627	885491.094349	134862.318130	285.565555	285.57	structure	contour	ST2328
PT6628	885490.757069	134862.208146	285.571101	285.57	structure	contour	ST2328
PT6629	885490.613619	134861.934059	285.567736	285.57	structure	contour	ST2328
PT6630	885490.425267	134861.733817	285.580762	285.58	structure	contour	ST2328
PT6631	885490.141878	134861.873048	285.579100	285.58	structure	contour	ST2328
PT6632	885489.828860	134861.639309	285.587290	285.59	structure	contour	ST2328
PT6633	885489.569557	134861.311965	285.568662	285.57	structure	contour	ST2328
PT6634	885489.439708	134860.977184	285.558987	285.56	structure	contour	ST2328
PT6635	885489.428257	134860.504724	285.586074	285.59	structure	contour	ST2328
PT6636	885491.690841	134859.987421	285.606770	285.61	structure	contour	ST2328
PT6637	885491.546444	134860.441299	285.589555	285.59	structure	contour	ST2328
PT6638	885491.481440	134860.848356	285.590018	285.59	structure	contour	ST2328
PT6639	885491.523172	134861.234897	285.601935	285.6	structure	contour	ST2328
PT6640	885491.176570	134861.390861	285.596590	285.6	structure	contour	ST2328
PT6641	885490.848698	134861.284601	285.594103	285.59	structure	contour	ST2328
PT6642	885490.509608	134860.983694	285.584556	285.58	structure	contour	ST2328
PT6643	885490.337505	134860.620908	285.572896	285.57	structure	contour	ST2328
PT6644	885490.277655	134860.241308	285.590352	285.59	structure	contour	ST2328
PT6645	885484.884250	134881.320596	285.476115	285.48	mobilier	os	ST2006
PT6646	885485.076733	134881.259179	285.507098	285.51	structure	nivellement	ST2006
PT6647	885484.713257	134881.389442	285.509353	285.51	structure	nivellement	ST2006
PT6648	885484.917036	134881.196851	285.502180	285.5	mobilier	ocre	ST2006
PT6649	885484.935738	134881.471737	285.526695	285.53	structure	nivellement	ST2006
PT6650	885484.964624	134881.111672	285.481247	285.48	structure	nivellement	ST2006
PT6651	885517.285249	134847.438949	285.978148	285.98	mobilier	os	ST2225
PT6652	885487.322933	134861.698455	286.072846	286.07	structure	clou coupe	ST2085
PT6653	885488.191156	134862.473554	286.083483	286.08	structure	clou coupe	ST2085
PT6654	885557.992277	134872.620212	281.817954	281.82	prélèvement	P167	ST2096
PT6655	885558.617677	134872.190508	281.486982	281.49	prélèvement	P168	ST2096
PT6656	885492.470859	134859.903649	285.473140	285.47	structure	contour	ST2328
PT6657	885492.582213	134860.857826	285.461945	285.46	structure	contour	ST2328
PT6658	885492.416250	134861.553370	285.427096	285.43	structure	contour	ST2328
PT6659	885491.929567	134862.071116	285.418607	285.42	structure	contour	ST2328
PT6660	885491.255947	134862.350886	285.417268	285.42	structure	contour	ST2328
PT6661	885490.657393	134862.340610	285.423962	285.42	structure	contour	ST2328
PT6662	885490.055984	134862.065178	285.447872	285.45	structure	contour	ST2328
PT6663	885489.574966	134861.401722	285.484975	285.48	structure	contour	ST2328
PT6664	885489.346080	134860.521713	285.495604	285.5	structure	contour	ST2328
PT6665	885490.409814	134860.222161	285.487029	285.49	structure	contour	ST2328
PT6666	885490.729520	134860.509520	285.470492	285.47	structure	contour	ST2328

Annexe 4 - Le Clos de Roque, Saint-Maximin-la-Sainte-Baume (83). Inventaire des points topographiques.

PT	X (est)	Y (nord)	Z (alti)	Z (alti)	élément	type de point	identifiant
PT6667	885491.147531	134860.548150	285.471400	285.47	structure	contour	ST2328
PT6668	885491.374781	134860.296920	285.469989	285.47	structure	contour	ST2328
PT6669	885491.371932	134860.029452	285.465515	285.47	structure	contour	ST2328
PT6670	885558.284002	134872.521047	281.679500	281.68	structure	contour intermédiaire	ST2096
PT6671	885558.238153	134872.305427	281.684353	281.68	structure	contour intermédiaire	ST2096
PT6672	885558.667021	134872.052643	281.656469	281.66	structure	contour intermédiaire	ST2096
PT6673	885558.890193	134872.174039	281.690786	281.69	structure	contour intermédiaire	ST2096
PT6674	885559.437166	134872.415796	281.549348	281.55	structure	contour intermédiaire	ST2096
PT6675	885559.295988	134873.140039	281.629403	281.63	structure	contour intermédiaire	ST2096
PT6676	885559.031520	134873.241634	281.631301	281.63	structure	contour intermédiaire	ST2096
PT6677	885558.685032	134873.398343	281.596409	281.6	structure	contour intermédiaire	ST2096
PT6678	885558.495490	134873.366130	281.522312	281.52	structure	contour intermédiaire	ST2096
PT6679	885558.178354	134873.154278	281.586863	281.59	structure	contour intermédiaire	ST2096
PT6680	885558.161114	134872.771768	281.608117	281.61	structure	contour intermédiaire	ST2096
PT6681	885492.461947	134859.885645	285.381326	285.38	structure	contour	ST2328
PT6682	885492.547933	134860.301722	285.361706	285.36	structure	contour	ST2328
PT6683	885492.146129	134860.744495	285.355696	285.36	structure	contour	ST2328
PT6684	885492.152911	134860.743484	285.356271	285.36	structure	contour	ST2328
PT6685	885491.881969	134860.537690	285.366330	285.37	structure	contour	ST2328
PT6686	885491.823123	134859.984517	285.390588	285.39	structure	contour	ST2328
PT6687	885490.767136	134860.129494	285.382098	285.38	structure	contour	ST2328
PT6688	885490.761001	134860.721505	285.379110	285.38	structure	contour	ST2328
PT6689	885491.115685	134861.118078	285.368045	285.37	structure	contour	ST2328
PT6690	885491.623752	134861.237385	285.376251	285.38	structure	contour	ST2328
PT6691	885492.039635	134860.881349	285.363028	285.36	structure	contour	ST2328
PT6692	885492.467530	134860.694768	285.362937	285.36	structure	contour	ST2328
PT6693	885492.349665	134861.483872	285.363172	285.36	structure	contour	ST2328
PT6694	885491.646038	134861.953808	285.379268	285.38	structure	contour	ST2328
PT6695	885491.052927	134862.280430	285.364439	285.36	structure	contour	ST2328
PT6696	885490.505375	134862.197715	285.389405	285.39	structure	contour	ST2328
PT6697	885490.035609	134861.802213	285.389368	285.39	structure	contour	ST2328
PT6698	885489.813684	134861.322336	285.399241	285.4	structure	contour	ST2328
PT6699	885490.142959	134861.089156	285.387663	285.39	structure	contour	ST2328
PT6700	885490.197021	134860.646266	285.390931	285.39	structure	contour	ST2328
PT6701	885489.921078	134860.440277	285.389745	285.39	structure	contour	ST2328
PT6702	885489.747870	134860.283928	285.404063	285.4	structure	contour	ST2328
PT6703	885490.421883	134860.184047	285.386171	285.39	structure	contour	ST2328
PT6704	885490.791591	134860.121682	285.381689	285.38	structure	contour	ST2328
PT6705	885489.394666	134860.439363	285.404301	285.4	structure	contour	ST2328
PT6706	885489.853854	134860.276262	285.398665	285.4	structure	contour	ST2328
PT6707	885490.213902	134860.631154	285.388379	285.39	structure	contour	ST2328
PT6708	885490.122495	134860.581213	285.392777	285.39	structure	contour	ST2328
PT6709	885490.270024	134860.969594	285.392149	285.39	structure	contour	ST2328
PT6710	885490.034361	134861.269827	285.391314	285.39	structure	contour	ST2328
PT6711	885489.802151	134861.337098	285.397208	285.4	structure	contour	ST2328
PT6712	885489.503230	134861.027195	285.409821	285.41	structure	contour	ST2328
PT6713	885489.391379	134860.425401	285.396149	285.4	structure	contour	ST2328
PT6714	885487.857312	134861.722393	285.778252	285.78	prélèvement	P170	ST2085
PT6715	885492.549291	134859.818306	285.168902	285.17	structure	contour intermédiaire	ST2328
PT6716	885492.689798	134860.325548	285.151653	285.15	structure	contour intermédiaire	ST2328
PT6717	885492.723583	134860.811623	285.117060	285.12	structure	contour intermédiaire	ST2328
PT6718	885492.632018	134861.311739	285.111929	285.11	structure	contour intermédiaire	ST2328
PT6719	885492.466579	134861.745585	285.121363	285.12	structure	contour intermédiaire	ST2328
PT6720	885492.216902	134862.082665	285.123717	285.12	structure	contour intermédiaire	ST2328
PT6721	885491.941590	134862.263724	285.109760	285.11	structure	contour intermédiaire	ST2328
PT6722	885491.571242	134862.392436	285.132957	285.13	structure	contour intermédiaire	ST2328
PT6723	885492.693162	134859.790578	284.845285	284.85	structure	contour intermédiaire	ST2328
PT6724	885492.799857	134860.322164	284.799365	284.8	structure	contour intermédiaire	ST2328
PT6725	885492.812361	134860.941664	284.788332	284.79	structure	contour intermédiaire	ST2328
PT6726	885492.731357	134861.554243	284.800199	284.8	structure	contour intermédiaire	ST2328
PT6727	885492.482165	134862.001963	284.810399	284.81	structure	contour intermédiaire	ST2328
PT6728	885492.069904	134862.221104	284.804554	284.8	structure	contour intermédiaire	ST2328
PT6729	885491.741717	134862.378256	284.807193	284.81	structure	contour intermédiaire	ST2328
PT6730	885491.597868	134862.496582	284.814578	284.81	structure	contour intermédiaire	ST2328
PT6731	885527.519231	134873.216430	285.688821	285.69	mobilier	os	ST2319
PT6732	885491.618155	134862.335376	284.811629	284.81	structure	contour intermédiaire	ST2328

Annexe 4 - Le Clos de Roque, Saint-Maximin-la-Sainte-Baume (83). Inventaire des points topographiques.

PT	X (est)	Y (nord)	Z (alti)	Z (alti)	élément	type de point	identifiant
PT6733	885492.039571	134862.000864	284.804793	284.8	structure	contour intermédiaire	ST2328
PT6734	885492.281971	134861.648362	284.795773	284.8	structure	contour intermédiaire	ST2328
PT6735	885492.372389	134861.211109	284.792451	284.79	structure	contour intermédiaire	ST2328
PT6736	885492.332989	134860.786376	284.798580	284.8	structure	contour intermédiaire	ST2328
PT6737	885492.210938	134860.320398	284.803131	284.8	structure	contour intermédiaire	ST2328
PT6738	885492.104384	134859.922333	284.839709	284.84	structure	contour intermédiaire	ST2328
PT6739	885517.206245	134847.508388	285.843325	285.84	prélèvement	P171	ST2225
PT6740	885516.894602	134846.972541	285.914953	285.91	mobilier	os	ST2225
PT6741	885492.637305	134859.771211	284.629314	284.63	structure	contour intermédiaire	ST2328
PT6742	885492.820411	134860.245265	284.618992	284.62	structure	contour intermédiaire	ST2328
PT6743	885492.901830	134860.737342	284.579405	284.58	structure	contour intermédiaire	ST2328
PT6744	885492.786210	134861.141276	284.560618	284.56	structure	contour intermédiaire	ST2328
PT6745	885492.502466	134862.052497	284.561548	284.56	structure	contour intermédiaire	ST2328
PT6746	885492.149163	134862.301660	284.552776	284.55	structure	contour intermédiaire	ST2328
PT6747	885491.922491	134862.430127	284.555049	284.56	structure	contour intermédiaire	ST2328
PT6748	885491.605173	134862.524332	284.570916	284.57	structure	contour intermédiaire	ST2328
PT6749	885487.454194	134861.726578	285.820456	285.82	structure	contour fond	ST2085
PT6750	885487.651132	134861.395860	285.783332	285.78	structure	contour fond	ST2085
PT6751	885488.004430	134861.443420	285.752502	285.75	structure	contour fond	ST2085
PT6752	885488.232460	134861.781305	285.748615	285.75	structure	contour fond	ST2085
PT6753	885487.996444	134862.214485	285.750372	285.75	structure	contour fond	ST2085
PT6754	885487.701198	134861.943240	285.754286	285.75	structure	contour fond	ST2085
PT6755	885487.912790	134861.773740	285.711813	285.71	structure	fond	ST2085
PT6756	885492.688826	134859.788455	284.554383	284.55	structure	contour	ST2328
PT6757	885492.809512	134860.603539	284.500346	284.5	structure	contour	ST2328
PT6758	885492.772025	134861.376375	284.487748	284.49	structure	contour	ST2328
PT6759	885492.572702	134861.884486	284.501486	284.5	structure	contour	ST2328
PT6760	885492.040885	134862.293070	284.483162	284.48	structure	contour	ST2328
PT6761	885491.620276	134862.555719	284.491249	284.49	structure	contour	ST2328
PT6762	885491.518139	134861.828431	284.498609	284.5	structure	contour	ST2328
PT6763	885491.876289	134861.683939	284.475129	284.48	structure	contour	ST2328
PT6764	885492.044729	134861.363693	284.476194	284.48	structure	contour	ST2328
PT6765	885492.011019	134860.972654	284.486202	284.49	structure	contour	ST2328
PT6766	885491.785244	134860.585665	284.512934	284.51	structure	contour	ST2328
PT6767	885491.503056	134860.478215	284.520072	284.52	structure	contour	ST2328
PT6768	885491.306978	134860.467413	284.518954	284.52	structure	contour	ST2328
PT6769	885604.137556	134860.262487	286.077122	286.08	structure	clou coupe	ST1050
PT6770	885603.034168	134860.837866	286.089136	286.09	structure	clou coupe	ST1050
PT6771	885616.770890	134865.970859	286.137998	286.14	structure	clou coupe	ST1014
PT6772	885617.822301	134865.410321	286.175030	286.18	structure	clou coupe	ST1014
PT6773	885491.736510	134859.971643	284.308598	284.31	structure	contour	ST2328
PT6774	885492.110984	134860.427481	284.233899	284.23	structure	contour	ST2328
PT6775	885492.318194	134860.950930	284.189465	284.19	structure	contour	ST2328
PT6776	885492.625022	134861.144442	284.163230	284.16	structure	contour	ST2328
PT6777	885492.954967	134860.800937	284.189373	284.19	structure	contour	ST2328
PT6778	885492.853832	134860.328889	284.221623	284.22	structure	contour	ST2328
PT6779	885492.690918	134859.746258	284.297346	284.3	structure	contour	ST2328
PT6780	885492.334256	134859.834464	284.307620	284.31	structure	contour	ST2328
PT6781	885493.343941	134851.129043	285.904231	285.9	structure	contour	ST2094
PT6782	885493.370557	134850.660972	285.884647	285.88	structure	contour	ST2094
PT6783	885493.666546	134850.254455	285.882606	285.88	structure	contour	ST2094
PT6784	885494.176517	134850.078345	285.896789	285.9	structure	contour	ST2094
PT6785	885494.622800	134849.978530	285.896772	285.9	structure	contour	ST2094
PT6786	885495.072515	134849.988064	285.894823	285.89	structure	contour	ST2094
PT6787	885495.557786	134850.065517	285.882262	285.88	structure	contour	ST2094
PT6788	885495.931139	134850.202173	285.901751	285.9	structure	contour	ST2094
PT6789	885496.146960	134850.386527	285.910334	285.91	structure	contour	ST2094
PT6790	885612.927889	134836.224549	286.482232	286.48	structure	contour	ST1059
PT6791	885613.083649	134836.599736	286.468321	286.47	structure	contour	ST1059
PT6792	885611.640860	134837.502736	286.441534	286.44	structure	contour	ST1059
PT6793	885611.434306	134837.077907	286.456157	286.46	structure	contour	ST1059
PT6794	885608.408170	134837.488532	286.436678	286.44	structure	contour	ST1066
PT6795	885609.797292	134836.778505	286.438802	286.44	structure	contour	ST1066
PT6796	885609.704866	134836.553754	286.447623	286.45	structure	contour	ST1066
PT6797	885608.881305	134836.752928	286.471773	286.47	structure	contour	ST1066
PT6798	885608.225018	134837.239211	286.459581	286.46	structure	contour	ST1066

PT	X (est)	Y (nord)	Z (alti)	Z (alti)	élément	type de point	identifiant
PT6799	885606.504311	134838.788631	286.466014	286.47	structure	contour	ST1053
PT6800	885605.302876	134839.585390	286.466920	286.47	structure	contour	ST1053
PT6801	885605.050652	134839.272394	286.473751	286.47	structure	contour	ST1053
PT6802	885606.204153	134838.494858	286.481039	286.48	structure	contour	ST1053
PT6803	885606.882490	134840.243376	286.442041	286.44	structure	contour	ST1052
PT6804	885605.621584	134841.053820	286.451372	286.45	structure	contour	ST1052
PT6805	885605.896304	134841.383480	286.424582	286.42	structure	contour	ST1052
PT6806	885607.098373	134840.552640	286.425128	286.43	structure	contour	ST1052
PT6807	885632.375680	134836.015724	286.298467	286.3	structure	contour	ST1063
PT6808	885631.660082	134835.499211	286.317993	286.32	structure	contour	ST1063
PT6809	885630.949274	134835.558146	286.324566	286.32	structure	contour	ST1063
PT6810	885630.369759	134835.920131	286.329424	286.33	structure	contour	ST1063
PT6811	885630.282778	134836.477394	286.314221	286.31	structure	contour	ST1063
PT6812	885630.503916	134836.531675	286.024165	286.02	structure	contour fond	ST1063
PT6813	885630.722767	134836.012312	286.048981	286.05	structure	contour fond	ST1063
PT6814	885631.243516	134835.724513	286.044383	286.04	structure	contour fond	ST1063
PT6815	885631.735615	134835.799864	286.017467	286.02	structure	contour fond	ST1063
PT6816	885632.019637	134836.101899	286.040174	286.04	structure	contour fond	ST1063
PT6817	885631.278998	134836.281704	285.922096	285.92	structure	fond	ST1063
PT6818	885601.496973	134842.867590	286.485214	286.49	structure	contour	ST1055
PT6819	885601.470734	134842.273366	286.481453	286.48	structure	contour	ST1055
PT6820	885601.108737	134841.855011	286.518686	286.52	structure	contour	ST1055
PT6821	885600.639976	134841.699311	286.503580	286.5	structure	contour	ST1055
PT6822	885600.038244	134841.766393	286.477802	286.48	structure	contour	ST1055
PT6823	885599.827742	134842.204829	286.496641	286.5	structure	contour	ST1055
PT6824	885599.758305	134842.562255	286.484058	286.48	structure	contour	ST1055
PT6825	885600.016463	134842.577139	286.213537	286.21	structure	contour fond	ST1055
PT6826	885600.086067	134842.167956	286.249710	286.25	structure	contour fond	ST1055
PT6827	885600.452621	134841.914284	286.254952	286.25	structure	contour fond	ST1055
PT6828	885600.968950	134841.979616	286.233675	286.23	structure	contour fond	ST1055
PT6829	885601.237180	134842.181666	286.271661	286.27	structure	contour fond	ST1055
PT6830	885601.357785	134842.544949	286.279487	286.28	structure	contour fond	ST1055
PT6831	885601.202923	134842.773951	286.246676	286.25	structure	contour fond	ST1055
PT6832	885600.653412	134842.694565	286.196381	286.2	structure	fond	ST1055
PT6833	885603.465263	134860.037429	286.049469	286.05	structure	contour	ST1050
PT6834	885603.221988	134860.350109	286.090934	286.09	structure	contour	ST1050
PT6835	885603.247493	134860.810918	286.093407	286.09	structure	contour	ST1050
PT6836	885603.709849	134860.972825	286.088719	286.09	structure	contour	ST1050
PT6837	885604.136350	134860.643463	286.093754	286.09	structure	contour	ST1050
PT6838	885604.034935	134860.311376	286.095848	286.1	structure	contour	ST1050
PT6839	885603.630356	134860.027802	286.075639	286.08	structure	contour	ST1050
PT6840	885603.265725	134860.727941	285.871452	285.87	structure	contour fond	ST1050
PT6841	885603.668420	134860.968441	285.873633	285.87	structure	contour fond	ST1050
PT6842	885604.046274	134860.713951	285.819667	285.82	structure	contour fond	ST1050
PT6843	885603.934328	134860.232829	285.835287	285.84	structure	contour fond	ST1050
PT6844	885603.410357	134860.211594	285.850741	285.85	structure	contour fond	ST1050
PT6845	885603.216856	134860.501089	285.886521	285.89	structure	contour fond	ST1050
PT6846	885603.679121	134860.524043	285.867939	285.87	structure	fond	ST1050
PT6847	885647.551831	134851.591623	285.597233	285.6	structure	contour	ST1033
PT6848	885648.292612	134851.253007	285.553892	285.55	structure	contour	ST1033
PT6849	885648.602708	134850.886784	285.558692	285.56	structure	contour	ST1033
PT6850	885648.529857	134850.344432	285.510094	285.51	structure	contour	ST1033
PT6851	885648.099225	134849.876083	285.501175	285.5	structure	contour	ST1033
PT6852	885647.506130	134849.663713	285.263802	285.26	structure	contour	ST1033
PT6853	885646.790784	134849.732147	285.286539	285.29	structure	contour	ST1033
PT6854	885646.190622	134850.000028	285.310249	285.31	structure	contour	ST1033
PT6855	885646.104118	134850.504537	285.434176	285.43	structure	contour	ST1033
PT6856	885646.167433	134851.222114	285.420835	285.42	structure	contour	ST1033
PT6857	885646.658830	134851.612821	285.427474	285.43	structure	contour	ST1033
PT6858	885647.236021	134851.677087	285.427799	285.43	structure	contour	ST1033
PT6859	885601.609281	134845.530235	286.322426	286.32	structure	clou coupe	ST1057
PT6860	885600.109096	134845.480225	286.336651	286.34	structure	clou coupe	ST1057
PT6861	885517.803142	134846.778302	285.911639	285.91	meublier	céramique	ST2225
PT6862	885517.750048	134846.887847	285.886772	285.89	meublier	os	ST2225
PT6863	885517.367047	134846.733531	285.856548	285.86	meublier	os	ST2225
PT6864	885517.205517	134846.920979	285.857709	285.86	meublier	os	ST2225

Annexe 4 - Le Clos de Roque, Saint-Maximin-la-Sainte-Baume (83). Inventaire des points topographiques.



PT	X (est)	Y (nord)	Z (alti)	Z (alti)	élément	type de point	identifiant
PT6865	885516.950128	134846.853653	285.950646	285.95	mobilier	os	ST2225
PT6866	885517.077170	134846.853993	285.893684	285.89	mobilier	os	ST2225
PT6867	885516.747751	134847.368059	285.948626	285.95	mobilier	os	ST2225
PT6868	885493.356885	134851.320991	285.911362	285.91	structure	contour	ST2094
PT6869	885493.367005	134850.604082	285.902860	285.9	structure	contour	ST2094
PT6870	885494.116770	134850.265917	285.904166	285.9	structure	contour	ST2094
PT6871	885495.108618	134850.132951	285.899200	285.9	structure	contour	ST2094
PT6872	885495.967878	134850.459755	285.906542	285.91	structure	contour	ST2094
PT6873	885496.573818	134850.760700	285.894067	285.89	structure	contour	ST2094
PT6874	885496.595119	134851.149030	285.850376	285.85	structure	contour	ST2094
PT6875	885491.081407	134860.301740	285.270491	285.27	structure	clou coupe	ST2328
PT6876	885491.304287	134861.690780	285.239317	285.24	structure	clou coupe	ST2328
PT6877	885491.518499	134862.813004	285.199953	285.2	structure	clou coupe	ST2328
PT6878	885491.092312	134860.271854	284.440608	284.44	structure	clou coupe	ST2328
PT6879	885491.332590	134861.711858	284.449497	284.45	structure	clou coupe	ST2328
PT6880	885491.592884	134862.788073	284.459446	284.46	structure	clou coupe	ST2328
PT6881	885494.997313	134850.055650	285.607688	285.61	structure	contour	ST2094
PT6882	885495.430511	134850.027101	285.609576	285.61	structure	contour	ST2094
PT6883	885495.918501	134850.205433	285.612101	285.61	structure	contour	ST2094
PT6884	885496.255026	134850.627852	285.651796	285.65	structure	contour	ST2094
PT6885	885496.463270	134851.269948	285.655030	285.66	structure	contour	ST2094
PT6886	885516.697930	134847.056103	285.912586	285.91	mobilier	os	ST2225
PT6887	885517.188667	134846.846337	285.836116	285.84	mobilier	os	ST2225
PT6888	885631.084967	134965.544043	283.72876	283.73	structure	contour	ST2094
PT6889	885494.997771	134849.694592	285.138093	285.14	structure	contour	ST2094
PT6890	885495.877938	134849.810480	285.119148	285.12	structure	contour	ST2094
PT6891	885496.462972	134850.271782	285.149297	285.15	structure	contour	ST2094
PT6892	885496.764455	134851.018325	285.268368	285.27	structure	contour	ST2094
PT6893	885495.988591	134851.229838	285.274907	285.27	structure	contour	ST2094
PT6894	885495.732162	134850.755390	285.209692	285.21	structure	contour	ST2094
PT6895	885495.636135	134850.410255	285.136912	285.14	structure	contour	ST2094
PT6896	885495.845538	134850.338695	285.143014	285.14	structure	contour	ST2094
PT6897	885496.012598	134850.698443	285.197541	285.2	structure	contour	ST2094
PT6898	885496.140697	134851.208960	285.282481	285.28	structure	contour	ST2094
PT6899	885495.143232	134850.191568	285.10881	285.11	structure	contour	ST2094
PT6900	885495.563640	134850.208861	285.129685	285.13	structure	contour	ST2094
PT6901	885495.746053	134850.430432	285.143346	285.14	structure	contour	ST2094
PT6902	885484.435439	134879.858696	286.054208	286.05	structure	clou carroyage	ST2006
PT6903	885485.329588	134879.828892	285.998565	286	structure	clou carroyage	ST2006
PT6904	885485.430217	134882.140613	285.927655	285.93	structure	clou carroyage	ST2006
PT6905	885484.528010	134882.177919	285.966812	285.97	structure	clou carroyage	ST2006
PT6906	885484.401880	134880.102279	286.210111	286.21	structure	clou coupe	ST2006
PT6907	885484.460008	134882.122187	286.196860	286.2	structure	clou coupe	ST2006
PT6908	885616.961038	134839.109894	286.350635	286.35	structure	clou coupe	ST1062
PT6909	885618.731711	134838.860094	286.423173	286.42	structure	clou coupe	ST1062
PT6910	885517.080849	134846.729139	286.204639	286.2	mobilier	os	ST2225
PT6911	885477.186893	134878.103176	285.982269	285.98	structure	point central	ST2335
PT6912	885475.511224	134877.832649	285.978659	285.98	structure	contour	ST2335
PT6913	885476.224571	134877.090249	285.957342	285.96	structure	contour	ST2335
PT6914	885477.243114	134876.844316	285.962037	285.96	structure	contour	ST2335
PT6915	885478.335000	134877.260148	285.976165	285.98	structure	contour	ST2335
PT6916	885478.876334	134878.104528	286.025220	286.03	structure	contour	ST2335
PT6917	885489.327278	134860.351387	285.296351	285.3	structure	contour	ST2328
PT6918	885489.435689	134860.955139	285.301571	285.3	structure	contour	ST2328
PT6919	885489.641149	134861.467639	285.297129	285.3	structure	contour	ST2328
PT6920	885489.911398	134861.881139	285.290399	285.29	structure	contour	ST2328
PT6921	885490.307980	134862.171892	285.284926	285.28	structure	contour	ST2328
PT6922	885490.663075	134862.326827	285.284915	285.28	structure	contour	ST2328
PT6923	885491.070969	134862.489370	285.259617	285.26	structure	contour	ST2328
PT6924	885491.447144	134862.403701	285.275996	285.28	structure	contour	ST2328
PT6925	885491.269250	134861.707412	285.297989	285.3	structure	contour	ST2328
PT6926	885490.695382	134861.751813	285.294529	285.29	structure	contour	ST2328
PT6927	885490.335304	134861.683579	285.288952	285.29	structure	contour	ST2328
PT6928	885490.067386	134861.378897	285.300826	285.3	structure	contour	ST2328
PT6929	885489.832537	134860.824802	285.294023	285.29	structure	contour	ST2328
PT6930	885489.684423	134860.265786	285.287846	285.29	structure	contour	ST2328

Annexe 4 - Le Clos de Roque, Saint-Maximin-la-Sainte-Baume (83). Inventaire des points topographiques.

PT	X (est)	Y (nord)	Z (alti)	Z (alti)	élément	type de point	identifiant
PT6931	885490.519092	134860.117867	285.200949	285.2	structure	contour	ST2328
PT6932	885490.393489	134860.653393	285.226793	285.23	structure	contour	ST2328
PT6933	885490.526422	134861.094846	285.213745	285.21	structure	contour	ST2328
PT6934	885490.817219	134861.382676	285.212700	285.21	structure	contour	ST2328
PT6935	885491.189356	134861.534427	285.210739	285.21	structure	contour	ST2328
PT6936	885491.336605	134861.579477	285.210087	285.21	structure	contour	ST2328
PT6937	885489.259821	134860.365376	285.257048	285.26	structure	contour intermédiaire	ST2328
PT6938	885489.449084	134861.131203	285.238761	285.24	structure	contour intermédiaire	ST2328
PT6939	885489.743958	134861.677648	285.226860	285.23	structure	contour intermédiaire	ST2328
PT6940	885490.236306	134862.204009	285.217790	285.22	structure	contour intermédiaire	ST2328
PT6941	885490.804582	134862.529513	285.204709	285.2	structure	contour intermédiaire	ST2328
PT6942	885491.492154	134862.520333	285.199986	285.2	structure	contour intermédiaire	ST2328
PT6943	885489.202329	134860.355113	285.194111	285.19	structure	contour intermédiaire	ST2328
PT6944	885489.373380	134861.013686	285.130027	285.13	structure	contour intermédiaire	ST2328
PT6945	885489.767913	134861.682964	285.102712	285.1	structure	contour intermédiaire	ST2328
PT6946	885490.225053	134862.141310	285.097360	285.1	structure	contour intermédiaire	ST2328
PT6947	885490.635221	134862.461407	285.121499	285.12	structure	contour intermédiaire	ST2328
PT6948	885491.103261	134862.489891	285.112882	285.11	structure	contour intermédiaire	ST2328
PT6949	885491.453027	134862.429209	285.095538	285.1	structure	contour intermédiaire	ST2328
PT6950	885490.741338	134860.064863	285.123249	285.12	structure	contour	ST2328
PT6951	885490.825950	134860.397041	285.092383	285.09	structure	contour	ST2328
PT6952	885490.926891	134860.539351	285.084790	285.08	structure	contour	ST2328
PT6953	885491.165871	134860.646040	285.071543	285.07	structure	contour	ST2328
PT6954	885491.074411	134861.160233	285.003058	285	prélèvement	PR173	ST2328 US2
PT6955	885491.359870	134861.981383	285.084315	285.08	structure	contour	ST2328
PT6956	885491.449302	134862.325655	285.098230	285.1	structure	contour	ST2328
PT6957	885490.998975	134862.298288	285.104165	285.1	structure	contour	ST2328
PT6958	885490.550620	134862.104678	285.084324	285.08	structure	contour	ST2328
PT6959	885490.262086	134861.800823	285.082082	285.08	structure	contour	ST2328
PT6960	885490.034417	134861.504780	285.088632	285.09	structure	contour	ST2328
PT6961	885489.904662	134861.206482	285.097374	285.1	structure	contour	ST2328
PT6962	885490.016684	134861.036284	285.081499	285.08	structure	contour	ST2328
PT6963	885490.296996	134861.199496	285.083091	285.08	structure	contour	ST2328
PT6964	885490.436215	134861.364581	285.084860	285.08	structure	contour	ST2328
PT6965	885490.575500	134861.698199	285.069592	285.07	structure	contour	ST2328
PT6966	885490.814325	134861.952118	285.080757	285.08	structure	contour	ST2328
PT6967	885491.056411	134862.068450	285.087648	285.09	structure	contour	ST2328
PT6968	885617.242002	134865.574481	285.918359	285.92	prélèvement	PR174	ST1014
PT6969	885489.260998	134860.296624	285.040671	285.04	structure	contour intermédiaire	ST2328
PT6970	885489.259179	134860.818564	284.985702	284.99	structure	contour intermédiaire	ST2328
PT6971	885489.459276	134861.444342	284.952977	284.95	structure	contour intermédiaire	ST2328
PT6972	885489.724819	134861.911255	284.951157	284.95	structure	contour intermédiaire	ST2328
PT6973	885490.053767	134862.339316	284.968322	284.97	structure	contour intermédiaire	ST2328
PT6974	885490.593324	134862.614358	284.996996	285	structure	contour intermédiaire	ST2328
PT6975	885491.077734	134862.569498	284.994963	284.99	structure	contour intermédiaire	ST2328
PT6976	885491.508154	134862.544787	284.983147	284.98	structure	contour intermédiaire	ST2328
PT6977	885491.303729	134861.549248	284.937731	284.94	structure	contour	ST2328
PT6978	885490.920565	134861.590810	284.950745	284.95	structure	contour	ST2328
PT6979	885490.598184	134861.605139	284.942685	284.94	structure	contour	ST2328
PT6980	885490.238077	134861.516882	284.933468	284.93	structure	contour	ST2328
PT6981	885490.026568	134861.222703	284.929971	284.93	structure	contour	ST2328
PT6982	885489.888269	134860.785994	284.958903	284.96	structure	contour	ST2328
PT6983	885489.972580	134860.437652	284.978487	284.98	structure	contour	ST2328
PT6984	885490.160019	134860.154027	284.989045	284.99	structure	contour	ST2328
PT6985	885604.329289	134852.159925	286.160853	286.16	structure	clou carroyage	ST1049
PT6986	885603.352510	134852.408584	286.170737	286.17	structure	clou carroyage	ST1049
PT6987	885603.486593	134852.991908	286.187673	286.19	structure	clou carroyage	ST1049
PT6988	885604.468590	134852.752277	286.172838	286.17	structure	clou carroyage	ST1049
PT6989	885489.205448	134860.361646	284.932087	284.93	structure	contour intermédiaire	ST2328
PT6990	885489.285572	134860.946578	284.899141	284.9	structure	contour intermédiaire	ST2328
PT6991	885489.581279	134861.624884	284.861747	284.86	structure	contour intermédiaire	ST2328
PT6992	885489.883799	134862.136182	284.884360	284.88	structure	contour intermédiaire	ST2328
PT6993	885490.435326	134862.439535	284.862155	284.86	structure	contour intermédiaire	ST2328
PT6994	885490.951220	134862.521511	284.868792	284.87	structure	contour intermédiaire	ST2328
PT6995	885491.464052	134862.383204	284.855035	284.86	structure	contour intermédiaire	ST2328
PT6996	885490.533890	134860.149499	284.875234	284.88	structure	contour	ST2328

Annexe 4 - Le Clos de Roque, Saint-Maximin-la-Sainte-Baume (83). Inventaire des points topographiques.



PT	X (est)	Y (nord)	Z (alti)	Z (alti)	élément	type de point	identifiant
PT6997	885490.263923	134860.455461	284.863446	284.86	structure	contour	ST2328
PT6998	885490.139240	134860.858485	284.855993	284.86	structure	contour	ST2328
PT6999	885490.186597	134861.285599	284.851086	284.85	structure	contour	ST2328
PT7000	885490.376186	134861.658712	284.854489	284.85	structure	contour	ST2328
PT7001	885490.696093	134861.805042	284.860116	284.86	structure	contour	ST2328
PT7002	885491.080873	134861.836186	284.858076	284.86	structure	contour	ST2328
PT7003	885491.369693	134861.753577	284.854610	284.85	structure	contour	ST2328
PT7004	885490.818960	134860.688151	284.771835	284.77	prélèvement	PR175	ST2328 US1
PT7005	885490.347517	134862.174240	284.704817	284.7	mobilier	meule	ST2328
PT7006	885505.014749	134857.742622	286.140916	286.14	structure	contour	ST2250
PT7007	885505.244997	134857.312864	286.104525	286.1	structure	contour	ST2250
PT7008	885505.827887	134857.242764	286.113201	286.11	structure	contour	ST2250
PT7009	885506.080973	134857.748468	286.128009	286.13	structure	contour	ST2250
PT7010	885505.911547	134857.831451	285.871885	285.87	structure	contour fond	ST2250
PT7011	885505.823304	134857.432266	285.868073	285.87	structure	contour fond	ST2250
PT7012	885505.325391	134857.457147	285.863663	285.86	structure	contour fond	ST2250
PT7013	885505.183359	134857.814289	285.900641	285.9	structure	contour fond	ST2250
PT7014	885505.573843	134857.850111	285.840723	285.84	structure	contour fond	ST2250
PT7015	885505.628492	134857.586057	285.836864	285.84	structure	fond	ST2250
PT7016	885616.970831	134865.533934	285.861623	285.86	mobilier	faune	ST1410
PT7017	885526.433231	134872.920799	286.078736	286.08	structure	contour	ST2319
PT7018	885526.357277	134873.557696	286.097203	286.1	structure	contour	ST2319
PT7019	885526.858647	134872.614412	286.083379	286.08	structure	contour	ST2319
PT7020	885527.800649	134872.553719	286.134353	286.13	structure	contour	ST2319
PT7021	885528.414455	134873.213490	286.129847	286.13	structure	contour	ST2319
PT7022	885528.285038	134873.970334	286.096182	286.1	structure	contour	ST2319
PT7023	885527.731456	134873.888603	285.688217	285.69	structure	contour fond	ST2319
PT7024	885527.658488	134873.198444	285.588985	285.59	structure	contour fond	ST2319
PT7025	885526.957133	134873.018835	285.603672	285.6	structure	contour fond	ST2319
PT7026	885526.772032	134873.715957	285.656243	285.66	structure	contour fond	ST2319
PT7027	885527.309301	134873.782582	285.635955	285.64	structure	contour fond	ST2319
PT7028	885527.320959	134873.380241	285.530711	285.53	structure	fond	ST2319
PT7029	885496.948181	134926.099396	285.783367	285.78	structure	contour	ST2009
PT7030	885496.745473	134926.558185	285.779393	285.78	structure	contour	ST2009
PT7031	885496.104050	134926.728124	285.769242	285.77	structure	contour	ST2009
PT7032	885495.664105	134926.415283	285.752212	285.75	structure	contour	ST2009
PT7033	885495.637988	134926.354794	285.212742	285.21	structure	contour fond	ST2009
PT7034	885496.097430	134926.661749	285.175342	285.18	structure	contour fond	ST2009
PT7035	885496.580260	134926.602438	285.162380	285.16	structure	contour fond	ST2009
PT7036	885496.811857	134925.957851	285.191083	285.19	structure	contour fond	ST2009
PT7037	885496.198166	134926.140916	285.102321	285.1	structure	contour fond	ST2009
PT7038	885496.321704	134926.462173	285.137962	285.14	structure	fond	ST2009
PT7039	885559.234004	134872.546720	281.289393	281.29	mobilier	céramique	ST2096
PT7040	885526.165293	134873.569280	286.092488	286.09	structure	clou coupe	ST2319
PT7041	885617.166870	134865.378734	285.853344	285.85	prélèvement	PR176	ST1014
PT7042	885528.348527	134873.978604	286.107795	286.11	structure	clou coupe	ST2319
PT7043	885604.247502	134852.076270	286.361168	286.36	structure	clou coupe	ST1049
PT7044	885603.383269	134852.318199	286.352296	286.35	structure	clou coupe	ST1049
PT7045	885558.645116	134873.037966	280.755892	280.76	mobilier	bois	ST2096
PT7046	885558.556328	134872.756246	281.035276	281.04	prélèvement	PR177	ST2096 puits
PT7047	885558.894401	134872.545897	281.041531	281.04	prélèvement	PR178	ST2096 puits
PT7048	885558.453396	134872.761289	281.153773	281.15	prélèvement	PR179	ST2096 puits 2
PT7049	885558.988821	134872.491813	281.213048	281.21	prélèvement	PR180	ST2096 puits 1
PT7050	885536.068489	134850.194930	286.337459	286.34	structure	clou carroyage	ST2212
PT7051	885536.101356	134851.183926	286.345888	286.35	structure	clou carroyage	ST2212
PT7052	885535.100444	134851.224561	286.309412	286.31	structure	clou carroyage	ST2212
PT7053	885535.052732	134850.229784	286.319546	286.32	structure	clou carroyage	ST2212
PT7054	885534.693307	134851.610598	286.324333	286.32	structure	clou carroyage	ST2211
PT7055	885533.921878	134851.826199	286.351350	286.35	structure	clou carroyage	ST2211
PT7056	885533.717252	134851.158438	286.351783	286.35	structure	clou carroyage	ST2211
PT7057	885534.503256	134850.922205	286.322584	286.32	structure	clou carroyage	ST2211
PT7058	885534.052127	134849.967598	286.328497	286.33	structure	clou carroyage	ST2213
PT7059	885533.274707	134850.228689	286.334728	286.33	structure	clou carroyage	ST2213
PT7060	885533.041275	134849.564588	286.330229	286.33	structure	clou carroyage	ST2213
PT7061	885533.814558	134849.300618	286.328249	286.33	structure	clou carroyage	ST2213
PT7062	885533.148920	134859.611102	286.183201	286.18	structure	clou carroyage	ST2207

PT	X (est)	Y (nord)	Z (alti)	Z (alti)	élément	type de point	identifiant
PT7063	885532.667944	134859.771183	286.182324	286.18	structure	clou carroyage	ST2207
PT7064	885532.841531	134860.243378	286.157807	286.16	structure	clou carroyage	ST2207
PT7065	885533.289745	134860.071228	286.152412	286.15	structure	clou carroyage	ST2207
PT7066	885511.364091	134915.628447	285.800779	285.8	structure	clou carroyage	ST2279
PT7067	885511.521551	134917.109292	285.780864	285.78	structure	clou carroyage	ST2279
PT7068	885510.040215	134917.240946	285.790825	285.79	structure	clou carroyage	ST2279
PT7069	885509.862519	134915.725247	285.818305	285.82	structure	clou carroyage	ST2279
PT7070	885543.445458	134853.262822	286.304125	286.3	structure	clou carroyage	ST2114
PT7071	885544.890581	134852.237701	286.282399	286.28	structure	clou carroyage	ST2114
PT7072	885545.135570	134852.477849	286.273087	286.27	structure	clou carroyage	ST2114
PT7073	885543.875729	134853.412364	286.294584	286.29	structure	clou carroyage	ST2114
PT7074	885617.478681	134865.675633	286.044715	286.04	meublier	faune	ST1014
PT7075	885530.642555	134854.131080	286.041386	286.04	structure	point central	ST2336
PT7076	885530.437274	134854.314726	286.038113	286.04	structure	clou carroyage	ST2336
PT7077	885530.927609	134854.279266	286.109648	286.11	structure	clou carroyage	ST2336
PT7078	885530.908697	134853.769482	286.115011	286.12	structure	clou carroyage	ST2336
PT7079	885530.388934	134853.819690	286.037409	286.04	structure	clou carroyage	ST2336
PT7080	885638.126774	134857.757563	285.843831	285.84	prélèvement	PR185	ST1071
PT7081	885637.786955	134858.226289	285.791622	285.79	prélèvement	PR186	ST1071
PT7082	885637.830227	134857.831588	285.806999	285.81	prélèvement	PR187	ST1071
PT7083	885558.301046	134873.693764	283.032570	283.03	UPS	nivellement	UPS5
PT7084	885558.361969	134873.606666	282.796339	282.8	UPS	nivellement	UPS6
PT7085	885558.382718	134873.682883	282.131863	282.13	UPS	nivellement	UPS7
PT7086	885558.078914	134873.323263	281.328169	281.33	UPS	nivellement	UPS8
PT7087	885558.498249	134873.616996	280.966255	280.97	UPS	nivellement	UPS9
PT7088	885558.989819	134872.450069	280.092214	280.09	structure	fond	ST2096
PT7089	885558.565665	134872.741583	280.262824	280.26	structure	fond	ST2096
PT7090	885559.562604	134872.659331	280.198291	280.2	structure	contour	ST2096
PT7091	885559.548878	134872.366951	280.270576	280.27	structure	contour	ST2096
PT7092	885559.307094	134872.086262	280.172934	280.17	structure	contour	ST2096
PT7093	885558.618084	134872.228362	280.179150	280.18	structure	contour	ST2096
PT7094	885558.366194	134872.631315	280.307838	280.31	structure	contour	ST2096
PT7095	885558.182982	134873.048808	280.375945	280.38	structure	contour	ST2096
PT7096	885558.222371	134873.295429	280.452625	280.45	structure	contour	ST2096
PT7097	885558.587170	134873.589168	280.427657	280.43	structure	contour	ST2096
PT7098	885558.959742	134873.408929	280.254979	280.25	structure	contour	ST2096
PT7099	885559.492091	134872.978545	280.127409	280.13	structure	contour	ST2096
PT7100	885559.799541	134872.857168	280.859443	280.86	structure	contour	ST2096
PT7101	885559.695955	134872.613034	281.433946	281.43	structure	contour	ST2096
PT7102	885559.536118	134872.167765	281.533578	281.53	structure	contour	ST2096
PT7103	885559.297765	134872.034923	281.503925	281.5	structure	contour	ST2096
PT7104	885558.874848	134871.972724	281.583236	281.58	structure	contour	ST2096
PT7105	885558.574048	134872.222459	281.596513	281.6	structure	contour	ST2096
PT7106	885558.269702	134872.578700	281.598803	281.6	structure	contour	ST2096
PT7107	885558.094632	134872.989153	281.411578	281.41	structure	contour	ST2096
PT7108	885558.247249	134873.443014	281.508945	281.51	structure	contour	ST2096
PT7109	885559.220680	134872.674508	280.109293	280.11	meublier	« grosse pierre »	ST2096
PT7110	885558.976414	134872.507024	280.103256	280.1	prélèvement		ST2096
PT7111	885511.232519	134916.332706	285.798179	285.8	structure	contour	ST2279
PT7112	885510.681694	134917.100878	285.788272	285.79	structure	contour	ST2279
PT7113	885510.086885	134916.655878	285.789722	285.79	structure	contour	ST2279
PT7114	885510.354868	134916.031472	285.793130	285.79	structure	contour	ST2279
PT7115	885483.341619	134879.189587	285.979653	285.98	structure	point central	ST2337
PT7116	885484.682582	134881.412118	285.306262	285.31	prélèvement	PR192	ST2008
PT7117	885517.383268	134847.862384	286.012220	286.01	structure	contour	ST2225
PT7118	885518.047799	134847.482073	286.253003	286.25	structure	contour	ST2225
PT7119	885518.022609	134846.707954	286.264409	286.26	structure	contour	ST2225
PT7120	885517.406191	134846.332145	286.260208	286.26	structure	contour	ST2225
PT7121	885516.647993	134846.715282	286.253690	286.25	structure	contour	ST2225
PT7122	885516.593094	134847.565722	286.228882	286.23	structure	contour	ST2225
PT7123	885517.404113	134847.755873	285.853662	285.85	structure	contour fond	ST2225
PT7124	885517.884539	134847.475389	285.874339	285.87	structure	contour fond	ST2225
PT7125	885517.891419	134846.769122	285.889641	285.89	structure	contour fond	ST2225
PT7126	885517.254671	134846.503847	285.872043	285.87	structure	contour fond	ST2225
PT7127	885516.700812	134846.956775	285.922242	285.92	structure	contour fond	ST2225
PT7128	885516.842041	134847.614094	285.933481	285.93	structure	contour fond	ST2225

PT	X (est)	Y (nord)	Z (alti)	Z (alti)	élément	type de point	identifiant
PT7129	885517.394028	134847.133937	285.771090	285.77	structure	fond	ST2225
PT7130	885494.969255	134849.874043	285.742249	285.74	structure	clou coupe	ST2094
PT7131	885495.388869	134851.323082	285.724389	285.72	structure	clou coupe	ST2094
PT7132	885603.435422	134852.171391	286.162988	286.16	structure	contour	ST1049
PT7133	885603.771052	134852.006888	286.161429	286.16	structure	contour	ST1049
PT7134	885604.193315	134852.008369	286.174206	286.17	structure	contour	ST1049
PT7135	885604.311476	134852.403807	286.195113	286.2	structure	contour	ST1049
PT7136	885603.629157	134852.762936	286.213398	286.21	structure	contour	ST1049
PT7137	885603.572224	134852.265639	286.036563	286.04	structure	contour fond	ST1049
PT7138	885604.075140	134852.119873	286.034668	286.03	structure	contour fond	ST1049
PT7139	885604.200347	134852.475679	286.017540	286.02	structure	contour fond	ST1049
PT7140	885603.709270	134852.638406	286.035593	286.04	structure	contour fond	ST1049
PT7141	885603.835611	134852.379310	286.017201	286.02	structure	fond	ST1049
PT7142	885617.086829	134866.334258	286.208184	286.21	structure	contour	ST1014
PT7143	885617.582918	134866.349111	286.197122	286.2	structure	contour	ST1014
PT7144	885618.111225	134865.780839	286.219844	286.22	structure	contour	ST1014
PT7145	885617.889611	134865.131982	286.194144	286.19	structure	contour	ST1014
PT7146	885617.413810	134865.021048	286.229465	286.23	structure	contour	ST1014
PT7147	885616.902294	134865.236091	286.221584	286.22	structure	contour	ST1014
PT7148	885616.706857	134865.884377	286.222020	286.22	structure	contour	ST1014
PT7149	885616.999392	134865.894454	285.711820	285.71	structure	contour fond	ST1014
PT7150	885617.102840	134865.267235	285.764089	285.76	structure	contour fond	ST1014
PT7151	885617.655551	134865.351716	285.742156	285.74	structure	contour fond	ST1014
PT7152	885617.583918	134865.848394	285.684880	285.68	structure	contour fond	ST1014
PT7153	885617.361683	134865.587013	285.670878	285.67	structure	fond	ST1014
PT7154	885566.656197	134871.079676	285.907900	285.91	sondage	contour	SDG01
PT7155	885565.794144	134869.412774	285.924813	285.92	sondage	contour	SDG01
PT7156	885561.020027	134871.696251	285.909131	285.91	sondage	contour	SDG01
PT7157	885556.788732	134865.087819	286.082459	286.08	sondage	contour	SDG01
PT7158	885553.422137	134866.523893	286.127801	286.13	sondage	contour	SDG01
PT7159	885554.659943	134871.325856	286.070199	286.07	sondage	contour	SDG01
PT7160	885545.902927	134876.647672	285.974685	285.97	sondage	contour	SDG01
PT7161	885547.279183	134879.277378	285.965727	285.97	sondage	contour	SDG01
PT7162	885558.128199	134875.951617	286.041701	286.04	sondage	contour	SDG01
PT7163	885561.990423	134883.202374	285.892042	285.89	sondage	contour	SDG01
PT7164	885565.027871	134882.117593	285.883550	285.88	sondage	contour	SDG01
PT7165	885562.059141	134873.458767	285.905970	285.91	sondage	contour	SDG01
PT7166	885559.508433	134870.070389	284.920263	284.92	sondage	contour 1	SDG01
PT7167	885555.593236	134871.766824	284.962208	284.96	sondage	contour 1	SDG01
PT7168	885558.299979	134874.140089	283.311291	283.31	sondage	contour 2	SDG01
PT7169	885558.922530	134876.156069	283.760593	283.76	sondage	contour 2	SDG01
PT7170	885560.948303	134874.701057	283.443342	283.44	sondage	contour 2	SDG01
PT7171	885559.353352	134871.118670	283.596478	283.6	sondage	contour 2	SDG01
PT7172	885556.179852	134871.977829	283.520084	283.52	sondage	contour 2	SDG01
PT7173	885489.660101	134863.974116	285.958587	285.96	sondage	contour	SDG02
PT7174	885493.561145	134863.097503	285.997148	286	sondage	contour	SDG02
PT7175	885494.373218	134859.284677	285.770267	285.77	sondage	contour	SDG02
PT7176	885494.148163	134857.527945	285.713047	285.71	sondage	contour	SDG02
PT7177	885485.658688	134858.774001	286.075010	286.08	sondage	contour	SDG02
PT7178	885485.796823	134861.166666	286.156218	286.16	sondage	contour	SDG02
PT7179	885488.039937	134860.561121	286.075168	286.08	sondage	contour	SDG02
PT7180	885492.671082	134857.951956	284.177076	284.18	sondage	contour	SDG03
PT7181	885489.020627	134858.486135	284.034312	284.03	sondage	contour	SDG03
PT7182	885488.538315	134860.258444	284.620937	284.62	sondage	contour	SDG03
PT7183	885489.782323	134863.488077	284.911454	284.91	sondage	contour	SDG03
PT7184	885493.246121	134862.723206	284.351756	284.35	sondage	contour	SDG03
PT7185	885494.758950	134854.291321	286.065914	286.07	sondage	contour	SDG03
PT7186	885500.049574	134851.967828	285.987641	285.99	sondage	contour	SDG03
PT7187	885499.745725	134850.296498	285.599568	285.6	sondage	contour	SDG03
PT7188	885497.210015	134850.668437	285.898037	285.9	sondage	contour	SDG03
PT7189	885496.414426	134848.097515	286.145564	286.15	sondage	contour	SDG03
PT7190	885492.821786	134849.473031	285.893796	285.89	sondage	contour	SDG03
PT7191	885495.649639	134851.849703	284.541701	284.54	sondage	contour	SDG03
PT7192	885490.298603	134861.222292	284.677960	284.68	prélèvement	PR193	ST2328
PT7193	885611.625512	134841.063969	286.333742	286.33	structure	clou coupe	ST1058
PT7194	885612.675625	134840.576965	286.325089	286.33	structure	clou coupe	ST1058

PT	X (est)	Y (nord)	Z (alti)	Z (alti)	élément	type de point	identifiant
PT7195	885483.741414	134882.085331	285.935642	285.94	structure	clou carroyage	ST2006
PT7196	885483.639937	134879.815069	285.971237	285.97	structure	clou carroyage	ST2006
PT7197	885485.025393	134880.111728	285.923415	285.92	structure	contour	ST2006
PT7198	885484.246986	134880.184364	285.952369	285.95	structure	contour	ST2006
PT7199	885483.929034	134881.108714	285.945147	285.95	structure	contour	ST2006
PT7200	885484.883328	134881.777596	285.924831	285.92	structure	contour	ST2006
PT7201	885485.537031	134880.993737	285.860152	285.86	structure	contour	ST2006
PT7202	885484.847655	134880.590371	285.417620	285.42	structure	contour fond	ST2006
PT7203	885484.323396	134880.654036	285.455619	285.46	structure	contour fond	ST2006
PT7204	885484.347295	134881.223505	285.431295	285.43	structure	contour fond	ST2006
PT7205	885484.887773	134881.469380	285.374026	285.37	structure	contour fond	ST2006
PT7206	885485.123550	134881.230017	285.433166	285.43	structure	contour fond	ST2006
PT7207	885485.319769	134881.024336	285.454418	285.45	structure	contour fond	ST2006
PT7208	885484.895111	134880.989484	284.826727	284.83	structure	fond	ST2006
PT7209	885484.588605	134879.797181	285.967215	285.97	structure	clou carroyage	ST2337
PT7210	885482.924847	134880.124019	285.973474	285.97	structure	clou carroyage	ST2337
PT7211	885482.579189	134878.453075	285.946105	285.95	structure	clou carroyage	ST2337
PT7212	885484.243494	134878.136198	285.963737	285.96	structure	clou carroyage	ST2337
PT7213	885495.054098	134849.734785	284.820137	284.82	structure	contour fond	ST2094
PT7214	885495.275219	134849.738168	284.912645	284.91	structure	contour fond	ST2094
PT7215	885495.777837	134849.771963	284.926301	284.93	structure	contour fond	ST2094
PT7216	885496.092535	134849.917642	284.869393	284.87	structure	contour fond	ST2094
PT7217	885496.360218	134850.192711	284.760030	284.76	structure	contour fond	ST2094
PT7218	885496.453797	134850.410362	284.881526	284.88	structure	contour fond	ST2094
PT7219	885496.715762	134850.951817	284.791770	284.79	structure	contour fond	ST2094
PT7220	885496.145637	134851.108452	284.908392	284.91	structure	contour fond	ST2094
PT7221	885495.722166	134850.532026	284.935709	284.94	structure	contour fond	ST2094
PT7222	885495.990642	134850.172852	284.849250	284.85	structure	contour fond	ST2094
PT7223	885495.756607	134850.025566	284.921438	284.92	structure	contour fond	ST2094
PT7224	885495.425425	134850.041991	284.917897	284.92	structure	contour fond	ST2094
PT7225	885495.198267	134850.326665	284.939133	284.94	structure	contour fond	ST2094
PT7226	885495.391525	134849.936536	284.887264	284.89	structure	fond	ST2094
PT7227	885496.077849	134850.135046	284.817948	284.82	structure	fond	ST2094
PT7228	885496.390164	134850.827415	284.796532	284.8	structure	fond	ST2094
PT7229	885638.733543	134857.739715	286.125617	286.13	structure	point central	ST1071
PT7230	885637.813811	134857.702955	285.848426	285.85	prélèvement	ST1071	P194
PT7231	885637.566987	134857.822333	285.792455	285.79	prélèvement	ST1071	P195
PT7232	885494.170866	134851.668819	285.890399	285.89	structure	contour intermédiaire	ST2094
PT7233	885494.168270	134851.151007	285.888788	285.89	structure	contour intermédiaire	ST2094
PT7234	885493.496723	134850.908440	285.844021	285.84	structure	contour intermédiaire	ST2094
PT7235	885493.769573	134850.108152	285.847039	285.85	structure	contour intermédiaire	ST2094
PT7236	885494.435538	134850.166162	285.859603	285.86	structure	contour intermédiaire	ST2094
PT7237	885494.883725	134849.845484	285.838073	285.84	structure	contour intermédiaire	ST2094
PT7238	885617.399755	134839.174403	286.348245	286.35	structure	contour	ST1062
PT7239	885617.519241	134838.668544	286.403546	286.4	structure	contour	ST1062
PT7240	885617.809262	134838.339083	286.400716	286.4	structure	contour	ST1062
PT7241	885618.266720	134838.369971	286.421656	286.42	structure	contour	ST1062
PT7242	885618.765548	134838.902680	286.430964	286.43	structure	contour	ST1062
PT7243	885618.595849	134839.458207	286.436639	286.44	structure	contour	ST1062
PT7244	885618.139221	134839.636788	286.390842	286.39	structure	contour	ST1062
PT7245	885617.543466	134839.478538	286.346198	286.35	structure	contour	ST1062
PT7246	885617.705024	134838.834853	286.154952	286.15	structure	contour fond	ST1062
PT7247	885618.004231	134838.631335	286.140036	286.14	structure	contour fond	ST1062
PT7248	885618.389967	134838.732465	286.165159	286.17	structure	contour fond	ST1062
PT7249	885618.360188	134839.196187	286.133187	286.13	structure	contour fond	ST1062
PT7250	885617.834114	134839.339626	286.147185	286.15	structure	contour fond	ST1062
PT7251	885618.055563	134838.996217	286.126059	286.13	structure	fond	ST1062
PT7252	885494.308204	134851.589391	285.788010	285.79	structure	contour intermédiaire	ST2094
PT7253	885494.193316	134851.190671	285.776674	285.78	structure	contour intermédiaire	ST2094
PT7254	885493.486857	134850.835521	285.737361	285.74	structure	contour intermédiaire	ST2094
PT7255	885493.749947	134850.171902	285.755097	285.76	structure	contour intermédiaire	ST2094
PT7256	885494.479539	134850.406530	285.757548	285.76	structure	contour intermédiaire	ST2094
PT7257	885494.729759	134850.512235	285.763243	285.76	structure	contour intermédiaire	ST2094
PT7258	885495.137163	134850.365754	285.770865	285.77	structure	contour intermédiaire	ST2094
PT7259	885494.038129	134851.189004	285.618835	285.62	structure	contour intermédiaire	ST2338
PT7260	885494.587703	134850.924389	285.637543	285.64	structure	contour intermédiaire	ST2338

Annexe 4 - Le Clos de Roque, Saint-Maximin-la-Sainte-Baume (83). Inventaire des points topographiques.



PT	X (est)	Y (nord)	Z (alti)	Z (alti)	élément	type de point	identifiant
PT7261	885494.628292	134850.337002	285.646879	285.65	structure	contour intermédiaire	ST2338
PT7262	885493.801154	134850.040413	285.621265	285.62	structure	contour intermédiaire	ST2338
PT7263	885494.257540	134851.600661	285.610092	285.61	structure	contour intermédiaire	ST2094
PT7264	885494.459802	134851.051344	285.629164	285.63	structure	contour intermédiaire	ST2094
PT7265	885494.643159	134850.361792	285.647620	285.65	structure	contour intermédiaire	ST2094
PT7266	885495.028950	134849.977555	285.639146	285.64	structure	contour intermédiaire	ST2094
PT7267	885494.074169	134850.551592	285.626507	285.63	structure	point central	ST2338
PT7268	885623.023545	134876.402003	286.145595	286.15	structure	clou carroyage	ST1012
PT7269	885623.312526	134877.405968	286.141860	286.14	structure	clou carroyage	ST1012
PT7270	885624.298112	134877.096817	286.089976	286.09	structure	clou carroyage	ST1012
PT7271	885623.977520	134876.134003	286.127416	286.13	structure	clou carroyage	ST1012
PT7272	885611.743681	134841.210920	286.330019	286.33	structure	contour	ST1058
PT7273	885612.397819	134841.236512	286.310162	286.31	structure	contour	ST1058
PT7274	885612.590027	134840.881571	286.311824	286.31	structure	contour	ST1058
PT7275	885612.417477	134840.467567	286.321297	286.32	structure	contour	ST1058
PT7276	885611.796560	134840.430374	286.293519	286.29	structure	contour	ST1058
PT7277	885611.801465	134840.807941	286.203570	286.2	structure	contour fond	ST1058
PT7278	885612.140800	134841.101975	286.230815	286.23	structure	contour fond	ST1058
PT7279	885612.268302	134840.712588	286.230585	286.23	structure	contour fond	ST1058
PT7280	885611.995256	134840.493460	286.230345	286.23	structure	contour fond	ST1058
PT7281	885612.017381	134840.823845	286.214812	286.21	structure	fond	ST1058
PT7282	885611.691302	134835.971505	286.494739	286.49	structure	contour	ST1061
PT7283	885651.484473	134826.022223	286.334108	286.33	structure	contour	ST1061
PT7284	885650.819963	134824.027284	286.354617	286.35	structure	contour	ST1061
PT7285	885648.015594	134824.734054	286.397840	286.4	structure	contour	ST1061
PT7286	885648.137736	134825.685992	286.386162	286.39	structure	contour	ST1061
PT7287	885494.068612	134851.196611	285.476045	285.48	structure	contour intermédiaire	ST2338
PT7288	885494.593333	134850.787539	285.481444	285.48	structure	contour intermédiaire	ST2338
PT7289	885494.572548	134850.119126	285.484203	285.48	structure	contour intermédiaire	ST2338
PT7290	885493.792725	134850.006230	285.477295	285.48	structure	contour intermédiaire	ST2338
PT7291	885494.436324	134851.524463	285.490369	285.49	structure	contour intermédiaire	ST2094
PT7292	885494.409188	134851.088966	285.485035	285.49	structure	contour intermédiaire	ST2094
PT7293	885494.747449	134850.798398	285.487150	285.49	structure	contour intermédiaire	ST2094
PT7294	885495.200775	134850.485231	285.507801	285.51	structure	contour intermédiaire	ST2094
PT7295	885494.816871	134851.100640	285.391679	285.39	prélèvement	p196	ST2094
PT7296	885494.073744	134851.185609	285.395750	285.4	structure	contour intermédiaire	ST2338
PT7297	885494.459306	134851.047094	285.406279	285.41	structure	contour intermédiaire	ST2338
PT7298	885494.612834	134850.607333	285.415424	285.42	structure	contour intermédiaire	ST2338
PT7299	885494.628725	134850.480527	285.402358	285.4	structure	contour intermédiaire	ST2338
PT7300	885494.385111	134850.359330	285.383507	285.38	structure	contour intermédiaire	ST2338
PT7301	885493.928287	134850.444090	285.378159	285.38	structure	contour intermédiaire	ST2338
PT7302	885494.451048	134851.557657	285.422629	285.42	structure	contour intermédiaire	ST2094
PT7303	885494.344210	134851.161384	285.402847	285.4	structure	contour intermédiaire	ST2094
PT7304	885494.522359	134850.975583	285.408088	285.41	structure	contour intermédiaire	ST2094
PT7305	885494.666497	134850.608538	285.413738	285.41	structure	contour intermédiaire	ST2094
PT7306	885495.159456	134850.275036	285.401951	285.4	structure	contour intermédiaire	ST2094
PT7307	885493.989639	134850.832553	285.362570	285.36	structure	fond	ST2328
PT7308	885494.763082	134851.438090	285.157428	285.16	structure	contour intermédiaire	ST2094
PT7309	885494.490516	134850.847335	285.114746	285.11	structure	contour intermédiaire	ST2094
PT7310	885494.615950	134850.385992	285.072110	285.07	structure	contour intermédiaire	ST2094
PT7311	885495.150540	134850.245716	285.074665	285.07	structure	contour intermédiaire	ST2094
PT7312	885495.118229	134850.116489	285.059126	285.06	structure	contour intermédiaire	ST2094
PT7313	885494.771194	134850.132775	285.058453	285.06	structure	contour intermédiaire	ST2094
PT7314	885494.516770	134850.009279	285.040769	285.04	structure	contour intermédiaire	ST2094
PT7315	885494.765281	134849.882905	285.053369	285.05	structure	contour intermédiaire	ST2094
PT7316	885495.060477	134849.906629	285.050042	285.05	structure	contour intermédiaire	ST2094
PT7317	885637.363399	134857.869839	285.776704	285.78	prélèvement	p197	ST1071
PT7318	885623.552980	134876.780657	285.972366	285.97	mobilier	faune	ST1012
PT7319	885494.176648	134851.735181	284.828686	284.83	prélèvement	p198	ST2094
PT7320	885483.640010	134880.066497	285.997051	286	structure	contour	ST2337
PT7321	885484.165134	134879.627627	285.995701	286	structure	contour	ST2337
PT7322	885484.264039	134879.100853	285.984099	285.98	structure	contour	ST2337
PT7323	885484.027004	134878.636867	285.992698	285.99	structure	contour	ST2337
PT7324	885483.335248	134878.478624	285.988148	285.99	structure	contour	ST2337
PT7325	885601.058850	134845.749038	286.145763	286.15	prélèvement	p201	ST1057
PT7326	885600.476098	134845.414332	286.164122	286.16	prélèvement	p202	ST1057

PT	X (est)	Y (nord)	Z (alti)	Z (alti)	élément	type de point	identifiant
PT7327	885600.815131	134845.511094	286.038804	286.04	prélèvement	p200	ST1057
PT7328	885483.726928	134880.166476	285.789238	285.79	structure	contour intermédiaire	ST2337
PT7329	885484.314759	134879.658957	285.690512	285.69	structure	contour intermédiaire	ST2337
PT7330	885484.390626	134879.092617	285.664321	285.66	structure	contour intermédiaire	ST2337
PT7331	885483.973809	134878.485407	285.610324	285.61	structure	contour intermédiaire	ST2337
PT7332	885483.425068	134878.393697	285.581066	285.58	structure	contour intermédiaire	ST2337
PT7333	885483.663357	134879.968306	285.332434	285.33	structure	contour intermédiaire	ST2337
PT7334	885484.352831	134879.590847	285.219416	285.22	structure	contour intermédiaire	ST2337
PT7335	885484.194919	134878.954911	285.157818	285.16	structure	contour intermédiaire	ST2337
PT7336	885483.849777	134878.843155	285.139635	285.14	structure	contour intermédiaire	ST2337
PT7337	885483.520837	134878.737244	285.117703	285.12	structure	contour intermédiaire	ST2337
PT7338	885483.674212	134879.402624	285.095255	285.1	structure	contour intermédiaire	ST2337
PT7339	885484.010072	134879.691340	285.162823	285.16	structure	contour intermédiaire	ST2337
PT7340	885483.773952	134879.960230	285.19707	285.2	structure	contour intermédiaire	ST2337
PT7341	885483.673071	134879.562458	285.455557	285.46	structure	fond	ST2337
PT7342	885530.421632	134854.087933	286.034508	286.03	structure	contour	ST2336
PT7343	885530.463025	134854.344150	286.037036	286.04	structure	contour	ST2336
PT7344	885530.737087	134854.290893	286.052849	286.05	structure	contour	ST2336
PT7345	885530.701177	134854.005403	286.043198	286.04	structure	contour	ST2336
PT7346	885530.678822	134854.060590	285.829204	285.83	structure	contour fond	ST2336
PT7347	885530.473033	134854.096166	285.824172	285.82	structure	contour fond	ST2336
PT7348	885530.478083	134854.256634	285.830963	285.83	structure	contour fond	ST2336
PT7349	885530.715793	134854.205925	285.815528	285.82	structure	contour fond	ST2336
PT7350	885530.583827	134854.155595	285.795904	285.8	structure	fond	ST2336
PT7351	885538.545064	134854.799371	286.427670	286.43	structure	point central	ST2315
PT7352	885539.179301	134853.690908	286.408511	286.41	structure	clou carroyage	ST2315
PT7353	885539.799618	134855.622184	286.345894	286.35	structure	clou carroyage	ST2315
PT7354	885537.852496	134856.196591	286.331080	286.33	structure	clou carroyage	ST2315
PT7355	885537.277474	134854.273732	286.380692	286.38	structure	clou carroyage	ST2315
PT7356	885511.225997	134873.096303	286.166607	286.17	structure	clou carroyage	ST2244
PT7357	885510.337087	134873.532802	286.164919	286.16	structure	clou carroyage	ST2244
PT7358	885509.883765	134872.619202	286.138679	286.14	structure	clou carroyage	ST2244
PT7359	885510.778412	134872.217313	286.124437	286.12	structure	clou carroyage	ST2244
PT7360	885530.365224	134854.180148	286.024644	286.02	structure	clou coupe	ST2336
PT7361	885530.896275	134854.162114	286.018586	286.02	structure	clou coupe	ST2336
PT7362	885494.063150	134851.781931	284.756913	284.76	prélèvement	p199	ST2094
PT7363	885493.611465	134850.123634	285.684221	285.68	structure	clou coupe	ST2338
PT7364	885493.887536	134851.569309	285.671519	285.67	structure	clou coupe	ST2338
PT7365	885494.936724	134849.947085	284.896606	284.9	structure	contour fond	ST2094
PT7366	885494.424236	134850.226589	284.970617	284.97	structure	contour fond	ST2094
PT7367	885494.611419	134850.528433	285.060148	285.06	structure	contour fond	ST2094
PT7368	885494.687346	134850.941787	285.070612	285.07	structure	contour fond	ST2094
PT7369	885494.691629	134851.693585	285.145867	285.15	structure	contour fond	ST2094
PT7370	885495.030590	134851.236403	285.146856	285.15	structure	contour fond	ST2094
PT7371	885494.862405	134850.600899	285.056000	285.06	structure	contour fond	ST2094
PT7372	885494.786078	134850.160119	284.928719	284.93	structure	contour fond	ST2094
PT7373	885493.885775	134850.917549	285.045627	285.05	structure	contour fond	ST2094
PT7374	885494.168865	134851.322377	285.077151	285.08	structure	contour fond	ST2094
PT7375	885494.384812	134851.766548	285.066033	285.07	structure	contour fond	ST2094
PT7376	885494.019022	134851.865916	284.792746	284.79	structure	contour fond	ST2094
PT7377	885493.956565	134851.552169	284.999404	285	structure	contour fond	ST2094
PT7378	885493.794954	134850.920742	285.372842	285.37	prélèvement	p203	ST2338
PT7379	885493.676075	134850.314920	285.419999	285.42	prélèvement	p204	ST2338
PT7380	885489.472667	134861.009597	284.519184	284.52	meublier	os	ST2328
PT7381	885489.519742	134861.181883	284.537369	284.54	prélèvement	p205	ST2328
PT7382	885489.574511	134861.357426	284.538971	284.54	prélèvement	p206	ST2328
PT7383	885493.860757	134851.408995	285.784003	285.78	structure	clou carroyage	ST2338
PT7384	885493.577362	134849.952490	285.779145	285.78	structure	clou carroyage	ST2338
PT7385	885493.083103	134850.061753	285.782825	285.78	structure	clou carroyage	ST2338
PT7386	885493.381250	134851.526067	285.799564	285.8	structure	clou carroyage	ST2338
PT7387	885494.543260	134853.590778	285.904412	285.9	structure	clou carroyage	ST2331
PT7388	885494.175301	134852.462978	285.944400	285.94	structure	clou carroyage	ST2331
PT7389	885493.701699	134852.562385	286.048634	286.05	structure	clou carroyage	ST2331
PT7390	885494.065109	134853.702434	285.998230	286	structure	clou carroyage	ST2331
PT7391	885483.317613	134878.281622	285.906212	285.91	structure	clou coupe	ST2337
PT7392	885483.671749	134880.044039	285.918402	285.92	structure	clou coupe	ST2337

Annexe 4 - Le Clos de Roque, Saint-Maximin-la-Sainte-Baume (83). Inventaire des points topographiques.



PT	X (est)	Y (nord)	Z (alti)	Z (alti)	élément	type de point	identifiant
PT7393	885537.893922	134854.712249	286.292541	286.29	structure	contour	ST2315
PT7394	885538.543033	134854.312892	286.309730	286.31	structure	contour	ST2315
PT7395	885538.990827	134854.015749	286.311396	286.31	structure	contour	ST2315
PT7396	885539.280210	134854.194684	286.331728	286.33	structure	contour	ST2315
PT7397	885539.006597	134854.548827	286.309089	286.31	structure	contour	ST2315
PT7398	885538.526567	134854.813655	286.305534	286.31	structure	contour	ST2315
PT7399	885538.056177	134855.063926	286.280918	286.28	structure	contour	ST2315
PT7400	885537.899671	134854.916767	286.290067	286.29	structure	contour	ST2315
PT7401	885537.905894	134854.920196	286.297860	286.3	structure	contour	ST2315
PT7402	885519.895211	134845.309279	286.289562	286.29	structure	clou carroyage	ST2224
PT7403	885518.959412	134845.290647	286.257263	286.26	structure	clou carroyage	ST2224
PT7404	885518.952623	134846.322729	286.283134	286.28	structure	clou carroyage	ST2224
PT7405	885519.933903	134846.287909	286.302026	286.3	structure	clou carroyage	ST2224
PT7406	885519.852227	134845.948656	286.265004	286.27	structure	contour	ST2224
PT7407	885519.656672	134845.457318	286.251637	286.25	structure	contour	ST2224
PT7408	885519.104790	134845.715822	286.244843	286.24	structure	contour	ST2224
PT7409	885519.216546	134846.251492	286.295607	286.3	structure	contour	ST2224
PT7410	885519.687710	134846.295334	286.299200	286.3	structure	contour	ST2224
PT7411	885494.564157	134853.518219	285.790285	285.79	structure	clou coupe	ST2321
PT7412	885494.211587	134852.307864	285.778058	285.78	structure	clou coupe	ST2321
PT7413	885494.542558	134853.547934	285.901965	285.9	structure	contour	ST2321
PT7414	885494.005285	134853.443502	286.017773	286.02	structure	contour	ST2321
PT7415	885493.927402	134853.145890	286.019324	286.02	structure	contour	ST2321
PT7416	885493.949673	134852.901530	286.005276	286.01	structure	contour	ST2321
PT7417	885494.239412	134852.613579	285.948002	285.95	structure	contour	ST2321
PT7418	885494.515257	134853.435830	285.770930	285.77	structure	contour fond	ST2321
PT7419	885494.136477	134853.331979	285.784173	285.78	structure	contour fond	ST2321
PT7420	885494.075676	134853.211099	285.761991	285.76	structure	contour fond	ST2321
PT7421	885494.021455	134852.946987	285.744295	285.74	structure	contour fond	ST2321
PT7422	885494.296259	134852.687900	285.732748	285.73	structure	contour fond	ST2321
PT7423	885493.905808	134851.315020	285.432116	285.43	structure	contour fond	ST2338
PT7424	885493.479827	134850.894081	285.430049	285.43	structure	contour fond	ST2338
PT7425	885493.442416	134850.541028	285.452892	285.45	structure	contour fond	ST2338
PT7426	885493.693718	134850.148489	285.411055	285.41	structure	contour fond	ST2338
PT7427	885622.965029	134877.027960	285.784308	285.78	structure	clou coupe	ST1012
PT7428	885624.225644	134876.498128	285.741776	285.74	structure	clou coupe	ST1012
PT7429	885493.856566	134851.360680	285.737206	285.74	structure	contour	ST2338
PT7430	885493.492576	134851.135401	285.765464	285.77	structure	contour	ST2338
PT7431	885493.400703	134850.523662	285.769909	285.77	structure	contour	ST2338
PT7432	885493.646236	134850.096200	285.718343	285.72	structure	contour	ST2338
PT7433	885519.614716	134846.062542	285.744491	285.74	meublier	os	ST2224
PT7434	885519.424111	134845.976324	285.838351	285.84	prélèvement	p209	ST2224
PT7435	885483.487759	134879.806800	285.615984	285.62	meublier	dalle calcaire	ST2337
PT7436	885600.910924	134845.988958	285.935221	285.94	structure	contour	ST1057
PT7437	885601.569555	134845.387707	286.282157	286.28	structure	contour	ST1057
PT7438	885600.860077	134844.921318	286.288972	286.29	structure	contour	ST1057
PT7439	885600.190226	134845.481153	286.253230	286.25	structure	contour	ST1057
PT7440	885600.371277	134845.395337	285.810058	285.81	structure	contour fond	ST1057
PT7441	885600.547668	134845.834397	285.807867	285.81	structure	contour fond	ST1057
PT7442	885600.877698	134845.884380	285.803052	285.8	structure	contour fond	ST1057
PT7443	885601.264054	134845.673586	285.776604	285.78	structure	contour fond	ST1057
PT7444	885601.167399	134845.244559	285.767185	285.77	structure	contour fond	ST1057
PT7445	885600.793274	134845.100270	285.795497	285.8	structure	contour fond	ST1057
PT7446	885600.852654	134845.522466	285.754245	285.75	structure	fond	ST1057
PT7447	885489.216478	134860.354036	284.638418	284.64	structure	contour	ST2328
PT7448	885489.295540	134861.133077	284.634163	284.63	structure	contour	ST2328
PT7449	885489.763178	134862.035872	284.636589	284.64	structure	contour	ST2328
PT7450	885490.061162	134862.180300	284.664189	284.66	structure	contour	ST2328
PT7451	885490.353590	134862.431387	284.680425	284.68	structure	contour	ST2328
PT7452	885490.955861	134862.515087	284.731361	284.73	structure	contour	ST2328
PT7453	885491.519452	134862.471978	284.726537	284.73	structure	contour	ST2328
PT7454	885489.448150	134860.370312	284.496148	284.5	structure	contour fond	ST2328
PT7455	885489.357085	134861.155144	284.505585	284.51	structure	contour fond	ST2328
PT7456	885489.703581	134861.852752	284.505245	284.51	structure	contour fond	ST2328
PT7457	885489.833296	134862.013401	284.549072	284.55	structure	contour fond	ST2328
PT7458	885489.906667	134861.808636	284.479774	284.48	structure	contour fond	ST2328

PT	X (est)	Y (nord)	Z (alti)	Z (alti)	élément	type de point	identifiant
PT7459	885490.018635	134861.946965	284.375288	284.38	structure	contour fond	ST2328
PT7460	885490.148872	134862.142620	284.385017	284.39	structure	contour fond	ST2328
PT7461	885490.446227	134862.357082	284.451502	284.45	structure	contour fond	ST2328
PT7462	885490.788890	134862.488386	284.489684	284.49	structure	contour fond	ST2328
PT7463	885491.484707	134862.402724	284.464260	284.46	structure	contour fond	ST2328
PT7464	885491.388732	134862.003001	284.416938	284.42	structure	contour fond	ST2328
PT7465	885491.332294	134861.529100	284.652768	284.65	structure	contour fond	ST2328
PT7466	885491.184662	134860.646934	284.588209	284.59	structure	contour fond	ST2328
PT7467	885491.098410	134860.037418	284.432125	284.43	structure	contour fond	ST2328
PT7468	885490.864945	134861.783167	284.507876	284.51	structure	contour fond	ST2328
PT7469	885490.840211	134861.552390	284.625602	284.63	structure	contour fond	ST2328
PT7470	885490.717321	134860.715476	284.514274	284.51	structure	contour fond	ST2328
PT7471	885490.597930	134860.202054	284.618563	284.62	structure	contour fond	ST2328
PT7472	885490.134300	134860.105692	284.392710	284.39	structure	contour fond	ST2328
PT7473	885490.095006	134860.855410	284.599661	284.6	structure	contour fond	ST2328
PT7474	885490.196903	134861.586782	284.445916	284.45	structure	contour fond	ST2328
PT7475	885489.778469	134861.277968	284.500103	284.5	structure	contour fond	ST2328
PT7476	885491.590686	134862.502879	284.215643	284.22	structure	négatif fosse	ST2328
PT7477	885492.324880	134862.076293	284.136676	284.14	structure	négatif fosse	ST2328
PT7478	885492.781058	134861.216085	284.104446	284.1	structure	négatif fosse	ST2328
PT7479	885492.404854	134860.498955	284.122519	284.12	structure	négatif fosse	ST2328
PT7480	885491.885121	134859.898809	284.221239	284.22	structure	négatif fosse	ST2328
PT7481	885493.056859	134860.953666	284.111646	284.11	structure	contour	ST2328
PT7482	885492.614245	134860.900513	284.092295	284.09	structure	contour	ST2328
PT7483	885492.573225	134860.525468	284.117529	284.12	structure	contour	ST2328
PT7484	885492.861534	134860.367313	284.136264	284.14	structure	contour	ST2328
PT7485	885492.626062	134860.138233	284.166414	284.17	structure	contour	ST2328
PT7486	885492.331291	134860.111359	284.166957	284.17	structure	contour	ST2328
PT7487	885492.149725	134859.810101	284.212907	284.21	structure	contour	ST2328
PT7488	885492.465144	134859.783569	284.069560	284.07	structure	fond	ST2328
PT7489	885492.512136	134859.967256	284.052042	284.05	structure	fond	ST2328
PT7490	885492.841462	134860.229558	284.083715	284.08	structure	fond	ST2328
PT7491	885492.704943	134860.676102	284.056752	284.06	structure	fond	ST2328
PT7492	885601.063260	134841.800373	286.510013	286.51	structure	contour	ST1055
PT7493	885600.828249	134841.271105	286.481415	286.48	structure	contour	ST1055
PT7494	885600.578514	134841.640778	286.467958	286.47	structure	contour	ST1055
PT7495	885600.446144	134841.654726	286.487271	286.49	structure	contour	ST1055
PT7496	885600.348433	134841.237060	286.512627	286.51	structure	contour	ST1055
PT7497	885600.000222	134841.433054	286.515061	286.52	structure	contour	ST1055
PT7498	885600.888724	134841.832154	286.301091	286.3	structure	contour fond	ST1055
PT7499	885600.799292	134841.462355	286.332497	286.33	structure	contour fond	ST1055
PT7500	885600.646468	134841.757000	286.338617	286.34	structure	contour fond	ST1055
PT7501	885600.816845	134841.585323	286.311073	286.31	structure	fond	ST1055
PT7502	885600.350769	134841.815198	286.301740	286.3	structure	contour fond	ST1055
PT7503	885600.079767	134841.512020	286.274272	286.27	structure	contour fond	ST1055
PT7504	885600.027447	134841.953742	286.298145	286.3	structure	contour fond	ST1055
PT7505	885600.094563	134841.719843	286.271575	286.27	structure	fond	ST1055
PT7506	885599.809845	134841.797851	286.484743	286.48	structure	contour	ST1055
PT7507	885599.979712	134842.032141	286.468609	286.47	structure	contour	ST1055
PT7508	885639.293466	134857.821202	285.819136	285.82	prélèvement	p210	ST1071
PT7509	885623.792516	134877.465721	286.135431	286.14	structure	contour	ST1012
PT7510	885624.202023	134877.268880	286.119593	286.12	structure	contour	ST1012
PT7511	885624.398807	134876.733161	286.111626	286.11	structure	contour	ST1012
PT7512	885624.001960	134876.188734	286.111207	286.11	structure	contour	ST1012
PT7513	885623.349042	134876.067521	286.134963	286.13	structure	contour	ST1012
PT7514	885622.916585	134876.473130	286.138420	286.14	structure	contour	ST1012
PT7515	885622.798330	134877.081981	286.104557	286.1	structure	contour	ST1012
PT7516	885623.331706	134877.519017	286.115821	286.12	structure	contour	ST1012
PT7517	885623.266411	134877.105353	285.737398	285.74	structure	contour fond	ST1012
PT7518	885623.775859	134877.167746	285.729568	285.73	structure	contour fond	ST1012
PT7519	885623.960470	134876.868267	285.704907	285.7	structure	contour fond	ST1012
PT7520	885623.828738	134876.529164	285.710855	285.71	structure	contour fond	ST1012
PT7521	885623.395574	134876.235615	285.787645	285.79	structure	contour fond	ST1012
PT7522	885623.048550	134876.798938	285.788024	285.79	structure	contour fond	ST1012
PT7523	885623.529068	134876.698234	285.690741	285.69	structure	fond	ST1012
PT7524	885638.598730	134857.859568	286.127884	286.13	structure	clou coupe	ST1071

Annexe 4 - Le Clos de Roque, Saint-Maximin-la-Sainte-Baume (83). Inventaire des points topographiques.

PT	X (est)	Y (nord)	Z (alti)	Z (alti)	élément	type de point	identifiant
PT7525	885638.194001	134856.220331	286.090444	286.09	structure	clou coupe	ST1071
PT7526	885640.536709	134857.382791	286.091121	286.09	structure	clou coupe	ST1071
PT7527	885636.562278	134858.431272	286.113527	286.11	structure	clou coupe	ST1071
PT7528	885636.514368	134858.346297	286.133542	286.13	structure	clou carroyage	ST1071
PT7529	885636.057301	134856.394569	286.122769	286.12	structure	clou carroyage	ST1071
PT7530	885640.429293	134855.314394	286.159751	286.16	structure	clou carroyage	ST1071
PT7531	885640.883319	134857.268797	286.093011	286.09	structure	clou carroyage	ST1071
PT7532	885483.321646	134878.385801	285.903288	285.9	structure	contour	ST2337
PT7533	885482.800871	134878.755900	285.994172	285.99	structure	contour	ST2337
PT7534	885482.645843	134879.499207	285.981274	285.98	structure	contour	ST2337
PT7535	885483.003080	134879.988389	285.980782	285.98	structure	contour	ST2337
PT7536	885483.607945	134880.161881	285.870544	285.87	structure	contour	ST2337
PT7537	885483.349953	134878.412433	285.574799	285.57	structure	contour fond	ST2337
PT7538	885482.822017	134878.775984	285.549625	285.55	structure	contour fond	ST2337
PT7539	885482.680519	134879.478367	285.548442	285.55	structure	contour fond	ST2337
PT7540	885483.054845	134879.969671	285.566116	285.57	structure	contour fond	ST2337
PT7541	885483.673979	134880.076452	285.533823	285.53	structure	contour fond	ST2337
PT7542	885483.546764	134879.229593	285.444254	285.44	structure	fond	ST2337
PT7543	885636.906025	134858.340288	286.139193	286.14	structure	contour	ST1071
PT7544	885636.818400	134857.830146	286.133177	286.13	structure	contour	ST1071
PT7545	885636.859296	134857.396652	286.122302	286.12	structure	contour	ST1071
PT7546	885637.360790	134856.989512	286.112634	286.11	structure	contour	ST1071
PT7547	885637.915417	134856.691673	286.100935	286.1	structure	contour	ST1071
PT7548	885638.574747	134856.689135	286.064053	286.06	structure	contour	ST1071
PT7549	885639.028258	134856.913836	286.091873	286.09	structure	contour	ST1071
PT7550	885639.591774	134856.658296	286.133016	286.13	structure	contour	ST1071
PT7551	885640.011743	134856.904943	286.105433	286.11	structure	contour	ST1071
PT7552	885640.200203	134857.461356	286.057975	286.06	structure	contour	ST1071
PT7553	885637.160223	134858.253369	285.788254	285.79	structure	contour fond	ST1071
PT7554	885637.085372	134857.577164	285.776928	285.78	structure	contour fond	ST1071
PT7555	885637.628086	134857.053941	285.873144	285.87	structure	contour fond	ST1071
PT7556	885638.204086	134856.922502	285.903853	285.9	structure	contour fond	ST1071
PT7557	885638.858891	134857.200300	285.932490	285.93	structure	contour fond	ST1071
PT7558	885639.414658	134856.949765	285.959486	285.96	structure	contour fond	ST1071
PT7559	885639.823365	134856.929768	286.022085	286.02	structure	contour fond	ST1071
PT7560	885639.791826	134857.533142	285.892891	285.89	structure	contour fond	ST1071
PT7561	885639.245335	134857.650288	285.782726	285.78	structure	fond	ST1071
PT7562	885638.584670	134857.764341	285.891691	285.89	structure	fond	ST1071
PT7563	885637.884135	134857.937822	285.651355	285.65	structure	fond	ST1071
PT7564	885637.653345	134857.509954	285.672962	285.67	structure	fond	ST1071
PT7565	885638.364044	134857.332933	285.860576	285.86	structure	fond	ST1071
PT7566	885639.499113	134857.174391	285.938574	285.94	structure	fond	ST1071
PT7567	885474.149848	134847.060532	286.123170	286.12	relevé		Zone 2
PT7568	885475.032185	134860.610428	286.071653	286.07	relevé		Zone 2
PT7569	885476.248919	134878.077201	285.989914	285.99	relevé		Zone 2
PT7570	885482.698125	134878.544809	286.032335	286.03	relevé		Zone 2
PT7571	885484.958453	134892.911996	285.878822	285.88	relevé		Zone 2
PT7572	885485.146385	134910.365960	285.711732	285.71	relevé		Zone 2
PT7573	885485.465270	134931.184110	285.624861	285.62	relevé		Zone 2
PT7574	885487.673760	134966.069174	285.727996	285.73	relevé		Zone 2
PT7575	885511.622025	134952.776127	285.592690	285.59	relevé		Zone 2
PT7576	885510.882864	134923.978581	285.722955	285.72	relevé		Zone 2
PT7577	885508.972954	134905.286128	285.767823	285.77	relevé		Zone 2
PT7578	885506.808706	134882.755554	286.163356	286.16	relevé		Zone 2
PT7579	885505.261485	134863.584264	286.116618	286.12	relevé		Zone 2
PT7580	885500.953004	134843.481980	286.170295	286.17	relevé		Zone 2
PT7581	885515.522918	134841.457997	286.148232	286.15	relevé		Zone 2
PT7582	885522.911039	134869.116249	286.105349	286.11	relevé		Zone 2
PT7583	885529.115992	134889.120656	285.985563	285.99	relevé		Zone 2
PT7584	885538.940600	134908.984403	285.751918	285.75	relevé		Zone 2
PT7585	885552.371710	134902.501454	285.829175	285.83	relevé		Zone 2
PT7586	885544.141651	134880.531353	285.990787	285.99	relevé		Zone 2
PT7587	885537.391857	134852.955922	286.352817	286.35	relevé		Zone 2
PT7588	885532.516995	134837.912498	286.303296	286.3	relevé		Zone 2
PT7589	885549.033633	134850.270208	286.279611	286.28	relevé		Zone 2
PT7590	885565.638777	134845.934312	286.380816	286.38	relevé		Zone 2

PT	X (est)	Y (nord)	Z (alti)	Z (alti)	élément	type de point	identifiant
PT7591	885570.736282	134864.492711	286.045305	286.05	relevé		Zone 2
PT7592	885573.009445	134880.910740	285.827997	285.83	relevé		Zone 2
PT7593	885574.223383	134891.029348	285.689261	285.69	relevé		Zone 2
PT7594	885555.732022	134876.239744	286.012108	286.01	relevé		Zone 2
PT7595	885608.335377	134891.562222	285.832756	285.83	relevé		Zone 1
PT7596	885631.951054	134881.603681	286.055811	286.06	relevé		Zone 1
PT7597	885651.336859	134873.458533	286.063338	286.06	relevé		Zone 1
PT7598	885674.317721	134863.256618	285.968259	285.97	relevé		Zone 1
PT7599	885667.736654	134845.135145	286.009380	286.01	relevé		Zone 1
PT7600	885637.769222	134855.405313	286.096836	286.1	relevé		Zone 1
PT7601	885601.595946	134867.481926	286.061661	286.06	relevé		Zone 1
PT7602	885598.660153	134868.039755	286.925585	286.93	relevé		Zone 1
PT7603	885616.834162	134834.369542	286.401827	286.4	relevé		Zone 1
PT7604	885639.728271	134827.953909	286.382373	286.38	relevé		Zone 1
PT7605	885661.643033	134826.832003	286.460738	286.46	relevé		Zone 1
PT7606	885519.500579	134845.521075	285.856270	285.86	structure	nivellement	ST2224
PT7607	885519.349673	134845.559247	285.826603	285.83	structure	nivellement	ST2224
PT7608	885519.171235	134845.658162	285.784870	285.78	structure	nivellement	ST2224
PT7609	885519.701345	134845.715293	285.800603	285.8	structure	nivellement	ST2224
PT7610	885519.617116	134845.868578	285.779125	285.78	structure	nivellement	ST2224
PT7611	885519.386060	134846.037884	285.734421	285.73	structure	nivellement	ST2224
PT7612	885519.425862	134845.895504	285.688351	285.69	prélèvement	PR211	ST2224
PT7613	885519.107705	134845.574387	285.827694	285.83	structure	nivellement	ST2224
PT7614	885519.322653	134845.469423	285.786713	285.79	structure	nivellement	ST2224
PT7615	885519.519216	134845.457394	285.767622	285.77	structure	nivellement	ST2224
PT7616	885519.665152	134845.577755	285.786073	285.79	structure	nivellement	ST2224
PT7617	885519.540955	134845.662081	285.754613	285.75	structure	nivellement	ST2224
PT7618	885519.786131	134845.788987	285.696184	285.7	mobilier	lithique	ST2224
PT7619	885519.943553	134846.096454	286.303560	286.3	structure	contour	ST2224
PT7620	885519.926287	134845.612765	286.271376	286.27	structure	contour	ST2224
PT7621	885519.549643	134845.322677	286.262749	286.26	structure	contour	ST2224
PT7622	885518.972091	134845.558359	286.249344	286.25	structure	contour	ST2224
PT7623	885518.780719	134846.131729	286.273342	286.27	structure	contour	ST2224
PT7624	885519.805991	134846.144094	285.737313	285.74	structure	contour fond	ST2224
PT7625	885519.843338	134845.648258	285.711687	285.71	structure	contour fond	ST2224
PT7626	885519.500771	134845.371146	285.739537	285.74	structure	contour fond	ST2224
PT7627	885519.074998	134845.643077	285.737585	285.74	structure	contour fond	ST2224
PT7628	885519.013801	134846.145411	285.724376	285.72	structure	contour fond	ST2224
PT7629	885519.426439	134846.166960	285.691446	285.69	structure	fond	ST2224
PT7630	885520.037734	134846.185180	286.149542	286.15	structure	clou coupe	ST2224
PT7631	885518.822508	134846.195377	286.147058	286.15	structure	clou coupe	ST2224

n° PT	type de décapage (MAN, MEC)	localisation	US	remarques	pendage (H,V,I)	matériau	typo-techno	date	auteur
1041	MAN	ST2145	US 1	1/2 SUD	V	ceramique	fr panse ceram epaisse	16/05/2011	magali
1044	MAN	ST2145	US 1	1/2 SUD	I	ceramique	fr panse ceram fine	16/05/2011	magali
1055	MAN	ST2096	US 1	J9/97	H	ceramique	element de prehension	17/05/2011	johanna
1056	MAN	ST2096	US 1	J9/97	I	ceramique	1 bord	17/05/2011	johanna
1095	MAN	ST2096	US 1	J9/97	I	faune	fr mandibule	17/05/2011	MO
1096	MAN	ST2096	US 1	J9/98	H	faune	fragment	17/05/2011	MO
1097	MAN	ST2096	US 1	J9/98	V	ceramique	tesson	17/05/2011	johanna
1098	MAN	ST2096	US 1	J9/98	V	ceramique	tesson	17/05/2011	johanna
1099	MAN	ST2096	US 1	J9/98	I	lithique		17/05/2011	johanna
1109	MAN	ST2096	US 1	J9/97, cassé en 3 par piochon	H	ceramique		17/05/2011	johanna
1110	MAN	ST2096	US 1	J9/88	V	ceramique		17/05/2011	johanna
1111	MAN	ST2096	US 1	J9/87	H	ceramique		17/05/2011	johanna
1112	MAN	ST2096	US 1	J9/87	I	calcaire taillé ?		17/05/2011	johanna
1113	MAN	ST2096	US 1	J9/87, dans la coupe	V	ceramique		17/05/2011	johanna
1114	MAN	ST2096	US 1	J9/78	H	faune	fr cote	17/05/2011	johanna
1115	MAN	ST2096	US 1	J9/78	H	faune		17/05/2011	johanna
1116	MAN	ST2096	US 1	J9/78	I	lithique		17/05/2011	johanna
1117	MAN	ST2096	US 1	J9/78	I	lithique		17/05/2011	johanna
1118	MAN	ST2096	US 1	J9/79	H	lithique		17/05/2011	johanna
1119	MAN	ST2096	US 1	J9/79	H	faune	cote	17/05/2011	johanna
1120	MAN	ST2096	US 1	J9/79	I	ceramique		18/05/2011	florent
1121	MAN	ST2096	US 1	J9/78	I	argile chauffé		18/05/2011	florent
1122	MAN	ST2096	US 1	J9/78	indet	faune	faune	18/05/2011	florent
1123	MAN	ST2096	US 1	J9/68	V	faune	dent	18/05/2011	audrey
1124	MAN	ST2096	US 1	J9/67, brule	H	faune		18/05/2011	audrey
1125	MAN	ST2096	US 1	J9/67	I	ceramique	tesson	18/05/2011	audrey
1126	MAN	ST2096	US 1	J9/67	H	ceramique	prehension et bord	18/05/2011	audrey
1127	MAN	ST2096	US 1	J9/67	H	calcaire taillé ?		18/05/2011	audrey
1128	MAN	ST2096	US 1	J9/88	H	faune		18/05/2011	MO
1129	MAN	ST2096	US 1	J9/88	V	ceramique	tesson	18/05/2011	MO
1170	MAN	ST2096	US 1	J9/79	I	ceramique	tesson	18/05/2011	florent
1171	MAN	ST2096	US 1	J9/79	I	ceramique	tesson	18/05/2011	florent
1172	MAN	ST2096	US 1	J9/79	I	ceramique	bord	18/05/2011	florent
1173	MAN	ST2096	US 1	J9/79	I	argile chauffé		18/05/2011	florent
1174	MAN	ST2096	US 1	J9/79	I	faune		18/05/2011	florent
1175	MAN	ST2096	US 1	J9/79	I	faune		18/05/2011	florent
1176	MAN	ST2096	US 1	J9/78	I	faune		18/05/2011	florent
1177	MAN	ST2096	US 1	J9/78	I	ceramique	tesson	18/05/2011	florent
1178	MAN	ST2096	US 1	J9/78	H	faune		18/05/2011	florent
1179	MAN	ST2096	US 1	J9/68	H	faune		18/05/2011	florent
1180	MAN	ST2096	US 1	J9/68	I	ceramique	tesson	18/05/2011	florent
1181	MAN	ST2096	US 1	J9/68	I	lithique	eclat silex	18/05/2011	florent
1182	MAN	ST2096	US 1	J9/68	I	ceramique	tesson	18/05/2011	florent
1183	MAN	ST2096	US 1	J9/67	I	faune		18/05/2011	florent
1184	MAN	ST2096	US 1	J9/87	I	ceramique	bord	18/05/2011	MO

Annexe 5 - Le Clos de Roque, Saint-Maximin-la-Sainte-Baume (83). Inventaire du mobilier enregistré par point topographique.



n° PT	type de décapage (MAN, MEC)	localisation	US	remarques	pendage (H,V,I)	matériau	typo-techno	date	auteur
1185	MAN	ST2096	US 1	J9/97, brule ? Cassé en 2	H	lithique	silex retouché	18/05/2011	johanna
1186	MAN	ST2096	US 1	J9/97	I	lithique	silex	18/05/2011	johanna
1187	MAN	ST2096	US 1	J9/78	I	ceramique	tesson	18/05/2011	florent
1188	MAN	ST2096	US 1	J9/77	I	ceramique	tesson	18/05/2011	florent
1189	MAN	ST2096	US 1	J9/67	H	ceramique	bord	18/05/2011	audrey
1190	MAN	ST2096	US 1	J9/78	I	faune		18/05/2011	florent
1191	MAN	ST2096	US 1	J9/78	V	ceramique	prehension	18/05/2011	florent
1192	MAN	ST2096	US 1	J9/69	I	ceramique	tesson	18/05/2011	florent
1193	MAN	ST2096	US 1	J9/68	H	ceramique	tesson	18/05/2011	florent
1194	MAN	ST2096	US 1	J9/68	I	ceramique	tesson	18/05/2011	florent
1195	MAN	ST2096	US 1	J9/68	I	faune		18/05/2011	florent
1217	MAN	ST2096	US 1	J9/79	I	faune		18/05/2011	florent
1218	MAN	ST2096	US 1	J9/79	I	ceramique	tesson	18/05/2011	florent
1219	MAN	ST2096	US 1	J9/79	I	ceramique	tesson	18/05/2011	florent
1220	MAN	ST2096	US 1	J9/78	I	faune		18/05/2011	florent
1221	MAN	ST2096	US 1	J9/78	H	ceramique	tesson	18/05/2011	florent
1222	MAN	ST2096	US 1	J9/78	I	ceramique	bord	18/05/2011	florent
1223	MAN	ST2096	US 1	J9/78	I	ceramique	tesson	18/05/2011	florent
1224	MAN	ST2096	US 1	J9/68	H	ceramique	tesson	18/05/2011	florent
1225	MAN	ST2096	US 1	J9/98	I	ceramique	carene	18/05/2011	florent
1226	MAN	ST2096	US 1	J9/97	I	ceramique	tesson	18/05/2011	florent
1227	MAN	ST2096	US 1	J9/78	H	ceramique	tesson	18/05/2011	florent
1287	MAN	ST2096	US 1	J9/87	I	faune	dent	18/05/2011	MO
1063	MAN	ST2143	US 1		V	ceramique	tesson	16/05/2011	benoit
1300	MAN	ST2096	US 1	J9/69	H	faune	scapula (moyen ongule?)	19/05/2011	magali
1301	MAN	ST2096	US 1	J9/69	I	faune	portion cote	19/05/2011	magali
1311	MAN	ST2096	US 1	J9/87	H	lithique	silex	19/05/2011	MO
1312	MAN	ST2096	US 1	J9/87	H	lithique	silex	19/05/2011	MO
1313	MAN	ST2096	US 1	J9/87, pendage faible	I	lithique		19/05/2011	MO
1314	MAN	ST2096	US 1	J9/97	H	ceramique		19/05/2011	johanna
1315	MAN	ST2096	US 1	J9/97	H	ceramique		19/05/2011	johanna
1316	MAN	ST2096	US 1	J9/97, cassé à la pioche	I	ceramique	prehension	19/05/2011	johanna
1317	MAN	ST2096	US 1	J9/69, manque la 1/2 droite de la boite cranienne et incisive gauche	H	faune	crane canis	19/05/2011	magali
1318	MAN	ST2096	US 1	J9/69	H	faune	cote	19/05/2011	magali
1319	MAN	ST2096	US 1	J9/69	indet	charbon		19/05/2011	magali
1320	MAN	ST2096	US 1	J9/68, en fragments	I	faune	canis, axis	19/05/2011	magali
1321	MAN	ST2096	US 1	J9/68	I	faune	canis, 3° cervicale	19/05/2011	magali
1322	MAN	ST2096	US 1	J9/68	H	faune	indet	19/05/2011	magali
1323	MAN	ST2096	US 1	J9/68	I	faune	indet	19/05/2011	magali
1324	MAN	ST2096	US 1	J9/68, 2 fragments	I	faune	cote	19/05/2011	magali
1325	MAN	ST2096	US 1	J9/68	I	faune	cote	19/05/2011	magali
1326	MAN	ST2096	US 1	J9/68	H	faune	indet	19/05/2011	magali

Annexe 5 - Le Clos de Roque, Saint-Maximin-la-Sainte-Baume (83). Inventaire du mobilier enregistré par point topographique.



n° PT	type de décapage (MAN, MEC)	localisation	US	remarques	pendage (H,V,I)	matériau	typo-techno	date	auteur
1327	MAN	ST2096	US 1	J9/68	H	faune	cote	19/05/2011	magali
1328	MAN	ST2096	US 1	J9/68	H	faune	cote	19/05/2011	magali
1329	MAN	ST2096	US 1	J9/68, 2 fragments, cotes différentes ?	I	faune	cote	19/05/2011	magali
1330	MAN	ST2096	US 1	J9/68	H	faune	canis, atlas	19/05/2011	magali
1331	MAN	ST2096	US 1	J9/68	I	faune	cote	19/05/2011	magali
1332	MAN	ST2096	US 1	J9/68	I	faune	cote	19/05/2011	magali
1333	MAN	ST2096	US 1	J9/68	I	faune	canis, cervicale	19/05/2011	magali
1334	MAN	ST2096	US 1	J9/68	H	faune	crane	19/05/2011	magali
1335	MAN	ST2096	US 1	J9/68	I	faune	canis, cervicale	19/05/2011	magali
1336	MAN	ST2096	US 1	J9/68	H	ceramique	tesson	19/05/2011	magali
1337	MAN	ST2096	US 1	J9/68	H	ceramique	tesson	19/05/2011	magali
1338	MAN	ST2096	US 1	J9/78	I	ceramique	tesson	19/05/2011	magali
1339	MAN	ST2096	US 1	J9/78	I	ceramique	tesson	19/05/2011	magali
1340	MAN	ST2096	US 1	J9/78	I	ceramique	tesson	19/05/2011	magali
1341	MAN	ST2096	US 1	J9/78	H	faune	crane	19/05/2011	magali
1342	MAN	ST2096	US 1	J9/78	I	faune	vertebre	19/05/2011	magali
1343	MAN	ST2096	US 1	J9/68	H	ceramique	tesson	19/05/2011	magali
1360	MAN	ST2096	US 1	J9/88	H	lithique	fr lamelle retouchée	19/05/2011	MO
1361	MAN	ST2096	US 1	J9/97	H	lithique	eclat silex	19/05/2011	MO
1363	MAN	ST2096	US 1	J9/78	I	macrolithique	fr meule	19/05/2011	magali
1388	MAN	ST2096	US 1	J9/87, associé au prelevement 9	I	ceramique	tesson atypique	19/05/2011	johanna
1389	MAN	ST2096	US 1	J9/87, associé au prelevement 9	I	ceramique	bord	19/05/2011	johanna
1390	MAN	ST2096	US 1	J9/87, associé au prelevement 9	I	ceramique	tesson atypique	19/05/2011	johanna
1391	MAN	ST2096	US 1	J9/78	indet	faune	cote	19/05/2011	magali
1392	MAN	ST2096	US 1	J9/78	indet	ceramique		19/05/2011	magali
1393	MAN	ST2096	US 1	J9/77	H	ceramique		19/05/2011	magali
1394	MAN	ST2096	US 1	J9/77	I	ceramique		19/05/2011	magali
1395	MAN	ST2096	US 1	J9/79, dec 2	H	ceramique		20/05/2011	audrey
1396	MAN	ST2096	US 1	J9/79, dec 2	indet	faune		20/05/2011	audrey
1397	MAN	ST2096	US 1	J9/79, dec 2	H	faune		20/05/2011	audrey
1398	MAN	ST2096	US 1	J9/78, dec 2	H	ceramique		20/05/2011	audrey
1399	MAN	ST2096	US 1	J9/78, dec 2	I	ceramique		20/05/2011	audrey
1400	MAN	ST2096	US 1	J9/78, dec 2	indet	faune		20/05/2011	audrey
1401	MAN	ST2096	US 1	J9/78, dec 2	H	faune		20/05/2011	audrey
1402	MAN	ST2096	US 2	J9/78, dec 2	I	ceramique		20/05/2011	audrey
1403	MAN	ST2096	US 2	J9/68, dec 2	H	ceramique		20/05/2011	audrey
1404	MAN	ST2096	US 2	J9/68, dec 2	H	malacofaune	coquille	20/05/2011	audrey
1405	MAN	ST2096	US 2	J9/68, dec 2	indet	argile chauffé		20/05/2011	audrey
1406	MAN	ST2096	US 1	J9/68, dec 2	I	ceramique		20/05/2011	audrey
1407	MAN	ST2096	surface	J9/79, quart SE	H	lithique	silex	20/05/2011	audrey
1408	MAN	ST2096	US 1	J9/78, quart SO	indet	ceramique		20/05/2011	audrey

Annexe 5 - Le Clos de Roque, Saint-Maximin-la-Sainte-Baume (83). Inventaire du mobilier enregistré par point topographique.

n° PT	type de décapage (MAN, MEC)	localisation	US	remarques	pendage (H,V,I)	matériau	typo-techno	date	auteur
1409	MAN	ST2096	US 1	J9/87	I	ocre		20/05/2011	magali
1410	MAN	ST2096	US 1	J9/87	I	ceramique		20/05/2011	johanna
1411	MAN	ST2096	US 1	J9/97	I	ocre		20/05/2011	johanna
1412	MAN	ST2096	US 1	J9/97	H	lithique	silex	20/05/2011	johanna
1413	MAN	ST2096	US 1	J9/97	H	ceramique		20/05/2011	johanna
1414	MAN	ST2096	US 1	J9/98	H	lithique	galet taillé ?	23/05/2011	johanna
1415	MAN	ST2096	US 1	J9/98	I	lithique	galet taillé ?	23/05/2011	johanna
1420	MAN	ST2096	US 1	J9/77	indet	ceramique		23/05/2011	florent
1421	MAN	ST2096	US 1	J9/77	indet	ceramique		23/05/2011	florent
1422	MAN	ST2096	US 1	J9/77	indet	ceramique		23/05/2011	florent
1423	MAN	ST2096	US 1	J9/77	H	ceramique		23/05/2011	florent
1424	MAN	ST2096	US 1	J9/78	H	ceramique		23/05/2011	florent
1425	MAN	ST2096	US 1	J9/78	I	ceramique		23/05/2011	florent
1426	MAN	ST2096	US 1	J9/78	indet	ceramique		23/05/2011	florent
1427	MAN	ST2096	US 1	J9/78	indet	ceramique		23/05/2011	florent
1435	MAN	ST2096	US 1	J9/98	I	ceramique		23/05/2011	johanna
1436	MAN	ST2096	US 1	J9/98, 3 morceaux	I	ceramique		23/05/2011	johanna
1437	MAN	ST2096	US 1	J9/97	H	ceramique	bord	23/05/2011	MO
1438	MAN	ST2096	US 1	J9/67, 2 morceaux	I	ceramique		23/05/2011	magali
1439	MAN	ST2096	US 1	J9/70	H	ceramique		23/05/2011	florent
1452	MAN	ST2096	US 1	J9/88	I	ceramique	prehension	23/05/2011	johanna
1453	MAN	ST2096	US 1	J9/78	I	ceramique		24/05/2011	audrey
1454	MAN	ST2096	US 1	J9/78	I	ceramique		24/05/2011	audrey
1455	MAN	ST2096	US 2	J9/78	H	ceramique		24/05/2011	audrey
1456	MAN	ST2096	US 2	J9/78	I	ceramique		24/05/2011	audrey
1457	MAN	ST2096	US 1	J9/88	V	ceramique		24/05/2011	audrey
1458	MAN	ST2096	US 1	J9/77	H	lithique	silex	24/05/2011	audrey
1459	MAN	ST2096	US 1	J9/78	V	lithique	silex	24/05/2011	audrey
1460	MAN	ST2096	US 2	J9/68	H	faune		24/05/2011	audrey
1461	MAN	ST2096	US 2	J9/68	H	ceramique		24/05/2011	audrey
1462	MAN	ST2096	US 2	J9/68	H	ceramique		24/05/2011	audrey
1463	MAN	ST2096	US 2	J9/68, morceaux multiples	I	ceramique	fr panse	24/05/2011	audrey
1464	MAN	ST2096	US 2	J9/68	I	ceramique		24/05/2011	audrey
1465	MAN	ST2096	US 2	J9/78	H	ceramique	bord	24/05/2011	audrey
1466	MAN	ST2096	US 2	J9/68, remonte avec PT1467?	H	ceramique		24/05/2011	audrey
1467	MAN	ST2096	US 2	J9/78, remonte avec PT1466?	H	ceramique		24/05/2011	audrey
1468	MAN	ST2096	US 2	J9/78	I	ceramique		24/05/2011	florent
1469	MAN	ST2096	US 2	J9/77	H	faune		24/05/2011	florent
1470	MAN	ST2096	US 2	J9/78	I	faune		24/05/2011	florent
1471	MAN	ST2096	US 2	J9/78	H	ceramique		24/05/2011	florent
1472	MAN	ST2096	US 2	J9/77	I	ceramique	bord	24/05/2011	florent
1506	MAN	ST2096	US 1	J9/87, 2 fragments	I	ceramique	tesson	24/05/2011	magali
1507	MAN	ST2096	US 1	J9/88	I	lithique	eclat silex	24/05/2011	magali
1508	MAN	ST2096	US 2	J9/68	I	ceramique	tesson	24/05/2011	magali
1509	MAN	ST2096	US 2	J9/78	I	ceramique	tesson	24/05/2011	magali

Annexe 5 - Le Clos de Roque, Saint-Maximin-la-Sainte-Baume (83). Inventaire du mobilier enregistré par point topographique.

n° PT	type de décapage (MAN, MEC)	localisation	US	remarques	pendage (H,V,I)	matériau	typo-techno	date	auteur
1510	MAN	ST2096	US 2	J9/79	indet	ceramique	tesson	24/05/2011	magali
1511	MAN	ST2096	US 2	J9/79	I	faune	distal poulie mtp (ind. Os ?)	24/05/2011	magali
1512	MAN	ST2096	US 2	J9/78	I	ceramique	tesson	24/05/2011	magali
1513	MAN	ST2096	US 2	J9/78	indet	ceramique	tesson	24/05/2011	magali
1525	MAN	ST2096	US 2	J9/78, dec 4	H	ceramique		24/05/2011	audrey
1526	MAN	ST2096	US 2	J9/78, dec 4	H	ceramique		24/05/2011	audrey
1527	MAN	ST2096	US 2	J9/78, dec 4	indet	ceramique		24/05/2011	audrey
1528	MAN	ST2096	US 2	J9/78, dec 4	indet	ceramique		25/05/2011	audrey
1529	MAN	ST2096	US 2	J9/78, dec 4	indet	ceramique		25/05/2011	audrey
1530	MAN	ST2096	US 2	J9/78, dec 4	indet	ceramique		25/05/2011	audrey
1531	MAN	ST2096	US 2	J9/78, dec 4	H	ceramique		25/05/2011	audrey
1532	MAN	ST2096	US 2	J9/78, dec 4	H	lithique	silex	25/05/2011	audrey
1533	MAN	ST2096	US 2	J9/77, dec 4	H	ceramique		25/05/2011	audrey
1534	MAN	ST2096	US 2	J9/77, dec 4	H	ceramique	bord	25/05/2011	audrey
1535	MAN	ST2096	US 2	J9/77, dec 4	H	ceramique		25/05/2011	audrey
1536	MAN	ST2096	US 2	J9/68, dec 4	I	ceramique		25/05/2011	audrey
1537	MAN	ST2096	US 1	J9/78, dec 4	H	faune	mandibule	25/05/2011	audrey
1538	MAN	ST2096	US 1	J9/78, dec 4	indet	ceramique		25/05/2011	audrey
1539	MAN	ST2096	US 1	J9/78, dec 4	V	ceramique		25/05/2011	audrey
1540	MAN	ST2096	US 1	J9/78, dec 4	I	ceramique		25/05/2011	audrey
1541	MAN	ST2096	US 1	J9/78, dec 4	H	ceramique		25/05/2011	audrey
1542	MAN	ST2096	US 1	J9/78, dec 4	I	ceramique		25/05/2011	audrey
1543	MAN	ST2096	US 1	J9/78, dec 4	I	ceramique		25/05/2011	audrey
1544	MAN	ST2096	US 1	J9/87, dec 5	I	ceramique	carene	25/05/2011	audrey
1545	MAN	ST2096	US 4	J9/98, dec 5	I	ceramique		25/05/2011	audrey
1546	MAN	ST2096	US 4	J9/97, dec 5	I	ceramique		25/05/2011	audrey
1552	MAN	ST2096	US 2	J9/68, dec 4	I	macrolithique	grès	25/05/2011	MO
1636	MAN	ST2096	US 1	J9/78, dec 4	I	ceramique		25/05/2011	audrey
1637	MAN	ST2096	US 2	J9/78, dec 4	H	ceramique		25/05/2011	audrey
1654	MAN	ST2096	US 4	J9/98, dec 6	V	lithique		25/05/2011	johanna
1655	MAN	ST2096	US 4	J9/97, dec 6, cassé à la pioche	H	lithique		25/05/2011	johanna
1656	MAN	ST2096	US 4	J9/97, dec 6	V	ceramique		25/05/2011	johanna
1657	MAN	ST2096	US 1	J9/88, dec 5	I	ceramique		25/05/2011	MO
1658	MAN	ST2096	US 2	J9/78, dec 5	I	lithique	silex	25/05/2011	audrey
1659	MAN	ST2096	US 2	J9/77, dec 5	H	faune		25/05/2011	audrey
1660	MAN	ST2096	US 2	J9/77, dec 5	H	ceramique		25/05/2011	audrey
1661	MAN	ST2096	US 2	J9/68, dec 5	H	ceramique		25/05/2011	audrey
1662	MAN	ST2096	US 2	J9/67, dec 5	H	ceramique		25/05/2011	audrey
1663	MAN	ST2096	US 2	J9/68, dec 5	I	ceramique	bord	25/05/2011	audrey
1664	MAN	ST2096	US 2	J9/79, dec 5	indet	faune		25/05/2011	audrey
1665	MAN	ST2096	US 2	J9/78, dec 5	I	ceramique		25/05/2011	audrey
1666	MAN	ST2096	US 2	J9/78, dec 5	H	ceramique		25/05/2011	audrey
1753	MAN	ST2096	US 3	J9/67, dec 6	H	ceramique	bord	26/05/2011	audrey
1754	MAN	ST2096	US 2	J9/78, dec 6	H	ceramique		26/05/2011	audrey
1755	MAN	ST2096	US 1	J9/78, dec 6	indet	faune		26/05/2011	audrey
1756	MAN	ST2096	US 1	J9/78, dec 6	I	lithique	silex	26/05/2011	audrey

Annexe 5 - Le Clos de Roque, Saint-Maximin-la-Sainte-Baume (83). Inventaire du mobilier enregistré par point topographique.

n° PT	type de décapage (MAN, MEC)	localisation	US	remarques	pendage (H,V,I)	matériau	typo-techno	date	auteur
1757	MAN	ST2096	US 1	J9/78, dec 6	I	faune		26/05/2011	audrey
1758	MAN	ST2096	US 2	J9/78, dec 6	I	lithique	silex	26/05/2011	audrey
1759	MAN	ST2125	US 1	coupe AB	V	ceramique		26/05/2011	MR
1760	MAN	ST2096	US 2	J9/78, dec 6	I	ceramique		26/05/2011	audrey
1761	MAN	ST2123	US 1	bord structure	V	ceramique	presence carene ?	26/05/2011	magali
1762	MAN	ST2129	US 1		I	ceramique	tesson	26/05/2011	thomas
1763	MAN	ST2129	US 1		I	ceramique	tesson	26/05/2011	thomas
1764	MAN	ST2096	US 2	J9/78, dec 6	H	ceramique		26/05/2011	audrey
1765	MAN	ST2096	US 2	J9/78, dec 6	H	ceramique	bord	26/05/2011	audrey
1766	MAN	ST2096	US 2	J9/78, dec 6	H	ceramique		26/05/2011	audrey
1767	MAN	ST2096	US 2	J9/78, dec 6	H	ceramique		26/05/2011	audrey
1768	MAN	ST2096	US 2	J9/78, dec 6	I	faune		26/05/2011	audrey
1769	MAN	ST2096	US 2	J9/77, dec 6	H	ceramique		26/05/2011	audrey
1770	MAN	ST2096	US 2	J9/78, dec 6	I	faune		26/05/2011	audrey
1771	MAN	ST2096	US 2	J9/79, dec 6	I	lithique	silex	26/05/2011	audrey
1772	MAN	ST2096	US 2	J9/79, dec 6	I	faune		26/05/2011	audrey
1782	MAN	ST2096	US 4	J9/98	I	ceramique		27/05/2011	johanna
1783	MAN	ST2096	US 4	J9/98	H	faune	dent	27/05/2011	johanna
1805	MAN	ST2096	US 1	J9/78	I	ceramique	tesson	27/05/2011	johanna
1806	MAN	ST2096	US 1	J9/77	I	faune	tesson	27/05/2011	johanna
1807	MAN	ST2129	US 1	3 fragments	V	ceramique	tesson	30/05/2011	thomas
1956	MAN	ST2096	US 1	J9/87	I	faune		30/05/2011	johanna
1957	MAN	ST2096	US 4	J9/97	I	ceramique		30/05/2011	MO
1958	MAN	ST2096	US 4	J9/87	V	lithique	eclat	30/05/2011	johanna
1968	MAN	ST2096	paroi quart NE	J9/87	I	ceramique		30/05/2011	MO
1969	MAN	ST2096	US 4	J9/87	V	ceramique		30/05/2011	MO
1970	MAN	ST2096	US 1	J9/78	I	lithique	lame silex	30/05/2011	MO
2072	MAN	ST2096	US 1	J9/97	H	faune		31/05/2011	johanna
2073	MAN	ST2096	US 1	J9/97	I	faune		31/05/2011	johanna
2074	MAN	ST2096	US 1	J9/87	I	faune		31/05/2011	johanna
2098	MAN	ST2096	US 1	J9/87	I	malacofaune		31/05/2011	johanna
2099	MAN	ST2096	US 1	J9/87	I	ceramique		31/05/2011	johanna
2100	MAN	ST2096	US 1	J9/87	V	ceramique		31/05/2011	johanna
2101	MAN	ST2096	US 1	J9/87	I	ceramique		31/05/2011	johanna
2132	MAN	ST2136	US 1	age bronze?	V	lithique	armature de fleche	31/05/2011	magali
2133	MAN	ST2096	US 4	J9/98	I	faune		31/05/2011	MO
2134	MAN	ST2096	US 4	J9/98	H	ceramique		31/05/2011	MO
2135	MAN	ST2096	US 4	J9/98	I	lithique	silex	31/05/2011	MO
2146	MAN	ST2136	US 1	5 fragments (cf PT2148 ?)	I	ceramique	panse	31/05/2011	magali
2147	MAN	ST2136	US 1		I	macrolithique	fr meule ?	31/05/2011	magali
2148	MAN	ST2136	US 1		V	ceramique	tesson	31/05/2011	magali
2256	MAN	ST2093	US 3	dec 3	H	lithique	hache polie	01/06/2011	audrey
2257	MAN	ST2136	US 1		H	ceramique	tesson	01/06/2011	magali
2258	MAN	ST2136	US 1		H	ceramique	tesson	01/06/2011	magali
2259	MAN	ST2136	US 1		H	ceramique	tesson	01/06/2011	magali
2260	MAN	ST2136	US 1		V	faune	fr brule (scapula?)	01/06/2011	magali

Annexe 5 - Le Clos de Roque, Saint-Maximin-la-Sainte-Baume (83). Inventaire du mobilier enregistré par point topographique.

n° PT	type de décapage (MAN, MEC)	localisation	US	remarques	pendage (H,V,I)	matériau	typo-techno	date	auteur
2261	MAN	ST2136	US 1		H	faune	indet	01/06/2011	magali
2262	MAN	ST2096	US 1	J9/78	indet	faune		01/06/2011	florent
2263	MAN	ST2096	US 1	J9/78	indet	ceramique		01/06/2011	florent
2264	MAN	ST2096	US 4	J9/97	V	ceramique		01/06/2011	johanna
2265	MAN	ST2205	US 1		H	faune	fémur	01/06/2011	alda
2266	MAN	ST2205	US 1		H	faune	indet	01/06/2011	alda
2267	MAN	ST2205	US 1		H	faune	patella	01/06/2011	alda
2268	MAN	ST2205	US 1		H	faune		01/06/2011	alda
2269	MAN	ST2205	US 1		H	faune		01/06/2011	alda
2271	MAN	ST2136	US 1		I	faune	diaphyse radius, petit ongulé	01/06/2011	magali
2281	MAN	ST2096	US 1	J9/88	I	lithique		01/06/2011	johanna
2282	MAN	ST2096	US 7	J9/78	indet	ceramique		01/06/2011	florent
2320	MAN	ST2093	US 2	dec 3, 1/2 sud	indet	pierre		02/06/2011	audrey
2321	MAN	ST2093	US 3	dec 3, 1/2 sud	I	ceramique		02/06/2011	audrey
2322	MAN	ST2093	US 3	dec 3, 1/2 sud	V	ceramique		02/06/2011	audrey
2323	MAN	ST2093	US 3	dec 3, 1/2 sud	H	ceramique		02/06/2011	audrey
2324	MAN	ST2093	US 3	dec 3, 1/2 sud	H	ceramique		02/06/2011	audrey
2336	MAN	ST2096	US 4	quart NE, dec 9	I	ceramique		02/06/2011	florent
2337	MAN	ST2096	US 1	quart NE, dec 9	I	ceramique		02/06/2011	florent
2338	MAN	ST2096	US 1	quart NE, dec 9	I	ceramique		02/06/2011	florent
2339	MAN	ST2096	US 1	quart NE, dec 9	I	ceramique		02/06/2011	florent
2382	MAN	ST2209	US 1		I	ceramique		02/06/2011	thomas
2383	MAN	ST2209	US 1		I	ceramique		02/06/2011	thomas
2384	MAN	ST2096	US 7	quart NE, dec 10	I	ceramique		02/06/2011	florent
2385	MAN	ST2096	US 7	quart NE, dec 10	I	faune	metapode ou tarse	02/06/2011	florent
2386	MAN	ST2096	US 4	quart NE, dec 10	indet	lithique	silex	02/06/2011	florent
2387	MAN	ST2096	US 4	quart NE, dec 10	indet	lithique	silex	02/06/2011	florent
2503	MAN	ST2096	US 5	quart NE, dec 10	I	ceramique	bord	03/06/2011	florent
2504	MAN	ST2096	US 5	quart NE, dec 10	I	ceramique		03/06/2011	florent
2580	MAN	ST2096	rectif coupe	J9/87, fr dans coupe	H	ceramique	bord	06/06/2011	johanna
2740	MAN	ST2096	US 4	J9/87, dec 12	I	ceramique	bord	07/06/2011	johanna
2741	MAN	ST2096	US 4	J9/87, dec 12	I	lithique	calcaire	07/06/2011	johanna
2742	MAN	ST2096	US 4	J9/98, dec 12	I	ceramique		07/06/2011	johanna
2783	MAN	ST2093	US 5	dec 2	H	ceramique		07/06/2011	audrey
2884	MAN	ST2093	US 5	1/2 nord	H	ceramique		08/06/2011	audrey
2921	MAN	ST2096	US 1	J9/87, J9/87	indet	ocre ou argile cuite		08/06/2011	johanna
2922	MAN	ST2096	US 1	J9/87, dans la coupe	I	ceramique		08/06/2011	johanna
3104	MAN	ST2209	US 2	près orbite gauche du crane	I	lithique	eclat poli	08/06/2011	thomas
3145	MAN	ST2032	US 1	1/2 sud	H	ceramique	tesson	09/06/2011	magali
3146	MAN	ST2032	US 1	1/2 nord	V	lithique	armature de fleche	09/06/2011	magali
3147	MAN	ST2032	US 1	1/2 nord	V	ceramique	tesson	09/06/2011	magali
3256	MAN	ST2032	US 1	1/2 sud	I	ceramique	panse	10/06/2011	magali
3257	MAN	ST2032	US 1	1/2 sud	H	ceramique	prehension	10/06/2011	magali

Annexe 5 - Le Clos de Roque, Saint-Maximin-la-Sainte-Baume (83). Inventaire du mobilier enregistré par point topographique.

n° PT	type de décapage (MAN, MEC)	localisation	US	remarques	pendage (H,V,I)	matériau	typo-techno	date	auteur
3344	MAN	ST2319/2333	UPS2/U S1		indet	terre chauffée		14/06/2011	florent
3345	MAN	ST2319/2333	UPS2/U S1		I	ceramique	panse	14/06/2011	florent
3346	MAN	ST2319/2333	UPS2/U S1		I	ceramique	panse	14/06/2011	florent
3347	MAN	ST2319/2333	UPS2/U S1		I	ceramique	panse	14/06/2011	florent
3348	MAN	ST2319/2333	UPS2/U S1		V	ceramique	panse	14/06/2011	florent
3349	MAN	ST2319/2333	UPS2/U S1		indet	lithique	nucleus silex ?	14/06/2011	florent
3350	MAN	ST2319/2333	UPS2/U S1		I	lithique	eclat silex	14/06/2011	florent
3351	MAN	ST2319/2333	UPS2/U S1		I	ceramique		14/06/2011	florent
3352	MAN	ST2319	UPS2/U S1		I	ceramique	anse	14/06/2011	florent
3353	MAN	ST2319	UPS2/U S1		I	ceramique	panse	14/06/2011	florent
3354	MAN	ST2319	UPS2/U S1		I	lithique	silex chauffé ?	14/06/2011	florent
3355	MAN	ST2319	UPS2/U S1		H	ceramique	bord	14/06/2011	florent
3356	MAN	ST2319	UPS2/U S1		I	lithique	eclat silex	14/06/2011	florent
3357	MAN	ST2319	UPS2/U S1		V	ceramique	panse	14/06/2011	florent
3358	MAN	ST2319	UPS2/U S1		H	faune	extremite os long	14/06/2011	florent
3359	MAN	ST2319	UPS2/U S1		I	ceramique	panse	14/06/2011	florent
3360	MAN	ST2319	UPS2/U S1		I	ceramique	panse	14/06/2011	florent
3361	MAN	ST2319	UPS2/U S1		I	ceramique		14/06/2011	florent
3362	MAN	ST2319	UPS2/U S1		I	ceramique	panse	14/06/2011	florent
3363	MAN	ST2319	UPS2/U S1		H	faune	dent	14/06/2011	florent
3364	MAN	ST2319	UPS2/U S1		I	ceramique		14/06/2011	florent
3365	MAN	ST2319	UPS2/U S1		I	ceramique		14/06/2011	florent
3399	MAN	ST2319/2333	UPS2/U S1		I	ceramique	panse	14/06/2011	florent
3400	MAN	ST2319/2333	UPS2/U S1		I	lithique	eclat silex	14/06/2011	florent
3401	MAN	ST2319/2333	UPS2/U S1	2 fragments qui remontent	H	faune		14/06/2011	florent
3402	MAN	ST2319/2333	UPS2/U S1		I	ceramique	bord	14/06/2011	florent
3403	MAN	ST2319/2333	UPS2/U S1		H	faune	os long	14/06/2011	florent
3404	MAN	ST2319	UPS2/U S1		I	faune	os	14/06/2011	florent
3421	MAN	ST2195	US 1		I	ceramique	tesson	14/06/2011	pauline
3448	MAN	ST2192	US 1		I	ceramique	fond plat	14/06/2011	amelie
3466	MAN	ST2192	US 1		I	ceramique	carene - bord	15/06/2011	amelie
3467	MAN	ST2192	US 1		I	ceramique	tesson	15/06/2011	amelie
3468	MAN	ST2192	US 1		I	ceramique	tesson	15/06/2011	amelie
3475	MAN	ST2192	US 1		H	metal	alene en bronze	15/06/2011	amelie
3482	MAN	ST2192	US 1		H	lithique	hache polie, roche verte	15/06/2011	amelie
3628	MAN	ST2096	dans coupe	vase dans coupe	indet	ceramique	carene	15/06/2011	johanna
3556	MAN	ST2192	US 1	proche de la coupe	H	ceramique	panse	15/06/2011	amelie
3564	MAN	ST2276	US 1	age bronze?	H	ceramique	fond vase+panse	15/06/2011	magali
3566	MAN	ST2230	US 1		H	lithique		15/06/2011	magali
3631	MAN	ST2056	US 1		H	ceramique	anse	15/06/2011	florent
3632	MAN	ST2056	US 1		indet	faune	dent suide	15/06/2011	florent

Annexe 5 - Le Clos de Roque, Saint-Maximin-la-Sainte-Baume (83). Inventaire du mobilier enregistré par point topographique.



n° PT	type de décapage (MAN, MEC)	localisation	US	remarques	pendage (H,V,I)	matériau	typo-techno	date	auteur
3633	MAN	ST2056	US 1		H	faune	dent suide	15/06/2011	florent
3766	MAN	ST2096	US 4	quart NE	H	ceramique	prehension et anse	16/06/2011	johanna
3767	MAN	ST2096	US 4	quart NE	indet	pierre		16/06/2011	johanna
3879	MAN	ST2096	dans coupe	J9/87	indet	ceramique	bord	16/06/2011	johanna
3880	MAN	ST2096	US 4	J9/98, dec 21	I	ceramique	tesson epais	16/06/2011	johanna
3945	MAN	ST2192	US 1	bronze ancien ?	V	ceramique	panse+bord	17/06/2011	amelie
3978	MAN	ST2096	US 9	dec 22	indet	torchis?		17/06/2011	johanna
3979	MAN	ST2096	US 9	dec 22	indet	pierre		17/06/2011	johanna
3980	MAN	ST2096	US 9	dec 22	indet	pierre		17/06/2011	johanna
3981	MAN	ST2096	US 9	dec 22	indet	pierre		17/06/2011	johanna
4001	MAN	ST2033	US 1		indet	metal	bronze	17/06/2011	florent
4021	MAN	ST2096	US 9	z sup (meme que PT4022)	indet	pierre		20/06/2011	johanna
4022	MAN	ST2096	US 9	z inf (meme que PT4021)	indet	pierre		20/06/2011	johanna
4023	MAN	ST2096	US 9	z sup (meme que PT4024)	indet	pierre		20/06/2011	johanna
4024	MAN	ST2096	US 9	z inf (meme que PT4023)	indet	pierre		20/06/2011	johanna
4118	MAN	ST2096	US 9	dec 24	V	ceramique	panse	20/06/2011	johanna
4141	MAN	ST2096	US 9	J9/98, dec 24	V	ceramique	panse	20/06/2011	johanna
4142	MAN	ST2096	US 9	J9/98, dec 24	indet	ceramique		20/06/2011	johanna
4290	MAN	ST2230	US 1	niveau rubéfié	H	ceramique	tesson	21/06/2011	amelie
4291	MAN	ST2230	US 1	niveau rubéfié	V	faune		21/06/2011	amelie
4364	MAN	ST2230	US 1	niveau rubéfié	H	ceramique	bord	21/06/2011	amelie
4365	MAN	ST2230	US 1	niveau rubéfié	H	ceramique	tesson	21/06/2011	amelie
4387	MAN	ST2096	US 9	z sup (meme que PT4388)	H	macrolithique	fr meule ?	21/06/2011	johanna
4388	MAN	ST2096	US 9	z inf (meme que PT4387)	H	macrolithique	fr meule ?	21/06/2011	johanna
5483	MAN	ST2074	?		H	parure	bracelet schiste	24/06/2011	florent
5527	MAN	ST2011	US 1		H	ceramique	carene	24/06/2011	amelie
5645	MAN	ST2237	US 1		H	ceramique	moitie vase (avec bords)	27/06/2011	pauline
5648	MAN	ST2237	US 1	leger pendage	I	ceramique	tesson	27/06/2011	pauline
5649	MAN	ST2237	US 1	leger pendage	I	ceramique	tesson	27/06/2011	pauline
5660	MEC	ST2096	US 9		I	faune	scapula	27/06/2011	MR
5770	MAN	ST2067	US 1		I	faune	mandibule	28/06/2011	johanna
5775	MAN	ST2096	US 10	dec 28, quart NE	indet	macrolithique	fr meule	28/06/2011	johanna
5780	MAN	ST2021	US 1		I	ceramique		28/06/2011	amelie
5855	MAN	ST2021	US 1		I	faune		28/06/2011	amelie
5866	MAN	ST2021	US 1		H	ceramique		28/06/2011	amelie
5867	MAN	ST2021	US 1		H	ceramique		28/06/2011	amelie
5881	MAN	ST2021	niveaux cendreaux		I	ceramique	panse avec decor	28/06/2011	amelie
5912	MAN	ST2021	US 1		H	ceramique	panse	28/06/2011	amelie
5937	MAN	ST2021	US 1		indet	faune		28/06/2011	amelie
6350	MEC	ST2096	US 1	quart NO	I	ceramique	panse+bord	29/06/2011	johanna
6568	MAN	ST2225	US 1		H	faune	scapula (?)	30/06/2011	pauline
6617	MAN	ST2225	US 1		H	faune		30/06/2011	pauline
6645	MAN	ST2006	US 1		H	faune	depot	30/06/2011	audrey
6648	MAN	ST2006	US 1		H	ocre		30/06/2011	audrey

Annexe 5 - Le Clos de Roque, Saint-Maximin-la-Sainte-Baume (83). Inventaire du mobilier enregistré par point topographique.

n° PT	type de décapage (MAN, MEC)	localisation	US	remarques	pendage (H,V,I)	matériau	typo-techno	date	auteur
6651	MAN	ST2225	US 1		H	faune	humerus bœuf	30/06/2011	pauline
6740	MAN	ST2225	US 1		I	faune	cote (lissoir?)	01/07/2011	pauline
6861	MAN	ST2225	US 1		H	ceramique	tesson	04/07/2011	pauline
6862	MAN	ST2225	US 1		H	faune	mandibule gauche bœuf	04/07/2011	pauline
6863	MAN	ST2225	US 1		H	faune	maxillaire bœuf (gauche?)	04/07/2011	pauline
6864	MAN	ST2225	US 1		H	faune	mandibule droite bœuf	04/07/2011	pauline
6865	MAN	ST2225	US 1	meme que PT6866	H	faune	crane bœuf	04/07/2011	pauline
6866	MAN	ST2225	US 1	meme que PT6865	H	faune	crane bœuf	04/07/2011	pauline
6867	MAN	ST2225	US 1		H	faune	crane bœuf	04/07/2011	pauline
6886	MAN	ST2225	US 1		H	faune	fr mandibule bœuf	04/07/2011	pauline
6887	MAN	ST2225	US 1		H	faune	condyle crane bœuf	04/07/2011	pauline
6910	MAN	ST2225	US 1		H	faune	radius proximal bœuf	04/07/2011	pauline
7016	MAN	ST1014	US 1		H	faune		05/07/2011	amelie
7039	MEC	ST2096	?	1/2 nord	indet	ceramique	vase en place	05/07/2011	johanna
7045	MEC	ST2096	?	1/2 nord	V	bois	morceau de poteau	05/07/2011	johanna
7074	MAN	ST1014	US 1		H	faune		05/07/2011	amelie
7318	MAN	ST1012	US 1		H	faune		06/07/2011	amelie
7433	MAN	ST2225	US 1		I	humain	mandibule	07/07/2011	magali
7435	MAN	ST2337	US 1		H	pierre	dalle calcaire	07/07/2011	audrey
515	MEC	ST1048	?		??	faune	?	06/05/2011	topo
1032	MAN	ST2012	?		indet	charbon+ceramique		16/05/2011	topo (audrey)
1647	MAN	ST2096	US 1	J9/87, dec 6	??	lithique		25/05/2011	topo (johanna)
1679	MAN	ST2155	?		??	lithique		25/05/2011	topo (alda)
2125	MAN	ST2093	?		??	faune		31/05/2011	topo (audrey)
3587	MAN	ST2209	US 2		??	humain	crane	15/06/2011	topo (audrey)
3588	MAN	ST2209	US 2		??	humain	humerus droit	15/06/2011	topo (audrey)
3589	MAN	ST2209	US 2		??	humain	humerus gauche	15/06/2011	topo (audrey)
3590	MAN	ST2209	US 2		??	humain	main gauche	15/06/2011	topo (audrey)
3591	MAN	ST2209	US 2		??	humain	radio-ulna droit	15/06/2011	topo (audrey)
3592	MAN	ST2209	US 2		??	humain	radio-ulna gauche	15/06/2011	topo (audrey)
3593	MAN	ST2209	US 2		??	humain	patella gauche	15/06/2011	topo (audrey)
3594	MAN	ST2209	US 2		??	humain	patella droite	15/06/2011	topo (audrey)
3595	MAN	ST2209	US 2		??	humain	fémur droit	15/06/2011	topo (audrey)
3596	MAN	ST2209	US 2		??	humain	pied droit	15/06/2011	topo (audrey)
3597	MAN	ST2209	US 2		??	humain	pied gauche	15/06/2011	topo (audrey)
4079	MAN	ST2215	US 1		??	humain	crane	17/06/2011	topo (audrey)
4080	MAN	ST2215	US 1		??	humain	scapula droite	17/06/2011	topo (audrey)
4081	MAN	ST2215	US 1		??	humain	radio-ulna droit	17/06/2011	topo (audrey)
4082	MAN	ST2215	US 1		??	humain	coxal droit	17/06/2011	topo (audrey)
4083	MAN	ST2215	US 1		??	humain	patella droite	17/06/2011	topo (audrey)

Annexe 5 - Le Clos de Roque, Saint-Maximin-la-Sainte-Baume (83). Inventaire du mobilier enregistré par point topographique.

n° PT	type de décapage (MAN, MEC)	localisation	US	remarques	pendage (H,V,I)	matériau	typo-techno	date	auteur
4084	MAN	ST2215	US 1		??	humain	pieds	17/06/2011	topo (audrey)
4085	MAN	ST2215	US 1		??	humain	patella gauche	17/06/2011	topo (audrey)
4086	MAN	ST2215	US 1		??	humain	radio-ulna gauche	17/06/2011	topo (audrey)
4087	MAN	ST2215	US 1		??	humain	scapula gauche	17/06/2011	topo (audrey)
5646	MAN	ST2237	US 1		??	terre chauffée		24/06/2011	topo (pauline)
6731	?	ST2319	?		??	faune		01/07/2011	topo (florent)
7005	?	ST2328	?		??	macrolithique	fr meule	05/07/2011	topo (gilles)
7109	MEC	ST2096	fond puits 1		??	Pierre		05/07/2011	topo (johanna)
7380	?	ST2328	?		??	faune		07/07/2011	topo (gilles)
7618	MAN	ST2224	US 1	grosse pierre dans sépulture	??	Pierre		12/07/2011	topo (audrey)

N° PR	LOCALISATION	UPS	US	MATERIAU	QUANTITE	ANALYSE	REMARQUE	AUTEUR	DATE	ATTRIBUTION
1	CP 3-1 (zone 2)	3		concrétions carbonatées	0,1 L	pédologie		M. Rué	04/05/2011	Géologique
2	CP 3-1 (zone 2)	4		sédiment vrac	0,2 L	pédologie		M. Rué	05/05/2011	Géologique
3	CP 3-1 (zone 2)	3		sédiment vrac	0,2 L	pédologie		M. Rué	05/05/2011	Géologique
4	CP 3-1 (zone 2)	3sommet		sédiment vrac	0,2 L	pédologie	frange blanchâtre	M. Rué	05/05/2011	Géologique
5	CP 3-1 (zone 2)	2b		sédiment vrac	0,2 L	pédologie		M. Rué	05/05/2011	Géologique
6	CP 3-1 (zone 2)	2a		sédiment vrac	0,2 L	pédologie		M. Rué	05/05/2011	Géologique
7	CP 3-1 (zone 2)			sédiment vrac	0,1 L	pédologie	comblement racine brun gris (base)	M. Rué	05/05/2011	Géologique
8	CP 3-1 (zone 2)	3		sédiment vrac	0,1 L	pédologie	comblement racine brun gris (base)	M. Rué	05/05/2011	Géologique
9	ST2096 - carré 87, 97	1	1 - dec 2&3	charbons	15 l	anthracologie	PT1362	M. Orgeval	19/05/2011	Néolithique récent
10	ST2012		1	charbons		anthracologie	PT1032	A. Baradat	16/05/2011	Pré/Proto
11	ST2013		1	charbons	0,5 l	anthracologie		F. Châteauneuf	17/05/2011	Pré/Proto
12	ST2013		1	charbons	0,5 l	anthracologie		F. Châteauneuf	17/05/2011	Pré/Proto
13	ST2012		1	charbons	0,5 l	anthracologie	PT1100	A. Baradat	17/05/2011	Pré/Proto
14	ST2096 - carré 69		1	charbons	0,1 l	anthracologie	PT1216	F. Châteauneuf	17/05/2011	Néolithique récent
15	ST2096 - carré 88	1	1 - dec 4	terre crue		micromorphologie	PT1440	J. Rechhia	23/05/2011	Néolithique récent
16	ST2096 - carré 87	1	1 - dec 5	terre crue		micromorphologie	PT1551	M. Orgeval	25/05/2011	Néolithique récent
17	ST2096 - carré 88		1	charbons	0,5 l	anthracologie	PT1646	M. Orgeval	25/05/2011	Néolithique récent
18	ST2096 - carré 67		2	charbons	0,5 l	anthracologie	PT1667	A. Baradat	25/05/2011	Néolithique récent
19	ST2096 - carré 68		2	charbons	0,1 l	anthracologie	PT1668	A. Baradat	25/05/2011	Néolithique récent
20	ST2096 - carré 68		2	charbons	0,1 l	anthracologie	PT1669	A. Baradat	25/05/2011	Néolithique récent
21	ST2096 - carré 78		2	charbons	0,1 l	anthracologie	PT1670	A. Baradat	25/05/2011	Néolithique récent
22	ST2096 - carré 78		2	charbons	0,5 l	anthracologie	PT1671	A. Baradat	25/05/2011	Néolithique récent
23	ST2096 - carré 77		2	charbons	0,1 l	anthracologie	PT1672	A. Baradat	25/05/2011	Néolithique récent
24	ST2096 - carré 87		paroi QNE	charbons	1 l	anthracologie	PT1967	M. Orgeval	30/05/2011	Néolithique récent
25	ST2096 - carré 88		5	charbons	0,5 l	anthracologie	PT2388	M. Orgeval	02/06/2011	Néolithique récent
26	ST2096 - carré 87,88,97,98		paroi effondrée	terre crue & charbons		anthracologie - terre crue	PT2405, PT2406, PT2407, PT2408, PT2409	M. Orgeval	02/06/2011	Néolithique récent
27	ST2096		paroi effondrée	terre crue		terre crue	PT2410, PT2411	M. Orgeval	02/06/2011	Néolithique récent
28	ST2096 - carré 87			terre crue		terre crue	PT2412, PT2413	F. Châteauneuf	03/06/2011	Néolithique récent
29	ST2096 - carré 87			terre crue		terre crue	PT2414, PT2415	F. Châteauneuf	03/06/2011	Néolithique récent
30	ST2096 - carré 87			terre crue		terre crue	PT2420, PT2421	F. Châteauneuf	03/06/2011	Néolithique récent
31	ST2096 - carré 88		5	terre crue		terre crue	PT2484, PT2485	J. Rechhia	03/06/2011	Néolithique récent

N° PR	LOCALISATION	UPS	US	MATERIAU	QUANTITE	ANALYSE	REMARQUE	AUTEUR	DATE	ATTRIBUTION
32	ST2096 - carré 88		5	charbons	0,11	anthracologie	PT2433	J. Recchia	06/06/2011	Néolithique récent
33	ST2311		2	charbon, carpo?	51	anthracologie	PT2579	M. Orgeval	06/06/2011	Néolithique récent-final
34	ST2313		1-2	sédiments	1 mini grip	anthracologie		F. Châteauneuf	07/06/2011	Pré/Proto
35	ST2093		5	structure rubéfiée	251	anthracologie - malacologie		A. Baradat	07/06/2011	Néolithique récent
36	ST2314		1-2	sédiments	0,51	anthracologie	PT2776	F. Châteauneuf	07/06/2011	Pré/Proto
37	ST2165		2	sédiments	0,51	anthracologie	PT2784	B. Paravel	07/06/2011	Pré/Proto
38	ST2317		1-2	sédiments	0,51	anthracologie	PT2873	F. Châteauneuf	07/06/2011	Pré/Proto
39	ST2073		3-4	sédiments	201	carpologie	PT2905, PT2907, PT2908	A. Flambeaux	07/06/2011	Néolithique récent
40	ST2093		6	2° niveau de la structure rubéfiée	9,51	terre crue	1/2 nord	A. Baradat	07/06/2011	Néolithique récent
41	ST2093		7	3° niveau de la structure rubéfiée	101	anthracologie	1/2 nord	A. Baradat	08/06/2011	Néolithique récent
42	ST2096 - carré 87, 88		4	couche cendreuse	0,51	anthracologie	PT2967 (sup), PT2968 (fin)	J. Recchia	08/06/2011	Néolithique récent
43	ST2093		8	4° niveau de la structure rubéfiée	1 sac	terre crue	1/2 nord	A. Baradat	08/06/2011	Néolithique récent
44	ST2162		1-2	sédiments fond fosse	0,51	anthracologie	PT3018	F. Châteauneuf	08/06/2011	Pré/Proto
45	ST2318			sédiments	0,51	anthracologie	PT3019	B. Paravel	08/06/2011	Pré/Proto
46	ST2096		sous 5	couche cendreuse	0,51	anthracologie	PT3061, PT3062	J. Recchia	08/06/2011	Néolithique récent
47	ST2093		8	argile rubéfiée	1 barquette	terre crue	PT3073	A. Baradat	08/06/2011	Néolithique récent
48	ST2087		1	carpologie	51	carpologie	PT3103	M. Orgeval	08/06/2011	Néolithique récent
49	ST2093		9	sédiments	1 sac	anthracologie	PT3150	A. Baradat	08/06/2011	Néolithique récent
50	ST2032		1	terre crue	1 sac	micromorphologie	PT3148	M. Gerbe	09/06/2011	Néolithique récent
51	ST2032		1	terre crue	1 sac	micromorphologie	PT3149	M. Gerbe	09/06/2011	Néolithique récent
52	ST2032		1	sédiments	21	anthracologie	PT3258	M. Gerbe	10/06/2011	Néolithique récent
53	ST2096		8	sédiments : argile cuite, charbons, terre crue cuite	7 sacs	anthracologie - terre crue	PT3295 à PT 3325	J. Recchia	10/06/2011	Néolithique récent
54	ST2096		8	charbons	0,11	anthracologie	PT3330 (associé au prélèvement 53)	J. Recchia	10/06/2011	Néolithique récent
55	ST2096		8	charbons	0,11	anthracologie	PT3331	J. Recchia	10/06/2011	Néolithique récent
56	ST2166		1-2	sédiments	11	anthracologie	PT3466	F. Châteauneuf	14/06/2011	Pré/Proto
57	ST2276		1	sédiments	21	anthracologie - carpologie	PT3563	M. Gerbe	15/06/2011	Bronze ancien
58	ST2209		2	sédiment estomac	11	parasitologie	PT3752	A. Baradat	16/06/2011	Néolithique récent-final
59	ST2209		2	sédiment bassin	11	parasitologie	PT3751	A. Baradat	16/06/2011	Néolithique récent-final
60	ST2215		1	sédiments	11	parasitologie	PT3890	A. Baradat	16/06/2011	Néolithique récent-final
61	ST2300		2	sédiments	0,51	phosphate	PT3891	M. Gerbe	16/06/2011	Pré/Proto

N° PR	LOCALISATION	UPS	US	MATERIAU	QUANTITE	ANALYSE	REMARQUE	AUTEUR	DATE	ATTRIBUTION
62	ST2301		2	sédiments	0,5 l	phosphate	PT3892	M. Gerbe	16/06/2011	Pré/Proto
63	ST1003		1	carpologie	15 l	carpologie	PT3982	M. Orgeval	17/06/2011	Pré/Proto
64	ST2303		2	sédiments	0,5 l	phosphate	PT1438	M. Gerbe	20/06/2011	Pré/Proto
65	ST1023		3	terre crue & charbons	14 l	carpologie	PT1488	M. Orgeval	20/06/2011	Néolithique récent-final
66	ST1008		2	comblement	1 bloc 14cm	micromorphologie		M. Rué	21/06/2011	Néolithique récent-final
67	ST1008		2-4	comblement	1 bloc 14cm	micromorphologie		M. Rué	21/06/2011	Néolithique récent-final
68	ST1008		4	charbons	0,1 l	datation 14C		M. Rué	21/06/2011	Néolithique récent-final
69	ST1008		2	comblement	20 cl	observation bino		M. Rué	21/06/2011	Néolithique récent-final
70	ST1008		4	comblement	20 cl	observation bino		M. Rué	21/06/2011	Néolithique récent-final
71	ST1008	3		substrat fosse	20 cl	observation bino		M. Rué	21/06/2011	Néolithique récent-final
72	ST2294		2	sédiments	0,5 l	phosphate	PT4434	M. Gerbe	21/06/2011	Pré/Proto
73	ST1057		1	sédiments	5 l	anthracologie		A. Flambeaux	21/06/2011	Néolithique récent-final
74	ST1008		1	comblement	20 cl	observation bino		M. Rué	21/06/2011	Néolithique récent-final
75	ST1008		1 à 4	malacofaune	0,1 l	malacologie	prélevé en coupe	M. Rué	21/06/2011	Néolithique récent-final
76	ST2295		2	sédiments	12 l	phosphate	PT4435	M. Gerbe	21/06/2011	Pré/Proto
77	ST1008		4base	charbons	0,1 l	datation 14C		M. Rué	21/06/2011	Néolithique récent-final
78	ST1008		2	malacofaune	0,1 l	malacologie	prélevée en fouille manuelle (fond fosse)	M. Rué	21/06/2011	Néolithique récent-final
79	ST2299		2	sédiments	1 sac	phosphate	PT4436	M. Gerbe	21/06/2011	Pré/Proto
80	ST2247		4	sédiments	1 sac	carpologie	PT4389	M. Orgeval	21/06/2011	Néolithique récent-final
81	ST1008		2base	comblement	1 grand sac	granulométrie labo - malacologie		M. Rué	21/06/2011	Néolithique récent-final
82	ST2094		3-4	comblement	1 bloc	micromorphologie		M. Rué	22/06/2011	Néolithique récent-final
83	ST2094		3	comblement	1 petit sac	observation bino		M. Rué	22/06/2011	Néolithique récent-final
84	ST2094		4	comblement	1 petit sac	observation bino		M. Rué	22/06/2011	Néolithique récent-final
85	ST1042			sédiments	0,5 l	anthracologie		G. Gazagnol	22/06/2011	Néolithique récent-final
86	ST2094		1	sédiments et coquilles	0,1 l	malacologie	PT4590	G. Gazagnol	22/06/2011	Néolithique récent-final
87	ST2230		10	sédiments	33 l	carpologie	PT4306 (sup), PT4390 (inf)	A. Diaz	22/06/2011	Hallslett ancien
88	ST2302		2	sédiments	1 petit sac	phosphate	PT4847	M. Gerbe	22/06/2011	Pré/Proto
89	ST2297		2	sédiments	1 petit sac	phosphate	PT4848	M. Gerbe	22/06/2011	Pré/Proto
90	ST2298		2	sédiments	1 petit sac	phosphate	PT4849	M. Gerbe	22/06/2011	Pré/Proto
91	ST2328			comblement	1 bloc	micromorphologie		M. Rué	22/06/2011	Néolithique récent
92	ST2328			comblement	1 petit sac	observation bino		M. Rué	22/06/2011	Néolithique récent



N° PR	LOCALISATION	UPS	US	MATERIAU	QUANTITE	ANALYSE	REMARQUE	AUTEUR	DATE	ATTRIBUTION
93	ST2328			comblement	1 petit sac	SPIR		M. Rué	22/06/2011	Néolithique récent
94	ST2328			comblement	1 petit sac	SPIR		M. Rué	22/06/2011	Néolithique récent
95	ST2328			comblement	1 petit sac	SPIR		M. Rué	22/06/2011	Néolithique récent
96	ST2328			comblement	1 petit sac	SPIR		M. Rué	22/06/2011	Néolithique récent
97	ST2328			comblement	1 petit sac	SPIR		M. Rué	22/06/2011	Néolithique récent
98	ST2328			comblement	1 petit sac	SPIR		M. Rué	22/06/2011	Néolithique récent
99	ST2328			comblement	1 petit sac	SPIR		M. Rué	22/06/2011	Néolithique récent
100	ST2328			comblement	1 petit sac	SPIR		M. Rué	22/06/2011	Néolithique récent
101	ST2328			comblement	1 petit sac	SPIR		M. Rué	22/06/2011	Néolithique récent
102	ST2328			comblement	1 petit sac	SPIR		M. Rué	22/06/2011	Néolithique récent
103	ST2328			comblement	1 petit sac	SPIR		M. Rué	22/06/2011	Néolithique récent
104	ST2328			comblement	1 petit sac	SPIR		M. Rué	22/06/2011	Néolithique récent
105	ST2096		9-5	comblement	1 bloc	micromorphologie		M. Rué	23/06/2011	Néolithique récent
106	ST2096		3-4-5	comblement	1 bloc	micromorphologie		M. Rué	23/06/2011	Néolithique récent
107	ST2096		torchis	comblement	1 bloc	micromorphologie	base bloc PT5124	M. Rué	23/06/2011	Néolithique récent
108	ST2096		9	comblement	1 petit sac	observation bino		M. Rué	23/06/2011	Néolithique récent
109	ST2096		5	comblement	1 petit sac	observation bino		M. Rué	23/06/2011	Néolithique récent
110	ST2096		4	comblement	1 petit sac	observation bino		M. Rué	23/06/2011	Néolithique récent
111	ST2096		3	comblement	1 petit sac	observation bino		M. Rué	23/06/2011	Néolithique récent
112	ST2096		torchis	comblement	1 petit sac	observation bino		M. Rué	23/06/2011	Néolithique récent
113	ST2096	3		substrat	1 petit sac	observation bino	avant niveau du PR 107	M. Rué	23/06/2011	Néolithique récent
114	ST2096		9	charbons	0,11	anthracologie		J. Recchia	23/06/2011	Néolithique récent
115	ST2096		5	charbons	0,11	anthracologie		J. Recchia	23/06/2011	Néolithique récent
116	ST2096		5	charbons	0,11	anthracologie		J. Recchia	23/06/2011	Néolithique récent
117	ST2096		6	charbons	0,11	anthracologie		J. Recchia	23/06/2011	Néolithique récent
118	ST2088		1	carpologie	191	carpologie	PT5097	M. Orgeval	23/06/2011	Néolithique récent-final
119	ST2308		2	sédiments	0,5 l	phosphate	PT5318	M. Gerbe	23/06/2011	Bronze ancien
120	ST2071		1	sédiments	1 bloc	micromorphologie		M. Rué	23/06/2011	Néolithique récent-final
121	ST2071	3		sédiments	1 petit sac	micromorphologie		M. Rué	23/06/2011	Néolithique récent-final
122	ST2071		1	sédiments	1 petit sac	micromorphologie		M. Rué	23/06/2011	Néolithique récent-final
123	ST2327		1	sédiments	101	carpologie	PT5138	M. Orgeval	23/06/2011	Néolithique récent-final
124	ST2076		1	comblement	2 l	anthracologie	fond de fosse	P. Roux	23/06/2011	Néolithique récent-final

N° PR	LOCALISATION	UPS	US	MATERIAU	QUANTITE	ANALYSE	REMARQUE	AUTEUR	DATE	ATTRIBUTION
125	ST2084		1	comblement	14 l	carpologie	PT5255	A. Flambeaux	23/06/2011	Pré/Proto
126	ST2304		2	sédiments	0,5 l	phosphate	PT5317	M. Gerbe	23/06/2011	Pré/Proto
127	ST2090		1	sédiments	5 l	carpologie	PT5495	G. Gazagnol	24/06/2011	Néolithique récent-final
128	ST2090		1	charbons	0,1 l	anthracologie	PT5496	G. Gazagnol	24/06/2011	Néolithique récent-final
129	ST2090		2	malacofaune	0,1 l	malacologie	PT5497	G. Gazagnol	24/06/2011	Néolithique récent-final
130	ST2068		1	sédiments	16 l	anthracologie - carpologie	PT5543	M. Orgeval	24/06/2011	Néolithique récent-final
131	ST2015		1	charbons	0,1 l	anthracologie	PT5576	A. Baradat	24/06/2011	Pré/Proto
132	ST2306		2	sédiments	0,5 l	phosphate	PT5731	M. Gerbe	27/06/2011	Pré/Proto
133	ST2305		2	sédiments	0,5 l	phosphate	PT5732	M. Gerbe	27/06/2011	Pré/Proto
134	ST2071		1	sédiments	12 l	carpologie	PT5647	M. Orgeval	27/06/2011	Néolithique récent-final
135	ST2096		9	sédiments	43,5 l	micromorphologie		M. Remicourt	27/06/2011	Néolithique récent
136	ST2096		9	charbons	1 l	anthracologie	PT5561, PT5562	J. Recchia	27/06/2011	Néolithique récent
137	ST2236		1	comblement	1,5 l	carpologie		G. Gazagnol	27/06/2011	Néolithique récent-final
138	ST2096		9	comblement	0,5 l	carpologie		J. Recchia	27/06/2011	Néolithique récent
139	ST2096		6	comblement		anthracologie		J. Recchia	27/06/2011	Néolithique récent
140	ST2037				2 l	carpologie	PT5677	G. Gazagnol	27/06/2011	Moderne
141	ST2074					micromorphologie	PT5763 (sup : 285,66 ; inf : 285,52)	M. Remicourt	28/06/2011	Hallstatt ancien
142	ST2074					micromorphologie	PT5764 (sup : 285,46 ; inf : fond)	M. Remicourt	28/06/2011	Hallstatt ancien
143	ST2096		10	charbons	31 l	anthracologie		J. Recchia	28/06/2011	Néolithique récent
144	ST2240		1	sédiments fond fosse	19 l	carpologie	PT5858	F. Châteauneuf	28/06/2011	Néolithique récent-final
145	ST2296		2	sédiments	0,5 l	phosphate	PT5833	M. Gerbe	28/06/2011	Néolithique récent
146	ST2021		1	sédiments	2 l	anthracologie	PT5856	A. Diaz	28/06/2011	Néolithique récent-final
147	ST2021		1	sédiments	1,5 l	anthracologie - malacologie	PT5857	A. Diaz	28/06/2011	Néolithique récent-final
148	ST2241		3	sédiments	13 l	anthracologie - malacologie	PT5865	M. Orgeval	28/06/2011	Néolithique récent-final
149	ST2021			niveau cendreaux	2 l	anthracologie	PT5868	A. Diaz	28/06/2011	Néolithique récent-final
150	ST2021			niveau cendreaux	1,5 l	anthracologie	PT5877	A. Diaz	28/06/2011	Néolithique récent-final
151	ST2067		1	sédiments	17 l	carpologie	PT5903	M. Orgeval	28/06/2011	Pré/Proto
152	ST2024		1	sédiments	2 l	malacologie - carpologie	PTT6182	P. Roux	29/06/2011	Pré/Proto
153	ST2024		1	sédiments	11 l	malacologie		P. Roux	29/06/2011	Pré/Proto
154	ST2006		1	sédiments	5 l	malacologie		A. Baradat	29/06/2011	Néolithique récent-final
155	ST2009		4	sédiments	5 l	carpologie	PT6306	G. Gazagnol	29/06/2011	Néolithique récent-final

N° PR	LOCALISATION	UPS	US	MATERIAU	QUANTITE	ANALYSE	REMARQUE	AUTEUR	DATE	ATTRIBUTION
156	ST2096		12	sédiments	1 goulotte	palynologie	PT6530	M. Remicourt	30/06/2011	Néolithique récent
157	ST2096		13	sédiments	1 goulotte	palynologie	PT6531	M. Remicourt	30/06/2011	Néolithique récent
158	ST2096		10	sédiments	5 l	malacologie	PT6532 puits 1	M. Remicourt	30/06/2011	Néolithique récent
159	ST2096		12	sédiments	5 l	malacologie	PT6533 puits 2	M. Remicourt	30/06/2011	Néolithique récent
160	ST2002		1	sédiments	2 l	malacologie - carpologie	PT6581	M. Gerbe	30/06/2011	Néolithique récent-final
161	ST2009		1	sédiments	1,5 l	carpologie	PT6540	G. Gazagnol	30/06/2011	Néolithique récent-final
162	ST2096		14	sédiments	1 goulotte	palynologie	PT6566	M. Remicourt	30/06/2011	Néolithique récent
163	ST2096		12	sédiments	1 goulotte	palynologie	PT6569	M. Remicourt	30/06/2011	Néolithique récent
164	ST2096		13	sédiments	1 goulotte	palynologie	PT6570	M. Remicourt	30/06/2011	Néolithique récent
165	ST2001		1	sédiments	2 l	malacologie - carpologie	PT6594	M. Gerbe	30/06/2011	Néolithique récent-final
166	ST2096		14	sédiments	5 l	malacologie	PT6567	M. Remicourt	30/06/2011	Néolithique récent
167	ST2096		14	sédiments	1 goulotte	palynologie	PT6554	M. Remicourt	30/06/2011	Néolithique récent
168	ST2096		14	sédiments	1 l	malacologie	PT6655	M. Remicourt	30/06/2011	Néolithique récent
169	ST2096		14	sédiments	5 l	anthracologie	PT6655 (aussi)	M. Remicourt	30/06/2011	Néolithique récent
170	ST2085		1	sédiments	2 l	carpologie	PT6714	A. Diaz	01/07/2011	Néolithique récent-final
171	ST2225		1	sédiments	3 l	malacologie	PT6739	P. Roux	01/07/2011	Pré/Proto
172	ST1057		1	sédiments	5 l	anthracologie	1/2 sud	A. Flambeaux	04/07/2011	Néolithique récent-final
173	ST2328		2	sédiments	4 l	malacologie	PT6954	B. Paravel	05/07/2011	Néolithique récent-final
174	ST1014		1	sédiments	0,5 l	anthracologie	PT6958	A. Diaz	05/07/2011	Néolithique récent-final
175	ST2328		1	sédiments	5 l	malacologie	PT7004	B. Paravel	05/07/2011	Néolithique récent-final
176	ST1014			sédiments	0,5 l	anthracologie	PT7041	A. Diaz	05/07/2011	Néolithique récent-final
177	ST2096		15	sédiments	5 l	malacologie	PT7046	M. Remicourt	05/07/2011	Néolithique récent
178	ST2096		15	sédiments	4 l	malacologie	PT7047	M. Remicourt	05/07/2011	Néolithique récent
179	ST2096		15	sédiments	1 goulotte	palynologie	PT7048	M. Remicourt	05/07/2011	Néolithique récent
180	ST2096		15	sédiments	1 goulotte	palynologie	PT7049	M. Remicourt	05/07/2011	Néolithique récent
181	ST2096 - 1/2 nord		15	sédiments	1 goulotte	palynologie	-5,5	A. Diaz	05/07/2011	Néolithique récent
182	ST2096 - 1/2 nord		15	sédiments	1, 5 l	malacologie	-5,5	A. Diaz	05/07/2011	Néolithique récent
183	ST2096 - 1/2 nord		15	sédiments	10 l	anthracologie	-5,5	A. Diaz	05/07/2011	Néolithique récent
184	ST2096 - 1/2 nord		15	sédiments	9 l	carpologie	-5,5	A. Diaz	05/07/2011	Néolithique récent
185	ST1071		1	charbons	8 l	anthracologie	PT7080	F. Châteauneuf	05/07/2011	Bronze ancien
186	ST1071		1	charbons	9 l	anthracologie	PT7081	F. Châteauneuf	05/07/2011	Bronze ancien
187	ST1071		1	charbons	5 l	anthracologie	PT7082	F. Châteauneuf	05/07/2011	Bronze ancien

N° PR	LOCALISATION	UPS	US	MATERIAU	QUANTITE	ANALYSE	REMARQUE	AUTEUR	DATE	ATTRIBUTION
188	ST2096 - fond puits		16	sédiments	1 goulotte	palynologie	P17110	J. Recchia	05/07/2011	Néolithique récent
189	ST2096 - fond puits		16	sédiments	5 l	malacologie	idem	J. Recchia	05/07/2011	Néolithique récent
190	ST2096 - fond puits		16	sédiments	10 l	anthracologie	idem	J. Recchia	05/07/2011	Néolithique récent
191	ST2096 - fond puits		16	sédiments	5 l	carpologie	idem	J. Recchia	05/07/2011	Néolithique récent
192	ST2006		3-4	sédiments	8 l	malacologie	P17116	A. Baradat	06/07/2011	Néolithique récent-final
193	ST2328 - QNO		1	sédiments	4 l	malacologie	P17192	M. Orgeval	06/07/2011	Néolithique récent-final
194	ST1071		1	charbons	14 l	anthracologie	P17230	F. Châteauneuf	06/07/2011	Bronze ancien
195	ST1071		1	charbons	3,5 l	anthracologie	P17231	F. Châteauneuf	06/07/2011	Bronze ancien
196	ST2094		3	sédiments	7 l	malacologie	P17295	P. Roux	06/07/2011	Néolithique récent-final
197	ST1071			sédiments	0,5 l	malacologie	P17317	G. Gazagnol	06/07/2011	Bronze ancien
198	ST2094		1	sédiments	2 l	malacologie	P17319	P. Roux	07/07/2011	Néolithique récent-final
199	ST2094		1	sédiments	2 l	palynologie	P17362	P. Roux	07/07/2011	Néolithique récent-final
200	ST1057		3	sédiments	1 l0	anthracologie	P17327	A. Flambeaux	07/07/2011	Néolithique récent-final
201	ST1057		3	terre rubéfiées	1 sac	terre crue	P17325	A. Flambeaux	07/07/2011	Néolithique récent-final
202	ST1057		3	terre rubéfiées	1 sac	terre crue	P17326	A. Flambeaux	07/07/2011	Néolithique récent-final
203	ST2338		3	sédiments	4 l	palynologie	P17378	J. Recchia	07/07/2011	Néolithique récent-final
204	ST2338		3	sédiments	4 l	malacologie	P17379	J. Recchia	07/07/2011	Néolithique récent-final
205	ST2328		1	sédiments	3 l	malacologie	P17381	P. Roux	07/07/2011	Néolithique récent-final
206	ST2328		1	sédiments	4 l	palynologie	P17382	P. Roux	07/07/2011	Néolithique récent-final
207	ST2321 - 1/2 ouest		1	sédiments	1,5 l	palynologie		J. Recchia	07/07/2011	Pré/Proto
208	ST2321 - 1/2 ouest		1	sédiments	2 l	malacologie		J. Recchia	07/07/2011	Pré/Proto
209	ST2224		1	sédiments	6 l	malacologie	P17434	M. Gerbe	07/07/2011	Néolithique récent-final
210	ST1071		1	sédiments	1 goulotte	micromorphologie	P17508	F. Châteauneuf	08/07/2011	Bronze ancien
211	ST2224		1	sédiments	3 l	malacologie	P17612	A. Baradat	11/07/2011	Néolithique récent-final
212	ST2001		1	sédiments	30 l	malacologie	moitié nord	M. Gerbe	13/07/2011	Néolithique récent-final
213	ST2002		1	sédiments	50 l	malacologie	moitié sud	M. Gerbe	13/07/2011	Néolithique récent-final
214	ST2074		2A	sédiments	20 l	malacologie	moitié sud	F. Châteauneuf	13/07/2011	Hallsstatt ancien
215	ST2192		1	sédiments	30 l	malacologie	moitié nord	F. Châteauneuf	13/07/2011	Hallsstatt ancien
216	ST2209		1	sédiments	20 l	malacologie	moitié nord - niveau sépulture	A. Baradat	13/07/2011	Néolithique récent-final
217	ST2215		1	sédiments	10 l	malacologie	moitié nord - niveau sépulture	A. Baradat	13/07/2011	Néolithique récent-final
218	ST2230		2	sédiments	10 l	malacologie	moitié nord	P. Roux	13/07/2011	Néo/Proto
219	ST2319		4	sédiments	30 l	malacologie	moitié sud	F. Châteauneuf	13/07/2011	Chasséen ancien

N° MIN	RELEVÉ	ECHELLE	LOCALISATION	STRUCTURE	DESCRIPTION	AUTEUR	DATE
1	photo		Zone 1		photo commentée de la coupe 1-1	MR	04/05/11
2	photo		Zone 1		photo commentée de la coupe 1-2	MR	04/05/11
3	photo		Zone 1		photo commentée de la coupe 1-3	MR	04/05/11
4	photo		Zone 1		photo commentée de la coupe 1-4	MR	04/05/11
5	photo		Zone 1		photo commentée de la coupe 2-1	MR	04/05/11
6	photo		Zone 1		photo commentée de la coupe 2-2	MR	04/05/11
7	photo		Zone 2		photo commentée de la coupe 3-1	MR	04/05/11
8	photo		Zone 2		photo commentée de la coupe 4-1	MR	04/05/11
9	photo		Zone 2		photo commentée de la coupe 4-2	MR	04/05/11
10	photo		Zone 2		photo commentée de la coupe 4-3	MR	04/05/11
11	photo		Zone 2		photo commentée de la coupe 4-4	MR	04/05/11
12	photo		Zone 2		photo commentée de la coupe 5-1	MR	04/05/11
13	photo		Zone 2		photo commentée de la coupe 6-1	MR	04/05/11
14	photo		Zone 2		photo commentée de la coupe 7-1	MR	04/05/11
15	photo		Zone 2	ST2013	dec1	FC	16/05/2011
16	photo		Zone 2	ST2012	dec1	AB	16/05/2011
17	photo		Zone 2	ST2145	niveau apparition	MG	16/05/2011
18	photo		Zone 2	ST2144		MR	16/05/2011
19	photo		Zone 2	ST2142		BP	16/05/2011
20	photo		Zone 2	ST2096	niveau apparition	MO JR	16/05/2011
21	dessin	1/10e	Zone 2	ST2013	coupe	FC	16/05/2011
22	dessin	1/10e	Zone 2	ST2012	coupe	AB	17/05/2011
23	photo		Zone 2	ST2143		BP	17/05/2011
24	photo		Zone 2	ST2145	fin de décapage	MG	17/05/2011
25	photo		Zone 2	ST2139	décapage 1	MG	17/05/2011
26	dessin	1/10e	Zone 2	ST2142	coupe	BP	17/05/2011
27	dessin	1/10e	Zone 2	ST2145	coupe	MG	17/05/2011
28	dessin	1/10e	Zone 2	ST2139	coupe	MG	17/05/2011
29	dessin	1/10e	Zone 2	ST2143	coupe	BP	17/05/2011
30	dessin	1/10e	Zone 2	ST2144	coupe	MR	17/05/2011
31	photo		Zone 2	ST2144	fin de décapage	MR	18/05/2011
32	photo		Zone 2	ST2140	décapage 1	MG	18/05/2011
33	dessin	1/10e	Zone 2	ST2140		MG	18/05/2011
34	photo		Zone 2	ST2140	fin de décapage	MG	18/05/2011
35	photo		Zone 2	ST2143	fin de décapage	BP	18/05/2011
36	photo		Zone 2	ST2141	décapage 1	MG	18/05/2011
37	photo		Zone 2	ST2138	décapage 1	BP	18/05/2011
38	dessin	1/10e	Zone 2	ST2138	coupe	BP	18/05/2011
39	photo		Zone 2	ST2141	coupe	MG	18/05/2011
40	photo		Zone 2	ST2142	fin de décapage	BP	18/05/2011
41	photo		Zone 2	ST2096	décapage 1	MO JR	19/05/2011
42	photo		Zone 2	ST2096	décapage 1	AB MG	19/05/2011
43	photo		Zone 2	ST2096	décapage 2	MO JR	19/05/2011
44	photo		Zone 2	ST2141	fin de décapage	MR	19/05/2011
45	photo		Zone 2	ST2138	fin de décapage	BP	19/05/2011
46	photo		Zone 2	ST2156		BP	19/05/2011
47	photo		Zone 2	ST2146		BP	19/05/2011
48	dessin	1/10e	Zone 2	ST2146	coupe	BP	19/05/2011
49	photo		Zone 2	ST2146	fin de décapage	BP	19/05/2011
50	photo		Zone 2	ST2147		BP	19/05/2011

Annexe 7 - Le Clos de Roque, Saint-Maximin-la-Sainte-Baume (83). Inventaire des minutes de terrain.

N° MIN	RELEVÉ	ECHELLE	LOCALISATION	STRUCTURE	DESCRIPTION	AUTEUR	DATE
51	dessin	1/10e	Zone 2	ST2147	coupe	BP	19/05/2011
52	photo		Zone 2	ST2147	fin de décapage	BP	19/05/2011
53	photo		Zone 2	ST2096	décapage 2	AB	20/05/2011
54	photo		Zone 2	ST2096	décapage 4	AB MO	23/05/2011
55	photo		Zone 2	ST2259	décapage 1	COLLECTIF	23/05/2011
56	photo		Zone 2	ST2154	décapage 1	AD AF	23/05/2011
57	photo		Zone 2	ST2096	décapage 3	FC MG	23/05/2011
58	dessin	1/10e	Zone 2	ST2253	coupe	BP	23/05/2011
59	photo		Zone 2	ST2253	niveau apparition	BP	23/05/2011
60	photo		Zone 2	ST2253	fin de décapage	BP	24/05/2011
61	photo		Zone 2	ST2260	niveau apparition	AF	24/05/2011
62	dessin	1/10e	Zone 2	ST2260	coupe	AF	24/05/2011
63	photo		Zone 2	ST2260	fin de décapage	AF	24/05/2011
64	photo		Zone 2	ST2258	niveau apparition	AD AF	24/05/2011
65	dessin	1/10e	Zone 2	ST2258	coupe	AD AF	24/05/2011
66	photo		Zone 2	ST2258	fin de décapage	AD AF	24/05/2011
67	photo		Zone 2	ST2096	décapage 5	MG MR	24/05/2011
68	photo		Zone 2	ST2096	décapage 4	FC AB	24/05/2011
69	photo		Zone 2	ST2096	décapage 4	FC AB	24/05/2011
70	photo		Zone 2	ST2096	décapage 6	MR	25/05/2011
71	photo		Zone 2	ST2096	décapage 5	FC AB	25/05/2011
72	photo		Zone 2	ST2096	décapage 6	FC AB	25/05/2011
73	photo		Zone 2	ST2156	fin de décapage	BP	25/05/2011
74	photo		Zone 2	ST2261	niveau apparition	PR	25/05/2011
75	dessin	1/10e	Zone 2	ST2261		PR	25/05/2011
76	photo		Zone 2	ST2261	fin de décapage	PR	25/05/2011
77	photo		Zone 2	ST2263	niveau apparition	BP	25/05/2011
78	dessin	1/10e	Zone 2	ST2263	coupe	BP	25/05/2011
79	photo		Zone 2	ST2263	fin de décapage	BP	25/05/2011
80	photo		Zone 2	ST2262	niveau apparition	PR	25/05/2011
81	dessin	1/10e	Zone 2	ST2262		PR	25/05/2011
82	photo		Zone 2	ST2262	fin de décapage	PR	25/05/2011
83	photo		Zone 2	ST2124	décapage 1	MG	26/05/2011
84	dessin	1/10e	Zone 2	ST2124	coupe	MG	26/05/2011
85	photo		Zone 2	ST2124	fin de décapage	MG	26/05/2011
86	photo		Zone 2	ST2264	niveau apparition	AD	26/05/2011
87	dessin	1/10e	Zone 2	ST2264	coupe	AD	26/05/2011
88	photo		Zone 2	ST2264	fin de décapage	AD	26/05/2011
89	photo		Zone 2	ST2096	décapage 7	AB	27/05/2011
90	dessin	1/10e	Zone 2	ST2154	coupe	AS AF	30/05/2011
91	photo		Zone 2	ST2154	fin de décapage	AS AF	30/05/2011
92	photo		Zone 2	ST2125	niveau apparition	MR	30/05/2011
93	dessin	1/10e	Zone 2	ST2125	coupe	MR	30/05/2011
94	photo		Zone 2	ST2125	fin de décapage	MR	30/05/2011
95	photo		Zone 2	ST2096	décapage 7	JR	30/05/2011
96	dessin	1/10e	Zone 2	ST2154	coupe	AD AF	30/05/2011
97	photo		Zone 2	ST2123	niveau apparition	MG	30/05/2011
98	dessin	1/10e	Zone 2	ST2123	coupe	MG	30/05/2011
99	photo		Zone 2	ST2123	fin de décapage	MG	30/05/2011
100	photo		Zone 2	ST2265	fin de décapage	MG	30/05/2011

Annexe 7- Le Clos de Roque, Saint-Maximin-la-Sainte-Baume (83). Inventaire des minutes de terrain.



N° MIN	RELEVÉ	ECHELLE	LOCALISATION	STRUCTURE	DESCRIPTION	AUTEUR	DATE
101	photo		Zone 2	ST2266	négative	AD	30/05/2011
102	photo		Zone 2	ST2155	niveau apparition	PR AF	30/05/2011
103	photo		Zone 2	ST2155	coupe	AF	30/05/2011
104	dessin	1/10e	Zone 2	ST2155	coupe	AF	30/05/2011
105	dessin	1/10e	Zone 2	ST2155	coupe	AF	30/05/2011
106	photo		Zone 2	ST2155	fin de décapage	FC	30/05/2011
107	photo		Zone 2	ST2096	décapage 8	TS	30/05/2011
108	photo		Zone 2	ST2129	niveau apparition	TS	31/05/2011
109	dessin	1/10e	Zone 2	ST2129	coupe	TS	31/05/2011
110	photo		Zone 2	ST2129	fin de décapage	TS	31/05/2011
111	photo		Zone 2	ST2122	niveau apparition	MG	31/05/2011
112	dessin	1/10e	Zone 2	ST2122	coupe	MG	31/05/2011
113	photo		Zone 2	ST2122	fin de décapage	MG	31/05/2011
114	photo		Zone 2	ST2127	niveau apparition	AF	31/05/2011
115	dessin	1/10e	Zone 2	ST2127	coupe	AF	31/05/2011
116	photo		Zone 2	ST2127	fin de décapage	AF	31/05/2011
117	photo		Zone 2	ST2267	niveau apparition	PR	31/05/2011
118	dessin	1/10e	Zone 2	ST2267	coupe	PR	31/05/2011
119	photo		Zone 2	ST2267	fin de décapage	PR	31/05/2011
120	photo		Zone 2	ST2096	fin de décapage 7	JR MO	31/05/2011
121	photo		Zone 2	ST2128	niveau apparition	TS	31/05/2011
122	dessin	1/10e	Zone 2	ST2128	coupe	TS	31/05/2011
123	photo		Zone 2	ST2128	fin de décapage	TS	31/05/2011
124	photo		Zone 2	ST2130	niveau apparition	AF	01/06/2011
125	photo		Zone 2	ST2130	fin de décapage	AF	01/06/2011
126	photo		Zone 2	ST2126	niveau apparition	MR	01/06/2011
127	dessin	1/10e	Zone 2	ST2126	coupe	MR	01/06/2011
128	photo		Zone 2	ST2126	niveau apparition	MR	01/06/2011
129	photo		Zone 2	ST2096	décapage 9	FC	01/06/2011
130	photo		Zone 2	ST2205	niveau apparition	AF	01/06/2011
131	photo		Zone 2	ST2205	photo détail	AF	01/06/2011
132	dessin	1/10e	Zone 2	ST2205	coupe	AF	01/06/2011
133	photo		Zone 2	ST2205	fin de décapage	AF	01/06/2011
134	photo		Zone 2	ST2096	décapage 9	JR	01/06/2011
135	photo		Zone 2	ST2096	fin de décapage 9	FC	01/06/2011
136	photo		Zone 2	ST2115	niveau apparition	TS	01/06/2011
137	dessin	1/10e	Zone 2	ST2115	coupe	TS	01/06/2011
138	photo		Zone 2	ST2115	fin de décapage	TS	01/06/2011
139	photo		Zone 2	ST2113	niveau apparition	TS	02/06/2011
140	dessin	1/10e	Zone 2	ST2113	coupe	TS	02/06/2011
141	photo		Zone 2	ST2113	fin de décapage	TS	02/06/2011
142	photo		Zone 2	ST2150	niveau apparition	AD	02/06/2011
143	photo		Zone 2	ST2268	niveau apparition	PR	02/06/2011
144	dessin	1/10e	Zone 2	ST2151	coupe	PR	02/06/2011
145	photo		Zone 2	ST2272		MG	02/06/2011
146	photo		Zone 2	ST2131		MG	02/06/2011
147	photo		Zone 2	ST2274		MR	02/06/2011
148	photo		Zone 2	ST2096	décapage 10	MR	02/06/2011
149	photo		Zone 2	ST2096	décapage 9	MR	02/06/2011
150	dessin	1/10e	Zone 2	ST2274		JR	03/06/2011

Annexe 7 - Le Clos de Roque, Saint-Maximin-la-Sainte-Baume (83). Inventaire des minutes de terrain.

N° MIN	RELEVÉ	ECHELLE	LOCALISATION	STRUCTURE	DESCRIPTION	AUTEUR	DATE
151	photo		Zone 2	ST2096	décapage 11	JR FC	06/06/2011
152	photo		Zone 2	ST2270		TS	06/06/2011
153			Zone 2	ST2097	annulée	FC	06/06/2011
154	photo		Zone 2	ST2148	niveau apparition	AD	31/05/2011
155	dessin	1/10e	Zone 2	ST2148	coupe	AD	31/05/2011
156	dessin	1/10e	Zone 2	ST2148	coupe	AD	06/06/2011
157	dessin	1/10e	Zone 2	ST2148	coupe	AD	06/06/2011
158	photo		Zone 2	ST2148	fin de décapage	AD	06/06/2011
159	photo		Zone 2	ST2097	niveau apparition	FC	06/06/2011
160	photo		Zone 2	ST2273	niveau apparition	AD	06/06/2011
161	dessin	1/10e	Zone 2	ST2273	coupe	AD	06/06/2011
162	photo		Zone 2	ST2273	fin de décapage	AD	06/06/2011
163	photo		Zone 2	ST2096	décapage 12	JO	06/06/2011
164	dessin	1/10e	Zone 2	ST2097	coupe	FC	06/06/2011
165	photo		Zone 2	ST2097	fin de décapage	FC	06/06/2011
166			Zone 2	ST2313	annulée	FC	06/06/2011
167	photo		Zone 2	ST2313	niveau apparition	FC	06/06/2011
168	dessin	1/10e	Zone 2	ST2313	coupe	FC	07/06/2011
169	photo		Zone 2	ST2227	niveau apparition	MO	06/06/2011
170	dessin	1/10e	Zone 2	ST2227	coupe	MO	06/06/2011
171	photo		Zone 2	ST2227	fin de décapage	MO	06/06/2011
172	photo		Zone 2	ST2277	fin de décapage	BP	07/06/2011
173	dessin	1/10e	Zone 2	ST2269	coupe	BP	07/06/2011
174	photo		Zone 2	ST2269	niveau apparition	BP	07/06/2011
175	photo		Zone 2	ST2269	fin de décapage	BP	07/06/2011
176	photo		Zone 2	ST2096	début décapage 13	JR	07/06/2011
177	photo		Zone 2	ST2313	fin de décapage	FC	07/06/2011
178	photo		Zone 2	ST2314	niveau apparition	FC	07/06/2011
179	photo		Zone 2	ST2136	niveau apparition	MG	07/06/2011
180	photo		Zone 2	ST2136	démontage pot 1	MG	07/06/2011
181	photo		Zone 2	ST2136	démontage pot 2	MG	07/06/2011
182	photo		Zone 2	ST2136	démontage pot 3	MG	07/06/2011
183	dessin	1/10e	Zone 2	ST2136	coupe	MG	07/06/2011
184	photo		Zone 2	ST2136	fin de décapage	MG	07/06/2011
185	photo		Zone 2	ST2132	niveau apparition	MG	07/06/2011
186	dessin	1/10e	Zone 2	ST2132	coupe	MG	07/06/2011
187	photo		Zone 2	ST2132	fin dé	MG	07/06/2011
188	photo		Zone 2	ST2229	fin dé	BP	07/06/2011
189	photo		Zone 2	ST2229	niveau apparition	BP	07/06/2011
190	photo		Zone 2	ST2229	coupe	BP	07/06/2011
191	dessin	1/10e	Zone 2	ST2314	coupe	FC	07/06/2011
192	photo		Zone 2	ST2314	fin de décapage	FC	07/06/2011
193	photo		Zone 2	ST2268	fin de décapage	PR	07/06/2011
194	photo		Zone 2	ST2149	niveau apparition	PR	07/06/2011
195	dessin	1/10e	Zone 2	ST2149	coupe	PR	07/06/2011
196	photo		Zone 2	ST2149	fin de décapage	PR	07/06/2011
197	photo		Zone 2	ST2312	niveau apparition	AD	07/06/2011
198	dessin	1/10e	Zone 2	ST2312	coupe	AD	07/06/2011
199	photo		Zone 2	ST2312	fin de décapage	PR	07/06/2011
200	photo		Zone 2	ST2317	niveau apparition	FC	07/06/2011

Annexe 7- Le Clos de Roque, Saint-Maximin-la-Sainte-Baume (83). Inventaire des minutes de terrain.

N° MIN	RELEVÉ	ECHELLE	LOCALISATION	STRUCTURE	DESCRIPTION	AUTEUR	DATE
201	dessin	1/10e	Zone 2	ST2317	coupe	FC	07/06/2011
202	photo		Zone 2	ST2317	fin de décapage	FC	07/06/2011
203	photo		Zone 2	ST2311	début décapage US1	MO	07/06/2011
204	photo		Zone 2	ST2311	début décapage US2	MO	07/06/2011
205	photo		Zone 2	ST2311	fin de décapage	MO	07/06/2011
206	photo		Zone 2	ST2311	fin de décapage	MO	07/06/2011
207	dessin	1/10e	Zone 2	ST2311	coupe	MO	07/06/2011
208	photo		Zone 2	ST2073	niveau apparition	AF	08/06/2011
209	photo		Zone 2	ST2073	niveau apparition	AF	08/06/2011
210	dessin	1/10e	Zone 2	ST2073	coupe	AF	08/06/2011
211	dessin	1/10e	Zone 2	ST2073	coupe	AF	08/06/2011
212	photo		Zone 2	ST2073	fin de décapage	AF	08/06/2011
213	photo		Zone 2	ST2096	début décapage 14	JR	08/06/2011
214	photo		Zone 2	ST2226	niveau apparition	MR	08/06/2011
215	dessin	1/10e	Zone 2	ST2226	coupe	MR	08/06/2011
216	photo		Zone 2	ST2226	fin de décapage	MR	08/06/2011
217	photo		Zone 2	ST2275	niveau apparition	AD	08/06/2011
218	dessin	1/10e	Zone 2	ST2275	coupe	AD	08/06/2011
219	photo		Zone 2	ST2275	fin de décapage	AD	08/06/2011
220	photo		Zone 2	ST2153	niveau apparition	MG	08/06/2011
221	dessin	1/10e	Zone 2	ST2153	coupe	MG	08/06/2011
222	photo		Zone 2	ST2153	fin de décapage	MG	08/06/2011
223	photo		Zone 2	ST2210	niveau apparition	MR	08/06/2011
224	photo		Zone 2	ST2162	niveau apparition	FC	08/06/2011
225	dessin	1/10e	Zone 2	ST2162	coupe	FC	08/06/2011
226	photo		Zone 2	ST2162	fin de décapage	FC	08/06/2011
227	photo		Zone 2	ST2271	niveau apparition	PR AD	08/06/2011
228	dessin	1/10e	Zone 2	ST2271	coupe	PR AD	08/06/2011
229	photo		Zone 2	ST2271	fin de décapage	PR AD	08/06/2011
230	dessin	1/10e	Zone 2	ST2165	coupe	BP	08/06/2011
231	photo		Zone 2	ST2165	fin de décapage	BP	08/06/2011
232	photo		Zone 2	ST2096	début décapage 15	JR	08/06/2011
233	photo		Zone 2	ST2160	niveau apparition	FC	08/06/2011
234	photo		Zone 2	ST2161	niveau apparition	FC	08/06/2011
235	dessin	1/10e	Zone 2	ST2161	coupe	FC	08/06/2011
236	dessin	1/10e	Zone 2	ST2160		FC	08/06/2011
237	photo		Zone 2	ST2152	niveau apparition	MG	08/06/2011
238	dessin	1/10e	Zone 2	ST2152	coupe	MG	08/06/2011
239	photo		Zone 2	ST2152	fin de décapage	MG	08/06/2011
240	photo		Zone 2	ST2157	niveau apparition	BP	08/06/2011
241	dessin	1/10e	Zone 2	ST2157	coupe	BP	08/06/2011
242	photo		Zone 2	ST2318	niveau apparition	BP	08/06/2011
243	dessin	1/10e	Zone 2	ST2318	coupe	BP	08/06/2011
244	photo		Zone 2	ST2318	fin de décapage	BP	08/06/2011
245	photo		Zone 2	ST2165	niveau apparition	BP	08/06/2011
246	photo		Zone 2	ST2186	niveau apparition	AD	09/06/2011
247	dessin	1/10e	Zone 2	ST2186	coupe	AD	09/06/2011
248	photo		Zone 2	ST2186	fin de décapage	AD	09/06/2011
249	photo		Zone 2	ST2087	niveau apparition	MO	09/06/2011
250	photo		Zone 2	ST2087	fin de décapage	MO	09/06/2011

Annexe 7 - Le Clos de Roque, Saint-Maximin-la-Sainte-Baume (83). Inventaire des minutes de terrain.

N° MIN	RELEVÉ	ECHELLE	LOCALISATION	STRUCTURE	DESCRIPTION	AUTEUR	DATE
251	dessin	1/10e	Zone 2	ST2087	coupe	MO	09/06/2011
252	photo		Zone 2	ST2157	fin de décapage	BP	09/06/2011
253	photo		Zone 2	ST2164	niveau apparition	BP	09/06/2011
254	dessin	1/10e	Zone 2	ST2164	coupe	BP	09/06/2011
255	photo		Zone 2	ST2164	fin de décapage	BP	09/06/2011
256	dessin	1/10e	Zone 2	ST2087	coupe	MO	09/06/2011
257	photo		Zone 2	ST2214	niveau apparition	MR	09/06/2011
258	dessin	1/10e	Zone 2	ST2214	coupe	MR	08/06/2011
259	photo		Zone 2	ST2214	fin de décapage	MR	08/06/2011
260	photo		Zone 2	ST2096	début décapage 16	JR	10/06/2011
261	photo		Zone 2	ST2187	niveau apparition	AD	10/06/2011
262	dessin	1/10e	Zone 2	ST2187	coupe	AD	10/06/2011
263	photo		Zone 2	ST2187	fin de décapage	AD	10/06/2011
264	photo		Zone 2	ST2096	début décapage 17	JR	10/06/2011
265	photo		Zone 2	ST2158	fin de décapage	BP	10/06/2011
266	photo		Zone 2	ST2185	niveau apparition	PR	10/06/2011
267	dessin	1/10e	Zone 2	ST2185	coupe	PR	10/06/2011
268	photo		Zone 2	ST2185	fin de décapage	PR	10/06/2011
269	photo		Zone 2	ST2217	niveau apparition	TS	10/06/2011
270	dessin	1/10e	Zone 2	ST2217	coupe	TS	10/06/2011
271	photo		Zone 2	ST2217	fin de décapage	TS	14/06/2011
272	photo		Zone 2	ST2191	niveau apparition	AD	14/06/2011
273	dessin	1/10e	Zone 2	ST2191	coupe	AD	14/06/2011
274	photo		Zone 2	ST2191	fin de décapage	AD	14/06/2011
275	photo		Zone 2	ST2096	début décapage 18	JR	14/06/2011
276	photo		Zone 2	ST2096	début décapage 19	JR	14/06/2011
277	photo		Zone 2	ST2195	niveau apparition	PR	14/06/2011
278	dessin	1/10e	Zone 2	ST2195	coupe	PR	14/06/2011
279	photo		Zone 2	ST2195	fin de décapage	PR	14/06/2011
280	photo		Zone 2	ST2032	niveau apparition	MG	14/06/2011
281	dessin	1/10e	Zone 2	ST2032	coupe	MG	14/06/2011
282	photo		Zone 2	ST2032	fin de décapage	MG	14/06/2011
283	photo		Zone 2	ST2096	début décapage 20	JR	15/06/2011
284	photo		Zone 2	ST2166	niveau apparition	FC	15/06/2011
285	dessin	1/10e	Zone 2	ST2166	coupe	FC	15/06/2011
286	photo		Zone 2	ST2166	fin de décapage	FC	15/06/2011
287	photo		Zone 2	ST2167	niveau apparition	FC	15/06/2011
288	dessin	1/10e	Zone 2	ST2167	coupe	FC	15/06/2011
289	photo		Zone 2	ST2167	fin de décapage	FC	15/06/2011
290	photo		Zone 2	ST2096	début décapage 21	JR	15/06/2011
291	photo		Zone 2	ST2276	début décapage	MG	15/06/2011
292	photo		Zone 2	ST2276	démontage pot	MG	15/06/2011
293	dessin	1/10e	Zone 2	ST2276	coupe	MG	15/06/2011
294	photo		Zone 2	ST2276	fin de décapage	MG	15/06/2011
295	photo		Zone 2	ST2320	niveau apparition	MG	15/06/2011
296	dessin	1/10e	Zone 2	ST2320	coupe	MG	15/06/2011
297	photo		Zone 2	ST2320	fin de décapage	MG	15/06/2011
298	photo		Zone 2	ST2056	niveau apparition	FC	15/06/2011
299	dessin	1/10e	Zone 2	ST2056	coupe	FC	15/06/2011
300	photo		Zone 2	ST2056	fin de décapage	FC	15/06/2011

Annexe 7- Le Clos de Roque, Saint-Maximin-la-Sainte-Baume (83). Inventaire des minutes de terrain.

N° MIN	RELEVÉ	ECHELLE	LOCALISATION	STRUCTURE	DESCRIPTION	AUTEUR	DATE
301	photo		Zone 1	ST1001	niveau apparition	MO	16/06/2011
302	dessin	1/10e	Zone 1	ST1001	coupe	MO	16/06/2011
303	photo		Zone 1	ST1001	fin de décapage	MO	16/06/2011
304	photo		Zone 1	ST1002	niveau apparition	MR	16/06/2011
305	dessin	1/10e	Zone 1	ST1002	coupe	MR	16/06/2011
306	photo		Zone 1	ST1002	fin de décapage	MR	16/06/2011
307	photo		Zone 1	ST1010	niveau apparition	TS	16/06/2011
308	dessin	1/10e	Zone 1	ST1010	coupe	TS AF	16/06/2011
309	photo		Zone 1	ST1010	fin de décapage	TS	16/06/2011
310	photo		Zone 2	ST2096	début décapage 22	JR	16/06/2011
311	photo		Zone 1	ST1011	niveau apparition	TS	16/06/2011
312	photo		Zone 1	ST1011	fin de décapage	TS	16/06/2011
313	photo		Zone 1	ST1039	niveau apparition	AF	16/06/2011
314	dessin	1/10e	Zone 1	ST1039	coupe	AF	16/06/2011
315	photo		Zone 1	ST1039	fin de décapage	AF	16/06/2011
316	photo		Zone 1	ST1043	niveau apparition	AF	16/06/2011
317	photo		Zone 1	ST1045	niveau apparition	MR	16/06/2011
318	photo		Zone 1	ST1047	niveau apparition	AF	16/06/2011
319	photo		Zone 1	ST1051	niveau apparition	AF	16/06/2011
320	photo		Zone 2	ST2194	niveau apparition	PR	16/06/2011
321	dessin	1/10e	Zone 2	ST2194	coupe	PR	16/06/2011
322	photo		Zone 2	ST2194	fin de décapage	PR	16/06/2011
323	photo		Zone 2	ST2050	niveau apparition	FC	16/06/2011
324	dessin	1/10e	Zone 2	ST2050	coupe	FC	16/06/2011
325	photo		Zone 2	ST2050	fin de décapage	FC	16/06/2011
326	photo		Zone 1	ST1004	niveau apparition	AF	17/06/2011
327	dessin	1/10e	Zone 1	ST1004	coupe	AF	17/06/2011
328	photo		Zone 1	ST1004	fin de décapage	AF	17/06/2011
329	photo		Zone 1	ST1041	niveau apparition	TS	17/06/2011
330	dessin	1/10e	Zone 1	ST1041	coupe	TS	17/06/2011
331	photo		Zone 1	ST1041	fin de décapage	TS	17/06/2011
332	photo		Zone 1	ST1042	niveau apparition	AF	17/06/2011
333	dessin	1/10e	Zone 1	ST1042	coupe	AF	17/06/2011
334	photo		Zone 1	ST1044	niveau apparition	AF	17/06/2011
335	dessin	1/10e	Zone 1	ST1044	coupe	AF	17/06/2011
336	photo		Zone 1	ST1044	fin de décapage	AF	17/06/2011
337	photo		Zone 2	ST2301	niveau apparition	MG	17/06/2011
338	dessin	1/10e	Zone 2	ST2301	coupe	MG	17/06/2011
339	photo		Zone 2	ST2301	fin de décapage	MG	17/06/2011
340	photo		Zone 2	ST2300	niveau apparition	MG	17/06/2011
341	dessin	1/10e	Zone 2	ST2300	coupe	MG	17/06/2011
342	photo		Zone 2	ST2300	fin de décapage	MG	17/06/2011
343			Zone 2		annulée		17/06/2011
344	photo		Zone 2	ST2096	début décapage	JR	17/06/2011
345	photo		Zone 2	ST2096	début décapage	JR	20/06/2011
346	photo		Zone 2	ST2192	niveau apparition	AD	20/06/2011
347	dessin	1/10e	Zone 2	ST2192	coupe	AD	20/06/2011
348	photo		Zone 2	ST2192	fin de décapage	AD	20/06/2011
349	photo		Zone 2	ST2303	niveau apparition	MG	20/06/2011
350	dessin	1/10e	Zone 2	ST2303	coupe	MG	20/06/2011

Annexe 7 - Le Clos de Roque, Saint-Maximin-la-Sainte-Baume (83). Inventaire des minutes de terrain.

N° MIN	RELEVÉ	ECHELLE	LOCALISATION	STRUCTURE	DESCRIPTION	AUTEUR	DATE
351	photo		Zone 2	ST2303	fin de décapage	MG	20/06/2011
352	photo		Zone 2	ST2096	début décapage	JR	20/06/2011
353	photo		Zone 1	ST1003	niveau apparition	MO	15/06/2011
354	dessin	1/10e	Zone 1	ST1003	coupe	MO	16/06/2011
355	photo		Zone 1	ST1003	fin de décapage	MO	17/06/2011
356	dessin	1/20e	Zone 1	ST1003	coupe	MO	20/06/2011
357	photo		Zone 1	ST1013	niveau apparition	GG	15/06/2011
358	dessin	1/10e	Zone 1	ST1013	coupe	GG	20/06/2011
359	photo		Zone 1	ST1013	fin de décapage	GG	20/06/2011
360	photo		Zone 1	ST1023	niveau apparition	MO	17/06/2011
361	dessin	1/10e	Zone 1	ST1023	coupe	MO	20/06/2011
362	photo		Zone 1	ST1023	fin de décapage	MO	20/06/2011
363	photo		Zone 1	ST1027	niveau apparition	MR	17/06/2011
364	dessin	1/10e	Zone 1	ST1027	coupe	MO	20/06/2011
365	photo		Zone 1	ST1027	fin de décapage	MO	20/06/2011
366	photo		Zone 1	ST1028	niveau apparition	GG	17/06/2011
367	dessin	1/10e	Zone 1	ST1028	coupe	MO	20/06/2011
368	photo		Zone 1	ST1028	fin de décapage	MO	20/06/2011
369	photo		Zone 1	ST1034	niveau apparition	MR	17/06/2011
370	dessin	1/10e	Zone 1	ST1034	coupe	AF	20/06/2011
371	photo		Zone 1	ST1034	fin de décapage	AF	20/06/2011
372	photo		Zone 2	ST2031	niveau apparition	FC	21/06/2011
373	dessin	1/10e	Zone 2	ST2031	coupe	FC	21/06/2011
374	photo		Zone 2	ST2031	fin de décapage	FC	21/06/2011
375	photo		Zone 2	ST2189	niveau apparition	PR	21/06/2011
376	dessin	1/10e	Zone 2	ST2189	coupe	PR	21/06/2011
377	photo		Zone 2	ST2189	fin de décapage	PR	21/06/2011
378	photo		Zone 2	ST2190	niveau apparition	PR	21/06/2011
379	dessin	1/10e	Zone 2	ST2190	coupe	PR	21/06/2011
380	photo		Zone 2	ST2190	fin de décapage	PR	21/06/2011
381	photo		Zone 2	ST2046	niveau apparition	PR	21/06/2011
382	dessin	1/10e	Zone 2	ST2046	coupe	PR	21/06/2011
383	photo		Zone 2	ST2046	fin de décapage	PR	21/06/2011
384	photo		Zone 2	ST2022	niveau apparition	PR	21/06/2011
385	dessin	1/10e	Zone 2	ST2022	coupe	PR	21/06/2011
386	photo		Zone 2	ST2022	fin de décapage	PR	21/06/2011
387	photo		Zone 2	ST2023	niveau apparition	PR	21/06/2011
388	dessin	1/10e	Zone 2	ST2023	coupe	PR	21/06/2011
389	photo		Zone 2	ST2023	fin de décapage	PR	21/06/2011
390	photo		Zone 2	ST2096	début décapage 26	JR	21/06/2011
391	photo		Zone 2	ST2294	niveau apparition	MG	21/06/2011
392	dessin	1/10e	Zone 2	ST2294	coupe	MG	21/06/2011
393	photo		Zone 2	ST2294	fin de décapage	MG	21/06/2011
394	photo		Zone 2	ST2295	niveau apparition	MG	21/06/2011
395	dessin	1/10e	Zone 2	ST2295	coupe	MG	21/06/2011
396	photo		Zone 2	ST2295	fin de décapage	MG	21/06/2011
397	photo		Zone 2	ST2299	niveau apparition	MG	21/06/2011
398	dessin	1/10e	Zone 2	ST2299	coupe	MG	21/06/2011
399	photo		Zone 2	ST2299	fin de décapage	MG	21/06/2011
400	photo		Zone 2	ST2049	niveau apparition	FC	21/06/2011

Annexe 7- Le Clos de Roque, Saint-Maximin-la-Sainte-Baume (83). Inventaire des minutes de terrain.



N° MIN	RELEVÉ	ECHELLE	LOCALISATION	STRUCTURE	DESCRIPTION	AUTEUR	DATE
401	dessin	1/10e	Zone 2	ST2049	coupe	FC	21/06/2011
402	photo		Zone 2	ST2049	fin de décapage	FC	21/06/2011
403	photo		Zone 2	ST2053	niveau apparition	FC	21/06/2011
404	dessin	1/10e	Zone 2	ST2053	coupe	FC	21/06/2011
405	photo		Zone 2	ST2053	fin de décapage	FC	21/06/2011
406	photo		Zone 1	ST1008	niveau apparition	MR	21/06/2011
407	dessin	1/10e	Zone 1	ST1008	coupe	MR AF	21/06/2011
408	photo		Zone 1	ST1008	fin de décapage	MR	21/06/2011
409	photo		Zone 2	ST2034	niveau apparition	FC	21/06/2011
410	dessin	1/10e	Zone 2	ST2034	coupe	FC	21/06/2011
411	photo		Zone 2	ST2034	fin de décapage	FC	21/06/2011
412	photo		Zone 1	ST1054	niveau apparition	AF GG	21/06/2011
413	photo		Zone 1	ST1056	niveau apparition	AF GG	21/06/2011
414	photo		Zone 1	ST1069	niveau apparition	AF MR	21/06/2011
415	photo		Zone 1	ST1026	niveau apparition	AF MR	21/06/2011
416	photo		Zone 1	ST1029	niveau apparition	AF MR	21/06/2011
417	photo		Zone 1	ST1046	niveau apparition	AF MR	21/06/2011
418	photo		Zone 1	ST1064	niveau apparition	GG	21/06/2011
419	dessin	1/10e	Zone 1	ST1064	coupe	GG	21/06/2011
420	photo		Zone 2	ST2230	niveau apparition	AD	22/06/2011
421	dessin	1/10e	Zone 2	ST2230	coupe	AD	22/06/2011
422	photo		Zone 2	ST2230	fin de décapage	AD	22/06/2011
423	photo		Zone 2	ST2197	niveau apparition	AD	22/06/2011
424	dessin	1/10e	Zone 2	ST2197	coupe	AD	22/06/2011
425	photo		Zone 2	ST2197	fin de décapage	AD	22/06/2011
426	photo		Zone 2	ST2297	niveau apparition	MG	22/06/2011
427	dessin	1/10e	Zone 2	ST2297	coupe	MG	22/06/2011
428	photo		Zone 2	ST2297	fin de décapage	MG	22/06/2011
429	photo		Zone 2	ST2298	niveau apparition	MG	22/06/2011
430	dessin	1/10e	Zone 2	ST2298	coupe	MG	22/06/2011
431	photo		Zone 2	ST2298	fin de décapage	MG	22/06/2011
432	photo		Zone 2	ST2302	niveau apparition	MG	22/06/2011
433	dessin	1/10e	Zone 2	ST2302	coupe	MG	22/06/2011
434	photo		Zone 2	ST2302	fin de décapage	MG	22/06/2011
435	dessin	1/10e	Zone 2	ST2215	coupe	AB	22/06/2011
436	photo		Zone 2	ST2215	squelette	AB	22/06/2011
437	photo		Zone 2	ST2215	fin de décapage	AB	22/06/2011
438	dessin	1/10e	Zone 2	ST2215	coupe	AB	22/06/2011
439	photo		Zone 2	ST2215	fin de décapage	AB	22/06/2011
440	photo		Zone 2	ST2033	niveau apparition	FC	22/06/2011
441	dessin	1/10e	Zone 2	ST2033	coupe	FC	22/06/2011
442	photo		Zone 2	ST2033	fin de décapage	FC	22/06/2011
443	photo		Zone 2	ST2048	niveau apparition	FC	22/06/2011
444	dessin	1/10e	Zone 2	ST2048	coupe	FC	22/06/2011
445	photo		Zone 2	ST2048	fin de décapage	FC	22/06/2011
446	photo		Zone 2	ST2231	niveau apparition	FC	22/06/2011
447	photo		Zone 2	ST2035	niveau apparition	FC	22/06/2011
448	photo		Zone 2	ST2202	niveau apparition	AD	22/06/2011
449	dessin	1/10e	Zone 2	ST2202	coupe	AD	22/06/2011
450	photo		Zone 2	ST2202	fin de décapage	AD	22/06/2011

Annexe 7 - Le Clos de Roque, Saint-Maximin-la-Sainte-Baume (83). Inventaire des minutes de terrain.

N° MIN	RELEVÉ	ECHELLE	LOCALISATION	STRUCTURE	DESCRIPTION	AUTEUR	DATE
451	photo		Zone 2	ST2030	niveau apparition	BP	23/06/2011
452	dessin	1/10e	Zone 2	ST2030	coupe	BP	23/06/2011
453	photo		Zone 2	ST2030	fin de décapage	BP	23/06/2011
454	photo		Zone 2	ST2089	niveau apparition	BP	23/06/2011
455	photo		Zone 2	ST2324	niveau apparition	AF	23/06/2011
456	photo		Zone 2	ST2091	niveau apparition	AF	23/06/2011
457	photo		Zone 2	ST2325	niveau apparition	AF	23/06/2011
458	dessin	1/10e	Zone 2	ST2325	coupe	AF	23/06/2011
459	photo		Zone 2	ST2325	fin de décapage	AF	23/06/2011
460	photo		Zone 2	ST2092	niveau apparition	BP	23/06/2011
461	photo		Zone 2	ST2323	niveau apparition	BP	23/06/2011
462	dessin	1/10e	Zone 2	ST2323	coupe	BP AF	23/06/2011
463	photo		Zone 2	ST2323	fin de décapage	BP AF	23/06/2011
464	photo		Zone 2	ST2322	niveau apparition	BP AF	23/06/2011
465	dessin	1/10e	Zone 2	ST2322	coupe	BP AF	23/06/2011
466	photo		Zone 2	ST2322	fin de décapage	BP AF	23/06/2011
467	photo		Zone 2	ST2246	niveau apparition	MR	23/06/2011
468	dessin	1/10e	Zone 2	ST2246	coupe	MR	23/06/2011
469	photo		Zone 2	ST2246	fin de décapage	MR	23/06/2011
470	photo		Zone 2	ST2036	niveau apparition	FC	23/06/2011
471	dessin	1/10e	Zone 2	ST2036	coupe	FC	23/06/2011
472	photo		Zone 2	ST2036	fin de décapage	FC	23/06/2011
473	photo		Zone 2	ST2039	niveau apparition	FC	23/06/2011
474	photo		Zone 2	ST2047	niveau apparition	FC	23/06/2011
475	dessin	1/10e	Zone 2	ST2096	coupe	JR	23/06/2011
476	dessin	1/10e	Zone 2	ST2096	coupe	JR	23/06/2011
477	photo		Zone 2	ST2209	niveau apparition	AB	23/06/2011
478	dessin	1/10e	Zone 2	ST2209	coupe	AB	23/06/2011
479	photo		Zone 2	ST2209	squelette	AB	23/06/2011
480	dessin	1/10e	Zone 2	ST2209	coupe	AB	23/06/2011
481	dessin	1/10e	Zone 2	ST2209	coupe	AB	23/06/2011
482	photo		Zone 2	ST2209	fin de décapage	AB	23/06/2011
483	photo		Zone 2	ST2078	niveau apparition	JR	23/06/2011
484	photo		Zone 2	ST2078	fin de décapage	JR	23/06/2011
485	dessin	1/10e	Zone 2	ST2078	coupe	PR	23/06/2011
486	photo		Zone 2	ST2204	niveau apparition	AD	23/06/2011
487	dessin	1/10e	Zone 2	ST2204	coupe	AD	23/06/2011
488	photo		Zone 2	ST2204	fin de décapage	AD	23/06/2011
489	photo		Zone 2	ST2093	niveau apparition	AB	23/06/2011
490	photo		Zone 2	ST2093	décapage 3	AB	23/06/2011
491	photo		Zone 2	ST2093	décapage 4	AB	23/06/2011
492	dessin	1/10e	Zone 2	ST2093	coupe	AB	23/06/2011
493	photo		Zone 2	ST2093	décapage 2	AB	23/06/2011
494	photo		Zone 2	ST2093	décapage 3	AB	23/06/2011
495	photo		Zone 2	ST2093	décapage 4	AB	23/06/2011
496	photo		Zone 2	ST2093	décapage 5	AB	23/06/2011
497	photo		Zone 2	ST2093	décapage 6	AB	23/06/2011
498	photo		Zone 2	ST2093	fin de décapage	AB	23/06/2011
499	dessin	1/10e	Zone 2	ST2093	coupe	AB	23/06/2011
500	photo		Zone 2	ST2093		AB	23/06/2011

Annexe 7- Le Clos de Roque, Saint-Maximin-la-Sainte-Baume (83). Inventaire des minutes de terrain.

N° MIN	RELEVÉ	ECHELLE	LOCALISATION	STRUCTURE	DESCRIPTION	AUTEUR	DATE
501	dessin	1/10e	Zone 2	ST2093	coupe	AB	23/06/2011
502	dessin	1/10e	Zone 2	ST2093	coupe	AB	23/06/2011
503	photo		Zone 2	ST2304	niveau apparition	MG	23/06/2011
504	dessin	1/10e	Zone 2	ST2304	coupe	MG	23/06/2011
505	photo		Zone 2	ST2304	fin de décapage	MG	23/06/2011
506	photo		Zone 2	ST2308	niveau apparition	MG	23/06/2011
507	dessin	1/10e	Zone 2	ST2308	coupe	MG	23/06/2011
508	photo		Zone 2	ST2308	fin de décapage	MG	23/06/2011
509	photo		Zone 2	ST2080	niveau apparition	AF	24/06/2011
510	dessin	1/10e	Zone 2	ST2080	coupe	AF	24/06/2011
511	photo		Zone 2	ST2083	niveau apparition	AF	24/06/2011
512	dessin	1/10e	Zone 2	ST2083	coupe	AF	24/06/2011
513	photo		Zone 2	ST2081	niveau apparition	AF	24/06/2011
514	dessin	1/10e	Zone 2	ST2081	coupe	AF	24/06/2011
515	photo		Zone 2	ST2084	niveau apparition	AF	24/06/2011
516	dessin	1/10e	Zone 2	ST2084	coupe	AF	24/06/2011
517	dessin	1/10e	Zone 2	ST2329	coupe	AF	24/06/2011
518	photo		Zone 2	ST2206	niveau apparition	AD	24/06/2011
519	dessin	1/10e	Zone 2	ST2206	coupe	AD	24/06/2011
520	photo		Zone 2	ST2206	fin de décapage	AD	24/06/2011
521	photo		Zone 2	ST2330	niveau apparition	AF	24/06/2011
522	dessin	1/10e	Zone 2	ST2330	coupe	AF	24/06/2011
523	photo		Zone 2	ST2278	niveau apparition	PR	24/06/2011
524	dessin	1/10e	Zone 2	ST2278	coupe	PR	24/06/2011
525	photo		Zone 2	ST2078	fin de décapage	PR	24/06/2011
526	photo		Zone 2	ST2076	niveau apparition	PR	24/06/2011
527	dessin	1/10e	Zone 2	ST2076	coupe	PR	24/06/2011
528	photo		Zone 2	ST2076	fin de décapage	PR	24/06/2011
529	photo		Zone 2	ST2201	niveau apparition	AD	24/06/2011
530	dessin	1/10e	Zone 2	ST2201	coupe	AD	27/06/2011
531	photo		Zone 2	ST2201	fin de décapage	AD	27/06/2011
532	photo		Zone 2	ST2199	niveau apparition	AD	27/06/2011
533	dessin	1/10e	Zone 2	ST2199	coupe	AD	27/06/2011
534	photo		Zone 2	ST2199	fin de décapage	AD	27/06/2011
535	dessin	1/10e	Zone 2	ST2327	coupe	AF	27/06/2011
536	photo		Zone 2	ST2327	fin de décapage	AF	27/06/2011
537	photo		Zone 2	ST2088	niveau apparition	AF	27/06/2011
538	dessin	1/10e	Zone 2	ST2088	coupe	AF	27/06/2011
539	photo		Zone 2	ST2088	fin de décapage	AF	27/06/2011
540	photo		Zone 2	ST2247	niveau apparition	AF	27/06/2011
541	dessin	1/10e	Zone 2	ST2247	coupe	AF	27/06/2011
542	photo		Zone 2	ST2247	fin de décapage	AF	27/06/2011
543	photo		Zone 2	ST2239	niveau apparition	AF	27/06/2011
544	photo		Zone 2	ST2235	niveau apparition	AF	27/06/2011
545	photo		Zone 2	ST2238	niveau apparition	AF	27/06/2011
546	dessin	1/10e	Zone 2	ST2238	coupe	AF	27/06/2011
547	photo		Zone 2	ST2234	niveau apparition	AF	27/06/2011
548	photo		Zone 2	ST2077	niveau apparition	AF	27/06/2011
549	photo		Zone 2	ST2072	niveau apparition	PR	27/06/2011
550	dessin	1/10e	Zone 2	ST2072	coupe	PR	27/06/2011

Annexe 7 - Le Clos de Roque, Saint-Maximin-la-Sainte-Baume (83). Inventaire des minutes de terrain.

N° MIN	RELEVÉ	ECHELLE	LOCALISATION	STRUCTURE	DESCRIPTION	AUTEUR	DATE
551	photo		Zone 2	ST2072	fin de décapage	PR	27/06/2011
552	photo		Zone 2	ST2069	niveau apparition	PR	27/06/2011
553	dessin	1/10e	Zone 2	ST2069	coupe	PR	27/06/2011
554	photo		Zone 2	ST2069	fin de décapage	PR	27/06/2011
555	photo		Zone 2	ST2090	niveau apparition	AF	27/06/2011
556	dessin	1/10e	Zone 2	ST2090	coupe	AF	27/06/2011
557	photo		Zone 2	ST2090	fin de décapage	AF	27/06/2011
558	photo		Zone 2	ST2210	niveau apparition	AF	27/06/2011
559	photo		Zone 2	ST2310	niveau apparition	AF	27/06/2011
560	photo		Zone 2	ST2015	niveau apparition	AB	28/06/2011
561	photo		Zone 2	ST2015	fin de décapage	AB	28/06/2011
562	dessin	1/10e	Zone 2	ST2015	coupe	AB	28/06/2011
563	photo		Zone 2	ST2285	niveau apparition	AF	28/06/2011
564	photo		Zone 2	ST2287	niveau apparition	AF	28/06/2011
565	photo		Zone 2	ST2011	niveau apparition	AD	28/06/2011
566	dessin	1/10e	Zone 2	ST2011	coupe	AD	28/06/2011
567	photo		Zone 2	ST2011	fin de décapage	AD	28/06/2011
568	photo		Zone 2	ST2096	début décapage 28	JR	28/06/2011
569	photo		Zone 2	ST2096	début décapage 29	JR	28/06/2011
570	photo		Zone 2	ST2071	niveau apparition	MO	28/06/2011
571	photo		Zone 2	ST2071	fin de décapage	MO	28/06/2011
572	dessin	1/10e	Zone 2	ST2071	coupe	MO	28/06/2011
573	dessin	1/10e	Zone 2	ST2071	coupe	MO	28/06/2011
574	photo		Zone 2	ST2068	niveau apparition	MO	28/06/2011
575	photo		Zone 2	ST2068	fin de décapage	MO	28/06/2011
576	dessin	1/10e	Zone 2	ST2068	coupe	MO	28/06/2011
577	photo		Zone 2	ST2096	début décapage 30	MO JR	28/06/2011
578	photo		Zone 2	ST2096	début décapage 31	MO JR	28/06/2011
579	dessin	1/10e	Zone 2	ST2063	coupe	MO JR	28/06/2011
580	photo		Zone 2	ST2305	niveau apparition	MG	28/06/2011
581	dessin	1/10e	Zone 2	ST2305	coupe	MG	28/06/2011
582	photo		Zone 2	ST2305	fin de décapage	MG	28/06/2011
583	photo		Zone 2	ST2306	niveau apparition	MG	28/06/2011
584	dessin	1/10e	Zone 2	ST2306	coupe	MG	28/06/2011
585	photo		Zone 2	ST2306	fin de décapage	MG	28/06/2011
586	photo		Zone 2	ST2296	niveau apparition	MG	28/06/2011
587	dessin	1/10e	Zone 2	ST2296	coupe	MG	28/06/2011
588	photo		Zone 2	ST2296	fin de décapage	MG	28/06/2011
589	photo		Zone 2	ST2010	niveau apparition	MG	28/06/2011
590	photo		Zone 2	ST2025	niveau apparition	AF	28/06/2011
591	dessin	1/10e	Zone 2	ST2025	coupe	AF	28/06/2011
592	photo		Zone 2	ST2025	fin de décapage	AF	28/06/2011
593	photo		Zone 2	ST2029	niveau apparition	AF	28/06/2011
594	dessin	1/10e	Zone 2	ST2309	coupe	MG	29/06/2011
595	photo		Zone 2	ST2309	fin de décapage	MG	29/06/2011
596	photo		Zone 2	ST2005	niveau apparition	MG	29/06/2011
597	dessin	1/10e	Zone 2	ST2005	coupe	MG	29/06/2011
598	photo		Zone 2	ST2005	fin de décapage	MG	29/06/2011
599	photo		Zone 2	ST2237	niveau apparition	MG	29/06/2011
600	dessin	1/10e	Zone 2	ST2237	coupe	MG	29/06/2011

Annexe 7- Le Clos de Roque, Saint-Maximin-la-Sainte-Baume (83). Inventaire des minutes de terrain.

N° MIN	RELEVÉ	ECHELLE	LOCALISATION	STRUCTURE	DESCRIPTION	AUTEUR	DATE
601	photo		Zone 2	ST2237	fin de décapage	MG	29/06/2011
602	photo		Zone 2	ST2014	niveau apparition	AB	29/06/2011
603	dessin	1/10e	Zone 2	ST2014	coupe	AB	29/06/2011
604	photo		Zone 2	ST2014	fin de décapage	AB	29/06/2011
605	photo		Zone 2	ST2293	niveau apparition	AB	29/06/2011
606	dessin	1/10e	Zone 2	ST2293	coupe	AB	29/06/2011
607	photo		Zone 2	ST2293	fin de décapage	AB	29/06/2011
608	photo		Zone 2	ST2241	niveau apparition	MO	29/06/2011
609	dessin	1/10e	Zone 2	ST2241	coupe	MO	29/06/2011
610	photo		Zone 2	ST2241	fin de décapage	MO	29/06/2011
611	photo		Zone 2	ST2020	niveau apparition	PR	29/06/2011
612	dessin	1/10e	Zone 2	ST2020	coupe	PR	29/06/2011
613	photo		Zone 2	ST2020	fin de décapage	PR	29/06/2011
614	photo		Zone 2	ST2119	fin de décapage	AD	29/06/2011
615	photo		Zone 2	ST2120	fin de décapage	AD	29/06/2011
616	photo		Zone 2	ST2249	fin de décapage	AD	29/06/2011
617	photo		Zone 2	ST2021	niveau apparition	AD	29/06/2011
618	dessin	1/10e	Zone 2	ST2021	coupe	AD	29/06/2011
619	photo		Zone 2	ST2021	fin de décapage	AD	29/06/2011
620	photo		Zone 2	ST2236	niveau apparition	GG	29/06/2011
621	dessin	1/10e	Zone 2	ST2236	coupe	GG	29/06/2011
622	photo		Zone 2	ST2236	fin de décapage	GG	29/06/2011
623	photo		Zone 2	ST2233	niveau apparition	GG	29/06/2011
624	dessin	1/10e	Zone 2	ST2233	coupe	GG	29/06/2011
625	photo		Zone 2	ST2233	fin de décapage	GG	29/06/2011
626	photo		Zone 2	ST2307	niveau apparition	GG	29/06/2011
627	dessin	1/10e	Zone 2	ST2307	coupe	GG	29/06/2011
628	photo		Zone 2	ST2307	fin de décapage	GG	29/06/2011
629	photo		Zone 2	ST2018	niveau apparition	GG	29/06/2011
630	dessin	1/10e	Zone 2	ST2018	coupe	GG	29/06/2011
631	photo		Zone 2	ST2018	fin de décapage	GG	29/06/2011
632	photo		Zone 2	ST2332	niveau apparition	BP	29/06/2011
633	photo		Zone 2	ST2331	niveau apparition	PR	29/06/2011
634	dessin	1/10e	Zone 2	ST2331	coupe	PR	29/06/2011
635	photo		Zone 2	ST2017	niveau apparition	GG	29/06/2011
636	dessin	1/10e	Zone 2	ST2017	coupe	GG	29/06/2011
637	photo		Zone 2	ST2017	fin de décapage	GG	29/06/2011
638	photo		Zone 2	ST2119	niveau apparition	AD	29/06/2011
639	photo		Zone 2	ST2120	niveau apparition	AD	29/06/2011
640	photo		Zone 2	ST2249	niveau apparition	AD	29/06/2011
641	photo		Zone 2	ST2098	niveau apparition	BP	29/06/2011
642	photo		Zone 2	ST2063	niveau apparition	AD	29/06/2011
643	photo		Zone 2	ST2101	niveau apparition	AD	29/06/2011
644	dessin	1/10e	Zone 2	ST2101	coupe	AD	29/06/2011
645	photo		Zone 2	ST2101	fin de décapage	AD	29/06/2011
646	photo		Zone 2	ST2008	niveau apparition	BP	29/06/2011
647	dessin	1/10e	Zone 2	ST2096	coupe	JR	29/06/2011
648	dessin	1/10e	Zone 2	ST2096	coupe	JR AF	29/06/2011
649	photo		Zone 2	ST2062	niveau apparition	AD	29/06/2011
650	dessin	1/10e	Zone 2	ST2062	coupe	BP AF	29/06/2011

Annexe 7 - Le Clos de Roque, Saint-Maximin-la-Sainte-Baume (83). Inventaire des minutes de terrain.

N° MIN	RELEVÉ	ECHELLE	LOCALISATION	STRUCTURE	DESCRIPTION	AUTEUR	DATE
651	photo		Zone 2	ST2062	fin de décapage	AD	29/06/2011
652	photo		Zone 2	ST2240	niveau apparition	FC	30/06/2011
653	dessin	1/10e	Zone 2	ST2240	coupe	AF	30/06/2011
654	photo		Zone 2	ST2240	fin de décapage	FC	30/06/2011
655	photo		Zone 2	ST2074	niveau apparition	FC	30/06/2011
656	dessin	1/10e	Zone 2	ST2074	coupe	FC	30/06/2011
657	dessin	1/10e	Zone 2	ST2074	coupe	FC	30/06/2011
658	photo		Zone 2	ST2074	fin de décapage	FC	30/06/2011
659	photo		Zone 2	ST2333	niveau apparition	AD	30/06/2011
660	dessin	1/10e	Zone 2	ST2333	coupe	AD	30/06/2011
661	photo		Zone 2	ST2333	fin de décapage	AD	30/06/2011
662	photo		Zone 2	ST2183	niveau apparition	AD	30/06/2011
663	dessin	1/10e	Zone 2	ST2183	coupe	AD	30/06/2011
664	photo		Zone 2	ST2183	fin de décapage	AD	30/06/2011
665	photo		Zone 2	ST2326	niveau apparition	AF	01/07/2011
666	dessin	1/10e	Zone 2	ST2326	coupe	AF	01/07/2011
667	photo		Zone 2	ST2326	fin de décapage	AF	01/07/2011
668	photo		Zone 2	ST2067	niveau apparition	MO	01/07/2011
669	dessin	1/10e	Zone 2	ST2067	coupe	MO	01/07/2011
670	dessin	1/10e	Zone 2	ST2067	coupe	MO	01/07/2011
671	photo		Zone 2	ST2067	fin de décapage	MO	01/07/2011
672	photo		Zone 2	ST2075	niveau apparition	MO	01/07/2011
673	dessin	1/10e	Zone 2	ST2075	coupe	MO	01/07/2011
674	photo		Zone 2	ST2075	fin de décapage	MO	01/07/2011
675	photo		Zone 2	ST2085	niveau apparition	AD	01/07/2011
676	dessin	1/10e	Zone 2	ST2085	coupe	AD	01/07/2011
677	photo		Zone 2	ST2085	fin de décapage	AD	01/07/2011
678	photo		Zone 2	ST2024	niveau apparition	AF PR	04/07/2011
679	dessin	1/10e	Zone 2	ST2024	coupe	AF PR	04/07/2011
680	photo		Zone 2	ST2024	fin de décapage	AF PR	04/07/2011
681	photo		Zone 2	ST2107	niveau apparition	PR	04/07/2011
682	dessin	1/10e	Zone 2	ST2107	coupe	PR	04/07/2011
683	photo		Zone 2	ST2107	fin de décapage	PR	04/07/2011
684	dessin	1/10e	Zone 2	ST2001	coupe	MO	04/07/2011
685	photo		Zone 2	ST2001	fin de décapage	MG	04/07/2011
686	photo		Zone 2	ST2002	niveau apparition	MG	04/07/2011
687	dessin	1/10e	Zone 2	ST2002	coupe	MG	04/07/2011
688	photo		Zone 2	ST2002	fin de décapage	MG	04/07/2011
689	photo		Zone 2	ST2027	niveau apparition	MR	04/07/2011
690	photo		Zone 2	ST2060	niveau apparition	MR	05/07/2011
691	photo		Zone 1	ST1063	niveau apparition	FC	05/07/2011
692	dessin	1/10e	Zone 1	ST1063	coupe	FC	05/07/2011
693	photo		Zone 1	ST1063	fin de décapage	FC	05/07/2011
694	photo		Zone 1	ST1055	niveau apparition	TS	05/07/2011
695	dessin	1/10e	Zone 1	ST1055	coupe	TS	05/07/2011
696	photo		Zone 1	ST1055	fin de décapage	MO	05/07/2011
697	photo		Zone 1	ST1050	niveau apparition	JR	05/07/2011
698	dessin	1/10e	Zone 1	ST1050	coupe	JR	05/07/2011
699	photo		Zone 1	ST1050	fin de décapage	JR	05/07/2011
700	photo		Zone 2	ST2319	niveau apparition	FC	05/07/2011

Annexe 7- Le Clos de Roque, Saint-Maximin-la-Sainte-Baume (83). Inventaire des minutes de terrain.



N° MIN	RELEVÉ	ECHELLE	LOCALISATION	STRUCTURE	DESCRIPTION	AUTEUR	DATE
701	photo		Zone 2	ST2319	niveau apparition	FC	05/07/2011
702	dessin	1/10e	Zone 2	ST2319	coupe	FC	05/07/2011
703	photo		Zone 2	ST2319	fin de décapage	FC	05/07/2011
704	photo		Zone 2	ST2009	niveau apparition	BP	05/07/2011
705	dessin	1/10e	Zone 2	ST2009	coupe	GG	05/07/2011
706	photo		Zone 2	ST2009	fin de décapage	GG	05/07/2011
707	dessin	1/10e	Zone 2	ST2250	coupe	GG	05/07/2011
708	photo		Zone 2	ST2250	fin de décapage	GG	05/07/2011
709	photo		Zone 1	ST1033	niveau apparition	BP	05/07/2011
710	dessin	1/10e	Zone 2	ST2096	coupe	JR	06/07/2011
711	dessin	1/10e	Zone 2	ST2096	coupe	JR	06/07/2011
712	photo		Zone 1	ST1014	niveau apparition	AD	06/07/2011
713	dessin	1/10e	Zone 1	ST1014	coupe	AD	06/07/2011
714	photo		Zone 1	ST1014	fin de décapage	AD	06/07/2011
715	photo		Zone 2	ST2006	niveau apparition	AB	06/07/2011
716	photo		Zone 2	ST2006	dépôt faune	AB	06/07/2011
717	dessin	1/10e	Zone 2	ST2006	coupe	AB	06/07/2011
718	photo		Zone 2	ST2006	fin de décapage	AB	06/07/2011
719	photo		Zone 1	ST1058	niveau apparition	AD	07/07/2011
720	dessin	1/10e	Zone 1	ST1058	coupe	AD	07/07/2011
721	photo		Zone 1	ST1058	fin de décapage	AD	07/07/2011
722	dessin	1/10e	Zone 2	ST2225	coupe	PR	07/07/2011
723	photo		Zone 2	ST2225	faune	PR	07/07/2011
724	photo		Zone 2	ST2225	fin de décapage	PR	07/07/2011
725	photo		Zone 2	ST2207	niveau apparition	MG	07/07/2011
726	photo		Zone 2	ST2336	niveau apparition	MG	07/07/2011
727	dessin	1/10e	Zone 2	ST2336	coupe	MG	07/07/2011
728	photo		Zone 2	ST2336	fin de décapage	MG	07/07/2011
729	photo		Zone 2	ST2279	niveau apparition	MR	07/07/2011
730	photo		Zone 1	ST1062	niveau apparition	FC	07/07/2011
731	dessin	1/10e	Zone 1	ST1062	coupe	FC	07/07/2011
732	photo		Zone 1	ST1062	fin de décapage	FC	07/07/2011
733	dessin	1/10e	Zone 1	ST1049	coupe	GG	07/07/2011
734	photo		Zone 1	ST1049	fin de décapage	GG	07/07/2011
735	photo		Zone 2	ST2079	niveau apparition	BP	07/07/2011
736	dessin	1/10e	Zone 2	ST2334	coupe	BP	07/07/2011
737	photo		Zone 2	ST2334	coupe	BP	07/07/2011
738	photo		Zone 2	ST2334	fin de décapage	BP	07/07/2011
739	photo		Zone 2	ST2094	niveau apparition	AF	07/07/2011
740	photo		Zone 2	ST2094	décapage 1	AF	07/07/2011
741	photo		Zone 2	ST2094	décapage 2	AF	07/07/2011
742	photo		Zone 2	ST2094	décapage 3	AF	07/07/2011
743	photo		Zone 2	ST2094	décapage 4	AF	07/07/2011
744	dessin	1/20e	Zone 2	ST2094	coupe	GG	07/07/2011
745	dessin	1/20e	Zone 2	ST2094	coupe	JR	07/07/2011
746	photo		Zone 2	ST2094	fin de décapage	JR PR	07/07/2011
747	photo		Zone 2	ST2094	fin de décapage	JR PR	07/07/2011
748	photo		Zone 1	ST1057	niveau apparition	AF	07/07/2011
749	photo		Zone 1	ST1057	niveau rubefié	AF	07/07/2011
750	dessin	1/10e	Zone 1	ST1057	coupe	AF	07/07/2011

Annexe 7 - Le Clos de Roque, Saint-Maximin-la-Sainte-Baume (83). Inventaire des minutes de terrain.

N° MIN	RELEVÉ	ECHELLE	LOCALISATION	STRUCTURE	DESCRIPTION	AUTEUR	DATE
751	photo		Zone 1	ST1057	fin de décapage	AF	08/07/2011
752	photo		Zone 1	ST1055	fin de décapage	AF	08/07/2011
753	dessin	1/10e	Zone 1	ST1012	coupe	AD	08/07/2011
754	photo		Zone 1	ST1012	fin de décapage	AD	08/07/2011
755	photo		Zone 2	ST2337	niveau apparition	AB	08/07/2011
756	dessin	1/10e	Zone 2	ST2337	coupe	AB	08/07/2011
757	photo		Zone 2	ST2337	fin de décapage	AB	08/07/2011
758	dessin	1/10e	Zone 2	ST2338	coupe	JR	08/07/2011
759	photo		Zone 2	ST2338	fin de décapage	JR	08/07/2011
760	dessin	1/10e	Zone 2	ST2321	coupe	JR	08/07/2011
761	photo		Zone 2	ST2321	fin de décapage	JR	08/07/2011
762	dessin	1/20e	Zone 2	ST2328	coupe	BP	08/07/2011
763	dessin	1/20e	Zone 2	ST2328	coupe	BP	08/07/2011
764	photo		Zone 2	ST2328	fin de décapage	BP	08/07/2011
765	dessin	1/20e	Zone 1	ST1071	coupe	MO	11/07/2011
766	dessin	1/10e	Zone 1	ST1071	coupe	MO	11/07/2011
767	photo		Zone 1	ST1071	fin de décapage	MO	11/07/2011
768	dessin	1/10e	Zone 2	ST2224	coupe	MG	12/07/2011
769	photo		Zone 2	ST2224	décapage 1	AB GG	12/07/2011
770	photo		Zone 2	ST2224	décapage 2	AB GG	12/07/2011
771	photo		Zone 2	ST2224	décapage 3	AB GG	12/07/2011
772	photo		Zone 2	ST2224	décapage 4	AB GG	12/07/2011

Identifiant	n° cliché	taille (Mo)	date	Structure/A normale	Description	Auteur
OA9785_STM11_photo_0001.jpg	0001	6,4	02/05/11	TR1	Début de décapage de la zone 1, tranchée géomorphologique 1, vue vers l'Est	M. Remicourt
OA9785_STM11_photo_0002.jpg	0002	6,7	02/05/11	TR1	Début de décapage de la zone 1, tranchée géomorphologique 1, vue vers l'Est	M. Remicourt
OA9785_STM11_photo_0003.jpg	0003	6,4	02/05/11	TR1	Zone 1, Tranchée 1, vue vers le Nord-Est	M. Rué
OA9785_STM11_photo_0004.jpg	0004	6,5	02/05/11	CP1-1	Zone 1, Tranchée 1, Coupe 1, Log 1, vue vers le Nord	M. Rué
OA9785_STM11_photo_0005.jpg	0005	6,6	02/05/11	TR1	Zone 1, Tranchée 1, vue vers le Nord-Est	M. Rué
OA9785_STM11_photo_0006.jpg	0006	6,4	02/05/11	CP1-1	Zone 1, Tranchée 1, Coupe 1, Log 1, détail UPS 3	M. Rué
OA9785_STM11_photo_0007.jpg	0007	6,5	02/05/11	CP1-1	Zone 1, Tranchée 1, Coupe 1, Log 1, détail UPS 3	M. Rué
OA9785_STM11_photo_0008.jpg	0008	6,5	02/05/11	CP1-1	Zone 1, Tranchée 1, Coupe 1, Log 1, détail UPS 3	M. Rué
OA9785_STM11_photo_0009.jpg	0009	6,5	02/05/11	TR1	Zone 1, Tranchée 1, vue vers le Nord-Est	M. Rué
OA9785_STM11_photo_0010.jpg	0010	6,2	02/05/11	TR1	Zone 1, Tranchée 1, vue vers le Sud-Est	M. Rué
OA9785_STM11_photo_0011.jpg	0011	6,3	02/05/11	CP1-2	Zone 1, Tranchée 1, Coupe 1, Log 2, détail UPS 3	M. Rué
OA9785_STM11_photo_0012.jpg	0012	6,1	02/05/11	CP1-2	Zone 1, Tranchée 1, vue vers le Nord-Est	M. Rué
OA9785_STM11_photo_0013.jpg	0013	6,3	02/05/11	CP1-2	Zone 1, Tranchée 1, vue vers le Sud-Est	M. Rué
OA9785_STM11_photo_0014.jpg	0014	6,6	02/05/11	CP1-3	Zone 1, Tranchée 1, Coupe 1, Log 3, détail UPS 3	M. Rué
OA9785_STM11_photo_0015.jpg	0015	6,5	02/05/11	CP1-3	Zone 1, Tranchée 1, Coupe 1, Log 3, détail UPS 3	M. Rué
OA9785_STM11_photo_0016.jpg	0016	6,3	02/05/11	TR1	Zone 1, Tranchée 1, vue vers le Nord-Est	M. Rué
OA9785_STM11_photo_0017.jpg	0017	6,2	02/05/11	TR1	Zone 1, Tranchée 1, vue vers le Sud-Est	M. Rué
OA9785_STM11_photo_0018.jpg	0018	6,2	02/05/11	CP1-4	Zone 1, Tranchée 1, Coupe 1, Log 4, détail UPS 3	M. Rué
OA9785_STM11_photo_0019.jpg	0019	6,5	02/05/11	CP1-4	Zone 1, Tranchée 1, Coupe 1, Log 4, détail UPS 3	M. Rué
OA9785_STM11_photo_0020.jpg	0020	6,1	02/05/11	CP1-4	Zone 1, Tranchée 1, Coupe 1, Log 4, détail UPS 3	M. Rué
OA9785_STM11_photo_0021.jpg	0021	6,9	03/05/11		Zone 1 avant décapage	M. Remicourt
OA9785_STM11_photo_0022.jpg	0022	6,8	03/05/11		Zone 1 avant décapage	M. Remicourt
OA9785_STM11_photo_0023.jpg	0023	6,8	03/05/11		Zone 1 avant décapage	M. Remicourt
OA9785_STM11_photo_0024.jpg	0024	6,6	03/05/11		Zone 1 avant décapage	M. Remicourt
OA9785_STM11_photo_0025.jpg	0025	6,4	03/05/11	TR2	Zone 1, Tranchée 2, vue vers le Sud-Est	M. Rué
OA9785_STM11_photo_0026.jpg	0026	6,6	03/05/11	CP2-1	Zone 1, Tranchée 2, Coupe 2, Log 1, détail UPS 3	M. Rué
OA9785_STM11_photo_0027.jpg	0027	6,4	03/05/11	CP2-1	Zone 1, Tranchée 2, Coupe 2, Log 1, détail UPS 3	M. Rué
OA9785_STM11_photo_0028.jpg	0028	6,6	03/05/11	CP2-1	Zone 1, Tranchée 2, Coupe 2, Log 1, détail UPS 3	M. Rué
OA9785_STM11_photo_0029.jpg	0029	6,5	03/05/11	CP2-1	Zone 1, Tranchée 2, Coupe 2, Log 1, détail UPS 3	M. Rué
OA9785_STM11_photo_0030.jpg	0030	6,4	03/05/11	CP2-1	Zone 1, Tranchée 2, Coupe 2, Log 1, détail UPS 3	M. Rué
OA9785_STM11_photo_0031.jpg	0031	6,3	03/05/11	CP2-2	Zone 1, Tranchée 2, Coupe 2, Log 2, détail UPS 3	M. Rué
OA9785_STM11_photo_0032.jpg	0032	6,8	03/05/11	CP2-2	Zone 1, Tranchée 2, Coupe 2, Log 2, détail UPS 3	M. Rué
OA9785_STM11_photo_0033.jpg	0033	6,2	03/05/11	CP2-2	Zone 1, Tranchée 2, Coupe 2, Log 2, détail UPS 3	M. Rué
OA9785_STM11_photo_0034.jpg	0034	6,8	03/05/11	TR3	Zone 2, Tranchée 3, vue vers le Nord-Ouest	M. Rué
OA9785_STM11_photo_0035.jpg	0035	6,3	03/05/11	CP3-1	Zone 2, Tranchée 3, Coupe 3, Log 1, détail UPS 3	M. Rué
OA9785_STM11_photo_0036.jpg	0036	6,1	03/05/11	CP3-1	Zone 2, Tranchée 3, Coupe 3, Log 1, détail UPS 3	M. Rué
OA9785_STM11_photo_0037.jpg	0037	7,0	03/05/11	TR4	Zone 2, Tranchée 4, vue vers le Sud-Ouest	M. Rué
OA9785_STM11_photo_0038.jpg	0038	6,5	03/05/11	CP4-1	Zone 2, Tranchée 4, Coupe 4, Log 1, détail UPS 3	M. Rué
OA9785_STM11_photo_0039.jpg	0039	6,1	03/05/11	CP4-1	Zone 2, Tranchée 4, Coupe 4, Log 1, détail UPS 3	M. Rué
OA9785_STM11_photo_0040.jpg	0040	6,7	03/05/11	TR4	Zone 2, Tranchée 4, vue vers le Nord-Ouest	M. Rué
OA9785_STM11_photo_0041.jpg	0041	6,7	03/05/11	CP4-2	Zone 2, Tranchée 4, Coupe 4, Log 2, détail UPS 3	M. Rué

Annexe 8 - Le Clos de Roque, Saint-Maximin-la-Sainte-Baume (83). Inventaire des photographies numériques.

Identifiant	n° cliché	taille (Mo)	date	Structure/Anomalie	Description	Auteur
OA9785_STM11_photo_0042.jpg	0042	6,1	03/05/11	CP4-2	Zone 2, Tranchée 4, Coupe 4, Log 2, détail UPS 3	M. Rué
OA9785_STM11_photo_0043.jpg	0043	7,1	03/05/11	TR4	Zone 2, Tranchée 4, vue vers le Nord-Ouest	M. Rué
OA9785_STM11_photo_0044.jpg	0044	6,5	03/05/11	CP4-3	Zone 2, Tranchée 4, Coupe 4, Log 3, détail UPS 3	M. Rué
OA9785_STM11_photo_0045.jpg	0045	6,2	03/05/11	CP4-3	Zone 2, Tranchée 4, Coupe 4, Log 3, détail UPS 3	M. Rué
OA9785_STM11_photo_0046.jpg	0046	6,6	03/05/11	TR4	Zone 2, Tranchée 4, vue vers le Nord-Ouest	M. Rué
OA9785_STM11_photo_0047.jpg	0047	6,5	03/05/11	CP4-4	Zone 2, Tranchée 4, Coupe 4, Log 4, détail UPS 3	M. Rué
OA9785_STM11_photo_0048.jpg	0048	6,4	03/05/11	CP4-4	Zone 2, Tranchée 4, Coupe 4, Log 4, détail UPS 3	M. Rué
OA9785_STM11_photo_0049.jpg	0049	6,4	03/05/11	TR5	Zone 2, Tranchée 5, vue vers le Nord-Est	M. Rué
OA9785_STM11_photo_0050.jpg	0050	6,7	03/05/11	CP5-1	Zone 2, Tranchée 5, Coupe 5, Log 1, détail UPS 3	M. Rué
OA9785_STM11_photo_0051.jpg	0051	6,6	03/05/11	CP5-1	Zone 2, Tranchée 5, Coupe 5, Log 1, détail UPS 3	M. Rué
OA9785_STM11_photo_0052.jpg	0052	6,6	03/05/11	CP6-1	Zone 2, Tranchée 6, Coupe 6, Log 1, détail UPS 3	M. Rué
OA9785_STM11_photo_0053.jpg	0053	6,7	03/05/11	CP6-1	Zone 2, Tranchée 6, Coupe 6, Log 1, détail UPS 3	M. Rué
OA9785_STM11_photo_0054.jpg	0054	7,2	03/05/11	CP6-1	Zone 2, Tranchée 6, Coupe 6, Log 1, détail UPS 3	M. Rué
OA9785_STM11_photo_0055.jpg	0055	6,1	03/05/11	CP6-1	Zone 2, Tranchée 6, Coupe 6, Log 1, détail UPS 3	M. Rué
OA9785_STM11_photo_0056.jpg	0056	6,7	03/05/11	CP6-1	Zone 2, Tranchée 6, Coupe 6, Log 1, détail UPS 3	M. Rué
OA9785_STM11_photo_0057.jpg	0057	6,1	03/05/11	TR6	Zone 2, Tranchée 6, vue vers le Nord-Est	M. Rué
OA9785_STM11_photo_0058.jpg	0058	6,6	04/05/11		Zone 1 avant décapage	M. Remicourt
OA9785_STM11_photo_0059.jpg	0059	6,5	04/05/11	TR7	Zone 2, Tranchée 7, vue vers le Nord-Est	M. Rué
OA9785_STM11_photo_0060.jpg	0060	6,6	04/05/11	CP7-1	Zone 2, Tranchée 7, Coupe 7, Log 1, détail UPS 3	M. Rué
OA9785_STM11_photo_0061.jpg	0061	6,4	04/05/11	CP7-1	Zone 2, Tranchée 7, Coupe 7, Log 1, détail UPS 3	M. Rué
OA9785_STM11_photo_0062.jpg	0062	6,4	04/05/11	CP7-1	Zone 2, Tranchée 7, Coupe 7, Log 1, détail UPS 3	M. Rué
OA9785_STM11_photo_0063.jpg	0063	6,5	05/05/11		Zone d'entreposage des déblais	M. Remicourt
OA9785_STM11_photo_0064.jpg	0064	6,8	05/05/11		Zone d'entreposage des déblais	M. Remicourt
OA9785_STM11_photo_0065.jpg	0065	6,7	05/05/11		Zone 1, en partie décapée	M. Remicourt
OA9785_STM11_photo_0066.jpg	0066	6,9	05/05/11		Zone 1, en partie décapée	M. Remicourt
OA9785_STM11_photo_0067.jpg	0067	6,7	05/05/11		Zone 1, en partie décapée	M. Remicourt
OA9785_STM11_photo_0068.jpg	0068	6,3	05/05/11		Zone 1, en partie décapée	M. Remicourt
OA9785_STM11_photo_0069.jpg	0069	6,7	05/05/11		Zone intermédiaire entre la zone 1 et 2	M. Remicourt
OA9785_STM11_photo_0070.jpg	0070	6,2	05/05/11		Zone 2, en partie décapée	M. Remicourt
OA9785_STM11_photo_0071.jpg	0071	6,3	05/05/11		Zone 2, en partie décapée	M. Remicourt
OA9785_STM11_photo_0072.jpg	0072	6,5	05/05/11		Zone 2, en partie décapée, traces de labours profonds	M. Remicourt
OA9785_STM11_photo_0073.jpg	0073	6,4	05/05/11		Zone 2, en partie décapée, traces de labours profonds	M. Remicourt
OA9785_STM11_photo_0074.jpg	0074	6,4	05/05/11		Zone 2, en partie décapée, traces de labours profonds	M. Remicourt
OA9785_STM11_photo_0075.jpg	0075	6,6	05/05/11		Zone 1, en partie décapée	M. Rué
OA9785_STM11_photo_0076.jpg	0076	6,4	05/05/11		Zone 1, en partie décapée	M. Rué
OA9785_STM11_photo_0077.jpg	0077	6,4	05/05/11		autoroute A8	M. Rué
OA9785_STM11_photo_0078.jpg	0078	6,2	05/05/11		autoroute A8	M. Rué
OA9785_STM11_photo_0079.jpg	0079	6,8	05/05/11		Platane centenaire à proximité du site	M. Rué
OA9785_STM11_photo_0080.jpg	0080	6,4	05/05/11		Platane centenaire à proximité du site	M. Rué
OA9785_STM11_photo_0081.jpg	0081	6,6	05/05/11		Zone 2, en partie décapée	M. Rué
OA9785_STM11_photo_0082.jpg	0082	6,2	05/05/11		Zone 2, en partie décapée	M. Rué

Annexe 8 - Le Clos de Roque, Saint-Maximin-la-Sainte-Baume (83). Inventaire des photographies numériques.

Identifiant	n° cliché	taille (Mo)	date	Structure/Anomalie	Description	Auteur
OA9785_STM11_photo_0083.jpg	0083	6,6	05/05/11	CP2-1	Zone 1, Tranchée 2, Coupe 2, Log 1, détail UPS 3	M. Rué
OA9785_STM11_photo_0084.jpg	0084	6,7	05/05/11	TR4	Zone 2, Tranchée 4, vue vers le Sud-Ouest	M. Rué
OA9785_STM11_photo_0085.jpg	0085	6,6	05/05/11	CP4-1	Zone 2, Tranchée 4, Coupe 4, Log 1, détail UPS 3	M. Rué
OA9785_STM11_photo_0086.jpg	0086	6,7	09/05/11		Zone 2, décapage mécanique	M. Remicourt
OA9785_STM11_photo_0087.jpg	0087	6,2	09/05/11		Zone 2, décapage mécanique	M. Remicourt
OA9785_STM11_photo_0088.jpg	0088	6,4	09/05/11		Zone 2, décapage mécanique	M. Remicourt
OA9785_STM11_photo_0089.jpg	0089	6,8	09/05/11		Zone 2, décapage mécanique	M. Remicourt
OA9785_STM11_photo_0090.jpg	0090	7,0	09/05/11		Zone 2, décapage mécanique	M. Remicourt
OA9785_STM11_photo_0091.jpg	0091	6,4	09/05/11		Zone 2, décapage mécanique	M. Remicourt
OA9785_STM11_photo_0092.jpg	0092	6,5	09/05/11		Zone 2, décapage mécanique	M. Remicourt
OA9785_STM11_photo_0093.jpg	0093	6,6	09/05/11		Zone 2, décapage mécanique	M. Remicourt
OA9785_STM11_photo_0094.jpg	0094	6,6	10/05/11	ST2012/ST2013	Zone 2, ST2012 et ST2013, après nettoyage, vue vers le Nord	M. Remicourt
OA9785_STM11_photo_0095.jpg	0095	6,3	10/05/11	ST2013	Zone 2, ST2013, après nettoyage, vue vers l'est	M. Remicourt
OA9785_STM11_photo_0096.jpg	0096	6,7	10/05/11	ST2013	Zone 2, ST2013, après nettoyage, vue vers l'est	M. Remicourt
OA9785_STM11_photo_0097.jpg	0097	6,4	10/05/11	ST2012	Zone 2, ST2012, après nettoyage, vue vers l'ouest	M. Remicourt
OA9785_STM11_photo_0098.jpg	0098	6,1	10/05/11	ST2012	Zone 2, ST2012, après nettoyage, vue vers l'ouest	M. Remicourt
OA9785_STM11_photo_0099.jpg	0099	6,1	10/05/11	ST2012	Zone 2, ST2012, après nettoyage, vue vers l'ouest	M. Remicourt
OA9785_STM11_photo_0100.jpg	0100	6,8	10/05/11		Zone 2, en partie décapée	M. Remicourt
OA9785_STM11_photo_0101.jpg	0101	6,1	10/05/11	ST2013	Zone 2, ST2013, après décapage 1, vue vers l'est	M. Remicourt
OA9785_STM11_photo_0102.jpg	0102	6,3	10/05/11	ST2013	Zone 2, ST2013, après décapage 1, vue vers l'est	M. Remicourt
OA9785_STM11_photo_0103.jpg	0103	6,5	10/05/11	ST2012/ST2013	Zone 2, ST2012 et ST2013, après nettoyage, vue vers le Nord	M. Remicourt
OA9785_STM11_photo_0104.jpg	0104	6,4	10/05/11	ST2013	Zone 2, ST2013, après décapage 1, vue vers l'est	M. Remicourt
OA9785_STM11_photo_0105.jpg	0105	6,1	10/05/11	ST2013	Zone 2, ST2013, après décapage 1, vue vers l'est	M. Remicourt
OA9785_STM11_photo_0106.jpg	0106	6,1	10/05/11	ST2012/ST2013	Zone 2, ST2012 et ST2013, après nettoyage, vue vers le Nord	M. Remicourt
OA9785_STM11_photo_0107.jpg	0107	6,1	10/05/11	ST2012	Zone 2, ST2012, après décapage 1, vue vers l'ouest	M. Remicourt
OA9785_STM11_photo_0108.jpg	0108	6,2	10/05/11	ST2012	Zone 2, ST2012, après décapage 1, vue vers l'ouest	M. Remicourt
OA9785_STM11_photo_0109.jpg	0109	6,6	10/05/11	ST2012	Zone 2, ST2012, après décapage 1, vue vers l'ouest	M. Remicourt
OA9785_STM11_photo_0110.jpg	0110	6,4	10/05/11	ST2012	Zone 2, ST2012, après décapage 1, vue vers l'ouest	M. Remicourt
OA9785_STM11_photo_0111.jpg	0111	6,2	10/05/11	ST2013	Zone 2, ST2013, après décapage 1, vue vers l'est	M. Remicourt
OA9785_STM11_photo_0112.jpg	0112	6,3	10/05/11	ST2013	Zone 2, ST2013, après décapage 1, vue vers l'est	M. Remicourt
OA9785_STM11_photo_0113.jpg	0113	6,3	11/05/11		Zone 2, décapage mécanique	M. Remicourt
OA9785_STM11_photo_0114.jpg	0114	6,4	11/05/11		Zone 2, décapage mécanique	M. Remicourt
OA9785_STM11_photo_0115.jpg	0115	6,8	11/05/11		Zone 2, décapage mécanique	M. Remicourt
OA9785_STM11_photo_0116.jpg	0116	6,0	11/05/11		Zone 2, décapage mécanique	M. Remicourt
OA9785_STM11_photo_0117.jpg	0117	5,8	11/05/11		Zone 2, décapage mécanique	M. Remicourt
OA9785_STM11_photo_0118.jpg	0118	6,5	11/05/11		Zone 2, décapage mécanique	M. Remicourt
OA9785_STM11_photo_0119.jpg	0119	6,6	11/05/11		Zone 2, décapage mécanique	M. Remicourt
OA9785_STM11_photo_0120.jpg	0120	6,2	11/05/11		Zone 2, décapage mécanique	M. Remicourt
OA9785_STM11_photo_0121.jpg	0121	6,9	11/05/11	K8	Trous de poteau secteur K8	M. Remicourt
OA9785_STM11_photo_0122.jpg	0122	6,2	11/05/11	K8	Trous de poteau secteur K8	M. Remicourt
OA9785_STM11_photo_0123.jpg	0123	6,5	12/05/11		Zone 2, décapage mécanique	M. Remicourt

Annexe 8 - Le Clos de Roque, Saint-Maximin-la-Sainte-Baume (83). Inventaire des photographies numériques.

Identifiant	n° cliché	taille (Mo)	date	Structure/A normalie	Description	Auteur
OA9785_STM11_photo_0124.jpg	0124	6,5	12/05/11		Zone 2, décapage mécanique	M. Remicourt
OA9785_STM11_photo_0125.jpg	0125	6,9	12/05/11		Zone 2, décapage mécanique	M. Remicourt
OA9785_STM11_photo_0126.jpg	0126	6,6	12/05/11		Zone 2, décapage mécanique	M. Remicourt
OA9785_STM11_photo_0127.jpg	0127	7,0	13/05/11	Dec Mec	Zone 2, décapage mécanique en cours dans la brume, vue vers le Sud	M. Remicourt
OA9785_STM11_photo_0128.jpg	0128	6,9	13/05/11	Dec Mec	Zone 2, après le décapage mécanique, vue vers le Nord-Est	M. Remicourt
OA9785_STM11_photo_0129.jpg	0129	6,5	13/05/11	Dec Mec	Zone 2, après le décapage mécanique, vue vers le Nord-Est	M. Remicourt
OA9785_STM11_photo_0130.jpg	0130	6,7	16/05/11	ST2013	Zone 2, ST2013, après nettoyage, vue vers le Nord	M. Remicourt
OA9785_STM11_photo_0131.jpg	0131	6,6	16/05/11	ST2012	Zone 2, ST2012, après nettoyage, vue vers le Nord	M. Remicourt
OA9785_STM11_photo_0132.jpg	0132	8,7	16/05/11	ST2145	Zone 2, ST2145, après nettoyage, vue vers le Nord	M. Remicourt
OA9785_STM11_photo_0133.jpg	0133	6,4	16/05/11	ST2145	Zone 2, ST2145, après nettoyage, vue vers le Nord	M. Remicourt
OA9785_STM11_photo_0134.jpg	0134	6,6	16/05/11	ST2144	Zone 2, ST2144, après nettoyage, vue vers le Nord	M. Remicourt
OA9785_STM11_photo_0135.jpg	0135	6,7	16/05/11	ST2144	Zone 2, ST2144, après nettoyage, vue vers le Nord	M. Remicourt
OA9785_STM11_photo_0136.jpg	0136	6,6	16/05/11	ST2142	Zone 2, ST2142, après nettoyage, vue vers le Nord	M. Remicourt
OA9785_STM11_photo_0137.jpg	0137	6,2	16/05/11	ST2142	Zone 2, ST2142, après nettoyage, vue vers le Nord	M. Remicourt
OA9785_STM11_photo_0138.jpg	0138	6,7	16/05/11	ST2096	Zone 2, ST2096, après nettoyage, vue vers le Nord	M. Remicourt
OA9785_STM11_photo_0139.jpg	0139	6,2	16/05/11	ST2096	Zone 2, ST2096, après nettoyage, vue vers le Nord	M. Remicourt
OA9785_STM11_photo_0140.jpg	0140	6,2	16/05/11	ST2096	Zone 2, ST2096, après nettoyage, vue vers le Nord	M. Remicourt
OA9785_STM11_photo_0141.jpg	0141	6,8	17/05/11	ST2144	Zone 2, ST2144, coupe Est-Ouest, vue vers le Nord	M. Remicourt
OA9785_STM11_photo_0142.jpg	0142	7,1	17/05/11	Ambiance	Zone 2, ST2145 en cours de fouille (M. G.)	M. Remicourt
OA9785_STM11_photo_0143.jpg	0143	6,4	17/05/11	ST2013	Zone 2, ST2013, coupe Est-Ouest, vue vers le Nord	M. Remicourt
OA9785_STM11_photo_0144.jpg	0144	6,3	17/05/11	ST2142	Zone 2, ST2142, coupe Est-Ouest, vue vers le Nord	M. Remicourt
OA9785_STM11_photo_0145.jpg	0145	6,7	17/05/11	ST2145	Zone 2, ST2145, coupe Est-Ouest, vue vers le Nord	M. Remicourt
OA9785_STM11_photo_0146.jpg	0146	6,4	17/05/11	ST2012	Zone 2, ST2012, coupe Est-Ouest, vue vers le Sud	M. Remicourt
OA9785_STM11_photo_0147.jpg	0147	6,9	17/05/11	ST2142	Zone 2, ST2142, après fouille, vue vers le Nord	M. Remicourt
OA9785_STM11_photo_0148.jpg	0148	6,4	17/05/11	ST2143	Zone 2, ST2143, après nettoyage, vue vers le Nord	M. Remicourt
OA9785_STM11_photo_0149.jpg	0149	6,8	17/05/11	Ambiance	Zone 2, ST2096, en cours de fouille, vue vers le Nord (M. G., M. O.)	M. Remicourt
OA9785_STM11_photo_0150.jpg	0150	6,6	17/05/11	Ambiance	Zone 2, ST2096, en cours de fouille, vue vers le Nord (J. R.)	M. Remicourt
OA9785_STM11_photo_0151.jpg	0151	6,5	17/05/11	ST2145	Zone 2, ST2145, après fouille, vue vers le Nord	M. Remicourt
OA9785_STM11_photo_0152.jpg	0152	6,8	17/05/11	ST2139	Zone 2, ST2139, après nettoyage, vue vers le Nord	M. Remicourt
OA9785_STM11_photo_0153.jpg	0153	6,5	17/05/11	ST2139	Zone 2, ST2139, coupe Est-Ouest, vue vers le Nord	M. Remicourt
OA9785_STM11_photo_0154.jpg	0154	6,4	17/05/11	ST2143	Zone 2, ST2143, coupe Est-Ouest, vue vers le Nord	M. Remicourt
OA9785_STM11_photo_0155.jpg	0155	6,7	17/05/11	ST2144	Zone 2, ST2144, après fouille, vue vers le Nord	M. Remicourt
OA9785_STM11_photo_0156.jpg	0156	6,5	18/05/11	ST2139	Zone 2, ST2139, après fouille, vue vers le Nord	M. Remicourt
OA9785_STM11_photo_0157.jpg	0157	6,3	18/05/11	ST2140	Zone 2, ST2140, après nettoyage, vue vers le Nord	M. Remicourt
OA9785_STM11_photo_0158.jpg	0158	6,4	18/05/11	Ambiance	Zone 2 en cours de fouille	M. Remicourt
OA9785_STM11_photo_0159.jpg	0159	6,6	18/05/11	ST2140	Zone 2, ST2140, coupe Est-Ouest, vue vers le Sud	M. Remicourt
OA9785_STM11_photo_0160.jpg	0160	6,4	18/05/11	ST2140	Zone 2, ST2140, après fouille, vue vers le Nord	M. Remicourt
OA9785_STM11_photo_0161.jpg	0161	6,4	18/05/11	ST2143	Zone 2, ST2143, après fouille, vue vers le Nord	M. Remicourt
OA9785_STM11_photo_0162.jpg	0162	6,4	18/05/11	ST2141	Zone 2, ST2141, après nettoyage, vue vers le Nord	M. Remicourt
OA9785_STM11_photo_0163.jpg	0163	6,5	18/05/11	ST2138	Zone 2, ST2138, après nettoyage, vue vers le Nord	M. Remicourt
OA9785_STM11_photo_0164.jpg	0164	6,8	18/05/11	ST2146	Zone 2, ST2146, après nettoyage, vue vers le Nord	M. Remicourt

Annexe 8 - Le Clos de Roque, Saint-Maximin-la-Sainte-Baume (83). Inventaire des photographies numériques.



Identifiant	n° cliché	taille (Mo)	date	Structure/A normale	Description	Auteur
OA9785_STM11_photo_0165.jpg	0165	6,6	18/05/11	Ambiance	Zone 2, ST2096, US1, quart Sud-Ouest, squelette de chien en cours de fouille, détail du crâne (M. G.)	M. Remicourt
OA9785_STM11_photo_0166.jpg	0166	6,3	19/05/11	ST2096	Zone 2, ST2096, US1, quart Nord-Est, base du Dec 1, vue vers l'Est	M. Remicourt
OA9785_STM11_photo_0167.jpg	0167	6,6	19/05/11	ST2141	Zone 2, ST2141, coupe Est-Ouest, vue vers le Sud	M. Remicourt
OA9785_STM11_photo_0168.jpg	0168	6,6	19/05/11	ST2138	Zone 2, ST2138, coupe Est-Ouest, vue vers le Nord	M. Remicourt
OA9785_STM11_photo_0169.jpg	0169	6,8	19/05/11	Ambiance	Zone 2, ST2096, en cours de fouille (M. G., A. B., M. O., J. R.)	M. Remicourt
OA9785_STM11_photo_0170.jpg	0170	6,1	19/05/11	Ambiance	Zone 2, ST2096, US1, quart Sud-Ouest, squelette de chien en cours de fouille (M. G., A. B.)	M. Remicourt
OA9785_STM11_photo_0171.jpg	0171	6,6	19/05/11	ST2156	Zone 2, ST2156, après nettoyage, vue vers le Nord	M. Remicourt
OA9785_STM11_photo_0172.jpg	0172	6,6	19/05/11	ST2096	Zone 2, ST2096, US1 et US2, quart Sud-Ouest, base du Dec 1, vue vers l'Ouest	M. Remicourt
OA9785_STM11_photo_0173.jpg	0173	6,6	19/05/11	ST2141	Zone 2, ST2141, après fouille, vue vers le Nord	M. Remicourt
OA9785_STM11_photo_0174.jpg	0174	6,6	19/05/11	Ambiance	Tamisage des sédiments (F. C.)	M. Remicourt
OA9785_STM11_photo_0175.jpg	0175	6,6	19/05/11	ST2146	Zone 2, ST2146, coupe Est-Ouest, en cours de fouille, vue vers le Nord	M. Remicourt
OA9785_STM11_photo_0176.jpg	0176	6,5	19/05/11	ST2147	Zone 2, ST2147, après nettoyage, vue vers le Nord	M. Remicourt
OA9785_STM11_photo_0177.jpg	0177	6,4	19/05/11	ST2096	Zone 2, ST2096, US1, quart Sud-Ouest, squelette chien, vue vers le Nord	M. Remicourt
OA9785_STM11_photo_0178.jpg	0178	6,3	19/05/11	ST2096	Zone 2, ST2096, US1, quart Sud-Ouest, squelette chien, vue vers le Nord	M. Remicourt
OA9785_STM11_photo_0179.jpg	0179	6,4	19/05/11	ST2096	Zone 2, ST2096, US1, quart Sud-Ouest, squelette chien, vue vers le Nord	M. Remicourt
OA9785_STM11_photo_0180.jpg	0180	6,7	19/05/11	ST2096	Zone 2, ST2096, US1, quart Sud-Ouest, détail squelette chien, vue vers le Nord	M. Remicourt
OA9785_STM11_photo_0181.jpg	0181	6,8	19/05/11	ST2096	Zone 2, ST2096, US1, quart Sud-Ouest, détail squelette chien, vue vers le Nord	M. Remicourt
OA9785_STM11_photo_0182.jpg	0182	6,4	19/05/11	ST2096	Zone 2, ST2096, US1, quart Sud-Ouest, squelette chien, vue vers l'Est	M. Remicourt
OA9785_STM11_photo_0183.jpg	0183	6,5	19/05/11	ST2146	Zone 2, ST2146, après fouille, vue vers le Nord	M. Remicourt
OA9785_STM11_photo_0184.jpg	0184	6,6	19/05/11	Ambiance	Zone 2, ST2096, US1, quart Sud-Ouest, démontage squelette chien (M. G., A. B.)	M. Remicourt
OA9785_STM11_photo_0185.jpg	0185	6,7	19/05/11	Ambiance	Zone 2, ST2096, en cours de fouille (M. O., J. R.)	M. Remicourt
OA9785_STM11_photo_0186.jpg	0186	6,5	19/05/11	Ambiance	Zone 2, ST2096, en cours de fouille (B. P., M. G., A. B., J. R.)	M. Remicourt
OA9785_STM11_photo_0187.jpg	0187	6,3	19/05/11	ST2147	Zone 2, ST2147, coupe Est-Ouest, vue vers le Sud	M. Remicourt
OA9785_STM11_photo_0188.jpg	0188	6,6	19/05/11	ST2138	Zone 2, ST2138, après fouille, vue vers le Nord	M. Remicourt
OA9785_STM11_photo_0189.jpg	0189	6,6	19/05/11	ST2096	Zone 2, ST2096, US1, quart Nord-Est, base du Dec 2, vue vers l'Ouest	M. Remicourt
OA9785_STM11_photo_0190.jpg	0190	6,9	19/05/11	ST2147	Zone 2, ST2147, après fouille, vue vers le Nord	M. Remicourt
OA9785_STM11_photo_0191.jpg	0191	6,4	23/05/11	ST2096	Zone 2, ST2096, US1, quart Nord-Est, base du Dec 3, vue vers l'Ouest	M. Remicourt
OA9785_STM11_photo_0192.jpg	0192	6,4	23/05/11	ST2259	Zone 2, ST 2259, moitié Nord, après nettoyage, vue vers l'Ouest	M. Remicourt
OA9785_STM11_photo_0193.jpg	0193	6,6	23/05/11	ST2154	Zone 2, ST2154, après nettoyage, vue vers l'Ouest	M. Remicourt
OA9785_STM11_photo_0194.jpg	0194	6,5	23/05/11	ST2154	Zone 2, ST2154, après nettoyage, vue vers l'Ouest, détail	M. Remicourt
OA9785_STM11_photo_0195.jpg	0195	6,4	23/05/11	ST2154	Zone 2, ST2154, après nettoyage, vue vers l'Ouest, détail	M. Remicourt
OA9785_STM11_photo_0196.jpg	0196	6,3	23/05/11	ST2154	Zone 2, ST2154, après nettoyage, vue vers l'Ouest, détail	M. Remicourt
OA9785_STM11_photo_0197.jpg	0197	6,6	23/05/11	ST2154	Zone 2, ST2154, après nettoyage, vue vers l'Ouest, détail	M. Remicourt
OA9785_STM11_photo_0198.jpg	0198	6,4	23/05/11	ST2253	Zone 2, ST2253, après nettoyage, vue vers le Nord	M. Remicourt
OA9785_STM11_photo_0199.jpg	0199	6,6	23/05/11	ST2096	Zone 2, ST2096, US1 et 2, quart Sud-Ouest, base du Dec 2, vue vers l'Est	M. Remicourt
OA9785_STM11_photo_0200.jpg	0200	6,4	23/05/11	ST2096	Zone 2, ST2096, US1 et 2, quart Sud-Ouest, base du Dec 2, vue vers l'Est, détail épandage tessons dans US2	M. Remicourt
OA9785_STM11_photo_0201.jpg	0201	6,6	23/05/11	ST2253	Zone 2, ST2253, coupe Est-Ouest, vue vers le Nord	M. Remicourt
OA9785_STM11_photo_0202.jpg	0202	6,5	23/05/11	ST2253	Zone 2, ST2253, après fouille, vue vers le Nord	M. Remicourt
OA9785_STM11_photo_0203.jpg	0203	6,5	24/05/11	ST2154	Zone 2, ST2154, coupe AB Est-Ouest tranchée, vue vers le Nord	M. Remicourt
OA9785_STM11_photo_0204.jpg	0204	6,5	24/05/11	ST2154	Zone 2, ST2154, coupe CD Est-Ouest tranchée, vue vers le Sud	M. Remicourt
OA9785_STM11_photo_0205.jpg	0205	6,6	24/05/11	ST2096	Zone 2, ST2096, US1 et 2, quart Sud-Ouest, base du Dec 3, vue vers l'Est	M. Remicourt

Annexe 8 - Le Clos de Roque, Saint-Maximin-la-Sainte-Baume (83). Inventaire des photographies numériques.

Identifiant	n° cliché	taille (Mo)	date	Structure/A normalie	Description	Auteur
OA9785_STM11_photo_0206.jpg	0206	6,7	24/05/11	ST2096	Zone 2, ST2096, US1 et 4, quart Nord-Est, base du Dec 4, vue vers l'Ouest	M. Remicourt
OA9785_STM11_photo_0207.jpg	0207	6,6	24/05/11	ST2258	Zone 2, ST2258 dans tranchée ST2154, avant fouille vue vers le Nord	M. Remicourt
OA9785_STM11_photo_0208.jpg	0208	5,9	24/05/11	ST2260	Zone 2, ST2260 dans tranchée ST2154, avant fouille vue vers le Nord	M. Remicourt
OA9785_STM11_photo_0209.jpg	0209	6,7	24/05/11	ST2261	Zone 2, ST22261, après nettoyage, vue vers le Nord	M. Remicourt
OA9785_STM11_photo_0210.jpg	0210	6,5	24/05/11	ST2262	Zone 2, ST2262, après nettoyage, vue vers le Nord	M. Remicourt
OA9785_STM11_photo_0211.jpg	0211	6,4	24/05/11	ST2264	Zone 2, ST2264, après nettoyage, vue vers l'Est	M. Remicourt
OA9785_STM11_photo_0212.jpg	0212	6,8	24/05/11	ST2264	Zone 2, ST2264, après nettoyage, vue vers l'Est, détail	M. Remicourt
OA9785_STM11_photo_0213.jpg	0213	6,5	24/05/11	ST2264	Zone 2, ST2264, après nettoyage, vue vers l'Est, détail	M. Remicourt
OA9785_STM11_photo_0214.jpg	0214	6,4	24/05/11	ST2263	Zone 2, ST2263, après nettoyage, vue vers le Nord	M. Remicourt
OA9785_STM11_photo_0215.jpg	0215	6,9	24/05/11	ST2258	Zone 2, ST2258, coupe Est-Ouest, vue vers le Nord	M. Remicourt
OA9785_STM11_photo_0216.jpg	0216	5,7	24/05/11	ST2260	Zone 2, ST2260, coupe Est-Ouest, vue vers le Nord	M. Remicourt
OA9785_STM11_photo_0217.jpg	0217	6,3	24/05/11	ST2260	Zone 2, ST2260, coupe Est-Ouest, vue vers le Nord	M. Remicourt
OA9785_STM11_photo_0218.jpg	0218	6,8	24/05/11	ST2258	Zone 2, ST2258, après fouille, vue vers le Nord	M. Remicourt
OA9785_STM11_photo_0219.jpg	0219	6,6	24/05/11	ST2263	Zone 2, ST2263, coupe Est-Ouest, vue vers le Nord	M. Remicourt
OA9785_STM11_photo_0220.jpg	0220	6,8	24/05/11	ST2261	Zone 2, ST2261, coupe Est-Ouest, vue vers le Nord	M. Remicourt
OA9785_STM11_photo_0221.jpg	0221	6,8	24/05/11	ST2262	Zone 2, ST2262, coupe Est-Ouest, vue vers le Sud	M. Remicourt
OA9785_STM11_photo_0222.jpg	0222	6,5	24/05/11	ST2096	Zone 2, ST2096, US2, quart Sud-Ouest, Dec 4 en cours, vue vers l'Est, détail céramique PT1525	M. Remicourt
OA9785_STM11_photo_0223.jpg	0223	6,6	24/05/11	ST2263	Zone 2, ST2263, après fouille, vue vers le Nord	M. Remicourt
OA9785_STM11_photo_0224.jpg	0224	6,8	24/05/11	ST2263	Zone 2, ST2263, après fouille, détail tranchée latérale ST2155, vue vers l'Ouest	M. Remicourt
OA9785_STM11_photo_0225.jpg	0225	6,5	24/05/11	ST2263	Zone 2, ST2263, après fouille, détail tranchée latérale ST2155, vue vers l'Ouest	M. Remicourt
OA9785_STM11_photo_0226.jpg	0226	6,8	24/05/11	ST2154	Zone 2, ST2154, après fouille, vue vers l'Ouest	M. Remicourt
OA9785_STM11_photo_0227.jpg	0227	6,6	24/05/11	ST2096	Zone 2, ST2096, US1 et 4, quart Nord-Est, base du Dec 5, vue vers l'Ouest	M. Remicourt
OA9785_STM11_photo_0228.jpg	0228	6,5	24/05/11	ST2096	Zone 2, ST2096, US1 et 4, quart Nord-Est, base du Dec 5, vue vers le nord, détail paroi terre et bois, calage de poteau et nodule d'argile rouge	M. Remicourt
OA9785_STM11_photo_0229.jpg	0229	6,4	24/05/11	ST2096	Zone 2, ST2096, US1 et 4, quart Nord-Est, base du Dec 5, vue vers le nord, détail calage de poteau	M. Remicourt
OA9785_STM11_photo_0230.jpg	0230	6,5	24/05/11	ST2096	Zone 2, ST2096, US1 et 4, quart Nord-Est, base du Dec 5, vue vers le nord, détail paroi terre et bois et nodule d'argile rouge	M. Remicourt
OA9785_STM11_photo_0231.jpg	0231	6,7	25/05/11	ST2262	Zone 2, ST2262, après fouille, vue vers le Nord	M. Remicourt
OA9785_STM11_photo_0232.jpg	0232	6,5	25/05/11	ST2261	Zone 2, ST2261, après fouille, vue vers le Nord	M. Remicourt
OA9785_STM11_photo_0233.jpg	0233	6,5	25/05/11	ST2155	Zone 2, ST2155, après nettoyage, vue vers le Nord	M. Remicourt
OA9785_STM11_photo_0234.jpg	0234	7,0	25/05/11	ST2096	Zone 2, ST2096, US2 et 3, quart Sud-Ouest, Dec 4, vue vers l'Est,	M. Remicourt
OA9785_STM11_photo_0235.jpg	0235	6,4	25/05/11	ST2096	Zone 2, ST2096, US1 et 4, quart Nord-Est, base du Dec 5, vue vers le nord, détail calage de poteau	M. Remicourt
OA9785_STM11_photo_0236.jpg	0236	6,4	25/05/11	ST2124	Zone 2, ST2124, après nettoyage, vue vers le Nord	M. Remicourt
OA9785_STM11_photo_0237.jpg	0237	6,7	25/05/11	ST2156	Zone 2, ST2156, après fouille, vue vers le Nord	M. Remicourt
OA9785_STM11_photo_0238.jpg	0238	6,5	25/05/11	ST2096	Zone 2, ST2096, US2 et 3, quart Sud-Ouest, Dec 5, vue vers l'Est,	M. Remicourt
OA9785_STM11_photo_0239.jpg	0239	6,6	25/05/11	ST2155	Zone 2, ST2155, coupe Sud-Est-Nord-Ouest, vue vers le Sud	M. Remicourt
OA9785_STM11_photo_0240.jpg	0240	6,4	25/05/11	ST2155	Zone 2, ST2155, coupe Est-Ouest, vue vers le Nord	M. Remicourt
OA9785_STM11_photo_0241.jpg	0241	6,6	25/05/11	ST2124	Zone 2, ST2124, coupe Est-Ouest, vue vers le Sud	M. Remicourt
OA9785_STM11_photo_0242.jpg	0242	7,0	25/05/11	ST2125	Zone 2, ST2125, après nettoyage, vue vers le Nord	M. Remicourt
OA9785_STM11_photo_0243.jpg	0243	6,6	26/05/11	ST2129	Zone 2, ST2129, après nettoyage, vue vers le Nord	M. Remicourt
OA9785_STM11_photo_0244.jpg	0244	5,6	26/05/11	ST2124	Zone 2, ST2124, après fouille, vue vers le Nord	M. Remicourt
OA9785_STM11_photo_0245.jpg	0245	6,9	26/05/11	ST2264	Zone 2, ST2264, après fouille, vue vers l'Est, détail	M. Remicourt

Annexe 8 - Le Clos de Roque, Saint-Maximin-la-Sainte-Baume (83). Inventaire des photographies numériques.

Identifiant	n° cliché	taille (Mo)	date	Structure/Anomalie	Description	Auteur
OA9785_STM11_photo_0246.jpg	0246	6,6	26/05/11	ST2264	Zone 2, ST2264, après fouille, vue vers l'Est	M. Remicourt
OA9785_STM11_photo_0247.jpg	0247	6,4	26/05/11	ST2123	Zone 2, ST 2123, après nettoyage, vue vers le Nord	M. Remicourt
OA9785_STM11_photo_0248.jpg	0248	6,6	26/05/11	ST2125	Zone 2, ST2125, coupe Est-Ouest, vue vers le Sud	M. Remicourt
OA9785_STM11_photo_0249.jpg	0249	6,4	26/05/11	ST2229	Zone 2, ST2229, après nettoyage, vue vers le Nord	M. Remicourt
OA9785_STM11_photo_0250.jpg	0250	6,7	26/05/11	ST2123	Zone 2, ST2123, coupe Est-Ouest, vue vers le Sud	M. Remicourt
OA9785_STM11_photo_0251.jpg	0251	6,4	26/05/11	ST2096	Zone 2, ST2096, US3 et 6, quart Sud-Ouest, Dec 6, vue vers l'Est	M. Remicourt
OA9785_STM11_photo_0252.jpg	0252	6,5	26/05/11	ST2096	Zone 2, ST2096, US3 et 6, quart Sud-Ouest, Dec 6, vue vers l'Est, détail	M. Remicourt
OA9785_STM11_photo_0253.jpg	0253	6,7	26/05/11	ST2096	Zone 2, ST2096, US3 et 6, quart Sud-Ouest, Dec 6, vue vers l'Est, détail	M. Remicourt
OA9785_STM11_photo_0254.jpg	0254	6,8	26/05/11	ST2096	Zone 2, ST2096, US3 et 6, quart Sud-Ouest, Dec 6, vue vers l'Est, détail	M. Remicourt
OA9785_STM11_photo_0255.jpg	0255	6,5	27/05/11	ST2125	Zone 2, ST2125, après fouille, vue vers le Nord	M. Remicourt
OA9785_STM11_photo_0256.jpg	0256	6,6	27/05/11	Ambiance	Zone 2, M. G. en cours de fouille	M. Remicourt
OA9785_STM11_photo_0257.jpg	0257	6,7	27/05/11	Ambiance	Zone 2, P. R. et A. F. en cours de fouille	M. Remicourt
OA9785_STM11_photo_0258.jpg	0258	6,5	27/05/11	ST2229	Zone 2, ST2229, coupe Est-Ouest, vue vers le Sud	M. Remicourt
OA9785_STM11_photo_0259.jpg	0259	6,3	27/05/11	ST2129	Zone 2, ST2129, coupe Est-Ouest, vue vers le Sud	M. Remicourt
OA9785_STM11_photo_0260.jpg	0260	6,6	27/05/11	ST2155	Zone 2, ST2155, après fouille, vue vers l'Est	M. Remicourt
OA9785_STM11_photo_0261.jpg	0261	6,6	27/05/11	ST2155	Zone 2, ST2155, après fouille, vue vers le Nord	M. Remicourt
OA9785_STM11_photo_0262.jpg	0262	6,6	27/05/11	ST2155	Zone 2, ST2155, après fouille, vue vers le Nord	M. Remicourt
OA9785_STM11_photo_0263.jpg	0263	6,6	27/05/11	ST2155	Zone 2, ST2155, après fouille, vue vers le Nord	M. Remicourt
OA9785_STM11_photo_0264.jpg	0264	6,4	27/05/11	ST2123	Zone 2, ST2123, après fouille, vue vers le Nord	M. Remicourt
OA9785_STM11_photo_0265.jpg	0265	5,9	27/05/11	Ambiance	B. P. en cours de déchargement	M. Remicourt
OA9785_STM11_photo_0266.jpg	0266	6,5	27/05/11	Ambiance	A. D. en cours de tamisage	M. Remicourt
OA9785_STM11_photo_0267.jpg	0267	6,4	27/05/11	ST2265	Zone 2, ST2265, après fouille, vue vers le Nord	M. Remicourt
OA9785_STM11_photo_0268.jpg	0268	6,7	30/05/11	ST2096	Zone 2, ST2096, US1 et 4, quart Nord-Est, base du Dec 6, vue vers l'Ouest	M. Remicourt
OA9785_STM11_photo_0269.jpg	0269	6,6	30/05/11	ST2096	Zone 2, ST2096, US1 et 4, quart Nord-Est, base du Dec 6, détail paroi interne, vue vers le Nord	M. Remicourt
OA9785_STM11_photo_0270.jpg	0270	6,8	30/05/11	ST2096	Zone 2, ST2096, US1 et 4, quart Nord-Est, base du Dec 6, détail calage de poteau, vue vers le Nord	M. Remicourt
OA9785_STM11_photo_0271.jpg	0271	6,6	30/05/11	ST2096	Zone 2, ST2096, US1 et 4, quart Nord-Est, base du Dec 6, détail paroi interne et calage de poteau, vue vers le Nord	M. Remicourt
OA9785_STM11_photo_0272.jpg	0272	6,8	30/05/11	ST2096	Zone 2, ST2096, US1 et 4, quart Nord-Est, base du Dec 6, détail paroi interne et calage de poteau, vue vers le Sud	M. Remicourt
OA9785_STM11_photo_0273.jpg	0273	6,5	30/05/11	ST2096	Zone 2, ST2096, US1 et 4, quart Nord-Est, base du Dec 6, détail paroi interne et calage de poteau, vue vers l'Ouest	M. Remicourt
OA9785_STM11_photo_0274.jpg	0274	6,4	30/05/11	ST2096	Zone 2, ST2096, US1 et 4, quart Nord-Est, base du Dec 6, détail paroi interne et calage de poteau, vue vers l'Ouest	M. Remicourt
OA9785_STM11_photo_0275.jpg	0275	6,7	30/05/11	ST2093	Zone 2, ST2093, après nettoyage, vue vers le Nord	M. Remicourt
OA9785_STM11_photo_0276.jpg	0276	6,8	30/05/11	ST2266	Zone 2, ST2266, après nettoyage, vue vers le Nord	M. Remicourt
OA9785_STM11_photo_0277.jpg	0277	6,4	30/05/11	ST2122	Zone 2, ST2122, après nettoyage, vue vers le Nord	M. Remicourt
OA9785_STM11_photo_0278.jpg	0278	6,7	30/05/11	ST2096	Zone 2, ST2096, US3 et 6, quart Sud-Ouest, Dec 7, vue vers l'Est	M. Remicourt
OA9785_STM11_photo_0279.jpg	0279	6,7	30/05/11	ST2096	Zone 2, ST2096, US3 et 6, quart Sud-Ouest, Dec 7, détail paroi, vue vers l'Est	M. Remicourt
OA9785_STM11_photo_0280.jpg	0280	6,8	30/05/11	ST2096	Zone 2, ST2096, US3 et 6, quart Sud-Ouest, Dec 7, détail paroi, vue vers le Nord	M. Remicourt
OA9785_STM11_photo_0281.jpg	0281	6,3	30/05/11	ST2096	Zone 2, ST2096, US3 et 6, quart Sud-Ouest, Dec 7, détail paroi, vue vers le Nord	M. Remicourt
OA9785_STM11_photo_0282.jpg	0282	6,3	30/05/11	ST2096	Zone 2, ST2096, US3 et 6, quart Sud-Ouest, Dec 7, détail paroi, vue vers le Nord	M. Remicourt
OA9785_STM11_photo_0283.jpg	0283	6,7	30/05/11	ST2096	Zone 2, ST2096, US3 et 6, quart Sud-Ouest, Dec 7, détail paroi, vue vers le Nord	M. Remicourt
OA9785_STM11_photo_0284.jpg	0284	6,4	30/05/11	ST2096	Zone 2, ST2096, US3 et 6, quart Sud-Ouest, Dec 7, détail paroi, vue vers l'Ouest	M. Remicourt
OA9785_STM11_photo_0285.jpg	0285	6,5	30/05/11	ST2096	Zone 2, ST2096, US3 et 6, quart Sud-Ouest, Dec 7, détail paroi, vue vers le Nord	M. Remicourt
OA9785_STM11_photo_0286.jpg	0286	6,3	30/05/11	ST2096	Zone 2, ST2096, US3 et 6, quart Sud-Ouest, Dec 7, détail paroi, vue vers l'Ouest	M. Remicourt

Annexe 8 - Le Clos de Roque, Saint-Maximin-la-Sainte-Baume (83). Inventaire des photographies numériques.

Identifiant	n° cliché	taille (Mo)	date	Structure/A normalie	Description	Auteur
OA9785_STM11_photo_0287.jpg	0287	6,5	31/05/11	ST2122	Zone 2, ST2122, coupe Est-Ouest, vue vers le Sud	M. Remicourt
OA9785_STM11_photo_0288.jpg	0288	6,5	31/05/11	ST2126	Zone 2, ST2126, après nettoyage, vue vers le Nord	M. Remicourt
OA9785_STM11_photo_0289.jpg	0289	6,8	31/05/11	ST2129	Zone 2, ST2129, après fouille, vue vers le Nord	M. Remicourt
OA9785_STM11_photo_0290.jpg	0290	6,6	31/05/11	ST2127	Zone 2, ST2127, après nettoyage, vue vers le Nord	M. Remicourt
OA9785_STM11_photo_0291.jpg	0291	6,4	31/05/11	ST2122	Zone 2, ST2122, après fouille, vue vers le Nord	M. Remicourt
OA9785_STM11_photo_0292.jpg	0292	6,7	31/05/11	ST2148	Zone 2, ST2148, après nettoyage, moitié nord, vue vers le Nord	M. Remicourt
OA9785_STM11_photo_0293.jpg	0293	6,6	31/05/11	ST2148	Zone 2, ST2148, après nettoyage, moitié nord, vue vers le Nord	M. Remicourt
OA9785_STM11_photo_0294.jpg	0294	6,9	31/05/11	ST2148	Zone 2, ST2148, après nettoyage, moitié sud, vue vers le Nord	M. Remicourt
OA9785_STM11_photo_0295.jpg	0295	6,5	31/05/11	ST2148	Zone 2, ST2148, après nettoyage, moitié sud, vue vers le Nord	M. Remicourt
OA9785_STM11_photo_0296.jpg	0296	6,4	31/05/11	BAT1	Zone 2, vue d'ensemble Sud-Ouest maison, après nettoyage, moitié sud, vue vers le Nord	M. Remicourt
OA9785_STM11_photo_0297.jpg	0297	6,7	31/05/11	BAT1	Zone 2, vue d'ensemble Sud-Ouest maison, après nettoyage, moitié sud, vue vers le Nord	M. Remicourt
OA9785_STM11_photo_0298.jpg	0298	6,5	31/05/11	BAT1	Zone 2, vue d'ensemble Sud-Ouest maison, après nettoyage, moitié sud, vue vers le Nord	M. Remicourt
OA9785_STM11_photo_0299.jpg	0299	6,6	31/05/11	ST2128	Zone 2, ST2128, après nettoyage, vue vers le Nord	M. Remicourt
OA9785_STM11_photo_0300.jpg	0300	6,4	31/05/11	ST2267	Zone 2, ST2267, après nettoyage, vue vers le Nord	M. Remicourt
OA9785_STM11_photo_0301.jpg	0301	6,5	31/05/11	ST2267	Zone 2, ST2267, après nettoyage, vue vers le Nord	M. Remicourt
OA9785_STM11_photo_0302.jpg	0302	6,4	31/05/11	ST2127	Zone 2, ST2127, coupe Nord-Sud, vue vers l'Est	M. Remicourt
OA9785_STM11_photo_0303.jpg	0303	6,8	31/05/11	ST2136	Zone 2, ST2136, après nettoyage, vue vers le Nord	M. Remicourt
OA9785_STM11_photo_0304.jpg	0304	6,1	31/05/11	ST2136	Zone 2, ST2136, après nettoyage, vue vers le l'ouest, détail section vase découpée au décapage mécanique	M. Remicourt
OA9785_STM11_photo_0305.jpg	0305	6,7	31/05/11	ST2128	Zone 2, ST2128, coupe Est-Ouest, vue vers le Sud	M. Remicourt
OA9785_STM11_photo_0306.jpg	0306	6,4	31/05/11	ST2126	Zone 2, ST2126, coupe Est-Ouest, vue vers le Nord	M. Remicourt
OA9785_STM11_photo_0307.jpg	0307	6,8	31/05/11	ST2127	Zone 2, ST2127, après fouille, vue vers le Nord	M. Remicourt
OA9785_STM11_photo_0308.jpg	0308	6,7	31/05/11	ST2267	Zone 2, ST2267, après fouille, vue vers le Nord	M. Remicourt
OA9785_STM11_photo_0309.jpg	0309	6,8	31/05/11	ST2267	Zone 2, ST2267, après fouille, vue vers le Nord	M. Remicourt
OA9785_STM11_photo_0310.jpg	0310	6,5	31/05/11	Ambiance	Zone 2, A. F. en cours de déplacement	M. Remicourt
OA9785_STM11_photo_0311.jpg	0311	6,4	31/05/11	Ambiance	Zone 2, A. D. en cours de fouille	M. Remicourt
OA9785_STM11_photo_0312.jpg	0312	6,6	31/05/11	Ambiance	Zone 2, T. S. en cours de marquage	M. Remicourt
OA9785_STM11_photo_0313.jpg	0313	6,5	31/05/11	Ambiance	Zone 2, P. R. en cours de déplacement	M. Remicourt
OA9785_STM11_photo_0314.jpg	0314	6,5	31/05/11	Ambiance	Zone 2, ST2136, vase en cours de fouille	M. Remicourt
OA9785_STM11_photo_0315.jpg	0315	6,4	31/05/11	ST2130	Zone 2, ST 2130, après nettoyage, vue vers le Nord	M. Remicourt
OA9785_STM11_photo_0316.jpg	0316	6,4	31/05/11	ST2093	Zone 2, ST 2093, moitié Sud, base du Dec 2, vue vers le Nord	M. Remicourt
OA9785_STM11_photo_0317.jpg	0317	6,4	31/05/11	ST2128	Zone 2, ST2128, après fouille, vue vers le Nord	M. Remicourt
OA9785_STM11_photo_0318.jpg	0318	6,4	31/05/11	ST2136	Zone 2, ST2136, après décapage manuel, première phase démontage vase, vue vers le Nord	M. Remicourt
OA9785_STM11_photo_0319.jpg	0319	6,5	31/05/11	ST2136	Zone 2, ST2136, après décapage manuel, première phase, vue vers l'Ouest	M. Remicourt
OA9785_STM11_photo_0320.jpg	0320	6,8	31/05/11	ST2136	Zone 2, ST2136, après décapage manuel, première phase, vue vers l'Ouest	M. Remicourt
OA9785_STM11_photo_0321.jpg	0321	6,7	31/05/11	ST2136	Zone 2, ST2136, après décapage manuel, première phase, vue vers l'Ouest	M. Remicourt
OA9785_STM11_photo_0322.jpg	0322	6,6	31/05/11	ST2136	Zone 2, ST2136, après décapage manuel, première phase, vue vers l'Ouest	M. Remicourt
OA9785_STM11_photo_0323.jpg	0323	6,4	31/05/11	ST2136	Zone 2, ST2136, après décapage manuel, première phase, vue vers l'Ouest	M. Remicourt
OA9785_STM11_photo_0324.jpg	0324	6,7	31/05/11	ST2136	Zone 2, ST2136, après décapage manuel, première phase, vue vers l'Est	M. Remicourt
OA9785_STM11_photo_0325.jpg	0325	6,7	31/05/11	ST2126	Zone 2, ST2126, après fouille, vue vers le Nord	M. Remicourt
OA9785_STM11_photo_0326.jpg	0326	6,4	31/05/11	ST2096	Zone 2, ST2096, US1 et 4, quart Nord-Est, base du Dec 7, vue vers l'Ouest	M. Remicourt
OA9785_STM11_photo_0327.jpg	0327	6,6	31/05/11	ST2096	Zone 2, ST2096, US1 et 4, quart Nord-Est, base du Dec 7, détail paroi, vue vers le Nord	M. Remicourt

Annexe 8 - Le Clos de Roque, Saint-Maximin-la-Sainte-Baume (83). Inventaire des photographies numériques.



Identifiant	n° cliché	taille (Mo)	date	Structure/Anomalie	Description	Auteur
OA9785_STM11_photo_0328.jpg	0328	6,6	31/05/11	ST2148	Zone 2, ST2148, coupe CD Nord-Sud, vue vers l'Est	M. Remicourt
OA9785_STM11_photo_0329.jpg	0329	6,6	31/05/11	ST2148	Zone 2, ST2148, coupe AB Est-Ouest, vue vers le Sud	M. Remicourt
OA9785_STM11_photo_0330.jpg	0330	6,6	31/05/11	ST2148	Zone 2, ST2148, coupe AB Est-Ouest, vue vers le Sud	M. Remicourt
OA9785_STM11_photo_0331.jpg	0331	6,4	31/05/11	ST2130	Zone 2, ST2130, après fouille par moitié, vue vers le Nord (structure moderne)	M. Remicourt
OA9785_STM11_photo_0332.jpg	0332	6,8	31/05/11	ST2130	Zone 2, ST2130, coupe Nord-Sud, vue vers l'Est	M. Remicourt
OA9785_STM11_photo_0333.jpg	0333	6,7	01/06/11	ST2136	Zone 2, ST2136, après décapage manuel, deuxième phase démontage vase, vue vers le Nord	M. Remicourt
OA9785_STM11_photo_0334.jpg	0334	6,6	01/06/11	ST2136	Zone 2, ST2136, après décapage manuel, troisième phase démontage vase, vue vers le Nord	M. Remicourt
OA9785_STM11_photo_0335.jpg	0335	6,6	01/06/11	ST2205	Zone 2, ST2205 recoupée par ST2254, après nettoyage, vue vers le Nord	M. Remicourt
OA9785_STM11_photo_0336.jpg	0336	6,4	01/06/11	ST2115	Zone 2, ST2115, après nettoyage, vue vers le Nord	M. Remicourt
OA9785_STM11_photo_0337.jpg	0337	6,6	01/06/11	ST2096	Zone 2, ST2096, US3 et 6, quart Sud-Ouest, base du Dec 8, vue vers l'Est	M. Remicourt
OA9785_STM11_photo_0338.jpg	0338	6,6	01/06/11	ST2205	Zone 2, ST2205 recoupée par ST2254, après décapage os, vue vers le Nord	M. Remicourt
OA9785_STM11_photo_0339.jpg	0339	6,4	01/06/11	ST2205	Zone 2, ST2205 recoupée par ST2254, après décapage os, détail, vue vers le Nord	M. Remicourt
OA9785_STM11_photo_0340.jpg	0340	6,2	01/06/11	ST2205	Zone 2, ST2205 coupe Est-Ouest après curage ST2254, vue vers le Nord	M. Remicourt
OA9785_STM11_photo_0341.jpg	0341	6,3	01/06/11	ST2115	Zone 2, ST2115 coupe Nord-Sud, vue vers l'Ouest	M. Remicourt
OA9785_STM11_photo_0342.jpg	0342	6,0	01/06/11	ST2205	Zone 2, ST2205, après fouille, vue vers le Nord	M. Remicourt
OA9785_STM11_photo_0343.jpg	0343	6,3	01/06/11	ST2205	Zone 2, ST2205, après fouille, détail, vue vers le Nord	M. Remicourt
OA9785_STM11_photo_0344.jpg	0344	6,5	01/06/11	ST2096	Zone 2, ST2096, US3 et 6, quart Sud-Ouest, base du Dec 9, vue vers l'Est	M. Remicourt
OA9785_STM11_photo_0345.jpg	0345	6,5	01/06/11	ST2096	Zone 2, ST2096, US1 et 4, quart Nord-Est, base du Dec 8, vue vers l'Ouest	M. Remicourt
OA9785_STM11_photo_0346.jpg	0346	6,5	01/06/11	ST2230	Zone 2, ST2230, après nettoyage et curage de ST2254, vue vers le Nord	M. Remicourt
OA9785_STM11_photo_0347.jpg	0347	6,5	01/06/11	ST2115	Zone 2, ST2115, après fouille, détail, vue vers le Nord	M. Remicourt
OA9785_STM11_photo_0348.jpg	0348	6,1	01/06/11	ST2073	Zone 2, ST2073 recoupée par ST2254, après nettoyage, vue vers le Nord	M. Remicourt
OA9785_STM11_photo_0349.jpg	0349	6,5	01/06/11	ST2136	Zone 2, ST2136, coupe Est-Ouest, vue vers le Sud	M. Remicourt
OA9785_STM11_photo_0350.jpg	0350	6,6	01/06/11	ST2113	Zone 2, ST2113, après nettoyage, vue vers le Nord	M. Remicourt
OA9785_STM11_photo_0351.jpg	0351	6,7	01/06/11	ST2073	Zone 2, ST2073, après nettoyage et curage de ST2254, vue vers le Nord	M. Remicourt
OA9785_STM11_photo_0352.jpg	0352	6,5	01/06/11	ST2113	Zone 2, ST2113, coupe Est-Ouest, vue vers le Sud	M. Remicourt
OA9785_STM11_photo_0353.jpg	0353	6,2	01/06/11	ST2093	Zone 2, ST 2093, moitié Sud, base du Dec 3, vue vers le Nord	M. Remicourt
OA9785_STM11_photo_0354.jpg	0354	6,9	01/06/11	ST2093	Zone 2, ST 2093, moitié Sud, base du Dec 3, détail foyer, vue vers le Nord	M. Remicourt
OA9785_STM11_photo_0355.jpg	0355	6,6	01/06/11	ST2093	Zone 2, ST 2093, moitié Sud, base du Dec 3, vue vers le Nord	M. Remicourt
OA9785_STM11_photo_0356.jpg	0356	6,6	02/06/11	ST2093	Zone 2, ST 2093, moitié Sud, base du Dec 3, détail trou de poteau Sud-Est, vue vers le Nord	M. Remicourt
OA9785_STM11_photo_0357.jpg	0357	6,7	02/06/11	ST2093	Zone 2, ST 2093, moitié Sud, base du Dec 3, vue vers l'Ouest	M. Remicourt
OA9785_STM11_photo_0358.jpg	0358	6,4	02/06/11	ST2113	Zone 2, ST2113, après fouille, vue vers le Nord	M. Remicourt
OA9785_STM11_photo_0359.jpg	0359	6,7	02/06/11	ST2148	Zone 2, ST2148 coupe Nord-Sud, vue vers l'Ouest	M. Remicourt
OA9785_STM11_photo_0360.jpg	0360	6,4	02/06/11	ST2151	Zone 2, ST2151 coupe Nord-Est-Sud-Ouest, vue vers l'Ouest	M. Remicourt
OA9785_STM11_photo_0361.jpg	0361	6,8	02/06/11	ST2096	Zone 2, ST2096, US1 et 4, quart Nord-Est, base du Dec 9, vue vers l'Ouest	M. Remicourt
OA9785_STM11_photo_0362.jpg	0362	6,5	02/06/11	ST2093	Zone 2, ST2093, coupe Est-Ouest, vue vers le Nord	M. Remicourt
OA9785_STM11_photo_0363.jpg	0363	6,6	02/06/11	ST2093	Zone 2, ST2093, coupe Est-Ouest, vue vers l'Est, base du Dec 4	M. Remicourt
OA9785_STM11_photo_0364.jpg	0364	6,5	02/06/11	ST2150	Zone 2, ST2150, après nettoyage, vue vers le Nord	M. Remicourt
OA9785_STM11_photo_0365.jpg	0365	6,4	02/06/11	ST2268	Zone 2, ST2268, après nettoyage, vue vers le Nord	M. Remicourt
OA9785_STM11_photo_0366.jpg	0366	6,4	02/06/11	ST2209	Zone 2, ST2209, après nettoyage, vue vers le Nord	M. Remicourt
OA9785_STM11_photo_0367.jpg	0367	6,6	02/06/11	ST2270	Zone 2, ST2270, après nettoyage, vue vers le Nord	M. Remicourt
OA9785_STM11_photo_0368.jpg	0368	6,5	02/06/11	ST2232	Zone 2, ST2232, après nettoyage, vue vers le Nord	M. Remicourt

Annexe 8 - Le Clos de Roque, Saint-Maximin-la-Sainte-Baume (83). Inventaire des photographies numériques.

Identifiant	n° cliché	taille (Mo)	date	Structure/Anomalie	Description	Auteur
OA9785_STM11_photo_0369.jpg	0369	6,6	02/06/11	ST2231	Zone 2, ST2231, après nettoyage, vue vers le Nord	M. Remicourt
OA9785_STM11_photo_0370.jpg	0370	6,6	02/06/11	ST2272	Zone 2, ST2272, après nettoyage, vue vers le Nord	M. Remicourt
OA9785_STM11_photo_0371.jpg	0371	6,5	02/06/11	ST2271	Zone 2, ST2271, après nettoyage, vue vers le Nord	M. Remicourt
OA9785_STM11_photo_0372.jpg	0372	6,7	02/06/11	ST2268	Zone 2, ST2268, après fouille, vue vers le Nord	M. Remicourt
OA9785_STM11_photo_0373.jpg	0373	6,4	02/06/11	ST2269	Zone 2, ST2269, après nettoyage, vue vers le Nord	M. Remicourt
OA9785_STM11_photo_0374.jpg	0374	6,2	02/06/11	ST2273	Zone 2, ST2273, après nettoyage, vue vers le Nord	M. Remicourt
OA9785_STM11_photo_0375.jpg	0375	6,6	02/06/11	ST2269	Zone 2, ST2269, après fouille, vue vers le Nord	M. Remicourt
OA9785_STM11_photo_0376.jpg	0376	6,4	02/06/11	ST2096	Zone 2, ST2096, US1 et 4, quart Nord-Est, base du Dec 10, vue vers l'Ouest	M. Remicourt
OA9785_STM11_photo_0377.jpg	0377	6,5	02/06/11	ST2096	Zone 2, ST2096, US1 et 4, quart Nord-Est, détail paroi et calage de poteau ST2274	M. Remicourt
OA9785_STM11_photo_0378.jpg	0378	6,7	02/06/11	ST2096	Zone 2, ST2096, US1 et 4, quart Nord-Est, détail paroi et calage de poteau ST2274	M. Remicourt
OA9785_STM11_photo_0379.jpg	0379	6,6	02/06/11	ST2273	Zone 2, ST2273, coupe Est-Ouest, vue vers le Sud	M. Remicourt
OA9785_STM11_photo_0380.jpg	0380	6,3	02/06/11	ST2132	Zone 2, ST2132, coupe Est-Ouest, en cours de fouille, vue vers le Sud	M. Remicourt
OA9785_STM11_photo_0381.jpg	0381	6,3	02/06/11	ST2209	Zone 2, ST2209, coupe Est-Ouest, en cours de fouille, vue vers le Sud	M. Remicourt
OA9785_STM11_photo_0382.jpg	0382	6,5	02/06/11	ST2271	Zone 2, ST2271 coupe Nord-Sud, vue vers l'Est	M. Remicourt
OA9785_STM11_photo_0383.jpg	0383	6,3	03/06/11	ST2073	Zone 2, ST2073, coupe Est-Ouest, vue vers le Sud	M. Remicourt
OA9785_STM11_photo_0384.jpg	0384	6,5	03/06/11	ST2073	Zone 2, ST2073, coupe Est-Ouest, vue vers le Sud	M. Remicourt
OA9785_STM11_photo_0385.jpg	0385	6,7	03/06/11	ST2073	Zone 2, ST2073, coupe Est-Ouest, vue vers le Sud, détail effondrement encaissant dans coupe	M. Remicourt
OA9785_STM11_photo_0386.jpg	0386	6,3	03/06/11	ST2073	Zone 2, ST2073, coupe Est-Ouest, vue vers le Sud	M. Remicourt
OA9785_STM11_photo_0387.jpg	0387	6,3	03/06/11	ST2274	Zone 2, ST2274, coupe Est-Ouest, vue vers le Sud	M. Remicourt
OA9785_STM11_photo_0388.jpg	0388	6,2	03/06/11	ST2148	Zone 2, ST2148, après fouille, vue vers l'Ouest	M. Remicourt
OA9785_STM11_photo_0389.jpg	0389	6,7	03/06/11	ST2148	Zone 2, ST2148, après fouille, vue vers l'Ouest	M. Remicourt
OA9785_STM11_photo_0390.jpg	0390	6,2	03/06/11	Ambiance	Zone 2, P. R., mains dans les poches, vue vers l'Ouest	M. Remicourt
OA9785_STM11_photo_0391.jpg	0391	6,3	03/06/11	ST2148 / ST2154	Zone 2, ST2148 et ST2154, tranchées à trous de piquets, après fouille, vue vers l'Ouest	M. Remicourt
OA9785_STM11_photo_0392.jpg	0392	6,4	03/06/11	ST2148 / ST2154	Zone 2, ST2148 et ST2154, tranchées à trous de piquets, après fouille, vue vers le Sud	M. Remicourt
OA9785_STM11_photo_0393.jpg	0393	6,7	03/06/11	ST2148 / ST2154	Zone 2, ST2148 et ST2154, tranchées à trous de piquets, après fouille, vue vers le Sud	M. Remicourt
OA9785_STM11_photo_0394.jpg	0394	6,4	03/06/11	ST2148 / ST2154	Zone 2, ST2148 et ST2154, tranchées à trous de piquets, après fouille, vue vers le Sud	M. Remicourt
OA9785_STM11_photo_0395.jpg	0395	6,7	03/06/11	ST2132	Zone 2, ST2132, coupe Est-Ouest, vue vers le Sud	M. Remicourt
OA9785_STM11_photo_0396.jpg	0396	6,6	06/06/11	ST2096	Zone 2, ST2096, US1 et 4, quart Nord-Est, base du Dec 10 BIS, vue vers l'Ouest	M. Remicourt
OA9785_STM11_photo_0397.jpg	0397	6,4	06/06/11	ST2149	Zone 2, ST2149 coupe Nord-Sud, vue vers l'Est	M. Remicourt
OA9785_STM11_photo_0398.jpg	0398	6,4	06/06/11	ST2149	Zone 2, ST2149, après nettoyage, vue vers le Nord	M. Remicourt
OA9785_STM11_photo_0399.jpg	0399	6,0	06/06/11	ST2097	Zone 2, ST2097, après nettoyage, vue vers le Nord	M. Remicourt
OA9785_STM11_photo_0400.jpg	0400	6,3	06/06/11	ST2093 / ST2311	Zone 2, ST2093, coupe Est-Ouest, vue vers le Sud (en réalité ST2311)	M. Remicourt
OA9785_STM11_photo_0401.jpg	0401	6,4	06/06/11	ST2093	Zone 2, ST2093, Dec 1, moitié Nord, vue vers le Nord	M. Remicourt
OA9785_STM11_photo_0402.jpg	0402	6,3	06/06/11	ST2311	Zone 2, ST2311, après nettoyage, vue vers le Nord	M. Remicourt
OA9785_STM11_photo_0403.jpg	0403	6,2	06/06/11	ST2097	Zone 2, ST2097, coupe Nord-Sud, vue vers l'Est	M. Remicourt
OA9785_STM11_photo_0404.jpg	0404	6,5	06/06/11	ST2097	Zone 2, ST2097, coupe Nord-Sud, vue vers l'Est	M. Remicourt
OA9785_STM11_photo_0405.jpg	0405	6,7	06/06/11	ZT2273	Zone 2, ST2273, après fouille, vue vers le Sud	M. Remicourt
OA9785_STM11_photo_0406.jpg	0406	6,4	06/06/11	ST2277	Zone 2, ST2277, coupe Nord-Sud, vue vers l'Est	M. Remicourt
OA9785_STM11_photo_0407.jpg	0407	6,7	06/06/11	ST2312	Zone 2, ST2312, après nettoyage, vue vers le Nord	M. Remicourt
OA9785_STM11_photo_0408.jpg	0408	6,7	06/06/11	ST2227	Zone 2, ST2227, après nettoyage, vue vers le Nord	M. Remicourt
OA9785_STM11_photo_0409.jpg	0409	6,6	06/06/11	ST2227	Zone 2, ST2227, coupe Est-Ouest, vue vers le Sud	M. Remicourt

Annexe 8 - Le Clos de Roque, Saint-Maximin-la-Sainte-Baume (83). Inventaire des photographies numériques.



Identifiant	n° cliché	taille (Mo)	date	Structure/Anomalie	Description	Auteur
OA9785_STM11_photo_0410.jpg	0410	6,6	06/06/11	ST2277	Zone 2, ST2277, après fouille, vue vers le Nord	M. Remicourt
OA9785_STM11_photo_0411.jpg	0411	6,7	06/06/11	ST2277	Zone 2, ST2277, après fouille, vue vers le Nord	M. Remicourt
OA9785_STM11_photo_0412.jpg	0412	6,6	06/06/11	ST2097	Zone 2, ST2097, après fouille, vue vers le Nord	M. Remicourt
OA9785_STM11_photo_0413.jpg	0413	6,4	06/06/11	ST2311	Zone 2, ST2311, Dec 1, vue vers le Sud, zone rubéfiée	M. Remicourt
OA9785_STM11_photo_0414.jpg	0414	6,6	06/06/11	ST2096	Zone 2, ST2096, US1 et 4, quart Nord-Est, base du Dec 11, vue vers l'Ouest	M. Remicourt
OA9785_STM11_photo_0415.jpg	0415	6,1	06/06/11	ST2313	Zone 2, ST2313, après nettoyage, vue vers le Nord	M. Remicourt
OA9785_STM11_photo_0416.jpg	0416	6,9	06/06/11	ST2312	Zone 2, ST2312, coupe Est-Ouest, vue vers le Nord	M. Remicourt
OA9785_STM11_photo_0417.jpg	0417	6,4	06/06/11	ST2229	Zone 2, ST2229, après fouille, vue vers le Nord	M. Remicourt
OA9785_STM11_photo_0418.jpg	0418	6,3	06/06/11	ST2132	Zone 2, ST2132, après fouille, vue vers le Nord	M. Remicourt
OA9785_STM11_photo_0419.jpg	0419	6,5	06/06/11	ST2311	Zone 2, ST2311, après fouille partie 1, vue vers le Nord	M. Remicourt
OA9785_STM11_photo_0420.jpg	0420	6,9	06/06/11	Ambiance	Ciel, dirigeable publicitaire Good Year	M. Remicourt
OA9785_STM11_photo_0421.jpg	0421	6,9	06/06/11	Ambiance	Ciel, dirigeable publicitaire Good Year	M. Remicourt
OA9785_STM11_photo_0422.jpg	0422	6,6	06/06/11	Ambiance	Tamisage, livraison M. O., tri A. F.	M. Remicourt
OA9785_STM11_photo_0423.jpg	0423	6,6	06/06/11	ST2149	Zone 2, ST2149, après fouille, vue vers le Nord	M. Remicourt
OA9785_STM11_photo_0424.jpg	0424	6,6	06/06/11	ST2136	Zone 2, ST2136, après fouille, vue vers le Nord	M. Remicourt
OA9785_STM11_photo_0425.jpg	0425	6,4	06/06/11	ST2313	Zone 2, ST2313, coupe Est-Ouest, vue vers le Nord	M. Remicourt
OA9785_STM11_photo_0426.jpg	0426	6,2	06/06/11	ST2227	Zone 2, ST2227, après fouille, vue vers le Nord	M. Remicourt
OA9785_STM11_photo_0427.jpg	0427	6,8	07/06/11	Ambiance	Container, M. G. tri mobilier	M. Remicourt
OA9785_STM11_photo_0428.jpg	0428	6,4	07/06/11	ST2313	Zone 2, ST2313, après fouille, vue vers le Nord	M. Remicourt
OA9785_STM11_photo_0429.jpg	0429	6,1	07/06/11	ST2313	Zone 2, ST2313, après fouille, vue vers le Nord	M. Remicourt
OA9785_STM11_photo_0430.jpg	0430	6,4	07/06/11	ST2314	Zone 2, ST2314, après nettoyage, vue vers le Nord	M. Remicourt
OA9785_STM11_photo_0431.jpg	0431	6,5	07/06/11	ST2096	Zone 2, ST2096, quart Nord-Est, base du Dec 12, vue vers l'Ouest	M. Remicourt
OA9785_STM11_photo_0432.jpg	0432	6,6	07/06/11	ST2314	Zone 2, ST2314, coupe Est-Ouest, vue vers le Nord	M. Remicourt
OA9785_STM11_photo_0433.jpg	0433	6,7	07/06/11	ST2093	Zone 2, ST2093, Dec 2, moitié Nord, vue vers le Nord	M. Remicourt
OA9785_STM11_photo_0434.jpg	0434	6,6	07/06/11	ST2093	Zone 2, ST2093, Dec 1, moitié Nord, vue vers le Nord, détail foyer	M. Remicourt
OA9785_STM11_photo_0435.jpg	0435	6,5	07/06/11	ST2093	Zone 2, ST2093, Dec 1, moitié Nord, vue vers le Nord, détail foyer	M. Remicourt
OA9785_STM11_photo_0436.jpg	0436	6,4	07/06/11	ST2093	Zone 2, ST2093, Dec 1, moitié Nord, vue vers le Nord, détail foyer	M. Remicourt
OA9785_STM11_photo_0437.jpg	0437	6,2	07/06/11	ST2311	Zone 2, ST2311, après fouille, vue vers le Sud	M. Remicourt
OA9785_STM11_photo_0438.jpg	0438	6,5	07/06/11	ST2311 / ST2093	Zone 2, ST2311 et ST2093, vue vers le Sud	M. Remicourt
OA9785_STM11_photo_0439.jpg	0439	6,3	07/06/11	ST2226	Zone 2, ST2226, après nettoyage, vue vers le Nord	M. Remicourt
OA9785_STM11_photo_0440.jpg	0440	6,7	07/06/11	ST2226	Zone 2, ST2226, coupe Est-Ouest, vue vers le Nord	M. Remicourt
OA9785_STM11_photo_0441.jpg	0441	6,4	07/06/11	ST2314	Zone 2, ST2314, après fouille, vue vers le Nord	M. Remicourt
OA9785_STM11_photo_0442.jpg	0442	6,2	07/06/11	ST2153	Zone 2, ST2153, après nettoyage, vue vers le Nord	M. Remicourt
OA9785_STM11_photo_0443.jpg	0443	6,1	07/06/11	ST2152	Zone 2, ST2152, après nettoyage, vue vers le Nord	M. Remicourt
OA9785_STM11_photo_0444.jpg	0444	6,1	07/06/11	ST2165	Zone 2, ST2165, après nettoyage, vue vers le Nord	M. Remicourt
OA9785_STM11_photo_0445.jpg	0445	6,6	07/06/11	ST2317	Zone 2, ST2317, après nettoyage, vue vers le Nord	M. Remicourt
OA9785_STM11_photo_0446.jpg	0446	6,6	07/06/11	ST2165	Zone 2, ST2165, coupe Est-Ouest, vue vers le Nord	M. Remicourt
OA9785_STM11_photo_0447.jpg	0447	6,4	07/06/11	ST2093	Zone 2, ST2093, Dec 3, moitié Nord, vue vers le Nord	M. Remicourt
OA9785_STM11_photo_0448.jpg	0448	6,3	07/06/11	ST2093	Zone 2, ST2093, Dec 3, moitié Nord, vue vers le Nord	M. Remicourt
OA9785_STM11_photo_0449.jpg	0449	6,7	07/06/11	ST2087	Zone 2, ST2087, après nettoyage, vue vers le Nord	M. Remicourt
OA9785_STM11_photo_0450.jpg	0450	6,7	07/06/11	ST2165	Zone 2, ST2165, après fouille, vue vers le Nord	M. Remicourt

**Annexe 8** - Le Clos de Roque, Saint-Maximin-la-Sainte-Baume (83). Inventaire des photographies numériques.

Identifiant	n° cliché	taille (Mo)	date	Structure/A normalie	Description	Auteur
OA9785_STM11_photo_0451.jpg	0451	6,6	07/06/11	ST2317	Zone 2, ST2317, coupe Est-Ouest, vue vers le Nord	M. Remicourt
OA9785_STM11_photo_0452.jpg	0452	6,6	07/06/11	ST2312	Zone 2, ST2312, après fouille, vue vers le Nord	M. Remicourt
OA9785_STM11_photo_0453.jpg	0453	6,3	07/06/11	ST2317	Zone 2, ST2317, après fouille, vue vers le Nord	M. Remicourt
OA9785_STM11_photo_0454.jpg	0454	6,6	07/06/11	ST2318	Zone 2, ST2318, après nettoyage, vue vers le Nord	M. Remicourt
OA9785_STM11_photo_0455.jpg	0455	6,5	07/06/11	ST2162	Zone 2, ST2162, après nettoyage, vue vers le Nord	M. Remicourt
OA9785_STM11_photo_0456.jpg	0456	6,4	07/06/11	ST2275	Zone 2, ST2275, après nettoyage, vue vers le Nord	M. Remicourt
OA9785_STM11_photo_0457.jpg	0457	6,7	07/06/11	ST2153	Zone 2, ST2153, coupe Est-Ouest, vue vers le Sud	M. Remicourt
OA9785_STM11_photo_0458.jpg	0458	6,6	07/06/11	ST2275	Zone 2, ST2275, après nettoyage, vue vers le Nord	M. Remicourt
OA9785_STM11_photo_0459.jpg	0459	6,5	07/06/11	ST2318	Zone 2, ST2318, coupe Est-Ouest, vue vers le Nord	M. Remicourt
OA9785_STM11_photo_0460.jpg	0460	6,3	07/06/11	ST2162	Zone 2, ST2162, coupe Est-Ouest, vue vers le Nord	M. Remicourt
OA9785_STM11_photo_0461.jpg	0461	6,6	07/06/11	ST2073	Zone 2, ST2073, après fouille, vue vers le Nord	M. Remicourt
OA9785_STM11_photo_0462.jpg	0462	6,5	07/06/11	ST2093	Zone 2, ST2093, Dec 4, moitié Nord, vue vers le Nord	M. Remicourt
OA9785_STM11_photo_0463.jpg	0463	6,5	07/06/11	ST2093	Zone 2, ST2093, Dec 4, moitié Nord, vue vers le Nord	M. Remicourt
OA9785_STM11_photo_0464.jpg	0464	6,9	08/06/11	ST2226	Zone 2, ST2226, après fouille, vue vers le Nord	M. Remicourt
OA9785_STM11_photo_0465.jpg	0465	6,5	08/06/11	ST2161	Zone 2, ST2161, après nettoyage, vue vers le Nord	M. Remicourt
OA9785_STM11_photo_0466.jpg	0466	6,6	08/06/11	ST2160	Zone 2, ST2160, après nettoyage, vue vers le Nord	M. Remicourt
OA9785_STM11_photo_0467.jpg	0467	6,0	08/06/11	ST2157	Zone 2, ST2157, après nettoyage, vue vers le Nord	M. Remicourt
OA9785_STM11_photo_0468.jpg	0468	6,2	08/06/11	ST2162	Zone 2, ST2162, après fouille, vue vers le Nord	M. Remicourt
OA9785_STM11_photo_0469.jpg	0469	6,3	08/06/11	ST2275	Zone 2, ST2275, après fouille, vue vers le Nord	M. Remicourt
OA9785_STM11_photo_0470.jpg	0470	6,8	08/06/11	ST2096	Zone 2, ST2096, quart Nord-Est, base du Dec 13, vue vers l'Ouest	M. Remicourt
OA9785_STM11_photo_0471.jpg	0471	6,5	08/06/11	ST2096	Zone 2, ST2096, quart Nord-Est, base du Dec 13, vue vers le Nord, détail parois	M. Remicourt
OA9785_STM11_photo_0472.jpg	0472	6,3	08/06/11	ST2096	Zone 2, ST2096, quart Nord-Est, base du Dec 13, vue vers le Nord, détail parois	M. Remicourt
OA9785_STM11_photo_0473.jpg	0473	6,1	08/06/11	ST2093	Zone 2, ST2093, Dec 5, moitié Nord, vue vers le Nord	M. Remicourt
OA9785_STM11_photo_0474.jpg	0474	6,4	08/06/11	ST2093	Zone 2, ST2093, Dec 5, moitié Nord, vue vers le Nord	M. Remicourt
OA9785_STM11_photo_0475.jpg	0475	6,3	08/06/11	ST2093	Zone 2, ST2093, Dec 5, moitié Nord, vue vers le Nord, détail	M. Remicourt
OA9785_STM11_photo_0476.jpg	0476	6,4	08/06/11	ST2153	Zone 2, ST2153, après nettoyage, vue vers le Nord	M. Remicourt
OA9785_STM11_photo_0477.jpg	0477	6,5	08/06/11	ST2209	Zone 2, ST2209, coupe Est-Ouest, vue vers le Sud	M. Remicourt
OA9785_STM11_photo_0478.jpg	0478	6,6	08/06/11	ST2209	Zone 2, ST2209, coupe Est-Ouest, vue vers le Sud	M. Remicourt
OA9785_STM11_photo_0479.jpg	0479	6,1	08/06/11	ST2210	Zone 2, ST2210, après nettoyage, vue vers le Nord	M. Remicourt
OA9785_STM11_photo_0480.jpg	0480	6,3	08/06/11	ST2210	Zone 2, ST2210, après fouille moitié Sud, vue vers le Nord	M. Remicourt
OA9785_STM11_photo_0481.jpg	0481	6,7	08/06/11	ST2271	Zone 2, ST2271, après fouille, vue vers le Nord	M. Remicourt
OA9785_STM11_photo_0482.jpg	0482	6,7	08/06/11	ST2271	Zone 2, ST2271, après fouille, vue vers le Nord	M. Remicourt
OA9785_STM11_photo_0483.jpg	0483	6,5	08/06/11	ST2093	Zone 2, ST2093, Dec 6, moitié Nord, vue vers le Nord	M. Remicourt
OA9785_STM11_photo_0484.jpg	0484	6,3	08/06/11	ST2093	Zone 2, ST2093, coupe Est-Ouest foyer central, vue vers le Sud	M. Remicourt
OA9785_STM11_photo_0485.jpg	0485	6,4	08/06/11	ST2093	Zone 2, ST2093, coupe Est-Ouest foyer central, vue vers le Sud	M. Remicourt
OA9785_STM11_photo_0486.jpg	0486	6,1	08/06/11	ST2318	Zone 2, ST2318, après fouille, vue vers le Nord	M. Remicourt
OA9785_STM11_photo_0487.jpg	0487	6,6	08/06/11	ST2161	Zone 2, ST2161, coupe Est-Ouest, vue vers le Nord	M. Remicourt
OA9785_STM11_photo_0488.jpg	0488	6,4	08/06/11	ST2214	Zone 2, ST2214, après nettoyage, vue vers le Nord	M. Remicourt
OA9785_STM11_photo_0489.jpg	0489	6,0	08/06/11	ST2087	Zone 2, ST2087, coupe Est-Ouest, vue vers le Nord	M. Remicourt
OA9785_STM11_photo_0490.jpg	0490	6,5	08/06/11	ST2087	Zone 2, ST2087, coupe Est-Ouest, vue vers le Nord	M. Remicourt
OA9785_STM11_photo_0491.jpg	0491	6,4	08/06/11	Ambiance	Zone 2, vue du chantier, A. D., B. P., F. C.	M. Remicourt

Annexe 8 - Le Clos de Roque, Saint-Maximin-la-Sainte-Baume (83). Inventaire des photographies numériques.

Identifiant	n° cliché	taille (Mo)	date	Structure/Anomalie	Description	Auteur
OA9785_STM11_photo_0492.jpg	0492	6,3	08/06/11	ST2094	Zone 2, ST2094, après nettoyage, vue vers le Nord	M. Remicourt
OA9785_STM11_photo_0493.jpg	0493	6,8	08/06/11	ST2160	Zone 2, ST2160, coupe Est-Ouest, vue vers le Nord	M. Remicourt
OA9785_STM11_photo_0494.jpg	0494	6,2	08/06/11	ST2186	Zone 2, ST2186, après nettoyage, vue vers le Nord	M. Remicourt
OA9785_STM11_photo_0495.jpg	0495	6,3	08/06/11	ST2187	Zone 2, ST2187, après nettoyage, vue vers le Nord	M. Remicourt
OA9785_STM11_photo_0496.jpg	0496	6,4	08/06/11	ST2096	Zone 2, ST2096, quart Nord-Est, base du Dec 14, vue vers l'Ouest	M. Remicourt
OA9785_STM11_photo_0497.jpg	0497	6,4	08/06/11	ST2096	Zone 2, ST2096, quart Nord-Est, base du Dec 14, détail parois, vue vers le Nord	M. Remicourt
OA9785_STM11_photo_0498.jpg	0498	6,3	08/06/11	ST2093	Zone 2, ST2093, coupe Est-Ouest foyer central, détail trou de poteau, vue vers le Sud	M. Remicourt
OA9785_STM11_photo_0499.jpg	0499	6,5	08/06/11	ST2152	Zone 2, ST2152, coupe Est-Ouest, vue vers le Sud	M. Remicourt
OA9785_STM11_photo_0500.jpg	0500	6,5	08/06/11	ST2214	Zone 2, ST2214, coupe Nord-Sud, vue vers l'Est	M. Remicourt
OA9785_STM11_photo_0501.jpg	0501	6,5	08/06/11	ST2186	Zone 2, ST2186, coupe Est-Ouest, vue vers le Sud	M. Remicourt
OA9785_STM11_photo_0502.jpg	0502	6,5	08/06/11	ST2164	Zone 2, ST2164, après nettoyage, vue vers le Nord	M. Remicourt
OA9785_STM11_photo_0503.jpg	0503	6,5	08/06/11	ST2157	Zone 2, ST2157, coupe Est-Ouest, vue vers le Nord	M. Remicourt
OA9785_STM11_photo_0504.jpg	0504	6,5	08/06/11	ST2093	Zone 2, ST2093, coupe Est-Ouest foyer central, détail trou de poteau vidé, vue vers le Sud	M. Remicourt
OA9785_STM11_photo_0505.jpg	0505	6,6	08/06/11	ST2152	Zone 2, ST2152, après fouille, vue vers le Nord	M. Remicourt
OA9785_STM11_photo_0506.jpg	0506	6,3	08/06/11	ST2152 / ST2153	Zone 2, ST2152 et ST2153, après fouille, vue vers le Nord	M. Remicourt
OA9785_STM11_photo_0507.jpg	0507	6,0	08/06/11	ST2186	Zone 2, ST2186, après fouille, vue vers le Nord	M. Remicourt
OA9785_STM11_photo_0508.jpg	0508	6,3	08/06/11	ST2164	Zone 2, ST2164, coupe Est-Ouest, vue vers le Nord	M. Remicourt
OA9785_STM11_photo_0509.jpg	0509	6,4	08/06/11	ST2214	Zone 2, ST2214, après fouille, vue vers le Nord	M. Remicourt
OA9785_STM11_photo_0510.jpg	0510	6,0	08/06/11	ST2032	Zone 2, ST2032, après nettoyage, vue vers le Nord	M. Remicourt
OA9785_STM11_photo_0511.jpg	0511	6,2	08/06/11	ST2096	Zone 2, ST2096, quart Nord-Est, base du Dec 15, détail paroi, vue vers le Nord	M. Remicourt
OA9785_STM11_photo_0512.jpg	0512	6,5	08/06/11	ST2096	Zone 2, ST2096, quart Nord-Est, base du Dec 15, détail paroi, vue vers le Nord	M. Remicourt
OA9785_STM11_photo_0513.jpg	0513	6,5	08/06/11	ST2096	Zone 2, ST2096, quart Nord-Est, base du Dec 15, vue vers l'Ouest	M. Remicourt
OA9785_STM11_photo_0514.jpg	0514	6,0	09/06/11	ST2094	Zone 2, ST2094, détail US2 (sédiment rubéfiée) découpée par labour profond, vue vers le Nord	M. Remicourt
OA9785_STM11_photo_0515.jpg	0515	6,5	09/06/11	ST2185	Zone 2, ST2185, après nettoyage, vue vers le Nord	M. Remicourt
OA9785_STM11_photo_0516.jpg	0516	6,1	09/06/11	ST2087	Zone 2, ST2087, après fouille, vue vers le Nord	M. Remicourt
OA9785_STM11_photo_0517.jpg	0517	6,0	09/06/11	ST2087	Zone 2, ST2087, après fouille, vue vers le Nord	M. Remicourt
OA9785_STM11_photo_0518.jpg	0518	6,7	09/06/11	ST2032	Zone 2, ST2032, détail fragment argile rubéfiée, vue vers le Nord	M. Remicourt
OA9785_STM11_photo_0519.jpg	0519	6,5	09/06/11	ST2032	Zone 2, ST2032, détail fragment argile rubéfiée, vue vers le Nord	M. Remicourt
OA9785_STM11_photo_0520.jpg	0520	6,8	09/06/11	ST2157	Zone 2, ST2157, après fouille, vue vers le Nord	M. Remicourt
OA9785_STM11_photo_0521.jpg	0521	6,7	09/06/11	ST2094	Zone 2, ST2094, quart Nord-Ouest, US 1 et 2, base du Dec 1, vue vers le Nord	M. Remicourt
OA9785_STM11_photo_0522.jpg	0522	6,3	09/06/11	ST2164	Zone 2, ST2164, après fouille, vue vers le Nord	M. Remicourt
OA9785_STM11_photo_0523.jpg	0523	6,4	09/06/11	ST2215	Zone 2, ST2215, après nettoyage, vue vers le Nord	M. Remicourt
OA9785_STM11_photo_0524.jpg	0524	6,3	09/06/11	ST2094	Zone 2, ST2094, quart Nord-Ouest, US 1 et 2, base du Dec 2, vue vers le Nord	M. Remicourt
OA9785_STM11_photo_0525.jpg	0525	6,5	09/06/11	ST2187	Zone 2, ST2187, coupe Est-Ouest, vue vers le Sud	M. Remicourt
OA9785_STM11_photo_0526.jpg	0526	6,6	09/06/11	ST2094	Zone 2, ST2094, quart Nord-Ouest, US 1, base du Dec 3, vue vers le Nord	M. Remicourt
OA9785_STM11_photo_0527.jpg	0527	6,6	09/06/11	ST2032	Zone 2, ST2032, coupe Est-Ouest, vue vers le Sud	M. Remicourt
OA9785_STM11_photo_0528.jpg	0528	5,8	09/06/11	ST2032	Zone 2, ST2032, coupe Est-Ouest, vue vers le Sud	M. Remicourt
OA9785_STM11_photo_0529.jpg	0529	6,5	09/06/11	ST2209	Zone 2, ST2209, squelette en cours de fouille, vue vers l'Est	M. Remicourt
OA9785_STM11_photo_0530.jpg	0530	6,0	09/06/11	ST2209	Zone 2, ST2209, squelette en cours de fouille, vue vers l'Est	M. Remicourt
OA9785_STM11_photo_0531.jpg	0531	6,2	09/06/11	ST2209	Zone 2, ST2209, squelette en cours de fouille, vue vers l'Ouest	M. Remicourt
OA9785_STM11_photo_0532.jpg	0532	6,3	09/06/11	ST2209	Zone 2, ST2209, squelette en cours de fouille, vue vers le Sud	M. Remicourt

Annexe 8 - Le Clos de Roque, Saint-Maximin-la-Sainte-Baume (83). Inventaire des photographies numériques.

Identifiant	n° cliché	taille (Mo)	date	Structure/A normalie	Description	Auteur
OA9785_STM11_photo_0533.jpg	0533	6,4	10/06/11	ST2187	Zone 2, ST2187, après fouille, vue vers le Nord	M. Remicourt
OA9785_STM11_photo_0534.jpg	0534	6,6	10/06/11	ST2185	Zone 2, ST2185, coupe Nord-Sud, vue vers l'Ouest	M. Remicourt
OA9785_STM11_photo_0535.jpg	0535	6,6	10/06/11	ST2319	Zone 2, ST2319, après nettoyage, vue vers le Nord	M. Remicourt
OA9785_STM11_photo_0536.jpg	0536	6,5	10/06/11	ST2158 / ST2159	Zone 2, ST2158 et ST2159, après fouille, vue vers le Nord	M. Remicourt
OA9785_STM11_photo_0537.jpg	0537	7,0	10/06/11	ST2191	Zone 2, ST2191, après nettoyage, vue vers le Nord	M. Remicourt
OA9785_STM11_photo_0538.jpg	0538	6,5	10/06/11	ST2217	Zone 2, ST2217, après nettoyage, vue vers le Nord	M. Remicourt
OA9785_STM11_photo_0539.jpg	0539	6,3	10/06/11	ST2185	Zone 2, ST2185, après fouille, vue vers le Nord	M. Remicourt
OA9785_STM11_photo_0540.jpg	0540	6,5	10/06/11	ST2185	Zone 2, ST2185, après fouille, détail du trou de poteau, vue vers le Nord	M. Remicourt
OA9785_STM11_photo_0541.jpg	0541	6,6	10/06/11	ST2191	Zone 2, ST2191, coupe Est-Ouest, vue vers le Sud	M. Remicourt
OA9785_STM11_photo_0542.jpg	0542	6,4	10/06/11	ST2096	Zone 2, ST2096, quart Nord-Est, base du Dec 16, vue vers l'Ouest	M. Remicourt
OA9785_STM11_photo_0543.jpg	0543	6,2	10/06/11	ST2096	Zone 2, ST2096, quart Nord-Est, base du Dec 16, détail paroi, vue vers le Sud	M. Remicourt
OA9785_STM11_photo_0544.jpg	0544	6,3	10/06/11	ST2096	Zone 2, ST2096, quart Nord-Est, base du Dec 16, détail paroi, vue vers le Nord	M. Remicourt
OA9785_STM11_photo_0545.jpg	0545	6,3	10/06/11	ST2217	Zone 2, ST2217, coupe Est-Ouest, vue vers le Sud	M. Remicourt
OA9785_STM11_photo_0546.jpg	0546	6,3	10/06/11	ST2094	Zone 2, ST2094, quart Nord-Ouest, US 1, base du Dec 4, vue vers le Nord	M. Remicourt
OA9785_STM11_photo_0547.jpg	0547	6,6	10/06/11	ST2196	Zone 2, ST2196, après nettoyage, vue vers le Nord	M. Remicourt
OA9785_STM11_photo_0548.jpg	0548	6,7	14/06/11	ST2217	Zone 2, ST2217, après fouille, vue vers le Nord	M. Remicourt
OA9785_STM11_photo_0549.jpg	0549	6,6	14/06/11	ST2215	Zone 2, ST2215, coupe Est-Ouest, vue vers le Sud	M. Remicourt
OA9785_STM11_photo_0550.jpg	0550	6,5	14/06/11	ST2215	Zone 2, ST2215, coupe Est-Ouest, vue vers le Sud	M. Remicourt
OA9785_STM11_photo_0551.jpg	0551	6,2	14/06/11	ST2217	Zone 2, ST2217, après fouille par moitié, vue vers le Nord	M. Remicourt
OA9785_STM11_photo_0552.jpg	0552	6,5	14/06/11	ST2191	Zone 2, ST2191, après fouille, vue vers le Nord	M. Remicourt
OA9785_STM11_photo_0553.jpg	0553	6,1	14/06/11	ST2195	Zone 2, ST2195, après nettoyage, vue vers le Nord	M. Remicourt
OA9785_STM11_photo_0554.jpg	0554	6,2	14/06/11	ST2096	Zone 2, ST2096, quart Nord-Est, base du Dec 17, vue vers l'Ouest	M. Remicourt
OA9785_STM11_photo_0555.jpg	0555	6,5	14/06/11	ST2192	Zone 2, ST2192, après nettoyage, vue vers le Nord	M. Remicourt
OA9785_STM11_photo_0556.jpg	0556	6,6	14/06/11	ST2195	Zone 2, ST2195, coupe Nord-Sud, vue vers l'Est	M. Remicourt
OA9785_STM11_photo_0557.jpg	0557	6,2	14/06/11	ST2167	Zone 2, ST2167, après nettoyage, vue vers le Nord	M. Remicourt
OA9785_STM11_photo_0558.jpg	0558	5,8	14/06/11	ST2166	Zone 2, ST2166, après nettoyage, vue vers le Nord	M. Remicourt
OA9785_STM11_photo_0559.jpg	0559	6,4	14/06/11	ST1063	Zone 1, ST1063, après nettoyage, vue vers le Nord	M. Remicourt
OA9785_STM11_photo_0560.jpg	0560	6,6	14/06/11	ST1048	Zone 1, ST1048, après nettoyage, vue vers le Nord	M. Remicourt
OA9785_STM11_photo_0561.jpg	0561	6,5	14/06/11	ST1048	Zone 1, ST1048, après nettoyage, vue vers le Nord	M. Remicourt
OA9785_STM11_photo_0562.jpg	0562	6,8	14/06/11	ST2032	Zone 2, ST2032, après fouille, vue vers le Nord	M. Remicourt
OA9785_STM11_photo_0563.jpg	0563	6,5	14/06/11	ST1063	Zone 1, ST1063, coupe Est-Ouest, vue vers le Sud	M. Remicourt
OA9785_STM11_photo_0564.jpg	0564	6,6	14/06/11	ST1048	Zone 1, ST1048, coupe Est-Ouest, vue vers le Sud	M. Remicourt
OA9785_STM11_photo_0565.jpg	0565	6,4	14/06/11	ST2096	Zone 2, ST2096, quart Nord-Est, base du Dec 18, vue vers l'Ouest	M. Remicourt
OA9785_STM11_photo_0566.jpg	0566	6,4	14/06/11	ST2195	Zone 2, ST2195, après fouille, vue vers le Nord	M. Remicourt
OA9785_STM11_photo_0567.jpg	0567	6,4	14/06/11	ST2166	Zone 2, ST2166, coupe Est-Ouest, vue vers le Nord	M. Remicourt
OA9785_STM11_photo_0568.jpg	0568	6,3	14/06/11	ST2166	Zone 2, ST2166, après fouille, vue vers le Nord	M. Remicourt
OA9785_STM11_photo_0569.jpg	0569	6,2	14/06/11	ST2276	Zone 2, ST2276, après nettoyage, vue vers le Nord	M. Remicourt
OA9785_STM11_photo_0570.jpg	0570	6,8	14/06/11	ST2209	Zone 2, ST2209, après fouille, vue vers l'Est, détail squelette	M. Remicourt
OA9785_STM11_photo_0571.jpg	0571	6,8	14/06/11	ST2209	Zone 2, ST2209, après fouille, vue vers l'Est	M. Remicourt
OA9785_STM11_photo_0572.jpg	0572	6,4	14/06/11	ST2209	Zone 2, ST2209, après fouille, vue vers l'Est	M. Remicourt
OA9785_STM11_photo_0573.jpg	0573	6,8	14/06/11	ST2209	Zone 2, ST2209, après fouille, vue vers l'Est, détail squelette	M. Remicourt

Annexe 8 - Le Clos de Roque, Saint-Maximin-la-Sainte-Baume (83). Inventaire des photographies numériques.



Identifiant	n° cliché	taille (Mo)	date	Structure/Anomalie	Description	Auteur
OA9785_STM11_photo_0574.jpg	0574	5,8	14/06/11	ST2209	Zone 2, ST2209, après fouille, vue vers le Sud, détail squelette	M. Remicourt
OA9785_STM11_photo_0575.jpg	0575	6,4	14/06/11	ST2209	Zone 2, ST2209, après fouille, vue vers l'Est, détail squelette	M. Remicourt
OA9785_STM11_photo_0576.jpg	0576	6,6	14/06/11	ST2209	Zone 2, ST2209, après fouille, vue vers l'Est	M. Remicourt
OA9785_STM11_photo_0577.jpg	0577	6,4	14/06/11	ST2209	Zone 2, ST2209, après fouille, vue vers l'Est, détail squelette	M. Remicourt
OA9785_STM11_photo_0578.jpg	0578	6,5	14/06/11	ST2209	Zone 2, ST2209, après fouille, vue vers l'Est, détail squelette	M. Remicourt
OA9785_STM11_photo_0579.jpg	0579	5,8	14/06/11	ST2209	Zone 2, ST2209, après fouille, vue vers le Sud, détail squelette	M. Remicourt
OA9785_STM11_photo_0580.jpg	0580	6,6	14/06/11	ST2209	Zone 2, ST2209, après fouille, vue vers l'Ouest	M. Remicourt
OA9785_STM11_photo_0581.jpg	0581	6,5	14/06/11	ST2209	Zone 2, ST2209, après fouille, vue vers l'Ouest	M. Remicourt
OA9785_STM11_photo_0582.jpg	0582	6,3	14/06/11	ST2209	Zone 2, ST2209, après fouille, vue vers l'Est, détail squelette	M. Remicourt
OA9785_STM11_photo_0583.jpg	0583	6,8	14/06/11	ST2209	Zone 2, ST2209, après fouille, vue vers l'Est, détail squelette	M. Remicourt
OA9785_STM11_photo_0584.jpg	0584	6,7	14/06/11	ST2192	Zone 2, ST2192, en cours de fouille, vue vers le Sud, détail tesson	M. Remicourt
OA9785_STM11_photo_0585.jpg	0585	6,6	15/06/11	ST2209	Zone 2, ST2209, après fouille, vue vers l'Est, détail mains squelette	M. Remicourt
OA9785_STM11_photo_0586.jpg	0586	6,6	15/06/11	ST2209	Zone 2, ST2209, après fouille, vue vers l'Est, détail mains squelette	M. Remicourt
OA9785_STM11_photo_0587.jpg	0587	6,6	15/06/11	ST2209	Zone 2, ST2209, après fouille, vue vers l'Est, détail coxaux squelette	M. Remicourt
OA9785_STM11_photo_0588.jpg	0588	6,7	15/06/11	ST2209	Zone 2, ST2209, après fouille, vue vers l'Est, détail squelette	M. Remicourt
OA9785_STM11_photo_0589.jpg	0589	6,7	15/06/11	ST2209	Zone 2, ST2209, après fouille, vue vers l'Est, détail squelette	M. Remicourt
OA9785_STM11_photo_0590.jpg	0590	6,5	15/06/11	ST2209	Zone 2, ST2209, après fouille, vue vers l'Est, détail squelette	M. Remicourt
OA9785_STM11_photo_0591.jpg	0591	6,6	15/06/11	ST2209	Zone 2, ST2209, après fouille, vue vers l'Est, détail squelette	M. Remicourt
OA9785_STM11_photo_0592.jpg	0592	6,7	15/06/11	ST2167	Zone 2, ST2167, coupe Est-Ouest, vue vers le Nord	M. Remicourt
OA9785_STM11_photo_0593.jpg	0593	6,7	15/06/11	ST2209	Zone 2, ST2209, après fouille, vue vers l'Est, détail squelette	M. Remicourt
OA9785_STM11_photo_0594.jpg	0594	6,3	15/06/11	ST2209	Zone 2, ST2209, après fouille, vue vers l'Est, détail squelette	M. Remicourt
OA9785_STM11_photo_0595.jpg	0595	6,5	15/06/11	ST2209	Zone 2, ST2209, après fouille, vue vers l'Est, détail squelette	M. Remicourt
OA9785_STM11_photo_0596.jpg	0596	6,7	15/06/11	ST2209	Zone 2, ST2209, après fouille, vue vers l'Est, détail squelette	M. Remicourt
OA9785_STM11_photo_0597.jpg	0597	8,7	15/06/11	ST2194	Zone 2, ST2194, après fouille, vue vers le Nord	M. Remicourt
OA9785_STM11_photo_0598.jpg	0598	6,7	15/06/11	ST2209	Zone 2, ST2209, après fouille, vue vers l'Est, détail squelette	M. Remicourt
OA9785_STM11_photo_0599.jpg	0599	6,5	15/06/11	ST2209	Zone 2, ST2209, après fouille, vue vers l'Est, détail squelette	M. Remicourt
OA9785_STM11_photo_0600.jpg	0600	6,2	15/06/11	ST2194	Zone 2, ST2194, après fouille, vue vers le Nord	M. Remicourt
OA9785_STM11_photo_0601.jpg	0601	6,3	15/06/11	ST2209	Zone 2, ST2209, après fouille, vue vers l'Est, détail squelette	M. Remicourt
OA9785_STM11_photo_0602.jpg	0602	6,4	15/06/11	ST2209	Zone 2, ST2209, après fouille, vue vers l'Est, détail squelette	M. Remicourt
OA9785_STM11_photo_0603.jpg	0603	6,6	15/06/11	ST2209	Zone 2, ST2209, après fouille, vue vers l'Est, détail squelette	M. Remicourt
OA9785_STM11_photo_0604.jpg	0604	6,0	15/06/11	ST2209	Zone 2, ST2209, après fouille, vue vers l'Est, détail squelette	M. Remicourt
OA9785_STM11_photo_0605.jpg	0605	6,7	15/06/11	ST2209	Zone 2, ST2209, après fouille, vue vers l'Est, détail squelette	M. Remicourt
OA9785_STM11_photo_0606.jpg	0606	6,7	15/06/11	ST2209	Zone 2, ST2209, après fouille, vue vers l'Est, détail squelette	M. Remicourt
OA9785_STM11_photo_0607.jpg	0607	6,7	15/06/11	ST2209	Zone 2, ST2209, après fouille, vue vers l'Est, détail squelette	M. Remicourt
OA9785_STM11_photo_0608.jpg	0608	6,6	15/06/11	ST2209	Zone 2, ST2209, après fouille, vue vers l'Est, détail squelette	M. Remicourt
OA9785_STM11_photo_0609.jpg	0609	6,7	15/06/11	ST2209	Zone 2, ST2209, après fouille, vue vers l'Est, détail squelette	M. Remicourt
OA9785_STM11_photo_0610.jpg	0610	6,6	15/06/11	ST2209	Zone 2, ST2209, après fouille, vue vers l'Est, détail squelette	M. Remicourt
OA9785_STM11_photo_0611.jpg	0611	6,6	15/06/11	ST2167	Zone 2, ST2167, après fouille, vue vers le Nord	M. Remicourt
OA9785_STM11_photo_0612.jpg	0612	6,9	15/06/11	ST2096	Zone 2, ST2096, quart Nord-Est, base du Dec 19, vue vers l'Ouest	M. Remicourt
OA9785_STM11_photo_0613.jpg	0613	6,5	15/06/11	ST2157	Zone 2, ST2157, après nettoyage, vue vers le Nord	M. Remicourt
OA9785_STM11_photo_0614.jpg	0614	6,7	15/06/11	ST1050	Zone 1, ST1050, après nettoyage, vue vers le Nord	M. Remicourt

Annexe 8 - Le Clos de Roque, Saint-Maximin-la-Sainte-Baume (83). Inventaire des photographies numériques.

Identifiant	n° cliché	taille (Mo)	date	Structure/Anomalie	Description	Auteur
OA9785_STM11_photo_0615.jpg	0615	6,6	15/06/11	ST1041	Zone 1, ST1041, après nettoyage, vue vers le Nord	M. Remicourt
OA9785_STM11_photo_0616.jpg	0616	6,7	15/06/11	ST1004	Zone 1, ST1004, après nettoyage, vue vers le Nord	M. Remicourt
OA9785_STM11_photo_0617.jpg	0617	6,6	15/06/11	ST1002	Zone 1, ST1002, après nettoyage, vue vers le Nord	M. Remicourt
OA9785_STM11_photo_0618.jpg	0618	6,5	15/06/11	ST1003	Zone 1, ST1003, après nettoyage, vue vers le Nord	M. Remicourt
OA9785_STM11_photo_0619.jpg	0619	6,3	15/06/11	ST1001	Zone 1, ST1001, après nettoyage, vue vers le Nord	M. Remicourt
OA9785_STM11_photo_0620.jpg	0620	6,5	15/06/11	ST1008	Zone 1, ST1008, après nettoyage, vue vers le Nord	M. Remicourt
OA9785_STM11_photo_0621.jpg	0621	6,7	15/06/11	ST1039	Zone 1, ST1039, après nettoyage, vue vers le Nord	M. Remicourt
OA9785_STM11_photo_0622.jpg	0622	6,6	15/06/11	ST1010	Zone 1, ST1010, après nettoyage, vue vers le Nord	M. Remicourt
OA9785_STM11_photo_0623.jpg	0623	6,4	15/06/11	ST1011	Zone 1, ST1011, après nettoyage, vue vers le Nord	M. Remicourt
OA9785_STM11_photo_0624.jpg	0624	6,6	15/06/11	ST2276	Zone 2, ST2276, en cours de fouille, vue vers le Sud, détail céramique	M. Remicourt
OA9785_STM11_photo_0625.jpg	0625	6,3	15/06/11	ST2276	Zone 2, ST2276, en cours de fouille, vue vers le Sud, détail céramique	M. Remicourt
OA9785_STM11_photo_0626.jpg	0626	6,8	15/06/11	ST2276	Zone 2, ST2276, en cours de fouille, vue vers le Sud, détail céramique	M. Remicourt
OA9785_STM11_photo_0627.jpg	0627	6,5	15/06/11	ST2056	Zone 2, ST2056, après nettoyage, vue vers le Nord	M. Remicourt
OA9785_STM11_photo_0628.jpg	0628	6,6	15/06/11	ST1013	Zone 1, ST1013, après nettoyage, vue vers le Nord	M. Remicourt
OA9785_STM11_photo_0629.jpg	0629	6,8	15/06/11	ST1014	Zone 1, ST1014, après nettoyage, vue vers le Nord	M. Remicourt
OA9785_STM11_photo_0630.jpg	0630	6,4	15/06/11	ST2096	Zone 2, ST2096, quart Nord-Est, base du Dec 20, vue vers l'Ouest	M. Remicourt
OA9785_STM11_photo_0631.jpg	0631	6,3	15/06/11	ST2276	Zone 2, ST2276, après fouille, vue vers le Nord	M. Remicourt
OA9785_STM11_photo_0632.jpg	0632	6,6	15/06/11	ST2320	Zone 2, ST2320, après nettoyage, vue vers le Nord	M. Remicourt
OA9785_STM11_photo_0633.jpg	0633	6,6	15/06/11	ST2194	Zone 2, ST2194, coupe Nord-Sud, vue vers le l'Ouest	M. Remicourt
OA9785_STM11_photo_0634.jpg	0634	6,3	15/06/11	ST2056	Zone 2, ST2056, coupe Est-Ouest, vue vers le Nord	M. Remicourt
OA9785_STM11_photo_0635.jpg	0635	6,3	15/06/11	ST1069	Zone 1, ST1069, après nettoyage, vue vers le Nord	M. Remicourt
OA9785_STM11_photo_0636.jpg	0636	6,4	15/06/11	ST1051	Zone 1, ST1051, après nettoyage, vue vers le Nord	M. Remicourt
OA9785_STM11_photo_0637.jpg	0637	6,6	15/06/11	ST1044	Zone 1, ST1044, après nettoyage, vue vers le Nord	M. Remicourt
OA9785_STM11_photo_0638.jpg	0638	6,6	15/06/11	ST1043	Zone 1, ST1043, après nettoyage, vue vers le Nord	M. Remicourt
OA9785_STM11_photo_0639.jpg	0639	6,3	15/06/11	ST1042	Zone 1, ST1042, après nettoyage, vue vers le Nord	M. Remicourt
OA9785_STM11_photo_0640.jpg	0640	6,4	15/06/11	ST1008	Zone 1, ST1008, en cours de fouille détail niveau rubéfié, vue vers le Sud	M. Remicourt
OA9785_STM11_photo_0641.jpg	0641	6,2	15/06/11	ST1008	Zone 1, ST1008, en cours de fouille détail niveau rubéfié, vue vers le Sud	M. Remicourt
OA9785_STM11_photo_0642.jpg	0642	6,5	15/06/11	ST1008	Zone 1, ST1008, en cours de fouille détail niveau rubéfié, vue vers le Sud	M. Remicourt
OA9785_STM11_photo_0643.jpg	0643	6,5	15/06/11	ST2058	Zone 2, ST2058, après fouille, vue vers le Nord	M. Remicourt
OA9785_STM11_photo_0644.jpg	0644	6,7	15/06/11	ST1045	Zone 1, ST1045, après nettoyage, vue vers le Nord	M. Remicourt
OA9785_STM11_photo_0645.jpg	0645	6,5	15/06/11	ST1047	Zone 1, ST1047, après nettoyage, vue vers le Nord	M. Remicourt
OA9785_STM11_photo_0646.jpg	0646	6,6	15/06/11	ST2320	Zone 2, ST2320, coupe Est-Ouest, vue vers le Sud	M. Remicourt
OA9785_STM11_photo_0647.jpg	0647	6,4	15/06/11	ST2056	Zone 2, ST2056, après fouille, vue vers le Nord	M. Remicourt
OA9785_STM11_photo_0648.jpg	0648	6,5	15/06/11	ST2030	Zone 2, ST2030, après nettoyage, vue vers le Nord	M. Remicourt
OA9785_STM11_photo_0649.jpg	0649	6,7	15/06/11	ST2192	Zone 2, ST2192, coupe Est-Ouest, vue vers le Sud	M. Remicourt
OA9785_STM11_photo_0650.jpg	0650	6,7	15/06/11	ST1001	Zone 1, ST1001, coupe Est-Ouest, vue vers le Nord	M. Remicourt
OA9785_STM11_photo_0651.jpg	0651	6,4	15/06/11	ST1039	Zone 1, ST1039, coupe Est-Ouest, vue vers le Nord	M. Remicourt
OA9785_STM11_photo_0652.jpg	0652	6,5	15/06/11	ST2320	Zone 2, ST2320, après fouille, vue vers le Nord	M. Remicourt
OA9785_STM11_photo_0653.jpg	0653	6,6	15/06/11	ST2055	Zone 2, ST2055, après nettoyage, vue vers le Nord	M. Remicourt
OA9785_STM11_photo_0654.jpg	0654	6,4	15/06/11	ST2051	Zone 2, ST2051, après nettoyage, vue vers le Nord	M. Remicourt
OA9785_STM11_photo_0655.jpg	0655	6,5	15/06/11	ST1069	Zone 1, ST1069, coupe Nord-Sud, vue vers l'Ouest	M. Remicourt

Annexe 8 - Le Clos de Roque, Saint-Maximin-la-Sainte-Baume (83). Inventaire des photographies numériques.



Identifiant	n° cliché	taille (Mo)	date	Structure/Anomalie	Description	Auteur
OA9785_STM11_photo_0656.jpg	0656	6,3	15/06/11	ST2050	Zone 2, ST2050, après nettoyage, vue vers le Nord	M. Remicourt
OA9785_STM11_photo_0657.jpg	0657	6,3	15/06/11	ST2052	Zone 2, ST2052, après nettoyage, vue vers le Nord	M. Remicourt
OA9785_STM11_photo_0658.jpg	0658	6,3	15/06/11	ST1008	Zone 1, ST1008, coupe Est-Ouest, vue vers le Sud	M. Remicourt
OA9785_STM11_photo_0659.jpg	0659	6,7	15/06/11	ST1008	Zone 1, ST1008, coupe Est-Ouest, détail, vue vers le Nord	M. Remicourt
OA9785_STM11_photo_0660.jpg	0660	6,5	15/06/11	ST1008	Zone 1, ST1008, coupe Est-Ouest, détail, vue vers le Nord	M. Remicourt
OA9785_STM11_photo_0661.jpg	0661	6,6	15/06/11	ST1008	Zone 1, ST1008, coupe Est-Ouest, détail, vue vers le Nord	M. Remicourt
OA9785_STM11_photo_0662.jpg	0662	6,7	15/06/11	ST1008	Zone 1, ST1008, coupe Est-Ouest, détail, vue vers le Nord	M. Remicourt
OA9785_STM11_photo_0663.jpg	0663	6,3	15/06/11	ST1039	Zone 1, ST1039, après fouille par moitié, vue vers le Nord	M. Remicourt
OA9785_STM11_photo_0664.jpg	0664	6,4	15/06/11	ST1010	Zone 1, ST1010, coupe Est-Ouest, vue vers le Nord	M. Remicourt
OA9785_STM11_photo_0665.jpg	0665	6,3	15/06/11	ST1011	Zone 1, ST1011, coupe Est-Ouest, vue vers le Nord	M. Remicourt
OA9785_STM11_photo_0666.jpg	0666	6,6	15/06/11	ST1002	Zone 1, ST1002, coupe Est-Ouest, vue vers le Nord	M. Remicourt
OA9785_STM11_photo_0667.jpg	0667	6,2	16/06/11	ST1002	Zone 1, ST1002, après fouille par moitié, vue vers le Nord	M. Remicourt
OA9785_STM11_photo_0668.jpg	0668	6,5	16/06/11	ST1004	Zone 1, ST1004, coupe Est-Ouest, vue vers le Nord	M. Remicourt
OA9785_STM11_photo_0669.jpg	0669	6,4	16/06/11	ST1001	Zone 1, ST1001, après fouille par moitié, vue vers le Nord	M. Remicourt
OA9785_STM11_photo_0670.jpg	0670	6,3	16/06/11	ST1042	Zone 1, ST1042, en cours de fouille, détail ossements, vue vers le Nord	M. Remicourt
OA9785_STM11_photo_0671.jpg	0671	6,4	16/06/11	ST2194	Zone 2, ST2194, après fouille, vue vers l'Ouest	M. Remicourt
OA9785_STM11_photo_0672.jpg	0672	6,4	16/06/11	ST2301	Zone 2, ST2301, après nettoyage, vue vers le Nord	M. Remicourt
OA9785_STM11_photo_0673.jpg	0673	6,6	16/06/11	ST2300	Zone 2, ST2300, après nettoyage, vue vers le Nord	M. Remicourt
OA9785_STM11_photo_0674.jpg	0674	6,4	16/06/11	ST2294	Zone 2, ST2294, après nettoyage, vue vers le Nord	M. Remicourt
OA9785_STM11_photo_0675.jpg	0675	6,3	16/06/11	ST2303	Zone 2, ST2303, après nettoyage, vue vers le Nord	M. Remicourt
OA9785_STM11_photo_0676.jpg	0676	6,4	16/06/11	ST2302	Zone 2, ST2302, après nettoyage, vue vers le Nord	M. Remicourt
OA9785_STM11_photo_0677.jpg	0677	6,7	16/06/11	ST2299	Zone 2, ST2299, après nettoyage, vue vers le Nord	M. Remicourt
OA9785_STM11_photo_0678.jpg	0678	6,5	16/06/11	ST2295	Zone 2, ST2295, après nettoyage, vue vers le Nord	M. Remicourt
OA9785_STM11_photo_0679.jpg	0679	6,6	16/06/11	ST2298	Zone 2, ST2298, après nettoyage, vue vers le Nord	M. Remicourt
OA9785_STM11_photo_0680.jpg	0680	6,6	16/06/11	ST2297	Zone 2, ST2297, après nettoyage, vue vers le Nord	M. Remicourt
OA9785_STM11_photo_0681.jpg	0681	6,5	16/06/11	ST2308	Zone 2, ST2308, après nettoyage, vue vers le Nord	M. Remicourt
OA9785_STM11_photo_0682.jpg	0682	6,7	16/06/11	ST2304	Zone 2, ST2304, après nettoyage, vue vers le Nord	M. Remicourt
OA9785_STM11_photo_0683.jpg	0683	6,3	16/06/11	ST2305	Zone 2, ST2305, après nettoyage, vue vers le Nord	M. Remicourt
OA9785_STM11_photo_0684.jpg	0684	7,0	16/06/11	ST2306	Zone 2, ST2306, après nettoyage, vue vers le Nord	M. Remicourt
OA9785_STM11_photo_0685.jpg	0685	6,5	16/06/11	ST1003	Zone 1, ST1003, coupe Est-Ouest, vue vers le Nord	M. Remicourt
OA9785_STM11_photo_0686.jpg	0686	6,5	16/06/11	ST1003	Zone 1, ST1003, coupe Est-Ouest, vue vers le Nord	M. Remicourt
OA9785_STM11_photo_0687.jpg	0687	6,6	16/06/11	ST1057	Zone 1, ST1057, après nettoyage, vue vers le Nord	M. Remicourt
OA9785_STM11_photo_0688.jpg	0688	6,9	16/06/11	ST1055	Zone 1, ST1055, après nettoyage, vue vers le Nord	M. Remicourt
OA9785_STM11_photo_0689.jpg	0689	6,5	16/06/11	ST1056	Zone 1, ST1056, après nettoyage, vue vers le Nord	M. Remicourt
OA9785_STM11_photo_0690.jpg	0690	6,4	16/06/11	ST1054	Zone 1, ST1054, après nettoyage, vue vers le Nord	M. Remicourt
OA9785_STM11_photo_0691.jpg	0691	6,1	16/06/11	ST1010	Zone 1, ST1010, après fouille par moitié, vue vers le Nord	M. Remicourt
OA9785_STM11_photo_0692.jpg	0692	6,2	16/06/11	ST2050	Zone 2, ST2050, coupe Est-Ouest, vue vers le Nord	M. Remicourt
OA9785_STM11_photo_0693.jpg	0693	6,0	16/06/11	ST2030	Zone 2, ST2030, coupe Est-Ouest, vue vers le Nord	M. Remicourt
OA9785_STM11_photo_0694.jpg	0694	6,4	16/06/11	ST1041	Zone 1, ST1041, coupe Est-Ouest, vue vers le Nord	M. Remicourt
OA9785_STM11_photo_0695.jpg	0695	6,2	16/06/11	ST2190	Zone 2, ST2190, après nettoyage, vue vers le Nord	M. Remicourt
OA9785_STM11_photo_0696.jpg	0696	6,4	16/06/11	ST2189	Zone 2, ST2189, après nettoyage, vue vers le Nord	M. Remicourt

**Annexe 8** - Le Clos de Roque, Saint-Maximin-la-Sainte-Baume (83). Inventaire des photographies numériques.

Identifiant	n° cliché	taille (Mo)	date	Structure/Anomalie	Description	Auteur
OA9785_STM11_photo_0697.jpg	0697	7,1	16/06/11	ST1042	Zone 1, ST1042, coupe Est-Ouest, vue vers le Nord	M. Remicourt
OA9785_STM11_photo_0698.jpg	0698	6,5	16/06/11	ST1057	Zone 1, ST1057, en cours de fouille, détail ossements brûlés, vue vers le Sud	M. Remicourt
OA9785_STM11_photo_0699.jpg	0699	6,4	16/06/11	ST1057	Zone 1, ST1057, en cours de fouille, détail ossements brûlés, vue vers le Sud	M. Remicourt
OA9785_STM11_photo_0700.jpg	0700	6,1	16/06/11	ST1011	Zone 1, ST1011, après fouille par moitié, vue vers le Nord	M. Remicourt
OA9785_STM11_photo_0701.jpg	0701	6,4	16/06/11	ST1051	Zone 1, ST1051, après nettoyage, vue vers le Nord	M. Remicourt
OA9785_STM11_photo_0702.jpg	0702	6,6	16/06/11	ST1044	Zone 1, ST1044, après nettoyage, vue vers le Nord	M. Remicourt
OA9785_STM11_photo_0703.jpg	0703	6,1	16/06/11	ST1053	Zone 1, ST1053, après nettoyage, vue vers le Nord	M. Remicourt
OA9785_STM11_photo_0704.jpg	0704	6,6	16/06/11	ST1045	Zone 1, ST1045, après nettoyage, vue vers le Nord	M. Remicourt
OA9785_STM11_photo_0705.jpg	0705	6,8	16/06/11	ST1003	Zone 1, ST1003, en cours de fouille, détail ossements, vue vers le Nord	M. Remicourt
OA9785_STM11_photo_0706.jpg	0706	6,4	16/06/11	ST1004	Zone 1, ST1004, après fouille par moitié, vue vers le Nord	M. Remicourt
OA9785_STM11_photo_0707.jpg	0707	6,7	16/06/11	ST2190	Zone 2, ST2190, coupe Nord-Sud, vue vers l'Ouest	M. Remicourt
OA9785_STM11_photo_0708.jpg	0708	5,6	16/06/11	ST2300	Zone 2, ST2300, coupe Est-Ouest, vue vers le Sud	M. Remicourt
OA9785_STM11_photo_0709.jpg	0709	5,9	16/06/11	ST2301	Zone 2, ST2301, coupe Est-Ouest, vue vers le Sud	M. Remicourt
OA9785_STM11_photo_0710.jpg	0710	6,7	16/06/11	ST2050	Zone 2, ST2050, après fouille, vue vers le Nord	M. Remicourt
OA9785_STM11_photo_0711.jpg	0711	6,4	16/06/11	ST2030	Zone 2, ST2030, après fouille, vue vers le Nord	M. Remicourt
OA9785_STM11_photo_0712.jpg	0712	6,4	16/06/11	ST2190	Zone 2, ST2190, après fouille, vue vers le Nord	M. Remicourt
OA9785_STM11_photo_0713.jpg	0713	7,0	16/06/11	ST2096	Zone 2, ST2096, quart Nord-Est, base du Dec 21, vue vers l'Ouest	M. Remicourt
OA9785_STM11_photo_0714.jpg	0714	6,7	16/06/11	ST1041	Zone 1, ST1041, après fouille par moitié, vue vers le Nord	M. Remicourt
OA9785_STM11_photo_0715.jpg	0715	6,4	16/06/11	ST2031	Zone 2, ST2031, après nettoyage, vue vers le Nord	M. Remicourt
OA9785_STM11_photo_0716.jpg	0716	6,5	16/06/11	ST2033	Zone 2, ST2033, après nettoyage, vue vers le Nord	M. Remicourt
OA9785_STM11_photo_0717.jpg	0717	6,5	16/06/11	ST2189	Zone 2, ST2189, coupe Nord-Sud, vue vers l'Ouest	M. Remicourt
OA9785_STM11_photo_0718.jpg	0718	6,1	16/06/11	ST1044	Zone 1, ST1044, après fouille par moitié, vue vers le Nord	M. Remicourt
OA9785_STM11_photo_0719.jpg	0719	6,6	16/06/11	ST1055	Zone 1, ST1055, coupe Est-Ouest, vue vers le Sud	M. Remicourt
OA9785_STM11_photo_0720.jpg	0720	11,0	16/06/11	ST1055	Zone 1, ST1055, coupe Est-Ouest, vue vers le Sud	M. Remicourt
OA9785_STM11_photo_0721.jpg	0721	9,8	16/06/11	ST2189	Zone 2, ST2189, après fouille, vue vers le Nord	M. Remicourt
OA9785_STM11_photo_0722.jpg	0722	10,8	17/06/11	ST1058	Zone 1, ST1058, après nettoyage, vue vers le Nord	M. Remicourt
OA9785_STM11_photo_0723.jpg	0723	10,4	17/06/11	ST1062	Zone 1, ST1062, après nettoyage, vue vers le Nord	M. Remicourt
OA9785_STM11_photo_0724.jpg	0724	10,6	17/06/11	ST1019	Zone 1, ST1019, après nettoyage, vue vers le Nord	M. Remicourt
OA9785_STM11_photo_0725.jpg	0725	9,2	17/06/11	ST1023	Zone 1, ST1023, après nettoyage, vue vers le Nord	M. Remicourt
OA9785_STM11_photo_0726.jpg	0726	11,3	17/06/11	ST1046	Zone 1, ST1046, après nettoyage, vue vers le Nord	M. Remicourt
OA9785_STM11_photo_0727.jpg	0727	9,4	17/06/11	ST1027	Zone 1, ST1027, après nettoyage, vue vers le Nord	M. Remicourt
OA9785_STM11_photo_0728.jpg	0728	10,5	17/06/11	ST1026	Zone 1, ST1026, après nettoyage, vue vers le Nord	M. Remicourt
OA9785_STM11_photo_0729.jpg	0729	10,6	17/06/11	ST1028	Zone 1, ST1028, après nettoyage, vue vers le Nord	M. Remicourt
OA9785_STM11_photo_0730.jpg	0730	10,7	17/06/11	ST1033	Zone 1, ST1033, après nettoyage, vue vers le Nord	M. Remicourt
OA9785_STM11_photo_0731.jpg	0731	10,5	17/06/11	ST1034	Zone 1, ST1034, après nettoyage, vue vers le Nord	M. Remicourt
OA9785_STM11_photo_0732.jpg	0732	10,5	17/06/11	ST1064	Zone 1, ST1064, après nettoyage, vue vers le Nord	M. Remicourt
OA9785_STM11_photo_0733.jpg	0733	9,7	17/06/11	ST1029	Zone 1, ST1029, après nettoyage, vue vers le Nord	M. Remicourt
OA9785_STM11_photo_0734.jpg	0734	10,1	17/06/11	ST1060	Zone 1, ST1060, après nettoyage, vue vers le Nord	M. Remicourt
OA9785_STM11_photo_0735.jpg	0735	10,5	17/06/11	ST1059	Zone 1, ST1059, après nettoyage, vue vers le Nord	M. Remicourt
OA9785_STM11_photo_0736.jpg	0736	11,2	17/06/11	ST1066	Zone 1, ST1066, après nettoyage, vue vers le Nord	M. Remicourt
OA9785_STM11_photo_0737.jpg	0737	9,4	17/06/11	ST1053	Zone 1, ST1053, après nettoyage, vue vers le Nord	M. Remicourt

Annexe 8 - Le Clos de Roque, Saint-Maximin-la-Sainte-Baume (83). Inventaire des photographies numériques.

Identifiant	n° cliché	taille (Mo)	date	Structure/Anomalie	Description	Auteur
OA9785_STM11_photo_0738.jpg	0738	9,3	17/06/11	ST1052	Zone 1, ST1052, après nettoyage, vue vers le Nord	M. Remicourt
OA9785_STM11_photo_0739.jpg	0739	11,0	17/06/11	ST1054	Zone 1, ST1054, coupe Nord-Sud, vue vers l'Ouest	M. Remicourt
OA9785_STM11_photo_0740.jpg	0740	10,0	17/06/11	ST2033	Zone 2, ST2033, coupe Est-Ouest, vue vers le Nord	M. Remicourt
OA9785_STM11_photo_0741.jpg	0741	11,3	17/06/11	ST2031	Zone 2, ST2031, coupe Est-Ouest, vue vers le Nord	M. Remicourt
OA9785_STM11_photo_0742.jpg	0742	10,1	17/06/11	ST2300	Zone 2, ST2300, après fouille, vue vers le Nord	M. Remicourt
OA9785_STM11_photo_0743.jpg	0743	10,1	17/06/11	ST2033	Zone 2, ST2033, coupe Est-Ouest, vue vers le Sud	M. Remicourt
OA9785_STM11_photo_0744.jpg	0744	9,7	17/06/11	ST2301	Zone 2, ST2301, après fouille, vue vers le Nord	M. Remicourt
OA9785_STM11_photo_0745.jpg	0745	9,7	17/06/11	ST2031	Zone 2, ST2031, après fouille, vue vers le Nord	M. Remicourt
OA9785_STM11_photo_0746.jpg	0746	9,1	17/06/11	ST1057	Zone 1, ST1057, en cours de fouille, vue vers le Sud, détail zone rubéfiée partie Nord	M. Remicourt
OA9785_STM11_photo_0747.jpg	0747	9,0	17/06/11	ST1057	Zone 1, ST1057, en cours de fouille, vue vers le Sud, détail zone rubéfiée partie Nord	M. Remicourt
OA9785_STM11_photo_0748.jpg	0748	9,2	17/06/11	ST2028	Zone 2, ST2028, après nettoyage, vue vers le Nord	M. Remicourt
OA9785_STM11_photo_0749.jpg	0749	9,4	17/06/11	ST1064	Zone 1, ST1064, coupe Est-Ouest, vue vers le Sud	M. Remicourt
OA9785_STM11_photo_0750.jpg	0750	10,8	17/06/11	ST2215	Zone 2, ST2215, après fouille, vue vers le Nord	M. Remicourt
OA9785_STM11_photo_0751.jpg	0751	10,2	17/06/11	ST2215	Zone 2, ST2215, après fouille, vue vers le Nord, détail squelette	M. Remicourt
OA9785_STM11_photo_0752.jpg	0752	9,6	17/06/11	ST2215	Zone 2, ST2215, après fouille, vue vers le Nord, détail squelette	M. Remicourt
OA9785_STM11_photo_0753.jpg	0753	9,2	17/06/11	ST2215	Zone 2, ST2215, après fouille, vue vers l'Est, détail squelette	M. Remicourt
OA9785_STM11_photo_0754.jpg	0754	9,4	17/06/11	ST2215	Zone 2, ST2215, après fouille, vue vers le Sud, détail squelette	M. Remicourt
OA9785_STM11_photo_0755.jpg	0755	9,1	17/06/11	ST2215	Zone 2, ST2215, après fouille, vue vers l'Est, détail squelette	M. Remicourt
OA9785_STM11_photo_0756.jpg	0756	10,4	17/06/11	ST2215	Zone 2, ST2215, après fouille, vue vers l'Est, détail squelette	M. Remicourt
OA9785_STM11_photo_0757.jpg	0757	10,4	17/06/11	ST2215	Zone 2, ST2215, après fouille, vue vers l'Est, détail squelette	M. Remicourt
OA9785_STM11_photo_0758.jpg	0758	9,4	17/06/11	ST2215	Zone 2, ST2215, après fouille, vue vers le Nord, détail squelette	M. Remicourt
OA9785_STM11_photo_0759.jpg	0759	9,4	17/06/11	ST2215	Zone 2, ST2215, après fouille, vue vers le Sud, détail squelette	M. Remicourt
OA9785_STM11_photo_0760.jpg	0760	10,4	17/06/11	ST2215	Zone 2, ST2215, après fouille, vue vers l'Est, détail squelette	M. Remicourt
OA9785_STM11_photo_0761.jpg	0761	9,0	17/06/11	ST2215	Zone 2, ST2215, après fouille, vue vers l'Est, détail squelette	M. Remicourt
OA9785_STM11_photo_0762.jpg	0762	11,4	17/06/11	ST2215	Zone 2, ST2215, après fouille, vue vers l'Est, détail squelette	M. Remicourt
OA9785_STM11_photo_0763.jpg	0763	11,3	17/06/11	ST2215	Zone 2, ST2215, après fouille, vue vers l'Est, détail squelette	M. Remicourt
OA9785_STM11_photo_0764.jpg	0764	9,3	17/06/11	ST2215	Zone 2, ST2215, après fouille, vue vers l'Est, détail squelette	M. Remicourt
OA9785_STM11_photo_0765.jpg	0765	11,1	17/06/11	ST2215	Zone 2, ST2215, après fouille, vue vers l'Est, détail squelette	M. Remicourt
OA9785_STM11_photo_0766.jpg	0766	11,1	17/06/11	ST2215	Zone 2, ST2215, après fouille, vue vers l'Est, détail squelette	M. Remicourt
OA9785_STM11_photo_0767.jpg	0767	9,9	17/06/11	ST2215	Zone 2, ST2215, après fouille, vue vers le Sud, détail squelette	M. Remicourt
OA9785_STM11_photo_0768.jpg	0768	9,0	17/06/11	ST2215	Zone 2, ST2215, après fouille, vue vers le Sud, détail squelette	M. Remicourt
OA9785_STM11_photo_0769.jpg	0769	9,0	17/06/11	ST2215	Zone 2, ST2215, après fouille, vue vers l'Ouest, détail squelette	M. Remicourt
OA9785_STM11_photo_0770.jpg	0770	9,3	17/06/11	ST2215	Zone 2, ST2215, après fouille, vue vers l'Ouest, détail squelette	M. Remicourt
OA9785_STM11_photo_0771.jpg	0771	11,2	17/06/11	ST2215	Zone 2, ST2215, après fouille, vue vers l'Ouest, détail squelette	M. Remicourt
OA9785_STM11_photo_0772.jpg	0772	9,1	17/06/11	ST2215	Zone 2, ST2215, après fouille, vue vers l'Ouest, détail squelette	M. Remicourt
OA9785_STM11_photo_0773.jpg	0773	9,5	17/06/11	ST2215	Zone 2, ST2215, après fouille, vue vers l'Ouest, détail squelette	M. Remicourt
OA9785_STM11_photo_0774.jpg	0774	9,5	17/06/11	ST2215	Zone 2, ST2215, après fouille, vue vers l'Ouest, détail squelette	M. Remicourt
OA9785_STM11_photo_0775.jpg	0775	9,1	17/06/11	ST2215	Zone 2, ST2215, après fouille, vue vers le Sud, détail squelette	M. Remicourt
OA9785_STM11_photo_0776.jpg	0776	9,1	17/06/11	ST2215	Zone 2, ST2215, après fouille, vue vers le Sud, détail squelette	M. Remicourt
OA9785_STM11_photo_0777.jpg	0777	9,0	17/06/11	ST2215	Zone 2, ST2215, après fouille, vue vers le Sud, détail squelette	M. Remicourt
OA9785_STM11_photo_0778.jpg	0778	11,2	17/06/11	ST2215	Zone 2, ST2215, après fouille, vue vers le Sud, détail squelette	M. Remicourt

**Annexe 8** - Le Clos de Roque, Saint-Maximin-la-Sainte-Baume (83). Inventaire des photographies numériques.

Identifiant	n° cliché	taille (Mo)	date	Structure/Anomalie	Description	Auteur
OA9785_STM11_photo_0779.jpg	0779	10,4	17/06/11	ST2033	Zone 2, ST2033, après fouille, vue vers le Nord	M. Remicourt
OA9785_STM11_photo_0780.jpg	0780	11,2	17/06/11	ST1057	Zone 1, ST1057, coupe Est-Ouest, vue vers le Sud	M. Remicourt
OA9785_STM11_photo_0781.jpg	0781	9,9	17/06/11	ST1057	Zone 1, ST1057, coupe Est-Ouest, vue vers le Sud	M. Remicourt
OA9785_STM11_photo_0782.jpg	0782	9,4	17/06/11	ST1057	Zone 1, ST1057, coupe Est-Ouest, vue vers le Sud, détail zone rubéfiée	M. Remicourt
OA9785_STM11_photo_0783.jpg	0783	10,4	17/06/11	ST1003	Zone 1, ST1003, après fouille par moitié, vue vers le Nord	M. Remicourt
OA9785_STM11_photo_0784.jpg	0784	9,3	17/06/11	ST1003	Zone 1, ST1003, après fouille par moitié, vue vers le Sud	M. Remicourt
OA9785_STM11_photo_0785.jpg	0785	9,6	17/06/11	ST2096	Zone 2, ST2096, quart Nord-Est, base du Dec 22, vue vers l'Ouest	M. Remicourt
OA9785_STM11_photo_0786.jpg	0786	9,6	17/06/11	ST2046	Zone 2, ST2046, après nettoyage, vue vers le Nord	M. Remicourt
OA9785_STM11_photo_0787.jpg	0787	9,3	17/06/11	ST1027	Zone 1, ST1027, coupe Est-Ouest, vue vers le Sud	M. Remicourt
OA9785_STM11_photo_0788.jpg	0788	9,5	17/06/11	ST1028	Zone 1, ST1028, coupe Est-Ouest, vue vers le Sud	M. Remicourt
OA9785_STM11_photo_0789.jpg	0789	11,3	17/06/11	ST1034	Zone 1, ST1034, coupe Est-Ouest, vue vers l'Ouest	M. Remicourt
OA9785_STM11_photo_0790.jpg	0790	6,3	20/06/11	ST2192	Zone 2, ST2192, après fouille, vue vers le Nord	M. Remicourt
OA9785_STM11_photo_0791.jpg	0791	6,2	20/06/11	ST2023	Zone 2, ST2023, après nettoyage, vue vers le Nord	M. Remicourt
OA9785_STM11_photo_0792.jpg	0792	6,2	20/06/11	ST2022	Zone 2, ST2022, après nettoyage, vue vers le Nord	M. Remicourt
OA9785_STM11_photo_0793.jpg	0793	6,3	20/06/11	ST2046	Zone 2, ST2046, après nettoyage, vue vers le Nord	M. Remicourt
OA9785_STM11_photo_0794.jpg	0794	6,8	20/06/11	ST2096	Zone 2, ST2096, quart Nord-Est, base du Dec 23, vue vers l'Ouest	M. Remicourt
OA9785_STM11_photo_0795.jpg	0795	6,1	20/06/11	ST1023	Zone 1, ST1023, coupe Est-Ouest, vue vers le Sud	M. Remicourt
OA9785_STM11_photo_0796.jpg	0796	6,1	20/06/11	ST1027	Zone 1, ST1027, après fouille par moitié, vue vers le Sud	M. Remicourt
OA9785_STM11_photo_0797.jpg	0797	6,3	20/06/11	ST1028	Zone 1, ST1028, après fouille par moitié, vue vers le Sud	M. Remicourt
OA9785_STM11_photo_0798.jpg	0798	6,0	20/06/11	ST1034	Zone 1, ST1034, après fouille par moitié, vue vers le Sud	M. Remicourt
OA9785_STM11_photo_0799.jpg	0799	6,4	20/06/11	ST2322	Zone 2, ST2322, après nettoyage, vue vers le Nord	M. Remicourt
OA9785_STM11_photo_0800.jpg	0800	5,9	20/06/11	ST2023	Zone 2, ST2023, coupe Nord-Sud, vue vers l'Ouest	M. Remicourt
OA9785_STM11_photo_0801.jpg	0801	6,4	20/06/11	ST2046	Zone 2, ST2046, coupe Est-Ouest, vue vers le Nord	M. Remicourt
OA9785_STM11_photo_0802.jpg	0802	6,4	20/06/11	ST2323	Zone 2, ST2323, après nettoyage, vue vers le Nord	M. Remicourt
OA9785_STM11_photo_0803.jpg	0803	6,4	20/06/11	ST2324	Zone 2, ST2324, après nettoyage, vue vers le Nord	M. Remicourt
OA9785_STM11_photo_0804.jpg	0804	6,7	20/06/11	ST2325	Zone 2, ST2325, après nettoyage, vue vers le Nord	M. Remicourt
OA9785_STM11_photo_0805.jpg	0805	6,5	20/06/11	ST2303	Zone 2, ST2303, après fouille, vue vers le Nord	M. Remicourt
OA9785_STM11_photo_0806.jpg	0806	6,3	20/06/11	ST2022	Zone 2, ST2022, coupe Nord-Sud, vue vers l'Ouest	M. Remicourt
OA9785_STM11_photo_0807.jpg	0807	6,3	20/06/11	ST2022	Zone 2, ST2022, coupe Nord-Sud, vue vers l'Ouest	M. Remicourt
OA9785_STM11_photo_0808.jpg	0808	6,2	20/06/11	ST2091	Zone 2, ST2091, après nettoyage, vue vers le Nord	M. Remicourt
OA9785_STM11_photo_0809.jpg	0809	6,2	20/06/11	ST2090	Zone 2, ST2090, après nettoyage, vue vers le Nord	M. Remicourt
OA9785_STM11_photo_0810.jpg	0810	6,6	20/06/11	ST2089	Zone 2, ST2089, après nettoyage, vue vers le Nord	M. Remicourt
OA9785_STM11_photo_0811.jpg	0811	6,4	20/06/11	ST2092	Zone 2, ST2092, après nettoyage, vue vers le Nord	M. Remicourt
OA9785_STM11_photo_0812.jpg	0812	6,5	20/06/11	ST2247	Zone 2, ST2247, après nettoyage, vue vers le Nord	M. Remicourt
OA9785_STM11_photo_0813.jpg	0813	6,4	20/06/11	ST2326	Zone 2, ST2326, après nettoyage, vue vers le Nord	M. Remicourt
OA9785_STM11_photo_0814.jpg	0814	6,6	20/06/11	ST1008	Zone 1, ST1008, coupe Est-Ouest, vue vers le Sud	M. Remicourt
OA9785_STM11_photo_0815.jpg	0815	6,8	20/06/11	ST1008	Zone 1, ST1008, coupe Est-Ouest, vue vers le Sud, détail	M. Remicourt
OA9785_STM11_photo_0816.jpg	0816	6,4	20/06/11	ST1008	Zone 1, ST1008, coupe Est-Ouest, vue vers le Sud, détail	M. Remicourt
OA9785_STM11_photo_0817.jpg	0817	6,4	20/06/11	ST1008	Zone 1, ST1008, coupe Est-Ouest, vue vers le Sud, détail	M. Remicourt
OA9785_STM11_photo_0818.jpg	0818	6,5	20/06/11	ST1008	Zone 1, ST1008, coupe Est-Ouest, vue vers le Sud, détail	M. Remicourt
OA9785_STM11_photo_0819.jpg	0819	6,4	20/06/11	ST1008	Zone 1, ST1008, coupe Est-Ouest, vue vers le Sud, détail	M. Remicourt

Annexe 8 - Le Clos de Roque, Saint-Maximin-la-Sainte-Baume (83). Inventaire des photographies numériques.

Identifiant	n° cliché	taille (Mo)	date	Structure/Anomalie	Description	Auteur
OA9785_STM11_photo_0820.jpg	0820	6,5	20/06/11	ST1008	Zone 1, ST1008, coupe Est-Ouest, vue vers le Sud, détail	M. Remicourt
OA9785_STM11_photo_0821.jpg	0821	6,6	20/06/11	ST1008	Zone 1, ST1008, coupe Est-Ouest, vue vers le Sud, détail	M. Remicourt
OA9785_STM11_photo_0822.jpg	0822	6,3	20/06/11	ST2230	Zone 2, ST2230, coupe Est-Ouest, vue vers le Nord	M. Remicourt
OA9785_STM11_photo_0823.jpg	0823	6,6	20/06/11	ST2096	Zone 2, ST2096, quart Nord-Est, base du Dec 24, vue vers l'Ouest	M. Remicourt
OA9785_STM11_photo_0824.jpg	0824	6,4	20/06/11	ST2096	Zone 2, ST2096, quart Nord-Est, base du Dec 24, vue vers l'Ouest	M. Remicourt
OA9785_STM11_photo_0825.jpg	0825	6,5	20/06/11	ST2046	Zone 2, ST2046, après fouille, vue vers le Nord	M. Remicourt
OA9785_STM11_photo_0826.jpg	0826	6,2	20/06/11	ST1013	Zone 1, ST1013, après fouille par moitié, vue vers le Nord	M. Remicourt
OA9785_STM11_photo_0827.jpg	0827	6,8	20/06/11	ST1013	Zone 1, ST1013, après fouille par moitié, vue vers le Sud	M. Remicourt
OA9785_STM11_photo_0828.jpg	0828	6,8	20/06/11	ST2294	Zone 2, ST2294, coupe Est-Ouest, vue vers le Sud	M. Remicourt
OA9785_STM11_photo_0829.jpg	0829	6,5	20/06/11	ST2246	Zone 2, ST2246, après nettoyage, vue vers le Nord	M. Remicourt
OA9785_STM11_photo_0830.jpg	0830	6,3	20/06/11	ST2215	Zone 2, ST2215, après démontage squelette, vue vers le Nord	M. Remicourt
OA9785_STM11_photo_0831.jpg	0831	6,1	20/06/11	ST2215	Zone 2, ST2215, après démontage squelette, vue vers le Nord	M. Remicourt
OA9785_STM11_photo_0832.jpg	0832	6,5	21/06/11	ST2049	Zone 2, ST2049, après nettoyage, vue vers le Nord	M. Remicourt
OA9785_STM11_photo_0833.jpg	0833	6,4	21/06/11	ST2034	Zone 2, ST2034, après nettoyage, vue vers le Nord	M. Remicourt
OA9785_STM11_photo_0834.jpg	0834	6,7	21/06/11	ST2053	Zone 2, ST2053, après nettoyage, vue vers le Nord	M. Remicourt
OA9785_STM11_photo_0835.jpg	0835	6,7	21/06/11	ST1023	Zone 1, ST1023, après fouille par moitié, vue vers le Nord	M. Remicourt
OA9785_STM11_photo_0836.jpg	0836	6,5	21/06/11	ST1023	Zone 1, ST1023, après fouille par moitié, vue vers le Nord	M. Remicourt
OA9785_STM11_photo_0837.jpg	0837	6,6	21/06/11	ST1008	Zone 1, ST1008, coupe Est-Ouest, vue vers le Sud, détail prélèvement micro morphologie 67 et 68	M. Remicourt
OA9785_STM11_photo_0838.jpg	0838	6,5	21/06/11	ST1008	Zone 1, ST1008, coupe Est-Ouest, vue vers le Sud, détail prélèvement micro morphologie 67 et 68	M. Remicourt
OA9785_STM11_photo_0839.jpg	0839	6,3	21/06/11	ST2326	Zone 2, ST2326, coupe Est-Ouest, vue vers le Sud	M. Remicourt
OA9785_STM11_photo_0840.jpg	0840	6,4	21/06/11	ST2322	Zone 2, ST2322, coupe Est-Ouest, vue vers le Sud	M. Remicourt
OA9785_STM11_photo_0841.jpg	0841	6,4	21/06/11	ST2090	Zone 2, ST2090, coupe Est-Ouest, vue vers le Sud	M. Remicourt
OA9785_STM11_photo_0842.jpg	0842	6,6	21/06/11	ST2092	Zone 2, ST2092, coupe Est-Ouest, vue vers le Sud	M. Remicourt
OA9785_STM11_photo_0843.jpg	0843	6,4	21/06/11	ST2323	Zone 2, ST2323, coupe Est-Ouest, vue vers le Sud	M. Remicourt
OA9785_STM11_photo_0844.jpg	0844	6,4	21/06/11	ST2325	Zone 2, ST2325, coupe Est-Ouest, vue vers le Sud	M. Remicourt
OA9785_STM11_photo_0845.jpg	0845	6,5	21/06/11	ST2247	Zone 2, ST2247, coupe Est-Ouest, vue vers le Sud	M. Remicourt
OA9785_STM11_photo_0846.jpg	0846	6,7	21/06/11	ST2053	Zone 2, ST2053, coupe Est-Ouest, vue vers le Nord	M. Remicourt
OA9785_STM11_photo_0847.jpg	0847	6,5	21/06/11	ST2994	Zone 2, ST2294, après fouille, vue vers le Nord	M. Remicourt
OA9785_STM11_photo_0848.jpg	0848	6,4	21/06/11	ST2246	Zone 2, ST2246, coupe Est-Ouest, vue vers le Sud	M. Remicourt
OA9785_STM11_photo_0849.jpg	0849	6,7	21/06/11	ST2049	Zone 2, ST2049, coupe Est-Ouest, vue vers le Nord	M. Remicourt
OA9785_STM11_photo_0850.jpg	0850	6,8	21/06/11	ST2022	Zone 2, ST2022, après fouille, vue vers le Nord	M. Remicourt
OA9785_STM11_photo_0851.jpg	0851	6,2	21/06/11	ST2023	Zone 2, ST2023, après fouille, vue vers le Nord	M. Remicourt
OA9785_STM11_photo_0852.jpg	0852	6,8	21/06/11	ST2022 ET ST2023	Zone 2, ST2022 et ST2023, après fouille, vue vers l'Ouest	M. Remicourt
OA9785_STM11_photo_0853.jpg	0853	7,0	21/06/11	ST2022 ET ST2023	Zone 2, ST2022 et ST2023, après fouille, vue vers l'Ouest	M. Remicourt
OA9785_STM11_photo_0854.jpg	0854	6,7	21/06/11	ST2022 ET ST2023 ET	Zone 2, ST2022, ST2046 et ST2023, après fouille, vue vers le Nord	M. Remicourt
OA9785_STM11_photo_0855.jpg	0855	6,5	21/06/11	ST2022 ET ST2023 ET	Zone 2, ST2022, ST2046 et ST2023, après fouille, vue vers le Nord	M. Remicourt
OA9785_STM11_photo_0856.jpg	0856	6,7	21/06/11	ST2230	Zone 2, ST2230, en cours de fouille, vue vers le Sud, détail niveau rubéfié	M. Remicourt
OA9785_STM11_photo_0857.jpg	0857	6,5	21/06/11	ST2230	Zone 2, ST2230, en cours de fouille, vue vers le Nord, détail niveau rubéfié	M. Remicourt
OA9785_STM11_photo_0858.jpg	0858	6,6	21/06/11	ST1008	Zone 1, ST1008, en cours de fouille, vue vers le Nord	M. Remicourt
OA9785_STM11_photo_0859.jpg	0859	6,3	21/06/11	ST1008	Zone 1, ST1008, en cours de fouille, vue vers le Nord	M. Remicourt
OA9785_STM11_photo_0860.jpg	0860	7,0	21/06/11	ST1008	Zone 1, ST1008, en cours de fouille, vue vers le Nord	M. Remicourt

Annexe 8 - Le Clos de Roque, Saint-Maximin-la-Sainte-Baume (83). Inventaire des photographies numériques.



Identifiant	n° cliché	taille (Mo)	date	Structure/Anomalie	Description	Auteur
OA9785_STM11_photo_0861.jpg	0861	6,4	21/06/11	ST1008	Zone 1, ST1008, en cours de fouille, vue vers le Nord	M. Remicourt
OA9785_STM11_photo_0862.jpg	0862	6,5	21/06/11	ST1008	Zone 1, ST1008, en cours de fouille, vue vers le Nord	M. Remicourt
OA9785_STM11_photo_0863.jpg	0863	6,8	21/06/11	ST2295	Zone 2, ST2295, coupe Est-Ouest, vue vers le Sud	M. Remicourt
OA9785_STM11_photo_0864.jpg	0864	6,7	21/06/11	ST2247	Zone 2, ST2247, en cours de fouille, vue vers le Sud, détail ossements	M. Remicourt
OA9785_STM11_photo_0865.jpg	0865	6,3	21/06/11	ST2247	Zone 2, ST2247, en cours de fouille, vue vers le Nord, détail ossements	M. Remicourt
OA9785_STM11_photo_0866.jpg	0866	6,3	21/06/11	ST1008	Zone 1, ST1008, en cours de fouille, vue vers le Nord	M. Remicourt
OA9785_STM11_photo_0867.jpg	0867	6,7	21/06/11	ST1008	Zone 1, ST1008, en cours de fouille, vue vers le Nord	M. Remicourt
OA9785_STM11_photo_0868.jpg	0868	6,5	21/06/11	ST1008	Zone 1, ST1008, en cours de fouille, vue vers le Nord	M. Remicourt
OA9785_STM11_photo_0869.jpg	0869	6,6	21/06/11	ST2096	Zone 2, ST2096, quart Nord-Est, base du Dec 25, vue vers le Nord	M. Remicourt
OA9785_STM11_photo_0870.jpg	0870	6,4	21/06/11	ST2096	Zone 2, ST2096, quart Nord-Est, base du Dec 25, vue vers le Nord, détail sédiment	M. Remicourt
OA9785_STM11_photo_0871.jpg	0871	6,8	21/06/11	ST2295	Zone 2, ST2295, après fouille, vue vers le Nord	M. Remicourt
OA9785_STM11_photo_0872.jpg	0872	6,3	21/06/11	ST2299	Zone 2, ST2299, coupe Est-Ouest, vue vers le Sud	M. Remicourt
OA9785_STM11_photo_0873.jpg	0873	6,2	21/06/11	ST2304	Zone 2, ST2304, coupe Est-Ouest, vue vers le Sud	M. Remicourt
OA9785_STM11_photo_0874.jpg	0874	6,6	21/06/11	ST2053	Zone 2, ST2053, après fouille, vue vers le Nord	M. Remicourt
OA9785_STM11_photo_0875.jpg	0875	6,4	21/06/11	ST2049	Zone 2, ST2049, après fouille, vue vers le Nord	M. Remicourt
OA9785_STM11_photo_0876.jpg	0876	6,7	21/06/11	ST2048	Zone 2, ST2048, après nettoyage, vue vers le Nord	M. Remicourt
OA9785_STM11_photo_0877.jpg	0877	6,2	21/06/11	ST2036	Zone 2, ST2036, après nettoyage, vue vers le Nord	M. Remicourt
OA9785_STM11_photo_0878.jpg	0878	6,6	21/06/11	ST2094	Zone 2, ST2094, coupe Est-Ouest, vue vers le Sud	M. Remicourt
OA9785_STM11_photo_0879.jpg	0879	6,5	21/06/11	ST2094	Zone 2, ST2094, coupe Est-Ouest, vue vers le Sud	M. Remicourt
OA9785_STM11_photo_0880.jpg	0880	6,3	21/06/11	ST2094	Zone 2, ST2094, coupe Est-Ouest, vue vers le Sud	M. Remicourt
OA9785_STM11_photo_0881.jpg	0881	6,6	21/06/11	ST2299	Zone 2, ST2299, après fouille, vue vers le Nord	M. Remicourt
OA9785_STM11_photo_0882.jpg	0882	6,7	21/06/11	ST2034	Zone 2, ST2034, après fouille, vue vers le Nord	M. Remicourt
OA9785_STM11_photo_0883.jpg	0883	6,7	21/06/11	ST2048	Zone 2, ST2048, coupe Est-Ouest, vue vers le Sud	M. Remicourt
OA9785_STM11_photo_0884.jpg	0884	6,3	21/06/11	ST2326	Zone 2, ST2326, après fouille par moitié, vue vers le Nord	M. Remicourt
OA9785_STM11_photo_0885.jpg	0885	6,6	21/06/11	ST2322	Zone 2, ST2322, après fouille par moitié, vue vers le Nord	M. Remicourt
OA9785_STM11_photo_0886.jpg	0886	6,3	21/06/11	ST2323	Zone 2, ST2323, après fouille par moitié, vue vers le Nord	M. Remicourt
OA9785_STM11_photo_0887.jpg	0887	6,0	21/06/11	ST2325	Zone 2, ST2325, après fouille par moitié, vue vers le Nord	M. Remicourt
OA9785_STM11_photo_0888.jpg	0888	6,6	21/06/11	ST2246	Zone 2, ST2246, après fouille par moitié, vue vers le Nord	M. Remicourt
OA9785_STM11_photo_0889.jpg	0889	6,4	21/06/11	ST2091	Zone 2, ST2091, coupe Est-Ouest, vue vers le Nord	M. Remicourt
OA9785_STM11_photo_0890.jpg	0890	6,4	21/06/11	ST1008	Zone 1, ST1008, après fouille par moitié, vue vers le Sud	M. Remicourt
OA9785_STM11_photo_0891.jpg	0891	6,5	21/06/11	ST1070	Zone 1, ST1070, après nettoyage, vue vers le Nord	M. Remicourt
OA9785_STM11_photo_0892.jpg	0892	6,3	21/06/11	ST1070	Zone 1, ST1070, coupe Est-Ouest, vue vers le Sud	M. Remicourt
OA9785_STM11_photo_0893.jpg	0893	6,7	21/06/11	ST2077	Zone 2, ST2077, après nettoyage, vue vers le Nord	M. Remicourt
OA9785_STM11_photo_0894.jpg	0894	6,6	21/06/11	ST2078	Zone 2, ST2078, après nettoyage, vue vers le Nord	M. Remicourt
OA9785_STM11_photo_0895.jpg	0895	6,5	21/06/11	ST2079	Zone 2, ST2079, après nettoyage, vue vers le Nord	M. Remicourt
OA9785_STM11_photo_0896.jpg	0896	6,6	21/06/11	ST2080	Zone 2, ST2080, après nettoyage, vue vers le Nord	M. Remicourt
OA9785_STM11_photo_0897.jpg	0897	6,5	21/06/11	ST2081	Zone 2, ST2081, après nettoyage, vue vers le Nord	M. Remicourt
OA9785_STM11_photo_0898.jpg	0898	7,1	21/06/11	ST2083	Zone 2, ST2083, après nettoyage, vue vers le Nord	M. Remicourt
OA9785_STM11_photo_0899.jpg	0899	6,5	21/06/11	ST2076	Zone 2, ST2076, après nettoyage, vue vers le Nord	M. Remicourt
OA9785_STM11_photo_0900.jpg	0900	6,5	21/06/11	ST2089	Zone 2, ST2089, coupe Est-Ouest, vue vers le Sud	M. Remicourt
OA9785_STM11_photo_0901.jpg	0901	6,6	21/06/11	ST2324	Zone 2, ST2324, coupe Est-Ouest, vue vers le Sud	M. Remicourt

Annexe 8 - Le Clos de Roque, Saint-Maximin-la-Sainte-Baume (83). Inventaire des photographies numériques.



Identifiant	n° cliché	taille (Mo)	date	Structure/A normalie	Description	Auteur
OA9785_STM11_photo_0902.jpg	0902	6,5	21/06/11	ST2088	Zone 2, ST2088, après nettoyage, vue vers le Nord	M. Remicourt
OA9785_STM11_photo_0903.jpg	0903	6,6	21/06/11	ST2278	Zone 2, ST2278, après nettoyage, vue vers le Nord	M. Remicourt
OA9785_STM11_photo_0904.jpg	0904	6,6	22/06/11	ST2033	Zone 2, ST2033, après fouille, vue vers le Nord	M. Remicourt
OA9785_STM11_photo_0905.jpg	0905	6,4	22/06/11	ST2084	Zone 2, ST2084, après nettoyage, vue vers le Nord	M. Remicourt
OA9785_STM11_photo_0906.jpg	0906	6,7	22/06/11	ST2074	Zone 2, ST2074, après nettoyage, vue vers le Nord	M. Remicourt
OA9785_STM11_photo_0907.jpg	0907	6,5	22/06/11	ST2230	Zone 2, ST2230, après fouille, vue vers le Nord	M. Remicourt
OA9785_STM11_photo_0908.jpg	0908	6,5	22/06/11	ST2230	Zone 2, ST2230, après fouille, vue vers le Nord	M. Remicourt
OA9785_STM11_photo_0909.jpg	0909	6,3	22/06/11	ST2094	Zone 2, ST2094, relevé de la coupe (GG)	M. Remicourt
OA9785_STM11_photo_0910.jpg	0910	6,4	22/06/11	ST2094	Zone 2, ST2094, prélèvement micromorphologique coupe Est-Ouest, vue vers le Sud	M. Remicourt
OA9785_STM11_photo_0911.jpg	0911	6,4	22/06/11	ST2094	Zone 2, ST2094, prélèvement micromorphologique coupe Est-Ouest, vue vers le Sud, détail	M. Remicourt
OA9785_STM11_photo_0912.jpg	0912	6,7	22/06/11	ST2094	Zone 2, ST2094, prélèvement micromorphologique coupe Est-Ouest, vue vers le Sud, détail	M. Remicourt
OA9785_STM11_photo_0913.jpg	0913	6,8	22/06/11	ST2094	Zone 2, ST2094, prélèvement micromorphologique coupe Est-Ouest, vue vers le Sud, détail	M. Remicourt
OA9785_STM11_photo_0914.jpg	0914	6,6	22/06/11	ST2275	Zone 2, ST2275, après nettoyage, vue vers le Nord	M. Remicourt
OA9785_STM11_photo_0915.jpg	0915	6,4	22/06/11	ST2197	Zone 2, ST2197, après nettoyage, vue vers le Nord	M. Remicourt
OA9785_STM11_photo_0916.jpg	0916	6,3	22/06/11	ST2048	Zone 2, ST2048, après fouille, vue vers le Nord	M. Remicourt
OA9785_STM11_photo_0917.jpg	0917	6,3	22/06/11	ST2036	Zone 2, ST2036, coupe Est-Ouest, vue vers le Sud	M. Remicourt
OA9785_STM11_photo_0918.jpg	0918	6,6	22/06/11	ST2035	Zone 2, ST2035, après nettoyage, vue vers le Nord	M. Remicourt
OA9785_STM11_photo_0919.jpg	0919	6,4	22/06/11	ST2278	Zone 2, ST2278, coupe Nord-Sud, vue vers l'Est	M. Remicourt
OA9785_STM11_photo_0920.jpg	0920	6,9	22/06/11	ST2047	Zone 2, ST2047, après nettoyage, vue vers le Nord	M. Remicourt
OA9785_STM11_photo_0921.jpg	0921	6,5	22/06/11	ST2231	Zone 2, ST2231, après nettoyage, vue vers le Nord	M. Remicourt
OA9785_STM11_photo_0922.jpg	0922	6,9	22/06/11	ST2085	Zone 2, ST2085, après nettoyage, vue vers le Nord	M. Remicourt
OA9785_STM11_photo_0923.jpg	0923	6,4	22/06/11	ST2096	Zone 2, ST2096, coupe Est-Ouest, quart Nord-Est, vue vers le Sud	M. Remicourt
OA9785_STM11_photo_0924.jpg	0924	6,8	22/06/11	ST2096	Zone 2, ST2096, coupe Est-Ouest, quart Nord-Est, vue vers le Sud	M. Remicourt
OA9785_STM11_photo_0925.jpg	0925	6,9	22/06/11	ST2096	Zone 2, ST2096, coupe Est-Ouest, quart Nord-Est, vue vers le Sud	M. Remicourt
OA9785_STM11_photo_0926.jpg	0926	6,5	22/06/11	ST2096	Zone 2, ST2096, coupe Est-Ouest, quart Nord-Est, vue vers le Sud, détail	M. Remicourt
OA9785_STM11_photo_0927.jpg	0927	6,8	22/06/11	ST2096	Zone 2, ST2096, coupe Est-Ouest, quart Nord-Est, vue vers le Sud, détail	M. Remicourt
OA9785_STM11_photo_0928.jpg	0928	6,7	22/06/11	ST2096	Zone 2, ST2096, coupe Est-Ouest, quart Nord-Est, vue vers l'Ouest	M. Remicourt
OA9785_STM11_photo_0929.jpg	0929	6,3	22/06/11	ST2096	Zone 2, ST2096, coupe Est-Ouest, quart Nord-Est, vue vers l'Ouest	M. Remicourt
OA9785_STM11_photo_0930.jpg	0930	6,6	22/06/11	ST2096	Zone 2, ST2096, coupe Est-Ouest, quart Nord-Est, vue vers l'Ouest, détail	M. Remicourt
OA9785_STM11_photo_0931.jpg	0931	6,7	22/06/11	ST2096	Zone 2, ST2096, coupe Est-Ouest, quart Nord-Est, vue vers l'Ouest, détail	M. Remicourt
OA9785_STM11_photo_0932.jpg	0932	6,4	22/06/11	ST2096	Zone 2, ST2096, coupe Est-Ouest, quart Nord-Est, vue vers le Sud, détail	M. Remicourt
OA9785_STM11_photo_0933.jpg	0933	6,4	22/06/11	ST2096	Zone 2, ST2096, coupe Est-Ouest, quart Nord-Est, vue vers le Sud-Ouest	M. Remicourt
OA9785_STM11_photo_0934.jpg	0934	6,4	22/06/11	ST2096	Zone 2, ST2096, coupe Est-Ouest, quart Nord-Est, vue vers le Sud-Ouest	M. Remicourt
OA9785_STM11_photo_0935.jpg	0935	6,4	22/06/11	ST2096	Zone 2, ST2096, coupe Est-Ouest, quart Nord-Est, vue vers le Sud-Ouest	M. Remicourt
OA9785_STM11_photo_0936.jpg	0936	6,4	22/06/11	ST2096	Zone 2, ST2096, coupe Est-Ouest, quart Nord-Est, vue vers le Sud-Ouest	M. Remicourt
OA9785_STM11_photo_0937.jpg	0937	6,2	22/06/11	ST2096	Zone 2, ST2096, coupe Est-Ouest, quart Nord-Est, vue vers le Sud-Ouest	M. Remicourt
OA9785_STM11_photo_0938.jpg	0938	6,3	22/06/11	ST2096	Zone 2, ST2096, coupe Est-Ouest, quart Nord-Est, vue vers le Sud	M. Remicourt
OA9785_STM11_photo_0939.jpg	0939	6,4	22/06/11	ST2096	Zone 2, ST2096, coupe Est-Ouest, quart Nord-Est, vue vers le Sud-Ouest	M. Remicourt
OA9785_STM11_photo_0940.jpg	0940	6,6	22/06/11	ST2096	Zone 2, ST2096, coupe Est-Ouest, quart Nord-Est, vue vers le Sud-Ouest	M. Remicourt
OA9785_STM11_photo_0941.jpg	0941	6,6	22/06/11	ST2215	Zone 2, ST2215, coupe Est-Ouest, vue vers le Sud	M. Remicourt
OA9785_STM11_photo_0942.jpg	0942	6,3	22/06/11	ST2308	Zone 2, ST2308, coupe Est-Ouest, vue vers le Sud	M. Remicourt

Annexe 8 - Le Clos de Roque, Saint-Maximin-la-Sainte-Baume (83). Inventaire des photographies numériques.

Identifiant	n° cliché	taille (Mo)	date	Structure/Anomalie	Description	Auteur
OA9785_STM11_photo_0943.jpg	0943	6,6	22/06/11	ST2096	Zone 2, ST2096, coupe Est-Ouest, quart Nord-Est, vue vers le Sud	M. Remicourt
OA9785_STM11_photo_0944.jpg	0944	6,5	22/06/11	ST2096	Zone 2, ST2096, coupe Est-Ouest, quart Nord-Est, vue vers le Sud	M. Remicourt
OA9785_STM11_photo_0945.jpg	0945	6,5	22/06/11	ST2096	Zone 2, ST2096, coupe Est-Ouest, quart Nord-Est, vue vers le Sud	M. Remicourt
OA9785_STM11_photo_0946.jpg	0946	6,5	22/06/11	ST2096	Zone 2, ST2096, coupe Est-Ouest, quart Nord-Est, vue vers le Sud	M. Remicourt
OA9785_STM11_photo_0947.jpg	0947	6,7	22/06/11	ST2096	Zone 2, ST2096, coupe Est-Ouest, quart Nord-Est, vue vers le Sud	M. Remicourt
OA9785_STM11_photo_0948.jpg	0948	6,8	22/06/11	ST2096	Zone 2, ST2096, coupe Est-Ouest, quart Nord-Est, vue vers le Sud, détail	M. Remicourt
OA9785_STM11_photo_0949.jpg	0949	6,3	22/06/11	ST2096	Zone 2, ST2096, coupe Est-Ouest, quart Nord-Est, vue vers le Sud, détail	M. Remicourt
OA9785_STM11_photo_0950.jpg	0950	6,7	22/06/11	ST2096	Zone 2, ST2096, coupe Est-Ouest, quart Nord-Est, vue vers l'Ouest, détail	M. Remicourt
OA9785_STM11_photo_0951.jpg	0951	6,7	22/06/11	ST2096	Zone 2, ST2096, coupe Est-Ouest, quart Nord-Est, vue vers l'Ouest, détail	M. Remicourt
OA9785_STM11_photo_0952.jpg	0952	6,6	22/06/11	ST2096	Zone 2, ST2096, coupe Est-Ouest, quart Nord-Est, vue vers l'Ouest, détail	M. Remicourt
OA9785_STM11_photo_0953.jpg	0953	6,5	22/06/11	ST2096	Zone 2, ST2096, coupe Est-Ouest, quart Nord-Est, vue vers l'Ouest, détail	M. Remicourt
OA9785_STM11_photo_0954.jpg	0954	6,6	22/06/11	ST2096	Zone 2, ST2096, coupe Est-Ouest, quart Nord-Est, vue vers le Sud, détail	M. Remicourt
OA9785_STM11_photo_0955.jpg	0955	6,5	22/06/11	ST2328	Zone 2, ST2328, coupe Est-Ouest, vue vers le Nord	M. Remicourt
OA9785_STM11_photo_0956.jpg	0956	6,5	22/06/11	ST2328	Zone 2, ST2328, coupe Est-Ouest, vue vers le Nord	M. Remicourt
OA9785_STM11_photo_0957.jpg	0957	6,5	22/06/11	ST2328	Zone 2, ST2328, coupe Est-Ouest, vue vers le Nord, détail	M. Remicourt
OA9785_STM11_photo_0958.jpg	0958	6,7	22/06/11	ST2328	Zone 2, ST2328, coupe Est-Ouest, vue vers le Nord, détail	M. Remicourt
OA9785_STM11_photo_0959.jpg	0959	6,7	22/06/11	ST2328	Zone 2, ST2328, coupe Est-Ouest, vue vers le Nord	M. Remicourt
OA9785_STM11_photo_0960.jpg	0960	6,7	22/06/11	ST2328	Zone 2, ST2328, coupe Est-Ouest, vue vers le Nord	M. Remicourt
OA9785_STM11_photo_0961.jpg	0961	6,5	22/06/11	ST2328	Zone 2, ST2328, coupe Est-Ouest, vue vers le Nord, détail	M. Remicourt
OA9785_STM11_photo_0962.jpg	0962	6,5	22/06/11	ST2328	Zone 2, ST2328, coupe Est-Ouest, vue vers le Nord, détail	M. Remicourt
OA9785_STM11_photo_0963.jpg	0963	6,6	22/06/11	ST2328	Zone 2, ST2328, coupe Est-Ouest, vue vers le Nord, détail	M. Remicourt
OA9785_STM11_photo_0964.jpg	0964	6,6	22/06/11	ST2328	Zone 2, ST2328, coupe Est-Ouest, vue vers le Nord, détail	M. Remicourt
OA9785_STM11_photo_0965.jpg	0965	5,5	22/06/11	ST2328	Zone 2, ST2328, coupe Est-Ouest, vue vers le Nord, détail	M. Remicourt
OA9785_STM11_photo_0966.jpg	0966	6,4	22/06/11	ST2328	Zone 2, ST2328, coupe Est-Ouest, vue vers le Nord, détail	M. Remicourt
OA9785_STM11_photo_0967.jpg	0967	6,1	22/06/11	ST2328	Zone 2, ST2328, coupe Est-Ouest, vue vers le Nord, détail	M. Remicourt
OA9785_STM11_photo_0968.jpg	0968	6,4	22/06/11	ST2328	Zone 2, ST2328, coupe Est-Ouest, vue vers le Nord, détail	M. Remicourt
OA9785_STM11_photo_0969.jpg	0969	6,5	22/06/11	ST2328	Zone 2, ST2328, coupe Est-Ouest, vue vers le Nord	M. Remicourt
OA9785_STM11_photo_0970.jpg	0970	6,7	22/06/11	ST2328	Zone 2, ST2328, coupe Est-Ouest, vue vers le Nord, détail	M. Remicourt
OA9785_STM11_photo_0971.jpg	0971	6,3	22/06/11	ST2328	Zone 2, ST2328, coupe Est-Ouest, vue vers le Nord, détail	M. Remicourt
OA9785_STM11_photo_0972.jpg	0972	6,3	22/06/11	ST2328	Zone 2, ST2328, coupe Est-Ouest, vue vers le Nord, détail	M. Remicourt
OA9785_STM11_photo_0973.jpg	0973	6,4	22/06/11	ST2328	Zone 2, ST2328, coupe Est-Ouest, vue vers le Nord, détail	M. Remicourt
OA9785_STM11_photo_0974.jpg	0974	6,4	22/06/11	ST2328	Zone 2, ST2328, coupe Est-Ouest, vue vers le Nord, détail	M. Remicourt
OA9785_STM11_photo_0975.jpg	0975	6,6	22/06/11	ST2328	Zone 2, ST2328, coupe Est-Ouest, vue vers le Nord, détail	M. Remicourt
OA9785_STM11_photo_0976.jpg	0976	6,7	22/06/11	ST2328	Zone 2, ST2328, coupe Est-Ouest, vue vers le Nord, détail	M. Remicourt
OA9785_STM11_photo_0977.jpg	0977	6,4	22/06/11	ST2328	Zone 2, ST2328, coupe Est-Ouest, vue vers le Nord, détail	M. Remicourt
OA9785_STM11_photo_0978.jpg	0978	6,2	22/06/11	ST2328	Zone 2, ST2328, coupe Est-Ouest, vue vers le Nord, détail	M. Remicourt
OA9785_STM11_photo_0979.jpg	0979	6,4	22/06/11	ST2328	Zone 2, ST2328, coupe Est-Ouest, vue vers le Nord, détail	M. Remicourt
OA9785_STM11_photo_0980.jpg	0980	6,5	22/06/11	ST2197	Zone 2, ST2197, coupe Est-Ouest, vue vers le Nord	M. Remicourt
OA9785_STM11_photo_0981.jpg	0981	6,2	22/06/11	ST2278	Zone 2, ST2278, après fouille, vue vers le Nord	M. Remicourt
OA9785_STM11_photo_0982.jpg	0982	6,8	22/06/11	ST2297	Zone 2, ST2297, coupe Est-Ouest, vue vers le Sud	M. Remicourt
OA9785_STM11_photo_0983.jpg	0983	6,4	22/06/11	ST2302	Zone 2, ST2302, après fouille, vue vers le Nord	M. Remicourt

Annexe 8 - Le Clos de Roque, Saint-Maximin-la-Sainte-Baume (83). Inventaire des photographies numériques.

Identifiant	n° cliché	taille (Mo)	date	Structure/Anomalie	Description	Auteur
OA9785_STM11_photo_0984.jpg	0984	6,7	22/06/11	ST2298	Zone 2, ST2298, coupe Est-Ouest, vue vers le Sud	M. Remicourt
OA9785_STM11_photo_0985.jpg	0985	6,6	22/06/11	ST2197	Zone 2, ST2197, après fouille, vue vers le Nord	M. Remicourt
OA9785_STM11_photo_0986.jpg	0986	6,3	22/06/11	ST2036	Zone 2, ST2036, après fouille, vue vers le Nord	M. Remicourt
OA9785_STM11_photo_0987.jpg	0987	6,3	22/06/11	ST2035	Zone 2, ST2035, coupe Est-Ouest, vue vers le Sud	M. Remicourt
OA9785_STM11_photo_0988.jpg	0988	6,3	22/06/11	ambiance	Zone 2, ambiance fouille	M. Remicourt
OA9785_STM11_photo_0989.jpg	0989	6,4	22/06/11	ST2328	Zone 2, ST2328, relevé de la coupe (GG)	M. Remicourt
OA9785_STM11_photo_0990.jpg	0990	6,5	22/06/11	ambiance	Zone 2, ambiance fouille	M. Remicourt
OA9785_STM11_photo_0991.jpg	0991	6,4	22/06/11	ambiance	Zone 2, ambiance fouille	M. Remicourt
OA9785_STM11_photo_0992.jpg	0992	6,6	22/06/11	ambiance	Zone 2, ambiance fouille	M. Remicourt
OA9785_STM11_photo_0993.jpg	0993	6,1	22/06/11	ST2329	Zone 2, ST2329, après nettoyage, vue vers le Nord	M. Remicourt
OA9785_STM11_photo_0994.jpg	0994	6,1	22/06/11	ST2328	Zone 2, ST2328, coupe Est-Ouest, vue vers le Nord	M. Remicourt
OA9785_STM11_photo_0995.jpg	0995	6,0	22/06/11	ST2328	Zone 2, ST2328, coupe Est-Ouest, vue vers le Nord, détail	M. Remicourt
OA9785_STM11_photo_0996.jpg	0996	6,5	22/06/11	ST2328	Zone 2, ST2328, coupe Est-Ouest, prélèvement micromorphologique, vue vers le Nord, détail	M. Remicourt
OA9785_STM11_photo_0997.jpg	0997	6,4	22/06/11	ST2328	Zone 2, ST2328, coupe Est-Ouest, prélèvement micromorphologique, vue vers le Nord, détail	M. Remicourt
OA9785_STM11_photo_0998.jpg	0998	6,4	22/06/11	ST2202	Zone 2, ST2202, après nettoyage, vue vers le Nord	M. Remicourt
OA9785_STM11_photo_0999.jpg	0999	6,7	22/06/11	ST2298	Zone 2, ST2298, après fouille, vue vers le Nord	M. Remicourt
OA9785_STM11_photo_1000.jpg	1000	6,5	22/06/11	ST2308	Zone 2, ST2308, coupe Est-Ouest, vue vers le Sud	M. Remicourt
OA9785_STM11_photo_1001.jpg	1001	6,4	22/06/11	ST2297	Zone 2, ST2297, après fouille, vue vers le Nord	M. Remicourt
OA9785_STM11_photo_1002.jpg	1002	6,1	22/06/11	ST2280	Zone 2, ST2280, après nettoyage, vue vers le Nord	M. Remicourt
OA9785_STM11_photo_1003.jpg	1003	6,5	22/06/11	ST2282	Zone 2, ST2282, après nettoyage, vue vers le Nord	M. Remicourt
OA9785_STM11_photo_1004.jpg	1004	6,6	22/06/11	ST2280	Zone 2, ST2280, coupe Est-Ouest, vue vers le Sud	M. Remicourt
OA9785_STM11_photo_1005.jpg	1005	6,5	22/06/11	ST2281	Zone 2, ST2281, après nettoyage, vue vers le Nord	M. Remicourt
OA9785_STM11_photo_1006.jpg	1006	6,8	22/06/11	ST2282	Zone 2, ST2282, coupe Est-Ouest, vue vers le Sud	M. Remicourt
OA9785_STM11_photo_1007.jpg	1007	6,3	22/06/11	ST2281	Zone 2, ST2281, coupe Est-Ouest, vue vers le Sud	M. Remicourt
OA9785_STM11_photo_1008.jpg	1008	6,2	22/06/11	ST2330	Zone 2, ST2330, après nettoyage, vue vers le Nord	M. Remicourt
OA9785_STM11_photo_1009.jpg	1009	6,2	22/06/11	ST2331	Zone 2, ST2331, après nettoyage, vue vers le Nord	M. Remicourt
OA9785_STM11_photo_1010.jpg	1010	6,6	22/06/11	ST2215	Zone 2, ST2215, après fouille, vue vers le Nord	M. Remicourt
OA9785_STM11_photo_1011.jpg	1011	6,6	22/06/11	ST2202	Zone 2, ST2202, coupe Est-Ouest, vue vers le Nord	M. Remicourt
OA9785_STM11_photo_1012.jpg	1012	6,3	22/06/11	ST2047	Zone 2, ST2047, coupe Est-Ouest, vue vers le Sud	M. Remicourt
OA9785_STM11_photo_1013.jpg	1013	6,2	22/06/11	ST2040	Zone 2, ST2040, après nettoyage, vue vers le Nord	M. Remicourt
OA9785_STM11_photo_1014.jpg	1014	6,1	22/06/11	ST2039	Zone 2, ST2039, après nettoyage, vue vers le Nord	M. Remicourt
OA9785_STM11_photo_1015.jpg	1015	6,1	22/06/11	ST2038	Zone 2, ST2038, après nettoyage, vue vers le Nord	M. Remicourt
OA9785_STM11_photo_1016.jpg	1016	6,0	22/06/11	ST2037	Zone 2, ST2037, après nettoyage, vue vers le Nord	M. Remicourt
OA9785_STM11_photo_1017.jpg	1017	6,5	22/06/11	ST2071	Zone 2, ST2071, après nettoyage, vue vers le Nord	M. Remicourt
OA9785_STM11_photo_1018.jpg	1018	6,4	22/06/11	ST2072	Zone 2, ST2072, après nettoyage, vue vers le Nord	M. Remicourt
OA9785_STM11_photo_1019.jpg	1019	6,7	22/06/11	ST2202	Zone 2, ST2202, après fouille, vue vers le Nord	M. Remicourt
OA9785_STM11_photo_1020.jpg	1020	6,6	22/06/11	secteur H3	Zone 2, Secteur H3, trous de poteau, vue vers le Nord	M. Remicourt
OA9785_STM11_photo_1021.jpg	1021	6,5	22/06/11	secteur H3	Zone 2, Secteur H3, trous de poteau, vue vers le Nord	M. Remicourt
OA9785_STM11_photo_1022.jpg	1022	6,7	22/06/11	secteur H3	Zone 2, Secteur H3, trous de poteau, vue vers le Nord	M. Remicourt
OA9785_STM11_photo_1023.jpg	1023	6,5	22/06/11	ST2328	Zone 2, ST2328, coupe Est-Ouest, vue vers le Nord	M. Remicourt
OA9785_STM11_photo_1024.jpg	1024	6,5	22/06/11	ST2328	Zone 2, ST2328, coupe Est-Ouest, vue vers le Nord, détail	M. Remicourt

**Annexe 8** - Le Clos de Roque, Saint-Maximin-la-Sainte-Baume (83). Inventaire des photographies numériques.

Identifiant	n° cliché	taille (Mo)	date	Structure/Anomalie	Description	Auteur
OA9785_STM11_photo_1025.jpg	1025	6,6	22/06/11	ST2328	Zone 2, ST2328, coupe Est-Ouest, vue vers le Nord, détail	M. Remicourt
OA9785_STM11_photo_1026.jpg	1026	6,0	22/06/11	ST2328	Zone 2, ST2328, coupe Est-Ouest, vue vers le Nord, détail	M. Remicourt
OA9785_STM11_photo_1027.jpg	1027	6,2	22/06/11	ST2328	Zone 2, ST2328, coupe Est-Ouest, vue vers le Nord	M. Remicourt
OA9785_STM11_photo_1028.jpg	1028	6,6	22/06/11	ambiance	Zone 2, ambiance fouille	M. Remicourt
OA9785_STM11_photo_1029.jpg	1029	6,4	22/06/11	ST2204	Zone 2, ST2204, après nettoyage, vue vers le Nord	M. Remicourt
OA9785_STM11_photo_1030.jpg	1030	6,8	22/06/11	ST2204	Zone 2, ST2204, coupe Est-Ouest, vue vers le Nord	M. Remicourt
OA9785_STM11_photo_1031.jpg	1031	6,2	22/06/11	ST2088	Zone 2, ST2088, coupe Est-Ouest, vue vers le Sud	M. Remicourt
OA9785_STM11_photo_1032.jpg	1032	6,5	22/06/11	ST2327	Zone 2, ST2327, coupe Est-Ouest, vue vers le Sud	M. Remicourt
OA9785_STM11_photo_1033.jpg	1033	6,2	22/06/11	ST2075	Zone 2, ST2075, coupe Est-Ouest, vue vers le Nord	M. Remicourt
OA9785_STM11_photo_1034.jpg	1034	6,4	22/06/11	ST2076	Zone 2, ST2076, coupe Est-Ouest, vue vers le Sud	M. Remicourt
OA9785_STM11_photo_1035.jpg	1035	6,1	22/06/11	ST2078	Zone 2, ST2078, coupe Est-Ouest, vue vers le Sud	M. Remicourt
OA9785_STM11_photo_1036.jpg	1036	6,6	22/06/11	ST2079	Zone 2, ST2079, coupe Est-Ouest, vue vers le Sud	M. Remicourt
OA9785_STM11_photo_1037.jpg	1037	6,4	22/06/11	ST2080	Zone 2, ST2080, coupe Est-Ouest, vue vers le Nord	M. Remicourt
OA9785_STM11_photo_1038.jpg	1038	6,5	22/06/11	ST2081	Zone 2, ST2081, coupe Est-Ouest, vue vers le Sud	M. Remicourt
OA9785_STM11_photo_1039.jpg	1039	6,1	22/06/11	ST2083	Zone 2, ST2083, coupe Est-Ouest, vue vers le Sud	M. Remicourt
OA9785_STM11_photo_1040.jpg	1040	6,7	22/06/11	ST2084	Zone 2, ST2084, coupe Est-Ouest, vue vers le Sud	M. Remicourt
OA9785_STM11_photo_1041.jpg	1041	6,2	22/06/11	ST2296	Zone 2, ST2296, après nettoyage, vue vers le Nord	M. Remicourt
OA9785_STM11_photo_1042.jpg	1042	6,5	22/06/11	ST2071	Zone 2, ST2071, coupe Est-Ouest, vue vers le Sud	M. Remicourt
OA9785_STM11_photo_1043.jpg	1043	6,4	23/06/11	ST2209	Zone 2, ST2209, après fouille, vue vers le Nord	M. Remicourt
OA9785_STM11_photo_1044.jpg	1044	6,6	23/06/11	ST2209	Zone 2, ST2209, après fouille, vue vers le Nord	M. Remicourt
OA9785_STM11_photo_1045.jpg	1045	6,4	23/06/11	ST2209	Zone 2, ST2209, après fouille, vue vers l'Ouest	M. Remicourt
OA9785_STM11_photo_1046.jpg	1046	6,4	23/06/11	ST2209	Zone 2, ST2209, après fouille, vue vers l'Est	M. Remicourt
OA9785_STM11_photo_1047.jpg	1047	6,7	23/06/11	ST2247	Zone 2, ST2247, après fouille, vue vers le Nord	M. Remicourt
OA9785_STM11_photo_1048.jpg	1048	6,3	23/06/11	ST2247	Zone 2, ST2247, après fouille, vue vers le Sud	M. Remicourt
OA9785_STM11_photo_1049.jpg	1049	6,6	23/06/11	ST2204	Zone 2, ST2204, après fouille, vue vers le Nord	M. Remicourt
OA9785_STM11_photo_1050.jpg	1050	6,6	23/06/11	ST2206	Zone 2, ST2206, après nettoyage, vue vers le Nord	M. Remicourt
OA9785_STM11_photo_1051.jpg	1051	6,6	23/06/11	ST2329	Zone 2, ST2329, coupe Est-Ouest, vue vers le Sud	M. Remicourt
OA9785_STM11_photo_1052.jpg	1052	6,5	23/06/11	ST2330	Zone 2, ST2330, coupe Est-Ouest, vue vers le Sud	M. Remicourt
OA9785_STM11_photo_1053.jpg	1053	6,6	23/06/11	ST2331	Zone 2, ST2331, coupe Est-Ouest, vue vers le Sud	M. Remicourt
OA9785_STM11_photo_1054.jpg	1054	6,6	23/06/11	ST2071	Zone 2, ST2071, coupe Est-Ouest, vue vers le Sud	M. Remicourt
OA9785_STM11_photo_1055.jpg	1055	6,4	23/06/11	ST2206	Zone 2, ST2206, coupe Est-Ouest, vue vers le Nord	M. Remicourt
OA9785_STM11_photo_1056.jpg	1056	6,7	23/06/11	ST2096	Zone 2, ST2096, Prélèvement micromorphologique 107 (terre crue), vue vers l'Ouest	M. Remicourt
OA9785_STM11_photo_1057.jpg	1057	6,2	23/06/11	ST2096	Zone 2, ST2096, Prélèvement micromorphologique 107 (terre crue), vue vers l'Ouest	M. Remicourt
OA9785_STM11_photo_1058.jpg	1058	6,3	23/06/11	ST2096	Zone 2, ST2096, Prélèvement micromorphologique 107 (terre crue), vue vers l'Ouest	M. Remicourt
OA9785_STM11_photo_1059.jpg	1059	6,7	23/06/11	ST2096	Zone 2, ST2096, Prélèvement micromorphologique 107 (terre crue), vue vers l'Ouest	M. Remicourt
OA9785_STM11_photo_1060.jpg	1060	6,5	23/06/11	ST2096	Zone 2, ST2096, Prélèvement micromorphologique 107 (terre crue), vue vers l'Ouest	M. Remicourt
OA9785_STM11_photo_1061.jpg	1061	6,6	23/06/11	ST2096	Zone 2, ST2096, Prélèvements micromorphologiques 105 et 106 (quart Nord-Est), vue vers le Sud	M. Remicourt
OA9785_STM11_photo_1062.jpg	1062	6,4	23/06/11	ST2096	Zone 2, ST2096, Prélèvements micromorphologiques 105 et 106 (quart Nord-Est), vue vers le Sud	M. Remicourt
OA9785_STM11_photo_1063.jpg	1063	6,4	23/06/11	ST2096	Zone 2, ST2096, Prélèvements micromorphologiques 105 et 106 (quart Nord-Est), vue vers le Sud	M. Remicourt
OA9785_STM11_photo_1064.jpg	1064	6,7	23/06/11	ST2088	Zone 2, ST2088, après fouille, vue vers le Nord	M. Remicourt
OA9785_STM11_photo_1065.jpg	1065	6,2	23/06/11	ST2206	Zone 2, ST2206, après fouille, vue vers le Nord	M. Remicourt

Annexe 8 - Le Clos de Roque, Saint-Maximin-la-Sainte-Baume (83). Inventaire des photographies numériques.



Identifiant	n° cliché	taille (Mo)	date	Structure/A normalie	Description	Auteur
OA9785_STM11_photo_1066.jpg	1066	6,6	23/06/11	ST2096	Zone 2, ST2096, Prélèvement micromorphologique 107 (terre crue), vue vers l'Ouest	M. Remicourt
OA9785_STM11_photo_1067.jpg	1067	6,5	23/06/11	ST2078	Zone 2, ST2078, après fouille, vue vers le Nord	M. Remicourt
OA9785_STM11_photo_1068.jpg	1068	6,6	23/06/11	ST2084	Zone 2, ST2084, en cours de fouille, moitié Sud, vue vers le Nord	M. Remicourt
OA9785_STM11_photo_1069.jpg	1069	6,4	23/06/11	ST2084	Zone 2, ST2084, en cours de fouille, moitié Sud, vue vers le Nord	M. Remicourt
OA9785_STM11_photo_1070.jpg	1070	6,2	23/06/11	ST2199	Zone 2, ST2199, après nettoyage, vue vers le Nord	M. Remicourt
OA9785_STM11_photo_1071.jpg	1071	6,2	23/06/11	ST2071	Zone 2, ST2071, Prélèvement micromorphologique 120, vue vers le Sud	M. Remicourt
OA9785_STM11_photo_1072.jpg	1072	6,1	23/06/11	ST2071	Zone 2, ST2071, Prélèvement micromorphologique 120, vue vers le Sud	M. Remicourt
OA9785_STM11_photo_1073.jpg	1073	6,1	23/06/11	ST2071	Zone 2, ST2071, Prélèvement micromorphologique 120, vue vers le Sud	M. Remicourt
OA9785_STM11_photo_1074.jpg	1074	6,5	23/06/11	ST2076	Zone 2, ST2076, après fouille, vue vers le Nord	M. Remicourt
OA9785_STM11_photo_1075.jpg	1075	6,3	23/06/11	ST2084	Zone 2, ST2084, en cours de fouille, moitié Sud, vue vers le Nord	M. Remicourt
OA9785_STM11_photo_1076.jpg	1076	6,3	23/06/11	ST2327	Zone 2, ST2327, après fouille, vue vers le Nord	M. Remicourt
OA9785_STM11_photo_1077.jpg	1077	6,5	23/06/11	ST2067	Zone 2, ST2067, après nettoyage, vue vers le Nord	M. Remicourt
OA9785_STM11_photo_1078.jpg	1078	6,3	23/06/11	ST2065	Zone 2, ST2065, après nettoyage, vue vers le Nord	M. Remicourt
OA9785_STM11_photo_1079.jpg	1079	6,4	23/06/11	ST2065	Zone 2, ST2065, après nettoyage, vue vers l'Est	M. Remicourt
OA9785_STM11_photo_1080.jpg	1080	6,1	23/06/11	ST2019	Zone 2, ST2019, après nettoyage, vue vers l'Est	M. Remicourt
OA9785_STM11_photo_1081.jpg	1081	6,9	23/06/11	ST2066	Zone 2, ST2066, après nettoyage, vue vers l'Est	M. Remicourt
OA9785_STM11_photo_1082.jpg	1082	7,1	23/06/11	ST2068	Zone 2, ST2068, après nettoyage, vue vers le Nord	M. Remicourt
OA9785_STM11_photo_1083.jpg	1083	6,9	23/06/11	ST2069	Zone 2, ST2069, après nettoyage, vue vers le Nord	M. Remicourt
OA9785_STM11_photo_1084.jpg	1084	6,6	23/06/11	ST2070	Zone 2, ST2070, après nettoyage, vue vers l'Est	M. Remicourt
OA9785_STM11_photo_1085.jpg	1085	6,3	23/06/11	ST2304	Zone 2, ST2304, coupe Est-Ouest, vue vers le Sud	M. Remicourt
OA9785_STM11_photo_1086.jpg	1086	6,2	23/06/11	ST2308	Zone 2, ST2308, après fouille, vue vers le Nord	M. Remicourt
OA9785_STM11_photo_1087.jpg	1087	6,9	23/06/11	ST2332	Zone 2, ST2332, après nettoyage, vue vers le Nord	M. Remicourt
OA9785_STM11_photo_1088.jpg	1088	6,5	23/06/11	ST2243	Zone 2, ST2243, après nettoyage, vue vers l'Est	M. Remicourt
OA9785_STM11_photo_1089.jpg	1089	6,4	23/06/11	ST2304	Zone 2, ST2304, après fouille, vue vers le Nord	M. Remicourt
OA9785_STM11_photo_1090.jpg	1090	6,8	23/06/11	ST2199	Zone 2, ST2199, coupe Est-Ouest, vue vers le Sud	M. Remicourt
OA9785_STM11_photo_1091.jpg	1091	6,4	23/06/11	ST2015	Zone 2, ST2015, après nettoyage, vue vers le Nord	M. Remicourt
OA9785_STM11_photo_1092.jpg	1092	6,3	23/06/11	ST2210	Zone 2, ST2210, après nettoyage, vue vers le Nord	M. Remicourt
OA9785_STM11_photo_1093.jpg	1093	6,3	23/06/11	ST2310	Zone 2, ST2310, après nettoyage, vue vers le Nord	M. Remicourt
OA9785_STM11_photo_1094.jpg	1094	6,4	23/06/11	ST2241	Zone 2, ST2241, après nettoyage, vue vers le Nord	M. Remicourt
OA9785_STM11_photo_1095.jpg	1095	6,2	23/06/11	ST2240	Zone 2, ST2240, après nettoyage, vue vers le Nord	M. Remicourt
OA9785_STM11_photo_1096.jpg	1096	6,8	23/06/11	ST2239	Zone 2, ST2239, après nettoyage, vue vers le Nord	M. Remicourt
OA9785_STM11_photo_1097.jpg	1097	6,5	23/06/11	ST2238	Zone 2, ST2238, après nettoyage, vue vers le Nord	M. Remicourt
OA9785_STM11_photo_1098.jpg	1098	6,9	23/06/11	ST2237	Zone 2, ST2237, après nettoyage, vue vers le Nord	M. Remicourt
OA9785_STM11_photo_1099.jpg	1099	6,4	23/06/11	ST2236	Zone 2, ST2236, après nettoyage, vue vers le Nord	M. Remicourt
OA9785_STM11_photo_1100.jpg	1100	6,5	23/06/11	ST2018	Zone 2, ST2018, après nettoyage, vue vers le Nord	M. Remicourt
OA9785_STM11_photo_1101.jpg	1101	7,0	23/06/11	ST2307	Zone 2, ST2307, après nettoyage, vue vers le Nord	M. Remicourt
OA9785_STM11_photo_1102.jpg	1102	6,4	23/06/11	ST2017	Zone 2, ST2017, après nettoyage, vue vers le Nord	M. Remicourt
OA9785_STM11_photo_1103.jpg	1103	6,2	23/06/11	ST2014	Zone 2, ST2014, après nettoyage, vue vers le Nord	M. Remicourt
OA9785_STM11_photo_1104.jpg	1104	6,3	23/06/11	ST2235	Zone 2, ST2235, après nettoyage, vue vers le Nord	M. Remicourt
OA9785_STM11_photo_1105.jpg	1105	6,3	23/06/11	ST2234	Zone 2, ST2234, après nettoyage, vue vers le Nord	M. Remicourt
OA9785_STM11_photo_1106.jpg	1106	6,7	23/06/11	ST2184	Zone 2, ST2184, après nettoyage, vue vers le Nord	M. Remicourt

**Annexe 8** - Le Clos de Roque, Saint-Maximin-la-Sainte-Baume (83). Inventaire des photographies numériques.

Identifiant	n° cliché	taille (Mo)	date	Structure/Anomalie	Description	Auteur
OA9785_STM11_photo_1107.jpg	1107	6,5	23/06/11	ST2183	Zone 2, ST2183, après nettoyage, vue vers le Nord	M. Remicourt
OA9785_STM11_photo_1108.jpg	1108	6,6	23/06/11	ST2233	Zone 2, ST2233, après nettoyage, vue vers le Nord	M. Remicourt
OA9785_STM11_photo_1109.jpg	1109	6,2	23/06/11	ST2176	Zone 2, ST2176, après nettoyage, vue vers le Nord	M. Remicourt
OA9785_STM11_photo_1110.jpg	1110	6,9	23/06/11	ST2069	Zone 2, ST2069, coupe Est-Ouest, vue vers le Nord	M. Remicourt
OA9785_STM11_photo_1111.jpg	1111	6,4	23/06/11	ST2199	Zone 2, ST2199, après fouille, vue vers le Sud	M. Remicourt
OA9785_STM11_photo_1112.jpg	1112	6,6	23/06/11	ST2201	Zone 2, ST2201, après nettoyage, vue vers le Nord	M. Remicourt
OA9785_STM11_photo_1113.jpg	1113	6,3	23/06/11	ST2069	Zone 2, ST2069, après fouille, vue vers le Nord	M. Remicourt
OA9785_STM11_photo_1114.jpg	1114	6,4	23/06/11	ST2072	Zone 2, ST2072, coupe Est-Ouest, vue vers le Sud	M. Remicourt
OA9785_STM11_photo_1115.jpg	1115	6,7	24/06/11	ST2068	Zone 2, ST2068, coupe Est-Ouest, vue vers le Sud	M. Remicourt
OA9785_STM11_photo_1116.jpg	1116	6,6	24/06/11	ST2068	Zone 2, ST2068, coupe Est-Ouest, vue vers le Sud	M. Remicourt
OA9785_STM11_photo_1117.jpg	1117	6,5	24/06/11	ST2067	Zone 2, ST2067, coupe Est-Ouest, vue vers le Sud	M. Remicourt
OA9785_STM11_photo_1118.jpg	1118	6,7	24/06/11	ST2201	Zone 2, ST2201, coupe Est-Ouest, vue vers le Nord	M. Remicourt
OA9785_STM11_photo_1119.jpg	1119	6,6	24/06/11	ST2074	Zone 2, ST2074, détail bracelet Bronze final, vue vers l'Ouest	M. Remicourt
OA9785_STM11_photo_1120.jpg	1120	6,7	24/06/11	ST2074	Zone 2, ST2074, détail bracelet Bronze final, vue vers le Sud	M. Remicourt
OA9785_STM11_photo_1121.jpg	1121	6,7	24/06/11	ST2074	Zone 2, ST2074, détail bracelet Bronze final, vue vers le Sud	M. Remicourt
OA9785_STM11_photo_1122.jpg	1122	6,5	24/06/11	ST2201	Zone 2, ST2201, après fouille, vue vers le Nord	M. Remicourt
OA9785_STM11_photo_1123.jpg	1123	6,6	24/06/11	ambiance	Zone 2, ambiance fouille cheval moderne ST2239 (BP), vue vers le Nord	M. Remicourt
OA9785_STM11_photo_1124.jpg	1124	6,3	24/06/11	ST2239	Zone 2, ST2239, cheval moderne en cours de fouille, vue vers le Nord	M. Remicourt
OA9785_STM11_photo_1125.jpg	1125	6,0	24/06/11	ST2239	Zone 2, ST2239, cheval moderne en cours de fouille, vue vers le Nord	M. Remicourt
OA9785_STM11_photo_1126.jpg	1126	6,6	24/06/11	ST2239	Zone 2, ST2239, cheval moderne en cours de fouille, vue vers l'Est	M. Remicourt
OA9785_STM11_photo_1127.jpg	1127	6,5	24/06/11	ST2015	Zone 2, ST2015, coupe Nord-Sud, vue vers l'Est	M. Remicourt
OA9785_STM11_photo_1128.jpg	1128	6,3	24/06/11	ST2090	Zone 2, ST2090, après fouille, vue vers le Sud	M. Remicourt
OA9785_STM11_photo_1129.jpg	1129	6,5	24/06/11	ST2090	Zone 2, ST2090, après fouille, vue vers le Nord	M. Remicourt
OA9785_STM11_photo_1130.jpg	1130	6,2	24/06/11	ST2011	Zone 2, ST2011, après nettoyage, vue vers le Nord	M. Remicourt
OA9785_STM11_photo_1131.jpg	1131	6,4	24/06/11	ST2072	Zone 2, ST2072, après fouille, vue vers le Nord	M. Remicourt
OA9785_STM11_photo_1132.jpg	1132	6,6	24/06/11	ST2241	Zone 2, ST2241, coupe Est-Ouest, vue vers le Nord	M. Remicourt
OA9785_STM11_photo_1133.jpg	1133	6,4	24/06/11	ST2240	Zone 2, ST2240, coupe Est-Ouest, vue vers le Sud	M. Remicourt
OA9785_STM11_photo_1134.jpg	1134	6,7	24/06/11	ST2238	Zone 2, ST2238, coupe Est-Ouest, vue vers le Sud	M. Remicourt
OA9785_STM11_photo_1135.jpg	1135	6,6	24/06/11	ST2305	Zone 2, ST2305, coupe Est-Ouest, vue vers le Sud	M. Remicourt
OA9785_STM11_photo_1136.jpg	1136	6,5	24/06/11	ST2306	Zone 2, ST2306, coupe Est-Ouest, vue vers le Sud	M. Remicourt
OA9785_STM11_photo_1137.jpg	1137	6,1	24/06/11	ST2011	Zone 2, ST2011, coupe Est-Ouest, vue vers le Sud	M. Remicourt
OA9785_STM11_photo_1138.jpg	1138	6,3	24/06/11	ST2237	Zone 2, ST2237, coupe Est-Ouest, vue vers le Sud	M. Remicourt
OA9785_STM11_photo_1139.jpg	1139	6,0	24/06/11	ST2236	Zone 2, ST2236, coupe Est-Ouest, vue vers le Sud	M. Remicourt
OA9785_STM11_photo_1140.jpg	1140	6,2	24/06/11	ST2233	Zone 2, ST2233, coupe Est-Ouest, vue vers le Nord	M. Remicourt
OA9785_STM11_photo_1141.jpg	1141	6,6	24/06/11	ST2176	Zone 2, ST2176, coupe Est-Ouest, vue vers le Sud	M. Remicourt
OA9785_STM11_photo_1142.jpg	1142	6,6	24/06/11	ST2235	Zone 2, ST2235, coupe Est-Ouest, vue vers le Sud	M. Remicourt
OA9785_STM11_photo_1143.jpg	1143	6,9	24/06/11	ST2011	Zone 2, ST2011, après fouille, vue vers le Nord	M. Remicourt
OA9785_STM11_photo_1144.jpg	1144	6,7				M. Remicourt
OA9785_STM11_photo_1145.jpg	1145	6,6				M. Remicourt
OA9785_STM11_photo_1146.jpg	1146	6,5				M. Remicourt
OA9785_STM11_photo_1147.jpg	1147	6,7	27/06/11	ST2063	Zone 2, ST2063, après nettoyage, vue vers le Nord	M. Remicourt

Annexe 8 - Le Clos de Roque, Saint-Maximin-la-Sainte-Baume (83). Inventaire des photographies numériques.



Identifiant	n° cliché	taille (Mo)	date	Structure/A normalie	Description	Auteur
OA9785_STM11_photo_1148.jpg	1148	6,6	27/06/11	ST2061	Zone 2, ST2061, après nettoyage, vue vers le Nord	M. Remicourt
OA9785_STM11_photo_1149.jpg	1149	6,5	27/06/11	ST2060	Zone 2, ST2060, après nettoyage, vue vers le Nord	M. Remicourt
OA9785_STM11_photo_1150.jpg	1150	6,7	27/06/11	ST2015	Zone 2, ST2015, après fouille, vue vers le Nord	M. Remicourt
OA9785_STM11_photo_1151.jpg	1151	6,6	27/06/11	ST2068	Zone 2, ST2068, après fouille, vue vers le Nord	M. Remicourt
OA9785_STM11_photo_1152.jpg	1152	6,4	27/06/11	ST2063	Zone 2, ST2063, coupe Est-Ouest, vue vers le Sud	M. Remicourt
OA9785_STM11_photo_1153.jpg	1153	6,3	27/06/11	ST2074	Zone 2, ST2074, coupe Est-Ouest, vue vers le Sud	M. Remicourt
OA9785_STM11_photo_1154.jpg	1154	6,5	27/06/11	ST2074	Zone 2, ST2074, coupe Est-Ouest, vue vers le Sud	M. Remicourt
OA9785_STM11_photo_1155.jpg	1155	5,9	27/06/11	ST2074	Zone 2, ST2074, coupe Est-Ouest, vue vers le Sud	M. Remicourt
OA9785_STM11_photo_1156.jpg	1156	6,0	27/06/11	ST2074	Zone 2, ST2074, coupe Est-Ouest, vue vers le Sud	M. Remicourt
OA9785_STM11_photo_1157.jpg	1157	6,7	27/06/11	ST2074	Zone 2, ST2074, coupe Est-Ouest, vue vers le Sud	M. Remicourt
OA9785_STM11_photo_1158.jpg	1158	6,4	27/06/11	ST2074	Zone 2, ST2074, coupe Est-Ouest, vue vers le Sud	M. Remicourt
OA9785_STM11_photo_1159.jpg	1159	6,5	27/06/11	ST2003	Zone 2, ST2003, après nettoyage, vue vers le Nord	M. Remicourt
OA9785_STM11_photo_1160.jpg	1160	6,6	27/06/11	ST2004	Zone 2, ST2004, après nettoyage, vue vers le Nord	M. Remicourt
OA9785_STM11_photo_1161.jpg	1161	6,5	27/06/11	ST2001	Zone 2, ST2001, après nettoyage, vue vers le Nord	M. Remicourt
OA9785_STM11_photo_1162.jpg	1162	6,6	27/06/11	ST2002	Zone 2, ST2002, après nettoyage, vue vers le Nord	M. Remicourt
OA9785_STM11_photo_1163.jpg	1163	7,1	27/06/11	ST2009	Zone 2, ST2009, après nettoyage, vue vers le Nord	M. Remicourt
OA9785_STM11_photo_1164.jpg	1164	6,7	27/06/11	ST2008	Zone 2, ST2008, après nettoyage, vue vers le Nord	M. Remicourt
OA9785_STM11_photo_1165.jpg	1165	6,5	27/06/11	ST2010	Zone 2, ST2010, après nettoyage, vue vers le Nord	M. Remicourt
OA9785_STM11_photo_1166.jpg	1166	6,4	27/06/11	ST2285	Zone 2, ST2285, après nettoyage, vue vers le Nord	M. Remicourt
OA9785_STM11_photo_1167.jpg	1167	6,5	27/06/11	ST2287	Zone 2, ST2287, après nettoyage, vue vers le Nord	M. Remicourt
OA9785_STM11_photo_1168.jpg	1168	6,4	27/06/11	ST2237	Zone 2, ST2237, en cours de fouille, détail tesson, vue vers le Sud	M. Remicourt
OA9785_STM11_photo_1169.jpg	1169	6,3	27/06/11	ST2015	Zone 2, ST2015, après fouille, vue vers le Nord	M. Remicourt
OA9785_STM11_photo_1170.jpg	1170	6,5	27/06/11	ST2062	Zone 2, ST2062, après nettoyage, vue vers le Nord	M. Remicourt
OA9785_STM11_photo_1171.jpg	1171	6,4	27/06/11	ST2096	Zone 2, ST2096, quart Nord-Est, base du Dec 27, vue vers le Sud	M. Remicourt
OA9785_STM11_photo_1172.jpg	1172	6,4	27/06/11	ST2096	Zone 2, ST2096, quart Nord-Est, base du Dec 27,détail zone rubéfiée Puit 1, vue vers l'Est	M. Remicourt
OA9785_STM11_photo_1173.jpg	1173	6,3	27/06/11	ST2096	Zone 2, ST2096, quart Nord-Est, base du Dec 27,détail zone rubéfiée Puit 1, vue vers l'Est	M. Remicourt
OA9785_STM11_photo_1174.jpg	1174	6,3	27/06/11	ST2096	Zone 2, ST2096, quart Nord-Est, base du Dec 27,détail zone rubéfiée Puit 1, vue vers l'Est	M. Remicourt
OA9785_STM11_photo_1175.jpg	1175	6,1	27/06/11	ST2096	Zone 2, ST2096, quart Nord-Est, base du Dec 27,détail zone rubéfiée Puit 1, vue vers l'Est	M. Remicourt
OA9785_STM11_photo_1176.jpg	1176	6,4	27/06/11	ST2096	Zone 2, ST2096, quart Nord-Est, base du Dec 27,détail zone rubéfiée Puit 1, vue vers l'Est	M. Remicourt
OA9785_STM11_photo_1177.jpg	1177	6,4	27/06/11	ST2096	Zone 2, ST2096, quart Nord-Est, base du Dec 27,détail zone rubéfiée Puit 1, vue vers l'Est	M. Remicourt
OA9785_STM11_photo_1178.jpg	1178	6,2	27/06/11	ST2096	Zone 2, ST2096, quart Nord-Est, base du Dec 27,détail zone rubéfiée Puit 1, vue vers l'Est	M. Remicourt
OA9785_STM11_photo_1179.jpg	1179	6,1	27/06/11	ST2096	Zone 2, ST2096, quart Nord-Est, base du Dec 27,détail zone rubéfiée Puit 1, vue vers l'Est	M. Remicourt
OA9785_STM11_photo_1180.jpg	1180	6,5	27/06/11	ST2096	Zone 2, ST2096, quart Nord-Est, base du Dec 27,détail scapula Puit 1, vue vers le Sud	M. Remicourt
OA9785_STM11_photo_1181.jpg	1181	6,4	27/06/11	ST2021	Zone 2, ST2021, après nettoyage, vue vers le Nord	M. Remicourt
OA9785_STM11_photo_1182.jpg	1182	6,1	27/06/11	ST2020	Zone 2, ST2020, après nettoyage, vue vers le Nord	M. Remicourt
OA9785_STM11_photo_1183.jpg	1183	6,2	27/06/11	ST2027	Zone 2, ST2027, après nettoyage, vue vers le Nord	M. Remicourt
OA9785_STM11_photo_1184.jpg	1184	6,2	27/06/11	ST2029	Zone 2, ST2029, après nettoyage, vue vers le Nord	M. Remicourt
OA9785_STM11_photo_1185.jpg	1185	6,4	27/06/11	ST2096	Zone 2, ST2096, ambiance pelle mécanique, vue vers le Sud	M. Remicourt
OA9785_STM11_photo_1186.jpg	1186	7,0	27/06/11	ST2096	Zone 2, ST2096, ambiance pelle mécanique, vue vers le Sud	M. Remicourt
OA9785_STM11_photo_1187.jpg	1187	6,7	27/06/11	ST2024	Zone 2, ST2024, après nettoyage, vue vers le Nord	M. Remicourt
OA9785_STM11_photo_1188.jpg	1188	6,4	27/06/11	ST2025	Zone 2, ST2025, après nettoyage, vue vers le Nord	M. Remicourt

Annexe 8 - Le Clos de Roque, Saint-Maximin-la-Sainte-Baume (83). Inventaire des photographies numériques.

Identifiant	n° cliché	taille (Mo)	date	Structure/A normalie	Description	Auteur
OA9785_STM11_photo_1189.jpg	1189	6,6	27/06/11	ST2296	Zone 2, ST2296, coupe Est-Ouest, vue vers le Sud	M. Remicourt
OA9785_STM11_photo_1190.jpg	1190	6,2	27/06/11	ST2306	Zone 2, ST2306, après fouille, vue vers le Nord	M. Remicourt
OA9785_STM11_photo_1191.jpg	1191	6,1	27/06/11	ST2305	Zone 2, ST2305, après fouille, vue vers le Nord	M. Remicourt
OA9785_STM11_photo_1192	1192	6,7	27/06/11	ST2236	Zone 2, ST2236, après fouille, vue vers le Nord	M. Remicourt
OA9785_STM11_photo_1193.jpg	1193	6,4	27/06/11	ST2236	Zone 2, ST2236, après fouille, vue vers le Sud	M. Remicourt
OA9785_STM11_photo_1194.jpg	1194	6,5	27/06/11	ST2096	Zone 2, ST2096, quart Nord-Est, base du Dec 28, vue vers le Sud	M. Remicourt
OA9785_STM11_photo_1195.jpg	1195	6,7	27/06/11	ST2096	Zone 2, ST2096, quart Nord-Est, base du Dec 28, vue vers le Sud	M. Remicourt
OA9785_STM11_photo_1196.jpg	1196	6,8	27/06/11	ST2096	Zone 2, ST2096, quart Nord-Est, base du Dec 28, vue vers le Sud	M. Remicourt
OA9785_STM11_photo_1197.jpg	1197	6,7	27/06/11	ST2096	Zone 2, ST2096, quart Nord-Est, base du Dec 28, vue vers le Sud	M. Remicourt
OA9785_STM11_photo_1198.jpg	1198	6,4	27/06/11	ST2096	Zone 2, ST2096, quart Nord-Est, base du Dec 28, vue vers l'Est	M. Remicourt
OA9785_STM11_photo_1199.jpg	1199	6,2	27/06/11	ST2096	Zone 2, ST2096, quart Nord-Est, base du Dec 28, vue vers le Sud	M. Remicourt
OA9785_STM11_photo_1200.jpg	1200	6,5	27/06/11	ST2096	Zone 2, ST2096, quart Nord-Est, base du Dec 28, vue vers le Sud	M. Remicourt
OA9785_STM11_photo_1201.jpg	1201	6,5	27/06/11	ST2021	Zone 2, ST2021, coupe Est-Ouest, vue vers le Sud	M. Remicourt
OA9785_STM11_photo_1202.jpg	1202	6,5	27/06/11	ST2062	Zone 2, ST2062, coupe Est-Ouest, vue vers le Sud	M. Remicourt
OA9785_STM11_photo_1203.jpg	1203	6,4	28/06/11	ST2071	Zone 2, ST2071, après fouille, vue vers le Nord	M. Remicourt
OA9785_STM11_photo_1204.jpg	1204	6,5	28/06/11	ST2071	Zone 2, ST2071, après fouille, vue vers le Sud	M. Remicourt
OA9785_STM11_photo_1205.jpg	1205	6,4	28/06/11	ST2096	Zone 2, ST2096, quart Nord-Est, en cours de fouille, pompage	M. Remicourt
OA9785_STM11_photo_1206.jpg	1206	6,4	28/06/11	ST2074	Zone 2, ST2074, Prélèvements micromorphologiques 141 et 142, vue vers le Sud	M. Remicourt
OA9785_STM11_photo_1207.jpg	1207	6,5	28/06/11	ST2074	Zone 2, ST2074, Prélèvements micromorphologiques 141 et 142, vue vers le Sud	M. Remicourt
OA9785_STM11_photo_1208.jpg	1208	5,8	28/06/11	ST2074	Zone 2, ST2074, Prélèvements micromorphologiques 141 et 142, vue vers le Sud	M. Remicourt
OA9785_STM11_photo_1209.jpg	1209	6,9	28/06/11	ST2074	Zone 2, ST2074, Prélèvements micromorphologiques 141 et 142, vue vers le Sud	M. Remicourt
OA9785_STM11_photo_1210.jpg	1210	5,8	28/06/11	ST2025	Zone 2, ST2025, coupe Est-Ouest, vue vers le Nord	M. Remicourt
OA9785_STM11_photo_1211.jpg	1211	6,0	28/06/11	ST2020	Zone 2, ST2020, coupe Est-Ouest, vue vers le Sud	M. Remicourt
OA9785_STM11_photo_1212.jpg	1212	6,7	28/06/11	ST2025	Zone 2, ST2025, après fouille, vue vers le Nord	M. Remicourt
OA9785_STM11_photo_1213.jpg	1213	6,7	28/06/11	ST2014	Zone 2, ST2014, coupe Est-Ouest, vue vers le Sud	M. Remicourt
OA9785_STM11_photo_1214.jpg	1214	6,7	28/06/11	ST2096	Zone 2, ST2096, quart Nord-Est, base du Dec 29, vue vers le Sud	M. Remicourt
OA9785_STM11_photo_1215.jpg	1215	6,3	28/06/11	ST2096	Zone 2, ST2096, quart Nord-Est, base du Dec 29, vue vers l'Est	M. Remicourt
OA9785_STM11_photo_1216.jpg	1216	6,7	28/06/11	ST2096	Zone 2, ST2096, quart Nord-Est, base du Dec 29, vue vers le Sud	M. Remicourt
OA9785_STM11_photo_1217.jpg	1217	6,5	28/06/11	ST2096	Zone 2, ST2096, quart Nord-Est, base du Dec 29, vue vers le Sud	M. Remicourt
OA9785_STM11_photo_1218.jpg	1218	6,3	28/06/11	ST2296	Zone 2, ST2296, après fouille, vue vers le Nord	M. Remicourt
OA9785_STM11_photo_1219.jpg	1219	6,7	28/06/11	ST2307	Zone 2, ST2307, coupe Est-Ouest, vue vers le Sud	M. Remicourt
OA9785_STM11_photo_1220.jpg	1220	6,6	28/06/11	ST2018	Zone 2, ST2018, coupe Est-Ouest, vue vers le Nord	M. Remicourt
OA9785_STM11_photo_1221.jpg	1221	6,7	28/06/11	ST2096	Zone 2, ST2096, quart Nord-Est, base du Dec 30, vue vers le Sud	M. Remicourt
OA9785_STM11_photo_1222.jpg	1222	6,6	28/06/11	ST2240	Zone 2, ST2240, après fouille, vue vers le Nord	M. Remicourt
OA9785_STM11_photo_1223.jpg	1223	6,7	28/06/11	ST2017	Zone 2, ST2017, coupe Est-Ouest, vue vers le Nord	M. Remicourt
OA9785_STM11_photo_1224.jpg	1224	6,3	28/06/11	ST2309	Zone 2, ST2309, coupe Est-Ouest, vue vers le Sud	M. Remicourt
OA9785_STM11_photo_1225.jpg	1225	6,5	28/06/11	ST2096	Zone 2, ST2096, coupe Est-Ouest, quart Nord-Est, vue vers le Sud	M. Remicourt
OA9785_STM11_photo_1226.jpg	1226	6,9	28/06/11	ST2096	Zone 2, ST2096, coupe Est-Ouest, quart Nord-Est, vue vers le Sud	M. Remicourt
OA9785_STM11_photo_1227.jpg	1227	6,4	28/06/11	ST2096	Zone 2, ST2096, coupe Est-Ouest, quart Nord-Est, vue vers le Sud	M. Remicourt
OA9785_STM11_photo_1228.jpg	1228	6,5	28/06/11	ST2096	Zone 2, ST2096, coupe Est-Ouest, quart Nord-Est, vue vers le Sud	M. Remicourt
OA9785_STM11_photo_1229.jpg	1229	6,5	28/06/11	ST2096	Zone 2, ST2096, coupe Est-Ouest, quart Nord-Est, vue vers le Sud	M. Remicourt

Annexe 8 - Le Clos de Roque, Saint-Maximin-la-Sainte-Baume (83). Inventaire des photographies numériques.

Identifiant	n° cliché	taille (Mo)	date	Structure/A normalie	Description	Auteur
OA9785_STM11_photo_1230.jpg	1230	6,3	28/06/11	ST2096	Zone 2, ST2096, coupe Est-Ouest, quart Nord-Est, vue vers le Sud	M. Remicourt
OA9785_STM11_photo_1231.jpg	1231	6,3	28/06/11	ST2096	Zone 2, ST2096, coupe Est-Ouest, quart Nord-Est, vue vers le Sud	M. Remicourt
OA9785_STM11_photo_1232.jpg	1232	6,5	28/06/11	ST2237	Zone 2, ST2237, après fouille, vue vers le Nord	M. Remicourt
OA9785_STM11_photo_1233.jpg	1233	6,3	28/06/11	ST2241	Zone 2, ST2241, après fouille, vue vers le Nord	M. Remicourt
OA9785_STM11_photo_1234.jpg	1234	6,4	28/06/11	ST2018	Zone 2, ST2018, après fouille, vue vers le Sud	M. Remicourt
OA9785_STM11_photo_1235.jpg	1235	6,2	28/06/11	ST2233	Zone 2, ST2233, après fouille, vue vers le Nord	M. Remicourt
OA9785_STM11_photo_1236.jpg	1236	6,4	28/06/11	ST2293	Zone 2, ST2293, après nettoyage, vue vers le Nord	M. Remicourt
OA9785_STM11_photo_1237.jpg	1237	6,2	28/06/11	ST2014	Zone 2, ST2014, après fouille, vue vers l'Est	M. Remicourt
OA9785_STM11_photo_1238.jpg	1238	6,3	28/06/11	ST2014	Zone 2, ST2014, après fouille, vue vers l'Est	M. Remicourt
OA9785_STM11_photo_1239.jpg	1239	6,3	28/06/11	ST2005	Zone 2, ST2005, après nettoyage, vue vers le Nord	M. Remicourt
OA9785_STM11_photo_1240.jpg	1240	6,3	28/06/11	ST2309	Zone 2, ST2309, après fouille, vue vers le Nord	M. Remicourt
OA9785_STM11_photo_1241.jpg	1241	6,7	28/06/11	ST2096	Zone 2, ST2096, coupe Nord-Sud, quart Sud-Ouest, vue vers l'Est	M. Remicourt
OA9785_STM11_photo_1242.jpg	1242	6,6	28/06/11	ST2096	Zone 2, ST2096, coupe Nord-Sud, quart Sud-Ouest, vue vers l'Est	M. Remicourt
OA9785_STM11_photo_1243.jpg	1243	6,7	28/06/11	ST2005	Zone 2, ST2005, coupe Est-Ouest, vue vers le Sud	M. Remicourt
OA9785_STM11_photo_1244.jpg	1244	6,4	28/06/11	ST2096	Zone 2, ST2096, en cours de fouille, décapage mécanique, quart Sud-est, vue vers le Nord	M. Remicourt
OA9785_STM11_photo_1245.jpg	1245	6,8	28/06/11	ST2293	Zone 2, ST2293, coupe Est-Ouest, vue vers le Sud	M. Remicourt
OA9785_STM11_photo_1246.jpg	1246	6,9	28/06/11	ST2096	Zone 2, ST2096, en cours de fouille, décapage mécanique, quart Sud-est, vue vers le Nord	M. Remicourt
OA9785_STM11_photo_1247.jpg	1247	6,4	28/06/11	ST2005	Zone 2, ST2005, après fouille, vue vers le Nord	M. Remicourt
OA9785_STM11_photo_1248.jpg	1248	6,6	28/06/11	ST2307	Zone 2, ST2307, après fouille, vue vers le Nord	M. Remicourt
OA9785_STM11_photo_1249.jpg	1249	6,5	28/06/11	ST2067	Zone 2, ST2067, après fouille, vue vers le Nord	M. Remicourt
OA9785_STM11_photo_1250.jpg	1250	6,5	28/06/11	ST2067	Zone 2, ST2067, après fouille, vue vers le Sud	M. Remicourt
OA9785_STM11_photo_1251.jpg	1251	6,5	29/06/11	ST2096	Zone 2, ST2096, en cours de fouille, nappe phréatique, vue vers le Sud	M. Remicourt
OA9785_STM11_photo_1252.jpg	1252	6,4	29/06/11	ST2024	Zone 2, ST2024, coupe Est-Ouest, vue vers le Sud	M. Remicourt
OA9785_STM11_photo_1253.jpg	1253	6,4	29/06/11	ST24024	Zone 2, ST2024, coupe Est-Ouest, vue vers le Sud	M. Remicourt
OA9785_STM11_photo_1254.jpg	1254	6,7	29/06/11	ST2096	Zone 2, ST2096, en cours de fouille, décapage mécanique, quart Sud-est, vue vers le Nord	M. Remicourt
OA9785_STM11_photo_1255.jpg	1255	6,7	29/06/11	ST2098	Zone 2, ST2098, après nettoyage, vue vers le Nord	M. Remicourt
OA9785_STM11_photo_1256.jpg	1256	6,6	29/06/11	ST2102	Zone 2, ST2102, après nettoyage, vue vers le Nord	M. Remicourt
OA9785_STM11_photo_1257.jpg	1257	6,6	29/06/11	ST2103	Zone 2, ST2103, après nettoyage, vue vers le Nord	M. Remicourt
OA9785_STM11_photo_1258.jpg	1258	6,7	29/06/11	ST2101	Zone 2, ST2101, après nettoyage, vue vers le Nord	M. Remicourt
OA9785_STM11_photo_1259.jpg	1259	6,5	29/06/11	ST2099	Zone 2, ST2100 et ST2099, après nettoyage, vue vers le Nord	M. Remicourt
OA9785_STM11_photo_1260.jpg	1260	6,9	29/06/11	ST2105	Zone 2, ST2105, après nettoyage, vue vers le Nord	M. Remicourt
OA9785_STM11_photo_1261.jpg	1261	6,6	29/06/11	ST2106	Zone 2, ST2106, après nettoyage, vue vers le Nord	M. Remicourt
OA9785_STM11_photo_1262.jpg	1262	6,7	29/06/11	ST2107	Zone 2, ST2107, après nettoyage, vue vers le Nord	M. Remicourt
OA9785_STM11_photo_1263.jpg	1263	6,9	29/06/11	ST2108	Zone 2, ST2108, après nettoyage, vue vers le Nord	M. Remicourt
OA9785_STM11_photo_1264.jpg	1264	6,5	29/06/11	ST2109	Zone 2, ST2109, après nettoyage, vue vers le Nord	M. Remicourt
OA9785_STM11_photo_1265.jpg	1265	6,5	29/06/11	ST2104	Zone 2, ST2104, après nettoyage, vue vers le Nord	M. Remicourt
OA9785_STM11_photo_1266.jpg	1266	6,5	29/06/11	ST2111	Zone 2, ST2111, après nettoyage, vue vers le Nord	M. Remicourt
OA9785_STM11_photo_1267.jpg	1267	6,5	29/06/11	ST2110	Zone 2, ST2110, après nettoyage, vue vers le Nord	M. Remicourt
OA9785_STM11_photo_1268.jpg	1268	6,5	29/06/11	ST2112	Zone 2, ST2112, après nettoyage, vue vers le Nord	M. Remicourt
OA9785_STM11_photo_1269.jpg	1269	6,5	29/06/11	ambiance	Zone 2, ambiance, cassage de mottes (AF, PG), vue vers le Nord	M. Remicourt
OA9785_STM11_photo_1270.jpg	1270	6,8	29/06/11	ST2020	Zone 2, ST2020, après fouille, vue vers le Nord	M. Remicourt

Annexe 8 - Le Clos de Roque, Saint-Maximin-la-Sainte-Baume (83). Inventaire des photographies numériques.

Identifiant	n° cliché	taille (Mo)	date	Structure/Anomalie	Description	Auteur
OA9785_STM11_photo_1271.jpg	1271	6,4	29/06/11	ST2293	Zone 2, ST2293, après fouille, vue vers le Nord	M. Remicourt
OA9785_STM11_photo_1272.jpg	1272	7,0	29/06/11	ST2116	Zone 2, ST2116, après nettoyage, vue vers le Nord	M. Remicourt
OA9785_STM11_photo_1273.jpg	1273	6,7	29/06/11	ST2120	Zone 2, ST2120, après nettoyage, vue vers le Nord	M. Remicourt
OA9785_STM11_photo_1274.jpg	1274	6,5	29/06/11	ST2119	Zone 2, ST2119, après nettoyage, vue vers le Nord	M. Remicourt
OA9785_STM11_photo_1275.jpg	1275	6,5	29/06/11	ST2249	Zone 2, ST2249, après nettoyage, vue vers le Nord	M. Remicourt
OA9785_STM11_photo_1276.jpg	1276	6,3	29/06/11	ST2096	Zone 2, ST2096, en cours de fouille, décapage mécanique, quart Sud-est, vue vers le Nord	M. Remicourt
OA9785_STM11_photo_1277.jpg	1277	6,4	29/06/11	ST2021	Zone 2, ST2021, après fouille, vue vers le Nord	M. Remicourt
OA9785_STM11_photo_1278.jpg	1278	6,6	29/06/11	ST2021	Zone 2, ST2021, après fouille, vue vers le Sud	M. Remicourt
OA9785_STM11_photo_1279.jpg	1279	6,5	29/06/11	ST2006	Zone 2, ST2006, après nettoyage, vue vers le Nord	M. Remicourt
OA9785_STM11_photo_1280.jpg	1280	6,3	29/06/11	ST2096	Zone 2, ST2096, en cours de fouille, décapage mécanique, quart Sud-est, vue vers le Nord	M. Remicourt
OA9785_STM11_photo_1281.jpg	1281	6,4	29/06/11	ST2096	Zone 2, ST2096, en cours de fouille, décapage mécanique, quart Sud-est, vue vers l'Ouest	M. Remicourt
OA9785_STM11_photo_1282.jpg	1282	6,1	29/06/11	ST2096	Zone 2, ST2096, en cours de fouille, décapage mécanique, quart Sud-est, vue vers le Nord	M. Remicourt
OA9785_STM11_photo_1283.jpg	1283	6,2	29/06/11	ST2096	Zone 2, ST2096, en cours de fouille, décapage mécanique, quart Sud-est, coupe Nord-Sud, vue vers l'Ouest	M. Remicourt
OA9785_STM11_photo_1284.jpg	1284	6,3	29/06/11	ST2096	Zone 2, ST2096, en cours de fouille, décapage mécanique, quart Sud-est, coupe Nord-Sud, vue vers l'Ouest	M. Remicourt
OA9785_STM11_photo_1285.jpg	1285	6,5	29/06/11	ST2096	Zone 2, ST2096, en cours de fouille, décapage mécanique, quart Sud-est, coupe Nord-Sud, vue vers l'Ouest	M. Remicourt
OA9785_STM11_photo_1286.jpg	1286	6,4	29/06/11	ST2096	Zone 2, ST2096, en cours de fouille, décapage mécanique, quart Sud-est, coupe Nord-Sud, vue vers l'Ouest	M. Remicourt
OA9785_STM11_photo_1287.jpg	1287	6,3	29/06/11	ST2096	Zone 2, ST2096, en cours de fouille, décapage mécanique, quart Sud-est, coupe Nord-Sud, vue vers l'Ouest	M. Remicourt
OA9785_STM11_photo_1288.jpg	1288	6,5	29/06/11	ST2096	Zone 2, ST2096, en cours de fouille, décapage mécanique, quart Sud-est, coupe Nord-Sud, vue vers l'Ouest	M. Remicourt
OA9785_STM11_photo_1289.jpg	1289	6,4	29/06/11	ST2119	Zone 2, ST2119, après fouille, vue vers le Nord	M. Remicourt
OA9785_STM11_photo_1290.jpg	1290	6,7	29/06/11	ST2249	Zone 2, ST2249, après fouille, vue vers le Nord	M. Remicourt
OA9785_STM11_photo_1291.jpg	1291	6,1	29/06/11	ST2120	Zone 2, ST2120, après fouille, vue vers le Nord	M. Remicourt
OA9785_STM11_photo_1292.jpg	1292	6,7	29/06/11	ST2101	Zone 2, ST2101, coupe Est-Ouest, vue vers le Sud	M. Remicourt
OA9785_STM11_photo_1293.jpg	1293	6,4	29/06/11	ST2024	Zone 2, ST2024, après fouille, vue vers le Nord	M. Remicourt
OA9785_STM11_photo_1294.jpg	1294	7,0	29/06/11	ST2107	Zone 2, ST2107, coupe Est-Ouest, vue vers le Sud	M. Remicourt
OA9785_STM11_photo_1295.jpg	1295	6,4	29/06/11	ST2009	Zone 2, ST2009, coupe Est-Ouest, vue vers le Nord	M. Remicourt
OA9785_STM11_photo_1296.jpg	1296	6,5	29/06/11	ST2009	Zone 2, ST2009, coupe Est-Ouest, vue vers le Nord	M. Remicourt
OA9785_STM11_photo_1297.jpg	1297	6,4	29/06/11	ST2096	Zone 2, ST2096, en cours de fouille, décapage mécanique, quart Sud-Ouest, vue vers le Nord	M. Remicourt
OA9785_STM11_photo_1298.jpg	1298	6,3	29/06/11	ST2017	Zone 2, ST2017, après fouille, vue vers le Nord	M. Remicourt
OA9785_STM11_photo_1299.jpg	1299	6,1	29/06/11	ST2137	Zone 2, ST2137, après nettoyage, vue vers le Nord	M. Remicourt
OA9785_STM11_photo_1300.jpg	1300	6,4	29/06/11	ST2121	Zone 2, ST2121, après nettoyage, vue vers le Nord	M. Remicourt
OA9785_STM11_photo_1301.jpg	1301	6,4	29/06/11	ST2101	Zone 2, ST2101, après fouille, vue vers le Nord	M. Remicourt
OA9785_STM11_photo_1302.jpg	1302	6,3	29/06/11	ST2107	Zone 2, ST2107, après fouille, vue vers le Nord	M. Remicourt
OA9785_STM11_photo_1303.jpg	1303	6,1	29/06/11	ST2096	Zone 2, ST2096, en cours de fouille, décapage mécanique, quart Sud-Ouest, coupe Est-Ouest, vue vers le Nord	M. Remicourt
OA9785_STM11_photo_1304.jpg	1304	6,5	29/06/11	ST2096	Zone 2, ST2096, en cours de fouille, décapage mécanique, quart Sud-Ouest, vue vers le Nord	M. Remicourt
OA9785_STM11_photo_1305.jpg	1305	6,2	29/06/11	ST2096	Zone 2, ST2096, en cours de fouille, décapage mécanique, quart Sud-Ouest, vue vers le Nord	M. Remicourt
OA9785_STM11_photo_1306.jpg	1306	6,2	29/06/11	ST2096	Zone 2, ST2096, en cours de fouille, décapage mécanique, quart Sud-Ouest, vue vers le Nord	M. Remicourt
OA9785_STM11_photo_1307.jpg	1307	6,3	29/06/11	ST2096	Zone 2, ST2096, en cours de fouille, décapage mécanique, quart Sud-Ouest, coupe Est-Ouest, vue vers le Nord	M. Remicourt
OA9785_STM11_photo_1308.jpg	1308	6,9	29/06/11	ST2096	Zone 2, ST2096, en cours de fouille, décapage mécanique, quart Sud-Ouest, coupe Est-Ouest, vue vers le Nord	M. Remicourt
OA9785_STM11_photo_1309.jpg	1309	6,4	29/06/11	ST2096	Zone 2, ST2096, en cours de fouille, décapage mécanique, quart Sud-Ouest, coupe Est-Ouest, vue vers le Nord	M. Remicourt
OA9785_STM11_photo_1310.jpg	1310	6,5	29/06/11	ST2096	Zone 2, ST2096, en cours de fouille, décapage mécanique, quart Sud-Ouest, coupe Est-Ouest, vue vers le Nord	M. Remicourt
OA9785_STM11_photo_1311.jpg	1311	6,6	29/06/11	ST2096	Zone 2, ST2096, en cours de fouille, décapage mécanique, quart Sud-Ouest, coupe Est-Ouest, vue vers le Nord	M. Remicourt

Annexe 8 - Le Clos de Roque, Saint-Maximin-la-Sainte-Baume (83). Inventaire des photographies numériques.



Identifiant	n° cliché	taille (Mo)	date	Structure/Anomalie	Description	Auteur
OA9785_STM11_photo_1312.jpg	1312	6,5	29/06/11	ST2096	Zone 2, ST2096, en cours de fouille, décapage mécanique, quart Sud-Ouest, coupe Est-Ouest, vue vers le Nord	M. Remicourt
OA9785_STM11_photo_1313.jpg	1313	6,1	29/06/11	ST2096	Zone 2, ST2096, en cours de fouille, décapage mécanique, quart Sud-Ouest, vue vers le Nord	M. Remicourt
OA9785_STM11_photo_1314.jpg	1314	6,5	29/06/11	ST2096	Zone 2, ST2096, en cours de fouille, décapage mécanique, quart Sud-Ouest, vue vers le Nord	M. Remicourt
OA9785_STM11_photo_1315.jpg	1315	6,5	29/06/11	ST2096	Zone 2, ST2096, en cours de fouille, décapage mécanique, quart Sud-Ouest, vue vers le Nord	M. Remicourt
OA9785_STM11_photo_1316.jpg	1316	7,0	29/06/11	ST2096	Zone 2, ST2096, en cours de fouille, décapage mécanique, quart Sud-Ouest, vue vers le Nord	M. Remicourt
OA9785_STM11_photo_1317.jpg	1317	6,5	29/06/11	ST2001	Zone 2, ST2001, coupe Est-Ouest, vue vers le Nord	M. Remicourt
OA9785_STM11_photo_1318.jpg	1318	6,3	29/06/11	ST2002	Zone 2, ST2002, coupe Est-Ouest, vue vers le Sud	M. Remicourt
OA9785_STM11_photo_1319.jpg	1319	6,0	29/06/11	ST2171	Zone 2, ST2171, après nettoyage, vue vers le Nord	M. Remicourt
OA9785_STM11_photo_1320.jpg	1320	6,6	29/06/11	ST2096	Zone 2, ST2096, en cours de fouille, décapage mécanique, quart Nord-Ouest, vue vers le Sud	M. Remicourt
OA9785_STM11_photo_1321.jpg	1321	6,1	29/06/11	ST2168	Zone 2, ST2168, après nettoyage, vue vers le Nord	M. Remicourt
OA9785_STM11_photo_1322.jpg	1322	6,2	29/06/11	ST2169	Zone 2, ST2169, après nettoyage, vue vers le Nord	M. Remicourt
OA9785_STM11_photo_1323.jpg	1323	6,3	29/06/11	ST2075	Zone 2, ST2075, après fouille, vue vers le Sud	M. Remicourt
OA9785_STM11_photo_1324.jpg	1324	6,4	29/06/11	ST2075	Zone 2, ST2075, après fouille, ST2074, en cours de fouille, vue vers le Sud	M. Remicourt
OA9785_STM11_photo_1325.jpg	1325	6,3	29/06/11	ST2225	Zone 2, ST2225, après nettoyage, vue vers le Nord	M. Remicourt
OA9785_STM11_photo_1326.jpg	1326	6,3	29/06/11	ST2225	Zone 2, ST2225, coupe Est-Ouest, vue vers le Sud	M. Remicourt
OA9785_STM11_photo_1327.jpg	1327	6,2	29/06/11	ST2096	Zone 2, ST2096, en cours de fouille, décapage mécanique, quart Nord-Ouest, vue vers le Sud	M. Remicourt
OA9785_STM11_photo_1328.jpg	1328	6,4	29/06/11	ST2062	Zone 2, ST2062, après fouille, vue vers le Nord	M. Remicourt
OA9785_STM11_photo_1329.jpg	1329	6,1	29/06/11	ST2096	Zone 2, ST2096, en cours de fouille, décapage mécanique, vue vers le Nord	M. Remicourt
OA9785_STM11_photo_1330.jpg	1330	6,8	29/06/11	ST2096	Zone 2, ST2096, en cours de fouille, décapage mécanique, vue vers le Nord	M. Remicourt
OA9785_STM11_photo_1331.jpg	1331	6,4	29/06/11	ST2333	Zone 2, ST2333, après nettoyage, vue vers le Nord	M. Remicourt
OA9785_STM11_photo_1332.jpg	1332	6,6	29/06/11	ST2319	Zone 2, ST2319, après nettoyage, vue vers le Nord	M. Remicourt
OA9785_STM11_photo_1333.jpg	1333	6,8	30/06/11	ST2074	Zone 2, ST2074, en cours de fouille, avant dernière US, vue vers le Sud	M. Remicourt
OA9785_STM11_photo_1334.jpg	1334	6,6	30/06/11	ST2074	Zone 2, ST2074, en cours de fouille, avant dernière US, vue vers le Sud	M. Remicourt
OA9785_STM11_photo_1335.jpg	1335	6,7	30/06/11	ST2181 ET ST2182	Zone 2, ST2181 et ST2182, après nettoyage, vue vers le Nord	M. Remicourt
OA9785_STM11_photo_1336.jpg	1336	6,7	30/06/11	ST2179	Zone 2, ST2179, après nettoyage, vue vers le Nord	M. Remicourt
OA9785_STM11_photo_1337.jpg	1337	6,6	30/06/11	ST2178	Zone 2, ST2178, après nettoyage, vue vers le Nord	M. Remicourt
OA9785_STM11_photo_1338.jpg	1338	6,6	30/06/11	ST2177	Zone 2, ST2177, après nettoyage, vue vers le Nord	M. Remicourt
OA9785_STM11_photo_1339.jpg	1339	6,6	30/06/11	ST2180	Zone 2, ST2180, après nettoyage, vue vers le Nord	M. Remicourt
OA9785_STM11_photo_1340.jpg	1340	6,5	30/06/11	ST2183	Zone 2, ST2183, coupe Nord-Sud, vue vers l'Est	M. Remicourt
OA9785_STM11_photo_1341.jpg	1341	6,6	30/06/11	ST2074	Zone 2, ST2074, après fouille, vue vers le Sud	M. Remicourt
OA9785_STM11_photo_1342.jpg	1342	6,4	30/06/11	ST2074	Zone 2, ST2074, après fouille, vue vers l'Est	M. Remicourt
OA9785_STM11_photo_1343.jpg	1343	6,8	30/06/11	ST2074	Zone 2, ST2074, après fouille, vue vers le Nord	M. Remicourt
OA9785_STM11_photo_1344.jpg	1344	6,5	30/06/11	ST2074	Zone 2, ST2074, après fouille, vue vers le Nord	M. Remicourt
OA9785_STM11_photo_1345.jpg	1345	6,3	30/06/11	ST2096	Zone 2, ST2096, en cours de fouille, décapage mécanique, quart Sud-est, vue vers le Nord	M. Remicourt
OA9785_STM11_photo_1346.jpg	1346	6,4	30/06/11	ST2096	Zone 2, ST2096, en cours de fouille, décapage mécanique, quart Sud-est, vue vers le Nord	M. Remicourt
OA9785_STM11_photo_1347.jpg	1347	6,7	30/06/11	ST2096	Zone 2, ST2096, en cours de fouille, décapage mécanique, quart Sud-Est, vue vers l'Ouest	M. Remicourt
OA9785_STM11_photo_1348.jpg	1348	6,5	30/06/11	ST2096	Zone 2, ST2096, en cours de fouille, coupe Nord-Sud, quart Sud-Est, vue vers l'Ouest	M. Remicourt
OA9785_STM11_photo_1349.jpg	1349	6,6	30/06/11	ST2096	Zone 2, ST2096, en cours de fouille, coupe Nord-Sud, quart Sud-Est, vue vers l'Ouest	M. Remicourt
OA9785_STM11_photo_1350.jpg	1350	6,5	30/06/11	ST2096	Zone 2, ST2096, en cours de fouille, coupe Nord-Sud, quart Sud-Est, vue vers l'Ouest	M. Remicourt
OA9785_STM11_photo_1351.jpg	1351	6,7	30/06/11	ST2096	Zone 2, ST2096, en cours de fouille, coupe Nord-Sud, quart Sud-Est, vue vers l'Ouest	M. Remicourt
OA9785_STM11_photo_1352.jpg	1352	6,7	30/06/11	ST2096	Zone 2, ST2096, en cours de fouille, coupe Nord-Sud, quart Sud-Est, vue vers l'Ouest	M. Remicourt

Annexe 8 - Le Clos de Roque, Saint-Maximin-la-Sainte-Baume (83). Inventaire des photographies numériques.

Identifiant	n° cliché	taille (Mo)	date	Structure/A normalie	Description	Auteur
OA9785_STM11_photo_1353.jpg	1353	6,5	30/06/11	ST2183	Zone 2, ST2183, après fouille, vue vers le Nord	M. Remicourt
OA9785_STM11_photo_1354.jpg	1354	6,6	30/06/11	ST2188	Zone 2, ST2188, après nettoyage, vue vers le Nord	M. Remicourt
OA9785_STM11_photo_1355.jpg	1355	6,6	30/06/11	ST2096	Zone 2, ST2096, Prélèvements palynologiques 156 et 157 (quart Sud-Est), coupe Nord-Sud, vue vers l'Ouest	M. Remicourt
OA9785_STM11_photo_1356.jpg	1356	6,6	30/06/11	ST2319	Zone 2, ST2319, coupe Est-Ouest, vue vers le Sud	M. Remicourt
OA9785_STM11_photo_1357.jpg	1357	6,3	30/06/11	ST2319	Zone 2, ST2319, coupe Est-Ouest, vue vers le Sud	M. Remicourt
OA9785_STM11_photo_1358.jpg	1358	6,6	30/06/11	ST2333	Zone 2, ST2333, coupe Est-Ouest, vue vers le Sud	M. Remicourt
OA9785_STM11_photo_1359.jpg	1359	6,5	30/06/11	ST2334	Zone 2, ST2334, coupe Est-Ouest, vue vers le Sud	M. Remicourt
OA9785_STM11_photo_1360.jpg	1360	6,2	30/06/11	ST2334	Zone 2, ST2334, après fouille, vue vers l'Est	M. Remicourt
OA9785_STM11_photo_1361.jpg	1361	6,1	30/06/11	ST2334	Zone 2, ST2334, après fouille, vue vers l'Est	M. Remicourt
OA9785_STM11_photo_1362.jpg	1362	6,6	30/06/11	ST2096	Zone 2, ST2096, en cours de fouille, décapage mécanique, vue vers le Nord	M. Remicourt
OA9785_STM11_photo_1363.jpg	1363	6,6	30/06/11	ST2096	Zone 2, ST2096, en cours de fouille, décapage mécanique, vue vers le Nord	M. Remicourt
OA9785_STM11_photo_1364.jpg	1364	6,8	30/06/11	ST2096	Zone 2, ST2096, en cours de fouille, décapage mécanique, vue vers le Nord	M. Remicourt
OA9785_STM11_photo_1365.jpg	1365	6,3	30/06/11	ST2096	Zone 2, ST2096, en cours de fouille, décapage mécanique, vue vers le Nord	M. Remicourt
OA9785_STM11_photo_1366.jpg	1366	6,5	30/06/11	ST2250	Zone 2, ST2250, coupe Est-Ouest, vue vers le Sud	M. Remicourt
OA9785_STM11_photo_1367.jpg	1367	7,1	30/06/11	ST2096	Zone 2, ST2096, en cours de fouille, coupe Nord-Sud, quart Sud-Est, vue vers l'Ouest	M. Remicourt
OA9785_STM11_photo_1368.jpg	1368	6,7	30/06/11	ST2096	Zone 2, ST2096, en cours de fouille, coupe Nord-Sud, quart Sud-Est, vue vers l'Ouest	M. Remicourt
OA9785_STM11_photo_1369.jpg	1369	6,4	30/06/11	ST2333	Zone 2, ST2333, après nettoyage, vue vers le Nord	M. Remicourt
OA9785_STM11_photo_1370.jpg	1370	6,2	30/06/11	ST2328	Zone 2, ST2328, en cours de fouille, décapage mécanique, vue vers le Sud	M. Remicourt
OA9785_STM11_photo_1371.jpg	1371	6,6	30/06/11	ST2008	Zone 2, ST2008, après fouille, vue vers le Nord	M. Remicourt
OA9785_STM11_photo_1372.jpg	1372	6,5	30/06/11	ST2328	Zone 2, ST2328, en cours de fouille, décapage mécanique, vue vers le Sud	M. Remicourt
OA9785_STM11_photo_1373.jpg	1373	6,4	30/06/11	ST2096	Zone 2, ST2096, Prélèvements palynologiques 168 et 169 (quart Sud-Est), coupe Nord-Sud, vue vers l'Ouest	M. Remicourt
OA9785_STM11_photo_1374.jpg	1374	6,5	30/06/11	ST2096	Zone 2, ST2096, Prélèvements palynologiques 168 et 169 (quart Sud-Est), coupe Nord-Sud, vue vers l'Ouest	M. Remicourt
OA9785_STM11_photo_1375.jpg	1375	6,0	30/06/11	ST2096	Zone 2, ST2001, après fouille, vue vers le Nord	M. Remicourt
OA9785_STM11_photo_1376.jpg	1376	6,4	30/06/11	ST2096	Zone 2, ST2096, Prélèvements palynologiques 168 et 169 (quart Sud-Est), coupe Nord-Sud, vue vers l'Ouest	M. Remicourt
OA9785_STM11_photo_1377.jpg	1377	6,1	30/06/11	ST2096	Zone 2, ST2096, Prélèvements palynologiques 168 et 169 (quart Sud-Est), coupe Nord-Sud, vue vers l'Ouest	M. Remicourt
OA9785_STM11_photo_1378.jpg	1378	6,3	30/06/11	ST2096	Zone 2, ST2096, Prélèvements palynologiques 168 et 169 (quart Sud-Est), coupe Nord-Sud, vue vers l'Ouest	M. Remicourt
OA9785_STM11_photo_1379.jpg	1379	6,8	30/06/11	ST2006	Zone 2, ST2006, en cours de fouille, squelette ovicapriné, vue vers le Nord	M. Remicourt
OA9785_STM11_photo_1380.jpg	1380	6,5	30/06/11	ST2006	Zone 2, ST2006, en cours de fouille, squelette ovicapriné, vue vers le Nord	M. Remicourt
OA9785_STM11_photo_1381.jpg	1381	5,9	30/06/11	ST2006	Zone 2, ST2006, en cours de fouille, squelette ovicapriné, vue vers le Nord	M. Remicourt
OA9785_STM11_photo_1382.jpg	1382	6,2	30/06/11	ST2328	Zone 2, ST2328, en cours de fouille, décapage mécanique, vue vers le Sud, rampe d'accès ?	M. Remicourt
OA9785_STM11_photo_1383.jpg	1383	6,4	30/06/11	ST2328	Zone 2, ST2328, en cours de fouille, décapage mécanique, vue vers le Sud, rampe d'accès ?	M. Remicourt
OA9785_STM11_photo_1384.jpg	1384	6,7	30/06/11	ST2328	Zone 2, ST2328, en cours de fouille, décapage mécanique, vue vers le Sud, rampe d'accès ?	M. Remicourt
OA9785_STM11_photo_1385.jpg	1385	6,9	30/06/11	ST2085	Zone 2, ST2085, coupe Nord-Sud, vue vers l'Est	M. Remicourt
OA9785_STM11_photo_1386.jpg	1386	6,8	30/06/11	ST2096	Zone 2, ST2096, en cours de fouille, décapage mécanique, vase fragmenté, vue vers le Sud	M. Remicourt
OA9785_STM11_photo_1387.jpg	1387	5,8	30/06/11	ST2096	Zone 2, ST2096, en cours de fouille, décapage mécanique, vase fragmenté, vue vers le Sud	M. Remicourt
OA9785_STM11_photo_1388.jpg	1388	6,4	30/06/11	ST2328	Zone 2, ST2328, en cours de fouille, décapage mécanique, vue vers le Sud, fin rampe d'accès ?	M. Remicourt
OA9785_STM11_photo_1389.jpg	1389	6,7	30/06/11	ST2096	Zone 2, ST2096, en cours de fouille, décapage mécanique, forme des deux puits avant l'ampoule, vue vers le Nord	M. Remicourt
OA9785_STM11_photo_1390.jpg	1390	6,6	30/06/11	ST2096	Zone 2, ST2096, en cours de fouille, décapage mécanique, forme des deux puits avant l'ampoule, vue vers le Nord	M. Remicourt
OA9785_STM11_photo_1391.jpg	1391	6,7	30/06/11	ST2096	Zone 2, ST2096, en cours de fouille, décapage mécanique, forme des deux puits avant l'ampoule, vue vers le Nord	M. Remicourt
OA9785_STM11_photo_1392.jpg	1392	6,7	30/06/11	ST2096	Zone 2, ST2096, en cours de fouille, décapage mécanique, forme des deux puits avant l'ampoule, vue vers le Nord	M. Remicourt
OA9785_STM11_photo_1393.jpg	1393	6,4	30/06/11	ST2096	Zone 2, ST2096, en cours de fouille, décapage mécanique, forme des deux puits avant l'ampoule, vue vers l'Est	M. Remicourt

Annexe 8 - Le Clos de Roque, Saint-Maximin-la-Sainte-Baume (83). Inventaire des photographies numériques.



Identifiant	n° cliché	taille (Mo)	date	Structure/A normalie	Description	Auteur
OA9785_STM11_photo_1394.jpg	1394	6,8	01/07/11	ST2328	Zone 2, ST2328, en cours de fouille, décapage mécanique, vue vers le Sud	M. Remicourt
OA9785_STM11_photo_1395.jpg	1395	6,7	01/07/11	ST2319	Zone 2, ST2319, en cours de fouille, détail crâne bovidé, vue vers le Sud	M. Remicourt
OA9785_STM11_photo_1396.jpg	1396	6,7	01/07/11	ST2319	Zone 2, ST2319, en cours de fouille, détail crâne bovidé, vue vers le Nord	M. Remicourt
OA9785_STM11_photo_1397.jpg	1397	6,5	01/07/11	ST2319	Zone 2, ST2319, en cours de fouille, détail crâne bovidé, vue vers le Sud	M. Remicourt
OA9785_STM11_photo_1398.jpg	1398	6,5	01/07/11	ST2328	Zone 2, ST2328, en cours de fouille, décapage mécanique, quart Nord-Est, vue vers le Sud	M. Remicourt
OA9785_STM11_photo_1399.jpg	1399	6,6	01/07/11	ST2328	Zone 2, ST2328, en cours de fouille, décapage mécanique, quart Nord-Est, vue vers le Sud	M. Remicourt
OA9785_STM11_photo_1400.jpg	1400	6,5	01/07/11	ST2085	Zone 2, ST2085, après fouille, vue vers le Nord	M. Remicourt
OA9785_STM11_photo_1401.jpg	1401	6,5	01/07/11	ST2328	Zone 2, ST2328, en cours de fouille, décapage mécanique, quart Nord-Est, vue vers le Sud	M. Remicourt
OA9785_STM11_photo_1402.jpg	1402	6,2	01/07/11	ST1050	Zone 1, ST1050, coupe Est-Ouest, vue vers le Sud	M. Remicourt
OA9785_STM11_photo_1403.jpg	1403	6,4	01/07/11	ST1057	Zone 1, ST1057, en cours de fouille, foyer, vue vers le Sud	M. Remicourt
OA9785_STM11_photo_1404.jpg	1404	6,2	01/07/11	ST1055	Zone 1, ST1055, après fouille, vue vers le Nord	M. Remicourt
OA9785_STM11_photo_1405.jpg	1405	6,2	01/07/11	ST1057	Zone1, ST1057, en cours de fouille, foyer, vue vers le Sud	M. Remicourt
OA9785_STM11_photo_1406.jpg	1406	6,4	01/07/11	ST1057	Zone1, ST1057, en cours de fouille, foyer, vue vers le Sud	M. Remicourt
OA9785_STM11_photo_1407.jpg	1407	6,7	01/07/11	ST2328	Zone 2, ST2328, en cours de fouille, décapage mécanique, quart Nord-Est, vue vers le Sud	M. Remicourt
OA9785_STM11_photo_1408.jpg	1408	6,9	01/07/11	ST2328	Zone 2, ST2328, en cours de fouille, décapage mécanique, quart Nord-Est, vue vers le Sud	M. Remicourt
OA9785_STM11_photo_1409.jpg	1409	6,4	01/07/11	ST2328	Zone 2, ST2328, en cours de fouille, décapage mécanique, quart Nord-Est, vue vers le Sud	M. Remicourt
OA9785_STM11_photo_1410.jpg	1410	6,5	04/07/11	ST1063	Zone 1, ST1063, après fouille, vue vers le Nord	M. Remicourt
OA9785_STM11_photo_1411.jpg	1411	6,3	04/07/11	ST1050	Zone 1, ST1050, après fouille, vue vers le Nord	M. Remicourt
OA9785_STM11_photo_1412.jpg	1412	6,4	04/07/11	ST2225	Zone 2, ST2225, en cours de fouille, détail crâne bovidé et mandibules, vue vers le Sud	M. Remicourt
OA9785_STM11_photo_1413.jpg	1413	6,7	04/07/11	ST2225	Zone 2, ST2225, en cours de fouille, détail crâne bovidé et mandibules, vue vers le Sud	M. Remicourt
OA9785_STM11_photo_1414.jpg	1414	6,8	04/07/11	ST2225	Zone 2, ST2225, en cours de fouille, détail crâne bovidé et mandibules, vue vers le Sud	M. Remicourt
OA9785_STM11_photo_1415.jpg	1415	6,3	04/07/11	ST2225	Zone 2, ST2225, en cours de fouille, détail crâne bovidé et mandibules, vue vers le Sud	M. Remicourt
OA9785_STM11_photo_1416.jpg	1416	6,7	04/07/11	ST2225	Zone 2, ST2225, en cours de fouille, détail crâne bovidé et mandibules, vue vers le Sud	M. Remicourt
OA9785_STM11_photo_1417.jpg	1417	6,5	04/07/11	ST2225	Zone 2, ST2225, en cours de fouille, détail crâne bovidé et mandibules, vue vers le Sud	M. Remicourt
OA9785_STM11_photo_1418.jpg	1418	6,8	04/07/11	ST2225	Zone 2, ST2225, en cours de fouille, détail crâne bovidé et mandibules, vue vers le Sud	M. Remicourt
OA9785_STM11_photo_1419.jpg	1419	6,5	04/07/11	ST2225	Zone 2, ST2225, en cours de fouille, détail crâne bovidé et mandibules, vue vers le Sud	M. Remicourt
OA9785_STM11_photo_1420.jpg	1420	6,6	04/07/11	ST2225	Zone 2, ST2225, en cours de fouille, détail crâne bovidé et mandibules, vue vers le Sud	M. Remicourt
OA9785_STM11_photo_1421.jpg	1421	6,7	04/07/11	ST1057	Zone1, ST1057, en cours de fouille, détail ossements brûlés, vue vers l'Est	M. Remicourt
OA9785_STM11_photo_1422.jpg	1422	6,6	04/07/11	ST1057	Zone1, ST1057, en cours de fouille, détail ossements brûlés, vue vers le Nord	M. Remicourt
OA9785_STM11_photo_1423.jpg	1423	6,5	04/07/11	ST1057	Zone1, ST1057, en cours de fouille, détail ossements brûlés, vue vers le Nord	M. Remicourt
OA9785_STM11_photo_1424.jpg	1424	6,6	04/07/11	ST1062	Zone1, ST1062, coupe Est-Ouest, vue vers le Sud	M. Remicourt
OA9785_STM11_photo_1425.jpg	1425	5,6	04/07/11	ST1062	Zone1, ST1062, coupe Est-Ouest, vue vers le Sud	M. Remicourt
OA9785_STM11_photo_1426.jpg	1426	6,5	04/07/11	ST1062	Zone1, ST1062, coupe Est-Ouest, vue vers le Sud	M. Remicourt
OA9785_STM11_photo_1427.jpg	1427	6,6	04/07/11	ST2328	Zone 2, ST2328, coupe Nord-Sud, quart Nord-Est, vue vers l'Ouest	M. Remicourt
OA9785_STM11_photo_1428.jpg	1428	6,4	04/07/11	ST2328	Zone 2, ST2328, coupe Nord-Sud, quart Nord-Est, vue vers l'Ouest	M. Remicourt
OA9785_STM11_photo_1429.jpg	1429	6,4	04/07/11	ST2328	Zone 2, ST2328, coupe Nord-Sud, quart Nord-Est, vue vers l'Ouest	M. Remicourt
OA9785_STM11_photo_1430.jpg	1430	6,3	04/07/11	ST2328	Zone 2, ST2328, coupe Nord-Sud, quart Nord-Est, vue vers l'Ouest	M. Remicourt
OA9785_STM11_photo_1431.jpg	1431	6,3	04/07/11	ST2328	Zone 2, ST2328, coupe Nord-Sud, quart Nord-Est, vue vers l'Ouest	M. Remicourt
OA9785_STM11_photo_1432.jpg	1432	6,4	04/07/11	ST2328	Zone 2, ST2328, coupe Nord-Sud, quart Nord-Est, vue vers l'Ouest	M. Remicourt
OA9785_STM11_photo_1433.jpg	1433	6,1	04/07/11	ST2328	Zone 2, ST2328, coupe Nord-Sud, quart Nord-Est, vue vers l'Ouest	M. Remicourt
OA9785_STM11_photo_1434.jpg	1434	6,5	04/07/11	ST2328	Zone 2, ST2328, coupe Nord-Sud, quart Nord-Est, vue vers l'Ouest	M. Remicourt

Annexe 8 - Le Clos de Roque, Saint-Maximin-la-Sainte-Baume (83). Inventaire des photographies numériques.

Identifiant	n° cliché	taille (Mo)	date	Structure/Anomalie	Description	Auteur
OA9785_STM11_photo_1435.jpg	1435	6,1	04/07/11	ST2328	Zone 2, ST2328, coupe Nord-Sud, quart Nord-Est, vue vers l'Ouest	M. Remicourt
OA9785_STM11_photo_1436.jpg	1436	6,3	04/07/11	ST2006	Zone 2, ST2006, coupe Nord-Sud, vue vers l'Ouest	M. Remicourt
OA9785_STM11_photo_1437.jpg	1437	6,4	04/07/11	ST2006	Zone 2, ST2006, coupe Nord-Sud, vue vers l'Ouest	M. Remicourt
OA9785_STM11_photo_1438.jpg	1438	6,4	04/07/11	ST2006	Zone 2, ST2006, coupe Nord-Sud, vue vers l'Ouest	M. Remicourt
OA9785_STM11_photo_1439.jpg	1439	6,8	04/07/11	Ambiance	Zone 2, ST2006, coupe Nord-Sud, vue vers l'Ouest, détail nid guêpe maçonne	M. Remicourt
OA9785_STM11_photo_1440.jpg	1440	6,8	04/07/11	Ambiance	Zone 2, ST2006, coupe Nord-Sud, vue vers l'Ouest, détail nid guêpe maçonne	M. Remicourt
OA9785_STM11_photo_1441.jpg	1441	6,5	04/07/11	ST1057	Zone1, ST1057, en cours de fouille, foyer, vue vers le Sud	M. Remicourt
OA9785_STM11_photo_1442.jpg	1442	5,8	04/07/11	ST1057	Zone1, ST1057, en cours de fouille, détail ossements brûlés, vue vers l'Est	M. Remicourt
OA9785_STM11_photo_1443.jpg	1443	6,7	04/07/11	ST1057	Zone1, ST1057, en cours de fouille, détail ossements brûlés, vue vers l'Est	M. Remicourt
OA9785_STM11_photo_1444.jpg	1444	6,0	04/07/11	ST2335	Zone 2, ST2335, après nettoyage, vue vers le Nord	M. Remicourt
OA9785_STM11_photo_1445.jpg	1445	6,6	04/07/11	ST2250	Zone 2, ST2250, après fouille, vue vers le Nord	M. Remicourt
OA9785_STM11_photo_1446.jpg	1446	6,7	05/07/11	ST2328	Zone 2, ST2328, en cours de fouille, décapage mécanique, quart Nord-Ouest, vue vers le Sud	M. Remicourt
OA9785_STM11_photo_1447.jpg	1447	6,2	05/07/11	ST2328	Zone 2, ST2328, en cours de fouille, décapage mécanique, quart Nord-Ouest, vue vers le Sud	M. Remicourt
OA9785_STM11_photo_1448.jpg	1448	6,9	05/07/11	ST2328	Zone 2, ST2328, en cours de fouille, décapage mécanique, quart Nord-Ouest, vue vers le Sud	M. Remicourt
OA9785_STM11_photo_1449.jpg	1449	6,5	05/07/11	ST2328	Zone 2, ST2328, en cours de fouille, décapage mécanique, quart Nord-Ouest, vue vers le Sud	M. Remicourt
OA9785_STM11_photo_1450.jpg	1450	6,0	05/07/11	ST2328	Zone 2, ST2328, en cours de fouille, décapage mécanique, quart Nord-Ouest, vue vers le Sud	M. Remicourt
OA9785_STM11_photo_1451.jpg	1451	6,6	05/07/11	ST2328	Zone 2, ST2328, en cours de fouille, décapage mécanique, quart Nord-Ouest, vue vers le Sud	M. Remicourt
OA9785_STM11_photo_1452.jpg	1452	6,1	05/07/11	ST2328	Zone 2, ST2328, en cours de fouille, décapage mécanique, quart Nord-Ouest, vue vers le Sud	M. Remicourt
OA9785_STM11_photo_1453.jpg	1453	6,7	05/07/11	ST2328	Zone 2, ST2328, en cours de fouille, décapage mécanique, quart Nord-Ouest, vue vers le Sud	M. Remicourt
OA9785_STM11_photo_1454.jpg	1454	6,9	05/07/11	ST2328	Zone 2, ST2328, en cours de fouille, décapage mécanique, quart Nord-Ouest, vue vers le Sud	M. Remicourt
OA9785_STM11_photo_1455.jpg	1455	6,2	05/07/11	ST2328	Zone 2, ST2328, en cours de fouille, décapage mécanique, quart Nord-Ouest, vue vers le Sud	M. Remicourt
OA9785_STM11_photo_1456.jpg	1456	6,8	05/07/11	ST2319	Zone 2, ST2319, après fouille, vue vers le Nord	M. Remicourt
OA9785_STM11_photo_1457.jpg	1457	6,7	05/07/11	ST2328	Zone 2, ST2328, en cours de fouille, décapage mécanique, quart Nord-Ouest, vue vers le Sud	M. Remicourt
OA9785_STM11_photo_1458.jpg	1458	6,6	05/07/11	ST2328	Zone 2, ST2328, en cours de fouille, décapage mécanique, quart Nord-Ouest, vue vers le Sud	M. Remicourt
OA9785_STM11_photo_1459.jpg	1459	6,4	05/07/11	ST1049	Zone 1, ST1049, après nettoyage, vue vers le Nord	M. Remicourt
OA9785_STM11_photo_1460.jpg	1460	7,0	05/07/11	ST1057	Zone 1, ST1057, en cours de fouille, foyer, vue vers le Nord	M. Remicourt
OA9785_STM11_photo_1461.jpg	1461	6,5	05/07/11	ST1057	Zone 1, ST1057, en cours de fouille, foyer, vue vers le Nord	M. Remicourt
OA9785_STM11_photo_1462.jpg	1462	6,8	05/07/11	ST1071	Zone 1, ST1071, coupe Est-Ouest, vue vers le Sud	M. Remicourt
OA9785_STM11_photo_1463.jpg	1463	6,0	05/07/11	ST2009	Zone 2, ST2009, après fouille, vue vers le Sud	M. Remicourt
OA9785_STM11_photo_1464.jpg	1464	6,1	05/07/11	ST2009	Zone 2, ST2009, après fouille, vue vers le Nord	M. Remicourt
OA9785_STM11_photo_1465.jpg	1465	6,4	05/07/11	ST2096	Zone 2, ST2096, en cours de fouille, décapage mécanique, quart Nord-Est, Puits 1, vase en place, vue vers le Sud	M. Remicourt
OA9785_STM11_photo_1466.jpg	1466	7,0	05/07/11	ST2096	Zone 2, ST2096, en cours de fouille, décapage mécanique, quart Nord-Est, Puits 1, vase en place, vue vers l'Ouest	M. Remicourt
OA9785_STM11_photo_1467.jpg	1467	5,8	05/07/11	ST2096	Zone 2, ST2096, en cours de fouille, décapage mécanique, quart Nord-Est, Puits 1, vase en place, vue vers l'Ouest	M. Remicourt
OA9785_STM11_photo_1468.jpg	1468	5,6	05/07/11	ST2096	Zone 2, ST2096, en cours de fouille, décapage mécanique, quart Nord-Est, Puits 1, vase en place, vue vers l'Ouest	M. Remicourt
OA9785_STM11_photo_1469.jpg	1469	6,7	05/07/11	ST2096	Zone 2, ST2096, en cours de fouille, décapage mécanique, quart Nord-Est, Puits 1, vase en place, vue vers le Sud	M. Remicourt
OA9785_STM11_photo_1470.jpg	1470	5,9	05/07/11	ST2096	Zone 2, ST2096, en cours de fouille, décapage mécanique, quart Nord-Est, Puits 1, vase en place, vue vers le Sud	M. Remicourt
OA9785_STM11_photo_1471.jpg	1471	6,3	05/07/11	ST2096	Zone 2, ST2096, en cours de fouille, décapage mécanique, vidange puisard, vue vers le Sud	M. Remicourt
OA9785_STM11_photo_1472.jpg	1472	6,4	05/07/11	ST1071	Zone1, ST1071, après nettoyage moitié restante, vue vers le Nord	M. Remicourt
OA9785_STM11_photo_1473.jpg	1473	6,2	05/07/11	ST1049	Zone1, ST1049, coupe Est-Ouest, vue vers le Sud	M. Remicourt
OA9785_STM11_photo_1474.jpg	1474	6,3	05/07/11	ST1049	Zone1, ST1049, coupe Est-Ouest, vue vers le Sud	M. Remicourt
OA9785_STM11_photo_1475.jpg	1475	6,7	05/07/11	ST1049	Zone1, ST1049, coupe Est-Ouest, vue vers le Sud	M. Remicourt

Annexe 8 - Le Clos de Roque, Saint-Maximin-la-Sainte-Baume (83). Inventaire des photographies numériques.

Identifiant	n° cliché	taille (Mo)	date	Structure/A normalie	Description	Auteur
OA9785_STM11_photo_1476.jpg	1476	6,1	05/07/11	ST2096	Zone 2, ST2096, en cours de fouille, décapage mécanique, quart Nord-Ouest, Puits 2, pièce de bois en place, vue vers le Sud	M. Remicourt
OA9785_STM11_photo_1477.jpg	1477	5,9	05/07/11	ST2096	Zone 2, ST2096, en cours de fouille, décapage mécanique, quart Nord-Ouest, Puits 2, pièce de bois en place, vue vers le Sud	M. Remicourt
OA9785_STM11_photo_1478.jpg	1478	6,4	05/07/11	ST2096	Zone 2, ST2096, en cours de fouille, décapage mécanique, quart Nord-Ouest, Puits 2, pièce de bois en place, vue vers le Sud	M. Remicourt
OA9785_STM11_photo_1479.jpg	1479	5,9	05/07/11	ST2096	Zone 2, ST2096, en cours de fouille, décapage mécanique, quart Nord-Ouest, Puits 2, pièce de bois en place, vue vers le Sud	M. Remicourt
OA9785_STM11_photo_1480.jpg	1480	6,3	05/07/11	ST1014	Zone1, ST1014, coupe Est-Ouest, vue vers le Nord	M. Remicourt
OA9785_STM11_photo_1481.jpg	1481	6,0	05/07/11	ST2207	Zone 2, ST2207, après nettoyage, vue vers le Nord	M. Remicourt
OA9785_STM11_photo_1482.jpg	1482	6,7	05/07/11	ST2212	Zone 2, ST2212, après nettoyage, vue vers le Nord	M. Remicourt
OA9785_STM11_photo_1483.jpg	1483	6,6	05/07/11	ST2211	Zone 2, ST2211, après nettoyage, vue vers le Nord	M. Remicourt
OA9785_STM11_photo_1484.jpg	1484	6,3	05/07/11	ST2213	Zone 2, ST2213, après nettoyage, vue vers le Nord	M. Remicourt
OA9785_STM11_photo_1485.jpg	1485	6,2	05/07/11	ST2334	Zone 2, ST2334, après nettoyage, vue vers le Nord	M. Remicourt
OA9785_STM11_photo_1486.jpg	1486	6,3	05/07/11	ST2096	Zone 2, ST2096, en cours de fouille, décapage mécanique, vue vers le Sud, coupe géologique encaissant	M. Remicourt
OA9785_STM11_photo_1487.jpg	1487	6,2	05/07/11	ST2096	Zone 2, ST2096, en cours de fouille, décapage mécanique, vue vers le Sud, coupe géologique encaissant	M. Remicourt
OA9785_STM11_photo_1488.jpg	1488	10,6	05/07/11	ST2279	Zone 2, ST2279, après nettoyage, vue vers le Nord	M. Remicourt
OA9785_STM11_photo_1489.jpg	1489	6,5	05/07/11	ST2096	Zone 2, ST2096, en cours de fouille, décapage mécanique, vue vers le Sud, coupe géologique encaissant, détail ampoule	M. Remicourt
OA9785_STM11_photo_1490.jpg	1490	6,8	05/07/11	ST2096	Zone 2, ST2096, en cours de fouille, décapage mécanique, vue vers le Sud, coupe géologique encaissant, détail ampoule	M. Remicourt
OA9785_STM11_photo_1491.jpg	1491	6,1	05/07/11	Ambiance	Zone 2, ST2096, en cours de fouille, décapage mécanique, enregistrement niveaux US (AF, JR, MR)	M. Remicourt
OA9785_STM11_photo_1492.jpg	1492	6,4	05/07/11	Ambiance	Zone 2, ST2096, en cours de fouille, décapage mécanique, enregistrement niveaux US (PG, MR)	M. Remicourt
OA9785_STM11_photo_1493.jpg	1493	6,5	05/07/11	ST2328	Zone 2, ST2328, en cours de fouille, décapage mécanique, quart Nord-Ouest, vue vers le Sud, détail pierres (calage vase ?)	M. Remicourt
OA9785_STM11_photo_1494.jpg	1494	6,4	05/07/11	ST2328	Zone 2, ST2328, en cours de fouille, décapage mécanique, quart Nord-Ouest, vue vers le Sud, détail pierres (calage vase ?)	M. Remicourt
OA9785_STM11_photo_1495.jpg	1495	6,8	05/07/11	ST2328	Zone 2, ST2328, en cours de fouille, décapage mécanique, quart Nord-Ouest, vue vers le Sud, détail pierres (calage vase ?)	M. Remicourt
OA9785_STM11_photo_1496.jpg	1496	6,4	05/07/11	ST2328	Zone 2, ST2328, en cours de fouille, décapage mécanique, quart Nord-Ouest, vue vers le Sud, détail pierres (calage vase ?)	M. Remicourt
OA9785_STM11_photo_1497.jpg	1497	6,7	06/07/11	ST2094	Zone 2, ST2094, en cours de fouille, décapage mécanique, quart Sud-Est, vue vers l'Ouest, coupe Nord-Sud	M. Remicourt
OA9785_STM11_photo_1498.jpg	1498	6,5	06/07/11	ST2094	Zone 2, ST2094, en cours de fouille, décapage mécanique, quart Sud-Est, vue vers l'Ouest, coupe Nord-Sud	M. Remicourt
OA9785_STM11_photo_1499.jpg	1499	6,1	06/07/11	ST2094	Zone 2, ST2094, en cours de fouille, décapage mécanique, quart Sud-Est, vue vers l'Ouest, coupe Nord-Sud	M. Remicourt
OA9785_STM11_photo_1500.jpg	1500	6,5	06/07/11	ST2094	Zone 2, ST2094, en cours de fouille, décapage mécanique, quart Sud-Est, vue vers l'Ouest, coupe Nord-Sud	M. Remicourt
OA9785_STM11_photo_1501.jpg	1501	6,7	06/07/11	ST2094	Zone 2, ST2094, en cours de fouille, décapage mécanique, quart Sud-Est, vue vers l'Ouest, coupe Nord-Sud	M. Remicourt
OA9785_STM11_photo_1502.jpg	1502	6,7	06/07/11	ST2225	Zone 2, ST2225, après fouille, vue vers le Nord	M. Remicourt
OA9785_STM11_photo_1503.jpg	1503	6,9	06/07/11	ST1014	Zone 1, ST1014, après fouille, vue vers le Nord	M. Remicourt
OA9785_STM11_photo_1504.jpg	1504	6,5	06/07/11	ST1049	Zone 1, ST1049, après fouille, vue vers le Nord	M. Remicourt
OA9785_STM11_photo_1505.jpg	1505	6,1	06/07/11	ST2006	Zone 2, ST2006, après fouille, vue vers le Nord	M. Remicourt
OA9785_STM11_photo_1506.jpg	1506	6,8	06/07/11	ST2006	Zone 2, ST2006, après fouille, vue vers l'Est	M. Remicourt
OA9785_STM11_photo_1507.jpg	1507	6,5	06/07/11	ST2006	Zone 2, ST2006, après fouille, vue vers le Nord	M. Remicourt
OA9785_STM11_photo_1508.jpg	1508	6,1	06/07/11	ST2006	Zone 2, ST2006, après fouille, vue vers l'Est	M. Remicourt
OA9785_STM11_photo_1509.jpg	1509	6,5	06/07/11	ST2006	Zone 2, ST2006, après fouille, vue vers l'Est	M. Remicourt
OA9785_STM11_photo_1510.jpg	1510	6,5	06/07/11	ST2006	Zone 2, ST2006, après fouille, vue vers le Sud	M. Remicourt
OA9785_STM11_photo_1511.jpg	1511	6,8	06/07/11	ST2006	Zone 2, ST2006, après fouille, vue vers le Sud	M. Remicourt

Annexe 8 - Le Clos de Roque, Saint-Maximin-la-Sainte-Baume (83). Inventaire des photographies numériques.

Identifiant	n° cliché	taille (Mo)	date	Structure/Anomalie	Description	Auteur
OA9785_STM11_photo_1512.jpg	1512	6,5	06/07/11	ST2006	Zone 2, ST2006, après fouille, vue vers l'Est	M. Remicourt
OA9785_STM11_photo_1513.jpg	1513	6,8	06/07/11	ST2006	Zone 2, ST2006, après fouille, vue vers l'Est	M. Remicourt
OA9785_STM11_photo_1514.jpg	1514	6,2	06/07/11	ST2336	Zone 2, ST2336, après nettoyage, vue vers le Nord	M. Remicourt
OA9785_STM11_photo_1515.jpg	1515	6,9	06/07/11	ST2094	Zone 2, ST2094, en cours de fouille, fin du décapage manuel, quart Sud-Est, vue vers le Nord	M. Remicourt
OA9785_STM11_photo_1516.jpg	1516	6,5	06/07/11	ST2094	Zone 2, ST2094, en cours de fouille, fin du décapage manuel, quart Sud-Est, vue vers le Nord	M. Remicourt
OA9785_STM11_photo_1517.jpg	1517	6,4	06/07/11	ST2094	Zone 2, ST2094, en cours de fouille, fin du décapage manuel, quart Sud-Est, vue vers l'Ouest	M. Remicourt
OA9785_STM11_photo_1518.jpg	1518	6,7	06/07/11	ST2094	Zone 2, ST2094, en cours de fouille, fin du décapage manuel, quart Sud-Est, vue vers le Nord	M. Remicourt
OA9785_STM11_photo_1519.jpg	1519	6,4	06/07/11	ST2094	Zone 2, ST2094, en cours de fouille, fin du décapage manuel, quart Sud-Est, vue vers l'Ouest	M. Remicourt
OA9785_STM11_photo_1520.jpg	1520	6,5	06/07/11	ST2094	Zone 2, ST2094, en cours de fouille, fin du décapage manuel, quart Sud-Est, vue vers l'Ouest	M. Remicourt
OA9785_STM11_photo_1521.jpg	1521	6,4	06/07/11	ST2094	Zone 2, ST2094, en cours de fouille, fin du décapage manuel, quart Sud-Est, vue vers l'Ouest	M. Remicourt
OA9785_STM11_photo_1522.jpg	1522	6,3	06/07/11	ST2094	Zone 2, ST2094, en cours de fouille, fin du décapage manuel, quart Sud-Est, vue vers l'Ouest	M. Remicourt
OA9785_STM11_photo_1523.jpg	1523	6,5	06/07/11	ST1058	Zone 1, ST1058, coupe Est-Ouest, vue vers le Sud	M. Remicourt
OA9785_STM11_photo_1524.jpg	1524	6,2	06/07/11	ST1071	Zone 1, ST1071, quart Nord-Ouest, détail troncs brûlés, vue vers le Nord	M. Remicourt
OA9785_STM11_photo_1525.jpg	1525	6,3	06/07/11	ST1071	Zone 1, ST1071, quart Nord-Ouest, détail troncs brûlés, vue vers le Nord	M. Remicourt
OA9785_STM11_photo_1526.jpg	1526	6,2	06/07/11	ST1071	Zone 1, ST1071, quart Nord-Ouest, détail troncs brûlés, vue vers l'Est	M. Remicourt
OA9785_STM11_photo_1527.jpg	1527	6,1	06/07/11	ST1071	Zone 1, ST1071, quart Nord-Ouest, détail troncs brûlés, vue vers l'Est	M. Remicourt
OA9785_STM11_photo_1528.jpg	1528	6,6	06/07/11	ST1071	Zone 1, ST1071, quart Nord-Ouest, détail troncs brûlés, vue vers le Sud	M. Remicourt
OA9785_STM11_photo_1529.jpg	1529	6,3	06/07/11	ST1071	Zone 1, ST1071, quart Nord-Ouest, détail troncs brûlés, vue vers le Nord	M. Remicourt
OA9785_STM11_photo_1530.jpg	1530	6,4	06/07/11	ST1071	Zone 1, ST1071, quart Nord-Ouest, détail troncs brûlés, vue vers le Nord	M. Remicourt
OA9785_STM11_photo_1531.jpg	1531	6,6	06/07/11	ST1071	Zone 1, ST1071, quart Nord-Ouest, détail troncs brûlés, vue vers l'Ouest	M. Remicourt
OA9785_STM11_photo_1532.jpg	1532	6,5	06/07/11	ST1071	Zone 1, ST1071, quart Nord-Ouest, détail troncs brûlés, vue vers le Sud	M. Remicourt
OA9785_STM11_photo_1533.jpg	1533	6,3	06/07/11	ST1071	Zone 1, ST1071, quart Nord-Ouest, détail troncs brûlés, vue vers le Sud	M. Remicourt
OA9785_STM11_photo_1534.jpg	1534	6,5	06/07/11	ST1071	Zone 1, ST1071, quart Nord-Ouest, détail troncs brûlés, vue vers le Sud	M. Remicourt
OA9785_STM11_photo_1535.jpg	1535	6,3	06/07/11	ST1071	Zone 1, ST1071, quart Nord-Ouest, détail troncs brûlés, vue vers le Sud	M. Remicourt
OA9785_STM11_photo_1536.jpg	1536	6,8	06/07/11	ST1071	Zone 1, ST1071, quart Nord-Ouest, détail troncs brûlés, vue vers l'Ouest	M. Remicourt
OA9785_STM11_photo_1537.jpg	1537	6,5	06/07/11	ST1071	Zone 1, ST1071, quart Nord-Ouest, détail troncs brûlés, vue vers le Sud	M. Remicourt
OA9785_STM11_photo_1538.jpg	1538	7,1	06/07/11	ST1062	Zone 1, ST1062, après fouille, vue vers le Nord	M. Remicourt
OA9785_STM11_photo_1539.jpg	1539	6,2	06/07/11	ST2094	Zone 2, ST2094, en cours de fouille, décapage mécanique, quart Sud-Ouest, vue vers le Nord, apparition ST2338	M. Remicourt
OA9785_STM11_photo_1540.jpg	1540	6,2	06/07/11	ST1058	Zone 1, ST1058, après nettoyage, vue vers le Nord	M. Remicourt
OA9785_STM11_photo_1541.jpg	1541	6,7	06/07/11	ST1012	Zone 1, ST1012, après nettoyage, vue vers le Nord	M. Remicourt
OA9785_STM11_photo_1542.jpg	1542	6,5	06/07/11	ST1071	Zone 1, ST1071, quart Nord-Ouest, détail troncs brûlés en section pendant démontage, vue vers le Nord	M. Remicourt
OA9785_STM11_photo_1543.jpg	1543	6,3	06/07/11	ST1071	Zone 1, ST1071, quart Nord-Ouest, détail troncs brûlés en section pendant démontage, vue vers le Nord	M. Remicourt
OA9785_STM11_photo_1544.jpg	1544	6,6	06/07/11	ST2094 / ST2338	Zone 2, ST2094 et ST2338, en cours de fouille, décapage mécanique, quart Sud-Ouest, vue vers le Nord	M. Remicourt
OA9785_STM11_photo_1545.jpg	1545	6,3	06/07/11	ST2094 / ST2338	Zone 2, ST2094 et ST2338, en cours de fouille, décapage mécanique, quart Sud-Ouest, vue vers le Nord	M. Remicourt
OA9785_STM11_photo_1546.jpg	1546	6,6	06/07/11	ST2094	Zone 2, ST2094, en cours de fouille, décapage mécanique, quart Sud-Ouest, vue vers le Nord	M. Remicourt
OA9785_STM11_photo_1547.jpg	1547	6,5	06/07/11	ST2094	Zone 2, ST2094, en cours de fouille, décapage mécanique, quart Sud-Ouest, vue vers le Nord	M. Remicourt
OA9785_STM11_photo_1548.jpg	1548	6,4	06/07/11	ST2094	Zone 2, ST2094, en cours de fouille, décapage mécanique, quart Sud-Ouest, vue vers le Nord	M. Remicourt
OA9785_STM11_photo_1549.jpg	1549	6,8	06/07/11	ST2094	Zone 2, ST2094, en cours de fouille, décapage mécanique, quart Sud-Ouest, vue vers le Nord	M. Remicourt
OA9785_STM11_photo_1550.jpg	1550	6,5	06/07/11	ST2336	Zone 2, ST2336, coupe Est-Ouest, vue vers le Sud	M. Remicourt
OA9785_STM11_photo_1551.jpg	1551	6,2	06/07/11	ST1071	Zone 1, ST1071, quart Nord-Ouest, coupe Nord-Sud, vue vers l'Est	M. Remicourt
OA9785_STM11_photo_1552.jpg	1552	6,1	06/07/11	ST1071	Zone 1, ST1071, quart Nord-Ouest, coupe Nord-Sud, vue vers l'Est	M. Remicourt

Annexe 8 - Le Clos de Roque, Saint-Maximin-la-Sainte-Baume (83). Inventaire des photographies numériques.



Identifiant	n° cliché	taille (Mo)	date	Structure/Anomalie	Description	Auteur
OA9785_STM11_photo_1553.jpg	1553	6,5	06/07/11	ST2336	Zone 2, ST2336, après fouille, vue vers le Nord	M. Remicourt
OA9785_STM11_photo_1554.jpg	1554	6,0	06/07/11	ST2336	Zone 2, ST2336, après fouille, vue vers le Nord	M. Remicourt
OA9785_STM11_photo_1555.jpg	1555	6,5	07/07/11	ST2328	Zone 2, ST2328, en cours de fouille, décapage mécanique, quart Nord-Ouest, vue vers le Sud	M. Remicourt
OA9785_STM11_photo_1556.jpg	1556	6,5	07/07/11	ST2328	Zone 2, ST2328, en cours de fouille, décapage mécanique, quart Nord-Ouest, vue vers le Sud	M. Remicourt
OA9785_STM11_photo_1557.jpg	1557	5,8	07/07/11	ST2328	Zone 2, ST2328, en cours de fouille, décapage mécanique, quart Nord-Ouest, vue vers le Sud	M. Remicourt
OA9785_STM11_photo_1558.jpg	1558	6,4	07/07/11	ST2094	Zone 2, ST2094, après fouille, décapage manuel, partie Sud, vue vers le Nord	M. Remicourt
OA9785_STM11_photo_1559.jpg	1559	6,8	07/07/11	ST2094	Zone 2, ST2094, après fouille, décapage manuel, partie Sud, vue vers le Nord	M. Remicourt
OA9785_STM11_photo_1560.jpg	1560	6,5	07/07/11	ST2094	Zone 2, ST2094, après fouille, décapage manuel, partie Sud, vue vers l'Ouest	M. Remicourt
OA9785_STM11_photo_1561.jpg	1561	7,0	07/07/11	ST2094	Zone 2, ST2094, après fouille, décapage manuel, partie Sud, vue vers le Sud, détail trou vase ou poteau	M. Remicourt
OA9785_STM11_photo_1562.jpg	1562	6,6	07/07/11	ST2094	Zone 2, ST2094, après fouille, décapage manuel, partie Sud, vue vers le Sud	M. Remicourt
OA9785_STM11_photo_1563.jpg	1563	6,7	07/07/11	ST2094	Zone 2, ST2094, après fouille, décapage manuel, partie Sud, vue vers le Sud	M. Remicourt
OA9785_STM11_photo_1564.jpg	1564	6,5	07/07/11	ST2094	Zone 2, ST2094, après fouille, décapage manuel, partie Sud, vue vers le Sud	M. Remicourt
OA9785_STM11_photo_1565.jpg	1565	6,6	07/07/11	ST2094	Zone 2, ST2094, après fouille, décapage manuel, partie Sud, vue vers le Sud, détail trou vase ou poteau	M. Remicourt
OA9785_STM11_photo_1566.jpg	1566	6,8	07/07/11	ST2094	Zone 2, ST2094, après fouille, décapage manuel, partie Sud, vue vers le Sud	M. Remicourt
OA9785_STM11_photo_1567.jpg	1567	6,7	07/07/11	ST2094	Zone 2, ST2094, après fouille, décapage manuel, partie Sud, vue vers le Sud	M. Remicourt
OA9785_STM11_photo_1568.jpg	1568	6,4	07/07/11	ST2338	Zone 2, ST2338, coupe Est-Ouest, vue vers le Sud	M. Remicourt
OA9785_STM11_photo_1569.jpg	1569	6,5	07/07/11	ST2338	Zone 2, ST2338, coupe Est-Ouest, vue vers le Sud	M. Remicourt
OA9785_STM11_photo_1570.jpg	1570	6,7	07/07/11	ST2337	Zone 2, ST2337, coupe Est-Ouest, vue vers le Sud	M. Remicourt
OA9785_STM11_photo_1571.jpg	1571	6,4	07/07/11	ST2315	Zone 2, ST2315, après nettoyage, vue vers le Nord	M. Remicourt
OA9785_STM11_photo_1572.jpg	1572	7,1	07/07/11	ST2224	Zone 2, ST2224, après nettoyage, vue vers le Nord	M. Remicourt
OA9785_STM11_photo_1573.jpg	1573	7,0	07/07/11	ST2338	Zone 2, ST2338, après fouille, vue vers l'Ouest	M. Remicourt
OA9785_STM11_photo_1574.jpg	1574	6,3	07/07/11	ST2338	Zone 2, ST2338, après fouille, vue vers l'Est	M. Remicourt
OA9785_STM11_photo_1575.jpg	1575	6,4	07/07/11	ST2321	Zone 2, ST2321, coupe Nord-Sud, vue vers l'Ouest	M. Remicourt
OA9785_STM11_photo_1576.jpg	1576	6,4	07/07/11	ST1012	Zone1, ST1012, coupe Est-Ouest, vue vers le Nord	M. Remicourt
OA9785_STM11_photo_1577.jpg	1577	6,2	07/07/11	ST1012	Zone1, ST1012, coupe Est-Ouest, vue vers le Nord	M. Remicourt
OA9785_STM11_photo_1578.jpg	1578	6,3	07/07/11	ST1057	Zone1, ST1057, coupe Est-Ouest, vue vers le Sud	M. Remicourt
OA9785_STM11_photo_1579.jpg	1579	6,2	07/07/11	ST1057	Zone1, ST1057, coupe Est-Ouest, vue vers le Sud	M. Remicourt
OA9785_STM11_photo_1580.jpg	1580	6,6	07/07/11	ST1057	Zone1, ST1057, coupe Est-Ouest, vue vers le Sud	M. Remicourt
OA9785_STM11_photo_1581.jpg	1581	6,6	07/07/11	ST1057	Zone1, ST1057, coupe Est-Ouest, vue vers le Sud	M. Remicourt
OA9785_STM11_photo_1582.jpg	1582	5,9	07/07/11	ST1057	Zone1, ST1057, coupe Est-Ouest, vue vers le Sud	M. Remicourt
OA9785_STM11_photo_1583.jpg	1583	6,4	07/07/11	ST1057	Zone1, ST1057, coupe Est-Ouest, vue vers le Sud	M. Remicourt
OA9785_STM11_photo_1584.jpg	1584	6,6	07/07/11	ST1057	Zone1, ST1057, coupe Est-Ouest, vue vers le Sud	M. Remicourt
OA9785_STM11_photo_1585.jpg	1585	6,5	07/07/11	ST2224	Zone 2, ST2224, coupe Est-Ouest, vue vers le Sud	M. Remicourt
OA9785_STM11_photo_1586.jpg	1586	6,0	07/07/11	ST2321	Zone 2, ST2321, après fouille, vue vers l'Ouest	M. Remicourt
OA9785_STM11_photo_1587.jpg	1587	6,4	07/07/11	ST2337	Zone 2, ST2337, en cours de fouille, détail pierre, vue vers l'Ouest	M. Remicourt
OA9785_STM11_photo_1588.jpg	1588	6,1	07/07/11	ST2337	Zone 2, ST2337, en cours de fouille, détail pierre, vue vers le Nord	M. Remicourt
OA9785_STM11_photo_1589.jpg	1589	6,2	07/07/11	ST1057	Zone 1, ST1057, après fouille, vue vers le Nord	M. Remicourt
OA9785_STM11_photo_1590.jpg	1590	6,3	07/07/11	ST1057	Zone 1, ST1057, après fouille, vue vers le Sud	M. Remicourt
OA9785_STM11_photo_1591.jpg	1591	6,5	07/07/11	ST2328	Zone 2, ST2328, après fouille, vue vers le Sud	M. Remicourt
OA9785_STM11_photo_1592.jpg	1592	6,7	07/07/11	ST2328	Zone 2, ST2328, après fouille, vue vers le Sud	M. Remicourt
OA9785_STM11_photo_1593.jpg	1593	6,4	07/07/11	ST2328	Zone 2, ST2328, après fouille, vue vers l'Est	M. Remicourt

Annexe 8 - Le Clos de Roque, Saint-Maximin-la-Sainte-Baume (83). Inventaire des photographies numériques.

Identifiant	n° cliché	taille (Mo)	date	Structure/Anomalie	Description	Auteur
OA9785_STM11_photo_1594.jpg	1594	6,6	07/07/11	ST2328	Zone 2, ST2328, après fouille, vue vers le Sud	M. Remicourt
OA9785_STM11_photo_1595.jpg	1595	6,4	07/07/11	ST2328	Zone 2, ST2328, après fouille, vue vers l'Est, détail pierres	M. Remicourt
OA9785_STM11_photo_1596.jpg	1596	6,9	07/07/11	ST2328	Zone 2, ST2328, après fouille, vue vers le Sud	M. Remicourt
OA9785_STM11_photo_1597.jpg	1597	6,2	07/07/11	ST2328	Zone 2, ST2328, après fouille, vue vers l'Est	M. Remicourt
OA9785_STM11_photo_1598.jpg	1598	6,5	07/07/11	ST2328	Zone 2, ST2328, après fouille, vue vers le Nord	M. Remicourt
OA9785_STM11_photo_1599.jpg	1599	6,6	07/07/11	ST2328	Zone 2, ST2328, après fouille, vue vers le Nord, détail logettes partie Est	M. Remicourt
OA9785_STM11_photo_1600.jpg	1600	6,5	07/07/11	ST2328	Zone 2, ST2328, après fouille, vue vers l'Ouest, détail logettes partie Ouest	M. Remicourt
OA9785_STM11_photo_1601.jpg	1601	6,4	07/07/11	ST2328	Zone 2, ST2328, après fouille, vue vers l'Ouest, détail logettes partie Ouest	M. Remicourt
OA9785_STM11_photo_1602.jpg	1602	6,4	07/07/11	ST2328	Zone 2, ST2328, après fouille, vue vers le Sud	M. Remicourt
OA9785_STM11_photo_1603.jpg	1603	6,1	07/07/11	ST2328	Zone 2, ST2328, après fouille, vue vers le Sud	M. Remicourt
OA9785_STM11_photo_1604.jpg	1604	6,5	07/07/11	ST2328	Zone 2, ST2328, après fouille, vue vers le Sud	M. Remicourt
OA9785_STM11_photo_1605.jpg	1605	6,1	07/07/11	ST2328	Zone 2, ST2328, après fouille, vue vers l'Est, détail pierres	M. Remicourt
OA9785_STM11_photo_1606.jpg	1606	6,5	07/07/11	ST2328	Zone 2, ST2328, après fouille, vue vers le Nord	M. Remicourt
OA9785_STM11_photo_1607.jpg	1607	6,5	07/07/11	ST2328	Zone 2, ST2328, après fouille, vue vers le Nord	M. Remicourt
OA9785_STM11_photo_1608.jpg	1608	6,7	07/07/11	ST2328	Zone 2, ST2328, après fouille, vue vers le Sud	M. Remicourt
OA9785_STM11_photo_1609.jpg	1609	6,2	07/07/11	ST1055	Zone 1, ST1055, après fouille, vue vers le Sud, détail logettes	M. Remicourt
OA9785_STM11_photo_1610.jpg	1610	6,9	07/07/11	ST1055	Zone 1, ST1055, après fouille, vue vers le Sud, détail logettes	M. Remicourt
OA9785_STM11_photo_1611.jpg	1611	6,6	08/07/11	ST1012	Zone 1, ST1012, après fouille, vue vers le Sud	M. Remicourt
OA9785_STM11_photo_1612.jpg	1612	6,6	08/07/11	ST1071	Zone 1, ST1071, coupe Est-Ouest, vue vers le Sud, détail prélèvement micromorphologique 210	M. Remicourt
OA9785_STM11_photo_1613.jpg	1613	6,4	08/07/11	ST1071	Zone 1, ST1071, coupe Est-Ouest, vue vers le Sud, détail prélèvement micromorphologique 210	M. Remicourt
OA9785_STM11_photo_1614.jpg	1614	6,5	08/07/11	ST1071	Zone 1, ST1071, coupe Est-Ouest, vue vers le Sud, détail prélèvement micromorphologique 210	M. Remicourt
OA9785_STM11_photo_1615.jpg	1615	7,0	08/07/11	ST1071	Zone 1, ST1071, coupe Est-Ouest, vue vers le Sud, détail prélèvement micromorphologique 210	M. Remicourt
OA9785_STM11_photo_1616.jpg	1616	6,5	08/07/11	ST2337	Zone 2, ST2337, après fouille, vue vers le Nord	M. Remicourt
OA9785_STM11_photo_1617.jpg	1617	6,0	08/07/11	ST2337	Zone 2, ST2337, après fouille, vue vers le Nord	M. Remicourt
OA9785_STM11_photo_1618.jpg	1618	6,5	08/07/11	ST2337	Zone 2, ST2337, après fouille, vue vers l'Ouest	M. Remicourt
OA9785_STM11_photo_1619.jpg	1619	6,2	08/07/11	ST1071	Zone 1, ST1071, après fouille, vue vers le Nord	M. Remicourt
OA9785_STM11_photo_1620.jpg	1620	6,1	08/07/11	ST1071	Zone 1, ST1071, après fouille, vue vers le Sud	M. Remicourt
OA9785_STM11_photo_1621.jpg	1621	6,5	08/07/11	CP6-1	Zone 2, tranchée géomorphologique, vue vers le Sud, CP6-1	M. Remicourt
OA9785_STM11_photo_1622.jpg	1622	6,5	08/07/11	CP6-1	Zone 2, tranchée géomorphologique, vue vers le Sud, CP6-1	M. Remicourt
OA9785_STM11_photo_1623.jpg	1623	7,0	08/07/11	CP6-1	Zone 2, tranchée géomorphologique, vue vers le Sud, CP6-1	M. Remicourt
OA9785_STM11_photo_1624.jpg	1624	6,6	08/07/11	CP6-1	Zone 2, tranchée géomorphologique, vue vers le Sud, CP6-1	M. Remicourt
OA9785_STM11_photo_1625.jpg	1625	6,3	08/07/11	CP6-1	Zone 2, tranchée géomorphologique, vue vers le Sud, CP6-1	M. Remicourt
OA9785_STM11_photo_1626.jpg	1626	6,3	08/07/11	CP6-1	Zone 2, tranchée géomorphologique, vue vers le Sud, CP6-1	M. Remicourt
OA9785_STM11_photo_1627.jpg	1627	6,4	08/07/11	Ambiance	Zone 1 et 2, course de théodolites et mini-pelle	M. Remicourt
OA9785_STM11_photo_1628.jpg	1628	6,6	08/07/11	ST2224	Zone 2, ST2224, en cours de fouille, vue vers le Sud, détail squelette	M. Remicourt
OA9785_STM11_photo_1629.jpg	1629	6,3	08/07/11	ST2224	Zone 2, ST2224, en cours de fouille, vue vers le Sud, détail squelette	M. Remicourt
OA9785_STM11_photo_1630.jpg	1630	6,5	08/07/11	ST2224	Zone 2, ST2224, en cours de fouille, vue vers le Sud, détail squelette	M. Remicourt
OA9785_STM11_photo_1631.jpg	1631	6,6	11/07/11	ST2224	Zone 2, ST2224, base Dec 1, vue vers le Nord, détail squelette	M. Remicourt
OA9785_STM11_photo_1632.jpg	1632	6,5	11/07/11	ST2224	Zone 2, ST2224, base Dec 1, vue vers le Nord, détail squelette	M. Remicourt
OA9785_STM11_photo_1633.jpg	1633	6,7	11/07/11	ST2224	Zone 2, ST2224, base Dec 1, vue vers le Sud, détail squelette	M. Remicourt
OA9785_STM11_photo_1634.jpg	1634	6,6	11/07/11	ST2224	Zone 2, ST2224, base Dec 1, vue vers le Sud, détail squelette	M. Remicourt

Annexe 8 - Le Clos de Roque, Saint-Maximin-la-Sainte-Baume (83). Inventaire des photographies numériques.



Identifiant	n° cliché	taille (Mo)	date	Structure/Anomalie	Description	Auteur
OA9785_STM11_photo_1635.jpg	1635	6,3	11/07/11	ST2224	Zone 2, ST2224, base Dec 1, vue vers le Sud, détail squelette	M. Remicourt
OA9785_STM11_photo_1636.jpg	1636	6,5	11/07/11	ST2224	Zone 2, ST2224, base Dec 1, vue vers le Sud, détail squelette	M. Remicourt
OA9785_STM11_photo_1637.jpg	1637	6,6	11/07/11	ST2224	Zone 2, ST2224, base Dec 1, vue vers le Sud, détail squelette	M. Remicourt
OA9785_STM11_photo_1638.jpg	1638	6,6	11/07/11	ST2224	Zone 2, ST2224, base Dec 1, vue vers le Sud, détail squelette	M. Remicourt
OA9785_STM11_photo_1639.jpg	1639	6,8	11/07/11	ST2224	Zone 2, ST2224, base Dec 1, vue vers le Sud, détail squelette	M. Remicourt
OA9785_STM11_photo_1640.jpg	1640	6,8	11/07/11	ST2224	Zone 2, ST2224, base Dec 1, vue vers le Sud, détail squelette	M. Remicourt
OA9785_STM11_photo_1641.jpg	1641	6,4	11/07/11	ST2224	Zone 2, ST2224, base Dec 1, vue vers le Sud, détail squelette	M. Remicourt
OA9785_STM11_photo_1642.jpg	1642	6,6	11/07/11	ST2224	Zone 2, ST2224, base Dec 1, vue vers le Sud, détail squelette	M. Remicourt

<b>Types Structure</b>	<b>Panse</b>	<b>Bd</b>	<b>Appen</b>	<b>Fd</b>	<b>Décor</b>	<b>Total</b>	<b>Tamis</b>	<b>NMI</b>
<b>1003</b>	15					<b>15</b>	<b>11</b>	
<b>1008</b>	45					<b>45</b>	10	
<b>1010</b>	10					<b>10</b>		
<b>1012</b>	23					<b>23</b>	12	1
<b>1014</b>	10		3		1	<b>14</b>	8	4
<b>1023</b>	6	2	1			<b>9</b>		3
<b>1039</b>	1					<b>1</b>		
<b>1042</b>	5					<b>5</b>	3	
<b>1049</b>	17					<b>17</b>		2
<b>1055</b>	48	3				<b>51</b>	43	3
<b>1062</b>	32	2	1	3	1	<b>39</b>	21	5
<b>total</b>	<b>152</b>	<b>7</b>	<b>5</b>	<b>3</b>	<b>2</b>	<b>169</b>	<b>87</b>	<b>18</b>

*Annexe 9* - Le Clos de Roque, Saint-Maximin-la-Sainte-Baume (83). Inventaire de la céramique préhistorique Zone 1.

ST	Type	Panse	Bd	Appen	Fd	Car.	Décor	Total	Tamis	NMI
2001		3						3		1
2002		8				2		10	7	1
2006		29		1				30	2	2
2007		1						1		
2009		12			1			13		
2012		12						12	11	
2014		22	2	1				25	10	2
2015		1						1		
2021		990	40	6				1036	764	25
2022		2						2		
2023		1						1	1	
2024		1						1		
2031		18						18	9	
2032		163	4	7				174	120	8
2034		1						1		
2040		4	4					8		3
2048		1						1	1	
2049		5						1		
2050		117	11	1				129	64	11
2056		11	1					12	9	
2063		1						1	1	
2067		10						10		
2068		20	3					23		1
2069		2						2		
2071		34	2	3		1		40	3	5
2072		9		1				10		2
2073		175	11	2				188	99	10
2075		35	7			2		44	23	5
2076		6						6		
2078		2		1				3		1
2080		21	4	1		3		29		5
2083		4						4		
2084		1						1		
2085		25	1	1		2		29	21	4
2087		108	3	1		1		113		2
2088		28	3			1		32	10	4
2090		22	2	1				25	6	2
2093		241	11	5	1			258	153	8
2094		39						39		
2096		3151	233	43	32	19		3478	1128	74
2097		3						3		
2101		4						4		
2130		11						11	2	
2139		3						3		
2146		2						2		
2147		2						2		
2149		6						6	4	
2150		1						1		
2153		11						11	2	
2154		9						9	3	
2155		29						29	18	
2164		1						1		

Annexe 9 - Le Clos de Roque, Saint-Maximin-la-Sainte-Baume (83). Inventaire de la céramique préhistorique Zone 2.

ST \ Type	Panse	Bd	Appen	Fd	Car.	Décor	Total	Tamis	NMI
2183	1						1	1	
2185	39	1					40	1	
2186	2						2		
2199	29	1					30	29	2
2201	20						20	18	
2205	1						1	1	
2209	11	4					15	1	1
2214		1					1		
2215	38						38		
2224	3	1	1				5		3
2225	26						26	1	
2226	2		1				3	2	1
2227	2						2		
2236	8						8	2	2
2240	55	5	1				61		1
2241	9	2			1		12	1	3
2247	22	2	1				25	8	4
2254	2						2		
2255	4						4		
2256	16						16		
2263	7						7	7	
2264	1						1		
2267	9						9	9	
2271	3						1		
2288	1						1		
2290	4						4		
2308	1						1		
2311	101	6	5		4		116		7
2312	6						6		
2313	1						1	1	
2319	224	18	7	3	3		255	148	9
2320	2						2	2	
2321	1						1		
2323	4						4		
2324	4						4		
2326	43	3					46	25	3
2327	17	1					18		1
2328	157	15	6		2	1	181	13	18
2329	16	1	2				19		2
2330	7						7		
2333			1				1		
2337	31	1					32	10	
2338	8	3					2		2
fs03	1						1		
fs16	4						4		1
fs18	34	1					35		1
fs21	43	4	7				54		7
fs23	84	12	1		4		101		10
fs28	2	1	1				4		1
fs31	16		1				17		
fs36	9	1					10		1
fs37					2		2		1
fs39	3						3		
fs4	56	3	1				60		4
fs9	13						13		
HS	11	3		1			15		1
<b>Total</b>	<b>6632</b>	<b>432</b>	<b>111</b>	<b>38</b>	<b>47</b>	<b>1</b>	<b>7246</b>	<b>2751</b>	<b>262</b>

Annexe 9 - Le Clos de Roque, Saint-Maximin-la-Sainte-Baume (83). Inventaire de la céramique préhistorique Zone 2.

Type de ST	N°	NMI	NR	Masse (g)
FS	ST2033	(1)	5	8
FS	ST2074	43	1090	4515
TP	ST2187	(1)	2	26
TP	ST2189	(1)	1	4
TP	ST2191	(1)	11	9
FS	ST2192	3	155	1462
FS	ST2194	2	57	168
TP	ST2195	(1)	8	103
FS	ST2229	(1)	17	44
FS	ST2230/2254	4	123	1007
FS	ST2325	1	17	93
TP	TP5	1	11	490

Type de ST	N°	NMI	NR	Masse (g)
FS	ST1001	1	47	349
FS	ST1050	3	102	988
FS	ST1057	1	49	212
FS	ST1071/FS40	14	376	3104
FS	ST2011	1	22	372
FS	ST2030	2	12	84
TP	ST2113	(1)	1	9
TP	ST2115	(1)	6	14
TP	ST2122	(1)	11	16
FS	ST2123	1	17	53
TP	ST2124	(1)	2	1
FS	ST2125	1	8	27
FS	ST2126	1	1	15
TP	ST2127	(1)	31	93
TP	ST2128	(1)	22	61
FS	ST2129	2	96	478
FS	ST2132	3	49	335
FS	ST2136/2315	1	214	2849
TP	ST2142	1	2	5
TP	ST2143	(1)	3	58
TP	ST2144	(1)	1	5
TP	ST2145	(1)	7	29
TP	ST2148	(1)	22	29
FS	ST2276	1	9	1641
FS	ST2278	1	5	21
TP	ST2295	(1)	2	4
TP	ST2309	(1)	1	4

**Annexe 10** - Le Clos de Roque, Saint-Maximin-la-Sainte-Baume (83). Inventaire de la céramique protohistorique.

Site	N°	Structure	Couche	Nat	Cons	MP	Etat	Lo	la	ép
STM11	1	1001	Bronze ancien	débris		Indéterminé	brûlé			
STM11	2	1001	Bronze ancien	débris		Indéterminé	brûlé			
STM11	3	1001	Bronze ancien	débris		Indéterminé	brûlé			
STM11	4	1001	Bronze ancien	débris		Indéterminé	brûlé			
STM11	5	1003	Pré proto	éclat	entier	type417	patiné	2,4	1,6	0,4
STM11	6	1003	Pré proto	débris		type426	patiné			
STM11	7	1003	Pré proto	éclat	distal	type417	patiné	1,8	1,1	0,6
STM11	8	1003	Pré proto	débris		Indéterminé	patiné			
STM11	9	1003	Pré proto	débris		Indéterminé	patiné			
STM11	10	1003	Pré proto	débris		Indéterminé	patiné			
STM11	11	1003	Pré proto	débris		Indéterminé	patiné			
STM11	12	1008	Néo final 2	débris		type417	patiné			
STM11	13	1008	Néo final 2	éclat	entier	type417	patiné	1,6	2,2	0,7
STM11	14	1012	Néo final ind	lame(lle)	mésial	type417	patiné	3,1	1,7	0,5
STM11	15	1012	Néo final ind	éclat	entier	type417	patiné	3,8	3,6	0,9
STM11	16	1012	Néo final ind	débris		type417	brûlé			
STM11	17	1012	Néo final ind	éclat	proximal	type417	patiné	1,9	1,3	0,4
STM11	18	1012	Néo final ind	esquilles		type417	patiné			
STM11	19	1012	Néo final ind	esquilles		type417	patiné			
STM11	20	1012	Néo final ind	esquilles		type417	patiné			
STM11	21	1012	Néo final ind	débris		type417	patiné			
STM11	22	1012	Néo final ind	débris		Indéterminé	patiné			
STM11	23	1012	Néo final ind	débris		Indéterminé	patiné			
STM11	24	1012	Néo final ind	débris		Indéterminé	patiné			
STM11	25	1012	Néo final ind	débris		Indéterminé	patiné			
STM11	26	1012	Néo final ind	débris		Indéterminé	patiné			
STM11	27	1012	Néo final ind	débris		Indéterminé	patiné			
STM11	28	1012	Néo final ind	débris		Indéterminé	patiné			
STM11	29	1012	Néo final ind	éclat	distal	type417	brûlé	2,1	1,9	0,3
STM11	30	1012	Néo final ind	éclat	entier	type417	brûlé	1,7	1,7	0,3
STM11	31	1012	Néo final ind	débris		Indéterminé	brûlé			
STM11	32	1012	Néo final ind	débris		Indéterminé	brûlé			
STM11	33	1012	Néo final ind	débris		Indéterminé	patiné			
STM11	34	1012	Néo final ind	débris		Indéterminé	patiné			
STM11	35	1012	Néo final ind	débris		Indéterminé	patiné			
STM11	36	1012	Néo final ind	éclat	distal	type417	patiné	4,4	2,6	0,9
STM11	37	1012	Néo final ind	éclat	entier	type417	patiné	1,5	2,3	1,4
STM11	38	1012	Néo final ind	éclat	entier	type417	patiné	3	2,2	0,6
STM11	39	1012	Néo final ind	éclat	entier	type417	brûlé	3,6	2,7	0,8
STM11	40	1012	Néo final ind	éclat	entier	type417	patiné	4,2	1,7	0,6
STM11	41	1014	Néo final 1	lame(lle)	mésial	type417	patiné	1,7	1,9	0,5
STM11	42	1014	Néo final 1	éclat	entier	type417	patiné	2,7	3,1	0,9
STM11	43	1014	Néo final 1	éclat	distal	type426	patiné	2,2	2,3	0,7
STM11	44	1014	Néo final 1	éclat	entier	type417	patiné	2,5	1,9	0,6
STM11	45	1014	Néo final 1	débris		Indéterminé	patiné			
STM11	46	1014	Néo final 1	débris		Indéterminé	patiné			
STM11	47	1014	Néo final 1	débris		Indéterminé	patiné			
STM11	48	1014	Néo final 1	débris		Indéterminé	patiné			
STM11	49	1014	Néo final 1	débris		Indéterminé	patiné			
STM11	50	1014	Néo final 1	débris		Indéterminé	patiné			
STM11	51	1014	Néo final 1	débris		Indéterminé	patiné			
STM11	52	1023	Néo récent	esquilles		type410	patiné			
STM11	54	1050	Bronze ancien	lame(lle)	proximal	type9		1,5	1	0,4
STM11	55	1050	Bronze ancien	débris		type426	patiné			
STM11	56	1050	Bronze ancien	débris		Indéterminé	patiné			
STM11	57	1055	Néo final ind	éclat	proximal	type425	patiné	2,6	1,6	0,4
STM11	58	1055	Néo final ind	éclat	entier	type417	patiné	4,4	3,8	1,1
STM11	59	1055	Néo final ind	éclat	proximal	type417	patiné	1,8	2,7	1,2
STM11	60	1055	Néo final ind	éclat	proximal	type417	patiné	1,4	1,6	0,5
STM11	61	1055	Néo final ind	débris		Indéterminé	patiné			

Annexe 11 - Le Clos de Roque, Saint-Maximin-la-Sainte-Baume (83). Inventaire de l'industrie lithique taillée.



Site	N°	Structure	Couche	Nat	Cons	MP	Etat	Lo	la	ép
STM11	62	1055	Néo final ind	débris		Indéterminé	patiné			
STM11	63	1055	Néo final ind	débris		Indéterminé	patiné			
STM11	64	1055	Néo final ind	débris		Indéterminé	patiné			
STM11	65	1055	Néo final ind	débris		Indéterminé	patiné			
STM11	66	1055	Néo final ind	débris		Indéterminé	patiné			
STM11	67	1055	Néo final ind	débris		Indéterminé	patiné			
STM11	68	1055	Néo final ind	débris		Indéterminé	patiné			
STM11	69	1055	Néo final ind	débris		Indéterminé	patiné			
STM11	70	1055	Néo final ind	débris		Indéterminé	patiné			
STM11	71	1055	Néo final ind	débris		Indéterminé	patiné			
STM11	72	1055	Néo final ind	débris		Indéterminé	patiné			
STM11	73	1055	Néo final ind	débris		Indéterminé	patiné			
STM11	74	1055	Néo final ind	débris		Indéterminé	patiné			
STM11	75	1055	Néo final ind	débris		Indéterminé	patiné			
STM11	76	1055	Néo final ind	débris		Indéterminé	patiné			
STM11	77	1055	Néo final ind	débris		Indéterminé	patiné			
STM11	78	1055	Néo final ind	débris		Indéterminé	patiné			
STM11	79	1055	Néo final ind	débris		Indéterminé	patiné			
STM11	80	1057	Bronze ancien	esquilles		Indéterminé	patiné			
STM11	81	1057	Bronze ancien	esquilles		Indéterminé	patiné			
STM11	82	1057	Bronze ancien	esquilles		Indéterminé	patiné			
STM11	83	1057	Bronze ancien	débris		Indéterminé	patiné			
STM11	84	1057	Bronze ancien	esquilles		Indéterminé	patiné			
STM11	85	1057	Bronze ancien	éclat	entier	type417	patiné	2,3	1,5	0,35
STM11	86	1057	Bronze ancien	débris		type426	patiné			
STM11	87	1057	Bronze ancien	débris		Indéterminé	patiné			
STM11	88	1057	Bronze ancien	débris		Indéterminé	patiné			
STM11	89	1057	Bronze ancien	débris		Indéterminé	patiné			
STM11	90	1057	Bronze ancien	débris		Indéterminé	patiné			
STM11	91	1057	Bronze ancien	débris		Indéterminé	patiné			
STM11	92	1057	Bronze ancien	débris		Indéterminé	patiné			
STM11	93	1057	Bronze ancien	débris		Indéterminé	patiné			
STM11	94	1057	Bronze ancien	débris		Indéterminé	patiné			
STM11	95	1057	Bronze ancien	débris		Indéterminé	patiné			
STM11	96	1057	Bronze ancien	débris		Indéterminé	brûlé			
STM11	97	1057	Bronze ancien	débris		Indéterminé	brûlé			
STM11	98	1057	Bronze ancien	débris		Indéterminé	brûlé			
STM11	99	1057	Bronze ancien	débris		Indéterminé	brûlé			
STM11	100	1057	Bronze ancien	débris		Indéterminé	brûlé			
STM11	101	1057	Bronze ancien	débris		Indéterminé	brûlé			
STM11	102	1057	Bronze ancien	débris		Indéterminé	brûlé			
STM11	103	1057	Bronze ancien	débris		Indéterminé	brûlé			
STM11	104	1057	Bronze ancien	débris		Indéterminé	brûlé			
STM11	105	1057	Bronze ancien	esquilles		Indéterminé	patiné			
STM11	106	1057	Bronze ancien	esquilles		Indéterminé	patiné			
STM11	107	1057	Bronze ancien	esquilles		Indéterminé	patiné			
STM11	108	1057	Bronze ancien	débris		type416	patiné			
STM11	109	1057	Bronze ancien	débris		type417	brûlé			
STM11	110	1057	Bronze ancien	éclat	entier	type417	patiné	1,7	1,1	0,4
STM11	111	1057	Bronze ancien	débris		type417	patiné			
STM11	112	1057	Bronze ancien	débris		type417	patiné			
STM11	113	1057	Bronze ancien	débris		type417	brûlé			
STM11	114	1057	Bronze ancien	débris		Indéterminé	brûlé			
STM11	115	1057	Bronze ancien	débris		Indéterminé	brûlé			
STM11	116	1057	Bronze ancien	débris		Indéterminé	brûlé			
STM11	117	1057	Bronze ancien	débris		Indéterminé	brûlé			
STM11	118	1057	Bronze ancien	débris		Indéterminé	brûlé			
STM11	119	1057	Bronze ancien	débris		Indéterminé	brûlé			
STM11	120	1057	Bronze ancien	débris		Indéterminé	brûlé			
STM11	121	1057	Bronze ancien	débris		Indéterminé	brûlé			

Annexe 11 - Le Clos de Roque, Saint-Maximin-la-Sainte-Baume (83). Inventaire de l'industrie lithique taillée.

Site	N°	Structure	Couche	Nat	Cons	MP	Etat	Lo	la	ép
STM11	122	1057	Bronze ancien	débris		Indéterminé	brûlé			
STM11	123	1057	Bronze ancien	débris		Indéterminé	brûlé			
STM11	124	1057	Bronze ancien	débris		Indéterminé	brûlé			
STM11	125	1057	Bronze ancien	débris		Indéterminé	brûlé			
STM11	126	1057	Bronze ancien	débris		Indéterminé	brûlé			
STM11	127	1057	Bronze ancien	débris		Indéterminé	brûlé			
STM11	128	1057	Bronze ancien	débris		Indéterminé	patiné			
STM11	129	1057	Bronze ancien	débris		Indéterminé	patiné			
STM11	130	1057	Bronze ancien	débris		Indéterminé	patiné			
STM11	131	1057	Bronze ancien	débris		Indéterminé	patiné			
STM11	132	1057	Bronze ancien	débris		Indéterminé	patiné			
STM11	133	1057	Bronze ancien	débris		Indéterminé	patiné			
STM11	134	1057	Bronze ancien	débris		Indéterminé	patiné			
STM11	135	1057	Bronze ancien	débris		Indéterminé	patiné			
STM11	136	1057	Bronze ancien	débris		Indéterminé	patiné			
STM11	137	1057	Bronze ancien	débris		Indéterminé	patiné			
STM11	138	1057	Bronze ancien	débris		Indéterminé	patiné			
STM11	139	1057	Bronze ancien	débris		Indéterminé	patiné			
STM11	140	1057	Bronze ancien	débris		Indéterminé	patiné			
STM11	141	1057	Bronze ancien	débris		Indéterminé	patiné			
STM11	142	1057	Bronze ancien	débris		Indéterminé	patiné			
STM11	143	1057	Bronze ancien	débris		Indéterminé	patiné			
STM11	144	1057	Bronze ancien	débris		Indéterminé	patiné			
STM11	145	1057	Bronze ancien	débris		Indéterminé	patiné			
STM11	146	1057	Bronze ancien	débris		Indéterminé	patiné			
STM11	147	1057	Bronze ancien	débris		Indéterminé	patiné			
STM11	148	1057	Bronze ancien	débris		Indéterminé	patiné			
STM11	149	1057	Bronze ancien	débris		Indéterminé	patiné			
STM11	150	1057	Bronze ancien	éclat	distal	type417	patiné	0,9	2	0,5
STM11	151	1057	Bronze ancien	éclat	distal	type417	patiné	1,6	1,7	0,3
STM11	152	1057	Bronze ancien	éclat		type426	patiné	2,8	1,8	0,8
STM11	153	1057	Bronze ancien	éclat	mésial	type417	patiné	1,9	1,1	0,4
STM11	154	1057	Bronze ancien	éclat	proximal	type426	patiné	2,7	1,75	0,9
STM11	155	1057	Bronze ancien	éclat	proximal	type417	patiné	1,45	1,6	0,6
STM11	156	1057	Bronze ancien	débris		type417	brûlé			
STM11	157	1057	Bronze ancien	débris		type417	brûlé			
STM11	158	1057	Bronze ancien	débris		type417	brûlé			
STM11	159	1057	Bronze ancien	débris		Indéterminé	brûlé			
STM11	160	1057	Bronze ancien	débris		Indéterminé	brûlé			
STM11	161	1057	Bronze ancien	débris		Indéterminé	brûlé			
STM11	162	1057	Bronze ancien	débris		Indéterminé	brûlé			
STM11	163	1057	Bronze ancien	débris		Indéterminé	brûlé			
STM11	164	1057	Bronze ancien	débris		Indéterminé	brûlé			
STM11	165	1057	Bronze ancien	débris		Indéterminé	brûlé			
STM11	166	1057	Bronze ancien	débris		Indéterminé	brûlé			
STM11	167	1057	Bronze ancien	débris		Indéterminé	brûlé			
STM11	168	1062	Néo final 1	débris		Indéterminé	brûlé			
STM11	169	1062	Néo final 1	débris		Indéterminé	patiné			
STM11	170	1062	Néo final 1	débris		Indéterminé	patiné			
STM11	171	1062	Néo final 1	débris		Indéterminé	patiné			
STM11	172	1062	Néo final 1	débris		Indéterminé	patiné			
STM11	173	1062	Néo final 1	éclat	entier	type410	patiné	2,5	1	0,5
STM11	174	1062	Néo final 1	éclat	entier	type417	patiné	3,7	3,6	1
STM11	175	1062	Néo final 1	éclat	entier	type417	patiné	2,2	1,9	0,6
STM11	176	1062	Néo final 1	débris		Indéterminé	patiné			
STM11	177	1062	Néo final 1	débris		Indéterminé	patiné			
STM11	178	1062	Néo final 1	débris		Indéterminé	patiné			
STM11	179	1062	Néo final 1	débris		Indéterminé	patiné			
STM11	180	1062	Néo final 1	débris		Indéterminé	patiné			
STM11	181	1062	Néo final 1	débris		Indéterminé	patiné			

Annexe 11 - Le Clos de Roque, Saint-Maximin-la-Sainte-Baume (83). Inventaire de l'industrie lithique taillée.

Site	N°	Structure	Couche	Nat	Cons	MP	Etat	Lo	la	ép
STM11	182	1062	Néo final 1	débris		Indéterminé	patiné			
STM11	183	1062	Néo final 1	débris		Indéterminé	patiné			
STM11	184	1062	Néo final 1	débris		Indéterminé	patiné			
STM11	185	1062	Néo final 1	éclat	proximal	Indéterminé	brûlé	2	2,6	0,7
STM11	186	1062	Néo final 1	éclat	entier	type426	patiné	1,8	2,5	0,7
STM11	187	1062	Néo final 1	éclat	mésial	type417	patiné	3	1,5	0,4
STM11	188	1062	Néo final 1	débris		type417	patiné			
STM11	189	1062	Néo final 1	éclat	mésial	type417	patiné	2,5	2,5	0,4
STM11	190	1062	Néo final 1	esquilles		type426	patiné			
STM11	191	1062	Néo final 1	esquilles		type417	patiné			
STM11	192	1062	Néo final 1	éclat	mésial	type417	patiné	1,7	2,1	0,45
STM11	193	1062	Néo final 1	débris		type419	patiné			
STM11	194	1062	Néo final 1	débris		type417	patiné			
STM11	195	1062	Néo final 1	débris		type417	patiné			
STM11	196	1062	Néo final 1	débris		type426	patiné			
STM11	197	1062	Néo final 1	débris		Indéterminé	patiné			
STM11	198	1062	Néo final 1	débris		Indéterminé	patiné			
STM11	199	1062	Néo final 1	éclat	entier	Indéterminé	patiné	2,5	1,6	0,3
STM11	200	1062	Néo final 1	lame(Ile)	mésial	type426	patiné	2,7	1,1	0,3
STM11	201	1062	Néo final 1	débris		type417	patiné			
STM11	202	1062	Néo final 1	éclat	entier	type426	patiné	2,7	1,5	0,55
STM11	203	1062	Néo final 1	éclat	distal	type417	patiné	2	2,7	0,6
STM11	204	1062	Néo final 1	éclat	mésial	type417	patiné	2	1,9	0,3
STM11	205	1062	Néo final 1	esquilles		Indéterminé	patiné			
STM11	206	1062	Néo final 1	esquilles		Indéterminé	patiné			
STM11	207	1062	Néo final 1	esquilles		Indéterminé	patiné			
STM11	208	1062	Néo final 1	esquilles		Indéterminé	patiné			
STM11	209	1062	Néo final 1	esquilles		Indéterminé	patiné			
STM11	210	1062	Néo final 1	esquilles		Indéterminé	patiné			
STM11	211	1062	Néo final 1	esquilles		Indéterminé	patiné			
STM11	212	1062	Néo final 1	esquilles		Indéterminé	patiné			
STM11	213	1062	Néo final 1	esquilles		Indéterminé	patiné			
STM11	214	1062	Néo final 1	débris		type417	patiné			
STM11	215	1062	Néo final 1	débris		type419	patiné			
STM11	216	1062	Néo final 1	débris		type417	patiné			
STM11	217	1062	Néo final 1	débris		type417	patiné			
STM11	218	1062	Néo final 1	débris		type416	patiné			
STM11	219	1062	Néo final 1	débris		type417	patiné			
STM11	220	1062	Néo final 1	débris		type417	patiné			
STM11	221	1062	Néo final 1	débris		Indéterminé	patiné			
STM11	222	1062	Néo final 1	débris		Indéterminé	patiné			
STM11	223	1062	Néo final 1	débris		Indéterminé	patiné			
STM11	224	1062	Néo final 1	débris		Indéterminé	patiné			
STM11	225	1062	Néo final 1	débris		Indéterminé	patiné			
STM11	226	1062	Néo final 1	débris		Indéterminé	patiné			
STM11	227	1062	Néo final 1	débris		Indéterminé	patiné			
STM11	228	1062	Néo final 1	débris		Indéterminé	patiné			
STM11	229	1062	Néo final 1	débris		Indéterminé	patiné			
STM11	230	1062	Néo final 1	débris		Indéterminé	patiné			
STM11	231	1062	Néo final 1	débris		Indéterminé	patiné			
STM11	232	1062	Néo final 1	débris		Indéterminé	brûlé			
STM11	233	1062	Néo final 1	débris		Indéterminé	brûlé			
STM11	234	1062	Néo final 1	éclat	distal	type417	patiné	1,3	2,7	0,65
STM11	235	1062	Néo final 1	éclat	distal	type417	patiné	3,3	3,3	0,75
STM11	236	1070	Historique	débris		type419b				
STM11	237	1071	Bronze ancien	esquilles		Indéterminé	patiné			
STM11	238	1071	Bronze ancien	esquilles		Indéterminé	patiné			
STM11	239	1071	Bronze ancien	lame(Ile)	mésial	type426	patiné	2,6	1	0,35
STM11	240	1071	Bronze ancien	débris		type420	patiné			
STM11	241	1071	Bronze ancien	esquilles		Indéterminé	patiné			

Annexe 11 - Le Clos de Roque, Saint-Maximin-la-Sainte-Baume (83). Inventaire de l'industrie lithique taillée.

Site	N°	Structure	Couche	Nat	Cons	MP	Etat	Lo	la	ép
STM11	242	1071	Bronze ancien	esquilles		Indéterminé	patiné			
STM11	243	1071	Bronze ancien	esquilles		Indéterminé	patiné			
STM11	244	1071	Bronze ancien	esquilles		Indéterminé	patiné			
STM11	245	1071	Bronze ancien	esquilles		Indéterminé	patiné			
STM11	246	1071	Bronze ancien	débris		type423	patiné			
STM11	247	1071	Bronze ancien	débris		type418	patiné			
STM11	248	1071	Bronze ancien	débris		type426	patiné			
STM11	249	1071	Bronze ancien	débris		type417	patiné			
STM11	250	1071	Bronze ancien	débris		Indéterminé	patiné			
STM11	251	1071	Bronze ancien	débris		Indéterminé	patiné			
STM11	252	1071	Bronze ancien	débris		Indéterminé	patiné			
STM11	253	1071	Bronze ancien	débris		Indéterminé	patiné			
STM11	254	1071	Bronze ancien	débris		Indéterminé	patiné			
STM11	255	1071	Bronze ancien	débris		Indéterminé	patiné			
STM11	256	1071	Bronze ancien	débris		Indéterminé	patiné			
STM11	257	1071	Bronze ancien	débris		Indéterminé	patiné			
STM11	258	1071	Bronze ancien	débris		Indéterminé	patiné			
STM11	259	1071	Bronze ancien	débris		Indéterminé	patiné			
STM11	260	1071	Bronze ancien	débris		Indéterminé	patiné			
STM11	261	1071	Bronze ancien	débris		Indéterminé	patiné			
STM11	262	1071	Bronze ancien	débris		Indéterminé	patiné			
STM11	263	1071	Bronze ancien	débris		Indéterminé	patiné			
STM11	264	1071	Bronze ancien	débris		Indéterminé	patiné			
STM11	265	1071	Bronze ancien	débris		type426	patiné			
STM11	267	1071	Bronze ancien	éclat	entier	type410	patiné	1,85	1,2	0,3
STM11	268	2001	Néo final ind	débris		Indéterminé	patiné			
STM11	269	2002	Néo final ind	éclat	entier	type426	brûlé	1,9	2,9	0,3
STM11	270	2002	Néo final ind	lame(lle)	mésial	type426	patiné	3,7	1	0,65
STM11	271	2002	Néo final ind	éclat	distal	type426	patiné	2	1,9	0,6
STM11	272	2009	Pré proto	lame(lle)	mésial	Indéterminé	brûlé	0,4	0,7	0,2
STM11	273	2009	Pré proto	lame(lle)	mésial	type410b	brûlé	1,9	1,9	0,4
STM11	274	2014	Néo final ind	débris		Indéterminé	patiné			
STM11	275	2021	Néo final 2	esquilles		type410	patiné			
STM11	276	2021	Néo final 2	esquilles		Indéterminé	patiné			
STM11	277	2021	Néo final 2	esquilles		Indéterminé	patiné			
STM11	278	2021	Néo final 2	esquilles		Indéterminé	patiné			
STM11	279	2021	Néo final 2	esquilles		Indéterminé	patiné			
STM11	280	2021	Néo final 2	esquilles		Indéterminé	patiné			
STM11	281	2021	Néo final 2	esquilles		Indéterminé	patiné			
STM11	282	2021	Néo final 2	esquilles		Indéterminé	patiné			
STM11	283	2021	Néo final 2	esquilles		Indéterminé	patiné			
STM11	284	2021	Néo final 2	esquilles		Indéterminé	patiné			
STM11	285	2021	Néo final 2	esquilles		Indéterminé	patiné			
STM11	286	2021	Néo final 2	esquilles		Indéterminé	patiné			
STM11	287	2021	Néo final 2	esquilles		Indéterminé	patiné			
STM11	288	2021	Néo final 2	esquilles		Indéterminé	patiné			
STM11	289	2021	Néo final 2	esquilles		Indéterminé	patiné			
STM11	290	2021	Néo final 2	esquilles		Indéterminé	patiné			
STM11	291	2021	Néo final 2	esquilles		Indéterminé	patiné			
STM11	292	2021	Néo final 2	esquilles		Indéterminé	patiné			
STM11	293	2021	Néo final 2	esquilles		Indéterminé	patiné			
STM11	294	2021	Néo final 2	esquilles		Indéterminé	patiné			
STM11	295	2021	Néo final 2	esquilles		Indéterminé	patiné			
STM11	296	2021	Néo final 2	esquilles		Indéterminé	patiné			
STM11	297	2021	Néo final 2	esquilles		Indéterminé	patiné			
STM11	298	2021	Néo final 2	esquilles		Indéterminé	patiné			
STM11	299	2021	Néo final 2	esquilles		Indéterminé	patiné			
STM11	300	2021	Néo final 2	esquilles		Indéterminé	patiné			
STM11	301	2021	Néo final 2	esquilles		Indéterminé	patiné			
STM11	302	2021	Néo final 2	esquilles		Indéterminé	patiné			

Annexe 11 - Le Clos de Roque, Saint-Maximin-la-Sainte-Baume (83). Inventaire de l'industrie lithique taillée.

Site	N°	Structure	Couche	Nat	Cons	MP	Etat	Lo	la	ép
STM11	303	2021	Néo final 2	esquilles		Indéterminé	patiné			
STM11	304	2021	Néo final 2	esquilles		Indéterminé	patiné			
STM11	305	2021	Néo final 2	esquilles		Indéterminé	patiné			
STM11	306	2021	Néo final 2	esquilles		Indéterminé	patiné			
STM11	307	2021	Néo final 2	esquilles		Indéterminé	patiné			
STM11	308	2021	Néo final 2	débris		type410	patiné			
STM11	309	2021	Néo final 2	débris		Indéterminé	brûlé			
STM11	310	2021	Néo final 2	débris		Indéterminé	patiné			
STM11	311	2021	Néo final 2	débris		Indéterminé	patiné			
STM11	312	2021	Néo final 2	débris		Indéterminé	patiné			
STM11	313	2021	Néo final 2	débris		Indéterminé	patiné			
STM11	316	2021	Néo final 2	débris		type9	patiné			
STM11	317	2021	Néo final 2	lame(lle)	mésial	Indéterminé	brûlé	1,1	1,4	0,4
STM11	318	2021	Néo final 2	lame(lle)	proximal	type418	patiné	5	1,5	0,65
STM11	319	2031	Pré proto	débris		type410b	patiné			
STM11	320	2031	Pré proto	débris		Indéterminé	patiné			
STM11	321	2031	Pré proto	esquilles		type417	patiné			
STM11	322	2031	Pré proto	lame(lle)	mésial	type417	patiné			
STM11	323	2032	Néo final ind	débris		type417	patiné			
STM11	324	2032	Néo final ind	débris		Indéterminé	patiné			
STM11	325	2032	Néo final ind	esquilles		Indéterminé	brûlé			
STM11	326	2032	Néo final ind	esquilles		type417	patiné			
STM11	327	2032	Néo final ind	esquilles		type417	patiné			
STM11	328	2032	Néo final ind	débris		type417	brûlé			
STM11	329	2032	Néo final ind	débris		Indéterminé	patiné			
STM11	330	2032	Néo final ind	ind.	mésial	type426	brûlé	2,5	1,4	0,35
STM11	331	2033	Hallstatt	débris		type426	brûlé			
STM11	332	2033	Hallstatt	débris		Indéterminé	brûlé			
STM11	333	2034	Pré proto	débris		type417	patiné			
STM11	334	2034	Pré proto	débris		Indéterminé	patiné			
STM11	335	2048	Pré proto	débris		type417	patiné			
STM11	336	2048	Pré proto	débris		Indéterminé	patiné			
STM11	337	2049	Pré proto	débris		Indéterminé	patiné			
STM11	338	2049	Pré proto	débris		type417	patiné			
STM11	339	2050	Néo final 2	esquilles		type426	patiné			
STM11	340	2050	Néo final 2	débris		Indéterminé	patiné			
STM11	341	2062	Pré proto	éclat	entier	type417	patiné	3,7	2,5	0,45
STM11	342	2067	Néo final ind	débris		Indéterminé	patiné			
STM11	343	2071	Néo final 2	débris		Indéterminé	patiné			
STM11	344	2071	Néo final 2	débris		Indéterminé	brûlé			
STM11	345	2073	Néo final ind	lame(lle)	mésial	type426	patiné	1,45	1,45	0,3
STM11	346	2073	Néo final ind	débris		type417	patiné			
STM11	347	2073	Néo final ind	esquilles		type417	patiné			
STM11	348	2073	Néo final ind	débris		type417	brûlé			
STM11	349	2073	Néo final ind	débris		type417	brûlé			
STM11	350	2073	Néo final ind	débris		type417	brûlé			
STM11	351	2073	Néo final ind	débris		Indéterminé	patiné			
STM11	352	2073	Néo final ind	débris		type426	brûlé			
STM11	353	2073	Néo final ind	débris		type417	brûlé			
STM11	354	2073	Néo final ind	débris		type417	patiné			
STM11	355	2073	Néo final ind	débris		type417	patiné			
STM11	356	2073	Néo final ind	esquilles		type417	patiné			
STM11	357	2074	Hallstatt	débris		type417	patiné			
STM11	358	2074	Hallstatt	débris		type417	patiné			
STM11	359	2074	Hallstatt	débris		Indéterminé	patiné			
STM11	360	2074	Hallstatt	débris		Indéterminé	patiné			
STM11	362	2074	Hallstatt	débris		type422	patiné			
STM11	363	2074	Hallstatt	débris		Indéterminé	patiné			
STM11	364	2074	Hallstatt	débris		Indéterminé	patiné			
STM11	365	2074	Hallstatt	débris		Indéterminé	patiné			

Annexe 11 - Le Clos de Roque, Saint-Maximin-la-Sainte-Baume (83). Inventaire de l'industrie lithique taillée.



Site	N°	Structure	Couche	Nat	Cons	MP	Etat	Lo	la	ép
STM11	366	2074	Hallstatt	débris		Indéterminé	patiné			
STM11	367	2074	Hallstatt	débris		Indéterminé	patiné			
STM11	368	2074	Hallstatt	esquilles		Indéterminé	patiné			
STM11	369	2074	Hallstatt	esquilles		Indéterminé	patiné			
STM11	370	2074	Hallstatt	esquilles		Indéterminé	patiné			
STM11	371	2074	Hallstatt	lame(lle)	mésial	type426	patiné	0,8	1	0,3
STM11	372	2074	Hallstatt	éclat	proximal	type426	patiné	1,8	1,4	0,45
STM11	373	2074	Hallstatt	éclat	proximal	type417	patiné	1,95	2,5	0,65
STM11	374	2074	Hallstatt	esquilles		Indéterminé	patiné			
STM11	375	2074	Hallstatt	esquilles		Indéterminé	patiné			
STM11	376	2074	Hallstatt	esquilles		Indéterminé	patiné			
STM11	377	2074	Hallstatt	esquilles		Indéterminé	patiné			
STM11	378	2074	Hallstatt	débris		type400	patiné			
STM11	379	2074	Hallstatt	débris		type414	patiné			
STM11	380	2074	Hallstatt	débris		type417	patiné			
STM11	381	2074	Hallstatt	débris		type417	patiné			
STM11	382	2074	Hallstatt	débris		Indéterminé	patiné			
STM11	383	2074	Hallstatt	débris		Indéterminé	patiné			
STM11	384	2074	Hallstatt	débris		Indéterminé	patiné			
STM11	385	2074	Hallstatt	débris		Indéterminé	patiné			
STM11	386	2074	Hallstatt	débris		type416	patiné			
STM11	387	2074	Hallstatt	éclat	distal	type426	patiné	1,2	1,5	0,25
STM11	388	2074	Hallstatt	éclat	distal	type419b		1,2	1,5	0,3
STM11	389	2074	Hallstatt	éclat	proximal	type422	patiné	1,6	1	0,25
STM11	390	2074	Hallstatt	éclat	entier	type421	patiné	1,7	1,9	0,5
STM11	391	2074	Hallstatt	débris		Indéterminé	patiné			
STM11	392	2074	Hallstatt	débris		Indéterminé	patiné			
STM11	393	2074	Hallstatt	débris		Indéterminé	patiné			
STM11	394	2074	Hallstatt	esquilles		Indéterminé	patiné			
STM11	395	2074	Hallstatt	débris		Indéterminé	patiné			
STM11	396	2074	Hallstatt	débris		Indéterminé	patiné			
STM11	397	2074	Hallstatt	débris		Indéterminé	patiné			
STM11	398	2074	Hallstatt	débris		Indéterminé	patiné			
STM11	399	2074	Hallstatt	débris		Indéterminé	patiné			
STM11	400	2074	Hallstatt	débris		Indéterminé	patiné			
STM11	401	2074	Hallstatt	débris		Indéterminé	patiné			
STM11	402	2074	Hallstatt	débris		Indéterminé	patiné			
STM11	403	2074	Hallstatt	débris		Indéterminé	patiné			
STM11	404	2074	Hallstatt	débris		Indéterminé	patiné			
STM11	405	2074	Hallstatt	débris		Indéterminé	patiné			
STM11	406	2074	Hallstatt	débris		Indéterminé	patiné			
STM11	407	2074	Hallstatt	débris		Indéterminé	patiné			
STM11	408	2074	Hallstatt	débris		Indéterminé	patiné			
STM11	409	2074	Hallstatt	débris		Indéterminé	patiné			
STM11	410	2074	Hallstatt	débris		Indéterminé	patiné			
STM11	411	2074	Hallstatt	débris		Indéterminé	patiné			
STM11	412	2074	Hallstatt	débris		Indéterminé	patiné			
STM11	413	2074	Hallstatt	débris		Indéterminé	patiné			
STM11	414	2074	Hallstatt	débris		Indéterminé	patiné			
STM11	415	2074	Hallstatt	débris		Indéterminé	patiné			
STM11	416	2074	Hallstatt	débris		Indéterminé	patiné			
STM11	417	2074	Hallstatt	débris		Indéterminé	patiné			
STM11	418	2074	Hallstatt	débris		Indéterminé	patiné			
STM11	419	2074	Hallstatt	débris		type9	patiné			
STM11	420	2074	Hallstatt	lame(lle)	mésial	type426	patiné	0,5	0,8	0,1
STM11	421	2074	Hallstatt	lame(lle)	proximal	type416	brûlé	0,9	1,1	0,2
STM11	422	2074	Hallstatt	lame(lle)	mésial	type400	brûlé	1,7	1,4	0,5
STM11	423	2074	Hallstatt	éclat	proximal	type426	patiné	2,2	1,6	0,6
STM11	424	2075	Néo final ind	débris		Indéterminé	patiné			
STM11	425	2075	Néo final ind	débris		Indéterminé	patiné			

Annexe 11 - Le Clos de Roque, Saint-Maximin-la-Sainte-Baume (83). Inventaire de l'industrie lithique taillée.



Site	N°	Structure	Couche	Nat	Cons	MP	Etat	Lo	la	ép
STM11	426	2075	Néo final ind	débris		Indéterminé	patiné			
STM11	427	2075	Néo final ind	débris		Indéterminé	patiné			
STM11	428	2080	Néo final ind	lame(lle)	proximal	type426	patiné	2,1	1	0,18
STM11	429	2085	Néo final ind	esquilles		type417	patiné			
STM11	430	2085	Néo final ind	lame(lle)	distal	Indéterminé	brûlé	2,4	1,3	0,45
STM11	431	2087	Néo final ind	éclat	entier	type410	patiné	3,6	3,4	0,65
STM11	432	2087	Néo final ind	débris		Indéterminé	patiné			
STM11	433	2087	Néo final ind	débris		type417	brûlé			
STM11	434	2087	Néo final ind	débris		type426	patiné			
STM11	435	2087	Néo final ind	débris		Indéterminé	patiné			
STM11	436	2087	Néo final ind	débris		Indéterminé	patiné			
STM11	437	2087	Néo final ind	débris		Indéterminé	patiné			
STM11	438	2087	Néo final ind	débris		Indéterminé	patiné			
STM11	439	2087	Néo final ind	débris		type417	patiné			
STM11	440	2087	Néo final ind	débris		Indéterminé	patiné			
STM11	441	2087	Néo final ind	débris		Indéterminé	patiné			
STM11	442	2087	Néo final ind	débris		Indéterminé	patiné			
STM11	443	2087	Néo final ind	débris		Indéterminé	patiné			
STM11	444	2087	Néo final ind	débris		Indéterminé	patiné			
STM11	445	2087	Néo final ind	débris		Indéterminé	patiné			
STM11	446	2087	Néo final ind	éclat	entier	type426	patiné	1,5	1,9	0,45
STM11	447	2087	Néo final ind	éclat	proximal	type417	patiné	2,7	2,3	0,8
STM11	448	2088	Néo final 1	éclat	mésial	type426	patiné	1,6	1,1	0,2
STM11	449	2088	Néo final 1	débris		Indéterminé	patiné			
STM11	450	2088	Néo final 1	débris		Indéterminé	patiné			
STM11	451	2088	Néo final 1	débris		type417	patiné			
STM11	452	2090	Néo final ind	éclat	entier	Indéterminé	patiné	2,9	2,7	0,7
STM11	453	2090	Néo final ind	lame(lle)	mésial	type417	patiné	0,7	1	0,2
STM11	454	2091	Néo final ind	éclat	mésial	type400	patiné	3,7	4,7	1,2
STM11	455	2093	Néo final 2	éclat	mésial	type426	patiné	3,4	4,3	1,1
STM11	456	2093	Néo final 2	éclat	entier	type420	brûlé	1,65	2,1	0,3
STM11	457	2093	Néo final 2	débris		Indéterminé	patiné			
STM11	458	2093	Néo final 2	lame(lle)	mésial	type417	patiné	1,4	1	0,3
STM11	459	2093	Néo final 2	débris		type410	patiné			
STM11	460	2093	Néo final 2	débris		type417	patiné			
STM11	461	2093	Néo final 2	débris		Indéterminé	patiné			
STM11	462	2093	Néo final 2	débris		Indéterminé	patiné			
STM11	463	2093	Néo final 2	débris		Indéterminé	brûlé			
STM11	464	2093	Néo final 2	lame(lle)	proximal	type410	brûlé	1,9	1,5	0,4
STM11	465	2093	Néo final 2	débris		type417	patiné			
STM11	466	2093	Néo final 2	esquilles		type417	brûlé			
STM11	467	2093	Néo final 2	esquilles		Indéterminé	brûlé			
STM11	468	2093	Néo final 2	esquilles		type417	brûlé			
STM11	469	2093	Néo final 2	débris		Indéterminé	brûlé			
STM11	470	2093	Néo final 2	débris		Indéterminé	brûlé			
STM11	471	2101	Pré proto	esquilles		type426	patiné			
STM11	472	2101	Pré proto	esquilles		type426	patiné			
STM11	473	2115	Bronze ancien	débris		Indéterminé	patiné			
STM11	474	2115	Bronze ancien	éclat	entier	type422	patiné	3,2	3,9	1
STM11	475	2122	Bronze ancien	débris		Indéterminé	patiné			
STM11	476	2122	Bronze ancien	débris		type417	patiné			
STM11	477	2123	Bronze ancien	débris		type426				
STM11	478	2123	Bronze ancien	esquilles		Indéterminé	patiné			
STM11	479	2124	Bronze ancien	débris		Indéterminé	brûlé			
STM11	480	2124	Bronze ancien	débris		type426	patiné			
STM11	481	2124	Bronze ancien	débris		type417	patiné			
STM11	482	2124	Bronze ancien	débris		type417	patiné			
STM11	483	2126	Bronze ancien	débris		Indéterminé	patiné			
STM11	484	2127	Bronze ancien	lame(lle)	proximal	type419	brûlé	0,7	0,8	0,18
STM11	487	2127	Bronze ancien	débris		type417	patiné			

Annexe 11 - Le Clos de Roque, Saint-Maximin-la-Sainte-Baume (83). Inventaire de l'industrie lithique taillée.

Site	N°	Structure	Couche	Nat	Cons	MP	Etat	Lo	la	ép
STM11	488	2127	Bronze ancien	esquilles		Indéterminé	patiné			
STM11	489	2127	Bronze ancien	éclat	proximal	Indéterminé	brûlé	2	2,2	0,9
STM11	490	2127	Bronze ancien	débris		type417	patiné			
STM11	491	2127	Bronze ancien	débris		type417	brûlé			
STM11	492	2127	Bronze ancien	débris		Indéterminé				
STM11	493	2128	Bronze ancien	éclat	proximal	type417	patiné	1,45	0,9	0,2
STM11	494	2129	Bronze ancien	esquilles		type416	patiné			
STM11	495	2132	Bronze ancien	débris		type426	brûlé			
STM11	496	2132	Bronze ancien	esquilles		type416	brûlé			
STM11	497	2132	Bronze ancien	esquilles		Indéterminé	patiné			
STM11	498	2132	Bronze ancien	esquilles		Indéterminé	patiné			
STM11	499	2132	Bronze ancien	ind.	mésial	type410	patiné	1,3	1,1	0,3
STM11	500	2132	Bronze ancien	ind.	mésial	type420	patiné	1,5	1,25	0,3
STM11	501	2132	Bronze ancien	lame(lle)	proximal	type426	brûlé	3,1	1,5	0,4
STM11	502	2136	Bronze ancien	débris		type417	patiné			
STM11	503	2136	Bronze ancien	débris		type417	patiné			
STM11	504	2136	Bronze ancien	débris		Indéterminé	patiné			
STM11	505	2136	Bronze ancien	débris		type417	patiné			
STM11	506	2136	Bronze ancien	éclat	entier	type420	patiné	2,9	3	0,9
STM11	507	2136	Bronze ancien	esquilles		type417	patiné			
STM11	508	2136	Bronze ancien	ind.	mésial	Indéterminé	brûlé	1,9	2,1	0,5
STM11	509	2138	Bronze ancien	esquilles		Indéterminé	patiné			
STM11	510	2140	Bronze ancien	débris		Indéterminé	patiné			
STM11	511	2140	Bronze ancien	débris		Indéterminé	patiné			
STM11	512	2140	Bronze ancien	débris		Indéterminé	patiné			
STM11	513	2142	Bronze ancien	débris		Indéterminé	brûlé			
STM11	514	2143	Bronze ancien	débris		type417	patiné			
STM11	515	2143	Bronze ancien	débris		Indéterminé	patiné			
STM11	516	2144	Bronze ancien	esquilles		Indéterminé	patiné			
STM11	517	2144	Bronze ancien	débris		type410	patiné			
STM11	518	2144	Bronze ancien	débris		type410	patiné			
STM11	519	2144	Bronze ancien	débris		Indéterminé	patiné			
STM11	520	2144	Bronze ancien	débris		Indéterminé	patiné			
STM11	521	2145	Bronze ancien	débris		Indéterminé	patiné			
STM11	522	2145	Bronze ancien	débris		Indéterminé	brûlé			
STM11	523	2148	Bronze ancien	esquilles		type417	patiné			
STM11	524	2148	Bronze ancien	débris		type417	patiné			
STM11	525	2148	Bronze ancien	débris		Indéterminé	patiné			
STM11	526	2149	Bronze ancien	débris		Indéterminé	patiné			
STM11	527	2150	Historique	débris		type416	patiné			
STM11	528	2155	Bronze ancien	débris		Indéterminé	patiné			
STM11	529	2162	Bronze ancien	esquilles		Indéterminé	patiné			
STM11	530	2187	Hallstatt	esquilles		Indéterminé	patiné			
STM11	531	2187	Hallstatt	esquilles		Indéterminé	patiné			
STM11	532	2189	Hallstatt	esquilles		Indéterminé	patiné			
STM11	533	2189	Hallstatt	débris		Indéterminé	patiné			
STM11	534	2191	Hallstatt	esquilles		Indéterminé	patiné			
STM11	535	2191	Hallstatt	débris		Indéterminé				
STM11	536	2192	Hallstatt	esquilles		Indéterminé	patiné			
STM11	537	2192	Hallstatt	esquilles		Indéterminé	patiné			
STM11	538	2192	Hallstatt	esquilles		Indéterminé	patiné			
STM11	539	2192	Hallstatt	esquilles		Indéterminé	patiné			
STM11	540	2192	Hallstatt	débris		Indéterminé				
STM11	541	2192	Hallstatt	débris		Indéterminé	patiné			
STM11	542	2192	Hallstatt	débris		Indéterminé	patiné			
STM11	543	2192	Hallstatt	débris		Indéterminé	patiné			
STM11	544	2192	Hallstatt	débris		Indéterminé	patiné			
STM11	545	2192	Hallstatt	débris		Indéterminé	patiné			
STM11	546	2192	Hallstatt	débris		Indéterminé	patiné			
STM11	547	2192	Hallstatt	esquilles		Indéterminé	patiné			

Annexe 11 - Le Clos de Roque, Saint-Maximin-la-Sainte-Baume (83). Inventaire de l'industrie lithique taillée.

Site	N°	Structure	Couche	Nat	Cons	MP	Etat	Lo	la	ép
STM11	548	2192	Hallstatt	débris		Indéterminé	patiné			
STM11	549	2192	Hallstatt	débris		Indéterminé	patiné			
STM11	550	2192	Hallstatt	débris		Indéterminé	patiné			
STM11	551	2192	Hallstatt	débris		Indéterminé	patiné			
STM11	552	2192	Hallstatt	débris		Indéterminé	patiné			
STM11	553	2194	Hallstatt	débris		Indéterminé				
STM11	554	2194	Hallstatt	débris		Indéterminé	patiné			
STM11	555	2194	Hallstatt	débris		Indéterminé	patiné			
STM11	556	2194	Hallstatt	débris		Indéterminé	brûlé			
STM11	557	2196	Historique	débris		Indéterminé	patiné			
STM11	558	2199	Historique	débris		Indéterminé	patiné			
STM11	559	2199	Historique	débris		Indéterminé	patiné			
STM11	560	2201	Hallstatt	esquilles		Indéterminé	patiné			
STM11	561	2201	Hallstatt	esquilles		Indéterminé	patiné			
STM11	562	2201	Hallstatt	débris		Indéterminé	patiné			
STM11	563	2201	Hallstatt	débris		Indéterminé	patiné			
STM11	564	2209	Néo moyen	débris		Indéterminé	patiné			
STM11	565	2209	Néo moyen	débris		Indéterminé	patiné			
STM11	566	2215	Néo moyen	esquilles		type9				
STM11	567	2215	Néo moyen	débris		type417	patiné			
STM11	568	2215	Néo moyen	débris		Indéterminé	patiné			
STM11	569	2215	Néo moyen	esquilles		Indéterminé				
STM11	570	2215	Néo moyen	débris		type417	patiné			
STM11	571	2215	Néo moyen	débris		type417	patiné			
STM11	572	2215	Néo moyen	débris		type417	patiné			
STM11	573	2215	Néo moyen	débris		type417	patiné			
STM11	574	2215	Néo moyen	débris		type417	patiné			
STM11	576	2215	Néo moyen	esquilles		Indéterminé	brûlé			
STM11	577	2215	Néo moyen	débris		type417	patiné			
STM11	578	2215	Néo moyen	débris		type417	patiné			
STM11	579	2215	Néo moyen	débris		type417	patiné			
STM11	580	2215	Néo moyen	débris		type417	patiné			
STM11	581	2215	Néo moyen	débris		type417	patiné			
STM11	582	2215	Néo moyen	débris		type417	patiné			
STM11	583	2215	Néo moyen	débris		Indéterminé	brûlé			
STM11	584	2215	Néo moyen	débris		Indéterminé	brûlé			
STM11	585	2224	Néo moyen	esquilles		Indéterminé	patiné			
STM11	586	2224	Néo moyen	débris		type416	patiné			
STM11	587	2224	Néo moyen	esquilles		Indéterminé	patiné			
STM11	588	2224	Néo moyen	débris		type417	patiné			
STM11	589	2224	Néo moyen	débris		type417	patiné			
STM11	590	2224	Néo moyen	débris		type417	patiné			
STM11	591	2224	Néo moyen	débris		type417	patiné			
STM11	592	2224	Néo moyen	débris		type417	patiné			
STM11	593	2224	Néo moyen	débris		type417	patiné			
STM11	594	2224	Néo moyen	débris		type417	brûlé			
STM11	595	2225	Néo moyen	esquilles		Indéterminé	patiné			
STM11	596	2225	Néo moyen	esquilles		Indéterminé				
STM11	597	2225	Néo moyen	éclat	distal	type417	patiné	1,8	3,1	0,7
STM11	598	2225	Néo moyen	éclat	entier	type417	patiné	1,8	2,3	0,4
STM11	599	2225	Néo moyen	éclat		type417	patiné	2,3	1,9	0,6
STM11	600	2225	Néo moyen	éclat	entier	type417	patiné	2,7	2,4	0,45
STM11	601	2225	Néo moyen	lame(lle)	mésial	type426	patiné	1,9	1,7	0,3
STM11	602	2225	Néo moyen	éclat	distal	type417	patiné	1,9	2	0,2
STM11	603	2225	Néo moyen	débris		type417	patiné			
STM11	604	2225	Néo moyen	éclat	distal	type417	patiné	2	1,7	0,2
STM11	605	2225	Néo moyen	éclat	entier	type417	patiné	5,3	2,6	0,7
STM11	606	2225	Néo moyen	débris		type417	patiné			
STM11	607	2225	Néo moyen	débris		type417	patiné			
STM11	608	2225	Néo moyen	débris		type417	patiné			

Annexe 11 - Le Clos de Roque, Saint-Maximin-la-Sainte-Baume (83). Inventaire de l'industrie lithique taillée.

Site	N°	Structure	Couche	Nat	Cons	MP	Etat	Lo	la	ép
STM11	609	2225	Néo moyen	débris		type417	patiné			
STM11	610	2225	Néo moyen	débris		type417	patiné			
STM11	611	2225	Néo moyen	débris		type417	patiné			
STM11	612	2225	Néo moyen	débris		Indéterminé	patiné			
STM11	613	2225	Néo moyen	débris		Indéterminé	patiné			
STM11	614	2227	Néo moyen	débris		Indéterminé	brûlé			
STM11	615	2226	Néo moyen	débris		Indéterminé	brûlé			
STM11	616	2226	Néo moyen	esquilles		Indéterminé	patiné			
STM11	617	2229	Hallstatt	débris		type417	patiné			
STM11	618	2229	Hallstatt	débris		type417	patiné			
STM11	619	2229	Hallstatt	débris		type417	patiné			
STM11	620	2230	Hallstatt	débris		type426	brûlé			
STM11	621	2230	Hallstatt	débris		type417	patiné			
STM11	622	2230	Hallstatt	débris		type417	patiné			
STM11	623	2230	Hallstatt	débris		type417	patiné			
STM11	624	2230	Hallstatt	débris		type417	patiné			
STM11	625	2230	Hallstatt	débris		Indéterminé	patiné			
STM11	626	2230	Hallstatt	débris		Indéterminé	patiné			
STM11	627	2230	Hallstatt	débris		type417	patiné			
STM11	628	2230	Hallstatt	débris		type417	patiné			
STM11	629	2230	Hallstatt	débris		type417	patiné			
STM11	630	2230	Hallstatt	débris		type417	patiné			
STM11	631	2230	Hallstatt	débris		type417	patiné			
STM11	632	2230	Hallstatt	débris		type417	patiné			
STM11	633	2230	Hallstatt	débris		Indéterminé	patiné			
STM11	634	2236	Néo final ind	débris		type410	brûlé			
STM11	635	2247	Néo final 1	esquilles		Indéterminé	brûlé			
STM11	636	2247	Néo final 1	esquilles		Indéterminé				
STM11	637	2247	Néo final 1	esquilles		Indéterminé	brûlé			
STM11	638	2250	Pré proto	lame(lle)	proximal	Indéterminé	brûlé	1,8	1,2	0,3
STM11	639	2254	Historique	débris		Indéterminé	brûlé			
STM11	640	2259	Historique	lame(lle)	proximal	Indéterminé	brûlé	1,45	1,7	0,5
STM11	641	2259	Historique	débris		Indéterminé	brûlé			
STM11	642	2259	Historique	débris		Indéterminé	patiné			
STM11	643	2278	Bronze ancien	éclat	entier	Indéterminé	patiné	2,6	1,7	0,4
STM11	644	2303	Bronze ancien	esquilles		type426	patiné			
STM11	645	2311	Néo final 2	débris		type426	brûlé			
STM11	646	2311	Néo final 2	débris		type426	brûlé			
STM11	647	2319	Néo moyen	lame(lle)	proximal	type420	patiné	4,1	2,6	0,7
STM11	648	2319	Néo moyen	éclat	entier	Indéterminé	patiné	1,9	1,9	0,8
STM11	649	2319	Néo moyen	éclat	5	type417	patiné	2,2	1	0,2
STM11	650	2319	Néo moyen	éclat	distal	type417	patiné	2,5	2	0,7
STM11	651	2319	Néo moyen	débris		type26		3,5	3,2	2,5
STM11	652	2319	Néo moyen	éclat	entier	type410	patiné	3,6	2,2	0,4
STM11	653	2319	Néo moyen	débris		type26				
STM11	654	2319	Néo moyen	débris		Indéterminé	brûlé			
STM11	655	2319	Néo moyen	éclat	distal	type417	patiné	4,6	2,8	0,7
STM11	656	2319	Néo moyen	débris		Indéterminé	patiné			
STM11	657	2319	Néo moyen	débris		type26	patiné			
STM11	660	2319	Néo moyen	débris		Indéterminé	patiné			
STM11	661	2319	Néo moyen	débris		type417	brûlé			
STM11	662	2319	Néo moyen	débris		type417	brûlé			
STM11	663	2319	Néo moyen	débris		type417	patiné			
STM11	664	2319	Néo moyen	débris		type426	brûlé			
STM11	665	2319	Néo moyen	débris		Indéterminé	brûlé			
STM11	666	2319	Néo moyen	débris		Indéterminé				
STM11	667	2319	Néo moyen	débris		type26	patiné			
STM11	668	2319	Néo moyen	débris		type26	patiné			
STM11	669	2319	Néo moyen	débris		type26	patiné			
STM11	670	2319	Néo moyen	débris		type26	patiné			

Annexe 11 - Le Clos de Roque, Saint-Maximin-la-Sainte-Baume (83). Inventaire de l'industrie lithique taillée.

Site	N°	Structure	Couche	Nat	Cons	MP	Etat	Lo	la	ép
STM11	671	2319	Néo moyen	débris		type26	patiné			
STM11	672	2319	Néo moyen	débris		type26	patiné			
STM11	673	2319	Néo moyen	débris		type26	patiné			
STM11	675	2319	Néo moyen	débris		type417	patiné			
STM11	676	2319	Néo moyen	débris		Indéterminé	patiné			
STM11	677	2319	Néo moyen	débris		Indéterminé	patiné			
STM11	678	2319	Néo moyen	débris		Indéterminé	patiné			
STM11	679	2319	Néo moyen	débris		type417	patiné			
STM11	680	2319	Néo moyen	débris		type417	patiné			
STM11	681	2319	Néo moyen	débris		type417	patiné			
STM11	682	2319	Néo moyen	débris		type417	patiné			
STM11	683	2319	Néo moyen	débris		type417	patiné			
STM11	684	2319	Néo moyen	débris		type417	brûlé			
STM11	685	2319	Néo moyen	débris		type417	brûlé			
STM11	686	2319	Néo moyen	débris		type417	brûlé			
STM11	687	2319	Néo moyen	débris		type417	brûlé			
STM11	688	2319	Néo moyen	esquilles		type416	patiné			
STM11	689	2319	Néo moyen	débris		Indéterminé				
STM11	690	2319	Néo moyen	débris		Indéterminé				
STM11	691	2319	Néo moyen	débris		Indéterminé				
STM11	692	2319	Néo moyen	débris		Indéterminé				
STM11	693	2319	Néo moyen	débris		Indéterminé				
STM11	694	2319	Néo moyen	débris		Indéterminé				
STM11	695	2319	Néo moyen	éclat	distal	type417	patiné	2	2,8	0,6
STM11	696	2319	Néo moyen	lame(lle)	distal	type27		3,7	1,8	0,4
STM11	697	2319	Néo moyen	éclat	mésial	type417	patiné	0,9	0,8	0,2
STM11	698	2319	Néo moyen	lame(lle)	mésial	type410	patiné	2,7	1	0,25
STM11	699	2319	Néo moyen	lame(lle)	mésial	type426	patiné	1,25	1,1	0,2
STM11	700	2319	Néo moyen	lame(lle)	mésial	type426	patiné	0,7	0,7	0,15
STM11	701	2319	Néo moyen	lame(lle)	proximal	type410	patiné	4	2	0,4
STM11	702	2319	Néo moyen	ind.	mésial	type417		2	1,1	0,3
STM11	703	2319	Néo moyen	débris		Indéterminé				
STM11	704	2319	Néo moyen	éclat	distal	type417	patiné	1,6	2,5	0,5
STM11	705	2320	Pré proto	éclat	entier	type426c	patiné	2,7	1,45	0,6
STM11	706	2321	Néo final ind	débris		type426	patiné			
STM11	707	2324	Pré proto	débris		type416				
STM11	708	2325	Hallstatt	débris		type417	patiné			
STM11	709	2325	Hallstatt	esquilles		Indéterminé				
STM11	710	2326	Néo final ind	esquilles		Indéterminé				
STM11	711	2326	Néo final ind	débris		Indéterminé	patiné			
STM11	712	2328	Néo final 1	esquilles		type426				
STM11	714	2328	Néo final 1	débris		type417	brûlé			
STM11	715	2328	Néo final 1	débris		type417	patiné			
STM11	716	2328	Néo final 1	débris		Indéterminé	brûlé			
STM11	717	2321	Néo final ind	esquilles		Indéterminé	patiné			
STM11	718	2328	Néo final 1	débris		type426	brûlé			
STM11	719	2328	Néo final 1	débris		type417	patiné			
STM11	720	2328	Néo final 1	débris		type417	brûlé			
STM11	721	2328	Néo final 1	débris		type410	patiné			
STM11	722	2328	Néo final 1	débris		type417	brûlé			
STM11	723	2333	Pré proto	débris		type410	patiné			
STM11	724	2333	Pré proto	esquilles		type417	patiné			
STM11	726	2333	Pré proto	débris		type417	patiné			
STM11	727	2333	Pré proto	débris		Indéterminé	patiné			
STM11	728	2333	Pré proto	débris		type26				
STM11	729	2337	Néo final 2	débris		type417	patiné			
STM11	730	2096	Néo récent	esquilles		type417	patiné			
STM11	731	2096	Néo récent	lame(lle)	distal	type426	patiné	0,8	0,6	0,1
STM11	732	2096	Néo récent	débris		type417	brûlé			
STM11	733	2096	Néo récent	débris		type417	patiné			

Annexe 11 - Le Clos de Roque, Saint-Maximin-la-Sainte-Baume (83). Inventaire de l'industrie lithique taillée.



Site	N°	Structure	Couche	Nat	Cons	MP	Etat	Lo	la	ép
STM11	734	2096	Néo récent	lame(lle)	mésial	type426	patiné	0,8	1	0,25
STM11	735	2096	Néo récent	débris		type417	patiné			
STM11	736	2096	Néo récent	débris		type417	patiné			
STM11	737	2096	Néo récent	débris		type417	patiné			
STM11	738	2096	Néo récent	débris		type426	patiné			
STM11	739	2096	Néo récent	débris		type426	patiné			
STM11	740	2096	Néo récent	débris		Indéterminé	patiné			
STM11	741	2096	Néo récent	débris		Indéterminé	patiné			
STM11	742	2096	Néo récent	débris		Indéterminé	patiné			
STM11	743	2096	Néo récent	débris		type417	patiné			
STM11	744	2096	Néo récent	débris		type417	patiné			
STM11	745	2096	Néo récent	débris		type417	patiné			
STM11	746	2096	Néo récent	débris		type417	patiné			
STM11	747	2096	Néo récent	débris		type426	patiné			
STM11	748	2096	Néo récent	débris		type426	patiné			
STM11	749	2096	Néo récent	débris		type426	patiné			
STM11	750	2096	Néo récent	débris		type426	patiné			
STM11	753	2096	Néo récent	débris		type426	patiné			
STM11	754	2096	Néo récent	débris		Indéterminé	patiné			
STM11	755	2096	Néo récent	débris		Indéterminé	patiné			
STM11	756	2096	Néo récent	débris		Indéterminé	patiné			
STM11	757	2096	Néo récent	débris		Indéterminé	patiné			
STM11	758	2096	Néo récent	débris		Indéterminé	patiné			
STM11	759	2096	Néo récent	débris		Indéterminé	patiné			
STM11	760	2096	Néo récent	débris		Indéterminé	patiné			
STM11	761	2096	Néo récent	débris		Indéterminé	patiné			
STM11	762	2096	Néo récent	éclat	entier	type417	patiné	1,9	1,9	0,5
STM11	763	2096	Néo récent	éclat	distal	type417	patiné	1,9	1,7	0,45
STM11	764	2096	Néo récent	éclat	mésial	type426	patiné	2	2,4	0,55
STM11	765	2096	Néo récent	débris		Indéterminé	brûlé			
STM11	766	2096	Néo récent	éclat	distal	type426	patiné	2,7	2,6	0,6
STM11	767	2096	Néo récent	éclat	entier	type417	patiné	2,1	1,7	0,4
STM11	768	2096	Néo récent	lame(lle)	mésial	type426c		6,2	1,5	0,3
STM11	769	2096	Néo récent	éclat	entier	type417	patiné	1,6	3,4	0,5
STM11	770	2096	Néo récent	débris		type426c	patiné			
STM11	772	2096	Néo récent	esquilles		type417	patiné			
STM11	773	2096	Néo récent	esquilles		type417	patiné			
STM11	774	2096	Néo récent	esquilles		type426	patiné			
STM11	775	2096	Néo récent	débris		type417	patiné			
STM11	776	2096	Néo récent	débris		type417	patiné			
STM11	777	2096	Néo récent	débris		type417	brûlé			
STM11	778	2096	Néo récent	débris		type417	patiné			
STM11	779	2096	Néo récent	débris		type426	patiné			
STM11	780	2096	Néo récent	débris		Indéterminé	patiné			
STM11	781	2096	Néo récent	débris		Indéterminé	patiné			
STM11	782	2096	Néo récent	lame(lle)	mésial	type417	patiné	2,4	0,9	0,4
STM11	783	2096	Néo récent	débris		type417	brûlé			
STM11	784	2096	Néo récent	débris		type417	brûlé			
STM11	785	2096	Néo récent	débris		type417	patiné			
STM11	786	2096	Néo récent	débris		type426	patiné			
STM11	787	2096	Néo récent	débris		Indéterminé	patiné			
STM11	788	2096	Néo récent	esquilles		type417	patiné			
STM11	789	2096	Néo récent	éclat	entier	type417	patiné	1,5	1,5	0,3
STM11	790	2096	Néo récent	éclat	entier	type426	patiné	4,5	2,3	1,2
STM11	791	2096	Néo récent	esquilles		type426	patiné			
STM11	792	2096	Néo récent	esquilles		type417	patiné			
STM11	793	2096	Néo récent	esquilles		type417	patiné			
STM11	794	2096	Néo récent	esquilles		type417	patiné			
STM11	795	2096	Néo récent	débris		type417	patiné			
STM11	796	2096	Néo récent	débris		type426	patiné			

Annexe 11 - Le Clos de Roque, Saint-Maximin-la-Sainte-Baume (83). Inventaire de l'industrie lithique taillée.



Site	N°	Structure	Couche	Nat	Cons	MP	Etat	Lo	la	ép
STM11	798	2096	Néo récent	esquilles		type426	patiné			
STM11	799	2096	Néo récent	débris		type426				
STM11	800	2096	Néo récent	débris		Indéterminé	patiné			
STM11	801	2096	Néo récent	débris		Indéterminé	patiné			
STM11	802	2096	Néo récent	débris		type417	patiné			
STM11	803	2096	Néo récent	lame(lle)	mésial	type426	patiné	1,1	0,5	0,1
STM11	804	2096	Néo récent	éclat	proximal	type426	patiné	1,4	1,9	0,2
STM11	805	2096	Néo récent	esquilles		type426	patiné			
STM11	806	2096	Néo récent	débris		type417	patiné			
STM11	807	2096	Néo récent	débris		Indéterminé	patiné			
STM11	808	2096	Néo récent	débris		type417	patiné			
STM11	809	2096	Néo récent	débris		Indéterminé	patiné			
STM11	810	2096	Néo récent	débris		type417	brûlé			
STM11	811	2096	Néo récent	débris		type417	brûlé			
STM11	812	2096	Néo récent	débris		Indéterminé	patiné			
STM11	813	2096	Néo récent	éclat	entier	Indéterminé	patiné	2,4	2,5	0,5
STM11	814	2096	Néo récent	débris		type426	patiné			
STM11	815	2096	Néo récent	débris		type417	brûlé			
STM11	816	2096	Néo récent	esquilles		type417	brûlé			
STM11	817	2096	Néo récent	débris		type417	patiné			
STM11	818	2096	Néo récent	esquilles		Indéterminé	patiné			
STM11	819	2096	Néo récent	débris		Indéterminé	patiné			
STM11	820	2096	Néo récent	débris		Indéterminé	patiné			
STM11	821	2096	Néo récent	débris		Indéterminé	patiné			
STM11	822	2096	Néo récent	esquilles		type417	brûlé			
STM11	823	2096	Néo récent	débris		type417	brûlé			
STM11	824	2096	Néo récent	débris		type417	brûlé			
STM11	826	2096	Néo récent	débris		Indéterminé	brûlé			
STM11	827	2096	Néo récent	débris		Indéterminé	patiné			
STM11	828	2096	Néo récent	esquilles		Indéterminé	brûlé			
STM11	829	2096	Néo récent	esquilles		type417	patiné			
STM11	830	2096	Néo récent	débris		type417	patiné			
STM11	831	2096	Néo récent	lame(lle)	mésial	type426	patiné	1,5	1	0,3
STM11	832	2096	Néo récent	esquilles		Indéterminé	patiné			
STM11	833	2096	Néo récent	débris		Indéterminé	patiné			
STM11	834	2096	Néo récent	débris		Indéterminé	patiné			
STM11	835	2096	Néo récent	débris		Indéterminé	brûlé			
STM11	836	2096	Néo récent	débris		Indéterminé	patiné			
STM11	837	2096	Néo récent	lame(lle)	mésial	type426	patiné	0,8	0,4	0,18
STM11	838	2096	Néo récent	lame(lle)	mésial	Indéterminé	brûlé	1,6	1,1	0,3
STM11	839	2096	Néo récent	débris		type426	patiné			
STM11	840	2096	Néo récent	esquilles		type426	patiné			
STM11	841	2096	Néo récent	éclat	proximal	type426	patiné	3,3	2	0,5
STM11	842	2096	Néo récent	éclat	proximal	type426	patiné	2,1	2,2	0,45
STM11	843	2096	Néo récent	lame(lle)	mésial	type426	patiné	1	1,1	0,25
STM11	844	2096	Néo récent	débris		type426	patiné			
STM11	845	2096	Néo récent	débris		type417	brûlé			
STM11	846	2096	Néo récent	lame(lle)	mésial	type426	patiné	1,9	0,8	0,3
STM11	847	2096	Néo récent	éclat	distal	type417	patiné	3	3,5	0,6
STM11	848	2096	Néo récent	esquilles		type417	patiné			
STM11	849	2096	Néo récent	esquilles		type417	patiné			
STM11	850	2096	Néo récent	esquilles		Indéterminé	patiné			
STM11	851	2096	Néo récent	éclat	mésial	type417	patiné	1,9	1,4	0,15
STM11	852	2096	Néo récent	débris		Indéterminé	brûlé			
STM11	853	2096	Néo récent	éclat	distal	type417	brûlé	2,6	1,8	0,4
STM11	854	2096	Néo récent	débris		type417	brûlé			
STM11	855	2096	Néo récent	débris		Indéterminé	brûlé			
STM11	856	2096	Néo récent	débris		type417	brûlé			
STM11	857	2096	Néo récent	éclat	entier	type426	brûlé	2,2	1,8	0,3
STM11	858	2096	Néo récent	débris		Indéterminé	patiné			

Annexe 11 - Le Clos de Roque, Saint-Maximin-la-Sainte-Baume (83). Inventaire de l'industrie lithique taillée.

Site	N°	Structure	Couche	Nat	Cons	MP	Etat	Lo	la	ép
STM11	859	2096	Néo récent	débris		Indéterminé	patiné			
STM11	860	2096	Néo récent	débris		Indéterminé	patiné			
STM11	861	2096	Néo récent	débris		type417	patiné			
STM11	862	2096	Néo récent	débris		Indéterminé	brûlé			
STM11	863	2096	Néo récent	débris		Indéterminé	patiné			
STM11	864	2096	Néo récent	débris		Indéterminé	patiné			
STM11	865	2096	Néo récent	esquilles		Indéterminé	patiné			
STM11	866	2096	Néo récent	esquilles		Indéterminé	patiné			
STM11	867	2096	Néo récent	esquilles		Indéterminé	patiné			
STM11	868	2096	Néo récent	débris		Indéterminé	patiné			
STM11	869	2096	Néo récent	débris		Indéterminé	patiné			
STM11	870	2096	Néo récent	débris		Indéterminé	patiné			
STM11	871	2096	Néo récent	débris		Indéterminé	brûlé			
STM11	872	2096	Néo récent	débris		Indéterminé	brûlé			
STM11	873	2096	Néo récent	lame(lle)	mésial	type426	patiné	0,3	0,4	0,1
STM11	874	2096	Néo récent	débris		type426	brûlé			
STM11	875	2096	Néo récent	éclat	entier	type410	brûlé	2,1	1,5	0,5
STM11	876	2096	Néo récent	débris		Obsidienne	patiné			
STM11	877	2096	Néo récent	lame(lle)	mésial	type416	brûlé	3,5	1,5	0,45
STM11	878	2096	Néo récent	débris		type417	brûlé			
STM11	879	2096	Néo récent	esquilles		Indéterminé				
STM11	880	2096	Néo récent	esquilles		Indéterminé				
STM11	881	2096	Néo récent	esquilles		type426				
STM11	882	2096	Néo récent	débris		type426	brûlé			
STM11	883	2096	Néo récent	débris		type426	brûlé			
STM11	884	2096	Néo récent	débris		type417	brûlé			
STM11	885	2096	Néo récent	débris		type417	brûlé			
STM11	886	2096	Néo récent	débris		type417	brûlé			
STM11	887	2096	Néo récent	débris		Indéterminé	patiné			
STM11	888	2096	Néo récent	débris		type417	brûlé			
STM11	889	2096	Néo récent	lame(lle)	mésial	Indéterminé	brûlé	1,1	0,7	0,3
STM11	890	2096	Néo récent	éclat	entier	type426	brûlé	3,2	2,4	0,9
STM11	891	2096	Néo récent	débris		type426	patiné			
STM11	892	2096	Néo récent	esquilles		type417	patiné			
STM11	893	2096	Néo récent	éclat	proximal	type426	patiné	1,35	1,4	0,3
STM11	894	2096	Néo récent	débris		type417	brûlé			
STM11	895	2096	Néo récent	esquilles		type417	patiné			
STM11	896	2096	Néo récent	esquilles		type417	brûlé			
STM11	897	2096	Néo récent	débris		type420	brûlé			
STM11	898	2096	Néo récent	débris		Indéterminé	brûlé			
STM11	899	2096	Néo récent	débris		type420	brûlé			
STM11	900	2096	Néo récent	débris		type416	brûlé			
STM11	901	2096	Néo récent	débris		type417	brûlé			
STM11	902	2096	Néo récent	débris		type417	brûlé			
STM11	903	2096	Néo récent	esquilles		type426	patiné			
STM11	904	2096	Néo récent	débris		type426	patiné			
STM11	905	2096	Néo récent	débris		type417				
STM11	906	2096	Néo récent	débris		Indéterminé				
STM11	907	2096	Néo récent	lame(lle)	mésial	type426		1,4	1,15	0,2
STM11	908	2096	Néo récent	débris		type417	brûlé			
STM11	909	2096	Néo récent	lame(lle)	mésial	type426		1,2	0,5	0,2
STM11	910	2096	Néo récent	esquilles		type417				
STM11	912	2096	Néo récent	débris		Indéterminé	brûlé			
STM11	913	2096	Néo récent	débris		type417	brûlé			
STM11	914	2096	Néo récent	débris		type426	brûlé			
STM11	915	2096	Néo récent	esquilles		type426				
STM11	916	2096	Néo récent	esquilles		type417				
STM11	917	2096	Néo récent	esquilles		Indéterminé	patiné			
STM11	918	2096	Néo récent	esquilles		type417				
STM11	919	2096	Néo récent	débris		type417	patiné			

Annexe 11 - Le Clos de Roque, Saint-Maximin-la-Sainte-Baume (83). Inventaire de l'industrie lithique taillée.

Site	N°	Structure	Couche	Nat	Cons	MP	Etat	Lo	la	ép
STM11	920	2096	Néo récent	débris		type426	patiné			
STM11	921	2096	Néo récent	débris		type417	patiné			
STM11	922	2096	Néo récent	débris		type417	patiné			
STM11	923	2096	Néo récent	débris		Indéterminé	patiné			
STM11	924	2096	Néo récent	éclat	mésial	type426	patiné	2,1	1,9	0,35
STM11	925	2096	Néo récent	débris		Indéterminé	patiné			
STM11	926	2096	Néo récent	lame(lle)	mésial	type426	patiné	2,3		0,25
STM11	927	2096	Néo récent	débris		Indéterminé	patiné			
STM11	928	2096	Néo récent	débris		type417	brûlé			
STM11	929	2096	Néo récent	débris		type417	brûlé			
STM11	930	2096	Néo récent	éclat	entier	type417	brûlé	2,1	2,5	0,7
STM11	931	2096	Néo récent	esquilles		type417	patiné			
STM11	932	2096	Néo récent	esquilles		type417	patiné			
STM11	933	2096	Néo récent	esquilles		Indéterminé	patiné			
STM11	935	2096	Néo récent	débris		type417	patiné			
STM11	936	2096	Néo récent	débris		type417	patiné			
STM11	937	2096	Néo récent	débris		type417	patiné			
STM11	938	2096	Néo récent	lame(lle)	mésial	type417	patiné	0,6	0,6	0,2
STM11	939	2096	Néo récent	débris		type426	brûlé			
STM11	940	2096	Néo récent	débris		type417	brûlé			
STM11	941	2096	Néo récent	débris		type417	brûlé			
STM11	942	2096	Néo récent	débris		type426	patiné			
STM11	943	2096	Néo récent	débris		type426	patiné			
STM11	944	2096	Néo récent	débris		type426	patiné			
STM11	945	2096	Néo récent	débris		Indéterminé	patiné			
STM11	946	2096	Néo récent	débris		type426	patiné			
STM11	947	2096	Néo récent	éclat	entier	type426	patiné	1,8	2	0,5
STM11	948	2096	Néo récent	débris		type417	brûlé			
STM11	950	2096	Néo récent	esquilles		type417	patiné			
STM11	951	2096	Néo récent	esquilles		type426	patiné			
STM11	952	2096	Néo récent	débris		type417	patiné			
STM11	953	2096	Néo récent	débris		type426	patiné			
STM11	954	2096	Néo récent	débris		type417	patiné			
STM11	955	2096	Néo récent	débris		type426	patiné			
STM11	956	2096	Néo récent	débris		Indéterminé	patiné			
STM11	957	2096	Néo récent	lame(lle)	mésial	Indéterminé	brûlé	1	1,5	0,3
STM11	958	2096	Néo récent	débris		type426	patiné			
STM11	959	2096	Néo récent	débris		type426	patiné			
STM11	960	2096	Néo récent	débris		type426	patiné			
STM11	961	2096	Néo récent	débris		type426	patiné			
STM11	962	2096	Néo récent	débris		type426	patiné			
STM11	963	2096	Néo récent	débris		type417	patiné			
STM11	964	2096	Néo récent	débris		type417	brûlé			
STM11	965	2096	Néo récent	débris		Indéterminé	patiné			
STM11	966	2096	Néo récent	débris		Indéterminé	patiné			
STM11	967	2096	Néo récent	esquilles		type417	brûlé			
STM11	968	2096	Néo récent	esquilles		type417	patiné			
STM11	969	2096	Néo récent	débris		Indéterminé	brûlé			
STM11	970	2096	Néo récent	débris		type417	brûlé			
STM11	971	2096	Néo récent	esquilles		Indéterminé	patiné			
STM11	972	2096	Néo récent	esquilles		Indéterminé	patiné			
STM11	973	2096	Néo récent	débris		type426	patiné			
STM11	974	2096	Néo récent	débris		Indéterminé	patiné			
STM11	975	2096	Néo récent	débris		Indéterminé	patiné			
STM11	976	2096	Néo récent	débris		Indéterminé	patiné			
STM11	977	2096	Néo récent	débris		Indéterminé	patiné			
STM11	978	2096	Néo récent	débris		Indéterminé	patiné			
STM11	979	2096	Néo récent	éclat	proximal	type426	patiné	1,65	2,4	0,6
STM11	980	2096	Néo récent	éclat	proximal	type416		0,9	1,9	0,3
STM11	981	2096	Néo récent	éclat	mésial	type426		2,1	2,1	0,4

Annexe 11 - Le Clos de Roque, Saint-Maximin-la-Sainte-Baume (83). Inventaire de l'industrie lithique taillée.

Site	N°	Structure	Couche	Nat	Cons	MP	Etat	Lo	la	ép
STM11	982	2096	Néo récent	éclat	distal	type417	brûlé	2	1,6	0,9
STM11	983	2096	Néo récent	éclat	distal	type417	patiné	3	2,7	0,5
STM11	984	2096	Néo récent	débris		type426	brûlé			
STM11	985	2096	Néo récent	lame(lle)	mésial	type426	patiné	2,7	1,6	0,4
STM11	987	2096	Néo récent	débris		type417	patiné			
STM11	989	2096	Néo récent	débris		Indéterminé	brûlé			
STM11	990	2096	Néo récent	débris		Indéterminé	brûlé			
STM11	991	2096	Néo récent	débris		Indéterminé	patiné			
STM11	992	2096	Néo récent	débris		type426	patiné			
STM11	993	2096	Néo récent	débris		type417	brûlé			
STM11	994	2096	Néo récent	débris		type417	brûlé			
STM11	995	2096	Néo récent	débris		Indéterminé	patiné			
STM11	996	2096	Néo récent	lame(lle)	proximal	type426		1,3	1,4	0,3
STM11	997	2096	Néo récent	lame(lle)	proximal	type426		1,5	0,9	0,2
STM11	998	2096	Néo récent	éclat	proximal	type420		4,2	2,7	1
STM11	999	2096	Néo récent	débris		type426	brûlé			
STM11	1000	2096	Néo récent	débris		Indéterminé				
STM11	1001	2096	Néo récent	débris		type426				
STM11	1002	2096	Néo récent	débris		type417				
STM11	1003	2096	Néo récent	débris		type417				
STM11	1004	2096	Néo récent	débris		type417				
STM11	1005	2096	Néo récent	débris		Indéterminé				
STM11	1006	2096	Néo récent	débris		type410				
STM11	1007	2096	Néo récent	débris		type417	brûlé			
STM11	1009	2096	Néo récent	lame(lle)	distal	type426		2,3	1,2	0,3
STM11	1010	2096	Néo récent	éclat	entier	type426		4,4	1,7	0,9
STM11	1011	2096	Néo récent	éclat	distal	type417	brûlé	1,7	2,1	0,5
STM11	1012	2096	Néo récent	éclat	entier	type426		1,3	1,8	0,3
STM11	1013	2096	Néo récent	débris		type426	brûlé			
STM11	1014	2096	Néo récent	lame(lle)	proximal	type426		2,1	1	0,25
STM11	1015	2096	Néo récent	esquilles		type417				
STM11	1016	2096	Néo récent	débris		type426	patiné			
STM11	1018	2096	Néo récent	débris		type426	patiné			
STM11	1020	2096	Néo récent	débris		type417	brûlé			
STM11	1021	2096	Néo récent	débris		type417	brûlé			
STM11	1022	2096	Néo récent	débris		type417	brûlé			
STM11	1023	2096	Néo récent	débris		type417	brûlé			
STM11	1024	2096	Néo récent	débris		type417	brûlé			
STM11	1025	2096	Néo récent	lame(lle)	mésial	type417	patiné	2,1	1,8	0,5
STM11	1026	2096	Néo récent	lame(lle)	proximal	type426	patiné	1,5	1,1	0,25
STM11	1027	2096	Néo récent	lame(lle)	mésial	type426	patiné	1,45	0,78	0,2
STM11	1028	2096	Néo récent	lame(lle)	mésial	type426	patiné	1,9	1	0,2
STM11	1029	2096	Néo récent	débris		Indéterminé	patiné			
STM11	1030	2096	Néo récent	débris		type417	patiné			
STM11	1031	2096	Néo récent	débris		type417	patiné			
STM11	1032	2096	Néo récent	éclat	distal	type410	patiné	2,4	1,7	0,3
STM11	1033	2096	Néo récent	lame(lle)	proximal	type426	brûlé	2	1,4	0,3
STM11	1034	2096	Néo récent	débris		type426	brûlé			
STM11	1035	2096	Néo récent	débris		type426	brûlé			
STM11	1036	2096	Néo récent	lame(lle)	proximal	type426	brûlé	1,7	1,1	0,2
STM11	1037	2096	Néo récent	débris		type420	brûlé			
STM11	1038	2096	Néo récent	éclat	entier	type417	patiné	3,8	2,5	0,9
STM11	1039	2096	Néo récent	débris		type426				
STM11	1040	2096	Néo récent	débris		type426c				
STM11	1041	2096	Néo récent	débris		type417				
STM11	1042	2096	Néo récent	lame(lle)	mésial	type426		2,8	2	0,4
STM11	1043	2096	Néo récent	lame(lle)	mésial	Indéterminé	brûlé	1,7	1,2	0,35
STM11	1044	2096	Néo récent	éclat	proximal	type416	brûlé	3,6	1,7	0,9
STM11	1046	2096	Néo récent	débris		type417				
STM11	1047	2096	Néo récent	débris		type417				

Annexe 11 - Le Clos de Roque, Saint-Maximin-la-Sainte-Baume (83). Inventaire de l'industrie lithique taillée.

Site	N°	Structure	Couche	Nat	Cons	MP	Etat	Lo	la	ép
STM11	1048	2096	Néo récent	débris		type426				
STM11	1049	2096	Néo récent	débris		type410	brûlé			
STM11	1050	2096	Néo récent	débris		type410	brûlé			
STM11	1051	2096	Néo récent	éclat	entier	type426		4	2,4	0,65
STM11	1052	2096	Néo récent	éclat	proximal	type426		2,7	1,5	0,3
STM11	1053	2096	Néo récent	éclat	entier	type426		1,7	2,35	0,3
STM11	1054	2096	Néo récent	éclat	proximal	type420		3,7	2,8	1
STM11	1055	2096	Néo récent	éclat	mésial	type426		4,4	2,4	0,7
STM11	1056	2096	Néo récent	esquilles		type417				
STM11	1057	2096	Néo récent	éclat		type426	brûlé	4	2,2	0,5
STM11	1058	2096	Néo récent	éclat	distal	type410	patiné	3,3	2	0,55
STM11	1059	2096	Néo récent	éclat	entier	type416		1,6	1,6	0,3
STM11	1060	2096	Néo récent	lame(lle)	mésial	type426		2,1	2,1	0,7
STM11	1061	2096	Néo récent	éclat	proximal	type417		2,1	2,4	0,8
STM11	1062	2096	Néo récent	éclat	proximal	type417		2,3	2,8	0,5
STM11	1063	2096	Néo récent	débris		type417	patiné			
STM11	1064	2096	Néo récent	débris		type417	patiné			
STM11	1065	HS	Indéterminé	éclat	entier	Indéterminé	patiné	4	3	1,9
STM11	1066	HS	Indéterminé	débris		Indéterminé	patiné			
STM11	1067	HS	Indéterminé	nucléus		Obsidienne		4,5	2,7	1,6
STM11	1068	1042	Néo final ind	nucléus		type417	patiné			

*Annexe 11* - Le Clos de Roque, Saint-Maximin-la-Sainte-Baume (83). Inventaire de l'industrie lithique taillée.

datation	structure	couche	topo	pétrographie	matrice	type d'outil	intégrité	dim. maxi. conservée (mm)	ép. (mm)	masse (g.)	surface de travail	altérations	remarques
NM1	ST2215			grès grossier	?	?	fragment ind.	72		135		légère rubéfaction	
NM1	ST2226			grès	?	mouture ?	fragment latéral	109		530		partielle, fissures	
NM1	ST2226			grès	?	?	éclat thermique	125		365		rubéfaction, fissures	un angle net
NM1	ST2319		US4	grès grossier	?	?	éclat thermique	98		230		rubéfaction, fissures	
NM1	ST2319		US1	grès dur	galet	molette	extrémité	105	> 48	295	convexe	fissures	2 éclats abrupts sur l'extrémité
NM1	ST2319		tamis 1/2 sud	grès	?	?	fragment	125		530		rubéfaction partielle	2 surfaces assez planes
NM1	ST2319		tamis 1/2 sud	grès lité	?	mouture ?	fragment latéral	73	49	305	1 surface plane	rubéfaction, fissures	2 faces planes, dont une sans doute de ravail
NM1	ST2319		tamis 1/2 sud	grès	?	molette ?	éclat thermique	75	> 67	175	convexe		"randie" de molette
NM1	ST2319		tamis 1/2 sud	grès	?	?	5 fragments ind.	64		170			
Néo. Récent	ST2096	US01		grès grossier	?	mouture	fragment	75	> 32	85	plane	rubéfaction	bouchardage latéral
Néo. Récent	ST2096	US01		grès	?	mouture	fragment latéral	105	> 85	445			
Néo. Récent	ST2096	US02		grès	?	?	fragment ind.	140		1365		1 pelure thermique ?	
Néo. Récent	ST2096	US04		grès grain marqué	?	?	fragment ind.	91	?	180		rubéfaction légère	3 morceaux cassure fraîche
Néo. Récent	ST2096	US06		grès lité	?	meule	fragment	210	67	2920	concave	rubéfaction légère	
Néo. Récent	ST2096	US08		grès grossier	?	?	fragment ind.	102		580		légère rubéfaction	
Néo. Récent	ST2096	US09		grès	?	?	fragment ind.	57		90		rubéfaction	
Néo. Récent	ST2096	US09	PT4023-4024	grès à passée grossière	?	?	fragment ind.	102		745			
Néo. Récent	ST2096	US09	PT3387-3388	grès/grauwacke	?	mouture	fragment mérial	160	> 75	1700	plano-convexe	rubéfaction différentielle	
Néo. Récent	ST2096	US09	PT4021-4022	grès à passée grauwacke	?	?	fragment ind.	158		1880		rubéfaction partielle	
Néo. Récent	ST2096	US10		grès	?	?	fragment ind.	80		205		rubéfaction	
Néo. Récent	ST2096	US10		grès	?	?	fragment ind.	80		225		rubéfaction	
Néo. Récent	ST2096	US15		grès grain fin	?	?	fragment ind.	50		65			
Néo. Récent	ST2096	US15		grès	?	?	fragment ind.	120		615			
Néo. Récent	ST2096	US15		grès grain fin	?	meule ?	fragment	142	82	890	plane	rubéfaction légère	
Néo. Récent	ST2096	US15		grès à passée grossière	?	?	fragment ind.	175	> 105	2000	très concave	dépot noir sur une face	conçavité p-é naturelle, mais bouchardage des arêtes environnantes

Annexe 12 - Le Clos de Roque, Saint-Maximin-la-Sainte-Baume (83). Inventaire du mobilier lithique pondéreux.



datation	structure	couche	topo	pétrographie	matrice	type d'outil	intégrité	dim. maxi. conservée (mm)	ép. (mm)	masse (g.)	surface de travail	altérations	remarques
Néo. Récent	ST2096	US15		grès	?	?	fragment ind.	130		2520		rubéfaction légère	
Néo. Récent	ST2096	US15		grès	bloc roulé	mouture	extrémité	198	68	2680	plane	pelures thermiques	
Néo. Récent	ST2096	US15		grès	?	mouture	fragment mésial	190	> 87	3295	résiduel e	rubéfaction partielles,	
Néo. Récent	ST2096	US15		grès grossier	?	meule	fragment latéro-distal	165	> 110	3940	concave	concave fissures	
Néo. Récent	ST2096	US15		grès lité à passée grossière	?	?	fragment	200		4685		pelures thermiques	
Néo. Récent	ST2096	US15		grès à passées grauwacke	bloc à surface polie	meule	fragment mésial	205	> 200	10000	convexe- concave	convexe- concave fissures	
Néo. Récent	ST2096	US15		grauwacke	bloc à surface polie	meule	fragment	285	285	10800	concave	rubéfaction partielle, fissures	"tranche" de meule
Néo. Récent	ST2096	US15		gneiss ?	bloc à faces polies naturelles	mouture	fragment	180	> 89	2025	convexe	légère rubéfaction sur les surfaces naturelles	épannelage ?
Néo. Récent	ST2096	US16		grès grossier	?	?	fragment ind.	50		10		légère	éclat plat
Néo. Récent	ST2096	US16	PT7109	poudingue	?	meule ?	?	480	200	43400	convexe	rubéfaction, pelures thermiques, fissures	surfaces altérées
NFL	ST1023			grès grossier	?	?	éclat thermique	82		70		rubéfaction	
NFL	ST1023			grès grossier	?	mouture	fragment mésial	167	77	1390	plane	rubéfaction	
NFL	ST1023			grès fin à zones vacuolées	bloc altéré ?	meule	fragment mésial	235	80	5080	convexe	rubéfaction	2 éclats de fouille
NFL	ST2247			grès grossier	?	?	fragment ind.	85		210		rubéfaction partielle	
NFL	ST2247			grès grossier	?	?	fragment ind.	111		550		rubéfaction	
NFL	ST2328	US2		grès	?	?	fragment ind.	125		720			
NFL	ST2328		PT7005	grès grossier	bloc altéré	mouture ?	fragment mésial ?	190	190	2700	un petit plan conservé ?	rubéfaction partielle	
NF2	ST2006	US1		grès	?	?	fragment ind.	108		820		légère rubéfaction, éclat thermique	

Annexe 12 - Le Clos de Roque, Saint-Maximin-la-Sainte-Baume (83). Inventaire du mobilier lithique pondéreux.

datation	structure	couche	topo	pétrographie	matrice	type d'outil	intégrité	dim. maxi. conservée (mm)	ép. (mm)	masse (g.)	surface de travail	altérations	remarques
NF2	ST2021			grès	? ?	? ?	éclat thermique éclat thermique latéral	45 107	> 83	55 280	résiduel e concave	rubéfaction rubéfaction légère rubéfaction	
NF2	ST2021			grès grossier grès	bloc altéré ?	mouture ?	bloc ind. ?	75	> 90	350		rubéfaction	bloc altéré entier ? Ou fragment très usé ?
NF2	ST2021			grès grossier	?	mouture	fragment latéral	91	> 90	990		rubéfaction	
NF2	ST2021			grès grossier	?	mouture	fragment latéro-distal	142	> 70	1000	plan	rubéfaction partielle	dos bouchardé
NF2	ST2338			grès grossier	?	?	fragment ind.	140		1760		rubéfaction partielle	
NF2	ST2338			grès	?	meule	fragment latéral	185	> 160	3300	concave, résiduel e	rubéfaction partielle, fissures, friabilité extrême	
NF ind.	ST2001	US1		grès	?	molette ?	fragment latéral	103	> 50	340	plane	fissures	
NF ind.	ST2002			grès dense	?	?	fragment ind.	136		265			
NF ind.	ST2014			grès grossier	?	?	fragment ind.	180		1345		légère rubéfaction, fissures	
NF ind.	ST2032	US1		grès grossier	bloc altéré ?	?	fragment ind.	123		785		rubéfaction partielle	
NF ind.	ST2032	US1		grès grossier	?	?	fragment ind.	97		420			
NF ind.	ST2087	US1		grès grossier	?	?	fragment ind.	105		580		rubéfaction, fissures	
NF ind.	ST2090	US1		grès	?	?	fragment ind.	149		745	une face plane	rubéfaction partielle	toutes surfaces altérées à vif
NF ind.	ST2236			grès grossier	bloc altéré	?	fragment ind.	135		925		rubéfaction	bloc anguleux
NF ind.	ST2236			grès	?	?	fragment ind.	80		340		légère rubéfaction, fissures	
NF ind.	ST2236			grès	?	?	fragment ind.	50		100		légère rubéfaction, fissures	
NF ind.	ST2236			grès grossier	?	?	fragment ind.	91		180		rubéfaction	
NF ind.	ST2236			grès grossier	?	?	fragment ind.	68		240		rubéfaction, fissures	
NF ind.	ST2329	US1		grès poufingue	bloc altéré	?	fragment ind.	145		2730		rubéfaction partielle	
NF ind.	F54			grès	galeit ?	molette	moitié	175	90	4570	convexe	rubéfaction partielle	probable mise en forme latérale par taille
NF ind.	F54			grès dur	galeit	molette	fragment distal	158	> 69	1220	résiduel e		dos : surface galeit ; éclat plat sur face de travail
NF ind.	F54			grès grossier	?	mouture	fragment mésial	113	> 69	580	résiduel e	rubéfaction	cassé en 2 morceaux

datation	structure	couche	topo	pétrographie	matrice	type d'outil	intégrité	dim. maxi. conservée (mm)	ép. (mm)	masse (g.)	surface de travail	altérations	remarques
NF ind.	FS4			grès grossier	?	meule	fragment latéral	165	100	2550	plano-concave	légère rubéfaction	
NF ind.	FS4			grès grossier	bloc altéré	?	éclat thermique	155		920		légère rubéfaction	
NF ind.	FS4			grès grossier	?	?	bloc anguleux	132		1350			
Bze ancien	ST1057	US3		grès grossier	?	?	fragment ind.	75		160		légère rubéfaction	cassé en 4 fragments
Bze ancien	ST1071	US1	PT5647	grès	?	?	fragment ind.	68		130		rubéfaction	
Bze ancien	ST2030			roche grenue à feldspaths, quartz, etc.	bloc roulé	?	fragment ?	132		690			outil taillé ?
Bze ancien	ST2132			grès fin	?	?	éclat de taille ?	50		20			éclat de taille ?
Bze ancien	ST2136		PT2147	grès	?	?	fragment ind.	50		50		légère rubéfaction	
Néo/proto	ST1003			grès	?	?	fragment ind.	114		485		légère rubéfaction, fissures	
Néo/proto	ST2012		Pierre 1	grès grossier	?	?	fragment	125		1180		rubéfaction, fissures	une surface régulière avec quartz brisés en plan : diachase, faille ?
Néo/proto	ST2012		Pierre 2	grès grossier	?	?	fragment	136		860		rubéfaction, fissures	éclat thermique ?
Néo/proto	ST2012		Pierre 5	grès grossier	?	?	fragment	87		140		rubéfaction	éclat thermique ?
Néo/proto	ST2013		Pierre 1	grès grossier	?	?	2 éclats thermiques	80		100		rubéfaction	
Néo/proto	ST2013		Pierre 2	grès grossier	?	?	éclat thermique	112		360		rubéfaction	
Néo/proto	ST2013		Pierre 3	grès grossier	?	mouture ?	éclat thermique	112		185	? Petite surface plane	rubéfaction	
Néo/proto	ST2013		Pierre 4	grès grossier	?	?	éclat thermique	87		130		rubéfaction	
Néo/proto	ST2013		Pierre 5	grès	?	?	fragment	104		160			une surface régulière avec quartz brisés en plan : diachase, faille ?
Néo/proto	ST2013		Pierre 8	grès grossier	?	?	éclat thermique	62		160		rubéfaction	
Néo/proto	ST2013		Pierre 9	grès grossier	?	?	éclat thermique	88		280		rubéfaction	
Néo/proto	ST2013		Pierre 10	grès grossier	?	mouture	éclat thermique	134		360	oui petite surface	rubéfaction	
Néo/proto	ST2013		Pierre 12	grès grossier	?	?	éclat thermique	80		105		rubéfaction	

datation	structure	couche	topo	pétrographie	matrice	type d'outil	intégrité	dim. maxi. conservée (mm)	ép. (mm)	masse (g.)	surface de travail	altérations	remarques
Néo/proto	ST2013		Pierre 14	grès grossier	?	?	éclat thermique	78		130		rubéfaction	
Néo/proto	ST2013		Pierre 17	grès grossier	?	?	éclat thermique	60		70		rubéfaction	
Néo/proto	ST2013		sans n°	grès grossier	?	?	3 fragments			100		rubéfaction	
Néo/proto	ST2324			grès grossier à grauwacke	?	meule	quasi-entière	435	75	9695	plane	rubéfaction, fissures, cassures,	brisée en 4 gros fragments + cassures fraîches ; taillé sur côtés ?
Néo/proto	ST2321		PR08	grès	?	?	fragment ind.	130		525		rubéfaction	
Néo/proto	Tr18		HS	grès	bloc	meule	fragment mérial	275	110	9330	concave léger	rubéfaction	bloc taillé ?

N° structure	Type	Texture	Couleur surface	Couleur coeur	Inclusions	empreintes	Nb frags	<2cm	2 à 5 cm	5 à 8 cm	> 8 cm	Masse (en g)	A	B	C	Torchis e pâte p	Terre rubéefée	Terre cuite
22	fosse	limono-argileuse	beige	rougeâtre	minérale	non	2	19	2			48,4	2					
1001	fosse	limono-argileuse	rouge	rouge brique	minérale	non	24	19	5			39,3	24					24
1023	fosse	limono-argileuse	rougeâtre	rougeâtre	minérale	non	2	2	2			8,7	2					2
1049	fosse	limono-argileuse	brun clair	brun foncé	minérale	non	6	6	6			29,2	6					
1057	fosse	limono-argileuse	rougeâtre	noire	minérale, végétale	non	82	35	43			781,9					82	
1057	fosse	limono-argileuse	rougeâtre	noire	minérale, végétale	non	48	16	19			1208,2					48	
2012	fosse	limono-argileuse	rougeâtre	noire	minérale	non	1	1	1			0,4	1					1
2013	fosse	limono-argileuse	orange	rouge brique	minérale	non	1	1	1			0,4	1					1
2021	fosse	limono-argileuse	orange	rouge brique	minérale, végétale	non	8	7	1			8,9	8					8
2021	fosse	limono-argileuse	beige	brun foncé	minérale	non	50	19	44			706	50					
2022	fosse	limono-argileuse	beige	rouge brique	minérale, végétale	non	28	19	8			253					28	
2032	fosse	limono-argileuse	beige	rouge brique	minérale, végétale	non	47	12	31			1108,3					47	
2050	fosse	limono-argileuse	rouge	rouge brique	minérale	non	1	1				2,2	1					
2068	fosse	limono-argileuse	beige	orange	minérale	non	2	2				4,6	2					
2074	fosse	limono-argileuse	orange	rouge brique	minérale	non	1	1	1			83,6	1					1
2074	fosse	limono-argileuse	orange	rouge brique	minérale	non	2	1	1			7,4	2					2
2074	fosse	limono-argileuse	orange	rouge brique	minérale	non	3	2	2			72,7	3					3
2074	fosse	limono-argileuse	orange	rouge brique	minérale	non	1	1	1			7,5	1					1
2074	fosse	limono-argileuse	orange	rougeâtre	minérale	non	1	1	1			5,4	1					1
2087	fosse	limono-argileuse	orange	rouge brique	minérale	non	1	1	1			3,5	1					1
2093	fosse	limono-argileuse	beige	rouge brique	minérale, végétale	non	36	17	12			639,5					36	
2093	fosse	limono-argileuse	orange	noire	minérale	non	3	4				2,9	4					4
2093	fosse	limono-argileuse	beige	rouge brique	minérale	non	8	8	3			30,7	3					3
2093	fosse	limono-argileuse	orange	rouge brique	minérale	non	1	1	1			2,2	1					1
2093	fosse	limono-argileuse	orange	rouge brique	minérale	non	8	8	11			116	8					8
2093	fosse	limono-argileuse	rouge	noire	minérale	non	126	110	16			239,7	84					84
2093	fosse	limono-argileuse	rouge	rouge brique	minérale	non	52	27	27			272,3	52					52
2096	puits	limono-argileuse	beige	orange	minérale	non	1	1	1			38,7	1					1
2096	puits	limono-argileuse	orange	rouge brique	minérale	non	1	1	1			7,9	1					1
2096	puits	limono-argileuse	orange	orange	minérale	non	1	1	1			4,2	1					1
2096	puits	limono-argileuse	beige	jaune brun	minérale	non	1	1	1			88,3	1					1
2096	puits	limono-argileuse	brun clair	brun foncé	minérale, végétale	oui	45	32	10			1425,6	45					45
2096	puits	limono-argileuse	orange	rouge brique	minérale	non	1	1	1			7,7	1					1
2096	puits	limono-argileuse	beige	rougeâtre	minérale, végétale	oui	1	1	31			191,8	1					1
2096	puits	limono-argileuse	brun clair	brun foncé	minérale, végétale	oui	31	10	6			294,5	31					31
2096	puits	limono-argileuse	brun clair	brun foncé	minérale	non	10	10	6			825,6	10					10
2096	puits	limono-argileuse	brun clair	brun foncé	minérale, végétale	oui	64	58	6			739,9	64					64
2096	puits	limono-argileuse	brun foncé	brun foncé	minérale, végétale	oui	55	53	2			651,4	55					55
2096	puits	limono-argileuse	brun foncé	brun foncé	minérale, végétale	oui	41	41	41			519,9	41					41
2096	puits	limono-argileuse	brun clair	brun foncé	minérale, végétale	oui	133	14	99			2749	133					133
2096	puits	limono-argileuse	orange	brun foncé	minérale, végétale	non	5	5	1			67,7	5					5
2096	puits	limono-argileuse	orange	rouge brique	minérale	non	1	1	1			6,3	1					1
2096	puits	limono-argileuse	brun clair	brun foncé	minérale, végétale	oui	65	2	59			944,4	65					65
2097	trou de poteau	limono-argileuse	orange	rouge brique	minérale	non	7	4	3			13,5	7					7
2123	fosse	limono-argileuse	orange	orange	minérale	non	1	1				3,1	1					1
2128	fosse	limono-argileuse	orange	rouge brique	minérale	non	2	2				0,7	2					2
2154	fosse	limono-argileuse	orange	rouge brique	minérale	non	5	5				3,3	5					5
2195	fosse	limono-argileuse	rouge	rouge brique	minérale	non	2	2				3,2	2					2
2201	fosse	limono-argileuse	orange	rouge brique	minérale	non	5	5				37,6	5					5
2227	fosse	limono-argileuse	orange	rougeâtre	minérale	oui	3	1	1			111,2	2					2
2230	fosse	limono-argileuse	orange	rouge brique	minérale	non	1	1	1			20	1					1
2230	fosse	limono-argileuse	orange	rouge brique	minérale	non	140	116	24			302,5	140					140
2247	fosse	limono-argileuse	orange	rouge brique	minérale	non	1	1				4,5	1					1
2319	fosse	limono-argileuse	beige	noire	minérale	non	1	1	1			13,9	1					1
2319	fosse	limono-argileuse	beige	orange	minérale	non	1	1	1			56,7	1					1
2328	fosse	limono-argileuse	orange	orange	minérale	non	1	1				1,7	1					1
2328	fosse	limono-argileuse	orange	rouge brique	minérale	non	2	2				12,2	2					2
2328	fosse	limono-argileuse	beige	rougeâtre	minérale	non	1	1	1			11,1	1					1
2338	fosse	limono-argileuse	orange	rouge brique	minérale	non	9	7	2			1,3	9					9

Annexe 13 - Le Clos de Roque, Saint-Maximin-la-Sainte-Baume (83). Inventaire de la terre crue et de la terre cuite.

<b>Structure</b>	<b>type d'objets de parure</b>
ST2096	8 objets en coquille de Bivalve
ST1014	un fragment de coquille de <i>Cardiids</i>
ST2129	une coquille de <i>Columbella rustica</i>
ST1050	un petit Gastéropode
ST2074	une coquille de <i>Cardiids</i>
ST2074	un anneau en lignite



Structures du Bronze ancien phase 2

**ST2128-1 : clou de chaussure.**

Fer.

Masse 1,8 g.

Long. totale 18 mm ; diam. tête. 12 mm ; haut. tête 8 mm ; sect. 2,5 mm.

Clou de chaussure archéologiquement complet, tête conique régulière, sans décor visible sous la tête, tige recourbée.

**ST2143-1 : scorie ?**

Alliage base cuivre.

Masse 0,2 g.

Long. 8,5 mm ; larg. 5,7 mm ; ép. 1,4 mm.

Fragment informe avec une surface plate et une surface à l'aspect alvéolaire, peut-être scorifié/vitrifié, de couleur verdâtre à brun : scorie ?

**ST2148-1 : déchet ?**

Alliage base cuivre.

Masse 0,7 g.

Long. 9 mm ; larg. 6 mm ; ép. 5 mm.

Goutte plus ou moins ovale, aux surfaces bosselées et arrondies, de couleur verdâtre : déchet métallurgique ou objet fondu ?

Structures du Premier Âge du Fer

**ST2033-us1-1 : cupule ?**

Alliage base cuivre.

Masse 0,7 g.

Larg. cons. 13,5 mm ; haut. cons. 11 mm ; ép. 1 mm.

Objet en tôle courbe dans la largeur et courbe dans la hauteur, avec un bord épaissi orné d'une double nervure et d'un motif de double nervure en diagonale depuis le bord.

**ST2074-us1-1 : tige.**

Fer.

Masse 0,6 g.

Long. cons. 21 mm ; larg. 5 mm ; ép. 3 mm.

Tige légèrement courbe, avec une partie courte de section grossièrement quadrangulaire puis une partie longue de section triangulaire, avec peut-être un tranchant (?).

**ST2074-us2-1 : bille.**

Fer (?).

Masse 0,1 g.

Diam. 6 mm.

Bille sphérique de couleur rouge foncé à noir : bille d'oxyde de fer naturel ?

**ST2192-1 : pince à épiler.**

Alliage base cuivre.

Masse 2,4 g.

Long. cons. 77,2 mm ; larg. max. 5 mm ; ép. max. 1,4 mm.

Fragment de pince à épiler, patte allongée et étroite, à courbure convexe, de section rectangulaire, sans décor, extrémité aplatie.

**ST2192-2 : bille.**

Fer (?).

Masse 0,3 g.

Diam. 5,5 à 6,5 mm.

Bille sphérique de couleur brun à noir : bille d'oxyde de fer naturel ?

Gisement	Structure	US	Déc.	Localisation	Numéro	Type mobilier	Attribution	Remarques
STM11	ST2021	1		moitié sud		industrie osseuse	Néolithique final 2900-2700 av. J.-C.	tamis
STM11	ST2096	2	3	QSO-J9/79	PT1511	industrie osseuse	Néolithique récent 3650-3350 av. J.-C.	
STM11	ST2096	5	12	QNE-J9/88		industrie osseuse	Néolithique récent 3650-3350 av. J.-C.	brûlé, tamis
STM11	ST2096	4	21	QNE-J9/87-88-97-98		industrie osseuse	Néolithique récent 3650-3350 av. J.-C.	tamis
STM11	ST2096	12		PR191, fond puits	PT7110	industrie osseuse	Néolithique récent 3650-3350 av. J.-C.	tamis
STM11	ST2192	1		moitié nord		industrie osseuse	Hallstatt ancien	brûlé, tamis
STM11	ST2225	1		moitié nord		industrie osseuse	Néolithique moyen I VBQ 4750-4450 av. J.-C.	
STM11	ST2225	1		moitié nord	PT6470	industrie osseuse	Néolithique moyen I VBQ 4750-4450 av. J.-C.	2 morceaux
STM11	ST2326	1		moitié sud		industrie osseuse	Néolithique final Ind 3200-2700	

Annexe 16 - Le Clos de Roque, Saint-Maximin-la-Sainte-Baume (83). Inventaire de l'industrie osseuse.

Structures	NR det.	NR indet.	Total
FS 3	1	0	1
FS 4	44	133	177
FS 18	24	0	24
FS 21	124	66	190
FS 22	3	6	9
FS 23	6	12	18
FS 25	41	1	42
FS 28	11	19	30
FS 31	6	3	9
FS36	58	0	58
FS 40	13	29	42
Fo 20	4	3	7
ST 1001	1	27	28
ST 1003	20	96	116
ST 1008	0	6	6
ST 1012	40	189	229
ST 1014	22	150	172
ST 1023	0	3	3
ST 1042	35	0	35
ST 1044	0	4	4
ST 1048	8	7	15
ST 1049	0	23	23
ST 1050	4	96	100
ST 1055	7	195	202
ST 1057	164	1314	1478
ST 1062	108	585	693
ST 1063	2	78	80
ST 1070	1	0	1
ST 1071	9	114	123
ST 2001	7	10	17
ST 2002	20	145	165
ST 2006	54	6	60
ST 2009	0	1	1
ST 2011	0	8	8
ST 2012	0	9	9
ST 2013	0	2	2
ST 2014	2	23	25
ST 2020	0	13	13
ST 2021	123	1239	1362
ST 2021	1	0	1
ST 2023	1	0	1
ST 2024	4	39	43
ST 2031	0	7	7
ST 2032	16	135	151
ST 2033	0	3	3
ST 2034	0	6	6
ST 2047	2	10	12
ST 2049	1	17	18
ST 2050	14	75	89
ST 2056	4	15	19
ST 2058	9	1	10
ST 2067	1	13	14
ST 2068	0	5	5
ST 2071	0	8	8
ST 2073	17	84	101
ST 2074	117	1146	1263
ST 2075	0	40	40
ST 2080	2	0	2
ST 2084	0	6	6
ST 2085	2	33	35
ST 2087	2	130	132
ST 2088	2	32	34
ST 2090	1	12	13
ST 2093	22	181	203
ST 2094	2	2	4
ST 2096	351	2552	2903

Structures	NR det.	NR indet.	Total
ST 2101	0	5	5
ST 2115	2	10	12
ST 2122	0	5	5
ST 2123	0	18	18
ST 2124	0	4	4
ST 2125	0	1	1
ST 2126	5	26	31
ST 2127	1	21	22
ST 2128	1	11	12
ST 2129	15	44	59
ST 2132	33	123	156
ST 2136	10	48	58
ST 2139	0	3	3
ST 2143	3	0	3
ST 2144	0	8	8
ST 2145	0	8	8
ST 2146	0	1	1
ST 2148	0	11	11
ST 2149	0	4	4
ST 2154	0	6	6
ST 2155	0	27	27
ST 2158	0	7	7
ST 2162	0	7	7
ST 2185	0	40	40
ST 2187	1	13	14
ST 2189	0	5	5
ST 2190	0	14	14
ST 2191	1	67	68
ST 2192	2	285	287
ST 2194	2	39	41
ST 2195	0	5	5
ST 2199	0	8	8
ST 2201	0	15	15
ST 2209	0	2	2
ST 2215	11	357	368
ST 2217	1	0	1
ST 2224	6	6	12
ST 2225	192	137	329
ST 2226	15	50	65
ST 2227	12	103	115
ST 2229	0	19	19
ST 2230	7	150	157
ST 2236	1	4	5
ST 2240	1	3	4
ST 2241	0	9	9
ST 2247	1	0	1
ST 2250	0	2	2
ST 2257	1	0	1
ST 2261	0	1	1
ST 2264	0	1	1
ST 2267	0	4	4
ST 2271	2	3	5
ST 2278	0	8	8
ST 2294	1	3	4
ST 2311	0	15	15
ST 2312	2	5	7
ST 2319	113	1022	1135
ST 2321	0	4	4
ST 2325	0	22	22
ST 2326	4	74	78
ST 2327	4	6	10
ST 2328	9	30	39
ST 2329	1	0	1
ST 2333	2	50	52
ST 2338	4	11	15
<b>Total général</b>	<b>1999</b>	<b>12157</b>	<b>14156</b>

Annexe 17 - Le Clos de Roque, Saint-Maximin-la-Sainte-Baume (83). Inventaire de la faune vertébrée.

Structures	type de restes
ST2205	quelques ossements
ST2209	un individu
ST2215	un individu
ST2224	un individu
ST2247	quelques ossements
FS23	un individu
ST2096	une dent
ST1062	une dent

ST	U.S.	Décapage	Orientation	Attribution	Quercus f.c.	Quercus sp.	cf. Quercus f.c.	Quercus coccofera - Q. ilex	Acer type campestre	Acer type platanoides/pseudoplatannus	Fraxinus sp.	Ulmus sp.	Salix sp.	Juglans regia	Prunus spinosa/mahaleb	cf. Prunus sp.	Maloidae	cf. Maloidae	Gramineae	Angiosperme	Indéterminé	Indéterminable	Total	Nombre de taxons	
2015	1			Période moderne										100									100	1	
2195	10		1/2 E	Hallstatt ancien						7													7	1	
2074	2A		1/2 S	Hallstatt ancien	97							3											100	2	
2074	2B		1/2 S	Hallstatt ancien	17												1						18	2	
2074	4		1/2 S	Hallstatt ancien	22																		22	1	
2192	1		1/2 S	Hallstatt ancien	2		3																5	2	
2230			1/2 N	Hallstatt ancien	98		2																100	2	
2230	1		1/2 S	Hallstatt ancien	40																		40	1	
1071	1			Bronze ancien phase 2	74	20																7	101	2	
1071	1			Bronze ancien phase 2	92	4	4																100	3	
1071	1			Bronze ancien phase 2	1																		1	1	
1071	1			Bronze ancien phase 2	1																		1	1	
2125	1		1/2 N	Bronze ancien phase 2	15				30												1	2	48	2	
1057	1			Néolithique moyen VBQ	31		11													7		2	51	2	
1057	1		1/2 S	Néolithique moyen VBQ	24		26													1		1	52	2	
1057	3			Néolithique moyen VBQ	21		23													5		1	50	2	
2313	1,2			Pré-Proto	30																		30	1	
1062	3		1/2 S	Néolithique final phase 2			1																1	1	
1014	1			Néolithique final phase 2	10																		1	11	1
1014	1			Néolithique final phase 2	49																			49	1
2311	2	2		Néolithique final phase 2	2		7																9	2	
2021	1			Néolithique final phase 2	2		16					1										2	21	3	
2021	1			Néolithique final phase 2	24		8																32	2	
2021	1			Néolithique final phase 2	26		23					1											50	3	
2021	1			Néolithique final phase 2	50																		50	1	
2093	5	2	1/2 N	Néolithique final phase 2	96		1					2					95	3				1	198	5	
2093	5	2	1/2 N	Néolithique final phase 2	96		1					2					95	3				5	202	5	
2093	5	3		Néolithique final phase 2	29		15														4		2	50	2
2093	7	5	1/2 N	Néolithique final phase 2	26		18														4		48	2	
2093	8	6		Néolithique final phase 2	3																		3	1	
1042	1		1/2 N	Néolithique final ind.	8	1			30														1	40	3
2090	1			Néolithique final ind.			8																8	1	
2002	1			Néolithique final ind.	49																			50	2
2032	1			Néolithique final ind.	48																	2		50	1
2096	5		QNE	Néolithique récent	27		8																16	51	2
2096	11	27	QNE	Néolithique récent	23	13	5	2															3	46	4
2096	11		QNE	Néolithique récent	49		1																	50	2
2096	6		QNE	Néolithique récent	45			1									2							48	3
2096	14			Néolithique récent	50																			50	1
2096	15			Néolithique récent	47												3							50	2
2096	1		1 QSO	Néolithique récent	8	25		4															8	45	3
2096	1		QSO	Néolithique récent	48	2																		50	2
2096				Néolithique récent	24																			63	2
2096			1/2 N	Néolithique récent	2												39						20	72	
2096	1		QSO	Néolithique récent	1	2		6									18						2	13	5
2096	1	6	QNE	Néolithique récent	2												2	1					1	13	5
2096	11	11	QNE	Néolithique récent	7	20																		2	1
2096	16			Néolithique récent	1																		3	31	3
2096	2	5		Néolithique récent	1	6	3	2															2	3	2
2096	2			Néolithique récent	1																		4	16	4
2096	2		QSO	Néolithique récent	1		1																2	2	2
2096	2	5	QSO	Néolithique récent	1		2																3	72	3
2096	2	2	QSO	Néolithique récent	10																			10	1
2096	2		QSO	Néolithique récent	4	2	3																1	10	3
2096	2	5		Néolithique récent	2	18	1	9															1	31	4
2096	15			Néolithique récent	20			8					3			1	1	2			3		1	39	6
2096				Néolithique récent	38		3										11	2	1			2	10	67	5
2096	14		QSE	Néolithique récent	3		2																5	2	2
2096	15		1/2 N	Néolithique récent	1										1		10						1	13	3
2096	15		1/2 N	Néolithique récent													1						2	3	1
2096	16			Néolithique récent													1						4	5	1
2096	16			Néolithique récent	8		2										1	1	2				1	15	5
2096	15		1/2 N	Néolithique récent					1								11				2		1	15	2
2096				Néolithique récent	2																		2	2	1
2096	16			Néolithique récent	35		16	1									7				3		5	67	4
2096				Néolithique récent	2																			2	1
2096	15		1/2 N	Néolithique récent	2																		2	2	1
2096	15			Néolithique récent	9												1							10	2
2096	16			Néolithique récent	6												3							9	2
2096	16			Néolithique récent	14		4											3					1	101	4
2319	4		1/2 S	Néolithique moyen VBQ	7		3		1								79	3				1	1	13	3
				Total	1583	89	241	37	62	7	2	7	3	100	1	1	384	16	3	30	6	88	2660		

Annexe 19 - Le Clos de Roque, Saint-Maximin-la-Sainte-Baume (83). Inventaire des charbons de bois et des bois imbibés.

		St. 2096/ fond -5.8/-5.9 m					PR 189	PR 191	Total
Nom latin	Nom français	Type de reste	10 mm imbibé	1 mm sec	0.5 mm sec x10	0.5 mm sec reste	0.2 mm		
<b>carbo</b>									
<b>Plantes cultivées/domestiquées</b>									
Cerealia	céréale	caryopse		1					1
Triticum sp.	blé	caryopse		1					1
Triticum monococcum/dicoccum	engrain/amidonnier	caryopse	1						1
Triticum monococcum/dicoccum	engrain/amidonnier	furca		1					1
Triticum monococcum	engrain	furca		1					1
Triticum aestivum/durum/turgidum	blé nu	caryopse	1						1
Papaver somniferum	pavot somnifère	graine		3	590				593
<b>Arbres et arbustes</b>									
Cornus sanguinea	cornouiller sanguin	graine	7	1					8
Corylus avellana	noisetier	coque	26				x	x	26
Crataegus sp.	aubépine	graine	3						3
Crataegus monogyna	aubépine à un style	graine	450				x	x	450
Crataegus cf. oxyantha	aubépine épineuse	graine	1						1
Pistacia terebinthus	pistachier térébinthe	graine	3						3
Prunus spinosa	prunellier	noyau	30				x	x	30
Rosaceae	Rosacées	épine	13	5	90				108
Rubus idaeus	framboisier	graine		49	80				129
cf. Salix sp.	saule	bourgeon			10				10
Sambucus sp.	sureau	graine		13	120				133
Sambucus ebulus	sureau yéble	graine		53	80				133
Quercus sp.	chêne	gland fgt		1					1
Quercus sp.	chêne	cupule	1						1
Quercus sp.	chêne	bourgeon	5	4	50				59
Ulmus sp.	orme	bourgeon	1	4	10				15
Virburnum lantana	viome lantane	graine	7	1	10				18
Vitis sp.	vigne sauvage	pépin						11	11
<b>Plantes adventices des cultures</b>									
Ajuga chamaepitys	bugle petit pin	graine		3					3
Anagallis arvensis	mouon des champs	graine		2	20				22
Capsella bursa-pastoris	capselle bourse-à-pasteur	graine				x			x
Chenopodium album	chénopode blanc	graine		16	320				336
Euphorbia falcata	euphorbe en faux	graine			10				10
Euphorbia helioscopia	euphorbe réveille-matin	graine	1	5	20				26
cf. Fallopia convolvulus	vrillée faux-liseron	graine			20				20
Fallopia convolvulus	vrillée faux-liseron	graine		19	20				39
Fumaria officinalis	fumeterre officinale	graine		100	230				330
Polygonum aviculare	renouée des oiseaux	graine		41	90				131
Reseda luteola	gaude	graine		1	50				51
Reseda phyteuma	réséda raiponce	graine		4	20				24
Stachys annua	épière annuelle	graine		5					5
cf. Thymelaea passerina	thymélée passerine	graine			10				10
Thymelaea passerina	thymélée passerine	graine		5					5
Valeriana dentata	valérianelle dentée	graine				x			x
<b>Plantes rudérales</b>									
Arenaria serpyllifolia	sabline à feuille de serpolet	graine				x			x
Foeniculum vulgare	fenouil commun	graine	1						1
Galium aparine/spurium	gaillet gratteron/bâtard	graine		1					1
Heliotropium europaeum	héliotrope d'Europe	graine				x			x
Hypericum perforatum	millepertuis perforé	graine			50				50
Physalis alkekengi	coqueret alkékéngé	graine		4	10				14
Polygonum lapatifolium/persicaria	renouée à feuille de patience/persicaire	graine		1	10				11
Potentilla reptans	potentille rampante	graine		31	830				861
Ranunculus bulbosus/repens	renoncule bulbeuse/rampante	graine		8	20				28
Ranunculus sardous	renoncule sarde	graine		6	20				26
Saponaria officinalis	saponaire officinale	graine				x			x
Urtica dioica	ortie dioïque	graine			10				10
Verbena officinalis	verveine officinale	graine		2	90				92
<b>Pelouses sèches basophiles</b>									
Medicago minima	luzerne naine	épine du fruit	7						7
Taenidium chamaedrys	germandrée petit chêne	graine		1					1
<b>Ourlets forestiers/bois</b>									
Agrimonia eupatoria	aigremoine eupatoire	graine	2						2
Clinopodium vulgare	sariette vulgaire	graine		1					1
Origanum vulgare	mariolaine sauvage	graine			20				20
Taenidium scorodonia	sauge des bois	graine		1					1
<b>Milieux humides</b>									
Eleocharis palustris	héléocharis des marais	graine			20				20
<b>Divers</b>									
Brassicaceae	Crucifères	graine			10				10
Caryophyllaceae	Caryophyllacées	graine			10				10
Carduus/Cirsium	chardon/cirse	graine			10				10
Galium sp.	gaillet	graine			10				10
Apiaceae	Ombellifères	graine		1					1
Chenopodium sp.	chénopode	graine			10				10
Potentilla sp.	potentille	graine	1	28	940				969
Polygonum sp.	renouée	graine		8	20				28
Viola sp.	violette	graine		30	60				90
Poaceae (carbonisé et imbibé)	Graminées	caryopse		4					4
Carex sp.	laiche	graine		22	50				72
Verbascum sp.	molène	graine				x			x
Actinidia deliciosa	kiwi	graine		1					1
Chair de fruit, fragment				7					7
Bourgeons				4	20				24
Coprolithes					10				10
Chara sp.	chara	oospore			10		x		10
Indeterminata				19	160				179
<b>TOTAL</b>									<b>5341</b>



Echantillon	Poids (g)
STM 1	16.1
STM 2	24.5
STM 3	23.1
STM 4	22.8
STM 5	26
Moyenne poids : 22.5	

Pollen d'arbres	Comptage brut	Pourcentage
<i>Abies</i>	4	1.1
<i>Alnus</i>	4	1.1
<i>Corylus</i>	2	0.5
<i>Pinus</i>	70	19
<i>Pistacia</i>	2	0.5
<i>Prunus</i>	2	0.5
<i>Quercus pubescens</i> t.	60	16.3
<i>Vitis</i>	6	1.6
Pollen d'herbes	Comptage brut	Pourcentage
<i>Ammi</i>	4	1.1
<i>Artemisia</i>	20	5.4
<i>Aster</i>	6	1.6
<i>Blackstonia</i>	18	4.9
<i>Centaurea nigra</i>	2	0.5
Cerealia	54	14.6
Chenopodiaceae	4	1.1
Cyperaceae	2	0.5
<i>Galium</i>	2	0.5
<i>Helianthemum</i>	4	1.1
<i>Mentha</i>	2	0.5
<i>Ononis</i>	4	1.1
<i>Plantago lanceolata</i>	4	1.1
Poaceae	78	21.2
<i>Polygonum aviculare</i>	2	0.5
<i>Reseda</i>	2	0.5
<i>Rumex</i>	10	2.7
<i>Secale</i>	2	0.5

Taxon	Effectif
<b>COLEOPTERA</b>	
<b>Anthicidae</b>	
<i>Leptaleus rodriguesi</i> (Latreille 1804)	9
<i>Hirticomus hispidus</i> (Rossi 1792)	4
<b>Aphodiidae</b>	
<i>Calamosternus granarius</i> (Linnaeus 1767)	1
<i>Labarrus lividus</i> (Olivier 1789)	8
<i>Platytomus tibialis</i> (Fabricius 1798)	3
<b>Carabidae</b>	
<i>Microlestes</i> sp.	2
<i>Paratachys bistriatus</i> (Duftschmid 1812)	2
<b>Clambidae</b>	
Clambidae indet.	1
<b>Cryptophagidae</b>	
<i>Atomaria</i> sp.	1
<i>Cryptophagus</i> sp.	1
<b>Curculionidae</b>	
<i>Sitona</i> sp.	1
<b>Geotrupidae</b>	
<i>Geotrupes</i> sp.	1
<b>Histeridae</b>	
<i>Acritus nigricornis</i> (Hoffmann 1803)	1
<b>Hydrophilidae</b>	
<i>Helophorus</i> spp.	2
<b>Laemphloeidae</b>	
<i>Cryptolestes ferrugineus</i> (Stephens 1831)	1
<b>Latridiidae</b>	
<i>Corticaria</i> sp.	1
<b>Scarabaeidae</b>	
<i>Caccobius schreberi</i> (Linnaeus 1758)	2
<i>Gymnopleurus</i> cf. <i>sturmii</i> MacLeay 1821	1
<i>Scarabaeus typhon</i> (Fischer 1824)	1
<b>Scolytidae</b>	
<i>Scolytus rugulosus</i> (Muller 1818)	1
<b>Staphylinidae</b>	
Aleocharinae indet.	2
<i>Anotylus inustus</i> (Gravenhorst 1806)	1
<i>Carpelimus</i> sp.	2
<i>Falagria sulcata</i> (Paykull, 1789)	1
<i>Gabrius/Philonthus</i> sp.	2
<i>Platystethus cornutus</i>	18
<i>Gabrius/Philonthus</i> sp.	2
<i>Platystethus cornutus</i> (Gravenhorst 1802)	18
<i>Rugilus</i> cf. <i>orbiculatus</i> (Paykull 1789)	1
Staphylinidae indet.	14
<b>HYMENOPTERA</b>	
<b>Formicidae</b>	
<i>Formica</i> sp.	1
<i>Myrmecina graminicola</i> (Latreille 1802)	1
<i>Pheidole pallidula</i> (Nylander 1849)	30
<i>Plagiolepis pygmaea</i> (Latreille 1798)	3
<i>Solenopsis</i> sp.	7
<i>Tetramorium caespitum</i> (Linnaeus 1758)	2
<b>SIPHONAPTERA</b>	
<b>Pulicidae</b>	
<i>Pulex irritans</i> Linnaeus 1758	3

Annexe 22 - Le Clos de Roque, Saint-Maximin-la-Sainte-Baume (83). Inventaire des restes entomologiques de la ST2096.





Beta Analytic Inc.  
4985 SW 74 Court  
Miami, Florida 33155 USA  
Tel: 305 667 5167  
Fax: 305 663 0964  
Beta@radiocarbon.com  
www.radiocarbon.com

Darden Hood  
President  
Ronald Hatfield  
Christopher Patrick  
Deputy Directors

May 14, 2012

Ms. Maxime Remicourt  
Paleotime  
225 rue du Lycee Polonais  
Villard de Lans, 38250  
France

RE: Radiocarbon Dating Results For Samples STM11-FS23-US1702, STM11-ST2021-PR149, STM11-ST2205, STM11-ST2209, STM11-ST2215, STM11-ST2224, STM11-ST2247

Dear Ms. Remicourt:

Enclosed are the radiocarbon dating results for seven samples recently sent to us. They each provided plenty of carbon for accurate measurements and all the analyses proceeded normally. The report sheet contains the dating result, method used, material type, applied pretreatment and two-sigma calendar calibration result (where applicable) for each sample.

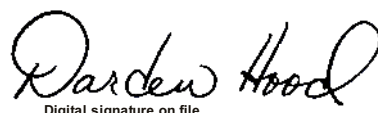
This report has been both mailed and sent electronically, along with a separate publication quality calendar calibration page. This is useful for incorporating directly into your reports. It is also digitally available in Windows metafile (.wmf) format upon request. Calibrations are calculated using the newest (2009) calibration database. References are quoted on the bottom of each calibration page. Multiple probability ranges may appear in some cases, due to short-term variations in the atmospheric <sup>14</sup>C contents at certain time periods. Examining the calibration graphs will help you understand this phenomenon. Calibrations may not be included with all analyses. The upper limit is about 20,000 years, the lower limit is about 250 years and some material types are not suitable for calibration (e.g. water).

We analyzed these samples on a sole priority basis. No students or intern researchers who would necessarily be distracted with other obligations and priorities were used in the analyses. We analyzed them with the combined attention of our entire professional staff.

Information pages are enclosed with the mailed copy of this report. They should answer most of questions you may have. If they do not, or if you have specific questions about the analyses, please do not hesitate to contact us. Someone is always available to answer your questions.

Our invoice has been sent separately. Thank you for your prior efforts in arranging payment. As always, if you have any questions or would like to discuss the results, don't hesitate to contact me.

Sincerely,



Darden Hood

Digital signature on file

## REPORT OF RADIOCARBON DATING ANALYSES

Ms. Maxime Remicourt

Report Date: 5/14/2012

Paleotime

Material Received: 5/4/2012

Sample Data	Measured Radiocarbon Age	13C/12C Ratio	Conventional Radiocarbon Age(*)
Beta - 321564 SAMPLE : STM11-FS23-US1702 ANALYSIS : AMS-Standard delivery MATERIAL/PRETREATMENT : (bone collagen): collagen extraction: with alkali 2 SIGMA CALIBRATION : Cal BC 3090 to 2910 (Cal BP 5040 to 4860)	4290 +/- 30 BP	-19.7 o/oo	4380 +/- 30 BP
Beta - 321565 SAMPLE : STM11-ST2021-PR149 ANALYSIS : AMS-Standard delivery MATERIAL/PRETREATMENT : (charred material): acid/alkali/acid 2 SIGMA CALIBRATION : Cal BC 2900 to 2860 (Cal BP 4850 to 4810) AND Cal BC 2800 to 2760 (Cal BP 4760 to 4710) Cal BC 2720 to 2710 (Cal BP 4660 to 4660)	4210 +/- 30 BP	-24.0 o/oo	4230 +/- 30 BP
Beta - 321566 SAMPLE : STM11-ST2205 ANALYSIS : AMS-Standard delivery MATERIAL/PRETREATMENT : (bone collagen): collagen extraction: with alkali 2 SIGMA CALIBRATION : Cal BC 4480 to 4480 (Cal BP 6430 to 6430) AND Cal BC 4460 to 4340 (Cal BP 6410 to 6290)	5490 +/- 40 BP	-20.2 o/oo	5570 +/- 40 BP
Beta - 321567 SAMPLE : STM11-ST2209 ANALYSIS : AMS-Standard delivery MATERIAL/PRETREATMENT : (bone collagen): collagen extraction: with alkali 2 SIGMA CALIBRATION : Cal BC 4680 to 4630 (Cal BP 6630 to 6580) AND Cal BC 4620 to 4460 (Cal BP 6570 to 6410)	5620 +/- 40 BP	-19.5 o/oo	5710 +/- 40 BP

Dates are reported as RCYBP (radiocarbon years before present, "present" = AD 1950). By international convention, the modern reference standard was 95% the 14C activity of the National Institute of Standards and Technology (NIST) Oxalic Acid (SRM 4990C) and calculated using the Libby 14C half-life (5568 years). Quoted errors represent 1 relative standard deviation statistics (68% probability) counting errors based on the combined measurements of the sample, background, and modern reference standards. Measured 13C/12C ratios (delta 13C) were calculated relative to the PDB-1 standard.

The Conventional Radiocarbon Age represents the Measured Radiocarbon Age corrected for isotopic fractionation, calculated using the delta 13C. On rare occasion where the Conventional Radiocarbon Age was calculated using an assumed delta 13C, the ratio and the Conventional Radiocarbon Age will be followed by "\*\*". The Conventional Radiocarbon Age is not calendar calibrated. When available, the Calendar Calibrated result is calculated from the Conventional Radiocarbon Age and is listed as the "Two Sigma Calibrated Result" for each sample.

*Annexe 24* - Le Clos de Roque, Saint-Maximin-la-Sainte-Baume (83). Rapport sur les datations radiocarbones (Beta Analytic Laboratory).

## REPORT OF RADIOCARBON DATING ANALYSES

Ms. Maxime Remicourt

Report Date: 5/14/2012

Sample Data	Measured Radiocarbon Age	13C/12C Ratio	Conventional Radiocarbon Age(*)
Beta - 321568 SAMPLE : STM11-ST2215 ANALYSIS : AMS-Standard delivery MATERIAL/PRETREATMENT : (bone collagen): collagen extraction: with alkali 2 SIGMA CALIBRATION : Cal BC 4690 to 4460 (Cal BP 6640 to 6410)	5640 +/- 40 BP	-20.0 o/oo	5720 +/- 40 BP
Beta - 321569 SAMPLE : STM11-ST2224 ANALYSIS : AMS-Standard delivery MATERIAL/PRETREATMENT : (bone collagen): collagen extraction: with alkali 2 SIGMA CALIBRATION : Cal BC 4710 to 4540 (Cal BP 6660 to 6490)	5690 +/- 30 BP	-19.4 o/oo	5780 +/- 30 BP
Beta - 321570 SAMPLE : STM11-ST2247 ANALYSIS : AMS-Standard delivery MATERIAL/PRETREATMENT : (bone collagen): collagen extraction: with alkali 2 SIGMA CALIBRATION : Cal BC 3260 to 3250 (Cal BP 5210 to 5200) AND Cal BC 3100 to 2920 (Cal BP 5050 to 4870)	4300 +/- 30 BP	-19.2 o/oo	4400 +/- 30 BP

Dates are reported as RCYBP (radiocarbon years before present, "present" = AD 1950). By international convention, the modern reference standard was 95% the <sup>14</sup>C activity of the National Institute of Standards and Technology (NIST) Oxalic Acid (SRM 4990C) and calculated using the Libby <sup>14</sup>C half-life (5568 years). Quoted errors represent 1 relative standard deviation statistics (68% probability) counting errors based on the combined measurements of the sample, background, and modern reference standards. Measured <sup>13</sup>C/<sup>12</sup>C ratios (delta <sup>13</sup>C) were calculated relative to the PDB-1 standard.

The Conventional Radiocarbon Age represents the Measured Radiocarbon Age corrected for isotopic fractionation, calculated using the delta <sup>13</sup>C. On rare occasion where the Conventional Radiocarbon Age was calculated using an assumed delta <sup>13</sup>C, the ratio and the Conventional Radiocarbon Age will be followed by "\*\*\*\*". The Conventional Radiocarbon Age is not calendar calibrated. When available, the Calendar Calibrated result is calculated from the Conventional Radiocarbon Age and is listed as the "Two Sigma Calibrated Result" for each sample.

*Annexe 24* - Le Clos de Roque, Saint-Maximin-la-Sainte-Baume (83). Rapport sur les datations radiocarbones (Beta Analytic Laboratory).



## CALIBRATION OF RADIOCARBON AGE TO CALENDAR YEARS

(Variables: C13/C12=-19.7:lab. mult=1)

**Laboratory number: Beta-321564**

**Conventional radiocarbon age: 4380±30 BP**

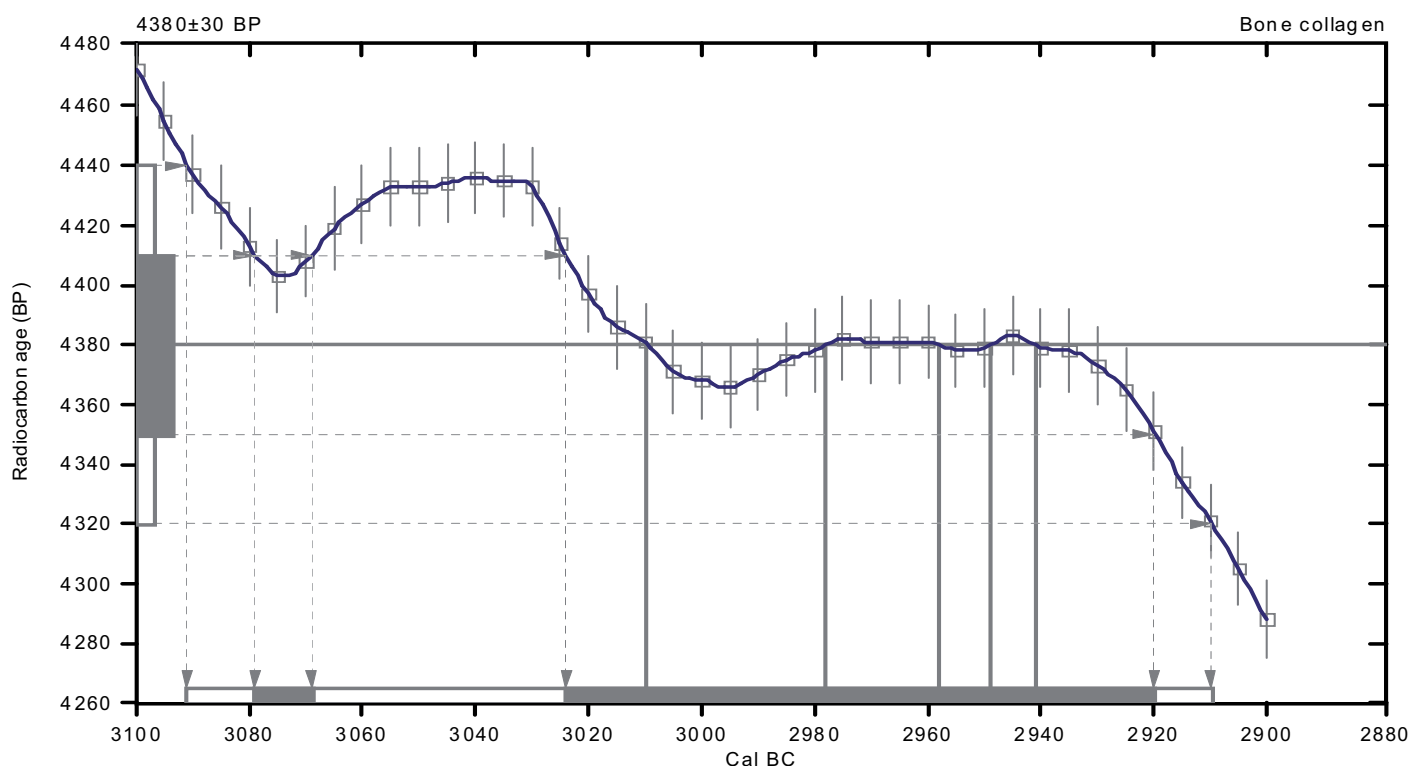
**2 Sigma calibrated result: Cal BC 3090 to 2910 (Cal BP 5040 to 4860)  
(95% probability)**

Intercept data

Intercepts of radiocarbon age  
with calibration curve:

Cal BC 3010 (Cal BP 4960) and  
Cal BC 2980 (Cal BP 4930) and  
Cal BC 2960 (Cal BP 4910) and  
Cal BC 2950 (Cal BP 4900) and  
Cal BC 2940 (Cal BP 4890)

1 Sigma calibrated results: Cal BC 3080 to 3070 (Cal BP 5030 to 5020) and  
(68% probability) Cal BC 3020 to 2920 (Cal BP 4970 to 4870)



### References:

#### Database used

INTCAL09

#### References to INTCAL09 database

Heaton, et.al., 2009, Radiocarbon 51(4):1151-1164, Reimer, et.al., 2009, Radiocarbon 51(4):1111-1150, Stuiver, et.al., 1993, Radiocarbon 35(1):137-189, Oeschger, et.al., 1975, Tellus 27:168-192

#### Mathematics used for calibration scenario

A Simplified Approach to Calibrating C14 Dates

Talma, A. S., Vogel, J. C., 1993, Radiocarbon 35(2):317-322

# CALIBRATION OF RADIOCARBON AGE TO CALENDAR YEARS

(Variables: C13/C12=-24:lab. mult=1)

**Laboratory number: Beta-321565**

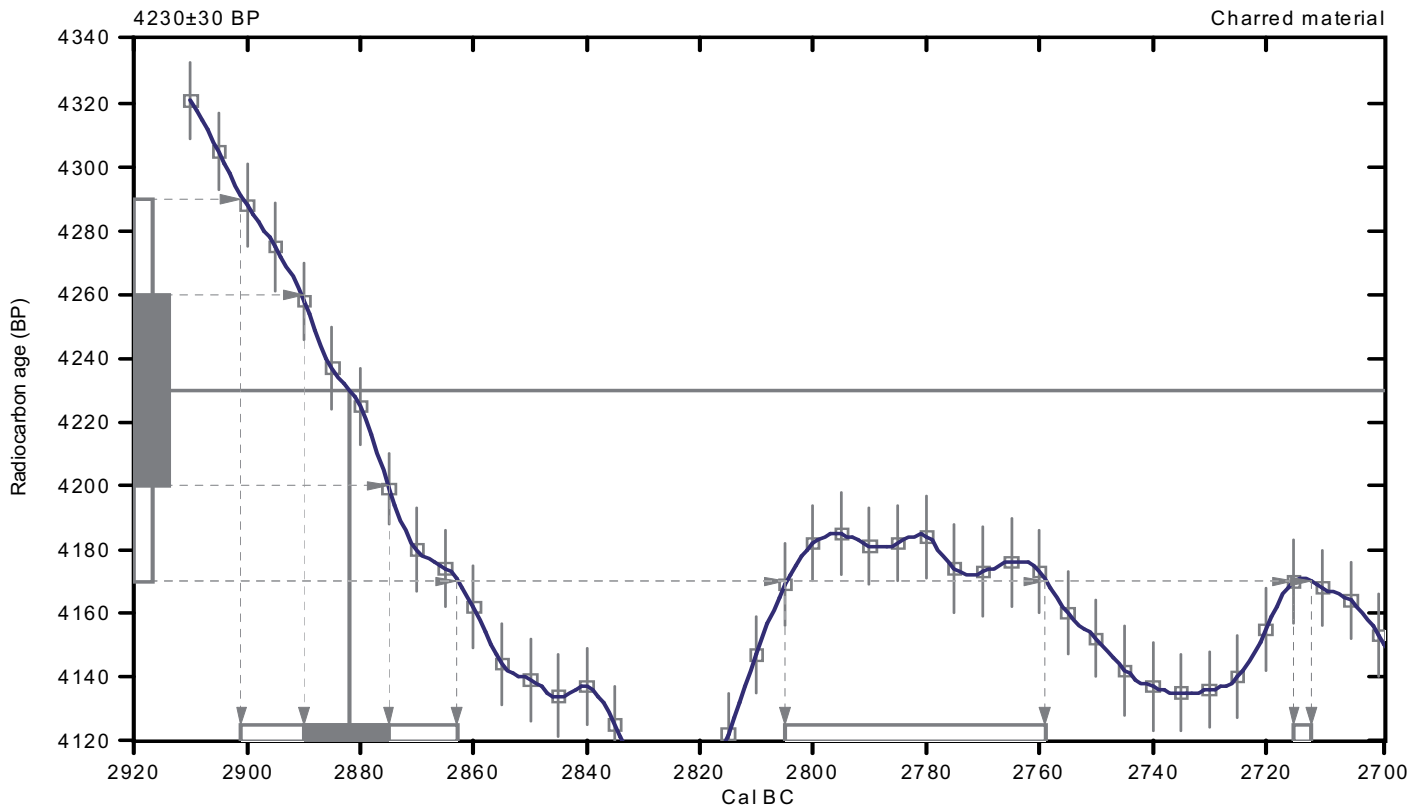
**Conventional radiocarbon age: 4230±30 BP**

**2 Sigma calibrated results: Cal BC 2900 to 2860 (Cal BP 4850 to 4810) and  
(95% probability) Cal BC 2800 to 2760 (Cal BP 4760 to 4710) and  
Cal BC 2720 to 2710 (Cal BP 4660 to 4660)**

Intercept data

Intercept of radiocarbon age  
with calibration curve: Cal BC 2880 (Cal BP 4830)

1 Sigma calibrated result: Cal BC 2890 to 2880 (Cal BP 4840 to 4820)  
(68% probability)



## References:

### Database used

INTCAL09

### References to INTCAL09 database

Heaton, et al., 2009, *Radiocarbon* 51(4):1151-1164, Reimer, et al., 2009, *Radiocarbon* 51(4):1111-1150, Stuiver, et al., 1993, *Radiocarbon* 35(1):137-189, Oeschger, et al., 1975, *Tellus* 27:168-192

### Mathematics used for calibration scenario

A Simplified Approach to Calibrating C14 Dates

Talma, A. S., Vogel, J. C., 1993, *Radiocarbon* 35(2):317-322

# CALIBRATION OF RADIOCARBON AGE TO CALENDAR YEARS

(Variables: C13/C12=-20.2:lab. mult=1)

**Laboratory number: Beta-321566**

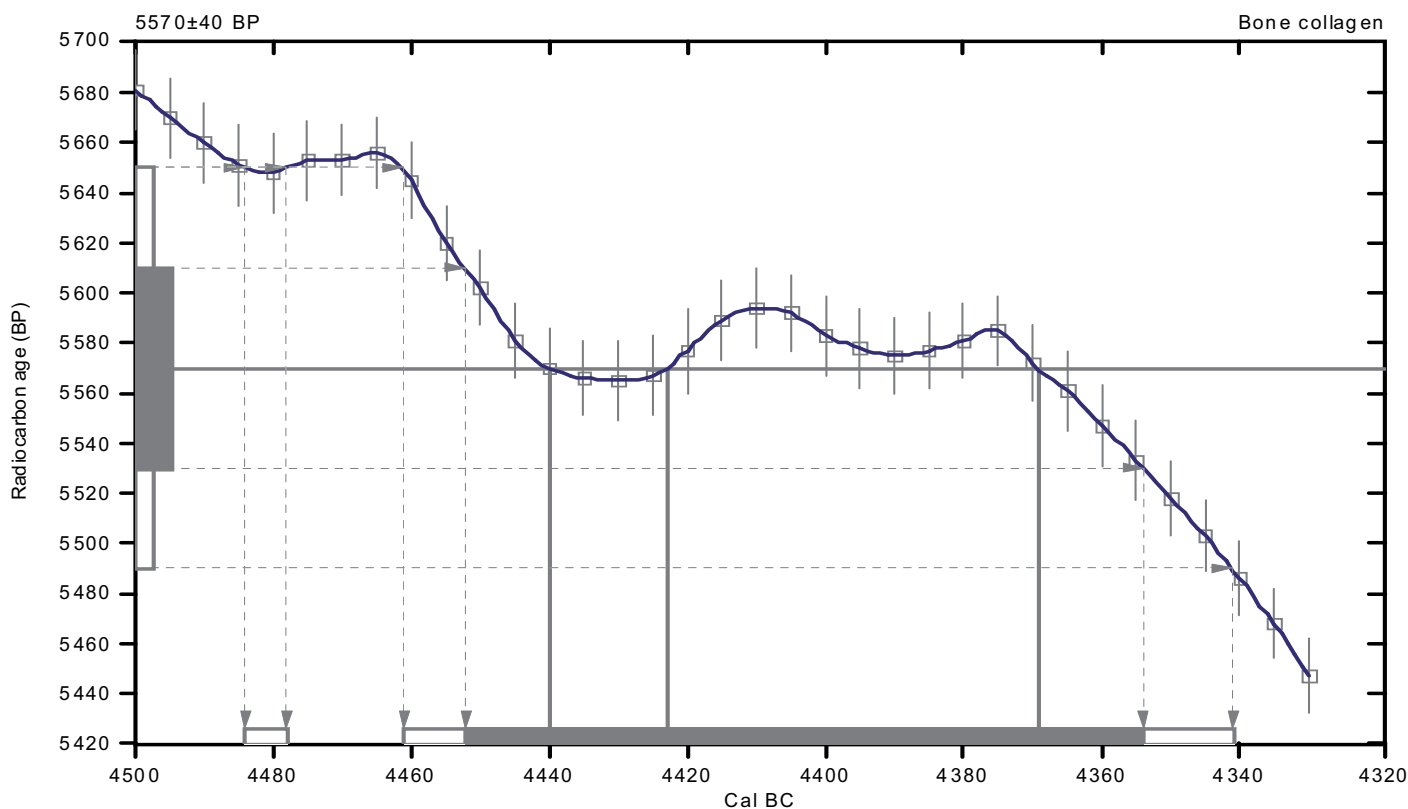
**Conventional radiocarbon age: 5570±40 BP**

**2 Sigma calibrated results: Cal BC 4480 to 4480 (Cal BP 6430 to 6430) and  
(95% probability) Cal BC 4460 to 4340 (Cal BP 6410 to 6290)**

Intercept data

Intercepts of radiocarbon age  
with calibration curve: Cal BC 4440 (Cal BP 6390) and  
Cal BC 4420 (Cal BP 6370) and  
Cal BC 4370 (Cal BP 6320)

1 Sigma calibrated result: Cal BC 4450 to 4350 (Cal BP 6400 to 6300)  
(68% probability)



## References:

### Database used

INTCAL09

### References to INTCAL09 database

Heaton, et al., 2009, *Radiocarbon* 51(4):1151-1164, Reimer, et al., 2009, *Radiocarbon* 51(4):1111-1150, Stuiver, et al., 1993, *Radiocarbon* 35(1):137-189, Oeschger, et al., 1975, *Tellus* 27:168-192

### Mathematics used for calibration scenario

*A Simplified Approach to Calibrating C14 Dates*

Talma, A. S., Vogel, J. C., 1993, *Radiocarbon* 35(2):317-322

# CALIBRATION OF RADIOCARBON AGE TO CALENDAR YEARS

(Variables: C13/C12=-19.5:lab. mult=1)

**Laboratory number: Beta-321567**

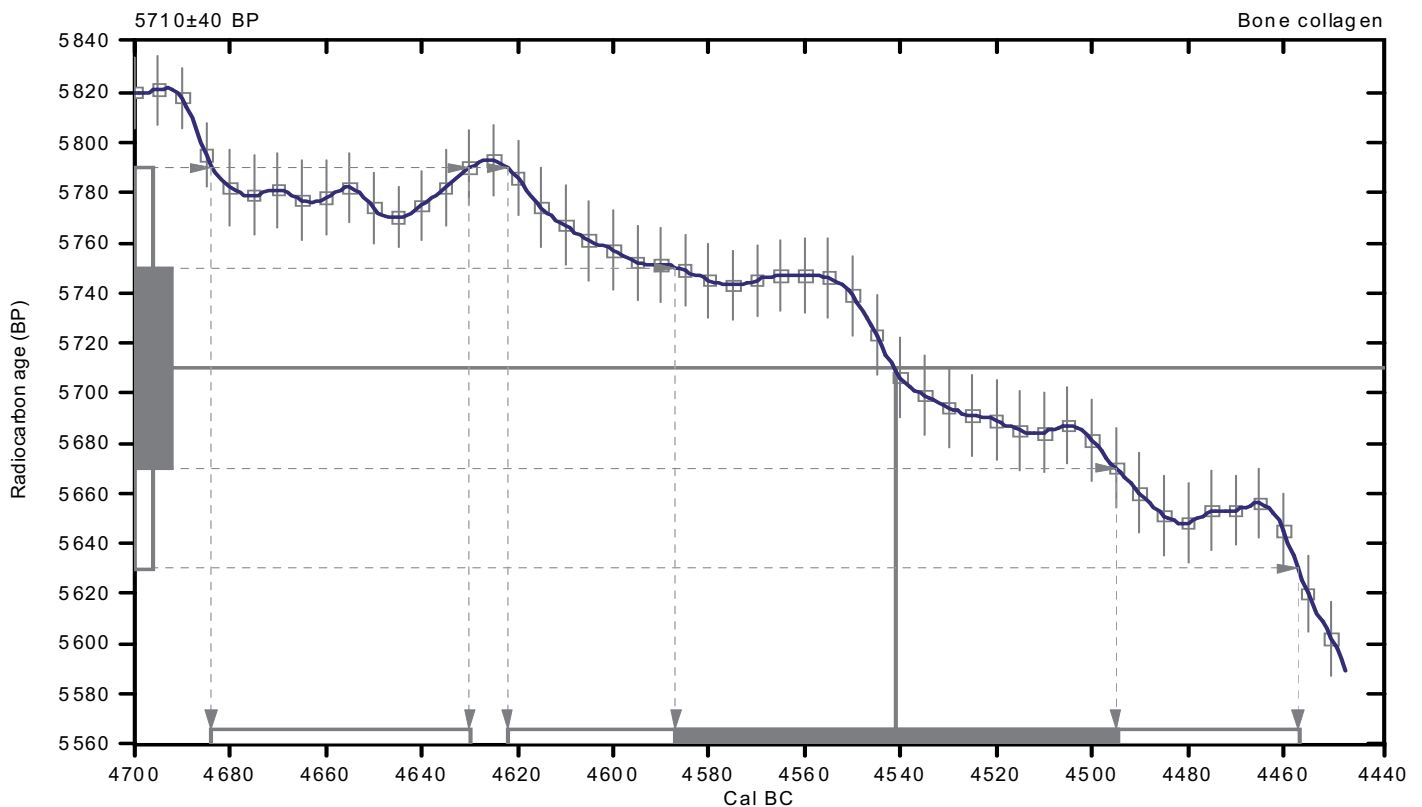
**Conventional radiocarbon age: 5710±40 BP**

**2 Sigma calibrated results: Cal BC 4680 to 4630 (Cal BP 6630 to 6580) and  
(95% probability) Cal BC 4620 to 4460 (Cal BP 6570 to 6410)**

Intercept data

Intercept of radiocarbon age  
with calibration curve: Cal BC 4540 (Cal BP 6490)

1 Sigma calibrated result: Cal BC 4590 to 4500 (Cal BP 6540 to 6440)  
(68% probability)



## References:

### Database used

INTCAL09

### References to INTCAL09 database

Heaton, et al., 2009, *Radiocarbon* 51(4):1151-1164, Reimer, et al., 2009, *Radiocarbon* 51(4):1111-1150, Stuiver, et al., 1993, *Radiocarbon* 35(1):137-189, Oeschger, et al., 1975, *Tellus* 27:168-192

### Mathematics used for calibration scenario

*A Simplified Approach to Calibrating C14 Dates*

Talma, A. S., Vogel, J. C., 1993, *Radiocarbon* 35(2):317-322

# CALIBRATION OF RADIOCARBON AGE TO CALENDAR YEARS

(Variables: C13/C12=-20;lab. mult=1)

**Laboratory number: Beta-321568**

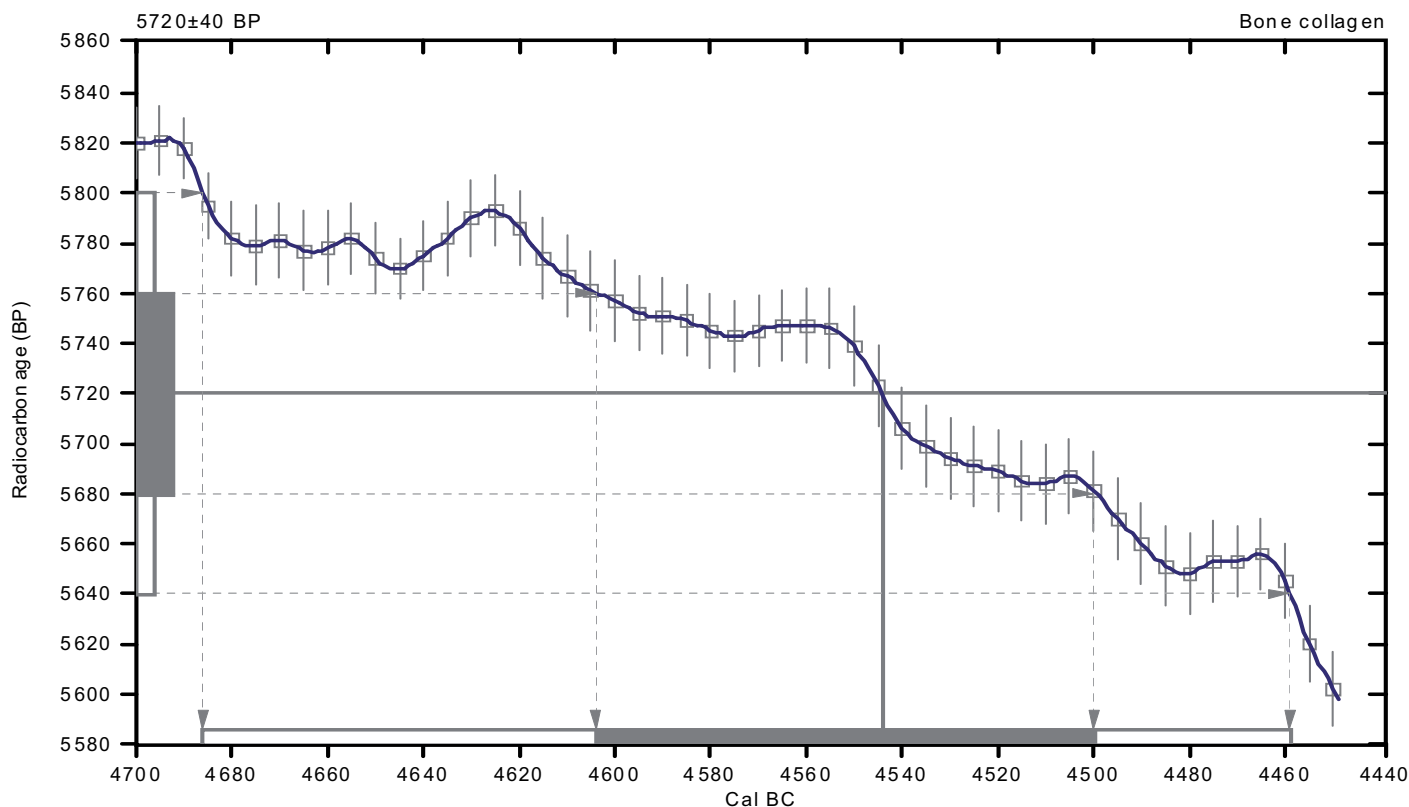
**Conventional radiocarbon age: 5720±40 BP**

**2 Sigma calibrated result: Cal BC 4690 to 4460 (Cal BP 6640 to 6410)  
(95% probability)**

Intercept data

Intercept of radiocarbon age  
with calibration curve: Cal BC 4540 (Cal BP 6490)

**1 Sigma calibrated result: Cal BC 4600 to 4500 (Cal BP 6550 to 6450)  
(68% probability)**



## References:

### Database used

INTCAL09

### References to INTCAL09 database

Heaton, et al., 2009, Radiocarbon 51(4):1151-1164, Reimer, et al., 2009, Radiocarbon 51(4):1111-1150, Stuiver, et al., 1993, Radiocarbon 35(1):137-189, Oeschger, et al., 1975, Tellus 27:168-192

### Mathematics used for calibration scenario

A Simplified Approach to Calibrating C14 Dates

Talma, A. S., Vogel, J. C., 1993, Radiocarbon 35(2):317-322

# CALIBRATION OF RADIOCARBON AGE TO CALENDAR YEARS

(Variables: C13/C12=-19.4:lab. mult=1)

**Laboratory number: Beta-321569**

**Conventional radiocarbon age: 5780±30 BP**

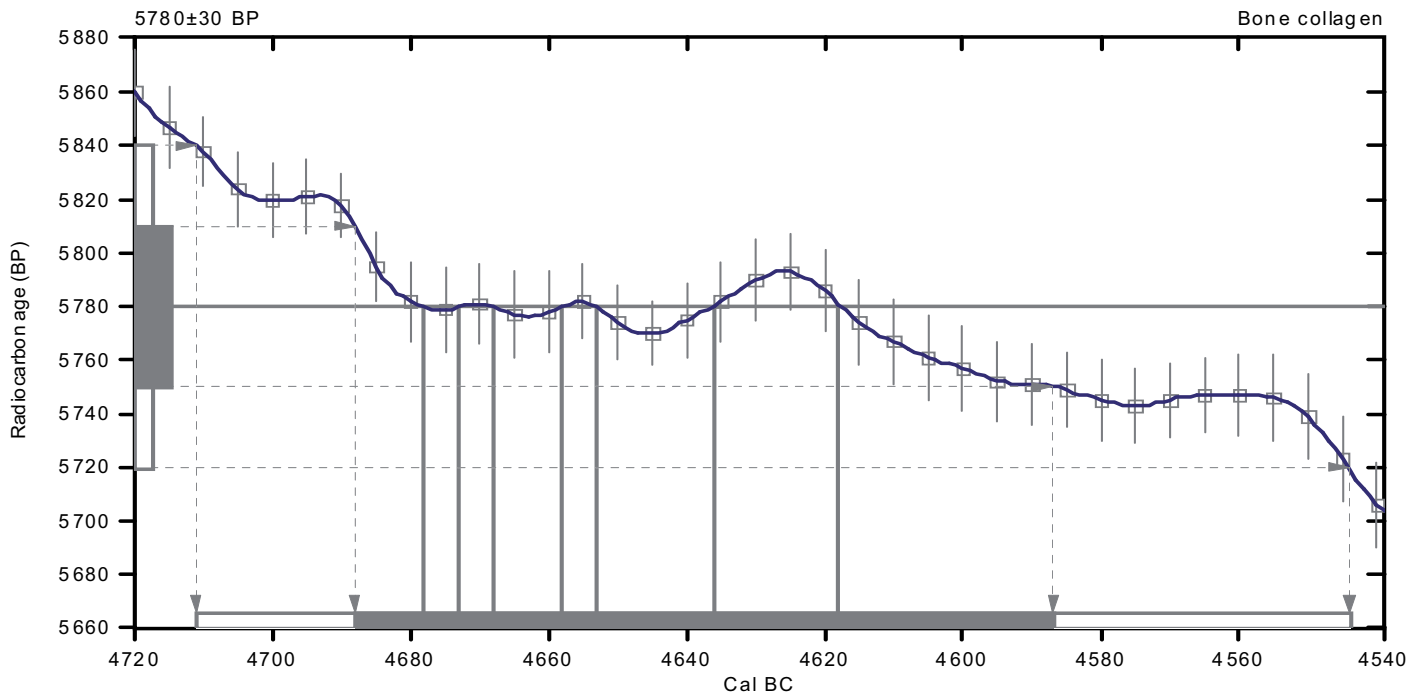
**2 Sigma calibrated result: Cal BC 4710 to 4540 (Cal BP 6660 to 6490)  
(95% probability)**

Intercept data

Intercepts of radiocarbon age  
with calibration curve:

Cal BC 4680 (Cal BP 6630) and  
Cal BC 4670 (Cal BP 6620) and  
Cal BC 4670 (Cal BP 6620) and  
Cal BC 4660 (Cal BP 6610) and  
Cal BC 4650 (Cal BP 6600) and  
Cal BC 4640 (Cal BP 6590) and  
Cal BC 4620 (Cal BP 6570)

**1 Sigma calibrated result: Cal BC 4690 to 4590 (Cal BP 6640 to 6540)  
(68% probability)**



## References:

### Database used

INTCAL09

### References to INTCAL09 database

Heaton, et al., 2009, *Radiocarbon* 51(4):1151-1164, Reimer, et al., 2009, *Radiocarbon* 51(4):1111-1150, Stuiver, et al., 1993, *Radiocarbon* 35(1):137-189, Oeschger, et al., 1975, *Tellus* 27:168-192

### Mathematics used for calibration scenario

*A Simplified Approach to Calibrating C14 Dates*

Talma, A. S., Vogel, J. C., 1993, *Radiocarbon* 35(2):317-322



# CALIBRATION OF RADIOCARBON AGE TO CALENDAR YEARS

(Variables: C13/C12=-19.2:lab. mult=1)

**Laboratory number: Beta-321570**

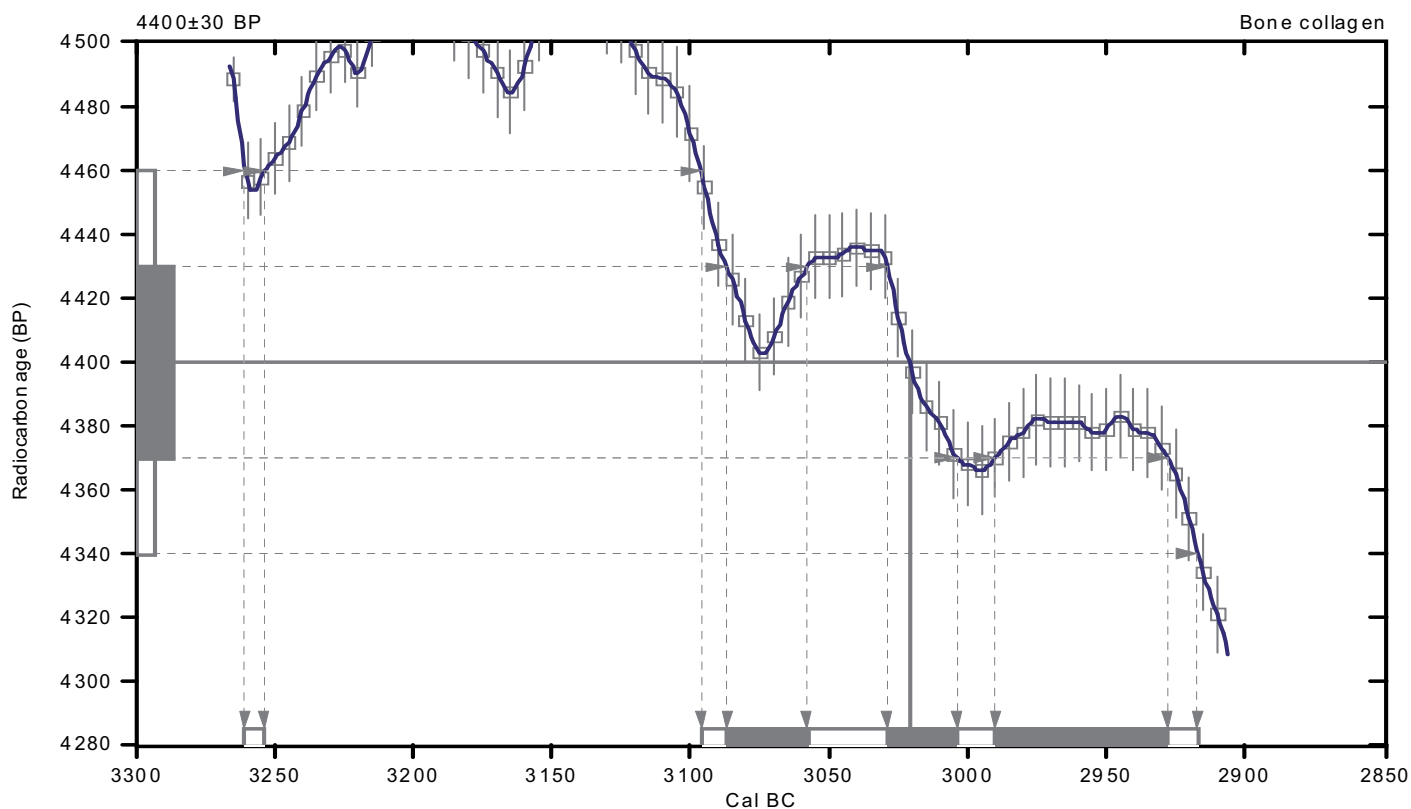
**Conventional radiocarbon age: 4400±30 BP**

**2 Sigma calibrated results: Cal BC 3260 to 3250 (Cal BP 5210 to 5200) and  
(95% probability) Cal BC 3100 to 2920 (Cal BP 5050 to 4870)**

Intercept data

Intercept of radiocarbon age  
with calibration curve: Cal BC 3020 (Cal BP 4970)

1 Sigma calibrated results: Cal BC 3090 to 3060 (Cal BP 5040 to 5010) and  
(68% probability) Cal BC 3030 to 3000 (Cal BP 4980 to 4950) and  
Cal BC 2990 to 2930 (Cal BP 4940 to 4880)



## References:

### Database used

INTCAL09

### References to INTCAL09 database

Heaton, et al., 2009, Radiocarbon 51(4):1151-1164, Reimer, et al., 2009, Radiocarbon 51(4):1111-1150, Stuiver, et al., 1993, Radiocarbon 35(1):137-189, Oeschger, et al., 1975, Tellus 27:168-192

### Mathematics used for calibration scenario

A Simplified Approach to Calibrating C14 Dates

Talma, A. S., Vogel, J. C., 1993, Radiocarbon 35(2):317-322

Poznań, 04-09-2012

## *Report*

*on C-14 dating in the Poznań Radiocarbon Laboratory*

*Head of the Laboratory*

*Prof. dr hab. Tomasz Goslar*

<i>Sample name</i>	<i>Lab. no.</i>	<i>Age 14C</i>	<i>Remark</i>
STM11-FS18-US1502	Poz-0	>0 BP	0.3%N 1.4%C not suitable
STM11-ST2006-PT6645	Poz-0	>0 BP	not suitable
STM11-ST2074	Poz-49167	2465 ± 30 BP	
STM11-ST2093-US5	Poz-49168	2495 ± 35 BP	
STM11-ST2192	Poz-49170	2445 ± 35 BP	1.8%N 4.8%C
STM11-ST2225-PT6910	Poz-0	>0 BP	0.3%N 1.6%C not suitable
STM11-ST2226	Poz-0	>0 BP	0.3%N 1.6%C not suitable
STM11-ST2319	Poz-49171	5870 ± 40 BP	
STM11-ST1057	Poz-0	>0 BP	0.1%N 1.5%C not suitable
STM11-ST2096-US1	Poz-47397	4630 ± 40 BP	0.9%N 3.5%C
STM11-ST2096-US16	Poz-47398	4820 ± 30 BP	
STM11-ST2294	Poz-0	>0 BP	0.1%N 0.8%C not suitable
STM11-ST2328-US2	Poz-47400	4525 ± 35 BP	1.1%N 4.0%C
STM11-ST1001-US1	Poz-49387	3495 ± 30 BP	
STM11-ST1057-US3	Poz-49388	5910 ± 40 BP	
STM11-ST1071-US1	Poz-49428	2725 ± 35 BP	
STM11-ST2225-US1	Poz-49389	5950 ± 40 BP	

## Results of calibration of 14C dates

Given are intervals of calendar age, where the true ages of the samples encompass with the probability of ca. 68% and ca. 95%. The calibration was made with the OxCal software.

OxCal v4.1.5 Bronk Ramsey (2010); r:5

Atmospheric data from Reimer et al (2009);

STM11-ST2074 R\_Date(2465,30)

68.2% probability

752BC (25.8%) 686BC

667BC (11.6%) 636BC

622BC ( 2.4%) 614BC

595BC (28.3%) 515BC

95.4% probability

760BC (27.8%) 682BC

671BC (56.7%) 480BC

469BC (10.9%) 414BC

STM11-ST2093-US5 R\_Date(2495,35)

68.2% probability

764BC (13.1%) 731BC

691BC ( 4.3%) 680BC

673BC ( 4.9%) 661BC

651BC (46.0%) 544BC

95.4% probability

787BC (92.7%) 507BC

461BC ( 0.8%) 451BC

440BC ( 1.9%) 418BC

STM11-ST2192 R\_Date(2445,35)

68.2% probability

736BC (17.7%) 690BC

663BC ( 5.0%) 649BC

547BC (25.6%) 479BC

471BC (19.9%) 414BC

95.4% probability

753BC (22.9%) 685BC

668BC (12.4%) 611BC

597BC (60.1%) 408BC

STM11-ST2319 R\_Date(5870,40)

68.2% probability

4790BC (68.2%) 4706BC

95.4% probability

4840BC (92.3%) 4654BC

4639BC ( 3.1%) 4617BC

STM11-ST2096-US1 R\_Date(4630,40)

68.2% probability

3499BC (53.5%) 3433BC

3379BC (14.7%) 3361BC

95.4% probability

3621BC ( 1.0%) 3610BC

3522BC (94.4%) 3342BC

STM11-ST2096-US16 R\_Date(4820,30)

68.2% probability

3650BC (27.8%) 3631BC

3577BC ( 2.8%) 3574BC

3564BC (37.6%) 3536BC

95.4% probability

3656BC (34.0%) 3626BC

3598BC (61.4%) 3526BC

STM11-ST2328-US2 R\_Date(4525,35)

68.2% probability

3353BC (14.4%) 3322BC

3272BC ( 1.4%) 3268BC

3236BC (29.8%) 3171BC

3163BC (22.5%) 3115BC

95.4% probability

3361BC (33.7%) 3263BC

3247BC (61.7%) 3100BC

STM11-ST1001-US1 R\_Date(3495,30)

68.2% probability

1880BC (12.8%) 1861BC

1854BC (55.4%) 1771BC

95.4% probability

1900BC (95.4%) 1740BC

STM11-ST1057-US3 R\_Date(5910,40)

68.2% probability

4827BC ( 8.1%) 4816BC

4801BC (60.1%) 4726BC

95.4% probability

4898BC ( 4.8%) 4866BC

4852BC (90.6%) 4704BC

STM11-ST1071-US1 R\_Date(2725,35)

68.2% probability

902BC (68.2%) 832BC

95.4% probability

970BC ( 1.3%) 962BC

932BC (94.1%) 807BC

STM11-ST2225-US1 R\_Date(5950,40)

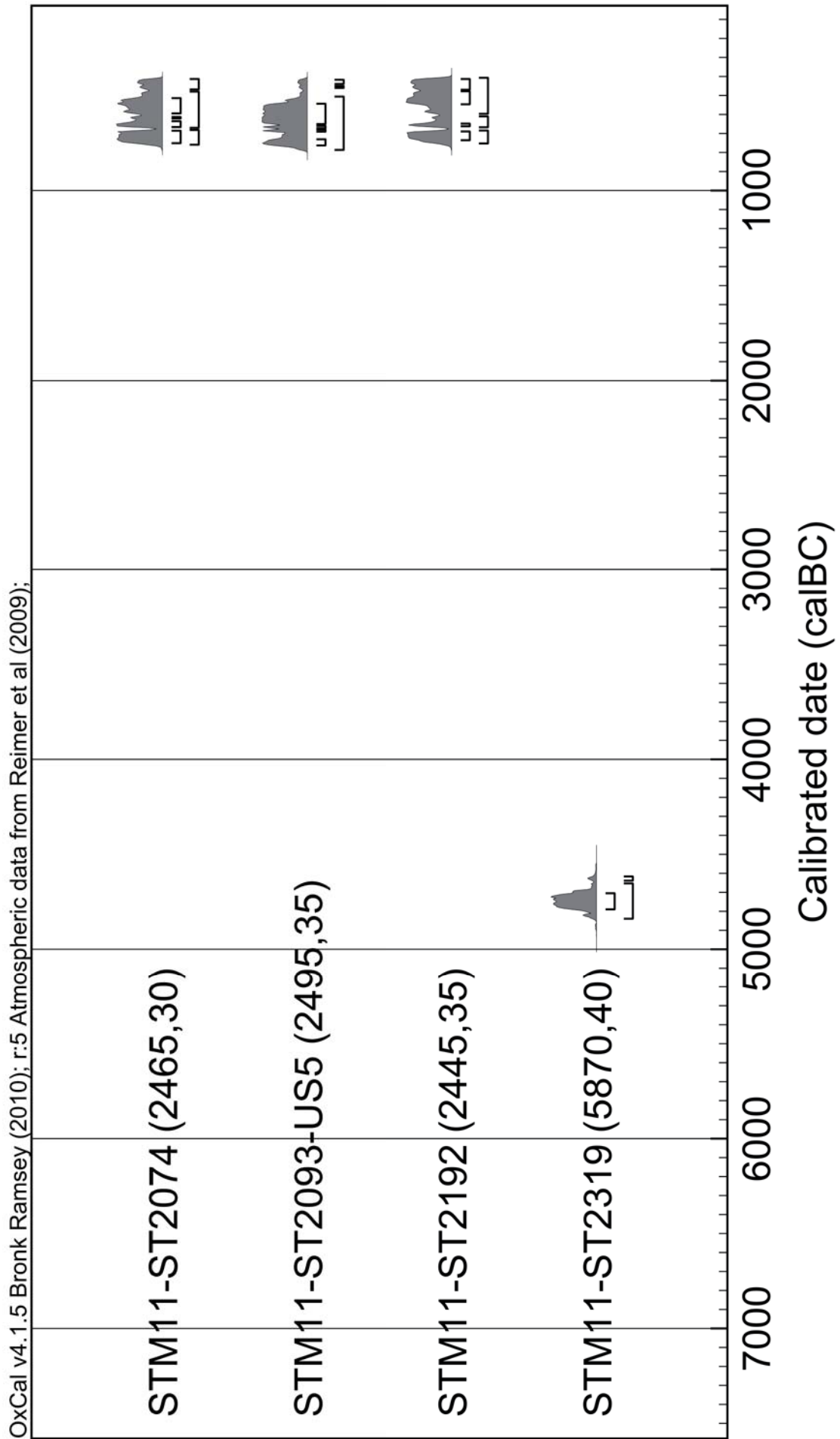
68.2% probability

4900BC (17.6%) 4864BC

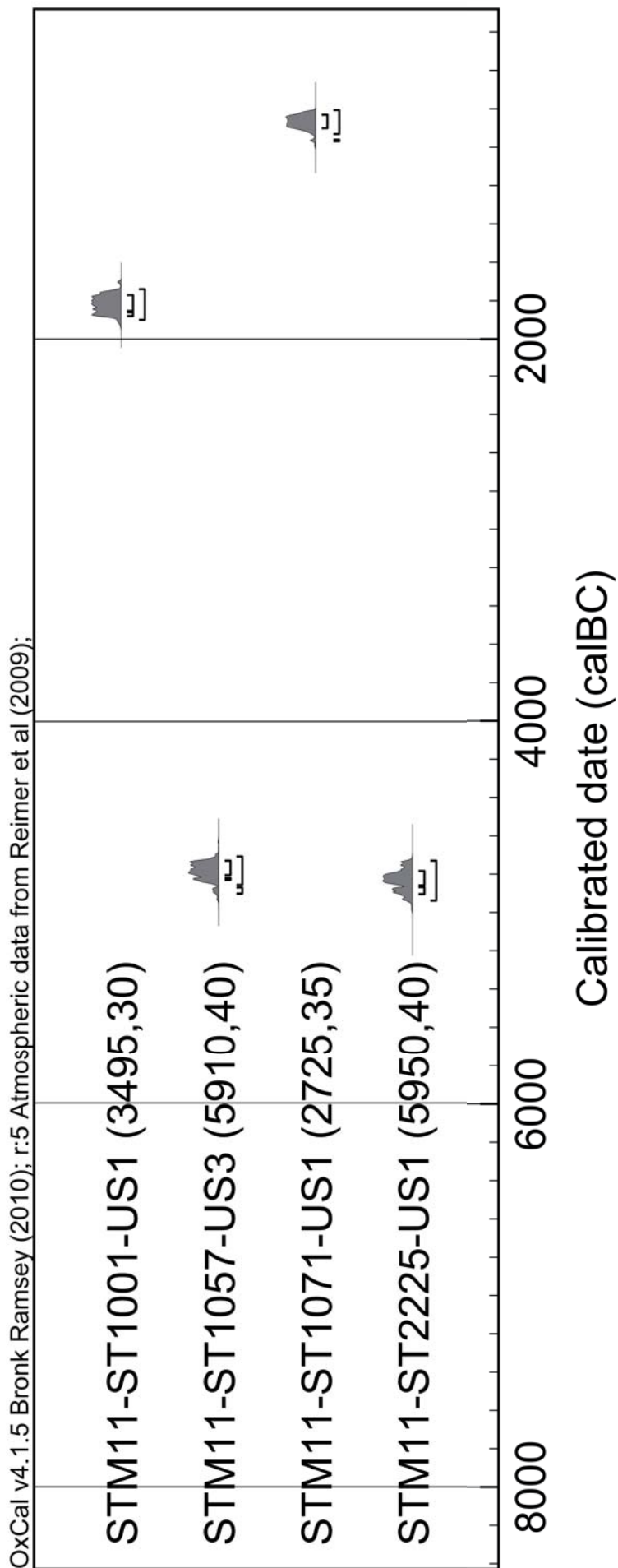
4855BC (50.6%) 4780BC

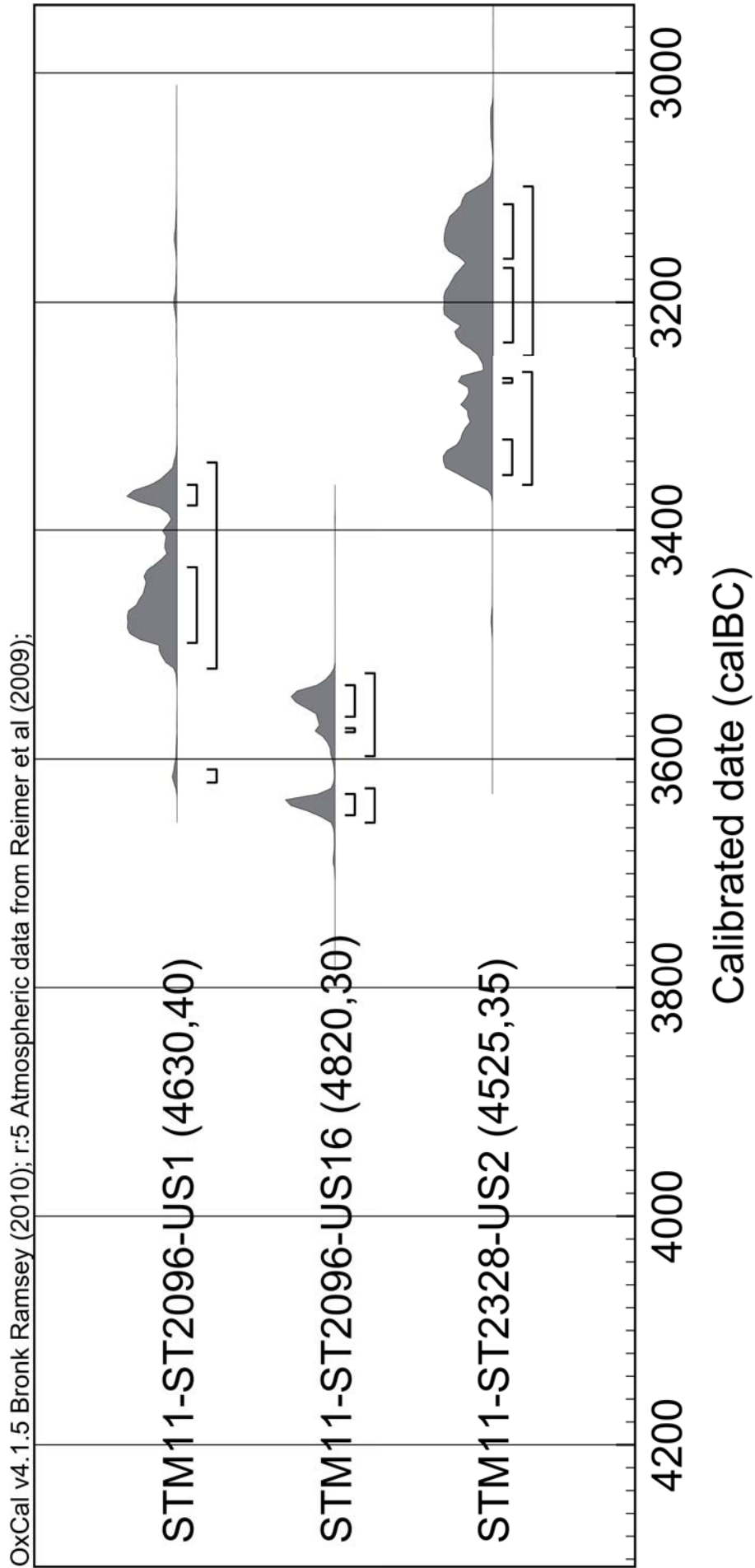
95.4% probability

4934BC (95.4%) 4726BC



Annexe 24 - Le Clos de Roque, Saint-Maximin-la-Sainte-Baume (83). Rapport sur les datations radiocarbones (Poznan Radiocarbon Laboratory).





Annexe 24 - Le Clos de Roque, Saint-Maximin-la-Sainte-Baume (83). Rapport sur les datations radiocarbones (Poznan Radiocarbon Laboratory).



identifiant	support	auteur	description	nombre
OA9785-E1	papier A4	équipe de fouille	fiches structures	408
OA9785-E2	papier A4	équipe de fouille	fiches inventaire des structures	20
OA9785-E3	papier A4	équipe de fouille	minutes de terrain	772
OA9785-E4	papier A4	équipe de fouille	fiches inventaire minutes de terrain	46
OA9785-E5	papier A4	équipe de fouille	fiches inventaire des prélèvements	13
OA9785-E6	papier A4	J.-B. Caverne	fiches inventaire des points topographiques	117
OA9785-E7	papier A4	M. Rué	fiche inventaire des Unités Pédo-stratigraphiques (UPS)	1
OA9785-E8	papier A4	M. Rué	fiche inventaire des coupes stratigraphiques des UPS	1
OA9785-E9	papier A4	équipe de fouille	fiches inventaire du mobilier topographié	21

*Annexe 25* - Le Clos de Roque, Saint-Maximin-la-Sainte-Baume (83). Inventaire de la documentation écrite.

Identifiant	n° cliché	format	localisation	type	Description	Auteur
OA9785_STM11_photo_1652	1652	jpg	figure 9a	vue terrain	illustration fouille	M. Remicourt
OA9785_STM11_photo_1653	1653	jpg	figure 9b	vue terrain	illustration fouille	M. Remicourt
OA9785_STM11_photo_1654	1654	jpg	figure 9c	vue terrain	illustration fouille	M. Remicourt
OA9785_STM11_photo_1655	1655	jpg	figure 9d	vue terrain	illustration fouille	M. Remicourt
OA9785_STM11_photo_1656	1656	jpg	figure 9e	vue terrain	illustration fouille	M. Remicourt
OA9785_STM11_photo_1657	1657	jpg	figure 9f	vue terrain	illustration fouille	M. Remicourt
OA9785_STM11_photo_1658	1658	jpg	figure 11	photo aérienne	vue aérienne 1928	IGN
OA9785_STM11_photo_1659	1659	jpg	figure14	coupe	coupe stratigraphique	M. Rué
OA9785_STM11_photo_1660	1660	jpg	figure14	coupe	coupe stratigraphique	M. Rué
OA9785_STM11_photo_1661	1661	jpg	figure14	coupe	coupe stratigraphique	M. Rué
OA9785_STM11_photo_1662	1662	jpg	figure14	coupe	coupe stratigraphique	M. Rué
OA9785_STM11_photo_1663	1663	jpg	figure14	coupe	coupe stratigraphique	M. Rué
OA9785_STM11_photo_1664	1664	jpg	figure14	coupe	coupe stratigraphique	M. Rué
OA9785_STM11_photo_1665	1665	jpg	figure14	coupe	coupe stratigraphique	M. Rué
OA9785_STM11_photo_1666	1666	jpg	figure14	coupe	coupe stratigraphique	M. Rué
OA9785_STM11_photo_1667	1667	jpg	figure14	coupe	coupe stratigraphique	M. Rué
OA9785_STM11_photo_1668	1668	jpg	figure14	coupe	coupe stratigraphique	M. Rué
OA9785_STM11_photo_1669	1669	jpg	figure 15	coupe	coupe stratigraphique	M. Rué
OA9785_STM11_photo_1670	1670	jpg	figure 15	coupe	coupe stratigraphique	M. Rué
OA9785_STM11_photo_1671	1671	jpg	figure 18	coupe	prélèvement	M. Rué
OA9785_STM11_photo_1672	1672	jpg	figure 18	coupe	prélèvement	M. Rué
OA9785_STM11_photo_1673	1673	jpg	figure 18	coupe	prélèvement	M. Rué
OA9785_STM11_photo_1674	1674	jpg	figure 18	coupe	prélèvement	M. Rué
OA9785_STM11_photo_1675	1675	jpg	figure 18	coupe	prélèvement	M. Rué
OA9785_STM11_photo_1676	1676	jpg	figure 18	coupe	prélèvement	M. Rué
OA9785_STM11_photo_1677	1677	jpg	figure 18	coupe	prélèvement	M. Rué
OA9785_STM11_photo_1678	1678	jpg	figure 18	coupe	prélèvement	M. Rué
OA9785_STM11_photo_1679	1679	jpg	figure 18	coupe	prélèvement	M. Rué
OA9785_STM11_photo_1680	1680	jpg	figure 18	coupe	prélèvement	M. Rué
OA9785_STM11_photo_1681	1681	jpg	figure 19	microstratigraphie	lame mince	M. Rué
OA9785_STM11_photo_1682	1682	jpg	figure 19	microstratigraphie	lame mince	M. Rué
OA9785_STM11_photo_1683	1683	jpg	figure 19	microstratigraphie	lame mince	M. Rué
OA9785_STM11_photo_1684	1684	jpg	figure 19	microstratigraphie	lame mince	M. Rué
OA9785_STM11_photo_1685	1685	jpg	figure 19	microstratigraphie	lame mince	M. Rué
OA9785_STM11_photo_1686	1686	jpg	figure 19	microstratigraphie	lame mince	M. Rué
OA9785_STM11_photo_1687	1687	jpg	figure 19	microstratigraphie	lame mince	M. Rué
OA9785_STM11_photo_1688	1688	jpg	figure 19	microstratigraphie	lame mince	M. Rué
OA9785_STM11_photo_1689	1689	jpg	figure 19	microstratigraphie	lame mince	M. Rué
OA9785_STM11_photo_1690	1690	jpg	figure 19	microstratigraphie	lame mince	M. Rué
OA9785_STM11_photo_1691	1691	jpg	figure 20	lame mince	micro-faciès	M. Rué
OA9785_STM11_photo_1692	1692	jpg	figure 20	lame mince	micro-faciès	M. Rué
OA9785_STM11_photo_1693	1693	jpg	figure 20	lame mince	micro-faciès	M. Rué
OA9785_STM11_photo_1694	1694	jpg	figure 20	lame mince	micro-faciès	M. Rué
OA9785_STM11_photo_1695	1695	jpg	figure 20	lame mince	micro-faciès	M. Rué
OA9785_STM11_photo_1696	1696	jpg	figure 20	lame mince	micro-faciès	M. Rué
OA9785_STM11_photo_1697	1697	jpg	figure 20	lame mince	micro-faciès	M. Rué
OA9785_STM11_photo_1698	1698	jpg	figure 20	lame mince	micro-faciès	M. Rué
OA9785_STM11_photo_1699	1699	jpg	figure 20	lame mince	micro-faciès	M. Rué
OA9785_STM11_photo_1700	1700	jpg	figure 20	lame mince	micro-faciès	M. Rué
OA9785_STM11_photo_1701	1701	jpg	figure 20	lame mince	micro-faciès	M. Rué
OA9785_STM11_photo_1702	1702	jpg	figure 20	lame mince	micro-faciès	M. Rué
OA9785_STM11_photo_1703	1703	jpg	figure 21	lame mince	micro-faciès	M. Rué
OA9785_STM11_photo_1704	1704	jpg	figure 21	lame mince	micro-faciès	M. Rué
OA9785_STM11_photo_1705	1705	jpg	figure 21	lame mince	micro-faciès	M. Rué

Annexe 26 - Le Clos de Roque, Saint-Maximin-la-Sainte-Baume (83). Inventaire des photographies dans le Rapport final d'opération.

Identifiant	n° cliché	format	localisation	type	Description	Auteur
OA9785_STM11_photo_1706	1706	jpg	figure 21	lame mince	micro-faciès	M. Rué
OA9785_STM11_photo_1707	1707	jpg	figure 21	lame mince	micro-faciès	M. Rué
OA9785_STM11_photo_1708	1708	jpg	figure 21	lame mince	micro-faciès	M. Rué
OA9785_STM11_photo_1709	1709	jpg	figure 21	lame mince	micro-faciès	M. Rué
OA9785_STM11_photo_1710	1710	jpg	figure 21	lame mince	micro-faciès	M. Rué
OA9785_STM11_photo_1711	1711	jpg	figure 21	lame mince	micro-faciès	M. Rué
OA9785_STM11_photo_1712	1712	jpg	figure 21	lame mince	micro-faciès	M. Rué
OA9785_STM11_photo_1713	1713	jpg	figure 21	lame mince	micro-faciès	M. Rué
OA9785_STM11_photo_1714	1714	jpg	figure 21	lame mince	micro-faciès	M. Rué
OA9785_STM11_photo_1715	1715	jpg	figure 31	vue terrain	illustration fouille	M. Remicourt
OA9785_STM11_photo_1716	1716	jpg	figure 31	vue terrain	illustration fouille	M. Remicourt
OA9785_STM11_photo_1717	1717	jpg	figure 31	vue terrain	illustration fouille	M. Remicourt
OA9785_STM11_photo_1718	1718	jpg	figure 31	vue terrain	illustration fouille	M. Remicourt
OA9785_STM11_photo_1719	1719	jpg	figure 31	vue terrain	illustration fouille	M. Remicourt
OA9785_STM11_photo_1720	1720	jpg	figure 31	vue terrain	illustration fouille	M. Remicourt
OA9785_STM11_photo_1721	1721	jpg	figure 32	vue terrain	illustration fouille	M. Remicourt
OA9785_STM11_photo_1722	1722	jpg	figure 32	vue terrain	illustration fouille	M. Remicourt
OA9785_STM11_photo_1723	1723	jpg	figure 32	vue terrain	illustration fouille	M. Remicourt
OA9785_STM11_photo_1724	1724	jpg	figure 32	vue terrain	illustration fouille	M. Remicourt
OA9785_STM11_photo_1725	1725	jpg	figure 32	vue terrain	illustration fouille	M. Remicourt
OA9785_STM11_photo_1726	1726	jpg	figure 32	vue terrain	illustration fouille	M. Remicourt
OA9785_STM11_photo_1727	1727	jpg	figure 36	vue terrain	illustration fouille	M. Remicourt
OA9785_STM11_photo_1728	1728	jpg	figure 36	vue terrain	illustration fouille	M. Remicourt
OA9785_STM11_photo_1729	1729	jpg	figure 36	vue terrain	illustration fouille	M. Remicourt
OA9785_STM11_photo_1730	1730	jpg	figure 36	vue terrain	illustration fouille	M. Remicourt
OA9785_STM11_photo_1731	1731	jpg	figure 36	vue terrain	illustration fouille	M. Remicourt
OA9785_STM11_photo_1732	1732	jpg	figure 36	vue terrain	illustration fouille	M. Remicourt
OA9785_STM11_photo_1733	1733	jpg	figure 37	vue terrain	illustration fouille	M. Remicourt
OA9785_STM11_photo_1734	1734	jpg	figure 37	vue terrain	illustration fouille	M. Remicourt
OA9785_STM11_photo_1735	1735	jpg	figure 37	vue terrain	illustration fouille	M. Remicourt
OA9785_STM11_photo_1736	1736	jpg	figure 37	vue terrain	illustration fouille	M. Remicourt
OA9785_STM11_photo_1737	1737	jpg	figure 37	vue terrain	illustration fouille	M. Remicourt
OA9785_STM11_photo_1738	1738	jpg	figure 37	vue terrain	illustration fouille	M. Remicourt
OA9785_STM11_photo_1739	1739	jpg	figure 38	vue terrain	illustration fouille	M. Remicourt
OA9785_STM11_photo_1740	1740	jpg	figure 38	vue terrain	illustration fouille	M. Remicourt
OA9785_STM11_photo_1741	1741	jpg	figure 38	vue terrain	illustration fouille	M. Remicourt
OA9785_STM11_photo_1742	1742	jpg	figure 38	vue terrain	illustration fouille	M. Remicourt
OA9785_STM11_photo_1743	1743	jpg	figure 38	vue terrain	illustration fouille	M. Remicourt
OA9785_STM11_photo_1744	1744	jpg	figure 38	vue terrain	illustration fouille	M. Remicourt
OA9785_STM11_photo_1745	1745	jpg	figure 39	vue terrain	illustration fouille	M. Remicourt
OA9785_STM11_photo_1746	1746	jpg	figure 39	vue terrain	illustration fouille	M. Remicourt
OA9785_STM11_photo_1747	1747	jpg	figure 39	vue terrain	illustration fouille	M. Remicourt
OA9785_STM11_photo_1748	1748	jpg	figure 39	vue terrain	illustration fouille	M. Remicourt
OA9785_STM11_photo_1749	1749	jpg	figure 39	vue terrain	illustration fouille	M. Remicourt
OA9785_STM11_photo_1750	1750	jpg	figure 39	vue terrain	illustration fouille	M. Remicourt
OA9785_STM11_photo_1751	1751	jpg	figure 40	vue terrain	illustration fouille	M. Remicourt
OA9785_STM11_photo_1752	1752	jpg	figure 40	vue terrain	illustration fouille	M. Remicourt
OA9785_STM11_photo_1753	1753	jpg	figure 40	vue terrain	illustration fouille	M. Remicourt
OA9785_STM11_photo_1754	1754	jpg	figure 40	vue terrain	illustration fouille	M. Remicourt
OA9785_STM11_photo_1755	1755	jpg	figure 40	vue terrain	illustration fouille	M. Remicourt
OA9785_STM11_photo_1756	1756	jpg	figure 40	vue terrain	illustration fouille	M. Remicourt
OA9785_STM11_photo_1757	1757	jpg	figure 261	céramique	vues pâtes	C. Lepère
OA9785_STM11_photo_1758	1758	jpg	figure 262	céramique	vues pâtes	C. Lepère
OA9785_STM11_photo_1759	1759	jpg	figure 263	céramique	vues pâtes	C. Lepère

Annexe 26 - Le Clos de Roque, Saint-Maximin-la-Sainte-Baume (83). Inventaire des photographies dans le Rapport final d'opération.

Identifiant	n° cliché	format	localisation	type	Description	Auteur
OA9785_STM11_photo_1760	1760	jpg	figure 264	céramique	vues pâtes	C. Lepère
OA9785_STM11_photo_1761	1761	jpg	figure 285	céramique	détail céramique	C. Lepère
OA9785_STM11_photo_1762	1762	jpg	figure 289	céramique	détail céramique	C. Lepère
OA9785_STM11_photo_1763	1763	jpg	figure 289	céramique	détail céramique	C. Lepère
OA9785_STM11_photo_1764	1764	jpg	figure 291	céramique	détail céramique	C. Lepère
OA9785_STM11_photo_1765	1765	jpg	figure 295	céramique	détail céramique	C. Lepère
OA9785_STM11_photo_1766	1766	jpg	figure 296	céramique	détail céramique	C. Lepère
OA9785_STM11_photo_1767	1767	jpg	figure 297	céramique	détail céramique	C. Lepère
OA9785_STM11_photo_1768	1768	jpg	figure 299	céramique	détail céramique	C. Lepère
OA9785_STM11_photo_1769	1769	jpg	figure 300	céramique	détail céramique	C. Lepère
OA9785_STM11_photo_1770	1770	jpg	figure 306	céramique	détail céramique	C. Lepère
OA9785_STM11_photo_1771	1771	jpg	figure 315	céramique	détail céramique	C. Lepère
OA9785_STM11_photo_1772	1772	jpg	figure 315	céramique	détail céramique	C. Lepère
OA9785_STM11_photo_1773	1773	jpg	figure 316	céramique	détail céramique	C. Lepère
OA9785_STM11_photo_1774	1774	jpg	figure 316	céramique	détail céramique	C. Lepère
OA9785_STM11_photo_1775	1775	jpg	figure 317	céramique	détail céramique	C. Lepère
OA9785_STM11_photo_1776	1776	jpg	figure 317	céramique	détail céramique	C. Lepère
OA9785_STM11_photo_1777	1777	jpg	figure 318	céramique	détail céramique	C. Lepère
OA9785_STM11_photo_1778	1778	jpg	figure 318	céramique	détail céramique	C. Lepère
OA9785_STM11_photo_1779	1779	tif	figure 334	péetrographie	détail silex	P. Fernandes
OA9785_STM11_photo_1780	1780	tif	figure 334	péetrographie	détail silex	P. Fernandes
OA9785_STM11_photo_1781	1781	tif	figure 334	péetrographie	détail silex	P. Fernandes
OA9785_STM11_photo_1782	1782	tif	figure 335	péetrographie	détail silex	P. Fernandes
OA9785_STM11_photo_1783	1783	tif	figure 335	péetrographie	détail silex	P. Fernandes
OA9785_STM11_photo_1784	1784	tif	figure 335	péetrographie	détail silex	P. Fernandes
OA9785_STM11_photo_1785	1785	tif	figure 336	péetrographie	détail silex	P. Fernandes
OA9785_STM11_photo_1786	1786	tif	figure 336	péetrographie	détail silex	P. Fernandes
OA9785_STM11_photo_1787	1787	tif	figure 336	péetrographie	détail silex	P. Fernandes
OA9785_STM11_photo_1788	1788	tif	figure 336	péetrographie	détail silex	P. Fernandes
OA9785_STM11_photo_1789	1789	tif	figure 336	péetrographie	détail silex	P. Fernandes
OA9785_STM11_photo_1790	1790	tif	figure 336	péetrographie	détail silex	P. Fernandes
OA9785_STM11_photo_1791	1791	tif	figure 337	péetrographie	détail silex	P. Fernandes
OA9785_STM11_photo_1792	1792	tif	figure 337	péetrographie	détail silex	P. Fernandes
OA9785_STM11_photo_1793	1793	tif	figure 338	péetrographie	détail silex	P. Fernandes
OA9785_STM11_photo_1794	1794	tif	figure 338	péetrographie	détail silex	P. Fernandes
OA9785_STM11_photo_1795	1795	tif	figure 338	péetrographie	détail silex	P. Fernandes
OA9785_STM11_photo_1796	1796	tif	figure 339	péetrographie	détail silex	P. Fernandes
OA9785_STM11_photo_1797	1797	tif	figure 339	péetrographie	détail silex	P. Fernandes
OA9785_STM11_photo_1798	1798	tif	figure 339	péetrographie	détail silex	P. Fernandes
OA9785_STM11_photo_1799	1799	tif	figure 340	péetrographie	détail silex	P. Fernandes
OA9785_STM11_photo_1800	1800	tif	figure 340	péetrographie	détail silex	P. Fernandes
OA9785_STM11_photo_1801	1801	tif	figure 340	péetrographie	détail silex	P. Fernandes
OA9785_STM11_photo_1802	1802	tif	figure 340	péetrographie	détail silex	P. Fernandes
OA9785_STM11_photo_1803	1803	tif	figure 340	péetrographie	détail silex	P. Fernandes
OA9785_STM11_photo_1804	1804	tif	figure 340	péetrographie	détail silex	P. Fernandes
OA9785_STM11_photo_1805	1805	tif	figure 341	péetrographie	détail silex	P. Fernandes
OA9785_STM11_photo_1806	1806	tif	figure 341	péetrographie	détail silex	P. Fernandes
OA9785_STM11_photo_1807	1807	tif	figure 341	péetrographie	détail silex	P. Fernandes
OA9785_STM11_photo_1808	1808	tif	figure 342	péetrographie	détail silex	P. Fernandes
OA9785_STM11_photo_1809	1809	tif	figure 342	péetrographie	détail silex	P. Fernandes
OA9785_STM11_photo_1810	1810	tif	figure 342	péetrographie	détail silex	P. Fernandes
OA9785_STM11_photo_1811	1811	tif	figure 343	péetrographie	détail silex	P. Fernandes
OA9785_STM11_photo_1812	1812	tif	figure 343	péetrographie	détail silex	P. Fernandes
OA9785_STM11_photo_1813	1813	tif	figure 343	péetrographie	détail silex	P. Fernandes

Annexe 26 - Le Clos de Roque, Saint-Maximin-la-Sainte-Baume (83). Inventaire des photographies dans le Rapport final d'opération.

Identifiant	n° cliché	format	localisation	type	Description	Auteur
OA9785_STM11_photo_1814	1814	tif	figure 344	pétrographie	détail silex	P. Fernandes
OA9785_STM11_photo_1815	1815	tif	figure 344	pétrographie	détail silex	P. Fernandes
OA9785_STM11_photo_1816	1816	tif	figure 344	pétrographie	détail silex	P. Fernandes
OA9785_STM11_photo_1817	1817	tif	figure 345	pétrographie	détail silex	P. Fernandes
OA9785_STM11_photo_1818	1818	tif	figure 345	pétrographie	détail silex	P. Fernandes
OA9785_STM11_photo_1819	1819	tif	figure 345	pétrographie	détail silex	P. Fernandes
OA9785_STM11_photo_1820	1820	tif	figure 345	pétrographie	détail silex	P. Fernandes
OA9785_STM11_photo_1821	1821	tif	figure 345	pétrographie	détail silex	P. Fernandes
OA9785_STM11_photo_1822	1822	tif	figure 345	pétrographie	détail silex	P. Fernandes
OA9785_STM11_photo_1823	1823	tif	figure 346	pétrographie	détail silex	P. Fernandes
OA9785_STM11_photo_1824	1824	tif	figure 346	pétrographie	détail silex	P. Fernandes
OA9785_STM11_photo_1825	1825	tif	figure 346	pétrographie	détail silex	P. Fernandes
OA9785_STM11_photo_1826	1826	tif	figure 346	pétrographie	détail silex	P. Fernandes
OA9785_STM11_photo_1827	1827	tif	figure 347	pétrographie	détail silex	P. Fernandes
OA9785_STM11_photo_1828	1828	tif	figure 347	pétrographie	détail silex	P. Fernandes
OA9785_STM11_photo_1829	1829	tif	figure 347	pétrographie	détail silex	P. Fernandes
OA9785_STM11_photo_1830	1830	tif	figure 348	pétrographie	détail silex	P. Fernandes
OA9785_STM11_photo_1831	1831	tif	figure 348	pétrographie	détail silex	P. Fernandes
OA9785_STM11_photo_1832	1832	tif	figure 348	pétrographie	détail silex	P. Fernandes
OA9785_STM11_photo_1833	1833	tif	figure 349	pétrographie	détail silex	P. Fernandes
OA9785_STM11_photo_1834	1834	tif	figure 349	pétrographie	détail silex	P. Fernandes
OA9785_STM11_photo_1835	1835	tif	figure 349	pétrographie	détail silex	P. Fernandes
OA9785_STM11_photo_1836	1836	tif	figure 350	pétrographie	détail silex	P. Fernandes
OA9785_STM11_photo_1837	1837	tif	figure 350	pétrographie	détail silex	P. Fernandes
OA9785_STM11_photo_1838	1838	tif	figure 350	pétrographie	détail silex	P. Fernandes
OA9785_STM11_photo_1839	1839	tif	figure 351	pétrographie	détail silex	P. Fernandes
OA9785_STM11_photo_1840	1840	tif	figure 351	pétrographie	détail silex	P. Fernandes
OA9785_STM11_photo_1841	1841	tif	figure 352	pétrographie	détail silex	P. Fernandes
OA9785_STM11_photo_1842	1842	tif	figure 352	pétrographie	détail silex	P. Fernandes
OA9785_STM11_photo_1843	1843	tif	figure 352	pétrographie	détail silex	P. Fernandes
OA9785_STM11_photo_1844	1844	tif	figure 352	pétrographie	détail silex	P. Fernandes
OA9785_STM11_photo_1845	1845	tif	figure 352	pétrographie	détail silex	P. Fernandes
OA9785_STM11_photo_1846	1846	tif	figure 352	pétrographie	détail silex	P. Fernandes
OA9785_STM11_photo_1847	1847	tif	figure 352	pétrographie	détail silex	P. Fernandes
OA9785_STM11_photo_1848	1848	tif	figure 352	pétrographie	détail silex	P. Fernandes
OA9785_STM11_photo_1849	1849	tif	figure 353	pétrographie	détail silex	P. Fernandes
OA9785_STM11_photo_1850	1850	tif	figure 353	pétrographie	détail silex	P. Fernandes
OA9785_STM11_photo_1851	1851	tif	figure 353	pétrographie	détail silex	P. Fernandes
OA9785_STM11_photo_1852	1852	tif	figure 353	pétrographie	détail silex	P. Fernandes
OA9785_STM11_photo_1853	1853	tif	figure 353	pétrographie	détail silex	P. Fernandes
OA9785_STM11_photo_1854	1854	tif	figure 353	pétrographie	détail silex	P. Fernandes
OA9785_STM11_photo_1855	1855	tif	figure 354	pétrographie	détail silex	P. Fernandes
OA9785_STM11_photo_1856	1856	tif	figure 354	pétrographie	détail silex	P. Fernandes
OA9785_STM11_photo_1857	1857	tif	figure 354	pétrographie	détail silex	P. Fernandes
OA9785_STM11_photo_1858	1858	tif	figure 354	pétrographie	détail silex	P. Fernandes
OA9785_STM11_photo_1859	1859	tif	figure 354	pétrographie	détail silex	P. Fernandes
OA9785_STM11_photo_1860	1860	tif	figure 354	pétrographie	détail silex	P. Fernandes
OA9785_STM11_photo_1861	1861	tif	figure 355	pétrographie	détail silex	P. Fernandes
OA9785_STM11_photo_1862	1862	tif	figure 355	pétrographie	détail silex	P. Fernandes
OA9785_STM11_photo_1863	1863	tif	figure 355	pétrographie	détail silex	P. Fernandes
OA9785_STM11_photo_1864	1864	tif	figure 356	pétrographie	détail silex	P. Fernandes
OA9785_STM11_photo_1865	1865	tif	figure 356	pétrographie	détail silex	P. Fernandes
OA9785_STM11_photo_1866	1866	tif	figure 356	pétrographie	détail silex	P. Fernandes
OA9785_STM11_photo_1867	1867	tif	figure 357	pétrographie	détail silex	P. Fernandes

**Annexe 26** - Le Clos de Roque, Saint-Maximin-la-Sainte-Baume (83). Inventaire des photographies dans le Rapport final d'opération.

Identifiant	n° cliché	format	localisation	type	Description	Auteur
OA9785_STM11_photo_1868	1868	tif	figure 357	pétrographie	détail silex	P. Fernandes
OA9785_STM11_photo_1869	1869	tif	figure 357	pétrographie	détail silex	P. Fernandes
OA9785_STM11_photo_1870	1870	tif	figure 358	pétrographie	détail silex	P. Fernandes
OA9785_STM11_photo_1871	1871	tif	figure 358	pétrographie	détail silex	P. Fernandes
OA9785_STM11_photo_1872	1872	tif	figure 358	pétrographie	détail silex	P. Fernandes
OA9785_STM11_photo_1873	1873	tif	figure 359	pétrographie	détail silex	P. Fernandes
OA9785_STM11_photo_1874	1874	tif	figure 359	pétrographie	détail silex	P. Fernandes
OA9785_STM11_photo_1875	1875	tif	figure 359	pétrographie	détail silex	P. Fernandes
OA9785_STM11_photo_1876	1876	tif	figure 360	pétrographie	détail silex	P. Fernandes
OA9785_STM11_photo_1877	1877	tif	figure 360	pétrographie	détail silex	P. Fernandes
OA9785_STM11_photo_1878	1878	tif	figure 360	pétrographie	détail silex	P. Fernandes
OA9785_STM11_photo_1879	1879	tif	figure 360	pétrographie	détail silex	P. Fernandes
OA9785_STM11_photo_1880	1880	tif	figure 360	pétrographie	détail silex	P. Fernandes
OA9785_STM11_photo_1881	1881	tif	figure 360	pétrographie	détail silex	P. Fernandes
OA9785_STM11_photo_1882	1882	tif	figure 361	pétrographie	détail silex	P. Fernandes
OA9785_STM11_photo_1883	1883	tif	figure 361	pétrographie	détail silex	P. Fernandes
OA9785_STM11_photo_1884	1884	tif	figure 361	pétrographie	détail silex	P. Fernandes
OA9785_STM11_photo_1885	1885	tif	figure 362	pétrographie	détail silex	P. Fernandes
OA9785_STM11_photo_1886	1886	tif	figure 362	pétrographie	détail silex	P. Fernandes
OA9785_STM11_photo_1887	1887	tif	figure 362	pétrographie	détail silex	P. Fernandes
OA9785_STM11_photo_1888	1888	tif	figure 363	pétrographie	détail silex	P. Fernandes
OA9785_STM11_photo_1889	1889	tif	figure 363	pétrographie	détail silex	P. Fernandes
OA9785_STM11_photo_1890	1890	tif	figure 363	pétrographie	détail silex	P. Fernandes
OA9785_STM11_photo_1891	1891	tif	figure 364	pétrographie	détail silex	P. Fernandes
OA9785_STM11_photo_1892	1892	tif	figure 365	pétrographie	détail silex	P. Fernandes
OA9785_STM11_photo_1893	1893	tif	figure 365	pétrographie	détail silex	P. Fernandes
OA9785_STM11_photo_1894	1894	tif	figure 365	pétrographie	détail silex	P. Fernandes
OA9785_STM11_photo_1895	1895	tif	figure 366	pétrographie	détail silex	P. Fernandes
OA9785_STM11_photo_1896	1896	tif	figure 366	pétrographie	détail silex	P. Fernandes
OA9785_STM11_photo_1897	1897	tif	figure 366	pétrographie	détail silex	P. Fernandes
OA9785_STM11_photo_1898	1898	tif	figure 367	pétrographie	détail silex	P. Fernandes
OA9785_STM11_photo_1899	1899	tif	figure 367	pétrographie	détail silex	P. Fernandes
OA9785_STM11_photo_1900	1900	tif	figure 368	pétrographie	détail silex	P. Fernandes
OA9785_STM11_photo_1901	1901	tif	figure 368	pétrographie	détail silex	P. Fernandes
OA9785_STM11_photo_1902	1902	tif	figure 368	pétrographie	détail silex	P. Fernandes
OA9785_STM11_photo_1903	1903	tif	figure 368	pétrographie	détail silex	P. Fernandes
OA9785_STM11_photo_1904	1904	tif	figure 368	pétrographie	détail silex	P. Fernandes
OA9785_STM11_photo_1905	1905	tif	figure 368	pétrographie	détail silex	P. Fernandes
OA9785_STM11_photo_1906	1906	tif	figure 369	pétrographie	détail silex	P. Fernandes
OA9785_STM11_photo_1907	1907	tif	figure 369	pétrographie	détail silex	P. Fernandes
OA9785_STM11_photo_1908	1908	tif	figure 369	pétrographie	détail silex	P. Fernandes
OA9785_STM11_photo_1909	1909	tif	figure 370	pétrographie	détail silex	P. Fernandes
OA9785_STM11_photo_1910	1910	tif	figure 370	pétrographie	détail silex	P. Fernandes
OA9785_STM11_photo_1911	1911	tif	figure 370	pétrographie	détail silex	P. Fernandes
OA9785_STM11_photo_1912	1912	tif	figure 371	pétrographie	détail silex	P. Fernandes
OA9785_STM11_photo_1913	1913	tif	figure 371	pétrographie	détail silex	P. Fernandes
OA9785_STM11_photo_1914	1914	tif	figure 371	pétrographie	détail silex	P. Fernandes
OA9785_STM11_photo_1915	1915	tif	figure 372	pétrographie	détail silex	P. Fernandes
OA9785_STM11_photo_1916	1916	tif	figure 372	pétrographie	détail silex	P. Fernandes
OA9785_STM11_photo_1917	1917	tif	figure 372	pétrographie	détail silex	P. Fernandes
OA9785_STM11_photo_1918	1918	tif	figure 372	pétrographie	détail silex	P. Fernandes
OA9785_STM11_photo_1919	1919	tif	figure 372	pétrographie	détail silex	P. Fernandes
OA9785_STM11_photo_1920	1920	tif	figure 373	pétrographie	détail silex	P. Fernandes
OA9785_STM11_photo_1921	1921	tif	figure 373	pétrographie	détail silex	P. Fernandes

Annexe 26 - Le Clos de Roque, Saint-Maximin-la-Sainte-Baume (83). Inventaire des photographies dans le Rapport final d'opération.



Identifiant	n° cliché	format	localisation	type	Description	Auteur
OA9785_STM11_photo_1922	1922	tif	figure 373	pérogaphie	détail silex	P. Fernandes
OA9785_STM11_photo_1923	1923	jpg	figure 384	macrolithique	hache polie	E Thirault
OA9785_STM11_photo_1924	1924	jpg	figure 384	macrolithique	hache polie	E Thirault
OA9785_STM11_photo_1925	1925	jpg	figure 384	macrolithique	hache polie	E Thirault
OA9785_STM11_photo_1926	1926	jpg	figure 384	macrolithique	perceur	E Thirault
OA9785_STM11_photo_1927	1927	jpg	figure 385	macrolithique	meule	E Thirault
OA9785_STM11_photo_1928	1928	jpg	figure 385	macrolithique	meule	E Thirault
OA9785_STM11_photo_1929	1929	jpg	figure 386	macrolithique	meule	E Thirault
OA9785_STM11_photo_1930	1930	jpg	figure 386	macrolithique	meule	E Thirault
OA9785_STM11_photo_1931	1931	jpg	figure 386	macrolithique	meule	E Thirault
OA9785_STM11_photo_1932	1932	jpg	figure 386	macrolithique	meule	E Thirault
OA9785_STM11_photo_1933	1933	jpg	figure 386	macrolithique	meule	E Thirault
OA9785_STM11_photo_1934	1934	jpg	figure 387	macrolithique	meule	E Thirault
OA9785_STM11_photo_1935	1935	jpg	figure 387	macrolithique	meule	E Thirault
OA9785_STM11_photo_1936	1936	jpg	figure 387	macrolithique	meule	E Thirault
OA9785_STM11_photo_1937	1937	jpg	figure 387	macrolithique	meule	E Thirault
OA9785_STM11_photo_1938	1938	jpg	figure 387	macrolithique	meule	E Thirault
OA9785_STM11_photo_1939	1939	jpg	figure 387	macrolithique	meule	E Thirault
OA9785_STM11_photo_1940	1940	jpg	figure 387	macrolithique	meule	E Thirault
OA9785_STM11_photo_1941	1941	jpg	figure 387	macrolithique	meule	E Thirault
OA9785_STM11_photo_1942	1942	jpg	figure 390	macrolithique	lisseur	E Thirault
OA9785_STM11_photo_1943	1943	jpg	figure 390	macrolithique	lisseur	E Thirault
OA9785_STM11_photo_1944	1944	jpg	figure 390	macrolithique	lisseur	E Thirault
OA9785_STM11_photo_1945	1945	tiff	figure 391	macrolithique	lisseur	P. Fernandes
OA9785_STM11_photo_1946	1946	tiff	figure 391	macrolithique	lisseur	P. Fernandes
OA9785_STM11_photo_1947	1947	tiff	figure 391	macrolithique	lisseur	P. Fernandes
OA9785_STM11_photo_1948	1948	tiff	figure 391	macrolithique	lisseur	P. Fernandes
OA9785_STM11_photo_1949	1949	tiff	figure 391	macrolithique	lisseur	P. Fernandes
OA9785_STM11_photo_1950	1950	tiff	figure 391	macrolithique	lisseur	P. Fernandes
OA9785_STM11_photo_1951	1951	tiff	figure 391	macrolithique	lisseur	P. Fernandes
OA9785_STM11_photo_1952	1952	tiff	figure 391	macrolithique	lisseur	P. Fernandes
OA9785_STM11_photo_1953	1953	tiff	figure 392	macrolithique	hache polie	P. Fernandes
OA9785_STM11_photo_1954	1954	tiff	figure 392	macrolithique	hache polie	P. Fernandes
OA9785_STM11_photo_1955	1955	jpg	figure 393	terre crue cuite	éléments	P. Tacussel
OA9785_STM11_photo_1956	1956	jpg	figure 393	terre crue cuite	éléments	P. Tacussel
OA9785_STM11_photo_1957	1957	jpg	figure 393	terre crue cuite	éléments	P. Tacussel
OA9785_STM11_photo_1958	1958	jpg	figure 394	terre crue cuite	éléments	P. Tacussel
OA9785_STM11_photo_1959	1959	jpg	figure 397	terre crue cuite	éléments	P. Tacussel
OA9785_STM11_photo_1960	1960	jpg	figure 395	terre crue cuite	éléments	P. Tacussel
OA9785_STM11_photo_1961	1961	jpg	figure 396	terre crue cuite	éléments	P. Tacussel
OA9785_STM11_photo_1962	1962	jpg	figure 398	terre crue cuite	éléments	P. Tacussel
OA9785_STM11_photo_1963	1963	jpg	figure 398	terre crue cuite	éléments	P. Tacussel
OA9785_STM11_photo_1964	1964	jpg	figure 398	terre crue cuite	éléments	P. Tacussel
OA9785_STM11_photo_1965	1965	jpg	figure 398	terre crue cuite	éléments	P. Tacussel
OA9785_STM11_photo_1966	1966	jpg	figure 399	terre crue cuite	éléments	P. Tacussel
OA9785_STM11_photo_1967	1967	jpg	figure 399	terre crue cuite	éléments	P. Tacussel
OA9785_STM11_photo_1968	1968	jpg	figure 399	terre crue cuite	éléments	P. Tacussel
OA9785_STM11_photo_1969	1969	jpg	figure 400	terre crue cuite	éléments	P. Tacussel
OA9785_STM11_photo_1970	1970	jpg	figure 400	terre crue cuite	éléments	P. Tacussel
OA9785_STM11_photo_1971	1971	jpg	figure 401	terre crue cuite	éléments	P. Tacussel
OA9785_STM11_photo_1972	1972	jpg	figure 401	terre crue cuite	éléments	P. Tacussel
OA9785_STM11_photo_1973	1973	jpg	figure 402	terre crue cuite	éléments	P. Tacussel
OA9785_STM11_photo_1974	1974	jpg	figure 402	terre crue cuite	éléments	P. Tacussel
OA9785_STM11_photo_1975	1975	jpg	figure 403	terre crue cuite	éléments	P. Tacussel

Annexe 26 - Le Clos de Roque, Saint-Maximin-la-Sainte-Baume (83). Inventaire des photographies dans le Rapport final d'opération.

Identifiant	n° cliché	format	localisation	type	Description	Auteur
OA9785_STM11_photo_1976	1976	jpg	figure 403	terre crue cuite	éléments	P. Tacussel
OA9785_STM11_photo_1977	1977	jpg	figure 404	terre crue cuite	éléments	P. Tacussel
OA9785_STM11_photo_1978	1978	jpg	figure 404	terre crue cuite	éléments	P. Tacussel
OA9785_STM11_photo_1979	1979	jpg	figure 405	terre crue cuite	éléments	P. Tacussel
OA9785_STM11_photo_1980	1980	jpg	figure 405	terre crue cuite	éléments	P. Tacussel
OA9785_STM11_photo_1981	1981	jpg	figure 406	Industrie osseuse	détail objets	I. Sénépart
OA9785_STM11_photo_1982	1982	jpg	figure 407	parure	détail objets	S. Bonnardin
OA9785_STM11_photo_1983	1983	jpg	figure 409	parure	coquillages	S. Bonnardin
OA9785_STM11_photo_1984	1984	jpg	figure 410	métal	détail objets	B. Girard
OA9785_STM11_photo_1985	1985	jpg	figure 411	métal	détail objets	B. Girard
OA9785_STM11_photo_1986	1986	jpg	figure 412	canidé	mandibule	E. Blaise
OA9785_STM11_photo_1987	1987	jpg	figure 418	terrain	sépulture	M. Remicourt
OA9785_STM11_photo_1988	1988	jpg	figure 418	terrain	sépulture	M. Remicourt
OA9785_STM11_photo_1989	1989	jpg	figure 419	anthropologie	détail ossements	A. Schmitt
OA9785_STM11_photo_1990	1990	jpg	figure 419	anthropologie	détail ossements	A. Schmitt
OA9785_STM11_photo_1991	1991	jpg	figure 419	anthropologie	détail ossements	A. Schmitt
OA9785_STM11_photo_1992	1992	jpg	figure 419	anthropologie	détail ossements	A. Schmitt
OA9785_STM11_photo_1993	1993	jpg	figure 419	anthropologie	détail ossements	A. Schmitt
OA9785_STM11_photo_1994	1994	jpg	figure 420	terrain	sépulture	M. Remicourt
OA9785_STM11_photo_1995	1995	jpg	figure 420	terrain	sépulture	M. Remicourt
OA9785_STM11_photo_1996	1996	jpg	figure 421	terrain	sépulture	M. Remicourt
OA9785_STM11_photo_1997	1997	jpg	figure 421	anthropologie	détail ossements	A. Schmitt
OA9785_STM11_photo_1998	1998	jpg	figure 421	anthropologie	détail ossements	A. Schmitt
OA9785_STM11_photo_1999	1999	jpg	figure 422	terrain	sépulture	M. Remicourt
OA9785_STM11_photo_2000	2000	jpg	figure 422	terrain	sépulture	M. Remicourt
OA9785_STM11_photo_2001	2001	jpg	figure 423	terrain	sépulture	M. Remicourt
OA9785_STM11_photo_2002	2002	jpg	figure 424	terrain	sépulture	M. Remicourt
OA9785_STM11_photo_2003	2003	jpg	figure 424	terrain	sépulture	M. Remicourt
OA9785_STM11_photo_2004	2004	jpg	figure 425	xylogie	bois	J. Battentier
OA9785_STM11_photo_2005	2005	jpg	figure 425	xylogie	bois	J. Battentier
OA9785_STM11_photo_2006	2006	jpg	figure 425	xylogie	bois	J. Battentier
OA9785_STM11_photo_2007	2007	jpg	figure 432	anthracologie	planches	M. Remicourt
OA9785_STM11_photo_2008	2008	jpg	figure 433	carpologie	carporestes	L. Martin
OA9785_STM11_photo_2009	2009	jpg	figure 433	carpologie	carporestes	L. Martin
OA9785_STM11_photo_2010	2010	jpg	figure 433	carpologie	carporestes	L. Martin
OA9785_STM11_photo_2011	2011	jpg	figure 433	carpologie	carporestes	L. Martin







